



Escola Politècnica Superior
d'Edificació de Barcelona

UNIVERSITAT POLITÈCNICA DE CATALUNYA

GRADO EN CIÉNCIAS Y TECNOLOGIAS DE LA EDIFICACIÓN

TRABAJO DE FIN DE GRADO

DESARROLLO DEL PROYECTO EJECUTIVO DE REFORMA DE LA PISCINA DEL COLEGIO PÀLCAM

Projectista: Belén Ferreres López
Director: Manuel Borbón Sanllorente
Convocatòria: Abril / Mayo 2018

Resumen

En la actualidad, la piscina en la que se proyecta la ejecución de reforma se encuentra situada en la planta sótano de una escuela de Barcelona situada en la calle Rosalía de Castro 30-32, en el barrio de Horta – Guinardó. Dicha escuela está formada por un conjunto de edificios situados todos en la misma manzana y comunicados entre sí.

Concretamente, la zona a intervenir se encuentra situada en el edificio 32 de la misma calle junto con un anexo del edificio 30, y estará formada por la sala donde se sitúa la piscina, los vestuarios para permitir el cambio de vestimenta antes y después de la actividad y una sala de máquinas.

Así pues el presente proyecto tiene como objetivo satisfacer las necesidades de la escuela en relación con esta instalación, ampliar el vaso de la piscina mejorando a la vez su funcionamiento y características de todo el conjunto, tanto de la piscina como de sus vestuarios, teniendo en cuenta que la escuela no permite el cambio de emplazamiento de esta instalación, que el espacio actual es el total de la superficie que se dispone para la intervención del espacio, es decir que no permite ampliaciones y que debe ser una piscina destinada al uso único de niños de la edad de 3-5 años.

Para poder ejecutar lo dicho, será necesario el apeo de dos pilares que se encuentran actualmente en el centro de la sala, impidiendo así la ampliación del vaso de un modo sencillo.

Por este motivo se ha procedido entre otros muchos puntos, el diseño del apeo de ambos elementos, buscando siempre la máxima amplitud de la sala.

Por otro lado, se realizará el proyectado de un nuevo vaso de piscina, aprovechando así la oportunidad de ejecutar una piscina con un sistema de funcionamiento y circulación del agua ganando ahorro energético a largo plazo del tiempo así como también conservando dicha instalación más limpia en todo momento.

Se efectuará también la renovación de todas las instalaciones que conforman zona dando a este espacio un aire moderno e innovador, tal como el promotor desea obtener.



Sumario

| | |
|---|----|
| Resumen..... | 1 |
| Sumario | 2 |
| 1. Memory..... | 5 |
| 1.1. Current state | 5 |
| 1.1.1. Location and technical description of the building | 5 |
| 1.1.2. Generic description and history of the building | 6 |
| 1.1.3. Technical description of the affected area | 6 |
| 1.2. Evaluation and use of the pool performance problems..... | 11 |
| 1.3. Refurbishment proposed | 12 |
| 1.3.1. Objective..... | 12 |
| 1.3.2. Applicable regulations | 13 |
| 1.3.3. Justification and description of the solution adopted..... | 14 |
| 1.3.4. Economic viability | 15 |
| 1.4. Executive project..... | 16 |
| 1.4.1. Descriptive report..... | 16 |
| 1.4.2. Memoria constructiva | 28 |
| 2. Medición y presupuesto..... | 44 |
| 2.1. Movimientos de tierra, trabajos previos, derribos y extracciones | 44 |
| 2.2. Estructura | 47 |
| 2.3. Albañilería | 49 |
| 2.4. Revestimientos | 51 |
| 2.5. Pavimentos | 53 |
| 2.6. Carpintería metálica y vidriería | 55 |
| 2.7. Carpintería de madera | 57 |
| 2.8. Ayudas | 58 |
| 2.9. Instalación eléctrica..... | 59 |
| 2.10. Fontanería | 63 |
| 2.11. Climatización y ventilación | 69 |
| 2.12. Instalación filtración y tratamiento piscina | 71 |
| 2.13. Instalación de energía solar..... | 72 |
| 2.14. Resumen de presupuesto..... | 73 |



| | | |
|--------|---|-----|
| 3. | Conclusiones | 74 |
| 4. | Bibliografía | 75 |
| 5. | Anexos | 76 |
| 5.1. | Estructura | 76 |
| 5.1.1. | Introducción: | 76 |
| 5.1.2. | Alcance y desarrollo..... | 76 |
| 5.1.3. | Normativa específica aplicada | 76 |
| 5.1.4. | Diseño y construcción forjados: | 76 |
| 5.1.5. | Diseño y construcción de vaso piscina y depósito de compensación: | 78 |
| 5.1.6. | Diseño y construcción apeo pilares: | 78 |
| 5.2. | Instalaciones..... | 80 |
| 5.2.1. | Fontanería..... | 80 |
| 5.2.2. | Instalación de captación de energía solar | 88 |
| 5.2.3. | Instalación de saneamiento..... | 109 |
| 5.2.4. | Instalación de depuración y renovación del agua de la piscina | 120 |
| 5.2.5. | Instalación de iluminación | 127 |
| 5.2.6. | Instalación eléctrica | 134 |
| 5.2.7. | Instalación clima y ventilación..... | 146 |
| 5.2.8. | Instalación de protección contra incendios..... | 158 |
| 5.3. | Pliego de condiciones de la edificación..... | 162 |
| 5.4. | Control de Calidad | 183 |
| 5.5. | Estudio básico de seguridad y salud..... | 216 |
| 5.6. | Cálculos expedidos por los programas..... | 234 |
| 5.6.1. | Cálculos Altra Plus CYPE Estructuras | 234 |
| 5.6.2. | Cálculos DiaLux | 472 |
| 5.7. | Planos | 504 |





1. Memory

1.1. Current state

1.1.1. Location and technical description of the building

The affected building is located in the neighborhood of Horta-Guinardo, 30-32 Rosalia de Castro street, Barcelona.

This construction together with four more buildings will form the set of a school, where nursery, primary, secondary, sixth form education and also other specific training courses will be taught. Inside the building pointed out at the beginning, the refurbishments to be carried out will focus on building no. 32 on the basement level 1, where there is currently a swimming pool and two changing rooms. For the realization of the works will be affected, on a smaller scale, the ground floor of this. On the other hand, also there will be other works in a changing room that is located in the building next door no. 30 basement level 1.

UTM coordinates place them in the following points:

- Building No. 30 430846.858; 4584911.871 (H31, ED50).
- Building No. 32 41,4109525; 2,1716821 (H31, ED50).

Regarding the registration of the real estate cadaster is assigned the following situation references:

- Building No. 32: 0848403DF3804H0003QH
- Building No. 32: 0848404DF3804H0001IF

(see pictures of the location and status of both buildings - in the attached drawings A.0.1., A.0.2.1. and A.0.2.2.).

The total ownership of the buildings is the owner of the school, who is the property developer of the works to run, Casoro, S.L. which is represented by the current headteacher of the school Xavier Cagigos.



1.1.2. Generic description and history of the building

The current school Pàlcam is the result of the initial project's school founded in 1955 by the couple Antoni Francesc Cagigos and Mrs. Merce Palacin, who created a small school located in a turret of Rosalia de Castro Street, where it is currently the building n ° 32 of the same street, where is the main entrance to the School. The mentioned project was intended to develop to the maximum capabilities of students at all dimensions: physical, intellectual, emotional and spiritual.

Throughout these years, new buildings and successive enlargements have been made to adapt to educational reforms of every moment and increase the educational offer.

The year 1960, the building currently marked with number 32 of the same street was again constructed. This building had spacious sports facilities having something exceptional and original at that time in Catalonia, that it was a swimming pool. Initially only sixth form was taught and the demand was increasing especially in the incorporation of a new educational courses, between 1980-1981, second extension was opened, with the addition to the school of the entire building, currently named 30 Rosalia of Castro street. With the introduction of the secondary school in 1990s became operational the number 34 of the same street, as well as also the building located in 365 Castillejos street. In the 2000s, the school finally extended his offer with educational degrees, for this was built in the development of the building located at number 361 of Castillejos street, situated on the same block of the rest of the buildings.

This is how today the school is divided into five different buildings, distributed in a same block between Rosalía de Castro and Castillejos streets.

Each building has been built in different years and they have completely different characteristics. It is remarked that the first building built was no. 32, where will be the main and most significant refurbishment of the present project.

1.1.3. Technical description of the affected area

As already mentioned above, the affected buildings are situated in 30 Rosalia de Castro street, basement level 1 and from no. 32 basement level 1 and lower floor.



Although the two buildings were built in different years and having different characteristics, are currently connected in all of the levels, thus functioning as a single building and being used for nursery.

It is the reason why in the basement there is the pool area which it's made up for and two changing rooms for the building number 32, as well as a third changing room of the building number 30.

It's underlined that the full ownership of these buildings is the same from the property developer.

Once explained this, I proceed to the detailed description of the building containing the swimming pool, which will mean the actual refurbishment, although the changes to the changing room of the building number 30 does not imply a significant change for the whole of the building, it will be simply a change of distribution and finishes.

The construction number 32, is formed by a set of covered ground floor, five upper floors, a basement level and a lower basement level, with an average per floor of 250 square meters each.

The ground floor of the building is the main entrance of the school, except an area of the building allocated to the educational degrees. It is for this reason that on this floor you will find the management offices and the higher positions of the institution, as well as also the reception, meetings rooms and some unisex toilets.

The rest of upper floors are entirely designed with no exception to nursery and primary education, which is currently unused.

Finally, the basement floor has a sporty use, since having a swimming pool installation will be taught swimming courses to children in early childhood education.

It is specified that the building currently meets the rules of accessibility in relation to access to school spaces, but it will not be so in the case of access to the basement floor. On the other hand, it is confirmed that they will meet all applicable point in relation to fire safety.

The structure of the affected building, we can say it ran through a simple system of vertical structure, distributing and making the descent of loads using pillars to the foundation based on screen walls and isolated footings. The set of all these elements are made of reinforced concrete (see drawing A.1.3.1).

On the other hand, in terms of the horizontal structure is formed by a slab of concrete on floor cellar and in the rest of the levels find one-way slabs.



Concerning these envelopes, found in the top cover technique with a terra-cotta floor. The main facade is brick wall with a thickness of 45cm and the rest of envelopes will also be of brick but with one minor between 15 and 30 cm thick.

It points out that the current state of these elements is very good, is still giving to building stability without any problems, i.e. that not presents a problem to reform projected on floor basement.

At this point, it is important to mention, to emphasize that this building was the first to be built in all his surroundings has undergone any change regarding the way of working of the structure compared to the time of its construction, is to say that the walls screens, withstanding loads of the terrain surrounding it has disappeared by the mere fact that surrounding buildings on all four sides, all have been built in the same way, openings have been on all the facades with the exception of the principal, for communication with other buildings and facilitate the use of the complex as a single block.

Already focusing on what are actual affected plants and the elements that affect the possibility of reform, passed to the description of the pool and its facilities.

- **Pool**

First of all, a fundamental point is found in this floor the shaped pool rectangular dimensions 12.19 x 4, 20m of concrete and a collection of water through Skimmer system, still the sheet of water about 20cm below this channel, has also sinks to empty the pool and side boosters for its filling and renewal of water.

Recirculated water conditioning is performed using a pump that allows the circulation of the water through a filter and then the control and regulation of ph and chlorine for disinfection and cleaning injection. All the machinery is inside the plant room.

Regarding to the pool finishes are executed with pieces of tile of 2.5 x 2, 5 cm and a stoneware pipe system as well as also the coronation part. It has two stainless steel stairs one in each end with armrests for easy access to the pool of children. There are also some blocks of stone on the crowning of the pool for teaching head jump as well as other modalities.

We will continue describing the pool area, which has a floor of porcelain stoneware, where in all its surface has been placed a non-slip rug. In terms of covering the walls and pillars are stoneware tiles white of 20x20cm, with children's aquatic ornaments, matching with other colors of stoneware tiles. We must to point out that there is a window of aluminum as well as a small strip of two rows of glass block.



The roof is completely covered with tile except the area of the skylight of glass blocks, specifying that there is a false ceiling where all the installations will be seen above this.

As secondary elements find a stainless-steel railing, which separates lanes of entrance and exit to the swimming pool and access to the locker room, it will also be part of a measure of safety in the event of slippage. There are also arranged an enclosure panel for showers in this same cabin, with the structure of stainless steel and glass partition, which will keep continuous drive showers that these are lit by a sensor of passage. On the other hand, it is set on a wall an awning rolled that covers every day the pool to prevent the water level to decrease its evaporation.

As elements of storage we find wardrobes, shelves, bins and hangers. Finally, we find several services anchored on the walls like changers for babies, first aid kit, notice board and a hose fire.

- **Changing rooms**

There are three changing rooms, two assigned to students, one for each sex and a third room on building number 30 which only teachers will use it.

Both blocks are executed with the same materials and finishes, partitions, showers of phenolic boards and aluminum profiles. Showers-ignition switch and temperature controller. Porcelain pavement painted to decrease the danger of slippage and half of the same stoneware wall tiling, but in this case unpainted. We have half of the wall up to the ceiling a coating glass and aluminum frame cladding.

We will find in the changing room for teachers three showers, wc and a toilet with a mirror, there is also fixed furniture such as banks and hangers.

In the locker room for students there are a total of four showers, two wc and four toilets, where also will find the same fixed furniture.

- **Facilities**

Cleaning water swimming pool:

With regard to the functioning of the circulation of the water in the pool is type skimmer, i.e. to the top of all the pool water incoming within the two-lateral overflow and the water enters into the circuit filtering and disinfecting to be returned to the pool with the required quality. This process is carried out using this tour to a circuit passing first through a pre-filter, you pass through the pump and will be sent to the filter, this time of higher dimensions and a fineness of greater cleaning, once the water is filtered again will undergo into a system treatment in which using keystrokes will by injecting chlorine in the hydraulic circuit. Control of disinfectant and ph of the water is carried out manually.



- **Air conditioning and ventilation (air)**

In relation to the air conditioning in the area find a precarious system of dehumidification and heating of the air which creates a closed cycle taking air from the pool, dehumidifies, it heats it and returns it to the cockpit. This air is distributed through a central plant on the ceiling.

With regard to the changing rooms are only ventilated by forced ventilation.

- **Luminaires**

The luminaires in the pool area will be entirely on ceiling fluorescent screens, its distribution is divided into two zones, the central area, on main beam and contrary to the pool side, thus leaving the dark pool and not just indirect lighting. We must point out that in the moments of sun and mostly to mid-morning through the existing shield gets more adequate lighting, although it continues to be timely and completely uncontrollable.

- **Plumbing**

Cold and hot water pipes come to this basement floor from the building number 34 to supply the pool, all the changing rooms and shower corridors. The supply of the BIE will be by the same building, through the pipework embedded in the wall.

The pipework routes in this case of the pool area will be seen on the ceiling, attached to the central core and in the case of the changing room will be embedded on the walls.

- **Drainage**

At this level the sewers of the building, will both of sewage as rain and pool, its route will eventually lead to just collector of the building which passes just below the soil of this floor, finally this will lead up to the level of the public outdoor general collector situated at a height of the ground floor slab pool - 1, 00m.

- **Showers**

There are three types of shower, steel stainless showers near by the changing room of the teachers, which has a total of 6 sprays hanging from the ceiling, which are activated by detection of presence. The water released heading the side perimeter canal by gravity. There is another tunnel in one of the corridors of access to the locker room of the students, which remain two built-in sprinklers and is powered by button, allowing the shower required by regulation before the swim in the pool. The water is released to the perimeter channel of the respective changing rooms.

Finally we have showers of the changing rooms which drain water and directing it by gravity into the respective channel arranged under the shower doors.



- **Electricity**

Currently it's reached to this floor to supply luminaires, like the entire machinery of the pool, pump, dehumidifier, fans, etc.

In the plant room there is the control panel of the floor.

1.2. Evaluation and use of the pool performance problems

The main problem for this project has started is the loss of water in the pool by fissure of the vessel as well as the need to improve the system of air conditioning and ventilation air in this space.

Since this last time has been detected a marked decline in the level of water considerable and unusual, it has come to the conclusion that in the pool has at least one crack, the water is leaking to the ground on which is supported.

The other problem also pointed out already, is dissatisfaction with the air conditioning system, since the machinery is old and insufficient power. The consequences of this fact is a high level of humidity in the air, producing little comfort during your stay in this place as well as the notorious increase in the appearance of cockroaches, that the image of the school has been badly affected.

The third point to be highlighted are the small dimensions of the existing pool, which limit the course of swimming lessons.

On the other hand, after the study of the area, there is a big problem of loudness, given that the total number of walls are tiled with stoneware, this brings a high effect of resonance of the voices that taking into account that it is a teaching of children, It ends up being a place of many screams and a high volume of tone. The main consequence is the difficulty of communication from teachers with students and vice versa.

Another point to discuss is the antiquity of the finishes and the careless image that can give this area of the school. Given that it is one of the points that is reinforcing the school, modernity and adaptation of the school at the current time, providing students an education unique and very specific, this should be reflected in its facilities, so in conclusion it has been seen an achievement of this project, for the homeowner this point becomes priority.

The refurbishment involves a total renovation of the space, creating a new and significantly different characteristic. The project has sought the expansion of the small size of the pool, the



renewal of all its facilities, finishes and operating system of the pool, trying to improve or at least equal to the existing and always complying with the applicable rules.

Since the pool was implemented many years ago and no significant refurbishment has been made, we will see that this last point, the fulfilment of the minimum requirements set by regulations will be decisive in all aspects.

1.3. Refurbishment proposed

1.3.1. Objective

The objective that intends to arrive is the refurbishment of the swimming pool of the school, with the aim of improving all of the existing facilities in this space, without changing any significant point regarding the school, involving the change the whole of the building, i.e. to maintain their status and ensure the use of the swimming pool similar to the existing.

Taking into account the previous point, the refurbishment should be a result of a new, modern and functional space. For this reason the attempt has been the modification of the dimensions of the pool, working of this system, the quality and aesthetics of the facilities which are seen, the finish on all walls of the stay which will determine in most the aesthetics and image of the area, giving a touch of sophistication and at the same time an improvement of its finishes, less slipperiness of the floor, a high absorption coefficient in reverberation noise through the ceiling, etc. Also, the redistribution of spaces will influence greatly and the effect of visibility of the area pool after the performance in the structural system, after the shoring of the two central pillars of the room, leaving aside the possibility of increasing the size of the vessel.

On the other hand, since the activity of swimming will hand the need for the use of the changing room before and after the activity, it is necessary that change will be reflected in these two attached blocks of pool and that if not all it would not look at all well and hardly worth the investment in quality and aesthetics of the reformation of the floor.

The project at all times will be fulfilling each of the parameters that the law requires all of the points will be playing such as structure, installations and energy saving, health and sanitary and all kinds of security and protection which will be applied.

Finally, in order to meet this objective will be vital the analysis of existing problems and needs so that, once the space is renovated, appropriate contribution convenience, comfort and meets



the expectations of the property developer giving the best investment involved in this project.

1.3.2. Applicable regulations

Since this project is the refurbishment of an indoor public swimming pool, it will apply the following regulations:

- Decree 95/2000 of 22 February establishing health rules to the pools for public use.
- Decree 165/2001 of June 12, modification of Decree 95/2000 of February 22, laying down the health rules applicable to public pools.
- Royal Decree 742/2013, 27 September, establishing the technical-sanitary criteria of swimming pools.
- Decree 352/2004 of July 27, laying down the health and hygiene conditions for the prevention and control of legionella.
- Royal Decree 865/2003 of July 4, establishing the hygienic criteria for the prevention and control of legionella, annex 5.
- Ordinance environment of Barcelona.
- Regulation of the integral cycle of the water of Barcelona Metropolitan service.
- Technical data sheets of sports facilities of the Consell Català de l'esport de la Generalitat de Catalunya.
- Royal Decree 1027 / 2007 of 20 July, which approves the regulation of heating systems in buildings. RITE
- Royal Decree 2413 / 1973, of 20 September, whereby the low voltage Electrotechnical regulation is approved. REBT
- Series of standards une 171330 - parts 1 to 3. Indoor environmental quality.
- Standard une - 100012 - sanitization of air conditioning systems.
- Standard une - in 13779 - non-residential building ventilation. Requirements of performance of systems of ventilation and conditioning of enclosures.
- Standard une - in 779 - air filters used in general ventilation for removing particles. Requirements, testing and marking.
- Technical building code. CTE



1.3.3. Justification and description of the solution adopted

First of all, to justify the refurbishment which has to be projected, it is suitable to keep in mind that any project can be made by a technician and with the reality that this is involved. It is added in the project the role of the developer, who is the owner and the headteacher of the school, who has agreed a series of meetings throughout the execution of the project and showing you the progress of this since it will always be conditioned by the decisions, tastes and budget of the property developer who has hired our service.

Once highlighted above and already mentioned in part 1.3.2., here is shown the most decisive aspects at the time for any determination:

- It always prevails the aesthetics chosen by the developer, modern, boundless pool and the largest dimensions taking into account whenever it's a pool aimed at education of students of nursery, i.e. children under 5 years.

Symmetry and uniformity of finishes and facilities that are seen, it is for this reason that has become a great zeal to graphic and explain the level of detail of these, being all explained, so that in the execution of the work has the fewest possible doubts and the result is always the best.

- On the other hand also will take into account the study of the use and circulation by the existing spaces. Currently the swimming trainers, as well as the headteacher are enormously happy with the area of the swimming pool, by the circulation that allows this and the activity that gives for the practice of swimming for students, you will have always as an assembly point of reference and decision.

It is for this reason that in the pool will not be in terms of steps perimeter diminished at any time, so it will not be required the appearance of the highest point on the gable end of the pool.

The current situation of the stairs of the entrance and exit of the vessel will be retained. All points that apparently represent a notable change from the existing are based on compliance with enforceable rules.

- The possibility of expansion of the pool shall be carried out by the shoring of the two central pillars remaining half of the current pool area, so that it is structurally possible will be implemented a change in the system of burden-sharing by the placement of trusses which will limit the height of the room, forcing the recess of the level of this room to 20cm below of the current floor.

This recess will ensure the minimum step under girders marked by regulations of 2,20m height.



Similarly, to give wider circulation in the surroundings of the pool areas and the highest point will proceed with the demolition of one of the stairs giving access to the floor from the ground floor of the building 32, it's going to be a single step toward this space that will be the existing stairs that go from the ground floor of the building number 30 to this sector, guarantying always all rules, explicitly for fire evacuation plan.

- As already mentioned above, and on several occasions, one of the points that determine the solution adopted is improving all the facilities, especially the climate and ventilation system, since they provide a care environment, less loaded and more suitable to the sports area.
- Any decision taken will be supported by a technical rationale and followed by the regulations, since the installation of a pool is highly restricted and marked by a followed legal guideline that must be complied within this refurbishment.

1.3.4. Economic viability

This point is based solely on the economic capacity and the sacrifice that is willing to do the property developer, because the refurbishment does not entail an increase among students, not an income. Unable to perform an apparent balance between the investment involved in the performance and the recovery of this long-term. This works only help, and the property developer is aware of this, to retain the number of students that exists today. It is true that after the refurbishment of different locations of the school, this work could contribute to this, the pool is ready for a higher number of applications that will have, so it could interest the owner and with respect to the use of the swimming pool to increase the number of pre-school classes. As a conclusion it is a personal aspect of the property developer. As any finished project once you make numerous changes of parameters they can be made as finished, selected specific brands of elements, etc., which it would, in principle to the decrease of the budget but not in high figures.



1.4. Executive project

1.4.1. Descriptive report

As already explained in point 1.3.3. the aim is to win the maximum number of useful square meters in the basement level, is for this reason that after the study of the pool becomes operational, the best solution is to adopt for this purpose the establishment of the following spaces with the corresponding square meterage:

| Location | Used square meter (m ²) |
|--|-------------------------------------|
| Swimming pool (bottom and highest point) | 122,08 |
| Hallway footwear feet | 19.33 |
| Corridor 1 | 12.20 |
| Adapted changing room | 4.39 |
| Corridor 2 | 3.03 |
| Changing room 1 | 34,08 |
| Plant room | 14.98 |
| Lobby 1 | 4.92 |
| Changing room 2 | 35,58 |
| Staircase 1 | 5.25 |
| TOTAL | 256,24 |

Table 1.1 Area of the swimming pool floor

Below are described the various locations, which are the characteristics of each element:

- **Swimming pool area:**

The pool area is bounded by a handrail giving clearance to the footwear foot corridor and the other corridors towards the different changing rooms.

This area is composed of three highest point in the pool and the vessel of the pool.

The pool, as already mentioned, will be overflowing type, which is characterized by the sheet of water in the pool at the height of the pavement of the highest point, the pool is filled up to the top level. The functioning system is that whenever a person gets into the pool, the volume of your body, as it is logical, move the same volume of water out of the



pool. This system used allows a constant cleaning of the upper part of the sheet of water that is constantly renewing. Since the drivers are located on the vessel of the pool, ensures a constant water movement preventing particles deposited there and not be remained in the surface.

The entire perimeter of the pool, with the exception of the area that has no highest point, is equipped with a grid with its corresponding infinity channel by which circulate water that overflows by using the pool and the pool function.

On the other hand there is added a deposit of compensation which will receive all the water that falls in the overflowing perimeter channel, as a collector tank which allows you to collect the water momentarily allowing the flow coming to the filtration plant, the flow is constant and does not have peaks or if it's saturated in the moments of more use of the pool.

The dimensions of the pool water will be of 12,50m x 6,00m, i.e. an area of 75m² that has an average height of 0,875 m, which corresponds to have aside of height 1,00 m deep and the opposite of 0,75 m. So being a volume of water of 65, 62m³.

These dimensions are within the established by NIDE 3. P-Ch and P-Ens which specifies that it must have a sheet of water between 50 - 250m². And the heights are in the range $0,70\text{m} \leq h \leq 1,00 \text{ m}$ having a minimum slope of 2%.

As for the highest point of the pool will form part all of the areas of barefoot which is always separated from the footwear foot providing cleaning of these dividers.

A total of six vandal-proof spray on the wall from the west highest point at the height of 2,20m will be installed to allow the students have a shower before the first swim in the pool, thus complying with the regulations about health.

The slope of the highest point will always be 2% with the inclination towards the collecting channel of water that will exist in the outer perimeter of the highest point.

The pavement of the soils of the highest point as well as the inside of the vase, guarantee a with coefficient of slip-resistance class C and class 3 and a coefficient of friction $>0,42$. The kerb of the pool tiles on the crowning of the wall have a notch that provides a grip for the children around the perimeter.

The corners from the pool and the highest point, they always end up with a piece of half-round for the improvement of cleaning of the area preventing that points of accumulation of dirt remain there.

The walls will be covered with the same ceramic piece to the bottom of the pool and the soil of the highest point, they will be covered with the aim to keep as vertical as possible, although that suppose losing few centimeters of depth.



The shield on the top of this wall of the enclosure will be conserved, allowing the entrance of natural light.

The height of this area will be 3,00m from floor to ceiling with the exception of the area under the staircase of the building which is 2,66m and areas under the trusses that will have a 2,20m height.

The roof will be covered with a projected 10 cm thickness of a product of cellulose acoustics combined with adhesives, which provides sound qualities to the enclosure, appropriate to the activity without problems of reverberation. (See data sheet corresponding to the k-13 material).

A series of luminaires that will guarantee an Emed horizontal illuminance of 300lux with a uniformity of 0.5 will be installed. These devices are placed on the roof of the highest point – hallway footwear feet, which will be led screens and also other will be built-in on the walls with round shape, east and west. On the other hand, there are placed spotlights on each side of the trusses allowing indirect lighting in the area of the vessel, preventing that there is scarcity of illumination, as happens at present. It is said that with a total of 5 rectangular led screens, 7 round led lighting and 6 spotlights, it is ensured and comply with the values specified above. In any case because it's forbidden by regulation they should be placed in the vertical water blade.

Four luminaries will be installed also in the south of the wall pool, allowing to give light to the water of the swimming pool and create a modern and well-taken care of this effect.

All the luminaires chosen have an IP65, with complete protection against contact and protection against ingress of dust, protected against jets of water from all directions.

To specify the compliance of the design of the vessel and the pool area, we proceed to specify what standards have been taken into account:

- Regulations on sports facilities and for recreation (NIDE) of the Ministry of education culture and sports, those relating to the NIDE 3, P-CH, P-ENS and splash pools, pools of education, neither of the two apply specific to our case, for children under 5 years pool, so it has been fulfilled both cases along with 6-CTE-SUA and SUA 9 always choosing the case most representative and logical for our situation.

The pool vessel has two stairs for access to the indoor swimming pool, placed in the same position as the existing, which is currently found that do not hinder the operation of the activity and ensure a good cycle of input and output of this.

These stairs be fulfilled as can be seen in the corresponding enclosed technical standards UNE-EN 13451 and UNE-EN 13451-2.



Since the pool is only of use for children under 5 years, such as NIDE and CTE specific regulations, it is not necessary to place any special device for disabled people access to the swimming pool. Now that you have a tour adapted to this, which is prepared by access to the Corridor 1 until the arrival to the west highest point which has a width of 2,10m being this superior to 1,20m required as minimum corridor step.

- **Hallway footwear foot:**

This corridor leads from the access to the basement level, the pool level to the respective changing room without allowing direct access to the pool thanks to the placement of the railing that separates the area of bare feet of the corridor.

Pavement placed in this area, which will be the same as the highest point, complies with the enforceable since it guarantees a coefficient of slip resistance of footwear foot of R10.

The corridor has a width of 1,20m step ensuring the proper step so that there are no interferences between this and the barefoot.

- **Corridor 1:**

There will be, as mentioned in the swimming area, a corridor which complies with the regulations of SUA 9, providing students with mobility problems access to the vessel. This corridor leads from the access to the floor pool to pool, giving way in the same way to tailored clothing, allowing the change of the student before arrival at the pool.

In terms of vertical access up to this corridor shall be carried out using the elevator in the building No. 34, which the school has adapted access, has a tour tailored to the lift and allows access to both levels, number 34 block basement as well as the block 32. Once the lift is landed in the basement floor there is an adapted corridor which will lead the student to the gateway of the pool level of our building, named Corridor 1. This door will be sliding door and the size will be 0,95 x 2,05 m.

For the fulfilment of the CTE SUA 9 the corridor has the following characteristics:

- To save the difference in height between the access to the pool floor and the pool through accessible ramp. That means that the slope of this ramp does not have a length exceeding 3m, then it will have a slope of 10% and a horizontal tilt toward the changing room for 2%.
- There will be a space of rotation of 1,50m free of obstacles in the way, i.e. at the beginning of the ramp as well as the intermediate entrance.



- The minimum step width is 1,20m.
- The gateway to this corridor has a width of 82cm. On both sides of the door there is a minimum diameter of 1,20m of the door sweep.
- Given the slope and the width of the ramp will be available in all the continuity ramp handrails, which will be equipped with two handles, one to 70cm and the other to 1,00m.

Their finishes, floor, walls and ceiling will be the same as in the pool area.

A series of lights that will give an illuminance Emed of 100lux with a uniformity of 0.4, which must be at a minimum as specified in CTE, lighting of walkways above will be installed. To give this light scope will be installed in this area on the roof a total of 8 led screens and two spotlights on roof.

All the luminaires chosen have an IP65, with complete protection against contact and protection against ingress of dust, protected against jets of water from all directions.

- **Adapted changing room**

This changing room is intended to be used for pupils with decreased mobility, as well as it will be also used as changing rooms for teachers.

The access to the footwear entrance shall be made, as already stated at the point of the pool area, by building number 30. After changing clothes, the way out will be through the door but this time towards the other direction, walking barefoot.

After these two points, it's specified that according to regulations there should be a changing room that can use teachers and have a minimum of a wash basin, a shower and a toilet. Since the use of changing room for students and teachers never held at the same time, the students will never be in their changing room without supervision by the teacher, can ensure that the use of a single changing room for these two recipients can not pose a problem for either of the two.

To comply with the regulation applicable to this space, the characteristics of this are below as follows:

- Such rooms as previously specified communicate with an accessible route.
- The access door is sliding door.
- A turn or 1, 50m of sight inside can join.



- The toilet is equipped with hinged on either side grab bars and a distance from this to the side wall of 0,80m.
- The basin has a lower clearance of 70cm in height and 50cm in depth and no pedestal
- The shower has an equal space for users of wheelchair, 0,80x1,20m. with a flip-up seat and support bars and backed 40x40cm. The distance of lateral transfer to the seat is more than 80cm.
- On the ground there is no unevenness on the shower, is flushed and the slope is 2% towards the canal collector's changing room, which is located on the wall of the shower.
- The faucet is a manual type mixer with long lever gerontological type.
- The mirror is placed at a height of 0, 90m.

Their finishes will be the same as in the pool area. The roof instead will be simply painted with washable smooth plastic paint.

To install a series of luminaires will be guaranteed an Emed illuminance of 150lux with a uniformity of 0.5, complying with the specified technical data sheet of the Consell Català de l'esport. To give this light scope will be installed in this zone on the roof a total of 2 rectangular screens led.

All the luminaires chosen have an IP65, with complete protection against contact and protection against ingress of dust, protected against jets of water from all directions.

- **Corridor 2**

This element has a width of 1,10m with a punctual narrowing of 0,80m during 0,50m, which is the thickness of the wall that crosses. This corridor doesn't belong to the adapted corridor, because a student with disabilities will not have the need to go through this.

For this reason, the gap between the changing room and the pool area will be saved with a total of four steps of the following characteristics:

- Footprint: 0. 28 m
- Riser: 0,145m
- Width of stairs: 0, 80 m
- Number of consecutive steps: 4
- Handrail: Continuous, stainless steel, with double handrail to different heights 0, 70 m and 1, 00m, fastened to the wall.



Their finishes like floor, walls and ceiling will be the same as in the pool area.

A series of lights will give an illuminance Emed of 100lux with a uniformity of 0.4, which must be at a minimum as specified in CTE, lighting of walkways above will be installed.

To reach this light is needed a total of 2 led screens for this area on the roof.

All the luminaires chosen have an IP65, with complete protection against contact and protection against ingress of dust, protected against jets of water from all directions.

- **Changing room 1**

This location with an area not less than 20m² and a height of 2,42 m, is assigned for the use of unisex students.

Footwear foot access will be down the corridor corresponding to the gateway to this room, that will be folding inward, the measurements will be 0,82 x 2,05 m. Once the students already have been changed for the activity they will make the way out by the opposite side of the enclosure, sliding door and measures 0,92 x 2,05 m, i.e. towards the corridor 1, being already in the area enabled for bare feet and giving way to the shower before the first bathroom.

To enable the exit to that point, a ramp will be built to reach the difference from level of 0,13m that will exist on the standing of the ramp where you will disembark.

The characteristics of the ramp shall comply with provisions of the CTE SUA 1:

- The length of the ramp is 1,29m in direction from the changing room.
- The slope will be 10%.
- Its minimum width must be 1,46m.
- You will have handrails on one side, this will have two floors one to 0,70 m and the other to 1,00 m.
- To protect the slope that is created on one side of the ramp is placed a rod of stainless steel at a height of 0,90m.

The floor of the changing room will have a slope of 2% descending towards the channels that will be installed at the perimeters of the floor with a lower height.

The design of the changing rooms 1 and 2 have dimensions for the total usage of 25 students, which by regulation will be the maximum number of places that can have a pre-school education. In this way for teachers, it might never be a premium in the swimming pool of 25 children occupying most classes that are taught a weekly hour per class.



Having this data as premise for these facilities of the space, always complying with the minimum required by NIDE regulations:

- Washbasins: 4 units (>2units min.), these elements will not have standing, will be placed on water resistant and will be suspended on the wall. The tap of these elements will be timed button.
- Toilets: 3ud. (>2units min.), these elements will be within cabins of 1,35 x 1, 00 m, with flip-up door inside dimensions 0, 72 x 2, 05 m and have download flush. Toilet roll holder will be available.
- Showers: 6 units (> 4units. min.), showers will be shared, without a shower tray, giving continuity to the slope of level of the changing room. Each shower will have an area of 0, 90 x 0, 90 m², leaving a corridor to cabins of 1,20 m (>1, 00 m min).

Shower sprayers, will be the same as those installed in the pool area, i.e. will be indestructible and will be placed at 2, 20m high and will be run by timed button 30s.
- Benches: These elements will not be fixed, anchored to the wall and Stemless. They will have a width of 0, 40 m and will be placed at 0, 45 m high. The total length of the bench in this enclosure will be 9, 10m.
- Hangers: Bands of hangers to a height of 1, 40m, which will provide a total of 40 double hangers.

Their finishes will be the same as in the pool area. As for the ceiling will be simply smooth and washable plastic white paint.

To install a series of luminaires that will guarantee an Emed illuminance of 150lux with a uniformity of 0.5, complying with specified in the technical data sheet of the Consell Català de l'esport. To give this light scope will be installed in this zone on the roof a total of 20 rectangular led screens.

As for the toilet enclosure will have a focus flush down toilet.

All the luminaires chosen have an IP65, with complete protection against contact and protection against ingress of dust, protected against jets of water from all directions.



- **Plant room**

This space has an area enough to house all the necessary machinery for the correct operation of the pool, as well as also to accommodate the necessary devices for air conditioning and ventilation of the pool space as well as also in the changing room.

In this room we will only try to renew the finishes, placing white 20x20cm porcelain tiles on the walls equal to the existing ones. The floor will be covered with a blue 40x40cm equal to the existing ceramic tile. You will take place through the current output of the ventilation duct wall and will run the new pipe outlet by the lateral septum and concealed within its possibilities.

In terms of the roof shall be washable smooth plastic white paint.

The gate will be changed, placing a RF swing door towards the inside of the machine room, so the opening won't interfere to the students passing through the corridor 2.

They will be installed in this zone on the roof a total of 4 rectangular led screens allowing a perfect visibility to run all kinds of maneuver and work without a problem at any point lighting.

All the luminaires chosen have an IP65, with complete protection against contact and protection against ingress of dust, protected against jets of water from all directions.



- **Lobby 1**

This area will give access to the changing room 2 from the footwear foot hallway, as well as the swimming pool separated both ways by the continuity of handrail already mentioned in paragraph of footwear foot hallway.

This space is not itself a lobby just because there is a ramp that shows the existing height of 9 cm between the pool area and the changing room 2. Down below are defined pursuant of CTE SUA characteristics:

- The length of the ramp is 2m upstream from the pool to the changing area.
- The slop will be 4.5%.
- The minimum width must be 2, 10m.

It points out that this ramp will not be part of the adapted pool because there is no reason that compels pass by anyone with reduced mobility.

Their finishes of the floor, walls and ceiling will be the same as in the pool area.

A series of lights will give an illuminance Emed of 100lux with a uniformity of 0.4, they must be at a minimum as specified in CTE, lighting of walkways above will be installed. To reach the right light will be installed 3 spot lights in this area on the roof.

All the luminaires chosen have an IP65, with complete protection against contact and protection against ingress of dust, protected against jets of water from all directions.

- **Changing room 2**

This room with an area of not less than 20m² and a height of 2. 82 m, is intended for the use of students of one sex indiscriminately.

Footwear foot access will take place through the corridor corresponding to lobby 1, the entrance to this room is 0,82m width and 2, 05 m height. Once the students already have been changed for the activity will make the way out through the same door, this time by contacting the other party regarding existing guardrail coming to the pool area and through the south highest point area of bare feet, will reach the area of showers for use before the first bath.

As already specified in the section of the changing room 1, the total capacity of both zones will be for 25 pupils.

Having this data as premise, it has been equipped with the following facilities for the space, always complying with the minimum required by NIDE regulations:



- Washbasins: 4 units (min. >2units.), these elements will not have standing, will be placed on water resistant and will be suspended on the wall. The tap of these elements will be timed button.
- Toilets: 3units. (>2units min.), these elements will be within cabins of 1,35 x 1,00 m, with flap door towards the inside, measures 72 x 2,0,05 m and have download flush. Toilet roll holder will be available.
- Showers: 5units (> 4units. min.), showers will be shared, without a shower tray, giving continuity to the slope of the ground of the changing room. Each shower will have an area of 0,90 x 0,90 m², leaving a corridor to cabins 1,20 m (>1,00m min).
Shower sprayers, will be the same as those installed in the pool area, i.e. will be indestructible and will be placed at 2,20m high and will be run by timed button 30s.
- Benches: These elements will not be fixed, anchored to the wall and Stemless. They will have a width of 0,40 m and will be placed at 0,45 m high. The total length of the bench in this enclosure will be 8,67m.
- Hangers: Bands of hangers to a height of 1,40m, which will provide a total of 40 double hangers.

The floor of the changing room will have a slope of 2% descending towards the channels that will be installed at the perimeters of the floor with a lower height.

Their finishes for the floor and walls will be the same as in the pool area. As for the ceiling will be simply smooth and washable plastic white paint.

To install a series of luminaires that will guarantee an Emed illuminance of 150lux with a uniformity of 0.5, complying with specified in the technical data sheet of the Consell Català de l'esport. To give this light scope will be installed in this zone on the roof a total of 17 rectangular led screens.

As for the toilet enclosure will have a focus flush down toilet.

All the luminaires chosen have an IP65, with complete protection against contact and protection against ingress of dust, protected against jets of water from all directions.



- **Escaleras 1**

A las escaleras existentes que dan acceso a la planta piscina desde el edificio 34, se añadirá un último escalón para que de esta manera se llegue al nuevo nivel de la planta piscina reformada. Tras la reforma le caracterizarán los siguientes puntos que van de la mano del cumplimiento con la normativa aplicable, SUA:

- Altura a salvar en el único tramo 2,22m
- Huella: 0,28m
- Contrahuella: 0,171m
- Ancho escaleras: 1,20m
- Número de peldaños seguidos:13
- Pasamanos: Continuo, de acero inoxidable, con doble barandilla a distintas alturas 0,70m y 1,00m, sujeta a la pared.

El desembarque de esta escalera se realizará a un rellano de 1,20x 1,00m con una pendiente en sentido descendiente hacia la zona de piscina, de un 3%.

Se dispondrá en la parte inferior de la escalera de una puerta corredera automática, a modo de separación y para ayudar a la conservación de la temperatura, humedad y evitar que los olores y demás gases se mezclen con el resto del colegio.

Esta puerta será de cristal y dispondrá de una banda de color a una altura de 1,00m y otra a 1,60m contado desde el suelo, cumpliendo así lo especificado en el CTE SUA 2.

El funcionamiento de esta se realizará mediante un solo carril superior por el que se deslizará una única hoja de 1,20x2,10m.

El pavimento de los escalones será el mismo de la zona de piscina. Las paredes y el techo serán pintadas con pintura plástica lisa lavable de color blanco

En cuanto a las luminarias no se efectuarán cambios ya que permitirán una iluminación suficiente a esta zona.



1.4.2. Memoria constructiva

Una vez se ha descrito el estado reformado que se ha diseñado en este proyecto, a continuación, se procede a la explicación técnica de cómo conseguir el resultado anterior. Es decir que se va a explicar punto por punto las actuaciones que se deben realizar. A continuación, se muestra un listado de los puntos que se van a tratar en esta memoria:

- **Demoliciones zona piscina:**

- Vaso piscina
- Forjados playas
- Excavación de tierras zona piscina
- Apeo de pilares centrales
- 0 Aperturas huecas en paredes para colocación pilares apeo
- 0 Escalera de acceso a la planta piscina desde el edificio 32
- 0 Rellano superior de la escalera de acceso al colegio por el edificio 32
- 0 Rellano inferior de escaleras 1
- 0 Demolición o sellado de instalaciones correspondientes a dicha zona
- 0 Extracción de mampara de pasillo de duchas
- 0 Picado de embaldosado de paredes y limpieza de los muros.
- 0 Extracción y limpieza de los elementos collados a las paredes.

- **Demoliciones vestuarios zona oeste:**

- 0 Puertas de acceso desde el edificio 34
- 0 Tabiquería de distribución y puertas
- 0 Escaleras del pasillo 1
- 0 Escaleras del pasillo 2
- 0 Demolición o sellado de instalaciones correspondientes a dicha zona
- 0 Picado de embaldosado de paredes, vidrios y limpieza de los muros
- 0 Extracción y limpieza de carpinterías y elementos collados a las paredes

- **Demoliciones vestuario zona sur**

- 0 Puertas de acceso desde el vestíbulo 1
- 0 Picado de rampa
- 0 Tabiquería de distribución y puertas
- 0 Demolición o sellado de instalaciones correspondientes a dicha zona
- 0 Picado de embaldosado de paredes, vidrios y limpieza de los muros



- 0 Extracción y limpieza de carpinterías y elementos collados a las paredes
- **Demoliciones sala de máquinas:**
 - 0 Puerta de acceso
 - 0 Tabiquería de distribución
 - 0 Demolición y sellado de las instalaciones que no van a ser usadas
 - 0 Picado del embaldosado de paredes y suelo; limpieza de las paredes.
 - 0 Hueco de paso por pared lateral de conducto de climatización.
- **Ejecución de la piscina y trabajos a realizar en esta zona**
 - 0 **Estructura:**
 - o Ignifugación de la estructura de hierro colocada
 - o Formación del vaso de la piscina y del depósito de compensación
 - o Cámara técnica
 - o Forjados suelo piscina
 - o Forjados chapa colaborante, escaleras demolidas, rellano inferior escalera 1 y playa este.
 - 0 **Sistema s9:**
 - o Colocación de los bloques S9
 - o Formación playas
 - o Ejecución canal perimetral
 - o Tratamientos a aplicar al vaso, depósito de compensación y playas
 - 0 **Tabicados y macizados:**
 - o Regularización de verticalidad de las paredes de la zona
 - o Nivelación zona techo forjado colaborante
 - o Macizado de huecos existentes por la existencia de ventanas
 - o Macizado del hueco existente en muro para paso de conducto de clima
- **Ejecución de rampas y escaleras**
 - 0 Ejecución de escalón en escalera 1
 - 0 Ejecución de escaleras en pasillo 2
 - 0 Ejecución rampas pasillo 1
 - 0 Ejecución rampa vestuario 1
 - 0 Ejecución rampa vestíbulo 1



- **Distribución de espacios**
 - 0 Distribución de vestuario adaptado
 - 0 Distribución vestuario 1
 - 0 Distribución vestuario 2

- **Ejecución de acabados**
 - 0 Embaldosados
 - o Vaso piscina
 - o Depósito compensación
 - o Playas, suelos y paredes de zona piscina, pasillos, vestíbulo y vestuarios
 - o Paredes y suelo de sala de máquinas
 - 0 Projectado en techo de celulosa
 - 0 Pintado de paredes y techos con pintura plástica lavable

- **Instalaciones**
 - 0 Piscina
 - 0 Solar
 - 0 Saneamiento
 - 0 Evacuación
 - 0 Iluminación
 - 0 Eléctrica
 - 0 Ventilación y clima

A continuación, se pasa a detallar de manera más extensa cada uno de los puntos mencionados:

Primeramente y será siempre un punto decisivo para el proceder de la obra se efectuará la realización de catas para saber las características de las cimentaciones de los distintos elementos que pueden verse afectados en esta fase, es decir, los muros pantalla, el muro de contención y las zapatas de los pilares centrales.

Dado que el rebaje del nivel a ejecutar en dicha planta no supone superar el nivel inferior de la piscina existente y según informa el director de la escuela, el cual es arquitecto y estuvo presente en la construcción del edificio, no será este un problema dado que la profundidad de estos cimientos es mucho más elevada. Con lo cual se supondrá en todo momento que la



cimentación no se verá afectada por dicha intervención, de todas formas y como ya se ha mencionado quedará siempre sujeto al resultado de dichas catas.

En el peor de los casos, si tras los resultados de las catas, esta actuación supusiera el descalce de alguna de las cimentaciones nombradas, este punto no supondrá la imposibilidad de la ejecución del proyecto ya que habría distintas maneras de solucionarlo como por ejemplo efectuando el recalce de la zona o buscando una ejecución de la obra alternativa.

Una vez aclarado este punto se procederá a la explicación del proceder de la obra.

- **Demoliciones y excavación:**

La demolición del rellano de las escaleras de acceso al edificio 32, para la entrada en la obra de la maquinaria necesaria será el punto de partida de la obra, dado que sin este paso resultará imposible el comienzo de esta. Esta intervención se realizará mediante la retroexcavadora con martillo rompedor que posteriormente se entrará por este hueco hasta la planta piscina. Es por este motivo que debe escogerse una de un tamaño que pueda entrarse por 4,23 x 1,84m de superficie de hueco.

Tras la retirada de los elementos existentes en la zona de actuación que deben conservarse, es decir, la manta térmica de la piscina y la BIE, se procederá a realizar una primera demolición derrumbando la mampara del pasillo de duchas de la zona piscina, la tabiquería de los vestuarios, extracción de sanitarios y puertas y carpinterías de vidrios, espejos y los demás elementos que constituyen el total de la zona piscina y los vestuarios de esta planta, pudiendo realizar de manera más cómoda la retirada de los escombros sin tener desniveles en el terreno. A la vez se procederá al desmontaje de las instalaciones existentes siempre que no afecten al funcionamiento del resto del edificio, en cuyo caso deberá realizarse una instalación correspondiente provisional de obra.

Finalmente deberá realizarse el picado del conjunto de los distintos revestimientos tanto de la zona de la piscina como las paredes de los vestuarios que no van a ser derrumbadas, de las zonas de paso y de la sala de máquinas, que van a ser posteriormente revestidas de nuevo. En este punto se tendrá en cuenta también el picado del pavimento de los vestuarios, la sala de máquinas y la zona del acceso en planta baja al edificio 32 que no va a ser demolida.

Para el preparado del terreno de la nueva piscina se efectuará la demolición del vaso de la piscina y la cámara técnica, junto con el forjado de las playas de esta zona, zona de la rampa del pasillo 1, rellano inferior de la escalera 1, el picado de escalones hacia el vestuario1, el picado para la formación de rampa del vestíbulo 1 y la apertura



de huecos en tabiques de la sala de máquinas. Dicha demolición se ejecutará mediante medios manuales y el uso de una pequeña retroexcavadora con martillo rompedor.

Tras la demolición de la escalera de acceso a esta planta por el edificio 32, esta actuación se hará con un martillo neumático.

Posteriormente podrá procederse a la ejecución del cerrado del hueco resultante, donde se hará un forjado de chapa colaborante de 11+5. Se tendrá en cuenta en este paso que el nivel del suelo acabado en planta baja debe ser el necesario para que tras el embaldosado de la zona, todo el pavimento quede a la misma altura y no existan desniveles entre el pavimento existente y el nuevo. (ver características del forjado colaborante en plano E.2.).

Una vez pasado el tiempo necesario de secado, se procederá a su pavimentado, mediante la colocación de la misma baldosa que el resto del pavimento existente y teniendo en cuenta siempre respetar el nivel del resto de suelo.

Por el hueco realizado en el acceso del edificio 32, se efectuará también la retirada de la totalidad de escombros generados así como las tierras extraídas, mediante una cinta elevadora transportadora o una polea adecuada.

A medida que se vayan demoliendo los elementos de esta zona, se irá efectuando la excavación mediante una retroexcavadora, hasta llegar al vaciado del terreno rebajándolo a una cota de $-1,70\text{m}$ respecto al suelo acabado del forjado existente en esta zona, es decir, dejando una altura libre hasta el techo de esta planta de $4,25\text{m}$.

- **Apeo pilares**

Primeramente, en relación a este punto se deberá en primer lugar y antes de efectuar ninguna actuación al respecto, la toma de catas. De manera que se pueda obtener de estas el total de sus características, profundidad de penetración en terreno, el estado en el que se encuentra y demás características, de manera que mediante los cálculos que se han efectuado se asegure el soporte de redistribución de cargas hacia estos elementos, así como también la excavación a efectuar sin dejar el muro descalzado en alguno de sus puntos.

Se ha considerado, dadas las características externas que se pueden concluir de estos elementos, que se podrá ejecutar el apeo de la manera que se ha proyectado. Los fundamentos principales que lo sustentan es la disminución de cargas recibidas por dichos elementos respecto al momento de ejecución del edificio, ya no debe soportar cargas de empuje por terreno ya que posteriormente se han construido en ambos lados



edificios con una serie de plantas sótano por debajo de la nuestra. El segundo punto que acabará por decantarnos hacia la solución adoptada, es la profundidad supuesta de los muros, los cuales solamente pasarán a sobresalir respecto al forjado actual 0,20m, es decir que, sabiendo que la cimentación de los pilares se encuentra por debajo de la cota más baja de la piscina, se concluye que estos deben tener una profundidad que no supondrá un problema respecto a nuestra intervención.

Una vez se ha justificado las bases de cálculo se procede a la especificación de ejecución para la demolición de ambos pilares.

Tal como se adjuntan en el anexo de cálculo y como queda reflejado en los planos de apeo de pilares (ver plano E.4.1), para la redistribución de cargas del apeo se procederá a la colocación de cuatro cerchas por pilar, dos a cada lado con un canto total de 0,80m, recogerán dicha carga liberando a la sala de espacio, permitiendo la ampliación de la piscina.

Para un correcto proceder, primeramente, se realizará el picado de las paredes para la colocación de los enanos a cada lado de los pilares en ambas paredes. Para la ejecución de estos se procederá a la colocación de los mismos perfiles que se usarán para la construcción de las cerchas, es decir, HEB 200 x2 en cada lado de los pilares.

Una vez listos se realizará la colocación de las chapas de unión de estos a la cimentación mediante su anclaje con tacos Hilti. Los enanos serán colocados y soldados a la chapa correspondiente.

Dado que la estructura de la cercha vendrá montada de taller por partes, para su correcto transporte y facilitar la entrada en la obra y su manipulación.

Se realizará la unión del primer tramo de cercha con el enano mediante la soldadura entre ambos elementos. (Ver plano E.4.3)

Una vez realizado este primer paso, se procederá a la unión de partes distintas de las cerchas para que finalmente trabajen como un solo elemento. Para que este sea así la unión mediante soldadura entre ellas debe ser ejecutada de manera correcta y revisada en todo momento.

En cuanto al encuentro de la cercha con el pilar, será otro de los puntos que determinará la buena ejecución del apeo. Se debe conectar la cercha con el pilar para que la carga que soporta el pilar sea 100% transmitida a la estructura de apeo.



Para esto se empleará el uso de dos perfiles UPN 300, los cuales se anclados sobre pletina mediante el uso de tacos, a la parte superior del pilar realizando así un trabajo de repartición de carga hacia ambos elementos.

Una vez realizada toda la estructura será el momento del corte de ambos pilares.

Este punto se hará una vez se haya apuntado tanto la zona tanto de esta planta como de las superiores, este proceder permitirá la entrada encarga de la estructura de manera gradual y especialmente permitirá que el asentamiento del conjunto estructural afectado del edificio no sea tan violento y evitar así repercusiones en esta.

Se puntualiza que el corte de estos debe realizarse al mismo tiempo en ambos casos para que la carga se reparta en ambas estructuras por igual y trabajen de la misma manera.

Pasado el tiempo necesario se procederá a su retirada quedando así la zona piscina libre de elementos estructurales verticales en toda su amplitud.

- **Preparación del terreno y cimentación de la piscina:**

Una vez se dispone del terreno a un solo nivel y sin ningún elemento que deba ser eliminado en la zona piscina, se procederá a su compactación y adecuación para la posterior implantación del nuevo vaso y demás elementos.

Tras este paso se realizará el replanteo del vaso de la piscina, el depósito de compensación y la cámara técnica bajo forjado de las playas de la piscina, el cual debe hacerse en base al plano adjunto (E.1 y E.3.1) donde se indica que las dimensiones finales del vaso de piscina deben ser de 12,50 x 6,00 con una profundidad media de 0,876, con un desnivel del fondo 2% teniendo una altura el lado más alto de 1,00m y el lado corto de 0,75m. EL depósito dispondrá de una altura regular de 0,80m bajo forjado y una superficie de vaso de 1,74x6,14m.

En cuanto al registro técnico se formará en base a la pendiente del vaso de la piscina conservando el mismo nivel de suelo, teniendo así una altura variable de media 0,60m.

Se colocarán primeramente los tubos correspondientes a los desagües e impulsores de la instalación de la piscina. Una vez instalados se hará el rellenado de toda la zona con gravas aportando un espesor total de 15cm y empezando a crear la pendiente que va a tener el suelo del vaso de la piscina, es decir del 2%, creando un desnivel final de 25cm.

Luego pasaremos a la realización de una primera capa de hormigón de limpieza de 10cm para que después se elabore de manera conjunta la losa, de hormigón impermeable



armado de canto de 30cm, del suelo del vaso de la piscina y la del depósito de compensación dejando en todo su perímetro y particiones las esperas para los muros laterales de los vasos donde también se deberá disponer de una junta hidroexpansiva, la cual en caso de que el agua llegue a penetrar por alguna fisura hasta este punto el material mencionado, tras el contacto con el agua filtrada se expandirá tapando la fisura, es decir el paso del agua. Dicha junta se colocará en todas las uniones entre losa-muro y muro-tacón (Ver características de la losa de piscina y vaso de compensación en plano adjunto E.1.)

Una vez tenemos la losa, se procederá a la ejecución de los muros laterales de ambos vasos. En el caso del vaso de la piscina se dejará las esperas para poder hacer después el tacón exigido para instalación del sistema desbordante que tendrá la piscina. Se tendrá en cuenta de pasar los tubos de los rebosaderos del canal desbordante para conservar el paso de las tuberías y sumideros. (Ver características de los muros piscina en plano adjunto E.1.)

Al mismo tiempo, podremos efectuar la losa de hormigón armado para registro técnico que se formará bajo el forjado de esta planta, permitiendo así la inspección y mantenimiento del vaso de la piscina y sus instalaciones. (Ver características de la losa de registro en plano adjunto E.1.)

Con la losa de la cámara técnica lista, se realizará un murete lateral, en todo el perímetro que está contiguo al muro pantalla, una hilada de ladrillo perforado de 24x12x9cm hasta una altura media de 60cm siguiendo siempre un nivel horizontal en la parte superior del murete. Este murete será el soporte de apoyo del forjado a ejecutar para la formación de la playa sur, así como también en pasillo de pies calzados siendo este un único forjado unidireccional.

De la misma manera en la zona perimetral contraria, contigua a los vasos se ejecutarán una serie de pilares de doble hilada del mismo ladrillo perforado, la sección de este será de 24x24cm y se colocarán con una distancia entre ejes de 3,00m. Estos pilares darán apoyo a la otra mitad del forjado de losa mixta con chapa colaborante de la playa sur a la vez que soportarán las cargas correspondientes al talón a ejecutar para la terminación del sistema de coronación de la piscina (ver características de murete y pilares en plano adjunto E.3.)

Una vez se ha ejecutado el forjado de todas las distintas áreas de esta zona, se podrá efectuar el talón de hormigón armado de la coronación de la piscina, permitiendo así avanzar en las distintas fases del montaje del sistema de esta. (Ver plano adjunto E.1.).



De la misma manera una vez ejecutado el talón de la piscina se podrá realizar el forjado de chapa colaborante de 11+5, de la playa sur, el cual como ya se ha indicado anteriormente irá apoyado al murete de ladrillo perforado enrasado al muro pantalla por un lado y por el otro mediante un perfil continuo en L de 15x15cm descargará sobre los pilares la mitad del forjado. Este forjado tendrá una anchura total de 1,98m y una longitud de 15,77m. (Ver características forjado de chapa colaborante en el plano adjunto E.3.1.)

Se especifica que este debe ir separado del talón de coronación de la piscina mediante una junta de dilatación de 1cm, dado que los dos elementos disponen de coeficientes de dilatación distintos, su falta supondría grietas en ambos elementos. Esta junta se creará disponiendo entre las dos estructuras un material tipo poliestireno expandido (porexpan) que absorba los cambios de dimensiones por dilatación de dichos componentes. Se colocará encima del material de separación de espacios, para realizar la junta exterior con el pavimento que se colocará, un cordón de espuma de polietileno y como sellado final una masilla elástica, como acabado de la junta.

De la misma manera se hará con el forjado de la zona del depósito de compensación, el cual seguirá siendo un forjado de chapa colaborante de 11+5, pero esta vez irá apoyado en los muros del mismo depósito de compensación por el lado colindante al muro de contención existente y por el otro apoyará sobre un perfil en L de 15x15 que apoyará en los dos muros laterales del mismo depósito y se ejecutará un punto de apoyo intermedio, un pilar de idénticas características que los de la playa sur.

Una vez ejecutado el talón o antes de este se realizará una primera prueba de estanqueidad tanto del vaso de la piscina como del depósito de compensación.

- **Instalaciones:**

Las distintas instalaciones se irán ejecutando a medida que la obra lo permita y cuando sean de más fácil ejecución. Para tener detalle de cada una de ellas ver anexo correspondiente de este documento.

- **Sistema desbordante piscina y preparación de su superficie:**

Una vez hemos asegurado que este está bien ejecutado y en caso de fisuras se hayan reparado, se podrá ir colocando los bloques de hormigón prefabricados encima del muro de la piscina. Dichos bloques constituirán la formación del sistema desbordante según la casa seleccionada para este proyecto, Rosa Gres, los cuales garantizan una puesta en obra más rápida y precisa. Tras su colocación en serie se habrá formado de manera conjunta la coronación del muro y el canal desbordante de la piscina.



Lógicamente nos encontraremos con las tuberías de los sumideros del canalón, por este motivo estas piezas están preparadas para que se pueda ejecutar mediante su corte el paso de dicha instalación.

Para un mejor resultado se usarán dos tipos de piezas distintos del mismo sistema, uno para la ejecución de las esquinas y el otro que formará el resto de perímetro de la piscina.

Para su correcta ejecución se empezará colocando las piezas de las esquinas con un nivel, se colocarán cordeles entre ellas marcando la horizontal donde deben ir amorteradas.

Se tendrá en cuenta que esta pieza debe sobre salir respecto a la vertical del muro de la piscina 2,4cm. Estos bloques se amorterarán al muro de la piscina, así como también entre ellas, mediante el uso de un mortero aditivado con un látex.

Tras el completo colocado de estos elementos se realizará el talón mencionado anteriormente para el cual como ya hemos dicho se ha dejado las esperas y colocado una junta hidroexpansiva. Este talón usará el propio bloque colocado como una de las caras de encofrado.

Para una regularidad del vaso de la piscina se aplicará un recredido de mortero con un mortero de calidad constante y de secado rápido. Anteriormente a este paso se habrá realizado la limpieza completa del vaso eliminando de este el polvo y residuos que puede haber. Para asegurar el agarre del mortero al vaso se aplicará a priori una lechada de agarre formada por un látex y cemento portland, este se aplicará mediante brocha.

Dado que el hormigón sufre movimientos estructurales de presión, compresión y retracción durante toda su vida, se realizará un sellado de estanqueidad mediante la impermeabilización de las paredes, el suelo y el canal desbordante con una membrana cementosa elástica.

Una vez se ha secado el material aplicado se procederá a la colocación sobre el vaso de las piezas cerámicas escogidas, de la serie Serena color bianco Miami, de 31x62,6cm, tal y como recomienda el proveedor de estas, Rosa Gres, se efectuará con un cemento cola flexible apto para pegar sobre impermeabilizaciones. Este embaldosado se realizará utilizando una llana dentada de 10mm de diente, con la técnica de doble encolado y una junta de 1,5mm, a junta corrida 2/3. En los encuentros entre el paramento vertical y horizontal del vaso se colocará la pieza de la misma serie, especial para la terminación en media caña de medidas 31x4cm. (Ver despiece en planos R.1.1.).



Antes del pegado definitivo de dichas piezas, se procederá a la marcación de estas, es decir su replanteo. Se deberá tener en cuenta la instalación de impulsores, sumideros, toma de limpieza, así como también las cuatro luminarias para el recorte y cuadro de piezas a colocar.

En el caso del depósito de compensación se realizará el embaldosado con piezas distintas. Sus medidas son 33,3x50cm de la casa Domino industrias cerámicas, línea Branco color blanco.

Finalmente, para mejorar la estanqueidad de los vasos se ejecutará el rejuntado de las piezas con un mortero coloreado de clase CG2. Este mortero es resistente a los ácidos débiles.

- **Forjados y formación de playas:**

La ejecución de los forjados playa se podrá hacer en el momento que el talón del vaso de la piscina y el depósito estén acabados.

Dado que se trata de un forjado realizado con base de chapa galvanizada, se concretará en fábrica que tanto estos elementos como los perfiles perimetrales que los sostienen, se recibirán en obra ya tratados contra su corrosión y garantizando su buen funcionamiento en el ambiente a disponer.

Estos elementos irán pintados con pintura intumescente con un espesor tal que garantice una protección contra el fuego mínima EI120.

Se tendrá en cuenta en el momento de su ejecución de dejar los pasos para la posterior colocación de tapa de registro de 0,71x0,71m, uno para acceder al depósito de compensación y otro para el acceso a la cámara técnica. (ver plano de despiece R.1.1.)

Se colocará encima de la playa sur, la instalación de la barandilla de acero inoxidable que separará la zona de pies calzados y pies descalzos, así como las dos escaleras de la piscina, especiales para sistemas desbordantes, cuyos brazos descansan directamente en la playa de la piscina, sobrepasando el canal de esta.

Una vez se han colocada la lámina de impermeabilización asfáltica sobre el forjado ejecutado, se procederá a la formación de la pendiente de las playas con mortero cemento tipo M-10, la cual irá en todo caso dirigida hacia la canaleta perimetral de cada zona, efectuando un desplazamiento del agua que llega a las playas hacia este y de esta manera mantener la zona lo más seca posible, así como también evitando siempre la formación de charcos. Esta lechada niveladora deberá realizarse con el canal perimetral



emplazado según despiece y se asegurará en todo momento que los laterales de esta queden cubiertos.

En las playas también se realizará, para asegurar la impermeabilización respecto a la estructura, una impermeabilización a base de una capa de cemento elástico al igual que se ha efectuado en el vaso de la piscina.

- **Ejecución de, rozas, zanjas y calos en forjados:**

Para el paso y ejecución de las distintas instalaciones, se deberá ejecutar según la necesidad de cada instalación el hueco para el paso de cada elemento según están proyectados (ver planos instalaciones).

Tras la ejecución de todas las instalaciones, piscina, saneamiento, fontanería, iluminación, electricidad, energía solar, ventilación y clima se procederá al rellenado de los huecos mencionados dejando todo el forjado al mismo nivel.

- **Formación de tabiques en vestuarios:**

Para la realización de la distribución de los distintos espacios (ver plano distribución A.4.1.) dentro de los vestuarios se colocarán placas de pladur hidrófugo por ambos lados, dado que nos encontraremos en todo caso dentro de un ambiente muy húmedo. Se efectuará también el refuerzo en las zonas donde irán ancladas las barras de sujeción de minusválidos que queden en tabique de pladur, el refuerzo necesario de la zona mediante tubos de hierro y placas de anclaje a estructura.

- **Formación rampas:**

En cuanto a las rampas del vestuario 1 y la del vestíbulo 1, por su escasez de desnivel, se ejecutará la pendiente necesaria el repicado del forjado y posteriormente su regularización mediante mortero y terminado fratasado superficial, se nivelará convenientemente según indicaciones en el punto 1.4.1 de este documento.

A diferencia de estas dos, la rampa del pasillo 1 se ejecutará sobre el forjado de chapa colaborante ya que debido al desnivel que hay que crear, implica la demolición de parte del forjado existente. Es por este motivo que se realizará mediante fábrica de medio pie separados entre sí 60cm. Después se colocará tablero rasillón sobre fábricas anteriores y finalmente se formará una capa de compresión de hormigón H-200 de 6 cm de espesor, armada con mallazo 150x150x6 m y terminado fratasado superficial nivelado según especificaciones de la rampa descrita en el punto 1.4.1 de este documento.



- **Formación peldaños:**

Dadas las magnitudes y condiciones de los peldaños a ejecutar tanto en la escalera 1 como en la escalera hacia el vestuario 1, se realizarán en ambos casos según especificaciones del apartado 1.4.1 de esta memoria, en fábrica de ladrillo perforado y sentado sobre mortero de cemento. Se deberá dejar a una altura previendo la altura a deducir del pavimento a colocar posteriormente.

- **Formación de pendientes vestuarios:**

De la misma manera que ya se ha explicado en uno de los anteriores puntos, formación de playas, se realizará una pendiente, mediante mortero tipo M-10, del 2% de todo el forjado de cada uno de los vestuarios proyectados, siempre en sentido decreciente hacia las canaletas de rebosadero perimetrales (ver plano despiece R.1.1.). Se puntualiza que se debe realizar esta actuación con las canaletas perimetrales colocadas y asegurando que quedan todos los huecos de estos rellenos.

- **Acabados:**

El solado de las playas, así como también el de los vestuarios y zonas de paso, se realizará mediante las piezas de la serie Serena Bianco Miami de 31x62.6, y para su sujeción se usará un cemento cola especial para soportes impermeabilizados, a junta corrida 2/3 y de 1,5mm de separación.

En el perímetro con las paredes laterales de la zona piscina y los vestuarios se colocará las piezas especiales de la misma serie, de 31x4cm para la formación de media caña tal y como exige la normativa correspondiente, esta permitirá una fácil limpieza de la zona.

En la unión del pavimento con la canaleta perimetral se dispondrá una junta de dilatación para la absorción por reacciones distintas ante los cambios de temperatura.

En cuanto al revestimiento de las paredes una vez se haya llevado a cabo la limpieza de estos paramentos y hayan sido preparadas las superficies dejándolas a plomo verticalmente, se procederá a alicatado mediante la misma pieza cerámica de la serie serena de Rosa gres.

Tanto en los paramentos verticales como en los horizontales, se acabará con el relleno de juntas mediante el mortero coloreado usado en el vaso de la piscina, de manera que aportaremos en todas estas superficies un plus de impermeabilización de los distintos paramentos.

Se tendrá en cuenta que en las paredes este y oeste de la zona se deben prever la colocación de las luminarias redondas. (Ver plano luminarias I.6.), éstas irán instaladas



por encima de los 2,20m permitiendo así la instalación de los rociadores antivandálicos del pasillo de duchas que estará también en la playa oeste. Lógicamente se deberá tener en cuenta los pulsadores de accionamiento de las mismas.

En las zonas de encuentro con las cerchas de apeo, se hará el recorte de las piezas cerámicas justas para que el hueco entre ambos elementos sea el mínimo.

Para solucionar las juntas mencionadas primeramente se rellenarán todos los huecos hasta el nivel de acabado mediante la inyección de espuma aislante, para evitar tanto el simple hecho del ruido como para garantizar la conservación de las características del ambiente que se deben conseguir. Finalmente, con el rejuntado coloreado aplicado quedará apenas inapreciable.

En la sala de máquinas, así como también en el depósito de compensación se realizará un embaldosado tanto en paramentos verticales con las piezas cerámicas de la casa Domino industrias cerámicas, de la línea Branco color blanco, de medidas 33,3x50cm. Referente al pavimentado se hará mediante piezas de gres antideslizante, en baldosas de 31x31cm, en color blanco, recibido con cemento cola.

Los paramentos verticales de la escalera 1, se pintarán también con pintura acrílica lavable lisa, color blanco.

En cuanto al acabado del techo de la zona piscina, se dispondrá, mediante un proyectado de 10cm de espesor, del producto K13 de la empresa Sonapray. Constituido por fibras celulósicas que aplicadas con adhesivos proporcionan sobre el mismo embaldosado existente un acabado continuo y uniforme aportando a un alto rendimiento acústico (ver ficha técnica del producto K-13), así como también garantizando una reacción al fuego B-s2,d0, conforme a la indicada como mínima en el CTE-SI 4.4,

Este proyectado se efectuará de color blanco y deberá realizarse, con todas las instalaciones colocadas y ya al final de la obra cuando no se realicen trabajos que puedan desprender polvo u otras partículas que supondrían la pérdida de toda garantía de buen acabado.

Por otro lado, en los vestuarios, la sala de máquinas y la escalera 1 se realizará un acabado en el techo mediante el pintado con pintura acrílica lisa lavable blanca.

Se efectuará también el pavimentado de las tapas de registro manteniendo la junta corrida correspondiente a su situación y posterior colocación en registro.



- **Colocación elementos varios:**

Se colocarán las puertas correspondientes (ver plano distribución A.4.1.), en los accesos del vestuario 1, como en el del vestuario 2 serán puertas abatibles de DM lacadas en blanco de 0,82x2,05m, estas no deben abrir hacia el sentido del recorrido de evacuación dado que no nos encontramos en una zona donde la ocupación en algún momento sea de 50 personas, aunque se ha intentado respetar siempre que ha sido posible.

Las puertas de los recintos de los inodoros serán igualmente de DM lacadas en blanco, pero de 0,72 x 2,05m y dispondrán de pestillo con señalización de abierto cerrado, este dispositivo será especial para la posibilidad de apertura dado que nos encontramos en una zona de uso infantil.

En cuanto a la puerta del acceso a la zona piscina desde el edificio 34, así como la de acceso al vestuario adaptado serán las mismas, ambas correderas de DM lacadas en blanco y unas dimensiones de 0,95x2,05, respetando así las dimensiones marcadas en el CTE SUA 9 para el paso de personas con movilidad reducida.

En la sala de máquinas y según requerimiento legal se colocará una puerta cortafuegos pivotante homologada, EI2 60-C5, de una hoja de 63 mm de espesor, 0,80x2,10 m de luz.

Por último, como puerta de acceso al recinto de la piscina por la escalera 1, se instalará una puerta corredera automática de una sola hoja con perfilera únicamente por la parte superior. Dicha perfilera será atornillada al dintel del hueco de paso y dispondrá de célula de paso en ambos lados tanto para el acceso como para la salida de la piscina. Se dispondrá también en la sala de máquinas un dispositivo de apertura y cierre de esta para el control del profesorado.

Para el emplazamiento de cada aparato sanitario y espejos se ha tenido en cuenta las especificaciones de la normativa NIDE relativa a las piscinas de chapoteo y enseñanza, así como también la normativa SUA para el vestuario de minusválidos tal como está especificado en el punto 1.4.1 de este documento.

Finalmente se procederá a la colocación de los pasamanos de las escaleras y rampas a una altura de la primera barra a 0,70m del suelo, quedando así la segunda a 1,00m, cumpliendo siempre con la normativa CTE SUA.

También se dispondrán en los vestuarios los bancos que mediante escuadras de acero inoxidable irán collados a la pared a una altura de 0,45cm respecto al suelo y de la misma manera se dispondrán los percheros a 1,40m del suelo mediante atornillado en pared. Junto a los lavabos (ver plano electricidad toma secamanos plano I.7.1.), se instalará en



cada vestuario un secamanos a una altura de suelo de 1,10m, respetando la distancia mínima de los aparatos sanitarios.

Se colocará el flotador salvavidas, tal como exige la normativa NIDE, en la zona de piscina junto a la puerta automática y el botiquín en el vestuario 1.



2. Medición y presupuesto

A continuación, se dividirá por secciones la medición realizada, añadiendo una tabla resumen con los presupuestos por sección.

2.1. Movimientos de tierra, trabajos previos, derribos y extracciones

| Código | Nat | Ud | Resumen | CanPres | PrPres | ImpPres |
|--------|----------|----|--|----------|------------------|------------------|
| C01 | Capítulo | | MOVIMIENTOS DE TIERRA, TRABAJOS PREVIOS, DERRIBOS Y EXTRACCIONES | 1 | 73.944,16 | 73.944,16 |
| C01.01 | Partida | m2 | DEMOLICIÓN Y PREPARACIÓN DE SUELO POR MEDIOS MECÁNICOS | 141,87 | 95,18 | 13.503,19 |
| | | | Demolición de cimentación y preparación del suelo de la planta sótano existente, con medios mecánicos. Comprende los trabajos necesarios para demoler la estructura suelo de toda la zona prevista para la ejecución de la nueva piscina: vaso piscina, forjado de la zona piscina, rellano inferior escalera 1. Así como también la retirada y disposición de los materiales objeto de desbroce. Incluye un primer replanteo general y fijación de los puntos y niveles de referencia. Parte proporcional de medios auxiliares. | | | |
| C01.02 | Partida | m3 | EXCAVACIÓN TERRENO - 1,70m | 141,87 | 108,38 | 15.375,87 |
| | | | Excavación por medios mecánicos del terreno zona piscina hasta cota -1,70 respecto a suelo acabado actual. Incluso ayuda manual en zonas de difícil acceso para la maquinaria, eliminación de restos, refinado de paramentos y fondo de excavación, extracción de tierras fuera de la excavación, camión y transporte a vertedero, y con p.p. de medios auxiliares. Esta partida queda sujeta a la realización previa de catas para encontrar la cimentación de los pilares laterales y así definir el tipo de excavación más adecuada. CRITERIO DE MEDICION: Medido un 10% más sobre dimensiones de proyecto, por irregularidades en la excavación. | | | |
| C01.03 | Partida | m2 | DEMOLICIÓN DE REVESTIMIENTOS | 289,85 | 5,59 | 1.620,26 |
| | | | Demolición revestimientos cerámicos y de cristal en paramentos verticales interiores, incluso elementos de anclaje y soportación. Se incluyen todos los trabajos de recogida de escombros, materiales, carga sobre camión y transporte a vertedero autorizado. | | | |
| C01.04 | Partida | m2 | DEMOLICIÓN DE PARED DE FÁBRICA | 103,01 | 10,01 | 1.031,13 |
| | | | Demolición de fábrica de ladrillo con sus revestimientos, por medios manuales. Se incluyen todos los trabajos de recogida de escombros, materiales, carga sobre camión y transporte a vertedero autorizado. | | | |
| C01.05 | Partida | m2 | DEMOLICIÓN DE MAMPARAS | 6,20 | 5,59 | 34,66 |
| | | | Demolición de mamparas de vidrio con su estructura. Se incluyen todos los trabajos de recogida de escombros, materiales, carga sobre camión y transporte a vertedero autorizado. | | | |
| C01.06 | Partida | m2 | DEMOLICIÓN DE FORJADO | 9,56 | 46,93 | 448,65 |
| | | | Demolición de forjado existente con sus revestimientos (pavimentos y falsos techos) y elementos de soporte, por medios mecánicos de baja potencia. Incluso elementos auxiliares necesarios para asegurar la estabilidad de la estructura. Se incluyen todos los trabajos de recogida de escombros, materiales, carga sobre camión y transporte a vertedero autorizado. | | | |



| | | | | | | |
|--------|---------|----|--|--------|--------|--------|
| C01.07 | Partida | m2 | DEMOLICIÓN DE PAVIMENTO | 106,41 | 8,90 | 947,05 |
| | | | Demolición del actual pavimento, cerámico, con su rodapié y parte proporcional del sustento de éste, dejando la superficie regularizada. Se incluyen todos los trabajos de recogida de escombros, materiales, carga sobre camión y transporte a vertedero autorizado. Se incluye pavimento de escalera y rampa. | | | |
| C01.8 | Partida | m2 | DEMOLICIÓN DE PELDAÑOS | 0,40 | 175,41 | 70,16 |
| | | | Demolición de peldaños de obra existente, con su pavimento, por medios manuales o mecánicos de baja potencia. Se incluyen todos los trabajos de recogida de escombros, materiales, carga sobre camión y transporte a vertedero autorizado. | | | |
| C01.9 | Partida | m2 | DEMOLICIÓN DE ESCALERA | 5,12 | 51,40 | 263,17 |
| | | | Demolición escalera de hormigón armado, hasta 30 cm de espesor, peldaños, revestimientos y barandillas, con medios manuales, disco, martillo neumático y equipo de oxicorte. Se incluyen todos los trabajos de recogida de escombros, materiales, carga sobre camión y transporte a vertedero autorizado. Medido en proyección horizontal. | | | |
| C01.10 | Partida | ud | DEMOLICIÓN Y RETIRADA DE PUERTA | 17,00 | 14,46 | 245,82 |
| | | | Desmontaje y retirada de puerta madera o fenólico, de una hoja, existente, incluyendo marcos, premarcos, hojas y herrajes. Se incluyen todos los trabajos de recogida de escombros, materiales, carga sobre camión y transporte a vertedero autorizado. | | | |
| C01.11 | Partida | ud | DESMONTAJE DE MOBILIARIO EXISTENTE | 1,00 | 350,00 | 350,00 |
| | | | Retirada de mobiliario, escaleras metálicas piscina, cambiadores, espejos, toldo piscina, complementos de baño y demás enseres existentes, por medios manuales. Se incluyen todos los trabajos de recogida de escombros, materiales, carga sobre camión y transporte a vertedero autorizado. | | | |
| C01.12 | Partida | ud | DESMONTAJE DE INSTALACIÓN ELÉCTRICA EXISTENTE | 1,00 | 450,50 | 450,50 |
| | | | Desmontaje de toda la instalación eléctrica única de la zona a intervenir, incluidas luminarias, por medios manuales, incluso desmontaje previo de líneas, mecanismos e iluminación. Se incluyen todos los trabajos de recogida de escombros, materiales, carga sobre camión y transporte a vertedero autorizado. SE incluye realización de instalación provisional de obra. | | | |
| C01.13 | Partida | ud | DESMONTAJE DE INSTALACIÓN DE PCI | 1,00 | 478,89 | 478,89 |
| | | | Desmontaje de conjunto de instalaciones existentes de PCI (Detectores, pulsadores, central alarma, red de Bies, extintores...) . Se incluyen todos los trabajos de recogida de escombros, materiales, carga sobre camión y transporte a vertedero autorizado. | | | |
| C01.14 | Partida | ud | DESMONTAJE DE INSTALACIÓN DE FONTANERÍA Y SANEAMIENTO EXISTENTE | 1,00 | 250,75 | 250,75 |
| | | | Desmontaje de conjunto de instalaciones existentes de fontanería y saneamiento que solo afecten a la zona de intervención. Se incluyen todos los trabajos de recogida de escombros, materiales, carga sobre camión y transporte a vertedero autorizado. SE INCLUYE REALIZACIÓN DE TOMA PROVISIONAL DE OBRA. | | | |
| C01.15 | Partida | ud | DESMONTAJE DE CLIMATIZACIÓN/VENTILACIÓN EXISTENTE | 1,00 | 575,00 | 575,00 |
| | | | Desmontaje de instalación de climatización y ventilación (conductos, rejillas, unidades interiores, desagües...), por medios manuales. Se incluyen todos los trabajos de recogida de escombros, materiales, carga sobre camión y transporte a vertedero autorizado. Incluye gestión de residuos. | | | |



| | | | | | | |
|--------|---------|----|--|--------|-----------|-----------|
| C01.16 | Partida | ud | DESMONTAJE DE APARATO SANITARIO | 11,00 | 11,12 | 122,32 |
| | | | Desmontaje de aparato sanitario existente con parte proporcional de instalaciones. Se incluyen todos los trabajos de recogida de escombros, materiales, carga sobre camión y transporte a vertedero autorizado. | | | |
| C01.17 | Partida | ml | DESMONTAJE DE BARANDILLA | 1,00 | 10,01 | 10,01 |
| | | | Desmontaje de barandilla con parte proporcional de fijaciones. Se incluyen todos los trabajos de recogida de escombros, materiales, carga sobre camión y transporte a vertedero autorizado. | | | |
| C01.18 | Partida | ud | APEO 1 | 2,00 | 13.325,39 | 26.650,78 |
| | | | Suministro, ejecución y demolición de pilares centrales de la sala de piscina mediante su apeo ejecutado según documentación gráfica adjunta. Se incluye todos los perfiles y materiales auxiliares para su completa ejecución y funcionamiento del sistema estructural cumpliendo siempre la normativa correspondiente referente a la seguridad estructural. Cantidad de hierro 16,000kg. Incluso encofrados necesarios, perfiles metálicos, puntales y parte proporcional de medios auxiliares, retirada de escombros, carga y transporte a vertedero. Totalmente terminado. | | | |
| C01.19 | Partida | m | ROZAS EN PARAMENTOS VERTICALES PARA PASO DE INSTALACIONES | 126,38 | 4,45 | 562,39 |
| | | | PA. Apertura de rozas en paramentos verticales existentes mediante medios manuales, para permitir el paso de instalaciones. Se incluyen todos los trabajos de recogida de escombros, materiales, carga sobre camión y transporte a vertedero autorizado. | | | |
| C01.20 | Partida | m | ZANJAS EN SUELO PARA PASO DE INSTALACIONES | 85,93 | 8,90 | 764,78 |
| | | | PA Apertura de zanja de unos 40cm. de ancho en recrecido o suelo existente para paso de instalaciones varias y de diferentes dimensiones según sea necesario. Incluye todos los materiales y herramientas necesarias para realizar la partida en su totalidad. Se incluyen todos los trabajos de recogida de escombros, materiales, carga sobre camión y transporte a vertedero autorizado. | | | |
| C01.21 | Partida | ud | CALOS EN FORJADO | 7,00 | 31,14 | 217,98 |
| | | | Formación de calos en forjado para paso de instalaciones, de dimensión mínima D100 mm, por medios manuales o mecánicos. Incluso alisado de superficie en caso de ser necesario, y posterior sellado elástico. Totalmente acabado. *NOTA: Los calos inferiores a D100 mm quedan incluidas como ayuda a Instalaciones. | | | |
| C01.22 | Partida | ud | PINTURA INTUMESCENTE PARA ESTRUCTURA | 2,00 | 4.985,40 | 9.970,80 |
| | | | Pintura ignífuga para protección de estructuras de perfiles metálicos o de madera tipo EI-120 (resistencia al fuego 120 min.), de espesor necesario según masividad del perfil. Incluso aplicación previa de capa de adhesivo incombustible y elementos necesarios para su correcta aplicación. Incluso ensayo del material y certificado del aplicador. Medido el perímetro exterior de la estructura En certificación se ajustará la medición realmente ejecutada según desarrollo de los perfiles ignifugados. | | | |
| | | | | 1 | 73.944,16 | 73.944,16 |



2.2. Estructura

| Código | Nat | Ud | Resumen | CanPres | PrPres | ImPres |
|------------|-----------------|----|--|----------|------------------|------------------|
| C02 | Capítulo | | ESTRUCTURA | 1 | 44.763,97 | 44.763,97 |
| C02.01 | Partida | m2 | FORJADO CHAPA COLABORANTE PLAYAS | 61,14 | 159,29 | 9.738,99 |
| | | | Forjado de losa mixta, canto 11cm, con chapa colaborante de acero galvanizado y tratado en fábrica para adecuación al ambiente piscina, de 0,75mm de espesor, 44mm de canto y 172mm de intereje, y capa de hormigón armado realizada con hormigón HA-25/B/IIa, consistencia blanda, fabricado en central, y vertido en cubilote, tamaño máximo del árido Ø20mm, acero UNE-EN 10080 B 500 S., y malla electrosoldada ME 20x20 Ø5-5 B 500 T UNE-EN 10080. Perfiles metálicos para su soporte apoyados sobre murete perimetral, pilares y vaso de compensación. Incluye montaje y desmontaje de apuntalamientos y material necesario, así como también la ejecución de zuncho para registros indicados de acceso al registro técnico y al depósito de compensación. | | | |
| C02.02 | Partida | m2 | FORJADO CHAPA COLABORANTE HUECO ESCALERAS ACCESO PB | 4,36 | 152,29 | 663,98 |
| | | | Forjado de losa mixta, canto 11cm, con chapa colaborante de acero galvanizado y tratado en fábrica para adecuación al ambiente piscina, de 0,75mm de espesor, 44mm de canto y 172mm de intereje, y capa de hormigón armado realizada con hormigón HA-25/B/IIa, consistencia blanda, fabricado en central, y vertido en cubilote, tamaño máximo del árido Ø20mm, acero UNE-EN 10080 B 500 S., y malla electrosoldada ME 20x20 Ø5-5 B 500 T UNE-EN 10080. Perfiles metálicos para su soporte. Incluye montaje y desmontaje de apuntalamientos y material necesario. | | | |
| C02.03 | Partida | m2 | FORJADO CHAPA COLABORANTE RAMPA PASILLO 1 | 9,89 | 183,56 | 1.815,41 |
| | | | Forjado de losa mixta, canto 11cm, con chapa colaborante de acero galvanizado y tratado en fábrica para adecuación al ambiente piscina, de 0,75mm de espesor, 44mm de canto y 172mm de intereje, y capa de hormigón armado realizada con hormigón HA-25/B/IIa, consistencia blanda, fabricado en central, y vertido en cubilote, tamaño máximo del árido Ø20mm, acero UNE-EN 10080 B 500 S., y malla electrosoldada ME 20x20 Ø5-5 B 500 T UNE-EN 10080. Perfiles metálicos para su soporte. Incluye montaje y desmontaje de apuntalamientos y material necesario. | | | |
| C02.04 | Partida | m2 | FORJADO CHAPA COLABORANTE RELANO ESCALERA 1 | 1,56 | 94,36 | 147,20 |
| | | | Forjado de losa mixta, canto 11cm, con chapa colaborante de acero galvanizado y tratado en fábrica para adecuación al ambiente piscina, de 0,75mm de espesor, 44mm de canto y 172mm de intereje, y capa de hormigón armado realizada con hormigón HA-25/B/IIa, consistencia blanda, fabricado en central, y vertido en cubilote, tamaño máximo del árido Ø20mm, acero UNE-EN 10080 B 500 S., y malla electrosoldada ME 20x20 Ø5-5 B 500 T UNE-EN 10080. Perfiles metálicos para su soporte. Incluye montaje y desmontaje de apuntalamientos y material necesario. | | | |
| C02.05 | Partida | m2 | FORJADO CHAPA COLABORANTE HUECO ESCALERAS DEMOLIDAS PB-PS ED. 32 | 4,36 | 94,36 | 411,41 |
| | | | Forjado de losa mixta, canto 11cm, con chapa colaborante de acero galvanizado y tratado en fábrica para adecuación al ambiente piscina, de 0,75mm de espesor, 44mm de canto y 172mm de intereje, y capa de hormigón armado realizada con hormigón HA-25/B/IIa, consistencia blanda, fabricado en central, y vertido en cubilote, tamaño máximo del árido Ø20mm, acero UNE-EN 10080 B 500 S., y malla electrosoldada ME 20x20 Ø5-5 B 500 T UNE-EN 10080. Perfiles metálicos para su soporte. Incluye montaje y desmontaje de apuntalamientos y material necesario. | | | |



| | | | | | | |
|--------|---------|----|---|--------|-----------|-----------|
| C02.06 | Partida | m2 | VASO PISCINA | 77,16 | 272,85 | 21.053,11 |
| | | | Formación de vaso de piscina de 20 cm de espesor de paredes y 30cm de base, realizado con hormigón HA-25/B/20/IIa, proyectado por vía húmeda, con armadura formada por doble malla electrosoldada ME Ø12 a 20 6-6 B 500 T 6x2,20 UNE-EN 10080 y las barras corrugadas Ø12 a 20 acero UNE-EN 10080 B 500 S clase de acero soldable, sin juntas de dilatación . Incluso p/p de obra civil compuesta de encofrado perdido de fábrica de ladrillo cerámico hueco de 24x11,5x7 cm sobre cimentación propia, Juntas hidrófugas entre pared- suelo, juntas tacón, remate de esquinas interiores, verticales y horizontales, Conectores, separadores, armaduras, zunchos de remate, formación de una base de 15 cm de espesor de separación entre el terreno y el hormigón de la solera. Incluye la compactación del terreno y base de gravas. Vaso totalmente terminado, listo para revestir. Altura libre media del foso piscina =0,857 m. CRITERIO DE MEDICION: Medido un 5% más sobre dimensiones de proyecto, por irregularidades en la excavación. | | | |
| C02.07 | Partida | m2 | CAPA HORMIGÓN DE LIMPIEZA | 147,22 | 12,06 | 1.775,47 |
| | | | Formación de capa de hormigón de limpieza y nivelado de fondos de cimentación, de 10 cm de espesor, mediante el vertido con cubilote de hormigón HL-150/B/20 fabricado en central, en el fondo de la excavación previamente realizada. Elaborado, transportado y puesto en obra según EHE-08. Sobre capa de grava de 15cm de espesor. CRITERIO DE MEDICION: Medido un 5% más sobre dimensiones de proyecto por mermas.'' | | | |
| C02.08 | Partida | m2 | DEPÓSITO COMPENSACIÓN | 10,70 | 272,85 | 2.919,50 |
| | | | Formación de depósito de compensación de 20 cm de espesor de paredes y 30cm de base, realizado con hormigón HA-25/B/20/IIa, proyectado por vía húmeda, con armadura formada por doble malla electrosoldada ME Ø12 a 20 6-6 B 500 T 6x2,20 UNE-EN 10080 y las barras corrugadas Ø12 a 20 acero UNE-EN 10080 B 500 S clase de acero soldable, sin juntas de dilatación . Incluso p/p de obra civil compuesta de encofrado perdido de fábrica de ladrillo cerámico hueco de 24x11,5x7 cm sobre cimentación propia, Juntas hidrófugas entre pared- suelo, juntas tacón, remate de esquinas interiores, verticales y horizontales, Conectores, separadores, armaduras, zunchos de remate y formación de una base de 15 cm de espesor de separación entre el terreno y el hormigón de la solera. Incluye la compactación del terreno y base de gravas. Vaso totalmente terminado, listo para revestir. Altura libre bajo forjado de depósito =0,80 m. CRITERIO DE MEDICION: Medido un 5% más sobre dimensiones de proyecto, por irregularidades en la excavación. | | | |
| C02.09 | Partida | m2 | TACÓN MURO VASO PISCINA | 26,84 | 253,40 | 6.801,26 |
| | | | Formación de tacón de hormigón para colocación de pieza especial módulo S9 Formación canal desbordante, para la correcta colocación de las piezas de acabado. De 10cm de espesor unido a las esperas del muro piscina, realizado con hormigón HA-25/B/20/IIa, vertido, sin juntas de dilatación . Incluso p/p de montaje y desmontaje de encofrado y puntales necesarios. Juntas hidrófugas entre pared- suelo, juntas tacón, remate de esquinas interiores, Conectores, separadores, armaduras, zunchos de remate. Junta de dilación de 1cm entre este y el forjado colindante. | | | |
| C02.10 | Partida | m2 | FORMACIÓN CÁMARA TÉCNICA | 35,60 | 175,25 | 6.238,90 |
| | | | Formación de cámara técnica bajo suelo playas, forjado suelo mediante losa de 20 cm de espesor, realizado con hormigón HA-25/B/20/IIa, proyectado por vía húmeda, con armadura formada por doble malla electrosoldada ME Ø12 a 20 6-6 B 500 T 6x2,20 UNE-EN 10080 y las barras corrugadas Ø12 a 20 acero UNE-EN 10080 B 500 S clase de acero soldable, sin juntas de dilatación. Incluye la compactación del terreno y base de gravas. Altura libre media =0,80 m. CRITERIO DE MEDICION: Medido un 5% más sobre dimensiones de proyecto, por irregularidades en la excavación. | | | |
| | | | | 1 | 44.763,97 | 44.763,97 |



2.3. Albañilería

| Código | Nat | Ud | Resumen | CanPres | PrPres | ImPres |
|------------|-----------------|----|--|----------|------------------|------------------|
| C03 | Capítulo | | ALBAÑILERÍA | 1 | 14.477,07 | 14.477,07 |
| C03.01 | Partida | m2 | TABIQUE PLADUR 15H+70+15H | 124,11 | 32,78 | 4.068,19 |
| | | | Tabique formado por placa de cartón yeso de 15 mm. de espesor HIDRÓFUGA a cada lado, atornillada una a cada lado de una estructura de chapa galvanizada de 70 mm. de ancho y un espesor total de tabique terminado de 100 mm., anclada a los forjados, con tornillos auto perforantes de acero y montantes cada 400 mm., i/ replanteo auxiliar, nivelación, encintado y tratamiento de juntas, con lana de roca Ultracoustic de Knauf de 70 mm. de espesor en el interior (incluido), totalmente terminado y listo para imprimir, pintar o decorar. Incluye perfiles y refuerzos necesarios para soporte de sanitarios, mobiliario e instalaciones. Montaje según Norma UNE 102.040 IN, UNE 102.041 IN, documentos ATEDY y requisitos del CTE-DB HR. (15H+70+15H). espesor total del tabique 100 mm. | | | |
| C03.02 | Partida | m2 | TRASDOSADO LADRILLO HUECO 7CM | 17,98 | 14,27 | 256,57 |
| | | | Trasdosado de 7 cm de espesor de fábrica de ladrillo cerámico hueco simple, para revestir, 33x16x7 cm, recibida con mortero de cemento M-5. | | | |
| C03.03 | Partida | m2 | RELLENO DE HUECO EXISTENTE EN MURO | 1,23 | 15,68 | 19,29 |
| | | | Reconstrucción de hueco en muro, en hoja de partición interior de ladrillo cerámico perforado, para revestir 24x11,5x9 cm, recibida con mortero de cemento industrial, color gris, M-5, suministrado a granel. | | | |
| C03.04 | Partida | ud | SELLADO DE TABIQUERÍA | 5,00 | 90,36 | 451,80 |
| | | | Sellado de paso de instalaciones entre tabiques con espuma intumescente para evitar el paso de ruido y olores de una estancia a otra. Totalmente instalado. | | | |
| C03.05 | Partida | ml | RELLENO DE ROZAS EN SOLERA O RECRECIDO | 126,38 | 7,78 | 983,24 |
| | | | Relleno de rozas en solera o recrecido para paso de instalaciones de saneamiento y de aspiración/compresión, por medios manuales. | | | |
| C03.06 | Partida | ml | REPARACIÓN VIGA DE HORMIGÓN | 29,33 | 50,41 | 1.478,53 |
| | | | Aplicación manual de mortero de reparación de dos componentes a base de resina epoxi, tixotrópico y con altas resistencias mecánicas, en capa de 20 mm de espesor medio, para reparación estructural de viga de hormigón. Incluso p/p de preparación de la mezcla, perfilado de aristas y acabado superficial alisado con llana. | | | |
| C03.07 | Partida | m2 | FABRICA DE LADRILLO PERFORADO "GERO" | 17,41 | 34,48 | 600,30 |
| | | | Formación de hoja de apoyo de forjado de chapa colaborante, de 1/2 pie de espesor de fábrica, y pilares en el lado contrario de 24x24cm, de ladrillo cerámico perforado (panel), para revestir, 24x12x9 cm, recibida con mortero de cemento M-5. Altura media elementos 60cm. Incluso p/p de replanteo, nivelación y aplomado, recibido de cercos y precercos, mermas, roturas, enjarjes, mochetas y limpieza. | | | |
| C03.08 | Partida | ml | FORMACIÓN DE PELDAÑO | 12,84 | 57,38 | 736,76 |
| | | | Formación de peldaño en fábrica de ladrillo perforado, sentado con mortero de cemento 1:6 - i/ rejuntado y limpieza. Listo para solar. | | | |



| | | | | | | |
|--------|---------|----|--|--------|-----------|-----------|
| C03.09 | Partida | m2 | FORMACION RAMPA | 6,58 | 82,75 | 544,50 |
| | | | Formación de rampa consistente en: 1/ Repicado de pavimento y forjado existente. 2/ Regularización de la superficie con mortero terminado fratasado superficial convenientemente nivelado. Listo para solar. i/ posterior limpieza.- terminado. | | | |
| C03.10 | Partida | m2 | FORMACIÓN RAMPA SOBRE FORJADO | 9,95 | 60,55 | 602,47 |
| | | | Formación de rampa sobre forjado compuesta de: 1/ Fábrica de 1/2 pie lad. toско de hasta 25 cm. de altura separados entre sí 60 cm.- 2/ Tablero de rasillón de 60x40x5 colocado sobre fábricas anteriores.- 3/ Capa de comprensión de hormigón H-200 de 6 cm de espesor, armada con mallazo 150x150x6 m.- terminado fratasado superficial convenientemente nivelado, i/ posterior limpieza.- terminado listo para solar. | | | |
| C03.11 | Partida | ud | FORMACIÓN DE PENDIENTE 2% | 119,74 | 25,86 | 3.096,48 |
| | | | Formación de base de mortero de cemento CEM II/B-P 32,5 N tipo M-10, de 4 cm de espesor medio creando una pendiente hacia rebosadero de 2%, maestreada, fratasada y preparada para su posterior uso como soporte de pavimento. Incluso p/p de replanteo y marcado de los niveles de acabado, colocación de banda de panel rígido de poliestireno expandido de 10 mm de espesor en el perímetro, rodeando los elementos verticales y en las juntas estructurales, formación de las juntas de dilatación con canal perimetral y curado de la superficie. Incluye la preparación para la colocación de canaleta perimetral. | | | |
| C03.12 | Partida | ml | PIEZA CORONACIÓN MURO PISCINA | 24,84 | 65,98 | 1.638,94 |
| | | | UD. Suministro y colocación de pieza de coronación de muro de piscina, de hormigón hidrófugo, para la formación de canal desbordante y soporte de pieza cerámica. Recibido con mortero aditivado con látex. Incluye piezas espaciales esquinas, replanteo cortes necesarios y diámetros para el paso de instalaciones. | | | |
| | | | | 1 | 14.477,07 | 14.477,07 |



2.4. Revestimientos

| Código | Nat | Ud | Resumen | CanPres | PrPres | ImPres |
|------------|-----------------|----|---|----------|------------------|------------------|
| C04 | Capítulo | | REVESTIMIENTOS | 1 | 58.485,75 | 58.485,75 |
| C04.01 | Partida | m2 | PREPARACIÓN SOPORTE ALICATADO | 391,16 | 15,00 | 5.867,40 |
| | | | Preparación de soporte alicatado consistente en el picado y la regularización del soporte existente mediante enfoscado regleado, acabado superficial rayado en los paramentos para alicatar, con mortero de cemento M-10, previa colocación de malla antiálcalis en cambios de material. Incluso p/p de colocación de malla de fibra de vidrio antiálcalis para refuerzo de encuentros entre materiales diferentes, formación de juntas, rincones, aristas, mochetas, jambas, dinteles, remates en los encuentros con paramentos, revestimientos u otros elementos recibidos en su superficie. | | | |
| C04.02 | Partida | m2 | ALICATADO 33,3x50 CM. LINEA BRANCO | 29,90 | 27,51 | 822,55 |
| | | | Suministro y colocación de alicatado de azulejo de pasta blanca de 33,3x50 cm., LINEA BRANCO de DOMINO INDUSTRIAS CERAMICAS, recibido con cemento cola, color blanco, sobre soporte de yeso laminado o enfoscado. Incluso p/p de preparación de la superficie soporte de placas de yeso laminado o pared de obra enfoscada; replanteo, cortes, cantoneras de aluminio blanco, y escocias (media caña) de aluminio blanco empotradas EMAC, NOVOESCOCIA S 12x 2500 BL BRI ANTI -119, crucetas de PVC, piezas especiales y juntas; rejuntado con lechada de material para juntas anti-moho de color blanco, para junta 1 a 2 mm; acabado y limpieza final. | | | |
| C04.03 | Partida | m2 | ALICATADO 31x62,6 CM. LINEA SERENA | 562,06 | 53,60 | 30.126,42 |
| | | | Suministro y colocación de alicatado de gres porcelánico de 31x62,6x9 cm., LINEA SERENA de ROSA GRES, COLOR BIANCO MIAMI, recibido con cemento cola C2 T S1 especial para colocar encima de impermeabilizaciones, sobre impermeabilización elástica o sobre muro directamente. Incluso p/p de preparación de la superficie soporte; replanteo, cortes, cantoneras de aluminio blanco y crucetas de PVC, piezas especiales y juntas. Rejuntado con mortero coloreado de clase CG2 resistente a los ácidos débiles y un 2% de absorción residual. Para juntas de 1,5 mm; acabado y limpieza final. | | | |
| C04.04 | Partida | m2 | PINTURA PLASTICA VERTICAL | 19,27 | 3,29 | 63,40 |
| | | | Pintura plástica acrílica lisa mate, lavable profesional, color blanco RAL 9016, sobre paramentos verticales, mínimo dos manos o las necesarias para dejar la superficie perfectamente lisa, i/ protección, preparación de la superficie, lijado y emplastecido. Aplicada mediante pistola. | | | |
| C04.05 | Partida | m2 | PROYECTADO DE ACABADO FONOABSORBENTE k-13 | 162,02 | 73,20 | 11.859,86 |
| | | | Proyección de compuesto absorbente irregular de alta absorción acústica tipo K-13 con polímeros acrílicos de base agua, en color blanco roto y con espesor aproximado de 10 mm. Incluye protección de paredes, suelos, e instalaciones existentes con cinta y plástico. | | | |
| C04.06 | Partida | m2 | PINTURA HORIZONTAL | 97,21 | 3,29 | 319,82 |
| | | | Pintura plástica acrílica lisa mate, lavable profesional, color blanco RAL 9016, sobre paramentos horizontales, mínimo dos manos o las necesarias para dejar la superficie perfectamente lisa, i/ protección, preparación de la superficie, lijado y emplastecido. Aplicada mediante pistola. | | | |



| | | | | | | |
|--------|---------|----|---|-------|------------------|------------------|
| C04.07 | Partida | m2 | IMPERMEABILIZACIÓN DE VASO DE PISCINA Y DEP. COMPENSACIÓN | 48,34 | 195,00 | 9.426,30 |
| | | | Impermeabilización de vaso de piscina, depósito de compensación y zona de playa con material de la casa FIXER para vasos de piscina para garantizar estanqueidad. Tratamiento de los elementos singulares (ángulos, aristas, etc.). Solapado de juntas. Protección provisional hasta la ejecución de la capa de protección, particularmente frente a acciones mecánicas. Eliminación de restos, limpieza final y retirada de escombros a vertedero. Parte proporcional de andamiajes y medios auxiliares. incluye pruebas de estanqueidad y solución de los puntos débiles | | | |
| | | | | 1 | 58.485,75 | 58.485,75 |



2.5. Pavimentos

| Código | Nat | Ud | Resumen | CanPres | PrPres | ImPres |
|------------|-----------------|----|---|----------|------------------|------------------|
| C05 | Capítulo | | PAVIMENTOS | 1 | 23.724,30 | 23.724,30 |
| C05.01 | Partida | m2 | SOLADO GRES PORCELÁNICO 31x62,9 CM | 209,05 | 49,44 | 10.335,43 |
| | | | Suministro y colocación de solado de gres porcelánico de 31x62,6x9 cm., LINEA SERENA de ROSA GRES, COLOR BIANCO MIAMI, con coeficiente de antirevaladidad (CLASE 3 - Rd>45). Recibido con cemento cola C2 T S1 especial para colocar encima de impermeabilizaciones, sobre impermeabilización elástica o sobre muro directamente. Colocado a junta corrida 2/3. Incluso p/p de preparación de la superficie soporte; replanteo, cortes, cantoneras de aluminio blanco y crucetas de PVC, piezas especiales y juntas. Rejuntado con mortero coloreado de clase CG2 resistente a los ácidos débiles y un 2% de absorción residual. Para juntas de 1,5 mm; acabado y limpieza final. Incluso borada de resinas especiales. | | | |
| C05.02 | Partida | ml | PIEZA DE MEDIA CAÑA | 152,03 | 44,60 | 6.780,54 |
| | | | Suministro y colocación de pieza de media caña de gres porcelánico entre suelos y paredes de vasos de piscinas y perímetro, en formato, de 4x4x31, LINEA SERENA de ROSA GRES, COLOR BIANCO MIAMI, sobre enfoscado previo de mortero de cemento M-15 y enlechado con cemento blanco BL-II/A-L 42,5 R. Incluso p/p de cortes, encuentros, formación de ángulos redondeados y piezas especiales. Incluso borada de resinas especiales. | | | |
| C05.03 | Partida | ml | SOLADO CORONACIÓN MURO PISCINA | 39,37 | 59,24 | 2.332,28 |
| | | | Suministro y colocación de solado de gres porcelánico, sobre coronación de muro piscina, sobre bloque S9,31x62,6cm, LINEA SERENA de ROSA GRES, COLOR BIANCO MIAMI, con coeficiente de antirevaladidad (CLASE 3 - Rd>45). Recibido con mortero de cemento M-15 y enlechado con cemento blanco BL-II/A-L 42,5 R. Colocado a junta corrida 2/3. Incluso p/p de preparación de la superficie soporte; replanteo, cortes, encuentros, formación de ángulos redondeados y crucetas de PVC, piezas especiales y juntas. Rejuntado con mortero coloreado de clase CG2 resistente a los ácidos débiles y un 2% de absorción residual. Para juntas de 1,5 mm; acabado y limpieza final. Incluso borada de resinas especiales. | | | |
| C05.04 | Partida | ml | REJA CANAL DESBORDANTE PISCINA | 26,95 | 31,26 | 842,46 |
| | | | Suministro y colocación de rejilla flex, sobre canal desbordante de piscina, sobre bloque S9,24,5x49,5cm, LINEA SERENA de ROSA GRES, COLOR BIANCO MIAMI, con coeficiente de antirevaladidad (CLASE 3 - Rd>45). Incluso p/p de preparación de la superficie soporte; replanteo, cortes, encuentros, formación de ángulos redondeados, piezas especiales y juntas. | | | |
| C05.05 | Partida | m2 | SOLADO GRES ANTIDESLIZANTE | 25,68 | 62,33 | 1.600,63 |
| | | | Suministro y colocación de gres antideslizante (CLASE 3 - Rd>45), en baldosas de 31x31cm, en color blanco, recibido con cemento cola C2 s/EN-12004, Incluso p.p. de RODAPIÉ del mismo modelo. Colocado a junta corrida y con junta mínima, rejuntado con junta del mismo color. Cumpliendo con el código Técnico. I/ p.p de desperdicios, material de recibido, medios auxiliares, totalmente terminado. *NOTA: Medida la superficie a ejecutar. | | | |
| C05.06 | Partida | ud | TAPA REGISTRO SUELO RELLENABLE | 2,00 | 98,07 | 196,14 |
| | | | Suministro y colocación de tapa de registro de acero inoxidable, estanca para registros en forjado, paso de 0,60x0,70m. I/ p.p de relleno de tapa con hormigón y preparación para posterior embaldosado. | | | |



| | | | | | | |
|--------|---------|----|---|-------|-----------|-----------|
| C05.07 | Partida | m2 | SOLADO MÁRMOL HUECO ESCALERAS PB-PB ED. 32 | 4,36 | 37,87 | 165,11 |
| | | | Suministro y colocación de baldosas de mármol , CLASE 2 de medidas, modelo y color igual a existente, recibido con cemento cola, y rejuntada con mortero para rejuntar de alta resistencia, tipo Weber. Color Premium,, color a definir. Incluso pp de cortes, crucetas de PVC. Incluso eliminación de restos, limpieza final y retirada de escombros a vertedero. Parte proporcional de medios auxiliares. Se deberán presentar muestras en obra para aprobación de la DF. | | | |
| C05.08 | Partida | m2 | SOLADO EXTERIOR/INTERIOR GRANITO GRIS VILLA 60x30x2 | 13,93 | 105,65 | 1.471,70 |
| | | | Suministro y colocación de solado de granito GRIS VILLA acabado antideslizante (abujardado) en acceso al colegio por ed. 32 pb Incluido zócalo y recibido con mortero de cemento (cemento cola en colocación sobre pavimento). Las juntas serán mínimo 2 mm. de ancho constante en toda la superficie. Cumpliendo con el código Técnico. Incluye obtención del Certificado EFL. *NOTA: Medida la superficie a ejecutar. | | | |
| | | | | 1 | 23.724,30 | 23.724,30 |



2.6. Carpintería metálica y vidriería

| Código | Nat | Ud | Resumen | CanPres | PrPres | ImPres |
|------------|-----------------|----|--|----------|-----------------|-----------------|
| C06 | Capítulo | | CARPINTERIA METALICA Y VIDRIERIA | 1 | 8.728,05 | 8.728,05 |
| C06.01 | Partida | ud | PUERTA ACCESO CORREDERA AUTOMATICA - SIN PERFILERÍA | 1,00 | 1.897,85 | 1.897,85 |
| | | | Puerta corredera automática marca MANUSA, para hueco de 1,20 x 2.10 m compuesta por una sola hojas móvil, SIN PERFILERÍA, con acristalamiento formado con vidrio laminar de seguridad tipo estadio 6+6 con canto arenado para evitar fisuras, calzos y sellado, con apertura automática con operador, cuadro de maniobra microprocesado, batería de apertura de emergencia y sistema de rodadura anti-aplastamiento incorporado, cerrojo eléctrico, fotocélulas de seguridad para protección de personas, perfil metálico para sujeción de la guía, completamente instalada y en funcionamiento. Incluye todos los materiales y herramientas necesarios para dejar la puerta acabada y en funcionamiento. Deberá llevar obligatoriamente marco de cierre con sistema anti apertura. Incluso pulsadores de apertura. La fotocélula se instalará en tanto en el exterior como por el interior. El UTP (cerradura electrónica para configurar la puerta) se ubicará en la sala de máquinas. Se han de suministrar copias de la llave. | | | |
| C06.02 | Partida | ud | P5 PUERTA METÁLICA EI2-60-C5 1 HOJA 90 | 1,00 | 230,20 | 230,20 |
| | | | Suministro y colocación de puerta cortafuegos pivotante homologada, EI2 60-C5, de una hoja de 63 mm de espesor, 90x2100 mm de luz y altura de paso, acabado lacada en taller en color blanco mate igual que el resto de puertas (incluido), formada por 2 chapas de acero galvanizado de 0,8 mm de espesor, plegadas, ensambladas y montadas, con cámara intermedia de lana de roca de alta densidad y placas de cartón yeso, sobre cerco de acero galvanizado de 1,5 mm de espesor con junta intumescente y garras de anclaje a obra, incluso montaje de cierrapuertas Marca Dorma Modelo TS92 en ambas hojas, selector de cierre para asegurar el adecuado cerrado de las puertas y barra antipánico SERIE TOP DE TESA para embutir. Elaborada en taller, con ajuste y fijación en obra. Totalmente montada y probada. | | | |
| C06.3 | Partida | ml | B2 PASAMANOS ESCALERA | 5,82 | 109,62 | 637,99 |
| | | | Suministro y colocación de pasamanos con doble altura, con separación entre ambos de 30cm, metálico formado por tubo hueco de acero inoxidable satinado de 43 mm de diámetro, con patillas de sujeción de redondo liso macizo de 16 mm de diámetro cada 50 cm. Incluso p/p de patas de agarre, piezas de empalme entre pasamanos, fijación mediante atornillado en obra de fábrica con tacos y tornillos de acero. Elaborado en taller y montado en obra. Medido en proyección horizontal. | | | |
| C06.4 | Partida | ml | B2 PASAMANOS RAMPA | 7,85 | 109,62 | 860,52 |
| | | | Suministro y colocación de pasamanos a doble altura con separación entre ellos de 0,30cm, metálico formado por tubo hueco de acero inoxidable satinado de 43 mm de diámetro, con patillas de sujeción de redondo liso macizo de 16 mm de diámetro cada 50 cm. Incluso p/p de patas de agarre, piezas de empalme entre pasamanos, fijación mediante atornillado en perfilera de barandilla con tornillos de acero. Elaborado en taller y montado en obra. En la rampa de dos tramos este será continuo en todo su recorrido. Medido en proyección horizontal. | | | |
| C06.5 | Partida | ml | B1 BARANDILLA | 16,56 | 264,31 | 4.376,97 |
| | | | Suministro y colocación de barandilla de 90 cm de altura, realizada mediante tubo de acero inoxidable satinado D43 mm con travesaño intermedio. Fijado al pavimento mediante anclajes mecánicos. | | | |



| | | | | | | |
|-------|---------|----|--|------|----------|----------|
| C06.6 | Partida | Ud | ESCALERA ACERO INOXIDABLE PISCINA 1+1 | 1,00 | 346,18 | 346,18 |
| | | | Suministro y colocación de escalera para salida de piscina realizada con tubo de 43 mm de diámetro de acero inoxidable AISI-304 acabado pulido brillante, con barandilla de agarre de largura 1m, especial para piscinas con canal desbordante, marca METALAST, modelo con peldaño de seguridad, con 1+1 peldaños estampados antideslizantes y pasamanos simétrico, pletinas de fijación, juntas elásticas, tacos de anclaje, tornillos y embellecedores. Incluso p/p de conexión a toma de tierra independiente con placa de acero galvanizado, cable de cobre de 35 mm ² , uniones mediante soldadura aluminotérmica, registro de comprobación y puente de prueba. Totalmente montada y comprobada. | | | |
| C06.7 | Partida | ud | ESCALERA ACERO INOXIDABLE PISCINA 1+2 | 1,00 | 378,34 | 378,34 |
| | | | Suministro y colocación de escalera para salida de piscina realizada con tubo de 43 mm de diámetro de acero inoxidable AISI-304 acabado pulido brillante, con barandilla de agarre de largura 1m, especial para piscinas con canal desbordante, marca METALAST, modelo con peldaño de seguridad, con 1+2 peldaños estampados antideslizantes y pasamanos simétrico, pletinas de fijación, juntas elásticas, tacos de anclaje, tornillos y embellecedores. Incluso p/p de conexión a toma de tierra independiente con placa de acero galvanizado, cable de cobre de 35 mm ² , uniones mediante soldadura aluminotérmica, registro de comprobación y puente de prueba. Totalmente montada y comprobada. | | | |
| | | | | 1 | 8.728,05 | 8.728,05 |



2.7. Carpintería de madera

| Código | Nat | Ud | Resumen | CanPres | PrPres | ImPres |
|------------|-----------------|----|--|----------|-----------------|-----------------|
| C07 | Capítulo | | CARPINTERIA DE MADERA | 1 | 5.068,32 | 5.068,32 |
| C07.02 | Partida | ud | P1-PUERTA DM 72X210 CM LACADA | 7,00 | 432,69 | 3.028,83 |
| | | | <p>Suministro e instalación de módulo de puerta de paso ciega de una hoja practicable, de 35 mm de espesor, con ancho de hoja de 72 mm y altura 2100 mm, todo ello realizado en DM, lacado satinado en taller en color blanco RAL 9016, con cerco macizo, precerco, tapajuntas moldeadas de DM de 70x10 mm en ambas caras, lacadas en el mismo color, totalmente instalada, incluso 4 pernios, todos los herrajes de acero inox satinado, junquillo de goma (JUNTA TÓRICA) integrado en perímetro interior de marco, y demás elementos necesarios para su instalación. Totalmente instalada.</p> <p>Incluye, manivelas en acero inox satinado, cierre condena en aseos con indicador de libre-ocupado (verde/rojo) y tope de puerta atornillado a suelo tipo Lux de inox.</p> | | | |
| C07.03 | Partida | ud | P2-PUERTA DM 82X210 CM LACADA | 3,00 | 434,74 | 1.304,22 |
| | | | <p>Suministro e instalación de módulo de puerta de paso ciega de una hoja practicable, de 35 mm de espesor, con ancho de hoja de 82 mm y altura 2100 mm, todo ello realizado en DM, lacado satinado en taller en color blanco RAL 9016, con cerco macizo, precerco, tapajuntas moldeadas de DM de 70x10 mm en ambas caras, lacadas en el mismo color, totalmente instalada, incluso 4 pernios, todos los herrajes de acero inox satinado, junquillo de goma (JUNTA TÓRICA) integrado en perímetro interior de marco, y demás elementos necesarios para su instalación. Totalmente instalada.</p> <p>Incluye, manivelas en acero inox satinado y tope de puerta atornillado a suelo tipo Lux de inox.</p> | | | |
| C07.07 | Partida | ud | PC1-PUERTA CORREDERA DM LACADA 95 CM | 1,00 | 735,27 | 735,27 |
| | | | <p>Suministro e instalación de módulo de puerta de paso ciega de una hoja maciza de altura 2,10m y 0.95 m de ancho, corredera, con sistema "Krona" realizada en DM, lacado satinado en taller color blanco RAL 9016, incluso travesaño superior, fijación a la chapa superior con tornillos, montante lateral ensamblado con clavos, colocación de distanciadores y de armazón, con cerco visto y tapajuntas moldeados de DM, lacadas en taller en el mismo color, totalmente instalada, incluso herrajes y deslizamiento sistema Krona, y demás elementos necesarios para su instalación (manetas de cierre). Incluso set de condena con desbloqueo y señalizador libre-ocupado (verde/rojo) de acero inox satinado en aseos.</p> <p>Incluye Armazón metálico para tabique de 10 cm de espesor.</p> | | | |
| | | | | 1 | 5.068,32 | 5.068,32 |



2.8. Ayudas

| Código | Nat | Ud | Resumen | CanPres | PrPres | ImPres |
|------------|-----------------|----|--|----------|-----------------|-----------------|
| C08 | Capítulo | | AYUDAS | 1 | 3.778,35 | 3.778,35 |
| C08.01 | Partida | ud | AYUDA ALBAÑILERÍA A ELECTRICIDAD | 1,00 | 1.385,50 | 1.385,50 |
| | | | Ayuda de albañilería a instalación de electricidad incluyendo mano de obra en carga y descarga, materiales, apertura y tapado de rozas, calos inferiores a 100 mm, recibidos, limpieza, remates y medios auxiliares. | | | |
| C08.02 | Partida | ud | AYUDA ALBAÑILERÍA A FONTANERIA Y SANEAMIENTO | 1,00 | 272,12 | 272,12 |
| | | | Ayudas de albañilería a las instalaciones de fontanería y saneamiento, incluso mano de obra en carga y descarga, materiales, apertura y tapado de rozas, calos inferiores a 100 mm, recibidos, limpieza, remates y medios auxiliares. | | | |
| C08.03 | Partida | ud | AYUDA ALBAÑILERÍA A CLIMATIZACIÓN | 1,00 | 883,40 | 883,40 |
| | | | Ayuda de albañilería a instalación de climatización incluyendo mano de obra en carga y descarga, materiales, apertura y tapado de rozas, calos inferiores a 100 mm, recibidos, limpieza, remates y medios auxiliares. | | | |
| C08.04 | Partida | ud | AYUDA ALBAÑILERIA INST. ESPECIALES | 1,00 | 294,53 | 294,53 |
| | | | Ayuda de albañilería a instalaciones especiales (protección contra incendios, piscina, incluyendo mano de obra en carga y descarga, replanteos, materiales, apertura y tapado de rozas, calos inferiores a 100 mm, recibidos, limpieza, remates y medios auxiliares. | | | |
| C08.05 | Partida | pa | LIMPIEZA FINAL OBRA | 1,00 | 350,00 | 350,00 |
| | | | Limpieza final de obra, dejando toda la zona en perfectas condiciones para entrar en uso. | | | |
| C08.07 | Partida | ud | AYUDA MONTAJE MOBILIARIO Y ACCESORIOS PROPIEDAD | 1,00 | 592,80 | 592,80 |
| | | | Ayuda a montaje de mobiliario y accesorios suministrados por la propiedad. Bandas antideslizantes, toldo piscina, flotador salvavidas, botiquín, bancos, colgadores, porta rollos... Se incluyen todos los trabajos de recogida de embalajes, contenedores, carga de camión y transporte autorizado. | | | |
| | | | | 1 | 3.778,35 | 3.778,35 |



2.9. Instalación eléctrica

| Código | Nat | Ud | Resumen | CanPres | PrPres | ImPres |
|-------------|-----------------|----|---|-------------|------------------|------------------|
| I01 | Capítulo | | INSTALACIÓN ELÉCTRICA | 1 | 13.890,02 | 13.890,02 |
| I1.1 | Capítulo | | DERIVACIÓN INDIVIDUAL Y CUADRO GENERAL | 1,00 | 456,90 | 456,90 |
| I1.1.2 | Partida | ud | SUBCUADRO DE DISTRIBUCION | 1,00 | 456,90 | 456,90 |
| | | | UD. Suministro e instalación de Cuadro de subdistribución construido en chapa de acero, o similar, conteniendo el aparellaje reflejado en unifilar. incluye la total instalación del conjunto, pequeño material necesario para ello y puesta en marcha. Instalado según REBT 2002. | | | |
| | | | | 1,00 | 456,90 | 456,90 |
| I1.2 | Capítulo | | CONDUCTORES ELÉCTRICOS | 1,00 | 4.414,89 | 4.414,89 |
| I1.2.1 | Partida | ud | CIRCUITO 2 x 1,5 + 1,5 T mm2 | 6,00 | 139,20 | 835,20 |
| | | | Suministro y colocación de circuito de cobre 2 x 1,5 + 1,5T mm2 RZ1-K con aislamiento XLPE 0,6/1 KV, exento de halógenos. flexible, instalado sobre bandeja metálica o bajo tubo (flexible tipo ferroplast en falsos techos o en interior de construcciones, o rígido en instalaciones de superficie según normas UNE-EN 50.085-1 y UNE-EN 50.086-1 y REBT 2002) desde Cuadro a Receptores. Totalmente montado e instalado con p.p. de tubo, accesorios y pequeño material. Long. aprox. por circuito 60ml. | | | |
| I1.2.2 | Partida | ud | CIRCUITO 2 x 2,5 + 2,5 T mm2 | 9,00 | 101,60 | 914,40 |
| | | | Suministro y colocación de circuito de cobre 2 x 2,5 + 2,5T mm2 RZ1-K con aislamiento XLPE 0,6/1 KV, exento de halógenos. flexible, instalado sobre bandeja metálica o bajo tubo (flexible tipo ferroplast en falsos techos o en interior de construcciones, o rígido en instalaciones de superficie según normas UNE-EN 50.085-1 y UNE-EN 50.086-1 y REBT 2002) desde Cuadro a Receptores. Totalmente montado e instalado con p.p. de tubo, accesorios y pequeño material. Long. aprox. por circuito 40ml. | | | |
| I1.2.3 | Partida | ud | CIRCUITO 4 x 2,5 + 2,5 T mm2 | 1,00 | 113,57 | 113,57 |
| | | | Suministro y colocación de circuito de cobre 4 x 2,5 + 2,5T mm2 RZ1-K con aislamiento XLPE 0,6/1 KV, exento de halógenos. flexible, instalado sobre bandeja metálica o bajo tubo (flexible tipo ferroplast en falsos techos o en interior de construcciones, o rígido en instalaciones de superficie según normas UNE-EN 50.085-1 y UNE-EN 50.086-1 y REBT 2002) desde Cuadro a Receptores. Totalmente montado e instalado con p.p. de tubo, accesorios y pequeño material. Long. aprox. por circuito 20ml. | | | |
| I1.2.3 | Partida | ud | CIRCUITO 2 x 4 + 4 T mm2 | 1,00 | 142,60 | 142,60 |
| | | | Suministro y colocación de circuito de cobre 2 x 4 + 4T mm2 RZ1-K con aislamiento XLPE 0,6/1 KV, exento de halógenos. flexible, instalado sobre bandeja metálica o bajo tubo (flexible tipo ferroplast en falsos techos o en interior de construcciones, o rígido en instalaciones de superficie según normas UNE-EN 50.085-1 y UNE-EN 50.086-1 y REBT 2002) desde Cuadro a Receptores. Totalmente montado e instalado con p.p. de tubo, accesorios y pequeño material. Long. aprox. por circuito 20ml. | | | |
| I1.2.4 | Partida | ud | CIRCUITO 4 x 6 + 6T mm2 | 1,00 | 116,52 | 116,52 |
| | | | Suministro y colocación de circuito de cobre 4 x 6+ 6T mm2 RZ1-K con aislamiento XLPE 0,6/1 KV, exento de halógenos. flexible, instalado sobre bandeja metálica o bajo tubo (flexible tipo ferroplast en falsos techos o en interior de construcciones, o rígido en instalaciones de superficie según normas UNE-EN 50.085-1 y UNE-EN 50.086-1 y REBT 2002) desde Cuadro a Receptores. Totalmente montado e instalado con p.p. de tubo, accesorios y pequeño material. Long. aprox. por circuito 20ml. | | | |



| | | | | | | |
|-------------|-----------------|----|---|-------------|-----------------|-----------------|
| I1.2.5 | Partida | ud | CIRCUITO 4 x 10 + 10 T mm2 | 1,00 | 132,76 | 132,76 |
| | | | Suministro y colocación de circuito de cobre 4 x 10 + 10T mm2 RZ1-K con aislamiento XLPE 0,6/1 KV, exento de halógenos. flexible, instalado sobre bandeja metálica o bajo tubo (flexible tipo ferroplast en falsos techos o en interior de construcciones, o rígido en instalaciones de superficie según normas UNE-EN 50.085-1 y UNE-EN 50.086-1 y REBT 2002) desde Cuadro a Receptores. Totalmente montado e instalado con p.p. de tubo, accesorios y pequeño material. Long. aprox. por circuito 20ml. | | | |
| I1.2.6 | Partida | ml | CIRCUITO 4 x 35 + 35 T mm2 | 1,00 | 150,56 | 150,56 |
| | | | Suministro y colocación de circuito de cobre 4 x 35+ 35T mm2 RZ1-K con aislamiento XLPE 0,6/1 KV, exento de halógenos. flexible, instalado sobre bandeja metálica o bajo tubo (flexible tipo ferroplast en falsos techos o en interior de construcciones, o rígido en instalaciones de superficie según normas UNE-EN 50.085-1 y UNE-EN 50.086-1 y REBT 2002) desde Cuadro a Receptores. Totalmente montado e instalado con p.p. de tubo, accesorios y pequeño material. Long. aprox. por circuito 20ml. | | | |
| I1.2.7 | Partida | ud | PUNTO DE LUZ | 85,00 | 20,93 | 1.779,05 |
| | | | Instalación de punto de luz simple o doble en paredes o techos, desde cajas de registro de circuitos principales (longitud hasta 15 m), con p.p. De instalación de cable eléctrico tipo afumex, con las secciones y el número de conductores especificados en el esquema unifilar del proyecto; bajo tubo de plástico rígido libre de halógenos con grado de protección 7 y cajas de derivación necesarias. Se incluye la mano de obra de montaje, y el material auxiliar de instalación. | | | |
| I1.2.8 | Partida | ud | PUNTO DE LUZ EMERGENCIAS | 11,00 | 20,93 | 230,23 |
| | | | Instalación de punto de luz simple en paredes o techos, para equipos autónomos de alumbrado de emergencia, desde cajas de registro de circuitos principales (longitud hasta 15 m), con p.p. De instalación de cable eléctrico tipo afumex de la marca prysmian, con las secciones y el número de conductores especificados en el esquema unifilar del proyecto; bajo tubo de plástico rígido libre de halógenos con grado de protección 7 y cajas de derivación necesarias. Se incluye la mano de obra de montaje, y el material auxiliar de instalación. | | | |
| | | | | 1,00 | 4.414,89 | 4.414,89 |
| I1.3 | Capítulo | | LUMINARIAS | 1,00 | 7.135,78 | 7.135,78 |
| I1.3.1 | Partida | Ud | PERFIL TIRA LED 21W | 51,00 | 67,47 | 3.440,97 |
| | | | Suministro, colocación y conexión de panel tira led 21w 3000k 1108lm blanco, ip65. Marca Philips. Se incluye la mano de obra de montaje y el material auxiliar de instalación. Totalmente instalada, conectada y comprobada. Ref. Tcs680 mlo | | | |
| I1.3.2 | Partida | Ud | PERFIL TIRA LED 29W | 1,00 | 82,59 | 82,59 |
| | | | Suministro, colocación y conexión de panel tira led 29w 3000k2433m, ip65, blanco. Marca Philips. Se incluye la mano de obra de montaje y el material auxiliar de instalación. Totalmente instalada, conectada y comprobada. Ref. Tcs680 c8 | | | |
| I1.3.3 | Partida | Ud | PERFIL TIRA LED 84W | 4,00 | 105,98 | 423,92 |
| | | | Suministro, colocación y conexión de panel tira led 84w 3000k 4271m, ip65, blanco. Marca Philips. Se incluye la mano de obra de montaje y el material auxiliar de instalación. Totalmente instalada, conectada y comprobada. Ref. Tcs680 d8 | | | |
| I1.3.4 | Partida | Ud | DOWNLIGHT LED 9,8W | 12,00 | 66,82 | 801,84 |
| | | | Suministro, colocación y conexión de downlight led 9,8w, 3000k, ip65. Marca Philips. Se incluye la mano de obra de montaje y el material auxiliar de instalación. Totalmente instalada, conectada y comprobada. Ref.dn463b | | | |



| | | | | | | |
|-------------|-----------------|----|--|-------------|---------------|---------------|
| I1.3.5 | Partida | Ud | FOCO LED 32W | 2,00 | 79,52 | 159,04 |
| | | | Suministro, colocación y conexión de focoled 32w 3000k 3818m, ip65, blanco. Marca Philips. Se incluye la mano de obra de montaje y el material auxiliar de instalación. Totalmente instalada, conectada y comprobada. Ref. St740vwb. | | | |
| I1.3.6 | Partida | Ud | FOCO LED 41W | 2,00 | 87,63 | 175,26 |
| | | | Suministro, colocación y conexión de focoled 41w 3000k 3686m, ip65, blanco. Marca Philips. Se incluye la mano de obra de montaje y el material auxiliar de instalación. Totalmente instalada, conectada y comprobada. Ref. St640crv. | | | |
| I1.3.7 | Partida | Ud | FOCO LED 50W | 2,00 | 98,87 | 197,74 |
| | | | Suministro, colocación y conexión de focoled 50w 3000k 4355m, ip65, blanco. Marca Philips. Se incluye la mano de obra de montaje y el material auxiliar de instalación. Totalmente instalada, conectada y comprobada. Ref. St640wbsk. | | | |
| I1.3.8 | Partida | Ud | DOWNLIGHT LED 84W | 7,00 | 157,98 | 1.105,86 |
| | | | Suministro, colocación y conexión de downlight led 84w, 3000k, 5395lm, ip65. Marca Philips. Se incluye la mano de obra de montaje y el material auxiliar de instalación. Totalmente instalada, conectada y comprobada. Ref.wl120v | | | |
| I1.3.9 | Partida | Ud | DOWNLIGHT LED PISCINA 16W | 4,00 | 104,24 | 416,94 |
| | | | Suministro, colocación y conexión de downlight piscina 16w 6300 k 14851lm, ipx8, blanco. Marca astralpool. Se incluye la mano de obra de montaje y el material auxiliar de instalación. Totalmente instalada, conectada y comprobada. | | | |
| I1.3.10 | Partida | ud | APARATO AUTONOMO DE EMERGENCIA 300lm | 1,00 | 33,42 | 33,42 |
| | | | Suministro, colocación y conexión de conjunto de emergencia led 1,4w en superficie 300l, marca moonoff. Se incluye la mano de obra de montaje y el material auxiliar de instalación. Totalmente instalada, conectada y comprobada. | | | |
| I1.3.11 | Partida | ud | KIT EMERGENCIA | 10,00 | 29,82 | 298,20 |
| | | | Suministro, colocación y conexión de módulo de alimentación en caso de emergencia, para conexionado en caja universal, marca Philips, 0,35w. Se incluye la mano de obra de montaje y el material auxiliar de instalación. Totalmente instalada, conectada y comprobada. | | | |
| | | | | 1,00 | 7.135,78 | 7.135,78 |
| I1.4 | Capítulo | | MECANISMOS | 1,00 | 684,29 | 684,29 |
| I1.4.1 | Partida | ud | INTERRUPTOR | 3,00 | 16,79 | 50,37 |
| | | | UD. Suministro e instalación de interruptor de empotrar Serie SIMON 27 BLANCO NEOS, completo con todos sus accesorios de montaje, con p.p. de terminales rotulaciones conexiones cajas de derivación y pequeño material. Totalmente instalado. | | | |
| I1.4.2 | Partida | ud | INTERRUPTOR COMÚN SALA MÁQUINAS | 1,00 | 51,84 | 51,84 |
| | | | Suministro e instalación de pulsador de superficie (FINO), color blanco, colocado en la sala de máquinas, para apagado/encendido alumbrado de las zonas comunes, completo con todos sus accesorios de montaje, se incluye la total instalación del conjunto, incluso elementos auxiliares para el mando y control de la potencia, con p.p. de canalizaciones mediante canaleta blanca en mueble de recepción desde caja empotrada en suelo, cableados de circuitos de derivación, de terminales, rotulaciones, conexiones, cajas de derivación y pequeño material. | | | |



| | | | | | | |
|-------------|-----------------|----|---|-------------|-----------------|-----------------|
| I1.4.3 | Partida | ud | BASES DE ENCHUFES 16 A | 8,00 | 15,62 | 124,96 |
| | | | UD. Suministro e instalación de Base de enchufe con toma de tierra lateral realizada con Base enchufe 2P + TT Seguridad Lateral Aluminio Mercurio de la Serie SIMON 27 BLANCO NEOS, incluyendo caja de mecanismo universal con tornillos, incluso mano de obra de instalación. Totalmente montado e instalado. | | | |
| I1.4.4 | Partida | ud | SECAMANOS ELECTRICOS | 3,00 | 144,00 | 432,00 |
| | | | UD. Suministro e instalación de secamanos eléctrico, modelo Smartflow automática ABS en color blanco. Código: M04A. Totalmente colocado y en funcionamiento. | | | |
| I1.4.5 | Partida | ud | UTP APERTURA PUERTA AUTOMATICA | 2,00 | 12,56 | 25,12 |
| | | | Suministro e instalación de cableado eléctrico (UTP CAT.6) para UTP, llavín de maniobra de apertura de puerta automática de acceso al local, conforme a las especificaciones del fabricante. se incluye la mano de obra de montaje y el material auxiliar de instalación. totalmente instalado, conectado y comprobado. | | | |
| | | | Ubicado en mostrador de recepción. | | | |
| | | | | 1,00 | 684,29 | 684,29 |
| I1.5 | Capítulo | | VARIOS | 1,00 | 1.198,16 | 1.198,16 |
| I1.5.1 | Partida | ud | CONEXIÓN ELÉCTRICA A LOS CLIMATIZADORES | 24,00 | 6,10 | 146,40 |
| | | | UD. Conexión eléctrica a los climatizadores, aparatos de ventilación y extracción, incluyendo diferentes accesorios para su correcta instalación. Completamente montados y conexiados. | | | |
| I1.5.2 | Partida | ud | PULSADORES APERTURA PUERTA | 2,00 | 25,51 | 51,02 |
| | | | Suministro e instalación de cableado eléctrico y pulsadores para maniobra de apertura de puerta automática de acceso al local, conforme a las especificaciones del fabricante. se incluye la mano de obra de montaje y el material auxiliar de instalación. Totalmente instalado, conectado y comprobado. Incluso pulsador de superficie (FINO), color blanco, colocado en la mesa de recepción y pulsador de botón integrable ubicado en caja de registro del freno de la persiana exterior. | | | |
| I1.5.3 | Partida | ud | CONTADORES, CUADROS E ILUMINACIÓN PROV. OBRA | 1,00 | 625,30 | 625,30 |
| | | | UD. Unidad de instalación de contadores provisionales, cuadros y alumbrado provisional. | | | |
| I1.5.4 | Partida | ud | RED DE TIERRA | 1,00 | 345,50 | 345,50 |
| | | | UD. Suministro y colocación de cable de cobre conductor desnudo de 1 x 16 mm ² . para realización del tierra, conectando con el tierra existente, incluido herrajes, bridas, medición del valor de tierra y p.p. de elementos auxiliares para conseguir una resistencia inferior a 10 ohm. Totalmente montado y conexionado. | | | |
| I1.5.5 | Partida | ud | CONEXIÓN ELÉCTRICA PUERTA AUTOMATICA | 1,00 | 29,94 | 29,94 |
| | | | Ud. Suministro e instalación de punto de toma de corriente para puerta automática, realizado mediante conductor RZ1-K0.6/1KV, terminado en caja estanca con bornas de conexión, etiquetado y probado, completo incluso p.p. de canalizaciones necesarias, realizadas bajo tubo corrugado, cableados de circuitos de derivación tipo RZ1K 0,6/1KV (1x2,5F + 1x2,5N + 1x2,5T) mm ² , conexiones, rotulados y pequeño material de instalación. Totalmente instalado. | | | |
| | | | | 1 | 1.198,16 | 1.198,16 |



2.10.Fontanería

| Código | Nat | Ud | Resumen | CanPres | PrPres | ImPres |
|------------|-----------------|----|---|----------|------------------|------------------|
| I02 | Capítulo | | FONTANERIA, SANEAMIENTO Y APARATOS SANITARIOS | 1 | 20.892,58 | 20.892,58 |
| I2.01 | Partida | ud | INODORO mod. EMMA SQUARE DE GALA CON FLUXOR | 8,00 | 341,58 | 2.732,64 |
| | | | UD. Suministro e instalación de Inodoro de porcelana vitrificada, modelo Emma Square de Gala, colocado mediante tacos y tornillos al solado, incluso sellado con silicona, y compuesto por: taza, tanque bajo con tapa y mecanismos y asiento con tapa lacados, con bisagras de acero, instalado, incluso con llave de escuadra de 1/2" cromada y latiguillo flexible de 20 cm. y de 1/2", funcionando. (El manguetón está incluido en las instalaciones de desagüe). | | | |
| | | | Incluye mecanismo fluxor empotrable correspondiente al modelo. | | | |
| I2.02 | Partida | ud | LAVABO 60x45 mod. EMMA SQUARE DE GALA | 5,00 | 378,24 | 1.891,20 |
| | | | UD. Suministro e instalación de Lavabo de porcelana vitrificada, modelo Emma Square de Gala, de 60x45 cm., colocado sobre encimera anclada a la pared, con un grifo monomando ROCA L20 ref. 5A3K09C00, con aireadores, incluso válvula de desagüe de 32 mm., sifón botella cromado, llaves de escuadra de 1/2" cromadas, y latiguillos flexibles de 20 cm. y de 1/2", instalado y funcionando. | | | |
| I2.03 | Partida | ud | BARRA ABATIBLE (VESTUARIO MINUSVÁLIDOS) | 2,00 | 145,86 | 291,72 |
| | | | UD. Suministro y colocación de barra sujeción para vestuario adaptado marca Roca, abatible de pared. Uno de las dos barras incluye portarrollos. *Nota: Incluso estructura auxiliar de refuerzo en pared mediante tubos de hierro y placas de anclaje a estructura. Se incluyen las ayudas de albañilería necesarias para la apertura y tapado de rozas en pared y solera. | | | |
| I2.04 | Partida | ud | ESPEJO 80X60 CM. | 5,00 | 76,40 | 382,00 |
| | | | UD. Suministro y colocación de espejo para aseo y vestuario, de dimensiones 80x60 cm. Totalmente colocado y en funcionamiento. | | | |
| I2.05 | Partida | ud | GRIFERÍA DUCHA ANTIVANDÁLICA | 17,00 | 60,17 | 1.022,89 |
| | | | UD. Suministro y colocación de grifería temporizada antivandálica, instalación empotrada formada por grifo de paso recto mural para ducha, antivandálico, con tiempo de flujo de 30 segundos, caudal de 15 l/min, para colocación empotrada en pared. Marca ROCA Modelo FIT. Incluso elementos de conexión. | | | |
| I2.06 | Partida | ud | ASIENTO DUCHA MINUSVÁLIDOS | 1,00 | 223,60 | 223,60 |
| | | | UD. Suministro y colocación de asiento para minusválidos, colocado en pared, abatible, de acero inoxidable AISI 304 color blanco, de dimensiones totales 425x430 mm, nivelado y fijado al soporte con las sujeciones suministradas por el fabricante. Totalmente montado. | | | |
| I2.07 | Partida | ud | BARRA FIJA DUCHA (VESTUARIO MINUSVÁLIDOS) | 1,00 | 98,85 | 98,85 |
| | | | UD. Suministro y colocación de barra sujeción para ducha vestuario adaptado marca Roca, con forma de U, de acero inoxidable AISI 304 color blanco, de dimensiones totales 665x145 mm con tubo de 33 mm de diámetro exterior y 1,5 mm de espesor, nivelada y fijada a la pared. *Nota: Incluso estructura auxiliar de refuerzo en pared mediante tubos de hierro y placas de anclaje a estructura. Se incluyen las ayudas de albañilería necesarias para la apertura y tapado de rozas en pared y solera. | | | |
| I2.08 | Partida | ud | ARQUETA REGISTRO RED SANEAMIENTO | 2,00 | 109,28 | 218,56 |
| | | | Suministro y montaje de arqueta enterrada, de dimensiones 40x40, prefabricada de polipropileno con tapa prefabricada de PVC. Incluso formación de agujeros para el paso de los tubos. Totalmente montada. Incluso tapa de registro enrasada a pavimento, sobre arqueta prefabricada, realizada mediante cerco perimetral de acero inoxidable y forrada con pavimento de la zona 31x62,6. | | | |



| | | | | | | |
|-------|---------|----|--|-------|--------|----------|
| I2.09 | Partida | PA | CONEXION A RED DE SANEAMIENTO EXISTENTE | 12,00 | 206,60 | 2.479,20 |
| | | | Conexionado de nuevo colector general del edificio con parte del existente, así como también de colectores de saneamiento y desagües con el tramo de colector nombrado, donde se incluyen todos los trabajos de conexión entre ambas redes, taladros en el forjado, recrecidos, sellados, reparaciones para dejar espacios atravesados en las mismas condiciones originales, pruebas de estanqueidad, con reposición de elementos en caso de roturas o de aquellos que se encuentren deteriorados en tramo de colector existente, totalmente montado y funcionando. Se incluye comprobación del buen estado de funcionamiento de colector, incluso p.p. de reparación de averías detectadas. Comprende todos los trabajos, materiales y medios auxiliares necesarios para dejar la unidad completa, totalmente instalada, probada y en perfecto estado de funcionamiento, según Documentos de Proyecto, indicaciones de la D.F. y normativa vigente. Conforme CTE DB HS-5. | | | |
| I2.11 | Partida | ml | Tubería A. Fría DN12 | 19,35 | 14,88 | 287,93 |
| | | | Suministro e instalación de tubo de distribución de agua fría de DN12 construido en PEX-AL-PEX. Totalmente montado y conexionado con p.p. de accesorios por soldadura o por accesorio eléctrico, soportes, aislamiento con espuma elastomérica marca Armaflex/AF de espesor según RITE y demás elementos para su correcto funcionamiento. Conforme CTE HS-4. | | | |
| I2.10 | Partida | ml | Tubería A. Fría DN16 | 4,18 | 15,85 | 66,25 |
| | | | Suministro e instalación de tubo de distribución de agua fría de DN16 construido en PEX-AL-PEX. Totalmente montado y conexionado con p.p. de accesorios por soldadura o por accesorio eléctrico, soportes, aislamiento con espuma elastomérica marca Armaflex/AF de espesor según RITE y demás elementos para su correcto funcionamiento. Conforme CTE HS-4. | | | |
| I2.11 | Partida | ml | Tubería A. Fría DN25 | 15,20 | 15,75 | 239,40 |
| | | | Suministro e instalación de tubo de distribución de agua fría de DN25 construido en PEX-AL-PEX. Totalmente montado y conexionado con p.p. de accesorios por soldadura o por accesorio eléctrico, soportes, aislamiento con espuma elastomérica marca Armaflex/AF de espesor según RITE y demás elementos para su correcto funcionamiento. Conforme CTE HS-4. | | | |
| I2.12 | Partida | ml | Tubería A. Fría DN 32 | 0,35 | 15,85 | 5,55 |
| | | | Suministro e instalación de tubo de distribución de agua fría de DN32 construido en PEX-AL-PEX. Totalmente montado y conexionado con p.p. de accesorios por soldadura o por accesorio eléctrico, soportes, aislamiento con espuma elastomérica marca Armaflex/AF de espesor según RITE y demás elementos para su correcto funcionamiento. Conforme CTE HS-4. | | | |
| I2.13 | Partida | ml | Tubería A. Fría DN 40 | 5,41 | 15,95 | 86,29 |
| | | | Suministro e instalación de tubo de distribución de agua fría de DN40 construido en PEX-AL-PEX. Totalmente montado y conexionado con p.p. de accesorios por soldadura o por accesorio eléctrico, soportes, aislamiento con espuma elastomérica marca Armaflex/AF de espesor según RITE y demás elementos para su correcto funcionamiento. Conforme CTE HS-4. | | | |
| I2.14 | Partida | ml | Tubería A. Fría DN 44 | 14,68 | 16,15 | 237,08 |
| | | | Suministro e instalación de tubo de distribución de agua fría de DN44 construido en PEX-AL-PEX. Totalmente montado y conexionado con p.p. de accesorios por soldadura o por accesorio eléctrico, soportes, aislamiento con espuma elastomérica marca Armaflex/AF de espesor según RITE y demás elementos para su correcto funcionamiento. Conforme CTE HS-4. | | | |



| | | | | | | |
|-------|---------|----|--|-------|-------|--------|
| I2.15 | Partida | ml | Tubería A. Fría DN 50 | 36,57 | 16,55 | 605,23 |
| | | | Suministro e instalación de tubo de distribución de agua fría de DN50 construido en PEX-AL-PEX. Totalmente montado y conexionado con p.p. de accesorios por soldadura o por accesorio eléctrico, soportes, aislamiento con espuma elastomérica marca Armaflex/AF de espesor según RITE y demás elementos para su correcto funcionamiento. Conforme CTE HS-4. | | | |
| I2.16 | Partida | ml | Tubería A. Fría DN 62 | 0,80 | 17,05 | 13,64 |
| | | | Suministro e instalación de tubo de distribución de agua fría de DN62 construido en PEX-AL-PEX. Totalmente montado y conexionado con p.p. de accesorios por soldadura o por accesorio eléctrico, soportes, aislamiento con espuma elastomérica marca Armaflex/AF de espesor según RITE y demás elementos para su correcto funcionamiento. Conforme CTE HS-4. | | | |
| I2.17 | Partida | ml | Tubería A. Fría DN 75 | 29,11 | 18,35 | 534,17 |
| | | | Suministro e instalación de tubo de distribución de agua fría de DN75 construido en PEX-AL-PEX. Totalmente montado y conexionado con p.p. de accesorios por soldadura o por accesorio eléctrico, soportes, aislamiento con espuma elastomérica marca Armaflex/AF de espesor según RITE y demás elementos para su correcto funcionamiento. Conforme CTE HS-4. | | | |
| I2.18 | Partida | ud | Válvula esfera DN12 | 41,00 | 24,19 | 991,79 |
| | | | Ud. Suministro y colocación de válvula de esfera con cuerpo de bronce y bola de latón, con juntas PFTE de uniones roscadas, marca DANFOSS 4 de DN12. Totalmente montado y conexionado incluso tapa roscada a la salida. Conforme CTE HS-4. | | | |
| I2.19 | Partida | ud | Válvula esfera DN16 | 2,00 | 24,19 | 48,38 |
| | | | Ud. Suministro y colocación de válvula de esfera con cuerpo de bronce y bola de latón, con juntas PFTE de uniones roscadas, marca DANFOSS 4 de DN16. Totalmente montado y conexionado incluso tapa roscada a la salida. Conforme CTE HS-4. | | | |
| I2.20 | Partida | ud | Válvula esfera DN25 | 11,00 | 25,32 | 278,52 |
| | | | Ud. Suministro y colocación de válvula de esfera con cuerpo de bronce y bola de latón, con juntas PFTE de uniones roscadas, marca DANFOSS4 de DN25. Totalmente montado y conexionado incluso tapa roscada a la salida. Conforme CTE HS-4 | | | |
| I2.21 | Partida | ud | Válvula esfera DN32 | 1,00 | 26,58 | 26,58 |
| | | | Ud. Suministro y colocación de válvula de esfera con cuerpo de bronce y bola de latón, con juntas PFTE de uniones roscadas, marca DANFOSS de DN32. Totalmente montado y conexionado incluso tapa roscada a la salida. Conforme CTE HS-4 | | | |
| I2.22 | Partida | ud | Válvula esfera DN40 | 2,00 | 29,48 | 58,96 |
| | | | Ud. Suministro y colocación de válvula de esfera con cuerpo de bronce y bola de latón, con juntas PFTE de uniones roscadas, marca DANFOSS de DN40. Totalmente montado y conexionado incluso tapa roscada a la salida. Conforme CTE HS-4 | | | |
| I2.23 | Partida | ud | Válvula esfera DN42 | 1,00 | 29,48 | 29,48 |
| | | | Ud. Suministro y colocación de válvula de esfera con cuerpo de bronce y bola de latón, con juntas PFTE de uniones roscadas, marca DANFOSS de DN44. Totalmente montado y conexionado incluso tapa roscada a la salida. Conforme CTE HS-4 | | | |



| | | | | | | |
|-------|---------|----|--|-------|-------|--------|
| I2.24 | Partida | ud | Válvula esfera DN50 | 4,00 | 29,48 | 117,92 |
| | | | Ud. Suministro y colocación de válvula de esfera con cuerpo de bronce y bola de latón, con juntas PFTE de uniones roscadas, marca DANFOSS de DN50. Totalmente montado y conexionado incluso tapa roscada a la salida. Conforme CTE HS-4 | | | |
| I2.25 | Partida | ud | Válvula esfera DN75 | 1,00 | 29,48 | 29,48 |
| | | | Ud. Suministro y colocación de válvula de esfera con cuerpo de bronce y bola de latón, con juntas PFTE de uniones roscadas, marca DANFOSS de DN75. Totalmente montado y conexionado incluso tapa roscada a la salida. Conforme CTE HS-4 | | | |
| I2.26 | Partida | ud | CONEXIONES DE GRIFERIAS Y SANITARIOS | 31,00 | 11,59 | 359,29 |
| | | | UD. Suministro y colocación de elementos necesarios para conexionado y montaje de grifería y sanitarios. Totalmente montado y conexionado. | | | |
| I2.27 | Partida | ml | Tubería A.C.S. DN12 | 10,80 | 13,62 | 147,10 |
| | | | Suministro e instalación de tubo de distribución de agua caliente sanitaria de DN12 construido en PEX-AL-PEX. Totalmente montado y conexionado con p.p. de accesorios por soldadura o por accesorio eléctrico, soportes, aislamiento con espuma elastomérica marca Armaflex/AF de espesor según RITE y demás elementos para su correcto funcionamiento. Conforme CTE HS-4. | | | |
| I2.28 | Partida | ml | Tubería A.C.S. DN16 | 5,77 | 14,04 | 81,01 |
| | | | Suministro e instalación de tubo de distribución de agua caliente sanitaria de DN16 construido en PEX-AL-PEX. Totalmente montado y conexionado con p.p. de accesorios por soldadura o por accesorio eléctrico, soportes, aislamiento con espuma elastomérica marca Armaflex/AF de espesor según RITE y demás elementos para su correcto funcionamiento. Conforme CTE HS-4. | | | |
| I2.29 | Partida | ml | Tubería A.C.S. DN25 | 22,57 | 15,22 | 343,52 |
| | | | Suministro e instalación de tubo de distribución de agua caliente sanitaria de DN25 construido en PEX-AL-PEX. Totalmente montado y conexionado con p.p. de accesorios por soldadura o por accesorio eléctrico, soportes, aislamiento con espuma elastomérica marca Armaflex/AF de espesor según RITE y demás elementos para su correcto funcionamiento. Conforme CTE HS-4. | | | |
| I2.30 | Partida | ml | Tubería A.C.S. DN40 | 52,14 | 15,77 | 822,25 |
| | | | Suministro e instalación de tubo de distribución de agua caliente sanitaria de DN40 construido en PEX-AL-PEX. Totalmente montado y conexionado con p.p. de accesorios por soldadura o por accesorio eléctrico, soportes, aislamiento con espuma elastomérica marca Armaflex/AF de espesor según RITE y demás elementos para su correcto funcionamiento. Conforme CTE HS-4. | | | |
| I2.31 | Partida | ml | Tubería A.C.S. DN42 | 2,13 | 16,08 | 34,25 |
| | | | Suministro e instalación de tubo de distribución de agua caliente sanitaria de DN42 construido en PEX-AL-PEX. Totalmente montado y conexionado con p.p. de accesorios por soldadura o por accesorio eléctrico, soportes, aislamiento con espuma elastomérica marca Armaflex/AF de espesor según RITE y demás elementos para su correcto funcionamiento. Conforme CTE HS-4. | | | |
| I2.32 | Partida | ml | TUBO PVC DIAM. 40 MM | 6,50 | 10,37 | 67,41 |
| | | | Suministro e instalación de Tubería de PVC de evacuación, de 40 mm. de diámetro, colocada en instalaciones interiores de desagüe, para baños y cocinas, con p.p. de piezas especiales de PVC y con unión pegada, instalada y funcionando. Instalado empotrado o bajo zanja/recrecido. | | | |



| | | | | | | |
|-------|---------|----|---|-------|--------|--------|
| I2.33 | Partida | ml | TUBO PVC DIAM. 50 MM | 34,49 | 13,04 | 449,75 |
| | | | Suministro e instalación de Tubería de PVC de evacuación, de 50 mm. de diámetro, colocada en instalaciones interiores de desagüe, para baños y cocinas, con p.p. de piezas especiales de PVC y con unión pegada, instalada y funcionando. Instalado empotrado o bajo zanja/recrecido. | | | |
| I2.34 | Partida | ml | TUBO PVC DIAM. 75 MM | 8,17 | 16,54 | 135,13 |
| | | | Suministro e instalación de Tubería de PVC de evacuación, de 50 mm. de diámetro, colocada en instalaciones interiores de desagüe, para baños y cocinas, con p.p. de piezas especiales de PVC y con unión pegada, instalada y funcionando. Instalado empotrado o bajo zanja/recrecido. | | | |
| I2.35 | Partida | ml | TUBO PVC DIAM. 110 MM | 45,19 | 20,40 | 921,88 |
| | | | Suministro e instalación de Tubería de PVC de evacuación, de 110 mm. de diámetro, colocada en instalaciones interiores de desagüe, para baños y cocinas, con p.p. de piezas especiales de PVC y con unión pegada, instalada y funcionando. Instalado empotrado o bajo zanja/recrecido. | | | |
| I2.36 | Partida | ml | TUBO PVC DIAM. 125 MM | 19,22 | 22,99 | 441,87 |
| | | | Suministro e instalación de Tubería de PVC de evacuación, de 110 mm. de diámetro, colocada en instalaciones interiores de desagüe, para baños y cocinas, con p.p. de piezas especiales de PVC y con unión pegada, instalada y funcionando. Instalado empotrado o bajo zanja/recrecido. | | | |
| I2.37 | Partida | ud | PUNTO DE DESAGÜE | 2,00 | 48,45 | 96,90 |
| | | | Punto de desagüe realizado con tubo de PVC de diferentes secciones (según planos), incluso arqueta de registro y conexión a red de saneamiento. Totalmente conectado. | | | |
| I2.38 | Partida | ml | CANAL PERIMETRAL | 51,74 | 15,79 | 816,97 |
| | | | Suministro y colocación de canaleta prefabricada para recogida de aguas, colocado en zanja lateral realizada. Incluye rejilla de PVC antideslizante, perfil de soporte, conexión a bajante o colector y todo material y maquinaria necesaria para su completa ejecución, montaje, conexión y pruebas de funcionamiento. Incluye sellado de junta de dilatación. | | | |
| I2.39 | Partida | ud | PUNTO DE REGISTRO RED DE SANEAMIENTO | 3,00 | 59,00 | 177,00 |
| | | | Ud. Suministro e instalación de punto de registro/limpieza de red de saneamiento. Realizado en tubo de pvc, se injertará al tubo de desagüe un ramal con tapón para proceder a la limpieza del circuito. Se incluye el transporte, la mano de obra de montaje y el material auxiliar de instalación. | | | |
| I2.40 | Partida | ud | PRUEBA SERVICIO INST. SANEAMIENTO | 1,00 | 120,00 | 120,00 |
| | | | Ud. Realización de prueba de servicio de la instalación de saneamiento según la reglamentación vigente, y conforme al código técnico en su documento básico de salubridad, cte hs-5. Se incluye la mano de obra, y todos los trabajos necesarios para su realización, así como los materiales auxiliares necesarios para realizar dicha prueba. | | | |
| I2.41 | Partida | ud | COLOCACIÓN DE, JABONERAS Y PORTARROLLOS | 10,00 | 56,32 | 563,20 |
| | | | Colocación de accesorios en vestuarios (jaboneros, dispensador de papel, porta rollos, etc.). Incluye todos los medios necesarios para dejar la partida totalmente terminada. | | | |



| | | | | | | |
|-------|---------|----|---|-------|------------------|------------------|
| I2.42 | Partida | ud | BANCOS VESTUARIOS | 16,00 | 83,57 | 1.337,12 |
| | | | Ud. Suministro y colocación de banco para vestuario, de 1000 mm de longitud y 400 mm de profundidad, formado por asiento de un solo listón, de tablero fenólico HPL, color blanco, fijado a escuadras de acero inoxidable AISI 316 en pared a 0,45m de altura. Incluso accesorios de montaje. Totalmente montado. | | | |
| I2.43 | Partida | ud | PERCHEROS VESTUARIOS | 16,00 | 60,17 | 962,72 |
| | | | Ud. Suministro y colocación de perchero para vestuario, de 1000 mm de longitud, formado por 5 percheros dobles, de tablero fenólico HPL, color blanco, fijado a pared AISI 316. Incluso accesorios de montaje. Totalmente montado. | | | |
| I2.44 | Partida | ud | MANILLA GERONTOLÓGICA | 1,00 | 17,91 | 17,91 |
| | | | Ud. Suministro e instalación de MANILLA GERONTOLÓGICA marca ROCA para serie L20. Totalmente montada. | | | |
| | | | | 1 | 20.892,58 | 20.892,58 |



2.11.Climatización y ventilación

| Código | Nat | Ud | Resumen | CanPres | PrPres | ImPres |
|------------|-----------------|----|---|----------|------------------|------------------|
| I03 | Capítulo | | CLIMATIZACIÓN Y VENTILACIÓN | 1 | 89.573,20 | 89.573,20 |
| I3.1 | Partida | ud | CAJA DE VENTILACIÓN CAB 315 RE | 2,00 | 410,52 | 821,04 |
| | | | UD. Suministro, montaje y colocación de caja de ventilación estanca, de bajo nivel sonoro, fabricadas en chapa de acero galvanizado, con aislamiento acústico de fibra de vidrio de 50mm de espesor, cierres estancos, de tipo tracción giratorio, de fácil apertura ventilador centrífugo de álabes hacia adelante, motor con rodamientos a bolas, protector térmico caja de bornes remota IP55. Caudal de 2110m3/h, motor de 230-50Hz para trabajar a temperaturas de hasta 40°C. Incluye transporte, totalmente montado y conexionado, incluso p.p. de elementos auxiliares. | | | |
| I3.2 | Partida | ud | VENTILADOR S&P CAB-200 | 1,00 | 325,20 | 325,20 |
| | | | UD. Suministro, montaje y colocación de caja de ventilación estanca, de bajo nivel sonoro, fabricadas en chapa de acero galvanizado, con aislamiento acústico de fibra de vidrio de 50mm de espesor, cierres estancos, de tipo tracción giratorio, de fácil apertura ventilador centrífugo de álabes hacia adelante, motor con rodamientos a bolas, protector térmico caja de bornes remota IP55. Caudal de 920m3/h, motor de 230-50Hz para trabajar a temperaturas de hasta 40°C. Incluye transporte, totalmente montado y conexionado, incluso p.p. de elementos auxiliares. | | | |
| I3.3 | Partida | ud | CAJA DE FILTRAJE + FILTRO F6 | 1,00 | 192,30 | 192,30 |
| | | | Suministro e instalación de caja de filtraje con filtro F6 incorporado, marca S&P modelo IFL-315G4. Totalmente instalado y funcionando. | | | |
| I3.4 | Partida | ud | CAJA DE FILTRAJE + FILTRO F8 | 1,00 | 159,53 | 159,53 |
| | | | Suministro e instalación de caja de filtraje con filtro F8 marca S&P modelo IFR-315F8. para montar en caja filtrante IFL-F. Totalmente instalado y funcionando. | | | |
| I3.5 | Partida | ml | CONDUCTO HELICOIDAL INOXIDABLE | 58,98 | 32,21 | 1.899,75 |
| | | | Suministro y colocación de red de conducto para la aportación/extracción de aire, ejecutado en acero helicoidal inoxidable i/p.p. de corte, ejecución, codos, embocaduras, derivaciones, elementos de fijación, sellado de uniones con junta de goma, medios auxiliares y costes indirectos, totalmente instalado según normas UNE y NTE-ICI-22. Totalmente instalado y comprobado. | | | |
| I3.6 | Partida | ml | DESHUMIDIFICADOR SHH 740 | 1,00 | 15.897,36 | 15.897,36 |
| | | | Suministro e instalación de deshumidificación para instalación fija, con distribución del aire tratado a través de conductos. Dispone de baterías de intercambio protegidas con tratamiento epoxídico, compresores scroll, filtros de retorno lavables de larga duración, microprocesador con interfaz mecánico. Se incluye el transporte, totalmente instalado, conectado y comprobado. | | | |
| I3.7 | Partida | ud | RED DE DESAGÜES | 3,00 | 142,50 | 427,50 |
| | | | Conexión red de desagües de condensados de equipos construidos en PVC, cy conducidos a bajante más cercana. | | | |
| I3.8 | Partida | ud | UD. EXT. PUHZ-ZRP250YKA | 2,00 | 7.210,00 | 14.420,00 |
| | | | Suministro e instalación de ud. Exterior split-conductos power inverter, bomba de calor gama industrial, mod. Puhz-zrp250yka, marca Mitsubishi, compresor dc inverter, para una capacidad de refrigeración de 44,00 kw y una capacidad de calefacción de 54 kw. Se incluye el transporte, totalmente montado y conexionado, incluso p.p. De elementos auxiliares. Incluso suministro y colocación de apoyos anti-vibratorios realizados mediante tres capas de goma estriada de 3 cm de espesor. | | | |



| | | | | | | |
|-------|---------|----|--|-------|------------------|------------------|
| I3.9 | Partida | ud | UD.INT. PEA-RP500GAQ | 1,00 | 2.653,00 | 2.653,00 |
| | | | Suministro e instalación de ud. Intr. gama industrial, mod. Pea-rp500gaq, marca Mitsubishi. Se incluye el transporte, totalmente montado y conexionado, incluso p.p. De elementos auxiliares. Incluso silent-blocks en los apoyos y colocación en plancha de copopren entre máquina y forjado. | | | |
| I3.10 | Partida | ud | RECUPERADOR ENTÁLPICO | 1,00 | 7.350,00 | 7.350,00 |
| | | | SUMINISTRO, MONTAJE Y PUESTA EN FUNCIONAMIENTO DE RECUPERADOR ENTÁLPICO, GAMA LOSSNAY DE MITSUBISHI ELECTRIC, DE 1.500 M3/H Y 175 PA. MODELO LGH-150RVXT-E. INCLUYE ACCESORIOS DE MONTAJE. | | | |
| I3.11 | Partida | ud | Instalación líneas frigoríficas, bus y equipos | 2,00 | 21.645,00 | 43.290,00 |
| | | | Suministro y montaje de Líneas frigoríficas y de control para la interconexión entre unidades interiores y exteriores, construidas las primeras en tubo de cobre rígido deshidratado, incluyendo P/P de suportación mediante carril perforado sujeto al techo por medio de varilla y taco de acero o mordaza según casos, con aislamientos a base de coquilla de tipo Armaflex IT de las medidas apropiadas según RITE, pruebas de estanqueidad de las tuberías frigoríficas, barridos de limpieza, deshidratación interna de tuberías de refrigerante del sistema y cualquier medio auxiliar necesario para la perfecta ejecución. El bus se montará con manguera libre de halógenos. En los tramos verticales la tubería estará soportada mediante abrazaderas isofónicas Marca MUPRO o similar, Modelo Super Clip. Totalmente instalado y funcionando de acuerdo a planos y especificaciones técnicas adjuntas. | | | |
| I3.12 | Partida | ud | REJILLA APORT. -EXTRAC AIRE-SIST. CLIMATIZACIÓN | 44,00 | 48,58 | 2.137,52 |
| | | | Suministro y colocación de rejas de ventilación, incluido sujeciones y accesorios. Totalmente acabada y conexcionada s/plano. | | | |
| | | | | 1 | 89.573,20 | 89.573,20 |



2.12.Instalación filtración y tratamiento piscina

| | | | | | | |
|------------|-----------------|----|--|----------|------------------|------------------|
| I05 | Capítulo | | INSTALACIÓN FILTRACIÓN Y TRATAMIENTO PISCINA | 1 | 18.242,61 | 18.242,61 |
| I5.1 | Partida | ud | ELECTRICIDAD | 1,00 | 1.080,00 | 1.080,00 |
| | | | UD. Suministro e instalación de un cuadro eléctrico con doble aislamiento, construido en PVC con los correspondientes contadores, relé térmico, diferencial, interruptores, fusibles, pilotos de señalización y reloj programador de 24h e instalación dentro de caseta de filtración. | | | |
| I5.2 | Partida | ud | EQUIPO DE FILTRACIÓN | 1,00 | 1.719,35 | 1.719,35 |
| | | | UD. Suministro e instalación de: -1 filtro de arena de sílice de Ø 750, con un manómetro de presión de 5 válvulas de bola, colector y difusores hidráulicos, construidos en PVC con la correspondientes carga de sílice. - 1 Bomba auto-aspirante con prefiltros y motor de 1,5CV. Totalmente instalado y puesta en marcha. | | | |
| I5.3 | Partida | ud | FONTANERÍA | 1,00 | 2.661,90 | 2.661,90 |
| | | | UD. Suministro e instalación de un circuito cerrado tubo de PVC. PN-10 de presión e instalación de todos los componentes en sala de máquinas. - CANALETA: se colocarán 7 bajantes Ø 35 de PN-10, conectados entre sí con tubería de Ø3x 35,40,50,55,63 - IMPULSORES: se colocarán 4 impulsores de Ø33 conectados entre sí con una tubería de Ø50 y unidos a un colector Ø 63 hasta la bomba. - ASPIRACIÓN DEL DEPÓSITO: la aspiración del depósito de compensación se realizará con tubería Ø75. En la tubería de aspiración del depósito se colocará una válvula de retención y una válvula de bola de Ø75. - TOMA DE LIMPIEZA: la toma de limpieza de fondo se realizará con tubería de Ø50. - SUMIDERO DEP.: en el depósito de compensación de colocará un sumidero con tubería de Ø63 con un rebosadero con tubería de Ø110 conectado al desagüe que facilite la dirección. | | | |
| I5.4 | Partida | ud | ACCESORIOS EMPOTRABLES | 1,00 | 1.032,36 | 1.032,36 |
| | | | UD. Suministro e instalación de accesorios empotrables en el vaso de la piscina. Colocación de todos los accesorios, se dejarán previstos antes de que se realice la estructura de la piscina. - 4 Bocas de impulsión oscilantes de PVC y tapa en ABS. Tornillo regulador POM y caudal máximo de 10m3/h/un. colocadas en el fondo de la piscina. - 4 pasamuros para conectar las bocas uan vez haya finalizado la obra. - 4 sumideros de fondo en ABS, 2 para la piscina, 1 para el depósito de compensación y otro para la cámara técnica bajo forjado. - 1 Toma de aspiración de limpieza de fondo de boquilla de latón cromado y tapeta deslizante de acero inoxidable. Incluye manguito para acople de manguera. | | | |
| I5.5 | Partida | ud | DOSIFICACIÓN Y REGULACIÓN AUTOMÁTICA CON CONTROL DE PARÁMETROS C-640 | 1,00 | 3.232,00 | 3.232,00 |
| | | | UD. Suministro e instalación de un equipo automático de regulación y control de productos de desinfección regulación de pH. Microprocesador para la medición y regulación de parámetros químicos en tratamientos de aguas de piscinas. Bomba dosificadora con sistema proporcional para la inyección del reductor de pH. | | | |
| I5.6 | Partida | ud | ELECTRÓLISIS SALINA CON CONTROL DE PARÁMETROS | 1,00 | 3.554,00 | 3.554,00 |
| | | | UD. Suministro e instalación de equipo de electrólisis salina de limpieza automática para instalaciones de piscinas de uso público. Incluye su conexión con el equipo regulador y la bomba dosificadora de corrección de pH. | | | |
| I5.7 | Partida | ud | EQUIPO ULTRAVIOLADO | 1,00 | 4.963,00 | 4.963,00 |
| | | | UD. Suministro e instalación de sistema de reactores de desinfección y cloraminación. Rendimiento 60mj con reactores compactos de acero inoxidable y balastos electrónicos que garantizan el máximo rendimiento de las lámparas. | | | |
| | | | | 1 | 18.242,61 | 18.242,61 |



2.13.Instalación de energía solar

| Código | Nat | Ud | Resumen | CanPres | PrPres | ImPres |
|------------|-----------------|----|---|----------|------------------|------------------|
| I06 | Capítulo | | INSTALACIÓN DE ENERGÍA SOLAR | 1 | 53.301,57 | 53.301,57 |
| I6.1 | Partida | ud | BATERÍA DE CAPTADORES SOLARES | 45,00 | 847,65 | 38.144,25 |
| | | | Suministro e instalación de captador solar térmico formado por batería de 12 módulos, compuesto cada uno de ellos de un captador solar térmico plano, SRV 2.3 "SAUNIER DUVAL", con panel de montaje de 1233x2033x80 mm, superficie útil 2,35 m², rendimiento óptico 0,79, coeficiente de pérdidas primario 2,41 W/m²K y coeficiente de pérdidas secundario 0,048 W/m²K², compuesto de marco de aluminio, acabado pintado, absorbedor de cobre con tratamiento altamente selectivo, aislamiento térmico de lana mineral y cubierta protectora de vidrio de seguridad, colocados sobre estructura soporte para cubierta plana. Incluso accesorios de montaje y fijación, conjunto de conexiones hidráulicas entre captadores solares térmicos, líquido de relleno para captador solar térmico, válvula de seguridad, purgador, válvulas de corte y demás accesorios. Totalmente montado, conexionado y probado. | | | |
| I6.2.1 | Partida | ud | CALDERA MURAL DE CONDENSACIÓN | 1,00 | 7.125,06 | 7.125,06 |
| | | | Suministro e instalación de caldera mural a gas N, con recuperación de calor por condensación de los productos de la combustión, para calefacción, para uso interior, cámara de combustión estanca y tiro forzado, encendido electrónico, sin llama piloto, potencia útil modulante de 960x480x602 mm, Thermomaster Condens "SAUNIER DUVAL", con kit de conexiones hidráulicas formado por llaves de paso de ida y de retorno de 1 1/2" de diámetro. Totalmente montada, conexionada a la red de producción de ACS y probada . | | | |
| I6.3.1 | Partida | ud | ACUMULADOR DE 800L | 1,00 | 1.679,70 | 1.679,70 |
| | | | Suministro e instalación de acumulador de acero vitrificado, de suelo, 800 l, 740 mm de diámetro y 2200 mm de altura, forro acolchado con cubierta posterior, aislamiento de poliuretano inyectado libre de CFC y protección contra corrosión mediante ánodo de magnesio. Incluso válvulas de corte, tuberías, elementos de montaje y demás accesorios necesarios para su correcto funcionamiento. Totalmente montado, conexionado y probado. | | | |
| I7.01 | Partida | ud | ACUMULADOR 3000L | 1,00 | 5.937,70 | 5.937,70 |
| | | | Suministro e instalación de acumulador de acero vitrificado, de suelo, BDLE 3000 "SAUNIER DUVAL", 3000 l, eficiencia energética clase C, altura 2325 mm, diámetro 1660 mm, aislamiento de 50 mm de espesor con poliuretano de alta densidad, libre de CFC, protección contra corrosión mediante ánodo de magnesio, boca lateral DN 400. Incluso válvulas de corte, tuberías, elementos de montaje y demás accesorios necesarios para su correcto funcionamiento. Totalmente montado, conexionado y probado. | | | |
| I7.02 | Partida | ud | VASO EXPANSIÓN ACS | 1,00 | 414,86 | 414,86 |
| | | | Suministro e instalación de vaso de expansión para A.C.S. de acero vitrificado, capacidad 200 l, presión máxima 10 bar. Incluso manómetro, tuberías y elementos de montaje y conexión necesarios para su correcto funcionamiento. Totalmente montado, conexionado y probado. | | | |
| | | | | 1 | 53.301,57 | 53.301,57 |



2.14. Resumen de presupuesto

| PARTIDA | TOTAL (€) |
|---|-------------------|
| Movimientos de tierra, trabajos previos, derribos y extracciones | 73.944,16 |
| Estructura | 44.763,97 |
| Albañilería | 14.477,07 |
| Revestimientos | 58.485,75 |
| Pavimentos | 23.724,30 |
| Carpintería metálica y vidriería | 8.728,05 |
| Carpintería de madera | 5.068,32 |
| Ayudas | 3.778,35 |
| Instalación eléctrica | 13.890,02 |
| Fontanería | 20.892,58 |
| Climatización y ventilación | 89.573,20 |
| Instalación filtración y tratamiento piscina | 18.242,61 |
| Instalación de energía solar | 53.301,57 |
| TOTAL PARTIDAS | 428.869,95 |



3. Conclusiones

Como principal conclusión, se puede destacar que el proyecto desarrollado, aparentemente puede parecer surrealista, toda la obra diseñada para la ampliación de superficie de lámina de agua que se consigue tras la intervención, el apeo, la reducción del nivel de la zona piscina y los demás puntos que se han proyectado, pero hay que ver más allá de unos ojos técnicos y funcionales como pueden ser el de los proyectistas de un proyecto de este tipo, tener en cuenta las prioridades y la disposición del promotor. En definitiva, ser el director del colegio a reformar y ver que los padres de los alumnos se decantan por la elección del centro de enseñanza de sus hijos, especialmente los más pequeños, por las instalaciones y su estado.

Ofrecer el servicio de natación semanal de los alumnos de educación infantil es uno de los puntos fuertes de la fuente de inscripciones a este centro. Con lo que se quiere hacer ver que la conclusión final sobre esta reforma depende totalmente de quién la evalúe, sus prioridades y primordialmente la economía de la que dispone.

Cabe decir también modo de reflexión que la piscina actualmente está ya en un proceso de degradación y empeoramiento del funcionamiento en general, ya se por parte de las instalaciones como de las condiciones en las que se encuentra, estructuralmente hablando, el vaso. Por este motivo y sabiendo que no hay posibilidad ni disponibilidad por parte del propietario de que esta cambie de emplazamiento a otra planta, por ejemplo, de uno de los edificios del colegio, se concluye que tarde o temprano una reforma de este nivel puede acabar suponiendo un ahorro en reparaciones y mejoras temporales, tal y como se está haciendo ya hoy en día.

Por parte de la propiedad, tras haber mantenido el contacto durante el proceso de diseño del presente proyecto, se concluye que a pesar de todos los impedimentos físicos y técnicos que a simple vista se perciben, la demanda y necesidad acaban pesando más que los primeros dos factores.



4. Bibliografía

EN RED:

- Web de la escuela:

<http://www.palcam.cat/es/>

- Consulta datos catastrales:

<https://www1.sedecatastro.gob.es/OVCFrames.aspx?TIPO=CONSULTA>

- Punto de información cartográfica de Barcelona:

<http://www.bcn.cat/guia/bcnpice.html>

- www.csd.gob.es
- <https://rosagres.com/>
- <https://www.astralpool.com/>
- <http://www.codigotecnico.org>
- www.mitsubishielectric.es
- www.solerpalau.com
- novatub.com
- upcommons.upc.edu
- www.admasarquitectura.com
- www.manusa.com
- www.generadordeprecios.info
- www.aco.es
- www.roca.es
- www.pavifort.com
- www.knauf.es
- www.lighting.philips.com
- www.saunierduval.es
- www.minetad.gob.es
- www.euroclima.es
- <http://www.zonapiscinas.com>
- <http://detallesconstructivos.cype.es/CCM008.html>



5. Anexos

5.1. Estructura

5.1.1. Introducción:

En este apartado del documento se pretende justificar el cálculo de la solución estructural elegida en cada caso para la posibilidad de ejecución del presente proyecto.

5.1.2. Alcance y desarrollo

Los elementos que forman parte de este anexo son la formación de forjados, los vasos de piscina y compensación, el tapado de hueco de los distintos puntos abiertos y finalmente uno de los puntos más sensibles de la obra, el apeo de los pilares centrales.

En cada caso se ha procedido a la ejecución de la solución más adecuada encontrada, y ya justificada tanto en la memoria descriptiva como en la memoria de ejecución del presente documento.

El cálculo para el dimensionado y características de los distintos elementos se ha efectuado mediante el uso de dos programas de cálculo de estructura, Altra Plus y Cype Estructuras, complementando en algún caso el uso de ambos para una mejor solución final.

5.1.3. Normativa específica aplicada

- Código técnico de la edificación CTE-DB-SE
- Código técnico de la edificación (R.D. 314/2006)
- Reglamento de Instalaciones de Protección contra Incendios (R.D. 1942/1993)
- Reglamento regulador de la Infraestructuras Comunes de Telecomunicaciones (R.D. 401/DB-SUA: Seguridad de Utilización y Accesibilidad)

5.1.4. Diseño y construcción forjados:

Información previa para el cálculo de dimensionado de la estructura:

- **Tipo estructura escogida: Forjado de chapa colaborante.**
- **Medidas a ejecutar:**
 - Playa sur: 15,77x2,26m
 - Playa este: 1,10x6,34m
 - Playa oeste: 2,80x6,34m
 - Hueco escaleras PB edificio 32: 1,84x4,23m
 - Hueco escaleras PB acceso edificio 32: 3,50x1,25m



- **Apoyo de forjado:**

- Playa sur: dicho forjado se apoyará en el murete de fábrica de ladrillo perforado de 12cm de espesor y por uno de los lados se apoyará sobre pilares de sección cuadrada de 24x24cm con una separación entre ejes de pilares de 3m.
- Playa Este: Este elemento descansará por uno de los lados al murete perimetral de fábrica de ladrillo perforado de 12cm de espesor y en el otro lado a los pilares de base cuadrada de 24x24 con un intereje de separación de 3m.
- Playa Oeste: En este caso dado que nos encontramos encima del depósito de compensación se efectuará el apoyo en los muros verticales del mismo y en uno de los lados se ejecutará un pilar de apoyo intermedio de sección 24x24cm con ladrillo perforado.
- Hueco escaleras PB edificio 32: dado que nos encontramos en la simple realización de el tapado de un hueco esta fracción de nuevo forjado irá apoyado en la estructura del resto del forjado existente, el cual ya estaba calculado para soportar las cargas de una escalera de obra, con lo que podemos concluir que no será una sobrecarga para este.
- Hueco escalera acceso pb edificio 32: Para el forjado del hueco de esta zona, al igual que en el anterior caso no ejecutaremos nada nuevo, simplemente se reconstruirá lo que ya estaba hecho incluso aportando una carga de forjado menor a la que había, es por este motivo que la nueva estructura podrá apoyar en la estructura existente sin que esto suponga un inconveniente.

La justificación para esta solución final está basada en el entorno en el que nos encontramos, dado que se trata de la ejecución de un forjado técnico y con la necesidad de la reducción máxima de canto de este mismo, se ha optado por la colocación de un forjado de losa mixta de chapa de hormigón, aportando un canto final reducido y permitiendo un paso bajo forjado mayor, tal como se ha mencionado anteriormente. Se tratará en fábrica la chapa a colocar para que esta se adapte correctamente a las condiciones de alta humedad del ambiente.

Por otro lado su apoyo sobre elementos de fábrica y no perfiles metálicos nos dará una seguridad de trabajo estructural reduciendo así el número de uniones roscadas y soldadas metálicas, punto a tener en cuenta dada la situación donde debe ejecutarse.

Ver detalles gráficos en planos E.3.1.



5.1.5. **Diseño y construcción de vaso piscina y depósito de compensación:**

Información previa para el cálculo de dimensionado de la estructura:

- Tipo de estructura escogida: Se ha realizado el cálculo en ambos casos para una estructura de hormigón armado constituida por cuatro muros de contención considerando que recibe un empuje hidrostático por parte del agua contenida en el vaso por una cara. En cambio, por lo contrario, se ha considerado que no recibirá cargas por parte del terreno ya que no se dispondrán tierras en el trasdós de los muros de la piscina.
Por otro lado, se ha supuesto una losa sobre terreno, la cual recibirá una carga uniforme en la parte superior de esta siendo esta el peso del agua que contendrá el vaso repartida en el total de la superficie de la losa.
- Medidas a ejecutar:
 - Vaso de piscina: 12,58x6,14m, altura media 0.876m desnivel de 1,00-0,75m.
 - Depósito compensación: 1,74x6,14m altura 0,80m.
- Apoyo: sobre base de gravas de 15cm de espesor y una capa de hormigón de limpieza de 10cm de espesor.

Ver detalles estructura plano estructura vaso piscina.

5.1.6. **Diseño y construcción apeo pilares:**

- Tipo de estructura escogida: Dada la limitación de altura de la que disponemos, la luz a salvar tras el apeo y las cargas a soportar la solución más viable y lógica es la ejecución de una estructura basada en el uso de cerchas metálicas.
- Medidas a ejecutar:
 - Luz horizontal a salvar por pilar apeado: 9,46m
 - Luz vertical a salvar por pilar apeado: 6,06m
- Apoyo de la estructura: Al encontrarnos en una planta sótano con muros pantalla en todo su perímetro, la solución de apoyo de las cerchas irá a descansar directamente a esta cimentación directamente.

La carga que soportaba el pilar a apear será recogida por el conjunto de las dos cerchas correspondientes, las cuales la repartirán hacia los extremos de la sala piscina, encontrando la cimentación del edificio, los muros pantalla. Dado que su coronación empieza a una altura de 1,05m respecto al techo de planta sótano y la altura de la cercha es de 0,80, se colocarán unos enanos que permitirán finalmente el traspaso de carga directamente de cercha a cimentación. (Ver plano E.4.1)



En todo caso y como ya se ha dicho durante el proyecto, dado que no se pueden obtener las catas necesarias para el correcto cálculo y garantía del funcionamiento de esta estructura por falta de información de longitud de los muros pantalla así como también el estado actual de estos, quedará siempre a expensas de estos datos. Por otro lado cabe decir que en de cualquier modo esto no sería una imposibilidad para ejecutar el conjunto del proyecto dado que se podría llegar a ejecutar una cimentación de apoyo paralela al muro, ejecutando un pilar hasta una zapata ejecutada solamente para el apoyo de cada cercha.

Ver detalles constructivos en plano E.4.1

- Para el cálculo de estos apeos se ha usado el programa de cálculo CYPECAD, cálculo de estructuras de hormigón y metálicas, dando como resultado los siguientes valores y dimensionado final:



5.2. Instalaciones

5.2.1. Fontanería

5.2.1.1. Introducción:

En este apartado del documento se pretende justificar la dotación de suministro de agua fría y caliente sanitaria de los distintos puntos de consumos de la planta piscina, es decir la que nos concierne en el proyecto presente.

Las zonas a las que debemos abastecer son la piscina, duchas piscina, el vestuario 1, el vestuario 2 y el vestuario adaptado. También se tendrá en cuenta el abastecimiento de agua para la instalación de placas solares que se ejecutará.

5.2.1.2. Alcance y desarrollo:

Dado que nos encontramos en reforma de la zona ya existente y con un mismo uso, el punto de partida de nuestra instalación será la llegada del agua a nuestra zona en el caso del agua fría por el edificio 34 del colegio y en el caso del agua caliente será un circuito nuevo dado que como ya he dicho, se ejecutará la instalación de captación solar tanto para la piscina como para el ACS, esta instalación será nueva completamente y de uso específico para las zonas especificadas en la introducción de este apartado.

Simplemente deberemos asegurarnos que la demanda nueva de IFF pueda abastecerse con la presión y caudal del edificio del colegio.

5.2.1.3. Normativa específica aplicada:

Básicamente la instalación diseñada a continuación está basada en el cumplimiento de las principales normativas aplicables:

- Código técnico de la edificación (CTE) Documento básico HS Salubridad. BOE 28/03/2006 y modificado en el 2009
- CTE Documento básico HE Ahorro de energía. BOE 28/03/2006 y modificado en el 2009
- Reglamento de Instalaciones Térmicas en los Edificios (RITE). BOE 29/agosto/2007 modificado en 2009
- Real Decreto 140/2003, por el que se establecen los criterios sanitarios de la calidad del agua de consumo humano. BOE 7/febrero/2003
- Norma UNE 149201 Abastecimiento de agua y dimensionado de instalaciones de agua para consumo humano dentro de edificios. Aenor Febrero/2008
- Reglamento general del servicio metropolitano de abastecimiento domiciliario de agua en el ámbito metropolitano. BOP abril/2010



- Decreto 21, por el que se regula la adopción de criterios ambientales y de ecoeficiencia en los edificios. BOE 14/febrero/2006

5.2.1.4. Componentes de la instalación de agua fría sanitaria

En este punto solo se mencionarán los puntos referentes a los componentes correspondientes a la zona de actuación.

- **Distribución interior**

Desde el punto de suministro de agua a la zona a intervenir, se efectúa la distribución el recorrido de las tuberías hasta los distintos cuartos húmedos por el perímetro de cada zona y posteriormente hasta cada punto de consumo.

Para ello se utilizan tuberías de PEX-AL-PEX.

El recorrido de las tuberías hasta niveles superiores se realiza mediante montantes dotados con una válvula antirretorno en su base. Los recorridos horizontales por techos y falsos techos con bajadas verticales de alimentación de los aparatos tendrán las características siguientes:

- Tuberías: El material empleado para las canalizaciones es el PEX-AL-PEX. Los diámetros de cada tubería se justifican según los cálculos de la parte 2.7 de esta memoria.
- La derivación del aparato: Conecta la derivación particular o una de sus ramificaciones con el aparato correspondiente.
- Protección pasiva de la Red enterrada: Los tramos de tubería enterrados irán a una profundidad suficiente para evitar cualquier tipo de peligro y la zanja donde irán alojadas tendrá un fondo estable, sólido y totalmente exento de piedras o cualquier otro tipo de material que pueda perjudicar a la tubería. Asimismo, el relleno de la misma lo realizamos con materiales que no dañen ni ataquen a la tubería.
- Uniones, juntas y accesorios: Las uniones de los tubos entre sí y de estos con el resto de accesorios se harán de acuerdo con los materiales en contacto y de modo que la ejecución de las operaciones se llevará a cabo de forma que no se provoquen pérdidas de estanquidad en las uniones. Las uniones se realizarán mediante manguitos bicónicos.
- Sujeción de tuberías: La tubería por todo su recorrido estará sujeta por soportes a muros o techos, de tal forma que se asegurará la alineación y estabilidad de la misma pudiendo permitir la deformación de ésta debida a los golpes de ariete y cambios de temperatura, por lo cual dichas sujeciones tendrán una holgura que permita la dilatación y la contracción de la tubería. En los casos que existe demasiada altura para poder albergar estas sujeciones, se utilizan bandejas metálicas suspendidas mediante cables de acero al techo.



- **Válvulas y elementos auxiliares en la red de distribución de AFS**

Las llaves de corte de la red de distribución de agua fría son del tipo de válvula de esfera. Se sitúan en la entrada a cualquier local húmedo.

Se colocan válvulas de paso en cada alimentación a un grupo o zona de servicios, de esta manera se facilitarán los trabajos de reparación y mantenimiento al poder sectorizar la red de distribución.

Las tuberías dispondrán de uniones flexibles en los puntos donde se creen juntas de dilatación del edificio, capaces de absorber los movimientos y las dilataciones que puedan producirse, reduciendo de esta manera las tensiones en los soportes y en la propia tubería.

Las tuberías que van sujetas en la pared lo harán mediante abrazaderas metálicas colladas a la pared. Las que van suspendidas del techo lo harán mediante bandejas metálicas si la altura del techo sobrepasa los 5 metros o irán sujetas con abrazaderas si esta distancia es menos.

- **Aislamiento de tuberías de AFS**

Se aíslan todas las tuberías de agua fría para evitar condensaciones. No se aíslan las tuberías de vaciado y salidas de válvula de seguridad en el interior de las centrales técnicas.

También se dejan sin aislar las tuberías de bajada de alimentación a los aparatos sanitarios, pero se protegerán con tubo de PVC corrugado para facilitar su libre dilatación y evitar el contacto con el material de obra ya las tuberías.

El procedimiento simplificado del RITE para el cálculo del espesor del aislamiento es válido para potencias nominales instaladas menores o iguales a 70kW donde se facilitan los espesores mínimos de aislamiento térmico de las tablas 1 a 4, estos espesores varían en función del diámetro exterior de la tubería o conducto sin aislar y de la temperatura del fluido o aire de la red. Estos espesores son válidos para materiales de aislamiento térmico con una conductividad térmica de referencia a 10 °C de 0,040 W/(m.K). Si se deciden utilizar materiales de aislamiento térmico distintos se deberán calcular los espesores mínimos aplicando las ecuaciones incluidas en el RITE para superficies planas y circulares.

Una vez acabada la instalación de las tuberías, estas se señalizan con cinta adhesiva de colores normalizados coincidiendo con los puntos de registro, tocando a válvulas o elementos de regulación.



5.2.1.5. Componentes de la instalación de agua caliente sanitaria (ACS)

En la zona a intervenir únicamente irán dotados de ACS las duchas, se incluirá en este apartado la instalación correspondiente de la dotación de ACS a la piscina.

- **Acometida de ACS**

La instalación de agua caliente sanitaria se inicia en la derivación de la tubería de agua fría sanitaria con llave de corte a fin poder independizar la instalación en caso de avería o necesidad, facilitando los trabajos de reparación y mantenimiento.

Esta tubería será en nuestro caso la tubería de la planta 5 que alimentará el sistema de producción de ACS.

- **Producción de ACS**

Para la producción de la ACS de la zona de la piscina, es decir la alimentación a las duchas y la piscina, se ha previsto la instalación de un termo acumulador eléctrico, de la capacidad adecuada en litros, con apoyo de energía solar. La alimentación de la caldera proviene del circuito de agua fría, montándose válvulas de paso a la entrada y salida del agua de la caldera y válvula de retención en la toma de agua fría para evitar retornos a este circuito.

El sistema de producción de ACS elegido, sus características y la capacidad del acumulador se basan en los cálculos realizados en la parte 2.7 de esta memoria.

La conexión de las tuberías se efectuará mediante un grupo de seguridad compuesto por válvula de cierre, vaciado, dispositivo de retención y válvula de seguridad. Este elemento (vaciado y válvula de seguridad) deberá estar conectado a un elemento de desagüe con sifón que será conducido a la instalación de saneamiento más próxima.

Para el apoyo con energía solar en las duchas de los vestuarios y la piscina, se instalan en la cubierta placas solares. Los distintos componentes de la instalación de energía solar hacen posible un ahorro de energía del 50% como mínimo, según el decreto de Ecoeficiencia.

Para la descripción completa de esta instalación ver punto 5.2.2.

Al igual que para el resto de tuberías, las que transportan el fluido solar serán aisladas térmicamente. El espesor del aislamiento en las tuberías que van desde las placas al termo acumulador (fluido caliente) se aislarán de la misma forma que las tuberías de agua caliente. Al contrario, las tuberías que van desde el termo acumulador hasta la primera placa se aislarán como las tuberías de agua fría. Las partes que circulan por el exterior, deberán llevar una



protección extra contra las inclemencias del tiempo. En este caso, se utilizan aislantes térmicos con revestimiento de protección solar.

- **Distribución de ACS**

El material empleado en la red de distribución de ACS será el PEX-AL-PEX, de los diámetros adecuados a cada necesidad según los cálculos de la parte 2.7 de esta memoria.

En el interior del local húmedo se efectuará una distribución de tuberías de agua caliente sanitaria a partir de la válvula de paso, paralela al agua fría y siempre por encima de las tuberías de AFS.

- **Válvulas y elementos auxiliares de la red de distribución de ACS**

Las llaves de corte de la red de distribución de agua caliente son del tipo de válvula de bola. Se sitúan en la entrada a cualquier local húmedo.

Las tuberías dispondrán de uniones flexibles en los puntos donde se creen juntas de dilatación del edificio, capaces de absorber los movimientos y las dilataciones que puedan producirse, reduciendo de esta manera las tensiones en los soportes y en la propia tubería.

- **Aislamiento de tuberías**

Se aíslan las tuberías de los circuitos de agua caliente para evitar pérdidas de calor. Se dejan sin aislar las tuberías de bajada de alimentación a los aparatos sanitarios, pero se protegen con tubo de PVC corrugado para facilitar su libre dilatación y evitar el contacto entre el material de obra y las tuberías.

El procedimiento simplificado del RITE para el cálculo del espesor del aislamiento es válido para potencias nominales instaladas menores o iguales a 70kW donde se facilitan los espesores mínimos de aislamiento térmico de las tablas 1 a 4, estos espesores varían en función del diámetro exterior de la tubería o conducto sin aislar y de la temperatura del fluido o aire de la red. Estos espesores son válidos para materiales de aislamiento térmico con una conductividad térmica de referencia a 10 °C de 0,040 W/(m.K). Si se deciden utilizar materiales de aislamiento térmico distintos se deberán calcular los espesores mínimos aplicando las ecuaciones incluidas en el RITE para superficies planas y circulares.

5.2.1.6. *Sanitarios, grifos y accesorios*

- **Aparatos sanitarios**

Distribuidos por los distintos vestuarios y la zona de la piscina, se instalarán duchas, inodoro con fluxores y lavabos.



- **Grifería y ahorro de agua**

La grifería de los lavabos tiene accionamiento por pulsador en todos los grifos del centro comercial, con la finalidad de que empleados y clientes ahorren agua.

La grifería de la ducha se acciona con pulsador mezclador con una selección de la temperatura del agua mediante el giro del pulsador.

Los inodoros irán provistos de fluxores tal como indica la normativa correspondiente.

- **Accesorios**

Los vestuarios se equiparán con, secador de manos eléctrico, dosificador de jabón líquido, portarrollos de papel higiénico, papeleras, escobilla para WC y barras de sujeción para discapacitados.

1.1.1.2 Cálculo de las dimensiones de las tuberías

El primer paso para el cálculo de las tuberías es saber cuáles son los caudales instantáneos de cada aparato. En este caso se eligen los mínimos según la tabla del apartado HS4 del CTE:

| Tipo de aparato | Caudal instantáneo mínimo de agua fría [dm ³ /s] | Caudal instantáneo mínimo de ACS [dm ³ /s] |
|--|--|--|
| Lavamanos | 0,05 | 0,03 |
| Lavabo | 0,10 | 0,065 |
| Ducha | 0,20 | 0,10 |
| Bañera de 1,40 m o más | 0,30 | 0,20 |
| Bañera de menos de 1,40 m | 0,20 | 0,15 |
| Bidé | 0,10 | 0,065 |
| Inodoro con cisterna | 0,10 | - |
| Inodoro con fluxor | 1,25 | - |
| Urinarios con grifo temporizado | 0,15 | - |
| Urinarios con cisterna (c/u) | 0,04 | - |
| Fregadero doméstico | 0,20 | 0,10 |
| Fregadero no doméstico | 0,30 | 0,20 |
| Lavavajillas doméstico | 0,15 | 0,10 |
| Lavavajillas industrial (20 servicios) | 0,25 | 0,20 |
| Lavadero | 0,20 | 0,10 |
| Lavadora doméstica | 0,20 | 0,15 |
| Lavadora industrial (8 kg) | 0,60 | 0,40 |
| Grifo aislado | 0,15 | 0,10 |
| Grifo garaje | 0,20 | - |
| Vertedero | 0,20 | - |

Tabla 5.1. Caudales instantáneos mínimos de cada aparato

Marcados en rojo son los que se utilizan para este proyecto en cada caso.

El siguiente paso es organizar los tramos de la instalación según los cuartos húmedos y hacer un recuento de los puntos de consumo en cada uno. En los planos se puede consultar la distribución de los tramos en el esquema de principio de la instalación (ver plano fontanería I.2.1).



Después de medir los tramos de tubería, sumamos los caudales de la tabla anterior según cada caso. Al caudal total de los aparatos de cada estancia húmeda, le aplicaremos una simultaneidad.

En este caso, deben utilizarse los coeficientes de simultaneidad del apartado 5 de la norma UNE 149201.

De esta manera y según el caudal total de cada parte se puede definir cuál será el caudal instantáneo con simultaneidad de cada tramo de la instalación.

Una vez se sabe este caudal, se procede a calcular el diámetro interior de cálculo de la instalación. Éste depende de la velocidad del agua y del caudal.

Para calcular los diámetros, utilizamos el ábaco de cálculo de tuberías de fontanerías.

El diámetro final viene definido por las marcas comerciales de materiales. Para poder definirlo, se busca el diámetro de cálculo, y si ese mismo no está disponible comercialmente, se usa el siguiente superior. Esto no afecta al tramo en cuanto a caudal, solo reduce la velocidad de movimiento y reduce la pérdida de carga, es decir, menos ruido y menos rozamiento para ese tramo de tubería.

A continuación, se muestra la tabla resumen de los cálculos (ver también plano I.2.2).



| TRAMO | CAUDAL | | Caudal Ins. | Longitud | Velocidad (l/s) | P.C (mmca/l) | ø interior (mm) | P. C. | P. C Ac. |
|-------------|--------|------|----------------|----------|--------------------|-----------------|--------------------|--------|----------|
| | IIF | ACS | | | | | | (mca) | (m.c.a.) |
| 1 3 | 0,2 | | 0,2 | 3,48 | 1,1 | 100 | 16 | 0,522 | 0,522 |
| 2 3 | 3,75 | | 2,88 | 0,35 | 1,3 | 30 | 50 | 0,016 | 0,538 |
| 3 5 | 3,95 | | 2,97 | 6,56 | 1,3 | 30 | 50 | 0,295 | 0,833 |
| 4 5 | 1 | | 1 | 0,35 | 1,4 | 80 | 32 | 0,042 | 0,875 |
| 5 15 | 4,95 | | 3,37 | 28,04 | 1,4 | 35 | 50 | 1,472 | 2,347 |
| 6 14 | 1,2 | | 1,2 | 14,33 | 1,3 | 60 | 44 | 1,29 | 3,637 |
| 7 9 | 3,75 | | 2,88 | 0,35 | 1,5 | 45 | 50 | 0,024 | 3,661 |
| 8 9 | 0,2 | | 0,2 | 0,35 | 1,1 | 100 | 16 | 0,053 | 3,714 |
| 9 12 | 3,95 | | 2,97 | 2,27 | 1,3 | 30 | 50 | 0,102 | 3,816 |
| 10 12 | 1,5 | | 1,5 | 0,35 | 0,75 | 100 | 16 | 0,053 | 3,869 |
| 12 13 | 5,15 | | 3,44 | 1,41 | 1,2 | 45 | 40 | 0,095 | 3,964 |
| 11 13 | 1,2 | | 1,2 | 0,35 | 1,3 | 60 | 44 | 0,032 | 3,996 |
| 13 14 | 6,35 | | 3,84 | 0,45 | 1,2 | 25 | 62 | 0,017 | 4,013 |
| 14 15 | 7,55 | | 4,18 | 0,35 | 1,5 | 35 | 62 | 0,018 | 4,031 |
| 15 16 | 7,35 | | 4,13 | 29,11 | 1,3 | 25 | 75 | 1,092 | 5,123 |
| Pl.5 2' | 1,79 | | 1,74 | 4 | 1,5 | 70 | 40 | 0,42 | 4,451 |
| A-C | | 0,1 | 0,1 | 5,77 | 0,6 | 45 | 16 | 0,389 | 0,389 |
| B-C | | 0,6 | 0,6 | 0,3 | 1,2 | 75 | 25 | 0,034 | 0,423 |
| C-F | | 0,7 | 0,7 | 8,07 | 1,5 | 100 | 25 | 1,211 | 1,634 |
| E-F | | 0,6 | 0,6 | 2,18 | 1,2 | 75 | 25 | 0,245 | 1,879 |
| F-G | | 1,3 | 1,31 | 2,13 | 1,3 | 60 | 42 | 0,192 | 2,071 |
| D-G | | 0,5 | 0,5 | 12,02 | 1 | 50 | 25 | 0,902 | 2,973 |
| G- TERMO | | 1,8 | 1,75 | 23,85 | 1,5 | 60 | 40 | 2,147 | 5,12 |
| P- TERMO | | 0,04 | 0,04 | 28,29 | 1,1 | 80 | 40 | 3,3948 | 3,3948 |

Tabla 5.2 cálculo de diámetros de las tuberías



5.2.2. Instalación de captación de energía solar

5.2.2.1. Introducción:

El objetivo es el dimensionado, cálculo de las prestaciones energéticas y la descripción de las condiciones técnicas y reglamentarias que se tomaran en la ejecución de las instalaciones y el empleo de los materiales para la climatización de una piscina y para ACS.

5.2.2.2. Normativa específica aplicada

- Código Técnico de la Edificación (CTE).
DB-SE. Seguridad Estructural.
DB HS Salubridad/DB HE Ahorro de Energía. Parte II. Documento Básico HS y HE. Real Decreto 314/2006, de 17 de marzo, del Ministerio de Vivienda. Modificado por el Real Decreto 1371/2007, de 19 de octubre, del Ministerio de Vivienda.
Documento Básico HE4 (Contribución Solar Mínima de Agua Caliente Sanitaria) del CTE.
- Real Decreto 1027/2007 sobre el Reglamento de Instalaciones Térmicas en Edificios (RITE) del Ministerio de la Presidencia.
- Real Decreto 865/2003 en el cual se establecen los criterios higiénicos y sanitarios para la prevención y control de la legionelosis del Ministerio de Sanidad y Consumo.
- Real Decreto 2060/2008, Reglamento de equipos a presión y sus instrucciones técnicas complementarias de 12 de diciembre, del Ministerio de Industria, Turismo y Comercio.
- Real Decreto 140/2003, Criterios sanitarios de la calidad del agua de consumo humano, de 7 de febrero, del Ministerio de la Presidencia.
- Norma UNE 94002, sobre instalaciones solares térmicas por producción de agua caliente sanitaria.
- Plan de Ordenación urbanística municipal.

5.2.2.3. Requisitos básicos:

Los requisitos de seguridad vienen dados por las normativas aplicables a zonas deportiva, tanto nacional, autonómica o local, teniendo en cuenta la localización de las instalaciones y de uso.

Los aspectos más importantes son:

- La temperatura de almacenamiento del agua caliente de sistemas centralizados debe ser como mínimo de 55°C, siendo recomendable alcanzar 60°C.
- La temperatura del agua de distribución no podrá ser inferior a 50°C en el punto más alejado del circuito o en la tubería de retorno a la entrada en el depósito.
- Los depósitos estarán fuertemente aislados para prevenir el descenso de la



temperatura hacia el intervalo de máxima multiplicación de legionela.

- Los depósitos acumuladores estarán dotados de una boca de registro y de conexiones para la válvula de vaciado y se situarán de manera que se faciliten las operaciones de vaciado y limpieza.
- El aislamiento de las tuberías de agua caliente sanitaria se resuelve con coquilla de espuma elastomérica con clasificación de reacción al suelo M-1 según UNE 23727.
- La seguridad de utilización, de tal forma que su uso normal no suponga riesgo de accidente para las personas.

5.2.2.4. *Dimensionado de las instalaciones:*

Se dimensionará la instalación de energía solar térmica de un polideportivo para la producción de agua caliente sanitaria y la climatización de una piscina cubierta.

Los pasos que tendremos que tener en cuenta serán:

- Datos meteorológicos (temperaturas exteriores y radiación solar).
- Consumo y necesidades del consumo de agua caliente sanitaria.
- Instalación actual (fuente energética utilizada, calderas de calefacción, así como sistemas de acumulación e intercambio térmico).
- Instalación solar propuesta (colectores solares, circuito primario solar, intercambiadores, circuito secundario y sistemas de acumulación).
- Ubicación de los elementos de la instalación solar.
- Balance energético (demanda energética total).

Se proveerá al sistema del número suficiente de colectores para poder captar la energía necesaria, asimismo debemos elegir la inclinación idónea para aprovechar la máxima cantidad de energía solar disponible en cada mes. También será preciso regular la captación de esta energía para que realmente se convierta en energía útil.

5.2.2.5. *Descripción de la instalación:*

En este tipo de instalaciones disponemos de diferentes modalidades a la hora de elegir el funcionamiento y su utilidad en función de las distintas aplicaciones. En nuestro caso se diseñarán dos sistemas de captación solar independientes, la de agua caliente sanitaria y la piscina. Ambas son diferentes y se opta por diversificar la instalación. Cabe destacar que el esquema que representa la instalación para la piscina es indirecto, es decir, la energía térmica obtenida en el colector es cedida a la piscina por medio de un intercambiador de placas. Se ha optado por esta solución ya que la piscina es interior y debe estar climatizada todo el año. El uso de colectores planos debe limitarse a situaciones en las que la misma



superficie de captación debe utilizarse para varias aplicaciones o aquellas que se prolonguen a lo largo de todo el año, como es nuestro caso.

A continuación, se detallan los diferentes elementos que forman el sistema de energía solar tanto para agua caliente sanitaria como para la piscina.

- **Circuito ACS:**

El sistema dispondrá de un circuito primario de captación solar, un secundario en el que se acumulará la energía producida por el campo de captadores en forma de calor y un tercer circuito de distribución del calor solar acumulado a los puntos de consumo. En el circuito primario los colectores a instalar se conectarán en paralelo. El circulador proporcionará el caudal y la presión necesarios para hacer efectivo la circulación forzada para obtener el flujo de cálculo y vencer la pérdida de carga.

Para la producción de ACS, se efectúa el intercambio de calor del circuito primario al secundario mediante un intercambiador de placas. La energía producida por los captadores servirá para elevar el agua de la red hasta el mayor nivel térmico posible y esta se almacenará en el acumulador solar. El agua calentada en este depósito servirá como agua precalentada para el acumulador de cabecera sobre el que trabajará el equipo complementario para elevar su temperatura, si fuera necesario, hasta la temperatura de consumo prefijada. Entre el depósito solar y el acumulador de cabecera está prevista la instalación de una bomba de trasvase, la función de esta bomba será trasvasar el agua caliente precalentada desde el acumulador solar hasta el acumulador de cabecera cuando la temperatura en el acumulador solar sea superior a la del acumulador de ACS.

Se podrá realizar un choque térmico en el sistema de acumulación (solar y ACS), si puntualmente se eleva la consigna de acumulación en el depósito de ACS hasta los 70°C y simultáneamente se activa la bomba de trasvase, de esta forma el equipo complementario elevará la temperatura de ambos depósitos hasta los 70°C. Para garantizar el suministro de ACS a la temperatura operativa, el sistema dispondrá de un equipo complementario de apoyo con caldera de condensación Thermosystem Condens que terminará de preparar el agua precalentada por el campo de captadores, si fuera necesario hasta el nivel térmico.

El circuito secundario debe ser totalmente independiente de modo que el diseño y la ejecución impidan cualquier tipo de mezcla de los distintos fluidos, el del primario (captadores) y el de ACS del acumulador solar. Dado el cambio de temperaturas que se producen en estas instalaciones, el circuito primario solar estará protegido mediante la instalación de vaso de expansión cerrado y válvula de seguridad. La regulación del circuito primario estará



gestionada por un control diferencial de temperatura que procederá a la activación de la bomba cuando el salto térmico entre captadores y la parte fría del circuito de distribución permita una transferencia energética superior al consumo eléctrico de la bomba.

A continuación, se representa el esquema básico de ACS en la Figura 5.1.

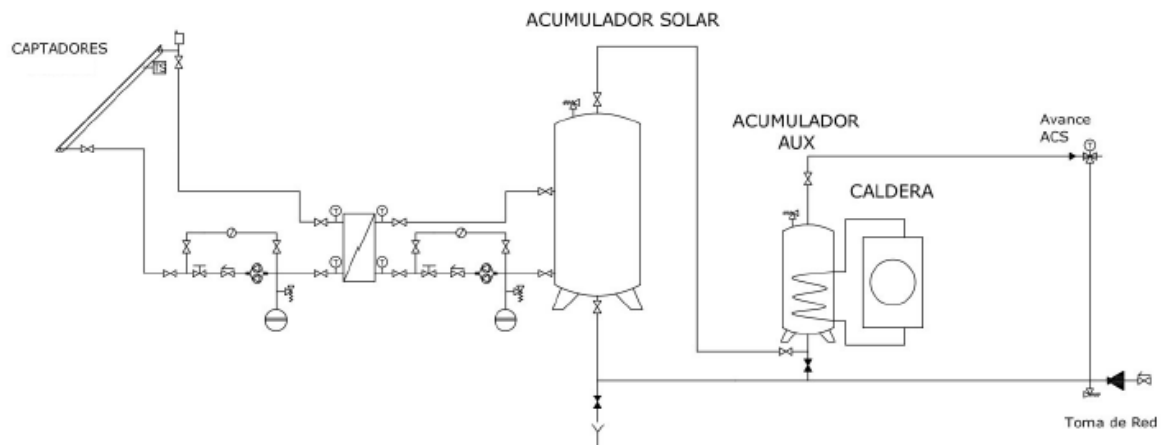


Figura 5.1. Esquema hidráulico ACS

- **Circuito piscina:**

El circuito hidráulico de la piscina será calentado por el campo de captadores, para ello cuando el control de la instalación estime oportuno activará una válvula desviadora de tres vías que enviará todo el caudal procedente del campo de captadores hacia el intercambiador de placas. La instalación de los captadores solares se proyecta con circulación forzada mediante grupo de bombeo en el circuito primario.

El esquema propuesto para climatizar la piscina es indirecto, es decir que la energía obtenida en el colector es cedida a la piscina por medio de un intercambiador de placas. Además, es un sistema que permite el uso de cualquier tipo de captador. Dado que el fluido primario sobrepasará fácilmente los 60°C, y que el secundario se proyecta para impedir que el agua caliente sanitaria sobrepase una temperatura de 60°C conforme a normativa vigente, este nivel térmico impide el uso de tuberías de acero galvanizado en toda la instalación. Dado el cambio de temperaturas que se producen en estas instalaciones, el circuito primario solar estará protegido mediante la instalación de vaso de expansión cerrado y válvula de seguridad.



La regulación del circuito primario estará gestionada por un control diferencial de temperatura que procederá a la activación de la bomba cuando el salto térmico entre captadores y la parte fría del circuito de distribución permita una transferencia energética superior al consumo eléctrico de la bomba, marcándose un diferencial de temperatura máximo y mínimo, según características de la instalación, para la activación y parada de la bomba.

Figura 5.2.

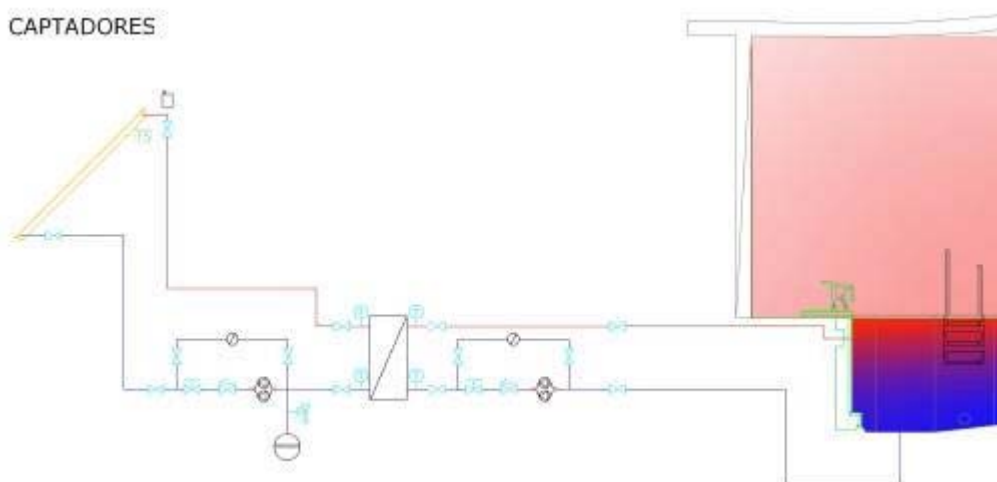


Figura 5.2. Esquema hidráulico piscina

- **Demanda energética:**

En este apartado se determinará la demanda necesaria de la instalación solar para garantizar las necesidades básicas para que su funcionamiento sea óptimo. Los datos de radiación solar global incidente, así como la temperatura ambiente media para cada mes se han tomado de la base de datos meteorológicos del IDAE o en su defecto de datos locales admitidos oficialmente.

| | |
|----------------|-----------|
| Ciudad | Barcelona |
| Latitud | 41,28 |
| Zona climática | III |

Tabla 5.3. Datos meteorológicos IDEA



- **Circuito ACS:**

Se prevé que para el uso y teniendo en cuenta los usuarios a los que está destinada la instalación que el tiempo de ducha total por hora de clase será de 35min teniendo la ducha de antes de la entrada a la piscina así como también la realizada en los vestuarios una vez se ha terminado la clase.

$$V = Q \cdot t \cdot 60 = 1,75 \cdot 35 \cdot 60 = 3675 \text{ litros/día}$$

V = Volumen del depósito

T= Tiempo estimado (en minutos)

Q= Caudal máximo simultáneo

A partir de este dato y considerando que todos los meses tienen una ocupación al 100% , ver siguiente tabla 2:

| ANÁLISIS DE LA DEMANDA ENERGÉTICA DETALLADO POR MESES (KWh) | | | | | | | | | | | | | |
|---|--------|--------|--------|--------|--------|--------|--------|--------|--------|--------|--------|--------|---------|
| | | | | | | | | | | | | | |
| | | | | | | | | | | | | | |
| | Ene | Feb | Mar | Abr | May | Jun | Jul | Ago | Sep | Oct | Nov | Dic | Total |
| Demanda de energía (A.C.S.): | 6537,7 | 5789,3 | 6281,3 | 5954,7 | 5896,8 | 5334,4 | 5255,8 | 5255,8 | 5334,4 | 5768,6 | 5954,7 | 6409,5 | 69772,9 |

Tabla 5.4. Demanda energética ACS

Se puede observar como la demanda energética requerida varía según el consumo necesario y según la temperatura media mensual de la red. Por lo tanto, en estos meses en el que el consumo de agua caliente sanitaria es menor y a la vez la radiación solar máxima, el aporte de los captadores será lo suficientemente elevado para satisfacer las necesidades del complejo. En caso de que no se alcancen los niveles necesarios la caldera de apoyo cubrirá el aporte de calor suficiente para la instalación.

- **Circuito Piscina**

En la demanda de la piscina se tendrá en cuenta el volumen de la misma, la utilización y la situación geográfica. La superficie de la piscina es de 65.64m² y se considera una temperatura media de utilización de 26°C. Se aconseja mantener el funcionamiento de la piscina durante el año.

Se definirá el caudal del agua renovado según normativa, exigiendo esta una aportación



nueva al día del 5% del volumen de piscina, dando como resultado:

$$V = 65.64 \times 0.05 = 3.282 \text{ m}^3 = 3.282 \text{ litros/día}$$

A partir de este dato y considerando que todos los meses tienen una ocupación al 100%, ver tabla 3:

| ANÁLISIS DE LA DEMANDA ENERGÉTICA DETALLADO POR MESES (KWh) | | | | | | | | | | | | | |
|---|---------|---------|---------|---------|---------|---------|---------|---------|---------|---------|---------|---------|----------|
| Demanda de energía (Piscina): | Ene | Feb | Mar | Abr | May | Jun | Jul | Ago | Sep | Oct | Nov | Dic | Total |
| | 20978,0 | 18022,8 | 18929,6 | 17327,8 | 15856,9 | 12371,8 | 10735,7 | 10735,7 | 12371,8 | 14832,7 | 17327,8 | 19953,8 | 189444,4 |

Tabla 5.5. Demanda energética de la piscina

Se obtendrá un consumo inferior en los meses de verano en el que la radiación solar y el aporte de los colectores es máximo.

• Aporte solar para ACS

A continuación, se presentan los datos de aporte solar mensual para agua caliente y para la climatización de la piscina, así como una gráfica en la que se representa la necesidad mensual de energía y el aporte solar.

En la Tabla 4 se muestra el aporte solar por meses que nos ofrecen los captadores planos SRV 2.3 y la representación del aporte solar para ACS en la Figura 8.

| ANÁLISIS DEMANDA-APORTE SOLAR DETALLADO POR MESES (KWh) | | | | | | | | | | | | | |
|---|--------|--------|--------|--------|--------|--------|--------|--------|--------|--------|--------|--------|-------|
| Aporte solar A.C.S.: | Ene | Feb | Mar | Abr | May | Jun | Jul | Ago | Sep | Oct | Nov | Dic | Total |
| | 2215,7 | 2475,5 | 3157,8 | 3444,8 | 3608,1 | 3575,5 | 3807,5 | 3511,1 | 3091,8 | 2630,3 | 2140,3 | 2012,1 | 35671 |
| Fracción solar media A.C.S.: | 33,9% | 42,8% | 50,3% | 57,8% | 61,2% | 67,0% | 72,4% | 66,8% | 58,0% | 45,6% | 35,9% | 31,4% | 51,1 |

Tabla 5.6. Cobertura sola para ACS



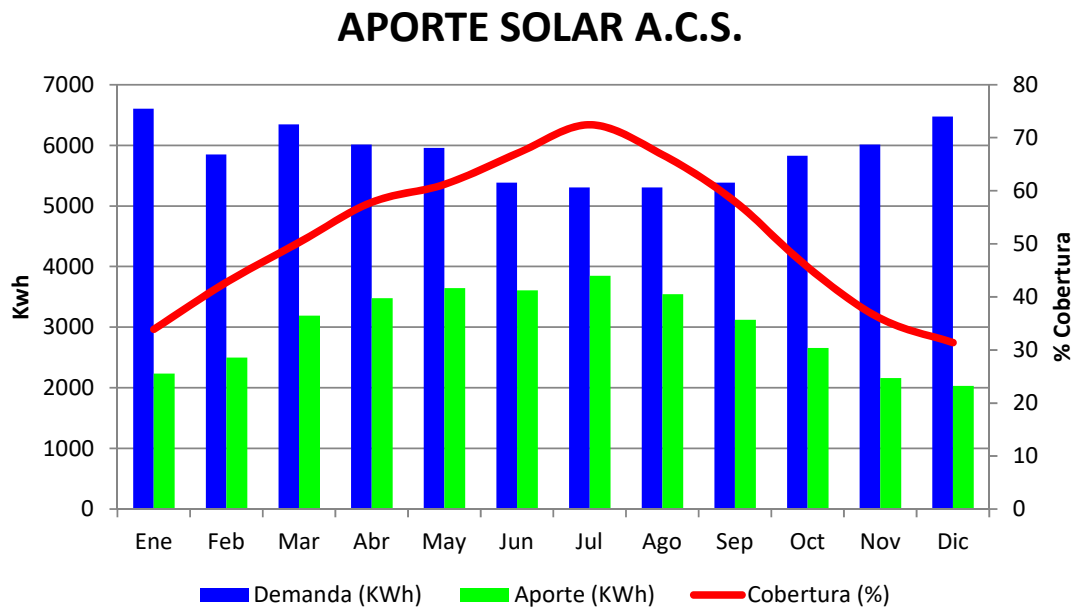


Figura 5.3. Representación aporte Solar para ACS

Para ACS vemos que el aporte es mayor en los meses de verano por la gran radiación y por lo tanto se deberá tomar medidas para prevenir un sobrecalentamiento. En verano el sol luce más horas y con más fuerza y, por otro lado, las necesidades de energía para calentar el agua disminuyen ya que usamos menos agua caliente y la temperatura del agua de la red es más alta. Esta situación puede llevar a que, en determinadas latitudes, se produzca un sobrecalentamiento del agua acumulada en nuestro sistema hasta los 80°C. Para evitar quemaduras debemos contar con un mezclador termostático que mezcle agua fría para conseguir una temperatura en los grifos de agua caliente de 50-55°C.

Así mismo, y en función de la superficie de paneles que dispongamos, debemos tener otros sistemas de seguridad para evitar o disipar el exceso de producción en los días muy soleados:

- Centralita de control con circulación nocturna. (Se usan los paneles para disipar calor por la noche).
- Tapado parcial del campo de captadores.
- Instalación de disipadores estáticos o aerotermos.
- Sistemas “drain back” que vacían la superficie de captadores de líquido cuando existe riesgo de sobrecalentamientos en el colector solar.

En cambio en los meses que hay menos radiación solar la cobertura que se ofrece es baja y por lo tanto se requerirá bastante del aporte de los correspondientes sistemas de



energía convencional. Se podría conseguir prácticamente un aporte del 100 % si se colocaran los suficientes colectores para garantizarlo, no obstante, supondría una inversión y una superficie de captación muy elevada.

• **Aporte solar para piscina**

En la Tabla 5 se muestra el aporte solar por meses que nos ofrecen los captadores planos SRV 2.3. La Figura siguiente muestra la representación del aporte solar para una piscina.

| ANÁLISIS DEMANDA-APORTE SOLAR DETALLADO POR MESES (KWh) | | | | | | | | | | | | | |
|---|--------|--------|--------|--------|--------|---------|---------|---------|--------|--------|--------|--------|-------|
| | Ene | Feb | Mar | Abr | May | Jun | Jul | Ago | Sep | Oct | Nov | Dic | Total |
| Aporte solar Piscina: | 5324,9 | 6120,6 | 8072,8 | 9146,2 | 9898,4 | 10110,2 | 11018,5 | 10000,7 | 8555,8 | 7063,9 | 5446,0 | 4893,7 | 95652 |
| Fracción solar media Piscina: | 25,4% | 34,0% | 42,6% | 52,8% | 62,4% | 81,7% | 110,0% | 93,2% | 69,2% | 47,6% | 31,4% | 24,5% | 50,5% |

Tabla 5.7. Cobertura solar para piscina

APORTE SOLAR PISCINA

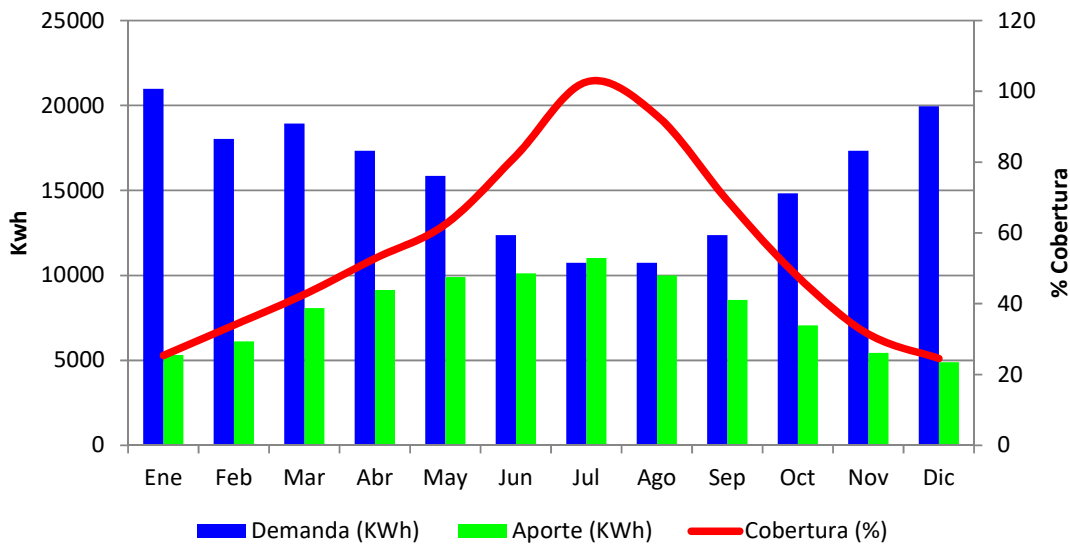


Figura 5.4. Representación aporte solar para piscina

En este caso, para generar un buen sistema de calefacción para la piscina, vemos que espacio disponemos, y a partir de aquí se encuentra el aporte que nos ofrece el mayor número



de placas colocadas sobre la superficie. Para la piscina se han de tomar las mismas medidas preventivas que para ACS.

1.1.1.3 Superficie de captación:

Extraemos de las tablas el aporte mínimo que ha de garantizar el sistema de captadores de la piscina que es de 50% al estar en zona climática III. El número de captadores se ajusta de forma que se obtenga una configuración homogénea y equilibrada del campo de los mismos, lo más cercana posible en número a la superficie que cubra el requisito de demanda solar. Así que se determinarán la cantidad de captadores necesarios para satisfacer la demanda necesaria cubriendo gran parte del aporte solar, teniendo en cuenta que el aporte en los meses de menos radiación será menor. Se ha optado por utilizar colectores planos que sirven para conseguir temperaturas de corriente de salida relativamente bajas para el calentamiento del agua de ACS, pero no para temperaturas muy superiores ya que el rendimiento disminuye demasiado y supone una necesidad de área colectora excesiva.

Para el caso en el que se precisen temperaturas de la corriente de salida superior, sobre todo en sistemas de apoyo a climatización, se deben emplear colectores de vacío que ofrecen rendimientos superiores a las temperaturas precisadas. La instalación de agua caliente sanitaria se ha dimensionado para 20 captadores, una cantidad suficiente para garantizar la cobertura anual del 50%. Para la instalación para la piscina se ha optado por colocar 45 captadores solares al requerir más demanda que energía térmica con la misma cobertura. Se instalarán válvulas de corte a la entrada y salida de cada batería, a fin de poder aislarla del resto para posibles mantenimientos o reparaciones. Se preverán también purgadores, válvulas de seguridad y válvulas para llenado y vaciado del circuito. Los colectores solares utilizados serán captadores solares SRH 2.3 de la marca Saunier Duval, colectores de alto rendimiento que se adaptan perfectamente a nuestros requerimientos, ya que sus campos de aplicación fundamentales son la generación de ACS y climatización de piscinas.

Estas son sus características, como muestra la Tabla 5.8.



| | |
|------------------------------------|-------|
| Superficie externa (m) | 2,51 |
| Superficie apertura (m) | 2,352 |
| Superficie absorbente (m) | 2,33 |
| Longitud (mm) | 2.033 |
| Ancho (mm) | 1.233 |
| Profundidad (mm) | 80 |
| Peso en vacío (kg) | 38 |
| Contenido líquido (L) | 1,85 |
| Tubo absorbente Cu (diam en mm) | 15 |
| Presión máxima de prueba | 0,4 |
| Absorbente Cu selectivo (mm) | 0,4 |
| Factor de absorción (%) | 95 |
| Factor de emisión (%) | 5 |
| Pérdida de carga (mbar) | 100 |
| Resistencia térmica máxima (°C) | 210 |
| Presión de régimen admisible (bar) | 10 |
| Caudal recomendado (l/h) | 40 |
| Conexiones (g) | - |

Tabla 5.8. Características colectoras SAUNIER DUVAL**5.2.2.6. Conexión de los colectores:**

A continuación, se muestran una serie de particularidades que debe cumplir el sistema de captación propuesto.

Se debe prestar especial atención a la estanqueidad y durabilidad de las conexiones del captador. Las filas de captadores se conectarán en paralelo debiéndose instalar válvulas de cierre en la entrada y salida de las distintas baterías de captadores y entre las bombas de manera que puedan utilizarse para aislamiento de estos componentes en labores de mantenimiento, sustitución, etc. La conexión entre captadores y filas se realizará de manera que el circuito resulte equilibrado hidráulicamente recomendándose el retorno invertido frente a la instalación de válvulas de equilibrado.

Se debe dotar a la instalación de un elemento que registre los valores indicados por el punto 3.3.8 del HE-4 del CTE. La distancia entre las distintas filas será de 5 metros y cumple



con la distancia mínima exigida.

Se colocarán en la cubierta del edificio.

5.2.2.7. *Inclinación y pérdidas de los colectores:*

En la sección HE 4 del código técnico de la edificación se establece que las pérdidas debidas a sombras en instalaciones térmicas no deben superar el 10% para el caso general. Para ello se ha hecho un estudio de sombras para el día del año con menor altura solar (peor día del año). Los captadores se colocarán en la cubierta del edificio quedando orientados con una desviación de -45° con respecto al Sur y con una inclinación de 45° con respecto a la horizontal. Nos podemos encontrar con pérdidas por orientación e inclinación de los módulos de acuerdo a las pérdidas máximas permisibles y pérdidas por sombras.

- **Pérdidas por inclinación y orientación**

La inclinación de diseño del campo de captadores es de $\beta = 45^\circ$. El azimut de los colectores es $\alpha = -45^\circ$.

Teniendo en cuenta la inclinación, la orientación del campo de captadores y la latitud de la instalación, las pérdidas debidas a la orientación e inclinación del campo son del 8,22%.

Según la carta cilíndrica de la trayectoria solar (diagrama de trayectorias del sol), una vez introducidos todos los puntos de los perfiles de los obstáculos que están situados en torno al campo de colectores, estos producen unas pérdidas por sombreado a lo largo de todo el año.

- **Pérdidas de radiación por sombras**

Se describe un método de cálculo de las pérdidas de radiación solar que experimenta una superficie debidas a sombras circundantes. Tales pérdidas se expresan como porcentaje de la radiación solar global que incidiría sobre la mencionada superficie, de no existir sombra alguna. El procedimiento consiste en la comparación del perfil de obstáculos que afecta a la superficie de estudio con el diagrama de trayectorias del sol.

Los pasos a seguir son los siguientes:

Según el tipo de instalación de captadores la instalación cumple con lo establecido en la tabla 2.4 del apartado 2.1.8 del CTE.



| | SOMBRAS | ORIENTACION E INCLINACIÓN | TOTAL |
|---------------|---------|---------------------------|--------|
| Límite máximo | 10 | 10% | 15% |
| Calculadas | 5% | 8,22% | 13,22% |

Tabla 5.9. Representación de pérdidas por orientación y sombras

5.2.2.8. Anclaje de los colectores:

La estructura soporte de los captadores se compone de perfiles prefabricados de aluminio. La colocación de estos dependerá del ángulo de inclinación de los paneles que optimizan el rendimiento, la latitud del lugar y la aplicación que se quiera dar. Definiendo el plano de apoyo donde se quiera colocar los colectores, en nuestro caso el tejado, se fijan las placas de anclaje teniendo cuidado en respetar la dimensión función del ángulo de inclinación. Las placas deben ser ancladas entre sí y el apoyo debe ser lo bastante sólido en consideración al empuje que tenga el viento.

Las chavetas deben estar reforzadas de forma que queden bien apretadas debiendo ser un montaje de abajo-arriba si es vertical. Terminando el montaje de la estructura soporte en los extremos de todos los tubos que deben colocar tapones de plástico con objeto de evitar la entrada de agua o elementos extraños dentro de los mismos. La estructura de soporte de los módulos requerirá una cimentación que asegure la resistencia a los esfuerzos provocados por el viento y otras incidencias meteorológicas.

5.2.2.9. Volumen de acumulación:

El acumulador es el sistema de acumulación de agua, constituido por un depósito que almacena agua hasta que esta sea demandada. Los acumuladores utilizados en las instalaciones solares térmicas son similares a los empleados para producción de agua caliente sanitaria en sistemas convencionales. Los materiales que generalmente se utilizan son acero galvanizado, acero vitrificado, acero con tratamiento superficial y acero inoxidable. La acumulación de agua caliente sanitaria procedente de la aportación solar se realizará mediante sistema de acumulación centralizado de 3000 litros de capacidad total, que servirá para hacer frente a la demanda diaria y otro de 800 litros que irá destinado para grandes consumos que se realizan en poco tiempo como es el caso de las duchas.

El C.T.E., en su documento básico HE, exigencia básica HE4, contribución solar mínima de agua caliente sanitaria establece que para la aplicación de ACS el área total de los captadores tendrá un valor tal que se cumpla la condición:

$$50 < V/A < 180$$



Siendo:

- A la suma de las áreas de los captadores [m²];
 V el volumen del depósito de acumulación solar [litros].

Depósito interacumulador fabricado en acero vitrificado.

Ánodo de magnesio y medidor de carga de ánodo.

| | |
|--|-----|
| Capacidad ACS (l) | 800 |
| Superficie serpentín (m ²) | 2,5 |
| Peso en vacío (kg) | 195 |
| Temperatura máx. ACS (°C) | 90 |
| Presión máx. ACS (bar) | 8 |
| Temperatura máx. Serpentín (°C) | 200 |
| Presión máx. Serpentín (bar) | 25 |

Tabla 5.10. *Acumulador BDLE S800*

Depósito interacumulador fabricado en acero vitrificado.

Ánodo de magnesio y medidor de carga de ánodo.

Dos bocas de inspección y limpieza

Aislamiento térmico desmontable

| | |
|--|------|
| Capacidad ACS (l) | 3000 |
| Superficie serpentín (m ²) | 5,0 |
| Peso en vacío (kg) | 657 |
| Temperatura máx. ACS (°C) | 90 |
| Presión máx. ACS (bar) | 8 |
| Temperatura máx. serpentín (°C) | 200 |
| Presión máx. serpentín (bar) | 25 |

Tabla 5.11. *Acumulador BDLE S3000*

5.2.2.10. *Sistemas de termotransferencia:*

La misión de un intercambiador es la de ceder al agua, el calor captado por el colector solar. Por su posición en la instalación, los intercambiadores pueden ser interiores o exteriores. Los parámetros que definen a un intercambiador son básicamente el rendimiento y la eficacia de intercambio. Para realizar el intercambio de la energía absorbida por el líquido caloportador en los captadores solares al agua caliente sanitaria acumulada en el depósito, se



hace uso de un intercambiador de placas de alta eficiencia. Para el calentamiento del agua caliente para los servicios se ha diseñado un intercambiador de placas de acero inoxidable AISI 316 de potencia de intercambio 42 kW situado en la sala de máquinas. Para el calentamiento la piscina se ha diseñado un intercambiador de placas de acero inoxidable AISI316 de potencia de intercambio 72 kW situado también en la sala de máquinas.

5.2.2.11. *Elementos hidráulicos de protección*

A continuación, se definen los elementos que formalizan nuestro esquema solar tanto para ACS como para la piscina.

- **Aislamiento**

Es un elemento fundamental en la instalación cuya finalidad es la disminuir las posibles pérdidas caloríficas tanto en los colectores, el acumulador y las conducciones. Los valores más importantes para la elección apropiada del aislamiento son: el coeficiente de conductividad, la gama de temperaturas, su resistencia, su fácil colocación y el coste. Cada tubería de agua caliente, tanto para el circuito primario como secundario, han de estar bien aislados.

- **Válvulas de paso**

Son los elementos encargados de interrumpir total o parcialmente el paso del fluido a través de las conducciones. En nuestro caso las válvulas de paso son de asiento.

- **Válvula de seguridad**

Su función es la de limitar la presión en el circuito y así proteger los componentes del mismo. En nuestro caso los puntos más delicados son el campo solar y el vaso de expansión, por lo que se debe de marcar a una presión inferior a la máxima soportada por los citados elementos. Se utilizarán válvulas de seguridad taradas a 6 kg/cm^2 para el circuito primario y de 8 kg/cm^2 para el circuito de consumo. El fluido evacuado por la válvula de seguridad irá conducido hacia un tanque que almacenará el propilenglicol y así evite posibles accidentes. En el circuito primario es necesario colocar una por batería.

- **Válvulas antirretorno**

Son las encargadas de permitir el paso del fluido en un sentido e impedirlo en el contrario. En nuestro caso serán del tipo de clapeta.



- **Válvulas de equilibrado**

Se montarán válvulas de equilibrado en la impulsión de la bomba y en las baterías de captadores si no se ha usado retorno invertido como método de equilibrado.

- **Grifo de vaciado**

Su uso se pone de manifiesto cuando es necesario vaciar el circuito, ya sea el primario o el secundario por labores de mantenimiento o reposición del algún elemento del circuito.

- **Sistema de llenado**

Puede ser manual o automático. En el segundo caso, se propone un sistema de llenado automático compuesto por una bomba de multietapa regulada por dos presostatos (uno de mínima y otro de máxima) los cuales presurizarán el circuito hidráulico en caso de vaciado.

- **Purgadores**

El purgador tiene como función evacuar los gases contenidos en el fluido caloportador, los cuales pueden dar lugar a la formación de bolsas que impiden la correcta circulación del fluido, además de provocar corrosiones. Para su correcto funcionamiento hay que colocar el purgador en el punto más alto de la instalación. Es imprescindible prever purgas de aire al punto más alto del circuito, para evitar que las burbujas de aire puedan impedir o dificultar la circulación. La temperatura mínima histórica en el Baix Camps es de -7 °C , por tanto se considera zona con riesgo de heladas. El porcentaje en peso de propilenglicol que debe tener el fluido caloportador será del 25%, el cual se mezclará con agua desionizada.

5.2.2.12. *Circuito hidráulico de captación*

Para hacer la interconexión entre todos los sistemas que se han descrito, se debe prever el trazado correspondiente de tuberías entre los mismos así como todos los elementos auxiliares de una instalación hidráulica, véase, bombas de circulación, vaso de expansión, purgadores, valvulería y accesorios.

La configuración del sistema elegido es una instalación en la que el sistema de captación y acumulación de agua calentada mediante aportes solar y la preparación del ACS es centralizado mediante Apoyo con caldera de condensación Thermosystem Condens.

Se encuentran por tanto 5 circuitos:

- 0 Circuito primario ACS: Entre campo de captadores y el intercambiador.
- 0 Circuito secundario ACS: Entre el intercambiador y el depósito de acumulación solar.



- 0 Circuito de acumulación de ACS: Entre el depósito de acumulación ACS y el equipo complementario centralizado.
- 0 Circuito Primario de Piscina: Entre el campo de captadores y el intercambiador de placas de piscina.
- 0 Circuito Secundario de piscina: Entre el intercambiador de placas y la piscina

Para las instalaciones objeto del estudio, la unión entre el circuito primario y secundario se llevará a cabo mediante un Grupo Hidráulico que integrará los elementos de intercambio, bombeo y regulación solar. Entre el acumulador solar y el acumulador de ACS se intercalará una bomba de trasvase.

Circuito Primario

El trazado de tuberías del circuito primario va desde los colectores solares ubicados en la cubierta del edificio, hasta el intercambiador de placas, ubicado junto al depósito acumulador, en un local destinado a tal fin, donde se ubican los distintos elementos de la instalación (bomba, vaso de expansión, regulador, ...).

El dimensionado de los componentes del circuito primario se realiza para un caudal unitario de diseño de 40 l/h y metro cuadrado de superficie de captación, lo que significa un caudal total de 4234 l/hora, con la configuración de captadores en paralelo propuesta.

Para ese caudal y con la premisa de tener una pérdida de carga inferior a 20 mmca/m en las tuberías que circulan por el interior del edificio. Se propone un diámetro exterior de tubería de mm.

Las tuberías del circuito primario serán de cobre con las uniones soldadas por capilaridad. En la unión de materiales distintos, para evitar la corrosión, se instalarán manguitos antielectrolíticos (mediante accesorios de PPR u otros materiales).

El aislamiento de las tuberías que discurren por el exterior se realizará con coquilla de lana de vidrio de 40 mm de espesor, recubierto con chapa de aluminio, para evitar su degradación, debido a la exposición a los agentes exteriores. En las tuberías no expuestas a la intemperie, el aislamiento será de caucho microporoso (Armaflex HT o similar) de 27 mm, apto para el funcionamiento a altas temperaturas.

Se debe instalar un Vaso de Expansión cerrado, adecuado para el uso con mezcla anticongelante de las siguientes características.

- Capacidad: 210 l



- Presión máxima 6,0 bar
- Presión del gas 1,50 bar
- Presión de llenado 2,00 bar

Para proteger la membrana de temperaturas excesivas, así como de la entrada de fluido caloportador en fase vapor se debe de instalar un vaso amortiguador de temperatura en serie con el vaso de expansión.

- Capacidad >100l

Se debe hacer uso además de válvula de seguridad tarada a 6 bares, purgador en el punto más alto de la instalación y en la salida de cada batería de captadores, así como manómetro de presión del circuito solar.

Circuito Secundario

El trazado de tubería de este circuito conecta la salida del intercambiador de placas con el depósito de acumulación.

Las tuberías del circuito primario serán de cobre con las uniones soldadas por capilaridad. Siempre que haya que realizar una unión entre elementos de distinto material, se deberán instalar manguitos electrolíticos, al objeto de evitar la corrosión.

Para el aislamiento de las tuberías, se colocará una coquilla de espuma elastomérica de 20mm de espesor en las tuberías cuyo diámetro exterior sea menor de 60mm, y de 30mm de espesor en aquellas con un diámetro exterior superior a 60mm. No precisan de la colocación de un acabado con protección a la intemperie ya que discurrirán por el interior del edificio.

La bomba del circuito secundario será la integrada en el Grupo Hidráulico.

Circuito de acumulación de ACS

El trazado de tubería de este circuito conecta la salida del intercambiador de placas de ACS del equipo complementario con el depósito de acumulación.

Las tuberías del circuito primario serán de cobre con las uniones soldadas por capilaridad. Siempre que haya que realizar una unión entre elementos de distinto material, se deberán instalar manguitos electrolíticos, al objeto de evitar la corrosión.

Para el aislamiento de las tuberías, se colocará una coquilla de espuma elastomérica de 20mm de espesor en las tuberías cuyo diámetro exterior sea menor de 60mm, y de 30mm de espesor en aquellas con un diámetro exterior superior a 60mm. No precisan de la colocación de un acabado con protección a la intemperie ya que discurrirán por el interior del edificio.



En este circuito, se instalará un vaso de expansión con suficiente volumen para absorber la dilatación del agua desde su temperatura de llenado hasta su temperatura máxima.

Circuito primario de piscina

El dimensionado de los componentes del circuito primario se realiza suponiendo un caudal unitario de diseño de 40 l/h/m^2 de superficie de captación, lo que supone en este caso un caudal de 4234 l/hora.

Para ese caudal y con la premisa de tener una pérdida de carga inferior a 20 mmca/m en las tuberías que circulan por el interior del edificio. Se propone un diámetro exterior de tubería de mm.

Las tuberías del circuito primario serán de cobre con las uniones soldadas con soldadura fuerte. Siempre que haya que realizar una unión entre elementos de distinto material, se deberán instalar manguitos electrolíticos, al objeto de evitar la corrosión.

Para el aislamiento de las tuberías, se colocará una coquilla de espuma elastomérica de 35 mm de espesor con acabado que lo proteja de la intemperie para aquellos tramos que estén expuestos al exterior.

5.2.2.13. Sistema de energía convencional

Se prevé la utilización del sistema de energía convencional, para complementar la instalación solar en los periodos de baja radiación solar o de alto consumo. El sistema auxiliar está compuesto por Apoyo con caldera de condensación Thermosystem Condens que calentará el ACS a través de un intercambiador de placas, siendo almacenada esta energía en depósito(s) acumulador(es) **Saunier Duval** 1 ud(s) - BDLE S 3000, 1 ud(s) - BDLE S 800, , con un volumen de 3800 l.

La conexión hidráulica se realizará de forma que tanto el agua de consumo sea calentada y/o almacenada en el acumulador solar, pasando al sistema de energía convencional para alcanzar la temperatura de uso, cuando sea necesario.

Se debe disponer un by-pass hidráulico del agua de red al sistema convencional para garantizar el abastecimiento de Agua Caliente Sanitaria, en caso de una eventual desconexión de la instalación solar, por avería, reparación o mantenimiento. A la salida del depósito ACS, se instalará una válvula termostática, con el fin de evitar sobretemperaturas en la instalación.

El equipo complementario conectado mediante un intercambiador de placas al depósito solar, solamente aportará al agua procedente de dicho depósito, la cantidad de energía necesaria para llegar a la temperatura de confort.



Según CTE 3.3.6 el equipo complementario deberá disponer de un equipo de energía convencional complementario que debe cumplir con los siguientes requerimientos:

- 1) No se podrá conectar el equipo complementario en el circuito primario de captadores.
- 2) Se deberá dimensionar como si no se dispusiera del sistema solar.
- 3) Sólo entrará en funcionamiento cuando sea estrictamente necesario y de forma que se aproveche lo máximo posible la energía extraída del campo de captación
- 4) Debe disponer de un termostato de control sobre la temperatura de preparación que en condiciones normales de funcionamiento permitirá cumplir con la legislación vigente en cada momento referente a la prevención y control de la legionelosis
- 5) En el caso de que el sistema de energía convencional complementario sea instantáneo, el equipo será modulante, es decir, capaz de regular su potencia de forma que se obtenga la temperatura de manera permanente con independencia de cuál sea la temperatura del agua de entrada al citado equipo
- 6) En el caso de climatización de piscinas, para el control de la temperatura del agua se dispondrá una sonda de temperatura en el retorno de agua al intercambiador de calor y un termostato de seguridad dotado de rearme manual en la impulsión que enclave el sistema de generación de calor. La temperatura de tarado del termostato de seguridad será, como máximo, 10 °C mayor que la temperatura máxima de impulsión

5.2.2.14. *Regulación solar y sistema eléctrico*

El funcionamiento de la instalación vendrá controlado por la centralita de control que comparará las sondas de temperatura y actuará sobre las bombas y válvulas correspondientes.

La centralita comandará la instalación mediante un **control diferencial** que actuará poniendo en funcionamiento las bombas de circulación cuando el salto de temperatura entre la salida del campo de captadores y la sonda de menor temperatura sea superior a 5°C.

Hay que asegurarse que las sondas de temperatura en la parte baja de los acumuladores y en el circuito estén afectadas por el calentamiento. Para ello la ubicación de las sondas se realizará de forma que se detecten exactamente las temperaturas que se desean, instalándose los sensores en el interior de vainas, que se ubicarán en la dirección de circulación del fluido y en sentido contrario (a contracorriente).

La precisión del sistema de control, asegurará que las bombas estén en marcha con saltos de temperatura superiores a 7°C y paradas con diferencias de temperatura menores de 2°C.



El sistema de control asegurará, mediante la parada de las bombas, que en ningún caso se alcancen temperaturas superiores a las máximas soportadas por los materiales y componentes.

La instalación dispondrá de un **contador de agua caliente solar** situado en el circuito primario que cuantifique la energía producida por la instalación solar. Este contador estará constituido por los siguientes elementos:

- Contador de agua.
- Dos sondas de temperatura.
- Un microprocesador electrónico (en algunos casos irá conectado a la propia centralita).

El contador de agua y una de las sondas se situarán en la entrada del campo de captadores. La otra sonda se situará en la salida del mismo (agua caliente). El microprocesador electrónico podrá estar situado en la parte superior del contador o por separado (incluido en la centralita).

El cuadro eléctrico dispondrá de selectores para controlar el funcionamiento de las bombas con conmutación automática y manual de parada y marcha. Se colocarán elementos de señalización para visualizar el estado de funcionamiento de las bombas y protecciones eléctricas (interruptores magnetotérmicos y diferenciales) adecuadas a cada elemento de la instalación.

5.2.2.15. Esquema hidráulico proyectado

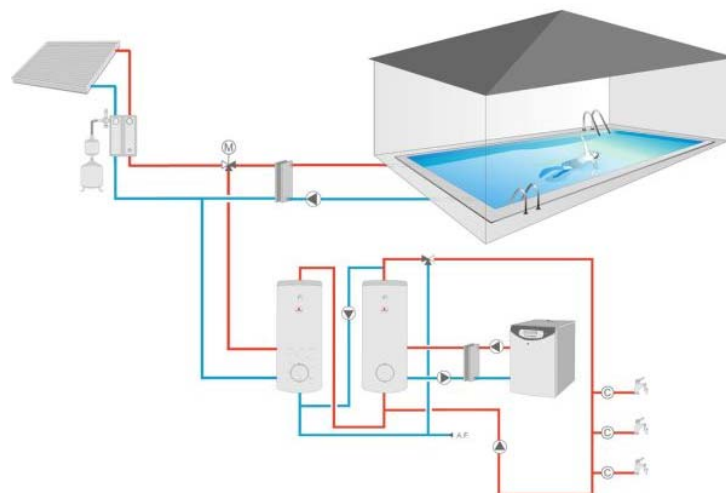


Figura 5.5 Esquema *hidráulico proyectado*



5.2.3. Instalación de saneamiento

5.2.3.1. Introducción:

El objetivo de la instalación de evacuación es dar salida a las aguas negras vertidas en la zona a actuar conduciendo también los conductos generales del edificio dado que nos encontramos en la planta sótano del edificio y se producirá el conexionado con el colector general del edificio.

Dicha instalación se realizará siempre de una manera ordenada y prevista, sin causar molestias, humedades, ruidos ni malos olores.

5.2.3.2. Normativa específica aplicada

Toda la instalación se realiza de acuerdo a las normas siguientes:

- Código técnico de la edificación (CTE) Documento básico HS Salubridad. Sección de Evacuación de Aguas. Establece las condiciones de diseño, de dimensionado, de ejecución, de los productos y las de uso y mantenimiento.
- Plan General Municipal de Ordenación, Plan Parcial y prescripciones de la Ordenanza reguladora de red de servicios. Normativa de *Agència Catalana de l'Aigua*, y prescripciones
- NTE (Normas Técnicas de la Edificación)..
- RITE (Reglamento de Instalaciones Térmicas en Edificios). Establece que locales y salas de máquinas han de disponer de desagüe eficaz, así como un diámetro mínimo de 110 mm.

5.2.3.3. Descripción de la instalación y sistema propuesto. Consideraciones generales:

En primer lugar se puntualiza que el nivel de la conexión del colector del edificio con el alcantarillado se realiza a una cota inferior de la que nosotros bajaremos, por este motivo se especifica que en ningún momento este será un problema.

5.2.3.4. Red de evacuación de aguas negras

La red de evacuación de aguas negras se compone de derivaciones individuales, arquetas de registro de pvc, ramales de colectores y colectores, y de sus correspondientes ventilaciones, así como de los elementos necesarios para su fijación, sujeción y puesta en obra. El material utilizado es el PVC para cada elemento será el PEX AL .

Se tendrá que realizar la conexión del nuevo colector del edificio al del alcantarillado.

- Derivación individual y aparatos sanitarios
 - Se establece una pendiente mínima del 2% que evite la deposición del material.



- Circulación natural por gravedad en un trazado de la red lo más sencillo posible.
 - Fregaderos y lavabos deben de estar a 4,00 m de distancia de la bajante, con pendientes entre 2,5 y 5%.
 - Pendiente de la ducha igual o menor al 10%
 - El desagüe de inodoro a bajante debe realizarse directamente o por medio de un manguetón de acometida igual o menor a 1,00 m siempre que no sea posible dar la pendiente necesaria (mínima una pendiente del 2% establecida por algunos fabricantes y basada en la experiencia).
 - Rebosaderos en todos los lavabos. Los lavabos disponen de un grifo con pulsador temporizado.
 - No se deben disponer desagües enfrentados acometiendo a una tubería común.
 - Unión de desagües a bajantes con una inclinación superior a los 45°.
- Colectores
- Trabajarán con alturas de llenado comprendidas entre 1/2 y 3/4 de la totalidad del conducto. Dicho caudal determina el dimensionado de los colectores.
 - La velocidad ha de estar comprendida entre 0.6 y 2.2 m/seg, estableciendo para este proyecto el criterio de una pendiente del 2% ó del 4% para una mejor seguridad de evacuación.
- Arqueta
- Serán de dimensiones 40x40x50, realizándose con fábrica de ladrillo y los elementos establecidos en los planos y sus correspondientes detalles.
 - En el caso de colocar la arqueta en el interior del edificio se procurará que el pavimento cubra o esconda el acceso a la arqueta, si bien la losa debe ser fácilmente removible y sustituible.
- Ventilación Terciaria: En el Esquema de Principios se establecen los aparatos en que se instala ventilación terciaria.
- Ramales de desagües superiores a 5.00 m. El sistema conectará los cierres hidráulicos con la columna de ventilación primaria (no se requiere ventilación secundaria en el edificio proyectado).
 - Debe conectarse a una distancia de 2 a 22 veces el diámetro de la tubería de desagüe del aparato.
 - La ventilación debe de empezar por encima de la corona de sifón y subir verticalmente en un ángulo superior a 45°.



- Pendiente mínima del 1% (en proyecto se establece un 2%) para recoger la condensación que se forme.
- Tramos horizontales 20 cm por encima del rebosadero del aparato sanitario

5.2.3.5. Dimensionado

- **Dimensionado de la red de evacuación de aguas negras**

- Derivación individual y aparatos sanitarios

A cada aparato sanitario le corresponden las UD, los diámetros mínimos de los sifones y las derivaciones individuales establecidos en la siguiente tabla del CTE-HS5:

Tabla 4.1 UD's correspondientes a los distintos aparatos sanitarios

| Tipo de aparato sanitario | Unidades de desagüe UD | | Diámetro mínimo sifón y derivación individual (mm) | |
|---------------------------|------------------------|-------------|--|-------------|
| | Uso privado | Uso público | Uso privado | Uso público |
| Lavabo | 1 | 2 | 32 | 40 |
| Bidé | 2 | 3 | 32 | 40 |
| Ducha | 2 | 3 | 40 | 50 |
| Bañera (con o sin ducha) | 3 | 4 | 40 | 50 |
| Inodoro | Con cisterna | 4 | 100 | 100 |
| | Con fluxómetro | 8 | 100 | 100 |

Tabla 5.12.

Estos datos están recogidos a su vez en el esquema de principios de saneamiento. (Ver plano saneamiento).

- Ramales

Se considera ramal de colector aquella tubería que recoge el agua entre diferentes aparatos sanitarios y la bajante o el colector principal. Su dimensionado se establece en la siguiente tabla del CTE-HS5, en función de las UD y la pendiente establecida:



| Tabla 4.3 Diámetros de ramales colectores entre aparatos sanitarios y bajante | | |
|---|------|---------------|
| Máximo número de UD | | Diámetro (mm) |
| Pendiente | | |
| 2% | 4% | |
| 2 | 3 | 40 |
| 6 | 8 | 50 |
| 11 | 14 | 63 |
| 21 | 28 | 75 |
| 60 | 75 | 90 |
| 151 | 181 | 110 |
| 234 | 280 | 125 |
| 582 | 800 | 160 |
| 1150 | 1680 | 200 |

Tabla 5.13

- Colectores

Su cálculo se determina a través de la siguiente tabla del CTE-HS5:

| Tabla 4.5 Diámetro de los colectores horizontales en función del número máximo de UD y la pendiente adoptada | | |
|---|-------|---------------|
| Máximo número de UD | | Diámetro (mm) |
| Pendiente | | |
| 2% | 4% | |
| 20 | 25 | 50 |
| 24 | 29 | 63 |
| 38 | 57 | 75 |
| 130 | 160 | 90 |
| 321 | 382 | 110 |
| 480 | 580 | 125 |
| 1056 | 1300 | 160 |
| 1920 | 2300 | 200 |
| 3500 | 4200 | 250 |
| 6920 | 8290 | 315 |
| 10000 | 12000 | 350 |

Tabla 5.14

Para clarificar y facilitar el acceso a la información se establecen 3colectores principales, conectados y relacionados entre sí tal y como describe gráficamente el esquema de principios y los planos adjuntos al proyecto, y como se especifica a continuación.

De tal manera, se obtiene:

- o Colector vestuario 1: Tubo de PVC enterrado que recoge las aguas negras de los inodoros, lavabos y duchas del vestuario 1 y el adaptado, se unirá mediante una arqueta al colector general del edificio.



- Colector de vestuario 2 Tubo de PVC enterrado que recoge las aguas negras de todos los inodoros lavabos y duchas del vestuario 1. Conectará con el colector general del edificio mediante arqueta.
- Colector general del edificio: Tubo de PVC enterrado por la que circula la totalidad de las aguas negras del edificio y nace la unión con el colector de la red de alcantarillado, desembocarán directamente las duchas de la zona de piscina, los desagües de la piscina, desagüe de la cámara registrable bajo forjado, los sumideros del canal perimetral de la zona piscina y los bajantes del resto del edificio.

El albañal que conecta nuestra instalación de evacuación de aguas negras con el alcantarillado público será de Ø correspondiente tras la comprobación de este.

A continuación, en la tabla adjunta se detallan los diámetros de los conductos explicados: (Ver plano de esquema de saneamiento)

| COLECTOR | TIPO COLECTOR | Nº de UD | DIÁMETRO |
|----------|---------------------|----------|----------|
| 1 2 | Ramal colector | 15 ud | 110 Ø |
| 3 4 | Ramal colector | 28 ud | 110 Ø |
| 7 8 | Ramal colector | 20 ud | 110 Ø |
| 5 6 | Ramal colector | 53 ud | 110 Ø |
| 9 10 | Ramal colector | 33 ud | 110 Ø |
| 15 16 | Ramal colector | 6 ud | 50 Ø |
| 13 14 | Ramal colector | 48 ud | 110 Ø |
| 17 18 | Ramal colector | 63 ud | 110 Ø |
| 19 20 | Ramal colector | 63 ud | 110 Ø |
| 11 12 | Colector horizontal | 405 ud | 125 Ø |

Tabla 5.15



- **Dimensionado de las redes de ventilación**

- Ventilación terciaria

Los valores de la ventilación terciaria, así como su longitud máxima se establecen en la siguiente tabla del CTE DB-HS:

| Tabla 4.12 Diámetros y longitudes máximas de la ventilación terciaria | | | | | | |
|---|------------------------------------|--|------|------|------|------|
| Diámetro del ramal de desagüe (mm) | Pendiente del ramal de desagüe (%) | Máxima longitud del ramal de ventilación (m) | | | | |
| 32 | 2 | >300 | | | | |
| 40 | 2 | >300 | | | | |
| 50 | 1 | >300 | | | | |
| | 2 | >300 | | | | |
| 65 | 1 | 300 | >300 | >300 | >300 | |
| | 2 | 250 | >300 | >300 | >300 | |
| 80 | 1 | 200 | 300 | >300 | >300 | >300 |
| | 2 | 100 | 215 | >300 | >300 | >300 |
| 100 | 1 | 40 | 110 | 300 | >300 | >300 |
| | 2 | 20 | 44 | 180 | >300 | >300 |
| 125 | 1 | 28 | | 107 | 255 | >300 |
| | 2 | 15 | | 48 | 125 | >300 |
| 150 | 1 | 37 | | 96 | >300 | |
| | 2 | 18 | | 47 | >300 | |
| | | 32 | 40 | 50 | 65 | 80 |
| | | Diámetro del ramal de ventilación (mm) | | | | |

Tabla 5.16

- **Dimensionado de accesorios (arquetas)**

La dimensión de las arquetas se determinan por el colector de salida de ésta, tal y como establece la siguiente tabla del CTE DB-HS:

| Tabla 4.13 Dimensiones de las arquetas | | | | | | | | | |
|--|--------------------------------------|---------|---------|---------|---------|---------|---------|---------|---------|
| L x A [cm] | Diámetro del colector de salida [mm] | | | | | | | | |
| | 100 | 150 | 200 | 250 | 300 | 350 | 400 | 450 | 500 |
| | 40 x 40 | 50 x 50 | 60 x 60 | 60 x 70 | 70 x 70 | 70 x 80 | 80 x 80 | 80 x 90 | 90 x 90 |

Tabla 5.17

El cálculo de su profundidad se obtiene a partir de la profundidad del colector que accede a la arqueta a una mayor cota negativa. Es decir, es el colector de entrada a mayor profundidad el que determina la profundidad de la arqueta.

En el plano de saneamiento se detalla las medidas de dichos elementos y su posición relativa.

5.2.3.6. Construcción. Ejecución de los elementos que componen la instalación

La realización y construcción de la instalación de aguas residuales se ejecutará conforme al proyecto y las normas que en éste se establecen, la legislación aplicable, a las normas de la



buena construcción y a las instrucciones de la orden facultativa de la obra y del director de ejecución de la obra.

- **Ejecución de puntos de captación**

- Válvula de desagüe

Su ensamblaje e interconexión será mediante junta mecánica y junta tórica.

Las rejillas serán de acero inoxidable, y su unión se realizará mediante tornillo de acero inoxidable roscado sobre tuerca de latón insertada en el cuerpo de la válvula.

No se pueden manipular, unir con masilla o utilizar líquido soldador.

- Sifones individuales

Accesibles y siempre desde el propio local en que se hallen instalados, no siendo posible taparlos u ocultarlos de forma que imposibilite su acceso y mantenimiento.

Han de constar con un dispositivo de registro de tapón roscado muy cercano o en el mismo aparato sanitario, que evite la longitud de tubería sucia en contacto con el ambiente.

La distancia vertical máxima entre la válvula de desagüe y la corona del sifón será igual o inferior a los 60 cm.

No se permite la conexión al sifón de otro aparato de desagüe de electrodomésticos, aparatos de bombeo o fregaderos con triturador.

- **Ejecución de las redes**

Las redes serán estancas y no presentarán exudaciones ni serán expuestas a obstrucciones.

Se evitarán los cambios bruscos de dirección y se utilizarán piezas adecuadas, homologadas y que cumplan la normativa que requiera para cada caso.

Los conductos de Ø50 y menores se sujetarán mediante bridas o ganchos dispuestos cada 700 mm, y los tubos mayores de Ø50 cada 500 mm. La sujeción vertical se realizará con un espesor mínimo de 9 cm. Las abrazaderas de cuelgue de forjado llevarán un forro interior elástico y serán regulables para darles la pendiente adecuada. Su colocación además vendrá dada por el encuentro con otros conductos, primando la seguridad del conjunto.

Los pasos a través de forjados o de cualquier elemento estructural se harán con manguito cortafuegos siempre que sea en el paso de una zona de riesgo a otra, o del material adecuado en caso contrario, dejando una holgura mínima de 10 mm, retacada con un material elástico.



El manguetón plástico del inodoro se acoplará al desagüe del aparato por medio de un sistema de junta de caucho de sellado hermético.

- **Ejecución de albañales y colectores**

- Red horizontal colgada

Entronque con la bajante a 1m libre de conexiones de desagüe.

Un tapón de registro en cada entronque y en tramos rectos cada 15 m, instalado en la mitad superior de la tubería, así como en los cambios de dirección de 45° con registro roscado.

La separación entre abrazaderas será de 0.3 cm para los tubos de PVC.

Se separará la cara inferior del forjado un mínimo de 5 cm de la cara superior del tubo. Se incluirán abrazaderas cada 1.50 m sujetas al forjado de hierro galvanizado y dispondrán de forro interior elástico siendo regulables para darles la pendiente deseada. Se dispondrán sin apriete en las gargantas de cada accesorio, estableciéndose de ésta forma los puntos fijos; los restantes soportes serán deslizantes y soportarán únicamente la red.

Cuando la generatriz del tubo quede a más de 25 cm del forjado, éste se sujetará mediante silletas o trapecios de fijación, mediante tirantes anclados al forjado en ambos sentidos del eje de la conducción, y así evitar el desplazamiento de dichos puntos por pandeo del soporte.

Se utilizarán manguitos de dilatación o uniones (encoladas con juntas de goma) cada 10 m.

Los pasos a través de elementos se harán con la misma precisión y criterio que el indicado para bajantes.

- Red horizontal enterrada

La unión entre bajante y arqueta se realizará mediante un manguito deslizante arenado previamente y recibido a la arqueta.

Si la distancia de arqueta a bajante es larga se colocará un tramo de tubo entre ambas sobre un soporte adecuado que no limite el movimiento, de manera que impida que funcione como ménsula.

Para la unión de los tramos de tubos de PVC se utilizará cordón con junta de goma.



Si existe riesgo de invasión de plantaciones inmediatas a la red, se dispondrá una malla geo-textil sobre ésta.

- Zanjas para tuberías de materiales plásticos

Las zanjas serán de paredes verticales, con un ancho de $\varnothing+500$ mm, y como mínimo 0.6 m.

La profundidad viene definida por el proyecto.

Los tubos se apoyarán sobre arena o grava. Los laterales serán compactados y se dejarán al descubierto las uniones hasta la realización de las pruebas de estanqueidad. El relleno se realizará por capas de 10 cm, compactando, hasta 30 cm del nivel superior en que se realizará un último vertido y la compactación final.

La base de la zanja será un lecho de hormigón en toda su longitud de 15 cm.

5.2.3.7. Pruebas

- **De estanqueidad parcial**

Se descargará cada aparato aislado y simultáneamente, verificando tiempos de desagüe, los sifonados, ruidos y comprobación de los cierres hidráulicos.

No se admitirá una altura de cierre hidráulico >25 mm.

Las pruebas de vaciado se realizarán abriendo los grifos de los aparatos con los caudales mínimos considerados y con la válvula de desagüe puesta; el agua no deberá acumular en el tiempo de 1 minuto.

En la red horizontal se probará cada tramo de tubería introduciendo agua a presión (entre 0.3 y 0.6 bar) durante diez minutos.

Las arquetas y pozo de registro se someterán a idénticas pruebas.

Se controlarán todas las uniones, entronques y/o derivaciones.

- **De estanqueidad total**

Realizando por partes o todas de una sola vez las pruebas anteriores.



5.2.3.8. *Productos de construcción.*

- **Características generales de los materiales**

De forma general las características de los materiales definidos para estas instalaciones serán:

- Resistencia a la agresividad de las aguas que evacuan.
- Impermeabilidad total a líquidos y gases.
- Resistencia a las cargas externas.
- Flexibilidad para absorber sus movimientos.
- Interior liso.
- Resistencia a la abrasión y a la corrosión.
- Absorción de los ruidos, tanto producidos como transmitidos.

- **Materiales de las canalizaciones**

Conforme a lo establecido en el punto “3.2 *Normativa aplicada a las redes de evacuación*”, se consideran adecuadas para las instalaciones de evacuación de residuos las canalizaciones que tengan las características específicas establecidas en dicho punto.

- **Condiciones de los materiales de los accesorios**

- Cualquier elemento (sea metálico o no) necesario para la ejecución de las instalaciones reunirá en cuanto a su material las mismas condiciones exigidas para la canalización en que se inserte.
- Las piezas de fundición destinadas a tapas, sumideros, etc., cumplirán las condiciones exigidas para las tuberías de fundición.
- Las bridas, presillas y demás fijaciones de bajantes y colectores colgados serán de hierro galvanizado.
- Las bajantes de material plástico dispondrán de un manguito de plástico entre la abrazadera y la bajante.



5.2.3.9. *Mantenimiento y conservación.*

- Para un correcto funcionamiento de la instalación de saneamiento se debe comprobar periódicamente la estanqueidad general de la red con sus posibles fugas, la existencia de olores y el mantenimiento del resto de elementos.
- Se revisarán y desatascarán sifones y válvulas cada vez que se produzca una disminución apreciable del caudal de evacuación o haya obstrucciones.
- Cada 6 meses se limpiarán sumideros de locales húmedos y arqueta separadora de grasas. Calderetas de cubiertas no transitables se limpiarán una vez al año.
- Una vez al año se revisarán los colectores colgados, se limpiarán las arquetas sifónicas y el pozo de registro.
- Cada 10 años se procederá a la limpieza de arquetas a pie de bajante y de paso o antes si se aprecian olores.
- Bridas de unión entre conductos de diferentes materiales, revisión cada año.
- Se mantendrá el agua permanente de sumideros, botes sifónicos, sifones individuales para evitar malos olores, así como se limpiarán la terraza y las cubiertas.
- Bridas, revisión cada año.



5.2.4. Instalación de depuración y renovación del agua de la piscina

5.2.4.1. Introducción:

El objetivo de esta instalación es el abastecimiento, acondicionamiento y renovación del agua que habrá en la piscina.

5.2.4.2. Normativa específica aplicada

Toda la instalación se realiza de acuerdo a las normas siguientes:

- Código técnico de la edificación (CTE) Documento básico HS Salubridad.
- Plan General Municipal de Ordenación, Plan Parcial y prescripciones de la Ordenanza reguladora de red de servicios. Normativa de *Agència Catalana de l'Aigua*, y prescripciones
- Normativa sobre instalaciones deportivas y de esparcimiento (NIDE)
- NTE (Normas Técnicas de la Edificación).
- RITE (Reglamento de Instalaciones Térmicas en Edificios). Establece que locales y salas de máquinas han de disponer de desagüe eficaz, así como un diámetro mínimo de 110 mm.
- Reglamento de régimen técnico – sanitario de piscinas.
- Decreto 95/2000 de 22 de febrero: normas sanitarias de piscinas de uso público
- Manual técnico de piscinas del departamento de sanidad y seguridad social de la Generalitat de Catalunya.

5.2.4.3. Características básicas de la piscina.

- **Clasificación de la piscina según el uso**

Dado que el uso de la piscina será solamente para niños menores de años y estará destinada al uso exclusivo de enseñanza de la natación, quedará entre dos términos descritos por la NIDE entre piscina de chapoteo y de enseñanza.

- **Piscina desbordante en canal perimetral:**

El funcionamiento de una piscina desbordante se basa en el hecho de su llenado hasta el borde del vaso, al cual se le aportará continuamente un caudal de agua de ingreso. Este hecho más el uso de esta piscina comporta el desbordamiento de este recipiente continuamente desplazándose hacia el exterior el volumen de las personas que se sumergen en el agua más el volumen de agua impulsada de nuevo.



Este sistema se caracteriza por el sistema de retirada de suciedad de la lámina continuo, de manera que impide la contaminación del agua del vaso por la suciedad que entra en esta y menos aún el hecho de que esta llegue al fondo del vaso. Este hecho se debe sumar la instalación de los impulsores de agua en el fondo, lo cual incrementa esta limpieza de la lámina, creando una corriente del agua de abajo arriba evitando el poso de los residuos.

El agua rebosada irá a parar al canal perimetral que permite que será conducida hasta el sistema de filtrado y depuración del agua.

El sistema de filtrado funcionará durante la totalidad del día asegurando la limpieza total del agua, aumentando su calidad y disminuyendo las tareas de limpieza del vaso.

Puesto que el caudal de agua desbordada es elevado, se necesitaría dimensionar un equipo de filtración inmenso para su inmediata limpieza y se debería prever unas puntas de desborde muy elevadas, dado que en todo momento se debe asegurar el completo llenado del vaso. Es por este motivo que junto al vaso de la piscina se instalará un depósito de compensación, es decir, un segundo vaso el cual irá bajo suelo y recibirá el agua desbordada de toda la piscina, recolectándola y suministrándola al sistema de filtración de manera regular y controlada. De esta manera en los momentos que haya puntas de desbordamiento el sistema de filtración no se verá de ninguna manera afectado.

- **Partes de la instalación**

La instalación que precisa este tipo de piscinas quedará comprendida en tres partes, que, si bien están íntimamente ligadas entre sí, constituyendo funciones independientes y concretas:

- *Abastecimiento de agua*

El abastecimiento de la piscina se realizará a través de una derivación de la red general, que canalizará el agua hasta las bocas de impulsión situadas en el fondo de la piscina.

Esta acción se realizará una vez por temporada, vaciando y llenando la piscina de nuevo.

En el resto del año el agua de la piscina se mantendrá con las condiciones adecuadas que por normativa se deben asegurar.

A pesar del mantenimiento de esta agua, se debe asegurar una renovación con agua sanitaria diaria del 5% del volumen total de la piscina.

- *Desagüe de la piscina*

El desagüe de la piscina, así como también el del depósito de compensación se realizará mediante los sumideros de fondo que se colocan en el punto más bajo del vaso,



permitiendo efectuar a parte del vaciado de la piscina una vez por temporada, una extracción de agua constante del vaso de la piscina para su depuración. (Ver situación de sumideros e impulsores en plano de instalación piscina).

- *Tratamiento del agua*

La piscina estará dotada de varias instalaciones de tratamiento del agua, asegurando las garantías de su uso mediante el uso de sustancias químicas y tratamientos físicos controlados.

Los elementos necesarios para llevar a cabo el tratamiento completo del agua serán los siguientes:

- Canal desbordante de la piscina y sumideros de fondo
- Equipo de bombeo:

Está compuesto por una bomba autoaspirante de características calculadas en el apartado de *cálculo de equipo de bombeo*. Esta bomba dispondrá de un primer prefiltro que evitará que pasen a la bomba elementos de gran tamaño que puedan dañarla.

Esta bomba permitirá la aspiración del caudal calculado en el apartado **xxx** del depósito de compensación para hacerla llegar al filtro.

- Válvula selectora:

El sistema de filtrado trabajará según la demanda de la piscina, su funcionamiento estará guiado por una válvula selectora anterior a la entrada del agua al filtro de arena. Esta llave permitirá el paso del agua hacia los distintos tratamientos (Filtrado, Lavado, Recirculación hacia desagüe, Enjuague del filtro y Posición de cerrado)

- Filtro de arena de sílice:

El proceder de este filtro consiste la penetración del agua por las dos capas de granulometría decreciente, mejorando así la penetración en profundidad de las impurezas del agua, siendo el diámetro efectivo de esta de 2 a 3 veces mayor que el de la capa inferior. La profundidad o altura mínima de la arena en la superficie filtrante debe ser de 40 - 50 cm. Debe mantenerse un espacio vacío por encima del lecho filtrante que ha de ser suficiente para permitir una expansión de la arena del 15 a 25% en el lavado. Una vez el agua sale por la parte inferior de este elemento, será pasada por el equipo de dosificación de productos de desinfección.

- Dosificador de productos de desinfección:



Este sistema de limpieza complementario al del filtro de arena, por el que se medirá primeramente los niveles de cloro y pH del agua filtrada para que este mismo asigne los productos correspondientes para su corrección según normativa saliendo de este punto con las condiciones que permitirán el regreso del agua a la piscina.

El cloro es un agente químico muy activo que actúa por oxidación. Convierte los residuos orgánicos complejos, que puede haber en el agua en compuestos simple que se evaporarán.

En este punto también realizará el control del pH el cual debe situarse en un rango de 7.2-7.8, entre los cuales además el cloro tendrá mayor efectividad.

- Equipo UV:

Para un resultado final adecuado con un menor porcentaje de cloro en el agua se instalará un equipo automático de tratamiento de esta por luz ultravioleta. A parte de la disminución de uso del cloro realizará la neutralización de las bacterias, virus y otros microorganismos presentes en el agua, impidiendo así que se reproduzcan.

- Limpiafondos:

Se proporcionará una toma de limpieza de fondo, para que llegado el momento se pueda conectar una manguera que conectará con un aparato limpiafondos y permitir así su limpieza.

- **Dimensionado de la instalación**

- *Características de la piscina:*

- Medidas del vaso: 12,50x6,00m
- Profundidad: 0,75-1,00m
- Profundidad media: 0,875m
- Volumen de agua contenido: 65,625m³.
- Tiempo de recirculación del agua total de la piscina: 3h
- Aportación de agua sanitaria al día 5%

- *Elementos a dimensionar:*

Para el correcto funcionamiento de esta instalación será de vital importancia su correcto cálculo para poder así garantizar la calidad del agua necesaria. Para este diseño se deberá dimensionar los siguientes componentes de la instalación: Equipo de bombeo, filtro de arena, impulsores, sumideros y tuberías.



Antes de pasar al cálculo directo se deben establecer algunos parámetros para el correcto funcionamiento de la instalación:

- a. Presión mínima a alcanzar por la bomba 10 m.c.a.
- b. Número de rebosaderos en canal desbordante cada 3m.
- c. Número de sumideros de fondo mínimos 2.
- d. Número de impulsores: que permita una corriente favorable para la limpieza del agua.
- e. Velocidad de filtración: en piscinas públicas no se recomienda velocidades superiores a 40 m³/ m² la velocidad óptima se encuentra entre 20 y 30 m³/h m². Con velocidades superiores a éstas el agua pasa muy deprisa por los filtros, y estos no tienen capacidad suficiente para retener las partículas, que retornarán a la piscina ensuciándola otra vez, llegando a obstruir las boquillas de impulsión de agua filtrada. Para filtrar el agua de la piscina se tomará de los sumideros de fondo y del rebosadero (Aspiración del fondo: 30% del volumen aspirado y aspiración por rebosadero 70% del volumen aspirado).

○ Cálculo de equipo de bombeo:

Con los datos anteriormente especificados, se deberá bombear un caudal de agua que garantice una recirculación completa de la piscina en 3h, teniendo un volumen de agua de 65,625 m³ en el vaso, tendremos un caudal de bombeo tal que:

$$\text{Caudal de la bomba} = V_{\text{piscina}} / T_{\text{recirculación}} = 65,625 / 3h = 21,875 \text{ m}^3/h$$

Con este dato ya se puede definir el resto de características de la bomba escogiendo de la marca Astrapool el modelo victoria plus silent:

- ❖ Potencia 2CV.
- ❖ Caudal de la bomba: 26 m³/h
- ❖ Presión mínima: 10 m.c.a.

○ Cálculo de Equipo de filtrado:

Una vez se sabe el caudal de la bomba se seleccionará un filtro que tenga una capacidad de filtrado superior al de la bomba. Se ha escogido de la marca Astral pool modelo Vesubio de Ø750mm:

- ❖ Sistema de filtrado arena de sílice laminado
- ❖ Caudal de filtrado: 22 m³/h
- ❖ Con salida de Ø 63mm.



- Cálculo de Tuberías de impulsión:

La tubería principal de impulsión de pvc, dado el caudal de filtrado, 6,08l/s, y teniendo en cuenta una velocidad máxima de impulsión de 2m/s, mediante el ábaco de Tisson obtendremos un diámetro para esta de Ø63mm.

Posteriormente se dividirá el caudal en dos hacia los dos impulsores correspondientes, es decir un caudal de circulación de 2,9l/s al que corresponde un Ø50mm.

Dado que se distribuirá en cuatro impulsores de suelo, el caudal se dividirá equitativamente quedando así un caudal por impulsor de 1,45/s, a una velocidad máxima de impulsión de 2m/s se dispondrán en tuberías de Ø33mm.

- Cálculo de Tuberías de rebosaderos:

Para este cálculo se considerarán las condiciones de repartición de desagüe de la piscina según especificaciones reglamentarias, como ya se ha dicho, con la recogida de agua del 70% por parte de los sumideros colocados en el canal desbordante y el 30% restante con los dos sumideros de fondo del vaso.

Sabiendo que el volumen a recircular debe ser de 21,875m³/h, es decir de 6,076l/s se distribuirá la red de desagüe con las siguientes tuberías:

- ❖ Sumideros de canal desbordante:

- N° de sumideros: 7 ud

- Caudal total a desaguar $0,70 \times 6,076 \text{ l/s} = 4,25 \text{ l/s}$

- Caudal a recoger por sumidero $4,25 \text{ l/s} / 7 \text{ sumideros} = 0,607 \text{ l/s}$

Para un caudal de estas dimensiones a una velocidad recomendada de 1m/corresponden los siguientes diámetros:

- Tramo 1°-2° $= 0,607 \text{ l/s} \rightarrow \text{Ø } 35$

- Tramo 2°-3° $= 1,214 \text{ l/s} \rightarrow \text{Ø } 40$

- Tramo 3°-4° $= 1,821 \text{ l/s} \rightarrow \text{Ø } 50$

- Tramo 4°-5° $= 2,432 \text{ l/s} \rightarrow \text{Ø } 55$

- Tramo 5°-depósito $= 3,04 \text{ l/s} \rightarrow \text{Ø } 63$

Los rebosaderos 6 y 7 desaguarán directamente al vaso de compensación con un Ø 35mm.



Cada rebosadero tendrá un \varnothing 35mm hasta el colector, dicho colector desembocará dentro del depósito de compensación.

❖ Sumideros de fondo de piscina:

○ N° de sumideros: 2 ud

○ Caudal total a desaguar $0,30 \times 6,076 \text{ l/s} = 1,825 \text{ l/s}$

○ Caudal a recoger por sumidero $1,825 \text{ l/s} / 2 \text{ sumideros} = 0.912 \text{ l/s}$

Para un caudal de estas dimensiones a una velocidad recomendada de 1m/corresponden los siguientes diámetros:

○ Sumideros = \varnothing 35

○ Tramo sumideros bomba = \varnothing 50

❖ Derivación de depósito de compensación a bomba:

Para un caudal a abastecer de 4,25l/s de estas dimensiones a una velocidad recomendada de 1m/s corresponde el siguiente diámetro: Sumideros = \varnothing 75

○ Toma de limpieza:

La toma de limpieza se efectuará con una tubería del \varnothing 50.

Para detalle de esquema de instalación y colocación de maquinaria ver plano de instalación de piscina.



5.2.5. Instalación de iluminación

5.2.5.1. Introducción:

El objetivo de este apartado está destinado al diseño y cálculo de la instalación tanto de la zona de la piscina, los vestuarios como las zonas de paso.

Para realizar el correcto diseño de la iluminación de interior, exterior y parquin, utilizaremos un programa llamado DIALux.

Primeramente, dividiremos la planta en las distintas zonas que pueden observarse en las fichas de resultados del programa, ya que en cada una se necesitará un tipo de luminarias según su función, nivel de luz, tipo de luminarias y dimensionamiento de la zona.

El programa nos facilitará la distribución de luminarias según necesidades y dimensionamiento. En el punto 5.6 del presente proyecto, se facilitarán los cálculos de cada una de las zonas del complejo, teniendo en cuenta en cada una de ellas su distribución y luminarias según necesidades.

Los niveles de iluminación recomendados para un local dependen de las actividades que se vayan a realizar en él.

5.2.5.2. Normativa específica aplicada

Toda la instalación se realiza de acuerdo a las normas siguientes:

- Código técnico de la edificación (CTE) Documento básico.
- UNE-EN-12193:2000 (Iluminación de instalaciones deportivas).
- UNE-EN-12464-1:2003 (Iluminación de zonas interiores).
- UNE 60601:2006 (Salas de máquinas para climatización y generadores de calor)
- CTE DB HE3 (Eficiencia energética de las instalaciones de iluminación).
- NTP de la INSH (Instituto Nacional de Seguridad e Higiene)

5.2.5.3. Diseño de la instalación de iluminación

La determinación de los niveles de iluminación adecuados para una instalación, necesitamos realizar un estudio de los diferentes aspectos que influyen en el local. Hay que tener en cuenta que los valores recomendados para cada tarea y entorno son fruto de estudios sobre valoraciones subjetivas de los usuarios como la comodidad visual,



agradabilidad y rendimiento visual.

El usuario estándar no existe y por tanto, una misma instalación puede producir diferentes impresiones a distintas personas. En estas sensaciones influirán muchos factores como los estéticos, los psicológicos, el nivel de iluminación.

Como principales aspectos, trataremos:

- Deslumbramiento: Realizaremos el estudio del deslumbramiento con dicho programa, con la opción de UGR, el cual nos da un valor de deslumbramiento. Para que no haya deslumbramiento el valor tiene que estar entre 17 y 23.
- Lámparas y luminarias: Las lámparas escogidas, por lo tanto, serán aquellas cuyas características (fotométricas, cromáticas, consumo energético, economía de instalación y mantenimiento) mejor se adapte a las necesidades y características de cada instalación (nivel de iluminación, dimensiones del local, ámbito de uso, potencia de la instalación).
- El color: La apariencia en color de las lámparas viene determinada por su temperatura de color correlacionada. Se definen tres grados de apariencia según la tonalidad de la luz: luz fría para las que tienen un tono blanco azulado, luz neutra para las que dan luz blanca y luz cálida para las que tienen un tono blanco rojizo. En nuestro caso escogeremos una apariencia de color intermedia.
- Sistema de alumbrado: Cuando una lámpara se enciende, el flujo emitido puede llegar a los objetos de la sala directamente o indirectamente por reflexión en paredes y techo. La cantidad de luz que llega directa o indirectamente determina los diferentes sistemas de iluminación con sus ventajas e inconvenientes. En nuestro caso daremos a cada sala su correspondiente sistema según necesidad.
- Niveles de iluminación de alumbrado: A continuación, mostramos los niveles de iluminación según normativa, los cuales serán necesarios para realizar los cálculos.



| Sala | Emed | Uniformidad |
|------------------|------|-------------|
| Zona piscina | 300 | 0.5 |
| Vestuarios | 150 | 0,6 |
| Zona de paso | 100 | 0,4 |
| Sala de máquinas | 150 | 0,5 |

Tabla 5.18 Nivel de Emed y uniformidad por estancia

- Depreciación de la eficiencia luminosa y mantenimiento: El paso del tiempo provoca sobre las instalaciones de alumbrado una disminución progresiva en los niveles de iluminancia. Las causas de este problema se manifiestan de dos maneras. Por un lado, tenemos el ensuciamiento de lámparas, luminarias y superficies donde se va depositando el polvo. Y por otro tenemos la depreciación del flujo de las lámparas.

En el primer caso la solución pasa por una limpieza periódica de lámparas y luminarias. Y en el segundo por establecer un programa de sustitución de las lámparas. Aunque a menudo se recurre a esperar a que fallen para cambiarlas, es recomendable hacer la sustitución por grupos o de toda la instalación a la vez según un programa de mantenimiento. De esta manera aseguraremos que los niveles de iluminancia real se mantengan dentro de los valores de diseño de la instalación.

Para el cálculo de los niveles de iluminación de una instalación de alumbrado de interiores para las zonas del complejo, tendremos en cuenta los siguientes procesos:

- Entrada de datos: dimensiones del local y la altura del plano de trabajo.
- Nivel de luminancia: Este valor depende del tipo de actividad a realizar en el local y podemos encontrar tabulados en las normas y recomendaciones.
- Lámpara: Escoger el tipo de lámpara (incandescente, fluorescente) más adecuada con el tipo de actividad a realizar.
- Sistema de alumbrado: Escoger el mejor sistema de alumbrado, el mejor que se adapte a nuestras necesidades y el uso luminarias correspondientes.
- Altura de suspensión: Determinaremos la altura de suspensión de las



luminarias según nuestras necesidades, en nuestro caso parte de la instalación irá en superficie y otra

- Coeficientes de reflexión (ρ): Determinaremos los valores de los diferentes materiales de reflexión en cada local, más claros en zonas dónde se necesiten más luz, y más oscuros en dónde se necesiten menos luz.
- Índice del local (η , CU): Estos valores se encuentran tabulados y lo subministran los mismos fabricantes.
- Factor de mantenimiento: Este coeficiente dependerá del grado de suciedad ambiental y de la frecuencia de la limpieza del local. Para una limpieza periódica anual podemos tomar los siguientes valores.

Gran parte de estos aspectos los calcula el programa según las dimensiones, tonalidad de color de paredes, techos y suelo, y del tipo de luminarias a utilizar.

Una vez realizados los cálculos, se adjuntan a continuación los resultados de cada una de las zonas de la zona.

- **Iluminación en zonas de paso**

Para el diseño de iluminación en las zonas de paso, utilizaremos luminarias con la normativa de las tablas del nivel de iluminación recomendado, 150 lux.

- *Pasillo 1*

El pasillo tiene unas dimensiones de 1,20m y 1,50 de ancho, 8,70 m de largo, 3 m de altura media y 14,63 de superficie.

Para una buena iluminación hemos utilizado 8 luminarias de tipo pantalla led modelo TCS 680 MLO. Las luminarias irán sobre techo.

- *Pasillo 2*

El pasillo tiene unas dimensiones de 1,10m, 2,90 m de largo, 2,40 m de altura media y 3,03m² de superficie.

Para una buena iluminación hemos utilizado 2 luminarias de tipo pantalla led modelo TCS 680 MLO. Las luminarias irán sobre techo.



- *Vestíbulo 1*

El vestíbulo tiene unas dimensiones de 2,44m, 2,04m de largo, 2,80m de altura media y 5.015m² de superficie.

Para una buena iluminación hemos utilizado 3 luminarias de tipo downlight led modelo DN 463 B. Las luminarias irán sobre techo.

- **Iluminación de cajas de inodoros**

Para el diseño de estos elementos dispuestos dentro de los vestuarios, con dimensiones de 1,00 x 1,35m y una superficie de 1,35m² se instalará en cada uno de ellos un Downlight empotrado en techo.

Para una correcta iluminación hemos utilizado 1 luminaria empotrada en techo tipo Downlight modelo DN 463 B.

- **Iluminación de cajas de inodoros**

Para el diseño de estos elementos dispuestos dentro de los vestuarios, con dimensiones de 1,00 x 1,35m y una superficie de 1,35m² se instalará en cada uno de ellos un Downlight empotrado en techo.

Para una correcta iluminación hemos utilizado 1 luminaria empotrada en techo tipo Downlight modelo DN 463 B.

- **Iluminación de sala de máquinas**

Para el diseño de iluminación en la sala de máquinas tendremos en cuenta el poco uso y poca concurrencia de gente ya que se hallará la maquinaria de la piscina y el sistema de climatización de la sala. Por lo tanto según las tablas de normativa utilizaremos un valor recomendado de 150 lux.

El local tiene unas dimensiones de 6,25m de ancho, 2,40m de largo, 2,40m de altura y 14,98m de superficie.

- **Iluminación en vestuarios**

Para el diseño de iluminación en los vestuarios, con una gran concurrencia de abonados, utilizaremos luminarias con la normativa de las tablas del nivel de iluminación recomendado, 150 lux.



- *Vestuario 1*

El vestuario tiene unas dimensiones de 5.46de ancho, 7,40m de largo, 2,40m de altura y 26,30m de superficie.

Para una buena iluminación hemos utilizado 19 luminarias de tipo panel led modelo TCS 680 MLO. Irán sobre techo.

- *Vestuario Minusválidos:*

El vestuario tiene unas dimensiones de 2.26de ancho, 1.94m de largo, 2,40m de altura y 4,40m² de superficie.

Para una buena iluminación hemos utilizado 19 luminarias de tipo panel led modelo TCS 680 MLO. Irán sobre techo

- *Vestuario 2:*

El vestuario tiene unas dimensiones de 7,92de ancho, 4,70m de largo, 2,40m de altura y 31,78m² de superficie.

Para una buena iluminación hemos utilizado 15 luminarias de tipo panel led modelo TCS 680 MLO. Irán sobre techo

• **Iluminación en Piscina**

Para el diseño de iluminación en la piscina cubierta utilizaremos una iluminación basada en pantallas led, downlights en pared y focos junto a cerchas de apeo. Tal Como se ha indicado anteriormente se requerirá una Emed de 300lux con una uniformidad del 0,5.

Las dimensiones de la zona de piscina cubierta es de 15,76m de ancho, 8,80 m de largo, 3 m de altura y 139.7 de superficie.

Para una buena iluminación se procederá a la instalación de las siguientes luminarias:

- Panel led TCS 6880 D8
- Panel led TCS 6880 C8
- Downlight pared WL 120V
- Foco ST 640 G2 WBSK
- Foco ST 640 G2 VWB
- Foco ST 740 T CRW

Irán todas sobre techo.



- **Iluminación de emergencia**

Como se trata de una simple reforma, los elementos relativos a la iluminación de emergencia simplemente se procederá a la conservación de las características de la instalación existente, es decir que se instalarán sistemas de batería que permitirán en caso de falta del resto de la iluminación, el alumbrado suficiente para la guía de las personas hacia la salida.

Para cumplir con lo anteriormente explicado se han instalado un total de 10 kits de emergencia en los paneles leds que marcarán el recorrido de emergencia de cada salida. También se colocará una nueva luminaria de emergencia de 300lm para la escalera de bajada situada en el vestíbulo 1.



5.2.6. Instalación eléctrica

5.2.6.1. Objeto y reglamentación

Es la realización de una Memoria Técnica descriptiva y Planos correspondientes a la ampliación de una instalación eléctrica en un colegio para habilitar una zona de piscina.

Los reglamentos presentes a la redacción de este proyecto y que se observarán preceptivamente en su realización serán los siguientes:

- Reglamento Electrotécnico de Baja Tensión e Instrucciones Técnicas Complementarias ITC-BT. Decreto 842/2002 de 2 de agosto, especialmente la ITC-BT-28 por tratarse de local de pública concurrencia.
- Reglamento De Verificaciones Eléctricas y regularidad en el suministro de energía eléctrica. Decreto de 12 de marzo de 1954 y Modificaciones Posteriores.
- Reglamento de Líneas Eléctricas de Alta Tensión e Instrucciones Técnicas Complementarias.
- Reglamento de Acometidas Eléctricas

5.2.6.2. consideraciones generales

La instalación eléctrica se realizará de acuerdo con la Instrucción ITC-BT-28 por tratarse de local de pública concurrencia.

El conductor a utilizar será de cobre con aislamiento para mínimo 750 V., tipo "afumex", de reducida emisión de halógenos y humos, y opacidad igualmente reducida, a excepción de la derivación individual que estará aislada a 1 KV, canalizado bajo tubo flexible empotrado o , en caso de cable con aislamiento de 1000 v., directamente sobre bandeja rejiband, debidamente dimensionado para que permita introducir o retirar los conductores a alojar en cada tubo, siendo la sección mínima de estos, tres veces superior a la suma de las secciones de los hilos introducidos en él, no conteniendo en cada tubo conductores de los distintos, circuitos atendiendo a su vez a la tabla n-1, de la Instrucción ITC-BT-21.

La sección del conductor será uniforme desde el inicio hasta el final de cada circuito.

Los conductores se distinguirán fácilmente por el color del aislamiento o por claras inscripciones sobre el mismo.

Las derivaciones a puntos de luz, y tomas de corriente, se realizarán en cajas debidamente dimensionadas, efectuándose las conexiones dentro de las mismas mediante bornas atornilladas.

La iluminación en el local será alimentada mediante varios circuitos o líneas secundarias, según la Instrucción ITC-BT-28 y ITC-BT-44.



Todas las tomas de corriente, así como los puntos de luz en los que el elemento de iluminación pueda quedar al alcance de público estarán dotadas de puesta a tierra.

Desde el origen de la instalación interior, hasta cualquier receptor, la caída de tensión máxima será siempre inferior al 3% de la tensión nominal para alumbrado y al 5% para otros usos, de acuerdo con la ITC-BT-19.

Las canalizaciones discurrirán por paramentos verticales, empotradas, en trazado paralelo y perpendicular al suelo, no permitiéndose su disposición en diagonal.

Si resulta necesaria alguna canalización por el suelo, se utilizará tubería de plástico corrugado blindado con grado de protección 7, según Normas UNE.

Todos los cambios de dirección y en aquellos puntos donde la canalización lo exija, las cajas de paso y derivación serán de 100 x 100 x 50 mm. en las líneas generales, y de 40 x 80 mm. en canalizaciones derivadas de la principal.

Los mecanismos a instalar serán del tipo empotrables, previstos para la tensión de servicio y capaces de soportar una intensidad de 10/16 A. en interruptores simples o conmutados.

Las tomas de corriente de usos varios serán de 16 y 20 A. y la distancia al pavimento será de 20 cms. como mínimo.

5.2.6.3. *Suministros de energía*

La energía se tomará a partir del cuadro general del colegio el cual ya queda alimentado de la acometida principal del centro.

5.2.6.4. *Equipo de medida*

El equipo de medida ya es existente y vinculado al cuadro general del centro docente siendo este en el lugar destinado a tal efecto, dentro de una caja de plástico transparente y precintable, de forma que sea fácil su lectura, y estará formado por:

- Contador potencia activa triple tarifa y máxima.
- Reloj para discriminación horaria.
- 3 Transformadores de intensidad, clase 0,5.

El equipo estará protegido con un interruptor magnetotérmico tripolar de regulación adecuada al consumo del mismo. La línea de alimentación será cable de Cu con tensión de aislamiento de 0,6/ 1 kV.

5.2.6.5. *Derivaciones individuales*

Desde el cuadro general al subcuadro de piscina partirá una línea formada por una fase más neutro de $3(1 \times 25) + (1 \times 25) + 16 \text{ mm}^2$, Cu, aislada a 1KV, con polietileno reticulado, en instalación bajo bandeja cerrada metálica, hasta el cuadro de reserva.



Para el cálculo de la sección de los conductores debemos tener en cuenta que la caída de tensión máxima admisible en ambos casos será del 1,0% (pues se trata de una instalación con los contadores totalmente centralizados).

5.2.6.6. *subcuadros parciales*

Al tratarse en este proyecto de un subcuadro este estará realizado en armario de CANALIZACIÓN ELÉCTRICA

El tubo empleado para esta instalación será de PVC, liso, rígido y enchufable con facilidad de acoplamiento. Presentará protección a los choques mecánicos y contra los efectos de inmersión. Será no propagador de llama y auto extingible (v. Especificación técnica).

Los tubos se unirán entre sí mediante acoplamientos, manguitos de unión, (v. Especificación técnica). Que aseguran la continuidad de la protección que proporcionan a los conductores. Así al final del tubo, se instalarán boquillas totalmente aisladas que proporcionen en dichos finales unas superficies aisladas redondeadas y pulidas que no deterioren a los cables que salgan a través de ellas.

Será posible la fácil introducción y retirada de los conductores en los tubos después colocados y fijados éstos y sus accesorios, disponiéndose para ellos los registros que se consideren necesarios de acuerdo con la configuración de la planta y que en tramos rectos no estén separados entre sí más de 15 metros.

Las curvas practicadas en los tubos serán continuas y no originarán reducciones de sección inadmisibles. No se permitirán más de tres curvas seguidas de noventa grados. En ningún caso se emplearán los tubos metálicos como conductores de protección ó de neutro y cuando deban ponerse a tierra,

Su continuidad eléctrica quedará convenientemente asegurada. Los tubos se fijarán por medio de bridas o abrazaderas protegidas contra la corrosión y sólidamente sujetas. La distancia entre éstas será como un máximo de 0,50 metros. (ITC-BT-21 p 2.2).

En caso de proximidad de canalizaciones eléctricas con otras no eléctricas, se dispondrán de forma que entre las superficies exteriores de ambas se mantenga una distancia mínima de 3 cm. En caso de proximidad con conductos de calefacción, de aire caliente, vapor o humo, las canalizaciones eléctricas se establecerán de forma que no puedan alcanzar una temperatura peligrosa y, por consiguiente, se mantendrán separadas por una distancia conveniente o por medio de pantallas calorífugas,

todo de acuerdo con la ITC-BT-20 apartado 2.1.1.

Las canalizaciones eléctricas no se situarán por debajo de otras canalizaciones que puedan lugar a condensaciones, tales como las destinadas a conducción de vapor, de agua de gas ,etc., a menos que no se tomen las disposiciones necesarias para proteger las canalizaciones eléctricas contra los efectos de estas condensaciones, todo de acuerdo con la ITC-BT-20 apartado 2.1.1.

Las canalizaciones eléctricas se establecerán de forma que por conveniente identificación de sus circuitos y elementos que pueda proceder en todo momento a reparaciones. Por otra parte, el conductor neutro estará claramente diferenciado de los demás conductores (ITC-BT-20 p 2.1.3).



En el interior de una cubierta común puede contener conductores pertenecientes a circuitos diferentes cumpliéndose que todos los conductores estén aislados para la máxima tensión de servicio; que partan de un mismo aparato general de mando y de protección y que cada circuito esté protegido por separado contra las sobre intensidades. (ITC-BT-20 p 2.1).

5.2.6.7. *Registro de canalizaciones*

Estos registros serán cajas de PVC, con protección IP 55 y de dimensiones adecuadas a la instalación que permitan alojar holgadamente todos los conductores que deban contener. Se colocarán siempre a la misma altura y en caso de cajas de derivación a los distintos equipos, se colocarán verticalmente sobre éstos. El cambio de diámetro de los tubos, según necesidad de instalación, se realizará mediante una caja como la descrita.

5.2.6.8. *Conductores*

Todas las líneas que forman parte de la instalación están formadas por cable de cobre unipolar, 750 V como mínimo, excepto la derivación individual que estará aislada a 1 KV, con aislamiento no propagador de la llama cumpliendo la norma UNE 20.427. El aislamiento del conductor será polietileno reticulado. Serán flexibles de clase 5.

La sección mínima de los conductores de protección, (que también serán de cobre) será la indicada en la ITC-BT-19, pero siempre en consonancia con la sección del circuito. Bajo ningún concepto se utilizarán los conductores de protección para otra función.

Se emplearán para la distinción de los cables distintos colores normalizados, así para las fases serán los colores grises, marrón, negro, para el neutro azul y el de protección amarillo – verde de acuerdo con la ITC-BT-19 p 2.2.4.

Las secciones de los conductores, se determinará de forma que las caídas de tensión no superen 3 %, para alumbrado y el 5 %, para fuerza, en el punto más desfavorable de cada circuito y que no sobrepasen las intensidades de corriente admisible.

Todos los cables utilizados en las instalaciones tienen un aislamiento superior a 500 Ohm.

En la instalación de los conductores activos van en el interior de una envolvente común, se incluirá también dentro de ella el conductor de ella el conductor de protección, en cuyo caso presentará el mismo aislamiento que los otros conductores.

La conexión entre conductores se realizarán en el interior de las cajas, utilizando bornas de conexión unipolares (v. Especificación técnica). No se permitirán conexiones realizados por torsión de un conductor sobre otro.

Las conexiones de los conductores se realizarán retirando la envoltura imprescindible para realizar el acoplamiento a bornas de conexión. No se admitirán conexiones donde el conductor sobresalga de la borna.

Las instalaciones deberán presentar una resistencia de aislamiento como mínimo 380.000 Ohmios.

Cuando se instale conductor sin canalizar en tubo será siempre de cobre flexible de 0,6/ 1 KV de tensión nominal, aislamiento RV-K, según norma UNE 21123.



5.2.6.9. *Instalación de alumbrado*

- **Pantallas fluorescentes**

La interconexión a todas las luminarias se realizará con manguera de cobre flexible, con forma de corriente y clavija para la derivación al punto de luz. La línea de alimentación general se realizará con hilo unipolar de 2,5 mm² y tensión de aislamiento 750 V (mínimo)

La canalización instalada será tubo de PVC ó acero rígido (según instalación), con diámetros adecuado al número de cables necesarios más el conductor de protección. Las uniones entre tubos y cajas se realizarán mediante los acoplamientos, reducciones, fijaciones para tubo y cajas necesarios.

La conexión de los conductores se realizará en la caja de registro de dimensiones adecuadas y de PVC. Éstas se encontrarán alineadas verticalmente con los equipos ó bien próxima a ellos. En ella se alojarán las bornas de derivación (es preceptivo la utilización de estas), así como los enchufes y las clavijas específicas para la conexión de los mismos.

- **Focos**

La instalación del punto de luz para focos empotrados se realizará con hilo unipolar de 2,5 mm² y tensión de aislamiento 750 V y parte proporcional de alimentación a los transformadores (en caso de que sean necesarios) y derivación de éstos a cada foco.

Toda la instalación se realizará del mismo modo que el indicado en el apartado, excepto que para el foco no son necesarias las clavijas conexión.

- **Mecanismos**

Todos los mecanismos recibirán alimentación desde la caja de conexión más próxima. Desde ella se embornará los conductores de cobre unipolares de 750 V, e irán instalados en el interior del tubo.

5.2.6.10. *Instalación de fuerza*

- **Alimentación a puertas eléctricas de salida**

Toda la canalización discurrirá sobre el falso techo de la planta. Esta se realizará bajo tubo de PVC o bandeja metálica (v. especificaciones) y con conductores de cobre con tensión de aislamiento 750V en polietileno reticulado.

Cada puerta estará protegida por un interruptor automático bipolar magnetotérmico-diferencial de 30 mA de sensibilidad con regulación adecuada a la potencia de la puerta. Está situado en una caja de registro en falso techo próximo a la puerta.

- **Alimentación a motores**

Todos los motores tendrán alimentación trifásica, 400 V entre fases.



La alimentación de los citados equipos se realizará bajo tubo de PVC y con conductores de cobre con tensión de aislamiento 750 V en polietileno reticulado, por el falso techo de la planta. En caso de discurrir sobre bandeja, se podrá efectuar a base de manguera de 1000v.

Todos los conductores de alimentación estarán dimensionados para aguantar una intensidad del 125 % de la intensidad del motor en cuestión. En todos y cada uno de los equipos no se sobrepasará del 5 % máximo de caída de tensión estipulada por el R.E.B.T.

- **Mecanismos**

Todos los mecanismos recibirán alimentación desde la caja de conexión más próxima. Desde ella se embornará los conductores de cobre unipolares de 750 V, e irán instalados en el interior del tubo.

5.2.6.11. *Alumbrado de emergencia y señalización*

Se instalarán equipos autónomos de energía y rótulos luminosos de alumbrado de señalización de puertas y de pasillo, que cumplan con la normativa europea. La instalación se realizará con conductor de cobre de 3 x 1,5 mm², toma corriente y clavija para derivación al punto de luz y la línea de alimentación general realizada con hilo unipolar de 1,5 mm² y 750 V, tubo de PVC rígido de diámetro adecuado, acoplamientos, reducciones, fijaciones para tubo y cajas (mediante perforación o tiro de la casa Hilti), bornas de conexiones, etc.

Los equipos se accionarán de forma automática en caso de falta de alumbrado o cuando se produzca una caída de tensión superior al 70% de su valor nominal.

Se proyectan varios circuitos de emergencia y señalización (que sólo alimentarán a los equipos autónomos de emergencia), y se realizarán con conductor de 1,5 mm² de sección, canalizado bajo tubería de PVC empotrada de 13 mm. de diámetro. Dichos circuitos irán protegidos en origen con magneto térmicos de 10 A.

El número de equipos instalados se ha calculado a razón de 0,5 w/m² y de 5 lúmenes/m², y teniendo en cuenta que los equipos son de 11 w/240 lúmenes, y de 6 w/45 lúmenes, el alumbrado de emergencia proyectado cumple con los mínimos exigidos.

Los circuitos de alumbrado de emergencia no superarán los 12 puntos de luz por circuito, y siempre habrá como mínimo dos circuitos por establecimiento, aunque no se superen los 12 puntos de luz en el establecimiento.

5.2.6.12. *Protección de las instalaciones*

En este apartado nos atendremos a lo indicado en la instrucción ITC-BT-22,23 y 24, haciendo mención a los puntos que nos atañen.

- **Protección contra sobrecarga**

La intensidad de corriente que admite cada conductor estará garantizada por el dispositivo de protección utilizado (ITC-BT-22, p.1.1.a).



Como el dispositivo de protección utilizaremos interruptores automáticos magneto térmicos de corte omnipolar de tal forma que quede garantizado también el corte del neutro o compensador.

- **Protección contra cortocircuitos**

En el origen de todo circuito y en los cuadros parciales y generales, como ya se han dicho, se instalarán interruptores automáticos magneto térmicos cuya capacidad de corte está de acuerdo con la intensidad de cortocircuito que pueda presentarse en el punto de su instalación (ITC-BT-22, p.1.1.b)

Los dispositivos de protección de circuitos se instalarán en el origen de éstos, como marca la ITC-BT-22, p.1.1.b.

En el caso de los motores todos estarán protegidos contra cortocircuitos y contra sobrecargas en todas sus fases, debiendo, ésta última protección, ser de tal naturaleza que cubra, en los motores trifásicos, el riesgo de la falta de tensión en una de sus fases. En el caso de motores con arranque estrella - triángulo la protección asegurará a los circuitos tanto para la conexión de estrella como para la de triángulo (ITC-BT-47, p.1.4).

- **Protección contra contactos directos**

Con objeto de proteger a las personas contra los contactos directos con las partes de la instalación normalmente en tensión se han tomado las siguientes medidas:

Alejamiento de las partes activas de la instalación a una distancia tal del lugar donde las personas habitualmente se encuentran ó circulan que sea imposible un contacto fortuito con las manos, o por la manipulación de objetos conductores, cuando éstos se utilicen habitualmente cerca de la instalación (ITC-BT-24, p.3.4).

Todas las partes activas estarán debidamente protegidas, por armarios o cajas de derivación que impidan el contacto directo con las partes en tensión. A estos armarios se les aplica una de las medidas de protección contra contactos indirectos.

- **Protección contra contactos indirectos**

Con el fin de proteger a las personas contra contactos indirectos con partes de la instalación accidentalmente en tensión, se tomará como medida, la puesta a tierra de las masas asociadas a un dispositivo de corte automático sensible a la intensidad de efecto que origine la desconexión de la instalación defectuosa (ITC-BT-24, p.4).

Se emplearán como dispositivos asociados de corte automático, los interruptores diferenciales. Estos aparatos provocan la apertura automática de la instalación cuando la suma vectorial de las intensidades que atraviesan los polos del aparato alcanza un valor predeterminado.

El valor mínimo de la corriente, a partir del cual el interruptor diferencial debe abrir automáticamente en un tiempo conveniente, depende de la instalación a proteger y determina la sensibilidad del aparato (ITC-BT-24, p.4).



La resistencia a tierra de las masas, medida en cada punto de conexión de las mismas debe cumplir:

En los locales secos
$$R_t < \frac{50}{I_s}$$

En los locales húmedos o mojados
$$R_t < \frac{24}{I_s}$$

Siendo I_s el valor de la sensibilidad en amperios del interruptor a utilizar (ITC-BT-24, p.4).

Asimismo, dicha instrucción nos dice: “Conviene destacar que los interruptores diferenciales de alta sensibilidad, aportan una protección muy eficaz contra incendios, al limitar a potencias muy bajas las eventuales fugas de energía eléctrica por defecto de aislamiento”.

$$I_s \bullet V = W_s \Rightarrow \begin{array}{l} 0,03 \bullet 230 = 6,9w \rightarrow \text{Alumbrado} \\ 0,3 \bullet 400 = 120w \rightarrow \text{Fuerza} \end{array}$$

Esta es la causa de haber elegido los interruptores diferenciales de alta sensibilidad para alumbrado (0,03 A.) y los de media sensibilidad para fuerza (0,30 A.).

• Protección de puesta a tierra

Para desarrollar este apartado nos atendemos a la ITC-BT-18 que nos dice que las puestas a tierra se establecen con objeto, principalmente, de limitar la tensión que con respecto a tierra puedan presentar en un momento dado las masas metálicas, asegurar la actuación de las protecciones y eliminar ó disminuir el riesgo que supone una avería en el material utilizado.

La instrucción ITC-BT-18, p.9 nos dice:

El valor de la resistencia de tierra será tal que cualquier masa no pueda dar lugar a tensiones de contacto superior a:

- 24 voltios en los locales o emplazamientos húmedos ó mojados.
- 50 voltios en los locales secos.

El valor de la resistencia de tierra según sensibilidad del interruptor diferencial que hemos instalado debe cumplir:

$$\begin{array}{ll} \text{Para Fuerza} & R_t \cdot 0,30 < 24 \rightarrow R_t < 1,66 \, \Omega \\ \text{Para Alumbrado} & R_t \cdot 0,03 < 24 \rightarrow R_t < 1,66 \, \Omega \end{array}$$

Siempre que la conexión de las masas y los elementos metálicos al circuito de puesta a tierra se efectuará por derivaciones de éste. No podrán incluirse en serie ni masas ni elementos metálicos, cualesquiera que sean estos.



En todos los cuartos de baño, vestuarios y la piscina se realizará una conexión equipotencial entre las canalizaciones metálicas y las masas de los equipos sanitarios metálicos y todos los demás elementos conductores que existan en el habitáculo y sean accesibles, tales como marcos de puertas, de ventanas, radiadores, etc.

Se instalarán el nº de picas necesarias para cumplir los requisitos indicados anteriormente.

No se han colocado dispositivos de corte ya que, dadas las condiciones de la instalación se puede asegurar que no tendremos tensiones de contacto superiores a las señaladas.

Para calcular la medida teórica de la resistencia de tierra se utiliza la fórmula de la tabla III de la mencionada ITC:

$R = 2 \cdot r / L$, donde r es la resistividad del terreno y L la longitud de la pica, siendo el resultado 50 ohm. M, siendo este valor superior al medido mediante telurómetro

- **Aislamiento y rigidez dieléctrica**

La instalación presentará una resistencia de aislamiento igual o superior a $(1000 \times V)$ ohmios, siendo V la tensión máxima de la instalación.

5.2.6.13. *anexo de cálculos eléctricos*

- **Potencia instalada**

TOTAL POTENCIA INSTALADA EN SCPI : 48.123 w

- **Potencia de cálculo**

Máxima admisible (equivalencia en SC) : 55,36 Kw.

Potencia instalada : 48,12 Kw.

Potencia a contratar (equivalencia en SC) : 43,64 Kw.

- **Cálculos justificados**

Para los cálculos de los diferentes circuitos, la potencia considerada será el resultado de multiplicar la potencia del motor mayor por 1,25 más la suma de la potencia a plena carga del resto de los motores del circuito. En los circuitos de alumbrado con lámparas de descarga se multiplicará la potencia resultante en el circuito por 1,8. Los cálculos se harán con las fórmulas:

$$I = \frac{P}{230 \cdot \cos \alpha}$$

$$s = \frac{2 \cdot P \cdot L}{56 \cdot 230 \cdot e}$$

Líneas Monofásicas →



Líneas Trifásicas →

$$I = \frac{P}{\sqrt{3} \cdot 400 \cdot \cos \alpha}$$

$$s = \frac{P \cdot L}{56 \cdot 400 \cdot e}$$

Para los circuitos interiores, la caída de tensión no será superior a 6,9 voltios (3% de 230 v) para alumbrado y menor de 11,5 ó 20 voltios para otros usos (5% de 230 v ó 5% de 400 v). Para la derivación individual, la caída de tensión en la línea no sobrepasará los 2 voltios (0.5% de 400 v).

El resultado de los circuitos queda reflejado las siguientes tablas:

| TRAMO | ud | REPARTI | SCPI | L01 | L02 | L03 | E01 |
|----------------------|-------|---------|--------|-------|-------|-------|-------|
| Potencia | W | 48.123 | 48.123 | 815 | 927 | 710 | 5 |
| Fases | | 3 | 3 | 2 | 2 | 2 | 2 |
| Factor corrección | % | 1,0 | 1,0 | 1,8 | 1,8 | 1,8 | 1,8 |
| Tensión | V | 400 | 400 | 230 | 230 | 230 | 230 |
| Cos F | | 1,0 | 0,85 | 0,9 | 0,9 | 0,9 | 0,9 |
| Intensidad | A | 69,46 | 81,72 | 7,09 | 8,06 | 6,17 | 0,04 |
| Sección fase | mm2 | 35 | 25 | 1,5 | 1,5 | 1,5 | 1,5 |
| Densidad | A/mm2 | 1,98 | 3,27 | 4,72 | 5,37 | 4,11 | 0,03 |
| Longitud | m | 40 | 20 | 20 | 25 | 40 | 40 |
| Cable neutro | mm2 | 25 | 16 | 1,5 | 1,5 | 1,5 | 1,5 |
| Caída Tensión | | | | | | | |
| Tramo | V | 2,46 | 1,72 | 1,69 | 2,40 | 2,94 | 0,02 |
| Acumulado | V | 2,46 | 4,17 | 5,86 | 6,57 | 7,11 | 4,19 |
| Porcentaje | % | 0,61% | 1,04% | 2,55% | 2,86% | 3,09% | 1,82% |
| Protección | | | | | | | |
| Valor protección | A | 80 | 63 | 10 | 10 | 10 | 10 |

Tabla 5.19 Cálculos de líneas



| TRAMO | ud | F01 | F02 | F03 | F04 | F05 | R |
|----------------------|-------|-------|-------|-------|-------|-------|-------|
| Potencia | W | 1.200 | 2.200 | 2.200 | 2.200 | 2.000 | 0 |
| Fases | | 2 | 2 | 2 | 2 | 2 | 2 |
| Factor corrección | % | 1,5 | 1,5 | 1,5 | 1,5 | 1,5 | 1,5 |
| Tensión | V | 230 | 230 | 230 | 230 | 230 | 230 |
| Cos F | | 0,9 | 0,9 | 0,9 | 0,9 | 0,9 | 0,9 |
| Intensidad | A | 8,70 | 15,94 | 15,94 | 15,94 | 14,49 | 0,00 |
| Sección fase | mm2 | 2,5 | 2,5 | 2,5 | 2,5 | 2,5 | 2,5 |
| Densidad | A/mm2 | 3,48 | 6,38 | 6,38 | 6,38 | 5,80 | 0,00 |
| Longitud | m | 40 | 20 | 20 | 40 | 40 | 40 |
| Cable neutro | mm2 | 2,5 | 2,5 | 2,5 | 2,5 | 2,5 | 2,5 |
| Caída Tensión | | | | | | | |
| Tramo | V | 2,98 | 2,73 | 2,73 | 5,47 | 4,97 | 0,00 |
| Acumulado | V | 7,16 | 6,91 | 6,91 | 9,64 | 9,14 | 4,17 |
| Porcentaje | % | 3,11% | 3,00% | 3,00% | 4,19% | 3,98% | 1,81% |
| Protección | | | | | | | |
| Valor protección | A | 16 | 16 | 16 | 16 | 16 | 16 |

Tabla 5.20 Líneas subc. piscina

| TRAMO | ud | PI01 | PI02 | R | AA01 | AA02 | AA03 |
|----------------------|-------|-------|-------|-------|--------|-------|-------|
| Potencia | W | 1.100 | 246 | 0 | 18.360 | 500 | 3.000 |
| Fases | | 3 | 2 | 2 | 3 | 2 | 2 |
| Factor corrección | % | 1,5 | 1,5 | 1,5 | 1,5 | 1,5 | 1,5 |
| Tensión | V | 400 | 230 | 230 | 400 | 230 | 230 |
| Cos F | | 0,85 | 0,9 | 0,9 | 0,85 | 0,9 | 0,9 |
| Intensidad | A | 2,80 | 1,78 | 0,00 | 46,77 | 3,62 | 21,74 |
| Sección fase | mm2 | 2,5 | 2,5 | 2,5 | 10 | 2,5 | 4 |
| Densidad | A/mm2 | 1,12 | 0,71 | 0,00 | 4,68 | 1,45 | 5,43 |
| Longitud | m | 10 | 10 | 10 | 10 | 20 | 40 |
| Cable neutro | mm2 | 2,5 | 2,5 | 2,5 | 10 | 2,5 | 4 |
| Caída Tensión | | | | | | | |
| Tramo | V | 0,20 | 0,15 | 0,00 | 0,82 | 0,62 | 4,66 |
| Acumulado | V | 4,37 | 4,33 | 4,17 | 4,99 | 4,80 | 8,83 |
| Porcentaje | % | 1,09% | 1,88% | 1,81% | 1,25% | 2,08% | 3,84% |
| Protección | | | | | | | |
| Valor protección | A | 16 | 16 | 16 | 32 | 16 | 20 |

Tabla 5.21 Líneas subc. Piscina



| TRAMO | ud | AA04 | AA05 | AA06 | | | |
|----------------------|-------|-------|-------|--------|--|--|--|
| Potencia | W | 330 | 630 | 11.700 | | | |
| Fases | | 2 | 2 | 3 | | | |
| Factor corrección | % | 1,5 | 1,5 | 1,5 | | | |
| Tensión | V | 230 | 230 | 400 | | | |
| Cos F | | 0,9 | 0,9 | 0,85 | | | |
| Intensidad | A | 2,39 | 4,57 | 29,80 | | | |
| Sección fase | mm2 | 1,5 | 1,5 | 6 | | | |
| Densidad | A/mm2 | 1,59 | 3,04 | 4,97 | | | |
| Longitud | m | 40 | 40 | 40 | | | |
| Cable neutro | mm2 | 1,5 | 1,5 | 6 | | | |
| | | | | | | | |
| Caída Tensión | | | | | | | |
| Tramo | V | 1,37 | 2,61 | 3,48 | | | |
| Acumulado | V | 5,54 | 6,78 | 7,66 | | | |
| Porcentaje | % | 2,41% | 2,95% | 1,91% | | | |
| | | | | | | | |
| Protección | | | | | | | |
| Valor protección | A | 10 | 10 | 25 | | | |

Tabla 5.22 Líneas subc. piscina



5.2.7. Instalación clima y ventilación

5.2.7.1. Introducción:

La presente memoria se refiere al diseño de las instalaciones específicas de climatización de las zonas que sean necesarias dentro del recinto.

5.2.7.2. Alcance y desarrollo:

Se ejecutará un dimensionado para disponer la zona piscina de una temperatura adecuada cumpliendo con la normativa aplicable.

Dicha normativa obliga a dotar al espacio piscina de unas condiciones de confort de una temperatura del agua de 25°C, una temperatura del aire de 27°C y una humedad relativa del 65%.

Se considerará oportuno solamente la climatización del aire de la zona de piscina, dado que en los vestuarios se prevé que serán climatizados por el aporte de aire de la zona piscina que recibirá a través de las rejillas colocadas en los paramentos, quedando así ambos locales comunicados. La ventilación estará diseñada para que simplemente con la extracción del aire hacia el exterior se cree una corriente por la cual se disponga la entrada del aire de la piscina el cual estará climatizado. Teniendo en cuenta que para un vestuario debe considerarse una temperatura mínima de 22°C esta quedará cubierta por lo anteriormente expuesto.

Es decir, que simplemente nos dispondremos a climatizar la zona de piscina.

5.2.7.3. Normativa específica

- Decreto 95/2000, de 22 de febrero, por el que se establecen las normas sanitarias aplicables a piscinas de uso público.
- Fichas técnicas de la Secretaria General d'Esports (POC) para piscinas cubiertas (ref. 23).
- Normas NIDE 3 del Consejo Superior de Deportes, actualmente solo es un manual de recomendación, ya que estas normas han sido sustituidas por el RITE.
- Código Técnico de Edificación (Real Decreto 314/2006 del 17 de marzo. CTE).
- Reglamento de Instalaciones Térmicas en Edificios (Real Decreto 1027/2007 del 20 de Julio. RITE-ITE 10.2):

5.2.7.4. Consideraciones generales

- El consumo de energías convencionales para el calentamiento de piscinas está permitido solamente cuando estén situadas en locales cubiertos.
- La temperatura del agua del vaso será la que indica la normativa, según el uso



principal de la piscina. La temperatura del agua se medirá en el centro de la piscina y a unos 20 cm por debajo de la lámina de agua. En nuestro caso será 25°C.

- La tolerancia en el espacio, horizontal y verticalmente, de la temperatura del agua no podrá ser mayor que ± 1 °C. Para el control de la temperatura del agua se dispondrá una sonda de temperatura en el retorno de agua al cambiador de calor y un termostato de seguridad dotado de rearme manual en la impulsión que enclave el sistema de generación de calor. La temperatura de tarado del termostato de seguridad será, como máximo, 10 °C mayor que la temperatura máxima de impulsión.
- La temperatura seca del aire del local será entre 2 C y 3°C mayor que la del agua, con un mínimo de 26 C y un máximo de 28°C. La humedad relativa del ambiente se mantendrá entre el 55% y el 70%.
- Para evitar condensaciones sobre las paredes frías del local de la piscina puede utilizarse el aire exterior. Este aire debe ser calentado antes de ser introducido en el local y el calor del aire expulsado debe ser recuperado por los medios que el proyectista considere oportunos.

5.2.7.5. Consideraciones generales

El equipo y el sistema de climatización utilizado se elige en función de las características constructivas y la utilización del mismo: depende del local, volumen de aire, la previsión de uso del local y otras consideraciones.

- **Condiciones climáticas exteriores**

| Condiciones exteriores | T (°C) | H.R. (%) |
|------------------------|--------|----------|
| Verano | 31 | 68 |
| Invierno | 2 | 55 |

Tabla 5.23

- **Cargas térmicas estructurales**

Dicha carga varía en función de diferentes factores internos y de la capacidad térmica del envoltorio del edificio de absorber o dejar circular dichas cargas. A continuación, se muestran las que per tocan a nuestra zona específica.



| Pared ext. | S* [m ²] | k | Vidrio | S [m ²] | k | fs | fps |
|------------|----------------------|-----|------------|---------------------|-----|-----|------|
| Norte | 49,4 | 0,7 | Norte | 0,0 | 5,0 | 88% | 100% |
| Sur | 37,7 | 0,7 | Sur | 0,0 | 5,0 | 88% | 100% |
| Este | 28,6 | 0,7 | Este | 1,4 | 5,0 | 88% | 100% |
| Oeste | 26,8 | 0,7 | Oeste | 0,0 | 5,0 | 88% | 100% |
| Techo | 138,9 | 1,0 | Horizontal | 0,0 | | | |

Tabla 5.24

- **Cargas térmicas internas**

Esta carga variará básicamente en función de ciertas condiciones de funcionamiento de la zona a climatizar, como son la ocupación, la iluminación de la zona, el calor latente y sensible, actividad realizada en el interior etc. En nuestro caso se han considerado los siguientes valores:

| | | | | | |
|--|--|---------------|-------|----------|--------|
| Nº Personas | 27 | Iluminación | [W] | Otros | [W] |
| Actividad | Esfuerzo máximo y continuado 585 W, 30% FCS | Fluorescente | 2.363 | Latente | 19.173 |
| Caudal ventilación [m ³ /h] (*) | 1.215 | Incandescente | 0 | Sensible | 0 |

Tabla 5.25

- **Calidad del aire:**

Tal como especifica la normativa correspondiente se deberá disponer de un aire calidad IDA 2, con lo que el caudal por persona a renovar será de 12,50l/s, siendo el total a impulsar en la zona de piscina de 1.215l/s.

5.2.7.6. Cargas térmicas calculadas

Tras la especificación de las condiciones nombradas anteriormente se obtendrá, mediante el uso del programa Mitsusoft una distribución del frío y calor tal que:



| Distribución | Personas | Otros | Iluminación |
|--------------|-------------|-----------|-------------|
| Frío | [kCal/h] | [kCal/h] | [kCal/h] |
| Latente | 9.984,0 | 17.313,1 | 0,0 |
| Sensible | 4.278,9 | 0,0 | 2.667,2 |
| | Ventilación | Radiación | Transmisión |
| | [kCal/h] | [kCal/h] | [kCal/h] |
| Latente | 2.338,58 | 0,00 | 0,00 |
| Sensible | 450,71 | 22,82 | 1.653,42 |
| Distribución | Ventilación | Transm. | Otros |
| Calor | [kCal/h] | [kCal/h] | [kCal/h] |
| Sensible | 3.466,2 | 8.931,1 | 0,0 |

Tabla 5.26

Con lo que se obtiene una carga térmica:

| Cargas térmicas | Latente [kCal/h] | Sensible [kCal/h] | Total [kCal/h] | FCS |
|--------------------|---------------------|----------------------|-------------------|-----|
| Frío | 29.635,7 | 9.073,1 | 38.708,8 | 23% |
| Calor | - | 12.397,3 | 12.397,3 | |

Tabla 5.27

5.2.7.7. Elección de maquinaria necesaria

Se escogerá una máquina que asegure una carga térmica de 38.708,8kCal/h en frío y 12.397,3kCal/h en caliente.

Por este motivo se procede a la elección del conjunto SPLIT-CONDUCTORS INVERTER, de la casa Mitsubishi el cual garantiza una potencia térmica de 44,0Kw en frío y 54,0kW en calor con un caudal superior al mínimo a aportar de 160m³/h.

Se instalará también un recuperador entálpico que sea compatible con la máquina escogida, en este caso se ha escogido de la casa Mitsubishi el modelo LOSSNAY LGH-150RVXT-E, de 1.500 m³/h y 175 Pa.

Así también a continuación se elegirá el deshumidificador, garantizando una humedad ambiente igual o inferior de 648,96m³/h obtenido mediante el cálculo de deshumidificación de Bernier para piscinas cubiertas, la cual contemplará tanto un coeficiente 16 para una piscina sin agitación y otro de 133*n para piscinas con ocupación:



$$M_e = 540m^2 \cdot \left[\left(16 + 133 \cdot \frac{70}{540m^2} \right) \cdot \left(0,02 \frac{Kg_{AGUA}}{Kg_{AIRE}} - 0,65 \cdot 0,0225 \frac{Kg_{AGUA}}{Kg_{AIRE}} \right) \right] + 0,1 \cdot 60$$

Donde:

Me = masa de agua evaporada (kg/h)

S = superficie de piscinas (m²): 75 m²

We = humedad absoluta del aire saturado a la T^a del agua (kgagua /kgaire):

a 25° → 0,0200 kgagua /kgaire

W_{as} = humedad absoluta del aire saturado a la T^a del aire interior (kg.agua /kg.aire):

27°C → 0,0225 kgagua /kgaire

G_a = grado de saturación: 65%

n = n° de nadadores por m² de superficie de lámina de agua: 25 bañ /75 m²

N = n° total de ocupantes (espectadores): se considerará 27

Masa de agua evaporada → 648,96m³/h

Con lo que se tomará una máquina que nos cubra las necesidades para que el grado de humedad se mantenga entre los valores 55-70% permitidos en el recinto.

5.2.7.8. Diseño de conductos de impulsión

La maquinaria se instalará por una parte en el patio exterior perteneciente al colegio (ver plano clima I.5). La máquina interior se colocará en el interior de la sala de máquinas, desde donde evocará un conducto que recorrerá la sala de la piscina impulsando el aire climatizado garantizando así la temperatura exigible en el interior.

A continuación, se detalla el cálculo de los conductos de impulsión y las rejillas:

5.2.7.9. Climatización

• Introducción:

La presente memoria se refiere al diseño de las instalaciones específicas de ventilación de las zonas que sean necesarias dentro del recinto.

• Alcance y desarrollo:



Se ejecutará un dimensionado para disponer la zona piscina para el confort y la buena calidad del aire interior de la zona, realizando una aportación y una extracción de aire según el caudal que se calculará en el presente documento.

En cuanto a los vestuarios tal como se ha explicado en el apartado de clima solamente se realizará la extracción de aire quedando así justificada la aportación con la entrada del aire de la zona piscina a los distintos locales por depresión.

- **Normativa específica**

- Decreto 95/2000, de 22 de febrero, por el que se establecen las normas sanitarias aplicables a piscinas de uso público.
- Fichas técnicas de la Secretaria General d'Esports (POC) para piscinas cubiertas (ref. 23).
- Normas NIDE 3 del Consejo Superior de Deportes, actualmente solo es un manual de recomendación, ya que estas normas han sido sustituidas por el RITE.
- Código Técnico de Edificación (Real Decreto 314/2006 del 17 de Marzo. CTE).
- Reglamento de Instalaciones Térmicas en Edificios (Real Decreto 1027/2007 del 20 de Julio. RITE-ITE 10.2)

- **Condiciones generales**

- Caudal mínimo para locales irá marcado por las exigencias de la tabla 1.4.2.1. del RITE y el resto de normativas exigiendo así una calidad de aire IDA 2 el cual aplica un caudal mínimo por persona de 12,50l/s.
- En cuanto al aire exterior de ventilación se introducirá debidamente filtrado al interior. Los filtros y prefiltros a emplear dependen de la calidad del aire interior requerida y de la calidad del aire exterior del edificio. La calidad del aire exterior la especifica el RITE en IT 1.1.4.2.4. Suponiendo una calidad de aire ODA 2 será necesario la instalación de prefiltro y filtro F6/F8.
- En cuanto al caudal de aire extraído en de la piscina dado que nos encontramos en una piscina se le aplicará una calidad de aire extraído AE3. Con lo cual no podrá ser ni recirculado ni transferido a otros locales.



- **Cálculo de renovaciones hora de cada local**

Siguiendo como ya se ha dicho anteriormente las prescripciones del RITE, 10.2. acondicionamiento de piscinas, se determina un caudal mínimo de aire exterior de ventilación para piscinas climatizadas de $2,5\text{dm}^3/\text{s}$ por metro de superficie de lámina de agua y playa. Con una presión negativa de 20-40Pa respecto a los locales contiguos.

Esto nos determinará un caudal de aire mínimo a aportar a la sala de piscina, con una superficie de lámina de piscina y playas de $140,78\text{m}^2$ nos determinará un caudal de $1267,02\text{m}^3/\text{h}$.

En cuanto a los vestuarios según la normativa NIDE se deberá realizar un total renovación de $30\text{m}^3/\text{h}$ por persona. Dado que la ocupación de cada vestuario será de 13 personas a la sumo, el caudal a renovar en ambos vestuarios será de $390\text{m}^3/\text{h}$.

En cuanto al vestuario adaptado se efectuará según las NIDE un total de renovaciones/h de 8, con lo que resulta un total de $10,53\text{m}^3/\text{h}$.

- **Condiciones de diseño**

La circulación y el sentido del aire, así como las aberturas de admisión y de extracción, los conductos de extracción y las aberturas de paso se detallan en el plano correspondiente.

Las consideraciones generales a tener en cuenta son las siguientes:

- La circulación del aire va desde los locales secos a los húmedos.
- En la UNE EN 12207:2000 se establecen diferentes categorías de las carpinterías exteriores en función de las cuales se han de utilizar aberturas con aireadores o aperturas fijas o aberturas de admisión en las juntas de apertura.
- Cuando la ventilación sea híbrida las aberturas de admisión deben comunicar directamente con el exterior.
- Los aireadores deben disponerse a una distancia del suelo mayor que 1.80 m, y distanciadas 20 cm de pared o techo contiguo.
- Deben disponerse aberturas de paso en local compartimentado y la extracción se ha de realizar desde el compartimento más contaminado.
- Las aberturas de extracción solo pueden conectarse a conductos de extracción y disponerse a una distancia del techo menor que 100 mm y a una distancia de cualquier rincón o esquina vertical mayor que 100 mm.



- Los conductos de extracción no pueden compartirse con locales de otros usos salvo con los de trasteros.
- Todas las zonas de admisión constan de un sistema complementario de ventilación natural. Para ello debe disponerse una ventana exterior practicable o una puerta exterior.

- **Condiciones particulares de los elementos**

Conductos de admisión

- Deben tener sección uniforme y carecer de obstáculos en su recorrido.
- El acabado del conducto debe dificultar su ensuciamiento y deben ser registrables y accesibles para su limpieza cada 10 m.

Conductos de extracción para ventilación mecánica

- Cada conducto de extracción debe disponer en la boca de expulsión de un aspirador mecánico.
- Los conductos deben ser verticales, a excepción de los tramos de conexión de las aberturas de extracción con los conductos o ramales correspondientes.
- La sección de cada tramo del conducto debe ser uniforme.
- Los conductos deben tener un acabado que dificulte su ensuciamiento y ser practicables para su registro y limpieza, tanto en la coronación como en el arranque del tramo vertical.
- Deben aislarse térmicamente los conductos que se prevea que puedan alcanzar la temperatura de rocío.
- Los conductos que atraviesan elementos separadores de sectores de incendio cumplen con las condiciones de resistencia al fuego del apartado 3 de la sección SI1.
- Los conductos deben ser estancos al aire para su presión de dimensionado.

- **Instalación de ventiladores**

Se procederá a poner un total de cuatro ventiladores, de los cuales uno irá destinado a la extracción del caudal mínimo a renovar en esta sala, 1.267,02m³/h. Dicho ventilador se colocará en el interior de uno de los patios interiores del colegio, expulsando el aire hacia el exterior. Dicha extracción se recogerá de la sala de piscina mediante la instalación de un conducto a lo largo de este local.

Por otro lado, existirá el ventilador de aportación el cual aportará un caudal mínimo de 1.267,02m³/h e irá embocado directamente a la máquina, de modo que en la sala no se impulsará aire del exterior sin climatizar.



En cuanto a los vestuarios se colocará un ventilador para la extracción del vestuario 2 el cual embocará el aire al patio interior del colegio más cercano. Por otro lado, otro para la extracción del vestuario 1 junto con el vestuario adaptado, este irá instalado en el patio interior donde se ha colocado también la máquina exterior de clima.

- **Dimensionado de conductos de aportación y extracción**

Los conductos se han dimensionado con el programa mitsusoft. Dando los siguientes resultados:

- Conducto de aportación de aire exterior a la máquina interior de clima:

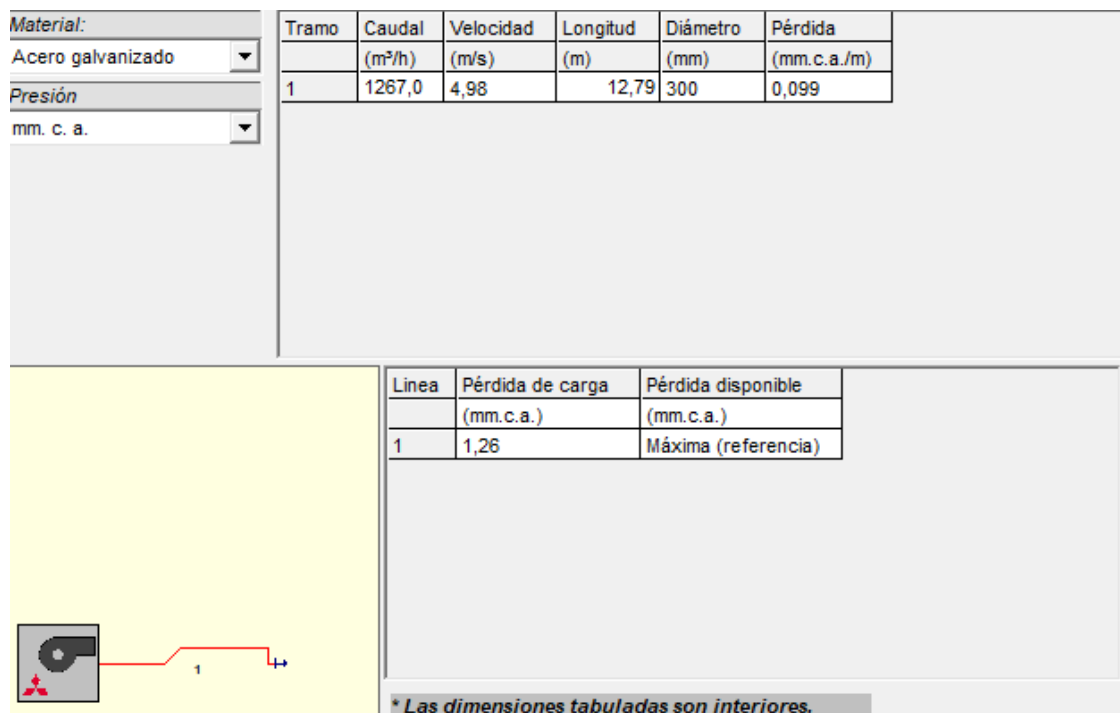


Figura 5.6 Esquema y tabla resumen de aportación de aire exterior a la máquina interior de clima



- Conducto de extracción de la zona piscina

| CODIGO | LONGITUD | DIAMETRO | CAUDAL | VELOCIDAD | P.CARGA |
|--------|----------|----------|----------|-----------|------------|
| | (m) | (mm) | (m³/h) | (m/s) | (mm.c.a/m) |
| 1 | 1,00 | 300 | 1267 | 4,98 | 0,099 |
| 2 | 0,60 | 200 | 453 | 4,00 | 0,109 |
| 3 | 1,18 | 275 | 815 | 3,81 | 0,067 |
| 4 | 1,18 | 250 | 724 | 4,10 | 0,086 |
| 5 | 1,18 | 250 | 634 | 3,58 | 0,068 |
| 6 | 1,18 | 225 | 543 | 3,79 | 0,085 |
| 7 | 1,74 | 200 | 453 | 4,00 | 0,109 |
| 8 | 1,00 | 200 | 362 | 3,20 | 0,073 |
| 9 | 1,00 | 175 | 272 | 3,14 | 0,082 |
| 10 | 1,00 | 150 | 181 | 2,85 | 0,084 |
| 11 | 0,50 | 125 | 91 | 2,05 | 0,058 |
| 12 | 1,74 | 200 | 362 | 3,20 | 0,073 |
| 13 | 1,00 | 175 | 272 | 3,14 | 0,082 |
| 14 | 1,00 | 150 | 181 | 2,85 | 0,084 |
| 15 | 0,40 | 125 | 91 | 2,05 | 0,058 |

Tabla 5.28 Tabla resumen de resultados del conducto de extracción del aire de la piscina

| TRAYECTORIA | P.CARGA | DESCARGA |
|--------------------------------|----------|--------------------|
| | (mm.c.a) | (mm.c.a) |
| 1/ 2/ 12/ 13/ 14/ 15 | 0,73 | 0,42 |
| 1/ 2/ 12/ 13/ 14 | 0,70 | 0,44 |
| 1/ 2/ 12/ 13 | 0,62 | 0,52 |
| 1/ 2/ 12 | 0,54 | 0,60 |
| 1/ 3/ 4/ 5/ 6/ 7/ 8/ 9/ 10/ 11 | 1,14 | MÁXIMA(referencia) |
| 1/ 3/ 4/ 5/ 6/ 7/ 8/ 9/ 10 | 1,11 | 0,03 |
| 1/ 3/ 4/ 5/ 6/ 7/ 8/ 9 | 1,03 | 0,11 |
| 1/ 3/ 4/ 5/ 6/ 7/ 8 | 0,95 | 0,20 |
| 1/ 3/ 4/ 5/ 6/ 7 | 0,87 | 0,27 |
| 1/ 3/ 4/ 5/ 6 | 0,68 | 0,46 |
| 1/ 3/ 4/ 5 | 0,58 | 0,56 |
| 1/ 3/ 4 | 0,50 | 0,64 |
| 1/ 3 | 0,40 | 0,74 |
| 1/ 2 | 0,41 | 0,73 |

Tabla 5.29 Pérdidas de carga del conducto de extracción del aire de la piscina

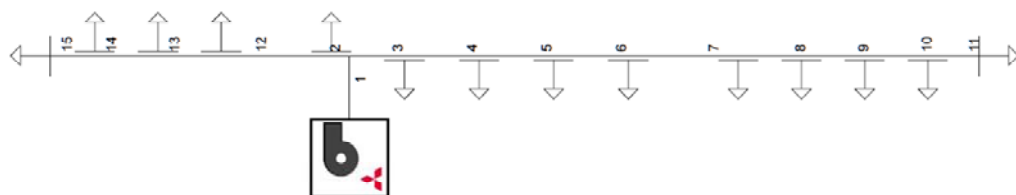


Figura 5.7 Esquema aproximado del conducto de extracción del aire de la piscina



- Conducto de impulsión de aire climatizado a la piscina

| CODIGO | LONGITUD | DIAMETRO | CAUDAL | VELOCIDAD | P.CARGA |
|--------|----------|----------|-----------------------|-----------|------------|
| | (m) | (mm) | (m ³ /h) | (m/s) | (mm.c.a/m) |
| 1 | 1,00 | 300 | 1215 | 4,77 | 0,091 |
| 2 | 1,50 | 300 | 1139 | 4,48 | 0,081 |
| 3 | 1,00 | 300 | 1063 | 4,18 | 0,072 |
| 4 | 1,00 | 275 | 987 | 4,62 | 0,096 |
| 5 | 1,00 | 275 | 911 | 4,26 | 0,083 |
| 6 | 1,00 | 275 | 835 | 3,91 | 0,070 |
| 7 | 1,94 | 250 | 759 | 4,30 | 0,094 |
| 8 | 1,33 | 250 | 683 | 3,87 | 0,078 |
| 9 | 1,33 | 250 | 608 | 3,44 | 0,063 |
| 10 | 1,33 | 225 | 532 | 3,71 | 0,082 |
| 11 | 1,33 | 225 | 456 | 3,18 | 0,062 |
| 12 | 1,74 | 200 | 380 | 3,36 | 0,079 |
| 13 | 1,00 | 175 | 304 | 3,51 | 0,101 |
| 14 | 1,00 | 175 | 228 | 2,63 | 0,060 |
| 15 | 1,00 | 150 | 152 | 2,39 | 0,061 |
| 16 | 0,50 | 125 | 76 | 1,72 | 0,043 |

Tabla 5.30 Tabla resumen de resultados del conducto de impulsión de aire climatizado de la piscina

| TRAYECTORIA | P.CARGA | DESCARGA |
|---|----------|--------------------|
| | (mm.c.a) | (mm.c.a) |
| 1/ 2/ 3/ 4/ 5/ 6/ 7/ 8/ 9/ 10/ 11/ 12/ 13/ 14/ 15/ 16 | 1,48 | MÁXIMA(referencia) |
| 1/ 2/ 3/ 4/ 5/ 6/ 7/ 8/ 9/ 10/ 11/ 12/ 13/ 14/ 15 | 1,45 | 0,02 |
| 1/ 2/ 3/ 4/ 5/ 6/ 7/ 8/ 9/ 10/ 11/ 12/ 13/ 14 | 1,39 | 0,08 |
| 1/ 2/ 3/ 4/ 5/ 6/ 7/ 8/ 9/ 10/ 11/ 12/ 13 | 1,33 | 0,14 |
| 1/ 2/ 3/ 4/ 5/ 6/ 7/ 8/ 9/ 10/ 11/ 12 | 1,23 | 0,24 |
| 1/ 2/ 3/ 4/ 5/ 6/ 7/ 8/ 9/ 10/ 11 | 1,10 | 0,38 |
| 1/ 2/ 3/ 4/ 5/ 6/ 7/ 8/ 9/ 10 | 1,01 | 0,46 |
| 1/ 2/ 3/ 4/ 5/ 6/ 7/ 8/ 9 | 0,90 | 0,57 |
| 1/ 2/ 3/ 4/ 5/ 6/ 7/ 8 | 0,82 | 0,66 |
| 1/ 2/ 3/ 4/ 5/ 6/ 7 | 0,72 | 0,76 |
| 1/ 2/ 3/ 4/ 5/ 6 | 0,53 | 0,94 |
| 1/ 2/ 3/ 4/ 5 | 0,46 | 1,01 |
| 1/ 2/ 3/ 4 | 0,38 | 1,10 |
| 1/ 2/ 3 | 0,28 | 1,19 |
| 1/ 2 | 0,21 | 1,26 |
| 1 | 0,09 | 1,38 |

Tabla 5.31 Pérdidas de carga del conducto de impulsión de aire climatizado de la piscina

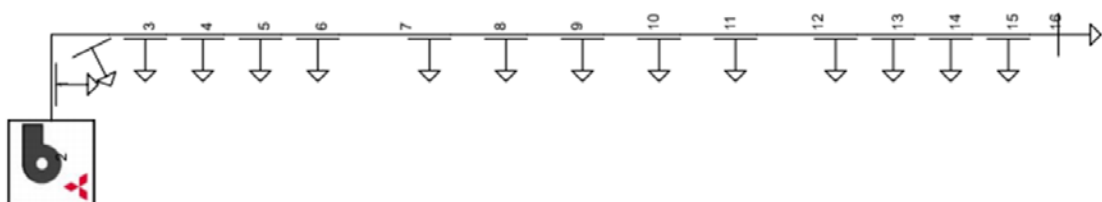


Figura 5.8 Esquema aproximado del conducto de impulsión de aire climatizado de la piscina



- Conducto de extracción vestuario 1 y vestuario adaptado

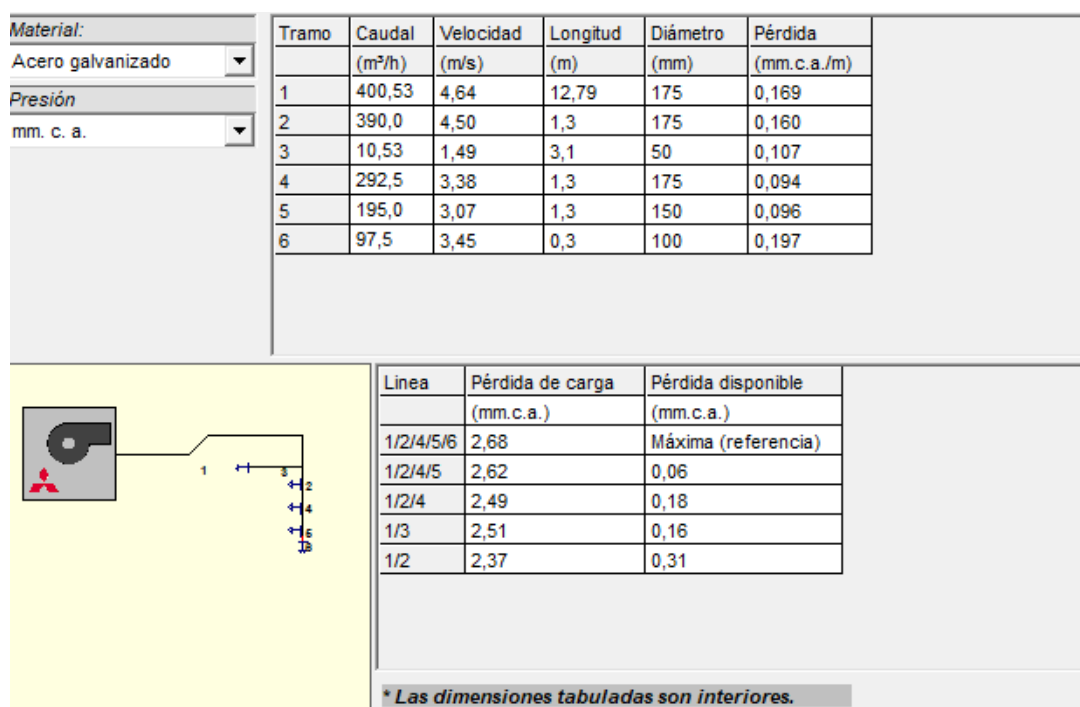


Figura 5.9 Esquema y tabla resumen de la extracción del vestuario 1 y el adaptado

- Conducto de extracción de vestuario 2

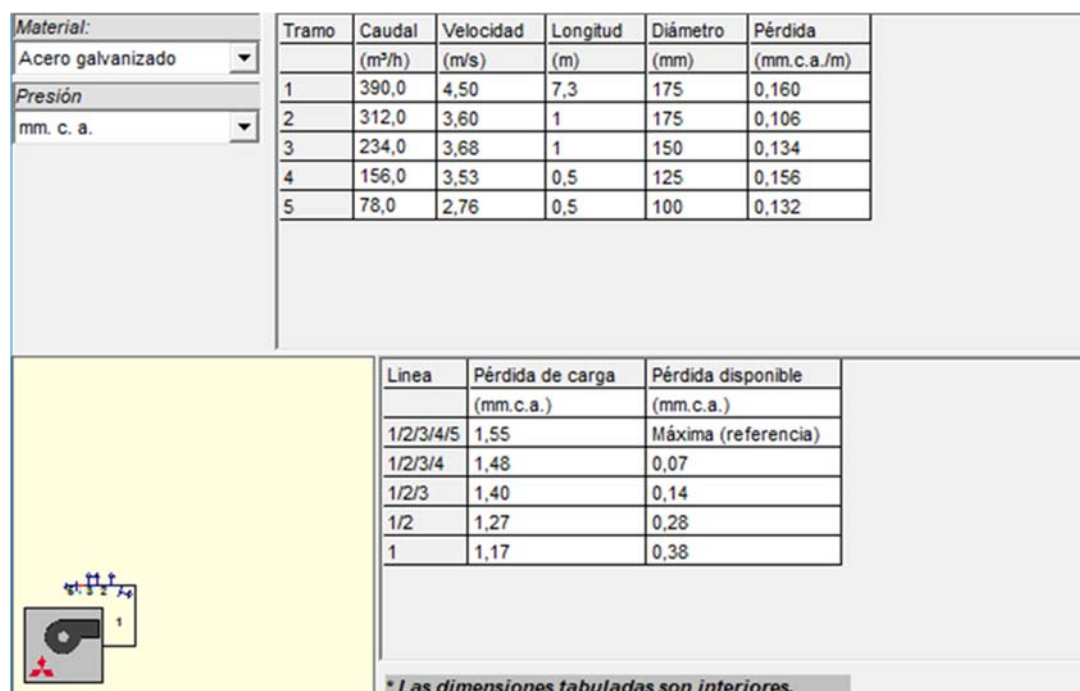


Figura 5.10 Esquema y tabla resumen de la extracción del vestuario 2



5.2.8. Instalación de protección contra incendios

5.2.8.1. Introducción

En este apartado se pretenderá la justificación del cumplimiento de la normativa aplicable relacionada con la protección de la zona, contra incendios. Dado que se trata de una reforma en una parte de un colegio el cual ya tiene una licencia ambiental aprobada y cumpliendo todos los puntos de la normativa referente,

Es por este motivo que simplemente se procederá a la justificación de los puntos que han sido modificados respecto a las condiciones existentes.

5.2.8.2. Normativa específica

Como consecuencia de lo establecido en el SI del CTE, se tendrán en cuenta las condiciones de protección contra incendios con el fin de proteger las vidas humanas y los bienes, intentando evitar que se produzcan y en su caso, evitar su propagación y mitigar sus efectos.

- **Accesibilidad para la intervención de bomberos**

Queda justificado en la licencia de actividad. El tipo de intervención a realizar no modifica las características en cuanto a accesibilidad para la intervención de bomberos.

- **Compartimentación en sectores de incendio**

Queda justificado en la licencia de actividad. El tipo de intervención a realizar no modifica las características en cuanto a la compartimentación en sectores.

- **Carga de fuego y nivel de riesgo**

El tipo de intervención a realizar no modifica las características en cuanto a carga de fuego y nivel de riesgo.

- **Cálculo de la ocupación**

El tipo de intervención a realizar no modifica las características en cuanto a la ocupación puesto que la superficie de la zona a intervenir, planta sótano, sigue considerándose la misma (densidad de ocupación dentro y fuera del total de la zona).

La superficie de la zona de piscina es de 256,24 m², con una densidad de ocupación de 2 m² por persona según el CTE, la ocupación máxima es de 129 personas, pero se establece que el número máximo asegurado de aforo será de 27 personas.

- **Recorridos de evacuación. Nº de salidas**

En cuanto al número de salidas y recorridos de evacuación la única modificación que se ha efectuado respecto a los recorridos de evacuación ha sido la demolición de una de las escaleras, permitiendo de la misma manera evacuar por la escalera1, de modo que tal y como



se ha señalado en el plano los recorridos que se ven modificados por el cambio los cuales tendrán una longitud inferior a los 25m.

- **Elementos de evacuación**

Las salidas y pasillos, además de cumplir con el SI 3 Evacuación de ocupantes, art. 3, cumplen con el Reglamento de desarrollo de la Ley de Prevención de Riesgos Laborales, en el que se establecen las Condiciones Mínimas de Seguridad en los Lugares de Trabajo.

A continuación, se detalla el cumplimiento de cada uno de los elementos según la tabla 4.1 del SI del CTE:

- Dimensionado puertas: $P/200 = 0,125$ m (siendo 0,80m el mínimo en zonas con público).
- Dimensionado pasillos y rampas: $P/200 = 0,125$ m (siendo 1,20m el mínimo en zonas adaptadas).
Pasillo anchura inferior: 1,00 (permite la evacuación de 200 personas).
- Dimensionado escaleras: $P/160 = 0,169$ m (siendo 1,00 m el mínimo).
Anchura paso mínimo en escalera: 1,00 m (permite la evacuación de 160 personas).

Por lo que cumple con la normativa señalada.

- **Resistencia al fuego de la estructura**

El local a estudio, está clasificado como de riesgo especial bajo, según lo establecido en el SI del CTE.

En el establecimiento se considerará que los elementos estructurales principales tienen una resistencia al fuego suficiente si alcanzan la clase indicada en la tabla 3.1 o 3.2 del punto 3 del DB SI-6 del CTE y a la vez soportan dicha acción durante el tiempo equivalente de exposición al fuego indicado en el anejo B del DB SI del CTE.

| Sector | Uso previsto | Planta bajo rasante | Resistencia al fuego de los elementos principales (pilares, forjados, vigas,...) |
|-----------|----------------------|---------------------|--|
| Actividad | Pública concurrencia | P-1 | R120 |

Tabla 5.32

Para el cumplimiento de este apartado se procederá al pintado de la estructura de apeo con pintura que garantice dicha resistencia, así como también se procederá al pintado de las chapas de los distintos forjados colaborantes.



- **Compartimentación en sectores de incendio**

La intervención a realizar no modifica en ningún momento la compartimentación en sectores de incendio de los distintos espacios a los existentes.

- **Reacción al fuego de elementos constructivos, decorativos y de mobiliario**

Los elementos constructivos deben cumplir las condiciones de reacción al fuego que se establecen en la tabla 4.1 de esta sección.

| Situación del elemento | Revestimiento | | | |
|------------------------|---------------------|----------|-----------------|-----------------|
| | De techos y paredes | | De suelos | |
| | Norma | Proyecto | Norma | Proyecto |
| En general | C-s2,d0 | C-s2,d0 | E _{FL} | E _{FL} |

Tabla 5.33

- **Instalaciones de protección y extinción de incendios**

Únicamente considerando la zona de intervención se detalle que:

Según el SI del CTE, teniendo en cuenta que el local queda clasificado como de riesgo normal bajo, se tendrá en cuenta lo especificado en el SI 4, y teniendo en cuenta la superficie, se deben incluir las siguientes instalaciones:

* Nota: Las instalaciones propias exigidas al centro ya están instaladas y no se ven afectadas por las obras. La Bie que se extraerá para ejecutar la obra se volverá a colocar en la misma posición que tenía.

- Extintores portátiles (uno cada 300 m², o cada 15 metros de recorrido)

Se colocarán extintores portátiles móviles manuales de polvo, para combatir el fuego de la clase A(materiales sólidos) y de la clase B(líquidos inflamables), de Eficacia 21A-113 B .

Por estar fundamentado el empleo de extintores móviles en una acción rápida sobre un incendio en sus comienzos, se observarán las siguientes reglas:

- Los extintores móviles deberán colocarse en aquellos puntos en donde se estime una mayor probabilidad de originarse un incendio, a ser posible próximos a las salidas y siempre en lugares de fácil visibilidad y acceso.



Señalizándose convenientemente cuando existan lugares grandes o existan obstáculos que dificulten su localización, utilizando en estos casos la señal establecida por UNE 23033.

- Los extintores manuales se colocarán sobre soportes fijados a paramentos verticales o pilares, de forma que la parte superior del extintor quede preferiblemente a una altura de 1,20 m y como máximo, a 1,70 m del suelo.

- Alumbrado de Señalización y Emergencia

En cuanto al alumbrado de emergencia y señalización, se instalará de acuerdo con lo establecido en el SI del CTE.

Dicha instalación se efectuará de acuerdo con las siguientes reglas:

- La instalación será fija, estará provista de fuente propia de energía y debe entrar en funcionamiento automáticamente al producirse un descenso de la tensión de alimentación del alumbrado normal por debajo del 70% de su valor nominal
- Proporcionará una iluminación de 1 lux, como mínimo, en el nivel del suelo en los recorridos de evacuación, medida en los ejes de los pasillos.
- La iluminación será de 5 lux en el cuadro de distribución de alumbrado (en este caso en el cuadro general de protección)
- Las salidas del local estarán señalizadas mediante equipos autónomos de alumbrado y señalización, apareciendo inscrita la palabra “SALIDA”, según lo establecido en la UNE 23034.

Como consecuencia de lo establecido en el SI del CTE, se tendrán en cuenta las condiciones de protección contra incendios con el fin de proteger las vidas humanas y los bienes, intentando evitar que se produzcan y en su caso, evitar su propagación y mitigar sus efectos.



5.3. Pliego de condiciones de la edificación

Capítulo Preliminar: Disposiciones Generales

Naturaleza y objeto del Pliego General

Artículo 1.- El presente Pliego General de Condiciones tiene carácter supletorio del Pliego de Condiciones particulares del Proyecto.

Ambos, como parte del proyecto arquitectónico tienen por finalidad regular la ejecución de las obras fijando los niveles técnicos y de calidad exigibles, precisando las intervenciones que corresponden, según el contrato y con arreglo a la legislación aplicable, al Promotor o dueño de la obra, al Contratista o constructor de la misma, sus técnicos y encargados, al Arquitecto y al Aparejador o Arquitecto Técnico, así como las relaciones entre todos ellos y sus correspondientes obligaciones en orden al cumplimiento del contrato de obra.

Documentación del Contrato de Obra

Artículo 2.- Integran el contrato los siguientes documentos relacionados por orden de prelación en cuanto al valor de sus especificaciones en caso de omisión o aparente contradicción:

- 1.- Las condiciones fijadas en el propio documento de contrato de empresa o arrendamiento de obra, si existiere.
- 2.- El Pliego de Condiciones particulares.
- 3.- El presente Pliego General de Condiciones.
- 4.- El resto de la documentación de Proyecto (memoria, planos, mediciones y presupuesto).

Las órdenes e instrucciones de la Dirección facultativa de las obras se incorporan al Proyecto como interpretación, complemento o precisión de sus determinaciones.

En cada documento, las especificaciones literales prevalecen sobre las gráficas y en los planos, la cota prevalece sobre la medida a escala.

Capítulo I: Condiciones Facultativas

Epígrafe 1: Delimitación General de Funciones Técnicas

El Arquitecto Director

Artículo 3.- Corresponde al Arquitecto Director:

- a) Comprobar la adecuación de la cimentación proyectada a las características reales del suelo.
- b) Redactar los complementos o rectificaciones del proyecto que se precisen.
- c) Asistir a las obras, cuantas veces lo requiera su naturaleza y complejidad, a fin de resolver las contingencias que se produzcan e impartir las instrucciones complementarias que sean precisas para conseguir la correcta solución arquitectónica.



d) Coordinar la intervención en obra de otros técnicos que, en su caso, concurran a la dirección con función propia en aspectos parciales de su especialidad.

e) Aprobar las certificaciones parciales de obra, la liquidación final y asesorar al promotor en el acto de la recepción.

f) Preparar la documentación final de la obra y expedir y suscribir en unión del Aparejador o Arquitecto Técnico, el certificado final de la misma.

El Aparejador o Arquitecto Técnico

Artículo 4.- Corresponde al Aparejador o Arquitecto Técnico:

a) Redactar el documento de estudio y análisis del Proyecto con arreglo a lo previsto en el artículo 1.4. de las Tarifas de Honorarios aprobadas por R.D. 314/1979, de 19 de enero.

b) Planificar, a la vista del proyecto arquitectónico, del contrato y de la normativa técnica de aplicación, el control de calidad y económico de las obras.

c) Efectuar el replanteo de la obra y preparar el acta correspondiente, suscribiéndola en unión del Arquitecto y del Constructor.

d) Comprobar las instalaciones provisionales, medios auxiliares y sistemas de seguridad y salud en el trabajo, controlando su correcta ejecución.

e) Ordenar y dirigir la ejecución material con arreglo al proyecto, a las normas técnicas y a las reglas de la buena construcción.

f) Elaborar un programa de control de calidad y realizar o disponer las pruebas y ensayos de materiales, instalaciones y demás unidades de obra según las frecuencias de muestreo programadas en el plan de control, así como efectuar las demás comprobaciones que resulten necesarias para asegurar la calidad constructiva de acuerdo con el proyecto y la normativa técnica aplicable. De los resultados informará puntualmente al Constructor, impartiendo, en su caso, las órdenes oportunas; de no resolverse la contingencia adoptará las medidas que corresponda dando cuenta al Arquitecto.

g) Realizar las mediciones de obra ejecutada y dar conformidad, según las relaciones establecidas, a las certificaciones valoradas y a la liquidación final de la obra.

h) Suscribir, en unión del Arquitecto, el certificado final de obra.

El Constructor

Artículo 5.- Corresponde al Constructor:

a) Organizar los trabajos de construcción, redactando los planes de obra que se precisen y proyectando o autorizando las instalaciones provisionales y medios auxiliares de la obra.

b) Elaborar un plan de seguridad y salud en el trabajo en el que se analicen, estudien, desarrollen y complementen las previsiones contenidas en el estudio o estudio básico, en función de su propio sistema de ejecución de la obra.

c) Suscribir con el Arquitecto y el Aparejador o Arquitecto Técnico, el acta de replanteo de la obra.



- d) Ostentar la jefatura de todo el personal que intervenga en la obra y coordinar las intervenciones de los subcontratistas.
- e) Asegurar la idoneidad de todos y cada uno de los materiales y elementos constructivos que se utilicen, comprobando los preparados en obra y rechazando, por iniciativa propia o por prescripción del Aparejador o Arquitecto Técnico, los suministros o prefabricados que no cuenten con las garantías o documentos de idoneidad requeridos por las normas de aplicación.
- f) Custodiar el Libro de órdenes y seguimiento de la obra, y dar el enterado a las anotaciones que se practiquen en el mismo.
- g) Facilitar al Aparejador o Arquitecto Técnico, con antelación suficiente, los materiales precisos para el cumplimiento de su cometido.
- h) Preparar las certificaciones parciales de obra y la propuesta de liquidación final.
- i) Suscribir con el Promotor las actas de recepción provisional y definitiva.
- j) Concertar los seguros de accidentes de trabajo y de daños a terceros durante la obra.

Epígrafe 2: De las obligaciones y derechos generales del Constructor o Contratista

Verificación de los documentos del proyecto

Artículo 6.- Antes de dar comienzo a las obras, el Constructor consignará por escrito que la documentación aportada le resulta suficiente para la comprensión de la totalidad de la obra contratada, o en caso contrario, solicitará las aclaraciones pertinentes.

Plan de Seguridad i Salud

Artículo 7.- El Constructor a la vista del Proyecto de Ejecución conteniendo el Estudio de Seguridad y Salud o el Estudio básico, según el caso, presentará el Plan de Seguridad e Salud que deberá ser aprobado, antes del inicio de la obra, por el coordinador en materia de seguridad y de salud, o por la dirección facultativa en caso de no ser necesaria la designación de coordinador.

Será obligatoria la designación, por parte del promotor, de un coordinador en materia de seguridad y salud durante la ejecución de la obra siempre que en la misma intervengan más de una empresa, o una empresa y trabajadores autónomos o diversos trabajadores autónomos.

Los contratistas y los subcontratistas serán responsables de la ejecución correcta de las medidas preventivas fijadas en el plan de seguridad y salud. en lo relativo a las obligaciones que les correspondan a ellos directamente o, en su caso, a los trabajadores autónomos por ellos contratados. Los contratistas y los subcontratistas responderán solidariamente de las consecuencias que se deriven del incumplimiento de las medidas previstas en el plan, en los términos del apartado 2 del artículo 42 de la Ley 31/1995 de Prevención de Riesgos Laborales.

Oficina en la obra



Artículo 8.- El Constructor habilitará en la obra una oficina en la que existirá una mesa o tablero adecuado, en el que puedan extenderse y consultarse los planos. En dicha oficina tendrá siempre el Contratista a disposición de la Dirección Facultativa:

- El Proyecto de Ejecución completo, incluidos los complementos que en su caso redacte el Arquitecto.
- La Licencia de Obras.
- El Libro de Órdenes y Asistencias.
- El Plan de Seguridad y Salud.
- La documentación de los seguros mencionados en el artículo 5.j).

Dispondrá además el Constructor una oficina para la Dirección facultativa, convenientemente acondicionada para que en ella se pueda trabajar con normalidad a cualquier hora de la jornada.

El Libro de Incidencias, deberá mantenerse siempre en la obra, estará en poder del coordinador en materia de seguridad y salud o, en caso de no ser necesaria la designación de coordinador, en poder de la Dirección Facultativa.

Representación del Contratista

Artículo 9.- El Constructor viene obligado a comunicar a la propiedad la persona designada como delegado suyo en la obra, que tendrá el carácter de Jefe de la misma, con dedicación plena y con facultades para representarle y adoptar en todo momento cuantas decisiones competan a la contrata.

Serán sus funciones las del Constructor según se especifica en el artículo 5.

Cuando la importancia de las obras lo requiera y así se consigne en el Pliego de "Condiciones particulares de índole facultativa", el Delegado del Contratista será un facultativo de grado superior o grado medio, según los casos.

El Pliego de Condiciones particulares determinará el personal facultativo o especialista que el Constructor se obligue a mantener en la obra como mínimo, y el tiempo de dedicación comprometido.

El incumplimiento de esta obligación o, en general, la falta de cualificación suficiente por parte del personal según la naturaleza de los trabajos, facultará al Arquitecto para ordenar la paralización de las obras, sin derecho a reclamación alguna, hasta que se subsane la deficiencia.

Presencia del Constructor en la obra

Artículo 10.- El Jefe de obra, por sí o por medio de sus técnicos, o encargados estará presente durante la jornada legal de trabajo y acompañará al Arquitecto o al Aparejador o Arquitecto Técnico, en las visitas que hagan a las obras, poniéndose a su disposición para la práctica de los reconocimientos que se consideren necesarios y suministrándoles los datos precisos para la comprobación de mediciones y liquidaciones.



Trabajos no estipulados expresamente

Artículo 11.- Es obligación de la contrata el ejecutar cuando sea necesario para la buena construcción y aspecto de las obras, aun cuando no se halle expresamente determinado en los documentos de Proyecto, siempre que, sin separarse de su espíritu y recta interpretación, lo disponga el Arquitecto dentro de los límites de posibilidades que los presupuestos habiliten para cada unidad de obra y tipo de ejecución.

En defecto de especificación en el Pliego de Condiciones particulares, se entenderá que requiere reformado de proyecto con consentimiento expreso de la propiedad, toda variación que suponga incremento de precios de alguna unidad de obra en más del 20 por 100 o del total del presupuesto en más de un 10 por 100.

Interpretaciones, aclaraciones y modificaciones de los documentos del proyecto

Artículo 12.- Cuando se trate de aclarar, interpretar o modificar preceptos de los Pliegos de Condiciones o indicaciones de los planos o croquis, las órdenes e instrucciones correspondientes se comunicarán precisamente por escrito al Constructor, estando éste obligado a su vez a devolver los originales o las copias suscribiendo con su firma el enterado, que figurará al pie de todas las órdenes, avisos o instrucciones que reciba, tanto del Aparejador o Arquitecto Técnico como del Arquitecto.

Cualquier reclamación que en contra de las disposiciones tomadas por éstos crea oportuno hacer el Constructor, habrá de dirigirla, dentro precisamente del plazo de tres días, a quien la hubiere dictado, el cual dará al Constructor el correspondiente recibo, si éste lo solicitase.

Artículo 13.- El Constructor podrá requerir del Arquitecto o del Aparejador o Arquitecto Técnico, según sus respectivos cometidos, las instrucciones o aclaraciones que se precisen para la correcta interpretación y ejecución de lo proyectado.

Reclamaciones contra las órdenes de la Dirección Facultativa

Artículo 14.- Las reclamaciones que el Contratista quiera hacer contra las órdenes o instrucciones dimanadas de la Dirección Facultativa, sólo podrá presentarlas, a través del Arquitecto, ante la Propiedad, si son de orden económico y de acuerdo con las condiciones estipuladas en los Pliegos de Condiciones correspondientes. Contra disposiciones de orden técnico del Arquitecto o del Aparejador o Arquitecto Técnico, no se admitirá reclamación alguna, pudiendo el Contratista salvar su responsabilidad, si lo estima oportuno, mediante exposición razonada dirigida al Arquitecto, el cual podrá limitar su contestación al acuse de recibo, que en todo caso será obligatorio para este tipo de reclamaciones.

Recusación por el Contratista del personal nombrado por el Arquitecto

Artículo 15.- El Constructor no podrá recusar a los Arquitectos, Aparejadores, o personal encargado por éstos de la vigilancia de las obras, ni pedir que por parte de la propiedad se designen otros facultativos para los reconocimientos y mediciones.

Cuando se crea perjudicado por la labor de éstos, procederá de acuerdo con lo estipulado en el artículo precedente, pero sin que por esta causa puedan interrumpirse ni perturbarse la marcha de los trabajos.

Faltas del Personal



Artículo 16.- El Arquitecto, en supuestos de desobediencia a sus instrucciones, manifiesta incompetencia o negligencia grave que comprometan o perturben la marcha de los trabajos, podrá requerir al Contratista para que aparte de la obra a los dependientes u operarios causantes de la perturbación.

Artículo 17.- El Contratista podrá subcontratar capítulos o unidades de obra a otros contratistas e industriales, con sujeción en su caso, a lo estipulado en el Pliego de Condiciones particulares y sin perjuicio de sus obligaciones como Contratista general de la obra.

Epígrafe 3: Prescripciones generales relativas a los trabajos, a los materiales y a los medios auxiliares

Caminos y accesos

Artículo 18.- El Constructor dispondrá por su cuenta los accesos a la obra, la señalización y el cerramiento o vallado de ésta.

El Aparejador o Arquitecto Técnico podrá exigir su modificación o mejora.

Replanteo

Artículo 19.- El Constructor iniciará las obras con el replanteo de las mismas en el terreno, señalando las referencias principales que mantendrá como base de ulteriores replanteos parciales. Dichos trabajos se considerarán a cargo del Contratista e incluido en su oferta.

El Constructor someterá el replanteo a la aprobación del Aparejador o Arquitecto Técnico y una vez éste haya dado su conformidad preparará un acta acompañada de un plano que deberá ser aprobada por el Arquitecto, siendo responsabilidad del Constructor la omisión de este trámite.

Comienzo de la obra. Ritmo de ejecución de los trabajos

Artículo 20.- El Constructor dará comienzo a las obras en el plazo marcado en el Pliego de Condiciones Particulares, desarrollándolas en la forma necesaria para que dentro de los períodos parciales en aquél señalados queden ejecutados los trabajos correspondientes y, en consecuencia, la ejecución total se lleve a efecto dentro del plazo exigido en el Contrato.

Obligatoriamente y por escrito, deberá el Contratista dar cuenta al Arquitecto y al Aparejador o Arquitecto Técnico del comienzo de los trabajos al menos con tres días de antelación.

Orden de los trabajos

Artículo 21.- En general, la determinación del orden de los trabajos es facultad de la contrata, salvo aquellos casos en que, por circunstancias de orden técnico, estime conveniente su variación la Dirección Facultativa.

Facilidades para otros Contratistas

Artículo 22.- De acuerdo con lo que requiera la Dirección Facultativa, el Contratista General deberá dar todas las facilidades razonables para la realización de los trabajos que le sean encomendados a todos los demás Contratistas que intervengan en la obra. Ello sin perjuicio de las compensaciones económicas a que haya lugar entre Contratistas por utilización de medios auxiliares o suministros de energía u otros conceptos.

En caso de litigio, ambos Contratistas estarán a lo que resuelva la Dirección Facultativa.



Ampliación del proyecto por causas imprevistas o de fuerza mayor

Artículo 23.- Cuando sea preciso por motivo imprevisto o por cualquier accidente, ampliar el Proyecto, no se interrumpirán los trabajos, continuándose según las instrucciones dadas por el Arquitecto en tanto se formula o se tramita el Proyecto Reformado.

El Constructor está obligado a realizar con su personal y sus materiales cuanto la Dirección de las obras disponga para apeos, apuntalamientos, derribos, recalzos o cualquier otra obra de carácter urgente, anticipando de momento este servicio, cuyo importe le será consignado en un presupuesto adicional o abonado directamente, de acuerdo con lo que se convenga.

Prórroga por causa de fuerza mayor

Artículo 24.- Si por causa de fuerza mayor o independiente de la voluntad del Constructor, éste no pudiese comenzar las obras, o tuviese que suspenderlas, o no le fuera posible terminirlas en los plazos prefijados, se le otorgará una prórroga proporcionada para el cumplimiento de la contrata, previo informe favorable del Arquitecto. Para ello, el Constructor expondrá, en escrito dirigido al Arquitecto, la causa que impide la ejecución o la marcha de los trabajos y el retraso que por ello se originaría en los plazos acordados, razonando debidamente la prórroga que por dicha causa solicita.

Responsabilidad de la Dirección Facultativa en el retraso de la obra

Artículo 25.- El Contratista no podrá excusarse de no haber cumplido los plazos de obras estipulados, alegando como causa la carencia de planos u órdenes de la Dirección Facultativa, a excepción del caso en que habiéndolo solicitado por escrito no se le hubiesen proporcionado.

Condiciones generales de ejecución de los trabajos

Artículo 26.- Todos los trabajos se ejecutarán con estricta sujeción al Proyecto, a las modificaciones del mismo que previamente hayan sido aprobadas y a las órdenes e instrucciones que bajo su responsabilidad y por escrito entreguen el Arquitecto o el Aparejador o Arquitecto Técnico al Constructor, dentro de las limitaciones presupuestarias y de conformidad con lo especificado en el artículo 11.

Durante la ejecución de la obra se tendrá en cuenta los principios de acción preventiva de conformidad con la Ley de Prevención de Riesgos Laborales.

Obras ocultas

Artículo 27.- De todos los trabajos y unidades de obra que hayan de quedar ocultos a la terminación del edificio, se levantarán los planos precisos para que queden perfectamente definidos; estos documentos se extenderán por triplicado, entregándose: uno, al Arquitecto; otro al Aparejador; y, el tercero, al Contratista, firmados todos ellos por los tres. Dichos planos, que deberán ir suficientemente acotados, se considerarán documentos indispensables e irrecusables para efectuar las mediciones.

Trabajos defectuosos



Artículo 28.- El Constructor debe emplear los materiales que cumplan las condiciones exigidas en las "Condiciones generales y particulares de índole técnica" del Pliego de Condiciones y realizará todos y cada uno de los trabajos contratados de acuerdo con lo especificado también en dicho documento.

Por ello, y hasta que tenga lugar la recepción definitiva del edificio, es responsable de la ejecución de los trabajos que ha contratado y de las faltas y defectos que en éstos puedan existir por su mala ejecución o por la deficiente calidad de los materiales empleados o aparatos colocados, sin que le exonere de responsabilidad el control que compete al Aparejador o Arquitecto Técnico, ni tampoco el hecho de que estos trabajos hayan sido valorados en las certificaciones parciales de obra, que siempre se entenderán extendidas y abonadas a buena cuenta.

Como consecuencia de lo anteriormente expresado, cuando el Aparejador o Arquitecto Técnico advierta vicios o defectos en los trabajos ejecutados, o que los materiales empleados o los aparatos colocados no reúnen las condiciones preceptuadas, ya sea en el curso de la ejecución de los trabajos, o finalizados éstos, y antes de verificarse la recepción definitiva de la obra, podrá disponer que las partes defectuosas sean demolidas y reconstruidas de acuerdo con lo contratado, y todo ello a expensas de la contrata. Si ésta no estimase justa la decisión y se negase a la demolición y reconstrucción ordenadas, se planteará la cuestión ante el Arquitecto de la obra, quien resolverá.

Vicios ocultos

Artículo 29.- Si el Aparejador o Arquitecto Técnico tuviese fundadas razones para creer en la existencia de vicios ocultos de construcción en las obras ejecutadas, ordenará efectuar en cualquier tiempo, y antes de la recepción definitiva, los ensayos, destructivos o no, que crea necesarios para reconocer los trabajos que suponga defectuosos, dando cuenta de la circunstancia al Arquitecto.

Los gastos que se ocasionen serán de cuenta del Constructor, siempre que los vicios existan realmente, en caso contrario serán a cargo de la Propiedad.

De los materiales y de los aparatos. Su procedencia

Artículo 30.- El Constructor tiene libertad de proveerse de los materiales y aparatos de todas clases en los puntos que le parezca conveniente, excepto en los casos en que el Pliego Particular de Condiciones Técnicas preceptúe una procedencia determinada.

Obligatoriamente, y antes de proceder a su empleo o acopio, el Constructor deberá presentar al Aparejador o Arquitecto Técnico una lista completa de los materiales y aparatos que vaya a utilizar en la que se especifiquen todas las indicaciones sobre marcas, calidades, procedencia e idoneidad de cada uno de ellos.

Presentación de muestras

Artículo 31.- A petición del Arquitecto, el Constructor le presentará las muestras de los materiales siempre con la antelación prevista en el Calendario de la Obra.

Materiales no utilizables

Artículo 32.- El Constructor, a su costa, transportará y colocará, agrupándolos ordenadamente y en el lugar adecuado, los materiales procedentes de las excavaciones, derribos, etc., que no sean utilizables en la obra.



Se retirarán de ésta o se llevarán al vertedero, cuando así estuviese establecido en el Pliego de Condiciones particulares vigente en la obra.

Si no se hubiese preceptuado nada sobre el particular, se retirarán de ella cuando así lo ordene el Aparejador o Arquitecto Técnico, pero acordando previamente con el Constructor su justa tasación, teniendo en cuenta el valor de dichos materiales y los gastos de su transporte.

Materiales y aparatos defectuosos

Artículo 33.- Cuando los materiales, elementos de instalaciones o aparatos no fuesen de la calidad prescrita en este Pliego, o no tuvieran la preparación en él exigida o, en fin, cuando la falta de prescripciones formales de aquél, se reconociera o demostrara que no eran adecuados para su objeto, el Arquitecto a instancias del Aparejador o Arquitecto Técnico, dará orden al Constructor de sustituirlos por otros que satisfagan las condiciones o llenen el objeto a que se destinen.

Si a los quince (15) días de recibir el Constructor orden de que retire los materiales que no estén en condiciones, no ha sido cumplida, podrá hacerlo la Propiedad cargando los gastos a la contrata.

Si los materiales, elementos de instalaciones o aparatos fueran defectuosos, pero aceptables a juicio del Arquitecto, se recibirán pero con la rebaja del precio que aquél determine, a no ser que el Constructor prefiera sustituirlos por otros en condiciones.

Gastos ocasionados por pruebas y ensayos

Artículo 34.- Los gastos de los ensayos, análisis y pruebas realizadas por laboratorio y, en general, por personas que no intervengan directamente en la obra, serán de cuenta del propietario o del promotor. (art. 3.1. del Decret 375/1988. Generalitat de Catalunya)

Limpieza de las obras

Artículo 35.- Es obligación del Constructor mantener limpias las obras y sus alrededores, tanto de escombros como de materiales sobrantes, hacer desaparecer las instalaciones provisionales que no sean necesarias, así como adoptar las medidas y ejecutar todos los trabajos que sean necesarios para que la obra ofrezca buen aspecto.

Obras sin prescripciones

Artículo 36.- En la ejecución de trabajos que entran en la construcción de las obras y para los cuales no existan prescripciones consignadas explícitamente en este Pliego ni en la restante documentación del Proyecto, el Constructor se atenderá, en primer término, a las instrucciones que dicte la Dirección Facultativa de las obras y, en segundo lugar, a las reglas y prácticas de la buena construcción.

Epígrafe 4: de las recepciones de edificios y obras anejas

De las recepciones provisionales

Artículo 37.- Treinta días antes de dar fin a las obras, comunicará el Arquitecto a la Propiedad la proximidad de su terminación a fin de convenir la fecha para el acto de recepción provisional.

Esta se realizará con la intervención de la Propiedad, del Constructor, del Arquitecto y del Aparejador o Arquitecto Técnico. Se convocará también a los restantes técnicos que, en su caso, hubiesen intervenido en la dirección con función propia en aspectos parciales o unidades especializadas.



Practicado un detenido reconocimiento de las obras, se extenderá un acta con tantos ejemplares como intervinientes y firmados por todos ellos. Desde esta fecha empezará a correr el plazo de garantía, si las obras se hallasen en estado de ser admitidas. Seguidamente, los Técnicos de la Dirección Facultativa extenderán el correspondiente Certificado de final de obra.

Cuando las obras no se hallen en estado de ser recibidas, se hará constar en el acta y se darán al Constructor las oportunas instrucciones para remediar los defectos observados, fijando un plazo para subsanarlos, expirado el cual, se efectuará un nuevo reconocimiento a fin de proceder a la recepción provisional de la obra.

Si el Constructor no hubiese cumplido, podrá declararse resuelto el contrato con pérdida de la fianza.

Documentación final de la obra

Artículo 38.- El Arquitecto Director facilitará a la Propiedad la documentación final de las obras, con las especificaciones y contenido dispuestos por la legislación vigente.

Medición definitiva de los trabajos y liquidación provisional de la obra

Artículo 39.- Recibidas provisionalmente las obras, se procederá inmediatamente por el Aparejador o Arquitecto Técnico a su medición definitiva, con precisa asistencia del Constructor o de su representante. Se extenderá la oportuna certificación por triplicado que, aprobada por el Arquitecto con su firma, servirá para el abono por la Propiedad del saldo resultante salvo la cantidad retenida en concepto de fianza.

Plazo de garantía

Artículo 40.- El plazo de garantía deberá estipularse en el Pliego de Condiciones Particulares y en cualquier caso nunca deberá ser inferior a nueve meses.

Conservación de las obras recibidas provisionalmente

Artículo 41.- Los gastos de conservación durante el plazo de garantía comprendido entre las recepciones provisional y definitiva, correrán a cargo del Contratista.

Si el edificio fuese ocupado o utilizado antes de la recepción definitiva, la guardería, limpieza y reparaciones causadas por el uso correrán a cargo del propietario y las reparaciones por vicios de obras o por defectos en las instalaciones, serán a cargo de la contrata.

De la recepción definitiva

Artículo 42.- La recepción definitiva se verificará después de transcurrido el plazo de garantía en igual forma y con las mismas formalidades que la provisional, a partir de cuya fecha cesará la obligación del Constructor de reparar a su cargo aquellos desperfectos inherentes a la normal conservación de los edificios y quedarán sólo subsistentes todas las responsabilidades que pudieran alcanzarle por vicios de la construcción.

Prórroga del plazo de garantía

Artículo 43.- Si al proceder al reconocimiento para la recepción definitiva de la obra, no se encontrase ésta en las condiciones debidas, se aplazará dicha recepción definitiva y el Arquitecto-Director marcará al Constructor los plazos y formas en que deberán realizarse las obras necesarias y, de no efectuarse dentro de aquéllos, podrá resolverse el contrato con pérdida de la fianza.



De las recepciones de trabajos cuya contrata haya sido rescindida

Artículo 44.- En el caso de resolución del contrato, el Contratista vendrá obligado a retirar, en el plazo que se fije en el Pliego de Condiciones Particulares, la maquinaria, medios auxiliares, instalaciones, etc., a resolver los subcontratos que tuviese concertados y a dejar la obra en condiciones de ser reanudada por otra empresa.

Las obras y trabajos terminados por completo se recibirán provisionalmente con los trámites establecidos en el artículo 35. Transcurrido el plazo de garantía se recibirán definitivamente según lo dispuesto en los artículos 39 y 40 de este Pliego.

Para las obras y trabajos no terminados pero aceptados a juicio del Arquitecto Director, se efectuará una sola y definitiva recepción.

Capítulo II: Condiciones Económicas

Epígrafe 1: Principio general

Artículo 45.- Todos los que intervienen en el proceso de construcción tienen derecho a percibir puntualmente las cantidades devengadas por su correcta actuación con arreglo a las condiciones contractualmente establecidas.

Artículo 46.- La propiedad, el contratista y, en su caso, los técnicos pueden exigirse recíprocamente las garantías adecuadas al cumplimiento puntual de sus obligaciones de pago.

Epígrafe 2: Fianzas

Artículo 47.- El contratista prestará fianza con arreglo a alguno de los siguientes procedimientos, según se estipule:

- a) Depósito previo, en metálico o valores, o aval bancario, por importe entre el 3 por 100 y 10 por 100 del precio total de contrata.
- b) Mediante retención en las certificaciones parciales o pagos a cuenta en igual proporción.

Fianza provisional

Artículo 48.- En el caso de que la obra se adjudique por subasta pública, el depósito provisional para tomar parte en ella se especificará en el anuncio de la misma y su cuantía será de ordinario, y salvo estipulación distinta en el Pliego de Condiciones particulares vigente en la obra, de un tres por ciento (3 por 100) como mínimo, del total del presupuesto de contrata.

El Contratista a quien se haya adjudicado la ejecución de una obra o servicio para la misma, deberá depositar en el punto y plazo fijados en el anuncio de la subasta o el que se determine en el Pliego de Condiciones particulares del Proyecto, la fianza definitiva que se señale y, en su defecto, su importe será el diez por cien (10 por 100) de la cantidad por la que se haga la adjudicación de la obra, fianza que puede constituirse en cualquiera de las formas especificadas en el apartado anterior.

El plazo señalado en el párrafo anterior, y salvo condición expresa establecida en el Pliego de Condiciones particulares, no excederá de treinta días naturales a partir de la fecha en que se le comunique la adjudicación, y dentro de él deberá presentar el adjudicatario la carta de pago o recibo que acredite la constitución de la fianza a que se refiere el mismo párrafo.



La falta de cumplimiento de este requisito dará lugar a que se declare nula la adjudicación, y el adjudicatario perderá el depósito provisional que hubiese hecho para tomar parte en la subasta.

Ejecución de trabajos con cargo a la fianza

Artículo 49.- Si el Contratista se negase a hacer por su cuenta los trabajos precisos para ultimar la obra en las condiciones contratadas, el Arquitecto-Director, en nombre y representación del Propietario, los ordenará ejecutar a un tercero, o, podrá realizarlos directamente por administración, abonando su importe con la fianza depositada, sin perjuicio de las acciones a que tenga derecho el Propietario, en el caso de que el importe de la fianza no bastare para cubrir el importe de los gastos efectuados en las unidades de obra que no fuesen de recibo.

De su devolución en general

Artículo 50.- La fianza retenida será devuelta al Contratista en un plazo que no excederá de treinta (30) días una vez firmada el Acta de Recepción Definitiva de la obra. La propiedad podrá exigir que el Contratista le acredite la liquidación y finiquito de sus deudas causadas por la ejecución de la obra, tales como salarios, suministros, subcontratos...

Devolución de la fianza en el caso de efectuarse recepciones parciales

Artículo 51.- Si la propiedad, con la conformidad del Arquitecto Director, accediera a hacer recepciones parciales, tendrá derecho el Contratista a que se le devuelva la parte proporcional de la fianza.

Epígrafe 3: De los precios

Composición de los precios unitarios

Artículo 52.- El cálculo de los precios de las distintas unidades de obra es el resultado de sumar los costes directos, los indirectos, los gastos generales y el beneficio industrial.

Se considerarán costes directos

- a) La mano de obra, con sus pluses y cargas y seguros sociales, que interviene directamente en la ejecución de la unidad de obra.
- b) Los materiales, a los precios resultantes a pie de obra, que queden integrados en la unidad de que se trate o que sean necesarios para su ejecución.
- c) Los equipos y sistemas técnicos necesarios para la prevención y protección de accidentes y enfermedades laborales.
- d) Los gastos de personal, combustible, energía, etc., que tengan lugar por el accionamiento o funcionamiento de la maquinaria e instalaciones utilizadas en la ejecución de la unidad de obra.
- e) Los gastos de amortización y conservación de la maquinaria, instalaciones, sistemas y equipos anteriormente citados.

Se considerarán costes indirectos



Los gastos de instalación de oficinas a pie de obra, comunicaciones, edificación de almacenes, talleres, pabellones temporales para obreros, laboratorios, seguros, etc., los del personal técnico y administrativo adscrito exclusivamente a la obra y los imprevistos. Todos estos gastos, se cifrarán en un porcentaje de los costes directos.

Se considerarán gastos generales

Los gastos generales de empresa, gastos financieros, cargas fiscales y tasas de la Administración, legalmente establecidas. Se cifrarán como un porcentaje de la suma de los costes directos e indirectos (en los contratos de obras de la Administración pública este porcentaje se establece entre un 13 por 100 y un 17 por 100).

Beneficio industrial

El beneficio industrial del Contratista se establece en el 6 por 100 sobre la suma de las anteriores partidas.

Precio de Ejecución material

Se denominará Precio de Ejecución material el resultado obtenido por la suma de los anteriores conceptos a excepción del Beneficio Industrial.

Precio de Contrata

El precio de Contrata es la suma de los costes directos, los indirectos, los Gastos Generales y el Beneficio Industrial. El IVA gira sobre esta suma pero no integra el precio.

Precios de contrata. Importe de contrata

Artículo 53.- En el caso de que los trabajos a realizar en un edificio u obra aneja cualquiera se contratasen a riesgo y ventura, se entiende por Precio de contrata el que importa el coste total de la unidad de obra, es decir, el precio de Ejecución material, más el tanto por ciento (%) sobre este último precio en concepto de Beneficio Industrial del Contratista. El beneficio se estima normalmente, en 6 por 100, salvo que en las condiciones particulares se establezca otro distinto.

Precios contradictorios

Artículo 54.- Se producirán precios contradictorios sólo cuando la Propiedad por medio del Arquitecto decida introducir unidades o cambios de calidad en alguna de las previstas, o cuando sea necesario afrontar alguna circunstancia imprevista.

El Contratista estará obligado a efectuar los cambios.

A falta de acuerdo, el precio se resolverá contradictoriamente entre el Arquitecto y el Contratista antes de comenzar la ejecución de los trabajos y en el plazo que determine el Pliego de Condiciones Particulares. Si subsiste la diferencia se acudirá, en primer lugar, al concepto más análogo dentro del cuadro de precios del proyecto, y en segundo lugar al banco de precios de uso más frecuente en la localidad.

Los contradictorios que hubiere se referirán siempre a los precios unitarios de la fecha del contrato.

Reclamaciones de aumento de precios por causas diversas



Artículo 55.- Si el Contratista, antes de la firma del contrato, no hubiese hecho la reclamación u observación oportuna, no podrá bajo ningún pretexto de error u omisión reclamar aumento de los precios fijados en el cuadro correspondiente del presupuesto que sirva de base para la ejecución de las obras (con referencia a Facultativas).

Formas tradicionales de medir o de aplicar los precios

Artículo 56.- En ningún caso podrá alegar el Contratista los usos y costumbres del país respecto de la aplicación de los precios o de la forma de medir las unidades de obra ejecutadas, se estará a lo previsto en primer lugar, al Pliego General de Condiciones Técnicas, y en segundo lugar, al Pliego General de Condiciones particulares.

De la revisión de los precios contratados

Artículo 57.- Contratándose las obras a riesgo y ventura, no se admitirá la revisión de los precios en tanto que el incremento no alcance, en la suma de las unidades que falten por realizar de acuerdo con el Calendario, un montante superior al tres por 100 (3 por 100) del importe total del presupuesto de Contrato.

Caso de producirse variaciones en alza superiores a este porcentaje, se efectuará la correspondiente revisión de acuerdo con la fórmula establecida en el Pliego de Condiciones Particulares, percibiendo el Contratista la diferencia en más que resulte por la variación del IPC superior al 3 por 100.

No habrá revisión de precios de las unidades que puedan quedar fuera de los plazos fijados en el Calendario de la oferta.

Acopio de materiales

Artículo 58.- El Contratista queda obligado a ejecutar los acopios de materiales o aparatos de obra que la Propiedad ordene por escrito.

Los materiales acopiados, una vez abonados por el Propietario son, de la exclusiva propiedad de éste; de su guarda y conservación será responsable el Contratista.

Epígrafe 4: Obras por administración

Administración

Artículo 59.- Se denominan "Obras por Administración" aquellas en las que las gestiones que se precisan para su realización las lleva directamente el propietario, bien por sí o por un representante suyo o bien por mediación de un constructor.

Las obras por administración se clasifican en las dos modalidades siguientes:

- a) Obras por administración directa.
- b) Obras por administración delegada o indirecta.

Obras por administración directa

Artículo 60.- Se denominan "Obras por Administración directa" aquellas en las que el Propietario por sí o por mediación de un representante suyo, que puede ser el propio Arquitecto-Director, expresamente autorizado a estos efectos, lleve directamente las gestiones precisas para la ejecución de la obra, adquiriendo los materiales, contratando su transporte a la obra y, en suma interviniendo directamente en todas las operaciones precisas para



que el personal y los obreros contratados por él puedan realizarla; en estas obras el constructor, si lo hubiese, o el encargado de su realización, es un mero dependiente del propietario, ya sea como empleado suyo o como autónomo contratado por él, que es quien reúne en sí, por tanto, la doble personalidad de Propietario y Contratista.

Obras por administración delegada o indirecta

Artículo 61.- Se entiende por "Obra por Administración delegada o indirecta" la que convienen un Propietario y un Constructor para que éste, por cuenta de aquél y como delegado suyo, realice las gestiones y los trabajos que se precisen y se convengan.

Son, por tanto, características peculiares de las "Obras por Administración delegada o indirecta" las siguientes:

- a) Por parte del Propietario, la obligación de abonar directamente o por mediación del Constructor todos los gastos inherentes a la realización de los trabajos convenidos, reservándose el Propietario la facultad de poder ordenar, bien por sí o por medio del Arquitecto-Director en su representación, el orden y la marcha de los trabajos, la elección de los materiales y aparatos que en los trabajos han de emplearse y, en suma, todos los elementos que crea preciso para regular la realización de los trabajos convenidos.
- b) Por parte del Constructor, la obligación de llevar la gestión práctica de los trabajos, aportando sus conocimientos constructivos, los medios auxiliares precisos y, en suma, todo lo que, en armonía con su cometido, se requiera para la ejecución de los trabajos, percibiendo por ello del Propietario un tanto por ciento (%) prefijado sobre el importe total de los gastos efectuados y abonados por el Constructor.

Liquidación de obras por administración

Artículo 62.- Para la liquidación de los trabajos que se ejecuten por administración delegada o indirecta, regirán las normas que a tales fines se establezcan en las "Condiciones particulares de índole económica" vigentes en la obra; a falta de ellas, las cuentas de administración las presentará el Constructor al Propietario, en relación valorada a la que deberá acompañarse y agrupados en el orden que se expresan los documentos siguientes todos ellos conformados por el Aparejador o Arquitecto Técnico:

- a) Las facturas originales de los materiales adquiridos para los trabajos y el documento adecuado que justifique el depósito o el empleo de dichos materiales en la obra.
- b) Las nóminas de los jornales abonados, ajustadas a lo establecido en la legislación vigente, especificando el número de horas trabajadas en la obra por los operarios de cada oficio y su categoría, acompañando a dichas nóminas una relación numérica de los encargados, capataces, jefes de equipo, oficiales y ayudantes de cada oficio, peones especializados y sueltos, listeros, guardas, etc., que hayan trabajado en la obra durante el plazo de tiempo a que correspondan las nóminas que se presentan.
- c) Las facturas originales de los transportes de materiales puestos en la obra o de retirada de escombros.
- d) Los recibos de licencias, impuestos y demás cargas inherentes a la obra que haya pagado o en cuya gestión haya intervenido el Constructor, ya que su abono es siempre de cuenta del Propietario.

A la suma de todos los gastos inherentes a la propia obra en cuya gestión o pago haya intervenido el Constructor se le aplicará, a falta de convenio especial, un quince por ciento (15 por 100), entendiéndose que en este porcentaje



están incluidos los medios auxiliares y los Gastos Generales que al Constructor originen los trabajos por administración que realiza y el Beneficio Industrial del mismo.

Abono al constructor de las cuentas de administración delegada

Artículo 63.- Salvo pacto distinto, los abonos al Constructor de las cuentas de Administración delegada los realizará el Propietario mensualmente según los partes de trabajos realizados aprobados por el propietario o por su delegado representante.

Independientemente, el Aparejador o Arquitecto Técnico redactará, con igual periodicidad, la medición de la obra realizada, valorándola con arreglo al presupuesto aprobado. Estas valoraciones no tendrán efectos para los abonos al Constructor salvo que se hubiese pactado lo contrario contractualmente.

Normas para la adquisición de los materiales y aparatos

Artículo 64.- No obstante las facultades que en estos trabajos por Administración delegada se reserva el Propietario para la adquisición de los materiales y aparatos, si al Constructor se le autoriza para gestionarlos y adquirirlos, deberá presentar al Propietario, o en su representación al Arquitecto-Director, los precios y las muestras de los materiales y aparatos ofrecidos, necesitando su previa aprobación antes de adquirirlos.

Responsabilidad del constructor en el bajo rendimiento de los obreros

Artículo 65.- Si de los partes mensuales de obra ejecutada que preceptivamente debe presentar el Constructor al Arquitecto-Director, éste advirtiese que los rendimientos de la mano de obra, en todas o en algunas de las unidades de obra ejecutada, fuesen notoriamente inferiores a los rendimientos normales generalmente admitidos para unidades de obra iguales o similares, se lo notificará por escrito al Constructor, con el fin de que éste haga las gestiones precisas para aumentar la producción en la cuantía señalada por el Arquitecto-Director.

Si hecha esta notificación al Constructor, en los meses sucesivos, los rendimientos no llegasen a los normales, el Propietario queda facultado para resarcirse de la diferencia, rebajando su importe del quince por ciento (15 por 100) que por los conceptos antes expresados correspondería abonarle al Constructor en las liquidaciones quincenales que preceptivamente deben efectuársele. En caso de no llegar ambas partes a un acuerdo en cuanto a los rendimientos de la mano de obra, se someterá el caso a arbitraje.

Responsabilidades del constructor

Artículo 66.- En los trabajos de "Obras por Administración delegada", el Constructor sólo será responsable de los defectos constructivos que pudieran tener los trabajos o unidades por él ejecutadas y también de los accidentes o perjuicios que pudieran sobrevenir a los obreros o a terceras personas por no haber tomado las medidas precisas que en las disposiciones legales vigentes se

establecen. En cambio, y salvo lo expresado en el artículo 63 precedente, no será responsable del mal resultado que pudiesen dar los materiales y aparatos elegidos con arreglo a las normas establecidas en dicho artículo.

En virtud de lo anteriormente consignado, el Constructor está obligado a reparar por su cuenta los trabajos defectuosos y a responder también de los accidentes o perjuicios expresados en el párrafo anterior.



Epígrafe 5: De la valoración y abono de los trabajos

Formas varias de abono de las obras

Artículo 67.- Según la modalidad elegida para la contratación de las obras y salvo que en el Pliego Particular de Condiciones económica se preceptúe otra cosa, el abono de los trabajos se efectuará así:

1. Tipo fijo o tanto alzado total. Se abonará la cifra previamente fijada como base de la adjudicación, disminuida en su caso en el importe de la baja efectuada por el adjudicatario.
2. Tipo fijo o tanto alzado por unidad de obra, cuyo precio invariable se haya fijado de antemano, pudiendo variar solamente el número de unidades ejecutadas.

Prevía medición y aplicando al total de las diversas unidades de obra ejecutadas, del precio invariable estipulado de antemano para cada una de ellas, se abonará al Contratista el importe de las comprendidas en los trabajos ejecutados y ultimados con arreglo y sujeción a los documentos que constituyen el Proyecto, los que servirán de base para la medición y valoración de las diversas unidades.

3. Tanto variable por unidad de obra, según las condiciones en que se realice y los materiales diversos empleados en su ejecución de acuerdo con las órdenes del Arquitecto-Director.

Se abonará al Contratista en idénticas condiciones al caso anterior.

4. Por listas de jornales y recibos de materiales, autorizados en la forma que el presente "Pliego General de Condiciones económicas" determina.
5. Por horas de trabajo, ejecutado en las condiciones determinadas en el contrato.

Relaciones valoradas y certificaciones

Artículo 68.- En cada una de las épocas o fechas que se fijen en el contrato o en los "Pliegos de Condiciones Particulares" que rijan en la obra, formará el Contratista una relación valorada de las obras ejecutadas durante los plazos previstos, según la medición que habrá practicado el Aparejador.

Lo ejecutado por el Contratista en las condiciones preestablecidas, se valorará aplicando al resultado de la medición general, cúbica, superficial, lineal, ponderal o numeral correspondiente para cada unidad de obra, los precios señalados en el presupuesto para cada una de ellas,, teniendo presente además lo establecido en el presente "Pliego General de Condiciones económicas" respecto a mejoras o sustituciones de material y a las obras accesorias y especiales, etc.

Al Contratista, que podrá presenciar las mediciones necesarias para extender dicha relación, se le facilitarán por el Aparejador los datos correspondientes de la relación valorada, acompañándolos de una nota de envío, al objeto de que, dentro del plazo de diez (10) días a partir de la fecha del recibo de dicha nota, pueda el Contratista examinarlos y devolverlos firmados con su conformidad o hacer, en caso contrario, las observaciones o reclamaciones que considere oportunas. Dentro de los diez (10) días siguientes a su recibo, el Arquitecto-Director aceptará o rechazará las reclamaciones del Contratista si las hubiere, dando cuenta al mismo de su resolución, pudiendo éste, en el segundo caso, acudir ante el Propietario contra la resolución del Arquitecto-Director en la forma prevenida en los "Pliegos Generales de Condiciones Facultativas y Legales".



Tomando como base la relación valorada indicada en el párrafo anterior, expedirá el Arquitecto-Director la certificación de las obras ejecutadas.

De su importe se deducirá el tanto por ciento que para la constitución de la fianza se haya preestablecido.

El material acopiado a pie de obra por indicación expresa y por escrito del Propietario, podrá certificarse hasta el noventa por ciento (90 por 100) de su importe, a los precios que figuren en los documentos del Proyecto, sin afectarlos del tanto por ciento de contrata.

Las certificaciones se remitirán al Propietario, dentro del mes siguiente al período a que se refieren, y tendrán el carácter de documento y entregas a buena cuenta, sujetas a las rectificaciones y variaciones que se deriven de la liquidación final, no suponiendo tampoco dichas certificaciones aprobación ni recepción de las obras que comprenden.

Las relaciones valoradas contendrán solamente la obra ejecutada en el plazo a que la valoración se refiere. En el caso de que el Arquitecto-Director lo exigiera, las certificaciones se extenderán al origen.

Mejoras de obras libremente ejecutadas

Artículo 69.- Cuando el Contratista, incluso con autorización del Arquitecto-Director, emplease materiales de más esmerada preparación o de mayor tamaño que el señalado en el Proyecto o sustituyese una clase de fábrica con otra que tuviese asignado mayor precio, o ejecutase con mayores dimensiones cualquiera parte de la obra, o, en general, introdujese en ésta y sin pedírsela, cualquiera otra modificación que sea beneficiosa a juicio del Arquitecto-Director, no tendrá derecho, sin embargo, más que al abono de lo que pudiera corresponderle en el caso de que hubiese construido la obra con estricta sujeción a la proyectada y contratada o adjudicada.

Abono de trabajos presupuestados con partida alzada

Artículo 70.- Salvo lo preceptuado en el "Pliego de Condiciones Particulares de índole económica", vigente en la obra, el abono de los trabajos presupuestados en partida alzada, se efectuará de acuerdo con el procedimiento que corresponda entre los que a continuación se expresan:

- a) Si existen precios contratados para unidades de obras iguales, las presupuestadas mediante partida alzada, se abonarán previa medición y aplicación del precio establecido.
- b) Si existen precios contratados para unidades de obra similares, se establecerán precios contradictorios para las unidades con partida alzada, deducidos de los similares contratados.
- c) Si no existen precios contratados para unidades de obra iguales o similares, la partida alzada se abonará íntegramente al Contratista, salvo el caso de que en el Presupuesto de la obra se exprese que el importe de dicha partida debe justificarse, en cuyo caso, el Arquitecto-Director indicará al Contratista y con anterioridad a su ejecución, el procedimiento que de seguirse para llevar dicha cuenta, que en realidad será de Administración, valorándose los materiales y jornales a los precios que figuren en el Presupuesto aprobado o, en su defecto, a los que con anterioridad a la ejecución convengan las dos partes, incrementándose su importe total con el porcentaje que se fije en el Pliego de Condiciones Particulares en concepto de Gastos Generales y Beneficio Industrial del Contratista.



Abono de agotamientos y otros trabajos especiales no contratados

Artículo 71.- Cuando fuese preciso efectuar agotamientos, inyecciones u otra clase de trabajos de cualquiera índole especial u ordinaria, que por no estar contratados no sean de cuenta del Contratista, y si no se contratasen con tercera persona, tendrá el Contratista la obligación de realizarlos y de satisfacer los gastos de toda clase que ocasionen, los cuales le serán abonados por el Propietario por separado de la contrata.

Además de reintegrar mensualmente estos gastos al Contratista, se le abonará juntamente con ellos el tanto por ciento del importe total que, en su caso, se especifique en el Pliego de Condiciones Particulares.

Pagos

Artículo 72.- Los pagos se efectuarán por el Propietario en los plazos previamente establecidos, y su importe corresponderá precisamente al de las certificaciones de obra conformadas por el Arquitecto-Director, en virtud de las cuales se verifican aquéllos.

Abono de trabajos ejecutados durante el plazo de garantía

Artículo 73.- Efectuada la recepción provisional y si durante el plazo de garantía se hubieran ejecutado trabajos cualesquiera, para su abono se procederá así:

1. Si los trabajos que se realicen estuvieran especificados en el Proyecto, y sin causa justificada no se hubieran realizado por el Contratista a su debido tiempo, y el Arquitecto-Director exigiera su realización durante el plazo de garantía, serán valorados a los precios que figuren en el Presupuesto y abonados de acuerdo con lo establecido en los "Pliegos Particulares" o en su defecto en los Generales, en el caso de que dichos precios fuesen inferiores a los que rijan en la época de su realización; en caso contrario, se aplicarán estos últimos.
2. Si se han ejecutado trabajos precisos para la reparación de desperfectos ocasionados por el uso del edificio, por haber sido éste utilizado durante dicho plazo por el Propietario, se valorarán y abonarán a los precios del día, previamente acordados.
3. Si se han ejecutado trabajos para la reparación de desperfectos ocasionados por deficiencia de la construcción o de la calidad de los materiales, nada se abonará por ellos al Contratista.

Epígrafe 6: De las indemnizaciones mutuas

Importe de la indemnización por retraso no justificado en el plazo de terminación de las obras

Artículo 74.- La indemnización por retraso en la terminación se establecerá en un tanto por mil (0/000) del importe total de los trabajos contratados, por cada día natural de retraso, contados a partir del día de terminación fijado en el Calendario de obra.

Las sumas resultantes se descontarán y retendrán con cargo a la fianza.

Demora de los pagos

Artículo 75.- Si el propietario no efectuase el pago de las obras ejecutadas, dentro del mes siguiente al que corresponde el plazo convenido, el Contratista tendrá además el derecho de percibir el abono de un cuatro y medio



por ciento (4,5 por 100) anual, en concepto de intereses de demora, durante el espacio de tiempo del retraso y sobre el importe de la mencionada certificación.

Si aún transcurrieran dos meses a partir del término de dicho plazo de un mes sin realizarse dicho pago, tendrá derecho el Contratista a la resolución del contrato, procediéndose a la liquidación correspondiente de las obras ejecutadas y de los materiales acopiados, siempre que éstos reúnan las condiciones preestablecidas y que su cantidad no exceda de la necesaria para la terminación de la obra contratada o adjudicada.

No obstante lo anteriormente expuesto, se rechazará toda solicitud de resolución del contrato fundada en dicha demora de pagos, cuando el Contratista no justifique que en la fecha de dicha solicitud ha invertido en obra o en materiales acopiados admisibles la parte de presupuesto correspondiente al plazo de ejecución que tenga señalado en el contrato.

Epígrafe 7: Varios

Mejoras y aumentos de obra. Casos contrarios

Artículo 76.- No se admitirán mejoras de obra, más que en el caso en que el Arquitecto-Director haya ordenado por escrito la ejecución de trabajos nuevos o que mejoren la calidad de los contratados, así como la de los materiales y aparatos previstos en el contrato. Tampoco se admitirán aumentos de obra en las unidades contratadas, salvo caso de error en las mediciones del Proyecto, a menos que el Arquitecto-Director ordene, también por escrito, la ampliación de las contratadas.

En todos estos casos serán condición indispensable que ambas partes contratantes, antes de su ejecución o empleo, convengan por escrito los importes totales de las unidades mejoradas, los precios de los nuevos materiales o aparatos ordenados emplear y los aumentos que todas estas mejoras o aumentos de obra supongan sobre el importe de las unidades contratadas.

Se seguirán el mismo criterio y procedimiento, cuando el Arquitecto-Director introduzca innovaciones que supongan una reducción apreciable en los importes de las unidades de obra contratadas.

Unidades de obra defectuosas pero aceptables

Artículo 77.- Cuando por cualquier causa fuera menester valorar obra defectuosa, pero aceptable a juicio del Arquitecto-Director de las obras, éste determinará el precio o partida de abono después de oír al Contratista, el cual deberá conformarse con dicha resolución, salvo el caso en que, estando dentro del plazo de ejecución, prefiera demoler la obra y rehacerla con arreglo a condiciones, sin exceder de dicho plazo.

Seguro de las obras

Artículo 78.- El Contratista estará obligado a asegurar la obra contratada durante todo el tiempo que dure su ejecución hasta la recepción definitiva; la cuantía del seguro coincidirá en cada momento con el valor que tengan por contrata los objetos asegurados. El importe abonado por la Sociedad Aseguradora, en el caso de siniestro, se ingresará en cuenta a nombre del Propietario, para que con cargo a ella se abone la obra que se construya, y a medida que ésta se vaya realizando. El reintegro de dicha cantidad al Contratista se efectuará por certificaciones, como el resto de los trabajos de la construcción. En ningún caso, salvo conformidad expresa del Contratista, hecho en documento público, el Propietario podrá disponer de dicho importe para menesteres distintos del de reconstrucción de la parte siniestrada; la infracción de lo anteriormente expuesto será motivo suficiente para que el Contratista pueda resolver el contrato, con devolución de fianza, abono completo de gastos, materiales



acopiados, etc., y una indemnización equivalente al importe de los daños causados al Contratista por el siniestro y que no se le hubiesen abonado, pero sólo en proporción equivalente a lo que suponga la indemnización abonada por la Compañía Aseguradora, respecto al importe de los daños causados por el siniestro, que serán tasados a estos efectos por el Arquitecto-Director.

En las obras de reforma o reparación, se fijarán previamente la porción de edificio que debe ser asegurada y su cuantía, y si nada se prevé, se entenderá que el seguro ha de comprender toda la parte del edificio afectada por la obra.

Los riesgos asegurados y las condiciones que figuren en la póliza o pólizas de Seguros, los pondrá el Contratista, antes de contratarlos, en conocimiento del Propietario, al objeto de recabar de éste su previa conformidad o reparos.

Conservación de la obra

Artículo 79.- Si el Contratista, siendo su obligación, no atiende a la conservación de la obra durante el plazo de garantía, en el caso de que el edificio no haya sido ocupado por el Propietario antes de la recepción definitiva, el Arquitecto-Director, en representación del Propietario, podrá disponer todo lo que sea preciso para que se atienda a la guardería, limpieza y todo lo que fuese menester para su buena conservación, abonándose todo ello por cuenta de la contrata.

Al abandonar el Contratista el edificio, tanto por buena terminación de las obras, como en el caso de resolución del contrato, está obligado a dejarlo desocupado y limpio en el plazo que el Arquitecto-Director fije.

Después de la recepción provisional del edificio y en el caso de que la conservación del edificio corra a cargo del Contratista, no deberá haber en él más herramientas, útiles, materiales, muebles, etc., que los indispensables para su guardería y limpieza y para los trabajos que fuese preciso ejecutar.

En todo caso, ocupado o no el edificio, está obligado el Contratista a revisar y reparar la obra, durante el plazo expresado, procediendo en la forma prevista en el presente "Pliego de Condiciones Económicas".

Uso por el contratista de edificio o bienes del propietario

Artículo 80.- Cuando durante la ejecución de las obras ocupe el Contratista, con la necesaria y previa autorización del Propietario, edificios o haga uso de materiales o útiles pertenecientes al mismo, tendrá obligación de repararlos y conservarlos para hacer entrega de ellos a la terminación del contrato, en perfecto estado de conservación, reponiendo los que se hubiesen inutilizado, sin derecho a indemnización por esta reposición ni por las mejoras hechas en los edificios, propiedades o materiales que haya utilizado.

En el caso de que al terminar el contrato y hacer entrega del material, propiedades o edificaciones, no hubiese cumplido el Contratista con lo previsto en el párrafo anterior, lo realizará el Propietario a costa de aquél y con cargo a la fianza.



5.4. Control de Calidad

Se redacta el presente Plan de Control de Calidad como anejo del proyecto reseñado a continuación con el objeto de dar cumplimiento a lo establecido en el Decreto 375/88 de 1 de diciembre de Control de Calidad en la Edificación en la comunidad autónoma de Cataluña y en el RD 314/2006, de 17 de marzo por el que se aprueba el CTE modificado por RD 1371/2007.

| | |
|---------------------------------|--|
| Proyecto | Proyecto ejecutivo de reforma de la piscina del colegio Pàlcam |
| Situación | C/ Rosalía de Castro, 30-32 |
| Población | 08025 Barcelona (BARCELONA) |
| Promotor | Casoro S.L. |
| Arquitecto | - |
| Director de Obra | - |
| Director de la Ejecución | - |

El control de calidad de las obras incluye:

- A. El control de recepción de productos**
- B. El control de la ejecución**
- C. El control de la obra terminada**

Para ello:

- 1) **El director de la ejecución** de la obra recopilará la documentación del control realizado, verificando que es conforme con lo establecido en el proyecto, sus anejos y modificaciones.
- 2) **El constructor** recabará de los suministradores de productos y facilitará al director de obra y al director de la ejecución de la obra la documentación de los productos anteriormente señalada, así como sus instrucciones de uso y mantenimiento, y las garantías correspondientes cuando proceda; y
- 3) La documentación de calidad preparada por **el constructor** sobre cada una de las unidades de obra podrá servir, si así lo autorizara el director de la ejecución de la obra, como parte del control



de calidad de la obra.

A. CONTROL DE RECEPCIÓN DE LOS PRODUCTOS

El control de recepción tiene por objeto comprobar las características técnicas mínimas exigidas que deben reunir los productos, equipos y sistemas que se incorporen de forma permanente en el edificio proyectado, así como sus condiciones de suministro, las garantías de calidad y el control de recepción.

Durante la construcción de las obras el director de la ejecución de la obra realizará los siguientes controles:

1. Control de la documentación de los suministros

Los suministradores entregarán al constructor, quien los facilitará al director de la ejecución de la obra, los documentos de identificación del producto exigidos por la normativa de obligado cumplimiento y, en su caso, por el proyecto o por la dirección facultativa. Esta documentación comprenderá, al menos, los siguientes documentos:

- Los documentos de origen, hoja de suministro y etiquetado.
- El certificado de garantía del fabricante, firmado por persona física.
- Los documentos de conformidad o autorizaciones administrativas exigidas reglamentariamente, incluida la documentación correspondiente al marcado CE de los productos de construcción, cuando sea pertinente, de acuerdo con las disposiciones que sean transposición de las Directivas Europeas que afecten a los productos suministrados.
- En el caso de hormigones estructurales el control de documentación se realizará de acuerdo con el apartado. 79.3.1. de la EHE, facilitándose los documentos indicados antes, durante y después del suministro.

2. Control mediante distintivos de calidad o evaluaciones técnicas de idoneidad

El suministrador proporcionará la documentación precisa sobre:

- Los distintivos de calidad que ostenten los productos, equipos o sistemas suministrados, que aseguren las características técnicas de los mismos exigidas en el proyecto y documentará, en su caso, el reconocimiento oficial del distintivo de acuerdo con lo establecido en el artículo 5.2.3 del capítulo 2 del CTE.
- Las evaluaciones técnicas de idoneidad para el uso previsto de productos, equipos y sistemas innovadores, de acuerdo con lo establecido en el artículo 5.2.5 del capítulo 2 del CTE, y la constancia del mantenimiento de sus características técnicas.
- El procedimiento para hormigones estructurales es el indicado en el apartado 79.3.2. de la EHE.

El director de la ejecución de la obra verificará que esta documentación es suficiente para la



aceptación de los productos, equipos y sistemas amparados por ella.

3. Control mediante ensayos

Para verificar el cumplimiento de las exigencias básicas del CTE puede ser necesario, en determinados casos, realizar ensayos y pruebas sobre algunos productos, según lo establecido en la reglamentación vigente, o bien según lo especificado en el proyecto u ordenados por la dirección facultativa.

La realización de este control se efectuará de acuerdo con los criterios establecidos en el proyecto o indicados por la dirección facultativa sobre el muestreo del producto, los ensayos a realizar, los criterios de aceptación y rechazo y las acciones a adoptar.

Para el caso de hormigones estructurales el control mediante ensayos se realizará conforme con el apartado 79.3.3.

HORMIGON ESTRUCTURAL

El control se hará conforme lo establecido en el capítulo 16 de la Instrucción EHE.

En el caso de productos que no dispongan de marcado CE, la comprobación de su conformidad comprenderá:

- a) un control documental, según apartado 84.1
- b) en su caso, un control mediante distintivos de calidad o procedimientos que garanticen un nivel de garantía adicional equivalente, conforme con lo indicado en el artículo 81º, y
- c) en su caso, un control experimental, mediante la realización de ensayos.

Para los materiales componentes del hormigón se seguirán los criterios específicos de cada apartado del artículo 85º

La conformidad de un hormigón con lo establecido en el proyecto se comprobará durante su recepción en la obra, e incluirá su comportamiento en relación con la docilidad, la resistencia y la durabilidad, además de cualquier otra característica que, en su caso, establezca el pliego de prescripciones técnicas particulares.

El control de recepción se aplicará tanto al hormigón preparado, como al fabricado en central de obra e incluirá una serie de comprobaciones de carácter documental y experimental, según lo indicado en el artículo 86 de la EHE.

El control de la conformidad de un hormigón se realizará con los criterios del art. 86, tanto en los controles previos al suministro (86.4) durante el suministro (86.5) y después del suministro.



CONTROL PREVIO AL SUMINISTRO

Se realizarán las comprobaciones documentales, de las instalaciones y experimentales indicadas en los apartados del art. 86.4 no siendo necesarios los ensayos previos, ni los característicos de resistencia, en el caso de un hormigón preparado para el que se tengan documentadas experiencias anteriores de su empleo en otras obras, siempre que sean fabricados con materiales componentes de la misma naturaleza y origen, y se utilicen las mismas instalaciones y procesos de fabricación.

Además, la Dirección Facultativa podrá eximir también de la realización de los ensayos característicos de dosificación a los que se refiere el Anejo nº 22 cuando se dé alguna de las siguientes circunstancias:

- a) el hormigón que se va a suministrar está en posesión de un distintivo de calidad oficialmente reconocido.
- b) se disponga de un certificado de dosificación, de acuerdo con lo indicado en el Anejo nº 22, con una antigüedad máxima de seis meses.

CONTROL DURANTE EL SUMINISTRO

Se realizarán los controles de documentación, de conformidad de la docilidad y de resistencia del apartado 86.5.2

Modalidades de control de la conformidad de la resistencia del hormigón durante el suministro:

a) Modalidad 1: Control estadístico (art. 86.5.4.). Esta modalidad de control es la de aplicación general a todas las obras de hormigón estructural.

Para el control de su resistencia, el hormigón de la obra se dividirá en lotes de acuerdo con lo indicado en la siguiente tabla, salvo excepción justificada bajo la responsabilidad de la Dirección Facultativa.

El número de lotes no será inferior a tres. Correspondiendo en dicho caso, si es posible, cada lote a elementos incluidos en cada columna.

| HORMIGONES SIN DISTINTIVO DE CALIDAD OFICIALMENTE RECONOCIDO | | | |
|--|------------------------------|-----------------------|--------------------|
| Límite superior | Tipo de elemento estructural | | |
| | Elementos comprimidos | Elementos flexionados | Macizos |
| Volumen hormigón | 100 m ³ | 100 m ³ | 100 m ³ |



| | | | |
|--|--------------------|----------------------|----------|
| Tiempo hormigonado | 2 semanas | 2 semanas | 1 semana |
| Superficie construida | 500 m ² | 1.000 m ² | - |
| Nº de plantas | 2 | 2 | - |
| Nº de LOTES según la condición más estricta | 2 | 50 | - |

| HORMIGONES CON DISTINTIVO DE CALIDAD OFICIALMENTE RECONOCIDO CON NIVEL DE GARANTÍA SEGÚN APARTADO 5.1 DEL ANEJO 19 DE LA EHE | | | |
|--|------------------------------|-----------------------|--------------------|
| Límite superior | Tipo de elemento estructural | | |
| | Elementos comprimidos | Elementos flexionados | Macizos |
| Volumen hormigón | 500 m ³ | 500 m ³ | 500 m ³ |
| Tiempo hormigonado | 10 semanas | 10 semanas | 5 semanas |
| Superficie construida | 2.500 m ² | 5.000 m ² | - |
| Nº de plantas | 10 | 10 | - |
| Nº de LOTES según la condición más estricta | 2 | 10 | - |

| HORMIGONES CON DISTINTIVO DE CALIDAD OFICIALMENTE RECONOCIDO CON NIVEL DE GARANTÍA SEGÚN APARTADO 6 DEL ANEJO 19 DE LA EHE | | | |
|--|------------------------------|-----------------------|--------------------|
| Límite superior | Tipo de elemento estructural | | |
| | Elementos comprimidos | Elementos flexionados | Macizos |
| Volumen hormigón | 200 m ³ | 200 m ³ | 200 m ³ |
| Tiempo hormigonado | 4 semanas | 4 semanas | 2 semanas |
| Superficie construida | 1.000 m ² | 2.000 m ² | - |
| Nº de plantas | 4 | 4 | - |
| Nº de LOTES según la condición más estricta | 2 | 25 | - |

En ningún caso, un lote podrá estar formado por amasadas suministradas a la obra durante un período de tiempo superior a seis semanas.

Los criterios de aceptación de la resistencia del hormigón para esta modalidad de control, se definen en el apartado 86.5.4.3 según cada caso.

b) Modalidad 2: Control al 100 por 100 (art. 86.5.5.) Esta modalidad de control es de aplicación a cualquier estructura, siempre que se adopte antes del inicio del suministro del hormigón.

La comprobación se realiza calculando el valor de $f_{c,real}$ (resistencia característica real) que corresponde al cuantil 5 por 100 en la distribución de la resistencia a compresión del hormigón



suministrado en todas las amasadas sometidas a control.

El criterio de aceptación es el siguiente: $f_{c,real} \geq f_{ck}$

c) Modalidad 3: Control indirecto de la resistencia del hormigón (art. 86.5.6.) En el caso de elementos de hormigón estructural, esta modalidad de control sólo podrá aplicarse para hormigones en posesión de un distintivo de calidad oficialmente reconocido, que se empleen en uno de los siguientes casos:

- elementos de edificios de viviendas de una o dos plantas, con luces inferiores a 6,00 metros, o
- elementos de edificios de viviendas de hasta cuatro plantas, que trabajen a flexión, con luces inferiores a 6,00 metros.

Además, será necesario que se cumplan las dos condiciones siguientes:

- i) que el ambiente en el que está ubicado el elemento sea I ó II según lo indicado en el apartado 8.2,
- ii) que en el proyecto se haya adoptado una resistencia de cálculo a compresión f_{cd} no superior a 10 N/mm².

Se aceptará el hormigón suministrado si se cumplen simultáneamente las siguientes condiciones:

- a) Los resultados de consistencia cumplen lo indicado
- b) Se mantiene, en su caso, la vigencia del distintivo de calidad para el hormigón empleado durante la totalidad del período de suministro de la obra.
- c) Se mantiene, en su caso, la vigencia del reconocimiento oficial del distintivo de calidad.

CERTIFICADO DEL HORMIGÓN SUMINISTRADO

Al finalizar el suministro de un hormigón a la obra, el Constructor facilitará a la Dirección Facultativa un certificado de los hormigones suministrados, con indicación de los tipos y cantidades de los mismos, elaborado por el Fabricante y firmado por persona física con representación suficiente, cuyo contenido será conforme a lo establecido en el Anejo nº 21 de la Instrucción EHE.

ACERO PARA ARMAR

La conformidad del acero cuando éste disponga de marcado CE, se comprobará mediante la verificación documental de que los valores declarados en los documentos que acompañan al citado marcado CE permiten deducir el cumplimiento de las especificaciones contempladas en el proyecto y en el artículo 32º de la EHE para armaduras pasivas y artículo 34º para armaduras activas.



Mientras no esté vigente el marcado CE para los aceros corrugados destinados a la elaboración de armaduras para hormigón armado, deberán ser conformes con lo expuesto en la EHE.

CONTROL DE ARMADURAS PASIVAS

Se realizará según lo dispuesto en los art. 87 y 88 de la EHE respectivamente

En el caso de armaduras elaboradas en la propia obra, la Dirección Facultativa comprobará la conformidad de los productos de acero empleados, de acuerdo con lo establecido en el art. 87.

El Constructor archivará un certificado firmado por persona física y preparado por el Suministrador de las armaduras, que trasladará a la Dirección Facultativa al final de la obra, en el que se exprese la conformidad con esta Instrucción de la totalidad de las armaduras suministradas, con expresión de las cantidades reales correspondientes a cada tipo, así como su trazabilidad hasta los fabricantes, de acuerdo con la información disponible en la documentación que establece la UNE EN 10080.

En el caso de que un mismo suministrador efectuara varias remesas durante varios meses, se deberá presentar certificados mensuales el mismo mes, se podrá aceptar un único certificado que incluya la totalidad de las partidas suministradas durante el mes de referencia.

Asimismo, cuando entre en vigor el marcado CE para los productos de acero, el Suministrador de la armadura facilitará al Constructor copia del certificado de conformidad incluida en la documentación que acompaña al citado marcado CE.

En el caso de instalaciones en obra, el Constructor elaborará y entregará a la Dirección Facultativa un certificado equivalente al indicado para las instalaciones ajenas a la obra.

CONTROL DEL ACERO PARA ARMADURAS ACTIVAS

Cuando el acero para armaduras activas disponga de marcado CE, su conformidad se comprobará mediante la verificación documental de que los valores declarados en los documentos que acompañan al citado marcado CE permiten deducir el cumplimiento de las especificaciones contempladas en el proyecto y en el artículo 34º de esta Instrucción.

Mientras el acero para armaduras activas, no disponga de marcado CE, se comprobará su conformidad de acuerdo con los criterios indicados en el art. 89 de la EHE.

ENSAYOS DE LABORATORIO

Los aceros certificados, que dispongan de un distintivo oficialmente reconocido o un certificado CC-EHE y bajo la autorización expresa de la dirección de la obra, se podrá dejar de ensayar el acero en las condiciones que establece el apartado 2 del anexo al Decret 375/88.



Se aplica el anexo 2 del Decret 375/88 de la Generalitat de Catalunya. Al aplicar el coeficiente de mayoración del acero de 1.15 y por exigir sello cietsid-aenor, no se realizarán ensayos.

ELEMENTOS Y SISTEMAS DE PRETENSADO Y DE LOS ELEMENTOS PREFABRICADOS

El control se realizará según lo dispuesto en el art. 90 y 91 respectivamente.

ESTRUCTURAS DE ACERO

Control de los Materiales

En el caso venir con certificado expedido por el fabricante se controlará que se corresponde de forma inequívoca cada elemento de la estructura con el certificado de origen que lo avala.

Para las características que no queden avaladas por el certificado de origen se establecerá un control mediante ensayos realizados por un laboratorio independiente.

En los casos que alguno de los materiales, por su carácter singular, carezcan de normativa nacional específica se podrán utilizar otras normativas o justificaciones con el visto bueno de la dirección facultativa.

Control de la Fabricación

El control se realizará mediante el control de calidad de la documentación de taller y el control de la calidad de la fabricación con las especificaciones indicadas en el apartado 12.4 del DB SE-A

Documentales

Se controlará la correspondencia entre el pedido y el suministro mediante la comprobación del albarán.

Se controlará la garantía del fabricante para cada clase de acero.

Se exigirá marcado CE en todos los productos suministrados.

Se exigirá la acreditación de la capacitación profesional de los operarios que realicen los trabajos de soldeo en obra. (CTE DB SE-A Art. 10.3.2.2).



Se exigirá la cualificación del procedimiento de soldeo en taller. (CTE DB SE-A Art. 10.3.2.1).

Operativos

Se comprobará la existencia de la marca de identificación, según lo que indica el artículo Art. 10.3.2.1 del CTE DB SE-A

Se comprobará que los productos suministrados se ajustan a las tolerancias de fabricación establecidas en el art. 11.1 del CTE DB SE-A.

Se comprobará que los productos ejecutados se ajustan a las tolerancias de ejecución establecidas en el art. 11.2 del CTE DB SE-A.

Se realizará el control de las soldaduras según CTE DB SE-A Art. 10.8.4.

ESTRUCTURAS DE FÁBRICA

En el caso de que las piezas no tuvieran un valor de resistencia a compresión en la dirección del esfuerzo, se tomarán muestras según UNE EN771 y se ensayarán según EN 772-1:2002, aplicando el esfuerzo en la dirección correspondiente. El valor medio obtenido se multiplicará por el valor δ de la tabla 8.1 del DB SE-F, no superior a 1,00 y se comprobará que el resultado obtenido es mayor o igual que el valor de la resistencia normalizada especificada en el proyecto.

En cualquier caso, o cuando se haya especificado directamente la resistencia de la fábrica, podrá acudirse a determinar directamente esa variable a través de la EN 1052-1.

ESTRUCTURAS DE MADERA

No existen estructuras de madera en este proyecto.

MATERIALES UTILIZADOS COMO AISLANTE TÉRMICO

CONTROLES EN EL MOMENTO DE LA RECEPCIÓN (CTE DB HE-1 cap. 4)

Documentales:



Se controlará la correspondencia entre el pedido, el suministro y lo especificado en el proyecto, mediante la comprobación del albarán.

Se comprobará que en la documentación técnica del producto se especifican las dimensiones y tolerancias.

Se verificará que el fabricante garantice las características requeridas en el pedido mediante la comprobación del etiquetado.

Se comprobará la existencia del Sello o Marca de calidad, que juntamente con la garantía del fabricante del cumplimiento de las características requeridas, permitirá realizar la recepción del material sin necesidad de hacer comprobaciones o ensayos.

Se exigirá marcado CE para estos productos.

Operativos:

Se comprobará el estado aparente y colocación del producto.

Se realizará la toma de muestras necesaria para posibles comprobaciones posteriores.

ENSAYOS DE LABORATORIO

En caso de duda razonable, la Dirección Facultativa se reserva el derecho de hacer los ensayos necesarios.

DIVISIÓN DE LOTES DE INSPECCIÓN

| |
|--|
| IDENTIFICACIÓN DE LOTES |
| LOTE 1: PAREDES DE CERRAMIENTO (LANA MINERAL) |
| LOTE 2: CUBIERTAS (POLIESTIRENO EXTRUIDO - XPS) |

POLIURETANOS PRODUCIDOS IN SITU

No existe aislamiento de poliuretano en este proyecto.



MATERIALES UTILIZADOS COMO IMPERMEABILIZACIÓN

CONTROLES EN EL MOMENTO DE LA RECEPCIÓN (CTE DB HS-1 cap. 4)

Documentales:

Se controlará la correspondencia entre el pedido, el suministro y lo especificado en el proyecto, mediante la comprobación del albarán.

Se comprobará que en la documentación técnica del producto se especifican las dimensiones y tolerancias.

Se verificará que el fabricante garantice las características requeridas en el pedido mediante la comprobación del etiquetado.

Se comprobará la existencia del Sello o Marca de calidad, que juntamente con la garantía del fabricante del cumplimiento de las características requeridas, permitirá realizar la recepción del material sin necesidad de hacer comprobaciones o ensayos.

Se exigirá marcado CE para estos productos.

Operativos:

Se comprobará el estado aparente y colocación del producto.

Se realizará la toma de muestras necesaria para posibles comprobaciones posteriores.

En cubiertas planas, se realizarán pruebas de estanqueidad según NBE-QB-90 art. 5.2.

ENSAYOS DE LABORATORIO

En caso de duda razonable, la Dirección Facultativa se reserva el derecho de hacer los ensayos necesarios.

DIVISIÓN DE LOTES DE INSPECCIÓN

| |
|--------------------------------|
| IDENTIFICACIÓN DE LOTES |
| LOTE 1: PAREDES DE CERRAMIENTO |
| LOTE 2: CUBIERTA |



El resto de controles se realizarán según las exigencias de la normativa vigente de aplicación de la que se incorpora un listado por materiales y elementos constructivos.

CONTROL EN LA FASE DE RECEPCIÓN DE MATERIALES Y ELEMENTOS CONSTRUCTIVOS

1. CEMENTOS

Instrucción para la recepción de cementos (RC-08)

Aprobada por el Real Decreto 956/2008, de 6 de junio, por el que se aprueba la instrucción para la recepción de cementos.

- Artículos 6. Control de Recepción
- Artículo 7. Almacenamiento
- Anejo 4. Condiciones de suministro relacionadas con la recepción
- Anejo 5. Recepción mediante la realización de ensayos
- Anejo 6. Ensayos aplicables en la recepción de los cementos
- Anejo 7. Garantías asociadas al marcado CE y a la certificación de conformidad con los requisitos reglamentarios.

Cementos comunes

Obligatoriedad del marcado CE para este material (UNE-EN 197-1), aprobada por Resolución de 1 de Febrero de 2005 (BOE 19/02/2005).

Cementos especiales

Obligatoriedad del marcado CE para los cementos especiales con muy bajo calor de hidratación (UNE-EN 14216) y cementos de alto horno de baja resistencia inicial (UNE- EN 197- 4), aprobadas por Resolución de 1 de Febrero de 2005 (BOE 19/02/2005).

Cementos de albañilería

Obligatoriedad del marcado CE para los cementos de albañilería (UNE- EN 413-1, aprobada por Resolución de 1 de Febrero de 2005 (BOE 19/02/2005).

2. HORMIGÓN ARMADO Y PRETENSADO

Instrucción de Hormigón Estructural (EHE)

Aprobada por Real Decreto 1429/2008 de 21 de agosto. (BOE 22/08/08)

- Capítulo XVI. Control de la conformidad de los productos

3. ESTRUCTURAS METÁLICAS



Código Técnico de la Edificación, Documento Básico DB SE-A-Seguridad Estructural-Acero

Aprobado por Real Decreto 314/2006, de 17 de marzo. (BOE 28/3/2006). Epígrafe 12. Control de calidad

- Epígrafe 12.3 Control de calidad de los materiales
- Epígrafe 12.4 Control de calidad de la fabricación

4. ESTRUCTURAS DE MADERA**Código Técnico de la Edificación, Documento Básico DB SE-M-Seguridad Estructural-Madera**

Aprobado por Real Decreto 314/2006, de 17 de marzo. (BOE 28/3/2006). Epígrafe 13. Control

- Epígrafe 13.1 Suministro y recepción de los productos

5. ESTRUCTURAS DE FÁBRICA**Código Técnico de la Edificación, Documento Básico DB SE-F-Seguridad Estructural-Fábrica**

Aprobado por Real Decreto 314/2006, de 17 de marzo. (BOE 28/3/2006). Epígrafe 8. Control de la ejecución

- Epígrafe 8.1 Recepción de materiales

6. RED DE SANEAMIENTO**Código Técnico de la Edificación, Documento Básico DB HE Ahorro de Energía**

Aprobado por Real Decreto 314/2006, de 17 de marzo. (BOE 28/3/2006)

Epígrafe 6. Productos de construcción

Geotextiles y productos relacionados. Requisitos para uso en sistemas de drenaje

Obligatoriedad del marcado CE para estos productos (UNE-EN 13252), aprobada por Orden de 29 de noviembre de 2001 (BOE 07/12/2001).

Plantas elevadoras de aguas residuales para edificios e instalaciones. (Kits y válvulas de retención para instalaciones que contienen materias fecales y no fecales.

Obligatoriedad del marcado CE para estos productos (UNE-EN 12050), aprobada por Orden de 29 de noviembre de 2001 (BOE 07/12/2001).

Tuberías de fibrocemento para drenaje y saneamiento. Pasos de hombre y cámaras de inspección

Obligatoriedad del marcado CE para estos productos (UNE-EN 588-2), aprobada por Resolución de 3 de octubre de 2003 (BOE 31/10/2002).



Juntas elastoméricas de tuberías empleadas en canalizaciones de agua y drenaje (de caucho vulcanizado, de elastómeros termoplásticos, de materiales celulares de caucho vulcanizado y de poliuretano vulcanizado).

Obligatoriedad del marcado CE para estos productos (UNE-EN 681-1, 2, 3 y 4) aprobada por Resolución de 16 de enero de 2003 (BOE 06/02/2003).

Canales de drenaje para zonas de circulación para vehículos y peatones Obligatoriedad del marcado CE para estos productos (UNE-EN 1433), aprobada por Resolución de 12 de junio de 2003 (BOE 11/07/2003).

Pates para pozos de registro enterrados

Obligatoriedad del marcado CE para estos productos (UNE-EN 13101), aprobada por Resolución de 10 de octubre de 2003 (BOE 31/10/2003).

Válvulas de admisión de aire para sistemas de drenaje

Obligatoriedad del marcado CE para estos productos (UNE-EN 12380), aprobada por Resolución de 10 de octubre de 2003. (BOE 31/10/2003)

Tubos y piezas complementarias de hormigón en masa, hormigón armado y hormigón con fibra de acero

Obligatoriedad del marcado CE para estos productos (UNE-EN 1916), aprobada por Resolución de 14 de abril de 2003 (BOE 28/04/2003).

Pozos de registro y cámaras de inspección de hormigón en masa, hormigón armado y hormigón con fibras de acero.

Obligatoriedad del marcado CE para estos productos (UNE-EN 1917), aprobada por Resolución de 14 de abril de 2003 (BOE 28/04/2003).

Pequeñas instalaciones de depuración de aguas residuales para poblaciones de hasta 50 habitantes equivalentes. Fosas sépticas.

Obligatoriedad del marcado CE para estos productos (UNE-EN 12566-1), aprobada por Resolución de 1 de febrero de 2005 (BOE 19/02/2005).

Escaleras fijas para pozos de registro.

Obligatoriedad del marcado CE para estos productos (UNE-EN 14396), aprobada por Resolución de 1 de febrero de 2005 (BOE 19/02/2005).

7. CIMENTACIÓN Y ESTRUCTURAS

Sistemas y Kits de encofrado perdido no portante de bloques huecos, paneles de materiales



aislantes o a veces de hormigón

Obligatoriedad del marcado CE para estos productos (Guía DITE Nº 009), aprobada por Resolución de 26 de noviembre de 2002 (BOE 19/12/2002).

Geotextiles y productos relacionados. Requisitos para uso en movimientos de tierras, cimentaciones y estructuras de construcción

Obligatoriedad del marcado CE para estos productos (UNE-EN 13251), aprobada por Orden de 29 de noviembre de 2001 (BOE 07/12/2001).

Anclajes metálicos para hormigón

Obligatoriedad del marcado CE para estos productos, aprobadas por Resolución de 26 de noviembre de 2002 (BOE 19/12/2002) y Resolución de 1 de febrero de 2005 (BOE 19/02/2005).

- Anclajes metálicos para hormigón. Guía DITE Nº 001-1 ,2, 3 y 4.
- Anclajes metálicos para hormigón. Anclajes químicos. Guía DITE Nº 001-5.

Apoyos estructurales

Obligatoriedad del marcado CE para estos productos, aprobada por Resolución de 1 de febrero de 2005 (BOE 19/02/2005).

- Apoyos de PTFE cilíndricos y esféricos. UNE-EN 1337-7.
- Apoyos de rodillo. UNE-EN 1337- 4.
- Apoyos oscilantes. UNE-EN 1337-6.

Aditivos para hormigones y pastas

Obligatoriedad del marcado CE para los productos relacionados, aprobada por Resolución de 6 de mayo de 2002 y Resolución de 9 de noviembre de 2005 (BOE 30/05/2002 y 01/12/2005).

- Aditivos para hormigones y pastas. UNE-EN 934-2
- Aditivos para hormigones y pastas. Aditivos para pastas para cables de pretensado. UNE-EN 934-4

Ligantes de soleras continuas de magnesita. Magnesita cáustica y de cloruro de magnesio

Obligatoriedad del marcado CE para estos productos (UNE-EN 14016-1), aprobada por Resolución de 1 de febrero de 2005 (BOE 19/02/2005).

Áridos para hormigones, morteros y lechadas

Obligatoriedad del marcado CE para los productos relacionados, aprobada por Resolución de 14 de enero de 2004 (BOE 11/02/2004).

- Áridos para hormigón. UNE-EN 12620.
- Áridos ligeros para hormigones, morteros y lechadas. UNE-EN 13055-1.
- Áridos para morteros. UNE-EN 13139.

Vigas y pilares compuestos a base de madera

Obligatoriedad del marcado CE para estos productos, de acuerdo con la Guía DITE nº 013; aprobada por Resolución de 26 de noviembre de 2002 (BOE 19/12/2002).

Kits de postensado compuesto a base de madera

Obligatoriedad del marcado CE para estos productos (UNE EN 523), aprobada por Resolución de 26 de noviembre de 2002 (BOE 19/12/2002).

Vainas de fleje de acero para tendones de pretensado

Obligatoriedad del marcado CE para estos productos, de acuerdo con la Guía DITE nº 011; aprobada por Resolución de 26 de noviembre de 2002 (BOE 19/12/2002).

8. ALBAÑILERÍA

Cales para la construcción

Obligatoriedad del marcado CE para estos productos (UNE-EN 459-1), aprobada por Resolución de 3 de octubre de 2003 (BOE 31/10/2002).

Paneles de yeso

Obligatoriedad del marcado CE para los productos relacionados, aprobada por Resolución de 6 de mayo de 2002 (BOE 30/05/2002) y Resolución de 9 de Noviembre de 2005 (BOE 01712/2005).

- Paneles de yeso. UNE-EN 12859.
- Adhesivos a base de yeso para paneles de yeso. UNE-EN 12860.

Chimeneas

Obligatoriedad del marcado CE para estos productos (UNE-EN 13502), aprobada por Resolución de 14 de abril de 2003 (BOE 28/04/2003), Resolución de 28 de junio de 2004 (BOE 16/07/2004) y Resolución de 1 de febrero de 2005 (BOE 19/02/2005).

- Terminales de los conductos de humos arcillosos / cerámicos. UNE-EN 13502.
- Conductos de humos de arcilla cocida. UNE -EN 1457.
- Componentes. Elementos de pared exterior de hormigón. UNE- EN 12446
- Componentes. Paredes interiores de hormigón. UNE- EN 1857
- Componentes. Conductos de humo de bloques de hormigón. UNE-EN 1858
- Requisitos para chimeneas metálicas. UNE-EN 1856-1

Kits de tabiquería interior (sin capacidad portante)

Obligatoriedad del marcado CE para estos productos, de acuerdo con la Guía DITE nº 003; aprobada por Resolución de 26 de noviembre de 2002 (BOE 19/12/2002).

Especificaciones de elementos auxiliares para fábricas de albañilería

Obligatoriedad del marcado CE para estos productos aprobada por Resolución de 28 de junio de



2004 (BOE 16/07/2004).

- Tirantes, flejes de tensión, abrazaderas y escuadras. UNE-EN 845-1.
- Dinteles. UNE-EN 845-2.
- Refuerzo de junta horizontal de malla de acero. UNE- EN 845-3.

Especificaciones para morteros de albañilería

Obligatoriedad del marcado CE para estos productos aprobada por Resolución de 28 de junio de 2004 (BOE 16/07/2004).

- Morteros para revoco y enlucido. UNE-EN 998-1.
- Morteros para albañilería. UNE-EN 998-2.

9. AISLAMIENTOS TÉRMICOS

Código Técnico de la Edificación, Documento Básico DB HE Ahorro de Energía

Aprobado por Real Decreto 314/2006, de 17 de marzo. (BOE 28/3/2006)

- 4 Productos de construcción
- Apéndice C Normas de referencia. Normas de producto.

Productos aislantes térmicos para aplicaciones en la edificación

Obligatoriedad del marcado CE para los productos relacionados, aprobada por Resolución de 12 de junio de 2003 (BOE 11/07/2003) y modificación por Resolución de 1 de febrero de 2005 (BOE19/02/2005).

- Productos manufacturados de lana mineral (MW). UNE-EN 13162
- Productos manufacturados de poliestireno expandido (EPS). UNE-EN 13163
- Productos manufacturados de poliestireno extruido (XPS). UNE-EN 13164
- Productos manufacturados de espuma rígida de poliuretano (PUR). UNE-EN 13165
- Productos manufacturados de espuma fenólica (PF). UNE-EN 13166
- Productos manufacturados de vidrio celular (CG). UNE-EN 13167
- Productos manufacturados de lana de madera (WW). UNE-EN 13168
- Productos manufacturados de perlita expandida (EPB). UNE-EN 13169
- Productos manufacturados de corcho expandido (ICB). UNE-EN 13170
- Productos manufacturados de fibra de madera (WF). UNE-EN 13171

Sistemas y kits compuestos para el aislamiento térmico exterior con revoco

Obligatoriedad del marcado CE para estos productos, de acuerdo con la Guía DITE nº 004; aprobada por Resolución de 26 de noviembre de 2002 (BOE 19/12/2002).

Anclajes de plástico para fijación de sistemas y kits compuestos para el aislamiento térmico exterior con revoco



Obligatoriedad del marcado CE para estos productos, de acuerdo con la Guía DITE nº 01; aprobada por Resolución de 26 de noviembre de 2002 (BOE 19/12/2002).

10. AISLAMIENTO ACÚSTICO

Norma Básica de la Edificación (NBE CA-88) «Condiciones acústicas de los edificios» (cumplimiento alternativo al DB HR hasta 23/10/08)

Aprobada por Orden Ministerial de 29 de septiembre de 1988. (BOE 08/10/1988)

- Artículo 21. Control de la recepción de materiales
- Anexo 4. Condiciones de los materiales
 - 4.1. Características básicas exigibles a los materiales
 - 4.2. Características básicas exigibles a los materiales específicamente acondicionantes acústicos
 - 4.3. Características básicas exigibles a las soluciones constructivas
 - 4.4. Presentación, medidas y tolerancias
 - 4.5. Garantía de las características
 - 4.6. Control, recepción y ensayos de los materiales
 - 4.7. Laboratorios de ensayo

Código Técnico de la Edificación, Documento Básico DB HR. Protección frente al ruido. (obligado cumplimiento a partir 24/10/08)

Aprobado por Real Decreto 1371/2007, de 19 de octubre. (BOE 23/10/07)

- 4.1. Características exigibles a los productos
- 4.3. Control de recepción en obra de productos

11. IMPERMEABILIZACIONES

Código Técnico de la Edificación, Documento Básico DB HS1-Salubridad. Protección frente a la humedad.

Aprobado por Real Decreto 314/2006, de 17 de marzo. (BOE 28/3/2006)

- Epígrafe 4. Productos de construcción

Sistemas de impermeabilización de cubiertas aplicados en forma líquida

Obligatoriedad del marcado CE para estos productos, de acuerdo con la Guía DITE nº 005; aprobada por Resolución de 26 de noviembre de 2002 (BOE 19/12/2002).

Sistemas de impermeabilización de cubiertas con membranas flexibles fijadas mecánicamente

Obligatoriedad del marcado CE para estos productos, de acuerdo con la Guía DITE nº 006; aprobada por Resolución de 26 de noviembre de 2002 (BOE 19/12/2002).

12. REVESTIMIENTOS



Materiales de piedra natural para uso como pavimento

Obligatoriedad del marcado CE para los productos relacionados, aprobada por Resolución de 3 de octubre de 2003 (BOE 31/10/2002).

- Baldosas. UNE-EN 1341
- Adoquines. UNE-EN 1342
- Bordillos. UNE-EN 1343

Adoquines de arcilla cocida

Obligatoriedad del marcado CE para estos productos (UNE-EN 1344) aprobada por Resolución de 14 de abril de 2003 (BOE 28/04/2003).

Adhesivos para baldosas cerámicas

Obligatoriedad del marcado CE para estos productos (UNE-EN 12004) aprobada por Resolución de 16 de enero (BOE 06/02/2003).

Adoquines de hormigón

Obligatoriedad del marcado CE para estos productos (UNE-EN 1338) aprobada por Resolución de 14 de enero de 2004 (BOE 11/02/2004).

Baldosas prefabricadas de hormigón

Obligatoriedad del marcado CE para estos productos (UNE-EN 1339) aprobada por Resolución de 14 de enero de 2004 (BOE 11/02/2004).

Materiales para soleras continuas y soleras. Pastas autonivelantes

Obligatoriedad del marcado CE para estos productos (UNE-EN 13813) aprobada por Resolución de 14 de abril de 2003 (BOE 28/04/2003)

Techos suspendidos

Obligatoriedad del marcado CE para estos productos (UNE-EN 13964) aprobada por Resolución de 1 de febrero de 2004 (BOE 19/02/2004).

Baldosas cerámicas

Obligatoriedad del marcado CE para estos productos (UNE-EN 14411) aprobada por Resolución de 1 de febrero de 2004 (BOE 19/02/2004).

13. CARPINTERÍA, CERRAJERÍA Y VIDRIERÍA**Dispositivos para salidas de emergencia**

Obligatoriedad del marcado CE para los productos relacionados, aprobada por Resolución de 6 de



mayo de 2002 (BOE 30/05/2002).

- Dispositivos de emergencia accionados por una manilla o un pulsador para salidas de socorro. UNE-EN 179
- Dispositivos antipánico para salidas de emergencias activados por una barra horizontal. UNE-EN 1125

Herrajes para la edificación

Obligatoriedad del marcado CE para los productos relacionados, aprobada por Resolución de 14 de abril de 2003 (BOE 28/04/2003), Resolución de 3 de octubre de 2003 (BOE 31/10/2002) y ampliado en Resolución de 1 de febrero de 2005 (BOE 19/02/2005).

- Dispositivos de cierre controlado de puertas. UNE-EN 1154.
- Dispositivos de retención electromagnética para puertas batientes. UNE-EN 1155.
- Dispositivos de coordinación de puertas. UNE-EN 1158.
- Bisagras de un solo eje. UNE-EN 1935.
- Cerraduras y pestillos. UNE -EN 12209.

Tableros derivados de la madera para su utilización en la construcción

Obligatoriedad del marcado CE para estos productos (UNE-EN 13986) aprobada por Resolución de 14 de abril de 2003 (BOE 28/04/2003).

Sistemas de acristalamiento sellante estructural

Obligatoriedad del marcado CE para los productos relacionados, aprobada por Resolución de 26 de noviembre de 2002 (BOE 19/12/2002).

- Vidrio. Guía DITE nº 002-1
- Aluminio. Guía DITE nº 002-2
- Perfiles con rotura de puente térmico. Guía DITE nº 002-3

Puertas industriales, comerciales, de garaje y portones

Obligatoriedad del marcado CE para estos productos (UNE-EN 13241-1) aprobada por Resolución de 28 de junio de 2004 (BOE 16/07/2004).

Toldos

Obligatoriedad del marcado CE para estos productos (UNE-EN 13561) aprobada por Resolución de 1 de febrero de 2005 (BOE 19/02/2005).

Fachadas ligeras

Obligatoriedad del marcado CE para estos productos (UNE-EN 13830) aprobada por Resolución de 1 de febrero de 2005 (BOE 19/02/2005).

14. PREFABRICADOS



Productos prefabricados de hormigón. Elementos para vallas

Obligatoriedad del marcado CE para estos productos aprobada por Resolución de 6 de mayo de 2002 (BOE 30/05/2002) y ampliadas por Resolución de 1 de febrero de 2005 (BOE 19/02/2005)

- Elementos para vallas. UNE-EN 12839.
- Mástiles y postes. UNE-EN 12843.

Componentes prefabricados de hormigón armado de áridos ligeros de estructura abierta

Obligatoriedad del marcado CE para estos productos (UNE-EN 1520), aprobada por Resolución de 28 de junio de 2004 (BOE 16/07/2004).

Kits de construcción de edificios prefabricados de estructura de madera

Obligatoriedad del marcado CE para estos productos, de acuerdo con la Guía DITE nº 007; aprobada por Resolución de 26 de noviembre de 2002 (BOE 19/12/2002).

Escaleras prefabricadas (kits)

Obligatoriedad del marcado CE para estos productos, de acuerdo con la Guía DITE nº 008; aprobada por Resolución de 26 de noviembre de 2002 (BOE 19/12/2002).

Kits de construcción de edificios prefabricados de estructura de troncos

Obligatoriedad del marcado CE para estos productos, de acuerdo con la Guía DITE nº 012; aprobada por Resolución de 26 de noviembre de 2002 (BOE 19/12/2002).

Bordillos prefabricados de hormigón

Obligatoriedad del marcado CE para estos productos (UNE-EN 1340), aprobada por Resolución de 28 de junio de 2004 (BOE 16/07/2004)

15. INSTALACIONES**▪ INSTALACIONES DE FONTANERÍA Y APARATOS SANITARIOS****Código Técnico de la Edificación, Documento Básico DB HS 4 Suministro de agua**

Aprobado por Real Decreto 314/2006, de 17 de marzo. (BOE 28/3/2006)

- Epígrafe 5. Productos de construcción

Juntas elastoméricas de tuberías empleadas en canalizaciones de agua y drenaje (de caucho vulcanizado, de elastómeros termoplásticos, de materiales celulares de caucho vulcanizado y de poliuretano vulcanizado)

Obligatoriedad del marcado CE para estos productos (UNE-EN 681-1, 2, 3 y 4), aprobada por Resolución de 16 de enero de 2003 (BOE 06/02/2003).



Dispositivos anti-inundación en edificios

Obligatoriedad del marcado CE para estos productos (UNE-EN 13564), aprobada por Resolución de 14 de abril de 2003 (BOE 28/04/2003).

Fregaderos de cocina

Obligatoriedad del marcado CE para estos productos (UNE-EN 13310), aprobada por Resolución de 9 de noviembre de 2005 (BOE 01/12/2005).

Inodoros y conjuntos de inodoros con sifón incorporado

Obligatoriedad del marcado CE para estos productos (UNE-EN 997), aprobada por Resolución de 1 de febrero de 2005 (BOE 19/02/2005).

▪ INSTALACIONES ELÉCTRICAS**Columnas y báculos de alumbrado**

Obligatoriedad del marcado CE para estos productos aprobada por Resolución de 10 de octubre de 2003 (BOE 31/10/2003) y ampliada por resolución de 1 de 28 de junio de 2004 (BOE 16/07/2004)

- Acero. UNE-EN 40- 5.
- Aluminio. UNE-EN 40-6
- Mezcla de polímeros compuestos reforzados con fibra. UNE-EN 40-7

▪ INSTALACIONES DE GAS**Juntas elastoméricas empleadas en tubos y accesorios para transporte de gases y fluidos hidrocarbonados**

Obligatoriedad del marcado CE para estos productos (UNE-EN 682) aprobada por Resolución de 3 de octubre de 2002 (BOE 31/10/2002)

Sistemas de detección de fuga

Obligatoriedad del marcado CE para estos productos (UNE-EN 682) aprobada por Resolución de 28 de junio de 2004 (BOE 16/07/2004)

▪ INSTALACIONES DE CALEFACCIÓN, CLIMATIZACIÓN Y VENTILACIÓN**Sistemas de control de humos y calor**

Obligatoriedad del marcado CE para estos productos aprobada por Resolución de 28 de junio de 2004 (BOE 16/07/2004)

- Aireadores naturales de extracción de humos y calor. UNE-EN12101- 2.
- Aireadores extractores de humos y calor. UNE-ENE-12101-3.



Paneles radiantes montados en el techo alimentados con agua a una temperatura inferior a 120°C

Obligatoriedad del marcado CE para estos productos (UNE-EN 14037-1) aprobada por Resolución de 28 de junio de 2004 (BOE 16/07/2004).

Radiadores y convectores

Obligatoriedad del marcado CE para estos productos (UNE-EN 442-1) aprobada por Resolución de 1 de febrero de 2005 (BOE 19/02/2005)

▪ INSTALACIONES DE PROTECCIÓN CONTRA INCENDIOS**Instalaciones fijas de extinción de incendios. Sistemas equipados con mangueras.**

Obligatoriedad del marcado CE para los productos relacionados, aprobada por Resolución de 3 de octubre de 2002 (BOE 31/10/2002).

- Bocas de incendio equipadas con mangueras semirrígidas. UNE-EN 671-1
- Bocas de incendio equipadas con mangueras planas. UNE-EN 671-2

Sistemas fijos de extinción de incendios. Componentes para sistemas de extinción mediante agentes gaseosos

Obligatoriedad del marcado CE para los productos relacionados, aprobada por Resolución de 3 de octubre de 2002 (BOE 31/10/2002), ampliada por Resolución de 28 de Junio de 2004 (BOE 16/07/2004) y modificada por Resolución de 9 de Noviembre de 2005 (BOE 01/12/2005).

- Válvulas direccionales de alta y baja presión y sus actuadores para sistemas de CO₂. UNE-EN 12094-5.
- Dispositivos no eléctricos de aborto para sistemas de CO₂. UNE-EN 12094-6
- Difusores para sistemas de CO₂. UNE-EN 12094-7
- Válvulas de retención y válvulas antirretorno. UNE-EN 12094-13
- Requisitos y métodos de ensayo para los dispositivos manuales de disparo y paro. UNE-EN-12094-3.
- Requisitos y métodos de ensayo para detectores especiales de incendios. UNE-EN-12094-9.
- Requisitos y métodos de ensayo para dispositivos de pesaje. UNE-EN-12094-11.
- Requisitos y métodos de ensayo para dispositivos neumáticos de alarma. UNE-EN-12094-12

Sistemas de extinción de incendios. Sistemas de extinción por polvo

Obligatoriedad del marcado CE para estos productos (UNE-EN 12416-1 y 2) aprobada por Resolución de 3 de octubre de 2002 (BOE 31/10/2002) y modificada por Resolución de 9 de Noviembre de 2005 (BOE 01/12/2005).

Sistemas fijos de lucha contra incendios. Sistemas de rociadores y agua pulverizada.

Obligatoriedad del marcado CE para estos productos aprobada por Resolución de 3 de octubre de 2002 (BOE 31/10/2002), ampliadas y modificadas por Resoluciones del 14 de abril de 2003(BOE 28/04/2003), 28 de junio de junio de 2004(BOE 16/07/2004) y 19 de febrero de 2005(BOE 19/02/2005).

- Rociadores automáticos. UNE-EN 12259-1
- Conjuntos de válvula de alarma de tubería mojada y cámaras de retardo. UNEEN 12259-2
- Conjuntos de válvula de alarma de tubería seca. UNE-EN 12259-3
- Alarmas hidroneumáticas. UNE-EN-12259-4
- Componentes para sistemas de rociadores y agua pulverizada. Detectores de flujo de agua. UNE-EN-12259-5

Sistemas de detección y alarma de incendios.

Obligatoriedad del marcado CE para estos productos aprobada por Resolución de 14 de abril de 2003 (BOE 28/04/2003), ampliada por Resolución del 10 de octubre de 2003 (BOE 31/10/2003).

- Dispositivos de alarma de incendios-dispositivos acústicos. UNE-EN 54-3.
- Equipos de suministro de alimentación. UNE-EN 54-4.
- Detectores de calor. Detectores puntuales. UNE-EN 54-5.
- Detectores de humo. Detectores puntuales que funcionan según el principio de luz difusa, luz transmitida o por ionización. UNE-EN-54-7.
- Detectores de humo. Detectores lineales que utilizan un haz óptico de luz. UNE-EN-54-12.

Reglamento de instalaciones de protección contra incendios (RIPCI-93)

Aprobado por Real Decreto 1942/1993, de 5 de noviembre. (BOE 14/12/1993)

Fase de recepción de equipos y materiales

- Artículo 2
- Artículo 3
- Artículo 9

▪ COMPORTAMIENTO ANTE EL FUEGO DE ELEMENTOS CONSTRUCTIVOS Y MATERIALES DE CONSTRUCCIÓN

Código Técnico de la Edificación, Documento Básico DB SI Seguridad en Caso de Incendio

Aprobado por Real Decreto 314/2006, de 17 de marzo. (BOE 28/3/2006)

- Justificación del comportamiento ante el fuego de elementos constructivos y los materiales (ver REAL DECRETO 312/2005, de 18 de marzo, por el que se aprueba la clasificación de los productos de construcción y de los elementos constructivos en función de sus propiedades de reacción y de resistencia frente al fuego).



REAL DECRETO 312/2005, de 18 de marzo, por el que se aprueba la clasificación de los productos de construcción y de los elementos constructivos en función de sus propiedades de reacción y de resistencia frente al fuego.

▪ **INSTALACIONES TÉRMICAS**

Reglamento de instalaciones térmicas en los edificios (RITE) (Hasta el 28 de febrero de 2008)

Aprobado por Real Decreto 1751/1998, de 31 de julio (BOE 05/08/1998), y modificado por Real Decreto 1218/2002, de 22 de noviembre. (BOE 03/12/2004)

Fase de recepción de equipos y materiales

- ITE 04 - EQUIPOS Y MATERIALES
 - ITE 04.1 GENERALIDADES
 - ITE 04.2 TUBERÍAS Y ACCESORIOS
 - ITE 04.3 VÁLVULAS
 - ITE 04.4 CONDUCTOS Y ACCESORIOS
 - ITE 04.5 CHIMENEAS Y CONDUCTOS DE HUMOS
 - ITE 04.6 MATERIALES AISLANTES TÉRMICOS
 - ITE 04.7 UNIDADES DE TRATAMIENTO Y UNIDADES TERMINALES
 - ITE 04.8 FILTROS PARA AIRE
 - ITE 04.9 CALDERAS
 - ITE 04.10 QUEMADORES
 - ITE 04.11 EQUIPOS DE PRODUCCIÓN DE FRÍO
 - ITE 04.12 APARATOS DE REGULACIÓN Y CONTROL
 - ITE 04.13 EMISORES DE CALOR

Reglamento de instalaciones térmicas en los edificios (RITE)

(A partir del 1 de marzo de 2008)

REAL DECRETO 1027/2007, de 20 de julio, por el que se aprueba el Reglamento de Instalaciones Térmicas en los Edificios.

▪ **INSTALACIONES DE ELECTRICIDAD**

Reglamento Electrotécnico de Baja Tensión (REBT)

Aprobado por Real Decreto 842/2002, de 2 de agosto. (BOE 18/09/2002)

- Artículo 6. Equipos y materiales
- ITC-BT-06. Materiales. Redes aéreas para distribución en baja tensión
- ITC-BT-07. Cables. Redes subterráneas para distribución en baja tensión

▪ **INSTALACIONES DE GAS**



Reglamento de instalaciones de gas en locales destinados a usos domésticos, colectivos o comerciales (RIG)

Aprobado por Real Decreto 1853/1993, de 22 de octubre. (BOE 24/11/1993)

- Artículo 4. Normas.

▪ INSTALACIONES DE INFRAESTRUCTURAS DE TELECOMUNICACIÓN**Reglamento regulador de las infraestructuras comunes de telecomunicaciones para el acceso a los servicios de telecomunicación en el interior de los edificios y de la actividad de instalación de equipos y sistemas de telecomunicaciones (RICT).**

Aprobado por Real Decreto 401/2003, de 4 de abril. (BOE 14/05/2003)

Fase de recepción de equipos y materiales

- Artículo 10. Equipos y materiales utilizados para configurar las instalaciones

▪ INSTALACIÓN DE APARATOS ELEVADORES**Disposiciones de aplicación de la Directiva del Parlamento Europeo y del Consejo 95/16/CE, sobre ascensores**

Aprobadas por Real Decreto 1314/1997 de 1 de agosto. (BOE 30/09/1997)

Fase de recepción de equipos y materiales

- Artículo 6. marcado «CE» y declaración «CE» de conformidad



B. CONTROL DE EJECUCIÓN

Durante la construcción, el director de la ejecución de la obra controlará la ejecución de cada unidad de obra verificando su replanteo, los materiales que se utilicen, la correcta ejecución y disposición de los elementos constructivos y de las instalaciones, así como las verificaciones y demás controles a realizar para comprobar su conformidad con lo indicado en el proyecto, la legislación aplicable, las normas de buena práctica constructiva y las instrucciones de la dirección facultativa. En la recepción de la obra ejecutada pueden tenerse en cuenta las certificaciones de conformidad que ostenten los agentes que intervienen, así como las verificaciones que, en su caso, realicen las entidades de control de calidad de la edificación.

Se comprobará que se han adoptado las medidas necesarias para asegurar la compatibilidad entre los diferentes productos, elementos y sistemas constructivos.

En el control de ejecución de la obra se adoptarán los métodos y procedimientos que se contemplen en las evaluaciones técnicas de idoneidad para el uso previsto de productos, equipos y sistemas innovadores, previstas en el artículo 5.2.5.

HORMIGONES ESTRUCTURALES: El control de la ejecución tiene por objeto comprobar que los procesos realizados durante la construcción de la estructura, se organizan y desarrollan de forma que la Dirección Facultativa pueda asumir su conformidad respecto al proyecto y de acuerdo con la EHE.

Antes de iniciar la ejecución de la estructura, la Dirección Facultativa, deberá aprobar el Programa de control que contendrá la programación del control de la ejecución e identificará, entre otros aspectos, los niveles de control, los lotes de ejecución, las unidades de inspección y las frecuencias de comprobación.

Se contemplan dos niveles de control:

- a) Control de ejecución a nivel normal
- b) Control de ejecución a nivel intenso, que sólo será aplicable cuando el Constructor esté en posesión de un sistema de la calidad certificado conforme a la UNE-EN ISO 9001.

El Programa de control aprobado por la Dirección Facultativa contemplará una división de la obra en lotes de ejecución conformes con los siguientes criterios:

- a) se corresponderán con partes sucesivas en el proceso de ejecución de la obra,
- b) no se mezclarán elementos de tipología estructural distinta, que pertenezcan a columnas diferentes en la tabla siguiente
- c) el tamaño del lote no será superior al indicado, en función del tipo de elementos

| | |
|---------------------------------|--|
| Elementos de cimentación | <ul style="list-style-type: none"> – Zapatas, pilotes y encepados correspondientes a 250 m² de superficie – 50 m de pantallas |
|---------------------------------|--|



| | |
|-------------------------------|--|
| Elementos horizontales | <ul style="list-style-type: none"> – Vigas y Forjados correspondientes a 250 m² de planta |
| Otros elementos | <ul style="list-style-type: none"> – Vigas y pilares correspondientes a 500 m² de superficie, sin rebasar las dos plantas – Muros de contención correspondientes a 50 ml, sin superar ocho puestas – Pilares “in situ” correspondientes a 250 m² de forjado |

Para cada proceso o actividad, se definirán las unidades de inspección correspondientes cuya dimensión o tamaño será conforme al indicado en la Tabla 92.5 de la EHE

Para cada proceso o actividad incluida en un lote, el Constructor desarrollará su autocontrol y la Dirección Facultativa procederá a su control externo, mediante la realización de de un número de inspecciones que varía en función del nivel de control definido en el Programa de control y de acuerdo con lo indicado en la tabla 92.6. de la EHE

El resto de controles, si procede se realizará de acuerdo al siguiente articulado de la EHE:

- Control de los procesos de ejecución previos a la colocación de la armadura (art.94),
- Control del proceso de montaje de las armaduras pasivas (art.95),
- Control de las operaciones de pretensado (art.96),
- Control de los procesos de hormigonado (art. 97),
- Control de procesos posteriores al hormigonado (art.98),
- Control del montaje y uniones de elementos prefabricados (art.99),

Los diferentes controles se realizarán según las exigencias de la normativa vigente de aplicación de la que se incorpora un listado por elementos constructivos.

CONTROL EN LA FASE DE EJECUCIÓN DE ELEMENTOS CONSTRUCTIVOS

1. HORMIGÓN ARMADO

Instrucción de Hormigón Estructural (EHE)

Aprobada por Real Decreto 1429/2008 de 21 de agosto. (BOE 22/08/08)

- Capítulo XVII. Control de la ejecución

2. ESTRUCTURAS METÁLICAS



Código Técnico de la Edificación, Documento Básico DB SE-A-Seguridad Estructural-Acero

Aprobado por Real Decreto 314/2006, de 17 de marzo. (BOE 28/3/2006). Epígrafe 12. Control de calidad

Fase de ejecución de elementos constructivos

- Epígrafe 12.5 Control de calidad del montaje

3. ESTRUCTURAS DE FÁBRICA**Código Técnico de la Edificación, Documento Básico DB SE-F-Seguridad Estructural-Fábrica**

Aprobado por Real Decreto 314/2006, de 17 de marzo. (BOE 28/3/2006). Epígrafe 8. Control de la ejecución

Fase de ejecución de elementos constructivos

- Epígrafe 8.2 Control de la fábrica
- Epígrafe 8.3 Morteros y hormigones de relleno
- Epígrafe 8.4 Armaduras
- Epígrafe 8.5 Protección de fábricas en ejecución

4. IMPERMEABILIZACIONES**Código Técnico de la Edificación, Documento Básico DB HS1-Salubridad. Protección frente a la humedad.**

Aprobado por Real Decreto 314/2006, de 17 de marzo. (BOE 28/3/2006)

Fase de ejecución de elementos constructivos

- Epígrafe 5 Construcción

5. AISLAMIENTO TÉRMICO**Código Técnico de la Edificación, Documento Básico DB HE Ahorro de Energía**

Aprobado por Real Decreto 314/2006, de 17 de marzo. (BOE 28/3/2006)

Fase de ejecución de elementos constructivos

- 5 Construcción
- Apéndice C Normas de referencia. Normas de ensayo.

6. AISLAMIENTO ACÚSTICO

Norma Básica de la Edificación (NBE CA-88) «Condiciones acústicas de los edificios»



(cumplimiento alternativo al DB HR hasta 23/10/08)

Aprobada por Orden Ministerial de 29 de septiembre de 1988. (BOE 08/10/1988)

Fase de ejecución de elementos constructivos

- Artículo 22. Control de la ejecución

Código Técnico de la Edificación, Documento Básico DB HR. Protección frente al ruido. (obligado cumplimiento a partir 24/10/08)

Aprobado por Real Decreto 1371/2007, de 19 de octubre. (BOE 23/10/07)

- 5.2. Control de la ejecución

7. INSTALACIONES**▪ INSTALACIONES DE PROTECCIÓN CONTRA INCENDIOS****Reglamento de instalaciones de protección contra incendios (RIPCI-93)**

Aprobado por Real Decreto 1942/1993, de 5 de noviembre. (BOE 14/12/1993)

Fase de ejecución de las instalaciones

- Artículo 10

▪ INSTALACIONES TÉRMICAS**Reglamento de instalaciones térmicas en los edificios (RITE) (Hasta el 28 de febrero de 2008)**

Aprobado por Real Decreto 1751/1998, de 31 de julio (BOE 05/08/1998), y modificado por Real Decreto 1218/2002, de 22 de noviembre. (BOE 03/12/2004)

Fase de ejecución de las instalaciones

- Artículo 7. Proyecto, ejecución y recepción de las instalaciones
- ITE 05 - MONTAJE
 - ITE 05.1 GENERALIDADES
 - ITE 05.2 TUBERÍAS, ACCESORIOS Y VÁLVULAS
 - ITE 05.3 CONDUCTOS Y ACCESORIOS

Reglamento de instalaciones térmicas en los edificios (RITE) (A partir del 1 de marzo de 2008)

- REAL DECRETO 1027/2007, de 20 de julio, por el que se aprueba el Reglamento de Instalaciones Térmicas en los Edificios.

▪ INSTALACIONES DE GAS

En esta obra no se ejecutará dicha instalación.

▪ **INSTALACIONES DE FONTANERÍA**

Código Técnico de la Edificación, Documento Básico DB HS 4 Suministro de agua

Aprobado por Real Decreto 314/2006, de 17 de marzo. (BOE 28/3/2006)

Fase de recepción de las instalaciones

- Epígrafe 6. Construcción

▪ **RED DE SANEAMIENTO**

Código Técnico de la Edificación, Documento Básico DB HE Ahorro de Energía

Aprobado por Real Decreto 314/2006, de 17 de marzo. (BOE 28/3/2006)

Fase de recepción de materiales de construcción

Epígrafe 5. Construcción

▪ **INSTALACIONES DE INFRAESTRUCTURAS DE TELECOMUNICACIÓN**

En esta obra no se ejecutará dicha instalación

▪ **INSTALACIÓN DE APARATOS ELEVADORES**

En esta obra no se ejecutará dicha instalación



C. CONTROL DE LA OBRA TERMINADA

Con el fin de comprobar las prestaciones finales del edificio en la obra terminada deben realizarse las verificaciones y pruebas de servicio establecidas en el proyecto o por la dirección facultativa y las previstas en el CTE y resto de la legislación aplicable que se enumera a continuación:

ELEMENTOS CONSTRUCTIVOS

1. HORMIGÓN ARMADO

Instrucción de Hormigón Estructural (EHE)

Aprobada por Real Decreto 1429/2008 de 21 de agosto. (BOE 22/08/08)

- Artículo 100. Control del elemento construido
- Artículo 101. Controles de la estructura mediante ensayos de información complementaria
- Artículo 102 Control de aspectos medioambientales

2. AISLAMIENTO ACÚSTICO

Código Técnico de la Edificación, Documento Básico DB HR. Protección frente al ruido. (Obligado cumplimiento a partir 24/10/08)

Aprobado por Real Decreto 1371/2007, de 19 de octubre. (BOE 23/10/07)

- 5.3. Control de la obra terminada

3. IMPERMEABILIZACIONES

Código Técnico de la Edificación, Documento Básico DB HS1-Salubridad. Protección frente a la humedad.

Aprobado por Real Decreto 314/2006, de 17 de marzo. (BOE 28/3/2006)

- Epígrafe 5.3 Control de la obra terminada

4. INSTALACIONES

▪ INSTALACIONES DE PROTECCIÓN CONTRA INCENDIOS

Reglamento de instalaciones de protección contra incendios (RIPCI-93)

Aprobado por Real Decreto 1942/1993, de 5 de noviembre. (BOE 14/12/1993)

- Artículo 18

▪ INSTALACIONES TÉRMICAS



Reglamento de instalaciones térmicas en los edificios (RITE) (Hasta el 28 de febrero de 2008)

Aprobado por Real Decreto 1751/1998, de 31 de julio (BOE 05/08/1998), y modificado por Real Decreto 1218/2002, de 22 de noviembre. (BOE 03/12/2004)

- Artículo 7. Proyecto, ejecución y recepción de las instalaciones
- ITE 06 - PRUEBAS, PUESTA EN MARCHA Y RECEPCIÓN
 - ITE 06.1 GENERALIDADES
 - ITE 06.2 LIMPIEZA INTERIOR DE REDES DE DISTRIBUCIÓN
 - ITE 06.3 COMPROBACIÓN DE LA EJECUCIÓN
 - ITE 06.4 PRUEBAS
 - ITE 06.5 PUESTA EN MARCHA Y RECEPCIÓN
 - APÉNDICE 06.1 Modelo del certificado de la instalación

Reglamento de instalaciones térmicas en los edificios (RITE) (A partir del 1 de marzo de 2008)

- REAL DECRETO 1027/2007, de 20 de julio, por el que se aprueba el Reglamento de Instalaciones Térmicas en los Edificios.

▪ INSTALACIONES DE ELECTRICIDAD**Reglamento Electrotécnico de Baja Tensión (REBT)**

Aprobado por Real Decreto 842/2002, de 2 de agosto. (BOE 18/09/2002)

Fase de recepción de las instalaciones

- Artículo 18. Ejecución y puesta en servicio de las instalaciones
- ITC-BT-04. Documentación y puesta en servicio de las instalaciones
- ITC-BT-05. Verificaciones e inspecciones
- Procedimiento para la tramitación, puesta en servicio e inspección de las instalaciones eléctricas no industriales conectadas a una alimentación en baja tensión en la Comunidad de Madrid, aprobado por (Orden 9344/2003, de 1 de octubre. (BOCM 18/10/2003)

▪ INSTALACIONES DE GAS

En esta obra no se ejecutará dicha instalación

▪ INSTALACIÓN DE APARATOS ELEVADORES

En esta obra no se ejecutará dicha instalación



5.5. Estudio básico de seguridad y salud

Datos de la obra.

| | |
|--|---|
| Tipo de obra: | PROYECTO EJECUTIVO DE REFORMA DE LA PISCINA DEL COLEGIO PÀLCAM |
| Emplazamiento: | C/ Rosalía de Castro, 30-32 – 08025 BARCELONA |
| Superficie intervención: | 256,24 m² |
| Promotor: | Casoro, S.L. |
| Técnico/s autor/es del proyecto de ejecución: | - Arquitecto Técnico - |
| Técnico/s autor/es del Estudio Básico de Seguridad y Salud | - Arquitecto Técnico - |

Datos técnicos de la obra

| | |
|---|---------------------------------|
| Zona de intervención: | Planta sótano |
| Superficie total | 256,24 m² |
| Presupuesto de ejecución material | 428.869,95 € |
| Plazo de ejecución estimado | 23 días laborables |
| Número máximo de trabajadores previstos | Menos de 20 trabajadores |

Cumplimiento del R.D. 1627/97 de 24 de octubre sobre disposiciones mínimas de seguridad y salud en las obras de construcción

El presente Estudio Básico de Seguridad y Salud establece, durante la ejecución de esta obra, las previsiones respecto a la prevención de riesgos de accidentes y enfermedades profesionales, así como información útil para



efectuar en su día, en las debidas condiciones de seguridad y salud, los previsibles trabajos posteriores de mantenimiento.

Servirá para proporcionar unas directrices básicas a la empresa constructora para llevar a cabo sus obligaciones en el terreno de la prevención de riesgos profesionales, facilitando su desarrollo, conforme al Real Decreto 1627/1997 de 24 de octubre, por el que se establecen disposiciones mínimas de seguridad y salud en las obras de construcción.

En base al artículo 7º, y en aplicación de este Estudio Básico de Seguridad y Salud, el contratista deberá elaborar un Plan de Seguridad y Salud en el Trabajo en el que se analicen, estudien, desarrollen y complementen las previsiones contenidas en el presente documento.

El Plan de Seguridad y Salud deberá ser aprobado antes del inicio de la obra por el Coordinador de Seguridad y Salud durante la ejecución de la obra o, cuando no exista Coordinador, por la Dirección Facultativa. En el caso de obras de las Administraciones Públicas deberá someterse a la aprobación de dicha Administración.

Se recuerda la obligatoriedad de que en cada centro de trabajo exista un Libro de Incidencias para el seguimiento del Plan. Cualquier anotación que se realice en el Libro de Incidencias deberá ponerse en conocimiento de la Inspección de Trabajo y Seguridad Social en el plazo de 24 horas.

Así mismo se recuerda que, según el artículo 15º del Real Decreto, los contratistas y subcontratistas deberán garantizar que los trabajadores reciban la información adecuada de todas las medidas de seguridad y salud en la obra.

Antes del inicio de los trabajos el promotor deberá efectuar un aviso a la autoridad laboral competente, según modelo incluido en el anexo III del Real Decreto.

La comunicación de apertura del centro de trabajo a la autoridad laboral competente deberá ir acompañada del Plan de Seguridad y Salud.

El Coordinador de Seguridad y Salud durante la ejecución de la obra o cualquier integrante de la Dirección Facultativa, caso de apreciar un riesgo grave inminente para la seguridad de los trabajadores, podrá detener la obra parcial o totalmente, comunicándolo a la Inspección de Trabajo y Seguridad Social, al contratista, al subcontratista y a los representantes de los trabajadores.

Las responsabilidades de los coordinadores, de la Dirección Facultativa y del promotor no eximirán de sus responsabilidades a los contratistas y subcontratistas (artículo 11º).

Principios generales aplicables durante la ejecución de la obra.

El artículo 10 del R.D. 1627/1997 establece que se aplicarán los **principios de acción preventiva** contenidos en el artículo 15º de la Ley de Prevención de Riesgos Laborales (Ley 31/1995, de 8 de noviembre) durante la ejecución de la obra y, en particular, en las siguientes actividades:

- El mantenimiento de la obra en buen estado de orden y limpieza.
- La elección del emplazamiento de los puestos y áreas de trabajo, teniendo en cuenta sus condiciones de acceso y la determinación de las vías o zonas de desplazamiento o circulación.
- La manipulación de los distintos materiales y la utilización de los medios auxiliares.



- El mantenimiento, el control previo a la puesta en servicio y el control periódico de las instalaciones y dispositivos necesarios para la ejecución de la obra, con objeto de corregir los defectos que pudieran afectar a la seguridad y salud de los trabajadores.
- La delimitación y el acondicionamiento de las zonas de almacenamiento y depósito de los distintos materiales, en particular si se trata de materias o sustancias peligrosas.
- La recogida de los materiales peligrosos utilizados.
- El almacenamiento y la eliminación o evacuación de residuos y escombros.
- La adaptación, en función de la evolución de la obra, del período de tiempo efectivo que habrá de dedicarse a los distintos trabajos o fases de trabajo.
- La cooperación entre los contratistas, subcontratistas y trabajadores autónomos.
- Las interacciones e incompatibilidades con cualquier otro tipo de trabajo o actividad que se realice en la obra o cerca del lugar de la obra.

Los **principios de acción preventiva** establecidos en el artículo 15º de la Ley 31/95 son los siguientes:

El empresario aplicará las medidas que integran el deber general de prevención, con arreglo a los siguientes principios generales:

- Evitar los riesgos.
- Evaluar los riesgos que no se puedan evitar
- Combatir los riesgos en su origen
- Adaptar el trabajo a la persona, en particular en lo que respecta a la concepción de los puestos de trabajo, así como a la elección de los equipos y los métodos de trabajo y de producción, con miras, en particular, a atenuar el trabajo monótono y repetitivo y a reducir los efectos del mismo en la salud
- Tener en cuenta la evolución de la técnica
- Sustituir lo peligroso por lo que entrañe poco o ningún peligro
- Planificar la prevención, buscando un conjunto coherente que integre en ella la técnica, la organización del trabajo y las condiciones de trabajo, las relaciones sociales y la influencia de los factores ambientales en el trabajo
- Adoptar medidas que antepongan la protección colectiva a la individual
- Dar las debidas instrucciones a los trabajadores.

El empresario tomará en consideración las capacidades profesionales de los trabajadores en materia de seguridad y de salud en el momento de encomendarles las tareas.

El empresario adoptará las medidas necesarias a fin de garantizar que sólo los trabajadores que hayan recibido información suficiente y adecuada puedan acceder a las zonas de riesgo grave y específico.

La efectividad de las medidas preventivas deberá prever las distracciones o imprudencias no temerarias que pudiera cometer el trabajador. Para su adopción se tendrán en cuenta los riesgos adicionales que pudieran implicar determinadas medidas preventivas, las cuales sólo podrán adoptarse cuando la magnitud de dichos riesgos sea sustancialmente inferior a la de los que se pretende controlar y no existan alternativas más seguras.



Podrán concertar operaciones de seguro que tengan como fin garantizar como ámbito de cobertura la previsión de riesgos derivados del trabajo, la empresa respecto de sus trabajadores, los trabajadores autónomos respecto a ellos mismos y las sociedades cooperativas respecto a los socios, cuya actividad consista en la prestación de su trabajo personal.

Identificación de los riesgos.

Sin perjuicio de las disposiciones mínimas de Seguridad y Salud aplicables a la obra establecidas en el anexo IV del Real Decreto 1627/1997 de 24 de octubre, se enumeran a continuación los riesgos particulares de distintos trabajos de obra, considerando que algunos de ellos pueden darse durante todo el proceso de ejecución de la obra o bien ser aplicables a otros trabajos.

Deberá prestarse especial atención a los riesgos más usuales en las obras, como por ejemplo caídas, cortes, quemaduras, erosiones y golpes, debiéndose adoptar en cada momento la postura más idónea según el trabajo que se realice.

Además, habrá que tener en cuenta las posibles repercusiones en las estructuras de edificación vecinas y procurar minimizar en todo momento el riesgo de incendio.

Así mismo, los riesgos relacionados deberán tenerse en cuenta en los previsibles trabajos posteriores (reparación, mantenimiento...).

Medios y maquinaria

- Atropellos, choques con otros vehículos, cogidas
- Interferencias con instalaciones de suministro público (agua, luz, gas...)
- Desplome y/o caída de maquinaria de obra (silos, grúas...)
- Riesgos derivados del funcionamiento de grúas
- Caída de la carga transportada
- Generación excesiva de polvo o emanación de gases tóxicos
- Caídas desde puntos altos y/o desde elementos provisionales de acceso (escaleras, plataformas)
- Golpes y tropiezos
- Caída de materiales, rebotes
- Ambiente excesivamente ruidos
- Contactos eléctricos directos o indirectos
- Accidentes derivados de condiciones atmosféricas



Trabajos previos

- Interferencias con instalaciones de suministro público (agua, luz, gas...)
- Caídas desde puntos altos y/o desde elementos provisionales de acceso (escaleras, plataformas...)
- Golpes y tropiezos
- Caída de materiales, rebotes
- Sobreesfuerzos por posturas incorrectas
- Vuelco de pilas de material
- Riesgos derivados del almacenaje de materiales (temperatura, humedad, reacciones químicas)

Derribos

- Interferencias con instalaciones de suministro público (agua, luz, gas...)
- Generación excesiva de polvo o emanación de gases tóxicos
- Proyección de partículas durante los trabajos
- Caídas desde puntos altos y/o desde elementos provisionales de acceso (escaleras, plataformas)
- Contactos con materiales agresivos
- Cortes y pinchazos
- Golpes y tropiezos
- Caída de materiales, rebotes
- Ambiente excesivamente ruidoso
- Fallos de la estructura
- Sobreesfuerzos por posturas incorrectas
- Acumulación y bajada de escombros

Albañilería

- Generación excesiva de polvo o emanación de gases tóxicos
- Proyección de partículas durante los trabajos
- Caídas desde puntos altos y/o desde elementos provisionales de acceso (escaleras, plataformas)
- Contactos con materiales agresivos
- Cortes y pinchazos
- Golpes y tropiezos
- Caída de materiales, rebotes
- Ambiente excesivamente ruidoso
- Sobreesfuerzos por posturas incorrectas
- Vuelco de pilas de material
- Riesgos derivados del almacenaje de materiales (temperatura, humedad, reacciones químicas)



Cubierta

- Interferencias con instalaciones de suministro público (agua, luz, gas...)
- Proyección de partículas durante los trabajos
- Caídas desde puntos altos y/o desde elementos provisionales de acceso (escaleras, plataformas)
- Contactos con materiales agresivos
- Cortes y pinchazos
- Golpes y tropiezos
- Caída de materiales, rebotes
- Ambiente excesivamente ruidoso
- Sobreesfuerzos por posturas incorrectas
- Generación excesiva de polvo o emanación de gases tóxicos
- Caídas de mástiles y antenas
- Vuelco de pilas de material
- Riesgos derivados del almacenaje de materiales (temperatura, humedad, reacciones químicas)

Revestimientos y acabados.

- Generación excesiva de polvo o emanación de gases tóxicos
- Proyección de partículas durante los trabajos
- Caídas desde puntos altos y/o desde elementos provisionales de acceso (escaleras, plataformas)
- Contactos con materiales agresivos
- Cortes y pinchazos
- Golpes y tropiezos
- Caída de materiales, rebotes
- Sobreesfuerzos por posturas incorrectas
- Vuelco de pilas de material
- Riesgos derivados del almacenaje de materiales (temperatura, humedad, reacciones químicas)

Andamios tubulares metálicos**Riesgos más frecuentes**

- Caídas a distinto nivel
- Caídas al vacío
- Caídas al mismo nivel
- Atrapamientos durante el montaje
- Caída de objetos
- Golpes por objetos
- Los derivados del trabajo realizado a la intemperie



- Sobreesfuerzos
- Derrumbe del andamio
- Los inherentes al trabajo efectuado en el andamio.

Protecciones colectivas

- Lona o red de seguridad
- Marquesina de protección de peatones
- Lona impermeable
- Barandillas
- Señalización de seguridad

Equipos de protección individual

- Casco de polietileno
- Ropa de trabajo
- Ropa de trabajo impermeable en caso de trabajar bajo la lluvia
- Calzado antideslizante
- Guantes de cuero

Además, mientras dura el montaje, se tiene que utilizar:

- Botas de seguridad (según casos)
- Cinturón de seguridad (clases A o C).

Medidas preventivas

- En cada momento se tienen que mantener las zonas de trabajo limpias y ordenadas.
- Por encima de alturas de trabajo superiores a los 2 m, el andamio tiene que disponer de una barandilla de 0,90 m de altura mínima, con una protección intermedia y un rodapié.
- La anchura mínima de la plataforma de trabajo tiene que ser de 0,60 m, tiene que estar fijada a la estructura tubular y su superficie debe ser antideslizante.
- La distancia de separación del andamio y la fachada no debe ser superior a 0,45 m en previsión de caídas.
- La comunicación entre los diferentes niveles y plataformas se deben realizar mediante escaleras prefabricadas integradas.
- Los andamios se han de apoyar sobre zonas estables, preferentemente sobre calzos de madera.
- Para el montaje y desmontaje de los andamios tubulares se tienen que utilizar cinturones de seguridad y dispositivos anticaída cuando la plataforma supere los 2 m de altura.



Relación no exhaustiva de los trabajos que implican riesgos especiales (Anexo II del R.D. 627/1997)

- Trabajos con riesgos especialmente graves de sepultamiento, hundimiento o caída de altura, por las particulares características de la actividad desarrollada, los procedimientos aplicados o el entorno del puesto de trabajo
- Trabajos en los que la exposición a agentes químicos o biológicos suponga un riesgo de especial gravedad, o para los que la vigilancia específica de la salud de los trabajadores sea legalmente exigible
- Trabajos con exposición a radiaciones ionizantes para los que la normativa específica obliga a la delimitación de zonas controladas o vigiladas
- Trabajos en la proximidad de líneas eléctricas de alta tensión
- Trabajos que expongan a riesgo de ahogamiento por inmersión
- Obras de excavación de túneles, pozos y otros trabajos que supongan movimientos de tierra subterráneos
- Trabajos realizados en inmersión con equipo subacuático
- Trabajos realizados en cajones de aire comprimido
- Trabajos que impliquen el uso de explosivos
- Trabajos que requieran montar o desmontar elementos prefabricados pesados.

Medidas de prevención y protección

Como criterio general primarán las protecciones colectivas frente a las individuales. Además, tendrán que mantenerse en buen estado de conservación los medios auxiliares, la maquinaria y las herramientas de trabajo. Por otro lado, los medios de protección deberán estar homologados según la normativa vigente.

Las medidas relacionadas también deberán tenerse en cuenta para los previsibles trabajos posteriores (reparación, mantenimiento...).

Medidas de protección colectiva

- Organización y planificación de los trabajos para evitar interferencias entre los distintos trabajos y circulaciones dentro de la obra
- Señalización de las zonas de peligro
- Prever el sistema de circulación de vehículos y su señalización, tanto en el interior de la obra como en relación a los viales exteriores
- Dejar una zona libre alrededor de la zona excavada para el paso de maquinaria
- Inmovilización de camiones mediante cuñas y/o topes durante las tareas de carga y descarga
- Respetar las distancias de seguridad con las instalaciones existentes
- Los elementos de las instalaciones deben estar con sus protecciones aislantes
- Cimentación correcta de la maquinaria de obra
- Montaje de grúas realizado por una empresa especializada, con revisiones periódicas, control de la carga máxima, delimitación del radio de acción, frenos, bloqueo, etc.
- Revisión periódica y mantenimiento de maquinaria y equipos de obra



- Sistema de riego que impida la emisión de polvo en gran cantidad
- Comprobación de la adecuación de las soluciones de ejecución al estado real de los elementos (subsuelo, edificaciones vecinas)
- Comprobación de apuntalamientos, condiciones de entibado y pantallas de protección de zanjas
- Utilización de pavimentos antideslizantes
- Colocación de barandillas de protección en lugares con peligro de caída
- Colocación de mallazos en agujeros horizontales
- Protección de agujeros y fachadas para evitar la caída de objetos (redes, lonas)
- Uso de canalizaciones para la evacuación de escombros, correctamente instaladas
- Uso de escaleras de mano, plataformas de trabajo y andamios
- Colocación de plataformas de recepción de materiales en las plantas altas

Medidas de protección individual

- Utilización de mascarillas y gafas homologadas contra el polvo y/o proyección de partículas
- Utilización de calzado de seguridad
- Utilización de casco homologado
- En todas las zonas elevadas en las que no existan sistemas fijos de protección deberán establecerse puntos de anclaje seguros para poder sujetar el cinturón de seguridad homologado, cuya utilización será obligatoria.
- Utilización de guantes homologados para evitar el contacto directo con materiales agresivos y minimizar el riesgo de cortes y pinchazos.
- Utilización de protectores auditivos homologados en ambientes excesivamente ruidosos
- Utilización de mandiles
- Sistemas de sujeción permanente y de vigilancia por más de un operario, en los trabajos con peligro de intoxicación. Utilización de equipos de suministro de aire
- Utilización de arnés y doble cuerda para trabajos verticales.

Medidas de protección a terceros

- Vallado, señalización y alumbrado de la obra. En el caso de que el vallado invada la calzada debe preverse un paso protegido para la circulación de peatones. El vallado ha de impedir que personas ajenas a la obra puedan entrar en ella
- Prever el sistema de circulación de vehículos tanto en el interior de la obra como en relación a los viales exteriores
- Inmovilización de camiones mediante cuñas y/o topes durante las tareas de carga y descarga
- Comprobación de la adecuación de las soluciones de ejecución al estado real de los elementos (subsuelo, edificaciones vecinas)
- Protección de huecos y fachadas para evitar la caída de objetos (redes, lonas)



Primeros auxilios

Se dispondrá de un botiquín cuyo contenido será el especificado en la normativa vigente.

Se informará, al inicio de la obra, de la situación de los distintos centros médicos a los que se deberá trasladar los accidentados. Es conveniente disponer en la obra, y en un lugar bien visible, de una lista con los teléfonos y direcciones de los centros asignados para urgencias, ambulancias, taxis, etc. para garantizar el rápido traslado de los posibles accidentados.

NORMATIVA SEGURIDAD Y SALUD EN LAS OBRAS DE CONSTRUCCIÓN.

Relación de normas y reglamentos aplicables

Accidents de treball. Notificació.

S'estableixen nous models per a la notificació d'accidents de treball i es donen instruccions per al seu compliment i tramitació. Ordre de 16 de desembre de 1987, del Ministeri de Treball i Seguretat Social (BOE n. 311, 29/12/1987).

Accidents de treball. Notificació electrònica.

S'aprova el procediment de notificació electrònica dels accidents de treball. *Ordre TRI/10, de 26 de gener de 2004 ; Departament de Treball i Indústria (DOGC n. 4061, 02/02/2004).*

- Modificació: Es modifica l'Ordre TRI/10. *Ordre TRI/215 de 15 de juny de 2004. Departament de Treball i Indústria (DOGC. 29/06/2004).*
- Modificació: S'amplia el termini que estableix la disposició transitòria única de l'Ordre TRI/10. *Ordre TRI/296 de 21 de juny de 2005. Departament de Treball i Indústria (DOGC, 01/07/2005).*
- Modificació: S'amplia el termini que estableix la disposició transitòria única de l'Ordre TRI/10. *Ordre TRI/317 de 21 de juny de 2006. Departament de Treball i Indústria (DOGC, 20/06/2006).*
- Modificació: S'amplia el termini que estableix la disposició transitòria única de l'Ordre TRI/10. *Ordre TRI/241 de 22 de juny 2007. Departament de Treball (DOGC, 11/07/2007).*

Agents biològics. Riscos relacionats amb l'exposició a aquests agents durant el treball.



Protecció dels treballadors contra los riscos relacionats amb l'exposició a agents biològics durant el treball. *Reial decret 664, de 12 de maig de 1997, del Ministeri de la Presidència (BOE n. 124, 24/05/1997).*

- Modificació: S'adapta el Reial decret 664/1997 en funció del progrés tècnic. *Ordre de 25 de març de 1998 per la qual (BOE, 30/03/1998) (Correcció d'errades: BOE n. 90, 15/04/1998).*

Agents cancerígens. Riscos relacionats amb l'exposició a aquests agents durant el treball.

Protecció dels treballadors contra los riscos relacionats amb l'exposició a agents cancerígens durant el treball. *Reial decret 665, de 12 de maig de 1997, del Ministeri de la Presidència (BOE n. 124, 24/05/1997).*

- Modificació: *Reial decret 1124, de 16 de juny de 2000, del Ministeri de la Presidència (BOE n. 145, 17/06/2000).*
- Modificació: *Reial decret 349, de 21 de març de 2003, del Ministeri de la Presidència (BOE n. 82, 05/04/2003).*

Agents químics. Riscos relacionats amb l'exposició a aquests agents durant el treball.

Protecció de la salut i seguretat dels treballadors contra los riscos relacionats amb l'exposició a agents químics durant el treball. *Reial decret 374, de 6 d'abril de 2001 ; Ministeri de la Presidència (BOE n. 104, 01/05/2001).* (Correcció d'errades: BOE n.129, 30/05/2001).

Amiant. Treballs amb risc d'exposició.

Disposicions mínimes de seguretat i salut aplicables als treballs amb risc d'exposició a l'amiant. *Reial decret 396, de 31 de març de 2006 ; Ministeri de la Presidència (BOE n. 86, 11/04/2006).*

Prevenió i reducció de la contaminació del medi ambient produïda per l'amiant. *Reial decret 108/1991, d'1 de febrer, del Ministeri de Relacions amb les Corts i de la Secretaria del Govern (BOE n. 32, 06/02/1991) (Correcció d'errades: BOE n. 43, 19/02/1991).*

Avís previ d'obres. Models de comunicació.

S'aproven els models de comunicació d'obertura prèvia o represa d'activitats d'un centre de treball i d'avís previ d'obres. *Ordre, TRE/360 de 30 d'agost de 2002 ; Conselleria de Treball i Formació (DOGC n. 3754, 05/11/2002).*

- Nova redacció de l'apartat 2 de l'article 18 relatiu a l'avís previ. Reial decret 1109, de 24 d'agost de 2007.



Ministeri de Treball i Afers Socials (BOE n. 204, 25/08/2007).

Centres de treball. Comunicacions d'obertura

Requisits i dades de les comunicacions d'obertura prèvia o represa d'activitats d'empreses i centres de treball. *Ordre de 6 de maig de 1988, del Ministeri de Treball i Seguretat Social (BOE n. 117, 16/05/1988).*

- Modificació: Modifica l'article 2 i l'annex. *Ordre de 29 d'abril de 1999, del Ministeri de Treball i Afers Socials (BOE n. 124, 25/05/1999).*

Comitès de seguretat i salut. Registre de constitució

Es crea el registre de delegats i delegades de prevenció i el registre de comitès de seguretat i salut, i es regula el dipòsit de les comunicacions de designació de delegats i delegades de prevenció i de constitució dels comitès de seguretat i salut. *Decret 399, de 5 d'octubre de 2004; Departament de Treball i Indústria (DOGC n. 4234, 07/10/2004).*

Conveni col·lectiu general del sector de la construcció 2002-2006.

Resolució de 26 de juliol de 2002 ; Ministeri de Treball i Afers Socials (BOE n. 193, 13/08/2002).

Conveni col·lectiu general del sector de la construcció (4rt)

Resolució, de l'1 d'agost de 2007 ; Ministeri de Treball i Afers Socials (BOE n. 197, 17/08/2007).

Criteris ambientals i d'ecoeficiència en els edificis.

Regula l'adopció de criteris ambientals i d'ecoeficiència en els edificis. *Decret 21, de 14 de febrer de 2006 ; Departament de la Presidència (DOGC n. 4574, 16/02/2006). (Correcció d'errades: DOGC n. 4678, 18/07/2006).*

CTE. Còdi tècnic de l'edificació.

Reial decret 314, de 17 de març de 2006 ; Ministeri de l'Habitatge (BOE n. 74, 28/03/2006). (Correcció d'errades: BOE núm. 22, 25/01/2008).

- Modificació. *Reial decret 1371 de 19 d'octubre de 2007; del Ministeri de la Presidència (BOE n. 254, 23/10/2007)*

Disposicions mínimes de seguretat i de salut en les obres de construcció.



Disposicions mínimes de seguretat i de salut en les obres de construcció. *Reial decret 1627, de 24 d'octubre de 1997, del Ministeri de la Presidència (BOE n. 256, 25/10/1997).*

- Modificació: Modifica l'apartat C.5 de l'annex IV. *Reial decret 2177, de 12 de novembre de 2004 ; del Ministeri de la Presidència (BOE n. 274, 13/11/2004).*
- Modificació: *Reial decret 604, de 19 de maig de 2006 ; del Ministeri de Treball i Afers Socials (BOE n. 127, 29/05/2006).*
- Modificació: Modifica l'apartat 4 de l'article 13 i de l'apartat 2 de l'article 18. *Reial decret 1109, de 24 d'agost de 2007 ; del Ministeri de Treball i Afers Socials (BOE n. 204, 25/08/2007) (Correcció d'errades: BOE 219, 12/09/2007).*

Delegats i delegades de prevenció i el registre de comitès de seguretat i salut. Registre

Es crea el registre de delegats i delegades de prevenció i el registre de comitès de seguretat i salut, i es regula el dipòsit de les comunicacions de designació de delegats i delegades de prevenció i de constitució dels comitès de seguretat i salut. *Decret 399, de 5 d'octubre de 2004; Departament de Treball i Indústria (DOGC n. 4234, 07/10/2004).*

Distàncies reglamentàries d'obres i construccions a línies elèctriques.

S'estableix un certificat sobre compliment de les distàncies reglamentàries d'obres i construccions a línies elèctriques. *Resolució de 4 de novembre de 1988, del Departament d'Indústria i Energia (DOGC n. 1075, 30/11/1988).*

EPIs. Equips de protecció individual. Marcatge CE

Regulació de les condicions per a la comercialització i lliure circulació intracomunitària dels equips de protecció individual. *Reial decret 1407, de 20 de novembre de 1992, del Ministeri de Relacions amb les Corts i de la Secretaria del Govern (BOE n. 311, 28/12/1992) (correcció d'errades: BOE n. 42, 24/02/1993).*

- Modificació: Reial decret 159, de 3 de febrer de 1995, del Ministeri de la Presidència (BOE n. 57, 08/03/1995) (correcció d'errades: BOE n. 57, 08/03/1995).
- Modificació: Informació complementària del Reial decret 159. *Resolució, de 25 d'abril de 1996; Ministeri d'Indústria i Energia (BOE n. 129, 28/05/1996).*



- Modificació: Es modifica l'annex IV del Reial decret 159, que va modificar a la vegada el Reial decret 1407. *Ordre, de 20 de febrer de 1997; Ministeri d'Indústria i Energia (BOE n. 56, 06/03/1997).*

EPIs. Ús d'equips de protecció individual.

Disposicions mínimes de seguretat i salut relatives a la utilització pels treballadors d'equips de protecció individual. *Reial decret 773, de 30 de maig de 1997, del Ministeri de la Presidència (BOE n. 140, 12/06/1997).* (Correcció d'errades: *BOE 171, 18/07/1997*).

Equips de treball. Ús .

Disposicions mínimes de seguretat i salut per a la utilització pels treballadors dels equips de treball. *Reial decret 1215, de 18 de juliol de 1997 ; Ministeri de la Presidència (BOE n. 188, 07/08/1997).*

- Modificació: Nova redacció del punt 6, apartat 1 de l'annex I, on es parla de «treballs verticals». Nou apartat 4 en l'annex II, relatiu a treballs temporals en altura. Nou paràgraf a la disposició derogatòria única i disposició addicional única. *Reial decret 2177, de 12 de novembre de 2004; Ministeri de la Presidència (BOE, 13/11/2004).*

Estatut dels treballadors.

Text refós de la llei de l'estatut dels treballadors. *Reial decret-Legislatiu 1, de 24 de març de 1995, del Ministeri de Treball i Seguretat Social (BOE 29/03/1995).*

Infraccions i sancions en l'ordre social.

Text refós de la llei sobre infraccions i sancions en l'ordre social. *Reial decret legislatiu 5, de 4 d'agost de 2000 ; Ministeri de Treball i Afers Socials (BOE n. 189, 08/08/2000) (Correcció d'errades: BOE n. 228 / 22/09/2000).*

- Modificació: Modifica els articles 2, 5, 12, 13, 19, 39, 42, 50, 52 i 53. *Llei 54, de 12 de desembre de 2003; Prefectura de l'Estat (BOE, 13/12/2003).*
- Modificació: Modifica els articles 8, 11, 12 i 13. *Llei 32 de 18 d'octubre de 2006; Prefectura de l'Estat (BOE, 19/10/2006).*

Llibre de visites de la Inspecció de treball i seguretat social.



Resolució, de 11 d'abril de 2006 ; Ministeri de Treball i Afers Socials (BOE n. 93, 19/04/2006) (Correcció d'errades: BOE n. 99. 26/04/2006).

Es dona publicitat a la versió catalana i castellana del Llibre de visites de la inspecció de treball i seguretat social. *Resolució TRI 1627, de 18 de maig de 2006 ; Departament de Treball i Indústria (DOGC n. 4641, 25/05/2006) (Correcció d'errades: DOGC n. 4644, 30/05/2006).*

Llibre d'incidències.

S'aprova el model del Llibre d'incidències en obres de construcció. *Ordre de 12 de gener de 1998, del Departament de Treball (DOGC n. 2565, 27/01/1998)*

Nova redacció de l'apartat 4 de l'article 13 relatiu al Llibre d'incidències. *Reial decret 1109, de 24 d'agost de 2007. Ministeri de Treball i Afers Socials (BOE n. 204, 25/08/2007).*

Manipulació manual de càrregues que comporti riscos.

Disposicions mínimes de seguretat i salut relatives a la manipulació manual de càrregues que comporti riscos, en particular dorsolumbars, per als treballadors. *Reial decret 487, de 14 d'abril de 1997, del Ministeri de Treball i Afers Socials (BOE n. 97, 23/04/1997).*

Màquines. Marcatge CE. Aproximació de la legislació dels estats de la UE.

Disposicions d'aplicació de la Directiva del Consell 89-392-CEE, relativa a l'aproximació de les legislacions dels estats membres sobre màquines. *Reial decret 1435, de 27 de novembre de 1992, del Ministeri de Relacions amb les Corts i de la Secretaria del Govern (BOE n. 297, 11/12/1995).*

- Modificació: *Reial decret 56, de 20 de gener de 1995 (BOE n. 33, 08/02/1995).*
- Modificació: Relació de normes harmonitzades en l'àmbit del Reial decret. *Resolució de 5 de juliol de 1999; Ministeri d'Indústria i Energia (BOE, 18/08/1999).*

Màquines. Emissions sonores.

Emissions sonores en l'entorn degudes a determinades màquines d'ús a l'aire lliure. *Reial decret 212, de 22 de febrer de 2002 ; Ministeri de la Presidència (BOE n. 52, 01/03/2002).*

- Modificació: *Reial decret 524/2006, de 28 d'abril, del Ministeri de la Presidència (BOE n. 106, 04/05/2006).*



Marcatge CE. EPIs Equips de protecció individual

Regulació de les condicions per a la comercialització i lliure circulació intracomunitària dels equips de protecció individual. *Reial decret 1407, de 20 de novembre de 1992, del Ministeri de Relacions amb les Corts i de la Secretaria del Govern (BOE n. 311, 28/12/1992) (correcció d'errades: BOE n. 42, 24/02/1993).*

- Modificació: Reial decret 159, de 3 de febrer de 1995, del Ministeri de la Presidència (BOE n. 57, 08/03/1995) (correcció d'errades: BOE n. 57, 08/03/1995).
- Modificació: Informació complementària del Reial decret 159. *Resolució, de 25 d'abril de 1996; Ministeri d'Indústria i Energia (BOE n. 129, 28/05/1996).*
- Modificació: Es modifica l'annex IV del Reial decret 159, que va modificar a la vegada el Reial decret 1407. *Ordre, de 20 de febrer de 1997; Ministeri d'Indústria i Energia (BOE n. 56, 06/03/1997).*

Marcatge CE. Màquines

Disposicions d'aplicació de la Directiva del Consell 89-392-CEE, relativa a l'aproximació de les legislacions dels estats membres sobre màquines. *Reial decret 1435, de 27 de novembre de 1992, del Ministeri de Relacions amb les Corts i de la Secretaria del Govern (BOE n. 297, 11/12/1995).*

- Modificació: *Reial decret 56, de 20 de gener de 1995 (BOE n. 33, 08/02/1995).*
- Modificació: Relació de normes harmonitzades en l'àmbit del Reial decret. *Resolució de 5 de juliol de 1999; Ministeri d'Indústria i Energia (BOE, 18/08/1999).*

Obertura prèvia o represa d'activitats d'un centre de treball i d'avís previ d'obres. Models de comunicació.

S'aproven els models de comunicació d'obertura prèvia o represa d'activitats d'un centre de treball i d'avís previ d'obres. *Ordre, TRE/360 de 30 d'agost de 2002 ; Conselleria de Treball i Formació (DOGC n. 3754, 05/11/2002).*

Prevenió de riscos laborals.

Llei 31, de 8 de novembre de 1995 de la Prefectura de l'Estat (BOE n. 269, 10/11/1995).

- Modificació: *Llei 50, de 30 de desembre de 1998, sobre mesures fiscals, administratives i de l'ordre social*



(BOE n. 313, 31/12/1998).

- Modificació: Modifica algunes parts de la llei 31/1995: els articles 9, 14, 23, 24, 31, s'afegeix l'article 32bis, 39, 43 i hi afegeix noves disposicions addicionals. *Llei 54 de reforma del marc normatiu de la prevenció de riscos laborals, de 12 de desembre de 2003 de la Prefectura de l'Estat (BOE n. 298, 13/12/2003).*
- Modificació: Es desenvolupa l'article 24 de la Llei 31/1995, de 8 de novembre, en matèria de coordinació d'activitats empresarials. *Reial decret 171, de 30 de gener de 2004 ; Prefectura de l'Estat (BOE n. 27, 31/01/2004).*

Risc elèctric.

Disposicions mínimes per a la protecció de la salut i seguretat dels treballadors davant el risc elèctric. *Reial decret 614, de 21 de maig de 2001 ; Ministeri de la Presidència (BOE n. 148, 21/06/2001).*

Seguretat i salut en els llocs de treball.

Disposicions mínimes de seguretat i salut en els llocs de treball. *Reial decret 486, de 14 d'abril de 1997, del Ministeri de Treball i Afers Socials (BOE n. 97, 23/04/1997).*

- Modificació: Annex I. lletra A)9. *Reial decret 2177, de 12 de novembre, del Ministeri de la Presidència (BOE 274, 13/11/2004).*

Senyalització de seguretat i salut en el treball.

Disposicions mínimes en matèria de senyalització de seguretat i salut en el treball. *Reial decret 485, de 14 d'abril de 1997, del Ministeri de Treball i Afers Socials (BOE n. 97, 23/04/1997).*

Serveis de prevenció. Reglament

Reial decret 39, de 17 de gener de 1997, del Ministeri de Treball i Afers Socials (BOE n. 27, 31/01/1997).
Ordre de 27 de Juny de 1997 ; Ministeri de Treball i Afers Socials (BOE n. 159, 04/07/1997) .

- Modificació: *Reial decret 780, de 30 de abril de 1998, del Ministeri de Treball i Afers Socials (BOE n. 104, 01/05/1998).*
- Modificació: Afegeix un segon paràgraf a l'article 22. *Reial decret 688, de 10 de juny de 2005 ; Ministeri de Treball i Afers Socials (BOE 139, 11/06/2005)*



- Modificació: modifica els articles 1, 2, 7, 16, 19, 20, 21, 22bis, 29, 30, 31, 31bis, 32, 33bis i 35 i afegeix les disposicions addicionals 10a, 11a i 12a. del Reial decret 39. *Reial decret 604, de 19 de maig de 2006, del Ministeri de Treball i Afers Socials (BOE n. 127, 29/05/2006).*

Soroll. Riscos relacionats amb l'exposició.

Protecció de la salut i la seguretat dels treballadors contra los riscos relacionats amb l'exposició al soroll. *Reial decret 286, de 10 de març de 2006 ; Ministeri de la Presidència (BOE n. 60, 11/03/2006) .(Correcció d'errades: BOE 62 , BOE n.71, 14/03/2006).*

Subcontractació en el sector de la construcció.

Llei 32 de 18 d'octubre de 2006; Prefectura de l'Estat (BOE, 19/10/2006).

Es desenvolupa la Llei 32/2006 reguladora de la subcontractació en el sector de la construcció *Reial decret 1109, de 24 d'agost de 2007, que desenvolupa la Llei 32/2006, del Ministeri de Treball i Afers Socials (BOE n. 204, 25/08/2007).* (Correcció d'errades: BOE n. 219, 12/09/2007).

Treball temporal. Seguretat i salut en el treball en l'àmbit d'aquest tipus d'empreses.

Disposicions mínimes de seguretat i salut en el treball en l'àmbit de les empreses de treball temporal. *Reial decret 216, de 5 de febrer de 1999, del Ministeri de Treball i Afers Socials (BOE n. 47, 24/02/1999).*

Vibracions mecàniques. Riscos derivats de l'exposició.

Protecció de la salut i la seguretat dels treballadors davant als riscos derivats o que puguin derivar-se de l'exposició a vibracions mecàniques. *Reial decret 1311, de 4 de novembre de 2005; Ministeri de Treball i Afers Socials (BOE n. 265, 05/11/2005).*



5.6. Cálculos expedidos por los programas

5.6.1. Cálculos Altra Plus CYPE Estructuras

- Muro Pantalla del vaso de la piscina
- Losa del vaso de la piscina
- Celosía de apeo de pilares
- Cegado del hueco del forjado de acceso
- Cegado del hueco de escaleras



MEMORIA JUSTIFICATIVA

MURO PANTALLA – VASO PISCINA

| | |
|--------------------|--|
| Ubicación | C/Rosalía de Castro, 30-34 - 08025 BARCELONA |
| Fecha | 28/03/2018 |
| Proyectista | Belén Ferreres López |

Índice

- 1 Introducción
- 2 Características generales
- 3 Materiales
- 4 Terreno
- 5 Acciones
- 6 Seguridad estructural
- 7 Método de cálculo
- 8 Normativa

Anexo (A) Justificación de cálculo

Anexo (B) Estado de mediciones

1. INTRODUCCIÓN

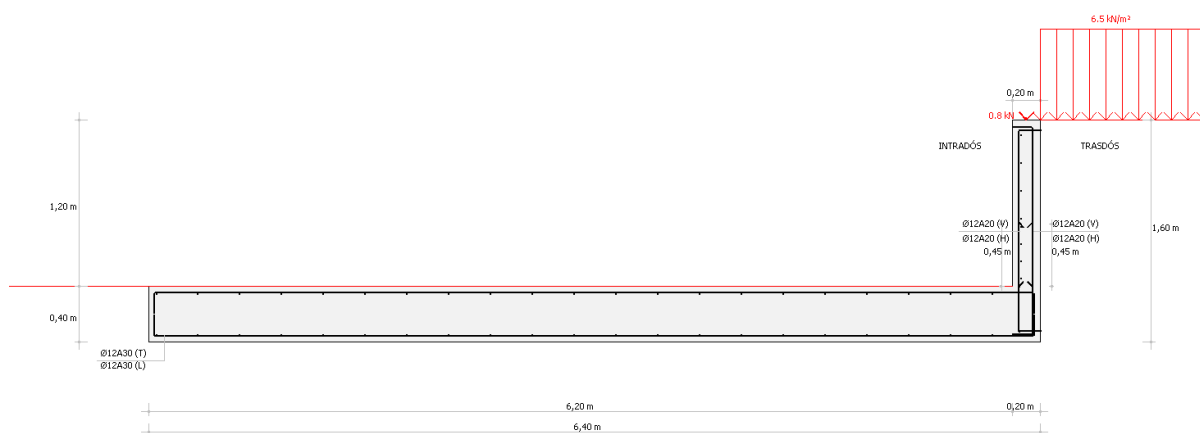
Este documento expone los principales parámetros que permiten justificar la solución adoptada de sistema de contención de tierras mediante un muro autoportante de hormigón armado.

La descripción geométrica del sistema de contención queda definido en los planos del proyecto. El muro será ejecutado y controlado siguiendo lo que se indica en los planos y las prescripciones expuestas en el Documento Básico DB-C (Cimentaciones) con sus documentos básicos. Tanto la interpretación de los planos, como las normas de ejecución de la estructura quedan supeditadas en última instancia a las directrices y órdenes que marque la Dirección Facultativa de la Obra.

Los planos de la estructura requieren necesariamente planos de replanteo estrictamente arquitectónicos, son estos últimos los que facilitaran la geometría precisa de la obra. Queda a juicio de la Dirección Facultativa de la Obra, decidir si las variaciones geométricas que se producen en la obra son admisibles o requieren una consideración de un nuevo análisis estructural.

2. CARACTERÍSTICAS GENERALES

El sistema de contención prescrito en el proyecto permite sustentar, con todos los coeficientes de seguridad establecidos en el proyecto, una altura libre de tierras de 1,20 m, lo que conlleva a una altura total de excavación de 1,60 m. Se proyecta juntas de contracción a una distancia no mayor de 7,50 m. El muro dispondrá de un sistema de drenaje que facilitará la evacuación de las eventuales aguas que puedan existir en el trasdós del muro. No se ha considerado en el cálculo la posible presión hidrostática.



Datos geométricos del muro

| | | |
|--------------|------|---|
| Altura vista | 1,20 | m |
| Altura fuste | 1,20 | m |
| Altura total | 1,60 | m |
| Grueso fuste | 0,20 | m |
| Canto zapata | 0,40 | m |
| Talón | 0,00 | m |

| | | |
|--------------------|------|---|
| Puntera | 6,20 | m |
| Ancho total zapata | 6,40 | m |

Armado fuste muro

| | |
|---|--------|
| Armadura vertical trasdós | Ø12a20 |
| Armadura horizontal trasdós | Ø12a20 |
| Esperas armadura vertical trasdós | Ø12a20 |
| Esperas solape armadura horizontal trasdós | Ø8a21 |
| Armadura vertical intradós | Ø12a20 |
| Armadura horizontal intradós | Ø12a20 |
| Esperas armadura vertical intradós | Ø12a20 |
| Esperas solape armadura horizontal intradós | Ø8a29 |

Armado zapata muro

| | |
|--------------------------------|--------|
| Armadura transversal inferior | Ø12a30 |
| Armadura longitudinal inferior | Ø12a30 |
| Armadura transversal superior | Ø12a30 |
| Armadura longitudinal superior | Ø12a30 |

3. MATERIALES

HA-25/B/12/IIa

| f_{ck} | f_{cd} | f_{cm} | $f_{ct,m}$ | E_{cm} | γ |
|----------|----------|----------|------------|----------|----------|
| 25 | 16,7 | 33,0 | 2,6 | 27.264 | 2.500 |

Resistencia N/mm², Rigidez N/mm², Densidad kg/m³

| | | | |
|----------|--|------------|--|
| f_{ck} | Resistencia característica de proyecto | f_{cd} | Resistencia de cálculo |
| f_{cm} | Resistencia media a compresión a los 28 días | $f_{ct,m}$ | Resistencia media a tracción a los 28 días |
| E_{cm} | Módulo de deformación secante a los 28 días | γ | Densidad |

B500S

| f_y | f_s | $\epsilon_{u,5}$ | $\epsilon_{max.}$ | f_s/f_y | $f_{yreal}/f_{ynom.}$ |
|-------|-------|------------------|-------------------|-----------|-----------------------|
| 500 | 550 | 12 | 5,0 | 1,05 | 1,00 |

Resistencia en N/mm², Alargamiento %

| | | | |
|------------------|---|-----------------------|---|
| f_y | Límite elástico | f_s | Carga unitaria de rotura |
| $\epsilon_{u,5}$ | Alargamiento de rotura | $\epsilon_{max.}$ | Alargamiento total bajo carga |
| f_s/f_y | Relación carga unitaria rotura /límite elástico | $f_{yreal}/f_{ynom.}$ | Relación límite elástico real/límite elástico nominal |

Parámetros

| r_{nom} | r_{min} | Δr | W_{max} | Control | Vida útil |
|-----------|-----------|------------|-----------|---------|-----------|
| 25 | 15 | 10 | 0,3 | Normal | 50 |

Recubrimientos en mm, Fisuración en mm, Tiempo en años

| | | | |
|------------|------------------------------------|-----------|----------------------------|
| r_{nom} | Recubrimiento nominal | r_{min} | Recubrimiento mínimo |
| Δr | Margen de recubrimiento | W_{max} | Abertura de fisura máxima |
| Control | Control de calidad de la ejecución | Vida útil | Vida útil de la estructura |

4. TERRENO

Las principales características del terreno son:

| | | | |
|----------|--|-------|--------------------|
| β | Inclinación tierras | 0,00 | ° |
| ϕ | Ángulo rozamiento interno | 30,00 | ° |
| γ | Peso específico aparente | 14,90 | kN/m ³ |
| δ | Ángulo rozamiento muro-terreno | 0,00 | ° |
| c' | Cohesión | 0,80 | kN/m ² |
| σ | Presión vertical admisible de servicio | 2,50 | kp/cm ² |

5. EMPUJES DEL TERRENO

Se ha considerado un empuje activo de las tierras del trasdós.

| | | | |
|----------|--------------------------------|-------|-------------------|
| β | Inclinación fuste | 90 | ° |
| i | Inclinación tierras trasdós | 0,00 | ° |
| δ | Ángulo rozamiento muro terreno | 0,00 | ° |
| ϕ | Ángulo rozamiento interno | 30,00 | ° |
| c | Cohesión | 0,80 | kN/m ² |
| K_a | Coef. empuje activo | 0,33 | - |
| E_h | Empuje horizontal total | 8,75 | kN/m |
| E_v | Empuje vertical total | 0,00 | kN/m |

Se ha considerado un empuje pasivo de las tierras del intradós para la comprobación a deslizamiento, vuelco y tensión sobre el terreno. Los parámetros utilizados son:

| | | | |
|--------|---------------------------|-------|-------------------|
| ϕ | Ángulo rozamiento interno | 30,00 | ° |
| c | Cohesión | 0,80 | kN/m ² |
| K_p | Coef. empuje pasivo | 3,00 | - |
| E_h | Empuje horizontal total | 4,68 | kN/m |

Se pondrá especial cuidado en garantizar la presencia perpetua de las tierras del intradós. Dejando así las instrucciones precisas en el Plan de mantenimiento correspondiente.

6. ACCIONES

Carga de servicio uniformemente repartidas sobre las tierras del trasdós. 6,50 kN/m²

Carga sobre coronación de fuste del muro. 0,80 kN/m

7. SEGURIDAD ESTRUCTURAL

Los coeficientes parciales de seguridad, en estado límite último ELU, utilizados son:

| Situación | γ_R | γ_E |
|-------------------------|------------|------------|
| Hundimiento | 3.0 | |
| Deslizamiento | 1.5 | |
| Vuelco desestabilizador | | 1.8 |

| | | |
|------------------------|--|-----|
| Vuelco estabilizadoras | | 0.9 |
| Capacidad estructural | | 1.6 |

γ_R Coeficiente parcial de seguridad relativo a los materiales. γ_E Coeficiente parcial de seguridad relativo a las acciones.

8. MÉTODO DE CÁLCULO

El muro se calcula en dos fases consecutivas: Primero se calcula los requerimientos exteriores del muro, y en una segunda fase se calcula los armados.

Inicialmente se dimensiona todos los elementos que componen el muro de contención (fuste, puntera y talón) para salvar el desnivel de tierras requerido. Se procede a calcular los empujes activos y pasivos de las tierras del trasdós y intradós respectivamente. Se calcula los pesos, tanto del muro como de las tierras, que estabilizan el equilibrio del muro frente a los empujes de las tierras que desestabilizan. Establecido los momentos estabilizadores, debidamente ponderados (gR 0.90), y los momentos desestabilizadores, se comprueba la seguridad frente al vuelco del muro. La comprobación al deslizamiento se realiza considerando todos los pesos, de carácter permanente, que gravitan sobre el muro más la colaboración del empuje pasivo y la cohesión del terreno si procede. Se verifica la tensión transmitida por el muro al terreno que no supere la tensión admisible.

Se realiza los cálculos y comprobaciones relativas al armado dispuesto en el fuste y zapata del muro. Se ha calculado el armado principal mínimo requerido por el momento flector a que está sometida la sección correspondiente del muro y zapata. Se comprueba las cuantías geométricas y mecánicas mínimas, así como la separación máxima y mínima de las armaduras horizontales y verticales. Se comprueba los solapes, tanto su longitud como la disposición de la armadura trasversal mínima. Se comprueba que la abertura característica de fisura no supere a la abertura máxima de fisura.

9. NORMATIVA

EHE-08 Instrucción de Hormigón Estructural.

Anejo 7 3.1.1 (Cálculo a flexión).
 Art. 44.2.3.2.1 (Cálculo a cortante).
 Art. 49.2.3 (Cálculo a fisuración).
 Art. 42.3.1 (Separación armaduras verticales).
 Art. 69.4.1 (Separación armaduras horizontales).
 Art. 42.3.2 (Cuantías mecánicas mínimas).
 Art. 42.3.5 (Cuantías geométricas mínimas).
 Art. 69.5.2 (Longitud de solapes).
 Art. 58.8.1 (Canto mínimo zapata).

SE-C Seguridad estructural. Cimientos.

Tabla 2.1 (coeficientes parciales de seguridad).
 Art. 4.3.1.3 (Área equivalente de cimiento).
 Art. 6.2.3 (Cálculo del coeficiente de empuje activo K_a y pasivo K_p).
 Art. 6.3.3.2.2 (Hundimiento).
 Art. 6.3.3.2.3 (Deslizamiento).
 Art. 6.3.3.2.4 (Vuelco).

ANEXOS

- (A) JUSTIFICACIÓN DE CÁLCULO
- (B) MEDICIONES
- (C) PROCESO DE EJECUCIÓN

ANEXO (A) JUSTIFICACIÓN DE CÁLCULO

EMPUJES

VUELCO

Momentos estabilizados

| Zona | Peso | Distancia | Momento estabilizador |
|--|-----------------|-----------|-----------------------|
| Puntera | 62,00 | 3,10 | 192,20 |
| Talón | 0,00 | 6,40 | 0,00 |
| Fuste | 8,00 | 6,30 | 50,40 |
| Tierras intradós | 0,00 | 3,10 | 0,00 |
| Tierras trasdós | 43,20 | 0,00 | 0,00 |
| | Σ 114,80 | | Σ 247,64 |
| Empuje horizontal | Fuerza | Distancia | Momento estabilizador |
| Se ha considerado un empuje pasivo de las tierras del intradós para la comprobación a deslizamiento, vuelco y tensión sobre el terreno. Los parámetros utilizados son: | 4,68 | 0,15 | 0,70 |
| | | | Σ 248,34 |

Pesos en kN, distancias en m, fuerza kN, momentos mkN

Momentos desestabilizados

| Zona | Fuerza | Distancia | Momento desestabilizador |
|------------------------|--------|-----------|--------------------------|
| Empuje tierras trasdós | 8,75 | 0,64 | 5,56 |

Pesos en kN, distancias en m, fuerza kN, momentos mkN

Seguridad a vuelco

$$C_v = M_e \cdot g_r / M_d$$

$$C_v = (248,34 \cdot 0,90) / 5,56 = 40,20$$

$C_v \geq 1,80$ Cumple. Sobredimensionado del 95,52 %

Seguridad a deslizamiento

$$C_d = N \cdot \tan \alpha^* / g_r \geq 1,50$$

$$C_d = (114,80 \cdot 0,36) / 8,75 = 5,57$$

$C_d \geq 1,50$ Cumple. Sobredimensionado del 73,06 %

Tensión sobre el terreno

Excentricidad de la resultante = 1,08 m

Posición de la resultante de tensión sobre el terreno fuera del tercio central de la base de la zapata.

| | | |
|-----------------|------|--------------------|
| σ_{\max} | 0,36 | kp/cm ² |
|-----------------|------|--------------------|

| | | |
|-----------------------------|------|--------------------|
| $\sigma_{\min.}$ | 0,00 | kp/cm ² |
| $\sigma_{\text{Plástica.}}$ | 0,27 | kp/cm ² |

FUSTE ESFUERZOS

| x | Mf | V |
|-------|---------|--------|
| [0] | 0,0 mkN | 0,0 kN |
| [20] | 0,0 mkN | 0,0 kN |
| [40] | 0,0 mkN | 0,2 kN |
| [61] | 0,1 mkN | 0,7 kN |
| [81] | 0,4 mkN | 1,4 kN |
| [101] | 0,9 mkN | 2,6 kN |
| [121] | 1,8 mkN | 4,4 kN |

Momentos de servicio.

ARMADOS

Comprobación en ELU de flexión

| Md | f _{ck} | γ _c | f _y | γ _s | d ₁ | U _{s2} | U _{s1} |
|-----|-----------------|----------------|----------------|----------------|----------------|-----------------|-----------------|
| 2,8 | 25 | 1,50 | 500 | 1,15 | 35 | 0,00 | 17,76 |

Momentos mkN/m, Resistencia N/mm²

| | | | |
|-----------------|---|-----------------|---|
| Md | Momento flector de cálculo | f _{ck} | Resistencia característica del hormigón a compresión |
| γ _c | Coef. de minoración de la resistencia del hormigón | f _y | Límite elástico del acero |
| γ _s | Coef. de minoración del límite elástico del acero | d ₁ | Recubrimiento mecánico armado de tracción |
| U _{s2} | Capacidad mecánica de cálculo de la armadura a compresión | U _{s1} | Capacidad mecánica de cálculo de la armadura a tracción |

Armadura vertical trasdós

| Arm. | U _s .Real | U _s .Cal | η(1) | ρ _{real} | ρ _{geo.min} | ρ _{mec.min} | η(2) |
|--------|----------------------|---------------------|-------------|-------------------|----------------------|----------------------|-------------|
| Ø12A20 | 245,86 | 17,76 | 0,07 | 2,82743 | 0,90000 | 0,88628 | 0,32 |

Capacidad mecánica kN, cuantías en tanto por 1.000

| | | | |
|---------------------|---|----------------------|---|
| Arm | Armadura vertical trasdós fuste. | U _s .Real | Capacidad mecánica real. (As*f _{yd}) |
| U _s .Cal | Capacidad mecánica necesaria por cálculo. | η(1) | Cociente entre la capacidad mecánica real y la capacidad mecánica de cálculo. (aprovechamiento) |
| ρ _{real} | Cuantía real armado. | ρ _{geo.min} | Cuantía geométrica mínima. |
| η(2) | Cociente entre la cuantía real y la cuantía mínima geométrica y mecánica. (aprovechamiento) | | |

Armadura vertical intradós

| Arm. | ρ _{real} | ρ _{geo.min} | η |
|--------|-------------------|----------------------|-------------|
| Ø12A20 | 2,8274 | 0,8482 | 0,30 |

Capacidad mecánica kN, cuantías en tanto por 1.000

| | | | |
|----------------------|-----------------------------------|-------------------|---|
| Arm | Armadura vertical intradós fuste. | ρ _{real} | Cuantía real. |
| ρ _{geo.min} | Capacidad geométrica mínima. | η | Cociente entre cuantía mínima y cuantía real. (aprovechamiento) |

Armadura horizontal total. Longitud muro no superior a 7,50 m.

(Armadura distribuida en ambas caras).

| Arm.Intradós | Arm.Trasdós | ρ_{real} | $\rho_{\text{geo.min}}$ | η |
|--------------|-------------|----------------------|-------------------------|-------------|
| Ø12A20 | Ø12A20 | 0,0057 | 0,0016 | 0,28 |

Capacidad mecánica kN, cuantías en tanto por 1.000

| | | | |
|----------------------|--|-------------------------|--|
| Arm. Intradós | Armadura horizontal intradós fuste. | Arm.Trasdós s | Armadura horizontal trasdós fuste |
| ρ_{real} | Cuantía real del total del armado horizontal del fuste | $\rho_{\text{geo.min}}$ | Cuantía geométrica mínima horizontal del fuste |
| η | Cociente entre cuantía mínima y cuantía real. (aprovechamiento) | | |

Comprobación en ELU a cortante

| V_d | f_{cv} | γ_c | ξ | p' | V_{u2} | η |
|-------|----------|------------|-------|-------|----------|-------------|
| 7,02 | 25 | 1,50 | 2,00 | 3,534 | 113,14 | 0,06 |

Esfuerzos kN/m, Resistencia N/mm², Cuantías en tanto por 1.000

| | | | |
|------------|--|----------|---|
| V_d | Cortante de cálculo | f_{cv} | Resistencia virtual de cálculo del hormigón a esfuerzo cortante |
| γ_c | Coef. de minoración de la resistencia del hormigón | ξ | Coef. adimensional relativo al canto de la sección |
| p' | Cuantía geométrica armadura longitudinal principal | V_{u2} | Esfuerzo cortante de agotamiento por tracción en el alma |
| | | η | Cociente entre esfuerzo cortante de cálculo y esfuerzo cortante último. (aprovechamiento) |

FISURACIÓN

Comprobación en ELS de fisuración

| M_k | β | k_1 | k_2 | S_m | ϵ_{sm} | W_k | W_{max} | η |
|-------|---------|-------|-------|--------|-----------------|-------|-----------|-------------|
| 1,8 | 1,7 | 0,125 | 0,500 | 163,75 | 0,00005 | 0,015 | 0,30 | 0,05 |


Momentos mkN, Deformación mm

| | | | |
|--------|--|-----------------|---|
| M_k | Momento flector de cálculo en ELS | β | Coef. relación abertura media con abertura característica |
| k_1 | Coef. influencia del diagrama de tracción | k_2 | Coef. influencia duración de las cargas |
| S_m | Separación media fisuras | ϵ_{sm} | Alargamiento medio de las armaduras |
| W_k | Abertura característica máxima de fisura | W_{max} | Abertura característica de fisura |
| η | Cociente entre fisura máxima y fisura característica. (aprovechamiento) | | |


ANEXO (B) MEDICIONES
Cuantías por metro lineal:

| | |
|---------------|-------------------|
| 118,26 | kg/ml |
| 13,44 | kg/m ² |
| 42,23 | kg/m ³ |
| 118,26 | kg |


| | |
|---------------------|--|
| Elemento: | Obra/Sin nombre/Muro/Zapata/Inf. Transversal |
| Descripción: | Muro pantalla – Vaso Piscina - PÀLCAM |

| ud | Ø o tipo | Dimensión | Peso | Forma | Total (mm) | Total (kg) |
|----------------|----------|-----------|-------|---|------------|------------|
| 4 | 12 | 660 | 23,44 |  | 2.640 | 23,44 |
| Total=23,44 kg | | | | | | |


| | |
|---------------------|---|
| Elemento: | Obra/Sin nombre/Muro/Zapata/Inf. Longitudinal |
| Descripción: | |

| ud | Ø o tipo | Dimensión | Peso | Forma | Total (mm) | Total (kg) |
|----------------|----------|-----------|-------|---|------------|------------|
| 22 | 12 | 100 | 19,53 |  | 2.200 | 19,53 |
| Total=19,53 kg | | | | | | |


| | |
|---------------------|--|
| Elemento: | Obra/Sin nombre/Muro/Zapata/Sup. Transversal |
| Descripción: | |

| ud | Ø o tipo | Dimensión | Peso | Forma | Total (mm) | Total (kg) |
|----------------|----------|-----------|-------|---|------------|------------|
| 4 | 12 | 660 | 23,44 |  | 2.640 | 23,44 |
| Total=23,44 kg | | | | | | |


| | |
|---------------------|---|
| Elemento: | Obra/Sin nombre/Muro/Zapata/Sup. Longitudinal |
| Descripción: | |

| ud | Ø o tipo | Dimensión | Peso | Forma | Total (mm) | Total (kg) |
|----------------|----------|-----------|-------|---|------------|------------|
| 22 | 12 | 100 | 19,53 |  | 2.200 | 19,53 |
| Total=19,53 kg | | | | | | |

| | |
|---------------------|--|
| Elemento: | Obra/Sin nombre/Muro/Zapata/Vert. Esperas Tras |
| Descripción: | |

| ud | Ø o tipo | Dimensión | Peso | Forma | Total (mm) | Total (kg) |
|---------------|----------|-----------|------|---|------------|------------|
| 5 | 8 | 140 | 2,76 |  | 700 | 2,76 |
| Total=2,76 kg | | | | | | |

| | |
|---------------------|---|
| Elemento: | Obra/Sin nombre/Muro/Zapata/Vert. Esperas Intra |
| Descripción: | |

| ud | Ø o tipo | Dimensión | Peso | Forma | Total (mm) | Total (kg) |
|----|----------|-----------|------|---|------------|------------|
| 4 | 8 | 140 | 2,21 |  | 560 | 2,21 |

| | |
|---------------------|----------------------------|
| Elemento: | Obra/Sin nombre/Muro/Fuste |
| Descripción: | |

| | |
|---------------------|--|
| Elemento: | Obra/Sin nombre/Muro/Fuste/Vert. Trasdós |
| Descripción: | |

| ud | Ø o tipo | Dimensión | Peso | Forma | Total (mm) | Total (kg) |
|---------------|----------|-----------|------|-------|------------|------------|
| 6 | 12 | 140 | 7,46 | | 840 | 7,46 |
| Total=7,46 kg | | | | | | |

| | |
|---------------------|--|
| Elemento: | Obra/Sin nombre/Muro/Fuste/Hort. Trasdós |
| Descripción: | |

| ud | Ø o tipo | Dimensión | Peso | Forma | Total (mm) | Total (kg) |
|---------------|----------|-----------|------|-------|------------|------------|
| 7 | 12 | 100 | 6,21 | | 700 | 6,21 |
| Total=6,21 kg | | | | | | |

| | |
|---------------------|--|
| Elemento: | Obra/Sin nombre/Muro/Fuste/Vert. Trasdós |
| Descripción: | |

| ud | Ø o tipo | Dimensión | Peso | Forma | Total (mm) | Total (kg) |
|---------------|----------|-----------|------|-------|------------|------------|
| 6 | 12 | 140 | 7,46 | | 840 | 7,46 |
| Total=7,46 kg | | | | | | |

| | |
|---------------------|--|
| Elemento: | Obra/Sin nombre/Muro/Fuste/Hort. Trasdós |
| Descripción: | |

| ud | Ø o tipo | Dimensión | Peso | Forma | Total (mm) | Total (kg) |
|---------------|----------|-----------|------|-------|------------|------------|
| 7 | 12 | 100 | 6,21 | | 700 | 6,21 |
| Total=6,21 kg | | | | | | |

- Losa del vaso de la piscina



| | |
|-------------------------------|---|
| 1.- DATOS DE OBRA..... | 2 |
| 2.- DESCRIPCIÓN DE LOSAS..... | 2 |
| 3.- MEDICIÓN DETALLADA..... | 2 |
| 4.- COMPROBACIÓN..... | 3 |



Losas macizas apoyadas

DESARROLLO DE PROYECTO EJECUTIVO DE REFORMA DE LA PISCINA DEL
COLEGIO PÁLCAM

Fecha: 28/03/18

1.- DATOS DE OBRA

Hormigón: HA-25, $Y_c=1.5$

Acero: B 400 S, $Y_s=1.15$

Recubrimiento: 4.00 cm

Tamaño máximo del árido: 20.0 mm

Estados límite

| | |
|----------------------------|--|
| E.L.U. de rotura. Hormigón | CTE |
| | Cota de nieve: Altitud inferior o igual a 1000 m |

2.- DESCRIPCIÓN DE LOSAS

| Referencias | Geometría | Apoyos | Armado base X | Armado base Y |
|-------------|--|---|--|--|
| L-1 | Espesor: 0.40 m Luz libre X: 6.20 m Luz libre Y: 12.10 m | Izquierda: Empotrado Derecha: Empotrado Abajo: Empotrado Arriba: Empotrado | Armado base inferior: Ø14c/15 Armado base superior: Ø16c/15 | Armado base inferior: Ø14c/15 Armado base superior: Ø14c/15 |

Tabla de cargas

| Referencias | Peso propio | Q 1 |
|-------------|--|---------------------------------------|
| L-1 | Con peso propio Carga uniforme: 0.50 t/m ² | Carga uniforme: 1.30 t/m ² |

3.- MEDICIÓN DETALLADA

| Referencia: L-1 | | B 400 S, $Y_s=1.15$ | | Total |
|-----------------------------------|--------------|---------------------|----------|---------|
| Nombre de armado | | Ø14 | Ø16 | |
| Armadura X - Armado base inferior | Longitud (m) | 84x7.51 | | 630.84 |
| | Peso (kg) | 84x9.08 | | 762.33 |
| Armadura Y - Armado base inferior | Longitud (m) | 45x13.41 | | 603.45 |
| | Peso (kg) | 45x16.21 | | 729.23 |
| Armadura X - Armado base superior | Longitud (m) | | 84x7.50 | 630.00 |
| | Peso (kg) | | 84x11.84 | 994.34 |
| Armadura Y - Armado base superior | Longitud (m) | 45x13.41 | | 603.45 |
| | Peso (kg) | 45x16.21 | | 729.23 |
| Totales | Longitud (m) | 1837.74 | 630.00 | 3215.13 |
| | Peso (kg) | 2220.79 | 994.34 | |
| Total con mermas (10.00%) | Longitud (m) | 2021.51 | 693.00 | 3536.64 |
| | Peso (kg) | 2442.87 | 1093.77 | |

Resumen de medición (se incluyen mermas de acero)

| Elemento | B 400 S, $Y_s=1.15$ (kg) | | | Hormigón (m ³) |
|-----------------|--------------------------|---------|---------|----------------------------|
| | Ø14 | Ø16 | Total | |
| Referencia: L-1 | 2442.87 | 1093.77 | 3536.64 | 33.00 |
| Totales | 2442.87 | 1093.77 | 3536.64 | 33.00 |



Losas macizas apoyadas

DESARROLLO DE PROYECTO EJECUTIVO DE REFORMA DE LA PISCINA DEL
COLEGIO PÁLCAM

Fecha: 28/03/18

4.- COMPROBACIÓN

| Referencia: L-1 | | |
|--|---|--------------------------------------|
| Comprobación | Valores | Estado |
| Armadura inferior dirección X: Armadura superior dirección Y: <ul style="list-style-type: none"> - Armadura superior dirección X: - Armadura inferior dirección Y: | Mínimo: 15.5 cm Calculado: 40 cm Mínimo: 160 cm Calculado: 620 cm | Cumple Cumple |
| Recubrimiento máximo compatible con ancho de apoyo existente: Criterio de CYPE Ingenieros | Máximo: 5 cm Calculado: 4 cm | Cumple |
| Separación máxima entre barras: Norma EHE-08. Artículo 42.3.1 <ul style="list-style-type: none"> - Armadura inferior dirección X: - Armadura superior dirección X: - Armadura inferior dirección Y: - Armadura superior dirección Y: | Máximo: 30 cm Calculado: 15 cm Calculado: 15 cm Calculado: 15 cm Calculado: 15 cm | Cumple Cumple Cumple Cumple |
| Separación mínima de armaduras: Norma EHE-08. Artículo 69.4.1 <ul style="list-style-type: none"> - Armadura inferior dirección X: - Armadura superior dirección X: - Armadura inferior dirección Y: - Armadura superior dirección Y: | Mínimo: 2.5 cm Calculado: 13.6 cm Calculado: 13.4 cm Calculado: 13.6 cm Calculado: 13.6 cm | Cumple Cumple Cumple Cumple |
| Armadura por mínimos geométricos: Criterio de CYPE Ingenieros basado en el Artículo 42.3.5 de la norma EHE-08 <ul style="list-style-type: none"> - Armadura inferior dirección X: - Armadura superior dirección X: - Armadura inferior dirección Y: - Armadura superior dirección Y: | Mínimo: 4 cm ² /m Calculado: 10.3 cm ² /m Calculado: 13.5 cm ² /m Calculado: 10.3 cm ² /m Calculado: 10.3 cm ² /m | Cumple Cumple Cumple Cumple |
| Armadura por mínimos mecánicos: Norma EHE-08. Artículo 42.3.2 <ul style="list-style-type: none"> - Armadura inferior dirección X: - Armadura superior dirección X: - Armadura inferior dirección Y: - Armadura superior dirección Y: | Mínimo: 7.7 cm ² /m Calculado: 10.3 cm ² /m Calculado: 13.5 cm ² /m Calculado: 10.3 cm ² /m Calculado: 10.3 cm ² /m | Cumple Cumple Cumple Cumple |
| Armadura en dirección X: <ul style="list-style-type: none"> - Prolongación de la armadura de positivos: Criterio de CYPE Ingenieros | Mínimo: 5.2 cm ² /m Calculado: 10.3 cm ² /m | Cumple |
| Armadura en dirección Y: <ul style="list-style-type: none"> - Prolongación de la armadura de positivos: Criterio de CYPE Ingenieros | Mínimo: 5.2 cm ² /m Calculado: 10.3 cm ² /m | Cumple |
| Comprobación de cuantías por flexión con acciones estáticas: Artículo 42 de la norma EHE-08 <ul style="list-style-type: none"> - Comprobación de la armadura de positivos dirección X: - Comprobación de la armadura de negativos dirección X: - Comprobación de la armadura de positivos dirección Y: - Comprobación de la armadura de negativos dirección Y: | Mínimo: 5.4 cm ² /m Calculado: 10.3 cm ² /m Mínimo: 10.9 cm ² /m Calculado: 13.5 cm ² /m Mínimo: 3 cm ² /m Calculado: 10.3 cm ² /m Mínimo: 7.4 cm ² /m Calculado: 10.3 cm ² /m | Cumple Cumple Cumple Cumple |
| Comprobación del cortante con acciones estáticas: Artículo 44 de la norma EHE-08 | Máximo: 29.0399 t/m | |



Losas macizas apoyadas

DESARROLLO DE PROYECTO EJECUTIVO DE REFORMA DE LA PISCINA DEL
COLEGIO PÀLCAM

Fecha: 28/03/18

| Referencia: L-1 | | |
|---|------------------------|--------|
| Comprobación | Valores | Estado |
| - Cortante en la dirección X: | Calculado: 11.1766 t/m | Cumple |
| - Cortante en la dirección Y: | Calculado: 11.1766 t/m | Cumple |
| Anclaje armado base con acciones estáticas: Artículo 69 de la norma EHE-08 | Calculado: 50 cm | |
| - Longitud patilla en armado base inferior inicial dirección X: | Mínimo: 50 cm | Cumple |
| - Longitud patilla en armado base inferior final dirección X: | Mínimo: 50 cm | Cumple |
| - Longitud patilla en armado base superior inicial dirección X: | Mínimo: 37 cm | Cumple |
| - Longitud patilla en armado base superior final dirección X: | Mínimo: 37 cm | Cumple |
| - Longitud patilla en armado base inferior inicial dirección Y: | Mínimo: 48 cm | Cumple |
| - Longitud patilla en armado base inferior final dirección Y: | Mínimo: 48 cm | Cumple |
| - Longitud patilla en armado base superior inicial dirección Y: | Mínimo: 28 cm | Cumple |
| - Longitud patilla en armado base superior final dirección Y: | Mínimo: 28 cm | Cumple |
| Se cumplen todas las comprobaciones | | |

- Celosía de apeo de pilares



| | |
|--------------------------------------|----|
| 1.- DATOS DE OBRA..... | 2 |
| 1.1.- Normas consideradas..... | 2 |
| 1.2.- Estados límite..... | 2 |
| 1.2.1.- Situaciones de proyecto..... | 2 |
| 1.2.2.- Combinaciones..... | 3 |
| 2.- ESTRUCTURA..... | 3 |
| 2.1.- Geometría..... | 3 |
| 2.1.1.- Nudos..... | 3 |
| 2.1.2.- Barras..... | 4 |
| 2.2.- Resultados..... | 8 |
| 2.2.1.- Nudos..... | 8 |
| 2.2.2.- Barras..... | 14 |



1.- DATOS DE OBRA

1.1.- Normas consideradas

Aceros laminados y armados: CTE DB SE-A

Categoría de uso: C. Zonas de acceso al público

1.2.- Estados límite

| | |
|----------------------------------|---|
| E.L.U. de rotura. Acero laminado | CTE Cota de nieve: Altitud inferior o igual a 1000 m |
| Desplazamientos | Acciones características |

1.2.1.- Situaciones de proyecto

Para las distintas situaciones de proyecto, las combinaciones de acciones se definirán de acuerdo con los siguientes criterios:

- Con coeficientes de combinación

$$\sum_{j \geq 1} \gamma_{Gj} G_{kj} + \gamma_{Q1} \Psi_{p1} Q_{k1} + \sum_{i > 1} \gamma_{Qi} \Psi_{ai} Q_{ki}$$

- Sin coeficientes de combinación

$$\sum_{j \geq 1} \gamma_{Gj} G_{kj} + \sum_{i \geq 1} \gamma_{Qi} Q_{ki}$$

- Donde:

G_k Acción permanente

Q_k Acción variable

γ_G Coeficiente parcial de seguridad de las acciones permanentes

$\gamma_{Q,1}$ Coeficiente parcial de seguridad de la acción variable principal

$\gamma_{Q,i}$ Coeficiente parcial de seguridad de las acciones variables de acompañamiento

$\Psi_{p,1}$ Coeficiente de combinación de la acción variable principal

$\Psi_{a,i}$ Coeficiente de combinación de las acciones variables de acompañamiento

Para cada situación de proyecto y estado límite los coeficientes a utilizar serán:

E.L.U. de rotura. Acero laminado: CTE DB SE-A

| Persistente o transitoria | | | | |
|---------------------------|--|--------------|--|-----------------------------|
| | Coeficientes parciales de seguridad (γ) | | Coeficientes de combinación (ψ) | |
| | Favorable | Desfavorable | Principal (ψ_p) | Acompañamiento (ψ_a) |
| Carga permanente (G) | 0.800 | 1.350 | - | - |
| Sobrecarga (Q) | 0.000 | 1.500 | 1.000 | 0.700 |

Desplazamientos



Listados

DESARROLLO DE PROYECTO EJECUTIVO DE REFORMA DE LA PISCINA DEL
COLEGIO PÁLCAM

Fecha: 28/03/18

| Característica | | | | |
|----------------------|--|--------------|--|-----------------------------|
| | Coeficientes parciales de seguridad (γ) | | Coeficientes de combinación (ψ) | |
| | Favorable | Desfavorable | Principal (ψ_p) | Acompañamiento (ψ_s) |
| Carga permanente (G) | 1.000 | 1.000 | - | - |
| Sobrecarga (Q) | 0.000 | 1.000 | 1.000 | 1.000 |

1.2.2.- Combinaciones

- Nombres de las hipótesis

PP Peso propio

CM 1 Pavimentos

CM 2 Tabiquería

Q 1 SCU

- E.L.U. de rotura. Acero laminado

| Comb. | PP | CM 1 | CM 2 | Q 1 |
|-------|-------|-------|-------|-------|
| 1 | 0.800 | 0.800 | 0.800 | |
| 2 | 1.350 | 0.800 | 0.800 | |
| 3 | 0.800 | 1.350 | 0.800 | |
| 4 | 1.350 | 1.350 | 0.800 | |
| 5 | 0.800 | 0.800 | 1.350 | |
| 6 | 1.350 | 0.800 | 1.350 | |
| 7 | 0.800 | 1.350 | 1.350 | |
| 8 | 1.350 | 1.350 | 1.350 | |
| 9 | 0.800 | 0.800 | 0.800 | 1.500 |
| 10 | 1.350 | 0.800 | 0.800 | 1.500 |
| 11 | 0.800 | 1.350 | 0.800 | 1.500 |
| 12 | 1.350 | 1.350 | 0.800 | 1.500 |
| 13 | 0.800 | 0.800 | 1.350 | 1.500 |
| 14 | 1.350 | 0.800 | 1.350 | 1.500 |
| 15 | 0.800 | 1.350 | 1.350 | 1.500 |
| 16 | 1.350 | 1.350 | 1.350 | 1.500 |

- Desplazamientos

| Comb. | PP | CM 1 | CM 2 | Q 1 |
|-------|-------|-------|-------|-------|
| 1 | 1.000 | 1.000 | 1.000 | |
| 2 | 1.000 | 1.000 | 1.000 | 1.000 |

2.- ESTRUCTURA

2.1.- Geometría

2.1.1.- Nudos

Referencias:

$\Delta_x, \Delta_y, \Delta_z$: Desplazamientos prescritos en ejes globales.

$\theta_x, \theta_y, \theta_z$: Giros prescritos en ejes globales.



Listados

DESARROLLO DE PROYECTO EJECUTIVO DE REFORMA DE LA PISCINA DEL
COLEGIO PÁLCAM

Fecha: 28/03/18

Cada grado de libertad se marca con 'X' si está coaccionado y, en caso contrario, con '-'.

| Nudos | | | | | | | | | | |
|------------|-------------|----------|----------|----------------------|------------|------------|------------|------------|------------|----------------------|
| Referencia | Coordenadas | | | Vinculación exterior | | | | | | Vinculación interior |
| | X (m) | Y (m) | Z (m) | Δ_x | Δ_y | Δ_z | θ_x | θ_y | θ_z | |
| N1 | 0.000 | 0.000 | 0.000 | X | X | X | - | - | - | Empotrado |
| N2 | 0.000 | 9.510 | 0.000 | X | X | X | - | - | - | Empotrado |
| N3 | 0.000 | 0.000 | 0.600 | - | - | - | - | - | - | Empotrado |
| N4 | 0.000 | 9.510 | 0.600 | - | - | - | - | - | - | Empotrado |
| N5 | 0.000 | 0.950 | 0.000 | - | - | - | - | - | - | Empotrado |
| N6 | 0.000 | 0.950 | 0.600 | - | - | - | - | - | - | Empotrado |
| N7 | 0.000 | 1.900 | 0.600 | - | - | - | - | - | - | Empotrado |
| N8 | 0.000 | 2.850 | 0.600 | - | - | - | - | - | - | Empotrado |
| N9 | 0.000 | 3.800 | 0.600 | - | - | - | - | - | - | Empotrado |
| N10 | 0.000 | 4.750 | 0.600 | - | - | - | - | - | - | Empotrado |
| N11 | 0.000 | 5.700 | 0.600 | - | - | - | - | - | - | Empotrado |
| N12 | 0.000 | 6.650 | 0.600 | - | - | - | - | - | - | Empotrado |
| N13 | 0.000 | 7.600 | 0.600 | - | - | - | - | - | - | Empotrado |
| N14 | 0.000 | 8.550 | 0.600 | - | - | - | - | - | - | Empotrado |
| N15 | 0.000 | 1.900 | 0.000 | - | - | - | - | - | - | Empotrado |
| N16 | 0.000 | 2.850 | 0.000 | - | - | - | - | - | - | Empotrado |
| N17 | 0.000 | 3.800 | 0.000 | - | - | - | - | - | - | Empotrado |
| N18 | 0.000 | 4.750 | 0.000 | - | - | - | - | - | - | Empotrado |
| N19 | 0.000 | 5.700 | 0.000 | - | - | - | - | - | - | Empotrado |
| N20 | 0.000 | 6.650 | 0.000 | - | - | - | - | - | - | Empotrado |
| N21 | 0.000 | 7.600 | 0.000 | - | - | - | - | - | - | Empotrado |
| N22 | 0.000 | 8.550 | 0.000 | - | - | - | - | - | - | Empotrado |

2.1.2.- Barras

2.1.2.1.- Materiales utilizados

| Materiales utilizados | | | | | | | |
|---|-------------|----------------------------|-------|----------------------------|--------------------------------|-----------------------|---------------------------------|
| Material | | E (kp/cm ²) | ν | G (kp/cm ²) | f_y (kp/cm ²) | α_t (m/m°C) | γ (t/m ³) |
| Tipo | Designación | | | | | | |
| Acero laminado | S275 | 2140672.8 | 0.300 | 825688.1 | 2803.3 | 0.000012 | 7.850 |
| Notación: E: Módulo de elasticidad ν : Módulo de Poisson G: Módulo de cortadura f_y : Límite elástico α_t : Coeficiente de dilatación γ : Peso específico | | | | | | | |

2.1.2.2.- Descripción



Listados

DESARROLLO DE PROYECTO EJECUTIVO DE REFORMA DE LA PISCINA DEL
COLEGIO PÁLCAM

Fecha: 28/03/18

| Descripción | | | | | | | | | |
|----------------|-------------|------------------|------------------|----------------------|-----------------|--------------|--------------|---------------------------|---------------------------|
| Material | | Barra (Ni/Nf) | Pieza (Ni/Nf) | Perfil(Serie) | Longitud (m) | β_{xy} | β_{xz} | Lb ^{Sup.} (m) | Lb ^{Inf.} (m) |
| Tipo | Designación | | | | | | | | |
| Acero laminado | S275 | N5/N3 | N5/N3 | CA 120x10x120x8 (CA) | 1.124 | 1.00 | 1.00 | - | - |
| | | N15/N6 | N15/N6 | CA 120x10x120x8 (CA) | 1.124 | 1.00 | 1.00 | - | - |
| | | N16/N7 | N16/N7 | CA 120x10x120x8 (CA) | 1.124 | 1.00 | 1.00 | - | - |
| | | N17/N8 | N17/N8 | CA 120x10x120x8 (CA) | 1.124 | 1.00 | 1.00 | - | - |
| | | N18/N9 | N18/N9 | CA 120x10x120x8 (CA) | 1.124 | 1.00 | 1.00 | - | - |
| | | N22/N4 | N22/N4 | CA 120x10x120x8 (CA) | 1.132 | 1.00 | 1.00 | - | - |
| | | N21/N14 | N21/N14 | CA 120x10x120x8 (CA) | 1.124 | 1.00 | 1.00 | - | - |
| | | N20/N13 | N20/N13 | CA 120x10x120x8 (CA) | 1.124 | 1.00 | 1.00 | - | - |
| | | N19/N12 | N19/N12 | CA 120x10x120x8 (CA) | 1.124 | 1.00 | 1.00 | - | - |
| | | N18/N11 | N18/N11 | CA 120x10x120x8 (CA) | 1.124 | 1.00 | 1.00 | - | - |
| | | N1/N5 | N1/N2 | HE 450 B (HEB) | 0.950 | 1.00 | 1.00 | - | - |
| | | N5/N15 | N1/N2 | HE 450 B (HEB) | 0.950 | 1.00 | 1.00 | - | - |
| | | N15/N16 | N1/N2 | HE 450 B (HEB) | 0.950 | 1.00 | 1.00 | - | - |
| | | N16/N17 | N1/N2 | HE 450 B (HEB) | 0.950 | 1.00 | 1.00 | - | - |
| | | N17/N18 | N1/N2 | HE 450 B (HEB) | 0.950 | 1.00 | 1.00 | - | - |
| | | N18/N19 | N1/N2 | HE 450 B (HEB) | 0.950 | 1.00 | 1.00 | - | - |
| | | N19/N20 | N1/N2 | HE 450 B (HEB) | 0.950 | 1.00 | 1.00 | - | - |
| | | N20/N21 | N1/N2 | HE 450 B (HEB) | 0.950 | 1.00 | 1.00 | - | - |
| | | N21/N22 | N1/N2 | HE 450 B (HEB) | 0.950 | 1.00 | 1.00 | - | - |
| | | N22/N2 | N1/N2 | HE 450 B (HEB) | 0.960 | 1.00 | 1.00 | - | - |
| | | N1/N3 | N1/N3 | HE 220 B (HEB) | 0.600 | 1.00 | 1.00 | - | - |
| | | N5/N6 | N5/N6 | CA 120x10x120x8 (CA) | 0.600 | 1.00 | 1.00 | - | - |
| | | N15/N7 | N15/N7 | CA 120x10x120x8 (CA) | 0.600 | 1.00 | 1.00 | - | - |
| | | N16/N8 | N16/N8 | CA 120x10x120x8 (CA) | 0.600 | 1.00 | 1.00 | - | - |
| | | N17/N9 | N17/N9 | CA 120x10x120x8 (CA) | 0.600 | 1.00 | 1.00 | - | - |
| | | N18/N10 | N18/N10 | CA 120x10x120x8 (CA) | 0.600 | 1.00 | 1.00 | - | - |
| | | N19/N11 | N19/N11 | CA 120x10x120x8 (CA) | 0.600 | 1.00 | 1.00 | - | - |
| | | N20/N12 | N20/N12 | CA 120x10x120x8 (CA) | 0.600 | 1.00 | 1.00 | - | - |
| | | N21/N13 | N21/N13 | CA 120x10x120x8 (CA) | 0.600 | 1.00 | 1.00 | - | - |
| | | N22/N14 | N22/N14 | CA 120x10x120x8 (CA) | 0.600 | 1.00 | 1.00 | - | - |



Listados

DESARROLLO DE PROYECTO EJECUTIVO DE REFORMA DE LA PISCINA DEL
COLEGIO PÁLCAM

Fecha: 28/03/18

| Descripción | | | | | | | | | |
|-------------|-------------|------------------|------------------|----------------|-----------------|--------------|--------------|---------------------------|---------------------------|
| Material | | Barra (Ni/Nf) | Pieza (Ni/Nf) | Perfil(Serie) | Longitud (m) | β_{xy} | β_{xz} | Lb _{Sup.} (m) | Lb _{Inf.} (m) |
| Tipo | Designación | | | | | | | | |
| | | N2/N4 | N2/N4 | HE 220 B (HEB) | 0.600 | 1.00 | 1.00 | - | - |
| | | N3/N6 | N3/N6 | HE 450 B (HEB) | 0.950 | 1.00 | 1.00 | - | - |
| | | N6/N7 | N6/N7 | HE 450 B (HEB) | 0.950 | 1.00 | 1.00 | - | - |
| | | N7/N8 | N7/N8 | HE 450 B (HEB) | 0.950 | 1.00 | 1.00 | - | - |
| | | N8/N9 | N8/N9 | HE 450 B (HEB) | 0.950 | 1.00 | 1.00 | - | - |
| | | N9/N10 | N9/N10 | HE 450 B (HEB) | 0.950 | 1.00 | 1.00 | - | - |
| | | N10/N11 | N10/N11 | HE 450 B (HEB) | 0.950 | 1.00 | 1.00 | - | - |
| | | N11/N12 | N11/N12 | HE 450 B (HEB) | 0.950 | 1.00 | 1.00 | - | - |
| | | N12/N13 | N12/N13 | HE 450 B (HEB) | 0.950 | 1.00 | 1.00 | - | - |
| | | N13/N14 | N13/N14 | HE 450 B (HEB) | 0.950 | 1.00 | 1.00 | - | - |
| | | N14/N4 | N14/N4 | HE 450 B (HEB) | 0.960 | 1.00 | 1.00 | - | - |

Notación:
 Ni: Nudo inicial
 Nf: Nudo final
 β_{xy} : Coeficiente de pandeo en el plano 'XY'
 β_{xz} : Coeficiente de pandeo en el plano 'XZ'
 Lb_{Sup.}: Separación entre arriostramientos del ala superior
 Lb_{Inf.}: Separación entre arriostramientos del ala inferior

2.1.2.3.- Características mecánicas

| Tipos de pieza | |
|----------------|--|
| Ref. | Piezas |
| 1 | N5/N3, N15/N6, N16/N7, N17/N8, N18/N9, N22/N4, N21/N14, N20/N13, N19/N12, N18/N11, N5/N6, N15/N7, N16/N8, N17/N9, N18/N10, N19/N11, N20/N12, N21/N13 y N22/N14 |
| 2 | N1/N2, N3/N6, N6/N7, N7/N8, N8/N9, N9/N10, N10/N11, N11/N12, N12/N13, N13/N14 y N14/N4 |
| 3 | N1/N3 y N2/N4 |

| Características mecánicas | | | | | | | | | |
|---------------------------|-------------|------|-----------------------|-------------------------|---------------------------|---------------------------|---------------------------|---------------------------|--------------------------|
| Material | | Ref. | Descripción | A (cm ²) | Avy (cm ²) | Avz (cm ²) | Iyy (cm ⁴) | Izz (cm ⁴) | It (cm ⁴) |
| Tipo | Designación | | | | | | | | |
| Acero laminado | S275 | 1 | CA 120x10x120x8, (CA) | 40.00 | 16.00 | 20.80 | 790.61 | 861.33 | 1225.11 |
| | | 2 | HE 450 B , (HEB) | 218.00 | 117.00 | 50.15 | 79890.00 | 11720.00 | 440.50 |
| | | 3 | HE 220 B , (HEB) | 91.00 | 52.80 | 16.07 | 8091.00 | 2843.00 | 76.57 |

Notación:
 Ref.: Referencia
 A: Área de la sección transversal
 Avy: Área de cortante de la sección según el eje local 'Y'
 Avz: Área de cortante de la sección según el eje local 'Z'
 Iyy: Inercia de la sección alrededor del eje local 'Y'
 Izz: Inercia de la sección alrededor del eje local 'Z'
 It: Inercia a torsión
 Las características mecánicas de las piezas corresponden a la sección en el punto medio de las mismas.

2.1.2.4.- Tabla de medición

| Tabla de medición | | | | | | |
|-------------------|-------------|------------------|----------------------|-----------------|------------------------------|--------------|
| Material | | Pieza (Ni/Nf) | Perfil(Serie) | Longitud (m) | Volumen (m ³) | Peso (kg) |
| Tipo | Designación | | | | | |
| Acero laminado | S275 | N5/N3 | CA 120x10x120x8 (CA) | 1.124 | 0.004 | 35.28 |
| | | N15/N6 | CA 120x10x120x8 (CA) | 1.124 | 0.004 | 35.28 |



Listados

DESARROLLO DE PROYECTO EJECUTIVO DE REFORMA DE LA PISCINA DEL
COLEGIO PÁLCAM

Fecha: 28/03/18

| Tabla de medición | | | | | | |
|---|-------------|------------------|-------------------------|-----------------|-----------------|--------------|
| Material | | Pieza (Ni/Nf) | Perfil(Serie) | Longitud (m) | Volumen (m³) | Peso (kg) |
| Tipo | Designación | | | | | |
| | | N16/N7 | CA 120x10x120x8 (CA) | 1.124 | 0.004 | 35.28 |
| | | N17/N8 | CA 120x10x120x8 (CA) | 1.124 | 0.004 | 35.28 |
| | | N18/N9 | CA 120x10x120x8 (CA) | 1.124 | 0.004 | 35.28 |
| | | N22/N4 | CA 120x10x120x8 (CA) | 1.132 | 0.005 | 35.55 |
| | | N21/N14 | CA 120x10x120x8 (CA) | 1.124 | 0.004 | 35.28 |
| | | N20/N13 | CA 120x10x120x8 (CA) | 1.124 | 0.004 | 35.28 |
| | | N19/N12 | CA 120x10x120x8 (CA) | 1.124 | 0.004 | 35.28 |
| | | N18/N11 | CA 120x10x120x8 (CA) | 1.124 | 0.004 | 35.28 |
| | | N1/N2 | HE 450 B (HEB) | 9.510 | 0.207 | 1627.45 |
| | | N1/N3 | HE 220 B (HEB) | 0.600 | 0.005 | 42.86 |
| | | N5/N6 | CA 120x10x120x8 (CA) | 0.600 | 0.002 | 18.84 |
| | | N15/N7 | CA 120x10x120x8 (CA) | 0.600 | 0.002 | 18.84 |
| | | N16/N8 | CA 120x10x120x8 (CA) | 0.600 | 0.002 | 18.84 |
| | | N17/N9 | CA 120x10x120x8 (CA) | 0.600 | 0.002 | 18.84 |
| | | N18/N10 | CA 120x10x120x8 (CA) | 0.600 | 0.002 | 18.84 |
| | | N19/N11 | CA 120x10x120x8 (CA) | 0.600 | 0.002 | 18.84 |
| | | N20/N12 | CA 120x10x120x8 (CA) | 0.600 | 0.002 | 18.84 |
| | | N21/N13 | CA 120x10x120x8 (CA) | 0.600 | 0.002 | 18.84 |
| | | N22/N14 | CA 120x10x120x8 (CA) | 0.600 | 0.002 | 18.84 |
| | | N2/N4 | HE 220 B (HEB) | 0.600 | 0.005 | 42.86 |
| | | N3/N6 | HE 450 B (HEB) | 0.950 | 0.021 | 162.57 |
| | | N6/N7 | HE 450 B (HEB) | 0.950 | 0.021 | 162.57 |
| | | N7/N8 | HE 450 B (HEB) | 0.950 | 0.021 | 162.57 |
| | | N8/N9 | HE 450 B (HEB) | 0.950 | 0.021 | 162.57 |
| | | N9/N10 | HE 450 B (HEB) | 0.950 | 0.021 | 162.57 |
| | | N10/N11 | HE 450 B (HEB) | 0.950 | 0.021 | 162.57 |
| | | N11/N12 | HE 450 B (HEB) | 0.950 | 0.021 | 162.57 |
| | | N12/N13 | HE 450 B (HEB) | 0.950 | 0.021 | 162.57 |
| | | N13/N14 | HE 450 B (HEB) | 0.950 | 0.021 | 162.57 |
| | | N14/N4 | HE 450 B (HEB) | 0.960 | 0.021 | 164.28 |
| Notación: Ni: Nudo inicial Nf: Nudo final | | | | | | |



Listados

DESARROLLO DE PROYECTO EJECUTIVO DE REFORMA DE LA PISCINA DEL
COLEGIO PÁLCAM

Fecha: 28/03/18

2.1.2.5.- Resumen de medición

| Resumen de medición | | | | | | | | | | | | |
|---------------------|-------------|-------|-----------------|------------|-----------|--------------|-------------|------------|---------------|-------------|------------|---------------|
| Material | | Serie | Perfil | Longitud | | | Volumen | | | Peso | | |
| Tipo | Designación | | | Perfil (m) | Serie (m) | Material (m) | Perfil (m³) | Serie (m³) | Material (m³) | Perfil (kg) | Serie (kg) | Material (kg) |
| Acero laminado | S275 | CA | CA 120x10x120x8 | 16.645 | 16.645 | 36.865 | 0.067 | 0.067 | 0.492 | 522.64 | 522.64 | 3863.25 |
| | | | HE 450 B | 19.020 | | | 0.415 | | | 3254.89 | | |
| | | HEB | HE 220 B | 1.200 | 20.220 | | 0.011 | 0.426 | | 85.72 | 3340.61 | |
| | | | | | | | | | | | | |

2.1.2.6.- Medición de superficies

| Acero laminado: Medición de las superficies a pintar | | | | |
|--|-----------------|----------------------------|--------------|-----------------|
| Serie | Perfil | Superficie unitaria (m²/m) | Longitud (m) | Superficie (m²) |
| CA | CA 120x10x120x8 | 0.480 | 16.645 | 7.989 |
| HEB | HE 450 B | 2.072 | 19.020 | 39.409 |
| | HE 220 B | 1.301 | 1.200 | 1.561 |
| Total | | | | 48.960 |

2.2.- Resultados

2.2.1.- Nudos

2.2.1.1.- Desplazamientos

Referencias:

Dx, Dy, Dz: Desplazamientos de los nudos en ejes globales.

Gx, Gy, Gz: Giros de los nudos en ejes globales.

2.2.1.1.1.- Hipótesis

| Desplazamientos de los nudos, por hipótesis | | | | | | | |
|---|-------------|----------------------------------|---------|---------|-----------|-----------|-----------|
| Referencia | Descripción | Desplazamientos en ejes globales | | | | | |
| | | Dx (mm) | Dy (mm) | Dz (mm) | Gx (mRad) | Gy (mRad) | Gz (mRad) |
| N1 | Peso propio | 0.000 | 0.000 | 0.000 | -1.362 | 0.000 | 0.000 |
| | CM 1 | 0.000 | 0.000 | 0.000 | -0.436 | 0.000 | 0.000 |
| | CM 2 | 0.000 | 0.000 | 0.000 | -0.436 | 0.000 | 0.000 |
| | Q 1 | 0.000 | 0.000 | 0.000 | -1.309 | 0.000 | 0.000 |
| N2 | Peso propio | 0.000 | 0.000 | 0.000 | 1.362 | 0.000 | 0.000 |
| | CM 1 | 0.000 | 0.000 | 0.000 | 0.436 | 0.000 | 0.000 |
| | CM 2 | 0.000 | 0.000 | 0.000 | 0.436 | 0.000 | 0.000 |
| | Q 1 | 0.000 | 0.000 | 0.000 | 1.309 | 0.000 | 0.000 |
| N3 | Peso propio | 0.000 | 0.503 | -0.040 | -1.374 | 0.000 | 0.000 |
| | CM 1 | 0.000 | 0.162 | -0.012 | -0.440 | 0.000 | 0.000 |
| | CM 2 | 0.000 | 0.162 | -0.012 | -0.440 | 0.000 | 0.000 |
| | Q 1 | 0.000 | 0.486 | -0.037 | -1.321 | 0.000 | 0.000 |
| N4 | Peso propio | 0.000 | -0.502 | -0.039 | 1.374 | 0.000 | 0.000 |
| | CM 1 | 0.000 | -0.162 | -0.012 | 0.440 | 0.000 | 0.000 |
| | CM 2 | 0.000 | -0.162 | -0.012 | 0.440 | 0.000 | 0.000 |
| | Q 1 | 0.000 | -0.485 | -0.037 | 1.321 | 0.000 | 0.000 |
| N5 | Peso propio | 0.000 | -0.065 | -1.380 | -1.380 | 0.000 | 0.000 |



Listados

DESARROLLO DE PROYECTO EJECUTIVO DE REFORMA DE LA PISCINA DEL
COLEGIO PÁLCAM

Fecha: 28/03/18

| Desplazamientos de los nudos, por hipótesis | | | | | | | |
|---|-------------|----------------------------------|------------|------------|--------------|--------------|--------------|
| Referencia | Descripción | Desplazamientos en ejes globales | | | | | |
| | | Dx (mm) | Dy (mm) | Dz (mm) | Gx (mRad) | Gy (mRad) | Gz (mRad) |
| | CM 1 | 0.000 | -0.021 | -0.441 | -0.443 | 0.000 | 0.000 |
| | CM 2 | 0.000 | -0.021 | -0.441 | -0.443 | 0.000 | 0.000 |
| | Q 1 | 0.000 | -0.063 | -1.324 | -1.330 | 0.000 | 0.000 |
| N6 | Peso propio | 0.000 | 0.460 | -1.441 | -1.388 | 0.000 | 0.000 |
| | CM 1 | 0.000 | 0.148 | -0.461 | -0.446 | 0.000 | 0.000 |
| | CM 2 | 0.000 | 0.148 | -0.461 | -0.446 | 0.000 | 0.000 |
| | Q 1 | 0.000 | 0.445 | -1.383 | -1.338 | 0.000 | 0.000 |
| N7 | Peso propio | 0.000 | 0.385 | -2.790 | -1.273 | 0.000 | 0.000 |
| | CM 1 | 0.000 | 0.124 | -0.895 | -0.412 | 0.000 | 0.000 |
| | CM 2 | 0.000 | 0.124 | -0.895 | -0.412 | 0.000 | 0.000 |
| | Q 1 | 0.000 | 0.373 | -2.686 | -1.235 | 0.000 | 0.000 |
| N8 | Peso propio | 0.000 | 0.278 | -3.972 | -1.028 | 0.000 | 0.000 |
| | CM 1 | 0.000 | 0.090 | -1.280 | -0.335 | 0.000 | 0.000 |
| | CM 2 | 0.000 | 0.090 | -1.280 | -0.335 | 0.000 | 0.000 |
| | Q 1 | 0.000 | 0.270 | -3.839 | -1.006 | 0.000 | 0.000 |
| N9 | Peso propio | 0.000 | 0.146 | -4.860 | -0.636 | 0.000 | 0.000 |
| | CM 1 | 0.000 | 0.047 | -1.572 | -0.210 | 0.000 | 0.000 |
| | CM 2 | 0.000 | 0.047 | -1.572 | -0.210 | 0.000 | 0.000 |
| | Q 1 | 0.000 | 0.142 | -4.715 | -0.629 | 0.000 | 0.000 |
| N10 | Peso propio | 0.000 | 0.001 | -5.339 | -0.002 | 0.000 | 0.000 |
| | CM 1 | 0.000 | 0.000 | -1.733 | -0.001 | 0.000 | 0.000 |
| | CM 2 | 0.000 | 0.000 | -1.733 | -0.001 | 0.000 | 0.000 |
| | Q 1 | 0.000 | 0.001 | -5.198 | -0.002 | 0.000 | 0.000 |
| N11 | Peso propio | 0.000 | -0.143 | -4.865 | 0.631 | 0.000 | 0.000 |
| | CM 1 | 0.000 | -0.047 | -1.573 | 0.208 | 0.000 | 0.000 |
| | CM 2 | 0.000 | -0.047 | -1.573 | 0.208 | 0.000 | 0.000 |
| | Q 1 | 0.000 | -0.140 | -4.719 | 0.625 | 0.000 | 0.000 |
| N12 | Peso propio | 0.000 | -0.276 | -3.981 | 1.024 | 0.000 | 0.000 |
| | CM 1 | 0.000 | -0.089 | -1.282 | 0.334 | 0.000 | 0.000 |
| | CM 2 | 0.000 | -0.089 | -1.282 | 0.334 | 0.000 | 0.000 |
| | Q 1 | 0.000 | -0.268 | -3.847 | 1.003 | 0.000 | 0.000 |
| N13 | Peso propio | 0.000 | -0.382 | -2.802 | 1.270 | 0.000 | 0.000 |
| | CM 1 | 0.000 | -0.124 | -0.899 | 0.411 | 0.000 | 0.000 |
| | CM 2 | 0.000 | -0.124 | -0.899 | 0.411 | 0.000 | 0.000 |
| | Q 1 | 0.000 | -0.371 | -2.698 | 1.232 | 0.000 | 0.000 |
| N14 | Peso propio | 0.000 | -0.458 | -1.456 | 1.386 | 0.000 | 0.000 |
| | CM 1 | 0.000 | -0.148 | -0.466 | 0.446 | 0.000 | 0.000 |
| | CM 2 | 0.000 | -0.148 | -0.466 | 0.446 | 0.000 | 0.000 |
| | Q 1 | 0.000 | -0.443 | -1.397 | 1.337 | 0.000 | 0.000 |
| N15 | Peso propio | 0.000 | -0.095 | -2.731 | -1.276 | 0.000 | 0.000 |
| | CM 1 | 0.000 | -0.031 | -0.876 | -0.413 | 0.000 | 0.000 |
| | CM 2 | 0.000 | -0.031 | -0.876 | -0.413 | 0.000 | 0.000 |
| | Q 1 | 0.000 | -0.092 | -2.629 | -1.238 | 0.000 | 0.000 |
| N16 | Peso propio | 0.000 | -0.091 | -3.921 | -1.032 | 0.000 | 0.000 |
| | CM 1 | 0.000 | -0.030 | -1.263 | -0.336 | 0.000 | 0.000 |



Listados

DESARROLLO DE PROYECTO EJECUTIVO DE REFORMA DE LA PISCINA DEL
COLEGIO PÁLCAM

Fecha: 28/03/18

| Desplazamientos de los nudos, por hipótesis | | | | | | | |
|---|-------------|----------------------------------|------------|------------|--------------|--------------|--------------|
| Referencia | Descripción | Desplazamientos en ejes globales | | | | | |
| | | Dx (mm) | Dy (mm) | Dz (mm) | Gx (mRad) | Gy (mRad) | Gz (mRad) |
| | CM 2 | 0.000 | -0.030 | -1.263 | -0.336 | 0.000 | 0.000 |
| | Q 1 | 0.000 | -0.089 | -3.788 | -1.009 | 0.000 | 0.000 |
| N17 | Peso propio | 0.000 | -0.058 | -4.817 | -0.621 | 0.000 | 0.000 |
| | CM 1 | 0.000 | -0.019 | -1.557 | -0.204 | 0.000 | 0.000 |
| | CM 2 | 0.000 | -0.019 | -1.557 | -0.204 | 0.000 | 0.000 |
| | Q 1 | 0.000 | -0.057 | -4.671 | -0.612 | 0.000 | 0.000 |
| N18 | Peso propio | 0.000 | 0.000 | -5.234 | -0.002 | 0.000 | 0.000 |
| | CM 1 | 0.000 | 0.000 | -1.696 | -0.001 | 0.000 | 0.000 |
| | CM 2 | 0.000 | 0.000 | -1.696 | -0.001 | 0.000 | 0.000 |
| | Q 1 | 0.000 | 0.000 | -5.088 | -0.002 | 0.000 | 0.000 |
| N19 | Peso propio | 0.000 | 0.058 | -4.821 | 0.616 | 0.000 | 0.000 |
| | CM 1 | 0.000 | 0.019 | -1.558 | 0.203 | 0.000 | 0.000 |
| | CM 2 | 0.000 | 0.019 | -1.558 | 0.203 | 0.000 | 0.000 |
| | Q 1 | 0.000 | 0.057 | -4.675 | 0.608 | 0.000 | 0.000 |
| N20 | Peso propio | 0.000 | 0.092 | -3.930 | 1.028 | 0.000 | 0.000 |
| | CM 1 | 0.000 | 0.030 | -1.266 | 0.335 | 0.000 | 0.000 |
| | CM 2 | 0.000 | 0.030 | -1.266 | 0.335 | 0.000 | 0.000 |
| | Q 1 | 0.000 | 0.089 | -3.797 | 1.005 | 0.000 | 0.000 |
| N21 | Peso propio | 0.000 | 0.095 | -2.743 | 1.273 | 0.000 | 0.000 |
| | CM 1 | 0.000 | 0.031 | -0.880 | 0.412 | 0.000 | 0.000 |
| | CM 2 | 0.000 | 0.031 | -0.880 | 0.412 | 0.000 | 0.000 |
| | Q 1 | 0.000 | 0.092 | -2.640 | 1.235 | 0.000 | 0.000 |
| N22 | Peso propio | 0.000 | 0.066 | -1.394 | 1.379 | 0.000 | 0.000 |
| | CM 1 | 0.000 | 0.021 | -0.446 | 0.443 | 0.000 | 0.000 |
| | CM 2 | 0.000 | 0.021 | -0.446 | 0.443 | 0.000 | 0.000 |
| | Q 1 | 0.000 | 0.063 | -1.338 | 1.329 | 0.000 | 0.000 |

2.2.1.1.2.- Combinaciones

| Desplazamientos de los nudos, por combinación | | | | | | | | |
|---|-----------------|---------------|----------------------------------|------------|------------|--------------|--------------|--------------|
| Referencia | Combinación | | Desplazamientos en ejes globales | | | | | |
| | Tipo | Descripción | Dx (mm) | Dy (mm) | Dz (mm) | Gx (mRad) | Gy (mRad) | Gz (mRad) |
| N1 | Desplazamientos | PP+CM1+CM2 | 0.000 | 0.000 | 0.000 | -2.235 | 0.000 | 0.000 |
| | | PP+CM1+CM2+Q1 | 0.000 | 0.000 | 0.000 | -3.544 | 0.000 | 0.000 |
| N2 | Desplazamientos | PP+CM1+CM2 | 0.000 | 0.000 | 0.000 | 2.235 | 0.000 | 0.000 |
| | | PP+CM1+CM2+Q1 | 0.000 | 0.000 | 0.000 | 3.543 | 0.000 | 0.000 |
| N3 | Desplazamientos | PP+CM1+CM2 | 0.000 | 0.827 | -0.064 | -2.255 | 0.000 | 0.000 |
| | | PP+CM1+CM2+Q1 | 0.000 | 1.313 | -0.101 | -3.576 | 0.000 | 0.000 |
| N4 | Desplazamientos | PP+CM1+CM2 | 0.000 | -0.825 | -0.064 | 2.254 | 0.000 | 0.000 |
| | | PP+CM1+CM2+Q1 | 0.000 | -1.309 | -0.101 | 3.575 | 0.000 | 0.000 |
| N5 | Desplazamientos | PP+CM1+CM2 | 0.000 | -0.107 | -2.262 | -2.266 | 0.000 | 0.000 |
| | | PP+CM1+CM2+Q1 | 0.000 | -0.170 | -3.586 | -3.596 | 0.000 | 0.000 |
| N6 | Desplazamientos | PP+CM1+CM2 | 0.000 | 0.757 | -2.363 | -2.280 | 0.000 | 0.000 |
| | | PP+CM1+CM2+Q1 | 0.000 | 1.203 | -3.746 | -3.617 | 0.000 | 0.000 |



Listados

DESARROLLO DE PROYECTO EJECUTIVO DE REFORMA DE LA PISCINA DEL
COLEGIO PÁLCAM

Fecha: 28/03/18

| Desplazamientos de los nudos, por combinación | | | | | | | | |
|---|-----------------|---------------|----------------------------------|------------|------------|--------------|--------------|--------------|
| Referencia | Combinación | | Desplazamientos en ejes globales | | | | | |
| | Tipo | Descripción | Dx (mm) | Dy (mm) | Dz (mm) | Gx (mRad) | Gy (mRad) | Gz (mRad) |
| N7 | Desplazamientos | PP+CM1+CM2 | 0.000 | 0.633 | -4.581 | -2.096 | 0.000 | 0.000 |
| | | PP+CM1+CM2+Q1 | 0.000 | 1.006 | -7.267 | -3.332 | 0.000 | 0.000 |
| N8 | Desplazamientos | PP+CM1+CM2 | 0.000 | 0.458 | -6.531 | -1.699 | 0.000 | 0.000 |
| | | PP+CM1+CM2+Q1 | 0.000 | 0.728 | -10.370 | -2.706 | 0.000 | 0.000 |
| N9 | Desplazamientos | PP+CM1+CM2 | 0.000 | 0.241 | -8.004 | -1.055 | 0.000 | 0.000 |
| | | PP+CM1+CM2+Q1 | 0.000 | 0.383 | -12.719 | -1.684 | 0.000 | 0.000 |
| N10 | Desplazamientos | PP+CM1+CM2 | 0.000 | 0.002 | -8.805 | -0.004 | 0.000 | 0.000 |
| | | PP+CM1+CM2+Q1 | 0.000 | 0.003 | -14.003 | -0.006 | 0.000 | 0.000 |
| N11 | Desplazamientos | PP+CM1+CM2 | 0.000 | -0.237 | -8.011 | 1.048 | 0.000 | 0.000 |
| | | PP+CM1+CM2+Q1 | 0.000 | -0.376 | -12.731 | 1.673 | 0.000 | 0.000 |
| N12 | Desplazamientos | PP+CM1+CM2 | 0.000 | -0.454 | -6.545 | 1.693 | 0.000 | 0.000 |
| | | PP+CM1+CM2+Q1 | 0.000 | -0.722 | -10.392 | 2.695 | 0.000 | 0.000 |
| N13 | Desplazamientos | PP+CM1+CM2 | 0.000 | -0.630 | -4.601 | 2.092 | 0.000 | 0.000 |
| | | PP+CM1+CM2+Q1 | 0.000 | -1.000 | -7.298 | 3.324 | 0.000 | 0.000 |
| N14 | Desplazamientos | PP+CM1+CM2 | 0.000 | -0.754 | -2.387 | 2.278 | 0.000 | 0.000 |
| | | PP+CM1+CM2+Q1 | 0.000 | -1.198 | -3.784 | 3.614 | 0.000 | 0.000 |
| N15 | Desplazamientos | PP+CM1+CM2 | 0.000 | -0.156 | -4.483 | -2.101 | 0.000 | 0.000 |
| | | PP+CM1+CM2+Q1 | 0.000 | -0.248 | -7.112 | -3.339 | 0.000 | 0.000 |
| N16 | Desplazamientos | PP+CM1+CM2 | 0.000 | -0.151 | -6.446 | -1.705 | 0.000 | 0.000 |
| | | PP+CM1+CM2+Q1 | 0.000 | -0.240 | -10.235 | -2.714 | 0.000 | 0.000 |
| N17 | Desplazamientos | PP+CM1+CM2 | 0.000 | -0.096 | -7.931 | -1.029 | 0.000 | 0.000 |
| | | PP+CM1+CM2+Q1 | 0.000 | -0.153 | -12.602 | -1.641 | 0.000 | 0.000 |
| N18 | Desplazamientos | PP+CM1+CM2 | 0.000 | 0.000 | -8.626 | -0.004 | 0.000 | 0.000 |
| | | PP+CM1+CM2+Q1 | 0.000 | 0.000 | -13.714 | -0.006 | 0.000 | 0.000 |
| N19 | Desplazamientos | PP+CM1+CM2 | 0.000 | 0.096 | -7.938 | 1.022 | 0.000 | 0.000 |
| | | PP+CM1+CM2+Q1 | 0.000 | 0.153 | -12.614 | 1.629 | 0.000 | 0.000 |
| N20 | Desplazamientos | PP+CM1+CM2 | 0.000 | 0.151 | -6.461 | 1.699 | 0.000 | 0.000 |
| | | PP+CM1+CM2+Q1 | 0.000 | 0.241 | -10.257 | 2.704 | 0.000 | 0.000 |
| N21 | Desplazamientos | PP+CM1+CM2 | 0.000 | 0.157 | -4.503 | 2.096 | 0.000 | 0.000 |
| | | PP+CM1+CM2+Q1 | 0.000 | 0.249 | -7.143 | 3.331 | 0.000 | 0.000 |
| N22 | Desplazamientos | PP+CM1+CM2 | 0.000 | 0.108 | -2.286 | 2.264 | 0.000 | 0.000 |
| | | PP+CM1+CM2+Q1 | 0.000 | 0.171 | -3.624 | 3.593 | 0.000 | 0.000 |

2.2.1.1.3.- Envoltentes

| Envoltente de los desplazamientos en nudos | | | | | | | | |
|--|-----------------|-------------------------------|----------------------------------|------------|------------|--------------|--------------|--------------|
| Referencia | Combinación | | Desplazamientos en ejes globales | | | | | |
| | Tipo | Descripción | Dx (mm) | Dy (mm) | Dz (mm) | Gx (mRad) | Gy (mRad) | Gz (mRad) |
| N1 | Desplazamientos | Valor mínimo de la envoltente | 0.000 | 0.000 | 0.000 | -3.544 | 0.000 | 0.000 |
| | | Valor máximo de la envoltente | 0.000 | 0.000 | 0.000 | -2.235 | 0.000 | 0.000 |
| N2 | Desplazamientos | Valor mínimo de la envoltente | 0.000 | 0.000 | 0.000 | 2.235 | 0.000 | 0.000 |
| | | Valor máximo de la envoltente | 0.000 | 0.000 | 0.000 | 3.543 | 0.000 | 0.000 |
| N3 | Desplazamientos | Valor mínimo de la envoltente | 0.000 | 0.827 | -0.101 | -3.576 | 0.000 | 0.000 |
| | | Valor máximo de la envoltente | 0.000 | 1.313 | -0.064 | -2.255 | 0.000 | 0.000 |
| N4 | Desplazamientos | Valor mínimo de la envoltente | 0.000 | -1.309 | -0.101 | 2.254 | 0.000 | 0.000 |
| | | Valor máximo de la envoltente | 0.000 | -0.825 | -0.064 | 3.575 | 0.000 | 0.000 |



Listados

DESARROLLO DE PROYECTO EJECUTIVO DE REFORMA DE LA PISCINA DEL
COLEGIO PÁLCAM

Fecha: 28/03/18

| Envolvente de los desplazamientos en nudos | | | | | | | | |
|--|-----------------|-------------------------------|----------------------------------|------------|------------|--------------|--------------|--------------|
| Referencia | Combinación | | Desplazamientos en ejes globales | | | | | |
| | Tipo | Descripción | Dx (mm) | Dy (mm) | Dz (mm) | Gx (mRad) | Gy (mRad) | Gz (mRad) |
| N5 | Desplazamientos | Valor mínimo de la envolvente | 0.000 | -0.170 | -3.586 | -3.596 | 0.000 | 0.000 |
| | | Valor máximo de la envolvente | 0.000 | -0.107 | -2.262 | -2.266 | 0.000 | 0.000 |
| N6 | Desplazamientos | Valor mínimo de la envolvente | 0.000 | 0.757 | -3.746 | -3.617 | 0.000 | 0.000 |
| | | Valor máximo de la envolvente | 0.000 | 1.203 | -2.363 | -2.280 | 0.000 | 0.000 |
| N7 | Desplazamientos | Valor mínimo de la envolvente | 0.000 | 0.633 | -7.267 | -3.332 | 0.000 | 0.000 |
| | | Valor máximo de la envolvente | 0.000 | 1.006 | -4.581 | -2.096 | 0.000 | 0.000 |
| N8 | Desplazamientos | Valor mínimo de la envolvente | 0.000 | 0.458 | -10.370 | -2.706 | 0.000 | 0.000 |
| | | Valor máximo de la envolvente | 0.000 | 0.728 | -6.531 | -1.699 | 0.000 | 0.000 |
| N9 | Desplazamientos | Valor mínimo de la envolvente | 0.000 | 0.241 | -12.719 | -1.684 | 0.000 | 0.000 |
| | | Valor máximo de la envolvente | 0.000 | 0.383 | -8.004 | -1.055 | 0.000 | 0.000 |
| N10 | Desplazamientos | Valor mínimo de la envolvente | 0.000 | 0.002 | -14.003 | -0.006 | 0.000 | 0.000 |
| | | Valor máximo de la envolvente | 0.000 | 0.003 | -8.805 | -0.004 | 0.000 | 0.000 |
| N11 | Desplazamientos | Valor mínimo de la envolvente | 0.000 | -0.376 | -12.731 | 1.048 | 0.000 | 0.000 |
| | | Valor máximo de la envolvente | 0.000 | -0.237 | -8.011 | 1.673 | 0.000 | 0.000 |
| N12 | Desplazamientos | Valor mínimo de la envolvente | 0.000 | -0.722 | -10.392 | 1.693 | 0.000 | 0.000 |
| | | Valor máximo de la envolvente | 0.000 | -0.454 | -6.545 | 2.695 | 0.000 | 0.000 |
| N13 | Desplazamientos | Valor mínimo de la envolvente | 0.000 | -1.000 | -7.298 | 2.092 | 0.000 | 0.000 |
| | | Valor máximo de la envolvente | 0.000 | -0.630 | -4.601 | 3.324 | 0.000 | 0.000 |
| N14 | Desplazamientos | Valor mínimo de la envolvente | 0.000 | -1.198 | -3.784 | 2.278 | 0.000 | 0.000 |
| | | Valor máximo de la envolvente | 0.000 | -0.754 | -2.387 | 3.614 | 0.000 | 0.000 |
| N15 | Desplazamientos | Valor mínimo de la envolvente | 0.000 | -0.248 | -7.112 | -3.339 | 0.000 | 0.000 |
| | | Valor máximo de la envolvente | 0.000 | -0.156 | -4.483 | -2.101 | 0.000 | 0.000 |
| N16 | Desplazamientos | Valor mínimo de la envolvente | 0.000 | -0.240 | -10.235 | -2.714 | 0.000 | 0.000 |
| | | Valor máximo de la envolvente | 0.000 | -0.151 | -6.446 | -1.705 | 0.000 | 0.000 |
| N17 | Desplazamientos | Valor mínimo de la envolvente | 0.000 | -0.153 | -12.602 | -1.641 | 0.000 | 0.000 |
| | | Valor máximo de la envolvente | 0.000 | -0.096 | -7.931 | -1.029 | 0.000 | 0.000 |
| N18 | Desplazamientos | Valor mínimo de la envolvente | 0.000 | 0.000 | -13.714 | -0.006 | 0.000 | 0.000 |
| | | Valor máximo de la envolvente | 0.000 | 0.000 | -8.626 | -0.004 | 0.000 | 0.000 |
| N19 | Desplazamientos | Valor mínimo de la envolvente | 0.000 | 0.096 | -12.614 | 1.022 | 0.000 | 0.000 |
| | | Valor máximo de la envolvente | 0.000 | 0.153 | -7.938 | 1.629 | 0.000 | 0.000 |
| N20 | Desplazamientos | Valor mínimo de la envolvente | 0.000 | 0.151 | -10.257 | 1.699 | 0.000 | 0.000 |
| | | Valor máximo de la envolvente | 0.000 | 0.241 | -6.461 | 2.704 | 0.000 | 0.000 |
| N21 | Desplazamientos | Valor mínimo de la envolvente | 0.000 | 0.157 | -7.143 | 2.096 | 0.000 | 0.000 |
| | | Valor máximo de la envolvente | 0.000 | 0.249 | -4.503 | 3.331 | 0.000 | 0.000 |
| N22 | Desplazamientos | Valor mínimo de la envolvente | 0.000 | 0.108 | -3.624 | 2.264 | 0.000 | 0.000 |
| | | Valor máximo de la envolvente | 0.000 | 0.171 | -2.286 | 3.593 | 0.000 | 0.000 |

2.2.1.2.- Reacciones

Referencias:

Rx, Ry, Rz: Reacciones en nudos con desplazamientos coaccionados (fuerzas).

Mx, My, Mz: Reacciones en nudos con giros coaccionados (momentos).

2.2.1.2.1.- Hipótesis

| Reacciones en los nudos, por hipótesis | | | | | | | |
|--|-------------|-----------------------------|-----------|-----------|-------------|-------------|-------------|
| Referencia | Descripción | Reacciones en ejes globales | | | | | |
| | | Rx (t) | Ry (t) | Rz (t) | Mx (t·m) | My (t·m) | Mz (t·m) |
| N1 | Peso propio | 0.000 | 37.663 | 15.811 | 0.000 | 0.000 | 0.000 |
| | CM 1 | 0.000 | 12.086 | 4.865 | 0.000 | 0.000 | 0.000 |
| | CM 2 | 0.000 | 12.086 | 4.865 | 0.000 | 0.000 | 0.000 |
| | Q 1 | 0.000 | 36.257 | 14.595 | 0.000 | 0.000 | 0.000 |
| N2 | Peso propio | 0.000 | -37.663 | 15.782 | 0.000 | 0.000 | 0.000 |



Listados

DESARROLLO DE PROYECTO EJECUTIVO DE REFORMA DE LA PISCINA DEL
COLEGIO PÁLCAM

Fecha: 28/03/18

| Reacciones en los nudos, por hipótesis | | | | | | | |
|--|-------------|-----------------------------|-----------|-----------|-------------|-------------|-------------|
| Referencia | Descripción | Reacciones en ejes globales | | | | | |
| | | Rx (t) | Ry (t) | Rz (t) | Mx (t·m) | My (t·m) | Mz (t·m) |
| | CM 1 | 0.000 | -12.086 | 4.855 | 0.000 | 0.000 | 0.000 |
| | CM 2 | 0.000 | -12.086 | 4.855 | 0.000 | 0.000 | 0.000 |
| | Q 1 | 0.000 | -36.257 | 14.565 | 0.000 | 0.000 | 0.000 |

2.2.1.2.2.- Combinaciones

| Reacciones en los nudos, por combinación | | | | | | | | |
|--|----------------------------|-------------------------------|-----------------------------|-----------|-----------|-------------|-------------|-------------|
| Referencia | Combinación | | Reacciones en ejes globales | | | | | |
| | Tipo | Descripción | Rx (t) | Ry (t) | Rz (t) | Mx (t·m) | My (t·m) | Mz (t·m) |
| N1 | Hormigón en cimentaciones | PP+CM1+CM2 | 0.000 | 61.834 | 25.542 | 0.000 | 0.000 | 0.000 |
| | | 1.6·PP+CM1+CM2 | 0.000 | 84.432 | 35.028 | 0.000 | 0.000 | 0.000 |
| | | PP+1.6·CM1+CM2 | 0.000 | 69.086 | 28.461 | 0.000 | 0.000 | 0.000 |
| | | 1.6·PP+1.6·CM1+CM2 | 0.000 | 91.684 | 37.947 | 0.000 | 0.000 | 0.000 |
| | | PP+CM1+1.6·CM2 | 0.000 | 69.086 | 28.461 | 0.000 | 0.000 | 0.000 |
| | | 1.6·PP+CM1+1.6·CM2 | 0.000 | 91.684 | 37.947 | 0.000 | 0.000 | 0.000 |
| | | PP+1.6·CM1+1.6·CM2 | 0.000 | 76.337 | 31.380 | 0.000 | 0.000 | 0.000 |
| | | 1.6·PP+1.6·CM1+1.6·CM2 | 0.000 | 98.935 | 40.867 | 0.000 | 0.000 | 0.000 |
| | | PP+CM1+CM2+1.6·Q1 | 0.000 | 119.846 | 48.894 | 0.000 | 0.000 | 0.000 |
| | | 1.6·PP+CM1+CM2+1.6·Q1 | 0.000 | 142.443 | 58.381 | 0.000 | 0.000 | 0.000 |
| | | PP+1.6·CM1+CM2+1.6·Q1 | 0.000 | 127.097 | 51.813 | 0.000 | 0.000 | 0.000 |
| | | 1.6·PP+1.6·CM1+CM2+1.6·Q1 | 0.000 | 149.695 | 61.300 | 0.000 | 0.000 | 0.000 |
| | | PP+CM1+1.6·CM2+1.6·Q1 | 0.000 | 127.097 | 51.813 | 0.000 | 0.000 | 0.000 |
| | | 1.6·PP+CM1+1.6·CM2+1.6·Q1 | 0.000 | 149.695 | 61.300 | 0.000 | 0.000 | 0.000 |
| | | PP+1.6·CM1+1.6·CM2+1.6·Q1 | 0.000 | 134.348 | 54.732 | 0.000 | 0.000 | 0.000 |
| | | 1.6·PP+1.6·CM1+1.6·CM2+1.6·Q1 | 0.000 | 156.946 | 64.219 | 0.000 | 0.000 | 0.000 |
| | Tensiones sobre el terreno | PP+CM1+CM2 | 0.000 | 61.834 | 25.542 | 0.000 | 0.000 | 0.000 |
| | | PP+CM1+CM2+Q1 | 0.000 | 98.091 | 40.137 | 0.000 | 0.000 | 0.000 |
| N2 | Hormigón en cimentaciones | PP+CM1+CM2 | 0.000 | -61.834 | 25.492 | 0.000 | 0.000 | 0.000 |
| | | 1.6·PP+CM1+CM2 | 0.000 | -84.432 | 34.961 | 0.000 | 0.000 | 0.000 |
| | | PP+1.6·CM1+CM2 | 0.000 | -69.086 | 28.405 | 0.000 | 0.000 | 0.000 |
| | | 1.6·PP+1.6·CM1+CM2 | 0.000 | -91.684 | 37.874 | 0.000 | 0.000 | 0.000 |
| | | PP+CM1+1.6·CM2 | 0.000 | -69.086 | 28.405 | 0.000 | 0.000 | 0.000 |
| | | 1.6·PP+CM1+1.6·CM2 | 0.000 | -91.684 | 37.874 | 0.000 | 0.000 | 0.000 |
| | | PP+1.6·CM1+1.6·CM2 | 0.000 | -76.337 | 31.318 | 0.000 | 0.000 | 0.000 |
| | | 1.6·PP+1.6·CM1+1.6·CM2 | 0.000 | -98.935 | 40.787 | 0.000 | 0.000 | 0.000 |
| | | PP+CM1+CM2+1.6·Q1 | 0.000 | -119.846 | 48.795 | 0.000 | 0.000 | 0.000 |
| | | 1.6·PP+CM1+CM2+1.6·Q1 | 0.000 | -142.443 | 58.264 | 0.000 | 0.000 | 0.000 |
| | | PP+1.6·CM1+CM2+1.6·Q1 | 0.000 | -127.097 | 51.708 | 0.000 | 0.000 | 0.000 |
| | | 1.6·PP+1.6·CM1+CM2+1.6·Q1 | 0.000 | -149.695 | 61.177 | 0.000 | 0.000 | 0.000 |
| | | PP+CM1+1.6·CM2+1.6·Q1 | 0.000 | -127.097 | 51.708 | 0.000 | 0.000 | 0.000 |
| | | 1.6·PP+CM1+1.6·CM2+1.6·Q1 | 0.000 | -149.695 | 61.177 | 0.000 | 0.000 | 0.000 |
| | | PP+1.6·CM1+1.6·CM2+1.6·Q1 | 0.000 | -134.348 | 54.621 | 0.000 | 0.000 | 0.000 |
| | | 1.6·PP+1.6·CM1+1.6·CM2+1.6·Q1 | 0.000 | -156.946 | 64.090 | 0.000 | 0.000 | 0.000 |
| | Tensiones sobre el terreno | PP+CM1+CM2 | 0.000 | -61.834 | 25.492 | 0.000 | 0.000 | 0.000 |
| | | PP+CM1+CM2+Q1 | 0.000 | -98.091 | 40.056 | 0.000 | 0.000 | 0.000 |

Nota: Las combinaciones de hormigón indicadas son las mismas que se utilizan para comprobar el estado límite de equilibrio en la cimentación.

2.2.1.2.3.- Envoltentes



Listados

DESARROLLO DE PROYECTO EJECUTIVO DE REFORMA DE LA PISCINA DEL
COLEGIO PÁLCAM

Fecha: 28/03/18

| Envolventes de las reacciones en nudos | | | | | | | | |
|--|----------------------------|-------------------------------|-----------------------------|-----------|-----------|-------------|-------------|-------------|
| Referencia | Combinación | | Reacciones en ejes globales | | | | | |
| | Tipo | Descripción | Rx (t) | Ry (t) | Rz (t) | Mx (t-m) | My (t-m) | Mz (t-m) |
| N1 | Hormigón en cimentaciones | Valor mínimo de la envolvente | 0.000 | 61.834 | 25.542 | 0.000 | 0.000 | 0.000 |
| | | Valor máximo de la envolvente | 0.000 | 156.946 | 64.219 | 0.000 | 0.000 | 0.000 |
| | Tensiones sobre el terreno | Valor mínimo de la envolvente | 0.000 | 61.834 | 25.542 | 0.000 | 0.000 | 0.000 |
| | | Valor máximo de la envolvente | 0.000 | 98.091 | 40.137 | 0.000 | 0.000 | 0.000 |
| N2 | Hormigón en cimentaciones | Valor mínimo de la envolvente | 0.000 | -156.946 | 25.492 | 0.000 | 0.000 | 0.000 |
| | | Valor máximo de la envolvente | 0.000 | -61.834 | 64.090 | 0.000 | 0.000 | 0.000 |
| | Tensiones sobre el terreno | Valor mínimo de la envolvente | 0.000 | -98.091 | 25.492 | 0.000 | 0.000 | 0.000 |
| | | Valor máximo de la envolvente | 0.000 | -61.834 | 40.056 | 0.000 | 0.000 | 0.000 |

Nota: Las combinaciones de hormigón indicadas son las mismas que se utilizan para comprobar el estado límite de equilibrio en la cimentación.

2.2.2.- Barras

2.2.2.1.- Esfuerzos

Referencias:

N: Esfuerzo axial (t)

Vy: Esfuerzo cortante según el eje local Y de la barra. (t)

Vz: Esfuerzo cortante según el eje local Z de la barra. (t)

Mt: Momento torsor (t-m)

My: Momento flector en el plano 'XZ' (giro de la sección respecto al eje local 'Y' de la barra). (t-m)

Mz: Momento flector en el plano 'XY' (giro de la sección respecto al eje local 'Z' de la barra). (t-m)

2.2.2.1.1.- Hipótesis

| Esfuerzos en barras, por hipótesis | | | | | | | | | |
|------------------------------------|-------------|----------|------------------------|---------|---------|---------|---------|---------|---------|
| Barra | Hipótesis | Esfuerzo | Posiciones en la barra | | | | | | |
| | | | 0.000 m | 0.187 m | 0.375 m | 0.562 m | 0.749 m | 0.936 m | 1.124 m |
| N5/N3 | Peso propio | N | 17.914 | 17.917 | 17.920 | 17.924 | 17.927 | 17.930 | 17.933 |
| | | Vy | 0.000 | 0.000 | 0.000 | 0.000 | 0.000 | 0.000 | 0.000 |
| | | Vz | -0.160 | -0.155 | -0.150 | -0.145 | -0.140 | -0.135 | -0.130 |
| | | Mt | 0.000 | 0.000 | 0.000 | 0.000 | 0.000 | 0.000 | 0.000 |
| | | My | -0.085 | -0.056 | -0.027 | 0.001 | 0.027 | 0.053 | 0.078 |
| | | Mz | 0.000 | 0.000 | 0.000 | 0.000 | 0.000 | 0.000 | 0.000 |
| | CM 1 | N | 5.671 | 5.671 | 5.671 | 5.671 | 5.671 | 5.671 | 5.671 |
| | | Vy | 0.000 | 0.000 | 0.000 | 0.000 | 0.000 | 0.000 | 0.000 |
| | | Vz | -0.047 | -0.047 | -0.047 | -0.047 | -0.047 | -0.047 | -0.047 |
| | | Mt | 0.000 | 0.000 | 0.000 | 0.000 | 0.000 | 0.000 | 0.000 |
| | | My | -0.027 | -0.018 | -0.009 | 0.000 | 0.008 | 0.017 | 0.026 |
| | | Mz | 0.000 | 0.000 | 0.000 | 0.000 | 0.000 | 0.000 | 0.000 |
| | CM 2 | N | 5.671 | 5.671 | 5.671 | 5.671 | 5.671 | 5.671 | 5.671 |
| | | Vy | 0.000 | 0.000 | 0.000 | 0.000 | 0.000 | 0.000 | 0.000 |
| | | Vz | -0.047 | -0.047 | -0.047 | -0.047 | -0.047 | -0.047 | -0.047 |
| | | Mt | 0.000 | 0.000 | 0.000 | 0.000 | 0.000 | 0.000 | 0.000 |
| | | My | -0.027 | -0.018 | -0.009 | 0.000 | 0.008 | 0.017 | 0.026 |
| | | Mz | 0.000 | 0.000 | 0.000 | 0.000 | 0.000 | 0.000 | 0.000 |
| | Q 1 | N | 17.012 | 17.012 | 17.012 | 17.012 | 17.012 | 17.012 | 17.012 |
| | | Vy | 0.000 | 0.000 | 0.000 | 0.000 | 0.000 | 0.000 | 0.000 |
| | | Vz | -0.142 | -0.142 | -0.142 | -0.142 | -0.142 | -0.142 | -0.142 |
| | | Mt | 0.000 | 0.000 | 0.000 | 0.000 | 0.000 | 0.000 | 0.000 |



Listados

DESARROLLO DE PROYECTO EJECUTIVO DE REFORMA DE LA PISCINA DEL
COLEGIO PÁLCAM

Fecha: 28/03/18

| Esfuerzos en barras, por hipótesis | | | | | | | | | |
|------------------------------------|-----------|----------|------------------------|---------|---------|---------|---------|---------|---------|
| Barra | Hipótesis | Esfuerzo | Posiciones en la barra | | | | | | |
| | | | 0.000 m | 0.187 m | 0.375 m | 0.562 m | 0.749 m | 0.936 m | 1.124 m |
| | | My | -0.081 | -0.054 | -0.028 | -0.001 | 0.025 | 0.052 | 0.078 |
| | | Mz | 0.000 | 0.000 | 0.000 | 0.000 | 0.000 | 0.000 | 0.000 |

| Esfuerzos en barras, por hipótesis | | | | | | | | | |
|------------------------------------|-------------|----------|------------------------|---------|---------|---------|---------|---------|---------|
| Barra | Hipótesis | Esfuerzo | Posiciones en la barra | | | | | | |
| | | | 0.000 m | 0.187 m | 0.375 m | 0.562 m | 0.749 m | 0.936 m | 1.124 m |
| N15/N6 | Peso propio | N | 16.691 | 16.694 | 16.697 | 16.700 | 16.703 | 16.706 | 16.709 |
| | | Vy | 0.000 | 0.000 | 0.000 | 0.000 | 0.000 | 0.000 | 0.000 |
| | | Vz | -0.159 | -0.154 | -0.149 | -0.144 | -0.139 | -0.134 | -0.129 |
| | | Mt | 0.000 | 0.000 | 0.000 | 0.000 | 0.000 | 0.000 | 0.000 |
| | | My | -0.067 | -0.038 | -0.009 | 0.018 | 0.045 | 0.070 | 0.095 |
| | | Mz | 0.000 | 0.000 | 0.000 | 0.000 | 0.000 | 0.000 | 0.000 |
| | CM 1 | N | 5.360 | 5.360 | 5.360 | 5.360 | 5.360 | 5.360 | 5.360 |
| | | Vy | 0.000 | 0.000 | 0.000 | 0.000 | 0.000 | 0.000 | 0.000 |
| | | Vz | -0.047 | -0.047 | -0.047 | -0.047 | -0.047 | -0.047 | -0.047 |
| | | Mt | 0.000 | 0.000 | 0.000 | 0.000 | 0.000 | 0.000 | 0.000 |
| | | My | -0.021 | -0.012 | -0.004 | 0.005 | 0.014 | 0.022 | 0.031 |
| | | Mz | 0.000 | 0.000 | 0.000 | 0.000 | 0.000 | 0.000 | 0.000 |
| | CM 2 | N | 5.360 | 5.360 | 5.360 | 5.360 | 5.360 | 5.360 | 5.360 |
| | | Vy | 0.000 | 0.000 | 0.000 | 0.000 | 0.000 | 0.000 | 0.000 |
| | | Vz | -0.047 | -0.047 | -0.047 | -0.047 | -0.047 | -0.047 | -0.047 |
| | | Mt | 0.000 | 0.000 | 0.000 | 0.000 | 0.000 | 0.000 | 0.000 |
| | | My | -0.021 | -0.012 | -0.004 | 0.005 | 0.014 | 0.022 | 0.031 |
| | | Mz | 0.000 | 0.000 | 0.000 | 0.000 | 0.000 | 0.000 | 0.000 |
| | Q 1 | N | 16.080 | 16.080 | 16.080 | 16.080 | 16.080 | 16.080 | 16.080 |
| | | Vy | 0.000 | 0.000 | 0.000 | 0.000 | 0.000 | 0.000 | 0.000 |
| | | Vz | -0.140 | -0.140 | -0.140 | -0.140 | -0.140 | -0.140 | -0.140 |
| | | Mt | 0.000 | 0.000 | 0.000 | 0.000 | 0.000 | 0.000 | 0.000 |
| | | My | -0.063 | -0.037 | -0.011 | 0.015 | 0.041 | 0.067 | 0.094 |
| | | Mz | 0.000 | 0.000 | 0.000 | 0.000 | 0.000 | 0.000 | 0.000 |

| Esfuerzos en barras, por hipótesis | | | | | | | | | |
|------------------------------------|-------------|----------|------------------------|---------|---------|---------|---------|---------|---------|
| Barra | Hipótesis | Esfuerzo | Posiciones en la barra | | | | | | |
| | | | 0.000 m | 0.187 m | 0.375 m | 0.562 m | 0.749 m | 0.936 m | 1.124 m |
| N16/N7 | Peso propio | N | 15.351 | 15.354 | 15.357 | 15.360 | 15.363 | 15.366 | 15.370 |
| | | Vy | 0.000 | 0.000 | 0.000 | 0.000 | 0.000 | 0.000 | 0.000 |
| | | Vz | -0.126 | -0.121 | -0.116 | -0.111 | -0.106 | -0.101 | -0.096 |
| | | Mt | 0.000 | 0.000 | 0.000 | 0.000 | 0.000 | 0.000 | 0.000 |
| | | My | -0.029 | -0.006 | 0.016 | 0.038 | 0.058 | 0.077 | 0.096 |
| | | Mz | 0.000 | 0.000 | 0.000 | 0.000 | 0.000 | 0.000 | 0.000 |
| | CM 1 | N | 5.026 | 5.026 | 5.026 | 5.026 | 5.026 | 5.026 | 5.026 |
| | | Vy | 0.000 | 0.000 | 0.000 | 0.000 | 0.000 | 0.000 | 0.000 |
| | | Vz | -0.036 | -0.036 | -0.036 | -0.036 | -0.036 | -0.036 | -0.036 |
| | | Mt | 0.000 | 0.000 | 0.000 | 0.000 | 0.000 | 0.000 | 0.000 |
| | | My | -0.009 | -0.002 | 0.005 | 0.011 | 0.018 | 0.025 | 0.032 |



Listados

DESARROLLO DE PROYECTO EJECUTIVO DE REFORMA DE LA PISCINA DEL
COLEGIO PÁLCAM

Fecha: 28/03/18

| Esfuerzos en barras, por hipótesis | | | | | | | | | |
|------------------------------------|-----------|----------|------------------------|---------|---------|---------|---------|---------|---------|
| Barra | Hipótesis | Esfuerzo | Posiciones en la barra | | | | | | |
| | | | 0.000 m | 0.187 m | 0.375 m | 0.562 m | 0.749 m | 0.936 m | 1.124 m |
| | CM 2 | Mz | 0.000 | 0.000 | 0.000 | 0.000 | 0.000 | 0.000 | 0.000 |
| | | N | 5.026 | 5.026 | 5.026 | 5.026 | 5.026 | 5.026 | 5.026 |
| | | Vy | 0.000 | 0.000 | 0.000 | 0.000 | 0.000 | 0.000 | 0.000 |
| | | Vz | -0.036 | -0.036 | -0.036 | -0.036 | -0.036 | -0.036 | -0.036 |
| | | Mt | 0.000 | 0.000 | 0.000 | 0.000 | 0.000 | 0.000 | 0.000 |
| | | My | -0.009 | -0.002 | 0.005 | 0.011 | 0.018 | 0.025 | 0.032 |
| | | Mz | 0.000 | 0.000 | 0.000 | 0.000 | 0.000 | 0.000 | 0.000 |
| | Q 1 | N | 15.079 | 15.079 | 15.079 | 15.079 | 15.079 | 15.079 | 15.079 |
| | | Vy | 0.000 | 0.000 | 0.000 | 0.000 | 0.000 | 0.000 | 0.000 |
| | | Vz | -0.108 | -0.108 | -0.108 | -0.108 | -0.108 | -0.108 | -0.108 |
| | | Mt | 0.000 | 0.000 | 0.000 | 0.000 | 0.000 | 0.000 | 0.000 |
| | | My | -0.026 | -0.006 | 0.014 | 0.034 | 0.054 | 0.074 | 0.095 |
| | | Mz | 0.000 | 0.000 | 0.000 | 0.000 | 0.000 | 0.000 | 0.000 |
| | | | | | | | | | |

| Esfuerzos en barras, por hipótesis | | | | | | | | | |
|------------------------------------|-------------|----------|------------------------|---------|---------|---------|---------|---------|---------|
| Barra | Hipótesis | Esfuerzo | Posiciones en la barra | | | | | | |
| | | | 0.000 m | 0.187 m | 0.375 m | 0.562 m | 0.749 m | 0.936 m | 1.124 m |
| N17/N8 | Peso propio | N | 12.736 | 12.739 | 12.743 | 12.746 | 12.749 | 12.752 | 12.755 |
| | | Vy | 0.000 | 0.000 | 0.000 | 0.000 | 0.000 | 0.000 | 0.000 |
| | | Vz | -0.058 | -0.053 | -0.048 | -0.043 | -0.038 | -0.033 | -0.028 |
| | | Mt | 0.000 | 0.000 | 0.000 | 0.000 | 0.000 | 0.000 | 0.000 |
| | | My | 0.035 | 0.045 | 0.054 | 0.063 | 0.070 | 0.077 | 0.083 |
| | | Mz | 0.000 | 0.000 | 0.000 | 0.000 | 0.000 | 0.000 | 0.000 |
| | CM 1 | N | 4.262 | 4.262 | 4.262 | 4.262 | 4.262 | 4.262 | 4.262 |
| | | Vy | 0.000 | 0.000 | 0.000 | 0.000 | 0.000 | 0.000 | 0.000 |
| | | Vz | -0.014 | -0.014 | -0.014 | -0.014 | -0.014 | -0.014 | -0.014 |
| | | Mt | 0.000 | 0.000 | 0.000 | 0.000 | 0.000 | 0.000 | 0.000 |
| | | My | 0.012 | 0.015 | 0.017 | 0.020 | 0.022 | 0.025 | 0.027 |
| | | Mz | 0.000 | 0.000 | 0.000 | 0.000 | 0.000 | 0.000 | 0.000 |
| | CM 2 | N | 4.262 | 4.262 | 4.262 | 4.262 | 4.262 | 4.262 | 4.262 |
| | | Vy | 0.000 | 0.000 | 0.000 | 0.000 | 0.000 | 0.000 | 0.000 |
| | | Vz | -0.014 | -0.014 | -0.014 | -0.014 | -0.014 | -0.014 | -0.014 |
| | | Mt | 0.000 | 0.000 | 0.000 | 0.000 | 0.000 | 0.000 | 0.000 |
| | | My | 0.012 | 0.015 | 0.017 | 0.020 | 0.022 | 0.025 | 0.027 |
| | | Mz | 0.000 | 0.000 | 0.000 | 0.000 | 0.000 | 0.000 | 0.000 |
| | Q 1 | N | 12.785 | 12.785 | 12.785 | 12.785 | 12.785 | 12.785 | 12.785 |
| | | Vy | 0.000 | 0.000 | 0.000 | 0.000 | 0.000 | 0.000 | 0.000 |
| | | Vz | -0.041 | -0.041 | -0.041 | -0.041 | -0.041 | -0.041 | -0.041 |
| | | Mt | 0.000 | 0.000 | 0.000 | 0.000 | 0.000 | 0.000 | 0.000 |
| | | My | 0.037 | 0.044 | 0.052 | 0.059 | 0.067 | 0.075 | 0.082 |
| | | Mz | 0.000 | 0.000 | 0.000 | 0.000 | 0.000 | 0.000 | 0.000 |
| | | | | | | | | | |



Listados

DESARROLLO DE PROYECTO EJECUTIVO DE REFORMA DE LA PISCINA DEL
COLEGIO PÁLCAM

Fecha: 28/03/18

| Esfuerzos en barras, por hipótesis | | | | | | | | | |
|------------------------------------|-------------|----------|------------------------|---------|---------|---------|---------|---------|---------|
| Barra | Hipótesis | Esfuerzo | Posiciones en la barra | | | | | | |
| | | | 0.000 m | 0.187 m | 0.375 m | 0.562 m | 0.749 m | 0.936 m | 1.124 m |
| N18/N9 | Peso propio | N | 5.813 | 5.816 | 5.819 | 5.822 | 5.825 | 5.828 | 5.831 |
| | | Vy | 0.000 | 0.000 | 0.000 | 0.000 | 0.000 | 0.000 | 0.000 |
| | | Vz | 0.031 | 0.036 | 0.041 | 0.046 | 0.051 | 0.056 | 0.061 |
| | | Mt | 0.000 | 0.000 | 0.000 | 0.000 | 0.000 | 0.000 | 0.000 |
| | | My | 0.119 | 0.112 | 0.105 | 0.097 | 0.088 | 0.078 | 0.067 |
| | | Mz | 0.000 | 0.000 | 0.000 | 0.000 | 0.000 | 0.000 | 0.000 |
| | CM 1 | N | 2.006 | 2.006 | 2.006 | 2.006 | 2.006 | 2.006 | 2.006 |
| | | Vy | 0.000 | 0.000 | 0.000 | 0.000 | 0.000 | 0.000 | 0.000 |
| | | Vz | 0.016 | 0.016 | 0.016 | 0.016 | 0.016 | 0.016 | 0.016 |
| | | Mt | 0.000 | 0.000 | 0.000 | 0.000 | 0.000 | 0.000 | 0.000 |
| | | My | 0.040 | 0.037 | 0.034 | 0.031 | 0.029 | 0.026 | 0.023 |
| | | Mz | 0.000 | 0.000 | 0.000 | 0.000 | 0.000 | 0.000 | 0.000 |
| | CM 2 | N | 2.006 | 2.006 | 2.006 | 2.006 | 2.006 | 2.006 | 2.006 |
| | | Vy | 0.000 | 0.000 | 0.000 | 0.000 | 0.000 | 0.000 | 0.000 |
| | | Vz | 0.016 | 0.016 | 0.016 | 0.016 | 0.016 | 0.016 | 0.016 |
| | | Mt | 0.000 | 0.000 | 0.000 | 0.000 | 0.000 | 0.000 | 0.000 |
| | | My | 0.040 | 0.037 | 0.034 | 0.031 | 0.029 | 0.026 | 0.023 |
| | | Mz | 0.000 | 0.000 | 0.000 | 0.000 | 0.000 | 0.000 | 0.000 |
| | Q 1 | N | 6.018 | 6.018 | 6.018 | 6.018 | 6.018 | 6.018 | 6.018 |
| | | Vy | 0.000 | 0.000 | 0.000 | 0.000 | 0.000 | 0.000 | 0.000 |
| | | Vz | 0.048 | 0.048 | 0.048 | 0.048 | 0.048 | 0.048 | 0.048 |
| | | Mt | 0.000 | 0.000 | 0.000 | 0.000 | 0.000 | 0.000 | 0.000 |
| | | My | 0.121 | 0.112 | 0.103 | 0.094 | 0.086 | 0.077 | 0.068 |
| | | Mz | 0.000 | 0.000 | 0.000 | 0.000 | 0.000 | 0.000 | 0.000 |

| Esfuerzos en barras, por hipótesis | | | | | | | | | |
|------------------------------------|-------------|----------|------------------------|---------|---------|---------|---------|---------|---------|
| Barra | Hipótesis | Esfuerzo | Posiciones en la barra | | | | | | |
| | | | 0.000 m | 0.189 m | 0.377 m | 0.566 m | 0.755 m | 0.943 m | 1.132 m |
| N22/N4 | Peso propio | N | 17.917 | 17.920 | 17.923 | 17.927 | 17.930 | 17.933 | 17.936 |
| | | Vy | 0.000 | 0.000 | 0.000 | 0.000 | 0.000 | 0.000 | 0.000 |
| | | Vz | -0.154 | -0.149 | -0.144 | -0.139 | -0.134 | -0.129 | -0.124 |
| | | Mt | 0.000 | 0.000 | 0.000 | 0.000 | 0.000 | 0.000 | 0.000 |
| | | My | -0.082 | -0.054 | -0.026 | 0.001 | 0.026 | 0.051 | 0.075 |
| | | Mz | 0.000 | 0.000 | 0.000 | 0.000 | 0.000 | 0.000 | 0.000 |
| | CM 1 | N | 5.671 | 5.671 | 5.671 | 5.671 | 5.671 | 5.671 | 5.671 |
| | | Vy | 0.000 | 0.000 | 0.000 | 0.000 | 0.000 | 0.000 | 0.000 |
| | | Vz | -0.045 | -0.045 | -0.045 | -0.045 | -0.045 | -0.045 | -0.045 |
| | | Mt | 0.000 | 0.000 | 0.000 | 0.000 | 0.000 | 0.000 | 0.000 |
| | | My | -0.026 | -0.017 | -0.009 | 0.000 | 0.008 | 0.017 | 0.025 |
| | | Mz | 0.000 | 0.000 | 0.000 | 0.000 | 0.000 | 0.000 | 0.000 |
| | CM 2 | N | 5.671 | 5.671 | 5.671 | 5.671 | 5.671 | 5.671 | 5.671 |
| | | Vy | 0.000 | 0.000 | 0.000 | 0.000 | 0.000 | 0.000 | 0.000 |
| | | Vz | -0.045 | -0.045 | -0.045 | -0.045 | -0.045 | -0.045 | -0.045 |
| | | Mt | 0.000 | 0.000 | 0.000 | 0.000 | 0.000 | 0.000 | 0.000 |
| | | My | -0.026 | -0.017 | -0.009 | 0.000 | 0.008 | 0.017 | 0.025 |
| | | Mz | 0.000 | 0.000 | 0.000 | 0.000 | 0.000 | 0.000 | 0.000 |



Listados

DESARROLLO DE PROYECTO EJECUTIVO DE REFORMA DE LA PISCINA DEL
COLEGIO PÁLCAM

Fecha: 28/03/18

| Esfuerzos en barras, por hipótesis | | | | | | | | | |
|------------------------------------|-----------|----------|------------------------|---------|---------|---------|---------|---------|---------|
| Barra | Hipótesis | Esfuerzo | Posiciones en la barra | | | | | | |
| | | | 0.000 m | 0.189 m | 0.377 m | 0.566 m | 0.755 m | 0.943 m | 1.132 m |
| | Q 1 | Mz | 0.000 | 0.000 | 0.000 | 0.000 | 0.000 | 0.000 | 0.000 |
| | | N | 17.013 | 17.013 | 17.013 | 17.013 | 17.013 | 17.013 | 17.013 |
| | | Vy | 0.000 | 0.000 | 0.000 | 0.000 | 0.000 | 0.000 | 0.000 |
| | | Vz | -0.136 | -0.136 | -0.136 | -0.136 | -0.136 | -0.136 | -0.136 |
| | | Mt | 0.000 | 0.000 | 0.000 | 0.000 | 0.000 | 0.000 | 0.000 |
| | | My | -0.078 | -0.052 | -0.027 | -0.001 | 0.024 | 0.050 | 0.076 |
| | | Mz | 0.000 | 0.000 | 0.000 | 0.000 | 0.000 | 0.000 | 0.000 |

| Esfuerzos en barras, por hipótesis | | | | | | | | | |
|------------------------------------|-------------|----------|------------------------|---------|---------|---------|---------|---------|---------|
| Barra | Hipótesis | Esfuerzo | Posiciones en la barra | | | | | | |
| | | | 0.000 m | 0.187 m | 0.375 m | 0.562 m | 0.749 m | 0.936 m | 1.124 m |
| N21/N14 | Peso propio | N | 16.698 | 16.701 | 16.704 | 16.707 | 16.710 | 16.714 | 16.717 |
| | | Vy | 0.000 | 0.000 | 0.000 | 0.000 | 0.000 | 0.000 | 0.000 |
| | | Vz | -0.159 | -0.154 | -0.150 | -0.145 | -0.140 | -0.135 | -0.130 |
| | | Mt | 0.000 | 0.000 | 0.000 | 0.000 | 0.000 | 0.000 | 0.000 |
| | | My | -0.067 | -0.038 | -0.009 | 0.018 | 0.045 | 0.071 | 0.095 |
| | | Mz | 0.000 | 0.000 | 0.000 | 0.000 | 0.000 | 0.000 | 0.000 |
| | CM 1 | N | 5.362 | 5.362 | 5.362 | 5.362 | 5.362 | 5.362 | 5.362 |
| | | Vy | 0.000 | 0.000 | 0.000 | 0.000 | 0.000 | 0.000 | 0.000 |
| | | Vz | -0.047 | -0.047 | -0.047 | -0.047 | -0.047 | -0.047 | -0.047 |
| | | Mt | 0.000 | 0.000 | 0.000 | 0.000 | 0.000 | 0.000 | 0.000 |
| | | My | -0.021 | -0.012 | -0.004 | 0.005 | 0.014 | 0.023 | 0.031 |
| | | Mz | 0.000 | 0.000 | 0.000 | 0.000 | 0.000 | 0.000 | 0.000 |
| | CM 2 | N | 5.362 | 5.362 | 5.362 | 5.362 | 5.362 | 5.362 | 5.362 |
| | | Vy | 0.000 | 0.000 | 0.000 | 0.000 | 0.000 | 0.000 | 0.000 |
| | | Vz | -0.047 | -0.047 | -0.047 | -0.047 | -0.047 | -0.047 | -0.047 |
| | | Mt | 0.000 | 0.000 | 0.000 | 0.000 | 0.000 | 0.000 | 0.000 |
| | | My | -0.021 | -0.012 | -0.004 | 0.005 | 0.014 | 0.023 | 0.031 |
| | | Mz | 0.000 | 0.000 | 0.000 | 0.000 | 0.000 | 0.000 | 0.000 |
| | Q 1 | N | 16.087 | 16.087 | 16.087 | 16.087 | 16.087 | 16.087 | 16.087 |
| | | Vy | 0.000 | 0.000 | 0.000 | 0.000 | 0.000 | 0.000 | 0.000 |
| | | Vz | -0.140 | -0.140 | -0.140 | -0.140 | -0.140 | -0.140 | -0.140 |
| | | Mt | 0.000 | 0.000 | 0.000 | 0.000 | 0.000 | 0.000 | 0.000 |
| | | My | -0.063 | -0.037 | -0.011 | 0.015 | 0.042 | 0.068 | 0.094 |
| | | Mz | 0.000 | 0.000 | 0.000 | 0.000 | 0.000 | 0.000 | 0.000 |

| Esfuerzos en barras, por hipótesis | | | | | | | | | |
|------------------------------------|-------------|----------|------------------------|---------|---------|---------|---------|---------|---------|
| Barra | Hipótesis | Esfuerzo | Posiciones en la barra | | | | | | |
| | | | 0.000 m | 0.187 m | 0.375 m | 0.562 m | 0.749 m | 0.936 m | 1.124 m |
| N20/N13 | Peso propio | N | 15.331 | 15.334 | 15.337 | 15.340 | 15.343 | 15.346 | 15.350 |
| | | Vy | 0.000 | 0.000 | 0.000 | 0.000 | 0.000 | 0.000 | 0.000 |
| | | Vz | -0.126 | -0.121 | -0.116 | -0.111 | -0.106 | -0.101 | -0.096 |
| | | Mt | 0.000 | 0.000 | 0.000 | 0.000 | 0.000 | 0.000 | 0.000 |
| | | My | -0.029 | -0.006 | 0.017 | 0.038 | 0.058 | 0.077 | 0.096 |
| | | Mz | 0.000 | 0.000 | 0.000 | 0.000 | 0.000 | 0.000 | 0.000 |



Listados

DESARROLLO DE PROYECTO EJECUTIVO DE REFORMA DE LA PISCINA DEL
COLEGIO PÁLCAM

Fecha: 28/03/18

| Esfuerzos en barras, por hipótesis | | | | | | | | | |
|------------------------------------|-----------|----------|------------------------|---------|---------|---------|---------|---------|---------|
| Barra | Hipótesis | Esfuerzo | Posiciones en la barra | | | | | | |
| | | | 0.000 m | 0.187 m | 0.375 m | 0.562 m | 0.749 m | 0.936 m | 1.124 m |
| | CM 1 | N | 5.020 | 5.020 | 5.020 | 5.020 | 5.020 | 5.020 | 5.020 |
| | | Vy | 0.000 | 0.000 | 0.000 | 0.000 | 0.000 | 0.000 | 0.000 |
| | | Vz | -0.036 | -0.036 | -0.036 | -0.036 | -0.036 | -0.036 | -0.036 |
| | | Mt | 0.000 | 0.000 | 0.000 | 0.000 | 0.000 | 0.000 | 0.000 |
| | | My | -0.009 | -0.002 | 0.005 | 0.011 | 0.018 | 0.025 | 0.032 |
| | | Mz | 0.000 | 0.000 | 0.000 | 0.000 | 0.000 | 0.000 | 0.000 |
| | CM 2 | N | 5.020 | 5.020 | 5.020 | 5.020 | 5.020 | 5.020 | 5.020 |
| | | Vy | 0.000 | 0.000 | 0.000 | 0.000 | 0.000 | 0.000 | 0.000 |
| | | Vz | -0.036 | -0.036 | -0.036 | -0.036 | -0.036 | -0.036 | -0.036 |
| | | Mt | 0.000 | 0.000 | 0.000 | 0.000 | 0.000 | 0.000 | 0.000 |
| | | My | -0.009 | -0.002 | 0.005 | 0.011 | 0.018 | 0.025 | 0.032 |
| | | Mz | 0.000 | 0.000 | 0.000 | 0.000 | 0.000 | 0.000 | 0.000 |
| | Q 1 | N | 15.061 | 15.061 | 15.061 | 15.061 | 15.061 | 15.061 | 15.061 |
| | | Vy | 0.000 | 0.000 | 0.000 | 0.000 | 0.000 | 0.000 | 0.000 |
| | | Vz | -0.108 | -0.108 | -0.108 | -0.108 | -0.108 | -0.108 | -0.108 |
| | | Mt | 0.000 | 0.000 | 0.000 | 0.000 | 0.000 | 0.000 | 0.000 |
| | | My | -0.026 | -0.006 | 0.014 | 0.034 | 0.054 | 0.075 | 0.095 |
| | | Mz | 0.000 | 0.000 | 0.000 | 0.000 | 0.000 | 0.000 | 0.000 |

| Esfuerzos en barras, por hipótesis | | | | | | | | | |
|------------------------------------|-------------|----------|------------------------|---------|---------|---------|---------|---------|---------|
| Barra | Hipótesis | Esfuerzo | Posiciones en la barra | | | | | | |
| | | | 0.000 m | 0.187 m | 0.375 m | 0.562 m | 0.749 m | 0.936 m | 1.124 m |
| N19/N12 | Peso propio | N | 12.707 | 12.710 | 12.713 | 12.716 | 12.719 | 12.722 | 12.725 |
| | | Vy | 0.000 | 0.000 | 0.000 | 0.000 | 0.000 | 0.000 | 0.000 |
| | | Vz | -0.058 | -0.053 | -0.048 | -0.043 | -0.038 | -0.033 | -0.028 |
| | | Mt | 0.000 | 0.000 | 0.000 | 0.000 | 0.000 | 0.000 | 0.000 |
| | | My | 0.035 | 0.045 | 0.054 | 0.063 | 0.070 | 0.077 | 0.083 |
| | | Mz | 0.000 | 0.000 | 0.000 | 0.000 | 0.000 | 0.000 | 0.000 |
| | CM 1 | N | 4.252 | 4.252 | 4.252 | 4.252 | 4.252 | 4.252 | 4.252 |
| | | Vy | 0.000 | 0.000 | 0.000 | 0.000 | 0.000 | 0.000 | 0.000 |
| | | Vz | -0.014 | -0.014 | -0.014 | -0.014 | -0.014 | -0.014 | -0.014 |
| | | Mt | 0.000 | 0.000 | 0.000 | 0.000 | 0.000 | 0.000 | 0.000 |
| | | My | 0.012 | 0.015 | 0.017 | 0.020 | 0.022 | 0.025 | 0.027 |
| | | Mz | 0.000 | 0.000 | 0.000 | 0.000 | 0.000 | 0.000 | 0.000 |
| | CM 2 | N | 4.252 | 4.252 | 4.252 | 4.252 | 4.252 | 4.252 | 4.252 |
| | | Vy | 0.000 | 0.000 | 0.000 | 0.000 | 0.000 | 0.000 | 0.000 |
| | | Vz | -0.014 | -0.014 | -0.014 | -0.014 | -0.014 | -0.014 | -0.014 |
| | | Mt | 0.000 | 0.000 | 0.000 | 0.000 | 0.000 | 0.000 | 0.000 |
| | | My | 0.012 | 0.015 | 0.017 | 0.020 | 0.022 | 0.025 | 0.027 |
| | | Mz | 0.000 | 0.000 | 0.000 | 0.000 | 0.000 | 0.000 | 0.000 |
| | Q 1 | N | 12.757 | 12.757 | 12.757 | 12.757 | 12.757 | 12.757 | 12.757 |
| | | Vy | 0.000 | 0.000 | 0.000 | 0.000 | 0.000 | 0.000 | 0.000 |
| | | Vz | -0.041 | -0.041 | -0.041 | -0.041 | -0.041 | -0.041 | -0.041 |
| | | Mt | 0.000 | 0.000 | 0.000 | 0.000 | 0.000 | 0.000 | 0.000 |
| | | My | 0.037 | 0.044 | 0.052 | 0.059 | 0.067 | 0.075 | 0.082 |



Listados

DESARROLLO DE PROYECTO EJECUTIVO DE REFORMA DE LA PISCINA DEL
COLEGIO PÁLCAM

Fecha: 28/03/18

| Esfuerzos en barras, por hipótesis | | | | | | | | | |
|------------------------------------|-----------|----------|------------------------|---------|---------|---------|---------|---------|---------|
| Barra | Hipótesis | Esfuerzo | Posiciones en la barra | | | | | | |
| | | | 0.000 m | 0.187 m | 0.375 m | 0.562 m | 0.749 m | 0.936 m | 1.124 m |
| | | Mz | 0.000 | 0.000 | 0.000 | 0.000 | 0.000 | 0.000 | 0.000 |

| Esfuerzos en barras, por hipótesis | | | | | | | | | |
|------------------------------------|-------------|----------|------------------------|---------|---------|---------|---------|---------|---------|
| Barra | Hipótesis | Esfuerzo | Posiciones en la barra | | | | | | |
| | | | 0.000 m | 0.187 m | 0.375 m | 0.562 m | 0.749 m | 0.936 m | 1.124 m |
| N18/N11 | Peso propio | N | 5.778 | 5.781 | 5.784 | 5.787 | 5.790 | 5.793 | 5.797 |
| | | Vy | 0.000 | 0.000 | 0.000 | 0.000 | 0.000 | 0.000 | 0.000 |
| | | Vz | 0.032 | 0.036 | 0.041 | 0.046 | 0.051 | 0.056 | 0.061 |
| | | Mt | 0.000 | 0.000 | 0.000 | 0.000 | 0.000 | 0.000 | 0.000 |
| | | My | 0.119 | 0.112 | 0.105 | 0.097 | 0.088 | 0.078 | 0.067 |
| | | Mz | 0.000 | 0.000 | 0.000 | 0.000 | 0.000 | 0.000 | 0.000 |
| | CM 1 | N | 1.995 | 1.995 | 1.995 | 1.995 | 1.995 | 1.995 | 1.995 |
| | | Vy | 0.000 | 0.000 | 0.000 | 0.000 | 0.000 | 0.000 | 0.000 |
| | | Vz | 0.016 | 0.016 | 0.016 | 0.016 | 0.016 | 0.016 | 0.016 |
| | | Mt | 0.000 | 0.000 | 0.000 | 0.000 | 0.000 | 0.000 | 0.000 |
| | | My | 0.040 | 0.037 | 0.034 | 0.031 | 0.029 | 0.026 | 0.023 |
| | | Mz | 0.000 | 0.000 | 0.000 | 0.000 | 0.000 | 0.000 | 0.000 |
| | CM 2 | N | 1.995 | 1.995 | 1.995 | 1.995 | 1.995 | 1.995 | 1.995 |
| | | Vy | 0.000 | 0.000 | 0.000 | 0.000 | 0.000 | 0.000 | 0.000 |
| | | Vz | 0.016 | 0.016 | 0.016 | 0.016 | 0.016 | 0.016 | 0.016 |
| | | Mt | 0.000 | 0.000 | 0.000 | 0.000 | 0.000 | 0.000 | 0.000 |
| | | My | 0.040 | 0.037 | 0.034 | 0.031 | 0.029 | 0.026 | 0.023 |
| | | Mz | 0.000 | 0.000 | 0.000 | 0.000 | 0.000 | 0.000 | 0.000 |
| | Q 1 | N | 5.986 | 5.986 | 5.986 | 5.986 | 5.986 | 5.986 | 5.986 |
| | | Vy | 0.000 | 0.000 | 0.000 | 0.000 | 0.000 | 0.000 | 0.000 |
| | | Vz | 0.048 | 0.048 | 0.048 | 0.048 | 0.048 | 0.048 | 0.048 |
| | | Mt | 0.000 | 0.000 | 0.000 | 0.000 | 0.000 | 0.000 | 0.000 |
| | | My | 0.121 | 0.112 | 0.103 | 0.094 | 0.086 | 0.077 | 0.068 |
| | | Mz | 0.000 | 0.000 | 0.000 | 0.000 | 0.000 | 0.000 | 0.000 |

| Esfuerzos en barras, por hipótesis | | | | | | | |
|------------------------------------|-------------|----------|------------------------|---------|---------|---------|---------|
| Barra | Hipótesis | Esfuerzo | Posiciones en la barra | | | | |
| | | | 0.000 m | 0.238 m | 0.475 m | 0.713 m | 0.950 m |
| N1/N5 | Peso propio | N | -31.959 | -31.959 | -31.959 | -31.959 | -31.959 |
| | | Vy | 0.000 | 0.000 | 0.000 | 0.000 | 0.000 |
| | | Vz | -2.918 | -2.878 | -2.837 | -2.796 | -2.756 |
| | | Mt | 0.000 | 0.000 | 0.000 | 0.000 | 0.000 |
| | | My | -1.677 | -0.988 | -0.310 | 0.359 | 1.019 |
| | | Mz | 0.000 | 0.000 | 0.000 | 0.000 | 0.000 |
| | CM 1 | N | -10.272 | -10.272 | -10.272 | -10.272 | -10.272 |
| | | Vy | 0.000 | 0.000 | 0.000 | 0.000 | 0.000 |
| | | Vz | -0.863 | -0.863 | -0.863 | -0.863 | -0.863 |
| | | Mt | 0.000 | 0.000 | 0.000 | 0.000 | 0.000 |
| | | My | -0.532 | -0.327 | -0.122 | 0.083 | 0.287 |
| | | Mz | 0.000 | 0.000 | 0.000 | 0.000 | 0.000 |



Listados

DESARROLLO DE PROYECTO EJECUTIVO DE REFORMA DE LA PISCINA DEL
COLEGIO PÁLCAM

Fecha: 28/03/18

| Esfuerzos en barras, por hipótesis | | | | | | | |
|------------------------------------|-----------|----------|------------------------|---------|---------|---------|---------|
| Barra | Hipótesis | Esfuerzo | Posiciones en la barra | | | | |
| | | | 0.000 m | 0.238 m | 0.475 m | 0.713 m | 0.950 m |
| | CM 2 | N | -10.272 | -10.272 | -10.272 | -10.272 | -10.272 |
| | | Vy | 0.000 | 0.000 | 0.000 | 0.000 | 0.000 |
| | | Vz | -0.863 | -0.863 | -0.863 | -0.863 | -0.863 |
| | | Mt | 0.000 | 0.000 | 0.000 | 0.000 | 0.000 |
| | | My | -0.532 | -0.327 | -0.122 | 0.083 | 0.287 |
| | | Mz | 0.000 | 0.000 | 0.000 | 0.000 | 0.000 |
| | Q 1 | N | -30.817 | -30.817 | -30.817 | -30.817 | -30.817 |
| | | Vy | 0.000 | 0.000 | 0.000 | 0.000 | 0.000 |
| | | Vz | -2.589 | -2.589 | -2.589 | -2.589 | -2.589 |
| | | Mt | 0.000 | 0.000 | 0.000 | 0.000 | 0.000 |
| | | My | -1.597 | -0.982 | -0.367 | 0.248 | 0.862 |
| | | Mz | 0.000 | 0.000 | 0.000 | 0.000 | 0.000 |

| Esfuerzos en barras, por hipótesis | | | | | | | |
|------------------------------------|-------------|----------|------------------------|---------|---------|---------|---------|
| Barra | Hipótesis | Esfuerzo | Posiciones en la barra | | | | |
| | | | 0.000 m | 0.237 m | 0.475 m | 0.712 m | 0.950 m |
| N5/N15 | Peso propio | N | -14.572 | -14.572 | -14.572 | -14.572 | -14.572 |
| | | Vy | 0.000 | 0.000 | 0.000 | 0.000 | 0.000 |
| | | Vz | -3.372 | -3.332 | -3.291 | -3.250 | -3.210 |
| | | Mt | 0.000 | 0.000 | 0.000 | 0.000 | 0.000 |
| | | My | 0.289 | 1.085 | 1.872 | 2.648 | 3.415 |
| | | Mz | 0.000 | 0.000 | 0.000 | 0.000 | 0.000 |
| | CM 1 | N | -4.764 | -4.764 | -4.764 | -4.764 | -4.764 |
| | | Vy | 0.000 | 0.000 | 0.000 | 0.000 | 0.000 |
| | | Vz | -1.047 | -1.047 | -1.047 | -1.047 | -1.047 |
| | | Mt | 0.000 | 0.000 | 0.000 | 0.000 | 0.000 |
| | | My | 0.055 | 0.303 | 0.552 | 0.801 | 1.050 |
| | | Mz | 0.000 | 0.000 | 0.000 | 0.000 | 0.000 |
| | CM 2 | N | -4.764 | -4.764 | -4.764 | -4.764 | -4.764 |
| | | Vy | 0.000 | 0.000 | 0.000 | 0.000 | 0.000 |
| | | Vz | -1.047 | -1.047 | -1.047 | -1.047 | -1.047 |
| | | Mt | 0.000 | 0.000 | 0.000 | 0.000 | 0.000 |
| | | My | 0.055 | 0.303 | 0.552 | 0.801 | 1.050 |
| | | Mz | 0.000 | 0.000 | 0.000 | 0.000 | 0.000 |
| | Q 1 | N | -14.293 | -14.293 | -14.293 | -14.293 | -14.293 |
| | | Vy | 0.000 | 0.000 | 0.000 | 0.000 | 0.000 |
| | | Vz | -3.142 | -3.142 | -3.142 | -3.142 | -3.142 |
| | | Mt | 0.000 | 0.000 | 0.000 | 0.000 | 0.000 |
| | | My | 0.164 | 0.910 | 1.657 | 2.403 | 3.149 |
| | | Mz | 0.000 | 0.000 | 0.000 | 0.000 | 0.000 |



Listados

DESARROLLO DE PROYECTO EJECUTIVO DE REFORMA DE LA PISCINA DEL
COLEGIO PÁLCAM

Fecha: 28/03/18

| Esfuerzos en barras, por hipótesis | | | | | | | |
|------------------------------------|-------------|----------|------------------------|---------|---------|---------|---------|
| Barra | Hipótesis | Esfuerzo | Posiciones en la barra | | | | |
| | | | 0.000 m | 0.238 m | 0.475 m | 0.713 m | 0.950 m |
| N15/N16 | Peso propio | N | 1.643 | 1.643 | 1.643 | 1.643 | 1.643 |
| | | Vy | 0.000 | 0.000 | 0.000 | 0.000 | 0.000 |
| | | Vz | -3.527 | -3.486 | -3.446 | -3.405 | -3.365 |
| | | Mt | 0.000 | 0.000 | 0.000 | 0.000 | 0.000 |
| | | My | 2.742 | 3.575 | 4.398 | 5.212 | 6.016 |
| | | Mz | 0.000 | 0.000 | 0.000 | 0.000 | 0.000 |
| | CM 1 | N | 0.446 | 0.446 | 0.446 | 0.446 | 0.446 |
| | | Vy | 0.000 | 0.000 | 0.000 | 0.000 | 0.000 |
| | | Vz | -1.134 | -1.134 | -1.134 | -1.134 | -1.134 |
| | | Mt | 0.000 | 0.000 | 0.000 | 0.000 | 0.000 |
| | | My | 0.832 | 1.102 | 1.371 | 1.640 | 1.909 |
| | | Mz | 0.000 | 0.000 | 0.000 | 0.000 | 0.000 |
| | CM 2 | N | 0.446 | 0.446 | 0.446 | 0.446 | 0.446 |
| | | Vy | 0.000 | 0.000 | 0.000 | 0.000 | 0.000 |
| | | Vz | -1.134 | -1.134 | -1.134 | -1.134 | -1.134 |
| | | Mt | 0.000 | 0.000 | 0.000 | 0.000 | 0.000 |
| | | My | 0.832 | 1.102 | 1.371 | 1.640 | 1.909 |
| | | Mz | 0.000 | 0.000 | 0.000 | 0.000 | 0.000 |
| | Q 1 | N | 1.337 | 1.337 | 1.337 | 1.337 | 1.337 |
| | | Vy | 0.000 | 0.000 | 0.000 | 0.000 | 0.000 |
| | | Vz | -3.401 | -3.401 | -3.401 | -3.401 | -3.401 |
| | | Mt | 0.000 | 0.000 | 0.000 | 0.000 | 0.000 |
| | | My | 2.497 | 3.305 | 4.112 | 4.920 | 5.728 |
| | | Mz | 0.000 | 0.000 | 0.000 | 0.000 | 0.000 |

| Esfuerzos en barras, por hipótesis | | | | | | | |
|------------------------------------|-------------|----------|------------------------|---------|---------|---------|---------|
| Barra | Hipótesis | Esfuerzo | Posiciones en la barra | | | | |
| | | | 0.000 m | 0.238 m | 0.475 m | 0.713 m | 0.950 m |
| N16/N17 | Peso propio | N | 16.449 | 16.449 | 16.449 | 16.449 | 16.449 |
| | | Vy | 0.000 | 0.000 | 0.000 | 0.000 | 0.000 |
| | | Vz | -4.158 | -4.118 | -4.077 | -4.036 | -3.996 |
| | | Mt | 0.000 | 0.000 | 0.000 | 0.000 | 0.000 |
| | | My | 5.458 | 6.440 | 7.414 | 8.377 | 9.331 |
| | | Mz | 0.000 | 0.000 | 0.000 | 0.000 | 0.000 |
| | CM 1 | N | 5.293 | 5.293 | 5.293 | 5.293 | 5.293 |
| | | Vy | 0.000 | 0.000 | 0.000 | 0.000 | 0.000 |
| | | Vz | -1.381 | -1.381 | -1.381 | -1.381 | -1.381 |
| | | Mt | 0.000 | 0.000 | 0.000 | 0.000 | 0.000 |
| | | My | 1.727 | 2.055 | 2.383 | 2.711 | 3.038 |
| | | Mz | 0.000 | 0.000 | 0.000 | 0.000 | 0.000 |
| | CM 2 | N | 5.293 | 5.293 | 5.293 | 5.293 | 5.293 |
| | | Vy | 0.000 | 0.000 | 0.000 | 0.000 | 0.000 |
| | | Vz | -1.381 | -1.381 | -1.381 | -1.381 | -1.381 |
| | | Mt | 0.000 | 0.000 | 0.000 | 0.000 | 0.000 |
| | | My | 1.727 | 2.055 | 2.383 | 2.711 | 3.038 |
| | | Mz | 0.000 | 0.000 | 0.000 | 0.000 | 0.000 |



Listados

DESARROLLO DE PROYECTO EJECUTIVO DE REFORMA DE LA PISCINA DEL
COLEGIO PÁLCAM

Fecha: 28/03/18

| Esfuerzos en barras, por hipótesis | | | | | | | |
|------------------------------------|-----------|----------|------------------------|---------|---------|---------|---------|
| Barra | Hipótesis | Esfuerzo | Posiciones en la barra | | | | |
| | | | 0.000 m | 0.238 m | 0.475 m | 0.713 m | 0.950 m |
| | Q 1 | Mz | 0.000 | 0.000 | 0.000 | 0.000 | 0.000 |
| | | N | 15.878 | 15.878 | 15.878 | 15.878 | 15.878 |
| | | Vy | 0.000 | 0.000 | 0.000 | 0.000 | 0.000 |
| | | Vz | -4.142 | -4.142 | -4.142 | -4.142 | -4.142 |
| | | Mt | 0.000 | 0.000 | 0.000 | 0.000 | 0.000 |
| | | My | 5.180 | 6.164 | 7.148 | 8.132 | 9.115 |
| | | Mz | 0.000 | 0.000 | 0.000 | 0.000 | 0.000 |

| Esfuerzos en barras, por hipótesis | | | | | | | |
|------------------------------------|-------------|----------|------------------------|---------|---------|---------|---------|
| Barra | Hipótesis | Esfuerzo | Posiciones en la barra | | | | |
| | | | 0.000 m | 0.237 m | 0.475 m | 0.712 m | 0.950 m |
| N17/N18 | Peso propio | N | 28.474 | 28.474 | 28.474 | 28.474 | 28.474 |
| | | Vy | 0.000 | 0.000 | 0.000 | 0.000 | 0.000 |
| | | Vz | -4.542 | -4.501 | -4.461 | -4.420 | -4.379 |
| | | Mt | 0.000 | 0.000 | 0.000 | 0.000 | 0.000 |
| | | My | 9.002 | 10.076 | 11.140 | 12.195 | 13.239 |
| | | Mz | 0.000 | 0.000 | 0.000 | 0.000 | 0.000 |
| | CM 1 | N | 9.312 | 9.312 | 9.312 | 9.312 | 9.312 |
| | | Vy | 0.000 | 0.000 | 0.000 | 0.000 | 0.000 |
| | | Vz | -1.537 | -1.537 | -1.537 | -1.537 | -1.537 |
| | | Mt | 0.000 | 0.000 | 0.000 | 0.000 | 0.000 |
| | | My | 2.930 | 3.295 | 3.660 | 4.025 | 4.390 |
| | | Mz | 0.000 | 0.000 | 0.000 | 0.000 | 0.000 |
| | CM 2 | N | 9.312 | 9.312 | 9.312 | 9.312 | 9.312 |
| | | Vy | 0.000 | 0.000 | 0.000 | 0.000 | 0.000 |
| | | Vz | -1.537 | -1.537 | -1.537 | -1.537 | -1.537 |
| | | Mt | 0.000 | 0.000 | 0.000 | 0.000 | 0.000 |
| | | My | 2.930 | 3.295 | 3.660 | 4.025 | 4.390 |
| | | Mz | 0.000 | 0.000 | 0.000 | 0.000 | 0.000 |
| | Q 1 | N | 27.936 | 27.936 | 27.936 | 27.936 | 27.936 |
| | | Vy | 0.000 | 0.000 | 0.000 | 0.000 | 0.000 |
| | | Vz | -4.611 | -4.611 | -4.611 | -4.611 | -4.611 |
| | | Mt | 0.000 | 0.000 | 0.000 | 0.000 | 0.000 |
| | | My | 8.789 | 9.884 | 10.979 | 12.074 | 13.169 |
| | | Mz | 0.000 | 0.000 | 0.000 | 0.000 | 0.000 |

| Esfuerzos en barras, por hipótesis | | | | | | | |
|------------------------------------|-------------|----------|------------------------|---------|---------|---------|---------|
| Barra | Hipótesis | Esfuerzo | Posiciones en la barra | | | | |
| | | | 0.000 m | 0.238 m | 0.475 m | 0.713 m | 0.950 m |
| N18/N19 | Peso propio | N | 28.505 | 28.505 | 28.505 | 28.505 | 28.505 |
| | | Vy | 0.000 | 0.000 | 0.000 | 0.000 | 0.000 |
| | | Vz | 4.371 | 4.412 | 4.452 | 4.493 | 4.534 |
| | | Mt | 0.000 | 0.000 | 0.000 | 0.000 | 0.000 |
| | | My | 13.239 | 12.196 | 11.143 | 10.081 | 9.009 |
| | | Mz | 0.000 | 0.000 | 0.000 | 0.000 | 0.000 |



Listados

DESARROLLO DE PROYECTO EJECUTIVO DE REFORMA DE LA PISCINA DEL
COLEGIO PÁLCAM

Fecha: 28/03/18

| Esfuerzos en barras, por hipótesis | | | | | | | |
|------------------------------------|-----------|----------|------------------------|---------|---------|---------|---------|
| Barra | Hipótesis | Esfuerzo | Posiciones en la barra | | | | |
| | | | 0.000 m | 0.238 m | 0.475 m | 0.713 m | 0.950 m |
| | CM 1 | N | 9.322 | 9.322 | 9.322 | 9.322 | 9.322 |
| | | Vy | 0.000 | 0.000 | 0.000 | 0.000 | 0.000 |
| | | Vz | 1.534 | 1.534 | 1.534 | 1.534 | 1.534 |
| | | Mt | 0.000 | 0.000 | 0.000 | 0.000 | 0.000 |
| | | My | 4.389 | 4.025 | 3.661 | 3.296 | 2.932 |
| | | Mz | 0.000 | 0.000 | 0.000 | 0.000 | 0.000 |
| | CM 2 | N | 9.322 | 9.322 | 9.322 | 9.322 | 9.322 |
| | | Vy | 0.000 | 0.000 | 0.000 | 0.000 | 0.000 |
| | | Vz | 1.534 | 1.534 | 1.534 | 1.534 | 1.534 |
| | | Mt | 0.000 | 0.000 | 0.000 | 0.000 | 0.000 |
| | | My | 4.389 | 4.025 | 3.661 | 3.296 | 2.932 |
| | | Mz | 0.000 | 0.000 | 0.000 | 0.000 | 0.000 |
| | Q 1 | N | 27.965 | 27.965 | 27.965 | 27.965 | 27.965 |
| | | Vy | 0.000 | 0.000 | 0.000 | 0.000 | 0.000 |
| | | Vz | 4.603 | 4.603 | 4.603 | 4.603 | 4.603 |
| | | Mt | 0.000 | 0.000 | 0.000 | 0.000 | 0.000 |
| | | My | 13.168 | 12.075 | 10.982 | 9.889 | 8.796 |
| | | Mz | 0.000 | 0.000 | 0.000 | 0.000 | 0.000 |

| Esfuerzos en barras, por hipótesis | | | | | | | |
|------------------------------------|-------------|----------|------------------------|---------|---------|---------|---------|
| Barra | Hipótesis | Esfuerzo | Posiciones en la barra | | | | |
| | | | 0.000 m | 0.237 m | 0.475 m | 0.712 m | 0.950 m |
| N19/N20 | Peso propio | N | 16.509 | 16.509 | 16.509 | 16.509 | 16.509 |
| | | Vy | 0.000 | 0.000 | 0.000 | 0.000 | 0.000 |
| | | Vz | 3.988 | 4.028 | 4.069 | 4.109 | 4.150 |
| | | Mt | 0.000 | 0.000 | 0.000 | 0.000 | 0.000 |
| | | My | 9.337 | 8.385 | 7.423 | 6.452 | 5.471 |
| | | Mz | 0.000 | 0.000 | 0.000 | 0.000 | 0.000 |
| | CM 1 | N | 5.311 | 5.311 | 5.311 | 5.311 | 5.311 |
| | | Vy | 0.000 | 0.000 | 0.000 | 0.000 | 0.000 |
| | | Vz | 1.378 | 1.378 | 1.378 | 1.378 | 1.378 |
| | | Mt | 0.000 | 0.000 | 0.000 | 0.000 | 0.000 |
| | | My | 3.040 | 2.713 | 2.386 | 2.058 | 1.731 |
| | | Mz | 0.000 | 0.000 | 0.000 | 0.000 | 0.000 |
| | CM 2 | N | 5.311 | 5.311 | 5.311 | 5.311 | 5.311 |
| | | Vy | 0.000 | 0.000 | 0.000 | 0.000 | 0.000 |
| | | Vz | 1.378 | 1.378 | 1.378 | 1.378 | 1.378 |
| | | Mt | 0.000 | 0.000 | 0.000 | 0.000 | 0.000 |
| | | My | 3.040 | 2.713 | 2.386 | 2.058 | 1.731 |
| | | Mz | 0.000 | 0.000 | 0.000 | 0.000 | 0.000 |
| | Q 1 | N | 15.933 | 15.933 | 15.933 | 15.933 | 15.933 |
| | | Vy | 0.000 | 0.000 | 0.000 | 0.000 | 0.000 |
| | | Vz | 4.135 | 4.135 | 4.135 | 4.135 | 4.135 |
| | | Mt | 0.000 | 0.000 | 0.000 | 0.000 | 0.000 |
| | | My | 9.121 | 8.139 | 7.157 | 6.175 | 5.193 |
| | | Mz | 0.000 | 0.000 | 0.000 | 0.000 | 0.000 |



Listados

DESARROLLO DE PROYECTO EJECUTIVO DE REFORMA DE LA PISCINA DEL
COLEGIO PÁLCAM

Fecha: 28/03/18

| Esfuerzos en barras, por hipótesis | | | | | | | |
|------------------------------------|-----------|----------|------------------------|---------|---------|---------|---------|
| Barra | Hipótesis | Esfuerzo | Posiciones en la barra | | | | |
| | | | 0.000 m | 0.237 m | 0.475 m | 0.712 m | 0.950 m |
| | | Mz | 0.000 | 0.000 | 0.000 | 0.000 | 0.000 |

| Esfuerzos en barras, por hipótesis | | | | | | | |
|------------------------------------|-------------|----------|------------------------|---------|---------|---------|---------|
| Barra | Hipótesis | Esfuerzo | Posiciones en la barra | | | | |
| | | | 0.000 m | 0.238 m | 0.475 m | 0.713 m | 0.950 m |
| N20/N21 | Peso propio | N | 1.722 | 1.722 | 1.722 | 1.722 | 1.722 |
| | | Vy | 0.000 | 0.000 | 0.000 | 0.000 | 0.000 |
| | | Vz | 3.354 | 3.395 | 3.435 | 3.476 | 3.517 |
| | | Mt | 0.000 | 0.000 | 0.000 | 0.000 | 0.000 |
| | | My | 6.029 | 5.227 | 4.416 | 3.595 | 2.765 |
| | | Mz | 0.000 | 0.000 | 0.000 | 0.000 | 0.000 |
| | CM 1 | N | 0.470 | 0.470 | 0.470 | 0.470 | 0.470 |
| | | Vy | 0.000 | 0.000 | 0.000 | 0.000 | 0.000 |
| | | Vz | 1.130 | 1.130 | 1.130 | 1.130 | 1.130 |
| | | Mt | 0.000 | 0.000 | 0.000 | 0.000 | 0.000 |
| | | My | 1.913 | 1.645 | 1.376 | 1.108 | 0.839 |
| | | Mz | 0.000 | 0.000 | 0.000 | 0.000 | 0.000 |
| | CM 2 | N | 0.470 | 0.470 | 0.470 | 0.470 | 0.470 |
| | | Vy | 0.000 | 0.000 | 0.000 | 0.000 | 0.000 |
| | | Vz | 1.130 | 1.130 | 1.130 | 1.130 | 1.130 |
| | | Mt | 0.000 | 0.000 | 0.000 | 0.000 | 0.000 |
| | | My | 1.913 | 1.645 | 1.376 | 1.108 | 0.839 |
| | | Mz | 0.000 | 0.000 | 0.000 | 0.000 | 0.000 |
| | Q 1 | N | 1.409 | 1.409 | 1.409 | 1.409 | 1.409 |
| | | Vy | 0.000 | 0.000 | 0.000 | 0.000 | 0.000 |
| | | Vz | 3.391 | 3.391 | 3.391 | 3.391 | 3.391 |
| | | Mt | 0.000 | 0.000 | 0.000 | 0.000 | 0.000 |
| | | My | 5.740 | 4.934 | 4.129 | 3.324 | 2.518 |
| | | Mz | 0.000 | 0.000 | 0.000 | 0.000 | 0.000 |

| Esfuerzos en barras, por hipótesis | | | | | | | |
|------------------------------------|-------------|----------|------------------------|---------|---------|---------|---------|
| Barra | Hipótesis | Esfuerzo | Posiciones en la barra | | | | |
| | | | 0.000 m | 0.237 m | 0.475 m | 0.712 m | 0.950 m |
| N21/N22 | Peso propio | N | -14.500 | -14.500 | -14.500 | -14.500 | -14.500 |
| | | Vy | 0.000 | 0.000 | 0.000 | 0.000 | 0.000 |
| | | Vz | 3.189 | 3.229 | 3.270 | 3.311 | 3.351 |
| | | Mt | 0.000 | 0.000 | 0.000 | 0.000 | 0.000 |
| | | My | 3.439 | 2.676 | 1.905 | 1.123 | 0.332 |
| | | Mz | 0.000 | 0.000 | 0.000 | 0.000 | 0.000 |
| | CM 1 | N | -4.742 | -4.742 | -4.742 | -4.742 | -4.742 |
| | | Vy | 0.000 | 0.000 | 0.000 | 0.000 | 0.000 |
| | | Vz | 1.041 | 1.041 | 1.041 | 1.041 | 1.041 |
| | | Mt | 0.000 | 0.000 | 0.000 | 0.000 | 0.000 |
| | | My | 1.057 | 0.810 | 0.562 | 0.315 | 0.068 |
| | | Mz | 0.000 | 0.000 | 0.000 | 0.000 | 0.000 |



Listados

DESARROLLO DE PROYECTO EJECUTIVO DE REFORMA DE LA PISCINA DEL
COLEGIO PÁLCAM

Fecha: 28/03/18

| Esfuerzos en barras, por hipótesis | | | | | | | |
|------------------------------------|-----------|----------|------------------------|---------|---------|---------|---------|
| Barra | Hipótesis | Esfuerzo | Posiciones en la barra | | | | |
| | | | 0.000 m | 0.237 m | 0.475 m | 0.712 m | 0.950 m |
| | CM 2 | N | -4.742 | -4.742 | -4.742 | -4.742 | -4.742 |
| | | Vy | 0.000 | 0.000 | 0.000 | 0.000 | 0.000 |
| | | Vz | 1.041 | 1.041 | 1.041 | 1.041 | 1.041 |
| | | Mt | 0.000 | 0.000 | 0.000 | 0.000 | 0.000 |
| | | My | 1.057 | 0.810 | 0.562 | 0.315 | 0.068 |
| | | Mz | 0.000 | 0.000 | 0.000 | 0.000 | 0.000 |
| | Q 1 | N | -14.227 | -14.227 | -14.227 | -14.227 | -14.227 |
| | | Vy | 0.000 | 0.000 | 0.000 | 0.000 | 0.000 |
| | | Vz | 3.122 | 3.122 | 3.122 | 3.122 | 3.122 |
| | | Mt | 0.000 | 0.000 | 0.000 | 0.000 | 0.000 |
| | | My | 3.170 | 2.429 | 1.687 | 0.946 | 0.204 |
| | | Mz | 0.000 | 0.000 | 0.000 | 0.000 | 0.000 |

| Esfuerzos en barras, por hipótesis | | | | | | | |
|------------------------------------|-------------|----------|------------------------|---------|---------|---------|---------|
| Barra | Hipótesis | Esfuerzo | Posiciones en la barra | | | | |
| | | | 0.000 m | 0.240 m | 0.480 m | 0.720 m | 0.960 m |
| N22/N2 | Peso propio | N | -31.936 | -31.936 | -31.936 | -31.936 | -31.936 |
| | | Vy | 0.000 | 0.000 | 0.000 | 0.000 | 0.000 |
| | | Vz | 2.776 | 2.817 | 2.858 | 2.899 | 2.941 |
| | | Mt | 0.000 | 0.000 | 0.000 | 0.000 | 0.000 |
| | | My | 1.060 | 0.389 | -0.292 | -0.983 | -1.684 |
| | | Mz | 0.000 | 0.000 | 0.000 | 0.000 | 0.000 |
| | CM 1 | N | -10.265 | -10.265 | -10.265 | -10.265 | -10.265 |
| | | Vy | 0.000 | 0.000 | 0.000 | 0.000 | 0.000 |
| | | Vz | 0.870 | 0.870 | 0.870 | 0.870 | 0.870 |
| | | Mt | 0.000 | 0.000 | 0.000 | 0.000 | 0.000 |
| | | My | 0.300 | 0.092 | -0.117 | -0.326 | -0.535 |
| | | Mz | 0.000 | 0.000 | 0.000 | 0.000 | 0.000 |
| | CM 2 | N | -10.265 | -10.265 | -10.265 | -10.265 | -10.265 |
| | | Vy | 0.000 | 0.000 | 0.000 | 0.000 | 0.000 |
| | | Vz | 0.870 | 0.870 | 0.870 | 0.870 | 0.870 |
| | | Mt | 0.000 | 0.000 | 0.000 | 0.000 | 0.000 |
| | | My | 0.300 | 0.092 | -0.117 | -0.326 | -0.535 |
| | | Mz | 0.000 | 0.000 | 0.000 | 0.000 | 0.000 |
| | Q 1 | N | -30.796 | -30.796 | -30.796 | -30.796 | -30.796 |
| | | Vy | 0.000 | 0.000 | 0.000 | 0.000 | 0.000 |
| | | Vz | 2.609 | 2.609 | 2.609 | 2.609 | 2.609 |
| | | Mt | 0.000 | 0.000 | 0.000 | 0.000 | 0.000 |
| | | My | 0.901 | 0.275 | -0.351 | -0.977 | -1.604 |
| | | Mz | 0.000 | 0.000 | 0.000 | 0.000 | 0.000 |



Listados

DESARROLLO DE PROYECTO EJECUTIVO DE REFORMA DE LA PISCINA DEL
COLEGIO PÁLCAM

Fecha: 28/03/18

| Esfuerzos en barras, por hipótesis | | | | | |
|------------------------------------|-------------|----------|------------------------|---------|---------|
| Barra | Hipótesis | Esfuerzo | Posiciones en la barra | | |
| | | | 0.000 m | 0.300 m | 0.600 m |
| N1/N3 | Peso propio | N | -12.893 | -12.872 | -12.850 |
| | | Vy | 0.000 | 0.000 | 0.000 |
| | | Vz | -5.704 | -5.704 | -5.704 |
| | | Mt | 0.000 | 0.000 | 0.000 |
| | | My | -1.677 | 0.034 | 1.746 |
| | | Mz | 0.000 | 0.000 | 0.000 |
| | CM 1 | N | -4.002 | -4.002 | -4.002 |
| | | Vy | 0.000 | 0.000 | 0.000 |
| | | Vz | -1.813 | -1.813 | -1.813 |
| | | Mt | 0.000 | 0.000 | 0.000 |
| | | My | -0.532 | 0.012 | 0.556 |
| | | Mz | 0.000 | 0.000 | 0.000 |
| | CM 2 | N | -4.002 | -4.002 | -4.002 |
| | | Vy | 0.000 | 0.000 | 0.000 |
| | | Vz | -1.813 | -1.813 | -1.813 |
| | | Mt | 0.000 | 0.000 | 0.000 |
| | | My | -0.532 | 0.012 | 0.556 |
| | | Mz | 0.000 | 0.000 | 0.000 |
| | Q 1 | N | -12.006 | -12.006 | -12.006 |
| | | Vy | 0.000 | 0.000 | 0.000 |
| | | Vz | -5.440 | -5.440 | -5.440 |
| | | Mt | 0.000 | 0.000 | 0.000 |
| | | My | -1.597 | 0.035 | 1.667 |
| | | Mz | 0.000 | 0.000 | 0.000 |

| Esfuerzos en barras, por hipótesis | | | | | |
|------------------------------------|-------------|----------|------------------------|---------|---------|
| Barra | Hipótesis | Esfuerzo | Posiciones en la barra | | |
| | | | 0.000 m | 0.300 m | 0.600 m |
| N5/N6 | Peso propio | N | -8.814 | -8.805 | -8.795 |
| | | Vy | 0.000 | 0.000 | 0.000 |
| | | Vz | -2.155 | -2.155 | -2.155 |
| | | Mt | 0.000 | 0.000 | 0.000 |
| | | My | -0.644 | 0.002 | 0.649 |
| | | Mz | 0.000 | 0.000 | 0.000 |
| | CM 1 | N | -2.804 | -2.804 | -2.804 |
| | | Vy | 0.000 | 0.000 | 0.000 |
| | | Vz | -0.688 | -0.688 | -0.688 |
| | | Mt | 0.000 | 0.000 | 0.000 |
| | | My | -0.206 | 0.001 | 0.207 |
| | | Mz | 0.000 | 0.000 | 0.000 |
| | CM 2 | N | -2.804 | -2.804 | -2.804 |
| | | Vy | 0.000 | 0.000 | 0.000 |
| | | Vz | -0.688 | -0.688 | -0.688 |
| | | Mt | 0.000 | 0.000 | 0.000 |
| | | My | -0.206 | 0.001 | 0.207 |
| | | Mz | 0.000 | 0.000 | 0.000 |



Listados

DESARROLLO DE PROYECTO EJECUTIVO DE REFORMA DE LA PISCINA DEL
COLEGIO PÁLCAM

Fecha: 28/03/18

| Esfuerzos en barras, por hipótesis | | | | | |
|------------------------------------|-----------|----------|------------------------|---------|---------|
| Barra | Hipótesis | Esfuerzo | Posiciones en la barra | | |
| | | | 0.000 m | 0.300 m | 0.600 m |
| | Q 1 | Mz | 0.000 | 0.000 | 0.000 |
| | | N | -8.412 | -8.412 | -8.412 |
| | | Vy | 0.000 | 0.000 | 0.000 |
| | | Vz | -2.065 | -2.065 | -2.065 |
| | | Mt | 0.000 | 0.000 | 0.000 |
| | | My | -0.617 | 0.002 | 0.622 |
| | | Mz | 0.000 | 0.000 | 0.000 |

| Esfuerzos en barras, por hipótesis | | | | | |
|------------------------------------|-------------|----------|------------------------|---------|---------|
| Barra | Hipótesis | Esfuerzo | Posiciones en la barra | | |
| | | | 0.000 m | 0.300 m | 0.600 m |
| N15/N7 | Peso propio | N | -8.461 | -8.452 | -8.442 |
| | | Vy | 0.000 | 0.000 | 0.000 |
| | | Vz | -2.019 | -2.019 | -2.019 |
| | | Mt | 0.000 | 0.000 | 0.000 |
| | | My | -0.607 | -0.001 | 0.605 |
| | | Mz | 0.000 | 0.000 | 0.000 |
| | CM 1 | N | -2.736 | -2.736 | -2.736 |
| | | Vy | 0.000 | 0.000 | 0.000 |
| | | Vz | -0.653 | -0.653 | -0.653 |
| | | Mt | 0.000 | 0.000 | 0.000 |
| | | My | -0.196 | 0.000 | 0.196 |
| | | Mz | 0.000 | 0.000 | 0.000 |
| | CM 2 | N | -2.736 | -2.736 | -2.736 |
| | | Vy | 0.000 | 0.000 | 0.000 |
| | | Vz | -0.653 | -0.653 | -0.653 |
| | | Mt | 0.000 | 0.000 | 0.000 |
| | | My | -0.196 | 0.000 | 0.196 |
| | | Mz | 0.000 | 0.000 | 0.000 |
| | Q 1 | N | -8.209 | -8.209 | -8.209 |
| | | Vy | 0.000 | 0.000 | 0.000 |
| | | Vz | -1.960 | -1.960 | -1.960 |
| | | Mt | 0.000 | 0.000 | 0.000 |
| | | My | -0.589 | -0.001 | 0.587 |
| | | Mz | 0.000 | 0.000 | 0.000 |

| Esfuerzos en barras, por hipótesis | | | | | |
|------------------------------------|-------------|----------|------------------------|---------|---------|
| Barra | Hipótesis | Esfuerzo | Posiciones en la barra | | |
| | | | 0.000 m | 0.300 m | 0.600 m |
| N16/N8 | Peso propio | N | -7.297 | -7.288 | -7.278 |
| | | Vy | 0.000 | 0.000 | 0.000 |
| | | Vz | -1.760 | -1.760 | -1.760 |
| | | Mt | 0.000 | 0.000 | 0.000 |
| | | My | -0.529 | -0.001 | 0.527 |
| | | Mz | 0.000 | 0.000 | 0.000 |



Listados

DESARROLLO DE PROYECTO EJECUTIVO DE REFORMA DE LA PISCINA DEL
COLEGIO PÁLCAM

Fecha: 28/03/18

| Esfuerzos en barras, por hipótesis | | | | | |
|------------------------------------|-----------|----------|------------------------|---------|---------|
| Barra | Hipótesis | Esfuerzo | Posiciones en la barra | | |
| | | | 0.000 m | 0.300 m | 0.600 m |
| | CM 1 | N | -2.407 | -2.407 | -2.407 |
| | | Vy | 0.000 | 0.000 | 0.000 |
| | | Vz | -0.578 | -0.578 | -0.578 |
| | | Mt | 0.000 | 0.000 | 0.000 |
| | | My | -0.174 | 0.000 | 0.173 |
| | | Mz | 0.000 | 0.000 | 0.000 |
| | CM 2 | N | -2.407 | -2.407 | -2.407 |
| | | Vy | 0.000 | 0.000 | 0.000 |
| | | Vz | -0.578 | -0.578 | -0.578 |
| | | Mt | 0.000 | 0.000 | 0.000 |
| | | My | -0.174 | 0.000 | 0.173 |
| | | Mz | 0.000 | 0.000 | 0.000 |
| | Q 1 | N | -7.220 | -7.220 | -7.220 |
| | | Vy | 0.000 | 0.000 | 0.000 |
| | | Vz | -1.734 | -1.734 | -1.734 |
| | | Mt | 0.000 | 0.000 | 0.000 |
| | | My | -0.521 | -0.001 | 0.520 |
| | | Mz | 0.000 | 0.000 | 0.000 |

| Esfuerzos en barras, por hipótesis | | | | | |
|------------------------------------|-------------|----------|------------------------|---------|---------|
| Barra | Hipótesis | Esfuerzo | Posiciones en la barra | | |
| | | | 0.000 m | 0.300 m | 0.600 m |
| N17/N9 | Peso propio | N | -6.206 | -6.197 | -6.187 |
| | | Vy | 0.000 | 0.000 | 0.000 |
| | | Vz | -1.226 | -1.226 | -1.226 |
| | | Mt | 0.000 | 0.000 | 0.000 |
| | | My | -0.363 | 0.004 | 0.372 |
| | | Mz | 0.000 | 0.000 | 0.000 |
| | CM 1 | N | -2.108 | -2.108 | -2.108 |
| | | Vy | 0.000 | 0.000 | 0.000 |
| | | Vz | -0.409 | -0.409 | -0.409 |
| | | Mt | 0.000 | 0.000 | 0.000 |
| | | My | -0.121 | 0.002 | 0.124 |
| | | Mz | 0.000 | 0.000 | 0.000 |
| | CM 2 | N | -2.108 | -2.108 | -2.108 |
| | | Vy | 0.000 | 0.000 | 0.000 |
| | | Vz | -0.409 | -0.409 | -0.409 |
| | | Mt | 0.000 | 0.000 | 0.000 |
| | | My | -0.121 | 0.002 | 0.124 |
| | | Mz | 0.000 | 0.000 | 0.000 |
| | Q 1 | N | -6.324 | -6.324 | -6.324 |
| | | Vy | 0.000 | 0.000 | 0.000 |
| | | Vz | -1.227 | -1.227 | -1.227 |
| | | Mt | 0.000 | 0.000 | 0.000 |
| | | My | -0.363 | 0.005 | 0.373 |



Listados

DESARROLLO DE PROYECTO EJECUTIVO DE REFORMA DE LA PISCINA DEL
COLEGIO PÁLCAM

Fecha: 28/03/18

| Esfuerzos en barras, por hipótesis | | | | | |
|------------------------------------|-----------|----------|------------------------|---------|---------|
| Barra | Hipótesis | Esfuerzo | Posiciones en la barra | | |
| | | | 0.000 m | 0.300 m | 0.600 m |
| | | Mz | 0.000 | 0.000 | 0.000 |

| Esfuerzos en barras, por hipótesis | | | | | |
|------------------------------------|-------------|----------|------------------------|---------|---------|
| Barra | Hipótesis | Esfuerzo | Posiciones en la barra | | |
| | | | 0.000 m | 0.300 m | 0.600 m |
| N18/N10 | Peso propio | N | -14.993 | -14.983 | -14.974 |
| | | Vy | 0.000 | 0.000 | 0.000 |
| | | Vz | -0.002 | -0.002 | -0.002 |
| | | Mt | 0.000 | 0.000 | 0.000 |
| | | My | -0.001 | 0.000 | 0.001 |
| | | Mz | 0.000 | 0.000 | 0.000 |
| | | | | | |
| | CM 1 | N | -5.235 | -5.235 | -5.235 |
| | | Vy | 0.000 | 0.000 | 0.000 |
| | | Vz | -0.001 | -0.001 | -0.001 |
| | | Mt | 0.000 | 0.000 | 0.000 |
| | | My | 0.000 | 0.000 | 0.000 |
| | | Mz | 0.000 | 0.000 | 0.000 |
| | | | | | |
| | CM 2 | N | -5.235 | -5.235 | -5.235 |
| | | Vy | 0.000 | 0.000 | 0.000 |
| | | Vz | -0.001 | -0.001 | -0.001 |
| | | Mt | 0.000 | 0.000 | 0.000 |
| | | My | 0.000 | 0.000 | 0.000 |
| | | Mz | 0.000 | 0.000 | 0.000 |
| | | | | | |
| | Q 1 | N | -15.704 | -15.704 | -15.704 |
| | | Vy | 0.000 | 0.000 | 0.000 |
| | | Vz | -0.002 | -0.002 | -0.002 |
| | | Mt | 0.000 | 0.000 | 0.000 |
| | | My | 0.000 | 0.000 | 0.000 |
| | | Mz | 0.000 | 0.000 | 0.000 |
| | | | | | |

| Esfuerzos en barras, por hipótesis | | | | | |
|------------------------------------|-------------|----------|------------------------|---------|---------|
| Barra | Hipótesis | Esfuerzo | Posiciones en la barra | | |
| | | | 0.000 m | 0.300 m | 0.600 m |
| N19/N11 | Peso propio | N | -6.191 | -6.181 | -6.172 |
| | | Vy | 0.000 | 0.000 | 0.000 |
| | | Vz | 1.222 | 1.222 | 1.222 |
| | | Mt | 0.000 | 0.000 | 0.000 |
| | | My | 0.362 | -0.004 | -0.371 |
| | | Mz | 0.000 | 0.000 | 0.000 |
| | | | | | |
| | CM 1 | N | -2.103 | -2.103 | -2.103 |
| | | Vy | 0.000 | 0.000 | 0.000 |
| | | Vz | 0.408 | 0.408 | 0.408 |
| | | Mt | 0.000 | 0.000 | 0.000 |
| | | My | 0.121 | -0.002 | -0.124 |
| | | Mz | 0.000 | 0.000 | 0.000 |
| | | | | | |



Listados

DESARROLLO DE PROYECTO EJECUTIVO DE REFORMA DE LA PISCINA DEL
COLEGIO PÁLCAM

Fecha: 28/03/18

| Esfuerzos en barras, por hipótesis | | | | | |
|------------------------------------|-----------|----------|------------------------|---------|---------|
| Barra | Hipótesis | Esfuerzo | Posiciones en la barra | | |
| | | | 0.000 m | 0.300 m | 0.600 m |
| | CM 2 | N | -2.103 | -2.103 | -2.103 |
| | | Vy | 0.000 | 0.000 | 0.000 |
| | | Vz | 0.408 | 0.408 | 0.408 |
| | | Mt | 0.000 | 0.000 | 0.000 |
| | | My | 0.121 | -0.002 | -0.124 |
| | | Mz | 0.000 | 0.000 | 0.000 |
| | Q 1 | N | -6.310 | -6.310 | -6.310 |
| | | Vy | 0.000 | 0.000 | 0.000 |
| | | Vz | 1.224 | 1.224 | 1.224 |
| | | Mt | 0.000 | 0.000 | 0.000 |
| | | My | 0.362 | -0.005 | -0.372 |
| | | Mz | 0.000 | 0.000 | 0.000 |

| Esfuerzos en barras, por hipótesis | | | | | |
|------------------------------------|-------------|----------|------------------------|---------|---------|
| Barra | Hipótesis | Esfuerzo | Posiciones en la barra | | |
| | | | 0.000 m | 0.300 m | 0.600 m |
| N20/N12 | Peso propio | N | -7.284 | -7.275 | -7.265 |
| | | Vy | 0.000 | 0.000 | 0.000 |
| | | Vz | 1.757 | 1.757 | 1.757 |
| | | Mt | 0.000 | 0.000 | 0.000 |
| | | My | 0.528 | 0.001 | -0.526 |
| | | Mz | 0.000 | 0.000 | 0.000 |
| | CM 1 | N | -2.403 | -2.403 | -2.403 |
| | | Vy | 0.000 | 0.000 | 0.000 |
| | | Vz | 0.577 | 0.577 | 0.577 |
| | | Mt | 0.000 | 0.000 | 0.000 |
| | | My | 0.173 | 0.000 | -0.173 |
| | | Mz | 0.000 | 0.000 | 0.000 |
| | CM 2 | N | -2.403 | -2.403 | -2.403 |
| | | Vy | 0.000 | 0.000 | 0.000 |
| | | Vz | 0.577 | 0.577 | 0.577 |
| | | Mt | 0.000 | 0.000 | 0.000 |
| | | My | 0.173 | 0.000 | -0.173 |
| | | Mz | 0.000 | 0.000 | 0.000 |
| | Q 1 | N | -7.208 | -7.208 | -7.208 |
| | | Vy | 0.000 | 0.000 | 0.000 |
| | | Vz | 1.732 | 1.732 | 1.732 |
| | | Mt | 0.000 | 0.000 | 0.000 |
| | | My | 0.520 | 0.001 | -0.519 |
| | | Mz | 0.000 | 0.000 | 0.000 |



Listados

DESARROLLO DE PROYECTO EJECUTIVO DE REFORMA DE LA PISCINA DEL
COLEGIO PÁLCAM

Fecha: 28/03/18

| Esfuerzos en barras, por hipótesis | | | | | |
|------------------------------------|-------------|----------|------------------------|---------|---------|
| Barra | Hipótesis | Esfuerzo | Posiciones en la barra | | |
| | | | 0.000 m | 0.300 m | 0.600 m |
| N21/N13 | Peso propio | N | -8.454 | -8.444 | -8.435 |
| | | Vy | 0.000 | 0.000 | 0.000 |
| | | Vz | 2.019 | 2.019 | 2.019 |
| | | Mt | 0.000 | 0.000 | 0.000 |
| | | My | 0.607 | 0.001 | -0.605 |
| | | Mz | 0.000 | 0.000 | 0.000 |
| | CM 1 | N | -2.734 | -2.734 | -2.734 |
| | | Vy | 0.000 | 0.000 | 0.000 |
| | | Vz | 0.653 | 0.653 | 0.653 |
| | | Mt | 0.000 | 0.000 | 0.000 |
| | | My | 0.196 | 0.000 | -0.196 |
| | | Mz | 0.000 | 0.000 | 0.000 |
| | CM 2 | N | -2.734 | -2.734 | -2.734 |
| | | Vy | 0.000 | 0.000 | 0.000 |
| | | Vz | 0.653 | 0.653 | 0.653 |
| | | Mt | 0.000 | 0.000 | 0.000 |
| | | My | 0.196 | 0.000 | -0.196 |
| | | Mz | 0.000 | 0.000 | 0.000 |
| | Q 1 | N | -8.203 | -8.203 | -8.203 |
| | | Vy | 0.000 | 0.000 | 0.000 |
| | | Vz | 1.960 | 1.960 | 1.960 |
| | | Mt | 0.000 | 0.000 | 0.000 |
| | | My | 0.589 | 0.001 | -0.587 |
| | | Mz | 0.000 | 0.000 | 0.000 |

| Esfuerzos en barras, por hipótesis | | | | | |
|------------------------------------|-------------|----------|------------------------|---------|---------|
| Barra | Hipótesis | Esfuerzo | Posiciones en la barra | | |
| | | | 0.000 m | 0.300 m | 0.600 m |
| N22/N14 | Peso propio | N | -8.790 | -8.781 | -8.772 |
| | | Vy | 0.000 | 0.000 | 0.000 |
| | | Vz | 2.161 | 2.161 | 2.161 |
| | | Mt | 0.000 | 0.000 | 0.000 |
| | | My | 0.646 | -0.002 | -0.650 |
| | | Mz | 0.000 | 0.000 | 0.000 |
| | CM 1 | N | -2.796 | -2.796 | -2.796 |
| | | Vy | 0.000 | 0.000 | 0.000 |
| | | Vz | 0.690 | 0.690 | 0.690 |
| | | Mt | 0.000 | 0.000 | 0.000 |
| | | My | 0.206 | -0.001 | -0.208 |
| | | Mz | 0.000 | 0.000 | 0.000 |
| | CM 2 | N | -2.796 | -2.796 | -2.796 |
| | | Vy | 0.000 | 0.000 | 0.000 |
| | | Vz | 0.690 | 0.690 | 0.690 |
| | | Mt | 0.000 | 0.000 | 0.000 |
| | | My | 0.206 | -0.001 | -0.208 |
| | | Mz | 0.000 | 0.000 | 0.000 |



Listados

DESARROLLO DE PROYECTO EJECUTIVO DE REFORMA DE LA PISCINA DEL
COLEGIO PÁLCAM

Fecha: 28/03/18

| Esfuerzos en barras, por hipótesis | | | | | |
|------------------------------------|-----------|----------|------------------------|---------|---------|
| Barra | Hipótesis | Esfuerzo | Posiciones en la barra | | |
| | | | 0.000 m | 0.300 m | 0.600 m |
| | Q 1 | Mz | 0.000 | 0.000 | 0.000 |
| | | N | -8.389 | -8.389 | -8.389 |
| | | Vy | 0.000 | 0.000 | 0.000 |
| | | Vz | 2.070 | 2.070 | 2.070 |
| | | Mt | 0.000 | 0.000 | 0.000 |
| | | My | 0.619 | -0.002 | -0.623 |
| | | Mz | 0.000 | 0.000 | 0.000 |

| Esfuerzos en barras, por hipótesis | | | | | |
|------------------------------------|-------------|----------|------------------------|---------|---------|
| Barra | Hipótesis | Esfuerzo | Posiciones en la barra | | |
| | | | 0.000 m | 0.300 m | 0.600 m |
| N2/N4 | Peso propio | N | -12.841 | -12.820 | -12.798 |
| | | Vy | 0.000 | 0.000 | 0.000 |
| | | Vz | 5.727 | 5.727 | 5.727 |
| | | Mt | 0.000 | 0.000 | 0.000 |
| | | My | 1.684 | -0.035 | -1.753 |
| | | Mz | 0.000 | 0.000 | 0.000 |
| | CM 1 | N | -3.985 | -3.985 | -3.985 |
| | | Vy | 0.000 | 0.000 | 0.000 |
| | | Vz | 1.820 | 1.820 | 1.820 |
| | | Mt | 0.000 | 0.000 | 0.000 |
| | | My | 0.535 | -0.012 | -0.558 |
| | | Mz | 0.000 | 0.000 | 0.000 |
| | CM 2 | N | -3.985 | -3.985 | -3.985 |
| | | Vy | 0.000 | 0.000 | 0.000 |
| | | Vz | 1.820 | 1.820 | 1.820 |
| | | Mt | 0.000 | 0.000 | 0.000 |
| | | My | 0.535 | -0.012 | -0.558 |
| | | Mz | 0.000 | 0.000 | 0.000 |
| | Q 1 | N | -11.955 | -11.955 | -11.955 |
| | | Vy | 0.000 | 0.000 | 0.000 |
| | | Vz | 5.461 | 5.461 | 5.461 |
| | | Mt | 0.000 | 0.000 | 0.000 |
| | | My | 1.604 | -0.035 | -1.673 |
| | | Mz | 0.000 | 0.000 | 0.000 |

| Esfuerzos en barras, por hipótesis | | | | | | | |
|------------------------------------|-------------|----------|------------------------|---------|---------|---------|---------|
| Barra | Hipótesis | Esfuerzo | Posiciones en la barra | | | | |
| | | | 0.000 m | 0.238 m | 0.475 m | 0.713 m | 0.950 m |
| N3/N6 | Peso propio | N | -20.936 | -20.936 | -20.936 | -20.936 | -20.936 |
| | | Vy | 0.000 | 0.000 | 0.000 | 0.000 | 0.000 |
| | | Vz | -3.384 | -3.343 | -3.303 | -3.262 | -3.222 |
| | | Mt | 0.000 | 0.000 | 0.000 | 0.000 | 0.000 |
| | | My | -1.824 | -1.025 | -0.235 | 0.544 | 1.314 |
| | | Mz | 0.000 | 0.000 | 0.000 | 0.000 | 0.000 |



Listados

DESARROLLO DE PROYECTO EJECUTIVO DE REFORMA DE LA PISCINA DEL
COLEGIO PÁLCAM

Fecha: 28/03/18

| Esfuerzos en barras, por hipótesis | | | | | | | |
|------------------------------------|-----------|----------|------------------------|---------|---------|---------|---------|
| Barra | Hipótesis | Esfuerzo | Posiciones en la barra | | | | |
| | | | 0.000 m | 0.238 m | 0.475 m | 0.713 m | 0.950 m |
| | CM 1 | N | -6.633 | -6.633 | -6.633 | -6.633 | -6.633 |
| | | Vy | 0.000 | 0.000 | 0.000 | 0.000 | 0.000 |
| | | Vz | -1.014 | -1.014 | -1.014 | -1.014 | -1.014 |
| | | Mt | 0.000 | 0.000 | 0.000 | 0.000 | 0.000 |
| | | My | -0.582 | -0.341 | -0.100 | 0.141 | 0.382 |
| | | Mz | 0.000 | 0.000 | 0.000 | 0.000 | 0.000 |
| | CM 2 | N | -6.633 | -6.633 | -6.633 | -6.633 | -6.633 |
| | | Vy | 0.000 | 0.000 | 0.000 | 0.000 | 0.000 |
| | | Vz | -1.014 | -1.014 | -1.014 | -1.014 | -1.014 |
| | | Mt | 0.000 | 0.000 | 0.000 | 0.000 | 0.000 |
| | | My | -0.582 | -0.341 | -0.100 | 0.141 | 0.382 |
| | | Mz | 0.000 | 0.000 | 0.000 | 0.000 | 0.000 |
| | Q 1 | N | -19.898 | -19.898 | -19.898 | -19.898 | -19.898 |
| | | Vy | 0.000 | 0.000 | 0.000 | 0.000 | 0.000 |
| | | Vz | -3.042 | -3.042 | -3.042 | -3.042 | -3.042 |
| | | Mt | 0.000 | 0.000 | 0.000 | 0.000 | 0.000 |
| | | My | -1.745 | -1.022 | -0.300 | 0.422 | 1.145 |
| | | Mz | 0.000 | 0.000 | 0.000 | 0.000 | 0.000 |

| Esfuerzos en barras, por hipótesis | | | | | | | |
|------------------------------------|-------------|----------|------------------------|---------|---------|---------|---------|
| Barra | Hipótesis | Esfuerzo | Posiciones en la barra | | | | |
| | | | 0.000 m | 0.237 m | 0.475 m | 0.712 m | 0.950 m |
| N6/N7 | Peso propio | N | -37.287 | -37.287 | -37.287 | -37.287 | -37.287 |
| | | Vy | 0.000 | 0.000 | 0.000 | 0.000 | 0.000 |
| | | Vz | -3.203 | -3.163 | -3.122 | -3.081 | -3.041 |
| | | Mt | 0.000 | 0.000 | 0.000 | 0.000 | 0.000 |
| | | My | 0.570 | 1.326 | 2.073 | 2.809 | 3.536 |
| | | Mz | 0.000 | 0.000 | 0.000 | 0.000 | 0.000 |
| | CM 1 | N | -11.878 | -11.878 | -11.878 | -11.878 | -11.878 |
| | | Vy | 0.000 | 0.000 | 0.000 | 0.000 | 0.000 |
| | | Vz | -0.995 | -0.995 | -0.995 | -0.995 | -0.995 |
| | | Mt | 0.000 | 0.000 | 0.000 | 0.000 | 0.000 |
| | | My | 0.143 | 0.379 | 0.616 | 0.852 | 1.088 |
| | | Mz | 0.000 | 0.000 | 0.000 | 0.000 | 0.000 |
| | CM 2 | N | -11.878 | -11.878 | -11.878 | -11.878 | -11.878 |
| | | Vy | 0.000 | 0.000 | 0.000 | 0.000 | 0.000 |
| | | Vz | -0.995 | -0.995 | -0.995 | -0.995 | -0.995 |
| | | Mt | 0.000 | 0.000 | 0.000 | 0.000 | 0.000 |
| | | My | 0.143 | 0.379 | 0.616 | 0.852 | 1.088 |
| | | Mz | 0.000 | 0.000 | 0.000 | 0.000 | 0.000 |
| | Q 1 | N | -35.634 | -35.634 | -35.634 | -35.634 | -35.634 |
| | | Vy | 0.000 | 0.000 | 0.000 | 0.000 | 0.000 |
| | | Vz | -2.985 | -2.985 | -2.985 | -2.985 | -2.985 |
| | | Mt | 0.000 | 0.000 | 0.000 | 0.000 | 0.000 |
| | | My | 0.429 | 1.138 | 1.847 | 2.556 | 3.265 |



Listados

DESARROLLO DE PROYECTO EJECUTIVO DE REFORMA DE LA PISCINA DEL
COLEGIO PÁLCAM

Fecha: 28/03/18

| Esfuerzos en barras, por hipótesis | | | | | | | |
|------------------------------------|-----------|----------|------------------------|---------|---------|---------|---------|
| Barra | Hipótesis | Esfuerzo | Posiciones en la barra | | | | |
| | | | 0.000 m | 0.237 m | 0.475 m | 0.712 m | 0.950 m |
| | | Mz | 0.000 | 0.000 | 0.000 | 0.000 | 0.000 |

| Esfuerzos en barras, por hipótesis | | | | | | | |
|------------------------------------|-------------|----------|------------------------|---------|---------|---------|---------|
| Barra | Hipótesis | Esfuerzo | Posiciones en la barra | | | | |
| | | | 0.000 m | 0.238 m | 0.475 m | 0.713 m | 0.950 m |
| N7/N8 | Peso propio | N | -52.352 | -52.352 | -52.352 | -52.352 | -52.352 |
| | | Vy | 0.000 | 0.000 | 0.000 | 0.000 | 0.000 |
| | | Vz | -3.357 | -3.316 | -3.275 | -3.235 | -3.194 |
| | | Mt | 0.000 | 0.000 | 0.000 | 0.000 | 0.000 |
| | | My | 2.836 | 3.628 | 4.411 | 5.184 | 5.947 |
| | | Mz | 0.000 | 0.000 | 0.000 | 0.000 | 0.000 |
| | CM 1 | N | -16.800 | -16.800 | -16.800 | -16.800 | -16.800 |
| | | Vy | 0.000 | 0.000 | 0.000 | 0.000 | 0.000 |
| | | Vz | -1.078 | -1.078 | -1.078 | -1.078 | -1.078 |
| | | Mt | 0.000 | 0.000 | 0.000 | 0.000 | 0.000 |
| | | My | 0.861 | 1.117 | 1.373 | 1.629 | 1.885 |
| | | Mz | 0.000 | 0.000 | 0.000 | 0.000 | 0.000 |
| | CM 2 | N | -16.800 | -16.800 | -16.800 | -16.800 | -16.800 |
| | | Vy | 0.000 | 0.000 | 0.000 | 0.000 | 0.000 |
| | | Vz | -1.078 | -1.078 | -1.078 | -1.078 | -1.078 |
| | | Mt | 0.000 | 0.000 | 0.000 | 0.000 | 0.000 |
| | | My | 0.861 | 1.117 | 1.373 | 1.629 | 1.885 |
| | | Mz | 0.000 | 0.000 | 0.000 | 0.000 | 0.000 |
| | Q 1 | N | -50.401 | -50.401 | -50.401 | -50.401 | -50.401 |
| | | Vy | 0.000 | 0.000 | 0.000 | 0.000 | 0.000 |
| | | Vz | -3.233 | -3.233 | -3.233 | -3.233 | -3.233 |
| | | Mt | 0.000 | 0.000 | 0.000 | 0.000 | 0.000 |
| | | My | 2.583 | 3.351 | 4.119 | 4.887 | 5.655 |
| | | Mz | 0.000 | 0.000 | 0.000 | 0.000 | 0.000 |

| Esfuerzos en barras, por hipótesis | | | | | | | |
|------------------------------------|-------------|----------|------------------------|---------|---------|---------|---------|
| Barra | Hipótesis | Esfuerzo | Posiciones en la barra | | | | |
| | | | 0.000 m | 0.238 m | 0.475 m | 0.713 m | 0.950 m |
| N8/N9 | Peso propio | N | -64.911 | -64.911 | -64.911 | -64.911 | -64.911 |
| | | Vy | 0.000 | 0.000 | 0.000 | 0.000 | 0.000 |
| | | Vz | -3.685 | -3.644 | -3.604 | -3.563 | -3.522 |
| | | Mt | 0.000 | 0.000 | 0.000 | 0.000 | 0.000 |
| | | My | 5.338 | 6.208 | 7.069 | 7.920 | 8.761 |
| | | Mz | 0.000 | 0.000 | 0.000 | 0.000 | 0.000 |
| | CM 1 | N | -20.989 | -20.989 | -20.989 | -20.989 | -20.989 |
| | | Vy | 0.000 | 0.000 | 0.000 | 0.000 | 0.000 |
| | | Vz | -1.220 | -1.220 | -1.220 | -1.220 | -1.220 |
| | | Mt | 0.000 | 0.000 | 0.000 | 0.000 | 0.000 |
| | | My | 1.684 | 1.974 | 2.264 | 2.554 | 2.843 |
| | | Mz | 0.000 | 0.000 | 0.000 | 0.000 | 0.000 |



Listados

DESARROLLO DE PROYECTO EJECUTIVO DE REFORMA DE LA PISCINA DEL
COLEGIO PÁLCAM

Fecha: 28/03/18

| Esfuerzos en barras, por hipótesis | | | | | | | |
|------------------------------------|-----------|----------|------------------------|---------|---------|---------|---------|
| Barra | Hipótesis | Esfuerzo | Posiciones en la barra | | | | |
| | | | 0.000 m | 0.238 m | 0.475 m | 0.713 m | 0.950 m |
| | CM 2 | N | -20.989 | -20.989 | -20.989 | -20.989 | -20.989 |
| | | Vy | 0.000 | 0.000 | 0.000 | 0.000 | 0.000 |
| | | Vz | -1.220 | -1.220 | -1.220 | -1.220 | -1.220 |
| | | Mt | 0.000 | 0.000 | 0.000 | 0.000 | 0.000 |
| | | My | 1.684 | 1.974 | 2.264 | 2.554 | 2.843 |
| | | Mz | 0.000 | 0.000 | 0.000 | 0.000 | 0.000 |
| | Q 1 | N | -62.966 | -62.966 | -62.966 | -62.966 | -62.966 |
| | | Vy | 0.000 | 0.000 | 0.000 | 0.000 | 0.000 |
| | | Vz | -3.660 | -3.660 | -3.660 | -3.660 | -3.660 |
| | | Mt | 0.000 | 0.000 | 0.000 | 0.000 | 0.000 |
| | | My | 5.053 | 5.923 | 6.792 | 7.661 | 8.530 |
| | | Mz | 0.000 | 0.000 | 0.000 | 0.000 | 0.000 |

| Esfuerzos en barras, por hipótesis | | | | | | | |
|------------------------------------|-------------|----------|------------------------|---------|---------|---------|---------|
| Barra | Hipótesis | Esfuerzo | Posiciones en la barra | | | | |
| | | | 0.000 m | 0.237 m | 0.475 m | 0.712 m | 0.950 m |
| N9/N10 | Peso propio | N | -71.034 | -71.034 | -71.034 | -71.034 | -71.034 |
| | | Vy | 0.000 | 0.000 | 0.000 | 0.000 | 0.000 |
| | | Vz | -6.544 | -6.503 | -6.463 | -6.422 | -6.381 |
| | | Mt | 0.000 | 0.000 | 0.000 | 0.000 | 0.000 |
| | | My | 8.323 | 9.872 | 11.412 | 12.942 | 14.462 |
| | | Mz | 0.000 | 0.000 | 0.000 | 0.000 | 0.000 |
| | CM 1 | N | -23.085 | -23.085 | -23.085 | -23.085 | -23.085 |
| | | Vy | 0.000 | 0.000 | 0.000 | 0.000 | 0.000 |
| | | Vz | -2.244 | -2.244 | -2.244 | -2.244 | -2.244 |
| | | Mt | 0.000 | 0.000 | 0.000 | 0.000 | 0.000 |
| | | My | 2.697 | 3.230 | 3.762 | 4.295 | 4.828 |
| | | Mz | 0.000 | 0.000 | 0.000 | 0.000 | 0.000 |
| | CM 2 | N | -23.085 | -23.085 | -23.085 | -23.085 | -23.085 |
| | | Vy | 0.000 | 0.000 | 0.000 | 0.000 | 0.000 |
| | | Vz | -2.244 | -2.244 | -2.244 | -2.244 | -2.244 |
| | | Mt | 0.000 | 0.000 | 0.000 | 0.000 | 0.000 |
| | | My | 2.697 | 3.230 | 3.762 | 4.295 | 4.828 |
| | | Mz | 0.000 | 0.000 | 0.000 | 0.000 | 0.000 |
| | Q 1 | N | -69.256 | -69.256 | -69.256 | -69.256 | -69.256 |
| | | Vy | 0.000 | 0.000 | 0.000 | 0.000 | 0.000 |
| | | Vz | -6.731 | -6.731 | -6.731 | -6.731 | -6.731 |
| | | Mt | 0.000 | 0.000 | 0.000 | 0.000 | 0.000 |
| | | My | 8.090 | 9.689 | 11.287 | 12.886 | 14.484 |
| | | Mz | 0.000 | 0.000 | 0.000 | 0.000 | 0.000 |



Listados

DESARROLLO DE PROYECTO EJECUTIVO DE REFORMA DE LA PISCINA DEL
COLEGIO PÁLCAM

Fecha: 28/03/18

| Esfuerzos en barras, por hipótesis | | | | | | | |
|------------------------------------|-------------|----------|------------------------|---------|---------|---------|---------|
| Barra | Hipótesis | Esfuerzo | Posiciones en la barra | | | | |
| | | | 0.000 m | 0.238 m | 0.475 m | 0.713 m | 0.950 m |
| N10/N11 | Peso propio | N | -71.036 | -71.036 | -71.036 | -71.036 | -71.036 |
| | | Vy | 0.000 | 0.000 | 0.000 | 0.000 | 0.000 |
| | | Vz | 6.375 | 6.416 | 6.456 | 6.497 | 6.538 |
| | | Mt | 0.000 | 0.000 | 0.000 | 0.000 | 0.000 |
| | | My | 14.462 | 12.943 | 11.415 | 9.876 | 8.329 |
| | | Mz | 0.000 | 0.000 | 0.000 | 0.000 | 0.000 |
| | CM 1 | N | -23.086 | -23.086 | -23.086 | -23.086 | -23.086 |
| | | Vy | 0.000 | 0.000 | 0.000 | 0.000 | 0.000 |
| | | Vz | 2.242 | 2.242 | 2.242 | 2.242 | 2.242 |
| | | Mt | 0.000 | 0.000 | 0.000 | 0.000 | 0.000 |
| | | My | 4.828 | 4.296 | 3.763 | 3.231 | 2.698 |
| | | Mz | 0.000 | 0.000 | 0.000 | 0.000 | 0.000 |
| | CM 2 | N | -23.086 | -23.086 | -23.086 | -23.086 | -23.086 |
| | | Vy | 0.000 | 0.000 | 0.000 | 0.000 | 0.000 |
| | | Vz | 2.242 | 2.242 | 2.242 | 2.242 | 2.242 |
| | | Mt | 0.000 | 0.000 | 0.000 | 0.000 | 0.000 |
| | | My | 4.828 | 4.296 | 3.763 | 3.231 | 2.698 |
| | | Mz | 0.000 | 0.000 | 0.000 | 0.000 | 0.000 |
| | Q 1 | N | -69.257 | -69.257 | -69.257 | -69.257 | -69.257 |
| | | Vy | 0.000 | 0.000 | 0.000 | 0.000 | 0.000 |
| | | Vz | 6.725 | 6.725 | 6.725 | 6.725 | 6.725 |
| | | Mt | 0.000 | 0.000 | 0.000 | 0.000 | 0.000 |
| | | My | 14.484 | 12.887 | 11.289 | 9.692 | 8.095 |
| | | Mz | 0.000 | 0.000 | 0.000 | 0.000 | 0.000 |

| Esfuerzos en barras, por hipótesis | | | | | | | |
|------------------------------------|-------------|----------|------------------------|---------|---------|---------|---------|
| Barra | Hipótesis | Esfuerzo | Posiciones en la barra | | | | |
| | | | 0.000 m | 0.237 m | 0.475 m | 0.712 m | 0.950 m |
| N11/N12 | Peso propio | N | -64.946 | -64.946 | -64.946 | -64.946 | -64.946 |
| | | Vy | 0.000 | 0.000 | 0.000 | 0.000 | 0.000 |
| | | Vz | 3.513 | 3.554 | 3.594 | 3.635 | 3.676 |
| | | Mt | 0.000 | 0.000 | 0.000 | 0.000 | 0.000 |
| | | My | 8.766 | 7.927 | 7.078 | 6.220 | 5.351 |
| | | Mz | 0.000 | 0.000 | 0.000 | 0.000 | 0.000 |
| | CM 1 | N | -20.999 | -20.999 | -20.999 | -20.999 | -20.999 |
| | | Vy | 0.000 | 0.000 | 0.000 | 0.000 | 0.000 |
| | | Vz | 1.217 | 1.217 | 1.217 | 1.217 | 1.217 |
| | | Mt | 0.000 | 0.000 | 0.000 | 0.000 | 0.000 |
| | | My | 2.845 | 2.556 | 2.267 | 1.978 | 1.689 |
| | | Mz | 0.000 | 0.000 | 0.000 | 0.000 | 0.000 |
| | CM 2 | N | -20.999 | -20.999 | -20.999 | -20.999 | -20.999 |
| | | Vy | 0.000 | 0.000 | 0.000 | 0.000 | 0.000 |
| | | Vz | 1.217 | 1.217 | 1.217 | 1.217 | 1.217 |
| | | Mt | 0.000 | 0.000 | 0.000 | 0.000 | 0.000 |
| | | My | 2.845 | 2.556 | 2.267 | 1.978 | 1.689 |



Listados

DESARROLLO DE PROYECTO EJECUTIVO DE REFORMA DE LA PISCINA DEL
COLEGIO PÁLCAM

Fecha: 28/03/18

| Esfuerzos en barras, por hipótesis | | | | | | | |
|------------------------------------|-----------|----------|------------------------|---------|---------|---------|---------|
| Barra | Hipótesis | Esfuerzo | Posiciones en la barra | | | | |
| | | | 0.000 m | 0.237 m | 0.475 m | 0.712 m | 0.950 m |
| | Q 1 | Mz | 0.000 | 0.000 | 0.000 | 0.000 | 0.000 |
| | | N | -62.998 | -62.998 | -62.998 | -62.998 | -62.998 |
| | | Vy | 0.000 | 0.000 | 0.000 | 0.000 | 0.000 |
| | | Vz | 3.652 | 3.652 | 3.652 | 3.652 | 3.652 |
| | | Mt | 0.000 | 0.000 | 0.000 | 0.000 | 0.000 |
| | | My | 8.535 | 7.667 | 6.800 | 5.933 | 5.066 |
| | | Mz | 0.000 | 0.000 | 0.000 | 0.000 | 0.000 |

| Esfuerzos en barras, por hipótesis | | | | | | | |
|------------------------------------|-------------|----------|------------------------|---------|---------|---------|---------|
| Barra | Hipótesis | Esfuerzo | Posiciones en la barra | | | | |
| | | | 0.000 m | 0.238 m | 0.475 m | 0.713 m | 0.950 m |
| N12/N13 | Peso propio | N | -52.414 | -52.414 | -52.414 | -52.414 | -52.414 |
| | | Vy | 0.000 | 0.000 | 0.000 | 0.000 | 0.000 |
| | | Vz | 3.182 | 3.223 | 3.264 | 3.304 | 3.345 |
| | | Mt | 0.000 | 0.000 | 0.000 | 0.000 | 0.000 |
| | | My | 5.960 | 5.199 | 4.429 | 3.649 | 2.860 |
| | | Mz | 0.000 | 0.000 | 0.000 | 0.000 | 0.000 |
| | CM 1 | N | -16.819 | -16.819 | -16.819 | -16.819 | -16.819 |
| | | Vy | 0.000 | 0.000 | 0.000 | 0.000 | 0.000 |
| | | Vz | 1.074 | 1.074 | 1.074 | 1.074 | 1.074 |
| | | Mt | 0.000 | 0.000 | 0.000 | 0.000 | 0.000 |
| | | My | 1.889 | 1.634 | 1.379 | 1.124 | 0.869 |
| | | Mz | 0.000 | 0.000 | 0.000 | 0.000 | 0.000 |
| | CM 2 | N | -16.819 | -16.819 | -16.819 | -16.819 | -16.819 |
| | | Vy | 0.000 | 0.000 | 0.000 | 0.000 | 0.000 |
| | | Vz | 1.074 | 1.074 | 1.074 | 1.074 | 1.074 |
| | | Mt | 0.000 | 0.000 | 0.000 | 0.000 | 0.000 |
| | | My | 1.889 | 1.634 | 1.379 | 1.124 | 0.869 |
| | | Mz | 0.000 | 0.000 | 0.000 | 0.000 | 0.000 |
| | Q 1 | N | -50.458 | -50.458 | -50.458 | -50.458 | -50.458 |
| | | Vy | 0.000 | 0.000 | 0.000 | 0.000 | 0.000 |
| | | Vz | 3.222 | 3.222 | 3.222 | 3.222 | 3.222 |
| | | Mt | 0.000 | 0.000 | 0.000 | 0.000 | 0.000 |
| | | My | 5.667 | 4.901 | 4.136 | 3.371 | 2.606 |
| | | Mz | 0.000 | 0.000 | 0.000 | 0.000 | 0.000 |

| Esfuerzos en barras, por hipótesis | | | | | | | |
|------------------------------------|-------------|----------|------------------------|---------|---------|---------|---------|
| Barra | Hipótesis | Esfuerzo | Posiciones en la barra | | | | |
| | | | 0.000 m | 0.237 m | 0.475 m | 0.712 m | 0.950 m |
| N13/N14 | Peso propio | N | -37.366 | -37.366 | -37.366 | -37.366 | -37.366 |
| | | Vy | 0.000 | 0.000 | 0.000 | 0.000 | 0.000 |
| | | Vz | 3.025 | 3.066 | 3.107 | 3.147 | 3.188 |
| | | Mt | 0.000 | 0.000 | 0.000 | 0.000 | 0.000 |
| | | My | 3.560 | 2.837 | 2.104 | 1.361 | 0.609 |
| | | Mz | 0.000 | 0.000 | 0.000 | 0.000 | 0.000 |
| | | | | | | | |



Listados

DESARROLLO DE PROYECTO EJECUTIVO DE REFORMA DE LA PISCINA DEL
COLEGIO PÁLCAM

Fecha: 28/03/18

| Esfuerzos en barras, por hipótesis | | | | | | | |
|------------------------------------|-----------|----------|------------------------|---------|---------|---------|---------|
| Barra | Hipótesis | Esfuerzo | Posiciones en la barra | | | | |
| | | | 0.000 m | 0.237 m | 0.475 m | 0.712 m | 0.950 m |
| | CM 1 | N | -11.902 | -11.902 | -11.902 | -11.902 | -11.902 |
| | | Vy | 0.000 | 0.000 | 0.000 | 0.000 | 0.000 |
| | | Vz | 0.990 | 0.990 | 0.990 | 0.990 | 0.990 |
| | | Mt | 0.000 | 0.000 | 0.000 | 0.000 | 0.000 |
| | | My | 1.096 | 0.861 | 0.626 | 0.390 | 0.155 |
| | | Mz | 0.000 | 0.000 | 0.000 | 0.000 | 0.000 |
| | CM 2 | N | -11.902 | -11.902 | -11.902 | -11.902 | -11.902 |
| | | Vy | 0.000 | 0.000 | 0.000 | 0.000 | 0.000 |
| | | Vz | 0.990 | 0.990 | 0.990 | 0.990 | 0.990 |
| | | Mt | 0.000 | 0.000 | 0.000 | 0.000 | 0.000 |
| | | My | 1.096 | 0.861 | 0.626 | 0.390 | 0.155 |
| | | Mz | 0.000 | 0.000 | 0.000 | 0.000 | 0.000 |
| | Q 1 | N | -35.707 | -35.707 | -35.707 | -35.707 | -35.707 |
| | | Vy | 0.000 | 0.000 | 0.000 | 0.000 | 0.000 |
| | | Vz | 2.971 | 2.971 | 2.971 | 2.971 | 2.971 |
| | | Mt | 0.000 | 0.000 | 0.000 | 0.000 | 0.000 |
| | | My | 3.288 | 2.582 | 1.877 | 1.171 | 0.465 |
| | | Mz | 0.000 | 0.000 | 0.000 | 0.000 | 0.000 |

| Esfuerzos en barras, por hipótesis | | | | | | | |
|------------------------------------|-------------|----------|------------------------|---------|---------|---------|---------|
| Barra | Hipótesis | Esfuerzo | Posiciones en la barra | | | | |
| | | | 0.000 m | 0.240 m | 0.480 m | 0.720 m | 0.960 m |
| N14/N4 | Peso propio | N | -21.003 | -21.003 | -21.003 | -21.003 | -21.003 |
| | | Vy | 0.000 | 0.000 | 0.000 | 0.000 | 0.000 |
| | | Vz | 3.233 | 3.274 | 3.315 | 3.356 | 3.398 |
| | | Mt | 0.000 | 0.000 | 0.000 | 0.000 | 0.000 |
| | | My | 1.355 | 0.574 | -0.217 | -1.017 | -1.828 |
| | | Mz | 0.000 | 0.000 | 0.000 | 0.000 | 0.000 |
| | CM 1 | N | -6.653 | -6.653 | -6.653 | -6.653 | -6.653 |
| | | Vy | 0.000 | 0.000 | 0.000 | 0.000 | 0.000 |
| | | Vz | 1.018 | 1.018 | 1.018 | 1.018 | 1.018 |
| | | Mt | 0.000 | 0.000 | 0.000 | 0.000 | 0.000 |
| | | My | 0.394 | 0.150 | -0.094 | -0.339 | -0.583 |
| | | Mz | 0.000 | 0.000 | 0.000 | 0.000 | 0.000 |
| | CM 2 | N | -6.653 | -6.653 | -6.653 | -6.653 | -6.653 |
| | | Vy | 0.000 | 0.000 | 0.000 | 0.000 | 0.000 |
| | | Vz | 1.018 | 1.018 | 1.018 | 1.018 | 1.018 |
| | | Mt | 0.000 | 0.000 | 0.000 | 0.000 | 0.000 |
| | | My | 0.394 | 0.150 | -0.094 | -0.339 | -0.583 |
| | | Mz | 0.000 | 0.000 | 0.000 | 0.000 | 0.000 |
| | Q 1 | N | -19.960 | -19.960 | -19.960 | -19.960 | -19.960 |
| | | Vy | 0.000 | 0.000 | 0.000 | 0.000 | 0.000 |
| | | Vz | 3.054 | 3.054 | 3.054 | 3.054 | 3.054 |
| | | Mt | 0.000 | 0.000 | 0.000 | 0.000 | 0.000 |
| | | My | 1.183 | 0.450 | -0.283 | -1.016 | -1.749 |



Listados

DESARROLLO DE PROYECTO EJECUTIVO DE REFORMA DE LA PISCINA DEL
COLEGIO PÁLCAM

Fecha: 28/03/18

| Esfuerzos en barras, por hipótesis | | | | | | | |
|------------------------------------|-----------|----------|------------------------|---------|---------|---------|---------|
| Barra | Hipótesis | Esfuerzo | Posiciones en la barra | | | | |
| | | | 0.000 m | 0.240 m | 0.480 m | 0.720 m | 0.960 m |
| | | Mz | 0.000 | 0.000 | 0.000 | 0.000 | 0.000 |

2.2.2.1.2.- Combinaciones

| Esfuerzos en barras, por combinación | | | | | | | | | | |
|--------------------------------------|----------------|--------------------------------|----------|------------------------|---------|---------|---------|---------|---------|---------|
| Barra | Combinación | | Esfuerzo | Posiciones en la barra | | | | | | |
| | Tipo | Descripción | | 0.000 m | 0.187 m | 0.375 m | 0.562 m | 0.749 m | 0.936 m | 1.124 m |
| N5/N3 | Acero laminado | 0.8-PP+0.8-CM1+0.8-CM2 | N | 23.404 | 23.407 | 23.409 | 23.412 | 23.414 | 23.417 | 23.419 |
| | | | Vy | 0.000 | 0.000 | 0.000 | 0.000 | 0.000 | 0.000 | 0.000 |
| | | | Vz | -0.204 | -0.200 | -0.196 | -0.192 | -0.188 | -0.184 | -0.180 |
| | | | Mt | 0.000 | 0.000 | 0.000 | 0.000 | 0.000 | 0.000 | 0.000 |
| | | | My | -0.111 | -0.074 | -0.037 | 0.000 | 0.035 | 0.070 | 0.104 |
| | | | Mz | 0.000 | 0.000 | 0.000 | 0.000 | 0.000 | 0.000 | 0.000 |
| | | 1.35-PP+0.8-CM1+0.8-CM2 | N | 33.257 | 33.261 | 33.265 | 33.270 | 33.274 | 33.278 | 33.282 |
| | | | Vy | 0.000 | 0.000 | 0.000 | 0.000 | 0.000 | 0.000 | 0.000 |
| | | | Vz | -0.292 | -0.285 | -0.278 | -0.272 | -0.265 | -0.258 | -0.251 |
| | | | Mt | 0.000 | 0.000 | 0.000 | 0.000 | 0.000 | 0.000 | 0.000 |
| | | | My | -0.158 | -0.104 | -0.051 | 0.000 | 0.050 | 0.099 | 0.147 |
| | | | Mz | 0.000 | 0.000 | 0.000 | 0.000 | 0.000 | 0.000 | 0.000 |
| | | 0.8-PP+1.35-CM1+0.8-CM2 | N | 26.523 | 26.526 | 26.528 | 26.531 | 26.533 | 26.536 | 26.538 |
| | | | Vy | 0.000 | 0.000 | 0.000 | 0.000 | 0.000 | 0.000 | 0.000 |
| | | | Vz | -0.230 | -0.226 | -0.222 | -0.218 | -0.214 | -0.210 | -0.206 |
| | | | Mt | 0.000 | 0.000 | 0.000 | 0.000 | 0.000 | 0.000 | 0.000 |
| | | | My | -0.126 | -0.083 | -0.042 | 0.000 | 0.040 | 0.080 | 0.118 |
| | | | Mz | 0.000 | 0.000 | 0.000 | 0.000 | 0.000 | 0.000 | 0.000 |
| | | 1.35-PP+1.35-CM1+0.8-CM2 | N | 36.376 | 36.380 | 36.384 | 36.389 | 36.393 | 36.397 | 36.401 |
| | | | Vy | 0.000 | 0.000 | 0.000 | 0.000 | 0.000 | 0.000 | 0.000 |
| | | | Vz | -0.318 | -0.311 | -0.304 | -0.297 | -0.291 | -0.284 | -0.277 |
| | | | Mt | 0.000 | 0.000 | 0.000 | 0.000 | 0.000 | 0.000 | 0.000 |
| | | | My | -0.173 | -0.114 | -0.057 | 0.000 | 0.055 | 0.109 | 0.161 |
| | | | Mz | 0.000 | 0.000 | 0.000 | 0.000 | 0.000 | 0.000 | 0.000 |
| | | 0.8-PP+0.8-CM1+1.35-CM2 | N | 26.523 | 26.526 | 26.528 | 26.531 | 26.533 | 26.536 | 26.538 |
| | | | Vy | 0.000 | 0.000 | 0.000 | 0.000 | 0.000 | 0.000 | 0.000 |
| | | | Vz | -0.230 | -0.226 | -0.222 | -0.218 | -0.214 | -0.210 | -0.206 |
| | | | Mt | 0.000 | 0.000 | 0.000 | 0.000 | 0.000 | 0.000 | 0.000 |
| | | | My | -0.126 | -0.083 | -0.042 | 0.000 | 0.040 | 0.080 | 0.118 |
| | | | Mz | 0.000 | 0.000 | 0.000 | 0.000 | 0.000 | 0.000 | 0.000 |
| | | 1.35-PP+0.8-CM1+1.35-CM2 | N | 36.376 | 36.380 | 36.384 | 36.389 | 36.393 | 36.397 | 36.401 |
| | | | Vy | 0.000 | 0.000 | 0.000 | 0.000 | 0.000 | 0.000 | 0.000 |
| | | | Vz | -0.318 | -0.311 | -0.304 | -0.297 | -0.291 | -0.284 | -0.277 |
| | | | Mt | 0.000 | 0.000 | 0.000 | 0.000 | 0.000 | 0.000 | 0.000 |
| | | | My | -0.173 | -0.114 | -0.057 | 0.000 | 0.055 | 0.109 | 0.161 |
| | | | Mz | 0.000 | 0.000 | 0.000 | 0.000 | 0.000 | 0.000 | 0.000 |
| | | 0.8-PP+1.35-CM1+1.35-CM2 | N | 29.642 | 29.644 | 29.647 | 29.649 | 29.652 | 29.654 | 29.657 |
| | | | Vy | 0.000 | 0.000 | 0.000 | 0.000 | 0.000 | 0.000 | 0.000 |
| | | | Vz | -0.256 | -0.252 | -0.248 | -0.244 | -0.240 | -0.236 | -0.232 |
| | | | Mt | 0.000 | 0.000 | 0.000 | 0.000 | 0.000 | 0.000 | 0.000 |
| | | | My | -0.141 | -0.093 | -0.047 | -0.001 | 0.045 | 0.089 | 0.133 |
| | | | Mz | 0.000 | 0.000 | 0.000 | 0.000 | 0.000 | 0.000 | 0.000 |
| | | 1.35-PP+1.35-CM1+1.35-CM2 | N | 39.495 | 39.499 | 39.503 | 39.507 | 39.512 | 39.516 | 39.520 |
| | | | Vy | 0.000 | 0.000 | 0.000 | 0.000 | 0.000 | 0.000 | 0.000 |
| | | | Vz | -0.344 | -0.337 | -0.330 | -0.323 | -0.317 | -0.310 | -0.303 |
| | | | Mt | 0.000 | 0.000 | 0.000 | 0.000 | 0.000 | 0.000 | 0.000 |
| | | | My | -0.188 | -0.124 | -0.062 | 0.000 | 0.060 | 0.118 | 0.176 |
| | | | Mz | 0.000 | 0.000 | 0.000 | 0.000 | 0.000 | 0.000 | 0.000 |
| | | 0.8-PP+0.8-CM1+0.8-CM2+1.5-Q1 | N | 48.922 | 48.924 | 48.927 | 48.929 | 48.932 | 48.934 | 48.937 |
| | | | Vy | 0.000 | 0.000 | 0.000 | 0.000 | 0.000 | 0.000 | 0.000 |
| | | | Vz | -0.416 | -0.412 | -0.408 | -0.404 | -0.400 | -0.396 | -0.392 |
| | | | Mt | 0.000 | 0.000 | 0.000 | 0.000 | 0.000 | 0.000 | 0.000 |
| | | | My | -0.233 | -0.155 | -0.078 | -0.002 | 0.073 | 0.148 | 0.222 |
| | | | Mz | 0.000 | 0.000 | 0.000 | 0.000 | 0.000 | 0.000 | 0.000 |
| | | 1.35-PP+0.8-CM1+0.8-CM2+1.5-Q1 | N | 58.774 | 58.779 | 58.783 | 58.787 | 58.791 | 58.796 | 58.800 |
| | | | Vy | 0.000 | 0.000 | 0.000 | 0.000 | 0.000 | 0.000 | 0.000 |
| | | | Vz | -0.504 | -0.497 | -0.491 | -0.484 | -0.477 | -0.471 | -0.464 |
| | | | Mt | 0.000 | 0.000 | 0.000 | 0.000 | 0.000 | 0.000 | 0.000 |
| | | | My | -0.279 | -0.186 | -0.093 | -0.002 | 0.088 | 0.177 | 0.264 |
| | | | Mz | 0.000 | 0.000 | 0.000 | 0.000 | 0.000 | 0.000 | 0.000 |
| | | 0.8-PP+1.35-CM1+0.8-CM2+1.5-Q1 | N | 52.040 | 52.043 | 52.045 | 52.048 | 52.050 | 52.053 | 52.055 |



Listados

DESARROLLO DE PROYECTO EJECUTIVO DE REFORMA DE LA PISCINA DEL
COLEGIO PÁLCAM

Fecha: 28/03/18

| Esfuerzos en barras, por combinación | | | | | | | | | | |
|--------------------------------------|-------------|----------------------------------|----------|------------------------|---------|---------|---------|---------|---------|---------|
| Barra | Combinación | | Esfuerzo | Posiciones en la barra | | | | | | |
| | Tipo | Descripción | | 0.000 m | 0.187 m | 0.375 m | 0.562 m | 0.749 m | 0.936 m | 1.124 m |
| | | | Vy | 0.000 | 0.000 | 0.000 | 0.000 | 0.000 | 0.000 | 0.000 |
| | | | Vz | -0.442 | -0.438 | -0.434 | -0.430 | -0.426 | -0.422 | -0.418 |
| | | | Mt | 0.000 | 0.000 | 0.000 | 0.000 | 0.000 | 0.000 | 0.000 |
| | | | My | -0.247 | -0.165 | -0.083 | -0.002 | 0.078 | 0.157 | 0.236 |
| | | | Mz | 0.000 | 0.000 | 0.000 | 0.000 | 0.000 | 0.000 | 0.000 |
| | | 1.35-PP+1.35-CM1+0.8-CM2+1.5-Q1 | N | 61.893 | 61.897 | 61.902 | 61.906 | 61.910 | 61.914 | 61.919 |
| | | | Vy | 0.000 | 0.000 | 0.000 | 0.000 | 0.000 | 0.000 | 0.000 |
| | | | Vz | -0.530 | -0.523 | -0.517 | -0.510 | -0.503 | -0.497 | -0.490 |
| | | | Mt | 0.000 | 0.000 | 0.000 | 0.000 | 0.000 | 0.000 | 0.000 |
| | | | My | -0.294 | -0.196 | -0.098 | -0.002 | 0.093 | 0.186 | 0.279 |
| | | | Mz | 0.000 | 0.000 | 0.000 | 0.000 | 0.000 | 0.000 | 0.000 |
| | | 0.8-PP+0.8-CM1+1.35-CM2+1.5-Q1 | N | 52.040 | 52.043 | 52.045 | 52.048 | 52.050 | 52.053 | 52.055 |
| | | | Vy | 0.000 | 0.000 | 0.000 | 0.000 | 0.000 | 0.000 | 0.000 |
| | | | Vz | -0.442 | -0.438 | -0.434 | -0.430 | -0.426 | -0.422 | -0.418 |
| | | | Mt | 0.000 | 0.000 | 0.000 | 0.000 | 0.000 | 0.000 | 0.000 |
| | | | My | -0.247 | -0.165 | -0.083 | -0.002 | 0.078 | 0.157 | 0.236 |
| | | | Mz | 0.000 | 0.000 | 0.000 | 0.000 | 0.000 | 0.000 | 0.000 |
| | | 1.35-PP+0.8-CM1+1.35-CM2+1.5-Q1 | N | 61.893 | 61.897 | 61.902 | 61.906 | 61.910 | 61.914 | 61.919 |
| | | | Vy | 0.000 | 0.000 | 0.000 | 0.000 | 0.000 | 0.000 | 0.000 |
| | | | Vz | -0.530 | -0.523 | -0.517 | -0.510 | -0.503 | -0.497 | -0.490 |
| | | | Mt | 0.000 | 0.000 | 0.000 | 0.000 | 0.000 | 0.000 | 0.000 |
| | | | My | -0.294 | -0.196 | -0.098 | -0.002 | 0.093 | 0.186 | 0.279 |
| | | | Mz | 0.000 | 0.000 | 0.000 | 0.000 | 0.000 | 0.000 | 0.000 |
| | | 0.8-PP+1.35-CM1+1.35-CM2+1.5-Q1 | N | 55.159 | 55.162 | 55.164 | 55.167 | 55.169 | 55.172 | 55.174 |
| | | | Vy | 0.000 | 0.000 | 0.000 | 0.000 | 0.000 | 0.000 | 0.000 |
| | | | Vz | -0.468 | -0.464 | -0.460 | -0.456 | -0.452 | -0.448 | -0.444 |
| | | | Mt | 0.000 | 0.000 | 0.000 | 0.000 | 0.000 | 0.000 | 0.000 |
| | | | My | -0.262 | -0.175 | -0.088 | -0.003 | 0.082 | 0.167 | 0.250 |
| | | | Mz | 0.000 | 0.000 | 0.000 | 0.000 | 0.000 | 0.000 | 0.000 |
| | | 1.35-PP+1.35-CM1+1.35-CM2+1.5-Q1 | N | 65.012 | 65.016 | 65.020 | 65.025 | 65.029 | 65.033 | 65.037 |
| | | | Vy | 0.000 | 0.000 | 0.000 | 0.000 | 0.000 | 0.000 | 0.000 |
| | | | Vz | -0.556 | -0.549 | -0.543 | -0.536 | -0.529 | -0.523 | -0.516 |
| | | | Mt | 0.000 | 0.000 | 0.000 | 0.000 | 0.000 | 0.000 | 0.000 |
| | | | My | -0.309 | -0.206 | -0.103 | -0.002 | 0.097 | 0.196 | 0.293 |
| | | | Mz | 0.000 | 0.000 | 0.000 | 0.000 | 0.000 | 0.000 | 0.000 |

| Esfuerzos en barras, por combinación | | | | | | | | | | | |
|--------------------------------------|----------------|--------------------------|----------|------------------------|---------|---------|---------|---------|---------|---------|-------|
| Barra | Combinación | | Esfuerzo | Posiciones en la barra | | | | | | | |
| | Tipo | Descripción | | 0.000 m | 0.187 m | 0.375 m | 0.562 m | 0.749 m | 0.936 m | 1.124 m | |
| N15/N6 | Acero laminado | 0.8-PP+0.8-CM1+0.8-CM2 | N | 21.928 | 21.931 | 21.934 | 21.936 | 21.939 | 21.941 | 21.944 | |
| | | | Vy | 0.000 | 0.000 | 0.000 | 0.000 | 0.000 | 0.000 | 0.000 | 0.000 |
| | | | Vz | -0.201 | -0.197 | -0.194 | -0.190 | -0.186 | -0.182 | -0.178 | |
| | | | Mt | 0.000 | 0.000 | 0.000 | 0.000 | 0.000 | 0.000 | 0.000 | 0.000 |
| | | | My | -0.087 | -0.050 | -0.013 | 0.023 | 0.058 | 0.092 | 0.126 | |
| | | | Mz | 0.000 | 0.000 | 0.000 | 0.000 | 0.000 | 0.000 | 0.000 | 0.000 |
| | | 1.35-PP+0.8-CM1+0.8-CM2 | N | 31.108 | 31.113 | 31.117 | 31.121 | 31.125 | 31.130 | 31.134 | |
| | | | Vy | 0.000 | 0.000 | 0.000 | 0.000 | 0.000 | 0.000 | 0.000 | 0.000 |
| | | | Vz | -0.289 | -0.282 | -0.275 | -0.269 | -0.262 | -0.255 | -0.249 | |
| | | | Mt | 0.000 | 0.000 | 0.000 | 0.000 | 0.000 | 0.000 | 0.000 | 0.000 |
| | | | My | -0.124 | -0.071 | -0.018 | 0.033 | 0.082 | 0.131 | 0.178 | |
| | | | Mz | 0.000 | 0.000 | 0.000 | 0.000 | 0.000 | 0.000 | 0.000 | 0.000 |
| | | 0.8-PP+1.35-CM1+0.8-CM2 | N | 24.877 | 24.879 | 24.882 | 24.884 | 24.887 | 24.889 | 24.892 | |
| | | | Vy | 0.000 | 0.000 | 0.000 | 0.000 | 0.000 | 0.000 | 0.000 | 0.000 |
| | | | Vz | -0.227 | -0.223 | -0.219 | -0.215 | -0.211 | -0.207 | -0.203 | |
| | | | Mt | 0.000 | 0.000 | 0.000 | 0.000 | 0.000 | 0.000 | 0.000 | 0.000 |
| | | | My | -0.099 | -0.057 | -0.015 | 0.025 | 0.065 | 0.104 | 0.143 | |
| | | | Mz | 0.000 | 0.000 | 0.000 | 0.000 | 0.000 | 0.000 | 0.000 | 0.000 |
| | | 1.35-PP+1.35-CM1+0.8-CM2 | N | 34.056 | 34.061 | 34.065 | 34.069 | 34.073 | 34.078 | 34.082 | |
| | | | Vy | 0.000 | 0.000 | 0.000 | 0.000 | 0.000 | 0.000 | 0.000 | 0.000 |
| | | | Vz | -0.314 | -0.308 | -0.301 | -0.294 | -0.288 | -0.281 | -0.274 | |
| | | | Mt | 0.000 | 0.000 | 0.000 | 0.000 | 0.000 | 0.000 | 0.000 | 0.000 |
| | | | My | -0.136 | -0.077 | -0.020 | 0.035 | 0.090 | 0.143 | 0.195 | |
| | | | Mz | 0.000 | 0.000 | 0.000 | 0.000 | 0.000 | 0.000 | 0.000 | 0.000 |
| | | 0.8-PP+0.8-CM1+1.35-CM2 | N | 24.877 | 24.879 | 24.882 | 24.884 | 24.887 | 24.889 | 24.892 | |
| | | | Vy | 0.000 | 0.000 | 0.000 | 0.000 | 0.000 | 0.000 | 0.000 | 0.000 |
| | | | Vz | -0.227 | -0.223 | -0.219 | -0.215 | -0.211 | -0.207 | -0.203 | |
| | | | Mt | 0.000 | 0.000 | 0.000 | 0.000 | 0.000 | 0.000 | 0.000 | 0.000 |
| | | | My | -0.099 | -0.057 | -0.015 | 0.025 | 0.065 | 0.104 | 0.143 | |
| | | | Mz | 0.000 | 0.000 | 0.000 | 0.000 | 0.000 | 0.000 | 0.000 | 0.000 |
| | | 1.35-PP+0.8-CM1+1.35-CM2 | N | 34.056 | 34.061 | 34.065 | 34.069 | 34.073 | 34.078 | 34.082 | |



Listados

DESARROLLO DE PROYECTO EJECUTIVO DE REFORMA DE LA PISCINA DEL
COLEGIO PÁLCAM

Fecha: 28/03/18

| Esfuerzos en barras, por combinación | | | | | | | | | | |
|--------------------------------------|-------------|----------------------------------|----------|------------------------|---------|---------|---------|---------|---------|---------|
| Barra | Combinación | | Esfuerzo | Posiciones en la barra | | | | | | |
| | Tipo | Descripción | | 0.000 m | 0.187 m | 0.375 m | 0.562 m | 0.749 m | 0.936 m | 1.124 m |
| | | | Vy | 0.000 | 0.000 | 0.000 | 0.000 | 0.000 | 0.000 | 0.000 |
| | | | Vz | -0.314 | -0.308 | -0.301 | -0.294 | -0.288 | -0.281 | -0.274 |
| | | | Mt | 0.000 | 0.000 | 0.000 | 0.000 | 0.000 | 0.000 | 0.000 |
| | | | My | -0.136 | -0.077 | -0.020 | 0.035 | 0.090 | 0.143 | 0.195 |
| | | | Mz | 0.000 | 0.000 | 0.000 | 0.000 | 0.000 | 0.000 | 0.000 |
| | | 0.8-PP+1.35-CM1+1.35-CM2 | N | 27.825 | 27.827 | 27.830 | 27.832 | 27.835 | 27.837 | 27.840 |
| | | | Vy | 0.000 | 0.000 | 0.000 | 0.000 | 0.000 | 0.000 | 0.000 |
| | | | Vz | -0.253 | -0.249 | -0.245 | -0.241 | -0.237 | -0.233 | -0.229 |
| | | | Mt | 0.000 | 0.000 | 0.000 | 0.000 | 0.000 | 0.000 | 0.000 |
| | | | My | -0.110 | -0.063 | -0.017 | 0.028 | 0.073 | 0.117 | 0.160 |
| | | 1.35-PP+1.35-CM1+1.35-CM2 | Mz | 0.000 | 0.000 | 0.000 | 0.000 | 0.000 | 0.000 | 0.000 |
| | | | N | 37.004 | 37.009 | 37.013 | 37.017 | 37.021 | 37.026 | 37.030 |
| | | | Vy | 0.000 | 0.000 | 0.000 | 0.000 | 0.000 | 0.000 | 0.000 |
| | | | Vz | -0.340 | -0.333 | -0.327 | -0.320 | -0.313 | -0.306 | -0.300 |
| | | | Mt | 0.000 | 0.000 | 0.000 | 0.000 | 0.000 | 0.000 | 0.000 |
| | | 0.8-PP+0.8-CM1+0.8-CM2+1.5-Q1 | My | -0.147 | -0.084 | -0.022 | 0.038 | 0.097 | 0.155 | 0.212 |
| | | | Mz | 0.000 | 0.000 | 0.000 | 0.000 | 0.000 | 0.000 | 0.000 |
| | | | N | 46.049 | 46.051 | 46.054 | 46.056 | 46.059 | 46.061 | 46.064 |
| | | | Vy | 0.000 | 0.000 | 0.000 | 0.000 | 0.000 | 0.000 | 0.000 |
| | | | Vz | -0.411 | -0.407 | -0.403 | -0.399 | -0.395 | -0.391 | -0.387 |
| | | 1.35-PP+0.8-CM1+0.8-CM2+1.5-Q1 | Mt | 0.000 | 0.000 | 0.000 | 0.000 | 0.000 | 0.000 | 0.000 |
| | | | My | -0.182 | -0.106 | -0.030 | 0.045 | 0.120 | 0.193 | 0.266 |
| | | | Mz | 0.000 | 0.000 | 0.000 | 0.000 | 0.000 | 0.000 | 0.000 |
| | | | N | 55.228 | 55.233 | 55.237 | 55.241 | 55.245 | 55.250 | 55.254 |
| | | | Vy | 0.000 | 0.000 | 0.000 | 0.000 | 0.000 | 0.000 | 0.000 |
| | | 0.8-PP+1.35-CM1+0.8-CM2+1.5-Q1 | Vz | -0.498 | -0.491 | -0.485 | -0.478 | -0.471 | -0.465 | -0.458 |
| | | | Mt | 0.000 | 0.000 | 0.000 | 0.000 | 0.000 | 0.000 | 0.000 |
| | | | My | -0.219 | -0.126 | -0.035 | 0.055 | 0.144 | 0.232 | 0.318 |
| | | | Mz | 0.000 | 0.000 | 0.000 | 0.000 | 0.000 | 0.000 | 0.000 |
| | | | N | 48.997 | 48.999 | 49.002 | 49.004 | 49.007 | 49.009 | 49.012 |
| | | 1.35-PP+1.35-CM1+0.8-CM2+1.5-Q1 | Vy | 0.000 | 0.000 | 0.000 | 0.000 | 0.000 | 0.000 | 0.000 |
| | | | Vz | -0.436 | -0.432 | -0.428 | -0.424 | -0.420 | -0.416 | -0.412 |
| | | | Mt | 0.000 | 0.000 | 0.000 | 0.000 | 0.000 | 0.000 | 0.000 |
| | | | My | -0.194 | -0.112 | -0.032 | 0.048 | 0.127 | 0.206 | 0.283 |
| | | | Mz | 0.000 | 0.000 | 0.000 | 0.000 | 0.000 | 0.000 | 0.000 |
| | | 0.8-PP+0.8-CM1+1.35-CM2+1.5-Q1 | N | 58.176 | 58.181 | 58.185 | 58.189 | 58.193 | 58.198 | 58.202 |
| | | | Vy | 0.000 | 0.000 | 0.000 | 0.000 | 0.000 | 0.000 | 0.000 |
| | | | Vz | -0.524 | -0.517 | -0.510 | -0.504 | -0.497 | -0.490 | -0.483 |
| | | | Mt | 0.000 | 0.000 | 0.000 | 0.000 | 0.000 | 0.000 | 0.000 |
| | | | My | -0.231 | -0.133 | -0.037 | 0.058 | 0.152 | 0.244 | 0.335 |
| | | 1.35-PP+0.8-CM1+1.35-CM2+1.5-Q1 | Mz | 0.000 | 0.000 | 0.000 | 0.000 | 0.000 | 0.000 | 0.000 |
| | | | N | 48.997 | 48.999 | 49.002 | 49.004 | 49.007 | 49.009 | 49.012 |
| | | | Vy | 0.000 | 0.000 | 0.000 | 0.000 | 0.000 | 0.000 | 0.000 |
| | | | Vz | -0.436 | -0.432 | -0.428 | -0.424 | -0.420 | -0.416 | -0.412 |
| | | | Mt | 0.000 | 0.000 | 0.000 | 0.000 | 0.000 | 0.000 | 0.000 |
| | | 0.8-PP+1.35-CM1+1.35-CM2+1.5-Q1 | My | -0.194 | -0.112 | -0.032 | 0.048 | 0.127 | 0.206 | 0.283 |
| | | | Mz | 0.000 | 0.000 | 0.000 | 0.000 | 0.000 | 0.000 | 0.000 |
| | | | N | 58.176 | 58.181 | 58.185 | 58.189 | 58.193 | 58.198 | 58.202 |
| | | | Vy | 0.000 | 0.000 | 0.000 | 0.000 | 0.000 | 0.000 | 0.000 |
| | | | Vz | -0.524 | -0.517 | -0.510 | -0.504 | -0.497 | -0.490 | -0.483 |
| | | 1.35-PP+1.35-CM1+1.35-CM2+1.5-Q1 | Mt | 0.000 | 0.000 | 0.000 | 0.000 | 0.000 | 0.000 | 0.000 |
| | | | My | -0.231 | -0.133 | -0.037 | 0.058 | 0.152 | 0.244 | 0.335 |
| | | | Mz | 0.000 | 0.000 | 0.000 | 0.000 | 0.000 | 0.000 | 0.000 |
| | | | N | 51.945 | 51.947 | 51.950 | 51.952 | 51.955 | 51.957 | 51.960 |
| | | | Vy | 0.000 | 0.000 | 0.000 | 0.000 | 0.000 | 0.000 | 0.000 |
| | | 1.35-PP+1.35-CM1+1.35-CM2+1.5-Q1 | Vz | -0.462 | -0.458 | -0.454 | -0.450 | -0.446 | -0.442 | -0.438 |
| | | | Mt | 0.000 | 0.000 | 0.000 | 0.000 | 0.000 | 0.000 | 0.000 |
| | | | My | -0.205 | -0.119 | -0.034 | 0.051 | 0.135 | 0.218 | 0.300 |
| | | | Mz | 0.000 | 0.000 | 0.000 | 0.000 | 0.000 | 0.000 | 0.000 |
| | | | N | 61.124 | 61.129 | 61.133 | 61.137 | 61.141 | 61.146 | 61.150 |
| | | | Vy | 0.000 | 0.000 | 0.000 | 0.000 | 0.000 | 0.000 | 0.000 |
| | | | Vz | -0.549 | -0.543 | -0.536 | -0.529 | -0.522 | -0.516 | -0.509 |
| | | | Mt | 0.000 | 0.000 | 0.000 | 0.000 | 0.000 | 0.000 | 0.000 |
| | | | My | -0.242 | -0.140 | -0.039 | 0.061 | 0.159 | 0.256 | 0.352 |
| | | | Mz | 0.000 | 0.000 | 0.000 | 0.000 | 0.000 | 0.000 | 0.000 |



Listados

DESARROLLO DE PROYECTO EJECUTIVO DE REFORMA DE LA PISCINA DEL
COLEGIO PÁLCAM

Fecha: 28/03/18

| Esfuerzos en barras, por combinación | | | | | | | | | | |
|--------------------------------------|----------------|---------------------------------|----------|------------------------|---------|---------|---------|---------|---------|---------|
| Barra | Combinación | | Esfuerzo | Posiciones en la barra | | | | | | |
| | Tipo | Descripción | | 0.000 m | 0.187 m | 0.375 m | 0.562 m | 0.749 m | 0.936 m | 1.124 m |
| N16/N7 | Acero laminado | 0.8-PP+0.8-CM1+0.8-CM2 | N | 20.323 | 20.325 | 20.328 | 20.330 | 20.333 | 20.335 | 20.338 |
| | | | Vy | 0.000 | 0.000 | 0.000 | 0.000 | 0.000 | 0.000 | 0.000 |
| | | | Vz | -0.158 | -0.154 | -0.150 | -0.146 | -0.142 | -0.138 | -0.134 |
| | | | Mt | 0.000 | 0.000 | 0.000 | 0.000 | 0.000 | 0.000 | 0.000 |
| | | | My | -0.037 | -0.008 | 0.021 | 0.048 | 0.075 | 0.102 | 0.127 |
| | | | Mz | 0.000 | 0.000 | 0.000 | 0.000 | 0.000 | 0.000 | 0.000 |
| | | 1.35-PP+0.8-CM1+0.8-CM2 | N | 28.766 | 28.770 | 28.774 | 28.779 | 28.783 | 28.787 | 28.791 |
| | | | Vy | 0.000 | 0.000 | 0.000 | 0.000 | 0.000 | 0.000 | 0.000 |
| | | | Vz | -0.227 | -0.220 | -0.214 | -0.207 | -0.200 | -0.194 | -0.187 |
| | | | Mt | 0.000 | 0.000 | 0.000 | 0.000 | 0.000 | 0.000 | 0.000 |
| | | | My | -0.053 | -0.011 | 0.030 | 0.069 | 0.107 | 0.144 | 0.180 |
| | | | Mz | 0.000 | 0.000 | 0.000 | 0.000 | 0.000 | 0.000 | 0.000 |
| | | 0.8-PP+1.35-CM1+0.8-CM2 | N | 23.087 | 23.090 | 23.093 | 23.095 | 23.098 | 23.100 | 23.103 |
| | | | Vy | 0.000 | 0.000 | 0.000 | 0.000 | 0.000 | 0.000 | 0.000 |
| | | | Vz | -0.178 | -0.174 | -0.170 | -0.166 | -0.162 | -0.158 | -0.154 |
| | | | Mt | 0.000 | 0.000 | 0.000 | 0.000 | 0.000 | 0.000 | 0.000 |
| | | | My | -0.042 | -0.009 | 0.023 | 0.055 | 0.085 | 0.115 | 0.144 |
| | | | Mz | 0.000 | 0.000 | 0.000 | 0.000 | 0.000 | 0.000 | 0.000 |
| | | 1.35-PP+1.35-CM1+0.8-CM2 | N | 31.530 | 31.535 | 31.539 | 31.543 | 31.547 | 31.552 | 31.556 |
| | | | Vy | 0.000 | 0.000 | 0.000 | 0.000 | 0.000 | 0.000 | 0.000 |
| | | | Vz | -0.247 | -0.240 | -0.234 | -0.227 | -0.220 | -0.213 | -0.207 |
| | | | Mt | 0.000 | 0.000 | 0.000 | 0.000 | 0.000 | 0.000 | 0.000 |
| | | | My | -0.058 | -0.012 | 0.032 | 0.075 | 0.117 | 0.158 | 0.197 |
| | | | Mz | 0.000 | 0.000 | 0.000 | 0.000 | 0.000 | 0.000 | 0.000 |
| | | 0.8-PP+0.8-CM1+1.35-CM2 | N | 23.087 | 23.090 | 23.093 | 23.095 | 23.098 | 23.100 | 23.103 |
| | | | Vy | 0.000 | 0.000 | 0.000 | 0.000 | 0.000 | 0.000 | 0.000 |
| | | | Vz | -0.178 | -0.174 | -0.170 | -0.166 | -0.162 | -0.158 | -0.154 |
| | | | Mt | 0.000 | 0.000 | 0.000 | 0.000 | 0.000 | 0.000 | 0.000 |
| | | | My | -0.042 | -0.009 | 0.023 | 0.055 | 0.085 | 0.115 | 0.144 |
| | | | Mz | 0.000 | 0.000 | 0.000 | 0.000 | 0.000 | 0.000 | 0.000 |
| | | 1.35-PP+0.8-CM1+1.35-CM2 | N | 31.530 | 31.535 | 31.539 | 31.543 | 31.547 | 31.552 | 31.556 |
| | | | Vy | 0.000 | 0.000 | 0.000 | 0.000 | 0.000 | 0.000 | 0.000 |
| | | | Vz | -0.247 | -0.240 | -0.234 | -0.227 | -0.220 | -0.213 | -0.207 |
| | | | Mt | 0.000 | 0.000 | 0.000 | 0.000 | 0.000 | 0.000 | 0.000 |
| | | | My | -0.058 | -0.012 | 0.032 | 0.075 | 0.117 | 0.158 | 0.197 |
| | | | Mz | 0.000 | 0.000 | 0.000 | 0.000 | 0.000 | 0.000 | 0.000 |
| | | 0.8-PP+1.35-CM1+1.35-CM2 | N | 25.852 | 25.855 | 25.857 | 25.860 | 25.862 | 25.865 | 25.867 |
| | | | Vy | 0.000 | 0.000 | 0.000 | 0.000 | 0.000 | 0.000 | 0.000 |
| | | | Vz | -0.198 | -0.194 | -0.190 | -0.186 | -0.182 | -0.178 | -0.174 |
| | | | Mt | 0.000 | 0.000 | 0.000 | 0.000 | 0.000 | 0.000 | 0.000 |
| | | | My | -0.047 | -0.010 | 0.026 | 0.061 | 0.095 | 0.129 | 0.162 |
| | | | Mz | 0.000 | 0.000 | 0.000 | 0.000 | 0.000 | 0.000 | 0.000 |
| | | 1.35-PP+1.35-CM1+1.35-CM2 | N | 34.295 | 34.299 | 34.303 | 34.308 | 34.312 | 34.316 | 34.320 |
| | | | Vy | 0.000 | 0.000 | 0.000 | 0.000 | 0.000 | 0.000 | 0.000 |
| | | | Vz | -0.267 | -0.260 | -0.253 | -0.247 | -0.240 | -0.233 | -0.226 |
| | | | Mt | 0.000 | 0.000 | 0.000 | 0.000 | 0.000 | 0.000 | 0.000 |
| | | | My | -0.063 | -0.013 | 0.035 | 0.081 | 0.127 | 0.171 | 0.214 |
| | | | Mz | 0.000 | 0.000 | 0.000 | 0.000 | 0.000 | 0.000 | 0.000 |
| | | 0.8-PP+0.8-CM1+0.8-CM2+1.5-Q1 | N | 42.942 | 42.945 | 42.947 | 42.950 | 42.952 | 42.955 | 42.957 |
| | | | Vy | 0.000 | 0.000 | 0.000 | 0.000 | 0.000 | 0.000 | 0.000 |
| | | | Vz | -0.320 | -0.316 | -0.312 | -0.308 | -0.304 | -0.300 | -0.296 |
| | | | Mt | 0.000 | 0.000 | 0.000 | 0.000 | 0.000 | 0.000 | 0.000 |
| | | | My | -0.077 | -0.017 | 0.041 | 0.099 | 0.157 | 0.213 | 0.269 |
| | | | Mz | 0.000 | 0.000 | 0.000 | 0.000 | 0.000 | 0.000 | 0.000 |
| | | 1.35-PP+0.8-CM1+0.8-CM2+1.5-Q1 | N | 51.385 | 51.389 | 51.393 | 51.398 | 51.402 | 51.406 | 51.410 |
| | | | Vy | 0.000 | 0.000 | 0.000 | 0.000 | 0.000 | 0.000 | 0.000 |
| | | | Vz | -0.389 | -0.382 | -0.375 | -0.369 | -0.362 | -0.355 | -0.349 |
| | | | Mt | 0.000 | 0.000 | 0.000 | 0.000 | 0.000 | 0.000 | 0.000 |
| | | | My | -0.093 | -0.021 | 0.050 | 0.120 | 0.188 | 0.256 | 0.322 |
| | | | Mz | 0.000 | 0.000 | 0.000 | 0.000 | 0.000 | 0.000 | 0.000 |
| | | 0.8-PP+1.35-CM1+0.8-CM2+1.5-Q1 | N | 45.707 | 45.709 | 45.712 | 45.714 | 45.717 | 45.719 | 45.722 |
| | | | Vy | 0.000 | 0.000 | 0.000 | 0.000 | 0.000 | 0.000 | 0.000 |
| | | | Vz | -0.339 | -0.336 | -0.332 | -0.328 | -0.324 | -0.320 | -0.316 |
| | | | Mt | 0.000 | 0.000 | 0.000 | 0.000 | 0.000 | 0.000 | 0.000 |
| | | | My | -0.082 | -0.019 | 0.044 | 0.106 | 0.167 | 0.227 | 0.286 |
| | | | Mz | 0.000 | 0.000 | 0.000 | 0.000 | 0.000 | 0.000 | 0.000 |
| | | 1.35-PP+1.35-CM1+0.8-CM2+1.5-Q1 | N | 54.150 | 54.154 | 54.158 | 54.162 | 54.166 | 54.171 | 54.175 |
| | | | Vy | 0.000 | 0.000 | 0.000 | 0.000 | 0.000 | 0.000 | 0.000 |
| | | | Vz | -0.409 | -0.402 | -0.395 | -0.389 | -0.382 | -0.375 | -0.368 |
| | | | Mt | 0.000 | 0.000 | 0.000 | 0.000 | 0.000 | 0.000 | 0.000 |
| | | | My | -0.098 | -0.022 | 0.053 | 0.126 | 0.198 | 0.269 | 0.339 |
| | | | Mz | 0.000 | 0.000 | 0.000 | 0.000 | 0.000 | 0.000 | 0.000 |



Listados

DESARROLLO DE PROYECTO EJECUTIVO DE REFORMA DE LA PISCINA DEL
COLEGIO PÁLCAM

Fecha: 28/03/18

| Esfuerzos en barras, por combinación | | | | | | | | | | |
|--------------------------------------|-------------|----------------------------------|----------|------------------------|---------|---------|---------|---------|---------|---------|
| Barra | Combinación | | Esfuerzo | Posiciones en la barra | | | | | | |
| | Tipo | Descripción | | 0.000 m | 0.187 m | 0.375 m | 0.562 m | 0.749 m | 0.936 m | 1.124 m |
| | | | Mz | 0.000 | 0.000 | 0.000 | 0.000 | 0.000 | 0.000 | 0.000 |
| | | 0.8-PP+0.8-CM1+1.35-CM2+1.5-Q1 | N | 45.707 | 45.709 | 45.712 | 45.714 | 45.717 | 45.719 | 45.722 |
| | | | Vy | 0.000 | 0.000 | 0.000 | 0.000 | 0.000 | 0.000 | 0.000 |
| | | | Vz | -0.339 | -0.336 | -0.332 | -0.328 | -0.324 | -0.320 | -0.316 |
| | | | Mt | 0.000 | 0.000 | 0.000 | 0.000 | 0.000 | 0.000 | 0.000 |
| | | | My | -0.082 | -0.019 | 0.044 | 0.106 | 0.167 | 0.227 | 0.286 |
| | | | Mz | 0.000 | 0.000 | 0.000 | 0.000 | 0.000 | 0.000 | 0.000 |
| | | 1.35-PP+0.8-CM1+1.35-CM2+1.5-Q1 | N | 54.150 | 54.154 | 54.158 | 54.162 | 54.166 | 54.171 | 54.175 |
| | | | Vy | 0.000 | 0.000 | 0.000 | 0.000 | 0.000 | 0.000 | 0.000 |
| | | | Vz | -0.409 | -0.402 | -0.395 | -0.389 | -0.382 | -0.375 | -0.368 |
| | | | Mt | 0.000 | 0.000 | 0.000 | 0.000 | 0.000 | 0.000 | 0.000 |
| | | | My | -0.098 | -0.022 | 0.053 | 0.126 | 0.198 | 0.269 | 0.339 |
| | | | Mz | 0.000 | 0.000 | 0.000 | 0.000 | 0.000 | 0.000 | 0.000 |
| | | 0.8-PP+1.35-CM1+1.35-CM2+1.5-Q1 | N | 48.471 | 48.474 | 48.476 | 48.479 | 48.481 | 48.484 | 48.486 |
| | | | Vy | 0.000 | 0.000 | 0.000 | 0.000 | 0.000 | 0.000 | 0.000 |
| | | | Vz | -0.359 | -0.355 | -0.351 | -0.347 | -0.343 | -0.339 | -0.335 |
| | | | Mt | 0.000 | 0.000 | 0.000 | 0.000 | 0.000 | 0.000 | 0.000 |
| | | | My | -0.087 | -0.020 | 0.046 | 0.112 | 0.177 | 0.240 | 0.304 |
| | | | Mz | 0.000 | 0.000 | 0.000 | 0.000 | 0.000 | 0.000 | 0.000 |
| | | 1.35-PP+1.35-CM1+1.35-CM2+1.5-Q1 | N | 56.914 | 56.918 | 56.923 | 56.927 | 56.931 | 56.935 | 56.940 |
| | | | Vy | 0.000 | 0.000 | 0.000 | 0.000 | 0.000 | 0.000 | 0.000 |
| | | | Vz | -0.428 | -0.422 | -0.415 | -0.408 | -0.402 | -0.395 | -0.388 |
| | | | Mt | 0.000 | 0.000 | 0.000 | 0.000 | 0.000 | 0.000 | 0.000 |
| | | | My | -0.102 | -0.023 | 0.055 | 0.133 | 0.208 | 0.283 | 0.356 |
| | | | Mz | 0.000 | 0.000 | 0.000 | 0.000 | 0.000 | 0.000 | 0.000 |

| Esfuerzos en barras, por combinación | | | | | | | | | | |
|--------------------------------------|----------------|--------------------------|----------|------------------------|---------|---------|---------|---------|---------|---------|
| Barra | Combinación | | Esfuerzo | Posiciones en la barra | | | | | | |
| | Tipo | Descripción | | 0.000 m | 0.187 m | 0.375 m | 0.562 m | 0.749 m | 0.936 m | 1.124 m |
| N17/N8 | Acero laminado | 0.8-PP+0.8-CM1+0.8-CM2 | N | 17.008 | 17.010 | 17.013 | 17.015 | 17.018 | 17.020 | 17.023 |
| | | | Vy | 0.000 | 0.000 | 0.000 | 0.000 | 0.000 | 0.000 | 0.000 |
| | | | Vz | -0.068 | -0.064 | -0.060 | -0.056 | -0.052 | -0.048 | -0.044 |
| | | | Mt | 0.000 | 0.000 | 0.000 | 0.000 | 0.000 | 0.000 | 0.000 |
| | | | My | 0.047 | 0.059 | 0.071 | 0.082 | 0.092 | 0.101 | 0.110 |
| | | | Mz | 0.000 | 0.000 | 0.000 | 0.000 | 0.000 | 0.000 | 0.000 |
| | | 1.35-PP+0.8-CM1+0.8-CM2 | N | 24.013 | 24.017 | 24.021 | 24.025 | 24.029 | 24.034 | 24.038 |
| | | | Vy | 0.000 | 0.000 | 0.000 | 0.000 | 0.000 | 0.000 | 0.000 |
| | | | Vz | -0.100 | -0.093 | -0.086 | -0.079 | -0.073 | -0.066 | -0.059 |
| | | | Mt | 0.000 | 0.000 | 0.000 | 0.000 | 0.000 | 0.000 | 0.000 |
| | | | My | 0.066 | 0.084 | 0.101 | 0.116 | 0.131 | 0.144 | 0.155 |
| | | | Mz | 0.000 | 0.000 | 0.000 | 0.000 | 0.000 | 0.000 | 0.000 |
| | | 0.8-PP+1.35-CM1+0.8-CM2 | N | 19.351 | 19.354 | 19.357 | 19.359 | 19.362 | 19.364 | 19.367 |
| | | | Vy | 0.000 | 0.000 | 0.000 | 0.000 | 0.000 | 0.000 | 0.000 |
| | | | Vz | -0.075 | -0.071 | -0.067 | -0.063 | -0.059 | -0.055 | -0.051 |
| | | | Mt | 0.000 | 0.000 | 0.000 | 0.000 | 0.000 | 0.000 | 0.000 |
| | | | My | 0.054 | 0.068 | 0.081 | 0.093 | 0.104 | 0.115 | 0.125 |
| | | | Mz | 0.000 | 0.000 | 0.000 | 0.000 | 0.000 | 0.000 | 0.000 |
| | | 1.35-PP+1.35-CM1+0.8-CM2 | N | 26.356 | 26.361 | 26.365 | 26.369 | 26.373 | 26.378 | 26.382 |
| | | | Vy | 0.000 | 0.000 | 0.000 | 0.000 | 0.000 | 0.000 | 0.000 |
| | | | Vz | -0.107 | -0.100 | -0.094 | -0.087 | -0.080 | -0.073 | -0.067 |
| | | | Mt | 0.000 | 0.000 | 0.000 | 0.000 | 0.000 | 0.000 | 0.000 |
| | | | My | 0.073 | 0.092 | 0.110 | 0.127 | 0.143 | 0.157 | 0.170 |
| | | | Mz | 0.000 | 0.000 | 0.000 | 0.000 | 0.000 | 0.000 | 0.000 |
| | | 0.8-PP+0.8-CM1+1.35-CM2 | N | 19.351 | 19.354 | 19.357 | 19.359 | 19.362 | 19.364 | 19.367 |
| | | | Vy | 0.000 | 0.000 | 0.000 | 0.000 | 0.000 | 0.000 | 0.000 |
| | | | Vz | -0.075 | -0.071 | -0.067 | -0.063 | -0.059 | -0.055 | -0.051 |
| | | | Mt | 0.000 | 0.000 | 0.000 | 0.000 | 0.000 | 0.000 | 0.000 |
| | | | My | 0.054 | 0.068 | 0.081 | 0.093 | 0.104 | 0.115 | 0.125 |
| | | | Mz | 0.000 | 0.000 | 0.000 | 0.000 | 0.000 | 0.000 | 0.000 |
| | | 1.35-PP+0.8-CM1+1.35-CM2 | N | 26.356 | 26.361 | 26.365 | 26.369 | 26.373 | 26.378 | 26.382 |
| | | | Vy | 0.000 | 0.000 | 0.000 | 0.000 | 0.000 | 0.000 | 0.000 |
| | | | Vz | -0.107 | -0.100 | -0.094 | -0.087 | -0.080 | -0.073 | -0.067 |
| | | | Mt | 0.000 | 0.000 | 0.000 | 0.000 | 0.000 | 0.000 | 0.000 |
| | | | My | 0.073 | 0.092 | 0.110 | 0.127 | 0.143 | 0.157 | 0.170 |
| | | | Mz | 0.000 | 0.000 | 0.000 | 0.000 | 0.000 | 0.000 | 0.000 |
| | | 0.8-PP+1.35-CM1+1.35-CM2 | N | 21.695 | 21.698 | 21.700 | 21.703 | 21.705 | 21.708 | 21.710 |
| | | | Vy | 0.000 | 0.000 | 0.000 | 0.000 | 0.000 | 0.000 | 0.000 |
| | | | Vz | -0.083 | -0.079 | -0.075 | -0.071 | -0.067 | -0.063 | -0.059 |
| | | | Mt | 0.000 | 0.000 | 0.000 | 0.000 | 0.000 | 0.000 | 0.000 |
| | | | My | 0.061 | 0.076 | 0.090 | 0.104 | 0.117 | 0.129 | 0.140 |
| Mz | 0.000 | | 0.000 | 0.000 | 0.000 | 0.000 | 0.000 | 0.000 | | |



Listados

DESARROLLO DE PROYECTO EJECUTIVO DE REFORMA DE LA PISCINA DEL
COLEGIO PÁLCAM

Fecha: 28/03/18

| Esfuerzos en barras, por combinación | | | | | | | | | | |
|--------------------------------------|-------------|----------------------------------|----------|------------------------|---------|---------|---------|---------|---------|---------|
| Barra | Combinación | | Esfuerzo | Posiciones en la barra | | | | | | |
| | Tipo | Descripción | | 0.000 m | 0.187 m | 0.375 m | 0.562 m | 0.749 m | 0.936 m | 1.124 m |
| | | 1.35-PP+1.35-CM1+1.35-CM2 | Mz | 0.000 | 0.000 | 0.000 | 0.000 | 0.000 | 0.000 | 0.000 |
| | | | N | 28.700 | 28.705 | 28.709 | 28.713 | 28.717 | 28.722 | 28.726 |
| | | | Vy | 0.000 | 0.000 | 0.000 | 0.000 | 0.000 | 0.000 | 0.000 |
| | | | Vz | -0.114 | -0.108 | -0.101 | -0.094 | -0.088 | -0.081 | -0.074 |
| | | | Mt | 0.000 | 0.000 | 0.000 | 0.000 | 0.000 | 0.000 | 0.000 |
| | | | My | 0.080 | 0.100 | 0.120 | 0.138 | 0.155 | 0.171 | 0.186 |
| | | 0.8-PP+0.8-CM1+0.8-CM2+1.5-Q1 | Mz | 0.000 | 0.000 | 0.000 | 0.000 | 0.000 | 0.000 | 0.000 |
| | | | N | 36.185 | 36.187 | 36.190 | 36.192 | 36.195 | 36.197 | 36.200 |
| | | | Vy | 0.000 | 0.000 | 0.000 | 0.000 | 0.000 | 0.000 | 0.000 |
| | | | Vz | -0.129 | -0.125 | -0.121 | -0.117 | -0.113 | -0.109 | -0.105 |
| | | | Mt | 0.000 | 0.000 | 0.000 | 0.000 | 0.000 | 0.000 | 0.000 |
| | | | My | 0.102 | 0.126 | 0.149 | 0.171 | 0.193 | 0.213 | 0.233 |
| | | 1.35-PP+0.8-CM1+0.8-CM2+1.5-Q1 | Mz | 0.000 | 0.000 | 0.000 | 0.000 | 0.000 | 0.000 | 0.000 |
| | | | N | 43.190 | 43.194 | 43.198 | 43.203 | 43.207 | 43.211 | 43.215 |
| | | | Vy | 0.000 | 0.000 | 0.000 | 0.000 | 0.000 | 0.000 | 0.000 |
| | | | Vz | -0.161 | -0.154 | -0.147 | -0.140 | -0.134 | -0.127 | -0.120 |
| | | | Mt | 0.000 | 0.000 | 0.000 | 0.000 | 0.000 | 0.000 | 0.000 |
| | | | My | 0.121 | 0.150 | 0.179 | 0.206 | 0.231 | 0.256 | 0.279 |
| | | 0.8-PP+1.35-CM1+0.8-CM2+1.5-Q1 | Mz | 0.000 | 0.000 | 0.000 | 0.000 | 0.000 | 0.000 | 0.000 |
| | | | N | 38.529 | 38.531 | 38.534 | 38.536 | 38.539 | 38.541 | 38.544 |
| | | | Vy | 0.000 | 0.000 | 0.000 | 0.000 | 0.000 | 0.000 | 0.000 |
| | | | Vz | -0.136 | -0.132 | -0.128 | -0.124 | -0.120 | -0.116 | -0.112 |
| | | | Mt | 0.000 | 0.000 | 0.000 | 0.000 | 0.000 | 0.000 | 0.000 |
| | | | My | 0.109 | 0.134 | 0.158 | 0.182 | 0.205 | 0.227 | 0.248 |
| | | 1.35-PP+1.35-CM1+0.8-CM2+1.5-Q1 | Mz | 0.000 | 0.000 | 0.000 | 0.000 | 0.000 | 0.000 | 0.000 |
| | | | N | 45.534 | 45.538 | 45.542 | 45.546 | 45.551 | 45.555 | 45.559 |
| | | | Vy | 0.000 | 0.000 | 0.000 | 0.000 | 0.000 | 0.000 | 0.000 |
| | | | Vz | -0.168 | -0.161 | -0.155 | -0.148 | -0.141 | -0.134 | -0.128 |
| | | | Mt | 0.000 | 0.000 | 0.000 | 0.000 | 0.000 | 0.000 | 0.000 |
| | | | My | 0.128 | 0.159 | 0.188 | 0.216 | 0.243 | 0.269 | 0.294 |
| | | 0.8-PP+0.8-CM1+1.35-CM2+1.5-Q1 | Mz | 0.000 | 0.000 | 0.000 | 0.000 | 0.000 | 0.000 | 0.000 |
| | | | N | 38.529 | 38.531 | 38.534 | 38.536 | 38.539 | 38.541 | 38.544 |
| | | | Vy | 0.000 | 0.000 | 0.000 | 0.000 | 0.000 | 0.000 | 0.000 |
| | | | Vz | -0.136 | -0.132 | -0.128 | -0.124 | -0.120 | -0.116 | -0.112 |
| | | | Mt | 0.000 | 0.000 | 0.000 | 0.000 | 0.000 | 0.000 | 0.000 |
| | | | My | 0.109 | 0.134 | 0.158 | 0.182 | 0.205 | 0.227 | 0.248 |
| | | 1.35-PP+0.8-CM1+1.35-CM2+1.5-Q1 | Mz | 0.000 | 0.000 | 0.000 | 0.000 | 0.000 | 0.000 | 0.000 |
| | | | N | 45.534 | 45.538 | 45.542 | 45.546 | 45.551 | 45.555 | 45.559 |
| | | | Vy | 0.000 | 0.000 | 0.000 | 0.000 | 0.000 | 0.000 | 0.000 |
| | | | Vz | -0.168 | -0.161 | -0.155 | -0.148 | -0.141 | -0.134 | -0.128 |
| | | | Mt | 0.000 | 0.000 | 0.000 | 0.000 | 0.000 | 0.000 | 0.000 |
| | | | My | 0.128 | 0.159 | 0.188 | 0.216 | 0.243 | 0.269 | 0.294 |
| | | 0.8-PP+1.35-CM1+1.35-CM2+1.5-Q1 | Mz | 0.000 | 0.000 | 0.000 | 0.000 | 0.000 | 0.000 | 0.000 |
| | | | N | 40.873 | 40.875 | 40.878 | 40.880 | 40.883 | 40.885 | 40.888 |
| | | | Vy | 0.000 | 0.000 | 0.000 | 0.000 | 0.000 | 0.000 | 0.000 |
| | | | Vz | -0.144 | -0.140 | -0.136 | -0.132 | -0.128 | -0.124 | -0.120 |
| | | | Mt | 0.000 | 0.000 | 0.000 | 0.000 | 0.000 | 0.000 | 0.000 |
| | | | My | 0.115 | 0.142 | 0.168 | 0.193 | 0.217 | 0.241 | 0.263 |
| | | 1.35-PP+1.35-CM1+1.35-CM2+1.5-Q1 | Mz | 0.000 | 0.000 | 0.000 | 0.000 | 0.000 | 0.000 | 0.000 |
| | | | N | 47.878 | 47.882 | 47.886 | 47.890 | 47.895 | 47.899 | 47.903 |
| | | | Vy | 0.000 | 0.000 | 0.000 | 0.000 | 0.000 | 0.000 | 0.000 |
| | | | Vz | -0.175 | -0.169 | -0.162 | -0.155 | -0.149 | -0.142 | -0.135 |
| | | | Mt | 0.000 | 0.000 | 0.000 | 0.000 | 0.000 | 0.000 | 0.000 |
| | | | My | 0.134 | 0.167 | 0.198 | 0.227 | 0.256 | 0.283 | 0.309 |
| | | | Mz | 0.000 | 0.000 | 0.000 | 0.000 | 0.000 | 0.000 | 0.000 |

| Esfuerzos en barras, por combinación | | | | | | | | | | |
|--------------------------------------|----------------|-------------------------|----------|------------------------|---------|---------|---------|---------|---------|---------|
| Barra | Combinación | | Esfuerzo | Posiciones en la barra | | | | | | |
| | Tipo | Descripción | | 0.000 m | 0.187 m | 0.375 m | 0.562 m | 0.749 m | 0.936 m | 1.124 m |
| N18/N9 | Acero laminado | 0.8-PP+0.8-CM1+0.8-CM2 | N | 7.860 | 7.862 | 7.865 | 7.867 | 7.870 | 7.872 | 7.875 |
| | | | Vy | 0.000 | 0.000 | 0.000 | 0.000 | 0.000 | 0.000 | 0.000 |
| | | | Vz | 0.050 | 0.054 | 0.058 | 0.062 | 0.066 | 0.070 | 0.074 |
| | | | Mt | 0.000 | 0.000 | 0.000 | 0.000 | 0.000 | 0.000 | 0.000 |
| | | | My | 0.160 | 0.150 | 0.139 | 0.128 | 0.116 | 0.103 | 0.089 |
| | | | Mz | 0.000 | 0.000 | 0.000 | 0.000 | 0.000 | 0.000 | 0.000 |
| | | 1.35-PP+0.8-CM1+0.8-CM2 | N | 11.056 | 11.061 | 11.065 | 11.069 | 11.073 | 11.078 | 11.082 |
| | | | Vy | 0.000 | 0.000 | 0.000 | 0.000 | 0.000 | 0.000 | 0.000 |
| | | | Vz | 0.068 | 0.074 | 0.081 | 0.088 | 0.095 | 0.101 | 0.108 |
| | | | Mt | 0.000 | 0.000 | 0.000 | 0.000 | 0.000 | 0.000 | 0.000 |
| | | | My | 0.225 | 0.211 | 0.197 | 0.181 | 0.164 | 0.146 | 0.126 |
| | | | Mz | 0.000 | 0.000 | 0.000 | 0.000 | 0.000 | 0.000 | 0.000 |



Listados

DESARROLLO DE PROYECTO EJECUTIVO DE REFORMA DE LA PISCINA DEL
COLEGIO PÁLCAM

Fecha: 28/03/18

| Esfuerzos en barras, por combinación | | | | | | | | | | |
|--------------------------------------|-------------|---------------------------------|----------|------------------------|---------|---------|---------|---------|---------|---------|
| Barra | Combinación | | Esfuerzo | Posiciones en la barra | | | | | | |
| | Tipo | Descripción | | 0.000 m | 0.187 m | 0.375 m | 0.562 m | 0.749 m | 0.936 m | 1.124 m |
| | | 0.8-PP+1.35-CM1+0.8-CM2 | Mz | 0.000 | 0.000 | 0.000 | 0.000 | 0.000 | 0.000 | 0.000 |
| | | | N | 8.963 | 8.965 | 8.968 | 8.970 | 8.973 | 8.975 | 8.978 |
| | | | Vy | 0.000 | 0.000 | 0.000 | 0.000 | 0.000 | 0.000 | 0.000 |
| | | | Vz | 0.059 | 0.063 | 0.067 | 0.071 | 0.075 | 0.079 | 0.083 |
| | | | Mt | 0.000 | 0.000 | 0.000 | 0.000 | 0.000 | 0.000 | 0.000 |
| | | | My | 0.182 | 0.170 | 0.158 | 0.145 | 0.131 | 0.117 | 0.102 |
| | | 1.35-PP+1.35-CM1+0.8-CM2 | Mz | 0.000 | 0.000 | 0.000 | 0.000 | 0.000 | 0.000 | 0.000 |
| | | | N | 12.160 | 12.164 | 12.168 | 12.172 | 12.177 | 12.181 | 12.185 |
| | | | Vy | 0.000 | 0.000 | 0.000 | 0.000 | 0.000 | 0.000 | 0.000 |
| | | | Vz | 0.076 | 0.083 | 0.090 | 0.097 | 0.103 | 0.110 | 0.117 |
| | | | Mt | 0.000 | 0.000 | 0.000 | 0.000 | 0.000 | 0.000 | 0.000 |
| | | | My | 0.247 | 0.232 | 0.216 | 0.198 | 0.180 | 0.160 | 0.138 |
| | | 0.8-PP+0.8-CM1+1.35-CM2 | Mz | 0.000 | 0.000 | 0.000 | 0.000 | 0.000 | 0.000 | 0.000 |
| | | | N | 8.963 | 8.965 | 8.968 | 8.970 | 8.973 | 8.975 | 8.978 |
| | | | Vy | 0.000 | 0.000 | 0.000 | 0.000 | 0.000 | 0.000 | 0.000 |
| | | | Vz | 0.059 | 0.063 | 0.067 | 0.071 | 0.075 | 0.079 | 0.083 |
| | | | Mt | 0.000 | 0.000 | 0.000 | 0.000 | 0.000 | 0.000 | 0.000 |
| | | | My | 0.182 | 0.170 | 0.158 | 0.145 | 0.131 | 0.117 | 0.102 |
| | | 1.35-PP+0.8-CM1+1.35-CM2 | Mz | 0.000 | 0.000 | 0.000 | 0.000 | 0.000 | 0.000 | 0.000 |
| | | | N | 12.160 | 12.164 | 12.168 | 12.172 | 12.177 | 12.181 | 12.185 |
| | | | Vy | 0.000 | 0.000 | 0.000 | 0.000 | 0.000 | 0.000 | 0.000 |
| | | | Vz | 0.076 | 0.083 | 0.090 | 0.097 | 0.103 | 0.110 | 0.117 |
| | | | Mt | 0.000 | 0.000 | 0.000 | 0.000 | 0.000 | 0.000 | 0.000 |
| | | | My | 0.247 | 0.232 | 0.216 | 0.198 | 0.180 | 0.160 | 0.138 |
| | | 0.8-PP+1.35-CM1+1.35-CM2 | Mz | 0.000 | 0.000 | 0.000 | 0.000 | 0.000 | 0.000 | 0.000 |
| | | | N | 10.066 | 10.069 | 10.071 | 10.074 | 10.076 | 10.079 | 10.081 |
| | | | Vy | 0.000 | 0.000 | 0.000 | 0.000 | 0.000 | 0.000 | 0.000 |
| | | | Vz | 0.068 | 0.072 | 0.076 | 0.080 | 0.084 | 0.088 | 0.092 |
| | | | Mt | 0.000 | 0.000 | 0.000 | 0.000 | 0.000 | 0.000 | 0.000 |
| | | | My | 0.204 | 0.191 | 0.177 | 0.162 | 0.147 | 0.131 | 0.114 |
| | | 1.35-PP+1.35-CM1+1.35-CM2 | Mz | 0.000 | 0.000 | 0.000 | 0.000 | 0.000 | 0.000 | 0.000 |
| | | | N | 13.263 | 13.267 | 13.271 | 13.276 | 13.280 | 13.284 | 13.288 |
| | | | Vy | 0.000 | 0.000 | 0.000 | 0.000 | 0.000 | 0.000 | 0.000 |
| | | | Vz | 0.085 | 0.092 | 0.099 | 0.105 | 0.112 | 0.119 | 0.125 |
| | | | Mt | 0.000 | 0.000 | 0.000 | 0.000 | 0.000 | 0.000 | 0.000 |
| | | | My | 0.269 | 0.253 | 0.235 | 0.216 | 0.195 | 0.174 | 0.151 |
| | | 0.8-PP+0.8-CM1+0.8-CM2+1.5-Q1 | Mz | 0.000 | 0.000 | 0.000 | 0.000 | 0.000 | 0.000 | 0.000 |
| | | | N | 16.886 | 16.889 | 16.891 | 16.894 | 16.896 | 16.899 | 16.901 |
| | | | Vy | 0.000 | 0.000 | 0.000 | 0.000 | 0.000 | 0.000 | 0.000 |
| | | | Vz | 0.122 | 0.126 | 0.130 | 0.134 | 0.138 | 0.142 | 0.146 |
| | | | Mt | 0.000 | 0.000 | 0.000 | 0.000 | 0.000 | 0.000 | 0.000 |
| | | | My | 0.341 | 0.318 | 0.294 | 0.269 | 0.244 | 0.218 | 0.191 |
| | | 1.35-PP+0.8-CM1+0.8-CM2+1.5-Q1 | Mz | 0.000 | 0.000 | 0.000 | 0.000 | 0.000 | 0.000 | 0.000 |
| | | | N | 20.083 | 20.088 | 20.092 | 20.096 | 20.100 | 20.104 | 20.109 |
| | | | Vy | 0.000 | 0.000 | 0.000 | 0.000 | 0.000 | 0.000 | 0.000 |
| | | | Vz | 0.139 | 0.146 | 0.153 | 0.159 | 0.166 | 0.173 | 0.179 |
| | | | Mt | 0.000 | 0.000 | 0.000 | 0.000 | 0.000 | 0.000 | 0.000 |
| | | | My | 0.407 | 0.380 | 0.352 | 0.323 | 0.292 | 0.261 | 0.228 |
| | | 0.8-PP+1.35-CM1+0.8-CM2+1.5-Q1 | Mz | 0.000 | 0.000 | 0.000 | 0.000 | 0.000 | 0.000 | 0.000 |
| | | | N | 17.990 | 17.992 | 17.995 | 17.997 | 18.000 | 18.002 | 18.005 |
| | | | Vy | 0.000 | 0.000 | 0.000 | 0.000 | 0.000 | 0.000 | 0.000 |
| | | | Vz | 0.131 | 0.135 | 0.139 | 0.143 | 0.147 | 0.151 | 0.154 |
| | | | Mt | 0.000 | 0.000 | 0.000 | 0.000 | 0.000 | 0.000 | 0.000 |
| | | | My | 0.364 | 0.339 | 0.313 | 0.287 | 0.260 | 0.232 | 0.203 |
| | | 1.35-PP+1.35-CM1+0.8-CM2+1.5-Q1 | Mz | 0.000 | 0.000 | 0.000 | 0.000 | 0.000 | 0.000 | 0.000 |
| | | | N | 21.187 | 21.191 | 21.195 | 21.199 | 21.204 | 21.208 | 21.212 |
| | | | Vy | 0.000 | 0.000 | 0.000 | 0.000 | 0.000 | 0.000 | 0.000 |
| | | | Vz | 0.148 | 0.155 | 0.161 | 0.168 | 0.175 | 0.181 | 0.188 |
| | | | Mt | 0.000 | 0.000 | 0.000 | 0.000 | 0.000 | 0.000 | 0.000 |
| | | | My | 0.429 | 0.400 | 0.371 | 0.340 | 0.308 | 0.275 | 0.240 |
| | | 0.8-PP+0.8-CM1+1.35-CM2+1.5-Q1 | Mz | 0.000 | 0.000 | 0.000 | 0.000 | 0.000 | 0.000 | 0.000 |
| | | | N | 17.990 | 17.992 | 17.995 | 17.997 | 18.000 | 18.002 | 18.005 |
| | | | Vy | 0.000 | 0.000 | 0.000 | 0.000 | 0.000 | 0.000 | 0.000 |
| | | | Vz | 0.131 | 0.135 | 0.139 | 0.143 | 0.147 | 0.151 | 0.154 |
| | | | Mt | 0.000 | 0.000 | 0.000 | 0.000 | 0.000 | 0.000 | 0.000 |
| | | | My | 0.364 | 0.339 | 0.313 | 0.287 | 0.260 | 0.232 | 0.203 |
| | | 1.35-PP+0.8-CM1+1.35-CM2+1.5-Q1 | Mz | 0.000 | 0.000 | 0.000 | 0.000 | 0.000 | 0.000 | 0.000 |
| | | | N | 21.187 | 21.191 | 21.195 | 21.199 | 21.204 | 21.208 | 21.212 |
| | | | Vy | 0.000 | 0.000 | 0.000 | 0.000 | 0.000 | 0.000 | 0.000 |
| | | | Vz | 0.148 | 0.155 | 0.161 | 0.168 | 0.175 | 0.181 | 0.188 |
| | | | Mt | 0.000 | 0.000 | 0.000 | 0.000 | 0.000 | 0.000 | 0.000 |



Listados

DESARROLLO DE PROYECTO EJECUTIVO DE REFORMA DE LA PISCINA DEL
COLEGIO PÁLCAM

Fecha: 28/03/18

| Esfuerzos en barras, por combinación | | | | | | | | | | |
|--------------------------------------|-------------|----------------------------------|----------|------------------------|---------|---------|---------|---------|---------|---------|
| Barra | Combinación | | Esfuerzo | Posiciones en la barra | | | | | | |
| | Tipo | Descripción | | 0.000 m | 0.187 m | 0.375 m | 0.562 m | 0.749 m | 0.936 m | 1.124 m |
| | | | My | 0.429 | 0.400 | 0.371 | 0.340 | 0.308 | 0.275 | 0.240 |
| | | | Mz | 0.000 | 0.000 | 0.000 | 0.000 | 0.000 | 0.000 | 0.000 |
| | | 0.8-PP+1.35-CM1+1.35-CM2+1.5-Q1 | N | 19.093 | 19.095 | 19.098 | 19.100 | 19.103 | 19.106 | 19.108 |
| | | | Vy | 0.000 | 0.000 | 0.000 | 0.000 | 0.000 | 0.000 | 0.000 |
| | | | Vz | 0.139 | 0.143 | 0.147 | 0.151 | 0.155 | 0.159 | 0.163 |
| | | | Mt | 0.000 | 0.000 | 0.000 | 0.000 | 0.000 | 0.000 | 0.000 |
| | | | My | 0.386 | 0.359 | 0.332 | 0.304 | 0.275 | 0.246 | 0.216 |
| | | | Mz | 0.000 | 0.000 | 0.000 | 0.000 | 0.000 | 0.000 | 0.000 |
| | | 1.35-PP+1.35-CM1+1.35-CM2+1.5-Q1 | N | 22.290 | 22.294 | 22.298 | 22.303 | 22.307 | 22.311 | 22.315 |
| | | | Vy | 0.000 | 0.000 | 0.000 | 0.000 | 0.000 | 0.000 | 0.000 |
| | | | Vz | 0.157 | 0.163 | 0.170 | 0.177 | 0.183 | 0.190 | 0.197 |
| | | | Mt | 0.000 | 0.000 | 0.000 | 0.000 | 0.000 | 0.000 | 0.000 |
| | | | My | 0.451 | 0.421 | 0.390 | 0.357 | 0.324 | 0.289 | 0.252 |
| | | | Mz | 0.000 | 0.000 | 0.000 | 0.000 | 0.000 | 0.000 | 0.000 |

| Esfuerzos en barras, por combinación | | | | | | | | | | |
|--------------------------------------|----------------|-------------------------------|----------|------------------------|---------|---------|---------|---------|---------|---------|
| Barra | Combinación | | Esfuerzo | Posiciones en la barra | | | | | | |
| | Tipo | Descripción | | 0.000 m | 0.189 m | 0.377 m | 0.566 m | 0.755 m | 0.943 m | 1.132 m |
| N22/N4 | Acero laminado | 0.8-PP+0.8-CM1+0.8-CM2 | N | 23.407 | 23.410 | 23.412 | 23.415 | 23.417 | 23.420 | 23.422 |
| | | | Vy | 0.000 | 0.000 | 0.000 | 0.000 | 0.000 | 0.000 | 0.000 |
| | | | Vz | -0.196 | -0.192 | -0.188 | -0.184 | -0.180 | -0.176 | -0.172 |
| | | | Mt | 0.000 | 0.000 | 0.000 | 0.000 | 0.000 | 0.000 | 0.000 |
| | | | My | -0.107 | -0.071 | -0.035 | 0.000 | 0.034 | 0.068 | 0.101 |
| | | | Mz | 0.000 | 0.000 | 0.000 | 0.000 | 0.000 | 0.000 | 0.000 |
| | | 1.35-PP+0.8-CM1+0.8-CM2 | N | 33.262 | 33.266 | 33.270 | 33.274 | 33.279 | 33.283 | 33.287 |
| | | | Vy | 0.000 | 0.000 | 0.000 | 0.000 | 0.000 | 0.000 | 0.000 |
| | | | Vz | -0.281 | -0.274 | -0.267 | -0.260 | -0.253 | -0.247 | -0.240 |
| | | | Mt | 0.000 | 0.000 | 0.000 | 0.000 | 0.000 | 0.000 | 0.000 |
| | | | My | -0.153 | -0.100 | -0.049 | 0.000 | 0.049 | 0.096 | 0.142 |
| | | | Mz | 0.000 | 0.000 | 0.000 | 0.000 | 0.000 | 0.000 | 0.000 |
| | | 0.8-PP+1.35-CM1+0.8-CM2 | N | 26.526 | 26.529 | 26.531 | 26.534 | 26.536 | 26.539 | 26.541 |
| | | | Vy | 0.000 | 0.000 | 0.000 | 0.000 | 0.000 | 0.000 | 0.000 |
| | | | Vz | -0.221 | -0.217 | -0.213 | -0.209 | -0.205 | -0.201 | -0.197 |
| | | | Mt | 0.000 | 0.000 | 0.000 | 0.000 | 0.000 | 0.000 | 0.000 |
| | | | My | -0.122 | -0.080 | -0.040 | 0.000 | 0.039 | 0.077 | 0.114 |
| | | | Mz | 0.000 | 0.000 | 0.000 | 0.000 | 0.000 | 0.000 | 0.000 |
| | | 1.35-PP+1.35-CM1+0.8-CM2 | N | 36.381 | 36.385 | 36.389 | 36.393 | 36.397 | 36.402 | 36.406 |
| | | | Vy | 0.000 | 0.000 | 0.000 | 0.000 | 0.000 | 0.000 | 0.000 |
| | | | Vz | -0.305 | -0.299 | -0.292 | -0.285 | -0.278 | -0.272 | -0.265 |
| | | | Mt | 0.000 | 0.000 | 0.000 | 0.000 | 0.000 | 0.000 | 0.000 |
| | | | My | -0.167 | -0.110 | -0.054 | 0.000 | 0.053 | 0.105 | 0.156 |
| | | | Mz | 0.000 | 0.000 | 0.000 | 0.000 | 0.000 | 0.000 | 0.000 |
| | | 0.8-PP+0.8-CM1+1.35-CM2 | N | 26.526 | 26.529 | 26.531 | 26.534 | 26.536 | 26.539 | 26.541 |
| | | | Vy | 0.000 | 0.000 | 0.000 | 0.000 | 0.000 | 0.000 | 0.000 |
| | | | Vz | -0.221 | -0.217 | -0.213 | -0.209 | -0.205 | -0.201 | -0.197 |
| | | | Mt | 0.000 | 0.000 | 0.000 | 0.000 | 0.000 | 0.000 | 0.000 |
| | | | My | -0.122 | -0.080 | -0.040 | 0.000 | 0.039 | 0.077 | 0.114 |
| | | | Mz | 0.000 | 0.000 | 0.000 | 0.000 | 0.000 | 0.000 | 0.000 |
| | | 1.35-PP+0.8-CM1+1.35-CM2 | N | 36.381 | 36.385 | 36.389 | 36.393 | 36.397 | 36.402 | 36.406 |
| | | | Vy | 0.000 | 0.000 | 0.000 | 0.000 | 0.000 | 0.000 | 0.000 |
| | | | Vz | -0.305 | -0.299 | -0.292 | -0.285 | -0.278 | -0.272 | -0.265 |
| | | | Mt | 0.000 | 0.000 | 0.000 | 0.000 | 0.000 | 0.000 | 0.000 |
| | | | My | -0.167 | -0.110 | -0.054 | 0.000 | 0.053 | 0.105 | 0.156 |
| | | | Mz | 0.000 | 0.000 | 0.000 | 0.000 | 0.000 | 0.000 | 0.000 |
| | | 0.8-PP+1.35-CM1+1.35-CM2 | N | 29.645 | 29.648 | 29.650 | 29.653 | 29.655 | 29.658 | 29.660 |
| | | | Vy | 0.000 | 0.000 | 0.000 | 0.000 | 0.000 | 0.000 | 0.000 |
| | | | Vz | -0.246 | -0.242 | -0.238 | -0.233 | -0.229 | -0.225 | -0.221 |
| | | | Mt | 0.000 | 0.000 | 0.000 | 0.000 | 0.000 | 0.000 | 0.000 |
| | | | My | -0.136 | -0.090 | -0.045 | 0.000 | 0.043 | 0.086 | 0.128 |
| | | | Mz | 0.000 | 0.000 | 0.000 | 0.000 | 0.000 | 0.000 | 0.000 |
| | | 1.35-PP+1.35-CM1+1.35-CM2 | N | 39.500 | 39.504 | 39.508 | 39.512 | 39.516 | 39.521 | 39.525 |
| | | | Vy | 0.000 | 0.000 | 0.000 | 0.000 | 0.000 | 0.000 | 0.000 |
| | | | Vz | -0.330 | -0.324 | -0.317 | -0.310 | -0.303 | -0.296 | -0.290 |
| | | | Mt | 0.000 | 0.000 | 0.000 | 0.000 | 0.000 | 0.000 | 0.000 |
| | | | My | -0.181 | -0.120 | -0.059 | 0.000 | 0.058 | 0.114 | 0.170 |
| | | | Mz | 0.000 | 0.000 | 0.000 | 0.000 | 0.000 | 0.000 | 0.000 |
| | | 0.8-PP+0.8-CM1+0.8-CM2+1.5-Q1 | N | 48.926 | 48.928 | 48.931 | 48.933 | 48.936 | 48.939 | 48.941 |
| | | | Vy | 0.000 | 0.000 | 0.000 | 0.000 | 0.000 | 0.000 | 0.000 |
| | | | Vz | -0.399 | -0.395 | -0.391 | -0.387 | -0.383 | -0.379 | -0.375 |
| | | | Mt | 0.000 | 0.000 | 0.000 | 0.000 | 0.000 | 0.000 | 0.000 |



Listados

DESARROLLO DE PROYECTO EJECUTIVO DE REFORMA DE LA PISCINA DEL
COLEGIO PÁLCAM

Fecha: 28/03/18

| Esfuerzos en barras, por combinación | | | | | | | | | | |
|--------------------------------------|-------------|----------------------------------|----------|------------------------|---------|---------|---------|---------|---------|---------|
| Barra | Combinación | | Esfuerzo | Posiciones en la barra | | | | | | |
| | Tipo | Descripción | | 0.000 m | 0.189 m | 0.377 m | 0.566 m | 0.755 m | 0.943 m | 1.132 m |
| | | | My | -0.224 | -0.149 | -0.075 | -0.002 | 0.071 | 0.143 | 0.214 |
| | | | Mz | 0.000 | 0.000 | 0.000 | 0.000 | 0.000 | 0.000 | 0.000 |
| | | | N | 58.780 | 58.785 | 58.789 | 58.793 | 58.797 | 58.802 | 58.806 |
| | | 1.35-PP+0.8-CM1+0.8-CM2+1.5-Q1 | Vy | 0.000 | 0.000 | 0.000 | 0.000 | 0.000 | 0.000 | 0.000 |
| | | | Vz | -0.484 | -0.477 | -0.471 | -0.464 | -0.457 | -0.450 | -0.444 |
| | | | Mt | 0.000 | 0.000 | 0.000 | 0.000 | 0.000 | 0.000 | 0.000 |
| | | | My | -0.270 | -0.179 | -0.090 | -0.001 | 0.086 | 0.171 | 0.255 |
| | | | Mz | 0.000 | 0.000 | 0.000 | 0.000 | 0.000 | 0.000 | 0.000 |
| | | 0.8-PP+1.35-CM1+0.8-CM2+1.5-Q1 | N | 52.045 | 52.047 | 52.050 | 52.052 | 52.055 | 52.057 | 52.060 |
| | | | Vy | 0.000 | 0.000 | 0.000 | 0.000 | 0.000 | 0.000 | 0.000 |
| | | | Vz | -0.424 | -0.420 | -0.416 | -0.412 | -0.408 | -0.404 | -0.400 |
| | | | Mt | 0.000 | 0.000 | 0.000 | 0.000 | 0.000 | 0.000 | 0.000 |
| | | | My | -0.239 | -0.159 | -0.080 | -0.002 | 0.075 | 0.152 | 0.228 |
| | | | Mz | 0.000 | 0.000 | 0.000 | 0.000 | 0.000 | 0.000 | 0.000 |
| | | 1.35-PP+1.35-CM1+0.8-CM2+1.5-Q1 | N | 61.899 | 61.904 | 61.908 | 61.912 | 61.916 | 61.921 | 61.925 |
| | | | Vy | 0.000 | 0.000 | 0.000 | 0.000 | 0.000 | 0.000 | 0.000 |
| | | | Vz | -0.509 | -0.502 | -0.496 | -0.489 | -0.482 | -0.475 | -0.468 |
| | | | Mt | 0.000 | 0.000 | 0.000 | 0.000 | 0.000 | 0.000 | 0.000 |
| | | | My | -0.284 | -0.189 | -0.094 | -0.002 | 0.090 | 0.180 | 0.269 |
| | | | Mz | 0.000 | 0.000 | 0.000 | 0.000 | 0.000 | 0.000 | 0.000 |
| | | 0.8-PP+0.8-CM1+1.35-CM2+1.5-Q1 | N | 52.045 | 52.047 | 52.050 | 52.052 | 52.055 | 52.057 | 52.060 |
| | | | Vy | 0.000 | 0.000 | 0.000 | 0.000 | 0.000 | 0.000 | 0.000 |
| | | | Vz | -0.424 | -0.420 | -0.416 | -0.412 | -0.408 | -0.404 | -0.400 |
| | | | Mt | 0.000 | 0.000 | 0.000 | 0.000 | 0.000 | 0.000 | 0.000 |
| | | | My | -0.239 | -0.159 | -0.080 | -0.002 | 0.075 | 0.152 | 0.228 |
| | | | Mz | 0.000 | 0.000 | 0.000 | 0.000 | 0.000 | 0.000 | 0.000 |
| | | 1.35-PP+0.8-CM1+1.35-CM2+1.5-Q1 | N | 61.899 | 61.904 | 61.908 | 61.912 | 61.916 | 61.921 | 61.925 |
| | | | Vy | 0.000 | 0.000 | 0.000 | 0.000 | 0.000 | 0.000 | 0.000 |
| | | | Vz | -0.509 | -0.502 | -0.496 | -0.489 | -0.482 | -0.475 | -0.468 |
| | | | Mt | 0.000 | 0.000 | 0.000 | 0.000 | 0.000 | 0.000 | 0.000 |
| | | | My | -0.284 | -0.189 | -0.094 | -0.002 | 0.090 | 0.180 | 0.269 |
| | | | Mz | 0.000 | 0.000 | 0.000 | 0.000 | 0.000 | 0.000 | 0.000 |
| | | 0.8-PP+1.35-CM1+1.35-CM2+1.5-Q1 | N | 55.164 | 55.166 | 55.169 | 55.171 | 55.174 | 55.176 | 55.179 |
| | | | Vy | 0.000 | 0.000 | 0.000 | 0.000 | 0.000 | 0.000 | 0.000 |
| | | | Vz | -0.449 | -0.445 | -0.441 | -0.437 | -0.433 | -0.429 | -0.425 |
| | | | Mt | 0.000 | 0.000 | 0.000 | 0.000 | 0.000 | 0.000 | 0.000 |
| | | | My | -0.253 | -0.169 | -0.085 | -0.002 | 0.080 | 0.161 | 0.242 |
| | | | Mz | 0.000 | 0.000 | 0.000 | 0.000 | 0.000 | 0.000 | 0.000 |
| | | 1.35-PP+1.35-CM1+1.35-CM2+1.5-Q1 | N | 65.018 | 65.023 | 65.027 | 65.031 | 65.035 | 65.040 | 65.044 |
| | | | Vy | 0.000 | 0.000 | 0.000 | 0.000 | 0.000 | 0.000 | 0.000 |
| | | | Vz | -0.534 | -0.527 | -0.520 | -0.514 | -0.507 | -0.500 | -0.493 |
| | | | Mt | 0.000 | 0.000 | 0.000 | 0.000 | 0.000 | 0.000 | 0.000 |
| | | | My | -0.298 | -0.198 | -0.099 | -0.002 | 0.094 | 0.189 | 0.283 |
| | | | Mz | 0.000 | 0.000 | 0.000 | 0.000 | 0.000 | 0.000 | 0.000 |

| Esfuerzos en barras, por combinación | | | | | | | | | | |
|--------------------------------------|----------------|--------------------------|----------|------------------------|---------|---------|---------|---------|---------|---------|
| Barra | Combinación | | Esfuerzo | Posiciones en la barra | | | | | | |
| | Tipo | Descripción | | 0.000 m | 0.187 m | 0.375 m | 0.562 m | 0.749 m | 0.936 m | 1.124 m |
| N21/N14 | Acero laminado | 0.8-PP+0.8-CM1+0.8-CM2 | N | 21.938 | 21.941 | 21.943 | 21.946 | 21.948 | 21.951 | 21.953 |
| | | | Vy | 0.000 | 0.000 | 0.000 | 0.000 | 0.000 | 0.000 | 0.000 |
| | | | Vz | -0.202 | -0.198 | -0.194 | -0.190 | -0.186 | -0.182 | -0.178 |
| | | | Mt | 0.000 | 0.000 | 0.000 | 0.000 | 0.000 | 0.000 | 0.000 |
| | | | My | -0.087 | -0.050 | -0.013 | 0.023 | 0.058 | 0.093 | 0.127 |
| | | | Mz | 0.000 | 0.000 | 0.000 | 0.000 | 0.000 | 0.000 | 0.000 |
| | | 1.35-PP+0.8-CM1+0.8-CM2 | N | 31.122 | 31.126 | 31.130 | 31.135 | 31.139 | 31.143 | 31.147 |
| | | | Vy | 0.000 | 0.000 | 0.000 | 0.000 | 0.000 | 0.000 | 0.000 |
| | | | Vz | -0.290 | -0.283 | -0.277 | -0.270 | -0.263 | -0.256 | -0.250 |
| | | | Mt | 0.000 | 0.000 | 0.000 | 0.000 | 0.000 | 0.000 | 0.000 |
| | | | My | -0.124 | -0.070 | -0.018 | 0.033 | 0.083 | 0.132 | 0.179 |
| | | | Mz | 0.000 | 0.000 | 0.000 | 0.000 | 0.000 | 0.000 | 0.000 |
| | | 0.8-PP+1.35-CM1+0.8-CM2 | N | 24.887 | 24.890 | 24.892 | 24.895 | 24.897 | 24.900 | 24.902 |
| | | | Vy | 0.000 | 0.000 | 0.000 | 0.000 | 0.000 | 0.000 | 0.000 |
| | | | Vz | -0.228 | -0.224 | -0.220 | -0.216 | -0.212 | -0.208 | -0.204 |
| | | | Mt | 0.000 | 0.000 | 0.000 | 0.000 | 0.000 | 0.000 | 0.000 |
| | | | My | -0.099 | -0.057 | -0.015 | 0.026 | 0.066 | 0.105 | 0.144 |
| | | | Mz | 0.000 | 0.000 | 0.000 | 0.000 | 0.000 | 0.000 | 0.000 |
| | | 1.35-PP+1.35-CM1+0.8-CM2 | N | 34.071 | 34.075 | 34.080 | 34.084 | 34.088 | 34.092 | 34.097 |
| | | | Vy | 0.000 | 0.000 | 0.000 | 0.000 | 0.000 | 0.000 | 0.000 |
| | | | Vz | -0.316 | -0.309 | -0.302 | -0.296 | -0.289 | -0.282 | -0.275 |
| | | | Mt | 0.000 | 0.000 | 0.000 | 0.000 | 0.000 | 0.000 | 0.000 |



Listados

DESARROLLO DE PROYECTO EJECUTIVO DE REFORMA DE LA PISCINA DEL
COLEGIO PÁLCAM

Fecha: 28/03/18

| Esfuerzos en barras, por combinación | | | | | | | | | | |
|--------------------------------------|-------------|----------------------------------|----------|------------------------|---------|---------|---------|---------|---------|---------|
| Barra | Combinación | | Esfuerzo | Posiciones en la barra | | | | | | |
| | Tipo | Descripción | | 0.000 m | 0.187 m | 0.375 m | 0.562 m | 0.749 m | 0.936 m | 1.124 m |
| | | | My | -0.136 | -0.077 | -0.020 | 0.036 | 0.091 | 0.144 | 0.196 |
| | | | Mz | 0.000 | 0.000 | 0.000 | 0.000 | 0.000 | 0.000 | 0.000 |
| | | 0.8-PP+0.8-CM1+1.35-CM2 | N | 24.887 | 24.890 | 24.892 | 24.895 | 24.897 | 24.900 | 24.902 |
| | | | Vy | 0.000 | 0.000 | 0.000 | 0.000 | 0.000 | 0.000 | 0.000 |
| | | | Vz | -0.228 | -0.224 | -0.220 | -0.216 | -0.212 | -0.208 | -0.204 |
| | | | Mt | 0.000 | 0.000 | 0.000 | 0.000 | 0.000 | 0.000 | 0.000 |
| | | | My | -0.099 | -0.057 | -0.015 | 0.026 | 0.066 | 0.105 | 0.144 |
| | | | Mz | 0.000 | 0.000 | 0.000 | 0.000 | 0.000 | 0.000 | 0.000 |
| | | 1.35-PP+0.8-CM1+1.35-CM2 | N | 34.071 | 34.075 | 34.080 | 34.084 | 34.088 | 34.092 | 34.097 |
| | | | Vy | 0.000 | 0.000 | 0.000 | 0.000 | 0.000 | 0.000 | 0.000 |
| | | | Vz | -0.316 | -0.309 | -0.302 | -0.296 | -0.289 | -0.282 | -0.275 |
| | | | Mt | 0.000 | 0.000 | 0.000 | 0.000 | 0.000 | 0.000 | 0.000 |
| | | | My | -0.136 | -0.077 | -0.020 | 0.036 | 0.091 | 0.144 | 0.196 |
| | | | Mz | 0.000 | 0.000 | 0.000 | 0.000 | 0.000 | 0.000 | 0.000 |
| | | 0.8-PP+1.35-CM1+1.35-CM2 | N | 27.837 | 27.839 | 27.842 | 27.844 | 27.847 | 27.849 | 27.852 |
| | | | Vy | 0.000 | 0.000 | 0.000 | 0.000 | 0.000 | 0.000 | 0.000 |
| | | | Vz | -0.254 | -0.250 | -0.246 | -0.242 | -0.238 | -0.234 | -0.230 |
| | | | Mt | 0.000 | 0.000 | 0.000 | 0.000 | 0.000 | 0.000 | 0.000 |
| | | | My | -0.111 | -0.063 | -0.017 | 0.029 | 0.073 | 0.118 | 0.161 |
| | | | Mz | 0.000 | 0.000 | 0.000 | 0.000 | 0.000 | 0.000 | 0.000 |
| | | 1.35-PP+1.35-CM1+1.35-CM2 | N | 37.020 | 37.025 | 37.029 | 37.033 | 37.037 | 37.042 | 37.046 |
| | | | Vy | 0.000 | 0.000 | 0.000 | 0.000 | 0.000 | 0.000 | 0.000 |
| | | | Vz | -0.341 | -0.335 | -0.328 | -0.321 | -0.315 | -0.308 | -0.301 |
| | | | Mt | 0.000 | 0.000 | 0.000 | 0.000 | 0.000 | 0.000 | 0.000 |
| | | | My | -0.147 | -0.084 | -0.022 | 0.039 | 0.098 | 0.157 | 0.214 |
| | | | Mz | 0.000 | 0.000 | 0.000 | 0.000 | 0.000 | 0.000 | 0.000 |
| | | 0.8-PP+0.8-CM1+0.8-CM2+1.5-Q1 | N | 46.069 | 46.071 | 46.074 | 46.076 | 46.079 | 46.081 | 46.084 |
| | | | Vy | 0.000 | 0.000 | 0.000 | 0.000 | 0.000 | 0.000 | 0.000 |
| | | | Vz | -0.413 | -0.409 | -0.405 | -0.401 | -0.397 | -0.393 | -0.389 |
| | | | Mt | 0.000 | 0.000 | 0.000 | 0.000 | 0.000 | 0.000 | 0.000 |
| | | | My | -0.182 | -0.106 | -0.029 | 0.046 | 0.121 | 0.195 | 0.268 |
| | | | Mz | 0.000 | 0.000 | 0.000 | 0.000 | 0.000 | 0.000 | 0.000 |
| | | 1.35-PP+0.8-CM1+0.8-CM2+1.5-Q1 | N | 55.253 | 55.257 | 55.261 | 55.265 | 55.270 | 55.274 | 55.278 |
| | | | Vy | 0.000 | 0.000 | 0.000 | 0.000 | 0.000 | 0.000 | 0.000 |
| | | | Vz | -0.500 | -0.493 | -0.487 | -0.480 | -0.473 | -0.467 | -0.460 |
| | | | Mt | 0.000 | 0.000 | 0.000 | 0.000 | 0.000 | 0.000 | 0.000 |
| | | | My | -0.219 | -0.126 | -0.034 | 0.056 | 0.145 | 0.233 | 0.320 |
| | | | Mz | 0.000 | 0.000 | 0.000 | 0.000 | 0.000 | 0.000 | 0.000 |
| | | 0.8-PP+1.35-CM1+0.8-CM2+1.5-Q1 | N | 49.018 | 49.021 | 49.023 | 49.026 | 49.028 | 49.031 | 49.033 |
| | | | Vy | 0.000 | 0.000 | 0.000 | 0.000 | 0.000 | 0.000 | 0.000 |
| | | | Vz | -0.438 | -0.434 | -0.430 | -0.426 | -0.422 | -0.418 | -0.414 |
| | | | Mt | 0.000 | 0.000 | 0.000 | 0.000 | 0.000 | 0.000 | 0.000 |
| | | | My | -0.194 | -0.112 | -0.031 | 0.049 | 0.128 | 0.207 | 0.285 |
| | | | Mz | 0.000 | 0.000 | 0.000 | 0.000 | 0.000 | 0.000 | 0.000 |
| | | 1.35-PP+1.35-CM1+0.8-CM2+1.5-Q1 | N | 58.202 | 58.206 | 58.210 | 58.215 | 58.219 | 58.223 | 58.227 |
| | | | Vy | 0.000 | 0.000 | 0.000 | 0.000 | 0.000 | 0.000 | 0.000 |
| | | | Vz | -0.526 | -0.519 | -0.512 | -0.506 | -0.499 | -0.492 | -0.486 |
| | | | Mt | 0.000 | 0.000 | 0.000 | 0.000 | 0.000 | 0.000 | 0.000 |
| | | | My | -0.231 | -0.133 | -0.036 | 0.059 | 0.153 | 0.246 | 0.337 |
| | | | Mz | 0.000 | 0.000 | 0.000 | 0.000 | 0.000 | 0.000 | 0.000 |
| | | 0.8-PP+0.8-CM1+1.35-CM2+1.5-Q1 | N | 49.018 | 49.021 | 49.023 | 49.026 | 49.028 | 49.031 | 49.033 |
| | | | Vy | 0.000 | 0.000 | 0.000 | 0.000 | 0.000 | 0.000 | 0.000 |
| | | | Vz | -0.438 | -0.434 | -0.430 | -0.426 | -0.422 | -0.418 | -0.414 |
| | | | Mt | 0.000 | 0.000 | 0.000 | 0.000 | 0.000 | 0.000 | 0.000 |
| | | | My | -0.194 | -0.112 | -0.031 | 0.049 | 0.128 | 0.207 | 0.285 |
| | | | Mz | 0.000 | 0.000 | 0.000 | 0.000 | 0.000 | 0.000 | 0.000 |
| | | 1.35-PP+0.8-CM1+1.35-CM2+1.5-Q1 | N | 58.202 | 58.206 | 58.210 | 58.215 | 58.219 | 58.223 | 58.227 |
| | | | Vy | 0.000 | 0.000 | 0.000 | 0.000 | 0.000 | 0.000 | 0.000 |
| | | | Vz | -0.526 | -0.519 | -0.512 | -0.506 | -0.499 | -0.492 | -0.486 |
| | | | Mt | 0.000 | 0.000 | 0.000 | 0.000 | 0.000 | 0.000 | 0.000 |
| | | | My | -0.231 | -0.133 | -0.036 | 0.059 | 0.153 | 0.246 | 0.337 |
| | | | Mz | 0.000 | 0.000 | 0.000 | 0.000 | 0.000 | 0.000 | 0.000 |
| | | 0.8-PP+1.35-CM1+1.35-CM2+1.5-Q1 | N | 51.967 | 51.970 | 51.972 | 51.975 | 51.977 | 51.980 | 51.983 |
| | | | Vy | 0.000 | 0.000 | 0.000 | 0.000 | 0.000 | 0.000 | 0.000 |
| | | | Vz | -0.464 | -0.460 | -0.456 | -0.452 | -0.448 | -0.444 | -0.440 |
| | | | Mt | 0.000 | 0.000 | 0.000 | 0.000 | 0.000 | 0.000 | 0.000 |
| | | | My | -0.206 | -0.119 | -0.033 | 0.052 | 0.136 | 0.219 | 0.302 |
| | | | Mz | 0.000 | 0.000 | 0.000 | 0.000 | 0.000 | 0.000 | 0.000 |
| | | 1.35-PP+1.35-CM1+1.35-CM2+1.5-Q1 | N | 61.151 | 61.155 | 61.160 | 61.164 | 61.168 | 61.172 | 61.177 |
| | | | Vy | 0.000 | 0.000 | 0.000 | 0.000 | 0.000 | 0.000 | 0.000 |
| | | | Vz | -0.552 | -0.545 | -0.538 | -0.531 | -0.525 | -0.518 | -0.511 |
| | | | Mt | 0.000 | 0.000 | 0.000 | 0.000 | 0.000 | 0.000 | 0.000 |



Listados

DESARROLLO DE PROYECTO EJECUTIVO DE REFORMA DE LA PISCINA DEL
COLEGIO PÁLCAM

Fecha: 28/03/18

| Esfuerzos en barras, por combinación | | | | | | | | | | |
|--------------------------------------|-------------|-------------|----------|------------------------|---------|---------|---------|---------|---------|---------|
| Barra | Combinación | | Esfuerzo | Posiciones en la barra | | | | | | |
| | Tipo | Descripción | | 0.000 m | 0.187 m | 0.375 m | 0.562 m | 0.749 m | 0.936 m | 1.124 m |
| | | | My | -0.242 | -0.140 | -0.038 | 0.062 | 0.161 | 0.258 | 0.355 |
| | | | Mz | 0.000 | 0.000 | 0.000 | 0.000 | 0.000 | 0.000 | 0.000 |

| Esfuerzos en barras, por combinación | | | | | | | | | | |
|--------------------------------------|----------------|--------------------------------|----------|------------------------|---------|---------|---------|---------|---------|---------|
| Barra | Combinación | | Esfuerzo | Posiciones en la barra | | | | | | |
| | Tipo | Descripción | | 0.000 m | 0.187 m | 0.375 m | 0.562 m | 0.749 m | 0.936 m | 1.124 m |
| N20/N13 | Acero laminado | 0.8-PP+0.8-CM1+0.8-CM2 | N | 20.297 | 20.300 | 20.302 | 20.305 | 20.307 | 20.310 | 20.312 |
| | | | Vy | 0.000 | 0.000 | 0.000 | 0.000 | 0.000 | 0.000 | 0.000 |
| | | | Vz | -0.158 | -0.154 | -0.150 | -0.146 | -0.142 | -0.138 | -0.134 |
| | | | Mt | 0.000 | 0.000 | 0.000 | 0.000 | 0.000 | 0.000 | 0.000 |
| | | | My | -0.037 | -0.008 | 0.021 | 0.048 | 0.076 | 0.102 | 0.127 |
| | | | Mz | 0.000 | 0.000 | 0.000 | 0.000 | 0.000 | 0.000 | 0.000 |
| | | 1.35-PP+0.8-CM1+0.8-CM2 | N | 28.729 | 28.733 | 28.738 | 28.742 | 28.746 | 28.750 | 28.755 |
| | | | Vy | 0.000 | 0.000 | 0.000 | 0.000 | 0.000 | 0.000 | 0.000 |
| | | | Vz | -0.227 | -0.221 | -0.214 | -0.207 | -0.201 | -0.194 | -0.187 |
| | | | Mt | 0.000 | 0.000 | 0.000 | 0.000 | 0.000 | 0.000 | 0.000 |
| | | | My | -0.053 | -0.011 | 0.030 | 0.069 | 0.107 | 0.144 | 0.180 |
| | | | Mz | 0.000 | 0.000 | 0.000 | 0.000 | 0.000 | 0.000 | 0.000 |
| | | 0.8-PP+1.35-CM1+0.8-CM2 | N | 23.058 | 23.061 | 23.063 | 23.066 | 23.068 | 23.071 | 23.074 |
| | | | Vy | 0.000 | 0.000 | 0.000 | 0.000 | 0.000 | 0.000 | 0.000 |
| | | | Vz | -0.178 | -0.174 | -0.170 | -0.166 | -0.162 | -0.158 | -0.154 |
| | | | Mt | 0.000 | 0.000 | 0.000 | 0.000 | 0.000 | 0.000 | 0.000 |
| | | | My | -0.042 | -0.009 | 0.023 | 0.055 | 0.085 | 0.115 | 0.145 |
| | | | Mz | 0.000 | 0.000 | 0.000 | 0.000 | 0.000 | 0.000 | 0.000 |
| | | 1.35-PP+1.35-CM1+0.8-CM2 | N | 31.490 | 31.495 | 31.499 | 31.503 | 31.507 | 31.512 | 31.516 |
| | | | Vy | 0.000 | 0.000 | 0.000 | 0.000 | 0.000 | 0.000 | 0.000 |
| | | | Vz | -0.247 | -0.241 | -0.234 | -0.227 | -0.220 | -0.214 | -0.207 |
| | | | Mt | 0.000 | 0.000 | 0.000 | 0.000 | 0.000 | 0.000 | 0.000 |
| | | | My | -0.058 | -0.012 | 0.032 | 0.076 | 0.117 | 0.158 | 0.197 |
| | | | Mz | 0.000 | 0.000 | 0.000 | 0.000 | 0.000 | 0.000 | 0.000 |
| | | 0.8-PP+0.8-CM1+1.35-CM2 | N | 23.058 | 23.061 | 23.063 | 23.066 | 23.068 | 23.071 | 23.074 |
| | | | Vy | 0.000 | 0.000 | 0.000 | 0.000 | 0.000 | 0.000 | 0.000 |
| | | | Vz | -0.178 | -0.174 | -0.170 | -0.166 | -0.162 | -0.158 | -0.154 |
| | | | Mt | 0.000 | 0.000 | 0.000 | 0.000 | 0.000 | 0.000 | 0.000 |
| | | | My | -0.042 | -0.009 | 0.023 | 0.055 | 0.085 | 0.115 | 0.145 |
| | | | Mz | 0.000 | 0.000 | 0.000 | 0.000 | 0.000 | 0.000 | 0.000 |
| | | 1.35-PP+0.8-CM1+1.35-CM2 | N | 31.490 | 31.495 | 31.499 | 31.503 | 31.507 | 31.512 | 31.516 |
| | | | Vy | 0.000 | 0.000 | 0.000 | 0.000 | 0.000 | 0.000 | 0.000 |
| | | | Vz | -0.247 | -0.241 | -0.234 | -0.227 | -0.220 | -0.214 | -0.207 |
| | | | Mt | 0.000 | 0.000 | 0.000 | 0.000 | 0.000 | 0.000 | 0.000 |
| | | | My | -0.058 | -0.012 | 0.032 | 0.076 | 0.117 | 0.158 | 0.197 |
| | | | Mz | 0.000 | 0.000 | 0.000 | 0.000 | 0.000 | 0.000 | 0.000 |
| | | 0.8-PP+1.35-CM1+1.35-CM2 | N | 25.820 | 25.822 | 25.825 | 25.827 | 25.830 | 25.832 | 25.835 |
| | | | Vy | 0.000 | 0.000 | 0.000 | 0.000 | 0.000 | 0.000 | 0.000 |
| | | | Vz | -0.198 | -0.194 | -0.190 | -0.186 | -0.182 | -0.178 | -0.174 |
| | | | Mt | 0.000 | 0.000 | 0.000 | 0.000 | 0.000 | 0.000 | 0.000 |
| | | | My | -0.047 | -0.010 | 0.026 | 0.061 | 0.095 | 0.129 | 0.162 |
| | | | Mz | 0.000 | 0.000 | 0.000 | 0.000 | 0.000 | 0.000 | 0.000 |
| | | 1.35-PP+1.35-CM1+1.35-CM2 | N | 34.252 | 34.256 | 34.260 | 34.264 | 34.269 | 34.273 | 34.277 |
| | | | Vy | 0.000 | 0.000 | 0.000 | 0.000 | 0.000 | 0.000 | 0.000 |
| | | | Vz | -0.267 | -0.260 | -0.254 | -0.247 | -0.240 | -0.233 | -0.227 |
| | | | Mt | 0.000 | 0.000 | 0.000 | 0.000 | 0.000 | 0.000 | 0.000 |
| | | | My | -0.063 | -0.013 | 0.035 | 0.082 | 0.127 | 0.172 | 0.215 |
| | | | Mz | 0.000 | 0.000 | 0.000 | 0.000 | 0.000 | 0.000 | 0.000 |
| | | 0.8-PP+0.8-CM1+0.8-CM2+1.5-Q1 | N | 42.889 | 42.891 | 42.894 | 42.896 | 42.899 | 42.901 | 42.904 |
| | | | Vy | 0.000 | 0.000 | 0.000 | 0.000 | 0.000 | 0.000 | 0.000 |
| | | | Vz | -0.320 | -0.316 | -0.312 | -0.308 | -0.304 | -0.300 | -0.296 |
| | | | Mt | 0.000 | 0.000 | 0.000 | 0.000 | 0.000 | 0.000 | 0.000 |
| | | | My | -0.077 | -0.017 | 0.042 | 0.100 | 0.157 | 0.214 | 0.270 |
| | | | Mz | 0.000 | 0.000 | 0.000 | 0.000 | 0.000 | 0.000 | 0.000 |
| | | 1.35-PP+0.8-CM1+0.8-CM2+1.5-Q1 | N | 51.321 | 51.325 | 51.329 | 51.334 | 51.338 | 51.342 | 51.346 |
| | | | Vy | 0.000 | 0.000 | 0.000 | 0.000 | 0.000 | 0.000 | 0.000 |
| | | | Vz | -0.389 | -0.383 | -0.376 | -0.369 | -0.363 | -0.356 | -0.349 |
| | | | Mt | 0.000 | 0.000 | 0.000 | 0.000 | 0.000 | 0.000 | 0.000 |
| | | | My | -0.093 | -0.020 | 0.051 | 0.121 | 0.189 | 0.256 | 0.322 |
| | | | Mz | 0.000 | 0.000 | 0.000 | 0.000 | 0.000 | 0.000 | 0.000 |
| | | 0.8-PP+1.35-CM1+0.8-CM2+1.5-Q1 | N | 45.650 | 45.653 | 45.655 | 45.658 | 45.660 | 45.663 | 45.665 |
| | | | Vy | 0.000 | 0.000 | 0.000 | 0.000 | 0.000 | 0.000 | 0.000 |
| | | | Vz | -0.340 | -0.336 | -0.332 | -0.328 | -0.324 | -0.320 | -0.316 |
| | | | Mt | 0.000 | 0.000 | 0.000 | 0.000 | 0.000 | 0.000 | 0.000 |
| | | | My | -0.082 | -0.018 | 0.044 | 0.106 | 0.167 | 0.227 | 0.287 |
| | | | Mz | 0.000 | 0.000 | 0.000 | 0.000 | 0.000 | 0.000 | 0.000 |



Listados

DESARROLLO DE PROYECTO EJECUTIVO DE REFORMA DE LA PISCINA DEL
COLEGIO PÁLCAM

Fecha: 28/03/18

| Esfuerzos en barras, por combinación | | | | | | | | | | |
|--------------------------------------|-------------|----------------------------------|----------|------------------------|---------|---------|---------|---------|---------|---------|
| Barra | Combinación | | Esfuerzo | Posiciones en la barra | | | | | | |
| | Tipo | Descripción | | 0.000 m | 0.187 m | 0.375 m | 0.562 m | 0.749 m | 0.936 m | 1.124 m |
| | | 1.35-PP+1.35-CM1+0.8-CM2+1.5-Q1 | Mz | 0.000 | 0.000 | 0.000 | 0.000 | 0.000 | 0.000 | 0.000 |
| | | | N | 54.082 | 54.086 | 54.091 | 54.095 | 54.099 | 54.103 | 54.108 |
| | | | Vy | 0.000 | 0.000 | 0.000 | 0.000 | 0.000 | 0.000 | 0.000 |
| | | | Vz | -0.409 | -0.402 | -0.396 | -0.389 | -0.382 | -0.376 | -0.369 |
| | | | Mt | 0.000 | 0.000 | 0.000 | 0.000 | 0.000 | 0.000 | 0.000 |
| | | | My | -0.097 | -0.021 | 0.053 | 0.127 | 0.199 | 0.270 | 0.340 |
| | | | Mz | 0.000 | 0.000 | 0.000 | 0.000 | 0.000 | 0.000 | 0.000 |
| | | 0.8-PP+0.8-CM1+1.35-CM2+1.5-Q1 | N | 45.650 | 45.653 | 45.655 | 45.658 | 45.660 | 45.663 | 45.665 |
| | | | Vy | 0.000 | 0.000 | 0.000 | 0.000 | 0.000 | 0.000 | 0.000 |
| | | | Vz | -0.340 | -0.336 | -0.332 | -0.328 | -0.324 | -0.320 | -0.316 |
| | | | Mt | 0.000 | 0.000 | 0.000 | 0.000 | 0.000 | 0.000 | 0.000 |
| | | | My | -0.082 | -0.018 | 0.044 | 0.106 | 0.167 | 0.227 | 0.287 |
| | | | Mz | 0.000 | 0.000 | 0.000 | 0.000 | 0.000 | 0.000 | 0.000 |
| | | 1.35-PP+0.8-CM1+1.35-CM2+1.5-Q1 | N | 54.082 | 54.086 | 54.091 | 54.095 | 54.099 | 54.103 | 54.108 |
| | | | Vy | 0.000 | 0.000 | 0.000 | 0.000 | 0.000 | 0.000 | 0.000 |
| | | | Vz | -0.409 | -0.402 | -0.396 | -0.389 | -0.382 | -0.376 | -0.369 |
| | | | Mt | 0.000 | 0.000 | 0.000 | 0.000 | 0.000 | 0.000 | 0.000 |
| | | | My | -0.097 | -0.021 | 0.053 | 0.127 | 0.199 | 0.270 | 0.340 |
| | | | Mz | 0.000 | 0.000 | 0.000 | 0.000 | 0.000 | 0.000 | 0.000 |
| | | 0.8-PP+1.35-CM1+1.35-CM2+1.5-Q1 | N | 48.411 | 48.414 | 48.416 | 48.419 | 48.421 | 48.424 | 48.426 |
| | | | Vy | 0.000 | 0.000 | 0.000 | 0.000 | 0.000 | 0.000 | 0.000 |
| | | | Vz | -0.360 | -0.356 | -0.352 | -0.348 | -0.344 | -0.340 | -0.336 |
| | | | Mt | 0.000 | 0.000 | 0.000 | 0.000 | 0.000 | 0.000 | 0.000 |
| | | | My | -0.086 | -0.019 | 0.047 | 0.112 | 0.177 | 0.241 | 0.304 |
| | | | Mz | 0.000 | 0.000 | 0.000 | 0.000 | 0.000 | 0.000 | 0.000 |
| | | 1.35-PP+1.35-CM1+1.35-CM2+1.5-Q1 | N | 56.843 | 56.848 | 56.852 | 56.856 | 56.860 | 56.864 | 56.869 |
| | | | Vy | 0.000 | 0.000 | 0.000 | 0.000 | 0.000 | 0.000 | 0.000 |
| | | | Vz | -0.429 | -0.422 | -0.416 | -0.409 | -0.402 | -0.395 | -0.389 |
| | | | Mt | 0.000 | 0.000 | 0.000 | 0.000 | 0.000 | 0.000 | 0.000 |
| | | | My | -0.102 | -0.023 | 0.056 | 0.133 | 0.209 | 0.284 | 0.357 |
| | | | Mz | 0.000 | 0.000 | 0.000 | 0.000 | 0.000 | 0.000 | 0.000 |

| Esfuerzos en barras, por combinación | | | | | | | | | | |
|--------------------------------------|----------------|--------------------------|----------|------------------------|---------|---------|---------|---------|---------|---------|
| Barra | Combinación | | Esfuerzo | Posiciones en la barra | | | | | | |
| | Tipo | Descripción | | 0.000 m | 0.187 m | 0.375 m | 0.562 m | 0.749 m | 0.936 m | 1.124 m |
| N19/N12 | Acero laminado | 0.8-PP+0.8-CM1+0.8-CM2 | N | 16.969 | 16.972 | 16.974 | 16.977 | 16.979 | 16.982 | 16.984 |
| | | | Vy | 0.000 | 0.000 | 0.000 | 0.000 | 0.000 | 0.000 | 0.000 |
| | | | Vz | -0.068 | -0.064 | -0.060 | -0.056 | -0.052 | -0.048 | -0.044 |
| | | | Mt | 0.000 | 0.000 | 0.000 | 0.000 | 0.000 | 0.000 | 0.000 |
| | | | My | 0.047 | 0.060 | 0.071 | 0.082 | 0.092 | 0.101 | 0.110 |
| | | | Mz | 0.000 | 0.000 | 0.000 | 0.000 | 0.000 | 0.000 | 0.000 |
| | | 1.35-PP+0.8-CM1+0.8-CM2 | N | 23.958 | 23.962 | 23.966 | 23.971 | 23.975 | 23.979 | 23.983 |
| | | | Vy | 0.000 | 0.000 | 0.000 | 0.000 | 0.000 | 0.000 | 0.000 |
| | | | Vz | -0.099 | -0.093 | -0.086 | -0.079 | -0.072 | -0.066 | -0.059 |
| | | | Mt | 0.000 | 0.000 | 0.000 | 0.000 | 0.000 | 0.000 | 0.000 |
| | | | My | 0.066 | 0.084 | 0.101 | 0.117 | 0.131 | 0.144 | 0.155 |
| | | | Mz | 0.000 | 0.000 | 0.000 | 0.000 | 0.000 | 0.000 | 0.000 |
| | | 0.8-PP+1.35-CM1+0.8-CM2 | N | 19.308 | 19.311 | 19.313 | 19.316 | 19.318 | 19.321 | 19.323 |
| | | | Vy | 0.000 | 0.000 | 0.000 | 0.000 | 0.000 | 0.000 | 0.000 |
| | | | Vz | -0.075 | -0.071 | -0.067 | -0.063 | -0.059 | -0.055 | -0.051 |
| | | | Mt | 0.000 | 0.000 | 0.000 | 0.000 | 0.000 | 0.000 | 0.000 |
| | | | My | 0.054 | 0.068 | 0.081 | 0.093 | 0.104 | 0.115 | 0.125 |
| | | | Mz | 0.000 | 0.000 | 0.000 | 0.000 | 0.000 | 0.000 | 0.000 |
| | | 1.35-PP+1.35-CM1+0.8-CM2 | N | 26.297 | 26.301 | 26.305 | 26.309 | 26.314 | 26.318 | 26.322 |
| | | | Vy | 0.000 | 0.000 | 0.000 | 0.000 | 0.000 | 0.000 | 0.000 |
| | | | Vz | -0.107 | -0.100 | -0.093 | -0.087 | -0.080 | -0.073 | -0.066 |
| | | | Mt | 0.000 | 0.000 | 0.000 | 0.000 | 0.000 | 0.000 | 0.000 |
| | | | My | 0.073 | 0.093 | 0.111 | 0.127 | 0.143 | 0.157 | 0.170 |
| | | | Mz | 0.000 | 0.000 | 0.000 | 0.000 | 0.000 | 0.000 | 0.000 |
| | | 0.8-PP+0.8-CM1+1.35-CM2 | N | 19.308 | 19.311 | 19.313 | 19.316 | 19.318 | 19.321 | 19.323 |
| | | | Vy | 0.000 | 0.000 | 0.000 | 0.000 | 0.000 | 0.000 | 0.000 |
| | | | Vz | -0.075 | -0.071 | -0.067 | -0.063 | -0.059 | -0.055 | -0.051 |
| | | | Mt | 0.000 | 0.000 | 0.000 | 0.000 | 0.000 | 0.000 | 0.000 |
| | | | My | 0.054 | 0.068 | 0.081 | 0.093 | 0.104 | 0.115 | 0.125 |
| | | | Mz | 0.000 | 0.000 | 0.000 | 0.000 | 0.000 | 0.000 | 0.000 |
| | | 1.35-PP+0.8-CM1+1.35-CM2 | N | 26.297 | 26.301 | 26.305 | 26.309 | 26.314 | 26.318 | 26.322 |
| | | | Vy | 0.000 | 0.000 | 0.000 | 0.000 | 0.000 | 0.000 | 0.000 |
| | | | Vz | -0.107 | -0.100 | -0.093 | -0.087 | -0.080 | -0.073 | -0.066 |
| | | | Mt | 0.000 | 0.000 | 0.000 | 0.000 | 0.000 | 0.000 | 0.000 |
| | | | My | 0.073 | 0.093 | 0.111 | 0.127 | 0.143 | 0.157 | 0.170 |
| | | | Mz | 0.000 | 0.000 | 0.000 | 0.000 | 0.000 | 0.000 | 0.000 |



Listados

DESARROLLO DE PROYECTO EJECUTIVO DE REFORMA DE LA PISCINA DEL
COLEGIO PÁLCAM

Fecha: 28/03/18

| Esfuerzos en barras, por combinación | | | | | | | | | | |
|--------------------------------------|-------------|----------------------------------|----------|------------------------|---------|---------|---------|---------|---------|---------|
| Barra | Combinación | | Esfuerzo | Posiciones en la barra | | | | | | |
| | Tipo | Descripción | | 0.000 m | 0.187 m | 0.375 m | 0.562 m | 0.749 m | 0.936 m | 1.124 m |
| | | 0.8-PP+1.35-CM1+1.35-CM2 | N | 21.647 | 21.649 | 21.652 | 21.655 | 21.657 | 21.660 | 21.662 |
| | | | Vy | 0.000 | 0.000 | 0.000 | 0.000 | 0.000 | 0.000 | 0.000 |
| | | | Vz | -0.083 | -0.079 | -0.075 | -0.071 | -0.067 | -0.063 | -0.059 |
| | | | Mt | 0.000 | 0.000 | 0.000 | 0.000 | 0.000 | 0.000 | 0.000 |
| | | | My | 0.061 | 0.076 | 0.090 | 0.104 | 0.117 | 0.129 | 0.140 |
| | | | Mz | 0.000 | 0.000 | 0.000 | 0.000 | 0.000 | 0.000 | 0.000 |
| | | 1.35-PP+1.35-CM1+1.35-CM2 | N | 28.636 | 28.640 | 28.644 | 28.648 | 28.653 | 28.657 | 28.661 |
| | | | Vy | 0.000 | 0.000 | 0.000 | 0.000 | 0.000 | 0.000 | 0.000 |
| | | | Vz | -0.114 | -0.107 | -0.101 | -0.094 | -0.087 | -0.081 | -0.074 |
| | | | Mt | 0.000 | 0.000 | 0.000 | 0.000 | 0.000 | 0.000 | 0.000 |
| | | | My | 0.080 | 0.101 | 0.120 | 0.138 | 0.155 | 0.171 | 0.186 |
| | | | Mz | 0.000 | 0.000 | 0.000 | 0.000 | 0.000 | 0.000 | 0.000 |
| | | 0.8-PP+0.8-CM1+0.8-CM2+1.5-Q1 | N | 36.105 | 36.108 | 36.110 | 36.113 | 36.115 | 36.118 | 36.120 |
| | | | Vy | 0.000 | 0.000 | 0.000 | 0.000 | 0.000 | 0.000 | 0.000 |
| | | | Vz | -0.128 | -0.124 | -0.121 | -0.117 | -0.113 | -0.109 | -0.105 |
| | | | Mt | 0.000 | 0.000 | 0.000 | 0.000 | 0.000 | 0.000 | 0.000 |
| | | | My | 0.102 | 0.126 | 0.149 | 0.171 | 0.193 | 0.213 | 0.233 |
| | | | Mz | 0.000 | 0.000 | 0.000 | 0.000 | 0.000 | 0.000 | 0.000 |
| | | 1.35-PP+0.8-CM1+0.8-CM2+1.5-Q1 | N | 43.094 | 43.098 | 43.103 | 43.107 | 43.111 | 43.115 | 43.119 |
| | | | Vy | 0.000 | 0.000 | 0.000 | 0.000 | 0.000 | 0.000 | 0.000 |
| | | | Vz | -0.160 | -0.153 | -0.147 | -0.140 | -0.133 | -0.127 | -0.120 |
| | | | Mt | 0.000 | 0.000 | 0.000 | 0.000 | 0.000 | 0.000 | 0.000 |
| | | | My | 0.121 | 0.151 | 0.179 | 0.206 | 0.231 | 0.256 | 0.279 |
| | | | Mz | 0.000 | 0.000 | 0.000 | 0.000 | 0.000 | 0.000 | 0.000 |
| | | 0.8-PP+1.35-CM1+0.8-CM2+1.5-Q1 | N | 38.444 | 38.447 | 38.449 | 38.452 | 38.454 | 38.457 | 38.459 |
| | | | Vy | 0.000 | 0.000 | 0.000 | 0.000 | 0.000 | 0.000 | 0.000 |
| | | | Vz | -0.136 | -0.132 | -0.128 | -0.124 | -0.120 | -0.116 | -0.112 |
| | | | Mt | 0.000 | 0.000 | 0.000 | 0.000 | 0.000 | 0.000 | 0.000 |
| | | | My | 0.109 | 0.134 | 0.159 | 0.182 | 0.205 | 0.227 | 0.248 |
| | | | Mz | 0.000 | 0.000 | 0.000 | 0.000 | 0.000 | 0.000 | 0.000 |
| | | 1.35-PP+1.35-CM1+0.8-CM2+1.5-Q1 | N | 45.433 | 45.437 | 45.441 | 45.446 | 45.450 | 45.454 | 45.458 |
| | | | Vy | 0.000 | 0.000 | 0.000 | 0.000 | 0.000 | 0.000 | 0.000 |
| | | | Vz | -0.168 | -0.161 | -0.154 | -0.147 | -0.141 | -0.134 | -0.127 |
| | | | Mt | 0.000 | 0.000 | 0.000 | 0.000 | 0.000 | 0.000 | 0.000 |
| | | | My | 0.128 | 0.159 | 0.188 | 0.217 | 0.244 | 0.269 | 0.294 |
| | | | Mz | 0.000 | 0.000 | 0.000 | 0.000 | 0.000 | 0.000 | 0.000 |
| | | 0.8-PP+0.8-CM1+1.35-CM2+1.5-Q1 | N | 38.444 | 38.447 | 38.449 | 38.452 | 38.454 | 38.457 | 38.459 |
| | | | Vy | 0.000 | 0.000 | 0.000 | 0.000 | 0.000 | 0.000 | 0.000 |
| | | | Vz | -0.136 | -0.132 | -0.128 | -0.124 | -0.120 | -0.116 | -0.112 |
| | | | Mt | 0.000 | 0.000 | 0.000 | 0.000 | 0.000 | 0.000 | 0.000 |
| | | | My | 0.109 | 0.134 | 0.159 | 0.182 | 0.205 | 0.227 | 0.248 |
| | | | Mz | 0.000 | 0.000 | 0.000 | 0.000 | 0.000 | 0.000 | 0.000 |
| | | 1.35-PP+0.8-CM1+1.35-CM2+1.5-Q1 | N | 45.433 | 45.437 | 45.441 | 45.446 | 45.450 | 45.454 | 45.458 |
| | | | Vy | 0.000 | 0.000 | 0.000 | 0.000 | 0.000 | 0.000 | 0.000 |
| | | | Vz | -0.168 | -0.161 | -0.154 | -0.147 | -0.141 | -0.134 | -0.127 |
| | | | Mt | 0.000 | 0.000 | 0.000 | 0.000 | 0.000 | 0.000 | 0.000 |
| | | | My | 0.128 | 0.159 | 0.188 | 0.217 | 0.244 | 0.269 | 0.294 |
| | | | Mz | 0.000 | 0.000 | 0.000 | 0.000 | 0.000 | 0.000 | 0.000 |
| | | 0.8-PP+1.35-CM1+1.35-CM2+1.5-Q1 | N | 40.783 | 40.786 | 40.788 | 40.791 | 40.793 | 40.796 | 40.798 |
| | | | Vy | 0.000 | 0.000 | 0.000 | 0.000 | 0.000 | 0.000 | 0.000 |
| | | | Vz | -0.143 | -0.139 | -0.135 | -0.131 | -0.127 | -0.123 | -0.119 |
| | | | Mt | 0.000 | 0.000 | 0.000 | 0.000 | 0.000 | 0.000 | 0.000 |
| | | | My | 0.116 | 0.142 | 0.168 | 0.193 | 0.217 | 0.241 | 0.263 |
| | | | Mz | 0.000 | 0.000 | 0.000 | 0.000 | 0.000 | 0.000 | 0.000 |
| | | 1.35-PP+1.35-CM1+1.35-CM2+1.5-Q1 | N | 47.772 | 47.776 | 47.780 | 47.784 | 47.789 | 47.793 | 47.797 |
| | | | Vy | 0.000 | 0.000 | 0.000 | 0.000 | 0.000 | 0.000 | 0.000 |
| | | | Vz | -0.175 | -0.168 | -0.162 | -0.155 | -0.148 | -0.141 | -0.135 |
| | | | Mt | 0.000 | 0.000 | 0.000 | 0.000 | 0.000 | 0.000 | 0.000 |
| | | | My | 0.135 | 0.167 | 0.198 | 0.228 | 0.256 | 0.283 | 0.309 |
| | | | Mz | 0.000 | 0.000 | 0.000 | 0.000 | 0.000 | 0.000 | 0.000 |

| Esfuerzos en barras, por combinación | | | | | | | | | | |
|--------------------------------------|----------------|-------------------------|----------|------------------------|---------|---------|---------|---------|---------|---------|
| Barra | Combinación | | Esfuerzo | Posiciones en la barra | | | | | | |
| | Tipo | Descripción | | 0.000 m | 0.187 m | 0.375 m | 0.562 m | 0.749 m | 0.936 m | 1.124 m |
| N18/N11 | Acero laminado | 0.8-PP+0.8-CM1+0.8-CM2 | N | 7.815 | 7.817 | 7.820 | 7.822 | 7.825 | 7.827 | 7.830 |
| | | | Vy | 0.000 | 0.000 | 0.000 | 0.000 | 0.000 | 0.000 | 0.000 |
| | | | Vz | 0.051 | 0.055 | 0.059 | 0.063 | 0.067 | 0.071 | 0.075 |
| | | | Mt | 0.000 | 0.000 | 0.000 | 0.000 | 0.000 | 0.000 | 0.000 |
| | | | My | 0.160 | 0.150 | 0.139 | 0.128 | 0.116 | 0.103 | 0.089 |
| | | | Mz | 0.000 | 0.000 | 0.000 | 0.000 | 0.000 | 0.000 | 0.000 |
| | | 1.35-PP+0.8-CM1+0.8-CM2 | N | 10.992 | 10.997 | 11.001 | 11.005 | 11.009 | 11.014 | 11.018 |
| | | | Vy | 0.000 | 0.000 | 0.000 | 0.000 | 0.000 | 0.000 | 0.000 |
| | | | Vz | 0.000 | 0.000 | 0.000 | 0.000 | 0.000 | 0.000 | 0.000 |
| | | | Mt | 0.000 | 0.000 | 0.000 | 0.000 | 0.000 | 0.000 | 0.000 |



Listados

DESARROLLO DE PROYECTO EJECUTIVO DE REFORMA DE LA PISCINA DEL
COLEGIO PÁLCAM

Fecha: 28/03/18

| Esfuerzos en barras, por combinación | | | | | | | | | | |
|--------------------------------------|-------------|---------------------------------|----------|------------------------|---------|---------|---------|---------|---------|---------|
| Barra | Combinación | | Esfuerzo | Posiciones en la barra | | | | | | |
| | Tipo | Descripción | | 0.000 m | 0.187 m | 0.375 m | 0.562 m | 0.749 m | 0.936 m | 1.124 m |
| | | | Vy | 0.000 | 0.000 | 0.000 | 0.000 | 0.000 | 0.000 | 0.000 |
| | | | Vz | 0.068 | 0.075 | 0.081 | 0.088 | 0.095 | 0.102 | 0.108 |
| | | | Mt | 0.000 | 0.000 | 0.000 | 0.000 | 0.000 | 0.000 | 0.000 |
| | | | My | 0.225 | 0.212 | 0.197 | 0.181 | 0.164 | 0.146 | 0.126 |
| | | | Mz | 0.000 | 0.000 | 0.000 | 0.000 | 0.000 | 0.000 | 0.000 |
| | | 0.8-PP+1.35-CM1+0.8-CM2 | N | 8.912 | 8.915 | 8.917 | 8.920 | 8.922 | 8.925 | 8.927 |
| | | | Vy | 0.000 | 0.000 | 0.000 | 0.000 | 0.000 | 0.000 | 0.000 |
| | | | Vz | 0.059 | 0.063 | 0.067 | 0.071 | 0.075 | 0.079 | 0.083 |
| | | | Mt | 0.000 | 0.000 | 0.000 | 0.000 | 0.000 | 0.000 | 0.000 |
| | | | My | 0.182 | 0.170 | 0.158 | 0.145 | 0.131 | 0.117 | 0.102 |
| | | 1.35-PP+1.35-CM1+0.8-CM2 | N | 12.090 | 12.094 | 12.098 | 12.103 | 12.107 | 12.111 | 12.115 |
| | | | Vy | 0.000 | 0.000 | 0.000 | 0.000 | 0.000 | 0.000 | 0.000 |
| | | | Vz | 0.077 | 0.083 | 0.090 | 0.097 | 0.104 | 0.110 | 0.117 |
| | | | Mt | 0.000 | 0.000 | 0.000 | 0.000 | 0.000 | 0.000 | 0.000 |
| | | | My | 0.247 | 0.232 | 0.216 | 0.198 | 0.180 | 0.160 | 0.138 |
| | | 0.8-PP+0.8-CM1+1.35-CM2 | N | 8.912 | 8.915 | 8.917 | 8.920 | 8.922 | 8.925 | 8.927 |
| | | | Vy | 0.000 | 0.000 | 0.000 | 0.000 | 0.000 | 0.000 | 0.000 |
| | | | Vz | 0.059 | 0.063 | 0.067 | 0.071 | 0.075 | 0.079 | 0.083 |
| | | | Mt | 0.000 | 0.000 | 0.000 | 0.000 | 0.000 | 0.000 | 0.000 |
| | | | My | 0.182 | 0.170 | 0.158 | 0.145 | 0.131 | 0.117 | 0.102 |
| | | 1.35-PP+0.8-CM1+1.35-CM2 | N | 12.090 | 12.094 | 12.098 | 12.103 | 12.107 | 12.111 | 12.115 |
| | | | Vy | 0.000 | 0.000 | 0.000 | 0.000 | 0.000 | 0.000 | 0.000 |
| | | | Vz | 0.077 | 0.083 | 0.090 | 0.097 | 0.104 | 0.110 | 0.117 |
| | | | Mt | 0.000 | 0.000 | 0.000 | 0.000 | 0.000 | 0.000 | 0.000 |
| | | | My | 0.247 | 0.232 | 0.216 | 0.198 | 0.180 | 0.160 | 0.138 |
| | | 0.8-PP+1.35-CM1+1.35-CM2 | N | 10.009 | 10.012 | 10.014 | 10.017 | 10.019 | 10.022 | 10.025 |
| | | | Vy | 0.000 | 0.000 | 0.000 | 0.000 | 0.000 | 0.000 | 0.000 |
| | | | Vz | 0.068 | 0.072 | 0.076 | 0.080 | 0.084 | 0.088 | 0.092 |
| | | | Mt | 0.000 | 0.000 | 0.000 | 0.000 | 0.000 | 0.000 | 0.000 |
| | | | My | 0.204 | 0.191 | 0.177 | 0.163 | 0.147 | 0.131 | 0.114 |
| | | 1.35-PP+1.35-CM1+1.35-CM2 | N | 13.187 | 13.191 | 13.196 | 13.200 | 13.204 | 13.208 | 13.213 |
| | | | Vy | 0.000 | 0.000 | 0.000 | 0.000 | 0.000 | 0.000 | 0.000 |
| | | | Vz | 0.086 | 0.092 | 0.099 | 0.106 | 0.112 | 0.119 | 0.126 |
| | | | Mt | 0.000 | 0.000 | 0.000 | 0.000 | 0.000 | 0.000 | 0.000 |
| | | | My | 0.269 | 0.253 | 0.235 | 0.216 | 0.195 | 0.174 | 0.151 |
| | | 0.8-PP+0.8-CM1+0.8-CM2+1.5-Q1 | N | 16.793 | 16.796 | 16.798 | 16.801 | 16.803 | 16.806 | 16.808 |
| | | | Vy | 0.000 | 0.000 | 0.000 | 0.000 | 0.000 | 0.000 | 0.000 |
| | | | Vz | 0.122 | 0.126 | 0.130 | 0.134 | 0.138 | 0.142 | 0.146 |
| | | | Mt | 0.000 | 0.000 | 0.000 | 0.000 | 0.000 | 0.000 | 0.000 |
| | | | My | 0.342 | 0.318 | 0.294 | 0.270 | 0.244 | 0.218 | 0.191 |
| | | 1.35-PP+0.8-CM1+0.8-CM2+1.5-Q1 | N | 19.971 | 19.975 | 19.980 | 19.984 | 19.988 | 19.992 | 19.997 |
| | | | Vy | 0.000 | 0.000 | 0.000 | 0.000 | 0.000 | 0.000 | 0.000 |
| | | | Vz | 0.140 | 0.146 | 0.153 | 0.160 | 0.167 | 0.173 | 0.180 |
| | | | Mt | 0.000 | 0.000 | 0.000 | 0.000 | 0.000 | 0.000 | 0.000 |
| | | | My | 0.407 | 0.380 | 0.352 | 0.323 | 0.292 | 0.260 | 0.227 |
| | | 0.8-PP+1.35-CM1+0.8-CM2+1.5-Q1 | N | 17.891 | 17.893 | 17.896 | 17.898 | 17.901 | 17.903 | 17.906 |
| | | | Vy | 0.000 | 0.000 | 0.000 | 0.000 | 0.000 | 0.000 | 0.000 |
| | | | Vz | 0.131 | 0.135 | 0.139 | 0.143 | 0.147 | 0.151 | 0.155 |
| | | | Mt | 0.000 | 0.000 | 0.000 | 0.000 | 0.000 | 0.000 | 0.000 |
| | | | My | 0.364 | 0.339 | 0.313 | 0.287 | 0.260 | 0.232 | 0.203 |
| | | 1.35-PP+1.35-CM1+0.8-CM2+1.5-Q1 | N | 21.069 | 21.073 | 21.077 | 21.081 | 21.085 | 21.090 | 21.094 |
| | | | Vy | 0.000 | 0.000 | 0.000 | 0.000 | 0.000 | 0.000 | 0.000 |
| | | | Vz | 0.148 | 0.155 | 0.162 | 0.169 | 0.175 | 0.182 | 0.189 |
| | | | Mt | 0.000 | 0.000 | 0.000 | 0.000 | 0.000 | 0.000 | 0.000 |
| | | | My | 0.429 | 0.401 | 0.371 | 0.340 | 0.308 | 0.275 | 0.240 |
| | | 0.8-PP+0.8-CM1+1.35-CM2+1.5-Q1 | N | 17.891 | 17.893 | 17.896 | 17.898 | 17.901 | 17.903 | 17.906 |
| | | | Vy | 0.000 | 0.000 | 0.000 | 0.000 | 0.000 | 0.000 | 0.000 |
| | | | Vz | 0.131 | 0.135 | 0.139 | 0.143 | 0.147 | 0.151 | 0.155 |
| | | | Mt | 0.000 | 0.000 | 0.000 | 0.000 | 0.000 | 0.000 | 0.000 |
| | | | My | 0.364 | 0.339 | 0.313 | 0.287 | 0.260 | 0.232 | 0.203 |
| | | 1.35-PP+0.8-CM1+1.35-CM2+1.5-Q1 | N | 21.069 | 21.073 | 21.077 | 21.081 | 21.085 | 21.090 | 21.094 |



Listados

DESARROLLO DE PROYECTO EJECUTIVO DE REFORMA DE LA PISCINA DEL
COLEGIO PÁLCAM

Fecha: 28/03/18

| Esfuerzos en barras, por combinación | | | | | | | | | | |
|--------------------------------------|-------------|----------------------------------|----------|------------------------|---------|---------|---------|---------|---------|---------|
| Barra | Combinación | | Esfuerzo | Posiciones en la barra | | | | | | |
| | Tipo | Descripción | | 0.000 m | 0.187 m | 0.375 m | 0.562 m | 0.749 m | 0.936 m | 1.124 m |
| | | | Vy | 0.000 | 0.000 | 0.000 | 0.000 | 0.000 | 0.000 | 0.000 |
| | | | Vz | 0.148 | 0.155 | 0.162 | 0.169 | 0.175 | 0.182 | 0.189 |
| | | | Mt | 0.000 | 0.000 | 0.000 | 0.000 | 0.000 | 0.000 | 0.000 |
| | | | My | 0.429 | 0.401 | 0.371 | 0.340 | 0.308 | 0.275 | 0.240 |
| | | | Mz | 0.000 | 0.000 | 0.000 | 0.000 | 0.000 | 0.000 | 0.000 |
| | | | N | 18.988 | 18.991 | 18.993 | 18.996 | 18.998 | 19.001 | 19.003 |
| | | 0.8-PP+1.35-CM1+1.35-CM2+1.5-Q1 | Vy | 0.000 | 0.000 | 0.000 | 0.000 | 0.000 | 0.000 | 0.000 |
| | | | Vz | 0.140 | 0.144 | 0.148 | 0.152 | 0.156 | 0.160 | 0.164 |
| | | | Mt | 0.000 | 0.000 | 0.000 | 0.000 | 0.000 | 0.000 | 0.000 |
| | | | My | 0.386 | 0.360 | 0.332 | 0.304 | 0.275 | 0.246 | 0.216 |
| | | | Mz | 0.000 | 0.000 | 0.000 | 0.000 | 0.000 | 0.000 | 0.000 |
| | | | N | 22.166 | 22.170 | 22.174 | 22.179 | 22.183 | 22.187 | 22.191 |
| | | 1.35-PP+1.35-CM1+1.35-CM2+1.5-Q1 | Vy | 0.000 | 0.000 | 0.000 | 0.000 | 0.000 | 0.000 | 0.000 |
| | | | Vz | 0.157 | 0.164 | 0.171 | 0.177 | 0.184 | 0.191 | 0.197 |
| | | | Mt | 0.000 | 0.000 | 0.000 | 0.000 | 0.000 | 0.000 | 0.000 |
| | | | My | 0.451 | 0.421 | 0.390 | 0.357 | 0.324 | 0.289 | 0.252 |
| | | | Mz | 0.000 | 0.000 | 0.000 | 0.000 | 0.000 | 0.000 | 0.000 |

| Esfuerzos en barras, por combinación | | | | | | | | | |
|--------------------------------------|----------------|---------------------------|----------|------------------------|---------|---------|---------|---------|--|
| Barra | Combinación | | Esfuerzo | Posiciones en la barra | | | | | |
| | Tipo | Descripción | | 0.000 m | 0.238 m | 0.475 m | 0.713 m | 0.950 m | |
| N1/N5 | Acero laminado | 0.8-PP+0.8-CM1+0.8-CM2 | N | -42.003 | -42.003 | -42.003 | -42.003 | -42.003 | |
| | | | Vy | 0.000 | 0.000 | 0.000 | 0.000 | 0.000 | |
| | | | Vz | -3.716 | -3.683 | -3.651 | -3.618 | -3.585 | |
| | | | Mt | 0.000 | 0.000 | 0.000 | 0.000 | 0.000 | |
| | | | My | -2.193 | -1.315 | -0.444 | 0.419 | 1.275 | |
| | | | Mz | 0.000 | 0.000 | 0.000 | 0.000 | 0.000 | |
| | | 1.35-PP+0.8-CM1+0.8-CM2 | N | -59.581 | -59.581 | -59.581 | -59.581 | -59.581 | |
| | | | Vy | 0.000 | 0.000 | 0.000 | 0.000 | 0.000 | |
| | | | Vz | -5.321 | -5.266 | -5.211 | -5.156 | -5.101 | |
| | | | Mt | 0.000 | 0.000 | 0.000 | 0.000 | 0.000 | |
| | | | My | -3.115 | -1.858 | -0.614 | 0.617 | 1.835 | |
| | | | Mz | 0.000 | 0.000 | 0.000 | 0.000 | 0.000 | |
| | | 0.8-PP+1.35-CM1+0.8-CM2 | N | -47.653 | -47.653 | -47.653 | -47.653 | -47.653 | |
| | | | Vy | 0.000 | 0.000 | 0.000 | 0.000 | 0.000 | |
| | | | Vz | -4.190 | -4.158 | -4.125 | -4.093 | -4.060 | |
| | | | Mt | 0.000 | 0.000 | 0.000 | 0.000 | 0.000 | |
| | | | My | -2.486 | -1.495 | -0.511 | 0.465 | 1.433 | |
| | | | Mz | 0.000 | 0.000 | 0.000 | 0.000 | 0.000 | |
| | | 1.35-PP+1.35-CM1+0.8-CM2 | N | -65.231 | -65.231 | -65.231 | -65.231 | -65.231 | |
| | | | Vy | 0.000 | 0.000 | 0.000 | 0.000 | 0.000 | |
| | | | Vz | -5.795 | -5.740 | -5.686 | -5.631 | -5.576 | |
| | | | Mt | 0.000 | 0.000 | 0.000 | 0.000 | 0.000 | |
| | | | My | -3.408 | -2.038 | -0.681 | 0.662 | 1.993 | |
| | | | Mz | 0.000 | 0.000 | 0.000 | 0.000 | 0.000 | |
| | | 0.8-PP+0.8-CM1+1.35-CM2 | N | -47.653 | -47.653 | -47.653 | -47.653 | -47.653 | |
| | | | Vy | 0.000 | 0.000 | 0.000 | 0.000 | 0.000 | |
| | | | Vz | -4.190 | -4.158 | -4.125 | -4.093 | -4.060 | |
| | | | Mt | 0.000 | 0.000 | 0.000 | 0.000 | 0.000 | |
| | | | My | -2.486 | -1.495 | -0.511 | 0.465 | 1.433 | |
| | | | Mz | 0.000 | 0.000 | 0.000 | 0.000 | 0.000 | |
| | | 1.35-PP+0.8-CM1+1.35-CM2 | N | -65.231 | -65.231 | -65.231 | -65.231 | -65.231 | |
| | | | Vy | 0.000 | 0.000 | 0.000 | 0.000 | 0.000 | |
| | | | Vz | -5.795 | -5.740 | -5.686 | -5.631 | -5.576 | |
| | | | Mt | 0.000 | 0.000 | 0.000 | 0.000 | 0.000 | |
| | | | My | -3.408 | -2.038 | -0.681 | 0.662 | 1.993 | |
| | | | Mz | 0.000 | 0.000 | 0.000 | 0.000 | 0.000 | |
| | | 0.8-PP+1.35-CM1+1.35-CM2 | N | -53.303 | -53.303 | -53.303 | -53.303 | -53.303 | |
| | | | Vy | 0.000 | 0.000 | 0.000 | 0.000 | 0.000 | |
| | | | Vz | -4.665 | -4.632 | -4.600 | -4.567 | -4.535 | |
| | | | Mt | 0.000 | 0.000 | 0.000 | 0.000 | 0.000 | |
| | | | My | -2.779 | -1.675 | -0.578 | 0.510 | 1.591 | |
| | | | Mz | 0.000 | 0.000 | 0.000 | 0.000 | 0.000 | |
| | | 1.35-PP+1.35-CM1+1.35-CM2 | N | -70.880 | -70.880 | -70.880 | -70.880 | -70.880 | |



Listados

DESARROLLO DE PROYECTO EJECUTIVO DE REFORMA DE LA PISCINA DEL
COLEGIO PÁLCAM

Fecha: 28/03/18

| Esfuerzos en barras, por combinación | | | | | | | | |
|--------------------------------------|-------------|----------------------------------|----------|------------------------|----------|----------|----------|----------|
| Barra | Combinación | | Esfuerzo | Posiciones en la barra | | | | |
| | Tipo | Descripción | | 0.000 m | 0.238 m | 0.475 m | 0.713 m | 0.950 m |
| | | | Vy | 0.000 | 0.000 | 0.000 | 0.000 | 0.000 |
| | | | Vz | -6.270 | -6.215 | -6.160 | -6.105 | -6.051 |
| | | | Mt | 0.000 | 0.000 | 0.000 | 0.000 | 0.000 |
| | | | My | -3.701 | -2.218 | -0.749 | 0.708 | 2.151 |
| | | | Mz | 0.000 | 0.000 | 0.000 | 0.000 | 0.000 |
| | | 0.8·PP+0.8·CM1+0.8·CM2+1.5·Q1 | N | -88.229 | -88.229 | -88.229 | -88.229 | -88.229 |
| | | | Vy | 0.000 | 0.000 | 0.000 | 0.000 | 0.000 |
| | | | Vz | -7.599 | -7.567 | -7.534 | -7.502 | -7.469 |
| | | | Mt | 0.000 | 0.000 | 0.000 | 0.000 | 0.000 |
| | | | My | -4.589 | -2.788 | -0.995 | 0.791 | 2.568 |
| | | | Mz | 0.000 | 0.000 | 0.000 | 0.000 | 0.000 |
| | | 1.35·PP+0.8·CM1+0.8·CM2+1.5·Q1 | N | -105.807 | -105.807 | -105.807 | -105.807 | -105.807 |
| | | | Vy | 0.000 | 0.000 | 0.000 | 0.000 | 0.000 |
| | | | Vz | -9.204 | -9.149 | -9.095 | -9.040 | -8.985 |
| | | | Mt | 0.000 | 0.000 | 0.000 | 0.000 | 0.000 |
| | | | My | -5.511 | -3.332 | -1.165 | 0.988 | 3.129 |
| | | | Mz | 0.000 | 0.000 | 0.000 | 0.000 | 0.000 |
| | | 0.8·PP+1.35·CM1+0.8·CM2+1.5·Q1 | N | -93.879 | -93.879 | -93.879 | -93.879 | -93.879 |
| | | | Vy | 0.000 | 0.000 | 0.000 | 0.000 | 0.000 |
| | | | Vz | -8.074 | -8.041 | -8.009 | -7.976 | -7.944 |
| | | | Mt | 0.000 | 0.000 | 0.000 | 0.000 | 0.000 |
| | | | My | -4.882 | -2.968 | -1.062 | 0.836 | 2.727 |
| | | | Mz | 0.000 | 0.000 | 0.000 | 0.000 | 0.000 |
| | | 1.35·PP+1.35·CM1+0.8·CM2+1.5·Q1 | N | -111.457 | -111.457 | -111.457 | -111.457 | -111.457 |
| | | | Vy | 0.000 | 0.000 | 0.000 | 0.000 | 0.000 |
| | | | Vz | -9.679 | -9.624 | -9.569 | -9.514 | -9.459 |
| | | | Mt | 0.000 | 0.000 | 0.000 | 0.000 | 0.000 |
| | | | My | -5.804 | -3.512 | -1.232 | 1.034 | 3.287 |
| | | | Mz | 0.000 | 0.000 | 0.000 | 0.000 | 0.000 |
| | | 0.8·PP+0.8·CM1+1.35·CM2+1.5·Q1 | N | -93.879 | -93.879 | -93.879 | -93.879 | -93.879 |
| | | | Vy | 0.000 | 0.000 | 0.000 | 0.000 | 0.000 |
| | | | Vz | -8.074 | -8.041 | -8.009 | -7.976 | -7.944 |
| | | | Mt | 0.000 | 0.000 | 0.000 | 0.000 | 0.000 |
| | | | My | -4.882 | -2.968 | -1.062 | 0.836 | 2.727 |
| | | | Mz | 0.000 | 0.000 | 0.000 | 0.000 | 0.000 |
| | | 1.35·PP+0.8·CM1+1.35·CM2+1.5·Q1 | N | -111.457 | -111.457 | -111.457 | -111.457 | -111.457 |
| | | | Vy | 0.000 | 0.000 | 0.000 | 0.000 | 0.000 |
| | | | Vz | -9.679 | -9.624 | -9.569 | -9.514 | -9.459 |
| | | | Mt | 0.000 | 0.000 | 0.000 | 0.000 | 0.000 |
| | | | My | -5.804 | -3.512 | -1.232 | 1.034 | 3.287 |
| | | | Mz | 0.000 | 0.000 | 0.000 | 0.000 | 0.000 |
| | | 0.8·PP+1.35·CM1+1.35·CM2+1.5·Q1 | N | -99.529 | -99.529 | -99.529 | -99.529 | -99.529 |
| | | | Vy | 0.000 | 0.000 | 0.000 | 0.000 | 0.000 |
| | | | Vz | -8.548 | -8.516 | -8.483 | -8.451 | -8.418 |
| | | | Mt | 0.000 | 0.000 | 0.000 | 0.000 | 0.000 |
| | | | My | -5.175 | -3.148 | -1.129 | 0.881 | 2.885 |
| | | | Mz | 0.000 | 0.000 | 0.000 | 0.000 | 0.000 |
| | | 1.35·PP+1.35·CM1+1.35·CM2+1.5·Q1 | N | -117.107 | -117.107 | -117.107 | -117.107 | -117.107 |
| | | | Vy | 0.000 | 0.000 | 0.000 | 0.000 | 0.000 |
| | | | Vz | -10.154 | -10.099 | -10.044 | -9.989 | -9.934 |
| | | | Mt | 0.000 | 0.000 | 0.000 | 0.000 | 0.000 |
| | | | My | -6.097 | -3.692 | -1.300 | 1.079 | 3.445 |
| | | | Mz | 0.000 | 0.000 | 0.000 | 0.000 | 0.000 |

| Esfuerzos en barras, por combinación | | | | | | | | |
|--------------------------------------|----------------|------------------------|----------|------------------------|---------|---------|---------|---------|
| Barra | Combinación | | Esfuerzo | Posiciones en la barra | | | | |
| | Tipo | Descripción | | 0.000 m | 0.237 m | 0.475 m | 0.712 m | 0.950 m |
| N5/N15 | Acero laminado | 0.8·PP+0.8·CM1+0.8·CM2 | N | -19.281 | -19.281 | -19.281 | -19.281 | -19.281 |
| | | | Vy | 0.000 | 0.000 | 0.000 | 0.000 | 0.000 |
| | | | Vz | -4.373 | -4.341 | -4.308 | -4.276 | -4.243 |
| | | | Mt | 0.000 | 0.000 | 0.000 | 0.000 | 0.000 |



Listados

DESARROLLO DE PROYECTO EJECUTIVO DE REFORMA DE LA PISCINA DEL
COLEGIO PÁLCAM

Fecha: 28/03/18

| Esfuerzos en barras, por combinación | | | | | | | | |
|--------------------------------------|-------------|--------------------------------|----------|------------------------|---------|---------|---------|---------|
| Barra | Combinación | | Esfuerzo | Posiciones en la barra | | | | |
| | Tipo | Descripción | | 0.000 m | 0.237 m | 0.475 m | 0.712 m | 0.950 m |
| | | | My | 0.319 | 1.354 | 2.381 | 3.400 | 4.412 |
| | | | Mz | 0.000 | 0.000 | 0.000 | 0.000 | 0.000 |
| | | 1.35·PP+0.8·CM1+0.8·CM2 | N | -27.295 | -27.295 | -27.295 | -27.295 | -27.295 |
| | | | Vy | 0.000 | 0.000 | 0.000 | 0.000 | 0.000 |
| | | | Vz | -6.228 | -6.173 | -6.118 | -6.064 | -6.009 |
| | | | Mt | 0.000 | 0.000 | 0.000 | 0.000 | 0.000 |
| | | | My | 0.478 | 1.950 | 3.410 | 4.857 | 6.290 |
| | | | Mz | 0.000 | 0.000 | 0.000 | 0.000 | 0.000 |
| | | 0.8·PP+1.35·CM1+0.8·CM2 | N | -21.901 | -21.901 | -21.901 | -21.901 | -21.901 |
| | | | Vy | 0.000 | 0.000 | 0.000 | 0.000 | 0.000 |
| | | | Vz | -4.949 | -4.917 | -4.884 | -4.852 | -4.819 |
| | | | Mt | 0.000 | 0.000 | 0.000 | 0.000 | 0.000 |
| | | | My | 0.349 | 1.521 | 2.684 | 3.841 | 4.989 |
| | | | Mz | 0.000 | 0.000 | 0.000 | 0.000 | 0.000 |
| | | 1.35·PP+1.35·CM1+0.8·CM2 | N | -29.916 | -29.916 | -29.916 | -29.916 | -29.916 |
| | | | Vy | 0.000 | 0.000 | 0.000 | 0.000 | 0.000 |
| | | | Vz | -6.804 | -6.749 | -6.694 | -6.640 | -6.585 |
| | | | Mt | 0.000 | 0.000 | 0.000 | 0.000 | 0.000 |
| | | | My | 0.508 | 2.117 | 3.714 | 5.297 | 6.868 |
| | | | Mz | 0.000 | 0.000 | 0.000 | 0.000 | 0.000 |
| | | 0.8·PP+0.8·CM1+1.35·CM2 | N | -21.901 | -21.901 | -21.901 | -21.901 | -21.901 |
| | | | Vy | 0.000 | 0.000 | 0.000 | 0.000 | 0.000 |
| | | | Vz | -4.949 | -4.917 | -4.884 | -4.852 | -4.819 |
| | | | Mt | 0.000 | 0.000 | 0.000 | 0.000 | 0.000 |
| | | | My | 0.349 | 1.521 | 2.684 | 3.841 | 4.989 |
| | | | Mz | 0.000 | 0.000 | 0.000 | 0.000 | 0.000 |
| | | 1.35·PP+0.8·CM1+1.35·CM2 | N | -29.916 | -29.916 | -29.916 | -29.916 | -29.916 |
| | | | Vy | 0.000 | 0.000 | 0.000 | 0.000 | 0.000 |
| | | | Vz | -6.804 | -6.749 | -6.694 | -6.640 | -6.585 |
| | | | Mt | 0.000 | 0.000 | 0.000 | 0.000 | 0.000 |
| | | | My | 0.508 | 2.117 | 3.714 | 5.297 | 6.868 |
| | | | Mz | 0.000 | 0.000 | 0.000 | 0.000 | 0.000 |
| | | 0.8·PP+1.35·CM1+1.35·CM2 | N | -24.522 | -24.522 | -24.522 | -24.522 | -24.522 |
| | | | Vy | 0.000 | 0.000 | 0.000 | 0.000 | 0.000 |
| | | | Vz | -5.525 | -5.493 | -5.460 | -5.428 | -5.395 |
| | | | Mt | 0.000 | 0.000 | 0.000 | 0.000 | 0.000 |
| | | | My | 0.379 | 1.687 | 2.988 | 4.281 | 5.566 |
| | | | Mz | 0.000 | 0.000 | 0.000 | 0.000 | 0.000 |
| | | 1.35·PP+1.35·CM1+1.35·CM2 | N | -32.536 | -32.536 | -32.536 | -32.536 | -32.536 |
| | | | Vy | 0.000 | 0.000 | 0.000 | 0.000 | 0.000 |
| | | | Vz | -7.380 | -7.325 | -7.270 | -7.215 | -7.161 |
| | | | Mt | 0.000 | 0.000 | 0.000 | 0.000 | 0.000 |
| | | | My | 0.538 | 2.284 | 4.017 | 5.738 | 7.445 |
| | | | Mz | 0.000 | 0.000 | 0.000 | 0.000 | 0.000 |
| | | 0.8·PP+0.8·CM1+0.8·CM2+1.5·Q1 | N | -40.720 | -40.720 | -40.720 | -40.720 | -40.720 |
| | | | Vy | 0.000 | 0.000 | 0.000 | 0.000 | 0.000 |
| | | | Vz | -9.086 | -9.053 | -9.021 | -8.988 | -8.956 |
| | | | Mt | 0.000 | 0.000 | 0.000 | 0.000 | 0.000 |
| | | | My | 0.565 | 2.719 | 4.866 | 7.004 | 9.135 |
| | | | Mz | 0.000 | 0.000 | 0.000 | 0.000 | 0.000 |
| | | 1.35·PP+0.8·CM1+0.8·CM2+1.5·Q1 | N | -48.735 | -48.735 | -48.735 | -48.735 | -48.735 |
| | | | Vy | 0.000 | 0.000 | 0.000 | 0.000 | 0.000 |
| | | | Vz | -10.941 | -10.886 | -10.831 | -10.776 | -10.721 |
| | | | Mt | 0.000 | 0.000 | 0.000 | 0.000 | 0.000 |
| | | | My | 0.724 | 3.316 | 5.895 | 8.461 | 11.013 |
| | | | Mz | 0.000 | 0.000 | 0.000 | 0.000 | 0.000 |
| | | 0.8·PP+1.35·CM1+0.8·CM2+1.5·Q1 | N | -43.341 | -43.341 | -43.341 | -43.341 | -43.341 |
| | | | Vy | 0.000 | 0.000 | 0.000 | 0.000 | 0.000 |
| | | | Vz | -9.662 | -9.629 | -9.597 | -9.564 | -9.532 |
| | | | Mt | 0.000 | 0.000 | 0.000 | 0.000 | 0.000 |



Listados

DESARROLLO DE PROYECTO EJECUTIVO DE REFORMA DE LA PISCINA DEL
COLEGIO PÁLCAM

Fecha: 28/03/18

| Esfuerzos en barras, por combinación | | | | | | | | |
|--------------------------------------|-------------|----------------------------------|----------|------------------------|---------|---------|---------|---------|
| Barra | Combinación | | Esfuerzo | Posiciones en la barra | | | | |
| | Tipo | Descripción | | 0.000 m | 0.237 m | 0.475 m | 0.712 m | 0.950 m |
| | | | My | 0.595 | 2.886 | 5.169 | 7.445 | 9.712 |
| | | | Mz | 0.000 | 0.000 | 0.000 | 0.000 | 0.000 |
| | | 1.35·PP+1.35·CM1+0.8·CM2+1.5·Q1 | N | -51.356 | -51.356 | -51.356 | -51.356 | -51.356 |
| | | | Vy | 0.000 | 0.000 | 0.000 | 0.000 | 0.000 |
| | | | Vz | -11.517 | -11.462 | -11.407 | -11.352 | -11.297 |
| | | | Mt | 0.000 | 0.000 | 0.000 | 0.000 | 0.000 |
| | | | My | 0.754 | 3.483 | 6.199 | 8.901 | 11.591 |
| | | | Mz | 0.000 | 0.000 | 0.000 | 0.000 | 0.000 |
| | | 0.8·PP+0.8·CM1+1.35·CM2+1.5·Q1 | N | -43.341 | -43.341 | -43.341 | -43.341 | -43.341 |
| | | | Vy | 0.000 | 0.000 | 0.000 | 0.000 | 0.000 |
| | | | Vz | -9.662 | -9.629 | -9.597 | -9.564 | -9.532 |
| | | | Mt | 0.000 | 0.000 | 0.000 | 0.000 | 0.000 |
| | | | My | 0.595 | 2.886 | 5.169 | 7.445 | 9.712 |
| | | | Mz | 0.000 | 0.000 | 0.000 | 0.000 | 0.000 |
| | | 1.35·PP+0.8·CM1+1.35·CM2+1.5·Q1 | N | -51.356 | -51.356 | -51.356 | -51.356 | -51.356 |
| | | | Vy | 0.000 | 0.000 | 0.000 | 0.000 | 0.000 |
| | | | Vz | -11.517 | -11.462 | -11.407 | -11.352 | -11.297 |
| | | | Mt | 0.000 | 0.000 | 0.000 | 0.000 | 0.000 |
| | | | My | 0.754 | 3.483 | 6.199 | 8.901 | 11.591 |
| | | | Mz | 0.000 | 0.000 | 0.000 | 0.000 | 0.000 |
| | | 0.8·PP+1.35·CM1+1.35·CM2+1.5·Q1 | N | -45.961 | -45.961 | -45.961 | -45.961 | -45.961 |
| | | | Vy | 0.000 | 0.000 | 0.000 | 0.000 | 0.000 |
| | | | Vz | -10.238 | -10.205 | -10.173 | -10.140 | -10.108 |
| | | | Mt | 0.000 | 0.000 | 0.000 | 0.000 | 0.000 |
| | | | My | 0.626 | 3.053 | 5.473 | 7.885 | 10.290 |
| | | | Mz | 0.000 | 0.000 | 0.000 | 0.000 | 0.000 |
| | | 1.35·PP+1.35·CM1+1.35·CM2+1.5·Q1 | N | -53.976 | -53.976 | -53.976 | -53.976 | -53.976 |
| | | | Vy | 0.000 | 0.000 | 0.000 | 0.000 | 0.000 |
| | | | Vz | -12.092 | -12.038 | -11.983 | -11.928 | -11.873 |
| | | | Mt | 0.000 | 0.000 | 0.000 | 0.000 | 0.000 |
| | | | My | 0.784 | 3.650 | 6.502 | 9.342 | 12.168 |
| | | | Mz | 0.000 | 0.000 | 0.000 | 0.000 | 0.000 |

| Esfuerzos en barras, por combinación | | | | | | | | |
|--------------------------------------|----------------|--------------------------|----------|------------------------|---------|---------|---------|---------|
| Barra | Combinación | | Esfuerzo | Posiciones en la barra | | | | |
| | Tipo | Descripción | | 0.000 m | 0.238 m | 0.475 m | 0.713 m | 0.950 m |
| N15/N16 | Acero laminado | 0.8·PP+0.8·CM1+0.8·CM2 | N | 2.028 | 2.028 | 2.028 | 2.028 | 2.028 |
| | | | Vy | 0.000 | 0.000 | 0.000 | 0.000 | 0.000 |
| | | | Vz | -4.635 | -4.603 | -4.570 | -4.538 | -4.505 |
| | | | Mt | 0.000 | 0.000 | 0.000 | 0.000 | 0.000 |
| | | | My | 3.525 | 4.622 | 5.712 | 6.793 | 7.867 |
| | | | Mz | 0.000 | 0.000 | 0.000 | 0.000 | 0.000 |
| | | 1.35·PP+0.8·CM1+0.8·CM2 | N | 2.932 | 2.932 | 2.932 | 2.932 | 2.932 |
| | | | Vy | 0.000 | 0.000 | 0.000 | 0.000 | 0.000 |
| | | | Vz | -6.575 | -6.521 | -6.466 | -6.411 | -6.356 |
| | | | Mt | 0.000 | 0.000 | 0.000 | 0.000 | 0.000 |
| | | | My | 5.033 | 6.589 | 8.131 | 9.660 | 11.176 |
| | | | Mz | 0.000 | 0.000 | 0.000 | 0.000 | 0.000 |
| | | 0.8·PP+1.35·CM1+0.8·CM2 | N | 2.273 | 2.273 | 2.273 | 2.273 | 2.273 |
| | | | Vy | 0.000 | 0.000 | 0.000 | 0.000 | 0.000 |
| | | | Vz | -5.259 | -5.226 | -5.194 | -5.161 | -5.129 |
| | | | Mt | 0.000 | 0.000 | 0.000 | 0.000 | 0.000 |
| | | | My | 3.983 | 5.228 | 6.466 | 7.695 | 8.917 |
| | | | Mz | 0.000 | 0.000 | 0.000 | 0.000 | 0.000 |
| | | 1.35·PP+1.35·CM1+0.8·CM2 | N | 3.177 | 3.177 | 3.177 | 3.177 | 3.177 |
| | | | Vy | 0.000 | 0.000 | 0.000 | 0.000 | 0.000 |
| | | | Vz | -7.199 | -7.144 | -7.089 | -7.034 | -6.979 |
| | | | Mt | 0.000 | 0.000 | 0.000 | 0.000 | 0.000 |
| | | | My | 5.491 | 7.194 | 8.885 | 10.562 | 12.226 |



Listados

DESARROLLO DE PROYECTO EJECUTIVO DE REFORMA DE LA PISCINA DEL
COLEGIO PÁLCAM

Fecha: 28/03/18

| Esfuerzos en barras, por combinación | | | | | | | | |
|--------------------------------------|-------------|---------------------------------|----------|------------------------|---------|---------|---------|---------|
| Barra | Combinación | | Esfuerzo | Posiciones en la barra | | | | |
| | Tipo | Descripción | | 0.000 m | 0.238 m | 0.475 m | 0.713 m | 0.950 m |
| | | 0.8-PP+0.8-CM1+1.35-CM2 | Mz | 0.000 | 0.000 | 0.000 | 0.000 | 0.000 |
| | | | N | 2.273 | 2.273 | 2.273 | 2.273 | 2.273 |
| | | | Vy | 0.000 | 0.000 | 0.000 | 0.000 | 0.000 |
| | | | Vz | -5.259 | -5.226 | -5.194 | -5.161 | -5.129 |
| | | | Mt | 0.000 | 0.000 | 0.000 | 0.000 | 0.000 |
| | | | My | 3.983 | 5.228 | 6.466 | 7.695 | 8.917 |
| | | | Mz | 0.000 | 0.000 | 0.000 | 0.000 | 0.000 |
| | | 1.35-PP+0.8-CM1+1.35-CM2 | N | 3.177 | 3.177 | 3.177 | 3.177 | 3.177 |
| | | | Vy | 0.000 | 0.000 | 0.000 | 0.000 | 0.000 |
| | | | Vz | -7.199 | -7.144 | -7.089 | -7.034 | -6.979 |
| | | | Mt | 0.000 | 0.000 | 0.000 | 0.000 | 0.000 |
| | | | My | 5.491 | 7.194 | 8.885 | 10.562 | 12.226 |
| | | | Mz | 0.000 | 0.000 | 0.000 | 0.000 | 0.000 |
| | | 0.8-PP+1.35-CM1+1.35-CM2 | N | 2.518 | 2.518 | 2.518 | 2.518 | 2.518 |
| | | | Vy | 0.000 | 0.000 | 0.000 | 0.000 | 0.000 |
| | | | Vz | -5.882 | -5.850 | -5.817 | -5.785 | -5.752 |
| | | | Mt | 0.000 | 0.000 | 0.000 | 0.000 | 0.000 |
| | | | My | 4.441 | 5.834 | 7.220 | 8.597 | 9.967 |
| | | | Mz | 0.000 | 0.000 | 0.000 | 0.000 | 0.000 |
| | | 1.35-PP+1.35-CM1+1.35-CM2 | N | 3.422 | 3.422 | 3.422 | 3.422 | 3.422 |
| | | | Vy | 0.000 | 0.000 | 0.000 | 0.000 | 0.000 |
| | | | Vz | -7.822 | -7.767 | -7.713 | -7.658 | -7.603 |
| | | | Mt | 0.000 | 0.000 | 0.000 | 0.000 | 0.000 |
| | | | My | 5.949 | 7.800 | 9.639 | 11.464 | 13.276 |
| | | | Mz | 0.000 | 0.000 | 0.000 | 0.000 | 0.000 |
| | | 0.8-PP+0.8-CM1+0.8-CM2+1.5-Q1 | N | 4.032 | 4.032 | 4.032 | 4.032 | 4.032 |
| | | | Vy | 0.000 | 0.000 | 0.000 | 0.000 | 0.000 |
| | | | Vz | -9.737 | -9.704 | -9.672 | -9.639 | -9.607 |
| | | | Mt | 0.000 | 0.000 | 0.000 | 0.000 | 0.000 |
| | | | My | 7.271 | 9.579 | 11.880 | 14.173 | 16.459 |
| | | | Mz | 0.000 | 0.000 | 0.000 | 0.000 | 0.000 |
| | | 1.35-PP+0.8-CM1+0.8-CM2+1.5-Q1 | N | 4.936 | 4.936 | 4.936 | 4.936 | 4.936 |
| | | | Vy | 0.000 | 0.000 | 0.000 | 0.000 | 0.000 |
| | | | Vz | -11.677 | -11.622 | -11.567 | -11.512 | -11.457 |
| | | | Mt | 0.000 | 0.000 | 0.000 | 0.000 | 0.000 |
| | | | My | 8.779 | 11.546 | 14.299 | 17.040 | 19.767 |
| | | | Mz | 0.000 | 0.000 | 0.000 | 0.000 | 0.000 |
| | | 0.8-PP+1.35-CM1+0.8-CM2+1.5-Q1 | N | 4.277 | 4.277 | 4.277 | 4.277 | 4.277 |
| | | | Vy | 0.000 | 0.000 | 0.000 | 0.000 | 0.000 |
| | | | Vz | -10.360 | -10.328 | -10.295 | -10.263 | -10.230 |
| | | | Mt | 0.000 | 0.000 | 0.000 | 0.000 | 0.000 |
| | | | My | 7.729 | 10.185 | 12.634 | 15.075 | 17.509 |
| | | | Mz | 0.000 | 0.000 | 0.000 | 0.000 | 0.000 |
| | | 1.35-PP+1.35-CM1+0.8-CM2+1.5-Q1 | N | 5.181 | 5.181 | 5.181 | 5.181 | 5.181 |
| | | | Vy | 0.000 | 0.000 | 0.000 | 0.000 | 0.000 |
| | | | Vz | -12.300 | -12.245 | -12.190 | -12.136 | -12.081 |
| | | | Mt | 0.000 | 0.000 | 0.000 | 0.000 | 0.000 |
| | | | My | 9.237 | 12.151 | 15.053 | 17.942 | 20.818 |
| | | | Mz | 0.000 | 0.000 | 0.000 | 0.000 | 0.000 |
| | | 0.8-PP+0.8-CM1+1.35-CM2+1.5-Q1 | N | 4.277 | 4.277 | 4.277 | 4.277 | 4.277 |
| | | | Vy | 0.000 | 0.000 | 0.000 | 0.000 | 0.000 |
| | | | Vz | -10.360 | -10.328 | -10.295 | -10.263 | -10.230 |
| | | | Mt | 0.000 | 0.000 | 0.000 | 0.000 | 0.000 |
| | | | My | 7.729 | 10.185 | 12.634 | 15.075 | 17.509 |
| | | | Mz | 0.000 | 0.000 | 0.000 | 0.000 | 0.000 |
| | | 1.35-PP+0.8-CM1+1.35-CM2+1.5-Q1 | N | 5.181 | 5.181 | 5.181 | 5.181 | 5.181 |
| | | | Vy | 0.000 | 0.000 | 0.000 | 0.000 | 0.000 |
| | | | Vz | -12.300 | -12.245 | -12.190 | -12.136 | -12.081 |
| | | | Mt | 0.000 | 0.000 | 0.000 | 0.000 | 0.000 |
| | | | My | 9.237 | 12.151 | 15.053 | 17.942 | 20.818 |
| | | | Mz | 0.000 | 0.000 | 0.000 | 0.000 | 0.000 |



Listados

DESARROLLO DE PROYECTO EJECUTIVO DE REFORMA DE LA PISCINA DEL
COLEGIO PÁLCAM

Fecha: 28/03/18

| Esfuerzos en barras, por combinación | | | | | | | | |
|--------------------------------------|-------------|----------------------------------|----------|------------------------|---------|---------|---------|---------|
| Barra | Combinación | | Esfuerzo | Posiciones en la barra | | | | |
| | Tipo | Descripción | | 0.000 m | 0.238 m | 0.475 m | 0.713 m | 0.950 m |
| | | 0.8-PP+1.35-CM1+1.35-CM2+1.5-Q1 | Mz | 0.000 | 0.000 | 0.000 | 0.000 | 0.000 |
| | | | N | 4.522 | 4.522 | 4.522 | 4.522 | 4.522 |
| | | | Vy | 0.000 | 0.000 | 0.000 | 0.000 | 0.000 |
| | | | Vz | -10.984 | -10.951 | -10.919 | -10.886 | -10.854 |
| | | | Mt | 0.000 | 0.000 | 0.000 | 0.000 | 0.000 |
| | | | My | 8.186 | 10.791 | 13.388 | 15.977 | 18.559 |
| | | | Mz | 0.000 | 0.000 | 0.000 | 0.000 | 0.000 |
| | | 1.35-PP+1.35-CM1+1.35-CM2+1.5-Q1 | N | 5.426 | 5.426 | 5.426 | 5.426 | 5.426 |
| | | | Vy | 0.000 | 0.000 | 0.000 | 0.000 | 0.000 |
| | | | Vz | -12.924 | -12.869 | -12.814 | -12.759 | -12.704 |
| | | | Mt | 0.000 | 0.000 | 0.000 | 0.000 | 0.000 |
| | | | My | 9.694 | 12.757 | 15.807 | 18.844 | 21.868 |
| | | | Mz | 0.000 | 0.000 | 0.000 | 0.000 | 0.000 |

| Esfuerzos en barras, por combinación | | | | | | | | |
|--------------------------------------|----------------|--------------------------|----------|------------------------|---------|---------|---------|---------|
| Barra | Combinación | | Esfuerzo | Posiciones en la barra | | | | |
| | Tipo | Descripción | | 0.000 m | 0.238 m | 0.475 m | 0.713 m | 0.950 m |
| N16/N17 | Acero laminado | 0.8-PP+0.8-CM1+0.8-CM2 | N | 21.628 | 21.628 | 21.628 | 21.628 | 21.628 |
| | | | Vy | 0.000 | 0.000 | 0.000 | 0.000 | 0.000 |
| | | | Vz | -5.536 | -5.503 | -5.471 | -5.438 | -5.406 |
| | | | Mt | 0.000 | 0.000 | 0.000 | 0.000 | 0.000 |
| | | | My | 7.129 | 8.440 | 9.743 | 11.038 | 12.326 |
| | | | Mz | 0.000 | 0.000 | 0.000 | 0.000 | 0.000 |
| | | 1.35-PP+0.8-CM1+0.8-CM2 | N | 30.675 | 30.675 | 30.675 | 30.675 | 30.675 |
| | | | Vy | 0.000 | 0.000 | 0.000 | 0.000 | 0.000 |
| | | | Vz | -7.823 | -7.768 | -7.713 | -7.658 | -7.603 |
| | | | Mt | 0.000 | 0.000 | 0.000 | 0.000 | 0.000 |
| | | | My | 10.131 | 11.982 | 13.820 | 15.646 | 17.458 |
| | | | Mz | 0.000 | 0.000 | 0.000 | 0.000 | 0.000 |
| | | 0.8-PP+1.35-CM1+0.8-CM2 | N | 24.539 | 24.539 | 24.539 | 24.539 | 24.539 |
| | | | Vy | 0.000 | 0.000 | 0.000 | 0.000 | 0.000 |
| | | | Vz | -6.295 | -6.263 | -6.230 | -6.198 | -6.165 |
| | | | Mt | 0.000 | 0.000 | 0.000 | 0.000 | 0.000 |
| | | | My | 8.079 | 9.570 | 11.053 | 12.529 | 13.997 |
| | | | Mz | 0.000 | 0.000 | 0.000 | 0.000 | 0.000 |
| | | 1.35-PP+1.35-CM1+0.8-CM2 | N | 33.586 | 33.586 | 33.586 | 33.586 | 33.586 |
| | | | Vy | 0.000 | 0.000 | 0.000 | 0.000 | 0.000 |
| | | | Vz | -8.582 | -8.527 | -8.473 | -8.418 | -8.363 |
| | | | Mt | 0.000 | 0.000 | 0.000 | 0.000 | 0.000 |
| | | | My | 11.080 | 13.112 | 15.131 | 17.137 | 19.129 |
| | | | Mz | 0.000 | 0.000 | 0.000 | 0.000 | 0.000 |
| | | 0.8-PP+0.8-CM1+1.35-CM2 | N | 24.539 | 24.539 | 24.539 | 24.539 | 24.539 |
| | | | Vy | 0.000 | 0.000 | 0.000 | 0.000 | 0.000 |
| | | | Vz | -6.295 | -6.263 | -6.230 | -6.198 | -6.165 |
| | | | Mt | 0.000 | 0.000 | 0.000 | 0.000 | 0.000 |
| | | | My | 8.079 | 9.570 | 11.053 | 12.529 | 13.997 |
| | | | Mz | 0.000 | 0.000 | 0.000 | 0.000 | 0.000 |
| | | 1.35-PP+0.8-CM1+1.35-CM2 | N | 33.586 | 33.586 | 33.586 | 33.586 | 33.586 |
| | | | Vy | 0.000 | 0.000 | 0.000 | 0.000 | 0.000 |
| | | | Vz | -8.582 | -8.527 | -8.473 | -8.418 | -8.363 |
| | | | Mt | 0.000 | 0.000 | 0.000 | 0.000 | 0.000 |
| | | | My | 11.080 | 13.112 | 15.131 | 17.137 | 19.129 |
| | | | Mz | 0.000 | 0.000 | 0.000 | 0.000 | 0.000 |
| | | 0.8-PP+1.35-CM1+1.35-CM2 | N | 27.449 | 27.449 | 27.449 | 27.449 | 27.449 |
| | | | Vy | 0.000 | 0.000 | 0.000 | 0.000 | 0.000 |
| | | | Vz | -7.055 | -7.022 | -6.990 | -6.957 | -6.925 |
| | | | Mt | 0.000 | 0.000 | 0.000 | 0.000 | 0.000 |
| | | | My | 9.028 | 10.700 | 12.364 | 14.020 | 15.669 |
| | | | Mz | 0.000 | 0.000 | 0.000 | 0.000 | 0.000 |



Listados

DESARROLLO DE PROYECTO EJECUTIVO DE REFORMA DE LA PISCINA DEL
COLEGIO PÁLCAM

Fecha: 28/03/18

| Esfuerzos en barras, por combinación | | | | | | | | |
|--------------------------------------|-------------|----------------------------------|----------|------------------------|---------|---------|---------|---------|
| Barra | Combinación | | Esfuerzo | Posiciones en la barra | | | | |
| | Tipo | Descripción | | 0.000 m | 0.238 m | 0.475 m | 0.713 m | 0.950 m |
| | | 1.35·PP+1.35·CM1+1.35·CM2 | N | 36.497 | 36.497 | 36.497 | 36.497 | 36.497 |
| | | | Vy | 0.000 | 0.000 | 0.000 | 0.000 | 0.000 |
| | | | Vz | -9.342 | -9.287 | -9.232 | -9.177 | -9.122 |
| | | | Mt | 0.000 | 0.000 | 0.000 | 0.000 | 0.000 |
| | | | My | 12.030 | 14.242 | 16.441 | 18.627 | 20.800 |
| | | | Mz | 0.000 | 0.000 | 0.000 | 0.000 | 0.000 |
| | | 0.8·PP+0.8·CM1+0.8·CM2+1.5·Q1 | N | 45.445 | 45.445 | 45.445 | 45.445 | 45.445 |
| | | | Vy | 0.000 | 0.000 | 0.000 | 0.000 | 0.000 |
| | | | Vz | -11.749 | -11.717 | -11.684 | -11.652 | -11.619 |
| | | | Mt | 0.000 | 0.000 | 0.000 | 0.000 | 0.000 |
| | | | My | 14.899 | 17.686 | 20.465 | 23.236 | 25.999 |
| | | | Mz | 0.000 | 0.000 | 0.000 | 0.000 | 0.000 |
| | | 1.35·PP+0.8·CM1+0.8·CM2+1.5·Q1 | N | 54.492 | 54.492 | 54.492 | 54.492 | 54.492 |
| | | | Vy | 0.000 | 0.000 | 0.000 | 0.000 | 0.000 |
| | | | Vz | -14.037 | -13.982 | -13.927 | -13.872 | -13.817 |
| | | | Mt | 0.000 | 0.000 | 0.000 | 0.000 | 0.000 |
| | | | My | 17.901 | 21.228 | 24.542 | 27.843 | 31.131 |
| | | | Mz | 0.000 | 0.000 | 0.000 | 0.000 | 0.000 |
| | | 0.8·PP+1.35·CM1+0.8·CM2+1.5·Q1 | N | 48.356 | 48.356 | 48.356 | 48.356 | 48.356 |
| | | | Vy | 0.000 | 0.000 | 0.000 | 0.000 | 0.000 |
| | | | Vz | -12.509 | -12.476 | -12.444 | -12.411 | -12.379 |
| | | | Mt | 0.000 | 0.000 | 0.000 | 0.000 | 0.000 |
| | | | My | 15.849 | 18.816 | 21.775 | 24.727 | 27.671 |
| | | | Mz | 0.000 | 0.000 | 0.000 | 0.000 | 0.000 |
| | | 1.35·PP+1.35·CM1+0.8·CM2+1.5·Q1 | N | 57.403 | 57.403 | 57.403 | 57.403 | 57.403 |
| | | | Vy | 0.000 | 0.000 | 0.000 | 0.000 | 0.000 |
| | | | Vz | -14.796 | -14.741 | -14.686 | -14.631 | -14.576 |
| | | | Mt | 0.000 | 0.000 | 0.000 | 0.000 | 0.000 |
| | | | My | 18.851 | 22.358 | 25.853 | 29.334 | 32.803 |
| | | | Mz | 0.000 | 0.000 | 0.000 | 0.000 | 0.000 |
| | | 0.8·PP+0.8·CM1+1.35·CM2+1.5·Q1 | N | 48.356 | 48.356 | 48.356 | 48.356 | 48.356 |
| | | | Vy | 0.000 | 0.000 | 0.000 | 0.000 | 0.000 |
| | | | Vz | -12.509 | -12.476 | -12.444 | -12.411 | -12.379 |
| | | | Mt | 0.000 | 0.000 | 0.000 | 0.000 | 0.000 |
| | | | My | 15.849 | 18.816 | 21.775 | 24.727 | 27.671 |
| | | | Mz | 0.000 | 0.000 | 0.000 | 0.000 | 0.000 |
| | | 1.35·PP+0.8·CM1+1.35·CM2+1.5·Q1 | N | 57.403 | 57.403 | 57.403 | 57.403 | 57.403 |
| | | | Vy | 0.000 | 0.000 | 0.000 | 0.000 | 0.000 |
| | | | Vz | -14.796 | -14.741 | -14.686 | -14.631 | -14.576 |
| | | | Mt | 0.000 | 0.000 | 0.000 | 0.000 | 0.000 |
| | | | My | 18.851 | 22.358 | 25.853 | 29.334 | 32.803 |
| | | | Mz | 0.000 | 0.000 | 0.000 | 0.000 | 0.000 |
| | | 0.8·PP+1.35·CM1+1.35·CM2+1.5·Q1 | N | 51.267 | 51.267 | 51.267 | 51.267 | 51.267 |
| | | | Vy | 0.000 | 0.000 | 0.000 | 0.000 | 0.000 |
| | | | Vz | -13.268 | -13.236 | -13.203 | -13.171 | -13.138 |
| | | | Mt | 0.000 | 0.000 | 0.000 | 0.000 | 0.000 |
| | | | My | 16.799 | 19.946 | 23.086 | 26.218 | 29.342 |
| | | | Mz | 0.000 | 0.000 | 0.000 | 0.000 | 0.000 |
| | | 1.35·PP+1.35·CM1+1.35·CM2+1.5·Q1 | N | 60.314 | 60.314 | 60.314 | 60.314 | 60.314 |
| | | | Vy | 0.000 | 0.000 | 0.000 | 0.000 | 0.000 |
| | | | Vz | -15.555 | -15.501 | -15.446 | -15.391 | -15.336 |
| | | | Mt | 0.000 | 0.000 | 0.000 | 0.000 | 0.000 |
| | | | My | 19.800 | 23.488 | 27.163 | 30.825 | 34.474 |
| | | | Mz | 0.000 | 0.000 | 0.000 | 0.000 | 0.000 |



Listados

DESARROLLO DE PROYECTO EJECUTIVO DE REFORMA DE LA PISCINA DEL
COLEGIO PÁLCAM

Fecha: 28/03/18

| Esfuerzos en barras, por combinación | | | | | | | | |
|--------------------------------------|----------------|--------------------------------|----------|------------------------|---------|---------|---------|---------|
| Barra | Combinación | | Esfuerzo | Posiciones en la barra | | | | |
| | Tipo | Descripción | | 0.000 m | 0.237 m | 0.475 m | 0.712 m | 0.950 m |
| N17/N18 | Acero laminado | 0.8-PP+0.8-CM1+0.8-CM2 | N | 37.678 | 37.678 | 37.678 | 37.678 | 37.678 |
| | | | Vy | 0.000 | 0.000 | 0.000 | 0.000 | 0.000 |
| | | | Vz | -6.093 | -6.060 | -6.028 | -5.995 | -5.963 |
| | | | Mt | 0.000 | 0.000 | 0.000 | 0.000 | 0.000 |
| | | | My | 11.889 | 13.332 | 14.767 | 16.195 | 17.615 |
| | | | Mz | 0.000 | 0.000 | 0.000 | 0.000 | 0.000 |
| | | 1.35-PP+0.8-CM1+0.8-CM2 | N | 53.339 | 53.339 | 53.339 | 53.339 | 53.339 |
| | | | Vy | 0.000 | 0.000 | 0.000 | 0.000 | 0.000 |
| | | | Vz | -8.591 | -8.536 | -8.481 | -8.426 | -8.371 |
| | | | Mt | 0.000 | 0.000 | 0.000 | 0.000 | 0.000 |
| | | | My | 16.840 | 18.874 | 20.894 | 22.902 | 24.897 |
| | | | Mz | 0.000 | 0.000 | 0.000 | 0.000 | 0.000 |
| | | 0.8-PP+1.35-CM1+0.8-CM2 | N | 42.800 | 42.800 | 42.800 | 42.800 | 42.800 |
| | | | Vy | 0.000 | 0.000 | 0.000 | 0.000 | 0.000 |
| | | | Vz | -6.938 | -6.905 | -6.873 | -6.840 | -6.808 |
| | | | Mt | 0.000 | 0.000 | 0.000 | 0.000 | 0.000 |
| | | | My | 13.500 | 15.144 | 16.780 | 18.409 | 20.029 |
| | | | Mz | 0.000 | 0.000 | 0.000 | 0.000 | 0.000 |
| | | 1.35-PP+1.35-CM1+0.8-CM2 | N | 58.460 | 58.460 | 58.460 | 58.460 | 58.460 |
| | | | Vy | 0.000 | 0.000 | 0.000 | 0.000 | 0.000 |
| | | | Vz | -9.436 | -9.381 | -9.326 | -9.271 | -9.216 |
| | | | Mt | 0.000 | 0.000 | 0.000 | 0.000 | 0.000 |
| | | | My | 18.451 | 20.686 | 22.907 | 25.116 | 27.311 |
| | | | Mz | 0.000 | 0.000 | 0.000 | 0.000 | 0.000 |
| | | 0.8-PP+0.8-CM1+1.35-CM2 | N | 42.800 | 42.800 | 42.800 | 42.800 | 42.800 |
| | | | Vy | 0.000 | 0.000 | 0.000 | 0.000 | 0.000 |
| | | | Vz | -6.938 | -6.905 | -6.873 | -6.840 | -6.808 |
| | | | Mt | 0.000 | 0.000 | 0.000 | 0.000 | 0.000 |
| | | | My | 13.500 | 15.144 | 16.780 | 18.409 | 20.029 |
| | | | Mz | 0.000 | 0.000 | 0.000 | 0.000 | 0.000 |
| | | 1.35-PP+0.8-CM1+1.35-CM2 | N | 58.460 | 58.460 | 58.460 | 58.460 | 58.460 |
| | | | Vy | 0.000 | 0.000 | 0.000 | 0.000 | 0.000 |
| | | | Vz | -9.436 | -9.381 | -9.326 | -9.271 | -9.216 |
| | | | Mt | 0.000 | 0.000 | 0.000 | 0.000 | 0.000 |
| | | | My | 18.451 | 20.686 | 22.907 | 25.116 | 27.311 |
| | | | Mz | 0.000 | 0.000 | 0.000 | 0.000 | 0.000 |
| | | 0.8-PP+1.35-CM1+1.35-CM2 | N | 47.921 | 47.921 | 47.921 | 47.921 | 47.921 |
| | | | Vy | 0.000 | 0.000 | 0.000 | 0.000 | 0.000 |
| | | | Vz | -7.783 | -7.751 | -7.718 | -7.686 | -7.653 |
| | | | Mt | 0.000 | 0.000 | 0.000 | 0.000 | 0.000 |
| | | | My | 15.112 | 16.956 | 18.793 | 20.622 | 22.444 |
| | | | Mz | 0.000 | 0.000 | 0.000 | 0.000 | 0.000 |
| | | 1.35-PP+1.35-CM1+1.35-CM2 | N | 63.582 | 63.582 | 63.582 | 63.582 | 63.582 |
| | | | Vy | 0.000 | 0.000 | 0.000 | 0.000 | 0.000 |
| | | | Vz | -10.281 | -10.226 | -10.171 | -10.117 | -10.062 |
| | | | Mt | 0.000 | 0.000 | 0.000 | 0.000 | 0.000 |
| | | | My | 20.063 | 22.498 | 24.920 | 27.329 | 29.725 |
| | | | Mz | 0.000 | 0.000 | 0.000 | 0.000 | 0.000 |
| | | 0.8-PP+0.8-CM1+0.8-CM2+1.5-Q1 | N | 79.582 | 79.582 | 79.582 | 79.582 | 79.582 |
| | | | Vy | 0.000 | 0.000 | 0.000 | 0.000 | 0.000 |
| | | | Vz | -13.009 | -12.976 | -12.944 | -12.911 | -12.879 |
| | | | Mt | 0.000 | 0.000 | 0.000 | 0.000 | 0.000 |
| | | | My | 25.072 | 28.158 | 31.236 | 34.306 | 37.369 |
| | | | Mz | 0.000 | 0.000 | 0.000 | 0.000 | 0.000 |
| | | 1.35-PP+0.8-CM1+0.8-CM2+1.5-Q1 | N | 95.243 | 95.243 | 95.243 | 95.243 | 95.243 |
| | | | Vy | 0.000 | 0.000 | 0.000 | 0.000 | 0.000 |
| | | | Vz | -15.507 | -15.452 | -15.397 | -15.342 | -15.287 |
| | | | Mt | 0.000 | 0.000 | 0.000 | 0.000 | 0.000 |
| | | | My | 30.023 | 33.700 | 37.363 | 41.013 | 44.650 |
| | | | Mz | 0.000 | 0.000 | 0.000 | 0.000 | 0.000 |



Listados

DESARROLLO DE PROYECTO EJECUTIVO DE REFORMA DE LA PISCINA DEL
COLEGIO PÁLCAM

Fecha: 28/03/18

| Esfuerzos en barras, por combinación | | | | | | | | |
|--------------------------------------|-------------|----------------------------------|----------|------------------------|---------|---------|---------|---------|
| Barra | Combinación | | Esfuerzo | Posiciones en la barra | | | | |
| | Tipo | Descripción | | 0.000 m | 0.237 m | 0.475 m | 0.712 m | 0.950 m |
| | | 0.8·PP+1.35·CM1+0.8·CM2+1.5·Q1 | N | 84.703 | 84.703 | 84.703 | 84.703 | 84.703 |
| | | | Vy | 0.000 | 0.000 | 0.000 | 0.000 | 0.000 |
| | | | Vz | -13.854 | -13.822 | -13.789 | -13.757 | -13.724 |
| | | | Mt | 0.000 | 0.000 | 0.000 | 0.000 | 0.000 |
| | | | My | 26.683 | 29.970 | 33.249 | 36.520 | 39.783 |
| | | | Mz | 0.000 | 0.000 | 0.000 | 0.000 | 0.000 |
| | | 1.35·PP+1.35·CM1+0.8·CM2+1.5·Q1 | N | 100.364 | 100.364 | 100.364 | 100.364 | 100.364 |
| | | | Vy | 0.000 | 0.000 | 0.000 | 0.000 | 0.000 |
| | | | Vz | -16.352 | -16.297 | -16.242 | -16.188 | -16.133 |
| | | | Mt | 0.000 | 0.000 | 0.000 | 0.000 | 0.000 |
| | | | My | 31.635 | 35.512 | 39.376 | 43.227 | 47.065 |
| | | | Mz | 0.000 | 0.000 | 0.000 | 0.000 | 0.000 |
| | | 0.8·PP+0.8·CM1+1.35·CM2+1.5·Q1 | N | 84.703 | 84.703 | 84.703 | 84.703 | 84.703 |
| | | | Vy | 0.000 | 0.000 | 0.000 | 0.000 | 0.000 |
| | | | Vz | -13.854 | -13.822 | -13.789 | -13.757 | -13.724 |
| | | | Mt | 0.000 | 0.000 | 0.000 | 0.000 | 0.000 |
| | | | My | 26.683 | 29.970 | 33.249 | 36.520 | 39.783 |
| | | | Mz | 0.000 | 0.000 | 0.000 | 0.000 | 0.000 |
| | | 1.35·PP+0.8·CM1+1.35·CM2+1.5·Q1 | N | 100.364 | 100.364 | 100.364 | 100.364 | 100.364 |
| | | | Vy | 0.000 | 0.000 | 0.000 | 0.000 | 0.000 |
| | | | Vz | -16.352 | -16.297 | -16.242 | -16.188 | -16.133 |
| | | | Mt | 0.000 | 0.000 | 0.000 | 0.000 | 0.000 |
| | | | My | 31.635 | 35.512 | 39.376 | 43.227 | 47.065 |
| | | | Mz | 0.000 | 0.000 | 0.000 | 0.000 | 0.000 |
| | | 0.8·PP+1.35·CM1+1.35·CM2+1.5·Q1 | N | 89.825 | 89.825 | 89.825 | 89.825 | 89.825 |
| | | | Vy | 0.000 | 0.000 | 0.000 | 0.000 | 0.000 |
| | | | Vz | -14.699 | -14.667 | -14.634 | -14.602 | -14.569 |
| | | | Mt | 0.000 | 0.000 | 0.000 | 0.000 | 0.000 |
| | | | My | 28.295 | 31.782 | 35.262 | 38.733 | 42.197 |
| | | | Mz | 0.000 | 0.000 | 0.000 | 0.000 | 0.000 |
| | | 1.35·PP+1.35·CM1+1.35·CM2+1.5·Q1 | N | 105.486 | 105.486 | 105.486 | 105.486 | 105.486 |
| | | | Vy | 0.000 | 0.000 | 0.000 | 0.000 | 0.000 |
| | | | Vz | -17.197 | -17.143 | -17.088 | -17.033 | -16.978 |
| | | | Mt | 0.000 | 0.000 | 0.000 | 0.000 | 0.000 |
| | | | My | 33.246 | 37.324 | 41.389 | 45.440 | 49.479 |
| | | | Mz | 0.000 | 0.000 | 0.000 | 0.000 | 0.000 |

| Esfuerzos en barras, por combinación | | | | | | | | |
|--------------------------------------|----------------|--------------------------|----------|------------------------|---------|---------|---------|---------|
| Barra | Combinación | | Esfuerzo | Posiciones en la barra | | | | |
| | Tipo | Descripción | | 0.000 m | 0.238 m | 0.475 m | 0.713 m | 0.950 m |
| N18/N19 | Acero laminado | 0.8·PP+0.8·CM1+0.8·CM2 | N | 37.719 | 37.719 | 37.719 | 37.719 | 37.719 |
| | | | Vy | 0.000 | 0.000 | 0.000 | 0.000 | 0.000 |
| | | | Vz | 5.952 | 5.984 | 6.017 | 6.049 | 6.082 |
| | | | Mt | 0.000 | 0.000 | 0.000 | 0.000 | 0.000 |
| | | | My | 17.614 | 16.197 | 14.772 | 13.339 | 11.898 |
| | | | Mz | 0.000 | 0.000 | 0.000 | 0.000 | 0.000 |
| | | 1.35·PP+0.8·CM1+0.8·CM2 | N | 53.396 | 53.396 | 53.396 | 53.396 | 53.396 |
| | | | Vy | 0.000 | 0.000 | 0.000 | 0.000 | 0.000 |
| | | | Vz | 8.356 | 8.411 | 8.466 | 8.520 | 8.575 |
| | | | Mt | 0.000 | 0.000 | 0.000 | 0.000 | 0.000 |
| | | | My | 24.896 | 22.905 | 20.901 | 18.883 | 16.853 |
| | | | Mz | 0.000 | 0.000 | 0.000 | 0.000 | 0.000 |
| | | 0.8·PP+1.35·CM1+0.8·CM2 | N | 42.845 | 42.845 | 42.845 | 42.845 | 42.845 |
| | | | Vy | 0.000 | 0.000 | 0.000 | 0.000 | 0.000 |
| | | | Vz | 6.796 | 6.828 | 6.861 | 6.893 | 6.926 |
| | | | Mt | 0.000 | 0.000 | 0.000 | 0.000 | 0.000 |
| | | | My | 20.028 | 18.411 | 16.785 | 15.152 | 13.511 |
| | | | Mz | 0.000 | 0.000 | 0.000 | 0.000 | 0.000 |
| | | 1.35·PP+1.35·CM1+0.8·CM2 | N | 58.523 | 58.523 | 58.523 | 58.523 | 58.523 |



Listados

DESARROLLO DE PROYECTO EJECUTIVO DE REFORMA DE LA PISCINA DEL
COLEGIO PÁLCAM

Fecha: 28/03/18

| Esfuerzos en barras, por combinación | | | | | | | | |
|--------------------------------------|-------------|---------------------------------|----------|------------------------|---------|---------|---------|---------|
| Barra | Combinación | | Esfuerzo | Posiciones en la barra | | | | |
| | Tipo | Descripción | | 0.000 m | 0.238 m | 0.475 m | 0.713 m | 0.950 m |
| | | | Vy | 0.000 | 0.000 | 0.000 | 0.000 | 0.000 |
| | | | Vz | 9.200 | 9.255 | 9.309 | 9.364 | 9.419 |
| | | | Mt | 0.000 | 0.000 | 0.000 | 0.000 | 0.000 |
| | | | My | 27.310 | 25.118 | 22.914 | 20.696 | 18.466 |
| | | | Mz | 0.000 | 0.000 | 0.000 | 0.000 | 0.000 |
| | | 0.8-PP+0.8-CM1+1.35-CM2 | N | 42.845 | 42.845 | 42.845 | 42.845 | 42.845 |
| | | | Vy | 0.000 | 0.000 | 0.000 | 0.000 | 0.000 |
| | | | Vz | 6.796 | 6.828 | 6.861 | 6.893 | 6.926 |
| | | | Mt | 0.000 | 0.000 | 0.000 | 0.000 | 0.000 |
| | | | My | 20.028 | 18.411 | 16.785 | 15.152 | 13.511 |
| | | | Mz | 0.000 | 0.000 | 0.000 | 0.000 | 0.000 |
| | | 1.35-PP+0.8-CM1+1.35-CM2 | N | 58.523 | 58.523 | 58.523 | 58.523 | 58.523 |
| | | | Vy | 0.000 | 0.000 | 0.000 | 0.000 | 0.000 |
| | | | Vz | 9.200 | 9.255 | 9.309 | 9.364 | 9.419 |
| | | | Mt | 0.000 | 0.000 | 0.000 | 0.000 | 0.000 |
| | | | My | 27.310 | 25.118 | 22.914 | 20.696 | 18.466 |
| | | | Mz | 0.000 | 0.000 | 0.000 | 0.000 | 0.000 |
| | | 0.8-PP+1.35-CM1+1.35-CM2 | N | 47.972 | 47.972 | 47.972 | 47.972 | 47.972 |
| | | | Vy | 0.000 | 0.000 | 0.000 | 0.000 | 0.000 |
| | | | Vz | 7.640 | 7.672 | 7.705 | 7.737 | 7.770 |
| | | | Mt | 0.000 | 0.000 | 0.000 | 0.000 | 0.000 |
| | | | My | 22.443 | 20.624 | 18.798 | 16.965 | 15.123 |
| | | | Mz | 0.000 | 0.000 | 0.000 | 0.000 | 0.000 |
| | | 1.35-PP+1.35-CM1+1.35-CM2 | N | 63.650 | 63.650 | 63.650 | 63.650 | 63.650 |
| | | | Vy | 0.000 | 0.000 | 0.000 | 0.000 | 0.000 |
| | | | Vz | 10.044 | 10.099 | 10.153 | 10.208 | 10.263 |
| | | | Mt | 0.000 | 0.000 | 0.000 | 0.000 | 0.000 |
| | | | My | 29.724 | 27.332 | 24.927 | 22.509 | 20.078 |
| | | | Mz | 0.000 | 0.000 | 0.000 | 0.000 | 0.000 |
| | | 0.8-PP+0.8-CM1+0.8-CM2+1.5-Q1 | N | 79.666 | 79.666 | 79.666 | 79.666 | 79.666 |
| | | | Vy | 0.000 | 0.000 | 0.000 | 0.000 | 0.000 |
| | | | Vz | 12.856 | 12.889 | 12.921 | 12.954 | 12.987 |
| | | | Mt | 0.000 | 0.000 | 0.000 | 0.000 | 0.000 |
| | | | My | 37.367 | 34.310 | 31.245 | 28.172 | 25.092 |
| | | | Mz | 0.000 | 0.000 | 0.000 | 0.000 | 0.000 |
| | | 1.35-PP+0.8-CM1+0.8-CM2+1.5-Q1 | N | 95.343 | 95.343 | 95.343 | 95.343 | 95.343 |
| | | | Vy | 0.000 | 0.000 | 0.000 | 0.000 | 0.000 |
| | | | Vz | 15.261 | 15.315 | 15.370 | 15.425 | 15.480 |
| | | | Mt | 0.000 | 0.000 | 0.000 | 0.000 | 0.000 |
| | | | My | 44.648 | 41.017 | 37.374 | 33.717 | 30.047 |
| | | | Mz | 0.000 | 0.000 | 0.000 | 0.000 | 0.000 |
| | | 0.8-PP+1.35-CM1+0.8-CM2+1.5-Q1 | N | 84.792 | 84.792 | 84.792 | 84.792 | 84.792 |
| | | | Vy | 0.000 | 0.000 | 0.000 | 0.000 | 0.000 |
| | | | Vz | 13.700 | 13.733 | 13.765 | 13.798 | 13.830 |
| | | | Mt | 0.000 | 0.000 | 0.000 | 0.000 | 0.000 |
| | | | My | 39.781 | 36.524 | 33.258 | 29.985 | 26.704 |
| | | | Mz | 0.000 | 0.000 | 0.000 | 0.000 | 0.000 |
| | | 1.35-PP+1.35-CM1+0.8-CM2+1.5-Q1 | N | 100.470 | 100.470 | 100.470 | 100.470 | 100.470 |
| | | | Vy | 0.000 | 0.000 | 0.000 | 0.000 | 0.000 |
| | | | Vz | 16.104 | 16.159 | 16.214 | 16.269 | 16.324 |
| | | | Mt | 0.000 | 0.000 | 0.000 | 0.000 | 0.000 |
| | | | My | 47.063 | 43.231 | 39.387 | 35.530 | 31.659 |
| | | | Mz | 0.000 | 0.000 | 0.000 | 0.000 | 0.000 |
| | | 0.8-PP+0.8-CM1+1.35-CM2+1.5-Q1 | N | 84.792 | 84.792 | 84.792 | 84.792 | 84.792 |
| | | | Vy | 0.000 | 0.000 | 0.000 | 0.000 | 0.000 |
| | | | Vz | 13.700 | 13.733 | 13.765 | 13.798 | 13.830 |
| | | | Mt | 0.000 | 0.000 | 0.000 | 0.000 | 0.000 |
| | | | My | 39.781 | 36.524 | 33.258 | 29.985 | 26.704 |
| | | | Mz | 0.000 | 0.000 | 0.000 | 0.000 | 0.000 |
| | | 1.35-PP+0.8-CM1+1.35-CM2+1.5-Q1 | N | 100.470 | 100.470 | 100.470 | 100.470 | 100.470 |



Listados

DESARROLLO DE PROYECTO EJECUTIVO DE REFORMA DE LA PISCINA DEL
COLEGIO PÁLCAM

Fecha: 28/03/18

| Esfuerzos en barras, por combinación | | | | | | | | |
|--------------------------------------|-------------|----------------------------------|----------|------------------------|---------|---------|---------|---------|
| Barra | Combinación | | Esfuerzo | Posiciones en la barra | | | | |
| | Tipo | Descripción | | 0.000 m | 0.238 m | 0.475 m | 0.713 m | 0.950 m |
| | | | Vy | 0.000 | 0.000 | 0.000 | 0.000 | 0.000 |
| | | | Vz | 16.104 | 16.159 | 16.214 | 16.269 | 16.324 |
| | | | Mt | 0.000 | 0.000 | 0.000 | 0.000 | 0.000 |
| | | | My | 47.063 | 43.231 | 39.387 | 35.530 | 31.659 |
| | | | Mz | 0.000 | 0.000 | 0.000 | 0.000 | 0.000 |
| | | 0.8-PP+1.35-CM1+1.35-CM2+1.5-Q1 | N | 89.919 | 89.919 | 89.919 | 89.919 | 89.919 |
| | | | Vy | 0.000 | 0.000 | 0.000 | 0.000 | 0.000 |
| | | | Vz | 14.544 | 14.577 | 14.609 | 14.642 | 14.674 |
| | | | Mt | 0.000 | 0.000 | 0.000 | 0.000 | 0.000 |
| | | | My | 42.195 | 38.737 | 35.271 | 31.798 | 28.317 |
| | | | Mz | 0.000 | 0.000 | 0.000 | 0.000 | 0.000 |
| | | 1.35-PP+1.35-CM1+1.35-CM2+1.5-Q1 | N | 105.597 | 105.597 | 105.597 | 105.597 | 105.597 |
| | | | Vy | 0.000 | 0.000 | 0.000 | 0.000 | 0.000 |
| | | | Vz | 16.948 | 17.003 | 17.058 | 17.113 | 17.168 |
| | | | Mt | 0.000 | 0.000 | 0.000 | 0.000 | 0.000 |
| | | | My | 49.477 | 45.445 | 41.400 | 37.342 | 33.272 |
| | | | Mz | 0.000 | 0.000 | 0.000 | 0.000 | 0.000 |

| Esfuerzos en barras, por combinación | | | | | | | | |
|--------------------------------------|----------------|--------------------------|----------|------------------------|---------|---------|---------|---------|
| Barra | Combinación | | Esfuerzo | Posiciones en la barra | | | | |
| | Tipo | Descripción | | 0.000 m | 0.237 m | 0.475 m | 0.712 m | 0.950 m |
| N19/N20 | Acero laminado | 0.8-PP+0.8-CM1+0.8-CM2 | N | 21.705 | 21.705 | 21.705 | 21.705 | 21.705 |
| | | | Vy | 0.000 | 0.000 | 0.000 | 0.000 | 0.000 |
| | | | Vz | 5.395 | 5.428 | 5.460 | 5.493 | 5.525 |
| | | | Mt | 0.000 | 0.000 | 0.000 | 0.000 | 0.000 |
| | | | My | 12.334 | 11.049 | 9.756 | 8.455 | 7.147 |
| | | | Mz | 0.000 | 0.000 | 0.000 | 0.000 | 0.000 |
| | | 1.35-PP+0.8-CM1+0.8-CM2 | N | 30.784 | 30.784 | 30.784 | 30.784 | 30.784 |
| | | | Vy | 0.000 | 0.000 | 0.000 | 0.000 | 0.000 |
| | | | Vz | 7.588 | 7.643 | 7.698 | 7.753 | 7.808 |
| | | | Mt | 0.000 | 0.000 | 0.000 | 0.000 | 0.000 |
| | | | My | 17.469 | 15.661 | 13.839 | 12.004 | 10.156 |
| | | | Mz | 0.000 | 0.000 | 0.000 | 0.000 | 0.000 |
| | | 0.8-PP+1.35-CM1+0.8-CM2 | N | 24.626 | 24.626 | 24.626 | 24.626 | 24.626 |
| | | | Vy | 0.000 | 0.000 | 0.000 | 0.000 | 0.000 |
| | | | Vz | 6.153 | 6.186 | 6.218 | 6.251 | 6.283 |
| | | | Mt | 0.000 | 0.000 | 0.000 | 0.000 | 0.000 |
| | | | My | 14.006 | 12.541 | 11.068 | 9.587 | 8.099 |
| | | | Mz | 0.000 | 0.000 | 0.000 | 0.000 | 0.000 |
| | | 1.35-PP+1.35-CM1+0.8-CM2 | N | 33.705 | 33.705 | 33.705 | 33.705 | 33.705 |
| | | | Vy | 0.000 | 0.000 | 0.000 | 0.000 | 0.000 |
| | | | Vz | 8.346 | 8.401 | 8.456 | 8.511 | 8.566 |
| | | | Mt | 0.000 | 0.000 | 0.000 | 0.000 | 0.000 |
| | | | My | 19.142 | 17.153 | 15.151 | 13.136 | 11.108 |
| | | | Mz | 0.000 | 0.000 | 0.000 | 0.000 | 0.000 |
| | | 0.8-PP+0.8-CM1+1.35-CM2 | N | 24.626 | 24.626 | 24.626 | 24.626 | 24.626 |
| | | | Vy | 0.000 | 0.000 | 0.000 | 0.000 | 0.000 |
| | | | Vz | 6.153 | 6.186 | 6.218 | 6.251 | 6.283 |
| | | | Mt | 0.000 | 0.000 | 0.000 | 0.000 | 0.000 |
| | | | My | 14.006 | 12.541 | 11.068 | 9.587 | 8.099 |
| | | | Mz | 0.000 | 0.000 | 0.000 | 0.000 | 0.000 |
| | | 1.35-PP+0.8-CM1+1.35-CM2 | N | 33.705 | 33.705 | 33.705 | 33.705 | 33.705 |
| | | | Vy | 0.000 | 0.000 | 0.000 | 0.000 | 0.000 |
| | | | Vz | 8.346 | 8.401 | 8.456 | 8.511 | 8.566 |
| | | | Mt | 0.000 | 0.000 | 0.000 | 0.000 | 0.000 |
| | | | My | 19.142 | 17.153 | 15.151 | 13.136 | 11.108 |
| | | | Mz | 0.000 | 0.000 | 0.000 | 0.000 | 0.000 |
| | | 0.8-PP+1.35-CM1+1.35-CM2 | N | 27.547 | 27.547 | 27.547 | 27.547 | 27.547 |
| | | | Vy | 0.000 | 0.000 | 0.000 | 0.000 | 0.000 |



Listados

DESARROLLO DE PROYECTO EJECUTIVO DE REFORMA DE LA PISCINA DEL
COLEGIO PÁLCAM

Fecha: 28/03/18

| Esfuerzos en barras, por combinación | | | | | | | | |
|--------------------------------------|-------------|----------------------------------|----------|------------------------|---------|---------|---------|---------|
| Barra | Combinación | | Esfuerzo | Posiciones en la barra | | | | |
| | Tipo | Descripción | | 0.000 m | 0.237 m | 0.475 m | 0.712 m | 0.950 m |
| | | | Vz | 6.911 | 6.944 | 6.976 | 7.009 | 7.041 |
| | | | Mt | 0.000 | 0.000 | 0.000 | 0.000 | 0.000 |
| | | | My | 15.678 | 14.033 | 12.380 | 10.719 | 9.051 |
| | | | Mz | 0.000 | 0.000 | 0.000 | 0.000 | 0.000 |
| | | 1.35·PP+1.35·CM1+1.35·CM2 | N | 36.627 | 36.627 | 36.627 | 36.627 | 36.627 |
| | | | Vy | 0.000 | 0.000 | 0.000 | 0.000 | 0.000 |
| | | | Vz | 9.105 | 9.159 | 9.214 | 9.269 | 9.324 |
| | | | Mt | 0.000 | 0.000 | 0.000 | 0.000 | 0.000 |
| | | | My | 20.814 | 18.645 | 16.463 | 14.268 | 12.060 |
| | | | Mz | 0.000 | 0.000 | 0.000 | 0.000 | 0.000 |
| | | 0.8·PP+0.8·CM1+0.8·CM2+1.5·Q1 | N | 45.604 | 45.604 | 45.604 | 45.604 | 45.604 |
| | | | Vy | 0.000 | 0.000 | 0.000 | 0.000 | 0.000 |
| | | | Vz | 11.598 | 11.630 | 11.663 | 11.695 | 11.728 |
| | | | Mt | 0.000 | 0.000 | 0.000 | 0.000 | 0.000 |
| | | | My | 26.016 | 23.257 | 20.491 | 17.718 | 14.936 |
| | | | Mz | 0.000 | 0.000 | 0.000 | 0.000 | 0.000 |
| | | 1.35·PP+0.8·CM1+0.8·CM2+1.5·Q1 | N | 54.684 | 54.684 | 54.684 | 54.684 | 54.684 |
| | | | Vy | 0.000 | 0.000 | 0.000 | 0.000 | 0.000 |
| | | | Vz | 13.791 | 13.846 | 13.900 | 13.955 | 14.010 |
| | | | Mt | 0.000 | 0.000 | 0.000 | 0.000 | 0.000 |
| | | | My | 31.151 | 27.869 | 24.574 | 21.266 | 17.946 |
| | | | Mz | 0.000 | 0.000 | 0.000 | 0.000 | 0.000 |
| | | 0.8·PP+1.35·CM1+0.8·CM2+1.5·Q1 | N | 48.525 | 48.525 | 48.525 | 48.525 | 48.525 |
| | | | Vy | 0.000 | 0.000 | 0.000 | 0.000 | 0.000 |
| | | | Vz | 12.356 | 12.388 | 12.421 | 12.453 | 12.486 |
| | | | Mt | 0.000 | 0.000 | 0.000 | 0.000 | 0.000 |
| | | | My | 27.688 | 24.750 | 21.804 | 18.850 | 15.888 |
| | | | Mz | 0.000 | 0.000 | 0.000 | 0.000 | 0.000 |
| | | 1.35·PP+1.35·CM1+0.8·CM2+1.5·Q1 | N | 57.605 | 57.605 | 57.605 | 57.605 | 57.605 |
| | | | Vy | 0.000 | 0.000 | 0.000 | 0.000 | 0.000 |
| | | | Vz | 14.549 | 14.604 | 14.659 | 14.713 | 14.768 |
| | | | Mt | 0.000 | 0.000 | 0.000 | 0.000 | 0.000 |
| | | | My | 32.823 | 29.361 | 25.886 | 22.399 | 18.898 |
| | | | Mz | 0.000 | 0.000 | 0.000 | 0.000 | 0.000 |
| | | 0.8·PP+0.8·CM1+1.35·CM2+1.5·Q1 | N | 48.525 | 48.525 | 48.525 | 48.525 | 48.525 |
| | | | Vy | 0.000 | 0.000 | 0.000 | 0.000 | 0.000 |
| | | | Vz | 12.356 | 12.388 | 12.421 | 12.453 | 12.486 |
| | | | Mt | 0.000 | 0.000 | 0.000 | 0.000 | 0.000 |
| | | | My | 27.688 | 24.750 | 21.804 | 18.850 | 15.888 |
| | | | Mz | 0.000 | 0.000 | 0.000 | 0.000 | 0.000 |
| | | 1.35·PP+0.8·CM1+1.35·CM2+1.5·Q1 | N | 57.605 | 57.605 | 57.605 | 57.605 | 57.605 |
| | | | Vy | 0.000 | 0.000 | 0.000 | 0.000 | 0.000 |
| | | | Vz | 14.549 | 14.604 | 14.659 | 14.713 | 14.768 |
| | | | Mt | 0.000 | 0.000 | 0.000 | 0.000 | 0.000 |
| | | | My | 32.823 | 29.361 | 25.886 | 22.399 | 18.898 |
| | | | Mz | 0.000 | 0.000 | 0.000 | 0.000 | 0.000 |
| | | 0.8·PP+1.35·CM1+1.35·CM2+1.5·Q1 | N | 51.446 | 51.446 | 51.446 | 51.446 | 51.446 |
| | | | Vy | 0.000 | 0.000 | 0.000 | 0.000 | 0.000 |
| | | | Vz | 13.114 | 13.146 | 13.179 | 13.211 | 13.244 |
| | | | Mt | 0.000 | 0.000 | 0.000 | 0.000 | 0.000 |
| | | | My | 29.360 | 26.242 | 23.116 | 19.982 | 16.840 |
| | | | Mz | 0.000 | 0.000 | 0.000 | 0.000 | 0.000 |
| | | 1.35·PP+1.35·CM1+1.35·CM2+1.5·Q1 | N | 60.526 | 60.526 | 60.526 | 60.526 | 60.526 |
| | | | Vy | 0.000 | 0.000 | 0.000 | 0.000 | 0.000 |
| | | | Vz | 15.307 | 15.362 | 15.417 | 15.471 | 15.526 |
| | | | Mt | 0.000 | 0.000 | 0.000 | 0.000 | 0.000 |
| | | | My | 34.495 | 30.854 | 27.199 | 23.531 | 19.850 |
| | | | Mz | 0.000 | 0.000 | 0.000 | 0.000 | 0.000 |



Listados

DESARROLLO DE PROYECTO EJECUTIVO DE REFORMA DE LA PISCINA DEL
COLEGIO PÁLCAM

Fecha: 28/03/18

| Esfuerzos en barras, por combinación | | | | | | | | |
|--------------------------------------|----------------|--------------------------------|----------|------------------------|---------|---------|---------|---------|
| Barra | Combinación | | Esfuerzo | Posiciones en la barra | | | | |
| | Tipo | Descripción | | 0.000 m | 0.238 m | 0.475 m | 0.713 m | 0.950 m |
| N20/N21 | Acero laminado | 0.8-PP+0.8-CM1+0.8-CM2 | N | 2.129 | 2.129 | 2.129 | 2.129 | 2.129 |
| | | | Vy | 0.000 | 0.000 | 0.000 | 0.000 | 0.000 |
| | | | Vz | 4.492 | 4.524 | 4.557 | 4.589 | 4.622 |
| | | | Mt | 0.000 | 0.000 | 0.000 | 0.000 | 0.000 |
| | | | My | 7.884 | 6.813 | 5.735 | 4.649 | 3.555 |
| | | | Mz | 0.000 | 0.000 | 0.000 | 0.000 | 0.000 |
| | | 1.35-PP+0.8-CM1+0.8-CM2 | N | 3.077 | 3.077 | 3.077 | 3.077 | 3.077 |
| | | | Vy | 0.000 | 0.000 | 0.000 | 0.000 | 0.000 |
| | | | Vz | 6.337 | 6.391 | 6.446 | 6.501 | 6.556 |
| | | | Mt | 0.000 | 0.000 | 0.000 | 0.000 | 0.000 |
| | | | My | 11.200 | 9.688 | 8.164 | 6.626 | 5.076 |
| | | | Mz | 0.000 | 0.000 | 0.000 | 0.000 | 0.000 |
| | | 0.8-PP+1.35-CM1+0.8-CM2 | N | 2.388 | 2.388 | 2.388 | 2.388 | 2.388 |
| | | | Vy | 0.000 | 0.000 | 0.000 | 0.000 | 0.000 |
| | | | Vz | 5.114 | 5.146 | 5.179 | 5.211 | 5.244 |
| | | | Mt | 0.000 | 0.000 | 0.000 | 0.000 | 0.000 |
| | | | My | 8.936 | 7.718 | 6.492 | 5.258 | 4.017 |
| | | | Mz | 0.000 | 0.000 | 0.000 | 0.000 | 0.000 |
| | | 1.35-PP+1.35-CM1+0.8-CM2 | N | 3.335 | 3.335 | 3.335 | 3.335 | 3.335 |
| | | | Vy | 0.000 | 0.000 | 0.000 | 0.000 | 0.000 |
| | | | Vz | 6.958 | 7.013 | 7.068 | 7.123 | 7.178 |
| | | | Mt | 0.000 | 0.000 | 0.000 | 0.000 | 0.000 |
| | | | My | 12.252 | 10.593 | 8.921 | 7.236 | 5.538 |
| | | | Mz | 0.000 | 0.000 | 0.000 | 0.000 | 0.000 |
| | | 0.8-PP+0.8-CM1+1.35-CM2 | N | 2.388 | 2.388 | 2.388 | 2.388 | 2.388 |
| | | | Vy | 0.000 | 0.000 | 0.000 | 0.000 | 0.000 |
| | | | Vz | 5.114 | 5.146 | 5.179 | 5.211 | 5.244 |
| | | | Mt | 0.000 | 0.000 | 0.000 | 0.000 | 0.000 |
| | | | My | 8.936 | 7.718 | 6.492 | 5.258 | 4.017 |
| | | | Mz | 0.000 | 0.000 | 0.000 | 0.000 | 0.000 |
| | | 1.35-PP+0.8-CM1+1.35-CM2 | N | 3.335 | 3.335 | 3.335 | 3.335 | 3.335 |
| | | | Vy | 0.000 | 0.000 | 0.000 | 0.000 | 0.000 |
| | | | Vz | 6.958 | 7.013 | 7.068 | 7.123 | 7.178 |
| | | | Mt | 0.000 | 0.000 | 0.000 | 0.000 | 0.000 |
| | | | My | 12.252 | 10.593 | 8.921 | 7.236 | 5.538 |
| | | | Mz | 0.000 | 0.000 | 0.000 | 0.000 | 0.000 |
| | | 0.8-PP+1.35-CM1+1.35-CM2 | N | 2.646 | 2.646 | 2.646 | 2.646 | 2.646 |
| | | | Vy | 0.000 | 0.000 | 0.000 | 0.000 | 0.000 |
| | | | Vz | 5.735 | 5.768 | 5.800 | 5.833 | 5.865 |
| | | | Mt | 0.000 | 0.000 | 0.000 | 0.000 | 0.000 |
| | | | My | 9.989 | 8.623 | 7.249 | 5.868 | 4.478 |
| | | | Mz | 0.000 | 0.000 | 0.000 | 0.000 | 0.000 |
| | | 1.35-PP+1.35-CM1+1.35-CM2 | N | 3.593 | 3.593 | 3.593 | 3.593 | 3.593 |
| | | | Vy | 0.000 | 0.000 | 0.000 | 0.000 | 0.000 |
| | | | Vz | 7.580 | 7.635 | 7.690 | 7.745 | 7.799 |
| | | | Mt | 0.000 | 0.000 | 0.000 | 0.000 | 0.000 |
| | | | My | 13.304 | 11.498 | 9.678 | 7.845 | 5.999 |
| | | | Mz | 0.000 | 0.000 | 0.000 | 0.000 | 0.000 |
| | | 0.8-PP+0.8-CM1+0.8-CM2+1.5-Q1 | N | 4.243 | 4.243 | 4.243 | 4.243 | 4.243 |
| | | | Vy | 0.000 | 0.000 | 0.000 | 0.000 | 0.000 |
| | | | Vz | 9.578 | 9.611 | 9.644 | 9.676 | 9.709 |
| | | | Mt | 0.000 | 0.000 | 0.000 | 0.000 | 0.000 |
| | | | My | 16.494 | 14.215 | 11.929 | 9.634 | 7.333 |
| | | | Mz | 0.000 | 0.000 | 0.000 | 0.000 | 0.000 |
| | | 1.35-PP+0.8-CM1+0.8-CM2+1.5-Q1 | N | 5.190 | 5.190 | 5.190 | 5.190 | 5.190 |
| | | | Vy | 0.000 | 0.000 | 0.000 | 0.000 | 0.000 |
| | | | Vz | 11.423 | 11.478 | 11.533 | 11.588 | 11.643 |
| | | | Mt | 0.000 | 0.000 | 0.000 | 0.000 | 0.000 |
| | | | My | 19.810 | 17.090 | 14.357 | 11.612 | 8.853 |
| | | | Mz | 0.000 | 0.000 | 0.000 | 0.000 | 0.000 |



Listados

DESARROLLO DE PROYECTO EJECUTIVO DE REFORMA DE LA PISCINA DEL
COLEGIO PÁLCAM

Fecha: 28/03/18

| Esfuerzos en barras, por combinación | | | | | | | | |
|--------------------------------------|-------------|----------------------------------|----------|------------------------|---------|---------|---------|---------|
| Barra | Combinación | | Esfuerzo | Posiciones en la barra | | | | |
| | Tipo | Descripción | | 0.000 m | 0.238 m | 0.475 m | 0.713 m | 0.950 m |
| | | 0.8·PP+1.35·CM1+0.8·CM2+1.5·Q1 | N | 4.502 | 4.502 | 4.502 | 4.502 | 4.502 |
| | | | Vy | 0.000 | 0.000 | 0.000 | 0.000 | 0.000 |
| | | | Vz | 10.200 | 10.233 | 10.265 | 10.298 | 10.330 |
| | | | Mt | 0.000 | 0.000 | 0.000 | 0.000 | 0.000 |
| | | | My | 17.546 | 15.120 | 12.686 | 10.244 | 7.794 |
| | | | Mz | 0.000 | 0.000 | 0.000 | 0.000 | 0.000 |
| | | 1.35·PP+1.35·CM1+0.8·CM2+1.5·Q1 | N | 5.449 | 5.449 | 5.449 | 5.449 | 5.449 |
| | | | Vy | 0.000 | 0.000 | 0.000 | 0.000 | 0.000 |
| | | | Vz | 12.045 | 12.100 | 12.155 | 12.209 | 12.264 |
| | | | Mt | 0.000 | 0.000 | 0.000 | 0.000 | 0.000 |
| | | | My | 20.862 | 17.995 | 15.114 | 12.221 | 9.315 |
| | | | Mz | 0.000 | 0.000 | 0.000 | 0.000 | 0.000 |
| | | 0.8·PP+0.8·CM1+1.35·CM2+1.5·Q1 | N | 4.502 | 4.502 | 4.502 | 4.502 | 4.502 |
| | | | Vy | 0.000 | 0.000 | 0.000 | 0.000 | 0.000 |
| | | | Vz | 10.200 | 10.233 | 10.265 | 10.298 | 10.330 |
| | | | Mt | 0.000 | 0.000 | 0.000 | 0.000 | 0.000 |
| | | | My | 17.546 | 15.120 | 12.686 | 10.244 | 7.794 |
| | | | Mz | 0.000 | 0.000 | 0.000 | 0.000 | 0.000 |
| | | 1.35·PP+0.8·CM1+1.35·CM2+1.5·Q1 | N | 5.449 | 5.449 | 5.449 | 5.449 | 5.449 |
| | | | Vy | 0.000 | 0.000 | 0.000 | 0.000 | 0.000 |
| | | | Vz | 12.045 | 12.100 | 12.155 | 12.209 | 12.264 |
| | | | Mt | 0.000 | 0.000 | 0.000 | 0.000 | 0.000 |
| | | | My | 20.862 | 17.995 | 15.114 | 12.221 | 9.315 |
| | | | Mz | 0.000 | 0.000 | 0.000 | 0.000 | 0.000 |
| | | 0.8·PP+1.35·CM1+1.35·CM2+1.5·Q1 | N | 4.760 | 4.760 | 4.760 | 4.760 | 4.760 |
| | | | Vy | 0.000 | 0.000 | 0.000 | 0.000 | 0.000 |
| | | | Vz | 10.822 | 10.854 | 10.887 | 10.919 | 10.952 |
| | | | Mt | 0.000 | 0.000 | 0.000 | 0.000 | 0.000 |
| | | | My | 18.598 | 16.024 | 13.443 | 10.853 | 8.256 |
| | | | Mz | 0.000 | 0.000 | 0.000 | 0.000 | 0.000 |
| | | 1.35·PP+1.35·CM1+1.35·CM2+1.5·Q1 | N | 5.707 | 5.707 | 5.707 | 5.707 | 5.707 |
| | | | Vy | 0.000 | 0.000 | 0.000 | 0.000 | 0.000 |
| | | | Vz | 12.667 | 12.721 | 12.776 | 12.831 | 12.886 |
| | | | Mt | 0.000 | 0.000 | 0.000 | 0.000 | 0.000 |
| | | | My | 21.914 | 18.899 | 15.871 | 12.831 | 9.777 |
| | | | Mz | 0.000 | 0.000 | 0.000 | 0.000 | 0.000 |

| Esfuerzos en barras, por combinación | | | | | | | | |
|--------------------------------------|----------------|--------------------------|----------|------------------------|---------|---------|---------|---------|
| Barra | Combinación | | Esfuerzo | Posiciones en la barra | | | | |
| | Tipo | Descripción | | 0.000 m | 0.237 m | 0.475 m | 0.712 m | 0.950 m |
| N21/N22 | Acero laminado | 0.8·PP+0.8·CM1+0.8·CM2 | N | -19.187 | -19.187 | -19.187 | -19.187 | -19.187 |
| | | | Vy | 0.000 | 0.000 | 0.000 | 0.000 | 0.000 |
| | | | Vz | 4.216 | 4.248 | 4.281 | 4.313 | 4.346 |
| | | | Mt | 0.000 | 0.000 | 0.000 | 0.000 | 0.000 |
| | | | My | 4.442 | 3.436 | 2.424 | 1.403 | 0.375 |
| | | | Mz | 0.000 | 0.000 | 0.000 | 0.000 | 0.000 |
| | | 1.35·PP+0.8·CM1+0.8·CM2 | N | -27.162 | -27.162 | -27.162 | -27.162 | -27.162 |
| | | | Vy | 0.000 | 0.000 | 0.000 | 0.000 | 0.000 |
| | | | Vz | 5.970 | 6.025 | 6.079 | 6.134 | 6.189 |
| | | | Mt | 0.000 | 0.000 | 0.000 | 0.000 | 0.000 |
| | | | My | 6.333 | 4.908 | 3.471 | 2.021 | 0.557 |
| | | | Mz | 0.000 | 0.000 | 0.000 | 0.000 | 0.000 |
| | | 0.8·PP+1.35·CM1+0.8·CM2 | N | -21.796 | -21.796 | -21.796 | -21.796 | -21.796 |
| | | | Vy | 0.000 | 0.000 | 0.000 | 0.000 | 0.000 |
| | | | Vz | 4.788 | 4.821 | 4.853 | 4.886 | 4.918 |
| | | | Mt | 0.000 | 0.000 | 0.000 | 0.000 | 0.000 |
| | | | My | 5.023 | 3.882 | 2.733 | 1.576 | 0.412 |
| | | | Mz | 0.000 | 0.000 | 0.000 | 0.000 | 0.000 |
| | | 1.35·PP+1.35·CM1+0.8·CM2 | N | -29.770 | -29.770 | -29.770 | -29.770 | -29.770 |



Listados

DESARROLLO DE PROYECTO EJECUTIVO DE REFORMA DE LA PISCINA DEL
COLEGIO PÁLCAM

Fecha: 28/03/18

| Esfuerzos en barras, por combinación | | | | | | | | |
|--------------------------------------|-------------|---------------------------------|----------|------------------------|---------|---------|---------|---------|
| Barra | Combinación | | Esfuerzo | Posiciones en la barra | | | | |
| | Tipo | Descripción | | 0.000 m | 0.237 m | 0.475 m | 0.712 m | 0.950 m |
| | | | Vy | 0.000 | 0.000 | 0.000 | 0.000 | 0.000 |
| | | | Vz | 6.542 | 6.597 | 6.652 | 6.707 | 6.761 |
| | | | Mt | 0.000 | 0.000 | 0.000 | 0.000 | 0.000 |
| | | | My | 6.914 | 5.354 | 3.780 | 2.194 | 0.595 |
| | | | Mz | 0.000 | 0.000 | 0.000 | 0.000 | 0.000 |
| | | 0.8·PP+0.8·CM1+1.35·CM2 | N | -21.796 | -21.796 | -21.796 | -21.796 | -21.796 |
| | | | Vy | 0.000 | 0.000 | 0.000 | 0.000 | 0.000 |
| | | | Vz | 4.788 | 4.821 | 4.853 | 4.886 | 4.918 |
| | | | Mt | 0.000 | 0.000 | 0.000 | 0.000 | 0.000 |
| | | | My | 5.023 | 3.882 | 2.733 | 1.576 | 0.412 |
| | | | Mz | 0.000 | 0.000 | 0.000 | 0.000 | 0.000 |
| | | 1.35·PP+0.8·CM1+1.35·CM2 | N | -29.770 | -29.770 | -29.770 | -29.770 | -29.770 |
| | | | Vy | 0.000 | 0.000 | 0.000 | 0.000 | 0.000 |
| | | | Vz | 6.542 | 6.597 | 6.652 | 6.707 | 6.761 |
| | | | Mt | 0.000 | 0.000 | 0.000 | 0.000 | 0.000 |
| | | | My | 6.914 | 5.354 | 3.780 | 2.194 | 0.595 |
| | | | Mz | 0.000 | 0.000 | 0.000 | 0.000 | 0.000 |
| | | 0.8·PP+1.35·CM1+1.35·CM2 | N | -24.404 | -24.404 | -24.404 | -24.404 | -24.404 |
| | | | Vy | 0.000 | 0.000 | 0.000 | 0.000 | 0.000 |
| | | | Vz | 5.361 | 5.393 | 5.426 | 5.458 | 5.491 |
| | | | Mt | 0.000 | 0.000 | 0.000 | 0.000 | 0.000 |
| | | | My | 5.604 | 4.327 | 3.042 | 1.750 | 0.450 |
| | | | Mz | 0.000 | 0.000 | 0.000 | 0.000 | 0.000 |
| | | 1.35·PP+1.35·CM1+1.35·CM2 | N | -32.379 | -32.379 | -32.379 | -32.379 | -32.379 |
| | | | Vy | 0.000 | 0.000 | 0.000 | 0.000 | 0.000 |
| | | | Vz | 7.114 | 7.169 | 7.224 | 7.279 | 7.334 |
| | | | Mt | 0.000 | 0.000 | 0.000 | 0.000 | 0.000 |
| | | | My | 7.495 | 5.799 | 4.090 | 2.368 | 0.632 |
| | | | Mz | 0.000 | 0.000 | 0.000 | 0.000 | 0.000 |
| | | 0.8·PP+0.8·CM1+0.8·CM2+1.5·Q1 | N | -40.527 | -40.527 | -40.527 | -40.527 | -40.527 |
| | | | Vy | 0.000 | 0.000 | 0.000 | 0.000 | 0.000 |
| | | | Vz | 8.899 | 8.931 | 8.964 | 8.996 | 9.029 |
| | | | Mt | 0.000 | 0.000 | 0.000 | 0.000 | 0.000 |
| | | | My | 9.197 | 7.080 | 4.955 | 2.822 | 0.681 |
| | | | Mz | 0.000 | 0.000 | 0.000 | 0.000 | 0.000 |
| | | 1.35·PP+0.8·CM1+0.8·CM2+1.5·Q1 | N | -48.502 | -48.502 | -48.502 | -48.502 | -48.502 |
| | | | Vy | 0.000 | 0.000 | 0.000 | 0.000 | 0.000 |
| | | | Vz | 10.652 | 10.707 | 10.762 | 10.817 | 10.872 |
| | | | Mt | 0.000 | 0.000 | 0.000 | 0.000 | 0.000 |
| | | | My | 11.088 | 8.552 | 6.002 | 3.440 | 0.864 |
| | | | Mz | 0.000 | 0.000 | 0.000 | 0.000 | 0.000 |
| | | 0.8·PP+1.35·CM1+0.8·CM2+1.5·Q1 | N | -43.136 | -43.136 | -43.136 | -43.136 | -43.136 |
| | | | Vy | 0.000 | 0.000 | 0.000 | 0.000 | 0.000 |
| | | | Vz | 9.471 | 9.503 | 9.536 | 9.569 | 9.601 |
| | | | Mt | 0.000 | 0.000 | 0.000 | 0.000 | 0.000 |
| | | | My | 9.778 | 7.525 | 5.264 | 2.995 | 0.719 |
| | | | Mz | 0.000 | 0.000 | 0.000 | 0.000 | 0.000 |
| | | 1.35·PP+1.35·CM1+0.8·CM2+1.5·Q1 | N | -51.110 | -51.110 | -51.110 | -51.110 | -51.110 |
| | | | Vy | 0.000 | 0.000 | 0.000 | 0.000 | 0.000 |
| | | | Vz | 11.225 | 11.280 | 11.334 | 11.389 | 11.444 |
| | | | Mt | 0.000 | 0.000 | 0.000 | 0.000 | 0.000 |
| | | | My | 11.669 | 8.997 | 6.312 | 3.613 | 0.902 |
| | | | Mz | 0.000 | 0.000 | 0.000 | 0.000 | 0.000 |
| | | 0.8·PP+0.8·CM1+1.35·CM2+1.5·Q1 | N | -43.136 | -43.136 | -43.136 | -43.136 | -43.136 |
| | | | Vy | 0.000 | 0.000 | 0.000 | 0.000 | 0.000 |
| | | | Vz | 9.471 | 9.503 | 9.536 | 9.569 | 9.601 |
| | | | Mt | 0.000 | 0.000 | 0.000 | 0.000 | 0.000 |
| | | | My | 9.778 | 7.525 | 5.264 | 2.995 | 0.719 |
| | | | Mz | 0.000 | 0.000 | 0.000 | 0.000 | 0.000 |
| | | 1.35·PP+0.8·CM1+1.35·CM2+1.5·Q1 | N | -51.110 | -51.110 | -51.110 | -51.110 | -51.110 |



Listados

DESARROLLO DE PROYECTO EJECUTIVO DE REFORMA DE LA PISCINA DEL
COLEGIO PÁLCAM

Fecha: 28/03/18

| Esfuerzos en barras, por combinación | | | | | | | | |
|--------------------------------------|-------------|----------------------------------|----------|------------------------|---------|---------|---------|---------|
| Barra | Combinación | | Esfuerzo | Posiciones en la barra | | | | |
| | Tipo | Descripción | | 0.000 m | 0.237 m | 0.475 m | 0.712 m | 0.950 m |
| | | | Vy | 0.000 | 0.000 | 0.000 | 0.000 | 0.000 |
| | | | Vz | 11.225 | 11.280 | 11.334 | 11.389 | 11.444 |
| | | | Mt | 0.000 | 0.000 | 0.000 | 0.000 | 0.000 |
| | | | My | 11.669 | 8.997 | 6.312 | 3.613 | 0.902 |
| | | | Mz | 0.000 | 0.000 | 0.000 | 0.000 | 0.000 |
| | | | N | -45.744 | -45.744 | -45.744 | -45.744 | -45.744 |
| | | 0.8-PP+1.35-CM1+1.35-CM2+1.5-Q1 | Vy | 0.000 | 0.000 | 0.000 | 0.000 | 0.000 |
| | | | Vz | 10.043 | 10.076 | 10.108 | 10.141 | 10.173 |
| | | | Mt | 0.000 | 0.000 | 0.000 | 0.000 | 0.000 |
| | | | My | 10.359 | 7.970 | 5.573 | 3.169 | 0.756 |
| | | | Mz | 0.000 | 0.000 | 0.000 | 0.000 | 0.000 |
| | | | N | -53.719 | -53.719 | -53.719 | -53.719 | -53.719 |
| | | 1.35-PP+1.35-CM1+1.35-CM2+1.5-Q1 | Vy | 0.000 | 0.000 | 0.000 | 0.000 | 0.000 |
| | | | Vz | 11.797 | 11.852 | 11.907 | 11.962 | 12.017 |
| | | | Mt | 0.000 | 0.000 | 0.000 | 0.000 | 0.000 |
| | | | My | 12.251 | 9.442 | 6.621 | 3.786 | 0.939 |
| | | | Mz | 0.000 | 0.000 | 0.000 | 0.000 | 0.000 |

| Esfuerzos en barras, por combinación | | | | | | | | |
|--------------------------------------|----------------|--------------------------|----------|------------------------|---------|---------|---------|---------|
| Barra | Combinación | | Esfuerzo | Posiciones en la barra | | | | |
| | Tipo | Descripción | | 0.000 m | 0.240 m | 0.480 m | 0.720 m | 0.960 m |
| N22/N2 | Acero laminado | 0.8-PP+0.8-CM1+0.8-CM2 | N | -41.973 | -41.973 | -41.973 | -41.973 | -41.973 |
| | | | Vy | 0.000 | 0.000 | 0.000 | 0.000 | 0.000 |
| | | | Vz | 3.613 | 3.646 | 3.678 | 3.711 | 3.744 |
| | | | Mt | 0.000 | 0.000 | 0.000 | 0.000 | 0.000 |
| | | | My | 1.329 | 0.458 | -0.421 | -1.308 | -2.202 |
| | | | Mz | 0.000 | 0.000 | 0.000 | 0.000 | 0.000 |
| | | 1.35-PP+0.8-CM1+0.8-CM2 | N | -59.537 | -59.537 | -59.537 | -59.537 | -59.537 |
| | | | Vy | 0.000 | 0.000 | 0.000 | 0.000 | 0.000 |
| | | | Vz | 5.140 | 5.195 | 5.251 | 5.306 | 5.361 |
| | | | Mt | 0.000 | 0.000 | 0.000 | 0.000 | 0.000 |
| | | | My | 1.912 | 0.672 | -0.581 | -1.848 | -3.128 |
| | | | Mz | 0.000 | 0.000 | 0.000 | 0.000 | 0.000 |
| | | 0.8-PP+1.35-CM1+0.8-CM2 | N | -47.619 | -47.619 | -47.619 | -47.619 | -47.619 |
| | | | Vy | 0.000 | 0.000 | 0.000 | 0.000 | 0.000 |
| | | | Vz | 4.091 | 4.124 | 4.157 | 4.190 | 4.222 |
| | | | Mt | 0.000 | 0.000 | 0.000 | 0.000 | 0.000 |
| | | | My | 1.494 | 0.508 | -0.485 | -1.487 | -2.496 |
| | | | Mz | 0.000 | 0.000 | 0.000 | 0.000 | 0.000 |
| | | 1.35-PP+1.35-CM1+0.8-CM2 | N | -65.183 | -65.183 | -65.183 | -65.183 | -65.183 |
| | | | Vy | 0.000 | 0.000 | 0.000 | 0.000 | 0.000 |
| | | | Vz | 5.618 | 5.673 | 5.729 | 5.784 | 5.840 |
| | | | Mt | 0.000 | 0.000 | 0.000 | 0.000 | 0.000 |
| | | | My | 2.077 | 0.722 | -0.646 | -2.027 | -3.422 |
| | | | Mz | 0.000 | 0.000 | 0.000 | 0.000 | 0.000 |
| | | 0.8-PP+0.8-CM1+1.35-CM2 | N | -47.619 | -47.619 | -47.619 | -47.619 | -47.619 |
| | | | Vy | 0.000 | 0.000 | 0.000 | 0.000 | 0.000 |
| | | | Vz | 4.091 | 4.124 | 4.157 | 4.190 | 4.222 |
| | | | Mt | 0.000 | 0.000 | 0.000 | 0.000 | 0.000 |
| | | | My | 1.494 | 0.508 | -0.485 | -1.487 | -2.496 |
| | | | Mz | 0.000 | 0.000 | 0.000 | 0.000 | 0.000 |
| | | 1.35-PP+0.8-CM1+1.35-CM2 | N | -65.183 | -65.183 | -65.183 | -65.183 | -65.183 |
| | | | Vy | 0.000 | 0.000 | 0.000 | 0.000 | 0.000 |
| | | | Vz | 5.618 | 5.673 | 5.729 | 5.784 | 5.840 |
| | | | Mt | 0.000 | 0.000 | 0.000 | 0.000 | 0.000 |
| | | | My | 2.077 | 0.722 | -0.646 | -2.027 | -3.422 |
| | | | Mz | 0.000 | 0.000 | 0.000 | 0.000 | 0.000 |
| | | 0.8-PP+1.35-CM1+1.35-CM2 | N | -53.265 | -53.265 | -53.265 | -53.265 | -53.265 |
| | | | Vy | 0.000 | 0.000 | 0.000 | 0.000 | 0.000 |
| | | | Vz | 4.569 | 4.602 | 4.635 | 4.668 | 4.701 |
| | | | Mt | 0.000 | 0.000 | 0.000 | 0.000 | 0.000 |



Listados

DESARROLLO DE PROYECTO EJECUTIVO DE REFORMA DE LA PISCINA DEL
COLEGIO PÁLCAM

Fecha: 28/03/18

| Esfuerzos en barras, por combinación | | | | | | | | |
|--------------------------------------|-------------|----------------------------------|----------|------------------------|----------|----------|----------|----------|
| Barra | Combinación | | Esfuerzo | Posiciones en la barra | | | | |
| | Tipo | Descripción | | 0.000 m | 0.240 m | 0.480 m | 0.720 m | 0.960 m |
| | | | My | 1.659 | 0.559 | -0.550 | -1.666 | -2.790 |
| | | | Mz | 0.000 | 0.000 | 0.000 | 0.000 | 0.000 |
| | | 1.35·PP+1.35·CM1+1.35·CM2 | N | -70.829 | -70.829 | -70.829 | -70.829 | -70.829 |
| | | | Vy | 0.000 | 0.000 | 0.000 | 0.000 | 0.000 |
| | | | Vz | 6.096 | 6.152 | 6.207 | 6.263 | 6.318 |
| | | | Mt | 0.000 | 0.000 | 0.000 | 0.000 | 0.000 |
| | | | My | 2.243 | 0.773 | -0.710 | -2.207 | -3.716 |
| | | | Mz | 0.000 | 0.000 | 0.000 | 0.000 | 0.000 |
| | | 0.8·PP+0.8·CM1+0.8·CM2+1.5·Q1 | N | -88.167 | -88.167 | -88.167 | -88.167 | -88.167 |
| | | | Vy | 0.000 | 0.000 | 0.000 | 0.000 | 0.000 |
| | | | Vz | 7.527 | 7.560 | 7.592 | 7.625 | 7.658 |
| | | | Mt | 0.000 | 0.000 | 0.000 | 0.000 | 0.000 |
| | | | My | 2.681 | 0.871 | -0.948 | -2.774 | -4.608 |
| | | | Mz | 0.000 | 0.000 | 0.000 | 0.000 | 0.000 |
| | | 1.35·PP+0.8·CM1+0.8·CM2+1.5·Q1 | N | -105.731 | -105.731 | -105.731 | -105.731 | -105.731 |
| | | | Vy | 0.000 | 0.000 | 0.000 | 0.000 | 0.000 |
| | | | Vz | 9.054 | 9.109 | 9.165 | 9.220 | 9.275 |
| | | | Mt | 0.000 | 0.000 | 0.000 | 0.000 | 0.000 |
| | | | My | 3.264 | 1.085 | -1.108 | -3.314 | -5.534 |
| | | | Mz | 0.000 | 0.000 | 0.000 | 0.000 | 0.000 |
| | | 0.8·PP+1.35·CM1+0.8·CM2+1.5·Q1 | N | -93.812 | -93.812 | -93.812 | -93.812 | -93.812 |
| | | | Vy | 0.000 | 0.000 | 0.000 | 0.000 | 0.000 |
| | | | Vz | 8.005 | 8.038 | 8.071 | 8.104 | 8.137 |
| | | | Mt | 0.000 | 0.000 | 0.000 | 0.000 | 0.000 |
| | | | My | 2.846 | 0.921 | -1.012 | -2.953 | -4.902 |
| | | | Mz | 0.000 | 0.000 | 0.000 | 0.000 | 0.000 |
| | | 1.35·PP+1.35·CM1+0.8·CM2+1.5·Q1 | N | -111.377 | -111.377 | -111.377 | -111.377 | -111.377 |
| | | | Vy | 0.000 | 0.000 | 0.000 | 0.000 | 0.000 |
| | | | Vz | 9.532 | 9.587 | 9.643 | 9.698 | 9.754 |
| | | | Mt | 0.000 | 0.000 | 0.000 | 0.000 | 0.000 |
| | | | My | 3.429 | 1.135 | -1.173 | -3.494 | -5.828 |
| | | | Mz | 0.000 | 0.000 | 0.000 | 0.000 | 0.000 |
| | | 0.8·PP+0.8·CM1+1.35·CM2+1.5·Q1 | N | -93.812 | -93.812 | -93.812 | -93.812 | -93.812 |
| | | | Vy | 0.000 | 0.000 | 0.000 | 0.000 | 0.000 |
| | | | Vz | 8.005 | 8.038 | 8.071 | 8.104 | 8.137 |
| | | | Mt | 0.000 | 0.000 | 0.000 | 0.000 | 0.000 |
| | | | My | 2.846 | 0.921 | -1.012 | -2.953 | -4.902 |
| | | | Mz | 0.000 | 0.000 | 0.000 | 0.000 | 0.000 |
| | | 1.35·PP+0.8·CM1+1.35·CM2+1.5·Q1 | N | -111.377 | -111.377 | -111.377 | -111.377 | -111.377 |
| | | | Vy | 0.000 | 0.000 | 0.000 | 0.000 | 0.000 |
| | | | Vz | 9.532 | 9.587 | 9.643 | 9.698 | 9.754 |
| | | | Mt | 0.000 | 0.000 | 0.000 | 0.000 | 0.000 |
| | | | My | 3.429 | 1.135 | -1.173 | -3.494 | -5.828 |
| | | | Mz | 0.000 | 0.000 | 0.000 | 0.000 | 0.000 |
| | | 0.8·PP+1.35·CM1+1.35·CM2+1.5·Q1 | N | -99.458 | -99.458 | -99.458 | -99.458 | -99.458 |
| | | | Vy | 0.000 | 0.000 | 0.000 | 0.000 | 0.000 |
| | | | Vz | 8.483 | 8.516 | 8.549 | 8.582 | 8.615 |
| | | | Mt | 0.000 | 0.000 | 0.000 | 0.000 | 0.000 |
| | | | My | 3.011 | 0.971 | -1.076 | -3.132 | -5.196 |
| | | | Mz | 0.000 | 0.000 | 0.000 | 0.000 | 0.000 |
| | | 1.35·PP+1.35·CM1+1.35·CM2+1.5·Q1 | N | -117.023 | -117.023 | -117.023 | -117.023 | -117.023 |
| | | | Vy | 0.000 | 0.000 | 0.000 | 0.000 | 0.000 |
| | | | Vz | 10.010 | 10.066 | 10.121 | 10.177 | 10.232 |
| | | | Mt | 0.000 | 0.000 | 0.000 | 0.000 | 0.000 |
| | | | My | 3.595 | 1.186 | -1.237 | -3.673 | -6.122 |
| | | | Mz | 0.000 | 0.000 | 0.000 | 0.000 | 0.000 |



Listados

DESARROLLO DE PROYECTO EJECUTIVO DE REFORMA DE LA PISCINA DEL
COLEGIO PÁLCAM

Fecha: 28/03/18

| Esfuerzos en barras, por combinación | | | | | | |
|--------------------------------------|----------------|-------------------------------|----------|------------------------|---------|---------|
| Barra | Combinación | | Esfuerzo | Posiciones en la barra | | |
| | Tipo | Descripción | | 0.000 m | 0.300 m | 0.600 m |
| N1/N3 | Acero laminado | 0.8·PP+0.8·CM1+0.8·CM2 | N | -16.718 | -16.701 | -16.683 |
| | | | Vy | 0.000 | 0.000 | 0.000 |
| | | | Vz | -7.464 | -7.464 | -7.464 |
| | | | Mt | 0.000 | 0.000 | 0.000 |
| | | | My | -2.193 | 0.046 | 2.285 |
| | | | Mz | 0.000 | 0.000 | 0.000 |
| | | 1.35·PP+0.8·CM1+0.8·CM2 | N | -23.809 | -23.780 | -23.751 |
| | | | Vy | 0.000 | 0.000 | 0.000 |
| | | | Vz | -10.601 | -10.601 | -10.601 |
| | | | Mt | 0.000 | 0.000 | 0.000 |
| | | | My | -3.115 | 0.065 | 3.246 |
| | | | Mz | 0.000 | 0.000 | 0.000 |
| | | 0.8·PP+1.35·CM1+0.8·CM2 | N | -18.919 | -18.902 | -18.885 |
| | | | Vy | 0.000 | 0.000 | 0.000 |
| | | | Vz | -8.462 | -8.462 | -8.462 |
| | | | Mt | 0.000 | 0.000 | 0.000 |
| | | | My | -2.486 | 0.052 | 2.591 |
| | | | Mz | 0.000 | 0.000 | 0.000 |
| | | 1.35·PP+1.35·CM1+0.8·CM2 | N | -26.010 | -25.981 | -25.952 |
| | | | Vy | 0.000 | 0.000 | 0.000 |
| | | | Vz | -11.599 | -11.599 | -11.599 |
| | | | Mt | 0.000 | 0.000 | 0.000 |
| | | | My | -3.408 | 0.071 | 3.551 |
| | | | Mz | 0.000 | 0.000 | 0.000 |
| | | 0.8·PP+0.8·CM1+1.35·CM2 | N | -18.919 | -18.902 | -18.885 |
| | | | Vy | 0.000 | 0.000 | 0.000 |
| | | | Vz | -8.462 | -8.462 | -8.462 |
| | | | Mt | 0.000 | 0.000 | 0.000 |
| | | | My | -2.486 | 0.052 | 2.591 |
| | | | Mz | 0.000 | 0.000 | 0.000 |
| | | 1.35·PP+0.8·CM1+1.35·CM2 | N | -26.010 | -25.981 | -25.952 |
| | | | Vy | 0.000 | 0.000 | 0.000 |
| | | | Vz | -11.599 | -11.599 | -11.599 |
| | | | Mt | 0.000 | 0.000 | 0.000 |
| | | | My | -3.408 | 0.071 | 3.551 |
| | | | Mz | 0.000 | 0.000 | 0.000 |
| | | 0.8·PP+1.35·CM1+1.35·CM2 | N | -21.120 | -21.103 | -21.086 |
| | | | Vy | 0.000 | 0.000 | 0.000 |
| | | | Vz | -9.459 | -9.459 | -9.459 |
| | | | Mt | 0.000 | 0.000 | 0.000 |
| | | | My | -2.779 | 0.059 | 2.896 |
| | | | Mz | 0.000 | 0.000 | 0.000 |
| | | 1.35·PP+1.35·CM1+1.35·CM2 | N | -28.211 | -28.182 | -28.153 |
| | | | Vy | 0.000 | 0.000 | 0.000 |
| | | | Vz | -12.596 | -12.596 | -12.596 |
| | | | Mt | 0.000 | 0.000 | 0.000 |
| | | | My | -3.701 | 0.078 | 3.857 |
| | | | Mz | 0.000 | 0.000 | 0.000 |
| | | 0.8·PP+0.8·CM1+0.8·CM2+1.5·Q1 | N | -34.727 | -34.710 | -34.693 |



Listados

DESARROLLO DE PROYECTO EJECUTIVO DE REFORMA DE LA PISCINA DEL
COLEGIO PÁLCAM

Fecha: 28/03/18

| Esfuerzos en barras, por combinación | | | | | | |
|--------------------------------------|-------------|----------------------------------|----------|------------------------|---------|---------|
| Barra | Combinación | | Esfuerzo | Posiciones en la barra | | |
| | Tipo | Descripción | | 0.000 m | 0.300 m | 0.600 m |
| | | | Vy | 0.000 | 0.000 | 0.000 |
| | | | Vz | -15.624 | -15.624 | -15.624 |
| | | | Mt | 0.000 | 0.000 | 0.000 |
| | | | My | -4.589 | 0.098 | 4.785 |
| | | | Mz | 0.000 | 0.000 | 0.000 |
| | | 1.35·PP+0.8·CM1+0.8·CM2+1.5·Q1 | N | -41.818 | -41.789 | -41.760 |
| | | | Vy | 0.000 | 0.000 | 0.000 |
| | | | Vz | -18.761 | -18.761 | -18.761 |
| | | | Mt | 0.000 | 0.000 | 0.000 |
| | | | My | -5.511 | 0.117 | 5.745 |
| | | | Mz | 0.000 | 0.000 | 0.000 |
| | | 0.8·PP+1.35·CM1+0.8·CM2+1.5·Q1 | N | -36.928 | -36.911 | -36.894 |
| | | | Vy | 0.000 | 0.000 | 0.000 |
| | | | Vz | -16.621 | -16.621 | -16.621 |
| | | | Mt | 0.000 | 0.000 | 0.000 |
| | | | My | -4.882 | 0.105 | 5.091 |
| | | | Mz | 0.000 | 0.000 | 0.000 |
| | | 1.35·PP+1.35·CM1+0.8·CM2+1.5·Q1 | N | -44.019 | -43.990 | -43.962 |
| | | | Vy | 0.000 | 0.000 | 0.000 |
| | | | Vz | -19.758 | -19.758 | -19.758 |
| | | | Mt | 0.000 | 0.000 | 0.000 |
| | | | My | -5.804 | 0.124 | 6.051 |
| | | | Mz | 0.000 | 0.000 | 0.000 |
| | | 0.8·PP+0.8·CM1+1.35·CM2+1.5·Q1 | N | -36.928 | -36.911 | -36.894 |
| | | | Vy | 0.000 | 0.000 | 0.000 |
| | | | Vz | -16.621 | -16.621 | -16.621 |
| | | | Mt | 0.000 | 0.000 | 0.000 |
| | | | My | -4.882 | 0.105 | 5.091 |
| | | | Mz | 0.000 | 0.000 | 0.000 |
| | | 1.35·PP+0.8·CM1+1.35·CM2+1.5·Q1 | N | -44.019 | -43.990 | -43.962 |
| | | | Vy | 0.000 | 0.000 | 0.000 |
| | | | Vz | -19.758 | -19.758 | -19.758 |
| | | | Mt | 0.000 | 0.000 | 0.000 |
| | | | My | -5.804 | 0.124 | 6.051 |
| | | | Mz | 0.000 | 0.000 | 0.000 |
| | | 0.8·PP+1.35·CM1+1.35·CM2+1.5·Q1 | N | -39.129 | -39.112 | -39.095 |
| | | | Vy | 0.000 | 0.000 | 0.000 |
| | | | Vz | -17.618 | -17.618 | -17.618 |
| | | | Mt | 0.000 | 0.000 | 0.000 |
| | | | My | -5.175 | 0.111 | 5.396 |
| | | | Mz | 0.000 | 0.000 | 0.000 |
| | | 1.35·PP+1.35·CM1+1.35·CM2+1.5·Q1 | N | -46.221 | -46.192 | -46.163 |
| | | | Vy | 0.000 | 0.000 | 0.000 |
| | | | Vz | -20.755 | -20.755 | -20.755 |
| | | | Mt | 0.000 | 0.000 | 0.000 |
| | | | My | -6.097 | 0.130 | 6.357 |
| | | | Mz | 0.000 | 0.000 | 0.000 |



Listados

DESARROLLO DE PROYECTO EJECUTIVO DE REFORMA DE LA PISCINA DEL
COLEGIO PÁLCAM

Fecha: 28/03/18

| Esfuerzos en barras, por combinación | | | | | | |
|--------------------------------------|----------------|-------------------------------|----------|------------------------|---------|---------|
| Barra | Combinación | | Esfuerzo | Posiciones en la barra | | |
| | Tipo | Descripción | | 0.000 m | 0.300 m | 0.600 m |
| N5/N6 | Acero laminado | 0.8·PP+0.8·CM1+0.8·CM2 | N | -11.538 | -11.530 | -11.523 |
| | | | Vy | 0.000 | 0.000 | 0.000 |
| | | | Vz | -2.826 | -2.826 | -2.826 |
| | | | Mt | 0.000 | 0.000 | 0.000 |
| | | | My | -0.845 | 0.003 | 0.851 |
| | | | Mz | 0.000 | 0.000 | 0.000 |
| | | 1.35·PP+0.8·CM1+0.8·CM2 | N | -16.385 | -16.373 | -16.360 |
| | | | Vy | 0.000 | 0.000 | 0.000 |
| | | | Vz | -4.011 | -4.011 | -4.011 |
| | | | Mt | 0.000 | 0.000 | 0.000 |
| | | | My | -1.199 | 0.004 | 1.208 |
| | | | Mz | 0.000 | 0.000 | 0.000 |
| | | 0.8·PP+1.35·CM1+0.8·CM2 | N | -13.080 | -13.072 | -13.065 |
| | | | Vy | 0.000 | 0.000 | 0.000 |
| | | | Vz | -3.204 | -3.204 | -3.204 |
| | | | Mt | 0.000 | 0.000 | 0.000 |
| | | | My | -0.958 | 0.003 | 0.965 |
| | | | Mz | 0.000 | 0.000 | 0.000 |
| | | 1.35·PP+1.35·CM1+0.8·CM2 | N | -17.928 | -17.915 | -17.902 |
| | | | Vy | 0.000 | 0.000 | 0.000 |
| | | | Vz | -4.390 | -4.390 | -4.390 |
| | | | Mt | 0.000 | 0.000 | 0.000 |
| | | | My | -1.312 | 0.005 | 1.322 |
| | | | Mz | 0.000 | 0.000 | 0.000 |
| | | 0.8·PP+0.8·CM1+1.35·CM2 | N | -13.080 | -13.072 | -13.065 |
| | | | Vy | 0.000 | 0.000 | 0.000 |
| | | | Vz | -3.204 | -3.204 | -3.204 |
| | | | Mt | 0.000 | 0.000 | 0.000 |
| | | | My | -0.958 | 0.003 | 0.965 |
| | | | Mz | 0.000 | 0.000 | 0.000 |
| | | 1.35·PP+0.8·CM1+1.35·CM2 | N | -17.928 | -17.915 | -17.902 |
| | | | Vy | 0.000 | 0.000 | 0.000 |
| | | | Vz | -4.390 | -4.390 | -4.390 |
| | | | Mt | 0.000 | 0.000 | 0.000 |
| | | | My | -1.312 | 0.005 | 1.322 |
| | | | Mz | 0.000 | 0.000 | 0.000 |
| | | 0.8·PP+1.35·CM1+1.35·CM2 | N | -14.622 | -14.614 | -14.607 |
| | | | Vy | 0.000 | 0.000 | 0.000 |
| | | | Vz | -3.583 | -3.583 | -3.583 |
| | | | Mt | 0.000 | 0.000 | 0.000 |
| | | | My | -1.071 | 0.004 | 1.079 |
| | | | Mz | 0.000 | 0.000 | 0.000 |
| | | 1.35·PP+1.35·CM1+1.35·CM2 | N | -19.470 | -19.457 | -19.444 |
| | | | Vy | 0.000 | 0.000 | 0.000 |
| | | | Vz | -4.769 | -4.769 | -4.769 |
| | | | Mt | 0.000 | 0.000 | 0.000 |
| | | | My | -1.425 | 0.005 | 1.436 |
| | | | Mz | 0.000 | 0.000 | 0.000 |
| | | 0.8·PP+0.8·CM1+0.8·CM2+1.5·Q1 | N | -24.155 | -24.148 | -24.140 |



Listados

DESARROLLO DE PROYECTO EJECUTIVO DE REFORMA DE LA PISCINA DEL
COLEGIO PÁLCAM

Fecha: 28/03/18

| Esfuerzos en barras, por combinación | | | | | | |
|--------------------------------------|-------------|----------------------------------|----------|------------------------|---------|---------|
| Barra | Combinación | | Esfuerzo | Posiciones en la barra | | |
| | Tipo | Descripción | | 0.000 m | 0.300 m | 0.600 m |
| | | | Vy | 0.000 | 0.000 | 0.000 |
| | | | Vz | -5.924 | -5.924 | -5.924 |
| | | | Mt | 0.000 | 0.000 | 0.000 |
| | | | My | -1.771 | 0.007 | 1.784 |
| | | | Mz | 0.000 | 0.000 | 0.000 |
| | | 1.35·PP+0.8·CM1+0.8·CM2+1.5·Q1 | N | -29.003 | -28.990 | -28.978 |
| | | | Vy | 0.000 | 0.000 | 0.000 |
| | | | Vz | -7.109 | -7.109 | -7.109 |
| | | | Mt | 0.000 | 0.000 | 0.000 |
| | | | My | -2.125 | 0.008 | 2.141 |
| | | | Mz | 0.000 | 0.000 | 0.000 |
| | | 0.8·PP+1.35·CM1+0.8·CM2+1.5·Q1 | N | -25.697 | -25.690 | -25.682 |
| | | | Vy | 0.000 | 0.000 | 0.000 |
| | | | Vz | -6.303 | -6.303 | -6.303 |
| | | | Mt | 0.000 | 0.000 | 0.000 |
| | | | My | -1.884 | 0.007 | 1.898 |
| | | | Mz | 0.000 | 0.000 | 0.000 |
| | | 1.35·PP+1.35·CM1+0.8·CM2+1.5·Q1 | N | -30.545 | -30.533 | -30.520 |
| | | | Vy | 0.000 | 0.000 | 0.000 |
| | | | Vz | -7.488 | -7.488 | -7.488 |
| | | | Mt | 0.000 | 0.000 | 0.000 |
| | | | My | -2.238 | 0.008 | 2.255 |
| | | | Mz | 0.000 | 0.000 | 0.000 |
| | | 0.8·PP+0.8·CM1+1.35·CM2+1.5·Q1 | N | -25.697 | -25.690 | -25.682 |
| | | | Vy | 0.000 | 0.000 | 0.000 |
| | | | Vz | -6.303 | -6.303 | -6.303 |
| | | | Mt | 0.000 | 0.000 | 0.000 |
| | | | My | -1.884 | 0.007 | 1.898 |
| | | | Mz | 0.000 | 0.000 | 0.000 |
| | | 1.35·PP+0.8·CM1+1.35·CM2+1.5·Q1 | N | -30.545 | -30.533 | -30.520 |
| | | | Vy | 0.000 | 0.000 | 0.000 |
| | | | Vz | -7.488 | -7.488 | -7.488 |
| | | | Mt | 0.000 | 0.000 | 0.000 |
| | | | My | -2.238 | 0.008 | 2.255 |
| | | | Mz | 0.000 | 0.000 | 0.000 |
| | | 0.8·PP+1.35·CM1+1.35·CM2+1.5·Q1 | N | -27.240 | -27.232 | -27.225 |
| | | | Vy | 0.000 | 0.000 | 0.000 |
| | | | Vz | -6.681 | -6.681 | -6.681 |
| | | | Mt | 0.000 | 0.000 | 0.000 |
| | | | My | -1.997 | 0.007 | 2.012 |
| | | | Mz | 0.000 | 0.000 | 0.000 |
| | | 1.35·PP+1.35·CM1+1.35·CM2+1.5·Q1 | N | -32.087 | -32.075 | -32.062 |
| | | | Vy | 0.000 | 0.000 | 0.000 |
| | | | Vz | -7.867 | -7.867 | -7.867 |
| | | | Mt | 0.000 | 0.000 | 0.000 |
| | | | My | -2.351 | 0.009 | 2.369 |
| | | | Mz | 0.000 | 0.000 | 0.000 |



Listados

DESARROLLO DE PROYECTO EJECUTIVO DE REFORMA DE LA PISCINA DEL
COLEGIO PÁLCAM

Fecha: 28/03/18

| Esfuerzos en barras, por combinación | | | | | | |
|--------------------------------------|----------------|-------------------------------|----------|------------------------|---------|---------|
| Barra | Combinación | | Esfuerzo | Posiciones en la barra | | |
| | Tipo | Descripción | | 0.000 m | 0.300 m | 0.600 m |
| N15/N7 | Acero laminado | 0.8·PP+0.8·CM1+0.8·CM2 | N | -11.147 | -11.140 | -11.132 |
| | | | Vy | 0.000 | 0.000 | 0.000 |
| | | | Vz | -2.660 | -2.660 | -2.660 |
| | | | Mt | 0.000 | 0.000 | 0.000 |
| | | | My | -0.799 | -0.001 | 0.797 |
| | | | Mz | 0.000 | 0.000 | 0.000 |
| | | 1.35·PP+0.8·CM1+0.8·CM2 | N | -15.801 | -15.788 | -15.775 |
| | | | Vy | 0.000 | 0.000 | 0.000 |
| | | | Vz | -3.771 | -3.771 | -3.771 |
| | | | Mt | 0.000 | 0.000 | 0.000 |
| | | | My | -1.133 | -0.002 | 1.130 |
| | | | Mz | 0.000 | 0.000 | 0.000 |
| | | 0.8·PP+1.35·CM1+0.8·CM2 | N | -12.652 | -12.645 | -12.637 |
| | | | Vy | 0.000 | 0.000 | 0.000 |
| | | | Vz | -3.020 | -3.020 | -3.020 |
| | | | Mt | 0.000 | 0.000 | 0.000 |
| | | | My | -0.907 | -0.001 | 0.905 |
| | | | Mz | 0.000 | 0.000 | 0.000 |
| | | 1.35·PP+1.35·CM1+0.8·CM2 | N | -17.306 | -17.293 | -17.280 |
| | | | Vy | 0.000 | 0.000 | 0.000 |
| | | | Vz | -4.130 | -4.130 | -4.130 |
| | | | Mt | 0.000 | 0.000 | 0.000 |
| | | | My | -1.241 | -0.002 | 1.237 |
| | | | Mz | 0.000 | 0.000 | 0.000 |
| | | 0.8·PP+0.8·CM1+1.35·CM2 | N | -12.652 | -12.645 | -12.637 |
| | | | Vy | 0.000 | 0.000 | 0.000 |
| | | | Vz | -3.020 | -3.020 | -3.020 |
| | | | Mt | 0.000 | 0.000 | 0.000 |
| | | | My | -0.907 | -0.001 | 0.905 |
| | | | Mz | 0.000 | 0.000 | 0.000 |
| | | 1.35·PP+0.8·CM1+1.35·CM2 | N | -17.306 | -17.293 | -17.280 |
| | | | Vy | 0.000 | 0.000 | 0.000 |
| | | | Vz | -4.130 | -4.130 | -4.130 |
| | | | Mt | 0.000 | 0.000 | 0.000 |
| | | | My | -1.241 | -0.002 | 1.237 |
| | | | Mz | 0.000 | 0.000 | 0.000 |
| | | 0.8·PP+1.35·CM1+1.35·CM2 | N | -14.157 | -14.150 | -14.142 |
| | | | Vy | 0.000 | 0.000 | 0.000 |
| | | | Vz | -3.379 | -3.379 | -3.379 |
| | | | Mt | 0.000 | 0.000 | 0.000 |
| | | | My | -1.015 | -0.001 | 1.012 |
| | | | Mz | 0.000 | 0.000 | 0.000 |
| | | 1.35·PP+1.35·CM1+1.35·CM2 | N | -18.811 | -18.798 | -18.785 |
| | | | Vy | 0.000 | 0.000 | 0.000 |
| | | | Vz | -4.489 | -4.489 | -4.489 |
| | | | Mt | 0.000 | 0.000 | 0.000 |
| | | | My | -1.349 | -0.002 | 1.345 |
| | | | Mz | 0.000 | 0.000 | 0.000 |
| | | 0.8·PP+0.8·CM1+0.8·CM2+1.5·Q1 | N | -23.461 | -23.454 | -23.446 |



Listados

DESARROLLO DE PROYECTO EJECUTIVO DE REFORMA DE LA PISCINA DEL
COLEGIO PÁLCAM

Fecha: 28/03/18

| Esfuerzos en barras, por combinación | | | | | | |
|--------------------------------------|-------------|----------------------------------|----------|------------------------|---------|---------|
| Barra | Combinación | | Esfuerzo | Posiciones en la barra | | |
| | Tipo | Descripción | | 0.000 m | 0.300 m | 0.600 m |
| | | | Vy | 0.000 | 0.000 | 0.000 |
| | | | Vz | -5.600 | -5.600 | -5.600 |
| | | | Mt | 0.000 | 0.000 | 0.000 |
| | | | My | -1.682 | -0.002 | 1.678 |
| | | | Mz | 0.000 | 0.000 | 0.000 |
| | | 1.35·PP+0.8·CM1+0.8·CM2+1.5·Q1 | N | -28.115 | -28.102 | -28.089 |
| | | | Vy | 0.000 | 0.000 | 0.000 |
| | | | Vz | -6.710 | -6.710 | -6.710 |
| | | | Mt | 0.000 | 0.000 | 0.000 |
| | | | My | -2.016 | -0.003 | 2.011 |
| | | | Mz | 0.000 | 0.000 | 0.000 |
| | | 0.8·PP+1.35·CM1+0.8·CM2+1.5·Q1 | N | -24.966 | -24.959 | -24.951 |
| | | | Vy | 0.000 | 0.000 | 0.000 |
| | | | Vz | -5.959 | -5.959 | -5.959 |
| | | | Mt | 0.000 | 0.000 | 0.000 |
| | | | My | -1.790 | -0.002 | 1.786 |
| | | | Mz | 0.000 | 0.000 | 0.000 |
| | | 1.35·PP+1.35·CM1+0.8·CM2+1.5·Q1 | N | -29.620 | -29.607 | -29.594 |
| | | | Vy | 0.000 | 0.000 | 0.000 |
| | | | Vz | -7.070 | -7.070 | -7.070 |
| | | | Mt | 0.000 | 0.000 | 0.000 |
| | | | My | -2.124 | -0.003 | 2.118 |
| | | | Mz | 0.000 | 0.000 | 0.000 |
| | | 0.8·PP+0.8·CM1+1.35·CM2+1.5·Q1 | N | -24.966 | -24.959 | -24.951 |
| | | | Vy | 0.000 | 0.000 | 0.000 |
| | | | Vz | -5.959 | -5.959 | -5.959 |
| | | | Mt | 0.000 | 0.000 | 0.000 |
| | | | My | -1.790 | -0.002 | 1.786 |
| | | | Mz | 0.000 | 0.000 | 0.000 |
| | | 1.35·PP+0.8·CM1+1.35·CM2+1.5·Q1 | N | -29.620 | -29.607 | -29.594 |
| | | | Vy | 0.000 | 0.000 | 0.000 |
| | | | Vz | -7.070 | -7.070 | -7.070 |
| | | | Mt | 0.000 | 0.000 | 0.000 |
| | | | My | -2.124 | -0.003 | 2.118 |
| | | | Mz | 0.000 | 0.000 | 0.000 |
| | | 0.8·PP+1.35·CM1+1.35·CM2+1.5·Q1 | N | -26.471 | -26.464 | -26.456 |
| | | | Vy | 0.000 | 0.000 | 0.000 |
| | | | Vz | -6.319 | -6.319 | -6.319 |
| | | | Mt | 0.000 | 0.000 | 0.000 |
| | | | My | -1.898 | -0.002 | 1.893 |
| | | | Mz | 0.000 | 0.000 | 0.000 |
| | | 1.35·PP+1.35·CM1+1.35·CM2+1.5·Q1 | N | -31.125 | -31.112 | -31.100 |
| | | | Vy | 0.000 | 0.000 | 0.000 |
| | | | Vz | -7.429 | -7.429 | -7.429 |
| | | | Mt | 0.000 | 0.000 | 0.000 |
| | | | My | -2.232 | -0.003 | 2.226 |
| | | | Mz | 0.000 | 0.000 | 0.000 |



Listados

DESARROLLO DE PROYECTO EJECUTIVO DE REFORMA DE LA PISCINA DEL
COLEGIO PÁLCAM

Fecha: 28/03/18

| Esfuerzos en barras, por combinación | | | | | | |
|--------------------------------------|----------------|-------------------------------|----------|------------------------|---------|---------|
| Barra | Combinación | | Esfuerzo | Posiciones en la barra | | |
| | Tipo | Descripción | | 0.000 m | 0.300 m | 0.600 m |
| N16/N8 | Acero laminado | 0.8·PP+0.8·CM1+0.8·CM2 | N | -9.688 | -9.681 | -9.673 |
| | | | Vy | 0.000 | 0.000 | 0.000 |
| | | | Vz | -2.333 | -2.333 | -2.333 |
| | | | Mt | 0.000 | 0.000 | 0.000 |
| | | | My | -0.701 | -0.001 | 0.699 |
| | | | Mz | 0.000 | 0.000 | 0.000 |
| | | 1.35·PP+0.8·CM1+0.8·CM2 | N | -13.702 | -13.689 | -13.676 |
| | | | Vy | 0.000 | 0.000 | 0.000 |
| | | | Vz | -3.301 | -3.301 | -3.301 |
| | | | Mt | 0.000 | 0.000 | 0.000 |
| | | | My | -0.992 | -0.002 | 0.988 |
| | | | Mz | 0.000 | 0.000 | 0.000 |
| | | 0.8·PP+1.35·CM1+0.8·CM2 | N | -11.012 | -11.004 | -10.997 |
| | | | Vy | 0.000 | 0.000 | 0.000 |
| | | | Vz | -2.651 | -2.651 | -2.651 |
| | | | Mt | 0.000 | 0.000 | 0.000 |
| | | | My | -0.797 | -0.001 | 0.794 |
| | | | Mz | 0.000 | 0.000 | 0.000 |
| | | 1.35·PP+1.35·CM1+0.8·CM2 | N | -15.025 | -15.013 | -15.000 |
| | | | Vy | 0.000 | 0.000 | 0.000 |
| | | | Vz | -3.619 | -3.619 | -3.619 |
| | | | Mt | 0.000 | 0.000 | 0.000 |
| | | | My | -1.088 | -0.002 | 1.083 |
| | | | Mz | 0.000 | 0.000 | 0.000 |
| | | 0.8·PP+0.8·CM1+1.35·CM2 | N | -11.012 | -11.004 | -10.997 |
| | | | Vy | 0.000 | 0.000 | 0.000 |
| | | | Vz | -2.651 | -2.651 | -2.651 |
| | | | Mt | 0.000 | 0.000 | 0.000 |
| | | | My | -0.797 | -0.001 | 0.794 |
| | | | Mz | 0.000 | 0.000 | 0.000 |
| | | 1.35·PP+0.8·CM1+1.35·CM2 | N | -15.025 | -15.013 | -15.000 |
| | | | Vy | 0.000 | 0.000 | 0.000 |
| | | | Vz | -3.619 | -3.619 | -3.619 |
| | | | Mt | 0.000 | 0.000 | 0.000 |
| | | | My | -1.088 | -0.002 | 1.083 |
| | | | Mz | 0.000 | 0.000 | 0.000 |
| | | 0.8·PP+1.35·CM1+1.35·CM2 | N | -12.335 | -12.328 | -12.320 |
| | | | Vy | 0.000 | 0.000 | 0.000 |
| | | | Vz | -2.969 | -2.969 | -2.969 |
| | | | Mt | 0.000 | 0.000 | 0.000 |
| | | | My | -0.892 | -0.002 | 0.889 |
| | | | Mz | 0.000 | 0.000 | 0.000 |
| | | 1.35·PP+1.35·CM1+1.35·CM2 | N | -16.349 | -16.336 | -16.323 |
| | | | Vy | 0.000 | 0.000 | 0.000 |
| | | | Vz | -3.937 | -3.937 | -3.937 |
| | | | Mt | 0.000 | 0.000 | 0.000 |
| | | | My | -1.183 | -0.002 | 1.179 |
| | | | Mz | 0.000 | 0.000 | 0.000 |
| | | 0.8·PP+0.8·CM1+0.8·CM2+1.5·Q1 | N | -20.518 | -20.510 | -20.503 |



Listados

DESARROLLO DE PROYECTO EJECUTIVO DE REFORMA DE LA PISCINA DEL
COLEGIO PÁLCAM

Fecha: 28/03/18

| Esfuerzos en barras, por combinación | | | | | | |
|--------------------------------------|-------------|----------------------------------|----------|------------------------|---------|---------|
| Barra | Combinación | | Esfuerzo | Posiciones en la barra | | |
| | Tipo | Descripción | | 0.000 m | 0.300 m | 0.600 m |
| | | | Vy | 0.000 | 0.000 | 0.000 |
| | | | Vz | -4.934 | -4.934 | -4.934 |
| | | | Mt | 0.000 | 0.000 | 0.000 |
| | | | My | -1.483 | -0.002 | 1.478 |
| | | | Mz | 0.000 | 0.000 | 0.000 |
| | | 1.35·PP+0.8·CM1+0.8·CM2+1.5·Q1 | N | -24.531 | -24.518 | -24.506 |
| | | | Vy | 0.000 | 0.000 | 0.000 |
| | | | Vz | -5.902 | -5.902 | -5.902 |
| | | | Mt | 0.000 | 0.000 | 0.000 |
| | | | My | -1.774 | -0.003 | 1.768 |
| | | | Mz | 0.000 | 0.000 | 0.000 |
| | | 0.8·PP+1.35·CM1+0.8·CM2+1.5·Q1 | N | -21.841 | -21.834 | -21.826 |
| | | | Vy | 0.000 | 0.000 | 0.000 |
| | | | Vz | -5.252 | -5.252 | -5.252 |
| | | | Mt | 0.000 | 0.000 | 0.000 |
| | | | My | -1.578 | -0.003 | 1.573 |
| | | | Mz | 0.000 | 0.000 | 0.000 |
| | | 1.35·PP+1.35·CM1+0.8·CM2+1.5·Q1 | N | -25.855 | -25.842 | -25.829 |
| | | | Vy | 0.000 | 0.000 | 0.000 |
| | | | Vz | -6.220 | -6.220 | -6.220 |
| | | | Mt | 0.000 | 0.000 | 0.000 |
| | | | My | -1.869 | -0.003 | 1.863 |
| | | | Mz | 0.000 | 0.000 | 0.000 |
| | | 0.8·PP+0.8·CM1+1.35·CM2+1.5·Q1 | N | -21.841 | -21.834 | -21.826 |
| | | | Vy | 0.000 | 0.000 | 0.000 |
| | | | Vz | -5.252 | -5.252 | -5.252 |
| | | | Mt | 0.000 | 0.000 | 0.000 |
| | | | My | -1.578 | -0.003 | 1.573 |
| | | | Mz | 0.000 | 0.000 | 0.000 |
| | | 1.35·PP+0.8·CM1+1.35·CM2+1.5·Q1 | N | -25.855 | -25.842 | -25.829 |
| | | | Vy | 0.000 | 0.000 | 0.000 |
| | | | Vz | -6.220 | -6.220 | -6.220 |
| | | | Mt | 0.000 | 0.000 | 0.000 |
| | | | My | -1.869 | -0.003 | 1.863 |
| | | | Mz | 0.000 | 0.000 | 0.000 |
| | | 0.8·PP+1.35·CM1+1.35·CM2+1.5·Q1 | N | -23.165 | -23.157 | -23.150 |
| | | | Vy | 0.000 | 0.000 | 0.000 |
| | | | Vz | -5.570 | -5.570 | -5.570 |
| | | | Mt | 0.000 | 0.000 | 0.000 |
| | | | My | -1.674 | -0.003 | 1.668 |
| | | | Mz | 0.000 | 0.000 | 0.000 |
| | | 1.35·PP+1.35·CM1+1.35·CM2+1.5·Q1 | N | -27.178 | -27.166 | -27.153 |
| | | | Vy | 0.000 | 0.000 | 0.000 |
| | | | Vz | -6.538 | -6.538 | -6.538 |
| | | | Mt | 0.000 | 0.000 | 0.000 |
| | | | My | -1.965 | -0.003 | 1.958 |
| | | | Mz | 0.000 | 0.000 | 0.000 |



Listados

DESARROLLO DE PROYECTO EJECUTIVO DE REFORMA DE LA PISCINA DEL
COLEGIO PÁLCAM

Fecha: 28/03/18

| Esfuerzos en barras, por combinación | | | | | | |
|--------------------------------------|----------------|-------------------------------|----------|------------------------|---------|---------|
| Barra | Combinación | | Esfuerzo | Posiciones en la barra | | |
| | Tipo | Descripción | | 0.000 m | 0.300 m | 0.600 m |
| N17/N9 | Acero laminado | 0.8·PP+0.8·CM1+0.8·CM2 | N | -8.338 | -8.330 | -8.323 |
| | | | Vy | 0.000 | 0.000 | 0.000 |
| | | | Vz | -1.635 | -1.635 | -1.635 |
| | | | Mt | 0.000 | 0.000 | 0.000 |
| | | | My | -0.484 | 0.006 | 0.496 |
| | | | Mz | 0.000 | 0.000 | 0.000 |
| | | 1.35·PP+0.8·CM1+0.8·CM2 | N | -11.751 | -11.739 | -11.726 |
| | | | Vy | 0.000 | 0.000 | 0.000 |
| | | | Vz | -2.309 | -2.309 | -2.309 |
| | | | Mt | 0.000 | 0.000 | 0.000 |
| | | | My | -0.684 | 0.008 | 0.701 |
| | | | Mz | 0.000 | 0.000 | 0.000 |
| | | 0.8·PP+1.35·CM1+0.8·CM2 | N | -9.497 | -9.490 | -9.482 |
| | | | Vy | 0.000 | 0.000 | 0.000 |
| | | | Vz | -1.860 | -1.860 | -1.860 |
| | | | Mt | 0.000 | 0.000 | 0.000 |
| | | | My | -0.551 | 0.007 | 0.565 |
| | | | Mz | 0.000 | 0.000 | 0.000 |
| | | 1.35·PP+1.35·CM1+0.8·CM2 | N | -12.911 | -12.898 | -12.885 |
| | | | Vy | 0.000 | 0.000 | 0.000 |
| | | | Vz | -2.534 | -2.534 | -2.534 |
| | | | Mt | 0.000 | 0.000 | 0.000 |
| | | | My | -0.751 | 0.009 | 0.769 |
| | | | Mz | 0.000 | 0.000 | 0.000 |
| | | 0.8·PP+0.8·CM1+1.35·CM2 | N | -9.497 | -9.490 | -9.482 |
| | | | Vy | 0.000 | 0.000 | 0.000 |
| | | | Vz | -1.860 | -1.860 | -1.860 |
| | | | Mt | 0.000 | 0.000 | 0.000 |
| | | | My | -0.551 | 0.007 | 0.565 |
| | | | Mz | 0.000 | 0.000 | 0.000 |
| | | 1.35·PP+0.8·CM1+1.35·CM2 | N | -12.911 | -12.898 | -12.885 |
| | | | Vy | 0.000 | 0.000 | 0.000 |
| | | | Vz | -2.534 | -2.534 | -2.534 |
| | | | Mt | 0.000 | 0.000 | 0.000 |
| | | | My | -0.751 | 0.009 | 0.769 |
| | | | Mz | 0.000 | 0.000 | 0.000 |
| | | 0.8·PP+1.35·CM1+1.35·CM2 | N | -10.657 | -10.649 | -10.642 |
| | | | Vy | 0.000 | 0.000 | 0.000 |
| | | | Vz | -2.084 | -2.084 | -2.084 |
| | | | Mt | 0.000 | 0.000 | 0.000 |
| | | | My | -0.618 | 0.008 | 0.633 |
| | | | Mz | 0.000 | 0.000 | 0.000 |
| | | 1.35·PP+1.35·CM1+1.35·CM2 | N | -14.070 | -14.057 | -14.045 |
| | | | Vy | 0.000 | 0.000 | 0.000 |
| | | | Vz | -2.759 | -2.759 | -2.759 |
| | | | Mt | 0.000 | 0.000 | 0.000 |
| | | | My | -0.817 | 0.010 | 0.838 |
| | | | Mz | 0.000 | 0.000 | 0.000 |
| | | 0.8·PP+0.8·CM1+0.8·CM2+1.5·Q1 | N | -17.824 | -17.817 | -17.809 |



Listados

DESARROLLO DE PROYECTO EJECUTIVO DE REFORMA DE LA PISCINA DEL
COLEGIO PÁLCAM

Fecha: 28/03/18

| Esfuerzos en barras, por combinación | | | | | | |
|--------------------------------------|-------------|----------------------------------|----------|------------------------|---------|---------|
| Barra | Combinación | | Esfuerzo | Posiciones en la barra | | |
| | Tipo | Descripción | | 0.000 m | 0.300 m | 0.600 m |
| | | | Vy | 0.000 | 0.000 | 0.000 |
| | | | Vz | -3.475 | -3.475 | -3.475 |
| | | | Mt | 0.000 | 0.000 | 0.000 |
| | | | My | -1.029 | 0.013 | 1.056 |
| | | | Mz | 0.000 | 0.000 | 0.000 |
| | | 1.35·PP+0.8·CM1+0.8·CM2+1.5·Q1 | N | -21.238 | -21.225 | -21.212 |
| | | | Vy | 0.000 | 0.000 | 0.000 |
| | | | Vz | -4.149 | -4.149 | -4.149 |
| | | | Mt | 0.000 | 0.000 | 0.000 |
| | | | My | -1.229 | 0.016 | 1.260 |
| | | | Mz | 0.000 | 0.000 | 0.000 |
| | | 0.8·PP+1.35·CM1+0.8·CM2+1.5·Q1 | N | -18.984 | -18.976 | -18.969 |
| | | | Vy | 0.000 | 0.000 | 0.000 |
| | | | Vz | -3.700 | -3.700 | -3.700 |
| | | | Mt | 0.000 | 0.000 | 0.000 |
| | | | My | -1.096 | 0.014 | 1.124 |
| | | | Mz | 0.000 | 0.000 | 0.000 |
| | | 1.35·PP+1.35·CM1+0.8·CM2+1.5·Q1 | N | -22.397 | -22.384 | -22.372 |
| | | | Vy | 0.000 | 0.000 | 0.000 |
| | | | Vz | -4.374 | -4.374 | -4.374 |
| | | | Mt | 0.000 | 0.000 | 0.000 |
| | | | My | -1.296 | 0.016 | 1.328 |
| | | | Mz | 0.000 | 0.000 | 0.000 |
| | | 0.8·PP+0.8·CM1+1.35·CM2+1.5·Q1 | N | -18.984 | -18.976 | -18.969 |
| | | | Vy | 0.000 | 0.000 | 0.000 |
| | | | Vz | -3.700 | -3.700 | -3.700 |
| | | | Mt | 0.000 | 0.000 | 0.000 |
| | | | My | -1.096 | 0.014 | 1.124 |
| | | | Mz | 0.000 | 0.000 | 0.000 |
| | | 1.35·PP+0.8·CM1+1.35·CM2+1.5·Q1 | N | -22.397 | -22.384 | -22.372 |
| | | | Vy | 0.000 | 0.000 | 0.000 |
| | | | Vz | -4.374 | -4.374 | -4.374 |
| | | | Mt | 0.000 | 0.000 | 0.000 |
| | | | My | -1.296 | 0.016 | 1.328 |
| | | | Mz | 0.000 | 0.000 | 0.000 |
| | | 0.8·PP+1.35·CM1+1.35·CM2+1.5·Q1 | N | -20.143 | -20.136 | -20.128 |
| | | | Vy | 0.000 | 0.000 | 0.000 |
| | | | Vz | -3.924 | -3.924 | -3.924 |
| | | | Mt | 0.000 | 0.000 | 0.000 |
| | | | My | -1.162 | 0.015 | 1.192 |
| | | | Mz | 0.000 | 0.000 | 0.000 |
| | | 1.35·PP+1.35·CM1+1.35·CM2+1.5·Q1 | N | -23.556 | -23.544 | -23.531 |
| | | | Vy | 0.000 | 0.000 | 0.000 |
| | | | Vz | -4.598 | -4.598 | -4.598 |
| | | | Mt | 0.000 | 0.000 | 0.000 |
| | | | My | -1.362 | 0.017 | 1.397 |
| | | | Mz | 0.000 | 0.000 | 0.000 |



Listados

DESARROLLO DE PROYECTO EJECUTIVO DE REFORMA DE LA PISCINA DEL
COLEGIO PÁLCAM

Fecha: 28/03/18

| Esfuerzos en barras, por combinación | | | | | | |
|--------------------------------------|----------------|-------------------------------|----------|------------------------|---------|---------|
| Barra | Combinación | | Esfuerzo | Posiciones en la barra | | |
| | Tipo | Descripción | | 0.000 m | 0.300 m | 0.600 m |
| N18/N10 | Acero laminado | 0.8·PP+0.8·CM1+0.8·CM2 | N | -20.370 | -20.362 | -20.355 |
| | | | Vy | 0.000 | 0.000 | 0.000 |
| | | | Vz | -0.002 | -0.002 | -0.002 |
| | | | Mt | 0.000 | 0.000 | 0.000 |
| | | | My | -0.001 | 0.000 | 0.001 |
| | | | Mz | 0.000 | 0.000 | 0.000 |
| | | 1.35·PP+0.8·CM1+0.8·CM2 | N | -28.616 | -28.603 | -28.590 |
| | | | Vy | 0.000 | 0.000 | 0.000 |
| | | | Vz | -0.003 | -0.003 | -0.003 |
| | | | Mt | 0.000 | 0.000 | 0.000 |
| | | | My | -0.001 | 0.000 | 0.001 |
| | | | Mz | 0.000 | 0.000 | 0.000 |
| | | 0.8·PP+1.35·CM1+0.8·CM2 | N | -23.249 | -23.241 | -23.234 |
| | | | Vy | 0.000 | 0.000 | 0.000 |
| | | | Vz | -0.003 | -0.003 | -0.003 |
| | | | Mt | 0.000 | 0.000 | 0.000 |
| | | | My | -0.001 | 0.000 | 0.001 |
| | | | Mz | 0.000 | 0.000 | 0.000 |
| | | 1.35·PP+1.35·CM1+0.8·CM2 | N | -31.495 | -31.482 | -31.469 |
| | | | Vy | 0.000 | 0.000 | 0.000 |
| | | | Vz | -0.004 | -0.004 | -0.004 |
| | | | Mt | 0.000 | 0.000 | 0.000 |
| | | | My | -0.001 | 0.000 | 0.001 |
| | | | Mz | 0.000 | 0.000 | 0.000 |
| | | 0.8·PP+0.8·CM1+1.35·CM2 | N | -23.249 | -23.241 | -23.234 |
| | | | Vy | 0.000 | 0.000 | 0.000 |
| | | | Vz | -0.003 | -0.003 | -0.003 |
| | | | Mt | 0.000 | 0.000 | 0.000 |
| | | | My | -0.001 | 0.000 | 0.001 |
| | | | Mz | 0.000 | 0.000 | 0.000 |
| | | 1.35·PP+0.8·CM1+1.35·CM2 | N | -31.495 | -31.482 | -31.469 |
| | | | Vy | 0.000 | 0.000 | 0.000 |
| | | | Vz | -0.004 | -0.004 | -0.004 |
| | | | Mt | 0.000 | 0.000 | 0.000 |
| | | | My | -0.001 | 0.000 | 0.001 |
| | | | Mz | 0.000 | 0.000 | 0.000 |
| | | 0.8·PP+1.35·CM1+1.35·CM2 | N | -26.128 | -26.121 | -26.113 |
| | | | Vy | 0.000 | 0.000 | 0.000 |
| | | | Vz | -0.003 | -0.003 | -0.003 |
| | | | Mt | 0.000 | 0.000 | 0.000 |
| | | | My | -0.001 | 0.000 | 0.001 |
| | | | Mz | 0.000 | 0.000 | 0.000 |
| | | 1.35·PP+1.35·CM1+1.35·CM2 | N | -34.374 | -34.361 | -34.349 |
| | | | Vy | 0.000 | 0.000 | 0.000 |
| | | | Vz | -0.004 | -0.004 | -0.004 |
| | | | Mt | 0.000 | 0.000 | 0.000 |
| | | | My | -0.001 | 0.000 | 0.001 |
| | | | Mz | 0.000 | 0.000 | 0.000 |
| | | 0.8·PP+0.8·CM1+0.8·CM2+1.5·Q1 | N | -43.926 | -43.919 | -43.911 |
| | | | Vy | 0.000 | 0.000 | 0.000 |



Listados

DESARROLLO DE PROYECTO EJECUTIVO DE REFORMA DE LA PISCINA DEL
COLEGIO PÁLCAM

Fecha: 28/03/18

| Esfuerzos en barras, por combinación | | | | | | |
|--------------------------------------|-------------|----------------------------------|----------|------------------------|---------|---------|
| Barra | Combinación | | Esfuerzo | Posiciones en la barra | | |
| | Tipo | Descripción | | 0.000 m | 0.300 m | 0.600 m |
| | | | Vz | -0.005 | -0.005 | -0.005 |
| | | | Mt | 0.000 | 0.000 | 0.000 |
| | | | My | -0.001 | 0.000 | 0.001 |
| | | | Mz | 0.000 | 0.000 | 0.000 |
| | | 1.35·PP+0.8·CM1+0.8·CM2+1.5·Q1 | N | -52.172 | -52.160 | -52.147 |
| | | | Vy | 0.000 | 0.000 | 0.000 |
| | | | Vz | -0.006 | -0.006 | -0.006 |
| | | | Mt | 0.000 | 0.000 | 0.000 |
| | | | My | -0.002 | 0.000 | 0.002 |
| | | | Mz | 0.000 | 0.000 | 0.000 |
| | | 0.8·PP+1.35·CM1+0.8·CM2+1.5·Q1 | N | -46.806 | -46.798 | -46.790 |
| | | | Vy | 0.000 | 0.000 | 0.000 |
| | | | Vz | -0.005 | -0.005 | -0.005 |
| | | | Mt | 0.000 | 0.000 | 0.000 |
| | | | My | -0.002 | 0.000 | 0.001 |
| | | | Mz | 0.000 | 0.000 | 0.000 |
| | | 1.35·PP+1.35·CM1+0.8·CM2+1.5·Q1 | N | -55.051 | -55.039 | -55.026 |
| | | | Vy | 0.000 | 0.000 | 0.000 |
| | | | Vz | -0.006 | -0.006 | -0.006 |
| | | | Mt | 0.000 | 0.000 | 0.000 |
| | | | My | -0.002 | 0.000 | 0.002 |
| | | | Mz | 0.000 | 0.000 | 0.000 |
| | | 0.8·PP+0.8·CM1+1.35·CM2+1.5·Q1 | N | -46.806 | -46.798 | -46.790 |
| | | | Vy | 0.000 | 0.000 | 0.000 |
| | | | Vz | -0.005 | -0.005 | -0.005 |
| | | | Mt | 0.000 | 0.000 | 0.000 |
| | | | My | -0.002 | 0.000 | 0.001 |
| | | | Mz | 0.000 | 0.000 | 0.000 |
| | | 1.35·PP+0.8·CM1+1.35·CM2+1.5·Q1 | N | -55.051 | -55.039 | -55.026 |
| | | | Vy | 0.000 | 0.000 | 0.000 |
| | | | Vz | -0.006 | -0.006 | -0.006 |
| | | | Mt | 0.000 | 0.000 | 0.000 |
| | | | My | -0.002 | 0.000 | 0.002 |
| | | | Mz | 0.000 | 0.000 | 0.000 |
| | | 0.8·PP+1.35·CM1+1.35·CM2+1.5·Q1 | N | -49.685 | -49.677 | -49.670 |
| | | | Vy | 0.000 | 0.000 | 0.000 |
| | | | Vz | -0.005 | -0.005 | -0.005 |
| | | | Mt | 0.000 | 0.000 | 0.000 |
| | | | My | -0.002 | 0.000 | 0.002 |
| | | | Mz | 0.000 | 0.000 | 0.000 |
| | | 1.35·PP+1.35·CM1+1.35·CM2+1.5·Q1 | N | -57.931 | -57.918 | -57.905 |
| | | | Vy | 0.000 | 0.000 | 0.000 |
| | | | Vz | -0.006 | -0.006 | -0.006 |
| | | | Mt | 0.000 | 0.000 | 0.000 |
| | | | My | -0.002 | 0.000 | 0.002 |
| | | | Mz | 0.000 | 0.000 | 0.000 |



Listados

DESARROLLO DE PROYECTO EJECUTIVO DE REFORMA DE LA PISCINA DEL
COLEGIO PÁLCAM

Fecha: 28/03/18

| Esfuerzos en barras, por combinación | | | | | | |
|--------------------------------------|----------------|-------------------------------|----------|------------------------|---------|---------|
| Barra | Combinación | | Esfuerzo | Posiciones en la barra | | |
| | Tipo | Descripción | | 0.000 m | 0.300 m | 0.600 m |
| N19/N11 | Acero laminado | 0.8·PP+0.8·CM1+0.8·CM2 | N | -8.318 | -8.310 | -8.303 |
| | | | Vy | 0.000 | 0.000 | 0.000 |
| | | | Vz | 1.630 | 1.630 | 1.630 |
| | | | Mt | 0.000 | 0.000 | 0.000 |
| | | | My | 0.483 | -0.006 | -0.495 |
| | | | Mz | 0.000 | 0.000 | 0.000 |
| | | 1.35·PP+0.8·CM1+0.8·CM2 | N | -11.723 | -11.710 | -11.697 |
| | | | Vy | 0.000 | 0.000 | 0.000 |
| | | | Vz | 2.303 | 2.303 | 2.303 |
| | | | Mt | 0.000 | 0.000 | 0.000 |
| | | | My | 0.682 | -0.008 | -0.699 |
| | | | Mz | 0.000 | 0.000 | 0.000 |
| | | 0.8·PP+1.35·CM1+0.8·CM2 | N | -9.475 | -9.467 | -9.459 |
| | | | Vy | 0.000 | 0.000 | 0.000 |
| | | | Vz | 1.855 | 1.855 | 1.855 |
| | | | Mt | 0.000 | 0.000 | 0.000 |
| | | | My | 0.550 | -0.007 | -0.563 |
| | | | Mz | 0.000 | 0.000 | 0.000 |
| | | 1.35·PP+1.35·CM1+0.8·CM2 | N | -12.879 | -12.867 | -12.854 |
| | | | Vy | 0.000 | 0.000 | 0.000 |
| | | | Vz | 2.527 | 2.527 | 2.527 |
| | | | Mt | 0.000 | 0.000 | 0.000 |
| | | | My | 0.749 | -0.009 | -0.767 |
| | | | Mz | 0.000 | 0.000 | 0.000 |
| | | 0.8·PP+0.8·CM1+1.35·CM2 | N | -9.475 | -9.467 | -9.459 |
| | | | Vy | 0.000 | 0.000 | 0.000 |
| | | | Vz | 1.855 | 1.855 | 1.855 |
| | | | Mt | 0.000 | 0.000 | 0.000 |
| | | | My | 0.550 | -0.007 | -0.563 |
| | | | Mz | 0.000 | 0.000 | 0.000 |
| | | 1.35·PP+0.8·CM1+1.35·CM2 | N | -12.879 | -12.867 | -12.854 |
| | | | Vy | 0.000 | 0.000 | 0.000 |
| | | | Vz | 2.527 | 2.527 | 2.527 |
| | | | Mt | 0.000 | 0.000 | 0.000 |
| | | | My | 0.749 | -0.009 | -0.767 |
| | | | Mz | 0.000 | 0.000 | 0.000 |
| | | 0.8·PP+1.35·CM1+1.35·CM2 | N | -10.631 | -10.624 | -10.616 |
| | | | Vy | 0.000 | 0.000 | 0.000 |
| | | | Vz | 2.079 | 2.079 | 2.079 |
| | | | Mt | 0.000 | 0.000 | 0.000 |
| | | | My | 0.616 | -0.008 | -0.631 |
| | | | Mz | 0.000 | 0.000 | 0.000 |
| | | 1.35·PP+1.35·CM1+1.35·CM2 | N | -14.036 | -14.023 | -14.011 |
| | | | Vy | 0.000 | 0.000 | 0.000 |
| | | | Vz | 2.751 | 2.751 | 2.751 |
| | | | Mt | 0.000 | 0.000 | 0.000 |
| | | | My | 0.815 | -0.010 | -0.836 |
| | | | Mz | 0.000 | 0.000 | 0.000 |
| | | 0.8·PP+0.8·CM1+0.8·CM2+1.5·Q1 | N | -17.782 | -17.775 | -17.767 |
| | | | Vy | 0.000 | 0.000 | 0.000 |



Listados

DESARROLLO DE PROYECTO EJECUTIVO DE REFORMA DE LA PISCINA DEL
COLEGIO PÁLCAM

Fecha: 28/03/18

| Esfuerzos en barras, por combinación | | | | | | |
|--------------------------------------|-------------|----------------------------------|----------|------------------------|---------|---------|
| Barra | Combinación | | Esfuerzo | Posiciones en la barra | | |
| | Tipo | Descripción | | 0.000 m | 0.300 m | 0.600 m |
| | | | Vz | 3.466 | 3.466 | 3.466 |
| | | | Mt | 0.000 | 0.000 | 0.000 |
| | | | My | 1.027 | -0.013 | -1.053 |
| | | | Mz | 0.000 | 0.000 | 0.000 |
| | | 1.35·PP+0.8·CM1+0.8·CM2+1.5·Q1 | N | -21.187 | -21.175 | -21.162 |
| | | | Vy | 0.000 | 0.000 | 0.000 |
| | | | Vz | 4.138 | 4.138 | 4.138 |
| | | | Mt | 0.000 | 0.000 | 0.000 |
| | | | My | 1.226 | -0.016 | -1.257 |
| | | | Mz | 0.000 | 0.000 | 0.000 |
| | | 0.8·PP+1.35·CM1+0.8·CM2+1.5·Q1 | N | -18.939 | -18.932 | -18.924 |
| | | | Vy | 0.000 | 0.000 | 0.000 |
| | | | Vz | 3.690 | 3.690 | 3.690 |
| | | | Mt | 0.000 | 0.000 | 0.000 |
| | | | My | 1.093 | -0.014 | -1.121 |
| | | | Mz | 0.000 | 0.000 | 0.000 |
| | | 1.35·PP+1.35·CM1+0.8·CM2+1.5·Q1 | N | -22.344 | -22.331 | -22.319 |
| | | | Vy | 0.000 | 0.000 | 0.000 |
| | | | Vz | 4.362 | 4.362 | 4.362 |
| | | | Mt | 0.000 | 0.000 | 0.000 |
| | | | My | 1.292 | -0.016 | -1.325 |
| | | | Mz | 0.000 | 0.000 | 0.000 |
| | | 0.8·PP+0.8·CM1+1.35·CM2+1.5·Q1 | N | -18.939 | -18.932 | -18.924 |
| | | | Vy | 0.000 | 0.000 | 0.000 |
| | | | Vz | 3.690 | 3.690 | 3.690 |
| | | | Mt | 0.000 | 0.000 | 0.000 |
| | | | My | 1.093 | -0.014 | -1.121 |
| | | | Mz | 0.000 | 0.000 | 0.000 |
| | | 1.35·PP+0.8·CM1+1.35·CM2+1.5·Q1 | N | -22.344 | -22.331 | -22.319 |
| | | | Vy | 0.000 | 0.000 | 0.000 |
| | | | Vz | 4.362 | 4.362 | 4.362 |
| | | | Mt | 0.000 | 0.000 | 0.000 |
| | | | My | 1.292 | -0.016 | -1.325 |
| | | | Mz | 0.000 | 0.000 | 0.000 |
| | | 0.8·PP+1.35·CM1+1.35·CM2+1.5·Q1 | N | -20.096 | -20.089 | -20.081 |
| | | | Vy | 0.000 | 0.000 | 0.000 |
| | | | Vz | 3.915 | 3.915 | 3.915 |
| | | | Mt | 0.000 | 0.000 | 0.000 |
| | | | My | 1.159 | -0.015 | -1.189 |
| | | | Mz | 0.000 | 0.000 | 0.000 |
| | | 1.35·PP+1.35·CM1+1.35·CM2+1.5·Q1 | N | -23.501 | -23.488 | -23.475 |
| | | | Vy | 0.000 | 0.000 | 0.000 |
| | | | Vz | 4.587 | 4.587 | 4.587 |
| | | | Mt | 0.000 | 0.000 | 0.000 |
| | | | My | 1.359 | -0.017 | -1.393 |
| | | | Mz | 0.000 | 0.000 | 0.000 |



Listados

DESARROLLO DE PROYECTO EJECUTIVO DE REFORMA DE LA PISCINA DEL
COLEGIO PÁLCAM

Fecha: 28/03/18

| Esfuerzos en barras, por combinación | | | | | | |
|--------------------------------------|----------------|-------------------------------|----------|------------------------|---------|---------|
| Barra | Combinación | | Esfuerzo | Posiciones en la barra | | |
| | Tipo | Descripción | | 0.000 m | 0.300 m | 0.600 m |
| N20/N12 | Acero laminado | 0.8·PP+0.8·CM1+0.8·CM2 | N | -9.671 | -9.664 | -9.656 |
| | | | Vy | 0.000 | 0.000 | 0.000 |
| | | | Vz | 2.330 | 2.330 | 2.330 |
| | | | Mt | 0.000 | 0.000 | 0.000 |
| | | | My | 0.700 | 0.001 | -0.698 |
| | | | Mz | 0.000 | 0.000 | 0.000 |
| | | 1.35·PP+0.8·CM1+0.8·CM2 | N | -13.677 | -13.665 | -13.652 |
| | | | Vy | 0.000 | 0.000 | 0.000 |
| | | | Vz | 3.296 | 3.296 | 3.296 |
| | | | Mt | 0.000 | 0.000 | 0.000 |
| | | | My | 0.991 | 0.002 | -0.987 |
| | | | Mz | 0.000 | 0.000 | 0.000 |
| | | 0.8·PP+1.35·CM1+0.8·CM2 | N | -10.993 | -10.985 | -10.978 |
| | | | Vy | 0.000 | 0.000 | 0.000 |
| | | | Vz | 2.647 | 2.647 | 2.647 |
| | | | Mt | 0.000 | 0.000 | 0.000 |
| | | | My | 0.796 | 0.001 | -0.793 |
| | | | Mz | 0.000 | 0.000 | 0.000 |
| | | 1.35·PP+1.35·CM1+0.8·CM2 | N | -14.999 | -14.986 | -14.973 |
| | | | Vy | 0.000 | 0.000 | 0.000 |
| | | | Vz | 3.614 | 3.614 | 3.614 |
| | | | Mt | 0.000 | 0.000 | 0.000 |
| | | | My | 1.086 | 0.002 | -1.082 |
| | | | Mz | 0.000 | 0.000 | 0.000 |
| | | 0.8·PP+0.8·CM1+1.35·CM2 | N | -10.993 | -10.985 | -10.978 |
| | | | Vy | 0.000 | 0.000 | 0.000 |
| | | | Vz | 2.647 | 2.647 | 2.647 |
| | | | Mt | 0.000 | 0.000 | 0.000 |
| | | | My | 0.796 | 0.001 | -0.793 |
| | | | Mz | 0.000 | 0.000 | 0.000 |
| | | 1.35·PP+0.8·CM1+1.35·CM2 | N | -14.999 | -14.986 | -14.973 |
| | | | Vy | 0.000 | 0.000 | 0.000 |
| | | | Vz | 3.614 | 3.614 | 3.614 |
| | | | Mt | 0.000 | 0.000 | 0.000 |
| | | | My | 1.086 | 0.002 | -1.082 |
| | | | Mz | 0.000 | 0.000 | 0.000 |
| | | 0.8·PP+1.35·CM1+1.35·CM2 | N | -12.314 | -12.306 | -12.299 |
| | | | Vy | 0.000 | 0.000 | 0.000 |
| | | | Vz | 2.965 | 2.965 | 2.965 |
| | | | Mt | 0.000 | 0.000 | 0.000 |
| | | | My | 0.891 | 0.002 | -0.888 |
| | | | Mz | 0.000 | 0.000 | 0.000 |
| | | 1.35·PP+1.35·CM1+1.35·CM2 | N | -16.320 | -16.307 | -16.295 |
| | | | Vy | 0.000 | 0.000 | 0.000 |
| | | | Vz | 3.931 | 3.931 | 3.931 |
| | | | Mt | 0.000 | 0.000 | 0.000 |
| | | | My | 1.182 | 0.002 | -1.177 |
| | | | Mz | 0.000 | 0.000 | 0.000 |
| | | 0.8·PP+0.8·CM1+0.8·CM2+1.5·Q1 | N | -20.483 | -20.475 | -20.467 |
| | | | Vy | 0.000 | 0.000 | 0.000 |



Listados

DESARROLLO DE PROYECTO EJECUTIVO DE REFORMA DE LA PISCINA DEL
COLEGIO PÁLCAM

Fecha: 28/03/18

| Esfuerzos en barras, por combinación | | | | | | |
|--------------------------------------|-------------|----------------------------------|----------|------------------------|---------|---------|
| Barra | Combinación | | Esfuerzo | Posiciones en la barra | | |
| | Tipo | Descripción | | 0.000 m | 0.300 m | 0.600 m |
| | | | Vz | 4.928 | 4.928 | 4.928 |
| | | | Mt | 0.000 | 0.000 | 0.000 |
| | | | My | 1.481 | 0.002 | -1.476 |
| | | | Mz | 0.000 | 0.000 | 0.000 |
| | | 1.35·PP+0.8·CM1+0.8·CM2+1.5·Q1 | N | -24.489 | -24.476 | -24.463 |
| | | | Vy | 0.000 | 0.000 | 0.000 |
| | | | Vz | 5.895 | 5.895 | 5.895 |
| | | | Mt | 0.000 | 0.000 | 0.000 |
| | | | My | 1.771 | 0.003 | -1.765 |
| | | | Mz | 0.000 | 0.000 | 0.000 |
| | | 0.8·PP+1.35·CM1+0.8·CM2+1.5·Q1 | N | -21.804 | -21.796 | -21.789 |
| | | | Vy | 0.000 | 0.000 | 0.000 |
| | | | Vz | 5.246 | 5.246 | 5.246 |
| | | | Mt | 0.000 | 0.000 | 0.000 |
| | | | My | 1.576 | 0.003 | -1.571 |
| | | | Mz | 0.000 | 0.000 | 0.000 |
| | | 1.35·PP+1.35·CM1+0.8·CM2+1.5·Q1 | N | -25.810 | -25.797 | -25.785 |
| | | | Vy | 0.000 | 0.000 | 0.000 |
| | | | Vz | 6.212 | 6.212 | 6.212 |
| | | | Mt | 0.000 | 0.000 | 0.000 |
| | | | My | 1.867 | 0.003 | -1.860 |
| | | | Mz | 0.000 | 0.000 | 0.000 |
| | | 0.8·PP+0.8·CM1+1.35·CM2+1.5·Q1 | N | -21.804 | -21.796 | -21.789 |
| | | | Vy | 0.000 | 0.000 | 0.000 |
| | | | Vz | 5.246 | 5.246 | 5.246 |
| | | | Mt | 0.000 | 0.000 | 0.000 |
| | | | My | 1.576 | 0.003 | -1.571 |
| | | | Mz | 0.000 | 0.000 | 0.000 |
| | | 1.35·PP+0.8·CM1+1.35·CM2+1.5·Q1 | N | -25.810 | -25.797 | -25.785 |
| | | | Vy | 0.000 | 0.000 | 0.000 |
| | | | Vz | 6.212 | 6.212 | 6.212 |
| | | | Mt | 0.000 | 0.000 | 0.000 |
| | | | My | 1.867 | 0.003 | -1.860 |
| | | | Mz | 0.000 | 0.000 | 0.000 |
| | | 0.8·PP+1.35·CM1+1.35·CM2+1.5·Q1 | N | -23.125 | -23.118 | -23.110 |
| | | | Vy | 0.000 | 0.000 | 0.000 |
| | | | Vz | 5.563 | 5.563 | 5.563 |
| | | | Mt | 0.000 | 0.000 | 0.000 |
| | | | My | 1.672 | 0.003 | -1.666 |
| | | | Mz | 0.000 | 0.000 | 0.000 |
| | | 1.35·PP+1.35·CM1+1.35·CM2+1.5·Q1 | N | -27.132 | -27.119 | -27.106 |
| | | | Vy | 0.000 | 0.000 | 0.000 |
| | | | Vz | 6.530 | 6.530 | 6.530 |
| | | | Mt | 0.000 | 0.000 | 0.000 |
| | | | My | 1.962 | 0.003 | -1.956 |
| | | | Mz | 0.000 | 0.000 | 0.000 |



Listados

DESARROLLO DE PROYECTO EJECUTIVO DE REFORMA DE LA PISCINA DEL
COLEGIO PÁLCAM

Fecha: 28/03/18

| Esfuerzos en barras, por combinación | | | | | | |
|--------------------------------------|----------------|-------------------------------|----------|------------------------|---------|---------|
| Barra | Combinación | | Esfuerzo | Posiciones en la barra | | |
| | Tipo | Descripción | | 0.000 m | 0.300 m | 0.600 m |
| N21/N13 | Acero laminado | 0.8·PP+0.8·CM1+0.8·CM2 | N | -11.138 | -11.130 | -11.123 |
| | | | Vy | 0.000 | 0.000 | 0.000 |
| | | | Vz | 2.660 | 2.660 | 2.660 |
| | | | Mt | 0.000 | 0.000 | 0.000 |
| | | | My | 0.799 | 0.001 | -0.797 |
| | | | Mz | 0.000 | 0.000 | 0.000 |
| | | 1.35·PP+0.8·CM1+0.8·CM2 | N | -15.787 | -15.775 | -15.762 |
| | | | Vy | 0.000 | 0.000 | 0.000 |
| | | | Vz | 3.771 | 3.771 | 3.771 |
| | | | Mt | 0.000 | 0.000 | 0.000 |
| | | | My | 1.133 | 0.002 | -1.130 |
| | | | Mz | 0.000 | 0.000 | 0.000 |
| | | 0.8·PP+1.35·CM1+0.8·CM2 | N | -12.642 | -12.634 | -12.627 |
| | | | Vy | 0.000 | 0.000 | 0.000 |
| | | | Vz | 3.019 | 3.019 | 3.019 |
| | | | Mt | 0.000 | 0.000 | 0.000 |
| | | | My | 0.907 | 0.001 | -0.905 |
| | | | Mz | 0.000 | 0.000 | 0.000 |
| | | 1.35·PP+1.35·CM1+0.8·CM2 | N | -17.291 | -17.278 | -17.266 |
| | | | Vy | 0.000 | 0.000 | 0.000 |
| | | | Vz | 4.130 | 4.130 | 4.130 |
| | | | Mt | 0.000 | 0.000 | 0.000 |
| | | | My | 1.241 | 0.002 | -1.237 |
| | | | Mz | 0.000 | 0.000 | 0.000 |
| | | 0.8·PP+0.8·CM1+1.35·CM2 | N | -12.642 | -12.634 | -12.627 |
| | | | Vy | 0.000 | 0.000 | 0.000 |
| | | | Vz | 3.019 | 3.019 | 3.019 |
| | | | Mt | 0.000 | 0.000 | 0.000 |
| | | | My | 0.907 | 0.001 | -0.905 |
| | | | Mz | 0.000 | 0.000 | 0.000 |
| | | 1.35·PP+0.8·CM1+1.35·CM2 | N | -17.291 | -17.278 | -17.266 |
| | | | Vy | 0.000 | 0.000 | 0.000 |
| | | | Vz | 4.130 | 4.130 | 4.130 |
| | | | Mt | 0.000 | 0.000 | 0.000 |
| | | | My | 1.241 | 0.002 | -1.237 |
| | | | Mz | 0.000 | 0.000 | 0.000 |
| | | 0.8·PP+1.35·CM1+1.35·CM2 | N | -14.145 | -14.138 | -14.130 |
| | | | Vy | 0.000 | 0.000 | 0.000 |
| | | | Vz | 3.379 | 3.379 | 3.379 |
| | | | Mt | 0.000 | 0.000 | 0.000 |
| | | | My | 1.015 | 0.001 | -1.012 |
| | | | Mz | 0.000 | 0.000 | 0.000 |
| | | 1.35·PP+1.35·CM1+1.35·CM2 | N | -18.795 | -18.782 | -18.770 |
| | | | Vy | 0.000 | 0.000 | 0.000 |
| | | | Vz | 4.489 | 4.489 | 4.489 |
| | | | Mt | 0.000 | 0.000 | 0.000 |
| | | | My | 1.349 | 0.002 | -1.345 |
| | | | Mz | 0.000 | 0.000 | 0.000 |
| | | 0.8·PP+0.8·CM1+0.8·CM2+1.5·Q1 | N | -23.442 | -23.434 | -23.427 |
| | | | Vy | 0.000 | 0.000 | 0.000 |



Listados

DESARROLLO DE PROYECTO EJECUTIVO DE REFORMA DE LA PISCINA DEL
COLEGIO PÁLCAM

Fecha: 28/03/18

| Esfuerzos en barras, por combinación | | | | | | |
|--------------------------------------|-------------|----------------------------------|----------|------------------------|---------|---------|
| Barra | Combinación | | Esfuerzo | Posiciones en la barra | | |
| | Tipo | Descripción | | 0.000 m | 0.300 m | 0.600 m |
| | | | Vz | 5.600 | 5.600 | 5.600 |
| | | | Mt | 0.000 | 0.000 | 0.000 |
| | | | My | 1.682 | 0.002 | -1.678 |
| | | | Mz | 0.000 | 0.000 | 0.000 |
| | | 1.35·PP+0.8·CM1+0.8·CM2+1.5·Q1 | N | -28.091 | -28.079 | -28.066 |
| | | | Vy | 0.000 | 0.000 | 0.000 |
| | | | Vz | 6.710 | 6.710 | 6.710 |
| | | | Mt | 0.000 | 0.000 | 0.000 |
| | | | My | 2.016 | 0.003 | -2.010 |
| | | | Mz | 0.000 | 0.000 | 0.000 |
| | | 0.8·PP+1.35·CM1+0.8·CM2+1.5·Q1 | N | -24.946 | -24.938 | -24.931 |
| | | | Vy | 0.000 | 0.000 | 0.000 |
| | | | Vz | 5.959 | 5.959 | 5.959 |
| | | | Mt | 0.000 | 0.000 | 0.000 |
| | | | My | 1.790 | 0.002 | -1.785 |
| | | | Mz | 0.000 | 0.000 | 0.000 |
| | | 1.35·PP+1.35·CM1+0.8·CM2+1.5·Q1 | N | -29.595 | -29.582 | -29.570 |
| | | | Vy | 0.000 | 0.000 | 0.000 |
| | | | Vz | 7.069 | 7.069 | 7.069 |
| | | | Mt | 0.000 | 0.000 | 0.000 |
| | | | My | 2.124 | 0.003 | -2.118 |
| | | | Mz | 0.000 | 0.000 | 0.000 |
| | | 0.8·PP+0.8·CM1+1.35·CM2+1.5·Q1 | N | -24.946 | -24.938 | -24.931 |
| | | | Vy | 0.000 | 0.000 | 0.000 |
| | | | Vz | 5.959 | 5.959 | 5.959 |
| | | | Mt | 0.000 | 0.000 | 0.000 |
| | | | My | 1.790 | 0.002 | -1.785 |
| | | | Mz | 0.000 | 0.000 | 0.000 |
| | | 1.35·PP+0.8·CM1+1.35·CM2+1.5·Q1 | N | -29.595 | -29.582 | -29.570 |
| | | | Vy | 0.000 | 0.000 | 0.000 |
| | | | Vz | 7.069 | 7.069 | 7.069 |
| | | | Mt | 0.000 | 0.000 | 0.000 |
| | | | My | 2.124 | 0.003 | -2.118 |
| | | | Mz | 0.000 | 0.000 | 0.000 |
| | | 0.8·PP+1.35·CM1+1.35·CM2+1.5·Q1 | N | -26.449 | -26.442 | -26.434 |
| | | | Vy | 0.000 | 0.000 | 0.000 |
| | | | Vz | 6.318 | 6.318 | 6.318 |
| | | | Mt | 0.000 | 0.000 | 0.000 |
| | | | My | 1.898 | 0.002 | -1.893 |
| | | | Mz | 0.000 | 0.000 | 0.000 |
| | | 1.35·PP+1.35·CM1+1.35·CM2+1.5·Q1 | N | -31.099 | -31.086 | -31.074 |
| | | | Vy | 0.000 | 0.000 | 0.000 |
| | | | Vz | 7.429 | 7.429 | 7.429 |
| | | | Mt | 0.000 | 0.000 | 0.000 |
| | | | My | 2.231 | 0.003 | -2.226 |
| | | | Mz | 0.000 | 0.000 | 0.000 |



Listados

DESARROLLO DE PROYECTO EJECUTIVO DE REFORMA DE LA PISCINA DEL
COLEGIO PÁLCAM

Fecha: 28/03/18

| Esfuerzos en barras, por combinación | | | | | | |
|--------------------------------------|----------------|-------------------------------|----------|------------------------|---------|---------|
| Barra | Combinación | | Esfuerzo | Posiciones en la barra | | |
| | Tipo | Descripción | | 0.000 m | 0.300 m | 0.600 m |
| N22/N14 | Acero laminado | 0.8·PP+0.8·CM1+0.8·CM2 | N | -11.506 | -11.499 | -11.491 |
| | | | Vy | 0.000 | 0.000 | 0.000 |
| | | | Vz | 2.833 | 2.833 | 2.833 |
| | | | Mt | 0.000 | 0.000 | 0.000 |
| | | | My | 0.847 | -0.003 | -0.853 |
| | | | Mz | 0.000 | 0.000 | 0.000 |
| | | 1.35·PP+0.8·CM1+0.8·CM2 | N | -16.341 | -16.328 | -16.316 |
| | | | Vy | 0.000 | 0.000 | 0.000 |
| | | | Vz | 4.021 | 4.021 | 4.021 |
| | | | Mt | 0.000 | 0.000 | 0.000 |
| | | | My | 1.202 | -0.004 | -1.210 |
| | | | Mz | 0.000 | 0.000 | 0.000 |
| | | 0.8·PP+1.35·CM1+0.8·CM2 | N | -13.044 | -13.037 | -13.029 |
| | | | Vy | 0.000 | 0.000 | 0.000 |
| | | | Vz | 3.212 | 3.212 | 3.212 |
| | | | Mt | 0.000 | 0.000 | 0.000 |
| | | | My | 0.960 | -0.003 | -0.967 |
| | | | Mz | 0.000 | 0.000 | 0.000 |
| | | 1.35·PP+1.35·CM1+0.8·CM2 | N | -17.879 | -17.866 | -17.854 |
| | | | Vy | 0.000 | 0.000 | 0.000 |
| | | | Vz | 4.401 | 4.401 | 4.401 |
| | | | Mt | 0.000 | 0.000 | 0.000 |
| | | | My | 1.316 | -0.005 | -1.325 |
| | | | Mz | 0.000 | 0.000 | 0.000 |
| | | 0.8·PP+0.8·CM1+1.35·CM2 | N | -13.044 | -13.037 | -13.029 |
| | | | Vy | 0.000 | 0.000 | 0.000 |
| | | | Vz | 3.212 | 3.212 | 3.212 |
| | | | Mt | 0.000 | 0.000 | 0.000 |
| | | | My | 0.960 | -0.003 | -0.967 |
| | | | Mz | 0.000 | 0.000 | 0.000 |
| | | 1.35·PP+0.8·CM1+1.35·CM2 | N | -17.879 | -17.866 | -17.854 |
| | | | Vy | 0.000 | 0.000 | 0.000 |
| | | | Vz | 4.401 | 4.401 | 4.401 |
| | | | Mt | 0.000 | 0.000 | 0.000 |
| | | | My | 1.316 | -0.005 | -1.325 |
| | | | Mz | 0.000 | 0.000 | 0.000 |
| | | 0.8·PP+1.35·CM1+1.35·CM2 | N | -14.582 | -14.575 | -14.567 |
| | | | Vy | 0.000 | 0.000 | 0.000 |
| | | | Vz | 3.592 | 3.592 | 3.592 |
| | | | Mt | 0.000 | 0.000 | 0.000 |
| | | | My | 1.074 | -0.004 | -1.081 |
| | | | Mz | 0.000 | 0.000 | 0.000 |
| | | 1.35·PP+1.35·CM1+1.35·CM2 | N | -19.417 | -19.404 | -19.392 |
| | | | Vy | 0.000 | 0.000 | 0.000 |
| | | | Vz | 4.780 | 4.780 | 4.780 |
| | | | Mt | 0.000 | 0.000 | 0.000 |
| | | | My | 1.429 | -0.005 | -1.439 |
| | | | Mz | 0.000 | 0.000 | 0.000 |
| | | 0.8·PP+0.8·CM1+0.8·CM2+1.5·Q1 | N | -24.090 | -24.082 | -24.075 |
| | | | Vy | 0.000 | 0.000 | 0.000 |



Listados

DESARROLLO DE PROYECTO EJECUTIVO DE REFORMA DE LA PISCINA DEL
COLEGIO PÁLCAM

Fecha: 28/03/18

| Esfuerzos en barras, por combinación | | | | | | |
|--------------------------------------|-------------|----------------------------------|----------|------------------------|---------|---------|
| Barra | Combinación | | Esfuerzo | Posiciones en la barra | | |
| | Tipo | Descripción | | 0.000 m | 0.300 m | 0.600 m |
| | | | Vz | 5.938 | 5.938 | 5.938 |
| | | | Mt | 0.000 | 0.000 | 0.000 |
| | | | My | 1.775 | -0.006 | -1.788 |
| | | | Mz | 0.000 | 0.000 | 0.000 |
| | | 1.35·PP+0.8·CM1+0.8·CM2+1.5·Q1 | N | -28.925 | -28.912 | -28.899 |
| | | | Vy | 0.000 | 0.000 | 0.000 |
| | | | Vz | 7.127 | 7.127 | 7.127 |
| | | | Mt | 0.000 | 0.000 | 0.000 |
| | | | My | 2.130 | -0.008 | -2.146 |
| | | | Mz | 0.000 | 0.000 | 0.000 |
| | | 0.8·PP+1.35·CM1+0.8·CM2+1.5·Q1 | N | -25.628 | -25.620 | -25.613 |
| | | | Vy | 0.000 | 0.000 | 0.000 |
| | | | Vz | 6.318 | 6.318 | 6.318 |
| | | | Mt | 0.000 | 0.000 | 0.000 |
| | | | My | 1.889 | -0.007 | -1.902 |
| | | | Mz | 0.000 | 0.000 | 0.000 |
| | | 1.35·PP+1.35·CM1+0.8·CM2+1.5·Q1 | N | -30.463 | -30.450 | -30.437 |
| | | | Vy | 0.000 | 0.000 | 0.000 |
| | | | Vz | 7.506 | 7.506 | 7.506 |
| | | | Mt | 0.000 | 0.000 | 0.000 |
| | | | My | 2.244 | -0.008 | -2.260 |
| | | | Mz | 0.000 | 0.000 | 0.000 |
| | | 0.8·PP+0.8·CM1+1.35·CM2+1.5·Q1 | N | -25.628 | -25.620 | -25.613 |
| | | | Vy | 0.000 | 0.000 | 0.000 |
| | | | Vz | 6.318 | 6.318 | 6.318 |
| | | | Mt | 0.000 | 0.000 | 0.000 |
| | | | My | 1.889 | -0.007 | -1.902 |
| | | | Mz | 0.000 | 0.000 | 0.000 |
| | | 1.35·PP+0.8·CM1+1.35·CM2+1.5·Q1 | N | -30.463 | -30.450 | -30.437 |
| | | | Vy | 0.000 | 0.000 | 0.000 |
| | | | Vz | 7.506 | 7.506 | 7.506 |
| | | | Mt | 0.000 | 0.000 | 0.000 |
| | | | My | 2.244 | -0.008 | -2.260 |
| | | | Mz | 0.000 | 0.000 | 0.000 |
| | | 0.8·PP+1.35·CM1+1.35·CM2+1.5·Q1 | N | -27.166 | -27.158 | -27.151 |
| | | | Vy | 0.000 | 0.000 | 0.000 |
| | | | Vz | 6.697 | 6.697 | 6.697 |
| | | | Mt | 0.000 | 0.000 | 0.000 |
| | | | My | 2.002 | -0.007 | -2.017 |
| | | | Mz | 0.000 | 0.000 | 0.000 |
| | | 1.35·PP+1.35·CM1+1.35·CM2+1.5·Q1 | N | -32.001 | -31.988 | -31.975 |
| | | | Vy | 0.000 | 0.000 | 0.000 |
| | | | Vz | 7.886 | 7.886 | 7.886 |
| | | | Mt | 0.000 | 0.000 | 0.000 |
| | | | My | 2.357 | -0.008 | -2.374 |
| | | | Mz | 0.000 | 0.000 | 0.000 |



Listados

DESARROLLO DE PROYECTO EJECUTIVO DE REFORMA DE LA PISCINA DEL
COLEGIO PÁLCAM

Fecha: 28/03/18

| Esfuerzos en barras, por combinación | | | | | | |
|--------------------------------------|----------------|-------------------------------|----------|------------------------|---------|---------|
| Barra | Combinación | | Esfuerzo | Posiciones en la barra | | |
| | Tipo | Descripción | | 0.000 m | 0.300 m | 0.600 m |
| N2/N4 | Acero laminado | 0.8·PP+0.8·CM1+0.8·CM2 | N | -16.649 | -16.632 | -16.615 |
| | | | Vy | 0.000 | 0.000 | 0.000 |
| | | | Vz | 7.495 | 7.495 | 7.495 |
| | | | Mt | 0.000 | 0.000 | 0.000 |
| | | | My | 2.202 | -0.046 | -2.294 |
| | | | Mz | 0.000 | 0.000 | 0.000 |
| | | 1.35·PP+0.8·CM1+0.8·CM2 | N | -23.712 | -23.683 | -23.654 |
| | | | Vy | 0.000 | 0.000 | 0.000 |
| | | | Vz | 10.645 | 10.645 | 10.645 |
| | | | Mt | 0.000 | 0.000 | 0.000 |
| | | | My | 3.128 | -0.065 | -3.258 |
| | | | Mz | 0.000 | 0.000 | 0.000 |
| | | 0.8·PP+1.35·CM1+0.8·CM2 | N | -18.841 | -18.824 | -18.807 |
| | | | Vy | 0.000 | 0.000 | 0.000 |
| | | | Vz | 8.496 | 8.496 | 8.496 |
| | | | Mt | 0.000 | 0.000 | 0.000 |
| | | | My | 2.496 | -0.052 | -2.601 |
| | | | Mz | 0.000 | 0.000 | 0.000 |
| | | 1.35·PP+1.35·CM1+0.8·CM2 | N | -25.904 | -25.875 | -25.846 |
| | | | Vy | 0.000 | 0.000 | 0.000 |
| | | | Vz | 11.646 | 11.646 | 11.646 |
| | | | Mt | 0.000 | 0.000 | 0.000 |
| | | | My | 3.422 | -0.071 | -3.565 |
| | | | Mz | 0.000 | 0.000 | 0.000 |
| | | 0.8·PP+0.8·CM1+1.35·CM2 | N | -18.841 | -18.824 | -18.807 |
| | | | Vy | 0.000 | 0.000 | 0.000 |
| | | | Vz | 8.496 | 8.496 | 8.496 |
| | | | Mt | 0.000 | 0.000 | 0.000 |
| | | | My | 2.496 | -0.052 | -2.601 |
| | | | Mz | 0.000 | 0.000 | 0.000 |
| | | 1.35·PP+0.8·CM1+1.35·CM2 | N | -25.904 | -25.875 | -25.846 |
| | | | Vy | 0.000 | 0.000 | 0.000 |
| | | | Vz | 11.646 | 11.646 | 11.646 |
| | | | Mt | 0.000 | 0.000 | 0.000 |
| | | | My | 3.422 | -0.071 | -3.565 |
| | | | Mz | 0.000 | 0.000 | 0.000 |
| | | 0.8·PP+1.35·CM1+1.35·CM2 | N | -21.033 | -21.016 | -20.999 |
| | | | Vy | 0.000 | 0.000 | 0.000 |
| | | | Vz | 9.497 | 9.497 | 9.497 |
| | | | Mt | 0.000 | 0.000 | 0.000 |
| | | | My | 2.790 | -0.059 | -2.908 |
| | | | Mz | 0.000 | 0.000 | 0.000 |
| | | 1.35·PP+1.35·CM1+1.35·CM2 | N | -28.096 | -28.067 | -28.038 |
| | | | Vy | 0.000 | 0.000 | 0.000 |
| | | | Vz | 12.647 | 12.647 | 12.647 |
| | | | Mt | 0.000 | 0.000 | 0.000 |
| | | | My | 3.716 | -0.078 | -3.872 |
| | | | Mz | 0.000 | 0.000 | 0.000 |
| | | 0.8·PP+0.8·CM1+0.8·CM2+1.5·Q1 | N | -34.582 | -34.565 | -34.548 |



Listados

DESARROLLO DE PROYECTO EJECUTIVO DE REFORMA DE LA PISCINA DEL
COLEGIO PÁLCAM

Fecha: 28/03/18

| Esfuerzos en barras, por combinación | | | | | | |
|--------------------------------------|-------------|----------------------------------|----------|------------------------|---------|---------|
| Barra | Combinación | | Esfuerzo | Posiciones en la barra | | |
| | Tipo | Descripción | | 0.000 m | 0.300 m | 0.600 m |
| | | | Vy | 0.000 | 0.000 | 0.000 |
| | | | Vz | 15.686 | 15.686 | 15.686 |
| | | | Mt | 0.000 | 0.000 | 0.000 |
| | | | My | 4.608 | -0.098 | -4.804 |
| | | | Mz | 0.000 | 0.000 | 0.000 |
| | | 1.35·PP+0.8·CM1+0.8·CM2+1.5·Q1 | N | -41.645 | -41.616 | -41.587 |
| | | | Vy | 0.000 | 0.000 | 0.000 |
| | | | Vz | 18.837 | 18.837 | 18.837 |
| | | | Mt | 0.000 | 0.000 | 0.000 |
| | | | My | 5.534 | -0.117 | -5.768 |
| | | | Mz | 0.000 | 0.000 | 0.000 |
| | | 0.8·PP+1.35·CM1+0.8·CM2+1.5·Q1 | N | -36.774 | -36.757 | -36.740 |
| | | | Vy | 0.000 | 0.000 | 0.000 |
| | | | Vz | 16.688 | 16.688 | 16.688 |
| | | | Mt | 0.000 | 0.000 | 0.000 |
| | | | My | 4.902 | -0.105 | -5.111 |
| | | | Mz | 0.000 | 0.000 | 0.000 |
| | | 1.35·PP+1.35·CM1+0.8·CM2+1.5·Q1 | N | -43.837 | -43.808 | -43.779 |
| | | | Vy | 0.000 | 0.000 | 0.000 |
| | | | Vz | 19.838 | 19.838 | 19.838 |
| | | | Mt | 0.000 | 0.000 | 0.000 |
| | | | My | 5.828 | -0.124 | -6.075 |
| | | | Mz | 0.000 | 0.000 | 0.000 |
| | | 0.8·PP+0.8·CM1+1.35·CM2+1.5·Q1 | N | -36.774 | -36.757 | -36.740 |
| | | | Vy | 0.000 | 0.000 | 0.000 |
| | | | Vz | 16.688 | 16.688 | 16.688 |
| | | | Mt | 0.000 | 0.000 | 0.000 |
| | | | My | 4.902 | -0.105 | -5.111 |
| | | | Mz | 0.000 | 0.000 | 0.000 |
| | | 1.35·PP+0.8·CM1+1.35·CM2+1.5·Q1 | N | -43.837 | -43.808 | -43.779 |
| | | | Vy | 0.000 | 0.000 | 0.000 |
| | | | Vz | 19.838 | 19.838 | 19.838 |
| | | | Mt | 0.000 | 0.000 | 0.000 |
| | | | My | 5.828 | -0.124 | -6.075 |
| | | | Mz | 0.000 | 0.000 | 0.000 |
| | | 0.8·PP+1.35·CM1+1.35·CM2+1.5·Q1 | N | -38.966 | -38.949 | -38.932 |
| | | | Vy | 0.000 | 0.000 | 0.000 |
| | | | Vz | 17.689 | 17.689 | 17.689 |
| | | | Mt | 0.000 | 0.000 | 0.000 |
| | | | My | 5.196 | -0.111 | -5.418 |
| | | | Mz | 0.000 | 0.000 | 0.000 |
| | | 1.35·PP+1.35·CM1+1.35·CM2+1.5·Q1 | N | -46.029 | -46.000 | -45.971 |
| | | | Vy | 0.000 | 0.000 | 0.000 |
| | | | Vz | 20.839 | 20.839 | 20.839 |
| | | | Mt | 0.000 | 0.000 | 0.000 |
| | | | My | 6.122 | -0.130 | -6.382 |
| | | | Mz | 0.000 | 0.000 | 0.000 |



Listados

DESARROLLO DE PROYECTO EJECUTIVO DE REFORMA DE LA PISCINA DEL
COLEGIO PÁLCAM

Fecha: 28/03/18

| Esfuerzos en barras, por combinación | | | | | | | | |
|--------------------------------------|----------------|--------------------------------|----------|------------------------|---------|---------|---------|---------|
| Barra | Combinación | | Esfuerzo | Posiciones en la barra | | | | |
| | Tipo | Descripción | | 0.000 m | 0.238 m | 0.475 m | 0.713 m | 0.950 m |
| N3/N6 | Acero laminado | 0.8·PP+0.8·CM1+0.8·CM2 | N | -27.361 | -27.361 | -27.361 | -27.361 | -27.361 |
| | | | Vy | 0.000 | 0.000 | 0.000 | 0.000 | 0.000 |
| | | | Vz | -4.330 | -4.297 | -4.265 | -4.232 | -4.200 |
| | | | Mt | 0.000 | 0.000 | 0.000 | 0.000 | 0.000 |
| | | | My | -2.390 | -1.365 | -0.348 | 0.661 | 1.662 |
| | | | Mz | 0.000 | 0.000 | 0.000 | 0.000 | 0.000 |
| | | 1.35·PP+0.8·CM1+0.8·CM2 | N | -38.876 | -38.876 | -38.876 | -38.876 | -38.876 |
| | | | Vy | 0.000 | 0.000 | 0.000 | 0.000 | 0.000 |
| | | | Vz | -6.191 | -6.136 | -6.081 | -6.026 | -5.971 |
| | | | Mt | 0.000 | 0.000 | 0.000 | 0.000 | 0.000 |
| | | | My | -3.392 | -1.929 | -0.478 | 0.960 | 2.385 |
| | | | Mz | 0.000 | 0.000 | 0.000 | 0.000 | 0.000 |
| | | 0.8·PP+1.35·CM1+0.8·CM2 | N | -31.009 | -31.009 | -31.009 | -31.009 | -31.009 |
| | | | Vy | 0.000 | 0.000 | 0.000 | 0.000 | 0.000 |
| | | | Vz | -4.887 | -4.855 | -4.822 | -4.790 | -4.757 |
| | | | Mt | 0.000 | 0.000 | 0.000 | 0.000 | 0.000 |
| | | | My | -2.709 | -1.553 | -0.403 | 0.738 | 1.872 |
| | | | Mz | 0.000 | 0.000 | 0.000 | 0.000 | 0.000 |
| | | 1.35·PP+1.35·CM1+0.8·CM2 | N | -42.524 | -42.524 | -42.524 | -42.524 | -42.524 |
| | | | Vy | 0.000 | 0.000 | 0.000 | 0.000 | 0.000 |
| | | | Vz | -6.749 | -6.694 | -6.639 | -6.584 | -6.529 |
| | | | Mt | 0.000 | 0.000 | 0.000 | 0.000 | 0.000 |
| | | | My | -3.712 | -2.116 | -0.533 | 1.037 | 2.595 |
| | | | Mz | 0.000 | 0.000 | 0.000 | 0.000 | 0.000 |
| | | 0.8·PP+0.8·CM1+1.35·CM2 | N | -31.009 | -31.009 | -31.009 | -31.009 | -31.009 |
| | | | Vy | 0.000 | 0.000 | 0.000 | 0.000 | 0.000 |
| | | | Vz | -4.887 | -4.855 | -4.822 | -4.790 | -4.757 |
| | | | Mt | 0.000 | 0.000 | 0.000 | 0.000 | 0.000 |
| | | | My | -2.709 | -1.553 | -0.403 | 0.738 | 1.872 |
| | | | Mz | 0.000 | 0.000 | 0.000 | 0.000 | 0.000 |
| | | 1.35·PP+0.8·CM1+1.35·CM2 | N | -42.524 | -42.524 | -42.524 | -42.524 | -42.524 |
| | | | Vy | 0.000 | 0.000 | 0.000 | 0.000 | 0.000 |
| | | | Vz | -6.749 | -6.694 | -6.639 | -6.584 | -6.529 |
| | | | Mt | 0.000 | 0.000 | 0.000 | 0.000 | 0.000 |
| | | | My | -3.712 | -2.116 | -0.533 | 1.037 | 2.595 |
| | | | Mz | 0.000 | 0.000 | 0.000 | 0.000 | 0.000 |
| | | 0.8·PP+1.35·CM1+1.35·CM2 | N | -34.657 | -34.657 | -34.657 | -34.657 | -34.657 |
| | | | Vy | 0.000 | 0.000 | 0.000 | 0.000 | 0.000 |
| | | | Vz | -5.445 | -5.413 | -5.380 | -5.348 | -5.315 |
| | | | Mt | 0.000 | 0.000 | 0.000 | 0.000 | 0.000 |
| | | | My | -3.029 | -1.740 | -0.458 | 0.816 | 2.082 |
| | | | Mz | 0.000 | 0.000 | 0.000 | 0.000 | 0.000 |
| | | 1.35·PP+1.35·CM1+1.35·CM2 | N | -46.172 | -46.172 | -46.172 | -46.172 | -46.172 |
| | | | Vy | 0.000 | 0.000 | 0.000 | 0.000 | 0.000 |
| | | | Vz | -7.306 | -7.251 | -7.197 | -7.142 | -7.087 |
| | | | Mt | 0.000 | 0.000 | 0.000 | 0.000 | 0.000 |
| | | | My | -4.032 | -2.304 | -0.588 | 1.115 | 2.804 |
| | | | Mz | 0.000 | 0.000 | 0.000 | 0.000 | 0.000 |
| | | 0.8·PP+0.8·CM1+0.8·CM2+1.5·Q1 | N | -57.209 | -57.209 | -57.209 | -57.209 | -57.209 |
| | | | Vy | 0.000 | 0.000 | 0.000 | 0.000 | 0.000 |
| | | | Vz | -8.893 | -8.860 | -8.828 | -8.795 | -8.763 |
| | | | Mt | 0.000 | 0.000 | 0.000 | 0.000 | 0.000 |
| | | | My | -5.007 | -2.899 | -0.798 | 1.294 | 3.379 |
| | | | Mz | 0.000 | 0.000 | 0.000 | 0.000 | 0.000 |
| | | 1.35·PP+0.8·CM1+0.8·CM2+1.5·Q1 | N | -68.723 | -68.723 | -68.723 | -68.723 | -68.723 |
| | | | Vy | 0.000 | 0.000 | 0.000 | 0.000 | 0.000 |
| | | | Vz | -10.754 | -10.699 | -10.644 | -10.589 | -10.534 |
| | | | Mt | 0.000 | 0.000 | 0.000 | 0.000 | 0.000 |
| | | | My | -6.010 | -3.462 | -0.928 | 1.594 | 4.102 |
| | | | Mz | 0.000 | 0.000 | 0.000 | 0.000 | 0.000 |



Listados

DESARROLLO DE PROYECTO EJECUTIVO DE REFORMA DE LA PISCINA DEL
COLEGIO PÁLCAM

Fecha: 28/03/18

| Esfuerzos en barras, por combinación | | | | | | | | |
|--------------------------------------|-------------|----------------------------------|----------|------------------------|---------|---------|---------|---------|
| Barra | Combinación | | Esfuerzo | Posiciones en la barra | | | | |
| | Tipo | Descripción | | 0.000 m | 0.238 m | 0.475 m | 0.713 m | 0.950 m |
| | | 0.8-PP+1.35-CM1+0.8-CM2+1.5-Q1 | Mz | 0.000 | 0.000 | 0.000 | 0.000 | 0.000 |
| | | | N | -60.857 | -60.857 | -60.857 | -60.857 | -60.857 |
| | | | Vy | 0.000 | 0.000 | 0.000 | 0.000 | 0.000 |
| | | | Vz | -9.450 | -9.418 | -9.385 | -9.353 | -9.320 |
| | | | Mt | 0.000 | 0.000 | 0.000 | 0.000 | 0.000 |
| | | | My | -5.327 | -3.086 | -0.853 | 1.372 | 3.589 |
| | | | Mz | 0.000 | 0.000 | 0.000 | 0.000 | 0.000 |
| | | 1.35-PP+1.35-CM1+0.8-CM2+1.5-Q1 | N | -72.371 | -72.371 | -72.371 | -72.371 | -72.371 |
| | | | Vy | 0.000 | 0.000 | 0.000 | 0.000 | 0.000 |
| | | | Vz | -11.312 | -11.257 | -11.202 | -11.147 | -11.092 |
| | | | Mt | 0.000 | 0.000 | 0.000 | 0.000 | 0.000 |
| | | | My | -6.330 | -3.650 | -0.983 | 1.671 | 4.312 |
| | | | Mz | 0.000 | 0.000 | 0.000 | 0.000 | 0.000 |
| | | 0.8-PP+0.8-CM1+1.35-CM2+1.5-Q1 | N | -60.857 | -60.857 | -60.857 | -60.857 | -60.857 |
| | | | Vy | 0.000 | 0.000 | 0.000 | 0.000 | 0.000 |
| | | | Vz | -9.450 | -9.418 | -9.385 | -9.353 | -9.320 |
| | | | Mt | 0.000 | 0.000 | 0.000 | 0.000 | 0.000 |
| | | | My | -5.327 | -3.086 | -0.853 | 1.372 | 3.589 |
| | | | Mz | 0.000 | 0.000 | 0.000 | 0.000 | 0.000 |
| | | 1.35-PP+0.8-CM1+1.35-CM2+1.5-Q1 | N | -72.371 | -72.371 | -72.371 | -72.371 | -72.371 |
| | | | Vy | 0.000 | 0.000 | 0.000 | 0.000 | 0.000 |
| | | | Vz | -11.312 | -11.257 | -11.202 | -11.147 | -11.092 |
| | | | Mt | 0.000 | 0.000 | 0.000 | 0.000 | 0.000 |
| | | | My | -6.330 | -3.650 | -0.983 | 1.671 | 4.312 |
| | | | Mz | 0.000 | 0.000 | 0.000 | 0.000 | 0.000 |
| | | 0.8-PP+1.35-CM1+1.35-CM2+1.5-Q1 | N | -64.505 | -64.505 | -64.505 | -64.505 | -64.505 |
| | | | Vy | 0.000 | 0.000 | 0.000 | 0.000 | 0.000 |
| | | | Vz | -10.008 | -9.975 | -9.943 | -9.910 | -9.878 |
| | | | Mt | 0.000 | 0.000 | 0.000 | 0.000 | 0.000 |
| | | | My | -5.647 | -3.274 | -0.908 | 1.449 | 3.799 |
| | | | Mz | 0.000 | 0.000 | 0.000 | 0.000 | 0.000 |
| | | 1.35-PP+1.35-CM1+1.35-CM2+1.5-Q1 | N | -76.019 | -76.019 | -76.019 | -76.019 | -76.019 |
| | | | Vy | 0.000 | 0.000 | 0.000 | 0.000 | 0.000 |
| | | | Vz | -11.869 | -11.814 | -11.760 | -11.705 | -11.650 |
| | | | Mt | 0.000 | 0.000 | 0.000 | 0.000 | 0.000 |
| | | | My | -6.650 | -3.837 | -1.038 | 1.749 | 4.522 |
| | | | Mz | 0.000 | 0.000 | 0.000 | 0.000 | 0.000 |

| Esfuerzos en barras, por combinación | | | | | | | | |
|--------------------------------------|----------------|--------------------------|----------|------------------------|---------|---------|---------|---------|
| Barra | Combinación | | Esfuerzo | Posiciones en la barra | | | | |
| | Tipo | Descripción | | 0.000 m | 0.237 m | 0.475 m | 0.712 m | 0.950 m |
| N6/N7 | Acero laminado | 0.8-PP+0.8-CM1+0.8-CM2 | N | -48.835 | -48.835 | -48.835 | -48.835 | -48.835 |
| | | | Vy | 0.000 | 0.000 | 0.000 | 0.000 | 0.000 |
| | | | Vz | -4.155 | -4.122 | -4.090 | -4.057 | -4.025 |
| | | | Mt | 0.000 | 0.000 | 0.000 | 0.000 | 0.000 |
| | | | My | 0.685 | 1.668 | 2.643 | 3.611 | 4.571 |
| | | | Mz | 0.000 | 0.000 | 0.000 | 0.000 | 0.000 |
| | | 1.35-PP+0.8-CM1+0.8-CM2 | N | -69.343 | -69.343 | -69.343 | -69.343 | -69.343 |
| | | | Vy | 0.000 | 0.000 | 0.000 | 0.000 | 0.000 |
| | | | Vz | -5.916 | -5.862 | -5.807 | -5.752 | -5.697 |
| | | | Mt | 0.000 | 0.000 | 0.000 | 0.000 | 0.000 |
| | | | My | 0.999 | 2.398 | 3.783 | 5.156 | 6.515 |
| | | | Mz | 0.000 | 0.000 | 0.000 | 0.000 | 0.000 |
| | | 0.8-PP+1.35-CM1+0.8-CM2 | N | -55.368 | -55.368 | -55.368 | -55.368 | -55.368 |
| | | | Vy | 0.000 | 0.000 | 0.000 | 0.000 | 0.000 |
| | | | Vz | -4.702 | -4.669 | -4.637 | -4.604 | -4.572 |
| | | | Mt | 0.000 | 0.000 | 0.000 | 0.000 | 0.000 |
| | | | My | 0.764 | 1.877 | 2.982 | 4.079 | 5.169 |
| | | | Mz | 0.000 | 0.000 | 0.000 | 0.000 | 0.000 |
| | | 1.35-PP+1.35-CM1+0.8-CM2 | N | -75.876 | -75.876 | -75.876 | -75.876 | -75.876 |



Listados

DESARROLLO DE PROYECTO EJECUTIVO DE REFORMA DE LA PISCINA DEL
COLEGIO PÁLCAM

Fecha: 28/03/18

| Esfuerzos en barras, por combinación | | | | | | | | |
|--------------------------------------|-------------|---------------------------------|----------|------------------------|----------|----------|----------|----------|
| Barra | Combinación | | Esfuerzo | Posiciones en la barra | | | | |
| | Tipo | Descripción | | 0.000 m | 0.237 m | 0.475 m | 0.712 m | 0.950 m |
| | | | Vy | 0.000 | 0.000 | 0.000 | 0.000 | 0.000 |
| | | | Vz | -6.464 | -6.409 | -6.354 | -6.299 | -6.244 |
| | | | Mt | 0.000 | 0.000 | 0.000 | 0.000 | 0.000 |
| | | | My | 1.078 | 2.606 | 4.122 | 5.625 | 7.114 |
| | | | Mz | 0.000 | 0.000 | 0.000 | 0.000 | 0.000 |
| | | 0.8-PP+0.8-CM1+1.35-CM2 | N | -55.368 | -55.368 | -55.368 | -55.368 | -55.368 |
| | | | Vy | 0.000 | 0.000 | 0.000 | 0.000 | 0.000 |
| | | | Vz | -4.702 | -4.669 | -4.637 | -4.604 | -4.572 |
| | | | Mt | 0.000 | 0.000 | 0.000 | 0.000 | 0.000 |
| | | | My | 0.764 | 1.877 | 2.982 | 4.079 | 5.169 |
| | | | Mz | 0.000 | 0.000 | 0.000 | 0.000 | 0.000 |
| | | 1.35-PP+0.8-CM1+1.35-CM2 | N | -75.876 | -75.876 | -75.876 | -75.876 | -75.876 |
| | | | Vy | 0.000 | 0.000 | 0.000 | 0.000 | 0.000 |
| | | | Vz | -6.464 | -6.409 | -6.354 | -6.299 | -6.244 |
| | | | Mt | 0.000 | 0.000 | 0.000 | 0.000 | 0.000 |
| | | | My | 1.078 | 2.606 | 4.122 | 5.625 | 7.114 |
| | | | Mz | 0.000 | 0.000 | 0.000 | 0.000 | 0.000 |
| | | 0.8-PP+1.35-CM1+1.35-CM2 | N | -61.900 | -61.900 | -61.900 | -61.900 | -61.900 |
| | | | Vy | 0.000 | 0.000 | 0.000 | 0.000 | 0.000 |
| | | | Vz | -5.249 | -5.217 | -5.184 | -5.152 | -5.119 |
| | | | Mt | 0.000 | 0.000 | 0.000 | 0.000 | 0.000 |
| | | | My | 0.843 | 2.086 | 3.321 | 4.548 | 5.768 |
| | | | Mz | 0.000 | 0.000 | 0.000 | 0.000 | 0.000 |
| | | 1.35-PP+1.35-CM1+1.35-CM2 | N | -82.409 | -82.409 | -82.409 | -82.409 | -82.409 |
| | | | Vy | 0.000 | 0.000 | 0.000 | 0.000 | 0.000 |
| | | | Vz | -7.011 | -6.956 | -6.901 | -6.846 | -6.791 |
| | | | Mt | 0.000 | 0.000 | 0.000 | 0.000 | 0.000 |
| | | | My | 1.157 | 2.815 | 4.461 | 6.093 | 7.713 |
| | | | Mz | 0.000 | 0.000 | 0.000 | 0.000 | 0.000 |
| | | 0.8-PP+0.8-CM1+0.8-CM2+1.5-Q1 | N | -102.285 | -102.285 | -102.285 | -102.285 | -102.285 |
| | | | Vy | 0.000 | 0.000 | 0.000 | 0.000 | 0.000 |
| | | | Vz | -8.632 | -8.600 | -8.567 | -8.535 | -8.502 |
| | | | Mt | 0.000 | 0.000 | 0.000 | 0.000 | 0.000 |
| | | | My | 1.330 | 3.376 | 5.414 | 7.445 | 9.468 |
| | | | Mz | 0.000 | 0.000 | 0.000 | 0.000 | 0.000 |
| | | 1.35-PP+0.8-CM1+0.8-CM2+1.5-Q1 | N | -122.794 | -122.794 | -122.794 | -122.794 | -122.794 |
| | | | Vy | 0.000 | 0.000 | 0.000 | 0.000 | 0.000 |
| | | | Vz | -10.394 | -10.339 | -10.284 | -10.229 | -10.175 |
| | | | Mt | 0.000 | 0.000 | 0.000 | 0.000 | 0.000 |
| | | | My | 1.643 | 4.105 | 6.554 | 8.990 | 11.413 |
| | | | Mz | 0.000 | 0.000 | 0.000 | 0.000 | 0.000 |
| | | 0.8-PP+1.35-CM1+0.8-CM2+1.5-Q1 | N | -108.818 | -108.818 | -108.818 | -108.818 | -108.818 |
| | | | Vy | 0.000 | 0.000 | 0.000 | 0.000 | 0.000 |
| | | | Vz | -9.180 | -9.147 | -9.114 | -9.082 | -9.049 |
| | | | Mt | 0.000 | 0.000 | 0.000 | 0.000 | 0.000 |
| | | | My | 1.408 | 3.585 | 5.753 | 7.914 | 10.067 |
| | | | Mz | 0.000 | 0.000 | 0.000 | 0.000 | 0.000 |
| | | 1.35-PP+1.35-CM1+0.8-CM2+1.5-Q1 | N | -129.326 | -129.326 | -129.326 | -129.326 | -129.326 |
| | | | Vy | 0.000 | 0.000 | 0.000 | 0.000 | 0.000 |
| | | | Vz | -10.941 | -10.886 | -10.832 | -10.777 | -10.722 |
| | | | Mt | 0.000 | 0.000 | 0.000 | 0.000 | 0.000 |
| | | | My | 1.722 | 4.314 | 6.893 | 9.459 | 12.012 |
| | | | Mz | 0.000 | 0.000 | 0.000 | 0.000 | 0.000 |
| | | 0.8-PP+0.8-CM1+1.35-CM2+1.5-Q1 | N | -108.818 | -108.818 | -108.818 | -108.818 | -108.818 |
| | | | Vy | 0.000 | 0.000 | 0.000 | 0.000 | 0.000 |
| | | | Vz | -9.180 | -9.147 | -9.114 | -9.082 | -9.049 |
| | | | Mt | 0.000 | 0.000 | 0.000 | 0.000 | 0.000 |
| | | | My | 1.408 | 3.585 | 5.753 | 7.914 | 10.067 |
| | | | Mz | 0.000 | 0.000 | 0.000 | 0.000 | 0.000 |
| | | 1.35-PP+0.8-CM1+1.35-CM2+1.5-Q1 | N | -129.326 | -129.326 | -129.326 | -129.326 | -129.326 |
| | | | Vz | -10.941 | -10.886 | -10.832 | -10.777 | -10.722 |



Listados

DESARROLLO DE PROYECTO EJECUTIVO DE REFORMA DE LA PISCINA DEL
COLEGIO PÁLCAM

Fecha: 28/03/18

| Esfuerzos en barras, por combinación | | | | | | | | |
|--------------------------------------|-------------|----------------------------------|----------|------------------------|----------|----------|----------|----------|
| Barra | Combinación | | Esfuerzo | Posiciones en la barra | | | | |
| | Tipo | Descripción | | 0.000 m | 0.237 m | 0.475 m | 0.712 m | 0.950 m |
| | | 0.8-PP+1.35-CM1+1.35-CM2+1.5-Q1 | Mt | 0.000 | 0.000 | 0.000 | 0.000 | 0.000 |
| | | | My | 1.722 | 4.314 | 6.893 | 9.459 | 12.012 |
| | | | Mz | 0.000 | 0.000 | 0.000 | 0.000 | 0.000 |
| | | | N | -115.351 | -115.351 | -115.351 | -115.351 | -115.351 |
| | | | Vy | 0.000 | 0.000 | 0.000 | 0.000 | 0.000 |
| | | | Vz | -9.727 | -9.694 | -9.662 | -9.629 | -9.597 |
| | | 1.35-PP+1.35-CM1+1.35-CM2+1.5-Q1 | Mt | 0.000 | 0.000 | 0.000 | 0.000 | 0.000 |
| | | | My | 1.487 | 3.793 | 6.092 | 8.383 | 10.666 |
| | | | Mz | 0.000 | 0.000 | 0.000 | 0.000 | 0.000 |
| | | | N | -135.859 | -135.859 | -135.859 | -135.859 | -135.859 |
| | | | Vy | 0.000 | 0.000 | 0.000 | 0.000 | 0.000 |
| | | | Vz | -11.489 | -11.434 | -11.379 | -11.324 | -11.269 |
| | | | Mt | 0.000 | 0.000 | 0.000 | 0.000 | 0.000 |
| | | | My | 1.801 | 4.523 | 7.232 | 9.928 | 12.611 |
| | | | Mz | 0.000 | 0.000 | 0.000 | 0.000 | 0.000 |

| Esfuerzos en barras, por combinación | | | | | | | | |
|--------------------------------------|----------------|--------------------------|----------|------------------------|----------|----------|----------|----------|
| Barra | Combinación | | Esfuerzo | Posiciones en la barra | | | | |
| | Tipo | Descripción | | 0.000 m | 0.238 m | 0.475 m | 0.713 m | 0.950 m |
| N7/N8 | Acero laminado | 0.8-PP+0.8-CM1+0.8-CM2 | N | -68.762 | -68.762 | -68.762 | -68.762 | -68.762 |
| | | | Vy | 0.000 | 0.000 | 0.000 | 0.000 | 0.000 |
| | | | Vz | -4.410 | -4.377 | -4.345 | -4.312 | -4.280 |
| | | | Mt | 0.000 | 0.000 | 0.000 | 0.000 | 0.000 |
| | | | My | 3.646 | 4.690 | 5.726 | 6.754 | 7.774 |
| | | | Mz | 0.000 | 0.000 | 0.000 | 0.000 | 0.000 |
| | | 1.35-PP+0.8-CM1+0.8-CM2 | N | -97.556 | -97.556 | -97.556 | -97.556 | -97.556 |
| | | | Vy | 0.000 | 0.000 | 0.000 | 0.000 | 0.000 |
| | | | Vz | -6.256 | -6.201 | -6.146 | -6.091 | -6.036 |
| | | | Mt | 0.000 | 0.000 | 0.000 | 0.000 | 0.000 |
| | | | My | 5.206 | 6.685 | 8.152 | 9.605 | 11.045 |
| | | | Mz | 0.000 | 0.000 | 0.000 | 0.000 | 0.000 |
| | | 0.8-PP+1.35-CM1+0.8-CM2 | N | -78.002 | -78.002 | -78.002 | -78.002 | -78.002 |
| | | | Vy | 0.000 | 0.000 | 0.000 | 0.000 | 0.000 |
| | | | Vz | -5.003 | -4.970 | -4.938 | -4.905 | -4.872 |
| | | | Mt | 0.000 | 0.000 | 0.000 | 0.000 | 0.000 |
| | | | My | 4.120 | 5.304 | 6.481 | 7.650 | 8.811 |
| | | | Mz | 0.000 | 0.000 | 0.000 | 0.000 | 0.000 |
| | | 1.35-PP+1.35-CM1+0.8-CM2 | N | -106.796 | -106.796 | -106.796 | -106.796 | -106.796 |
| | | | Vy | 0.000 | 0.000 | 0.000 | 0.000 | 0.000 |
| | | | Vz | -6.849 | -6.794 | -6.739 | -6.684 | -6.629 |
| | | | Mt | 0.000 | 0.000 | 0.000 | 0.000 | 0.000 |
| | | | My | 5.680 | 7.300 | 8.907 | 10.501 | 12.082 |
| | | | Mz | 0.000 | 0.000 | 0.000 | 0.000 | 0.000 |
| | | 0.8-PP+0.8-CM1+1.35-CM2 | N | -78.002 | -78.002 | -78.002 | -78.002 | -78.002 |
| | | | Vy | 0.000 | 0.000 | 0.000 | 0.000 | 0.000 |
| | | | Vz | -5.003 | -4.970 | -4.938 | -4.905 | -4.872 |
| | | | Mt | 0.000 | 0.000 | 0.000 | 0.000 | 0.000 |
| | | | My | 4.120 | 5.304 | 6.481 | 7.650 | 8.811 |
| | | | Mz | 0.000 | 0.000 | 0.000 | 0.000 | 0.000 |
| | | 1.35-PP+0.8-CM1+1.35-CM2 | N | -106.796 | -106.796 | -106.796 | -106.796 | -106.796 |
| | | | Vy | 0.000 | 0.000 | 0.000 | 0.000 | 0.000 |
| | | | Vz | -6.849 | -6.794 | -6.739 | -6.684 | -6.629 |
| | | | Mt | 0.000 | 0.000 | 0.000 | 0.000 | 0.000 |
| | | | My | 5.680 | 7.300 | 8.907 | 10.501 | 12.082 |
| | | | Mz | 0.000 | 0.000 | 0.000 | 0.000 | 0.000 |
| | | 0.8-PP+1.35-CM1+1.35-CM2 | N | -87.243 | -87.243 | -87.243 | -87.243 | -87.243 |
| | | | Vy | 0.000 | 0.000 | 0.000 | 0.000 | 0.000 |
| | | | Vz | -5.595 | -5.563 | -5.530 | -5.498 | -5.465 |
| | | | Mt | 0.000 | 0.000 | 0.000 | 0.000 | 0.000 |
| | | | My | 4.594 | 5.919 | 7.236 | 8.546 | 9.847 |
| | | | Mz | 0.000 | 0.000 | 0.000 | 0.000 | 0.000 |



Listados

DESARROLLO DE PROYECTO EJECUTIVO DE REFORMA DE LA PISCINA DEL
COLEGIO PÁLCAM

Fecha: 28/03/18

| Esfuerzos en barras, por combinación | | | | | | | | |
|--------------------------------------|-------------|----------------------------------|----------|------------------------|----------|----------|----------|----------|
| Barra | Combinación | | Esfuerzo | Posiciones en la barra | | | | |
| | Tipo | Descripción | | 0.000 m | 0.238 m | 0.475 m | 0.713 m | 0.950 m |
| | | 1.35-PP+1.35-CM1+1.35-CM2 | N | -116.036 | -116.036 | -116.036 | -116.036 | -116.036 |
| | | | Vy | 0.000 | 0.000 | 0.000 | 0.000 | 0.000 |
| | | | Vz | -7.441 | -7.387 | -7.332 | -7.277 | -7.222 |
| | | | Mt | 0.000 | 0.000 | 0.000 | 0.000 | 0.000 |
| | | | My | 6.153 | 7.914 | 9.662 | 11.397 | 13.119 |
| | | | Mz | 0.000 | 0.000 | 0.000 | 0.000 | 0.000 |
| | | 0.8-PP+0.8-CM1+0.8-CM2+1.5-Q1 | N | -144.363 | -144.363 | -144.363 | -144.363 | -144.363 |
| | | | Vy | 0.000 | 0.000 | 0.000 | 0.000 | 0.000 |
| | | | Vz | -9.260 | -9.227 | -9.195 | -9.162 | -9.130 |
| | | | Mt | 0.000 | 0.000 | 0.000 | 0.000 | 0.000 |
| | | | My | 7.522 | 9.717 | 11.905 | 14.084 | 16.257 |
| | | | Mz | 0.000 | 0.000 | 0.000 | 0.000 | 0.000 |
| | | 1.35-PP+0.8-CM1+0.8-CM2+1.5-Q1 | N | -173.157 | -173.157 | -173.157 | -173.157 | -173.157 |
| | | | Vy | 0.000 | 0.000 | 0.000 | 0.000 | 0.000 |
| | | | Vz | -11.106 | -11.051 | -10.996 | -10.941 | -10.886 |
| | | | Mt | 0.000 | 0.000 | 0.000 | 0.000 | 0.000 |
| | | | My | 9.081 | 11.712 | 14.331 | 16.936 | 19.528 |
| | | | Mz | 0.000 | 0.000 | 0.000 | 0.000 | 0.000 |
| | | 0.8-PP+1.35-CM1+0.8-CM2+1.5-Q1 | N | -153.603 | -153.603 | -153.603 | -153.603 | -153.603 |
| | | | Vy | 0.000 | 0.000 | 0.000 | 0.000 | 0.000 |
| | | | Vz | -9.852 | -9.820 | -9.787 | -9.755 | -9.722 |
| | | | Mt | 0.000 | 0.000 | 0.000 | 0.000 | 0.000 |
| | | | My | 7.995 | 10.331 | 12.660 | 14.980 | 17.293 |
| | | | Mz | 0.000 | 0.000 | 0.000 | 0.000 | 0.000 |
| | | 1.35-PP+1.35-CM1+0.8-CM2+1.5-Q1 | N | -182.397 | -182.397 | -182.397 | -182.397 | -182.397 |
| | | | Vy | 0.000 | 0.000 | 0.000 | 0.000 | 0.000 |
| | | | Vz | -11.699 | -11.644 | -11.589 | -11.534 | -11.479 |
| | | | Mt | 0.000 | 0.000 | 0.000 | 0.000 | 0.000 |
| | | | My | 9.555 | 12.327 | 15.086 | 17.832 | 20.564 |
| | | | Mz | 0.000 | 0.000 | 0.000 | 0.000 | 0.000 |
| | | 0.8-PP+0.8-CM1+1.35-CM2+1.5-Q1 | N | -153.603 | -153.603 | -153.603 | -153.603 | -153.603 |
| | | | Vy | 0.000 | 0.000 | 0.000 | 0.000 | 0.000 |
| | | | Vz | -9.852 | -9.820 | -9.787 | -9.755 | -9.722 |
| | | | Mt | 0.000 | 0.000 | 0.000 | 0.000 | 0.000 |
| | | | My | 7.995 | 10.331 | 12.660 | 14.980 | 17.293 |
| | | | Mz | 0.000 | 0.000 | 0.000 | 0.000 | 0.000 |
| | | 1.35-PP+0.8-CM1+1.35-CM2+1.5-Q1 | N | -182.397 | -182.397 | -182.397 | -182.397 | -182.397 |
| | | | Vy | 0.000 | 0.000 | 0.000 | 0.000 | 0.000 |
| | | | Vz | -11.699 | -11.644 | -11.589 | -11.534 | -11.479 |
| | | | Mt | 0.000 | 0.000 | 0.000 | 0.000 | 0.000 |
| | | | My | 9.555 | 12.327 | 15.086 | 17.832 | 20.564 |
| | | | Mz | 0.000 | 0.000 | 0.000 | 0.000 | 0.000 |
| | | 0.8-PP+1.35-CM1+1.35-CM2+1.5-Q1 | N | -162.843 | -162.843 | -162.843 | -162.843 | -162.843 |
| | | | Vy | 0.000 | 0.000 | 0.000 | 0.000 | 0.000 |
| | | | Vz | -10.445 | -10.413 | -10.380 | -10.348 | -10.315 |
| | | | Mt | 0.000 | 0.000 | 0.000 | 0.000 | 0.000 |
| | | | My | 8.469 | 10.946 | 13.415 | 15.876 | 18.330 |
| | | | Mz | 0.000 | 0.000 | 0.000 | 0.000 | 0.000 |
| | | 1.35-PP+1.35-CM1+1.35-CM2+1.5-Q1 | N | -191.637 | -191.637 | -191.637 | -191.637 | -191.637 |
| | | | Vy | 0.000 | 0.000 | 0.000 | 0.000 | 0.000 |
| | | | Vz | -12.291 | -12.237 | -12.182 | -12.127 | -12.072 |
| | | | Mt | 0.000 | 0.000 | 0.000 | 0.000 | 0.000 |
| | | | My | 10.029 | 12.941 | 15.841 | 18.728 | 21.601 |
| | | | Mz | 0.000 | 0.000 | 0.000 | 0.000 | 0.000 |

| Esfuerzos en barras, por combinación | | | | | | | | |
|--------------------------------------|----------------|------------------------|----------|------------------------|---------|---------|---------|---------|
| Barra | Combinación | | Esfuerzo | Posiciones en la barra | | | | |
| | Tipo | Descripción | | 0.000 m | 0.238 m | 0.475 m | 0.713 m | 0.950 m |
| N8/N9 | Acero laminado | 0.8-PP+0.8-CM1+0.8-CM2 | N | -85.511 | -85.511 | -85.511 | -85.511 | -85.511 |
| | | | Vy | 0.000 | 0.000 | 0.000 | 0.000 | 0.000 |



Listados

DESARROLLO DE PROYECTO EJECUTIVO DE REFORMA DE LA PISCINA DEL
COLEGIO PÁLCAM

Fecha: 28/03/18

| Esfuerzos en barras, por combinación | | | | | | | | |
|--------------------------------------|-------------|--------------------------------|----------|------------------------|----------|----------|----------|----------|
| Barra | Combinación | | Esfuerzo | Posiciones en la barra | | | | |
| | Tipo | Descripción | | 0.000 m | 0.238 m | 0.475 m | 0.713 m | 0.950 m |
| | | | Vz | -4.900 | -4.868 | -4.835 | -4.802 | -4.770 |
| | | | Mt | 0.000 | 0.000 | 0.000 | 0.000 | 0.000 |
| | | | My | 6.966 | 8.125 | 9.278 | 10.422 | 11.559 |
| | | | Mz | 0.000 | 0.000 | 0.000 | 0.000 | 0.000 |
| | | 1.35·PP+0.8·CM1+0.8·CM2 | N | -121.212 | -121.212 | -121.212 | -121.212 | -121.212 |
| | | | Vy | 0.000 | 0.000 | 0.000 | 0.000 | 0.000 |
| | | | Vz | -6.927 | -6.872 | -6.817 | -6.762 | -6.707 |
| | | | Mt | 0.000 | 0.000 | 0.000 | 0.000 | 0.000 |
| | | | My | 9.902 | 11.540 | 13.166 | 14.778 | 16.378 |
| | | | Mz | 0.000 | 0.000 | 0.000 | 0.000 | 0.000 |
| | | 0.8·PP+1.35·CM1+0.8·CM2 | N | -97.055 | -97.055 | -97.055 | -97.055 | -97.055 |
| | | | Vy | 0.000 | 0.000 | 0.000 | 0.000 | 0.000 |
| | | | Vz | -5.571 | -5.539 | -5.506 | -5.474 | -5.441 |
| | | | Mt | 0.000 | 0.000 | 0.000 | 0.000 | 0.000 |
| | | | My | 7.892 | 9.211 | 10.523 | 11.827 | 13.123 |
| | | | Mz | 0.000 | 0.000 | 0.000 | 0.000 | 0.000 |
| | | 1.35·PP+1.35·CM1+0.8·CM2 | N | -132.756 | -132.756 | -132.756 | -132.756 | -132.756 |
| | | | Vy | 0.000 | 0.000 | 0.000 | 0.000 | 0.000 |
| | | | Vz | -7.598 | -7.543 | -7.488 | -7.433 | -7.378 |
| | | | Mt | 0.000 | 0.000 | 0.000 | 0.000 | 0.000 |
| | | | My | 10.828 | 12.626 | 14.411 | 16.183 | 17.942 |
| | | | Mz | 0.000 | 0.000 | 0.000 | 0.000 | 0.000 |
| | | 0.8·PP+0.8·CM1+1.35·CM2 | N | -97.055 | -97.055 | -97.055 | -97.055 | -97.055 |
| | | | Vy | 0.000 | 0.000 | 0.000 | 0.000 | 0.000 |
| | | | Vz | -5.571 | -5.539 | -5.506 | -5.474 | -5.441 |
| | | | Mt | 0.000 | 0.000 | 0.000 | 0.000 | 0.000 |
| | | | My | 7.892 | 9.211 | 10.523 | 11.827 | 13.123 |
| | | | Mz | 0.000 | 0.000 | 0.000 | 0.000 | 0.000 |
| | | 1.35·PP+0.8·CM1+1.35·CM2 | N | -132.756 | -132.756 | -132.756 | -132.756 | -132.756 |
| | | | Vy | 0.000 | 0.000 | 0.000 | 0.000 | 0.000 |
| | | | Vz | -7.598 | -7.543 | -7.488 | -7.433 | -7.378 |
| | | | Mt | 0.000 | 0.000 | 0.000 | 0.000 | 0.000 |
| | | | My | 10.828 | 12.626 | 14.411 | 16.183 | 17.942 |
| | | | Mz | 0.000 | 0.000 | 0.000 | 0.000 | 0.000 |
| | | 0.8·PP+1.35·CM1+1.35·CM2 | N | -108.599 | -108.599 | -108.599 | -108.599 | -108.599 |
| | | | Vy | 0.000 | 0.000 | 0.000 | 0.000 | 0.000 |
| | | | Vz | -6.242 | -6.210 | -6.177 | -6.145 | -6.112 |
| | | | Mt | 0.000 | 0.000 | 0.000 | 0.000 | 0.000 |
| | | | My | 8.818 | 10.297 | 11.768 | 13.231 | 14.687 |
| | | | Mz | 0.000 | 0.000 | 0.000 | 0.000 | 0.000 |
| | | 1.35·PP+1.35·CM1+1.35·CM2 | N | -144.300 | -144.300 | -144.300 | -144.300 | -144.300 |
| | | | Vy | 0.000 | 0.000 | 0.000 | 0.000 | 0.000 |
| | | | Vz | -8.269 | -8.214 | -8.159 | -8.104 | -8.049 |
| | | | Mt | 0.000 | 0.000 | 0.000 | 0.000 | 0.000 |
| | | | My | 11.754 | 13.712 | 15.656 | 17.587 | 19.505 |
| | | | Mz | 0.000 | 0.000 | 0.000 | 0.000 | 0.000 |
| | | 0.8·PP+0.8·CM1+0.8·CM2+1.5·Q1 | N | -179.960 | -179.960 | -179.960 | -179.960 | -179.960 |
| | | | Vy | 0.000 | 0.000 | 0.000 | 0.000 | 0.000 |
| | | | Vz | -10.390 | -10.358 | -10.325 | -10.293 | -10.260 |
| | | | Mt | 0.000 | 0.000 | 0.000 | 0.000 | 0.000 |
| | | | My | 14.545 | 17.009 | 19.465 | 21.914 | 24.355 |
| | | | Mz | 0.000 | 0.000 | 0.000 | 0.000 | 0.000 |
| | | 1.35·PP+0.8·CM1+0.8·CM2+1.5·Q1 | N | -215.662 | -215.662 | -215.662 | -215.662 | -215.662 |
| | | | Vy | 0.000 | 0.000 | 0.000 | 0.000 | 0.000 |
| | | | Vz | -12.417 | -12.362 | -12.307 | -12.253 | -12.198 |
| | | | Mt | 0.000 | 0.000 | 0.000 | 0.000 | 0.000 |
| | | | My | 17.481 | 20.424 | 23.353 | 26.270 | 29.173 |
| | | | Mz | 0.000 | 0.000 | 0.000 | 0.000 | 0.000 |
| | | 0.8·PP+1.35·CM1+0.8·CM2+1.5·Q1 | N | -191.504 | -191.504 | -191.504 | -191.504 | -191.504 |
| | | | Vy | 0.000 | 0.000 | 0.000 | 0.000 | 0.000 |
| | | | Vz | -11.062 | -11.029 | -10.996 | -10.964 | -10.931 |
| | | | Mt | 0.000 | 0.000 | 0.000 | 0.000 | 0.000 |



Listados

DESARROLLO DE PROYECTO EJECUTIVO DE REFORMA DE LA PISCINA DEL
COLEGIO PÁLCAM

Fecha: 28/03/18

| Esfuerzos en barras, por combinación | | | | | | | | |
|--------------------------------------|-------------|----------------------------------|----------|------------------------|----------|----------|----------|----------|
| Barra | Combinación | | Esfuerzo | Posiciones en la barra | | | | |
| | Tipo | Descripción | | 0.000 m | 0.238 m | 0.475 m | 0.713 m | 0.950 m |
| | | | My | 15.472 | 18.095 | 20.711 | 23.318 | 25.918 |
| | | | Mz | 0.000 | 0.000 | 0.000 | 0.000 | 0.000 |
| | | 1.35·PP+1.35·CM1+0.8·CM2+1.5·Q1 | N | -227.205 | -227.205 | -227.205 | -227.205 | -227.205 |
| | | | Vy | 0.000 | 0.000 | 0.000 | 0.000 | 0.000 |
| | | | Vz | -13.088 | -13.033 | -12.978 | -12.924 | -12.869 |
| | | | Mt | 0.000 | 0.000 | 0.000 | 0.000 | 0.000 |
| | | | My | 18.408 | 21.510 | 24.599 | 27.674 | 30.737 |
| | | | Mz | 0.000 | 0.000 | 0.000 | 0.000 | 0.000 |
| | | 0.8·PP+0.8·CM1+1.35·CM2+1.5·Q1 | N | -191.504 | -191.504 | -191.504 | -191.504 | -191.504 |
| | | | Vy | 0.000 | 0.000 | 0.000 | 0.000 | 0.000 |
| | | | Vz | -11.062 | -11.029 | -10.996 | -10.964 | -10.931 |
| | | | Mt | 0.000 | 0.000 | 0.000 | 0.000 | 0.000 |
| | | | My | 15.472 | 18.095 | 20.711 | 23.318 | 25.918 |
| | | | Mz | 0.000 | 0.000 | 0.000 | 0.000 | 0.000 |
| | | 1.35·PP+0.8·CM1+1.35·CM2+1.5·Q1 | N | -227.205 | -227.205 | -227.205 | -227.205 | -227.205 |
| | | | Vy | 0.000 | 0.000 | 0.000 | 0.000 | 0.000 |
| | | | Vz | -13.088 | -13.033 | -12.978 | -12.924 | -12.869 |
| | | | Mt | 0.000 | 0.000 | 0.000 | 0.000 | 0.000 |
| | | | My | 18.408 | 21.510 | 24.599 | 27.674 | 30.737 |
| | | | Mz | 0.000 | 0.000 | 0.000 | 0.000 | 0.000 |
| | | 0.8·PP+1.35·CM1+1.35·CM2+1.5·Q1 | N | -203.048 | -203.048 | -203.048 | -203.048 | -203.048 |
| | | | Vy | 0.000 | 0.000 | 0.000 | 0.000 | 0.000 |
| | | | Vz | -11.733 | -11.700 | -11.668 | -11.635 | -11.603 |
| | | | Mt | 0.000 | 0.000 | 0.000 | 0.000 | 0.000 |
| | | | My | 16.398 | 19.181 | 21.956 | 24.723 | 27.482 |
| | | | Mz | 0.000 | 0.000 | 0.000 | 0.000 | 0.000 |
| | | 1.35·PP+1.35·CM1+1.35·CM2+1.5·Q1 | N | -238.749 | -238.749 | -238.749 | -238.749 | -238.749 |
| | | | Vy | 0.000 | 0.000 | 0.000 | 0.000 | 0.000 |
| | | | Vz | -13.759 | -13.704 | -13.649 | -13.595 | -13.540 |
| | | | Mt | 0.000 | 0.000 | 0.000 | 0.000 | 0.000 |
| | | | My | 19.334 | 22.595 | 25.844 | 29.079 | 32.301 |
| | | | Mz | 0.000 | 0.000 | 0.000 | 0.000 | 0.000 |

| Esfuerzos en barras, por combinación | | | | | | | | |
|--------------------------------------|----------------|--------------------------|----------|------------------------|----------|----------|----------|----------|
| Barra | Combinación | | Esfuerzo | Posiciones en la barra | | | | |
| | Tipo | Descripción | | 0.000 m | 0.237 m | 0.475 m | 0.712 m | 0.950 m |
| N9/N10 | Acero laminado | 0.8·PP+0.8·CM1+0.8·CM2 | N | -93.764 | -93.764 | -93.764 | -93.764 | -93.764 |
| | | | Vy | 0.000 | 0.000 | 0.000 | 0.000 | 0.000 |
| | | | Vz | -8.825 | -8.792 | -8.760 | -8.727 | -8.695 |
| | | | Mt | 0.000 | 0.000 | 0.000 | 0.000 | 0.000 |
| | | | My | 10.973 | 13.065 | 15.149 | 17.226 | 19.295 |
| | | | Mz | 0.000 | 0.000 | 0.000 | 0.000 | 0.000 |
| | | 1.35·PP+0.8·CM1+0.8·CM2 | N | -132.833 | -132.833 | -132.833 | -132.833 | -132.833 |
| | | | Vy | 0.000 | 0.000 | 0.000 | 0.000 | 0.000 |
| | | | Vz | -12.424 | -12.369 | -12.314 | -12.259 | -12.205 |
| | | | Mt | 0.000 | 0.000 | 0.000 | 0.000 | 0.000 |
| | | | My | 15.551 | 18.495 | 21.426 | 24.344 | 27.249 |
| | | | Mz | 0.000 | 0.000 | 0.000 | 0.000 | 0.000 |
| | | 0.8·PP+1.35·CM1+0.8·CM2 | N | -106.461 | -106.461 | -106.461 | -106.461 | -106.461 |
| | | | Vy | 0.000 | 0.000 | 0.000 | 0.000 | 0.000 |
| | | | Vz | -10.059 | -10.026 | -9.994 | -9.961 | -9.929 |
| | | | Mt | 0.000 | 0.000 | 0.000 | 0.000 | 0.000 |
| | | | My | 12.456 | 14.841 | 17.219 | 19.588 | 21.950 |
| | | | Mz | 0.000 | 0.000 | 0.000 | 0.000 | 0.000 |
| | | 1.35·PP+1.35·CM1+0.8·CM2 | N | -145.530 | -145.530 | -145.530 | -145.530 | -145.530 |
| | | | Vy | 0.000 | 0.000 | 0.000 | 0.000 | 0.000 |
| | | | Vz | -13.658 | -13.603 | -13.548 | -13.493 | -13.439 |
| | | | Mt | 0.000 | 0.000 | 0.000 | 0.000 | 0.000 |
| | | | My | 17.034 | 20.271 | 23.495 | 26.706 | 29.905 |
| | | | Mz | 0.000 | 0.000 | 0.000 | 0.000 | 0.000 |
| | | 0.8·PP+0.8·CM1+1.35·CM2 | N | -106.461 | -106.461 | -106.461 | -106.461 | -106.461 |
| | | | Vy | 0.000 | 0.000 | 0.000 | 0.000 | 0.000 |



Listados

DESARROLLO DE PROYECTO EJECUTIVO DE REFORMA DE LA PISCINA DEL
COLEGIO PÁLCAM

Fecha: 28/03/18

| Esfuerzos en barras, por combinación | | | | | | | | |
|--------------------------------------|-------------|---------------------------------|----------|------------------------|----------|----------|----------|----------|
| Barra | Combinación | | Esfuerzo | Posiciones en la barra | | | | |
| | Tipo | Descripción | | 0.000 m | 0.237 m | 0.475 m | 0.712 m | 0.950 m |
| | | | Vz | -10.059 | -10.026 | -9.994 | -9.961 | -9.929 |
| | | | Mt | 0.000 | 0.000 | 0.000 | 0.000 | 0.000 |
| | | | My | 12.456 | 14.841 | 17.219 | 19.588 | 21.950 |
| | | | Mz | 0.000 | 0.000 | 0.000 | 0.000 | 0.000 |
| | | 1.35·PP+0.8·CM1+1.35·CM2 | N | -145.530 | -145.530 | -145.530 | -145.530 | -145.530 |
| | | | Vy | 0.000 | 0.000 | 0.000 | 0.000 | 0.000 |
| | | | Vz | -13.658 | -13.603 | -13.548 | -13.493 | -13.439 |
| | | | Mt | 0.000 | 0.000 | 0.000 | 0.000 | 0.000 |
| | | | My | 17.034 | 20.271 | 23.495 | 26.706 | 29.905 |
| | | | Mz | 0.000 | 0.000 | 0.000 | 0.000 | 0.000 |
| | | 0.8·PP+1.35·CM1+1.35·CM2 | N | -119.158 | -119.158 | -119.158 | -119.158 | -119.158 |
| | | | Vy | 0.000 | 0.000 | 0.000 | 0.000 | 0.000 |
| | | | Vz | -11.293 | -11.260 | -11.228 | -11.195 | -11.163 |
| | | | Mt | 0.000 | 0.000 | 0.000 | 0.000 | 0.000 |
| | | | My | 13.939 | 16.618 | 19.288 | 21.951 | 24.606 |
| | | | Mz | 0.000 | 0.000 | 0.000 | 0.000 | 0.000 |
| | | 1.35·PP+1.35·CM1+1.35·CM2 | N | -158.227 | -158.227 | -158.227 | -158.227 | -158.227 |
| | | | Vy | 0.000 | 0.000 | 0.000 | 0.000 | 0.000 |
| | | | Vz | -14.892 | -14.837 | -14.782 | -14.727 | -14.673 |
| | | | Mt | 0.000 | 0.000 | 0.000 | 0.000 | 0.000 |
| | | | My | 18.517 | 22.047 | 25.565 | 29.069 | 32.560 |
| | | | Mz | 0.000 | 0.000 | 0.000 | 0.000 | 0.000 |
| | | 0.8·PP+0.8·CM1+0.8·CM2+1.5·Q1 | N | -197.647 | -197.647 | -197.647 | -197.647 | -197.647 |
| | | | Vy | 0.000 | 0.000 | 0.000 | 0.000 | 0.000 |
| | | | Vz | -18.921 | -18.889 | -18.856 | -18.823 | -18.791 |
| | | | Mt | 0.000 | 0.000 | 0.000 | 0.000 | 0.000 |
| | | | My | 23.108 | 27.598 | 32.080 | 36.554 | 41.021 |
| | | | Mz | 0.000 | 0.000 | 0.000 | 0.000 | 0.000 |
| | | 1.35·PP+0.8·CM1+0.8·CM2+1.5·Q1 | N | -236.716 | -236.716 | -236.716 | -236.716 | -236.716 |
| | | | Vy | 0.000 | 0.000 | 0.000 | 0.000 | 0.000 |
| | | | Vz | -22.520 | -22.465 | -22.410 | -22.356 | -22.301 |
| | | | Mt | 0.000 | 0.000 | 0.000 | 0.000 | 0.000 |
| | | | My | 27.686 | 33.028 | 38.357 | 43.673 | 48.976 |
| | | | Mz | 0.000 | 0.000 | 0.000 | 0.000 | 0.000 |
| | | 0.8·PP+1.35·CM1+0.8·CM2+1.5·Q1 | N | -210.344 | -210.344 | -210.344 | -210.344 | -210.344 |
| | | | Vy | 0.000 | 0.000 | 0.000 | 0.000 | 0.000 |
| | | | Vz | -20.155 | -20.122 | -20.090 | -20.057 | -20.025 |
| | | | Mt | 0.000 | 0.000 | 0.000 | 0.000 | 0.000 |
| | | | My | 24.591 | 29.374 | 34.149 | 38.917 | 43.677 |
| | | | Mz | 0.000 | 0.000 | 0.000 | 0.000 | 0.000 |
| | | 1.35·PP+1.35·CM1+0.8·CM2+1.5·Q1 | N | -249.413 | -249.413 | -249.413 | -249.413 | -249.413 |
| | | | Vy | 0.000 | 0.000 | 0.000 | 0.000 | 0.000 |
| | | | Vz | -23.754 | -23.699 | -23.644 | -23.590 | -23.535 |
| | | | Mt | 0.000 | 0.000 | 0.000 | 0.000 | 0.000 |
| | | | My | 29.169 | 34.804 | 40.426 | 46.035 | 51.631 |
| | | | Mz | 0.000 | 0.000 | 0.000 | 0.000 | 0.000 |
| | | 0.8·PP+0.8·CM1+1.35·CM2+1.5·Q1 | N | -210.344 | -210.344 | -210.344 | -210.344 | -210.344 |
| | | | Vy | 0.000 | 0.000 | 0.000 | 0.000 | 0.000 |
| | | | Vz | -20.155 | -20.122 | -20.090 | -20.057 | -20.025 |
| | | | Mt | 0.000 | 0.000 | 0.000 | 0.000 | 0.000 |
| | | | My | 24.591 | 29.374 | 34.149 | 38.917 | 43.677 |
| | | | Mz | 0.000 | 0.000 | 0.000 | 0.000 | 0.000 |
| | | 1.35·PP+0.8·CM1+1.35·CM2+1.5·Q1 | N | -249.413 | -249.413 | -249.413 | -249.413 | -249.413 |
| | | | Vy | 0.000 | 0.000 | 0.000 | 0.000 | 0.000 |
| | | | Vz | -23.754 | -23.699 | -23.644 | -23.590 | -23.535 |
| | | | Mt | 0.000 | 0.000 | 0.000 | 0.000 | 0.000 |
| | | | My | 29.169 | 34.804 | 40.426 | 46.035 | 51.631 |
| | | | Mz | 0.000 | 0.000 | 0.000 | 0.000 | 0.000 |
| | | 0.8·PP+1.35·CM1+1.35·CM2+1.5·Q1 | N | -223.041 | -223.041 | -223.041 | -223.041 | -223.041 |
| | | | Vy | 0.000 | 0.000 | 0.000 | 0.000 | 0.000 |
| | | | Vz | -21.389 | -21.356 | -21.324 | -21.291 | -21.259 |
| | | | Mt | 0.000 | 0.000 | 0.000 | 0.000 | 0.000 |
| | | | My | 26.074 | 31.150 | 36.219 | 41.279 | 46.332 |
| | | | Mz | 0.000 | 0.000 | 0.000 | 0.000 | 0.000 |



Listados

DESARROLLO DE PROYECTO EJECUTIVO DE REFORMA DE LA PISCINA DEL
COLEGIO PÁLCAM

Fecha: 28/03/18

| Esfuerzos en barras, por combinación | | | | | | | | |
|--------------------------------------|-------------|----------------------------------|----------|------------------------|----------|----------|----------|----------|
| Barra | Combinación | | Esfuerzo | Posiciones en la barra | | | | |
| | Tipo | Descripción | | 0.000 m | 0.237 m | 0.475 m | 0.712 m | 0.950 m |
| | | 1.35·PP+1.35·CM1+1.35·CM2+1.5·Q1 | Mz | 0.000 | 0.000 | 0.000 | 0.000 | 0.000 |
| | | | N | -262.110 | -262.110 | -262.110 | -262.110 | -262.110 |
| | | | Vy | 0.000 | 0.000 | 0.000 | 0.000 | 0.000 |
| | | | Vz | -24.988 | -24.933 | -24.878 | -24.824 | -24.769 |
| | | | Mt | 0.000 | 0.000 | 0.000 | 0.000 | 0.000 |
| | | | My | 30.652 | 36.580 | 42.495 | 48.397 | 54.286 |
| | | | Mz | 0.000 | 0.000 | 0.000 | 0.000 | 0.000 |

| Esfuerzos en barras, por combinación | | | | | | | | |
|--------------------------------------|----------------|-------------------------------|----------|------------------------|----------|----------|----------|----------|
| Barra | Combinación | | Esfuerzo | Posiciones en la barra | | | | |
| | Tipo | Descripción | | 0.000 m | 0.238 m | 0.475 m | 0.713 m | 0.950 m |
| N10/N11 | Acero laminado | 0.8·PP+0.8·CM1+0.8·CM2 | N | -93.766 | -93.766 | -93.766 | -93.766 | -93.766 |
| | | | Vy | 0.000 | 0.000 | 0.000 | 0.000 | 0.000 |
| | | | Vz | 8.687 | 8.719 | 8.752 | 8.784 | 8.817 |
| | | | Mt | 0.000 | 0.000 | 0.000 | 0.000 | 0.000 |
| | | | My | 19.294 | 17.227 | 15.153 | 13.070 | 10.980 |
| | | | Mz | 0.000 | 0.000 | 0.000 | 0.000 | 0.000 |
| | | 1.35·PP+0.8·CM1+0.8·CM2 | N | -132.836 | -132.836 | -132.836 | -132.836 | -132.836 |
| | | | Vy | 0.000 | 0.000 | 0.000 | 0.000 | 0.000 |
| | | | Vz | 12.193 | 12.248 | 12.302 | 12.357 | 12.412 |
| | | | Mt | 0.000 | 0.000 | 0.000 | 0.000 | 0.000 |
| | | | My | 27.248 | 24.346 | 21.431 | 18.502 | 15.561 |
| | | | Mz | 0.000 | 0.000 | 0.000 | 0.000 | 0.000 |
| | | 0.8·PP+1.35·CM1+0.8·CM2 | N | -106.463 | -106.463 | -106.463 | -106.463 | -106.463 |
| | | | Vy | 0.000 | 0.000 | 0.000 | 0.000 | 0.000 |
| | | | Vz | 9.919 | 9.952 | 9.984 | 10.017 | 10.049 |
| | | | Mt | 0.000 | 0.000 | 0.000 | 0.000 | 0.000 |
| | | | My | 21.950 | 19.590 | 17.222 | 14.847 | 12.464 |
| | | | Mz | 0.000 | 0.000 | 0.000 | 0.000 | 0.000 |
| | | 1.35·PP+1.35·CM1+0.8·CM2 | N | -145.533 | -145.533 | -145.533 | -145.533 | -145.533 |
| | | | Vy | 0.000 | 0.000 | 0.000 | 0.000 | 0.000 |
| | | | Vz | 13.426 | 13.480 | 13.535 | 13.590 | 13.645 |
| | | | Mt | 0.000 | 0.000 | 0.000 | 0.000 | 0.000 |
| | | | My | 29.904 | 26.709 | 23.500 | 20.279 | 17.045 |
| | | | Mz | 0.000 | 0.000 | 0.000 | 0.000 | 0.000 |
| | | 0.8·PP+0.8·CM1+1.35·CM2 | N | -106.463 | -106.463 | -106.463 | -106.463 | -106.463 |
| | | | Vy | 0.000 | 0.000 | 0.000 | 0.000 | 0.000 |
| | | | Vz | 9.919 | 9.952 | 9.984 | 10.017 | 10.049 |
| | | | Mt | 0.000 | 0.000 | 0.000 | 0.000 | 0.000 |
| | | | My | 21.950 | 19.590 | 17.222 | 14.847 | 12.464 |
| | | | Mz | 0.000 | 0.000 | 0.000 | 0.000 | 0.000 |
| | | 1.35·PP+0.8·CM1+1.35·CM2 | N | -145.533 | -145.533 | -145.533 | -145.533 | -145.533 |
| | | | Vy | 0.000 | 0.000 | 0.000 | 0.000 | 0.000 |
| | | | Vz | 13.426 | 13.480 | 13.535 | 13.590 | 13.645 |
| | | | Mt | 0.000 | 0.000 | 0.000 | 0.000 | 0.000 |
| | | | My | 29.904 | 26.709 | 23.500 | 20.279 | 17.045 |
| | | | Mz | 0.000 | 0.000 | 0.000 | 0.000 | 0.000 |
| | | 0.8·PP+1.35·CM1+1.35·CM2 | N | -119.160 | -119.160 | -119.160 | -119.160 | -119.160 |
| | | | Vy | 0.000 | 0.000 | 0.000 | 0.000 | 0.000 |
| | | | Vz | 11.152 | 11.185 | 11.217 | 11.250 | 11.282 |
| | | | Mt | 0.000 | 0.000 | 0.000 | 0.000 | 0.000 |
| | | | My | 24.605 | 21.952 | 19.292 | 16.624 | 13.948 |
| | | | Mz | 0.000 | 0.000 | 0.000 | 0.000 | 0.000 |
| | | 1.35·PP+1.35·CM1+1.35·CM2 | N | -158.230 | -158.230 | -158.230 | -158.230 | -158.230 |
| | | | Vy | 0.000 | 0.000 | 0.000 | 0.000 | 0.000 |
| | | | Vz | 14.658 | 14.713 | 14.768 | 14.823 | 14.878 |
| | | | Mt | 0.000 | 0.000 | 0.000 | 0.000 | 0.000 |
| | | | My | 32.559 | 29.071 | 25.570 | 22.056 | 18.529 |
| | | | Mz | 0.000 | 0.000 | 0.000 | 0.000 | 0.000 |
| | | 0.8·PP+0.8·CM1+0.8·CM2+1.5·Q1 | N | -197.652 | -197.652 | -197.652 | -197.652 | -197.652 |
| | | | Vy | 0.000 | 0.000 | 0.000 | 0.000 | 0.000 |
| | | | Vz | 18.774 | 18.806 | 18.839 | 18.871 | 18.904 |



Listados

DESARROLLO DE PROYECTO EJECUTIVO DE REFORMA DE LA PISCINA DEL
COLEGIO PÁLCAM

Fecha: 28/03/18

| Esfuerzos en barras, por combinación | | | | | | | | |
|--------------------------------------|-------------|----------------------------------|----------|------------------------|----------|----------|----------|----------|
| Barra | Combinación | | Esfuerzo | Posiciones en la barra | | | | |
| | Tipo | Descripción | | 0.000 m | 0.238 m | 0.475 m | 0.713 m | 0.950 m |
| | | | Mt | 0.000 | 0.000 | 0.000 | 0.000 | 0.000 |
| | | | My | 41.020 | 36.557 | 32.087 | 27.609 | 23.123 |
| | | | Mz | 0.000 | 0.000 | 0.000 | 0.000 | 0.000 |
| | | 1.35-PP+0.8-CM1+0.8-CM2+1.5-Q1 | N | -236.722 | -236.722 | -236.722 | -236.722 | -236.722 |
| | | | Vy | 0.000 | 0.000 | 0.000 | 0.000 | 0.000 |
| | | | Vz | 22.280 | 22.335 | 22.390 | 22.445 | 22.499 |
| | | | Mt | 0.000 | 0.000 | 0.000 | 0.000 | 0.000 |
| | | | My | 48.974 | 43.676 | 38.365 | 33.041 | 27.704 |
| | | | Mz | 0.000 | 0.000 | 0.000 | 0.000 | 0.000 |
| | | 0.8-PP+1.35-CM1+0.8-CM2+1.5-Q1 | N | -210.349 | -210.349 | -210.349 | -210.349 | -210.349 |
| | | | Vy | 0.000 | 0.000 | 0.000 | 0.000 | 0.000 |
| | | | Vz | 20.007 | 20.039 | 20.072 | 20.104 | 20.137 |
| | | | Mt | 0.000 | 0.000 | 0.000 | 0.000 | 0.000 |
| | | | My | 43.675 | 38.920 | 34.157 | 29.386 | 24.607 |
| | | | Mz | 0.000 | 0.000 | 0.000 | 0.000 | 0.000 |
| | | 1.35-PP+1.35-CM1+0.8-CM2+1.5-Q1 | N | -249.419 | -249.419 | -249.419 | -249.419 | -249.419 |
| | | | Vy | 0.000 | 0.000 | 0.000 | 0.000 | 0.000 |
| | | | Vz | 23.513 | 23.568 | 23.623 | 23.677 | 23.732 |
| | | | Mt | 0.000 | 0.000 | 0.000 | 0.000 | 0.000 |
| | | | My | 51.629 | 46.038 | 40.435 | 34.818 | 29.188 |
| | | | Mz | 0.000 | 0.000 | 0.000 | 0.000 | 0.000 |
| | | 0.8-PP+0.8-CM1+1.35-CM2+1.5-Q1 | N | -210.349 | -210.349 | -210.349 | -210.349 | -210.349 |
| | | | Vy | 0.000 | 0.000 | 0.000 | 0.000 | 0.000 |
| | | | Vz | 20.007 | 20.039 | 20.072 | 20.104 | 20.137 |
| | | | Mt | 0.000 | 0.000 | 0.000 | 0.000 | 0.000 |
| | | | My | 43.675 | 38.920 | 34.157 | 29.386 | 24.607 |
| | | | Mz | 0.000 | 0.000 | 0.000 | 0.000 | 0.000 |
| | | 1.35-PP+0.8-CM1+1.35-CM2+1.5-Q1 | N | -249.419 | -249.419 | -249.419 | -249.419 | -249.419 |
| | | | Vy | 0.000 | 0.000 | 0.000 | 0.000 | 0.000 |
| | | | Vz | 23.513 | 23.568 | 23.623 | 23.677 | 23.732 |
| | | | Mt | 0.000 | 0.000 | 0.000 | 0.000 | 0.000 |
| | | | My | 51.629 | 46.038 | 40.435 | 34.818 | 29.188 |
| | | | Mz | 0.000 | 0.000 | 0.000 | 0.000 | 0.000 |
| | | 0.8-PP+1.35-CM1+1.35-CM2+1.5-Q1 | N | -223.046 | -223.046 | -223.046 | -223.046 | -223.046 |
| | | | Vy | 0.000 | 0.000 | 0.000 | 0.000 | 0.000 |
| | | | Vz | 21.239 | 21.272 | 21.304 | 21.337 | 21.370 |
| | | | Mt | 0.000 | 0.000 | 0.000 | 0.000 | 0.000 |
| | | | My | 46.331 | 41.282 | 36.226 | 31.163 | 26.091 |
| | | | Mz | 0.000 | 0.000 | 0.000 | 0.000 | 0.000 |
| | | 1.35-PP+1.35-CM1+1.35-CM2+1.5-Q1 | N | -262.116 | -262.116 | -262.116 | -262.116 | -262.116 |
| | | | Vy | 0.000 | 0.000 | 0.000 | 0.000 | 0.000 |
| | | | Vz | 24.746 | 24.801 | 24.855 | 24.910 | 24.965 |
| | | | Mt | 0.000 | 0.000 | 0.000 | 0.000 | 0.000 |
| | | | My | 54.285 | 48.401 | 42.504 | 36.595 | 30.672 |
| | | | Mz | 0.000 | 0.000 | 0.000 | 0.000 | 0.000 |

| Esfuerzos en barras, por combinación | | | | | | | | |
|--------------------------------------|----------------|-------------------------|----------|------------------------|----------|----------|----------|----------|
| Barra | Combinación | | Esfuerzo | Posiciones en la barra | | | | |
| | Tipo | Descripción | | 0.000 m | 0.237 m | 0.475 m | 0.712 m | 0.950 m |
| N11/N12 | Acero laminado | 0.8-PP+0.8-CM1+0.8-CM2 | N | -85.556 | -85.556 | -85.556 | -85.556 | -85.556 |
| | | | Vy | 0.000 | 0.000 | 0.000 | 0.000 | 0.000 |
| | | | Vz | 4.758 | 4.790 | 4.823 | 4.856 | 4.888 |
| | | | Mt | 0.000 | 0.000 | 0.000 | 0.000 | 0.000 |
| | | | My | 11.565 | 10.431 | 9.289 | 8.140 | 6.983 |
| | | | Mz | 0.000 | 0.000 | 0.000 | 0.000 | 0.000 |
| | | 1.35-PP+0.8-CM1+0.8-CM2 | N | -121.276 | -121.276 | -121.276 | -121.276 | -121.276 |
| | | | Vy | 0.000 | 0.000 | 0.000 | 0.000 | 0.000 |
| | | | Vz | 6.690 | 6.745 | 6.800 | 6.855 | 6.910 |
| | | | Mt | 0.000 | 0.000 | 0.000 | 0.000 | 0.000 |
| | | | My | 16.386 | 14.791 | 13.182 | 11.561 | 9.926 |
| | | | Mz | 0.000 | 0.000 | 0.000 | 0.000 | 0.000 |
| | | 0.8-PP+1.35-CM1+0.8-CM2 | N | -97.105 | -97.105 | -97.105 | -97.105 | -97.105 |
| | | | Vy | 0.000 | 0.000 | 0.000 | 0.000 | 0.000 |
| | | | Vz | 0.000 | 0.000 | 0.000 | 0.000 | 0.000 |
| | | | Mt | 0.000 | 0.000 | 0.000 | 0.000 | 0.000 |
| | | | My | 0.000 | 0.000 | 0.000 | 0.000 | 0.000 |
| | | | Mz | 0.000 | 0.000 | 0.000 | 0.000 | 0.000 |



Listados

DESARROLLO DE PROYECTO EJECUTIVO DE REFORMA DE LA PISCINA DEL
COLEGIO PÁLCAM

Fecha: 28/03/18

| Esfuerzos en barras, por combinación | | | | | | | | |
|--------------------------------------|-------------|---------------------------------|----------|------------------------|----------|----------|----------|----------|
| Barra | Combinación | | Esfuerzo | Posiciones en la barra | | | | |
| | Tipo | Descripción | | 0.000 m | 0.237 m | 0.475 m | 0.712 m | 0.950 m |
| | | | Vy | 0.000 | 0.000 | 0.000 | 0.000 | 0.000 |
| | | | Vz | 5.427 | 5.460 | 5.492 | 5.525 | 5.558 |
| | | | Mt | 0.000 | 0.000 | 0.000 | 0.000 | 0.000 |
| | | | My | 13.129 | 11.837 | 10.536 | 9.228 | 7.912 |
| | | | Mz | 0.000 | 0.000 | 0.000 | 0.000 | 0.000 |
| | | 1.35-PP+1.35-CM1+0.8-CM2 | N | -132.825 | -132.825 | -132.825 | -132.825 | -132.825 |
| | | | Vy | 0.000 | 0.000 | 0.000 | 0.000 | 0.000 |
| | | | Vz | 7.360 | 7.414 | 7.469 | 7.524 | 7.579 |
| | | | Mt | 0.000 | 0.000 | 0.000 | 0.000 | 0.000 |
| | | | My | 17.951 | 16.196 | 14.429 | 12.648 | 10.855 |
| | | | Mz | 0.000 | 0.000 | 0.000 | 0.000 | 0.000 |
| | | 0.8-PP+0.8-CM1+1.35-CM2 | N | -97.105 | -97.105 | -97.105 | -97.105 | -97.105 |
| | | | Vy | 0.000 | 0.000 | 0.000 | 0.000 | 0.000 |
| | | | Vz | 5.427 | 5.460 | 5.492 | 5.525 | 5.558 |
| | | | Mt | 0.000 | 0.000 | 0.000 | 0.000 | 0.000 |
| | | | My | 13.129 | 11.837 | 10.536 | 9.228 | 7.912 |
| | | | Mz | 0.000 | 0.000 | 0.000 | 0.000 | 0.000 |
| | | 1.35-PP+0.8-CM1+1.35-CM2 | N | -132.825 | -132.825 | -132.825 | -132.825 | -132.825 |
| | | | Vy | 0.000 | 0.000 | 0.000 | 0.000 | 0.000 |
| | | | Vz | 7.360 | 7.414 | 7.469 | 7.524 | 7.579 |
| | | | Mt | 0.000 | 0.000 | 0.000 | 0.000 | 0.000 |
| | | | My | 17.951 | 16.196 | 14.429 | 12.648 | 10.855 |
| | | | Mz | 0.000 | 0.000 | 0.000 | 0.000 | 0.000 |
| | | 0.8-PP+1.35-CM1+1.35-CM2 | N | -108.655 | -108.655 | -108.655 | -108.655 | -108.655 |
| | | | Vy | 0.000 | 0.000 | 0.000 | 0.000 | 0.000 |
| | | | Vz | 6.097 | 6.129 | 6.162 | 6.194 | 6.227 |
| | | | Mt | 0.000 | 0.000 | 0.000 | 0.000 | 0.000 |
| | | | My | 14.694 | 13.242 | 11.783 | 10.315 | 8.840 |
| | | | Mz | 0.000 | 0.000 | 0.000 | 0.000 | 0.000 |
| | | 1.35-PP+1.35-CM1+1.35-CM2 | N | -144.375 | -144.375 | -144.375 | -144.375 | -144.375 |
| | | | Vy | 0.000 | 0.000 | 0.000 | 0.000 | 0.000 |
| | | | Vz | 8.029 | 8.084 | 8.139 | 8.194 | 8.249 |
| | | | Mt | 0.000 | 0.000 | 0.000 | 0.000 | 0.000 |
| | | | My | 19.515 | 17.602 | 15.676 | 13.736 | 11.784 |
| | | | Mz | 0.000 | 0.000 | 0.000 | 0.000 | 0.000 |
| | | 0.8-PP+0.8-CM1+0.8-CM2+1.5-Q1 | N | -180.053 | -180.053 | -180.053 | -180.053 | -180.053 |
| | | | Vy | 0.000 | 0.000 | 0.000 | 0.000 | 0.000 |
| | | | Vz | 10.236 | 10.268 | 10.301 | 10.333 | 10.366 |
| | | | Mt | 0.000 | 0.000 | 0.000 | 0.000 | 0.000 |
| | | | My | 24.367 | 21.932 | 19.489 | 17.039 | 14.581 |
| | | | Mz | 0.000 | 0.000 | 0.000 | 0.000 | 0.000 |
| | | 1.35-PP+0.8-CM1+0.8-CM2+1.5-Q1 | N | -215.773 | -215.773 | -215.773 | -215.773 | -215.773 |
| | | | Vy | 0.000 | 0.000 | 0.000 | 0.000 | 0.000 |
| | | | Vz | 12.168 | 12.223 | 12.277 | 12.332 | 12.387 |
| | | | Mt | 0.000 | 0.000 | 0.000 | 0.000 | 0.000 |
| | | | My | 29.188 | 26.292 | 23.382 | 20.460 | 17.525 |
| | | | Mz | 0.000 | 0.000 | 0.000 | 0.000 | 0.000 |
| | | 0.8-PP+1.35-CM1+0.8-CM2+1.5-Q1 | N | -191.602 | -191.602 | -191.602 | -191.602 | -191.602 |
| | | | Vy | 0.000 | 0.000 | 0.000 | 0.000 | 0.000 |
| | | | Vz | 10.905 | 10.938 | 10.970 | 11.003 | 11.035 |
| | | | Mt | 0.000 | 0.000 | 0.000 | 0.000 | 0.000 |
| | | | My | 25.932 | 23.338 | 20.736 | 18.127 | 15.510 |
| | | | Mz | 0.000 | 0.000 | 0.000 | 0.000 | 0.000 |
| | | 1.35-PP+1.35-CM1+0.8-CM2+1.5-Q1 | N | -227.322 | -227.322 | -227.322 | -227.322 | -227.322 |
| | | | Vy | 0.000 | 0.000 | 0.000 | 0.000 | 0.000 |
| | | | Vz | 12.837 | 12.892 | 12.947 | 13.002 | 13.057 |
| | | | Mt | 0.000 | 0.000 | 0.000 | 0.000 | 0.000 |
| | | | My | 30.753 | 27.698 | 24.629 | 21.548 | 18.453 |
| | | | Mz | 0.000 | 0.000 | 0.000 | 0.000 | 0.000 |
| | | 0.8-PP+0.8-CM1+1.35-CM2+1.5-Q1 | N | -191.602 | -191.602 | -191.602 | -191.602 | -191.602 |
| | | | Vy | 0.000 | 0.000 | 0.000 | 0.000 | 0.000 |
| | | | Vz | 10.905 | 10.938 | 10.970 | 11.003 | 11.035 |
| | | | Mt | 0.000 | 0.000 | 0.000 | 0.000 | 0.000 |



Listados

DESARROLLO DE PROYECTO EJECUTIVO DE REFORMA DE LA PISCINA DEL
COLEGIO PÁLCAM

Fecha: 28/03/18

| Esfuerzos en barras, por combinación | | | | | | | | |
|--------------------------------------|-------------|----------------------------------|----------|------------------------|----------|----------|----------|----------|
| Barra | Combinación | | Esfuerzo | Posiciones en la barra | | | | |
| | Tipo | Descripción | | 0.000 m | 0.237 m | 0.475 m | 0.712 m | 0.950 m |
| | | 1.35-PP+0.8-CM1+1.35-CM2+1.5-Q1 | My | 25.932 | 23.338 | 20.736 | 18.127 | 15.510 |
| | | | Mz | 0.000 | 0.000 | 0.000 | 0.000 | 0.000 |
| | | | N | -227.322 | -227.322 | -227.322 | -227.322 | -227.322 |
| | | | Vy | 0.000 | 0.000 | 0.000 | 0.000 | 0.000 |
| | | | Vz | 12.837 | 12.892 | 12.947 | 13.002 | 13.057 |
| | | | Mt | 0.000 | 0.000 | 0.000 | 0.000 | 0.000 |
| | | 0.8-PP+1.35-CM1+1.35-CM2+1.5-Q1 | My | 30.753 | 27.698 | 24.629 | 21.548 | 18.453 |
| | | | Mz | 0.000 | 0.000 | 0.000 | 0.000 | 0.000 |
| | | | N | -203.152 | -203.152 | -203.152 | -203.152 | -203.152 |
| | | | Vy | 0.000 | 0.000 | 0.000 | 0.000 | 0.000 |
| | | | Vz | 11.574 | 11.607 | 11.640 | 11.672 | 11.705 |
| | | | Mt | 0.000 | 0.000 | 0.000 | 0.000 | 0.000 |
| | | 1.35-PP+1.35-CM1+1.35-CM2+1.5-Q1 | My | 27.496 | 24.743 | 21.983 | 19.215 | 16.439 |
| | | | Mz | 0.000 | 0.000 | 0.000 | 0.000 | 0.000 |
| | | | N | -238.872 | -238.872 | -238.872 | -238.872 | -238.872 |
| | | | Vy | 0.000 | 0.000 | 0.000 | 0.000 | 0.000 |
| | | | Vz | 13.507 | 13.562 | 13.616 | 13.671 | 13.726 |
| | | | Mt | 0.000 | 0.000 | 0.000 | 0.000 | 0.000 |
| | | | My | 32.318 | 29.103 | 25.876 | 22.635 | 19.382 |
| | | | Mz | 0.000 | 0.000 | 0.000 | 0.000 | 0.000 |
| | | | N | -238.872 | -238.872 | -238.872 | -238.872 | -238.872 |
| | | | Vy | 0.000 | 0.000 | 0.000 | 0.000 | 0.000 |
| | | | Vz | 13.507 | 13.562 | 13.616 | 13.671 | 13.726 |
| | | | Mt | 0.000 | 0.000 | 0.000 | 0.000 | 0.000 |

| Esfuerzos en barras, por combinación | | | | | | | | |
|--------------------------------------|----------------|--------------------------|----------|------------------------|----------|----------|----------|----------|
| Barra | Combinación | | Esfuerzo | Posiciones en la barra | | | | |
| | Tipo | Descripción | | 0.000 m | 0.238 m | 0.475 m | 0.713 m | 0.950 m |
| N12/N13 | Acero laminado | 0.8-PP+0.8-CM1+0.8-CM2 | N | -68.842 | -68.842 | -68.842 | -68.842 | -68.842 |
| | | | Vy | 0.000 | 0.000 | 0.000 | 0.000 | 0.000 |
| | | | Vz | 4.264 | 4.297 | 4.329 | 4.362 | 4.394 |
| | | | Mt | 0.000 | 0.000 | 0.000 | 0.000 | 0.000 |
| | | | My | 7.790 | 6.774 | 5.749 | 4.717 | 3.677 |
| | | | Mz | 0.000 | 0.000 | 0.000 | 0.000 | 0.000 |
| | | 1.35-PP+0.8-CM1+0.8-CM2 | N | -97.670 | -97.670 | -97.670 | -97.670 | -97.670 |
| | | | Vy | 0.000 | 0.000 | 0.000 | 0.000 | 0.000 |
| | | | Vz | 6.015 | 6.069 | 6.124 | 6.179 | 6.234 |
| | | | Mt | 0.000 | 0.000 | 0.000 | 0.000 | 0.000 |
| | | | My | 11.068 | 9.633 | 8.185 | 6.724 | 5.250 |
| | | | Mz | 0.000 | 0.000 | 0.000 | 0.000 | 0.000 |
| | | 0.8-PP+1.35-CM1+0.8-CM2 | N | -78.093 | -78.093 | -78.093 | -78.093 | -78.093 |
| | | | Vy | 0.000 | 0.000 | 0.000 | 0.000 | 0.000 |
| | | | Vz | 4.855 | 4.888 | 4.920 | 4.953 | 4.985 |
| | | | Mt | 0.000 | 0.000 | 0.000 | 0.000 | 0.000 |
| | | | My | 8.829 | 7.672 | 6.508 | 5.335 | 4.155 |
| | | | Mz | 0.000 | 0.000 | 0.000 | 0.000 | 0.000 |
| | | 1.35-PP+1.35-CM1+0.8-CM2 | N | -106.921 | -106.921 | -106.921 | -106.921 | -106.921 |
| | | | Vy | 0.000 | 0.000 | 0.000 | 0.000 | 0.000 |
| | | | Vz | 6.605 | 6.660 | 6.715 | 6.770 | 6.825 |
| | | | Mt | 0.000 | 0.000 | 0.000 | 0.000 | 0.000 |
| | | | My | 12.107 | 10.532 | 8.944 | 7.342 | 5.728 |
| | | | Mz | 0.000 | 0.000 | 0.000 | 0.000 | 0.000 |
| | | 0.8-PP+0.8-CM1+1.35-CM2 | N | -78.093 | -78.093 | -78.093 | -78.093 | -78.093 |
| | | | Vy | 0.000 | 0.000 | 0.000 | 0.000 | 0.000 |
| | | | Vz | 4.855 | 4.888 | 4.920 | 4.953 | 4.985 |
| | | | Mt | 0.000 | 0.000 | 0.000 | 0.000 | 0.000 |
| | | | My | 8.829 | 7.672 | 6.508 | 5.335 | 4.155 |
| | | | Mz | 0.000 | 0.000 | 0.000 | 0.000 | 0.000 |
| | | 1.35-PP+0.8-CM1+1.35-CM2 | N | -106.921 | -106.921 | -106.921 | -106.921 | -106.921 |
| | | | Vy | 0.000 | 0.000 | 0.000 | 0.000 | 0.000 |
| | | | Vz | 6.605 | 6.660 | 6.715 | 6.770 | 6.825 |
| | | | Mt | 0.000 | 0.000 | 0.000 | 0.000 | 0.000 |
| | | | My | 12.107 | 10.532 | 8.944 | 7.342 | 5.728 |
| | | | Mz | 0.000 | 0.000 | 0.000 | 0.000 | 0.000 |
| | | 0.8-PP+1.35-CM1+1.35-CM2 | N | -87.344 | -87.344 | -87.344 | -87.344 | -87.344 |
| | | | Vy | 0.000 | 0.000 | 0.000 | 0.000 | 0.000 |



Listados

DESARROLLO DE PROYECTO EJECUTIVO DE REFORMA DE LA PISCINA DEL
COLEGIO PÁLCAM

Fecha: 28/03/18

| Esfuerzos en barras, por combinación | | | | | | | | |
|--------------------------------------|-------------|----------------------------------|----------|------------------------|----------|----------|----------|----------|
| Barra | Combinación | | Esfuerzo | Posiciones en la barra | | | | |
| | Tipo | Descripción | | 0.000 m | 0.238 m | 0.475 m | 0.713 m | 0.950 m |
| | | | Vz | 5.446 | 5.478 | 5.511 | 5.543 | 5.576 |
| | | | Mt | 0.000 | 0.000 | 0.000 | 0.000 | 0.000 |
| | | | My | 9.868 | 8.571 | 7.266 | 5.953 | 4.633 |
| | | | Mz | 0.000 | 0.000 | 0.000 | 0.000 | 0.000 |
| | | 1.35·PP+1.35·CM1+1.35·CM2 | N | -116.172 | -116.172 | -116.172 | -116.172 | -116.172 |
| | | | Vy | 0.000 | 0.000 | 0.000 | 0.000 | 0.000 |
| | | | Vz | 7.196 | 7.251 | 7.306 | 7.361 | 7.416 |
| | | | Mt | 0.000 | 0.000 | 0.000 | 0.000 | 0.000 |
| | | | My | 13.146 | 11.431 | 9.702 | 7.960 | 6.206 |
| | | | Mz | 0.000 | 0.000 | 0.000 | 0.000 | 0.000 |
| | | 0.8·PP+0.8·CM1+0.8·CM2+1.5·Q1 | N | -144.529 | -144.529 | -144.529 | -144.529 | -144.529 |
| | | | Vy | 0.000 | 0.000 | 0.000 | 0.000 | 0.000 |
| | | | Vz | 9.098 | 9.130 | 9.163 | 9.195 | 9.228 |
| | | | Mt | 0.000 | 0.000 | 0.000 | 0.000 | 0.000 |
| | | | My | 16.291 | 14.126 | 11.954 | 9.774 | 7.586 |
| | | | Mz | 0.000 | 0.000 | 0.000 | 0.000 | 0.000 |
| | | 1.35·PP+0.8·CM1+0.8·CM2+1.5·Q1 | N | -173.357 | -173.357 | -173.357 | -173.357 | -173.357 |
| | | | Vy | 0.000 | 0.000 | 0.000 | 0.000 | 0.000 |
| | | | Vz | 10.848 | 10.903 | 10.958 | 11.013 | 11.067 |
| | | | Mt | 0.000 | 0.000 | 0.000 | 0.000 | 0.000 |
| | | | My | 19.569 | 16.986 | 14.390 | 11.781 | 9.159 |
| | | | Mz | 0.000 | 0.000 | 0.000 | 0.000 | 0.000 |
| | | 0.8·PP+1.35·CM1+0.8·CM2+1.5·Q1 | N | -153.780 | -153.780 | -153.780 | -153.780 | -153.780 |
| | | | Vy | 0.000 | 0.000 | 0.000 | 0.000 | 0.000 |
| | | | Vz | 9.689 | 9.721 | 9.754 | 9.786 | 9.819 |
| | | | Mt | 0.000 | 0.000 | 0.000 | 0.000 | 0.000 |
| | | | My | 17.329 | 15.025 | 12.712 | 10.392 | 8.064 |
| | | | Mz | 0.000 | 0.000 | 0.000 | 0.000 | 0.000 |
| | | 1.35·PP+1.35·CM1+0.8·CM2+1.5·Q1 | N | -182.608 | -182.608 | -182.608 | -182.608 | -182.608 |
| | | | Vy | 0.000 | 0.000 | 0.000 | 0.000 | 0.000 |
| | | | Vz | 11.439 | 11.494 | 11.548 | 11.603 | 11.658 |
| | | | Mt | 0.000 | 0.000 | 0.000 | 0.000 | 0.000 |
| | | | My | 20.608 | 17.884 | 15.148 | 12.399 | 9.636 |
| | | | Mz | 0.000 | 0.000 | 0.000 | 0.000 | 0.000 |
| | | 0.8·PP+0.8·CM1+1.35·CM2+1.5·Q1 | N | -153.780 | -153.780 | -153.780 | -153.780 | -153.780 |
| | | | Vy | 0.000 | 0.000 | 0.000 | 0.000 | 0.000 |
| | | | Vz | 9.689 | 9.721 | 9.754 | 9.786 | 9.819 |
| | | | Mt | 0.000 | 0.000 | 0.000 | 0.000 | 0.000 |
| | | | My | 17.329 | 15.025 | 12.712 | 10.392 | 8.064 |
| | | | Mz | 0.000 | 0.000 | 0.000 | 0.000 | 0.000 |
| | | 1.35·PP+0.8·CM1+1.35·CM2+1.5·Q1 | N | -182.608 | -182.608 | -182.608 | -182.608 | -182.608 |
| | | | Vy | 0.000 | 0.000 | 0.000 | 0.000 | 0.000 |
| | | | Vz | 11.439 | 11.494 | 11.548 | 11.603 | 11.658 |
| | | | Mt | 0.000 | 0.000 | 0.000 | 0.000 | 0.000 |
| | | | My | 20.608 | 17.884 | 15.148 | 12.399 | 9.636 |
| | | | Mz | 0.000 | 0.000 | 0.000 | 0.000 | 0.000 |
| | | 0.8·PP+1.35·CM1+1.35·CM2+1.5·Q1 | N | -163.031 | -163.031 | -163.031 | -163.031 | -163.031 |
| | | | Vy | 0.000 | 0.000 | 0.000 | 0.000 | 0.000 |
| | | | Vz | 10.279 | 10.312 | 10.344 | 10.377 | 10.409 |
| | | | Mt | 0.000 | 0.000 | 0.000 | 0.000 | 0.000 |
| | | | My | 18.368 | 15.923 | 13.470 | 11.010 | 8.541 |
| | | | Mz | 0.000 | 0.000 | 0.000 | 0.000 | 0.000 |
| | | 1.35·PP+1.35·CM1+1.35·CM2+1.5·Q1 | N | -191.859 | -191.859 | -191.859 | -191.859 | -191.859 |
| | | | Vy | 0.000 | 0.000 | 0.000 | 0.000 | 0.000 |
| | | | Vz | 12.030 | 12.084 | 12.139 | 12.194 | 12.249 |
| | | | Mt | 0.000 | 0.000 | 0.000 | 0.000 | 0.000 |
| | | | My | 21.646 | 18.783 | 15.906 | 13.017 | 10.114 |
| | | | Mz | 0.000 | 0.000 | 0.000 | 0.000 | 0.000 |



Listados

DESARROLLO DE PROYECTO EJECUTIVO DE REFORMA DE LA PISCINA DEL
COLEGIO PÁLCAM

Fecha: 28/03/18

| Esfuerzos en barras, por combinación | | | | | | | | |
|--------------------------------------|----------------|--------------------------------|----------|------------------------|----------|----------|----------|----------|
| Barra | Combinación | | Esfuerzo | Posiciones en la barra | | | | |
| | Tipo | Descripción | | 0.000 m | 0.237 m | 0.475 m | 0.712 m | 0.950 m |
| N13/N14 | Acero laminado | 0.8-PP+0.8-CM1+0.8-CM2 | N | -48.937 | -48.937 | -48.937 | -48.937 | -48.937 |
| | | | Vy | 0.000 | 0.000 | 0.000 | 0.000 | 0.000 |
| | | | Vz | 4.005 | 4.037 | 4.070 | 4.102 | 4.135 |
| | | | Mt | 0.000 | 0.000 | 0.000 | 0.000 | 0.000 |
| | | | My | 4.602 | 3.647 | 2.684 | 1.714 | 0.735 |
| | | | Mz | 0.000 | 0.000 | 0.000 | 0.000 | 0.000 |
| | | 1.35-PP+0.8-CM1+0.8-CM2 | N | -69.488 | -69.488 | -69.488 | -69.488 | -69.488 |
| | | | Vy | 0.000 | 0.000 | 0.000 | 0.000 | 0.000 |
| | | | Vz | 5.669 | 5.724 | 5.778 | 5.833 | 5.888 |
| | | | Mt | 0.000 | 0.000 | 0.000 | 0.000 | 0.000 |
| | | | My | 6.560 | 5.207 | 3.841 | 2.462 | 1.070 |
| | | | Mz | 0.000 | 0.000 | 0.000 | 0.000 | 0.000 |
| | | 0.8-PP+1.35-CM1+0.8-CM2 | N | -55.483 | -55.483 | -55.483 | -55.483 | -55.483 |
| | | | Vy | 0.000 | 0.000 | 0.000 | 0.000 | 0.000 |
| | | | Vz | 4.549 | 4.582 | 4.614 | 4.647 | 4.679 |
| | | | Mt | 0.000 | 0.000 | 0.000 | 0.000 | 0.000 |
| | | | My | 5.204 | 4.120 | 3.028 | 1.928 | 0.821 |
| | | | Mz | 0.000 | 0.000 | 0.000 | 0.000 | 0.000 |
| | | 1.35-PP+1.35-CM1+0.8-CM2 | N | -76.034 | -76.034 | -76.034 | -76.034 | -76.034 |
| | | | Vy | 0.000 | 0.000 | 0.000 | 0.000 | 0.000 |
| | | | Vz | 6.213 | 6.268 | 6.323 | 6.378 | 6.433 |
| | | | Mt | 0.000 | 0.000 | 0.000 | 0.000 | 0.000 |
| | | | My | 7.163 | 5.681 | 4.185 | 2.677 | 1.156 |
| | | | Mz | 0.000 | 0.000 | 0.000 | 0.000 | 0.000 |
| | | 0.8-PP+0.8-CM1+1.35-CM2 | N | -55.483 | -55.483 | -55.483 | -55.483 | -55.483 |
| | | | Vy | 0.000 | 0.000 | 0.000 | 0.000 | 0.000 |
| | | | Vz | 4.549 | 4.582 | 4.614 | 4.647 | 4.679 |
| | | | Mt | 0.000 | 0.000 | 0.000 | 0.000 | 0.000 |
| | | | My | 5.204 | 4.120 | 3.028 | 1.928 | 0.821 |
| | | | Mz | 0.000 | 0.000 | 0.000 | 0.000 | 0.000 |
| | | 1.35-PP+0.8-CM1+1.35-CM2 | N | -76.034 | -76.034 | -76.034 | -76.034 | -76.034 |
| | | | Vy | 0.000 | 0.000 | 0.000 | 0.000 | 0.000 |
| | | | Vz | 6.213 | 6.268 | 6.323 | 6.378 | 6.433 |
| | | | Mt | 0.000 | 0.000 | 0.000 | 0.000 | 0.000 |
| | | | My | 7.163 | 5.681 | 4.185 | 2.677 | 1.156 |
| | | | Mz | 0.000 | 0.000 | 0.000 | 0.000 | 0.000 |
| | | 0.8-PP+1.35-CM1+1.35-CM2 | N | -62.029 | -62.029 | -62.029 | -62.029 | -62.029 |
| | | | Vy | 0.000 | 0.000 | 0.000 | 0.000 | 0.000 |
| | | | Vz | 5.094 | 5.127 | 5.159 | 5.192 | 5.224 |
| | | | Mt | 0.000 | 0.000 | 0.000 | 0.000 | 0.000 |
| | | | My | 5.807 | 4.594 | 3.372 | 2.143 | 0.906 |
| | | | Mz | 0.000 | 0.000 | 0.000 | 0.000 | 0.000 |
| | | 1.35-PP+1.35-CM1+1.35-CM2 | N | -82.581 | -82.581 | -82.581 | -82.581 | -82.581 |
| | | | Vy | 0.000 | 0.000 | 0.000 | 0.000 | 0.000 |
| | | | Vz | 6.758 | 6.813 | 6.868 | 6.923 | 6.977 |
| | | | Mt | 0.000 | 0.000 | 0.000 | 0.000 | 0.000 |
| | | | My | 7.765 | 6.154 | 4.529 | 2.892 | 1.241 |
| | | | Mz | 0.000 | 0.000 | 0.000 | 0.000 | 0.000 |
| | | 0.8-PP+0.8-CM1+0.8-CM2+1.5-Q1 | N | -102.497 | -102.497 | -102.497 | -102.497 | -102.497 |
| | | | Vy | 0.000 | 0.000 | 0.000 | 0.000 | 0.000 |
| | | | Vz | 8.461 | 8.494 | 8.526 | 8.559 | 8.591 |
| | | | Mt | 0.000 | 0.000 | 0.000 | 0.000 | 0.000 |
| | | | My | 9.533 | 7.520 | 5.499 | 3.470 | 1.433 |
| | | | Mz | 0.000 | 0.000 | 0.000 | 0.000 | 0.000 |
| | | 1.35-PP+0.8-CM1+0.8-CM2+1.5-Q1 | N | -123.048 | -123.048 | -123.048 | -123.048 | -123.048 |
| | | | Vy | 0.000 | 0.000 | 0.000 | 0.000 | 0.000 |
| | | | Vz | 10.125 | 10.180 | 10.235 | 10.290 | 10.344 |
| | | | Mt | 0.000 | 0.000 | 0.000 | 0.000 | 0.000 |
| | | | My | 11.491 | 9.080 | 6.656 | 4.219 | 1.769 |
| | | | Mz | 0.000 | 0.000 | 0.000 | 0.000 | 0.000 |
| | | 0.8-PP+1.35-CM1+0.8-CM2+1.5-Q1 | N | -109.043 | -109.043 | -109.043 | -109.043 | -109.043 |
| | | | Vy | 0.000 | 0.000 | 0.000 | 0.000 | 0.000 |
| | | | Vz | 9.006 | 9.038 | 9.071 | 9.103 | 9.136 |



Listados

DESARROLLO DE PROYECTO EJECUTIVO DE REFORMA DE LA PISCINA DEL
COLEGIO PÁLCAM

Fecha: 28/03/18

| Esfuerzos en barras, por combinación | | | | | | | | |
|--------------------------------------|-------------|----------------------------------|----------|------------------------|----------|----------|----------|----------|
| Barra | Combinación | | Esfuerzo | Posiciones en la barra | | | | |
| | Tipo | Descripción | | 0.000 m | 0.237 m | 0.475 m | 0.712 m | 0.950 m |
| | | | Mt | 0.000 | 0.000 | 0.000 | 0.000 | 0.000 |
| | | | My | 10.136 | 7.993 | 5.843 | 3.685 | 1.519 |
| | | | Mz | 0.000 | 0.000 | 0.000 | 0.000 | 0.000 |
| | | 1.35-PP+1.35-CM1+0.8-CM2+1.5-Q1 | N | -129.594 | -129.594 | -129.594 | -129.594 | -129.594 |
| | | | Vy | 0.000 | 0.000 | 0.000 | 0.000 | 0.000 |
| | | | Vz | 10.670 | 10.725 | 10.779 | 10.834 | 10.889 |
| | | | Mt | 0.000 | 0.000 | 0.000 | 0.000 | 0.000 |
| | | | My | 12.094 | 9.554 | 7.000 | 4.433 | 1.854 |
| | | | Mz | 0.000 | 0.000 | 0.000 | 0.000 | 0.000 |
| | | 0.8-PP+0.8-CM1+1.35-CM2+1.5-Q1 | N | -109.043 | -109.043 | -109.043 | -109.043 | -109.043 |
| | | | Vy | 0.000 | 0.000 | 0.000 | 0.000 | 0.000 |
| | | | Vz | 9.006 | 9.038 | 9.071 | 9.103 | 9.136 |
| | | | Mt | 0.000 | 0.000 | 0.000 | 0.000 | 0.000 |
| | | | My | 10.136 | 7.993 | 5.843 | 3.685 | 1.519 |
| | | | Mz | 0.000 | 0.000 | 0.000 | 0.000 | 0.000 |
| | | 1.35-PP+0.8-CM1+1.35-CM2+1.5-Q1 | N | -129.594 | -129.594 | -129.594 | -129.594 | -129.594 |
| | | | Vy | 0.000 | 0.000 | 0.000 | 0.000 | 0.000 |
| | | | Vz | 10.670 | 10.725 | 10.779 | 10.834 | 10.889 |
| | | | Mt | 0.000 | 0.000 | 0.000 | 0.000 | 0.000 |
| | | | My | 12.094 | 9.554 | 7.000 | 4.433 | 1.854 |
| | | | Mz | 0.000 | 0.000 | 0.000 | 0.000 | 0.000 |
| | | 0.8-PP+1.35-CM1+1.35-CM2+1.5-Q1 | N | -115.589 | -115.589 | -115.589 | -115.589 | -115.589 |
| | | | Vy | 0.000 | 0.000 | 0.000 | 0.000 | 0.000 |
| | | | Vz | 9.550 | 9.583 | 9.615 | 9.648 | 9.680 |
| | | | Mt | 0.000 | 0.000 | 0.000 | 0.000 | 0.000 |
| | | | My | 10.739 | 8.467 | 6.187 | 3.899 | 1.604 |
| | | | Mz | 0.000 | 0.000 | 0.000 | 0.000 | 0.000 |
| | | 1.35-PP+1.35-CM1+1.35-CM2+1.5-Q1 | N | -136.141 | -136.141 | -136.141 | -136.141 | -136.141 |
| | | | Vy | 0.000 | 0.000 | 0.000 | 0.000 | 0.000 |
| | | | Vz | 11.214 | 11.269 | 11.324 | 11.379 | 11.434 |
| | | | Mt | 0.000 | 0.000 | 0.000 | 0.000 | 0.000 |
| | | | My | 12.697 | 10.027 | 7.344 | 4.648 | 1.939 |
| | | | Mz | 0.000 | 0.000 | 0.000 | 0.000 | 0.000 |

| Esfuerzos en barras, por combinación | | | | | | | | |
|--------------------------------------|----------------|--------------------------|----------|------------------------|---------|---------|---------|---------|
| Barra | Combinación | | Esfuerzo | Posiciones en la barra | | | | |
| | Tipo | Descripción | | 0.000 m | 0.240 m | 0.480 m | 0.720 m | 0.960 m |
| N14/N4 | Acero laminado | 0.8-PP+0.8-CM1+0.8-CM2 | N | -27.448 | -27.448 | -27.448 | -27.448 | -27.448 |
| | | | Vy | 0.000 | 0.000 | 0.000 | 0.000 | 0.000 |
| | | | Vz | 4.215 | 4.248 | 4.281 | 4.314 | 4.347 |
| | | | Mt | 0.000 | 0.000 | 0.000 | 0.000 | 0.000 |
| | | | My | 1.715 | 0.699 | -0.324 | -1.356 | -2.395 |
| | | | Mz | 0.000 | 0.000 | 0.000 | 0.000 | 0.000 |
| | | 1.35-PP+0.8-CM1+0.8-CM2 | N | -38.999 | -38.999 | -38.999 | -38.999 | -38.999 |
| | | | Vy | 0.000 | 0.000 | 0.000 | 0.000 | 0.000 |
| | | | Vz | 5.994 | 6.049 | 6.105 | 6.160 | 6.215 |
| | | | Mt | 0.000 | 0.000 | 0.000 | 0.000 | 0.000 |
| | | | My | 2.460 | 1.015 | -0.444 | -1.915 | -3.400 |
| | | | Mz | 0.000 | 0.000 | 0.000 | 0.000 | 0.000 |
| | | 0.8-PP+1.35-CM1+0.8-CM2 | N | -31.107 | -31.107 | -31.107 | -31.107 | -31.107 |
| | | | Vy | 0.000 | 0.000 | 0.000 | 0.000 | 0.000 |
| | | | Vz | 4.775 | 4.808 | 4.841 | 4.874 | 4.907 |
| | | | Mt | 0.000 | 0.000 | 0.000 | 0.000 | 0.000 |
| | | | My | 1.932 | 0.782 | -0.376 | -1.542 | -2.716 |
| | | | Mz | 0.000 | 0.000 | 0.000 | 0.000 | 0.000 |
| | | 1.35-PP+1.35-CM1+0.8-CM2 | N | -42.658 | -42.658 | -42.658 | -42.658 | -42.658 |
| | | | Vy | 0.000 | 0.000 | 0.000 | 0.000 | 0.000 |
| | | | Vz | 6.554 | 6.609 | 6.664 | 6.720 | 6.775 |
| | | | Mt | 0.000 | 0.000 | 0.000 | 0.000 | 0.000 |
| | | | My | 2.677 | 1.097 | -0.495 | -2.102 | -3.721 |
| | | | Mz | 0.000 | 0.000 | 0.000 | 0.000 | 0.000 |



Listados

DESARROLLO DE PROYECTO EJECUTIVO DE REFORMA DE LA PISCINA DEL
COLEGIO PÁLCAM

Fecha: 28/03/18

| Esfuerzos en barras, por combinación | | | | | | | | |
|--------------------------------------|-------------|---------------------------------|----------|------------------------|---------|---------|---------|---------|
| Barra | Combinación | | Esfuerzo | Posiciones en la barra | | | | |
| | Tipo | Descripción | | 0.000 m | 0.240 m | 0.480 m | 0.720 m | 0.960 m |
| | | 0.8·PP+0.8·CM1+1.35·CM2 | N | -31.107 | -31.107 | -31.107 | -31.107 | -31.107 |
| | | | Vy | 0.000 | 0.000 | 0.000 | 0.000 | 0.000 |
| | | | Vz | 4.775 | 4.808 | 4.841 | 4.874 | 4.907 |
| | | | Mt | 0.000 | 0.000 | 0.000 | 0.000 | 0.000 |
| | | | My | 1.932 | 0.782 | -0.376 | -1.542 | -2.716 |
| | | | Mz | 0.000 | 0.000 | 0.000 | 0.000 | 0.000 |
| | | 1.35·PP+0.8·CM1+1.35·CM2 | N | -42.658 | -42.658 | -42.658 | -42.658 | -42.658 |
| | | | Vy | 0.000 | 0.000 | 0.000 | 0.000 | 0.000 |
| | | | Vz | 6.554 | 6.609 | 6.664 | 6.720 | 6.775 |
| | | | Mt | 0.000 | 0.000 | 0.000 | 0.000 | 0.000 |
| | | | My | 2.677 | 1.097 | -0.495 | -2.102 | -3.721 |
| | | | Mz | 0.000 | 0.000 | 0.000 | 0.000 | 0.000 |
| | | 0.8·PP+1.35·CM1+1.35·CM2 | N | -34.766 | -34.766 | -34.766 | -34.766 | -34.766 |
| | | | Vy | 0.000 | 0.000 | 0.000 | 0.000 | 0.000 |
| | | | Vz | 5.335 | 5.368 | 5.401 | 5.434 | 5.467 |
| | | | Mt | 0.000 | 0.000 | 0.000 | 0.000 | 0.000 |
| | | | My | 2.149 | 0.864 | -0.428 | -1.728 | -3.036 |
| | | | Mz | 0.000 | 0.000 | 0.000 | 0.000 | 0.000 |
| | | 1.35·PP+1.35·CM1+1.35·CM2 | N | -46.318 | -46.318 | -46.318 | -46.318 | -46.318 |
| | | | Vy | 0.000 | 0.000 | 0.000 | 0.000 | 0.000 |
| | | | Vz | 7.113 | 7.169 | 7.224 | 7.280 | 7.335 |
| | | | Mt | 0.000 | 0.000 | 0.000 | 0.000 | 0.000 |
| | | | My | 2.894 | 1.180 | -0.547 | -2.288 | -4.042 |
| | | | Mz | 0.000 | 0.000 | 0.000 | 0.000 | 0.000 |
| | | 0.8·PP+0.8·CM1+0.8·CM2+1.5·Q1 | N | -57.387 | -57.387 | -57.387 | -57.387 | -57.387 |
| | | | Vy | 0.000 | 0.000 | 0.000 | 0.000 | 0.000 |
| | | | Vz | 8.796 | 8.829 | 8.862 | 8.895 | 8.928 |
| | | | Mt | 0.000 | 0.000 | 0.000 | 0.000 | 0.000 |
| | | | My | 3.489 | 1.374 | -0.749 | -2.880 | -5.018 |
| | | | Mz | 0.000 | 0.000 | 0.000 | 0.000 | 0.000 |
| | | 1.35·PP+0.8·CM1+0.8·CM2+1.5·Q1 | N | -68.939 | -68.939 | -68.939 | -68.939 | -68.939 |
| | | | Vy | 0.000 | 0.000 | 0.000 | 0.000 | 0.000 |
| | | | Vz | 10.574 | 10.630 | 10.685 | 10.741 | 10.796 |
| | | | Mt | 0.000 | 0.000 | 0.000 | 0.000 | 0.000 |
| | | | My | 4.234 | 1.690 | -0.868 | -3.439 | -6.024 |
| | | | Mz | 0.000 | 0.000 | 0.000 | 0.000 | 0.000 |
| | | 0.8·PP+1.35·CM1+0.8·CM2+1.5·Q1 | N | -61.047 | -61.047 | -61.047 | -61.047 | -61.047 |
| | | | Vy | 0.000 | 0.000 | 0.000 | 0.000 | 0.000 |
| | | | Vz | 9.356 | 9.389 | 9.422 | 9.455 | 9.487 |
| | | | Mt | 0.000 | 0.000 | 0.000 | 0.000 | 0.000 |
| | | | My | 3.706 | 1.457 | -0.801 | -3.066 | -5.339 |
| | | | Mz | 0.000 | 0.000 | 0.000 | 0.000 | 0.000 |
| | | 1.35·PP+1.35·CM1+0.8·CM2+1.5·Q1 | N | -72.598 | -72.598 | -72.598 | -72.598 | -72.598 |
| | | | Vy | 0.000 | 0.000 | 0.000 | 0.000 | 0.000 |
| | | | Vz | 11.134 | 11.190 | 11.245 | 11.301 | 11.356 |
| | | | Mt | 0.000 | 0.000 | 0.000 | 0.000 | 0.000 |
| | | | My | 4.451 | 1.772 | -0.920 | -3.625 | -6.344 |
| | | | Mz | 0.000 | 0.000 | 0.000 | 0.000 | 0.000 |
| | | 0.8·PP+0.8·CM1+1.35·CM2+1.5·Q1 | N | -61.047 | -61.047 | -61.047 | -61.047 | -61.047 |
| | | | Vy | 0.000 | 0.000 | 0.000 | 0.000 | 0.000 |
| | | | Vz | 9.356 | 9.389 | 9.422 | 9.455 | 9.487 |
| | | | Mt | 0.000 | 0.000 | 0.000 | 0.000 | 0.000 |
| | | | My | 3.706 | 1.457 | -0.801 | -3.066 | -5.339 |
| | | | Mz | 0.000 | 0.000 | 0.000 | 0.000 | 0.000 |
| | | 1.35·PP+0.8·CM1+1.35·CM2+1.5·Q1 | N | -72.598 | -72.598 | -72.598 | -72.598 | -72.598 |
| | | | Vy | 0.000 | 0.000 | 0.000 | 0.000 | 0.000 |
| | | | Vz | 11.134 | 11.190 | 11.245 | 11.301 | 11.356 |
| | | | Mt | 0.000 | 0.000 | 0.000 | 0.000 | 0.000 |
| | | | My | 4.451 | 1.772 | -0.920 | -3.625 | -6.344 |
| | | | Mz | 0.000 | 0.000 | 0.000 | 0.000 | 0.000 |



Listados

DESARROLLO DE PROYECTO EJECUTIVO DE REFORMA DE LA PISCINA DEL
COLEGIO PÁLCAM

Fecha: 28/03/18

| Esfuerzos en barras, por combinación | | | | | | | | |
|--------------------------------------|-------------|----------------------------------|----------|------------------------|---------|---------|---------|---------|
| Barra | Combinación | | Esfuerzo | Posiciones en la barra | | | | |
| | Tipo | Descripción | | 0.000 m | 0.240 m | 0.480 m | 0.720 m | 0.960 m |
| | | 0.8·PP+1.35·CM1+1.35·CM2+1.5·Q1 | N | -64.706 | -64.706 | -64.706 | -64.706 | -64.706 |
| | | | Vy | 0.000 | 0.000 | 0.000 | 0.000 | 0.000 |
| | | | Vz | 9.916 | 9.949 | 9.982 | 10.014 | 10.047 |
| | | | Mt | 0.000 | 0.000 | 0.000 | 0.000 | 0.000 |
| | | | My | 3.923 | 1.539 | -0.853 | -3.252 | -5.659 |
| | | | Mz | 0.000 | 0.000 | 0.000 | 0.000 | 0.000 |
| | | 1.35·PP+1.35·CM1+1.35·CM2+1.5·Q1 | N | -76.258 | -76.258 | -76.258 | -76.258 | -76.258 |
| | | | Vy | 0.000 | 0.000 | 0.000 | 0.000 | 0.000 |
| | | | Vz | 11.694 | 11.750 | 11.805 | 11.861 | 11.916 |
| | | | Mt | 0.000 | 0.000 | 0.000 | 0.000 | 0.000 |
| | | | My | 4.668 | 1.855 | -0.972 | -3.812 | -6.665 |
| | | | Mz | 0.000 | 0.000 | 0.000 | 0.000 | 0.000 |

2.2.2.1.3.- Envoltentes

| Envoltentes de los esfuerzos en barras | | | | | | | | | |
|--|---------------------|-------------------|------------------------|---------|---------|---------|---------|---------|---------|
| Barra | Tipo de combinación | Esfuerzo | Posiciones en la barra | | | | | | |
| | | | 0.000 m | 0.187 m | 0.375 m | 0.562 m | 0.749 m | 0.936 m | 1.124 m |
| N5/N3 | Acero laminado | N _{min} | 23.404 | 23.407 | 23.409 | 23.412 | 23.414 | 23.417 | 23.419 |
| | | N _{máx} | 65.012 | 65.016 | 65.020 | 65.025 | 65.029 | 65.033 | 65.037 |
| | | Vy _{min} | 0.000 | 0.000 | 0.000 | 0.000 | 0.000 | 0.000 | 0.000 |
| | | Vy _{máx} | 0.000 | 0.000 | 0.000 | 0.000 | 0.000 | 0.000 | 0.000 |
| | | Vz _{min} | -0.556 | -0.549 | -0.543 | -0.536 | -0.529 | -0.523 | -0.516 |
| | | Vz _{máx} | -0.204 | -0.200 | -0.196 | -0.192 | -0.188 | -0.184 | -0.180 |
| | | Mt _{min} | 0.000 | 0.000 | 0.000 | 0.000 | 0.000 | 0.000 | 0.000 |
| | | Mt _{máx} | 0.000 | 0.000 | 0.000 | 0.000 | 0.000 | 0.000 | 0.000 |
| | | My _{min} | -0.309 | -0.206 | -0.103 | -0.003 | 0.035 | 0.070 | 0.104 |
| | | My _{máx} | -0.111 | -0.074 | -0.037 | 0.000 | 0.097 | 0.196 | 0.293 |
| | | Mz _{min} | 0.000 | 0.000 | 0.000 | 0.000 | 0.000 | 0.000 | 0.000 |
| | | Mz _{máx} | 0.000 | 0.000 | 0.000 | 0.000 | 0.000 | 0.000 | 0.000 |

| Envoltentes de los esfuerzos en barras | | | | | | | | | |
|--|---------------------|-------------------|------------------------|---------|---------|---------|---------|---------|---------|
| Barra | Tipo de combinación | Esfuerzo | Posiciones en la barra | | | | | | |
| | | | 0.000 m | 0.187 m | 0.375 m | 0.562 m | 0.749 m | 0.936 m | 1.124 m |
| N15/N6 | Acero laminado | N _{min} | 21.928 | 21.931 | 21.934 | 21.936 | 21.939 | 21.941 | 21.944 |
| | | N _{máx} | 61.124 | 61.129 | 61.133 | 61.137 | 61.141 | 61.146 | 61.150 |
| | | Vy _{min} | 0.000 | 0.000 | 0.000 | 0.000 | 0.000 | 0.000 | 0.000 |
| | | Vy _{máx} | 0.000 | 0.000 | 0.000 | 0.000 | 0.000 | 0.000 | 0.000 |
| | | Vz _{min} | -0.549 | -0.543 | -0.536 | -0.529 | -0.522 | -0.516 | -0.509 |
| | | Vz _{máx} | -0.201 | -0.197 | -0.194 | -0.190 | -0.186 | -0.182 | -0.178 |
| | | Mt _{min} | 0.000 | 0.000 | 0.000 | 0.000 | 0.000 | 0.000 | 0.000 |
| | | Mt _{máx} | 0.000 | 0.000 | 0.000 | 0.000 | 0.000 | 0.000 | 0.000 |
| | | My _{min} | -0.242 | -0.140 | -0.039 | 0.023 | 0.058 | 0.092 | 0.126 |
| | | My _{máx} | -0.087 | -0.050 | -0.013 | 0.061 | 0.159 | 0.256 | 0.352 |
| | | Mz _{min} | 0.000 | 0.000 | 0.000 | 0.000 | 0.000 | 0.000 | 0.000 |
| | | Mz _{máx} | 0.000 | 0.000 | 0.000 | 0.000 | 0.000 | 0.000 | 0.000 |

| Envoltentes de los esfuerzos en barras | | | | | | | | | |
|--|---------------------|------------------|------------------------|---------|---------|---------|---------|---------|---------|
| Barra | Tipo de combinación | Esfuerzo | Posiciones en la barra | | | | | | |
| | | | 0.000 m | 0.187 m | 0.375 m | 0.562 m | 0.749 m | 0.936 m | 1.124 m |
| N16/N7 | Acero laminado | N _{min} | 20.323 | 20.325 | 20.328 | 20.330 | 20.333 | 20.335 | 20.338 |
| | | N _{máx} | 56.914 | 56.918 | 56.923 | 56.927 | 56.931 | 56.935 | 56.940 |



Listados

DESARROLLO DE PROYECTO EJECUTIVO DE REFORMA DE LA PISCINA DEL
COLEGIO PÁLCAM

Fecha: 28/03/18

| Envolventes de los esfuerzos en barras | | | | | | | | | |
|--|---------------------|----------------|------------------------|---------|---------|---------|---------|---------|---------|
| Barra | Tipo de combinación | Esfuerzo | Posiciones en la barra | | | | | | |
| | | | 0.000 m | 0.187 m | 0.375 m | 0.562 m | 0.749 m | 0.936 m | 1.124 m |
| | | $V_{y_{\min}}$ | 0.000 | 0.000 | 0.000 | 0.000 | 0.000 | 0.000 | 0.000 |
| | | $V_{y_{\max}}$ | 0.000 | 0.000 | 0.000 | 0.000 | 0.000 | 0.000 | 0.000 |
| | | $V_{z_{\min}}$ | -0.428 | -0.422 | -0.415 | -0.408 | -0.402 | -0.395 | -0.388 |
| | | $V_{z_{\max}}$ | -0.158 | -0.154 | -0.150 | -0.146 | -0.142 | -0.138 | -0.134 |
| | | $M_{t_{\min}}$ | 0.000 | 0.000 | 0.000 | 0.000 | 0.000 | 0.000 | 0.000 |
| | | $M_{t_{\max}}$ | 0.000 | 0.000 | 0.000 | 0.000 | 0.000 | 0.000 | 0.000 |
| | | $M_{y_{\min}}$ | -0.102 | -0.023 | 0.021 | 0.048 | 0.075 | 0.102 | 0.127 |
| | | $M_{y_{\max}}$ | -0.037 | -0.008 | 0.055 | 0.133 | 0.208 | 0.283 | 0.356 |
| | | $M_{z_{\min}}$ | 0.000 | 0.000 | 0.000 | 0.000 | 0.000 | 0.000 | 0.000 |
| | | $M_{z_{\max}}$ | 0.000 | 0.000 | 0.000 | 0.000 | 0.000 | 0.000 | 0.000 |

| Envolventes de los esfuerzos en barras | | | | | | | | | |
|--|---------------------|----------------|------------------------|---------|---------|---------|---------|---------|---------|
| Barra | Tipo de combinación | Esfuerzo | Posiciones en la barra | | | | | | |
| | | | 0.000 m | 0.187 m | 0.375 m | 0.562 m | 0.749 m | 0.936 m | 1.124 m |
| N17/N8 | Acero laminado | N_{\min} | 17.008 | 17.010 | 17.013 | 17.015 | 17.018 | 17.020 | 17.023 |
| | | N_{\max} | 47.878 | 47.882 | 47.886 | 47.890 | 47.895 | 47.899 | 47.903 |
| | | $V_{y_{\min}}$ | 0.000 | 0.000 | 0.000 | 0.000 | 0.000 | 0.000 | 0.000 |
| | | $V_{y_{\max}}$ | 0.000 | 0.000 | 0.000 | 0.000 | 0.000 | 0.000 | 0.000 |
| | | $V_{z_{\min}}$ | -0.175 | -0.169 | -0.162 | -0.155 | -0.149 | -0.142 | -0.135 |
| | | $V_{z_{\max}}$ | -0.068 | -0.064 | -0.060 | -0.056 | -0.052 | -0.048 | -0.044 |
| | | $M_{t_{\min}}$ | 0.000 | 0.000 | 0.000 | 0.000 | 0.000 | 0.000 | 0.000 |
| | | $M_{t_{\max}}$ | 0.000 | 0.000 | 0.000 | 0.000 | 0.000 | 0.000 | 0.000 |
| | | $M_{y_{\min}}$ | 0.047 | 0.059 | 0.071 | 0.082 | 0.092 | 0.101 | 0.110 |
| | | $M_{y_{\max}}$ | 0.134 | 0.167 | 0.198 | 0.227 | 0.256 | 0.283 | 0.309 |
| | | $M_{z_{\min}}$ | 0.000 | 0.000 | 0.000 | 0.000 | 0.000 | 0.000 | 0.000 |
| | | $M_{z_{\max}}$ | 0.000 | 0.000 | 0.000 | 0.000 | 0.000 | 0.000 | 0.000 |

| Envolventes de los esfuerzos en barras | | | | | | | | | |
|--|---------------------|----------------|------------------------|---------|---------|---------|---------|---------|---------|
| Barra | Tipo de combinación | Esfuerzo | Posiciones en la barra | | | | | | |
| | | | 0.000 m | 0.187 m | 0.375 m | 0.562 m | 0.749 m | 0.936 m | 1.124 m |
| N18/N9 | Acero laminado | N_{\min} | 7.860 | 7.862 | 7.865 | 7.867 | 7.870 | 7.872 | 7.875 |
| | | N_{\max} | 22.290 | 22.294 | 22.298 | 22.303 | 22.307 | 22.311 | 22.315 |
| | | $V_{y_{\min}}$ | 0.000 | 0.000 | 0.000 | 0.000 | 0.000 | 0.000 | 0.000 |
| | | $V_{y_{\max}}$ | 0.000 | 0.000 | 0.000 | 0.000 | 0.000 | 0.000 | 0.000 |
| | | $V_{z_{\min}}$ | 0.050 | 0.054 | 0.058 | 0.062 | 0.066 | 0.070 | 0.074 |
| | | $V_{z_{\max}}$ | 0.157 | 0.163 | 0.170 | 0.177 | 0.183 | 0.190 | 0.197 |
| | | $M_{t_{\min}}$ | 0.000 | 0.000 | 0.000 | 0.000 | 0.000 | 0.000 | 0.000 |
| | | $M_{t_{\max}}$ | 0.000 | 0.000 | 0.000 | 0.000 | 0.000 | 0.000 | 0.000 |
| | | $M_{y_{\min}}$ | 0.160 | 0.150 | 0.139 | 0.128 | 0.116 | 0.103 | 0.089 |
| | | $M_{y_{\max}}$ | 0.451 | 0.421 | 0.390 | 0.357 | 0.324 | 0.289 | 0.252 |
| | | $M_{z_{\min}}$ | 0.000 | 0.000 | 0.000 | 0.000 | 0.000 | 0.000 | 0.000 |
| | | $M_{z_{\max}}$ | 0.000 | 0.000 | 0.000 | 0.000 | 0.000 | 0.000 | 0.000 |

| Envolventes de los esfuerzos en barras | | | | | | | | | |
|--|---------------------|----------------|------------------------|---------|---------|---------|---------|---------|---------|
| Barra | Tipo de combinación | Esfuerzo | Posiciones en la barra | | | | | | |
| | | | 0.000 m | 0.189 m | 0.377 m | 0.566 m | 0.755 m | 0.943 m | 1.132 m |
| N22/N4 | Acero laminado | N_{\min} | 23.407 | 23.410 | 23.412 | 23.415 | 23.417 | 23.420 | 23.422 |
| | | N_{\max} | 65.018 | 65.023 | 65.027 | 65.031 | 65.035 | 65.040 | 65.044 |
| | | $V_{y_{\min}}$ | 0.000 | 0.000 | 0.000 | 0.000 | 0.000 | 0.000 | 0.000 |
| | | $V_{y_{\max}}$ | 0.000 | 0.000 | 0.000 | 0.000 | 0.000 | 0.000 | 0.000 |
| | | $V_{z_{\min}}$ | -0.534 | -0.527 | -0.520 | -0.514 | -0.507 | -0.500 | -0.493 |



Listados

DESARROLLO DE PROYECTO EJECUTIVO DE REFORMA DE LA PISCINA DEL
COLEGIO PÁLCAM

Fecha: 28/03/18

| Envoltentes de los esfuerzos en barras | | | | | | | | |
|--|---------------------|----------------|------------------------|---------|---------|---------|---------|---------|
| Barra | Tipo de combinación | Esfuerzo | Posiciones en la barra | | | | | |
| | | | 0.000 m | 0.189 m | 0.377 m | 0.566 m | 0.755 m | 0.943 m |
| | | $V_{z_{\max}}$ | -0.196 | -0.192 | -0.188 | -0.184 | -0.180 | -0.176 |
| | | $M_{t_{\min}}$ | 0.000 | 0.000 | 0.000 | 0.000 | 0.000 | 0.000 |
| | | $M_{t_{\max}}$ | 0.000 | 0.000 | 0.000 | 0.000 | 0.000 | 0.000 |
| | | $M_{y_{\min}}$ | -0.298 | -0.198 | -0.099 | -0.002 | 0.034 | 0.068 |
| | | $M_{y_{\max}}$ | -0.107 | -0.071 | -0.035 | 0.000 | 0.094 | 0.189 |
| | | $M_{z_{\min}}$ | 0.000 | 0.000 | 0.000 | 0.000 | 0.000 | 0.000 |
| | | $M_{z_{\max}}$ | 0.000 | 0.000 | 0.000 | 0.000 | 0.000 | 0.000 |

| Envoltentes de los esfuerzos en barras | | | | | | | | |
|--|---------------------|----------------|------------------------|---------|---------|---------|---------|---------|
| Barra | Tipo de combinación | Esfuerzo | Posiciones en la barra | | | | | |
| | | | 0.000 m | 0.187 m | 0.375 m | 0.562 m | 0.749 m | 0.936 m |
| N21/N14 | Acero laminado | N_{\min} | 21.938 | 21.941 | 21.943 | 21.946 | 21.948 | 21.951 |
| | | N_{\max} | 61.151 | 61.155 | 61.160 | 61.164 | 61.168 | 61.172 |
| | | $V_{y_{\min}}$ | 0.000 | 0.000 | 0.000 | 0.000 | 0.000 | 0.000 |
| | | $V_{y_{\max}}$ | 0.000 | 0.000 | 0.000 | 0.000 | 0.000 | 0.000 |
| | | $V_{z_{\min}}$ | -0.552 | -0.545 | -0.538 | -0.531 | -0.525 | -0.518 |
| | | $V_{z_{\max}}$ | -0.202 | -0.198 | -0.194 | -0.190 | -0.186 | -0.182 |
| | | $M_{t_{\min}}$ | 0.000 | 0.000 | 0.000 | 0.000 | 0.000 | 0.000 |
| | | $M_{t_{\max}}$ | 0.000 | 0.000 | 0.000 | 0.000 | 0.000 | 0.000 |
| | | $M_{y_{\min}}$ | -0.242 | -0.140 | -0.038 | 0.023 | 0.058 | 0.093 |
| | | $M_{y_{\max}}$ | -0.087 | -0.050 | -0.013 | 0.062 | 0.161 | 0.258 |
| | | $M_{z_{\min}}$ | 0.000 | 0.000 | 0.000 | 0.000 | 0.000 | 0.000 |
| | | $M_{z_{\max}}$ | 0.000 | 0.000 | 0.000 | 0.000 | 0.000 | 0.000 |

| Envoltentes de los esfuerzos en barras | | | | | | | | |
|--|---------------------|----------------|------------------------|---------|---------|---------|---------|---------|
| Barra | Tipo de combinación | Esfuerzo | Posiciones en la barra | | | | | |
| | | | 0.000 m | 0.187 m | 0.375 m | 0.562 m | 0.749 m | 0.936 m |
| N20/N13 | Acero laminado | N_{\min} | 20.297 | 20.300 | 20.302 | 20.305 | 20.307 | 20.310 |
| | | N_{\max} | 56.843 | 56.848 | 56.852 | 56.856 | 56.860 | 56.864 |
| | | $V_{y_{\min}}$ | 0.000 | 0.000 | 0.000 | 0.000 | 0.000 | 0.000 |
| | | $V_{y_{\max}}$ | 0.000 | 0.000 | 0.000 | 0.000 | 0.000 | 0.000 |
| | | $V_{z_{\min}}$ | -0.429 | -0.422 | -0.416 | -0.409 | -0.402 | -0.395 |
| | | $V_{z_{\max}}$ | -0.158 | -0.154 | -0.150 | -0.146 | -0.142 | -0.138 |
| | | $M_{t_{\min}}$ | 0.000 | 0.000 | 0.000 | 0.000 | 0.000 | 0.000 |
| | | $M_{t_{\max}}$ | 0.000 | 0.000 | 0.000 | 0.000 | 0.000 | 0.000 |
| | | $M_{y_{\min}}$ | -0.102 | -0.023 | 0.021 | 0.048 | 0.076 | 0.102 |
| | | $M_{y_{\max}}$ | -0.037 | -0.008 | 0.056 | 0.133 | 0.209 | 0.284 |
| | | $M_{z_{\min}}$ | 0.000 | 0.000 | 0.000 | 0.000 | 0.000 | 0.000 |
| | | $M_{z_{\max}}$ | 0.000 | 0.000 | 0.000 | 0.000 | 0.000 | 0.000 |

| Envoltentes de los esfuerzos en barras | | | | | | | | |
|--|---------------------|----------------|------------------------|---------|---------|---------|---------|---------|
| Barra | Tipo de combinación | Esfuerzo | Posiciones en la barra | | | | | |
| | | | 0.000 m | 0.187 m | 0.375 m | 0.562 m | 0.749 m | 0.936 m |
| N19/N12 | Acero laminado | N_{\min} | 16.969 | 16.972 | 16.974 | 16.977 | 16.979 | 16.982 |
| | | N_{\max} | 47.772 | 47.776 | 47.780 | 47.784 | 47.789 | 47.793 |
| | | $V_{y_{\min}}$ | 0.000 | 0.000 | 0.000 | 0.000 | 0.000 | 0.000 |
| | | $V_{y_{\max}}$ | 0.000 | 0.000 | 0.000 | 0.000 | 0.000 | 0.000 |
| | | $V_{z_{\min}}$ | -0.175 | -0.168 | -0.162 | -0.155 | -0.148 | -0.141 |
| | | $V_{z_{\max}}$ | -0.068 | -0.064 | -0.060 | -0.056 | -0.052 | -0.048 |
| | | $M_{t_{\min}}$ | 0.000 | 0.000 | 0.000 | 0.000 | 0.000 | 0.000 |
| | | $M_{t_{\max}}$ | 0.000 | 0.000 | 0.000 | 0.000 | 0.000 | 0.000 |



Listados

DESARROLLO DE PROYECTO EJECUTIVO DE REFORMA DE LA PISCINA DEL
COLEGIO PÁLCAM

Fecha: 28/03/18

| Envoltentes de los esfuerzos en barras | | | | | | | | | |
|--|---------------------|----------------|------------------------|---------|---------|---------|---------|---------|---------|
| Barra | Tipo de combinación | Esfuerzo | Posiciones en la barra | | | | | | |
| | | | 0.000 m | 0.187 m | 0.375 m | 0.562 m | 0.749 m | 0.936 m | 1.124 m |
| | | $M_{y_{\min}}$ | 0.047 | 0.060 | 0.071 | 0.082 | 0.092 | 0.101 | 0.110 |
| | | $M_{y_{\max}}$ | 0.135 | 0.167 | 0.198 | 0.228 | 0.256 | 0.283 | 0.309 |
| | | $M_{z_{\min}}$ | 0.000 | 0.000 | 0.000 | 0.000 | 0.000 | 0.000 | 0.000 |
| | | $M_{z_{\max}}$ | 0.000 | 0.000 | 0.000 | 0.000 | 0.000 | 0.000 | 0.000 |

| Envoltentes de los esfuerzos en barras | | | | | | | | | |
|--|---------------------|----------------|------------------------|---------|---------|---------|---------|---------|---------|
| Barra | Tipo de combinación | Esfuerzo | Posiciones en la barra | | | | | | |
| | | | 0.000 m | 0.187 m | 0.375 m | 0.562 m | 0.749 m | 0.936 m | 1.124 m |
| N18/N11 | Acero laminado | N_{\min} | 7.815 | 7.817 | 7.820 | 7.822 | 7.825 | 7.827 | 7.830 |
| | | N_{\max} | 22.166 | 22.170 | 22.174 | 22.179 | 22.183 | 22.187 | 22.191 |
| | | $V_{y_{\min}}$ | 0.000 | 0.000 | 0.000 | 0.000 | 0.000 | 0.000 | 0.000 |
| | | $V_{y_{\max}}$ | 0.000 | 0.000 | 0.000 | 0.000 | 0.000 | 0.000 | 0.000 |
| | | $V_{z_{\min}}$ | 0.051 | 0.055 | 0.059 | 0.063 | 0.067 | 0.071 | 0.075 |
| | | $V_{z_{\max}}$ | 0.157 | 0.164 | 0.171 | 0.177 | 0.184 | 0.191 | 0.197 |
| | | $M_{t_{\min}}$ | 0.000 | 0.000 | 0.000 | 0.000 | 0.000 | 0.000 | 0.000 |
| | | $M_{t_{\max}}$ | 0.000 | 0.000 | 0.000 | 0.000 | 0.000 | 0.000 | 0.000 |
| | | $M_{y_{\min}}$ | 0.160 | 0.150 | 0.139 | 0.128 | 0.116 | 0.103 | 0.089 |
| | | $M_{y_{\max}}$ | 0.451 | 0.421 | 0.390 | 0.357 | 0.324 | 0.289 | 0.252 |
| | | $M_{z_{\min}}$ | 0.000 | 0.000 | 0.000 | 0.000 | 0.000 | 0.000 | 0.000 |
| | | $M_{z_{\max}}$ | 0.000 | 0.000 | 0.000 | 0.000 | 0.000 | 0.000 | 0.000 |

| Envoltentes de los esfuerzos en barras | | | | | | | |
|--|---------------------|----------------|------------------------|----------|----------|----------|----------|
| Barra | Tipo de combinación | Esfuerzo | Posiciones en la barra | | | | |
| | | | 0.000 m | 0.238 m | 0.475 m | 0.713 m | 0.950 m |
| N1/N5 | Acero laminado | N_{\min} | -117.107 | -117.107 | -117.107 | -117.107 | -117.107 |
| | | N_{\max} | -42.003 | -42.003 | -42.003 | -42.003 | -42.003 |
| | | $V_{y_{\min}}$ | 0.000 | 0.000 | 0.000 | 0.000 | 0.000 |
| | | $V_{y_{\max}}$ | 0.000 | 0.000 | 0.000 | 0.000 | 0.000 |
| | | $V_{z_{\min}}$ | -10.154 | -10.099 | -10.044 | -9.989 | -9.934 |
| | | $V_{z_{\max}}$ | -3.716 | -3.683 | -3.651 | -3.618 | -3.585 |
| | | $M_{t_{\min}}$ | 0.000 | 0.000 | 0.000 | 0.000 | 0.000 |
| | | $M_{t_{\max}}$ | 0.000 | 0.000 | 0.000 | 0.000 | 0.000 |
| | | $M_{y_{\min}}$ | -6.097 | -3.692 | -1.300 | 0.419 | 1.275 |
| | | $M_{y_{\max}}$ | -2.193 | -1.315 | -0.444 | 1.079 | 3.445 |
| | | $M_{z_{\min}}$ | 0.000 | 0.000 | 0.000 | 0.000 | 0.000 |
| | | $M_{z_{\max}}$ | 0.000 | 0.000 | 0.000 | 0.000 | 0.000 |

| Envoltentes de los esfuerzos en barras | | | | | | | |
|--|---------------------|----------------|------------------------|---------|---------|---------|---------|
| Barra | Tipo de combinación | Esfuerzo | Posiciones en la barra | | | | |
| | | | 0.000 m | 0.237 m | 0.475 m | 0.712 m | 0.950 m |
| N5/N15 | Acero laminado | N_{\min} | -53.976 | -53.976 | -53.976 | -53.976 | -53.976 |
| | | N_{\max} | -19.281 | -19.281 | -19.281 | -19.281 | -19.281 |
| | | $V_{y_{\min}}$ | 0.000 | 0.000 | 0.000 | 0.000 | 0.000 |
| | | $V_{y_{\max}}$ | 0.000 | 0.000 | 0.000 | 0.000 | 0.000 |
| | | $V_{z_{\min}}$ | -12.092 | -12.038 | -11.983 | -11.928 | -11.873 |
| | | $V_{z_{\max}}$ | -4.373 | -4.341 | -4.308 | -4.276 | -4.243 |
| | | $M_{t_{\min}}$ | 0.000 | 0.000 | 0.000 | 0.000 | 0.000 |



Listados

DESARROLLO DE PROYECTO EJECUTIVO DE REFORMA DE LA PISCINA DEL
COLEGIO PÁLCAM

Fecha: 28/03/18

| Envoltentes de los esfuerzos en barras | | | | | | | |
|--|---------------------|-------------|------------------------|---------|---------|---------|---------|
| Barra | Tipo de combinación | Esfuerzo | Posiciones en la barra | | | | |
| | | | 0.000 m | 0.237 m | 0.475 m | 0.712 m | 0.950 m |
| | | $M_{t\max}$ | 0.000 | 0.000 | 0.000 | 0.000 | 0.000 |
| | | $M_{y\min}$ | 0.319 | 1.354 | 2.381 | 3.400 | 4.412 |
| | | $M_{y\max}$ | 0.784 | 3.650 | 6.502 | 9.342 | 12.168 |
| | | $M_{z\min}$ | 0.000 | 0.000 | 0.000 | 0.000 | 0.000 |
| | | $M_{z\max}$ | 0.000 | 0.000 | 0.000 | 0.000 | 0.000 |

| Envoltentes de los esfuerzos en barras | | | | | | | |
|--|---------------------|-------------|------------------------|---------|---------|---------|---------|
| Barra | Tipo de combinación | Esfuerzo | Posiciones en la barra | | | | |
| | | | 0.000 m | 0.238 m | 0.475 m | 0.713 m | 0.950 m |
| N15/N16 | Acero laminado | N_{\min} | 2.028 | 2.028 | 2.028 | 2.028 | 2.028 |
| | | N_{\max} | 5.426 | 5.426 | 5.426 | 5.426 | 5.426 |
| | | $V_{y\min}$ | 0.000 | 0.000 | 0.000 | 0.000 | 0.000 |
| | | $V_{y\max}$ | 0.000 | 0.000 | 0.000 | 0.000 | 0.000 |
| | | $V_{z\min}$ | -12.924 | -12.869 | -12.814 | -12.759 | -12.704 |
| | | $V_{z\max}$ | -4.635 | -4.603 | -4.570 | -4.538 | -4.505 |
| | | $M_{t\min}$ | 0.000 | 0.000 | 0.000 | 0.000 | 0.000 |
| | | $M_{t\max}$ | 0.000 | 0.000 | 0.000 | 0.000 | 0.000 |
| | | $M_{y\min}$ | 3.525 | 4.622 | 5.712 | 6.793 | 7.867 |
| | | $M_{y\max}$ | 9.694 | 12.757 | 15.807 | 18.844 | 21.868 |
| | | $M_{z\min}$ | 0.000 | 0.000 | 0.000 | 0.000 | 0.000 |
| | | $M_{z\max}$ | 0.000 | 0.000 | 0.000 | 0.000 | 0.000 |

| Envoltentes de los esfuerzos en barras | | | | | | | |
|--|---------------------|-------------|------------------------|---------|---------|---------|---------|
| Barra | Tipo de combinación | Esfuerzo | Posiciones en la barra | | | | |
| | | | 0.000 m | 0.238 m | 0.475 m | 0.713 m | 0.950 m |
| N16/N17 | Acero laminado | N_{\min} | 21.628 | 21.628 | 21.628 | 21.628 | 21.628 |
| | | N_{\max} | 60.314 | 60.314 | 60.314 | 60.314 | 60.314 |
| | | $V_{y\min}$ | 0.000 | 0.000 | 0.000 | 0.000 | 0.000 |
| | | $V_{y\max}$ | 0.000 | 0.000 | 0.000 | 0.000 | 0.000 |
| | | $V_{z\min}$ | -15.555 | -15.501 | -15.446 | -15.391 | -15.336 |
| | | $V_{z\max}$ | -5.536 | -5.503 | -5.471 | -5.438 | -5.406 |
| | | $M_{t\min}$ | 0.000 | 0.000 | 0.000 | 0.000 | 0.000 |
| | | $M_{t\max}$ | 0.000 | 0.000 | 0.000 | 0.000 | 0.000 |
| | | $M_{y\min}$ | 7.129 | 8.440 | 9.743 | 11.038 | 12.326 |
| | | $M_{y\max}$ | 19.800 | 23.488 | 27.163 | 30.825 | 34.474 |
| | | $M_{z\min}$ | 0.000 | 0.000 | 0.000 | 0.000 | 0.000 |
| | | $M_{z\max}$ | 0.000 | 0.000 | 0.000 | 0.000 | 0.000 |

| Envoltentes de los esfuerzos en barras | | | | | | | |
|--|---------------------|-------------|------------------------|---------|---------|---------|---------|
| Barra | Tipo de combinación | Esfuerzo | Posiciones en la barra | | | | |
| | | | 0.000 m | 0.237 m | 0.475 m | 0.712 m | 0.950 m |
| N17/N18 | Acero laminado | N_{\min} | 37.678 | 37.678 | 37.678 | 37.678 | 37.678 |
| | | N_{\max} | 105.486 | 105.486 | 105.486 | 105.486 | 105.486 |
| | | $V_{y\min}$ | 0.000 | 0.000 | 0.000 | 0.000 | 0.000 |
| | | $V_{y\max}$ | 0.000 | 0.000 | 0.000 | 0.000 | 0.000 |



Listados

DESARROLLO DE PROYECTO EJECUTIVO DE REFORMA DE LA PISCINA DEL
COLEGIO PÁLCAM

Fecha: 28/03/18

| Envoltantes de los esfuerzos en barras | | | | | | | |
|--|---------------------|----------------|------------------------|---------|---------|---------|---------|
| Barra | Tipo de combinación | Esfuerzo | Posiciones en la barra | | | | |
| | | | 0.000 m | 0.237 m | 0.475 m | 0.712 m | 0.950 m |
| | | $V_{z_{\min}}$ | -17.197 | -17.143 | -17.088 | -17.033 | -16.978 |
| | | $V_{z_{\max}}$ | -6.093 | -6.060 | -6.028 | -5.995 | -5.963 |
| | | $M_{t_{\min}}$ | 0.000 | 0.000 | 0.000 | 0.000 | 0.000 |
| | | $M_{t_{\max}}$ | 0.000 | 0.000 | 0.000 | 0.000 | 0.000 |
| | | $M_{y_{\min}}$ | 11.889 | 13.332 | 14.767 | 16.195 | 17.615 |
| | | $M_{y_{\max}}$ | 33.246 | 37.324 | 41.389 | 45.440 | 49.479 |
| | | $M_{z_{\min}}$ | 0.000 | 0.000 | 0.000 | 0.000 | 0.000 |
| | | $M_{z_{\max}}$ | 0.000 | 0.000 | 0.000 | 0.000 | 0.000 |

| Envoltantes de los esfuerzos en barras | | | | | | | |
|--|---------------------|----------------|------------------------|---------|---------|---------|---------|
| Barra | Tipo de combinación | Esfuerzo | Posiciones en la barra | | | | |
| | | | 0.000 m | 0.238 m | 0.475 m | 0.713 m | 0.950 m |
| N18/N19 | Acero laminado | N_{\min} | 37.719 | 37.719 | 37.719 | 37.719 | 37.719 |
| | | N_{\max} | 105.597 | 105.597 | 105.597 | 105.597 | 105.597 |
| | | $V_{y_{\min}}$ | 0.000 | 0.000 | 0.000 | 0.000 | 0.000 |
| | | $V_{y_{\max}}$ | 0.000 | 0.000 | 0.000 | 0.000 | 0.000 |
| | | $V_{z_{\min}}$ | 5.952 | 5.984 | 6.017 | 6.049 | 6.082 |
| | | $V_{z_{\max}}$ | 16.948 | 17.003 | 17.058 | 17.113 | 17.168 |
| | | $M_{t_{\min}}$ | 0.000 | 0.000 | 0.000 | 0.000 | 0.000 |
| | | $M_{t_{\max}}$ | 0.000 | 0.000 | 0.000 | 0.000 | 0.000 |
| | | $M_{y_{\min}}$ | 17.614 | 16.197 | 14.772 | 13.339 | 11.898 |
| | | $M_{y_{\max}}$ | 49.477 | 45.445 | 41.400 | 37.342 | 33.272 |
| | | $M_{z_{\min}}$ | 0.000 | 0.000 | 0.000 | 0.000 | 0.000 |
| | | $M_{z_{\max}}$ | 0.000 | 0.000 | 0.000 | 0.000 | 0.000 |

| Envoltantes de los esfuerzos en barras | | | | | | | |
|--|---------------------|----------------|------------------------|---------|---------|---------|---------|
| Barra | Tipo de combinación | Esfuerzo | Posiciones en la barra | | | | |
| | | | 0.000 m | 0.237 m | 0.475 m | 0.712 m | 0.950 m |
| N19/N20 | Acero laminado | N_{\min} | 21.705 | 21.705 | 21.705 | 21.705 | 21.705 |
| | | N_{\max} | 60.526 | 60.526 | 60.526 | 60.526 | 60.526 |
| | | $V_{y_{\min}}$ | 0.000 | 0.000 | 0.000 | 0.000 | 0.000 |
| | | $V_{y_{\max}}$ | 0.000 | 0.000 | 0.000 | 0.000 | 0.000 |
| | | $V_{z_{\min}}$ | 5.395 | 5.428 | 5.460 | 5.493 | 5.525 |
| | | $V_{z_{\max}}$ | 15.307 | 15.362 | 15.417 | 15.471 | 15.526 |
| | | $M_{t_{\min}}$ | 0.000 | 0.000 | 0.000 | 0.000 | 0.000 |
| | | $M_{t_{\max}}$ | 0.000 | 0.000 | 0.000 | 0.000 | 0.000 |
| | | $M_{y_{\min}}$ | 12.334 | 11.049 | 9.756 | 8.455 | 7.147 |
| | | $M_{y_{\max}}$ | 34.495 | 30.854 | 27.199 | 23.531 | 19.850 |
| | | $M_{z_{\min}}$ | 0.000 | 0.000 | 0.000 | 0.000 | 0.000 |
| | | $M_{z_{\max}}$ | 0.000 | 0.000 | 0.000 | 0.000 | 0.000 |



Listados

DESARROLLO DE PROYECTO EJECUTIVO DE REFORMA DE LA PISCINA DEL
COLEGIO PÁLCAM

Fecha: 28/03/18

| Envoltentes de los esfuerzos en barras | | | | | | | |
|--|---------------------|-------------|------------------------|---------|---------|---------|---------|
| Barra | Tipo de combinación | Esfuerzo | Posiciones en la barra | | | | |
| | | | 0.000 m | 0.238 m | 0.475 m | 0.713 m | 0.950 m |
| N20/N21 | Acero laminado | N_{\min} | 2.129 | 2.129 | 2.129 | 2.129 | 2.129 |
| | | N_{\max} | 5.707 | 5.707 | 5.707 | 5.707 | 5.707 |
| | | $V_{y\min}$ | 0.000 | 0.000 | 0.000 | 0.000 | 0.000 |
| | | $V_{y\max}$ | 0.000 | 0.000 | 0.000 | 0.000 | 0.000 |
| | | $V_{z\min}$ | 4.492 | 4.524 | 4.557 | 4.589 | 4.622 |
| | | $V_{z\max}$ | 12.667 | 12.721 | 12.776 | 12.831 | 12.886 |
| | | $M_{t\min}$ | 0.000 | 0.000 | 0.000 | 0.000 | 0.000 |
| | | $M_{t\max}$ | 0.000 | 0.000 | 0.000 | 0.000 | 0.000 |
| | | $M_{y\min}$ | 7.884 | 6.813 | 5.735 | 4.649 | 3.555 |
| | | $M_{y\max}$ | 21.914 | 18.899 | 15.871 | 12.831 | 9.777 |
| | | $M_{z\min}$ | 0.000 | 0.000 | 0.000 | 0.000 | 0.000 |
| | | $M_{z\max}$ | 0.000 | 0.000 | 0.000 | 0.000 | 0.000 |

| Envoltentes de los esfuerzos en barras | | | | | | | |
|--|---------------------|-------------|------------------------|---------|---------|---------|---------|
| Barra | Tipo de combinación | Esfuerzo | Posiciones en la barra | | | | |
| | | | 0.000 m | 0.237 m | 0.475 m | 0.712 m | 0.950 m |
| N21/N22 | Acero laminado | N_{\min} | -53.719 | -53.719 | -53.719 | -53.719 | -53.719 |
| | | N_{\max} | -19.187 | -19.187 | -19.187 | -19.187 | -19.187 |
| | | $V_{y\min}$ | 0.000 | 0.000 | 0.000 | 0.000 | 0.000 |
| | | $V_{y\max}$ | 0.000 | 0.000 | 0.000 | 0.000 | 0.000 |
| | | $V_{z\min}$ | 4.216 | 4.248 | 4.281 | 4.313 | 4.346 |
| | | $V_{z\max}$ | 11.797 | 11.852 | 11.907 | 11.962 | 12.017 |
| | | $M_{t\min}$ | 0.000 | 0.000 | 0.000 | 0.000 | 0.000 |
| | | $M_{t\max}$ | 0.000 | 0.000 | 0.000 | 0.000 | 0.000 |
| | | $M_{y\min}$ | 4.442 | 3.436 | 2.424 | 1.403 | 0.375 |
| | | $M_{y\max}$ | 12.251 | 9.442 | 6.621 | 3.786 | 0.939 |
| | | $M_{z\min}$ | 0.000 | 0.000 | 0.000 | 0.000 | 0.000 |
| | | $M_{z\max}$ | 0.000 | 0.000 | 0.000 | 0.000 | 0.000 |

| Envoltentes de los esfuerzos en barras | | | | | | | |
|--|---------------------|-------------|------------------------|----------|----------|----------|----------|
| Barra | Tipo de combinación | Esfuerzo | Posiciones en la barra | | | | |
| | | | 0.000 m | 0.240 m | 0.480 m | 0.720 m | 0.960 m |
| N22/N2 | Acero laminado | N_{\min} | -117.023 | -117.023 | -117.023 | -117.023 | -117.023 |
| | | N_{\max} | -41.973 | -41.973 | -41.973 | -41.973 | -41.973 |
| | | $V_{y\min}$ | 0.000 | 0.000 | 0.000 | 0.000 | 0.000 |
| | | $V_{y\max}$ | 0.000 | 0.000 | 0.000 | 0.000 | 0.000 |
| | | $V_{z\min}$ | 3.613 | 3.646 | 3.678 | 3.711 | 3.744 |
| | | $V_{z\max}$ | 10.010 | 10.066 | 10.121 | 10.177 | 10.232 |
| | | $M_{t\min}$ | 0.000 | 0.000 | 0.000 | 0.000 | 0.000 |
| | | $M_{t\max}$ | 0.000 | 0.000 | 0.000 | 0.000 | 0.000 |
| | | $M_{y\min}$ | 1.329 | 0.458 | -1.237 | -3.673 | -6.122 |
| | | $M_{y\max}$ | 3.595 | 1.186 | -0.421 | -1.308 | -2.202 |
| | | $M_{z\min}$ | 0.000 | 0.000 | 0.000 | 0.000 | 0.000 |
| | | $M_{z\max}$ | 0.000 | 0.000 | 0.000 | 0.000 | 0.000 |



Listados

DESARROLLO DE PROYECTO EJECUTIVO DE REFORMA DE LA PISCINA DEL
COLEGIO PÁLCAM

Fecha: 28/03/18

| Envolventes de los esfuerzos en barras | | | | | |
|--|---------------------|-------------|------------------------|---------|---------|
| Barra | Tipo de combinación | Esfuerzo | Posiciones en la barra | | |
| | | | 0.000 m | 0.300 m | 0.600 m |
| N1/N3 | Acero laminado | N_{\min} | -46.221 | -46.192 | -46.163 |
| | | N_{\max} | -16.718 | -16.701 | -16.683 |
| | | $V_{y\min}$ | 0.000 | 0.000 | 0.000 |
| | | $V_{y\max}$ | 0.000 | 0.000 | 0.000 |
| | | $V_{z\min}$ | -20.755 | -20.755 | -20.755 |
| | | $V_{z\max}$ | -7.464 | -7.464 | -7.464 |
| | | $M_{t\min}$ | 0.000 | 0.000 | 0.000 |
| | | $M_{t\max}$ | 0.000 | 0.000 | 0.000 |
| | | $M_{y\min}$ | -6.097 | 0.046 | 2.285 |
| | | $M_{y\max}$ | -2.193 | 0.130 | 6.357 |
| | | $M_{z\min}$ | 0.000 | 0.000 | 0.000 |
| | | $M_{z\max}$ | 0.000 | 0.000 | 0.000 |

| Envolventes de los esfuerzos en barras | | | | | |
|--|---------------------|-------------|------------------------|---------|---------|
| Barra | Tipo de combinación | Esfuerzo | Posiciones en la barra | | |
| | | | 0.000 m | 0.300 m | 0.600 m |
| N5/N6 | Acero laminado | N_{\min} | -32.087 | -32.075 | -32.062 |
| | | N_{\max} | -11.538 | -11.530 | -11.523 |
| | | $V_{y\min}$ | 0.000 | 0.000 | 0.000 |
| | | $V_{y\max}$ | 0.000 | 0.000 | 0.000 |
| | | $V_{z\min}$ | -7.867 | -7.867 | -7.867 |
| | | $V_{z\max}$ | -2.826 | -2.826 | -2.826 |
| | | $M_{t\min}$ | 0.000 | 0.000 | 0.000 |
| | | $M_{t\max}$ | 0.000 | 0.000 | 0.000 |
| | | $M_{y\min}$ | -2.351 | 0.003 | 0.851 |
| | | $M_{y\max}$ | -0.845 | 0.009 | 2.369 |
| | | $M_{z\min}$ | 0.000 | 0.000 | 0.000 |
| | | $M_{z\max}$ | 0.000 | 0.000 | 0.000 |

| Envolventes de los esfuerzos en barras | | | | | |
|--|---------------------|-------------|------------------------|---------|---------|
| Barra | Tipo de combinación | Esfuerzo | Posiciones en la barra | | |
| | | | 0.000 m | 0.300 m | 0.600 m |
| N15/N7 | Acero laminado | N_{\min} | -31.125 | -31.112 | -31.100 |
| | | N_{\max} | -11.147 | -11.140 | -11.132 |
| | | $V_{y\min}$ | 0.000 | 0.000 | 0.000 |
| | | $V_{y\max}$ | 0.000 | 0.000 | 0.000 |
| | | $V_{z\min}$ | -7.429 | -7.429 | -7.429 |
| | | $V_{z\max}$ | -2.660 | -2.660 | -2.660 |
| | | $M_{t\min}$ | 0.000 | 0.000 | 0.000 |
| | | $M_{t\max}$ | 0.000 | 0.000 | 0.000 |
| | | $M_{y\min}$ | -2.232 | -0.003 | 0.797 |
| | | $M_{y\max}$ | -0.799 | -0.001 | 2.226 |
| | | $M_{z\min}$ | 0.000 | 0.000 | 0.000 |
| | | $M_{z\max}$ | 0.000 | 0.000 | 0.000 |



Listados

DESARROLLO DE PROYECTO EJECUTIVO DE REFORMA DE LA PISCINA DEL
COLEGIO PÁLCAM

Fecha: 28/03/18

| Envolventes de los esfuerzos en barras | | | | | |
|--|---------------------|-------------|------------------------|---------|---------|
| Barra | Tipo de combinación | Esfuerzo | Posiciones en la barra | | |
| | | | 0.000 m | 0.300 m | 0.600 m |
| N16/N8 | Acero laminado | N_{\min} | -27.178 | -27.166 | -27.153 |
| | | N_{\max} | -9.688 | -9.681 | -9.673 |
| | | $V_{y\min}$ | 0.000 | 0.000 | 0.000 |
| | | $V_{y\max}$ | 0.000 | 0.000 | 0.000 |
| | | $V_{z\min}$ | -6.538 | -6.538 | -6.538 |
| | | $V_{z\max}$ | -2.333 | -2.333 | -2.333 |
| | | $M_{t\min}$ | 0.000 | 0.000 | 0.000 |
| | | $M_{t\max}$ | 0.000 | 0.000 | 0.000 |
| | | $M_{y\min}$ | -1.965 | -0.003 | 0.699 |
| | | $M_{y\max}$ | -0.701 | -0.001 | 1.958 |
| | | $M_{z\min}$ | 0.000 | 0.000 | 0.000 |
| | | $M_{z\max}$ | 0.000 | 0.000 | 0.000 |

| Envolventes de los esfuerzos en barras | | | | | |
|--|---------------------|-------------|------------------------|---------|---------|
| Barra | Tipo de combinación | Esfuerzo | Posiciones en la barra | | |
| | | | 0.000 m | 0.300 m | 0.600 m |
| N17/N9 | Acero laminado | N_{\min} | -23.556 | -23.544 | -23.531 |
| | | N_{\max} | -8.338 | -8.330 | -8.323 |
| | | $V_{y\min}$ | 0.000 | 0.000 | 0.000 |
| | | $V_{y\max}$ | 0.000 | 0.000 | 0.000 |
| | | $V_{z\min}$ | -4.598 | -4.598 | -4.598 |
| | | $V_{z\max}$ | -1.635 | -1.635 | -1.635 |
| | | $M_{t\min}$ | 0.000 | 0.000 | 0.000 |
| | | $M_{t\max}$ | 0.000 | 0.000 | 0.000 |
| | | $M_{y\min}$ | -1.362 | 0.006 | 0.496 |
| | | $M_{y\max}$ | -0.484 | 0.017 | 1.397 |
| | | $M_{z\min}$ | 0.000 | 0.000 | 0.000 |
| | | $M_{z\max}$ | 0.000 | 0.000 | 0.000 |

| Envolventes de los esfuerzos en barras | | | | | |
|--|---------------------|-------------|------------------------|---------|---------|
| Barra | Tipo de combinación | Esfuerzo | Posiciones en la barra | | |
| | | | 0.000 m | 0.300 m | 0.600 m |
| N18/N10 | Acero laminado | N_{\min} | -57.931 | -57.918 | -57.905 |
| | | N_{\max} | -20.370 | -20.362 | -20.355 |
| | | $V_{y\min}$ | 0.000 | 0.000 | 0.000 |
| | | $V_{y\max}$ | 0.000 | 0.000 | 0.000 |
| | | $V_{z\min}$ | -0.006 | -0.006 | -0.006 |
| | | $V_{z\max}$ | -0.002 | -0.002 | -0.002 |
| | | $M_{t\min}$ | 0.000 | 0.000 | 0.000 |
| | | $M_{t\max}$ | 0.000 | 0.000 | 0.000 |
| | | $M_{y\min}$ | -0.002 | 0.000 | 0.001 |
| | | $M_{y\max}$ | -0.001 | 0.000 | 0.002 |
| | | $M_{z\min}$ | 0.000 | 0.000 | 0.000 |
| | | $M_{z\max}$ | 0.000 | 0.000 | 0.000 |



Listados

DESARROLLO DE PROYECTO EJECUTIVO DE REFORMA DE LA PISCINA DEL
COLEGIO PÁLCAM

Fecha: 28/03/18

| Envolventes de los esfuerzos en barras | | | | | |
|--|---------------------|-------------|------------------------|---------|---------|
| Barra | Tipo de combinación | Esfuerzo | Posiciones en la barra | | |
| | | | 0.000 m | 0.300 m | 0.600 m |
| N19/N11 | Acero laminado | N_{\min} | -23.501 | -23.488 | -23.475 |
| | | N_{\max} | -8.318 | -8.310 | -8.303 |
| | | $V_{y\min}$ | 0.000 | 0.000 | 0.000 |
| | | $V_{y\max}$ | 0.000 | 0.000 | 0.000 |
| | | $V_{z\min}$ | 1.630 | 1.630 | 1.630 |
| | | $V_{z\max}$ | 4.587 | 4.587 | 4.587 |
| | | $M_{t\min}$ | 0.000 | 0.000 | 0.000 |
| | | $M_{t\max}$ | 0.000 | 0.000 | 0.000 |
| | | $M_{y\min}$ | 0.483 | -0.017 | -1.393 |
| | | $M_{y\max}$ | 1.359 | -0.006 | -0.495 |
| | | $M_{z\min}$ | 0.000 | 0.000 | 0.000 |
| | | $M_{z\max}$ | 0.000 | 0.000 | 0.000 |

| Envolventes de los esfuerzos en barras | | | | | |
|--|---------------------|-------------|------------------------|---------|---------|
| Barra | Tipo de combinación | Esfuerzo | Posiciones en la barra | | |
| | | | 0.000 m | 0.300 m | 0.600 m |
| N20/N12 | Acero laminado | N_{\min} | -27.132 | -27.119 | -27.106 |
| | | N_{\max} | -9.671 | -9.664 | -9.656 |
| | | $V_{y\min}$ | 0.000 | 0.000 | 0.000 |
| | | $V_{y\max}$ | 0.000 | 0.000 | 0.000 |
| | | $V_{z\min}$ | 2.330 | 2.330 | 2.330 |
| | | $V_{z\max}$ | 6.530 | 6.530 | 6.530 |
| | | $M_{t\min}$ | 0.000 | 0.000 | 0.000 |
| | | $M_{t\max}$ | 0.000 | 0.000 | 0.000 |
| | | $M_{y\min}$ | 0.700 | 0.001 | -1.956 |
| | | $M_{y\max}$ | 1.962 | 0.003 | -0.698 |
| | | $M_{z\min}$ | 0.000 | 0.000 | 0.000 |
| | | $M_{z\max}$ | 0.000 | 0.000 | 0.000 |

| Envolventes de los esfuerzos en barras | | | | | |
|--|---------------------|-------------|------------------------|---------|---------|
| Barra | Tipo de combinación | Esfuerzo | Posiciones en la barra | | |
| | | | 0.000 m | 0.300 m | 0.600 m |
| N21/N13 | Acero laminado | N_{\min} | -31.099 | -31.086 | -31.074 |
| | | N_{\max} | -11.138 | -11.130 | -11.123 |
| | | $V_{y\min}$ | 0.000 | 0.000 | 0.000 |
| | | $V_{y\max}$ | 0.000 | 0.000 | 0.000 |
| | | $V_{z\min}$ | 2.660 | 2.660 | 2.660 |
| | | $V_{z\max}$ | 7.429 | 7.429 | 7.429 |
| | | $M_{t\min}$ | 0.000 | 0.000 | 0.000 |
| | | $M_{t\max}$ | 0.000 | 0.000 | 0.000 |
| | | $M_{y\min}$ | 0.799 | 0.001 | -2.226 |
| | | $M_{y\max}$ | 2.231 | 0.003 | -0.797 |
| | | $M_{z\min}$ | 0.000 | 0.000 | 0.000 |
| | | $M_{z\max}$ | 0.000 | 0.000 | 0.000 |



Listados

DESARROLLO DE PROYECTO EJECUTIVO DE REFORMA DE LA PISCINA DEL
COLEGIO PÁLCAM

Fecha: 28/03/18

| Envolventes de los esfuerzos en barras | | | | | |
|--|---------------------|-------------|------------------------|---------|---------|
| Barra | Tipo de combinación | Esfuerzo | Posiciones en la barra | | |
| | | | 0.000 m | 0.300 m | 0.600 m |
| N22/N14 | Acero laminado | N_{\min} | -32.001 | -31.988 | -31.975 |
| | | N_{\max} | -11.506 | -11.499 | -11.491 |
| | | $V_{y\min}$ | 0.000 | 0.000 | 0.000 |
| | | $V_{y\max}$ | 0.000 | 0.000 | 0.000 |
| | | $V_{z\min}$ | 2.833 | 2.833 | 2.833 |
| | | $V_{z\max}$ | 7.886 | 7.886 | 7.886 |
| | | $M_{t\min}$ | 0.000 | 0.000 | 0.000 |
| | | $M_{t\max}$ | 0.000 | 0.000 | 0.000 |
| | | $M_{y\min}$ | 0.847 | -0.008 | -2.374 |
| | | $M_{y\max}$ | 2.357 | -0.003 | -0.853 |
| | | $M_{z\min}$ | 0.000 | 0.000 | 0.000 |
| | | $M_{z\max}$ | 0.000 | 0.000 | 0.000 |

| Envolventes de los esfuerzos en barras | | | | | |
|--|---------------------|-------------|------------------------|---------|---------|
| Barra | Tipo de combinación | Esfuerzo | Posiciones en la barra | | |
| | | | 0.000 m | 0.300 m | 0.600 m |
| N2/N4 | Acero laminado | N_{\min} | -46.029 | -46.000 | -45.971 |
| | | N_{\max} | -16.649 | -16.632 | -16.615 |
| | | $V_{y\min}$ | 0.000 | 0.000 | 0.000 |
| | | $V_{y\max}$ | 0.000 | 0.000 | 0.000 |
| | | $V_{z\min}$ | 7.495 | 7.495 | 7.495 |
| | | $V_{z\max}$ | 20.839 | 20.839 | 20.839 |
| | | $M_{t\min}$ | 0.000 | 0.000 | 0.000 |
| | | $M_{t\max}$ | 0.000 | 0.000 | 0.000 |
| | | $M_{y\min}$ | 2.202 | -0.130 | -6.382 |
| | | $M_{y\max}$ | 6.122 | -0.046 | -2.294 |
| | | $M_{z\min}$ | 0.000 | 0.000 | 0.000 |
| | | $M_{z\max}$ | 0.000 | 0.000 | 0.000 |

| Envolventes de los esfuerzos en barras | | | | | | | |
|--|---------------------|-------------|------------------------|---------|---------|---------|---------|
| Barra | Tipo de combinación | Esfuerzo | Posiciones en la barra | | | | |
| | | | 0.000 m | 0.238 m | 0.475 m | 0.713 m | 0.950 m |
| N3/N6 | Acero laminado | N_{\min} | -76.019 | -76.019 | -76.019 | -76.019 | -76.019 |
| | | N_{\max} | -27.361 | -27.361 | -27.361 | -27.361 | -27.361 |
| | | $V_{y\min}$ | 0.000 | 0.000 | 0.000 | 0.000 | 0.000 |
| | | $V_{y\max}$ | 0.000 | 0.000 | 0.000 | 0.000 | 0.000 |
| | | $V_{z\min}$ | -11.869 | -11.814 | -11.760 | -11.705 | -11.650 |
| | | $V_{z\max}$ | -4.330 | -4.297 | -4.265 | -4.232 | -4.200 |
| | | $M_{t\min}$ | 0.000 | 0.000 | 0.000 | 0.000 | 0.000 |
| | | $M_{t\max}$ | 0.000 | 0.000 | 0.000 | 0.000 | 0.000 |
| | | $M_{y\min}$ | -6.650 | -3.837 | -1.038 | 0.661 | 1.662 |
| | | $M_{y\max}$ | -2.390 | -1.365 | -0.348 | 1.749 | 4.522 |
| | | $M_{z\min}$ | 0.000 | 0.000 | 0.000 | 0.000 | 0.000 |
| | | $M_{z\max}$ | 0.000 | 0.000 | 0.000 | 0.000 | 0.000 |



Listados

DESARROLLO DE PROYECTO EJECUTIVO DE REFORMA DE LA PISCINA DEL
COLEGIO PÁLCAM

Fecha: 28/03/18

| Envoltantes de los esfuerzos en barras | | | | | | | |
|--|---------------------|-------------|------------------------|----------|----------|----------|----------|
| Barra | Tipo de combinación | Esfuerzo | Posiciones en la barra | | | | |
| | | | 0.000 m | 0.237 m | 0.475 m | 0.712 m | 0.950 m |
| N6/N7 | Acero laminado | N_{\min} | -135.859 | -135.859 | -135.859 | -135.859 | -135.859 |
| | | N_{\max} | -48.835 | -48.835 | -48.835 | -48.835 | -48.835 |
| | | $V_{y\min}$ | 0.000 | 0.000 | 0.000 | 0.000 | 0.000 |
| | | $V_{y\max}$ | 0.000 | 0.000 | 0.000 | 0.000 | 0.000 |
| | | $V_{z\min}$ | -11.489 | -11.434 | -11.379 | -11.324 | -11.269 |
| | | $V_{z\max}$ | -4.155 | -4.122 | -4.090 | -4.057 | -4.025 |
| | | $M_{t\min}$ | 0.000 | 0.000 | 0.000 | 0.000 | 0.000 |
| | | $M_{t\max}$ | 0.000 | 0.000 | 0.000 | 0.000 | 0.000 |
| | | $M_{y\min}$ | 0.685 | 1.668 | 2.643 | 3.611 | 4.571 |
| | | $M_{y\max}$ | 1.801 | 4.523 | 7.232 | 9.928 | 12.611 |
| | | $M_{z\min}$ | 0.000 | 0.000 | 0.000 | 0.000 | 0.000 |
| | | $M_{z\max}$ | 0.000 | 0.000 | 0.000 | 0.000 | 0.000 |

| Envoltantes de los esfuerzos en barras | | | | | | | |
|--|---------------------|-------------|------------------------|----------|----------|----------|----------|
| Barra | Tipo de combinación | Esfuerzo | Posiciones en la barra | | | | |
| | | | 0.000 m | 0.238 m | 0.475 m | 0.713 m | 0.950 m |
| N7/N8 | Acero laminado | N_{\min} | -191.637 | -191.637 | -191.637 | -191.637 | -191.637 |
| | | N_{\max} | -68.762 | -68.762 | -68.762 | -68.762 | -68.762 |
| | | $V_{y\min}$ | 0.000 | 0.000 | 0.000 | 0.000 | 0.000 |
| | | $V_{y\max}$ | 0.000 | 0.000 | 0.000 | 0.000 | 0.000 |
| | | $V_{z\min}$ | -12.291 | -12.237 | -12.182 | -12.127 | -12.072 |
| | | $V_{z\max}$ | -4.410 | -4.377 | -4.345 | -4.312 | -4.280 |
| | | $M_{t\min}$ | 0.000 | 0.000 | 0.000 | 0.000 | 0.000 |
| | | $M_{t\max}$ | 0.000 | 0.000 | 0.000 | 0.000 | 0.000 |
| | | $M_{y\min}$ | 3.646 | 4.690 | 5.726 | 6.754 | 7.774 |
| | | $M_{y\max}$ | 10.029 | 12.941 | 15.841 | 18.728 | 21.601 |
| | | $M_{z\min}$ | 0.000 | 0.000 | 0.000 | 0.000 | 0.000 |
| | | $M_{z\max}$ | 0.000 | 0.000 | 0.000 | 0.000 | 0.000 |

| Envoltantes de los esfuerzos en barras | | | | | | | |
|--|---------------------|-------------|------------------------|----------|----------|----------|----------|
| Barra | Tipo de combinación | Esfuerzo | Posiciones en la barra | | | | |
| | | | 0.000 m | 0.238 m | 0.475 m | 0.713 m | 0.950 m |
| N8/N9 | Acero laminado | N_{\min} | -238.749 | -238.749 | -238.749 | -238.749 | -238.749 |
| | | N_{\max} | -85.511 | -85.511 | -85.511 | -85.511 | -85.511 |
| | | $V_{y\min}$ | 0.000 | 0.000 | 0.000 | 0.000 | 0.000 |
| | | $V_{y\max}$ | 0.000 | 0.000 | 0.000 | 0.000 | 0.000 |
| | | $V_{z\min}$ | -13.759 | -13.704 | -13.649 | -13.595 | -13.540 |
| | | $V_{z\max}$ | -4.900 | -4.868 | -4.835 | -4.802 | -4.770 |
| | | $M_{t\min}$ | 0.000 | 0.000 | 0.000 | 0.000 | 0.000 |
| | | $M_{t\max}$ | 0.000 | 0.000 | 0.000 | 0.000 | 0.000 |
| | | $M_{y\min}$ | 6.966 | 8.125 | 9.278 | 10.422 | 11.559 |
| | | $M_{y\max}$ | 19.334 | 22.595 | 25.844 | 29.079 | 32.301 |
| | | $M_{z\min}$ | 0.000 | 0.000 | 0.000 | 0.000 | 0.000 |
| | | $M_{z\max}$ | 0.000 | 0.000 | 0.000 | 0.000 | 0.000 |



Listados

DESARROLLO DE PROYECTO EJECUTIVO DE REFORMA DE LA PISCINA DEL
COLEGIO PÁLCAM

Fecha: 28/03/18

| Envoltentes de los esfuerzos en barras | | | | | | | |
|--|---------------------|-------------|------------------------|----------|----------|----------|----------|
| Barra | Tipo de combinación | Esfuerzo | Posiciones en la barra | | | | |
| | | | 0.000 m | 0.237 m | 0.475 m | 0.712 m | 0.950 m |
| N9/N10 | Acero laminado | N_{\min} | -262.110 | -262.110 | -262.110 | -262.110 | -262.110 |
| | | N_{\max} | -93.764 | -93.764 | -93.764 | -93.764 | -93.764 |
| | | $V_{y\min}$ | 0.000 | 0.000 | 0.000 | 0.000 | 0.000 |
| | | $V_{y\max}$ | 0.000 | 0.000 | 0.000 | 0.000 | 0.000 |
| | | $V_{z\min}$ | -24.988 | -24.933 | -24.878 | -24.824 | -24.769 |
| | | $V_{z\max}$ | -8.825 | -8.792 | -8.760 | -8.727 | -8.695 |
| | | $M_{t\min}$ | 0.000 | 0.000 | 0.000 | 0.000 | 0.000 |
| | | $M_{t\max}$ | 0.000 | 0.000 | 0.000 | 0.000 | 0.000 |
| | | $M_{y\min}$ | 10.973 | 13.065 | 15.149 | 17.226 | 19.295 |
| | | $M_{y\max}$ | 30.652 | 36.580 | 42.495 | 48.397 | 54.286 |
| | | $M_{z\min}$ | 0.000 | 0.000 | 0.000 | 0.000 | 0.000 |
| | | $M_{z\max}$ | 0.000 | 0.000 | 0.000 | 0.000 | 0.000 |

| Envoltentes de los esfuerzos en barras | | | | | | | |
|--|---------------------|-------------|------------------------|----------|----------|----------|----------|
| Barra | Tipo de combinación | Esfuerzo | Posiciones en la barra | | | | |
| | | | 0.000 m | 0.238 m | 0.475 m | 0.713 m | 0.950 m |
| N10/N11 | Acero laminado | N_{\min} | -262.116 | -262.116 | -262.116 | -262.116 | -262.116 |
| | | N_{\max} | -93.766 | -93.766 | -93.766 | -93.766 | -93.766 |
| | | $V_{y\min}$ | 0.000 | 0.000 | 0.000 | 0.000 | 0.000 |
| | | $V_{y\max}$ | 0.000 | 0.000 | 0.000 | 0.000 | 0.000 |
| | | $V_{z\min}$ | 8.687 | 8.719 | 8.752 | 8.784 | 8.817 |
| | | $V_{z\max}$ | 24.746 | 24.801 | 24.855 | 24.910 | 24.965 |
| | | $M_{t\min}$ | 0.000 | 0.000 | 0.000 | 0.000 | 0.000 |
| | | $M_{t\max}$ | 0.000 | 0.000 | 0.000 | 0.000 | 0.000 |
| | | $M_{y\min}$ | 19.294 | 17.227 | 15.153 | 13.070 | 10.980 |
| | | $M_{y\max}$ | 54.285 | 48.401 | 42.504 | 36.595 | 30.672 |
| | | $M_{z\min}$ | 0.000 | 0.000 | 0.000 | 0.000 | 0.000 |
| | | $M_{z\max}$ | 0.000 | 0.000 | 0.000 | 0.000 | 0.000 |

| Envoltentes de los esfuerzos en barras | | | | | | | |
|--|---------------------|-------------|------------------------|----------|----------|----------|----------|
| Barra | Tipo de combinación | Esfuerzo | Posiciones en la barra | | | | |
| | | | 0.000 m | 0.237 m | 0.475 m | 0.712 m | 0.950 m |
| N11/N12 | Acero laminado | N_{\min} | -238.872 | -238.872 | -238.872 | -238.872 | -238.872 |
| | | N_{\max} | -85.556 | -85.556 | -85.556 | -85.556 | -85.556 |
| | | $V_{y\min}$ | 0.000 | 0.000 | 0.000 | 0.000 | 0.000 |
| | | $V_{y\max}$ | 0.000 | 0.000 | 0.000 | 0.000 | 0.000 |
| | | $V_{z\min}$ | 4.758 | 4.790 | 4.823 | 4.856 | 4.888 |
| | | $V_{z\max}$ | 13.507 | 13.562 | 13.616 | 13.671 | 13.726 |
| | | $M_{t\min}$ | 0.000 | 0.000 | 0.000 | 0.000 | 0.000 |
| | | $M_{t\max}$ | 0.000 | 0.000 | 0.000 | 0.000 | 0.000 |
| | | $M_{y\min}$ | 11.565 | 10.431 | 9.289 | 8.140 | 6.983 |
| | | $M_{y\max}$ | 32.318 | 29.103 | 25.876 | 22.635 | 19.382 |
| | | $M_{z\min}$ | 0.000 | 0.000 | 0.000 | 0.000 | 0.000 |
| | | $M_{z\max}$ | 0.000 | 0.000 | 0.000 | 0.000 | 0.000 |



Listados

DESARROLLO DE PROYECTO EJECUTIVO DE REFORMA DE LA PISCINA DEL
COLEGIO PÁLCAM

Fecha: 28/03/18

| Envoltorios de los esfuerzos en barras | | | | | | | |
|--|---------------------|-------------|------------------------|----------|----------|----------|----------|
| Barra | Tipo de combinación | Esfuerzo | Posiciones en la barra | | | | |
| | | | 0.000 m | 0.238 m | 0.475 m | 0.713 m | 0.950 m |
| N12/N13 | Acero laminado | N_{\min} | -191.859 | -191.859 | -191.859 | -191.859 | -191.859 |
| | | N_{\max} | -68.842 | -68.842 | -68.842 | -68.842 | -68.842 |
| | | $V_{y\min}$ | 0.000 | 0.000 | 0.000 | 0.000 | 0.000 |
| | | $V_{y\max}$ | 0.000 | 0.000 | 0.000 | 0.000 | 0.000 |
| | | $V_{z\min}$ | 4.264 | 4.297 | 4.329 | 4.362 | 4.394 |
| | | $V_{z\max}$ | 12.030 | 12.084 | 12.139 | 12.194 | 12.249 |
| | | $M_{t\min}$ | 0.000 | 0.000 | 0.000 | 0.000 | 0.000 |
| | | $M_{t\max}$ | 0.000 | 0.000 | 0.000 | 0.000 | 0.000 |
| | | $M_{y\min}$ | 7.790 | 6.774 | 5.749 | 4.717 | 3.677 |
| | | $M_{y\max}$ | 21.646 | 18.783 | 15.906 | 13.017 | 10.114 |
| | | $M_{z\min}$ | 0.000 | 0.000 | 0.000 | 0.000 | 0.000 |
| | | $M_{z\max}$ | 0.000 | 0.000 | 0.000 | 0.000 | 0.000 |

| Envoltorios de los esfuerzos en barras | | | | | | | |
|--|---------------------|-------------|------------------------|----------|----------|----------|----------|
| Barra | Tipo de combinación | Esfuerzo | Posiciones en la barra | | | | |
| | | | 0.000 m | 0.237 m | 0.475 m | 0.712 m | 0.950 m |
| N13/N14 | Acero laminado | N_{\min} | -136.141 | -136.141 | -136.141 | -136.141 | -136.141 |
| | | N_{\max} | -48.937 | -48.937 | -48.937 | -48.937 | -48.937 |
| | | $V_{y\min}$ | 0.000 | 0.000 | 0.000 | 0.000 | 0.000 |
| | | $V_{y\max}$ | 0.000 | 0.000 | 0.000 | 0.000 | 0.000 |
| | | $V_{z\min}$ | 4.005 | 4.037 | 4.070 | 4.102 | 4.135 |
| | | $V_{z\max}$ | 11.214 | 11.269 | 11.324 | 11.379 | 11.434 |
| | | $M_{t\min}$ | 0.000 | 0.000 | 0.000 | 0.000 | 0.000 |
| | | $M_{t\max}$ | 0.000 | 0.000 | 0.000 | 0.000 | 0.000 |
| | | $M_{y\min}$ | 4.602 | 3.647 | 2.684 | 1.714 | 0.735 |
| | | $M_{y\max}$ | 12.697 | 10.027 | 7.344 | 4.648 | 1.939 |
| | | $M_{z\min}$ | 0.000 | 0.000 | 0.000 | 0.000 | 0.000 |
| | | $M_{z\max}$ | 0.000 | 0.000 | 0.000 | 0.000 | 0.000 |

| Envoltorios de los esfuerzos en barras | | | | | | | |
|--|---------------------|-------------|------------------------|---------|---------|---------|---------|
| Barra | Tipo de combinación | Esfuerzo | Posiciones en la barra | | | | |
| | | | 0.000 m | 0.240 m | 0.480 m | 0.720 m | 0.960 m |
| N14/N4 | Acero laminado | N_{\min} | -76.258 | -76.258 | -76.258 | -76.258 | -76.258 |
| | | N_{\max} | -27.448 | -27.448 | -27.448 | -27.448 | -27.448 |
| | | $V_{y\min}$ | 0.000 | 0.000 | 0.000 | 0.000 | 0.000 |
| | | $V_{y\max}$ | 0.000 | 0.000 | 0.000 | 0.000 | 0.000 |
| | | $V_{z\min}$ | 4.215 | 4.248 | 4.281 | 4.314 | 4.347 |
| | | $V_{z\max}$ | 11.694 | 11.750 | 11.805 | 11.861 | 11.916 |
| | | $M_{t\min}$ | 0.000 | 0.000 | 0.000 | 0.000 | 0.000 |
| | | $M_{t\max}$ | 0.000 | 0.000 | 0.000 | 0.000 | 0.000 |
| | | $M_{y\min}$ | 1.715 | 0.699 | -0.972 | -3.812 | -6.665 |
| | | $M_{y\max}$ | 4.668 | 1.855 | -0.324 | -1.356 | -2.395 |
| | | $M_{z\min}$ | 0.000 | 0.000 | 0.000 | 0.000 | 0.000 |
| | | $M_{z\max}$ | 0.000 | 0.000 | 0.000 | 0.000 | 0.000 |



Listados

DESARROLLO DE PROYECTO EJECUTIVO DE REFORMA DE LA PISCINA DEL
COLEGIO PÁLCAM

Fecha: 28/03/18

2.2.2.2.- Resistencia

Referencias:

N: Esfuerzo axil (t)

Vy: Esfuerzo cortante según el eje local Y de la barra. (t)

Vz: Esfuerzo cortante según el eje local Z de la barra. (t)

Mt: Momento torsor (t·m)

My: Momento flector en el plano 'XZ' (giro de la sección respecto al eje local 'Y' de la barra). (t·m)

Mz: Momento flector en el plano 'XY' (giro de la sección respecto al eje local 'Z' de la barra). (t·m)

Los esfuerzos indicados son los correspondientes a la combinación pésima, es decir, aquella que demanda la máxima resistencia de la sección.

Origen de los esfuerzos pésimos:

- G: Sólo gravitatorias
- GV: Gravitatorias + viento
- GS: Gravitatorias + sismo
- GVS: Gravitatorias + viento + sismo

η : Aprovechamiento de la resistencia. La barra cumple con las condiciones de resistencia de la norma si se cumple que $\eta \leq 100\%$.

| Comprobación de resistencia | | | | | | | | | | |
|-----------------------------|---------------|-----------------|-------------------|-----------|-----------|-------------|-------------|-------------|--------|--------|
| Barra | η (%) | Posición (m) | Esfuerzos pésimos | | | | | | Origen | Estado |
| | | | N (t) | Vy (t) | Vz (t) | Mt (t·m) | My (t·m) | Mz (t·m) | | |
| N5/N3 | 68.04 | 0.000 | 65.012 | 0.000 | -0.556 | 0.000 | -0.309 | 0.000 | G | Cumple |
| N15/N6 | 65.43 | 1.124 | 61.150 | 0.000 | -0.509 | 0.000 | 0.352 | 0.000 | G | Cumple |
| N16/N7 | 61.58 | 1.124 | 56.940 | 0.000 | -0.388 | 0.000 | 0.356 | 0.000 | G | Cumple |
| N17/N8 | 52.02 | 1.124 | 47.903 | 0.000 | -0.135 | 0.000 | 0.309 | 0.000 | G | Cumple |
| N18/N9 | 31.33 | 0.000 | 22.290 | 0.000 | 0.157 | 0.000 | 0.451 | 0.000 | G | Cumple |
| N22/N4 | 67.80 | 0.000 | 65.018 | 0.000 | -0.534 | 0.000 | -0.298 | 0.000 | G | Cumple |
| N21/N14 | 65.51 | 1.124 | 61.177 | 0.000 | -0.511 | 0.000 | 0.355 | 0.000 | G | Cumple |
| N20/N13 | 61.53 | 1.124 | 56.869 | 0.000 | -0.389 | 0.000 | 0.357 | 0.000 | G | Cumple |
| N19/N12 | 51.92 | 1.124 | 47.797 | 0.000 | -0.135 | 0.000 | 0.309 | 0.000 | G | Cumple |
| N18/N11 | 31.22 | 0.000 | 22.166 | 0.000 | 0.157 | 0.000 | 0.451 | 0.000 | G | Cumple |
| N1/N5 | 26.83 | 0.000 | -117.107 | 0.000 | -10.154 | 0.000 | -6.097 | 0.000 | G | Cumple |
| N5/N15 | 21.50 | 0.950 | -53.976 | 0.000 | -11.873 | 0.000 | 12.168 | 0.000 | G | Cumple |
| N15/N16 | 22.31 | 0.950 | 5.426 | 0.000 | -12.704 | 0.000 | 21.868 | 0.000 | G | Cumple |
| N16/N17 | 44.41 | 0.950 | 60.314 | 0.000 | -15.336 | 0.000 | 34.474 | 0.000 | G | Cumple |
| N17/N18 | 67.11 | 0.950 | 105.486 | 0.000 | -16.978 | 0.000 | 49.479 | 0.000 | G | Cumple |
| N18/N19 | 67.12 | 0.000 | 105.597 | 0.000 | 16.948 | 0.000 | 49.477 | 0.000 | G | Cumple |
| N19/N20 | 44.46 | 0.000 | 60.526 | 0.000 | 15.307 | 0.000 | 34.495 | 0.000 | G | Cumple |
| N20/N21 | 22.41 | 0.000 | 5.707 | 0.000 | 12.667 | 0.000 | 21.914 | 0.000 | G | Cumple |
| N21/N22 | 21.54 | 0.000 | -53.719 | 0.000 | 11.797 | 0.000 | 12.251 | 0.000 | G | Cumple |
| N22/N2 | 26.84 | 0.960 | -117.023 | 0.000 | 10.232 | 0.000 | -6.122 | 0.000 | G | Cumple |
| N1/N3 | 64.43 | 0.000 | -46.221 | 0.000 | -20.755 | 0.000 | -6.097 | 0.000 | G | Cumple |
| N5/N6 | 84.92 | 0.600 | -32.062 | 0.000 | -7.867 | 0.000 | 2.369 | 0.000 | G | Cumple |
| N15/N7 | 80.87 | 0.000 | -31.125 | 0.000 | -7.429 | 0.000 | -2.232 | 0.000 | G | Cumple |
| N16/N8 | 70.99 | 0.000 | -27.178 | 0.000 | -6.538 | 0.000 | -1.965 | 0.000 | G | Cumple |
| N17/N9 | 54.41 | 0.600 | -23.531 | 0.000 | -4.598 | 0.000 | 1.397 | 0.000 | G | Cumple |
| N18/N10 | 54.29 | 0.000 | -57.931 | 0.000 | -0.006 | 0.000 | -0.002 | 0.000 | G | Cumple |



Listados

DESARROLLO DE PROYECTO EJECUTIVO DE REFORMA DE LA PISCINA DEL
COLEGIO PÁLCAM

Fecha: 28/03/18

| Comprobación de resistencia | | | | | | | | | | |
|-----------------------------|---------------|-----------------|-------------------|-----------|-----------|-------------|-------------|-------------|--------|--------|
| Barra | η (%) | Posición (m) | Esfuerzos pésimos | | | | | | Origen | Estado |
| | | | N (t) | Vy (t) | Vz (t) | Mt (t·m) | My (t·m) | Mz (t·m) | | |
| N19/N11 | 54.28 | 0.600 | -23.475 | 0.000 | 4.587 | 0.000 | -1.393 | 0.000 | G | Cumple |
| N20/N12 | 70.89 | 0.000 | -27.132 | 0.000 | 6.530 | 0.000 | 1.962 | 0.000 | G | Cumple |
| N21/N13 | 80.84 | 0.000 | -31.099 | 0.000 | 7.429 | 0.000 | 2.231 | 0.000 | G | Cumple |
| N22/N14 | 84.97 | 0.600 | -31.975 | 0.000 | 7.886 | 0.000 | -2.374 | 0.000 | G | Cumple |
| N2/N4 | 64.69 | 0.000 | -46.029 | 0.000 | 20.839 | 0.000 | 6.122 | 0.000 | G | Cumple |
| N3/N6 | 20.05 | 0.000 | -76.019 | 0.000 | -11.869 | 0.000 | -6.650 | 0.000 | G | Cumple |
| N6/N7 | 36.53 | 0.950 | -135.859 | 0.000 | -11.269 | 0.000 | 12.611 | 0.000 | G | Cumple |
| N7/N8 | 55.25 | 0.950 | -191.637 | 0.000 | -12.072 | 0.000 | 21.601 | 0.000 | G | Cumple |
| N8/N9 | 74.10 | 0.950 | -238.749 | 0.000 | -13.540 | 0.000 | 32.301 | 0.000 | G | Cumple |
| N9/N10 | 99.73 | 0.950 | -262.110 | 0.000 | -24.769 | 0.000 | 54.286 | 0.000 | G | Cumple |
| N10/N11 | 99.73 | 0.000 | -262.116 | 0.000 | 24.746 | 0.000 | 54.285 | 0.000 | G | Cumple |
| N11/N12 | 74.14 | 0.000 | -238.872 | 0.000 | 13.507 | 0.000 | 32.318 | 0.000 | G | Cumple |
| N12/N13 | 55.34 | 0.000 | -191.859 | 0.000 | 12.030 | 0.000 | 21.646 | 0.000 | G | Cumple |
| N13/N14 | 36.67 | 0.000 | -136.141 | 0.000 | 11.214 | 0.000 | 12.697 | 0.000 | G | Cumple |
| N14/N4 | 20.10 | 0.960 | -76.258 | 0.000 | 11.916 | 0.000 | -6.665 | 0.000 | G | Cumple |

2.2.2.3.- Flechas

Referencias:

Pos.: Valor de la coordenada sobre el eje 'X' local del grupo de flecha en el punto donde se produce el valor pésimo de la flecha.

L.: Distancia entre dos puntos de corte consecutivos de la deformada con la recta que une los nudos extremos del grupo de flecha.

| Flechas | | | | | | | | |
|---------|--|----------------|--|----------------|--|----------------|--|----------------|
| Grupo | Flecha máxima absoluta xy Flecha máxima relativa xy | | Flecha máxima absoluta xz Flecha máxima relativa xz | | Flecha activa absoluta xy Flecha activa relativa xy | | Flecha activa absoluta xz Flecha activa relativa xz | |
| | Pos. (m) | Flecha (mm) | Pos. (m) | Flecha (mm) | Pos. (m) | Flecha (mm) | Pos. (m) | Flecha (mm) |
| N5/N3 | 0.000 | 0.00 | 0.187 | 0.03 | 0.000 | 0.00 | 0.187 | 0.01 |
| | - | L/(>1000) | 0.187 | L/(>1000) | - | L/(>1000) | 0.187 | L/(>1000) |
| N15/N6 | 0.000 | 0.00 | 0.749 | 0.05 | 0.000 | 0.00 | 0.749 | 0.02 |
| | - | L/(>1000) | 0.749 | L/(>1000) | - | L/(>1000) | 0.749 | L/(>1000) |
| N16/N7 | 0.000 | 0.00 | 0.749 | 0.09 | 0.000 | 0.00 | 0.749 | 0.03 |
| | - | L/(>1000) | 0.749 | L/(>1000) | - | L/(>1000) | 0.749 | L/(>1000) |
| N17/N8 | 0.000 | 0.00 | 0.562 | 0.15 | 0.000 | 0.00 | 0.562 | 0.06 |
| | - | L/(>1000) | 0.562 | L/(>1000) | - | L/(>1000) | 0.562 | L/(>1000) |
| N18/N9 | 0.000 | 0.00 | 0.562 | 0.24 | 0.000 | 0.00 | 0.562 | 0.09 |
| | - | L/(>1000) | 0.562 | L/(>1000) | - | L/(>1000) | 0.562 | L/(>1000) |
| N22/N4 | 0.000 | 0.00 | 0.189 | 0.03 | 0.000 | 0.00 | 0.189 | 0.01 |
| | - | L/(>1000) | 0.189 | L/(>1000) | - | L/(>1000) | 0.189 | L/(>1000) |
| N21/N14 | 0.000 | 0.00 | 0.749 | 0.06 | 0.000 | 0.00 | 0.749 | 0.02 |
| | - | L/(>1000) | 0.749 | L/(>1000) | - | L/(>1000) | 0.749 | L/(>1000) |
| N20/N13 | 0.000 | 0.00 | 0.749 | 0.09 | 0.000 | 0.00 | 0.749 | 0.03 |
| | - | L/(>1000) | 0.749 | L/(>1000) | - | L/(>1000) | 0.749 | L/(>1000) |
| N19/N12 | 0.000 | 0.00 | 0.562 | 0.15 | 0.000 | 0.00 | 0.562 | 0.06 |
| | - | L/(>1000) | 0.562 | L/(>1000) | - | L/(>1000) | 0.562 | L/(>1000) |
| N18/N11 | 0.000 | 0.00 | 0.562 | 0.24 | 0.000 | 0.00 | 0.562 | 0.09 |
| | - | L/(>1000) | 0.562 | L/(>1000) | - | L/(>1000) | 0.562 | L/(>1000) |
| N1/N2 | 0.000 | 0.00 | 4.750 | 13.71 | 0.000 | 0.00 | 4.750 | 5.09 |
| | - | L/(>1000) | 4.750 | L/693.4 | - | L/(>1000) | 4.750 | L/(>1000) |
| N1/N3 | 0.000 | 0.00 | 0.300 | 0.00 | 0.000 | 0.00 | 0.300 | 0.00 |
| | - | L/(>1000) | 0.300 | L/(>1000) | - | L/(>1000) | 0.300 | L/(>1000) |



Listados

DESARROLLO DE PROYECTO EJECUTIVO DE REFORMA DE LA PISCINA DEL
COLEGIO PÁLCAM

Fecha: 28/03/18

| Grupo | Flechas | | | | | | | |
|---------|--|-------------------|--|-------------------|--|-------------------|--|-------------------|
| | Flecha máxima absoluta xy Flecha máxima relativa xy | | Flecha máxima absoluta xz Flecha máxima relativa xz | | Flecha activa absoluta xy Flecha activa relativa xy | | Flecha activa absoluta xz Flecha activa relativa xz | |
| | Pos. (m) | Flecha (mm) | Pos. (m) | Flecha (mm) | Pos. (m) | Flecha (mm) | Pos. (m) | Flecha (mm) |
| N5/N6 | 0.000 - | 0.00 L/(>1000) | 0.300 0.300 | 0.00 L/(>1000) | 0.000 - | 0.00 L/(>1000) | 0.300 0.300 | 0.00 L/(>1000) |
| N15/N7 | 0.000 - | 0.00 L/(>1000) | 0.300 0.300 | 0.00 L/(>1000) | 0.000 - | 0.00 L/(>1000) | 0.300 0.300 | 0.00 L/(>1000) |
| N16/N8 | 0.000 - | 0.00 L/(>1000) | 0.300 0.300 | 0.00 L/(>1000) | 0.000 - | 0.00 L/(>1000) | 0.300 0.300 | 0.00 L/(>1000) |
| N17/N9 | 0.000 - | 0.00 L/(>1000) | 0.300 0.300 | 0.00 L/(>1000) | 0.000 - | 0.00 L/(>1000) | 0.300 0.300 | 0.00 L/(>1000) |
| N18/N10 | 0.000 - | 0.00 L/(>1000) | 0.300 - | 0.00 L/(>1000) | 0.000 - | 0.00 L/(>1000) | 0.300 - | 0.00 L/(>1000) |
| N19/N11 | 0.000 - | 0.00 L/(>1000) | 0.300 0.300 | 0.00 L/(>1000) | 0.000 - | 0.00 L/(>1000) | 0.300 0.300 | 0.00 L/(>1000) |
| N20/N12 | 0.000 - | 0.00 L/(>1000) | 0.300 0.300 | 0.00 L/(>1000) | 0.000 - | 0.00 L/(>1000) | 0.300 0.300 | 0.00 L/(>1000) |
| N21/N13 | 0.000 - | 0.00 L/(>1000) | 0.300 0.300 | 0.00 L/(>1000) | 0.000 - | 0.00 L/(>1000) | 0.300 0.300 | 0.00 L/(>1000) |
| N22/N14 | 0.000 - | 0.00 L/(>1000) | 0.300 0.300 | 0.00 L/(>1000) | 0.000 - | 0.00 L/(>1000) | 0.300 0.300 | 0.00 L/(>1000) |
| N2/N4 | 0.000 - | 0.00 L/(>1000) | 0.300 0.300 | 0.00 L/(>1000) | 0.000 - | 0.00 L/(>1000) | 0.300 0.300 | 0.00 L/(>1000) |
| N3/N6 | 0.000 - | 0.00 L/(>1000) | 0.238 0.238 | 0.01 L/(>1000) | 0.000 - | 0.00 L/(>1000) | 0.238 0.238 | 0.00 L/(>1000) |
| N6/N7 | 0.000 - | 0.00 L/(>1000) | 0.475 0.475 | 0.03 L/(>1000) | 0.000 - | 0.00 L/(>1000) | 0.475 0.475 | 0.01 L/(>1000) |
| N7/N8 | 0.000 - | 0.00 L/(>1000) | 0.475 0.475 | 0.07 L/(>1000) | 0.000 - | 0.00 L/(>1000) | 0.475 0.475 | 0.03 L/(>1000) |
| N8/N9 | 0.000 - | 0.00 L/(>1000) | 0.475 0.475 | 0.12 L/(>1000) | 0.000 - | 0.00 L/(>1000) | 0.475 0.475 | 0.04 L/(>1000) |
| N9/N10 | 0.000 - | 0.00 L/(>1000) | 0.475 0.475 | 0.20 L/(>1000) | 0.000 - | 0.00 L/(>1000) | 0.475 0.475 | 0.07 L/(>1000) |
| N10/N11 | 0.000 - | 0.00 L/(>1000) | 0.475 0.475 | 0.20 L/(>1000) | 0.000 - | 0.00 L/(>1000) | 0.475 0.475 | 0.07 L/(>1000) |
| N11/N12 | 0.000 - | 0.00 L/(>1000) | 0.475 0.475 | 0.12 L/(>1000) | 0.000 - | 0.00 L/(>1000) | 0.475 0.475 | 0.04 L/(>1000) |
| N12/N13 | 0.000 - | 0.00 L/(>1000) | 0.475 0.475 | 0.08 L/(>1000) | 0.000 - | 0.00 L/(>1000) | 0.475 0.475 | 0.03 L/(>1000) |
| N13/N14 | 0.000 - | 0.00 L/(>1000) | 0.475 0.475 | 0.03 L/(>1000) | 0.000 - | 0.00 L/(>1000) | 0.475 0.475 | 0.01 L/(>1000) |
| N14/N4 | 0.000 - | 0.00 L/(>1000) | 0.720 0.720 | 0.01 L/(>1000) | 0.000 - | 0.00 L/(>1000) | 0.720 0.720 | 0.00 L/(>1000) |

2.2.2.4.- Comprobaciones E.L.U. (Completo)

Nota: Se muestra el listado completo de comprobaciones realizadas para las 10 barras con mayor coeficiente de aprovechamiento.



Listados

DESARROLLO DE PROYECTO EJECUTIVO DE REFORMA DE LA PISCINA DEL
COLEGIO PÁLCAM

Fecha: 28/03/18

I_z : Momento de inercia de la sección bruta, respecto al eje Z.

I_z : 11720.00 cm⁴

I_t : Momento de inercia a torsión uniforme.

I_t : 440.50 cm⁴

I_w : Constante de alabeo de la sección.

I_w : 5258000.00 cm⁶

E: Módulo de elasticidad.

E : 2140673 kp/cm²

G: Módulo de elasticidad transversal.

G : 825688 kp/cm²

L_{ky} : Longitud efectiva de pandeo por flexión, respecto al eje Y.

L_{ky} : 0.950 m

L_{kz} : Longitud efectiva de pandeo por flexión, respecto al eje Z.

L_{kz} : 0.950 m

L_{kt} : Longitud efectiva de pandeo por torsión.

L_{kt} : 0.000 m

i_o : Radio de giro polar de la sección bruta, respecto al centro de torsión.

i_o : 20.50 cm

$$i_o = (i_y^2 + i_z^2 + y_o^2 + z_o^2)^{0.5}$$

Siendo:

i_y , i_z : Radios de giro de la sección bruta, respecto a los ejes principales de inercia Y y Z.

i_y : 19.14 cm

i_z : 7.33 cm

y_o , z_o : Coordenadas del centro de torsión en la dirección de los ejes principales Y y Z, respectivamente, relativas al centro de gravedad de la sección.

y_o : 0.00 mm

z_o : 0.00 mm

Abolladura del alma inducida por el ala comprimida (Criterio de CYPE Ingenieros, basado en: Eurocódigo 3 EN 1993-1-5: 2006, Artículo 8)

Se debe satisfacer:

$$\frac{h_w}{t_w} \leq k \frac{E}{f_{yf}} \sqrt{\frac{A_w}{A_{fc,ef}}}$$

28.43 ≤ 200.93 ✓

Donde:

h_w : Altura del alma.

h_w : 398.00 mm

t_w : Espesor del alma.

t_w : 14.00 mm

A_w : Área del alma.

A_w : 55.72 cm²

$A_{fc,ef}$: Área reducida del ala comprimida.

$A_{fc,ef}$: 78.00 cm²

k: Coeficiente que depende de la clase de la sección.

k : 0.30

E: Módulo de elasticidad.

E : 2140673 kp/cm²

f_{yf} : Límite elástico del acero del ala comprimida.

f_{yf} : 2701.33 kp/cm²

Siendo:

$$f_{yf} = f_y$$

Resistencia a tracción (CTE DB SE-A, Artículo 6.2.3)

La comprobación no procede, ya que no hay axil de tracción.



Listados

DESARROLLO DE PROYECTO EJECUTIVO DE REFORMA DE LA PISCINA DEL
COLEGIO PÁLCAM

Fecha: 28/03/18

Resistencia a compresión (CTE DB SE-A, Artículo 6.2.5)

Se debe satisfacer:

$$\eta = \frac{N_{c,Ed}}{N_{c,Rd}} \leq 1$$

$$h : \underline{0.467} \quad \checkmark$$

El esfuerzo solicitante de cálculo pésimo se produce para la combinación de acciones 1.35·PP+1.35·CM1+1.35·CM2+1.5·Q1.

$N_{c,Ed}$: Axil de compresión solicitante de cálculo pésimo.

$$N_{c,Ed} : \underline{262.110} \quad t$$

La resistencia de cálculo a compresión $N_{c,Rd}$ viene dada por:

$$N_{c,Rd} = A \cdot f_{yd}$$

$$N_{c,Rd} : \underline{560.847} \quad t$$

Donde:

Clase: Clase de la sección, según la capacidad de deformación y de desarrollo de la resistencia plástica de los elementos planos comprimidos de una sección.

$$\text{Clase} : \underline{1}$$

A: Área de la sección bruta para las secciones de clase 1, 2 y 3.

$$A : \underline{218.00} \quad \text{cm}^2$$

f_{yd} : Resistencia de cálculo del acero.

$$f_{yd} : \underline{2572.69} \quad \text{kp/cm}^2$$

$$f_{yd} = f_y / \gamma_{M0}$$

Siendo:

f_y : Límite elástico. (CTE DB SE-A, Tabla 4.1)

$$f_y : \underline{2701.33} \quad \text{kp/cm}^2$$

γ_{M0} : Coeficiente parcial de seguridad del material.

$$\gamma_{M0} : \underline{1.05}$$

Resistencia a pandeo: (CTE DB SE-A, Artículo 6.3.2)

Para esbelteces $\lambda \leq 0.2$ se puede omitir la comprobación frente a pandeo, y comprobar únicamente la resistencia de la sección transversal.

λ : Esbeltez reducida.

$$\lambda : \underline{0.15}$$

$$\lambda = \sqrt{\frac{A \cdot f_y}{N_{cr}}}$$

Donde:

A: Área de la sección bruta para las secciones de clase 1, 2 y 3.

$$A : \underline{218.00} \quad \text{cm}^2$$

f_y : Límite elástico. (CTE DB SE-A, Tabla 4.1)

$$f_y : \underline{2701.33} \quad \text{kp/cm}^2$$

N_{cr} : Axil crítico elástico de pandeo, obtenido como el menor de los siguientes valores:

$$N_{cr} : \underline{27436.609} \quad t$$

$N_{cr,y}$: Axil crítico elástico de pandeo por flexión respecto al eje Y.

$$N_{cr,y} : \underline{187023.097} \quad t$$

$N_{cr,z}$: Axil crítico elástico de pandeo por flexión respecto al eje Z.

$$N_{cr,z} : \underline{27436.609} \quad t$$

$N_{cr,T}$: Axil crítico elástico de pandeo por torsión.

$$N_{cr,T} : \underline{\infty}$$



Listados

DESARROLLO DE PROYECTO EJECUTIVO DE REFORMA DE LA PISCINA DEL
COLEGIO PÀLCAM

Fecha: 28/03/18

Resistencia a flexión eje Y (CTE DB SE-A, Artículo 6.2.6)

Se debe satisfacer:

$$\eta = \frac{M_{Ed}}{M_{c,Rd}} \leq 1$$

$$h : \underline{0.530} \quad \checkmark$$

Para flexión positiva:

El esfuerzo solicitante de cálculo pésimo se produce en el nudo N10, para la combinación de acciones 1.35·PP+1.35·CM1+1.35·CM2+1.5·Q1.

M_{Ed}^+ : Momento flector solicitante de cálculo pésimo.

$$M_{Ed}^+ : \underline{54.286} \text{ t·m}$$

Para flexión negativa:

M_{Ed}^- : Momento flector solicitante de cálculo pésimo.

$$M_{Ed}^- : \underline{0.000} \text{ t·m}$$

El momento flector resistente de cálculo $M_{c,Rd}$ viene dado por:

$$M_{c,Rd} = W_{pl,y} \cdot f_{yd}$$

$$M_{c,Rd} : \underline{102.445} \text{ t·m}$$

Donde:

Clase: Clase de la sección, según la capacidad de deformación y de desarrollo de la resistencia plástica de los elementos planos de una sección a flexión simple.

$$\text{Clase} : \underline{1}$$

$W_{pl,y}$: Módulo resistente plástico correspondiente a la fibra con mayor tensión, para las secciones de clase 1 y 2.

$$W_{pl,y} : \underline{3982.00} \text{ cm}^3$$

f_{yd} : Resistencia de cálculo del acero.

$$f_{yd} : \underline{2572.69} \text{ kp/cm}^2$$

$$f_{yd} = f_y / \gamma_{M0}$$

Siendo:

f_y : Límite elástico. (CTE DB SE-A, Tabla 4.1)

$$f_y : \underline{2701.33} \text{ kp/cm}^2$$

γ_{M0} : Coeficiente parcial de seguridad del material.

$$\gamma_{M0} : \underline{1.05}$$

Resistencia a pandeo lateral: (CTE DB SE-A, Artículo 6.3.3.2)

No procede, dado que las longitudes de pandeo lateral son nulas.

Resistencia a flexión eje Z (CTE DB SE-A, Artículo 6.2.6)

La comprobación no procede, ya que no hay momento flector.



Listados

DESARROLLO DE PROYECTO EJECUTIVO DE REFORMA DE LA PISCINA DEL
COLEGIO PÁLCAM

Fecha: 28/03/18

Resistencia a corte Z (CTE DB SE-A, Artículo 6.2.4)

Se debe satisfacer:

$$\eta = \frac{V_{Ed}}{V_{c,Rd}} \leq 1$$

$$h : \underline{0.267} \quad \checkmark$$

El esfuerzo solicitante de cálculo pésimo se produce en el nudo N9, para la combinación de acciones 1.35·PP+1.35·CM1+1.35·CM2+1.5·Q1.

V_{Ed} : Esfuerzo cortante solicitante de cálculo pésimo.

$$V_{Ed} : \underline{24.988} \text{ t}$$

El esfuerzo cortante resistente de cálculo $V_{c,Rd}$ viene dado por:

$$V_{c,Rd} = A_v \cdot \frac{f_{yd}}{\sqrt{3}}$$

$$V_{c,Rd} : \underline{93.577} \text{ t}$$

Donde:

A_v : Área transversal a cortante.

$$A_v : \underline{63.00} \text{ cm}^2$$

$$A_v = h \cdot t_w$$

Siendo:

h : Canto de la sección.

$$h : \underline{450.00} \text{ mm}$$

t_w : Espesor del alma.

$$t_w : \underline{14.00} \text{ mm}$$

f_{yd} : Resistencia de cálculo del acero.

$$f_{yd} : \underline{2572.69} \text{ kp/cm}^2$$

$$f_{yd} = f_y / \gamma_{M0}$$

Siendo:

f_y : Límite elástico. (CTE DB SE-A, Tabla 4.1)

$$f_y : \underline{2701.33} \text{ kp/cm}^2$$

γ_{M0} : Coeficiente parcial de seguridad del material.

$$\gamma_{M0} : \underline{1.05}$$

Abolladura por cortante del alma: (CTE DB SE-A, Artículo 6.3.3.4)

Aunque no se han dispuesto rigidizadores transversales, no es necesario comprobar la resistencia a la abolladura del alma, puesto que se cumple:

$$\frac{d}{t_w} < 70 \cdot \varepsilon$$

$$28.43 < 65.92 \quad \checkmark$$

Donde:

l_w : Esbeltez del alma.

$$l_w : \underline{28.43}$$

$$\lambda_w = \frac{d}{t_w}$$

$l_{m\acute{a}x}$: Esbeltez máxima.

$$l_{m\acute{a}x} : \underline{65.92}$$

$$\lambda_{m\acute{a}x} = 70 \cdot \varepsilon$$

e : Factor de reducción.

$$e : \underline{0.94}$$

$$\varepsilon = \sqrt{\frac{f_{ref}}{f_y}}$$

Siendo:

f_{ref} : Límite elástico de referencia.

$$f_{ref} : \underline{2395.51} \text{ kp/cm}^2$$

f_y : Límite elástico. (CTE DB SE-A, Tabla 4.1)

$$f_y : \underline{2701.33} \text{ kp/cm}^2$$



Listados

DESARROLLO DE PROYECTO EJECUTIVO DE REFORMA DE LA PISCINA DEL
COLEGIO PÁLCAM

Fecha: 28/03/18

Resistencia a corte Y (CTE DB SE-A, Artículo 6.2.4)

La comprobación no procede, ya que no hay esfuerzo cortante.

Resistencia a momento flector Y y fuerza cortante Z combinados (CTE DB SE-A, Artículo 6.2.8)

No es necesario reducir la resistencia de cálculo a flexión, ya que el esfuerzo cortante solicitante de cálculo pésimo V_{Ed} no es superior al 50% de la resistencia de cálculo a cortante $V_{c,Rd}$.

$$V_{Ed} \leq \frac{V_{c,Rd}}{2}$$

$$24.988 \text{ t} \leq 46.788 \text{ t} \quad \checkmark$$

Los esfuerzos solicitantes de cálculo pésimos se producen para la combinación de acciones $1.35 \cdot PP + 1.35 \cdot CM1 + 1.35 \cdot CM2 + 1.5 \cdot Q1$.

V_{Ed} : Esfuerzo cortante solicitante de cálculo pésimo.

$$V_{Ed} : \underline{24.988} \text{ t}$$

$V_{c,Rd}$: Esfuerzo cortante resistente de cálculo.

$$V_{c,Rd} : \underline{93.577} \text{ t}$$

Resistencia a momento flector Z y fuerza cortante Y combinados (CTE DB SE-A, Artículo 6.2.8)

No hay interacción entre momento flector y esfuerzo cortante para ninguna combinación. Por lo tanto, la comprobación no procede.



Listados

DESARROLLO DE PROYECTO EJECUTIVO DE REFORMA DE LA PISCINA DEL
COLEGIO PÁLCAM

Fecha: 28/03/18

Resistencia a flexión y axil combinados (CTE DB SE-A, Artículo 6.2.8)

Se debe satisfacer:

$$\eta = \frac{N_{c,Ed}}{N_{pl,Rd}} + \frac{M_{y,Ed}}{M_{pl,Rd,y}} + \frac{M_{z,Ed}}{M_{pl,Rd,z}} \leq 1$$

$$h : \underline{0.997} \quad \checkmark$$

$$\eta = \frac{N_{c,Ed}}{\chi_y \cdot A \cdot f_{yd}} + k_y \cdot \frac{C_{m,y} \cdot M_{y,Ed}}{\chi_{LT} \cdot W_{pl,y} \cdot f_{yd}} + \alpha_z \cdot k_z \cdot \frac{C_{m,z} \cdot M_{z,Ed}}{W_{pl,z} \cdot f_{yd}} \leq 1$$

$$h : \underline{0.997} \quad \checkmark$$

$$\eta = \frac{N_{c,Ed}}{\chi_z \cdot A \cdot f_{yd}} + \alpha_y \cdot k_y \cdot \frac{C_{m,y} \cdot M_{y,Ed}}{W_{pl,y} \cdot f_{yd}} + k_z \cdot \frac{C_{m,z} \cdot M_{z,Ed}}{W_{pl,z} \cdot f_{yd}} \leq 1$$

$$h : \underline{0.785} \quad \checkmark$$

Los esfuerzos solicitantes de cálculo p^{és}imos se producen en el nudo N10,
para la combinaci3n de acciones 1.35·PP+1.35·CM1+1.35·CM2+1.5·Q1.

Donde:

$N_{c,Ed}$: Axil de compresi3n solicitante de c3lculo p^{és}imo.

$$N_{c,Ed} : \underline{262.110} \text{ t}$$

$M_{y,Ed}$, $M_{z,Ed}$: Momentos flectores solicitantes de c3lculo p^{és}imos, seg^un
los ejes Y y Z, respectivamente.

$$M_{y,Ed}^+ : \underline{54.286} \text{ t}\cdot\text{m}$$

$$M_{z,Ed}^+ : \underline{0.000} \text{ t}\cdot\text{m}$$

Clase: Clase de la secci3n, seg^un la capacidad de deformaci3n y de
desarrollo de la resistencia pl3stica de sus elementos planos, para axil y
flexi3n simple.

$$\text{Clase} : \underline{1}$$

$N_{pl,Rd}$: Resistencia a compresi3n de la secci3n bruta.

$$N_{pl,Rd} : \underline{560.847} \text{ t}$$

$M_{pl,Rd,y}$, $M_{pl,Rd,z}$: Resistencia a flexi3n de la secci3n bruta en condiciones
pl3sticas, respecto a los ejes Y y Z, respectivamente.

$$M_{pl,Rd,y} : \underline{102.445} \text{ t}\cdot\text{m}$$

$$M_{pl,Rd,z} : \underline{30.821} \text{ t}\cdot\text{m}$$

Resistencia a pandeo: (CTE DB SE-A, Art3culo 6.3.4.2)

A: 3rea de la secci3n bruta.

$$A : \underline{218.00} \text{ cm}^2$$

$W_{pl,y}$, $W_{pl,z}$: M3dulos resistentes pl3sticos correspondientes a la fibra
comprimida, alrededor de los ejes Y y Z, respectivamente.

$$W_{pl,y} : \underline{3982.00} \text{ cm}^3$$

$$W_{pl,z} : \underline{1198.00} \text{ cm}^3$$

f_{yd} : Resistencia de c3lculo del acero.

$$f_{yd} : \underline{2572.69} \text{ kp/cm}^2$$

$$f_{yd} = f_y / \gamma_{M1}$$

Siendo:

f_y : L3mite el3stico. (CTE DB SE-A, Tabla 4.1)

$$f_y : \underline{2701.33} \text{ kp/cm}^2$$

γ_{M1} : Coeficiente parcial de seguridad del material.

$$\gamma_{M1} : \underline{1.05}$$

k_y , k_z : Coeficientes de interacci3n.

$$k_y = 1 + (\bar{\lambda}_y - 0.2) \cdot \frac{N_{c,Ed}}{\chi_y \cdot N_{c,Rd}}$$

$$k_y : \underline{1.00}$$

$$k_z = 1 + (2 \cdot \bar{\lambda}_z - 0.6) \cdot \frac{N_{c,Ed}}{\chi_z \cdot N_{c,Rd}}$$

$$k_z : \underline{1.00}$$

$C_{m,y}$, $C_{m,z}$: Factores de momento flector uniforme equivalente.

$$C_{m,y} : \underline{1.00}$$

$$C_{m,z} : \underline{1.00}$$

c_y , c_z : Coeficientes de reducci3n por pandeo, alrededor de los ejes Y y
Z, respectivamente.

$$c_y : \underline{1.00}$$

$$c_z : \underline{1.00}$$

$\bar{\lambda}_y$, $\bar{\lambda}_z$: Esbelteces reducidas con valores no mayores que 1.00, en
relaci3n a los ejes Y y Z, respectivamente.

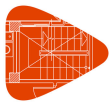
$$\bar{\lambda}_y : \underline{0.06}$$

$$\bar{\lambda}_z : \underline{0.15}$$

a_y , a_z : Factores dependientes de la clase de la secci3n.

$$a_y : \underline{0.60}$$

$$a_z : \underline{0.60}$$



Listados

DESARROLLO DE PROYECTO EJECUTIVO DE REFORMA DE LA PISCINA DEL
COLEGIO PÁLCAM

Fecha: 28/03/18

Resistencia a flexión, axil y cortante combinados (CTE DB SE-A, Artículo 6.2.8)

No es necesario reducir las resistencias de cálculo a flexión y a axil, ya que se puede ignorar el efecto de abolladura por esfuerzo cortante y, además, el esfuerzo cortante solicitante de cálculo pésimo V_{Ed} es menor o igual que el 50% del esfuerzo cortante resistente de cálculo $V_{c,Rd}$.

Los esfuerzos solicitantes de cálculo pésimos se producen para la combinación de acciones $1.35 \cdot PP + 1.35 \cdot CM1 + 1.35 \cdot CM2 + 1.5 \cdot Q1$.

$$V_{Ed,z} \leq \frac{V_{c,Rd,z}}{2}$$

$$24.988 \text{ t} \leq 46.788 \text{ t}$$



Donde:

$V_{Ed,z}$: Esfuerzo cortante solicitante de cálculo pésimo.

$$V_{Ed,z} : \underline{24.988} \text{ t}$$

$V_{c,Rd,z}$: Esfuerzo cortante resistente de cálculo.

$$V_{c,Rd,z} : \underline{93.577} \text{ t}$$

Resistencia a torsión (CTE DB SE-A, Artículo 6.2.7)

La comprobación no procede, ya que no hay momento torsor.

Resistencia a cortante Z y momento torsor combinados (CTE DB SE-A, Artículo 6.2.8)

No hay interacción entre momento torsor y esfuerzo cortante para ninguna combinación. Por lo tanto, la comprobación no procede.

Resistencia a cortante Y y momento torsor combinados (CTE DB SE-A, Artículo 6.2.8)

No hay interacción entre momento torsor y esfuerzo cortante para ninguna combinación. Por lo tanto, la comprobación no procede.



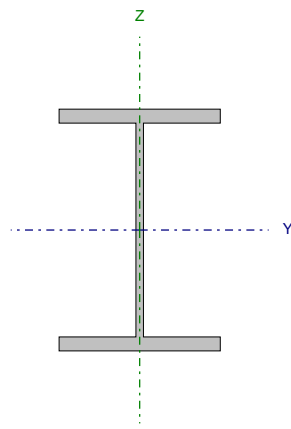
Listados

DESARROLLO DE PROYECTO EJECUTIVO DE REFORMA DE LA PISCINA DEL
COLEGIO PÁLCAM

Fecha: 28/03/18

Barra N10/N11

Perfil: HE 450 B
Material: Acero (S275)



| | Nudos | | Longitud (m) | Características mecánicas | | | |
|---|----------|-------|--------------|---------------------------|-------------------------------------|-------------------------------------|-------------------------------------|
| | Inicial | Final | | Área (cm²) | I _y ⁽¹⁾ (cm4) | I _z ⁽¹⁾ (cm4) | I _t ⁽²⁾ (cm4) |
| | N10 | N11 | 0.950 | 218.00 | 79890.00 | 11720.00 | 440.50 |
| Notas: ⁽¹⁾ Inercia respecto al eje indicado ⁽²⁾ Momento de inercia a torsión uniforme | | | | | | | |
| | Pandeo | | | Pandeo lateral | | | |
| | Plano XY | | Plano XZ | Ala sup. | Ala inf. | | |
| β | 1.00 | | 1.00 | 0.00 | 0.00 | | |
| L _K | 0.950 | | 0.950 | 0.000 | 0.000 | | |
| C _m | 1.000 | | 1.000 | 1.000 | 1.000 | | |
| C ₁ | - | | | 1.000 | | | |
| Notación: b: Coeficiente de pandeo L _K : Longitud de pandeo (m) C _m : Coeficiente de momentos C ₁ : Factor de modificación para el momento crítico | | | | | | | |

Limitación de esbeltez (CTE DB SE-A, Artículos 6.3.1 y 6.3.2.1 - Tabla 6.3)

La esbeltez reducida $\bar{\lambda}$ de las barras comprimidas debe ser inferior al valor 2.0.

$$\bar{\lambda} = \sqrt{\frac{A \cdot f_y}{N_{cr}}}$$

$\bar{\lambda}$: 0.15 ✓

Donde:

Clase: Clase de la sección, según la capacidad de deformación y de desarrollo de la resistencia plástica de los elementos planos comprimidos de una sección.

Clase : 1

A: Área de la sección bruta para las secciones de clase 1, 2 y 3.

A : 218.00 cm²

f_y: Límite elástico. (CTE DB SE-A, Tabla 4.1)

f_y : 2701.33 kp/cm²

N_{cr}: Axil crítico de pandeo elástico.

N_{cr} : 27436.609 t

El axil crítico de pandeo elástico N_{cr} es el menor de los valores obtenidos en a), b) y c):

a) Axil crítico elástico de pandeo por flexión respecto al eje Y.

N_{cr,y} : 187023.097 t

$$N_{cr,y} = \frac{\pi^2 \cdot E \cdot I_y}{L_{ky}^2}$$

b) Axil crítico elástico de pandeo por flexión respecto al eje Z.

N_{cr,z} : 27436.609 t

$$N_{cr,z} = \frac{\pi^2 \cdot E \cdot I_z}{L_{kz}^2}$$

c) Axil crítico elástico de pandeo por torsión.

N_{cr,T} : ∞

$$N_{cr,T} = \frac{1}{i_0^2} \cdot \left[G \cdot I_t + \frac{\pi^2 \cdot E \cdot I_w}{L_{kt}^2} \right]$$

Donde:

I_y: Momento de inercia de la sección bruta, respecto al eje Y.

I_y : 79890.00 cm⁴



Listados

DESARROLLO DE PROYECTO EJECUTIVO DE REFORMA DE LA PISCINA DEL
COLEGIO PÁLCAM

Fecha: 28/03/18

I_z : Momento de inercia de la sección bruta, respecto al eje Z.

I_z : 11720.00 cm⁴

I_t : Momento de inercia a torsión uniforme.

I_t : 440.50 cm⁴

I_w : Constante de alabeo de la sección.

I_w : 5258000.00 cm⁶

E: Módulo de elasticidad.

E : 2140673 kp/cm²

G: Módulo de elasticidad transversal.

G : 825688 kp/cm²

L_{ky} : Longitud efectiva de pandeo por flexión, respecto al eje Y.

L_{ky} : 0.950 m

L_{kz} : Longitud efectiva de pandeo por flexión, respecto al eje Z.

L_{kz} : 0.950 m

L_{kt} : Longitud efectiva de pandeo por torsión.

L_{kt} : 0.000 m

i_o : Radio de giro polar de la sección bruta, respecto al centro de torsión.

i_o : 20.50 cm

$$i_o = (i_y^2 + i_z^2 + y_o^2 + z_o^2)^{0.5}$$

Siendo:

i_y , i_z : Radios de giro de la sección bruta, respecto a los ejes principales de inercia Y y Z.

i_y : 19.14 cm

i_z : 7.33 cm

y_o , z_o : Coordenadas del centro de torsión en la dirección de los ejes principales Y y Z, respectivamente, relativas al centro de gravedad de la sección.

y_o : 0.00 mm

z_o : 0.00 mm

Abolladura del alma inducida por el ala comprimida (Criterio de CYPE Ingenieros, basado en: Eurocódigo 3 EN 1993-1-5: 2006, Artículo 8)

Se debe satisfacer:

$$\frac{h_w}{t_w} \leq k \frac{E}{f_{yf}} \sqrt{\frac{A_w}{A_{fc,ef}}}$$

28.43 ≤ 200.93 ✓

Donde:

h_w : Altura del alma.

h_w : 398.00 mm

t_w : Espesor del alma.

t_w : 14.00 mm

A_w : Área del alma.

A_w : 55.72 cm²

$A_{fc,ef}$: Área reducida del ala comprimida.

$A_{fc,ef}$: 78.00 cm²

k: Coeficiente que depende de la clase de la sección.

k : 0.30

E: Módulo de elasticidad.

E : 2140673 kp/cm²

f_{yf} : Límite elástico del acero del ala comprimida.

f_{yf} : 2701.33 kp/cm²

Siendo:

$$f_{yf} = f_y$$

Resistencia a tracción (CTE DB SE-A, Artículo 6.2.3)

La comprobación no procede, ya que no hay axil de tracción.



Listados

DESARROLLO DE PROYECTO EJECUTIVO DE REFORMA DE LA PISCINA DEL
COLEGIO PÁLCAM

Fecha: 28/03/18

Resistencia a compresión (CTE DB SE-A, Artículo 6.2.5)

Se debe satisfacer:

$$\eta = \frac{N_{c,Ed}}{N_{c,Rd}} \leq 1$$

h : 0.467 ✓

El esfuerzo solicitante de cálculo pésimo se produce para la combinación de acciones 1.35·PP+1.35·CM1+1.35·CM2+1.5·Q1.

$N_{c,Ed}$: Axil de compresión solicitante de cálculo pésimo.

$N_{c,Ed}$: 262.116 t

La resistencia de cálculo a compresión $N_{c,Rd}$ viene dada por:

$$N_{c,Rd} = A \cdot f_{yd}$$

$N_{c,Rd}$: 560.847 t

Donde:

Clase: Clase de la sección, según la capacidad de deformación y de desarrollo de la resistencia plástica de los elementos planos comprimidos de una sección.

Clase : 1

A: Área de la sección bruta para las secciones de clase 1, 2 y 3.

A : 218.00 cm²

f_{yd} : Resistencia de cálculo del acero.

f_{yd} : 2572.69 kp/cm²

$$f_{yd} = f_y / \gamma_{M0}$$

Siendo:

f_y : Límite elástico. (CTE DB SE-A, Tabla 4.1)

f_y : 2701.33 kp/cm²

γ_{M0} : Coeficiente parcial de seguridad del material.

γ_{M0} : 1.05

Resistencia a pandeo: (CTE DB SE-A, Artículo 6.3.2)

Para esbelteces $\lambda \leq 0.2$ se puede omitir la comprobación frente a pandeo, y comprobar únicamente la resistencia de la sección transversal.

λ : Esbeltez reducida.

λ : 0.15

$$\lambda = \sqrt{\frac{A \cdot f_y}{N_{cr}}}$$

Donde:

A: Área de la sección bruta para las secciones de clase 1, 2 y 3.

A : 218.00 cm²

f_y : Límite elástico. (CTE DB SE-A, Tabla 4.1)

f_y : 2701.33 kp/cm²

N_{cr} : Axil crítico elástico de pandeo, obtenido como el menor de los siguientes valores:

N_{cr} : 27436.609 t

$N_{cr,y}$: Axil crítico elástico de pandeo por flexión respecto al eje Y.

$N_{cr,y}$: 187023.097 t

$N_{cr,z}$: Axil crítico elástico de pandeo por flexión respecto al eje Z.

$N_{cr,z}$: 27436.609 t

$N_{cr,T}$: Axil crítico elástico de pandeo por torsión.

$N_{cr,T}$: ∞



Listados

DESARROLLO DE PROYECTO EJECUTIVO DE REFORMA DE LA PISCINA DEL
COLEGIO PÁLCAM

Fecha: 28/03/18

Resistencia a flexión eje Y (CTE DB SE-A, Artículo 6.2.6)

Se debe satisfacer:

$$\eta = \frac{M_{Ed}}{M_{c,Rd}} \leq 1$$

$$h : \underline{0.530} \quad \checkmark$$

Para flexión positiva:

El esfuerzo solicitante de cálculo pésimo se produce en el nudo N10, para la combinación de acciones 1.35·PP+1.35·CM1+1.35·CM2+1.5·Q1.

M_{Ed}^+ : Momento flector solicitante de cálculo pésimo.

$$M_{Ed}^+ : \underline{54.285} \text{ t}\cdot\text{m}$$

Para flexión negativa:

M_{Ed}^- : Momento flector solicitante de cálculo pésimo.

$$M_{Ed}^- : \underline{0.000} \text{ t}\cdot\text{m}$$

El momento flector resistente de cálculo $M_{c,Rd}$ viene dado por:

$$M_{c,Rd} = W_{pl,y} \cdot f_{yd}$$

$$M_{c,Rd} : \underline{102.445} \text{ t}\cdot\text{m}$$

Donde:

Clase: Clase de la sección, según la capacidad de deformación y de desarrollo de la resistencia plástica de los elementos planos de una sección a flexión simple.

$$\text{Clase} : \underline{1}$$

$W_{pl,y}$: Módulo resistente plástico correspondiente a la fibra con mayor tensión, para las secciones de clase 1 y 2.

$$W_{pl,y} : \underline{3982.00} \text{ cm}^3$$

f_{yd} : Resistencia de cálculo del acero.

$$f_{yd} : \underline{2572.69} \text{ kp/cm}^2$$

$$f_{yd} = f_y / \gamma_{M0}$$

Siendo:

f_y : Límite elástico. (CTE DB SE-A, Tabla 4.1)

$$f_y : \underline{2701.33} \text{ kp/cm}^2$$

γ_{M0} : Coeficiente parcial de seguridad del material.

$$\gamma_{M0} : \underline{1.05}$$

Resistencia a pandeo lateral: (CTE DB SE-A, Artículo 6.3.3.2)

No procede, dado que las longitudes de pandeo lateral son nulas.

Resistencia a flexión eje Z (CTE DB SE-A, Artículo 6.2.6)

La comprobación no procede, ya que no hay momento flector.



Listados

DESARROLLO DE PROYECTO EJECUTIVO DE REFORMA DE LA PISCINA DEL
COLEGIO PÁLCAM

Fecha: 28/03/18

Resistencia a corte Z (CTE DB SE-A, Artículo 6.2.4)

Se debe satisfacer:

$$\eta = \frac{V_{Ed}}{V_{c,Rd}} \leq 1$$

$$h : \underline{0.267} \quad \checkmark$$

El esfuerzo solicitante de cálculo pésimo se produce en el nudo N11, para la combinación de acciones 1.35·PP+1.35·CM1+1.35·CM2+1.5·Q1.

V_{Ed} : Esfuerzo cortante solicitante de cálculo pésimo.

$$V_{Ed} : \underline{24.965} \text{ t}$$

El esfuerzo cortante resistente de cálculo $V_{c,Rd}$ viene dado por:

$$V_{c,Rd} = A_v \cdot \frac{f_{yd}}{\sqrt{3}}$$

$$V_{c,Rd} : \underline{93.577} \text{ t}$$

Donde:

A_v : Área transversal a cortante.

$$A_v : \underline{63.00} \text{ cm}^2$$

$$A_v = h \cdot t_w$$

Siendo:

h : Canto de la sección.

$$h : \underline{450.00} \text{ mm}$$

t_w : Espesor del alma.

$$t_w : \underline{14.00} \text{ mm}$$

f_{yd} : Resistencia de cálculo del acero.

$$f_{yd} : \underline{2572.69} \text{ kp/cm}^2$$

$$f_{yd} = f_y / \gamma_{M0}$$

Siendo:

f_y : Límite elástico. (CTE DB SE-A, Tabla 4.1)

$$f_y : \underline{2701.33} \text{ kp/cm}^2$$

γ_{M0} : Coeficiente parcial de seguridad del material.

$$\gamma_{M0} : \underline{1.05}$$

Abolladura por cortante del alma: (CTE DB SE-A, Artículo 6.3.3.4)

Aunque no se han dispuesto rigidizadores transversales, no es necesario comprobar la resistencia a la abolladura del alma, puesto que se cumple:

$$\frac{d}{t_w} < 70 \cdot \varepsilon$$

$$28.43 < 65.92 \quad \checkmark$$

Donde:

l_w : Esbeltez del alma.

$$l_w : \underline{28.43}$$

$$\lambda_w = \frac{d}{t_w}$$

$l_{m\acute{a}x}$: Esbeltez máxima.

$$l_{m\acute{a}x} : \underline{65.92}$$

$$\lambda_{m\acute{a}x} = 70 \cdot \varepsilon$$

e : Factor de reducción.

$$e : \underline{0.94}$$

$$\varepsilon = \sqrt{\frac{f_{ref}}{f_y}}$$

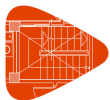
Siendo:

f_{ref} : Límite elástico de referencia.

$$f_{ref} : \underline{2395.51} \text{ kp/cm}^2$$

f_y : Límite elástico. (CTE DB SE-A, Tabla 4.1)

$$f_y : \underline{2701.33} \text{ kp/cm}^2$$



Listados

DESARROLLO DE PROYECTO EJECUTIVO DE REFORMA DE LA PISCINA DEL
COLEGIO PÁLCAM

Fecha: 28/03/18

Resistencia a corte Y (CTE DB SE-A, Artículo 6.2.4)

La comprobación no procede, ya que no hay esfuerzo cortante.

Resistencia a momento flector Y y fuerza cortante Z combinados (CTE DB SE-A, Artículo 6.2.8)

No es necesario reducir la resistencia de cálculo a flexión, ya que el esfuerzo cortante solicitante de cálculo pésimo V_{Ed} no es superior al 50% de la resistencia de cálculo a cortante $V_{c,Rd}$.

$$V_{Ed} \leq \frac{V_{c,Rd}}{2}$$

$$24.746 \text{ t} \leq 46.788 \text{ t} \quad \checkmark$$

Los esfuerzos solicitantes de cálculo pésimos se producen para la combinación de acciones $1.35 \cdot PP + 1.35 \cdot CM1 + 1.35 \cdot CM2 + 1.5 \cdot Q1$.

V_{Ed} : Esfuerzo cortante solicitante de cálculo pésimo.

$$V_{Ed} : \underline{24.746} \text{ t}$$

$V_{c,Rd}$: Esfuerzo cortante resistente de cálculo.

$$V_{c,Rd} : \underline{93.577} \text{ t}$$

Resistencia a momento flector Z y fuerza cortante Y combinados (CTE DB SE-A, Artículo 6.2.8)

No hay interacción entre momento flector y esfuerzo cortante para ninguna combinación. Por lo tanto, la comprobación no procede.



Listados

DESARROLLO DE PROYECTO EJECUTIVO DE REFORMA DE LA PISCINA DEL
COLEGIO PÁLCAM

Fecha: 28/03/18

Resistencia a flexión y axil combinados (CTE DB SE-A, Artículo 6.2.8)

Se debe satisfacer:

$$\eta = \frac{N_{c,Ed}}{N_{pl,Rd}} + \frac{M_{y,Ed}}{M_{pl,Rd,y}} + \frac{M_{z,Ed}}{M_{pl,Rd,z}} \leq 1$$

$$h : \underline{0.997} \quad \checkmark$$

$$\eta = \frac{N_{c,Ed}}{\chi_y \cdot A \cdot f_{yd}} + k_y \cdot \frac{C_{m,y} \cdot M_{y,Ed}}{\chi_{LT} \cdot W_{pl,y} \cdot f_{yd}} + \alpha_z \cdot k_z \cdot \frac{C_{m,z} \cdot M_{z,Ed}}{W_{pl,z} \cdot f_{yd}} \leq 1$$

$$h : \underline{0.997} \quad \checkmark$$

$$\eta = \frac{N_{c,Ed}}{\chi_z \cdot A \cdot f_{yd}} + \alpha_y \cdot k_y \cdot \frac{C_{m,y} \cdot M_{y,Ed}}{W_{pl,y} \cdot f_{yd}} + k_z \cdot \frac{C_{m,z} \cdot M_{z,Ed}}{W_{pl,z} \cdot f_{yd}} \leq 1$$

$$h : \underline{0.785} \quad \checkmark$$

Los esfuerzos solicitantes de cálculo pésimos se producen en el nudo N10, para la combinación de acciones 1.35·PP+1.35·CM1+1.35·CM2+1.5·Q1.

Donde:

$N_{c,Ed}$: Axil de compresión solicitante de cálculo pésimo.

$$N_{c,Ed} : \underline{262.116} \text{ t}$$

$M_{y,Ed}$, $M_{z,Ed}$: Momentos flectores solicitantes de cálculo pésimos, según los ejes Y y Z, respectivamente.

$$M_{y,Ed}^+ : \underline{54.285} \text{ t·m}$$

$$M_{z,Ed}^+ : \underline{0.000} \text{ t·m}$$

Clase: Clase de la sección, según la capacidad de deformación y de desarrollo de la resistencia plástica de sus elementos planos, para axil y flexión simple.

$$\text{Clase} : \underline{1}$$

$N_{pl,Rd}$: Resistencia a compresión de la sección bruta.

$$N_{pl,Rd} : \underline{560.847} \text{ t}$$

$M_{pl,Rd,y}$, $M_{pl,Rd,z}$: Resistencia a flexión de la sección bruta en condiciones plásticas, respecto a los ejes Y y Z, respectivamente.

$$M_{pl,Rd,y} : \underline{102.445} \text{ t·m}$$

$$M_{pl,Rd,z} : \underline{30.821} \text{ t·m}$$

Resistencia a pandeo: (CTE DB SE-A, Artículo 6.3.4.2)

A: Área de la sección bruta.

$$A : \underline{218.00} \text{ cm}^2$$

$W_{pl,y}$, $W_{pl,z}$: Módulos resistentes plásticos correspondientes a la fibra comprimida, alrededor de los ejes Y y Z, respectivamente.

$$W_{pl,y} : \underline{3982.00} \text{ cm}^3$$

$$W_{pl,z} : \underline{1198.00} \text{ cm}^3$$

f_{yd} : Resistencia de cálculo del acero.

$$f_{yd} : \underline{2572.69} \text{ kp/cm}^2$$

$$f_{yd} = f_y / \gamma_{M1}$$

Siendo:

f_y : Límite elástico. (CTE DB SE-A, Tabla 4.1)

$$f_y : \underline{2701.33} \text{ kp/cm}^2$$

γ_{M1} : Coeficiente parcial de seguridad del material.

$$\gamma_{M1} : \underline{1.05}$$

k_y , k_z : Coeficientes de interacción.

$$k_y = 1 + (\bar{\lambda}_y - 0.2) \cdot \frac{N_{c,Ed}}{\chi_y \cdot N_{c,Rd}}$$

$$k_y : \underline{1.00}$$

$$k_z = 1 + (2 \cdot \bar{\lambda}_z - 0.6) \cdot \frac{N_{c,Ed}}{\chi_z \cdot N_{c,Rd}}$$

$$k_z : \underline{1.00}$$

$C_{m,y}$, $C_{m,z}$: Factores de momento flector uniforme equivalente.

$$C_{m,y} : \underline{1.00}$$

$$C_{m,z} : \underline{1.00}$$

c_y , c_z : Coeficientes de reducción por pandeo, alrededor de los ejes Y y Z, respectivamente.

$$c_y : \underline{1.00}$$

$$c_z : \underline{1.00}$$

$\bar{\lambda}_y$, $\bar{\lambda}_z$: Esbelteces reducidas con valores no mayores que 1.00, en relación a los ejes Y y Z, respectivamente.

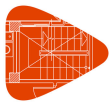
$$\bar{\lambda}_y : \underline{0.06}$$

$$\bar{\lambda}_z : \underline{0.15}$$

a_y , a_z : Factores dependientes de la clase de la sección.

$$a_y : \underline{0.60}$$

$$a_z : \underline{0.60}$$



Listados

DESARROLLO DE PROYECTO EJECUTIVO DE REFORMA DE LA PISCINA DEL
COLEGIO PÁLCAM

Fecha: 28/03/18

Resistencia a flexión, axil y cortante combinados (CTE DB SE-A, Artículo 6.2.8)

No es necesario reducir las resistencias de cálculo a flexión y a axil, ya que se puede ignorar el efecto de abolladura por esfuerzo cortante y, además, el esfuerzo cortante solicitante de cálculo pésimo V_{Ed} es menor o igual que el 50% del esfuerzo cortante resistente de cálculo $V_{c,Rd}$.

Los esfuerzos solicitantes de cálculo pésimos se producen para la combinación de acciones $1.35 \cdot PP + 1.35 \cdot CM1 + 1.35 \cdot CM2 + 1.5 \cdot Q1$.

$$V_{Ed,z} \leq \frac{V_{c,Rd,z}}{2}$$

$$24.746 \text{ t} \leq 46.788 \text{ t}$$



Donde:

$V_{Ed,z}$: Esfuerzo cortante solicitante de cálculo pésimo.

$$V_{Ed,z} : \underline{24.746} \text{ t}$$

$V_{c,Rd,z}$: Esfuerzo cortante resistente de cálculo.

$$V_{c,Rd,z} : \underline{93.577} \text{ t}$$

Resistencia a torsión (CTE DB SE-A, Artículo 6.2.7)

La comprobación no procede, ya que no hay momento torsor.

Resistencia a cortante Z y momento torsor combinados (CTE DB SE-A, Artículo 6.2.8)

No hay interacción entre momento torsor y esfuerzo cortante para ninguna combinación. Por lo tanto, la comprobación no procede.

Resistencia a cortante Y y momento torsor combinados (CTE DB SE-A, Artículo 6.2.8)

No hay interacción entre momento torsor y esfuerzo cortante para ninguna combinación. Por lo tanto, la comprobación no procede.



Listados

DESARROLLO DE PROYECTO EJECUTIVO DE REFORMA DE LA PISCINA DEL
COLEGIO PÁLCAM

Fecha: 28/03/18

I_z : Momento de inercia de la sección bruta, respecto al eje Z.

$$I_z : \underline{861.33} \text{ cm}^4$$

I_t : Momento de inercia a torsión uniforme.

$$I_t : \underline{1225.11} \text{ cm}^4$$

I_w : Constante de alabeo de la sección.

$$I_w : \underline{0.00} \text{ cm}^6$$

E: Módulo de elasticidad.

$$E : \underline{2140673} \text{ kp/cm}^2$$

G: Módulo de elasticidad transversal.

$$G : \underline{825688} \text{ kp/cm}^2$$

L_{ky} : Longitud efectiva de pandeo por flexión, respecto al eje Y.

$$L_{ky} : \underline{0.600} \text{ m}$$

L_{kz} : Longitud efectiva de pandeo por flexión, respecto al eje Z.

$$L_{kz} : \underline{0.600} \text{ m}$$

L_{kt} : Longitud efectiva de pandeo por torsión.

$$L_{kt} : \underline{0.000} \text{ m}$$

i_o : Radio de giro polar de la sección bruta, respecto al centro de torsión.

$$i_o : \underline{6.43} \text{ cm}$$

$$i_o = (i_y^2 + i_z^2 + y_o^2 + z_o^2)^{0.5}$$

Siendo:

i_y, i_z : Radios de giro de la sección bruta, respecto a los ejes principales de inercia Y y Z.

$$i_y : \underline{4.45} \text{ cm}$$

$$i_z : \underline{4.64} \text{ cm}$$

y_o, z_o : Coordenadas del centro de torsión en la dirección de los ejes principales Y y Z, respectivamente, relativas al centro de gravedad de la sección.

$$y_o : \underline{0.00} \text{ mm}$$

$$z_o : \underline{0.00} \text{ mm}$$

Abolladura del alma inducida por el ala comprimida (Criterio de CYPE Ingenieros, basado en: Eurocódigo 3 EN 1993-1-5: 2006, Artículo 8)

Se debe satisfacer:

$$\frac{h_w}{t_w} \leq k \frac{E}{f_{yf}} \sqrt{\frac{A_w}{A_{fc,ef}}}$$

$$10.40 \leq 337.21 \quad \checkmark$$

Donde:

h_w : Altura del alma.

$$h_w : \underline{104.00} \text{ mm}$$

t_w : Espesor del alma.

$$t_w : \underline{10.00} \text{ mm}$$

A_w : Área del alma.

$$A_w : \underline{20.80} \text{ cm}^2$$

$A_{fc,ef}$: Área reducida del ala comprimida.

$$A_{fc,ef} : \underline{9.60} \text{ cm}^2$$

k: Coeficiente que depende de la clase de la sección.

$$k : \underline{0.30}$$

E: Módulo de elasticidad.

$$E : \underline{2140673} \text{ kp/cm}^2$$

f_{yf} : Límite elástico del acero del ala comprimida.

$$f_{yf} : \underline{2803.26} \text{ kp/cm}^2$$

Siendo:

$$f_{yf} = f_y$$

Resistencia a tracción (CTE DB SE-A, Artículo 6.2.3)

La comprobación no procede, ya que no hay axil de tracción.



Listados

DESARROLLO DE PROYECTO EJECUTIVO DE REFORMA DE LA PISCINA DEL
COLEGIO PÁLCAM

Fecha: 28/03/18

Resistencia a compresión (CTE DB SE-A, Artículo 6.2.5)

Se debe satisfacer:

$$\eta = \frac{N_{c,Ed}}{N_{c,Rd}} \leq 1$$

h : 0.300 ✓

El esfuerzo solicitante de cálculo pésimo se produce en el nudo N22, para la combinación de acciones 1.35·PP+1.35·CM1+1.35·CM2+1.5·Q1.

$N_{c,Ed}$: Axil de compresión solicitante de cálculo pésimo.

$N_{c,Ed}$: 32.001 t

La resistencia de cálculo a compresión $N_{c,Rd}$ viene dada por:

$$N_{c,Rd} = A \cdot f_{yd}$$

$N_{c,Rd}$: 106.791 t

Donde:

Clase: Clase de la sección, según la capacidad de deformación y de desarrollo de la resistencia plástica de los elementos planos comprimidos de una sección.

Clase : 1

A: Área de la sección bruta para las secciones de clase 1, 2 y 3.

A : 40.00 cm²

f_{yd} : Resistencia de cálculo del acero.

f_{yd} : 2669.77 kp/cm²

$$f_{yd} = f_y / \gamma_{M0}$$

Siendo:

f_y : Límite elástico. (CTE DB SE-A, Tabla 4.1)

f_y : 2803.26 kp/cm²

γ_{M0} : Coeficiente parcial de seguridad del material.

γ_{M0} : 1.05

Resistencia a pandeo: (CTE DB SE-A, Artículo 6.3.2)

Para esbelteces $\lambda \leq 0.2$ se puede omitir la comprobación frente a pandeo, y comprobar únicamente la resistencia de la sección transversal.

λ : Esbeltez reducida.

λ : 0.16

$$\lambda = \sqrt{\frac{A \cdot f_y}{N_{cr}}}$$

Donde:

A: Área de la sección bruta para las secciones de clase 1, 2 y 3.

A : 40.00 cm²

f_y : Límite elástico. (CTE DB SE-A, Tabla 4.1)

f_y : 2803.26 kp/cm²

N_{cr} : Axil crítico elástico de pandeo, obtenido como el menor de los siguientes valores:

N_{cr} : 4639.933 t

$N_{cr,y}$: Axil crítico elástico de pandeo por flexión respecto al eje Y.

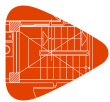
$N_{cr,y}$: 4639.933 t

$N_{cr,z}$: Axil crítico elástico de pandeo por flexión respecto al eje Z.

$N_{cr,z}$: 5054.972 t

$N_{cr,T}$: Axil crítico elástico de pandeo por torsión.

$N_{cr,T}$: ∞



Listados

DESARROLLO DE PROYECTO EJECUTIVO DE REFORMA DE LA PISCINA DEL
COLEGIO PÀLCAM

Fecha: 28/03/18

Resistencia a flexión eje Y (CTE DB SE-A, Artículo 6.2.6)

Se debe satisfacer:

$$\eta = \frac{M_{Ed}}{M_{c,Rd}} \leq 1$$

$$h : \underline{0.550} \quad \checkmark$$

Para flexión positiva:

M_{Ed}^+ : Momento flector solicitante de cálculo pésimo.

$$M_{Ed}^+ : \underline{0.000} \text{ t}\cdot\text{m}$$

Para flexión negativa:

El esfuerzo solicitante de cálculo pésimo se produce en el nudo N14, para la combinación de acciones $1.35 \cdot PP + 1.35 \cdot CM1 + 1.35 \cdot CM2 + 1.5 \cdot Q1$.

M_{Ed}^- : Momento flector solicitante de cálculo pésimo.

$$M_{Ed}^- : \underline{2.374} \text{ t}\cdot\text{m}$$

El momento flector resistente de cálculo $M_{c,Rd}$ viene dado por:

$$M_{c,Rd} = W_{pl,y} \cdot f_{yd}$$

$$M_{c,Rd} : \underline{4.314} \text{ t}\cdot\text{m}$$

Donde:

Clase: Clase de la sección, según la capacidad de deformación y de desarrollo de la resistencia plástica de los elementos planos de una sección a flexión simple.

$$\text{Clase} : \underline{1}$$

$W_{pl,y}$: Módulo resistente plástico correspondiente a la fibra con mayor tensión, para las secciones de clase 1 y 2.

$$W_{pl,y} : \underline{161.60} \text{ cm}^3$$

f_{yd} : Resistencia de cálculo del acero.

$$f_{yd} : \underline{2669.77} \text{ kp/cm}^2$$

$$f_{yd} = f_y / \gamma_{M0}$$

Siendo:

f_y : Límite elástico. (CTE DB SE-A, Tabla 4.1)

$$f_y : \underline{2803.26} \text{ kp/cm}^2$$

γ_{M0} : Coeficiente parcial de seguridad del material.

$$\gamma_{M0} : \underline{1.05}$$

Resistencia a flexión eje Z (CTE DB SE-A, Artículo 6.2.6)

La comprobación no procede, ya que no hay momento flector.



Listados

DESARROLLO DE PROYECTO EJECUTIVO DE REFORMA DE LA PISCINA DEL
COLEGIO PÁLCAM

Fecha: 28/03/18

Resistencia a corte Z (CTE DB SE-A, Artículo 6.2.4)

Se debe satisfacer:

$$\eta = \frac{V_{Ed}}{V_{c,Rd}} \leq 1$$

$$h : \underline{0.246} \quad \checkmark$$

El esfuerzo solicitante de cálculo pésimo se produce para la combinación de acciones 1.35·PP+1.35·CM1+1.35·CM2+1.5·Q1.

V_{Ed} : Esfuerzo cortante solicitante de cálculo pésimo.

$$V_{Ed} : \underline{7.886} \text{ t}$$

El esfuerzo cortante resistente de cálculo $V_{c,Rd}$ viene dado por:

$$V_{c,Rd} = A_v \cdot \frac{f_{yd}}{\sqrt{3}}$$

$$V_{c,Rd} : \underline{32.061} \text{ t}$$

Donde:

A_v : Área transversal a cortante.

$$A_v : \underline{20.80} \text{ cm}^2$$

$$A_v = 2 \cdot d \cdot t_w$$

Siendo:

d : Altura del alma.

$$d : \underline{104.00} \text{ mm}$$

t_w : Espesor del alma.

$$t_w : \underline{10.00} \text{ mm}$$

f_{yd} : Resistencia de cálculo del acero.

$$f_{yd} : \underline{2669.77} \text{ kp/cm}^2$$

$$f_{yd} = f_y / \gamma_{M0}$$

Siendo:

f_y : Límite elástico. (CTE DB SE-A, Tabla 4.1)

$$f_y : \underline{2803.26} \text{ kp/cm}^2$$

γ_{M0} : Coeficiente parcial de seguridad del material.

$$\gamma_{M0} : \underline{1.05}$$

Abolladura por cortante del alma: (CTE DB SE-A, Artículo 6.3.3.4)

Aunque no se han dispuesto rigidizadores transversales, no es necesario comprobar la resistencia a la abolladura del alma, puesto que se cumple:

$$\frac{d}{t_w} < 70 \cdot \varepsilon$$

$$10.40 < 64.71 \quad \checkmark$$

Donde:

l_w : Esbeltez del alma.

$$l_w : \underline{10.40}$$

$$\lambda_w = \frac{d}{t_w}$$

$l_{m\acute{a}x}$: Esbeltez máxima.

$$l_{m\acute{a}x} : \underline{64.71}$$

$$\lambda_{m\acute{a}x} = 70 \cdot \varepsilon$$

e : Factor de reducción.

$$e : \underline{0.92}$$

$$\varepsilon = \sqrt{\frac{f_{ref}}{f_y}}$$

Siendo:

f_{ref} : Límite elástico de referencia.

$$f_{ref} : \underline{2395.51} \text{ kp/cm}^2$$

f_y : Límite elástico. (CTE DB SE-A, Tabla 4.1)

$$f_y : \underline{2803.26} \text{ kp/cm}^2$$



Listados

DESARROLLO DE PROYECTO EJECUTIVO DE REFORMA DE LA PISCINA DEL
COLEGIO PÁLCAM

Fecha: 28/03/18

Resistencia a corte Y (CTE DB SE-A, Artículo 6.2.4)

La comprobación no procede, ya que no hay esfuerzo cortante.

Resistencia a momento flector Y y fuerza cortante Z combinados (CTE DB SE-A, Artículo 6.2.8)

No es necesario reducir la resistencia de cálculo a flexión, ya que el esfuerzo cortante solicitante de cálculo pésimo V_{Ed} no es superior al 50% de la resistencia de cálculo a cortante $V_{c,Rd}$.

$$V_{Ed} \leq \frac{V_{c,Rd}}{2}$$

$$7.886 \text{ t} \leq 16.031 \text{ t} \quad \checkmark$$

Los esfuerzos solicitantes de cálculo pésimos se producen para la combinación de acciones 1.35·PP+1.35·CM1+1.35·CM2+1.5·Q1.

V_{Ed} : Esfuerzo cortante solicitante de cálculo pésimo.

$$V_{Ed} : \underline{7.886} \text{ t}$$

$V_{c,Rd}$: Esfuerzo cortante resistente de cálculo.

$$V_{c,Rd} : \underline{32.061} \text{ t}$$

Resistencia a momento flector Z y fuerza cortante Y combinados (CTE DB SE-A, Artículo 6.2.8)

No hay interacción entre momento flector y esfuerzo cortante para ninguna combinación. Por lo tanto, la comprobación no procede.



Listados

DESARROLLO DE PROYECTO EJECUTIVO DE REFORMA DE LA PISCINA DEL
COLEGIO PÁLCAM

Fecha: 28/03/18

Resistencia a flexión y axil combinados (CTE DB SE-A, Artículo 6.2.8)

Se debe satisfacer:

$$\eta = \frac{N_{c,Ed}}{N_{pl,Rd}} + \frac{M_{y,Ed}}{M_{pl,Rd,y}} + \frac{M_{z,Ed}}{M_{pl,Rd,z}} \leq 1$$

$$h : \underline{0.850} \quad \checkmark$$

$$\eta = \frac{N_{c,Ed}}{\chi_y \cdot A \cdot f_{yd}} + k_y \cdot \frac{C_{m,y} \cdot M_{y,Ed}}{\chi_{LT} \cdot W_{pl,y} \cdot f_{yd}} + \alpha_z \cdot k_z \cdot \frac{C_{m,z} \cdot M_{z,Ed}}{W_{pl,z} \cdot f_{yd}} \leq 1$$

$$h : \underline{0.850} \quad \checkmark$$

$$\eta = \frac{N_{c,Ed}}{\chi_z \cdot A \cdot f_{yd}} + \alpha_y \cdot k_y \cdot \frac{C_{m,y} \cdot M_{y,Ed}}{W_{pl,y} \cdot f_{yd}} + k_z \cdot \frac{C_{m,z} \cdot M_{z,Ed}}{W_{pl,z} \cdot f_{yd}} \leq 1$$

$$h : \underline{0.630} \quad \checkmark$$

Los esfuerzos solicitantes de cálculo p^{és}imos se producen en el nudo N14,
para la combinaci3n de acciones 1.35·PP+1.35·CM1+1.35·CM2+1.5·Q1.

Donde:

$N_{c,Ed}$: Axil de compresi3n solicitante de c3lculo p^{és}imo.

$$N_{c,Ed} : \underline{31.975} \quad t$$

$M_{y,Ed}$, $M_{z,Ed}$: Momentos flectores solicitantes de c3lculo p^{és}imos, seg^{un}
los ejes Y y Z, respectivamente.

$$M_{y,Ed} : \underline{2.374} \quad t \cdot m$$

$$M_{z,Ed} : \underline{0.000} \quad t \cdot m$$

Clase: Clase de la secci3n, seg^{un} la capacidad de deformaci3n y de
desarrollo de la resistencia pl3stica de sus elementos planos, para axil y
flexi3n simple.

$$\text{Clase} : \underline{1}$$

$N_{pl,Rd}$: Resistencia a compresi3n de la secci3n bruta.

$$N_{pl,Rd} : \underline{106.791} \quad t$$

$M_{pl,Rd,y}$, $M_{pl,Rd,z}$: Resistencia a flexi3n de la secci3n bruta en condiciones
pl3sticas, respecto a los ejes Y y Z, respectivamente.

$$M_{pl,Rd,y} : \underline{4.314} \quad t \cdot m$$

$$M_{pl,Rd,z} : \underline{4.592} \quad t \cdot m$$

Resistencia a pandeo: (CTE DB SE-A, Art3culo 6.3.4.2)

A: 3rea de la secci3n bruta.

$$A : \underline{40.00} \quad cm^2$$

$W_{pl,y}$, $W_{pl,z}$: M3dulos resistentes pl3sticos correspondientes a la fibra
compresionada, alrededor de los ejes Y y Z, respectivamente.

$$W_{pl,y} : \underline{161.60} \quad cm^3$$

$$W_{pl,z} : \underline{172.00} \quad cm^3$$

f_{yd} : Resistencia de c3lculo del acero.

$$f_{yd} : \underline{2669.77} \quad kp/cm^2$$

$$f_{yd} = f_y / \gamma_{M1}$$

Siendo:

f_y : L3mite el3stico. (CTE DB SE-A, Tabla 4.1)

$$f_y : \underline{2803.26} \quad kp/cm^2$$

γ_{M1} : Coeficiente parcial de seguridad del material.

$$\gamma_{M1} : \underline{1.05}$$

k_y , k_z : Coeficientes de interacci3n.

$$k_y = 1 + (\bar{\lambda}_y - 0.2) \cdot \frac{N_{c,Ed}}{\chi_y \cdot N_{c,Rd}}$$

$$k_y : \underline{1.00}$$

$$k_z = 1 + (\bar{\lambda}_z - 0.2) \cdot \frac{N_{c,Ed}}{\chi_z \cdot N_{c,Rd}}$$

$$k_z : \underline{1.00}$$

$C_{m,y}$, $C_{m,z}$: Factores de momento flector uniforme equivalente.

$$C_{m,y} : \underline{1.00}$$

$$C_{m,z} : \underline{1.00}$$

c_y , c_z : Coeficientes de reducci3n por pandeo, alrededor de los ejes Y y
Z, respectivamente.

$$c_y : \underline{1.00}$$

$$c_z : \underline{1.00}$$

$\bar{\lambda}_y$, $\bar{\lambda}_z$: Esbelteces reducidas con valores no mayores que 1.00, en
relaci3n a los ejes Y y Z, respectivamente.

$$\bar{\lambda}_y : \underline{0.16}$$

$$\bar{\lambda}_z : \underline{0.15}$$

a_y , a_z : Factores dependientes de la clase de la secci3n.

$$a_y : \underline{0.60}$$

$$a_z : \underline{0.60}$$



Listados

DESARROLLO DE PROYECTO EJECUTIVO DE REFORMA DE LA PISCINA DEL
COLEGIO PÁLCAM

Fecha: 28/03/18

Resistencia a flexión, axil y cortante combinados (CTE DB SE-A, Artículo 6.2.8)

No es necesario reducir las resistencias de cálculo a flexión y a axil, ya que se puede ignorar el efecto de abolladura por esfuerzo cortante y, además, el esfuerzo cortante solicitante de cálculo pésimo V_{Ed} es menor o igual que el 50% del esfuerzo cortante resistente de cálculo $V_{c,Rd}$.

Los esfuerzos solicitantes de cálculo pésimos se producen para la combinación de acciones $1.35 \cdot PP + 1.35 \cdot CM1 + 1.35 \cdot CM2 + 1.5 \cdot Q1$.

$$V_{Ed,z} \leq \frac{V_{c,Rd,z}}{2}$$

$$7.886 \text{ t} \leq 16.031 \text{ t} \quad \checkmark$$

Donde:

$V_{Ed,z}$: Esfuerzo cortante solicitante de cálculo pésimo.

$$V_{Ed,z} : \frac{7.886}{t}$$

$V_{c,Rd,z}$: Esfuerzo cortante resistente de cálculo.

$$V_{c,Rd,z} : \frac{32.061}{t}$$

Resistencia a torsión (CTE DB SE-A, Artículo 6.2.7)

La comprobación no procede, ya que no hay momento torsor.

Resistencia a cortante Z y momento torsor combinados (CTE DB SE-A, Artículo 6.2.8)

No hay interacción entre momento torsor y esfuerzo cortante para ninguna combinación. Por lo tanto, la comprobación no procede.

Resistencia a cortante Y y momento torsor combinados (CTE DB SE-A, Artículo 6.2.8)

No hay interacción entre momento torsor y esfuerzo cortante para ninguna combinación. Por lo tanto, la comprobación no procede.

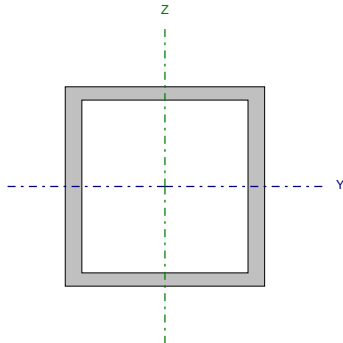


Listados

DESARROLLO DE PROYECTO EJECUTIVO DE REFORMA DE LA PISCINA DEL
COLEGIO PÁLCAM

Fecha: 28/03/18

Barra N5/N6

| Perfil: CA 120x10x120x8 Material: Acero (S275) | | | | | | | |
|---|---|----------|-----------------|---------------------------|--|--|--|
|  | Nudos | | Longitud (m) | Características mecánicas | | | |
| | Inicial | Final | | Área (cm²) | I _y ⁽¹⁾ (cm4) | I _z ⁽¹⁾ (cm4) | I _t ⁽²⁾ (cm4) |
| | N5 | N6 | 0.600 | 40.00 | 790.61 | 861.33 | 1225.11 |
| | Notas: (1) Inercia respecto al eje indicado (2) Momento de inercia a torsión uniforme | | | | | | |
| | | Pandeo | | Pandeo lateral | | | |
| | | Plano XY | Plano XZ | Ala sup. | Ala inf. | | |
| | β | 1.00 | 1.00 | 0.00 | 0.00 | | |
| | L _K | 0.600 | 0.600 | 0.000 | 0.000 | | |
| | C _m | 1.000 | 1.000 | 1.000 | 1.000 | | |
| | C ₁ | - | | 1.000 | | | |
| Notación: b: Coeficiente de pandeo L _K : Longitud de pandeo (m) C _m : Coeficiente de momentos C ₁ : Factor de modificación para el momento crítico | | | | | | | |

Limitación de esbeltez (CTE DB SE-A, Artículos 6.3.1 y 6.3.2.1 - Tabla 6.3)

La esbeltez reducida $\bar{\lambda}$ de las barras comprimidas debe ser inferior al valor 2.0.

$$\bar{\lambda} = \sqrt{\frac{A \cdot f_y}{N_{cr}}}$$

$\bar{\lambda}$: 0.16 ✓

Donde:

Clase: Clase de la sección, según la capacidad de deformación y de desarrollo de la resistencia plástica de los elementos planos comprimidos de una sección.

Clase : 1

A: Área de la sección bruta para las secciones de clase 1, 2 y 3.

A : 40.00 cm²

f_y: Límite elástico. (CTE DB SE-A, Tabla 4.1)

f_y : 2803.26 kp/cm²

N_{cr}: Axil crítico de pandeo elástico.

N_{cr} : 4639.933 t

El axil crítico de pandeo elástico N_{cr} es el menor de los valores obtenidos en a), b) y c):

a) Axil crítico elástico de pandeo por flexión respecto al eje Y.

N_{cr,y} : 4639.933 t

$$N_{cr,y} = \frac{\pi^2 \cdot E \cdot I_y}{L_{ky}^2}$$

b) Axil crítico elástico de pandeo por flexión respecto al eje Z.

N_{cr,z} : 5054.972 t

$$N_{cr,z} = \frac{\pi^2 \cdot E \cdot I_z}{L_{kz}^2}$$

c) Axil crítico elástico de pandeo por torsión.

N_{cr,T} : ∞

$$N_{cr,T} = \frac{1}{i_0^2} \cdot \left[G \cdot I_t + \frac{\pi^2 \cdot E \cdot I_w}{L_{kt}^2} \right]$$

Donde:

I_y: Momento de inercia de la sección bruta, respecto al eje Y.

I_y : 790.61 cm⁴



Listados

DESARROLLO DE PROYECTO EJECUTIVO DE REFORMA DE LA PISCINA DEL
COLEGIO PÁLCAM

Fecha: 28/03/18

I_z : Momento de inercia de la sección bruta, respecto al eje Z.

$$I_z : \underline{861.33} \text{ cm}^4$$

I_t : Momento de inercia a torsión uniforme.

$$I_t : \underline{1225.11} \text{ cm}^4$$

I_w : Constante de alabeo de la sección.

$$I_w : \underline{0.00} \text{ cm}^6$$

E: Módulo de elasticidad.

$$E : \underline{2140673} \text{ kp/cm}^2$$

G: Módulo de elasticidad transversal.

$$G : \underline{825688} \text{ kp/cm}^2$$

L_{ky} : Longitud efectiva de pandeo por flexión, respecto al eje Y.

$$L_{ky} : \underline{0.600} \text{ m}$$

L_{kz} : Longitud efectiva de pandeo por flexión, respecto al eje Z.

$$L_{kz} : \underline{0.600} \text{ m}$$

L_{kt} : Longitud efectiva de pandeo por torsión.

$$L_{kt} : \underline{0.000} \text{ m}$$

i_o : Radio de giro polar de la sección bruta, respecto al centro de torsión.

$$i_o : \underline{6.43} \text{ cm}$$

$$i_o = (i_y^2 + i_z^2 + y_o^2 + z_o^2)^{0.5}$$

Siendo:

i_y , i_z : Radios de giro de la sección bruta, respecto a los ejes principales de inercia Y y Z.

$$i_y : \underline{4.45} \text{ cm}$$

$$i_z : \underline{4.64} \text{ cm}$$

y_o , z_o : Coordenadas del centro de torsión en la dirección de los ejes principales Y y Z, respectivamente, relativas al centro de gravedad de la sección.

$$y_o : \underline{0.00} \text{ mm}$$

$$z_o : \underline{0.00} \text{ mm}$$

Abolladura del alma inducida por el ala comprimida (Criterio de CYPE Ingenieros, basado en: Eurocódigo 3 EN 1993-1-5: 2006, Artículo 8)

Se debe satisfacer:

$$\frac{h_w}{t_w} \leq k \frac{E}{f_{yf}} \sqrt{\frac{A_w}{A_{fc,ef}}}$$

$$10.40 \leq 337.21 \quad \checkmark$$

Donde:

h_w : Altura del alma.

$$h_w : \underline{104.00} \text{ mm}$$

t_w : Espesor del alma.

$$t_w : \underline{10.00} \text{ mm}$$

A_w : Área del alma.

$$A_w : \underline{20.80} \text{ cm}^2$$

$A_{fc,ef}$: Área reducida del ala comprimida.

$$A_{fc,ef} : \underline{9.60} \text{ cm}^2$$

k: Coeficiente que depende de la clase de la sección.

$$k : \underline{0.30}$$

E: Módulo de elasticidad.

$$E : \underline{2140673} \text{ kp/cm}^2$$

f_{yf} : Límite elástico del acero del ala comprimida.

$$f_{yf} : \underline{2803.26} \text{ kp/cm}^2$$

Siendo:

$$f_{yf} = f_y$$

Resistencia a tracción (CTE DB SE-A, Artículo 6.2.3)

La comprobación no procede, ya que no hay axil de tracción.



Listados

DESARROLLO DE PROYECTO EJECUTIVO DE REFORMA DE LA PISCINA DEL
COLEGIO PÁLCAM

Fecha: 28/03/18

Resistencia a compresión (CTE DB SE-A, Artículo 6.2.5)

Se debe satisfacer:

$$\eta = \frac{N_{c,Ed}}{N_{c,Rd}} \leq 1$$

h : 0.300 ✓

El esfuerzo solicitante de cálculo pésimo se produce en el nudo N5, para la combinación de acciones 1.35·PP+1.35·CM1+1.35·CM2+1.5·Q1.

$N_{c,Ed}$: Axil de compresión solicitante de cálculo pésimo.

$N_{c,Ed}$: 32.087 t

La resistencia de cálculo a compresión $N_{c,Rd}$ viene dada por:

$$N_{c,Rd} = A \cdot f_{yd}$$

$N_{c,Rd}$: 106.791 t

Donde:

Clase: Clase de la sección, según la capacidad de deformación y de desarrollo de la resistencia plástica de los elementos planos comprimidos de una sección.

Clase : 1

A: Área de la sección bruta para las secciones de clase 1, 2 y 3.

A : 40.00 cm²

f_{yd} : Resistencia de cálculo del acero.

f_{yd} : 2669.77 kp/cm²

$$f_{yd} = f_y / \gamma_{M0}$$

Siendo:

f_y : Límite elástico. (CTE DB SE-A, Tabla 4.1)

f_y : 2803.26 kp/cm²

γ_{M0} : Coeficiente parcial de seguridad del material.

γ_{M0} : 1.05

Resistencia a pandeo: (CTE DB SE-A, Artículo 6.3.2)

Para esbelteces $\lambda \leq 0.2$ se puede omitir la comprobación frente a pandeo, y comprobar únicamente la resistencia de la sección transversal.

λ : Esbeltez reducida.

λ : 0.16

$$\lambda = \sqrt{\frac{A \cdot f_y}{N_{cr}}}$$

Donde:

A: Área de la sección bruta para las secciones de clase 1, 2 y 3.

A : 40.00 cm²

f_y : Límite elástico. (CTE DB SE-A, Tabla 4.1)

f_y : 2803.26 kp/cm²

N_{cr} : Axil crítico elástico de pandeo, obtenido como el menor de los siguientes valores:

N_{cr} : 4639.933 t

$N_{cr,y}$: Axil crítico elástico de pandeo por flexión respecto al eje Y.

$N_{cr,y}$: 4639.933 t

$N_{cr,z}$: Axil crítico elástico de pandeo por flexión respecto al eje Z.

$N_{cr,z}$: 5054.972 t

$N_{cr,T}$: Axil crítico elástico de pandeo por torsión.

$N_{cr,T}$: ∞



Listados

DESARROLLO DE PROYECTO EJECUTIVO DE REFORMA DE LA PISCINA DEL
COLEGIO PÀLCAM

Fecha: 28/03/18

Resistencia a flexión eje Y (CTE DB SE-A, Artículo 6.2.6)

Se debe satisfacer:

$$\eta = \frac{M_{Ed}}{M_{c,Rd}} \leq 1$$

$$h : \underline{0.549} \quad \checkmark$$

Para flexión positiva:

El esfuerzo solicitante de cálculo pésimo se produce en el nudo N6, para la combinación de acciones 1.35·PP+1.35·CM1+1.35·CM2+1.5·Q1.

M_{Ed}^+ : Momento flector solicitante de cálculo pésimo.

$$M_{Ed}^+ : \underline{2.369} \text{ t·m}$$

Para flexión negativa:

M_{Ed}^- : Momento flector solicitante de cálculo pésimo.

$$M_{Ed}^- : \underline{0.000} \text{ t·m}$$

El momento flector resistente de cálculo $M_{c,Rd}$ viene dado por:

$$M_{c,Rd} = W_{pl,y} \cdot f_{yd}$$

$$M_{c,Rd} : \underline{4.314} \text{ t·m}$$

Donde:

Clase: Clase de la sección, según la capacidad de deformación y de desarrollo de la resistencia plástica de los elementos planos de una sección a flexión simple.

$$\text{Clase} : \underline{1}$$

$W_{pl,y}$: Módulo resistente plástico correspondiente a la fibra con mayor tensión, para las secciones de clase 1 y 2.

$$W_{pl,y} : \underline{161.60} \text{ cm}^3$$

f_{yd} : Resistencia de cálculo del acero.

$$f_{yd} : \underline{2669.77} \text{ kp/cm}^2$$

$$f_{yd} = f_y / \gamma_{M0}$$

Siendo:

f_y : Límite elástico. (CTE DB SE-A, Tabla 4.1)

$$f_y : \underline{2803.26} \text{ kp/cm}^2$$

γ_{M0} : Coeficiente parcial de seguridad del material.

$$\gamma_{M0} : \underline{1.05}$$

Resistencia a flexión eje Z (CTE DB SE-A, Artículo 6.2.6)

La comprobación no procede, ya que no hay momento flector.



Listados

DESARROLLO DE PROYECTO EJECUTIVO DE REFORMA DE LA PISCINA DEL
COLEGIO PÁLCAM

Fecha: 28/03/18

Resistencia a corte Z (CTE DB SE-A, Artículo 6.2.4)

Se debe satisfacer:

$$\eta = \frac{V_{Ed}}{V_{c,Rd}} \leq 1$$

$$h : \underline{0.245} \quad \checkmark$$

El esfuerzo solicitante de cálculo pésimo se produce para la combinación de acciones 1.35·PP+1.35·CM1+1.35·CM2+1.5·Q1.

V_{Ed} : Esfuerzo cortante solicitante de cálculo pésimo.

$$V_{Ed} : \underline{7.867} \text{ t}$$

El esfuerzo cortante resistente de cálculo $V_{c,Rd}$ viene dado por:

$$V_{c,Rd} = A_v \cdot \frac{f_{yd}}{\sqrt{3}}$$

$$V_{c,Rd} : \underline{32.061} \text{ t}$$

Donde:

A_v : Área transversal a cortante.

$$A_v : \underline{20.80} \text{ cm}^2$$

$$A_v = 2 \cdot d \cdot t_w$$

Siendo:

d : Altura del alma.

$$d : \underline{104.00} \text{ mm}$$

t_w : Espesor del alma.

$$t_w : \underline{10.00} \text{ mm}$$

f_{yd} : Resistencia de cálculo del acero.

$$f_{yd} : \underline{2669.77} \text{ kp/cm}^2$$

$$f_{yd} = f_y / \gamma_{M0}$$

Siendo:

f_y : Límite elástico. (CTE DB SE-A, Tabla 4.1)

$$f_y : \underline{2803.26} \text{ kp/cm}^2$$

γ_{M0} : Coeficiente parcial de seguridad del material.

$$\gamma_{M0} : \underline{1.05}$$

Abolladura por cortante del alma: (CTE DB SE-A, Artículo 6.3.3.4)

Aunque no se han dispuesto rigidizadores transversales, no es necesario comprobar la resistencia a la abolladura del alma, puesto que se cumple:

$$\frac{d}{t_w} < 70 \cdot \varepsilon$$

$$10.40 < 64.71 \quad \checkmark$$

Donde:

l_w : Esbeltez del alma.

$$l_w : \underline{10.40}$$

$$\lambda_w = \frac{d}{t_w}$$

$l_{m\acute{a}x}$: Esbeltez máxima.

$$l_{m\acute{a}x} : \underline{64.71}$$

$$\lambda_{m\acute{a}x} = 70 \cdot \varepsilon$$

ε : Factor de reducción.

$$\varepsilon : \underline{0.92}$$

$$\varepsilon = \sqrt{\frac{f_{ref}}{f_y}}$$

Siendo:

f_{ref} : Límite elástico de referencia.

$$f_{ref} : \underline{2395.51} \text{ kp/cm}^2$$

f_y : Límite elástico. (CTE DB SE-A, Tabla 4.1)

$$f_y : \underline{2803.26} \text{ kp/cm}^2$$



Listados

DESARROLLO DE PROYECTO EJECUTIVO DE REFORMA DE LA PISCINA DEL
COLEGIO PÁLCAM

Fecha: 28/03/18

Resistencia a corte Y (CTE DB SE-A, Artículo 6.2.4)

La comprobación no procede, ya que no hay esfuerzo cortante.

Resistencia a momento flector Y y fuerza cortante Z combinados (CTE DB SE-A, Artículo 6.2.8)

No es necesario reducir la resistencia de cálculo a flexión, ya que el esfuerzo cortante solicitante de cálculo pésimo V_{Ed} no es superior al 50% de la resistencia de cálculo a cortante $V_{c,Rd}$.

$$V_{Ed} \leq \frac{V_{c,Rd}}{2}$$

$$7.867 \text{ t} \leq 16.031 \text{ t} \quad \checkmark$$

Los esfuerzos solicitantes de cálculo pésimos se producen para la combinación de acciones 1.35·PP+1.35·CM1+1.35·CM2+1.5·Q1.

V_{Ed} : Esfuerzo cortante solicitante de cálculo pésimo.

$$V_{Ed} : \underline{7.867} \text{ t}$$

$V_{c,Rd}$: Esfuerzo cortante resistente de cálculo.

$$V_{c,Rd} : \underline{32.061} \text{ t}$$

Resistencia a momento flector Z y fuerza cortante Y combinados (CTE DB SE-A, Artículo 6.2.8)

No hay interacción entre momento flector y esfuerzo cortante para ninguna combinación. Por lo tanto, la comprobación no procede.



Listados

DESARROLLO DE PROYECTO EJECUTIVO DE REFORMA DE LA PISCINA DEL
COLEGIO PÁLCAM

Fecha: 28/03/18

Resistencia a flexión y axil combinados (CTE DB SE-A, Artículo 6.2.8)

Se debe satisfacer:

$$\eta = \frac{N_{c,Ed}}{N_{pl,Rd}} + \frac{M_{y,Ed}}{M_{pl,Rd,y}} + \frac{M_{z,Ed}}{M_{pl,Rd,z}} \leq 1$$

$$h : \underline{0.849} \quad \checkmark$$

$$\eta = \frac{N_{c,Ed}}{\chi_y \cdot A \cdot f_{yd}} + k_y \cdot \frac{C_{m,y} \cdot M_{y,Ed}}{\chi_{LT} \cdot W_{pl,y} \cdot f_{yd}} + \alpha_z \cdot k_z \cdot \frac{C_{m,z} \cdot M_{z,Ed}}{W_{pl,z} \cdot f_{yd}} \leq 1$$

$$h : \underline{0.849} \quad \checkmark$$

$$\eta = \frac{N_{c,Ed}}{\chi_z \cdot A \cdot f_{yd}} + \alpha_y \cdot k_y \cdot \frac{C_{m,y} \cdot M_{y,Ed}}{W_{pl,y} \cdot f_{yd}} + k_z \cdot \frac{C_{m,z} \cdot M_{z,Ed}}{W_{pl,z} \cdot f_{yd}} \leq 1$$

$$h : \underline{0.630} \quad \checkmark$$

Los esfuerzos solicitantes de cálculo pésimos se producen en el nudo N6, para la combinación de acciones 1.35·PP+1.35·CM1+1.35·CM2+1.5·Q1.

Donde:

$N_{c,Ed}$: Axil de compresión solicitante de cálculo pésimo.

$$N_{c,Ed} : \underline{32.062} \quad t$$

$M_{y,Ed}$, $M_{z,Ed}$: Momentos flectores solicitantes de cálculo pésimos, según los ejes Y y Z, respectivamente.

$$M_{y,Ed}^+ : \underline{2.369} \quad t \cdot m$$

$$M_{z,Ed}^+ : \underline{0.000} \quad t \cdot m$$

Clase: Clase de la sección, según la capacidad de deformación y de desarrollo de la resistencia plástica de sus elementos planos, para axil y flexión simple.

$$Clase : \underline{1}$$

$N_{pl,Rd}$: Resistencia a compresión de la sección bruta.

$$N_{pl,Rd} : \underline{106.791} \quad t$$

$M_{pl,Rd,y}$, $M_{pl,Rd,z}$: Resistencia a flexión de la sección bruta en condiciones plásticas, respecto a los ejes Y y Z, respectivamente.

$$M_{pl,Rd,y} : \underline{4.314} \quad t \cdot m$$

$$M_{pl,Rd,z} : \underline{4.592} \quad t \cdot m$$

Resistencia a pandeo: (CTE DB SE-A, Artículo 6.3.4.2)

A: Área de la sección bruta.

$$A : \underline{40.00} \quad cm^2$$

$W_{pl,y}$, $W_{pl,z}$: Módulos resistentes plásticos correspondientes a la fibra comprimida, alrededor de los ejes Y y Z, respectivamente.

$$W_{pl,y} : \underline{161.60} \quad cm^3$$

$$W_{pl,z} : \underline{172.00} \quad cm^3$$

f_{yd} : Resistencia de cálculo del acero.

$$f_{yd} : \underline{2669.77} \quad kp/cm^2$$

$$f_{yd} = f_y / \gamma_{M1}$$

Siendo:

f_y : Límite elástico. (CTE DB SE-A, Tabla 4.1)

$$f_y : \underline{2803.26} \quad kp/cm^2$$

γ_{M1} : Coeficiente parcial de seguridad del material.

$$\gamma_{M1} : \underline{1.05}$$

k_y , k_z : Coeficientes de interacción.

$$k_y = 1 + (\bar{\lambda}_y - 0.2) \cdot \frac{N_{c,Ed}}{\chi_y \cdot N_{c,Rd}}$$

$$k_y : \underline{1.00}$$

$$k_z = 1 + (\bar{\lambda}_z - 0.2) \cdot \frac{N_{c,Ed}}{\chi_z \cdot N_{c,Rd}}$$

$$k_z : \underline{1.00}$$

$C_{m,y}$, $C_{m,z}$: Factores de momento flector uniforme equivalente.

$$C_{m,y} : \underline{1.00}$$

$$C_{m,z} : \underline{1.00}$$

c_y , c_z : Coeficientes de reducción por pandeo, alrededor de los ejes Y y Z, respectivamente.

$$c_y : \underline{1.00}$$

$$c_z : \underline{1.00}$$

$\bar{\lambda}_y$, $\bar{\lambda}_z$: Esbelteces reducidas con valores no mayores que 1.00, en relación a los ejes Y y Z, respectivamente.

$$\bar{\lambda}_y : \underline{0.16}$$

$$\bar{\lambda}_z : \underline{0.15}$$

a_y , a_z : Factores dependientes de la clase de la sección.

$$a_y : \underline{0.60}$$

$$a_z : \underline{0.60}$$



Listados

DESARROLLO DE PROYECTO EJECUTIVO DE REFORMA DE LA PISCINA DEL
COLEGIO PÁLCAM

Fecha: 28/03/18

Resistencia a flexión, axil y cortante combinados (CTE DB SE-A, Artículo 6.2.8)

No es necesario reducir las resistencias de cálculo a flexión y a axil, ya que se puede ignorar el efecto de abolladura por esfuerzo cortante y, además, el esfuerzo cortante solicitante de cálculo pésimo V_{Ed} es menor o igual que el 50% del esfuerzo cortante resistente de cálculo $V_{c,Rd}$.

Los esfuerzos solicitantes de cálculo pésimos se producen para la combinación de acciones $1.35 \cdot PP + 1.35 \cdot CM1 + 1.35 \cdot CM2 + 1.5 \cdot Q1$.

$$V_{Ed,z} \leq \frac{V_{c,Rd,z}}{2}$$

$$7.867 \text{ t} \leq 16.031 \text{ t}$$



Donde:

$V_{Ed,z}$: Esfuerzo cortante solicitante de cálculo pésimo.

$$V_{Ed,z} : \frac{7.867}{t}$$

$V_{c,Rd,z}$: Esfuerzo cortante resistente de cálculo.

$$V_{c,Rd,z} : \frac{32.061}{t}$$

Resistencia a torsión (CTE DB SE-A, Artículo 6.2.7)

La comprobación no procede, ya que no hay momento torsor.

Resistencia a cortante Z y momento torsor combinados (CTE DB SE-A, Artículo 6.2.8)

No hay interacción entre momento torsor y esfuerzo cortante para ninguna combinación. Por lo tanto, la comprobación no procede.

Resistencia a cortante Y y momento torsor combinados (CTE DB SE-A, Artículo 6.2.8)

No hay interacción entre momento torsor y esfuerzo cortante para ninguna combinación. Por lo tanto, la comprobación no procede.

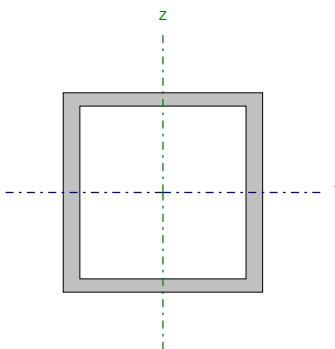


Listados

DESARROLLO DE PROYECTO EJECUTIVO DE REFORMA DE LA PISCINA DEL
COLEGIO PÁLCAM

Fecha: 28/03/18

Barra N15/N7

| Perfil: CA 120x10x120x8 Material: Acero (S275) | | | | | | | |
|---|---|----------|-----------------|----------------------------|--|--|--|
|  | Nudos | | Longitud (m) | Características mecánicas | | | |
| | Inicial | Final | | Área (cm ²) | I _y ⁽¹⁾ (cm4) | I _z ⁽¹⁾ (cm4) | I _t ⁽²⁾ (cm4) |
| | N15 | N7 | 0.600 | 40.00 | 790.61 | 861.33 | 1225.11 |
| | Notas: (1) Inercia respecto al eje indicado (2) Momento de inercia a torsión uniforme | | | | | | |
| | | Pandeo | | Pandeo lateral | | | |
| | | Plano XY | Plano XZ | Ala sup. | Ala inf. | | |
| | β | 1.00 | 1.00 | 0.00 | 0.00 | | |
| | L _K | 0.600 | 0.600 | 0.000 | 0.000 | | |
| | C _m | 1.000 | 1.000 | 1.000 | 1.000 | | |
| | C ₁ | - | | 1.000 | | | |
| Notación: b: Coeficiente de pandeo L _K : Longitud de pandeo (m) C _m : Coeficiente de momentos C ₁ : Factor de modificación para el momento crítico | | | | | | | |

Limitación de esbeltez (CTE DB SE-A, Artículos 6.3.1 y 6.3.2.1 - Tabla 6.3)

La esbeltez reducida $\bar{\lambda}$ de las barras comprimidas debe ser inferior al valor 2.0.

$$\bar{\lambda} = \sqrt{\frac{A \cdot f_y}{N_{cr}}}$$

$\bar{\lambda}$: 0.16 ✓

Donde:

Clase: Clase de la sección, según la capacidad de deformación y de desarrollo de la resistencia plástica de los elementos planos comprimidos de una sección.

Clase : 1

A: Área de la sección bruta para las secciones de clase 1, 2 y 3.

A : 40.00 cm²

f_y: Límite elástico. (CTE DB SE-A, Tabla 4.1)

f_y : 2803.26 kp/cm²

N_{cr}: Axil crítico de pandeo elástico.

N_{cr} : 4639.933 t

El axil crítico de pandeo elástico N_{cr} es el menor de los valores obtenidos en a), b) y c):

a) Axil crítico elástico de pandeo por flexión respecto al eje Y.

N_{cr,y} : 4639.933 t

$$N_{cr,y} = \frac{\pi^2 \cdot E \cdot I_y}{L_{ky}^2}$$

b) Axil crítico elástico de pandeo por flexión respecto al eje Z.

N_{cr,z} : 5054.972 t

$$N_{cr,z} = \frac{\pi^2 \cdot E \cdot I_z}{L_{kz}^2}$$

c) Axil crítico elástico de pandeo por torsión.

N_{cr,T} : ∞

$$N_{cr,T} = \frac{1}{i_0^2} \cdot \left[G \cdot I_t + \frac{\pi^2 \cdot E \cdot I_w}{L_{kt}^2} \right]$$

Donde:

I_y: Momento de inercia de la sección bruta, respecto al eje Y.

I_y : 790.61 cm⁴



Listados

DESARROLLO DE PROYECTO EJECUTIVO DE REFORMA DE LA PISCINA DEL
COLEGIO PÁLCAM

Fecha: 28/03/18

I_z : Momento de inercia de la sección bruta, respecto al eje Z.

$$I_z : \underline{861.33} \text{ cm}^4$$

I_t : Momento de inercia a torsión uniforme.

$$I_t : \underline{1225.11} \text{ cm}^4$$

I_w : Constante de alabeo de la sección.

$$I_w : \underline{0.00} \text{ cm}^6$$

E: Módulo de elasticidad.

$$E : \underline{2140673} \text{ kp/cm}^2$$

G: Módulo de elasticidad transversal.

$$G : \underline{825688} \text{ kp/cm}^2$$

L_{ky} : Longitud efectiva de pandeo por flexión, respecto al eje Y.

$$L_{ky} : \underline{0.600} \text{ m}$$

L_{kz} : Longitud efectiva de pandeo por flexión, respecto al eje Z.

$$L_{kz} : \underline{0.600} \text{ m}$$

L_{kt} : Longitud efectiva de pandeo por torsión.

$$L_{kt} : \underline{0.000} \text{ m}$$

i_o : Radio de giro polar de la sección bruta, respecto al centro de torsión.

$$i_o : \underline{6.43} \text{ cm}$$

$$i_o = (i_y^2 + i_z^2 + y_o^2 + z_o^2)^{0.5}$$

Siendo:

i_y , i_z : Radios de giro de la sección bruta, respecto a los ejes principales de inercia Y y Z.

$$i_y : \underline{4.45} \text{ cm}$$

$$i_z : \underline{4.64} \text{ cm}$$

y_o , z_o : Coordenadas del centro de torsión en la dirección de los ejes principales Y y Z, respectivamente, relativas al centro de gravedad de la sección.

$$y_o : \underline{0.00} \text{ mm}$$

$$z_o : \underline{0.00} \text{ mm}$$

Abolladura del alma inducida por el ala comprimida (Criterio de CYPE Ingenieros, basado en: Eurocódigo 3 EN 1993-1-5: 2006, Artículo 8)

Se debe satisfacer:

$$\frac{h_w}{t_w} \leq k \frac{E}{f_{yf}} \sqrt{\frac{A_w}{A_{fc,ef}}}$$

$$10.40 \leq 337.21 \quad \checkmark$$

Donde:

h_w : Altura del alma.

$$h_w : \underline{104.00} \text{ mm}$$

t_w : Espesor del alma.

$$t_w : \underline{10.00} \text{ mm}$$

A_w : Área del alma.

$$A_w : \underline{20.80} \text{ cm}^2$$

$A_{fc,ef}$: Área reducida del ala comprimida.

$$A_{fc,ef} : \underline{9.60} \text{ cm}^2$$

k: Coeficiente que depende de la clase de la sección.

$$k : \underline{0.30}$$

E: Módulo de elasticidad.

$$E : \underline{2140673} \text{ kp/cm}^2$$

f_{yf} : Límite elástico del acero del ala comprimida.

$$f_{yf} : \underline{2803.26} \text{ kp/cm}^2$$

Siendo:

$$f_{yf} = f_y$$

Resistencia a tracción (CTE DB SE-A, Artículo 6.2.3)

La comprobación no procede, ya que no hay axil de tracción.



Listados

DESARROLLO DE PROYECTO EJECUTIVO DE REFORMA DE LA PISCINA DEL
COLEGIO PÁLCAM

Fecha: 28/03/18

Resistencia a compresión (CTE DB SE-A, Artículo 6.2.5)

Se debe satisfacer:

$$\eta = \frac{N_{c,Ed}}{N_{c,Rd}} \leq 1$$

$$h : \underline{0.291} \quad \checkmark$$

El esfuerzo solicitante de cálculo pésimo se produce en el nudo N15, para la combinación de acciones 1.35·PP+1.35·CM1+1.35·CM2+1.5·Q1.

$N_{c,Ed}$: Axil de compresión solicitante de cálculo pésimo.

$$N_{c,Ed} : \underline{31.125} \text{ t}$$

La resistencia de cálculo a compresión $N_{c,Rd}$ viene dada por:

$$N_{c,Rd} = A \cdot f_{yd}$$

$$N_{c,Rd} : \underline{106.791} \text{ t}$$

Donde:

Clase: Clase de la sección, según la capacidad de deformación y de desarrollo de la resistencia plástica de los elementos planos comprimidos de una sección.

$$\text{Clase} : \underline{1}$$

A: Área de la sección bruta para las secciones de clase 1, 2 y 3.

$$A : \underline{40.00} \text{ cm}^2$$

f_{yd} : Resistencia de cálculo del acero.

$$f_{yd} : \underline{2669.77} \text{ kp/cm}^2$$

$$f_{yd} = f_y / \gamma_{M0}$$

Siendo:

f_y : Límite elástico. (CTE DB SE-A, Tabla 4.1)

$$f_y : \underline{2803.26} \text{ kp/cm}^2$$

γ_{M0} : Coeficiente parcial de seguridad del material.

$$\gamma_{M0} : \underline{1.05}$$

Resistencia a pandeo: (CTE DB SE-A, Artículo 6.3.2)

Para esbelteces $\lambda \leq 0.2$ se puede omitir la comprobación frente a pandeo, y comprobar únicamente la resistencia de la sección transversal.

λ : Esbeltez reducida.

$$\lambda : \underline{0.16}$$

$$\lambda = \sqrt{\frac{A \cdot f_y}{N_{cr}}}$$

Donde:

A: Área de la sección bruta para las secciones de clase 1, 2 y 3.

$$A : \underline{40.00} \text{ cm}^2$$

f_y : Límite elástico. (CTE DB SE-A, Tabla 4.1)

$$f_y : \underline{2803.26} \text{ kp/cm}^2$$

N_{cr} : Axil crítico elástico de pandeo, obtenido como el menor de los siguientes valores:

$$N_{cr} : \underline{4639.933} \text{ t}$$

$N_{cr,y}$: Axil crítico elástico de pandeo por flexión respecto al eje Y.

$$N_{cr,y} : \underline{4639.933} \text{ t}$$

$N_{cr,z}$: Axil crítico elástico de pandeo por flexión respecto al eje Z.

$$N_{cr,z} : \underline{5054.972} \text{ t}$$

$N_{cr,T}$: Axil crítico elástico de pandeo por torsión.

$$N_{cr,T} : \underline{\infty}$$



Listados

DESARROLLO DE PROYECTO EJECUTIVO DE REFORMA DE LA PISCINA DEL
COLEGIO PÀLCAM

Fecha: 28/03/18

Resistencia a flexión eje Y (CTE DB SE-A, Artículo 6.2.6)

Se debe satisfacer:

$$\eta = \frac{M_{Ed}}{M_{c,Rd}} \leq 1$$

$$h : \underline{0.517} \quad \checkmark$$

Para flexión positiva:

M_{Ed}^+ : Momento flector solicitante de cálculo pésimo.

$$M_{Ed}^+ : \underline{0.000} \text{ t}\cdot\text{m}$$

Para flexión negativa:

El esfuerzo solicitante de cálculo pésimo se produce en el nudo N15, para la combinación de acciones $1.35 \cdot PP + 1.35 \cdot CM1 + 1.35 \cdot CM2 + 1.5 \cdot Q1$.

M_{Ed}^- : Momento flector solicitante de cálculo pésimo.

$$M_{Ed}^- : \underline{2.232} \text{ t}\cdot\text{m}$$

El momento flector resistente de cálculo $M_{c,Rd}$ viene dado por:

$$M_{c,Rd} = W_{pl,y} \cdot f_{yd}$$

$$M_{c,Rd} : \underline{4.314} \text{ t}\cdot\text{m}$$

Donde:

Clase: Clase de la sección, según la capacidad de deformación y de desarrollo de la resistencia plástica de los elementos planos de una sección a flexión simple.

$$\text{Clase} : \underline{1}$$

$W_{pl,y}$: Módulo resistente plástico correspondiente a la fibra con mayor tensión, para las secciones de clase 1 y 2.

$$W_{pl,y} : \underline{161.60} \text{ cm}^3$$

f_{yd} : Resistencia de cálculo del acero.

$$f_{yd} : \underline{2669.77} \text{ kp/cm}^2$$

$$f_{yd} = f_y / \gamma_{M0}$$

Siendo:

f_y : Límite elástico. (CTE DB SE-A, Tabla 4.1)

$$f_y : \underline{2803.26} \text{ kp/cm}^2$$

γ_{M0} : Coeficiente parcial de seguridad del material.

$$\gamma_{M0} : \underline{1.05}$$

Resistencia a flexión eje Z (CTE DB SE-A, Artículo 6.2.6)

La comprobación no procede, ya que no hay momento flector.



Listados

DESARROLLO DE PROYECTO EJECUTIVO DE REFORMA DE LA PISCINA DEL
COLEGIO PÁLCAM

Fecha: 28/03/18

Resistencia a corte Z (CTE DB SE-A, Artículo 6.2.4)

Se debe satisfacer:

$$\eta = \frac{V_{Ed}}{V_{c,Rd}} \leq 1$$

$$h : \underline{0.232} \quad \checkmark$$

El esfuerzo solicitante de cálculo pésimo se produce para la combinación de acciones 1.35·PP+1.35·CM1+1.35·CM2+1.5·Q1.

V_{Ed} : Esfuerzo cortante solicitante de cálculo pésimo.

$$V_{Ed} : \underline{7.429} \text{ t}$$

El esfuerzo cortante resistente de cálculo $V_{c,Rd}$ viene dado por:

$$V_{c,Rd} = A_v \cdot \frac{f_{yd}}{\sqrt{3}}$$

$$V_{c,Rd} : \underline{32.061} \text{ t}$$

Donde:

A_v : Área transversal a cortante.

$$A_v : \underline{20.80} \text{ cm}^2$$

$$A_v = 2 \cdot d \cdot t_w$$

Siendo:

d : Altura del alma.

$$d : \underline{104.00} \text{ mm}$$

t_w : Espesor del alma.

$$t_w : \underline{10.00} \text{ mm}$$

f_{yd} : Resistencia de cálculo del acero.

$$f_{yd} : \underline{2669.77} \text{ kp/cm}^2$$

$$f_{yd} = f_y / \gamma_{M0}$$

Siendo:

f_y : Límite elástico. (CTE DB SE-A, Tabla 4.1)

$$f_y : \underline{2803.26} \text{ kp/cm}^2$$

γ_{M0} : Coeficiente parcial de seguridad del material.

$$\gamma_{M0} : \underline{1.05}$$

Abolladura por cortante del alma: (CTE DB SE-A, Artículo 6.3.3.4)

Aunque no se han dispuesto rigidizadores transversales, no es necesario comprobar la resistencia a la abolladura del alma, puesto que se cumple:

$$\frac{d}{t_w} < 70 \cdot \varepsilon$$

$$10.40 < 64.71 \quad \checkmark$$

Donde:

l_w : Esbeltez del alma.

$$l_w : \underline{10.40}$$

$$\lambda_w = \frac{d}{t_w}$$

$l_{m\acute{a}x}$: Esbeltez máxima.

$$l_{m\acute{a}x} : \underline{64.71}$$

$$\lambda_{m\acute{a}x} = 70 \cdot \varepsilon$$

ε : Factor de reducción.

$$\varepsilon : \underline{0.92}$$

$$\varepsilon = \sqrt{\frac{f_{ref}}{f_y}}$$

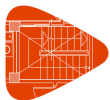
Siendo:

f_{ref} : Límite elástico de referencia.

$$f_{ref} : \underline{2395.51} \text{ kp/cm}^2$$

f_y : Límite elástico. (CTE DB SE-A, Tabla 4.1)

$$f_y : \underline{2803.26} \text{ kp/cm}^2$$



Listados

DESARROLLO DE PROYECTO EJECUTIVO DE REFORMA DE LA PISCINA DEL
COLEGIO PÁLCAM

Fecha: 28/03/18

Resistencia a corte Y (CTE DB SE-A, Artículo 6.2.4)

La comprobación no procede, ya que no hay esfuerzo cortante.

Resistencia a momento flector Y y fuerza cortante Z combinados (CTE DB SE-A, Artículo 6.2.8)

No es necesario reducir la resistencia de cálculo a flexión, ya que el esfuerzo cortante solicitante de cálculo pésimo V_{Ed} no es superior al 50% de la resistencia de cálculo a cortante $V_{c,Rd}$.

$$V_{Ed} \leq \frac{V_{c,Rd}}{2}$$

$$7.429 \text{ t} \leq 16.031 \text{ t} \quad \checkmark$$

Los esfuerzos solicitantes de cálculo pésimos se producen para la combinación de acciones 1.35·PP+1.35·CM1+1.35·CM2+1.5·Q1.

V_{Ed} : Esfuerzo cortante solicitante de cálculo pésimo.

$$V_{Ed} : \underline{7.429} \text{ t}$$

$V_{c,Rd}$: Esfuerzo cortante resistente de cálculo.

$$V_{c,Rd} : \underline{32.061} \text{ t}$$

Resistencia a momento flector Z y fuerza cortante Y combinados (CTE DB SE-A, Artículo 6.2.8)

No hay interacción entre momento flector y esfuerzo cortante para ninguna combinación. Por lo tanto, la comprobación no procede.



Listados

DESARROLLO DE PROYECTO EJECUTIVO DE REFORMA DE LA PISCINA DEL
COLEGIO PÁLCAM

Fecha: 28/03/18

Resistencia a flexión y axil combinados (CTE DB SE-A, Artículo 6.2.8)

Se debe satisfacer:

$$\eta = \frac{N_{c,Ed}}{N_{pl,Rd}} + \frac{M_{y,Ed}}{M_{pl,Rd,y}} + \frac{M_{z,Ed}}{M_{pl,Rd,z}} \leq 1$$

$$h : \underline{0.809} \quad \checkmark$$

$$\eta = \frac{N_{c,Ed}}{\chi_y \cdot A \cdot f_{yd}} + k_y \cdot \frac{c_{m,y} \cdot M_{y,Ed}}{\chi_{LT} \cdot W_{pl,y} \cdot f_{yd}} + \alpha_z \cdot k_z \cdot \frac{c_{m,z} \cdot M_{z,Ed}}{W_{pl,z} \cdot f_{yd}} \leq 1$$

$$h : \underline{0.809} \quad \checkmark$$

$$\eta = \frac{N_{c,Ed}}{\chi_z \cdot A \cdot f_{yd}} + \alpha_y \cdot k_y \cdot \frac{c_{m,y} \cdot M_{y,Ed}}{W_{pl,y} \cdot f_{yd}} + k_z \cdot \frac{c_{m,z} \cdot M_{z,Ed}}{W_{pl,z} \cdot f_{yd}} \leq 1$$

$$h : \underline{0.602} \quad \checkmark$$

Los esfuerzos solicitantes de cálculo p^{és}imos se producen en el nudo N15,
para la combinaci3n de acciones 1.35·PP+1.35·CM1+1.35·CM2+1.5·Q1.

Donde:

$N_{c,Ed}$: Axil de compresi3n solicitante de c3lculo p^{és}imo.

$$N_{c,Ed} : \underline{31.125} \quad t$$

$M_{y,Ed}$, $M_{z,Ed}$: Momentos flectores solicitantes de c3lculo p^{és}imos, seg^un
los ejes Y y Z, respectivamente.

$$M_{y,Ed} : \underline{2.232} \quad t \cdot m$$

$$M_{z,Ed} : \underline{0.000} \quad t \cdot m$$

Clase: Clase de la secci3n, seg^un la capacidad de deformaci3n y de
desarrollo de la resistencia pl3stica de sus elementos planos, para axil y
flexi3n simple.

$$\text{Clase} : \underline{1}$$

$N_{pl,Rd}$: Resistencia a compresi3n de la secci3n bruta.

$$N_{pl,Rd} : \underline{106.791} \quad t$$

$M_{pl,Rd,y}$, $M_{pl,Rd,z}$: Resistencia a flexi3n de la secci3n bruta en condiciones
pl3sticas, respecto a los ejes Y y Z, respectivamente.

$$M_{pl,Rd,y} : \underline{4.314} \quad t \cdot m$$

$$M_{pl,Rd,z} : \underline{4.592} \quad t \cdot m$$

Resistencia a pandeo: (CTE DB SE-A, Art3culo 6.3.4.2)

A: 3rea de la secci3n bruta.

$$A : \underline{40.00} \quad cm^2$$

$W_{pl,y}$, $W_{pl,z}$: M3dulos resistentes pl3sticos correspondientes a la fibra
comprimida, alrededor de los ejes Y y Z, respectivamente.

$$W_{pl,y} : \underline{161.60} \quad cm^3$$

$$W_{pl,z} : \underline{172.00} \quad cm^3$$

f_{yd} : Resistencia de c3lculo del acero.

$$f_{yd} : \underline{2669.77} \quad kp/cm^2$$

$$f_{yd} = f_y / \gamma_{M1}$$

Siendo:

f_y : L3mite el3stico. (CTE DB SE-A, Tabla 4.1)

$$f_y : \underline{2803.26} \quad kp/cm^2$$

γ_{M1} : Coeficiente parcial de seguridad del material.

$$\gamma_{M1} : \underline{1.05}$$

k_y , k_z : Coeficientes de interacci3n.

$$k_y = 1 + (\bar{\lambda}_y - 0.2) \cdot \frac{N_{c,Ed}}{\chi_y \cdot N_{c,Rd}}$$

$$k_y : \underline{1.00}$$

$$k_z = 1 + (\bar{\lambda}_z - 0.2) \cdot \frac{N_{c,Ed}}{\chi_z \cdot N_{c,Rd}}$$

$$k_z : \underline{1.00}$$

$c_{m,y}$, $c_{m,z}$: Factores de momento flector uniforme equivalente.

$$c_{m,y} : \underline{1.00}$$

$$c_{m,z} : \underline{1.00}$$

c_y , c_z : Coeficientes de reducci3n por pandeo, alrededor de los ejes Y y
Z, respectivamente.

$$c_y : \underline{1.00}$$

$$c_z : \underline{1.00}$$

$\bar{\lambda}_y$, $\bar{\lambda}_z$: Esbelteces reducidas con valores no mayores que 1.00, en
relaci3n a los ejes Y y Z, respectivamente.

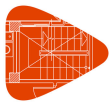
$$\bar{\lambda}_y : \underline{0.16}$$

$$\bar{\lambda}_z : \underline{0.15}$$

a_y , a_z : Factores dependientes de la clase de la secci3n.

$$a_y : \underline{0.60}$$

$$a_z : \underline{0.60}$$



Listados

DESARROLLO DE PROYECTO EJECUTIVO DE REFORMA DE LA PISCINA DEL
COLEGIO PÁLCAM

Fecha: 28/03/18

Resistencia a flexión, axil y cortante combinados (CTE DB SE-A, Artículo 6.2.8)

No es necesario reducir las resistencias de cálculo a flexión y a axil, ya que se puede ignorar el efecto de abolladura por esfuerzo cortante y, además, el esfuerzo cortante solicitante de cálculo pésimo V_{Ed} es menor o igual que el 50% del esfuerzo cortante resistente de cálculo $V_{c,Rd}$.

Los esfuerzos solicitantes de cálculo pésimos se producen para la combinación de acciones $1.35 \cdot PP + 1.35 \cdot CM1 + 1.35 \cdot CM2 + 1.5 \cdot Q1$.

$$V_{Ed,z} \leq \frac{V_{c,Rd,z}}{2}$$

$$7.429 \text{ t} \leq 16.031 \text{ t}$$



Donde:

$V_{Ed,z}$: Esfuerzo cortante solicitante de cálculo pésimo.

$$V_{Ed,z} : \frac{7.429}{t}$$

$V_{c,Rd,z}$: Esfuerzo cortante resistente de cálculo.

$$V_{c,Rd,z} : \frac{32.061}{t}$$

Resistencia a torsión (CTE DB SE-A, Artículo 6.2.7)

La comprobación no procede, ya que no hay momento torsor.

Resistencia a cortante Z y momento torsor combinados (CTE DB SE-A, Artículo 6.2.8)

No hay interacción entre momento torsor y esfuerzo cortante para ninguna combinación. Por lo tanto, la comprobación no procede.

Resistencia a cortante Y y momento torsor combinados (CTE DB SE-A, Artículo 6.2.8)

No hay interacción entre momento torsor y esfuerzo cortante para ninguna combinación. Por lo tanto, la comprobación no procede.



Listados

DESARROLLO DE PROYECTO EJECUTIVO DE REFORMA DE LA PISCINA DEL
COLEGIO PÁLCAM

Fecha: 28/03/18

I_z : Momento de inercia de la sección bruta, respecto al eje Z.

$$I_z : \underline{861.33} \text{ cm}^4$$

I_t : Momento de inercia a torsión uniforme.

$$I_t : \underline{1225.11} \text{ cm}^4$$

I_w : Constante de alabeo de la sección.

$$I_w : \underline{0.00} \text{ cm}^6$$

E: Módulo de elasticidad.

$$E : \underline{2140673} \text{ kp/cm}^2$$

G: Módulo de elasticidad transversal.

$$G : \underline{825688} \text{ kp/cm}^2$$

L_{ky} : Longitud efectiva de pandeo por flexión, respecto al eje Y.

$$L_{ky} : \underline{0.600} \text{ m}$$

L_{kz} : Longitud efectiva de pandeo por flexión, respecto al eje Z.

$$L_{kz} : \underline{0.600} \text{ m}$$

L_{kt} : Longitud efectiva de pandeo por torsión.

$$L_{kt} : \underline{0.000} \text{ m}$$

i_o : Radio de giro polar de la sección bruta, respecto al centro de torsión.

$$i_o : \underline{6.43} \text{ cm}$$

$$i_o = (i_y^2 + i_z^2 + y_o^2 + z_o^2)^{0.5}$$

Siendo:

i_y , i_z : Radios de giro de la sección bruta, respecto a los ejes principales de inercia Y y Z.

$$i_y : \underline{4.45} \text{ cm}$$

$$i_z : \underline{4.64} \text{ cm}$$

y_o , z_o : Coordenadas del centro de torsión en la dirección de los ejes principales Y y Z, respectivamente, relativas al centro de gravedad de la sección.

$$y_o : \underline{0.00} \text{ mm}$$

$$z_o : \underline{0.00} \text{ mm}$$

Abolladura del alma inducida por el ala comprimida (Criterio de CYPE Ingenieros, basado en: Eurocódigo 3 EN 1993-1-5: 2006, Artículo 8)

Se debe satisfacer:

$$\frac{h_w}{t_w} \leq k \frac{E}{f_{yf}} \sqrt{\frac{A_w}{A_{fc,ef}}}$$

$$10.40 \leq 337.21 \quad \checkmark$$

Donde:

h_w : Altura del alma.

$$h_w : \underline{104.00} \text{ mm}$$

t_w : Espesor del alma.

$$t_w : \underline{10.00} \text{ mm}$$

A_w : Área del alma.

$$A_w : \underline{20.80} \text{ cm}^2$$

$A_{fc,ef}$: Área reducida del ala comprimida.

$$A_{fc,ef} : \underline{9.60} \text{ cm}^2$$

k: Coeficiente que depende de la clase de la sección.

$$k : \underline{0.30}$$

E: Módulo de elasticidad.

$$E : \underline{2140673} \text{ kp/cm}^2$$

f_{yf} : Límite elástico del acero del ala comprimida.

$$f_{yf} : \underline{2803.26} \text{ kp/cm}^2$$

Siendo:

$$f_{yf} = f_y$$

Resistencia a tracción (CTE DB SE-A, Artículo 6.2.3)

La comprobación no procede, ya que no hay axil de tracción.



Listados

DESARROLLO DE PROYECTO EJECUTIVO DE REFORMA DE LA PISCINA DEL
COLEGIO PÁLCAM

Fecha: 28/03/18

Resistencia a compresión (CTE DB SE-A, Artículo 6.2.5)

Se debe satisfacer:

$$\eta = \frac{N_{c,Ed}}{N_{c,Rd}} \leq 1$$

$$h : \underline{0.291} \quad \checkmark$$

El esfuerzo solicitante de cálculo pésimo se produce en el nudo N21, para la combinación de acciones 1.35·PP+1.35·CM1+1.35·CM2+1.5·Q1.

$N_{c,Ed}$: Axil de compresión solicitante de cálculo pésimo.

$$N_{c,Ed} : \underline{31.099} \text{ t}$$

La resistencia de cálculo a compresión $N_{c,Rd}$ viene dada por:

$$N_{c,Rd} = A \cdot f_{yd}$$

$$N_{c,Rd} : \underline{106.791} \text{ t}$$

Donde:

Clase: Clase de la sección, según la capacidad de deformación y de desarrollo de la resistencia plástica de los elementos planos comprimidos de una sección.

$$\text{Clase} : \underline{1}$$

A: Área de la sección bruta para las secciones de clase 1, 2 y 3.

$$A : \underline{40.00} \text{ cm}^2$$

f_{yd} : Resistencia de cálculo del acero.

$$f_{yd} : \underline{2669.77} \text{ kp/cm}^2$$

$$f_{yd} = f_y / \gamma_{M0}$$

Siendo:

f_y : Límite elástico. (CTE DB SE-A, Tabla 4.1)

$$f_y : \underline{2803.26} \text{ kp/cm}^2$$

γ_{M0} : Coeficiente parcial de seguridad del material.

$$\gamma_{M0} : \underline{1.05}$$

Resistencia a pandeo: (CTE DB SE-A, Artículo 6.3.2)

Para esbelteces $\lambda \leq 0.2$ se puede omitir la comprobación frente a pandeo, y comprobar únicamente la resistencia de la sección transversal.

λ : Esbeltez reducida.

$$\lambda : \underline{0.16}$$

$$\lambda = \sqrt{\frac{A \cdot f_y}{N_{cr}}}$$

Donde:

A: Área de la sección bruta para las secciones de clase 1, 2 y 3.

$$A : \underline{40.00} \text{ cm}^2$$

f_y : Límite elástico. (CTE DB SE-A, Tabla 4.1)

$$f_y : \underline{2803.26} \text{ kp/cm}^2$$

N_{cr} : Axil crítico elástico de pandeo, obtenido como el menor de los siguientes valores:

$$N_{cr} : \underline{4639.933} \text{ t}$$

$N_{cr,y}$: Axil crítico elástico de pandeo por flexión respecto al eje Y.

$$N_{cr,y} : \underline{4639.933} \text{ t}$$

$N_{cr,z}$: Axil crítico elástico de pandeo por flexión respecto al eje Z.

$$N_{cr,z} : \underline{5054.972} \text{ t}$$

$N_{cr,T}$: Axil crítico elástico de pandeo por torsión.

$$N_{cr,T} : \underline{\infty}$$



Listados

DESARROLLO DE PROYECTO EJECUTIVO DE REFORMA DE LA PISCINA DEL
COLEGIO PÀLCAM

Fecha: 28/03/18

Resistencia a flexión eje Y (CTE DB SE-A, Artículo 6.2.6)

Se debe satisfacer:

$$\eta = \frac{M_{Ed}}{M_{c,Rd}} \leq 1$$

$$h : \underline{0.517} \quad \checkmark$$

Para flexión positiva:

El esfuerzo solicitante de cálculo pésimo se produce en el nudo N21, para la combinación de acciones 1.35·PP+1.35·CM1+1.35·CM2+1.5·Q1.

M_{Ed}^+ : Momento flector solicitante de cálculo pésimo.

$$M_{Ed}^+ : \underline{2.231} \text{ t·m}$$

Para flexión negativa:

M_{Ed}^- : Momento flector solicitante de cálculo pésimo.

$$M_{Ed}^- : \underline{0.000} \text{ t·m}$$

El momento flector resistente de cálculo $M_{c,Rd}$ viene dado por:

$$M_{c,Rd} = W_{pl,y} \cdot f_{yd}$$

$$M_{c,Rd} : \underline{4.314} \text{ t·m}$$

Donde:

Clase: Clase de la sección, según la capacidad de deformación y de desarrollo de la resistencia plástica de los elementos planos de una sección a flexión simple.

$$\text{Clase} : \underline{1}$$

$W_{pl,y}$: Módulo resistente plástico correspondiente a la fibra con mayor tensión, para las secciones de clase 1 y 2.

$$W_{pl,y} : \underline{161.60} \text{ cm}^3$$

f_{yd} : Resistencia de cálculo del acero.

$$f_{yd} : \underline{2669.77} \text{ kp/cm}^2$$

$$f_{yd} = f_y / \gamma_{M0}$$

Siendo:

f_y : Límite elástico. (CTE DB SE-A, Tabla 4.1)

$$f_y : \underline{2803.26} \text{ kp/cm}^2$$

γ_{M0} : Coeficiente parcial de seguridad del material.

$$\gamma_{M0} : \underline{1.05}$$

Resistencia a flexión eje Z (CTE DB SE-A, Artículo 6.2.6)

La comprobación no procede, ya que no hay momento flector.



Listados

DESARROLLO DE PROYECTO EJECUTIVO DE REFORMA DE LA PISCINA DEL
COLEGIO PÁLCAM

Fecha: 28/03/18

Resistencia a corte Z (CTE DB SE-A, Artículo 6.2.4)

Se debe satisfacer:

$$\eta = \frac{V_{Ed}}{V_{c,Rd}} \leq 1$$

$$h : \underline{0.232} \quad \checkmark$$

El esfuerzo solicitante de cálculo pésimo se produce para la combinación de acciones 1.35·PP+1.35·CM1+1.35·CM2+1.5·Q1.

V_{Ed} : Esfuerzo cortante solicitante de cálculo pésimo.

$$V_{Ed} : \underline{7.429} \text{ t}$$

El esfuerzo cortante resistente de cálculo $V_{c,Rd}$ viene dado por:

$$V_{c,Rd} = A_v \cdot \frac{f_{yd}}{\sqrt{3}}$$

$$V_{c,Rd} : \underline{32.061} \text{ t}$$

Donde:

A_v : Área transversal a cortante.

$$A_v : \underline{20.80} \text{ cm}^2$$

$$A_v = 2 \cdot d \cdot t_w$$

Siendo:

d : Altura del alma.

$$d : \underline{104.00} \text{ mm}$$

t_w : Espesor del alma.

$$t_w : \underline{10.00} \text{ mm}$$

f_{yd} : Resistencia de cálculo del acero.

$$f_{yd} : \underline{2669.77} \text{ kp/cm}^2$$

$$f_{yd} = f_y / \gamma_{M0}$$

Siendo:

f_y : Límite elástico. (CTE DB SE-A, Tabla 4.1)

$$f_y : \underline{2803.26} \text{ kp/cm}^2$$

γ_{M0} : Coeficiente parcial de seguridad del material.

$$\gamma_{M0} : \underline{1.05}$$

Abolladura por cortante del alma: (CTE DB SE-A, Artículo 6.3.3.4)

Aunque no se han dispuesto rigidizadores transversales, no es necesario comprobar la resistencia a la abolladura del alma, puesto que se cumple:

$$\frac{d}{t_w} < 70 \cdot \varepsilon$$

$$10.40 < 64.71 \quad \checkmark$$

Donde:

l_w : Esbeltez del alma.

$$l_w : \underline{10.40}$$

$$\lambda_w = \frac{d}{t_w}$$

$l_{m\acute{a}x}$: Esbeltez máxima.

$$l_{m\acute{a}x} : \underline{64.71}$$

$$\lambda_{m\acute{a}x} = 70 \cdot \varepsilon$$

ε : Factor de reducción.

$$\varepsilon : \underline{0.92}$$

$$\varepsilon = \sqrt{\frac{f_{ref}}{f_y}}$$

Siendo:

f_{ref} : Límite elástico de referencia.

$$f_{ref} : \underline{2395.51} \text{ kp/cm}^2$$

f_y : Límite elástico. (CTE DB SE-A, Tabla 4.1)

$$f_y : \underline{2803.26} \text{ kp/cm}^2$$



Listados

DESARROLLO DE PROYECTO EJECUTIVO DE REFORMA DE LA PISCINA DEL
COLEGIO PÁLCAM

Fecha: 28/03/18

Resistencia a corte Y (CTE DB SE-A, Artículo 6.2.4)

La comprobación no procede, ya que no hay esfuerzo cortante.

Resistencia a momento flector Y y fuerza cortante Z combinados (CTE DB SE-A, Artículo 6.2.8)

No es necesario reducir la resistencia de cálculo a flexión, ya que el esfuerzo cortante solicitante de cálculo pésimo V_{Ed} no es superior al 50% de la resistencia de cálculo a cortante $V_{c,Rd}$.

$$V_{Ed} \leq \frac{V_{c,Rd}}{2}$$

$$7.429 \text{ t} \leq 16.031 \text{ t} \quad \checkmark$$

Los esfuerzos solicitantes de cálculo pésimos se producen para la combinación de acciones 1.35·PP+1.35·CM1+1.35·CM2+1.5·Q1.

V_{Ed} : Esfuerzo cortante solicitante de cálculo pésimo.

$$V_{Ed} : \underline{7.429} \text{ t}$$

$V_{c,Rd}$: Esfuerzo cortante resistente de cálculo.

$$V_{c,Rd} : \underline{32.061} \text{ t}$$

Resistencia a momento flector Z y fuerza cortante Y combinados (CTE DB SE-A, Artículo 6.2.8)

No hay interacción entre momento flector y esfuerzo cortante para ninguna combinación. Por lo tanto, la comprobación no procede.



Listados

DESARROLLO DE PROYECTO EJECUTIVO DE REFORMA DE LA PISCINA DEL
COLEGIO PÁLCAM

Fecha: 28/03/18

Resistencia a flexión y axil combinados (CTE DB SE-A, Artículo 6.2.8)

Se debe satisfacer:

$$\eta = \frac{N_{c,Ed}}{N_{pl,Rd}} + \frac{M_{y,Ed}}{M_{pl,Rd,y}} + \frac{M_{z,Ed}}{M_{pl,Rd,z}} \leq 1$$

$$h : \underline{0.808} \quad \checkmark$$

$$\eta = \frac{N_{c,Ed}}{\chi_y \cdot A \cdot f_{yd}} + k_y \cdot \frac{C_{m,y} \cdot M_{y,Ed}}{\chi_{LT} \cdot W_{pl,y} \cdot f_{yd}} + \alpha_z \cdot k_z \cdot \frac{C_{m,z} \cdot M_{z,Ed}}{W_{pl,z} \cdot f_{yd}} \leq 1$$

$$h : \underline{0.808} \quad \checkmark$$

$$\eta = \frac{N_{c,Ed}}{\chi_z \cdot A \cdot f_{yd}} + \alpha_y \cdot k_y \cdot \frac{C_{m,y} \cdot M_{y,Ed}}{W_{pl,y} \cdot f_{yd}} + k_z \cdot \frac{C_{m,z} \cdot M_{z,Ed}}{W_{pl,z} \cdot f_{yd}} \leq 1$$

$$h : \underline{0.602} \quad \checkmark$$

Los esfuerzos solicitantes de cálculo p^{és}imos se producen en el nudo N21,
para la combinaci3n de acciones 1.35·PP+1.35·CM1+1.35·CM2+1.5·Q1.

Donde:

$N_{c,Ed}$: Axil de compresi3n solicitante de c3lculo p^{és}imo.

$$N_{c,Ed} : \underline{31.099} \quad t$$

$M_{y,Ed}$, $M_{z,Ed}$: Momentos flectores solicitantes de c3lculo p^{és}imos, seg^un
los ejes Y y Z, respectivamente.

$$M_{y,Ed}^+ : \underline{2.231} \quad t \cdot m$$

$$M_{z,Ed}^+ : \underline{0.000} \quad t \cdot m$$

Clase: Clase de la secci3n, seg^un la capacidad de deformaci3n y de
desarrollo de la resistencia pl3stica de sus elementos planos, para axil y
flexi3n simple.

$$Clase : \underline{1}$$

$N_{pl,Rd}$: Resistencia a compresi3n de la secci3n bruta.

$$N_{pl,Rd} : \underline{106.791} \quad t$$

$M_{pl,Rd,y}$, $M_{pl,Rd,z}$: Resistencia a flexi3n de la secci3n bruta en condiciones
pl3sticas, respecto a los ejes Y y Z, respectivamente.

$$M_{pl,Rd,y} : \underline{4.314} \quad t \cdot m$$

$$M_{pl,Rd,z} : \underline{4.592} \quad t \cdot m$$

Resistencia a pandeo: (CTE DB SE-A, Art3culo 6.3.4.2)

A: 3rea de la secci3n bruta.

$$A : \underline{40.00} \quad cm^2$$

$W_{pl,y}$, $W_{pl,z}$: M3dulos resistentes pl3sticos correspondientes a la fibra
compresionada, alrededor de los ejes Y y Z, respectivamente.

$$W_{pl,y} : \underline{161.60} \quad cm^3$$

$$W_{pl,z} : \underline{172.00} \quad cm^3$$

f_{yd} : Resistencia de c3lculo del acero.

$$f_{yd} : \underline{2669.77} \quad kp/cm^2$$

$$f_{yd} = f_y / \gamma_{M1}$$

Siendo:

f_y : L3mite el3stico. (CTE DB SE-A, Tabla 4.1)

$$f_y : \underline{2803.26} \quad kp/cm^2$$

γ_{M1} : Coeficiente parcial de seguridad del material.

$$\gamma_{M1} : \underline{1.05}$$

k_y , k_z : Coeficientes de interacci3n.

$$k_y = 1 + (\bar{\lambda}_y - 0.2) \cdot \frac{N_{c,Ed}}{\chi_y \cdot N_{c,Rd}}$$

$$k_y : \underline{1.00}$$

$$k_z = 1 + (\bar{\lambda}_z - 0.2) \cdot \frac{N_{c,Ed}}{\chi_z \cdot N_{c,Rd}}$$

$$k_z : \underline{1.00}$$

$C_{m,y}$, $C_{m,z}$: Factores de momento flector uniforme equivalente.

$$C_{m,y} : \underline{1.00}$$

$$C_{m,z} : \underline{1.00}$$

c_y , c_z : Coeficientes de reducci3n por pandeo, alrededor de los ejes Y y
Z, respectivamente.

$$c_y : \underline{1.00}$$

$$c_z : \underline{1.00}$$

$\bar{\lambda}_y$, $\bar{\lambda}_z$: Esbelteces reducidas con valores no mayores que 1.00, en
relaci3n a los ejes Y y Z, respectivamente.

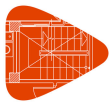
$$\bar{\lambda}_y : \underline{0.16}$$

$$\bar{\lambda}_z : \underline{0.15}$$

a_y , a_z : Factores dependientes de la clase de la secci3n.

$$a_y : \underline{0.60}$$

$$a_z : \underline{0.60}$$



Listados

DESARROLLO DE PROYECTO EJECUTIVO DE REFORMA DE LA PISCINA DEL
COLEGIO PÁLCAM

Fecha: 28/03/18

Resistencia a flexión, axil y cortante combinados (CTE DB SE-A, Artículo 6.2.8)

No es necesario reducir las resistencias de cálculo a flexión y a axil, ya que se puede ignorar el efecto de abolladura por esfuerzo cortante y, además, el esfuerzo cortante solicitante de cálculo pésimo V_{Ed} es menor o igual que el 50% del esfuerzo cortante resistente de cálculo $V_{c,Rd}$.

Los esfuerzos solicitantes de cálculo pésimos se producen para la combinación de acciones $1.35 \cdot PP + 1.35 \cdot CM1 + 1.35 \cdot CM2 + 1.5 \cdot Q1$.

$$V_{Ed,z} \leq \frac{V_{c,Rd,z}}{2}$$

$$7.429 \text{ t} \leq 16.031 \text{ t}$$



Donde:

$V_{Ed,z}$: Esfuerzo cortante solicitante de cálculo pésimo.

$$V_{Ed,z} : \frac{7.429}{t}$$

$V_{c,Rd,z}$: Esfuerzo cortante resistente de cálculo.

$$V_{c,Rd,z} : \frac{32.061}{t}$$

Resistencia a torsión (CTE DB SE-A, Artículo 6.2.7)

La comprobación no procede, ya que no hay momento torsor.

Resistencia a cortante Z y momento torsor combinados (CTE DB SE-A, Artículo 6.2.8)

No hay interacción entre momento torsor y esfuerzo cortante para ninguna combinación. Por lo tanto, la comprobación no procede.

Resistencia a cortante Y y momento torsor combinados (CTE DB SE-A, Artículo 6.2.8)

No hay interacción entre momento torsor y esfuerzo cortante para ninguna combinación. Por lo tanto, la comprobación no procede.



Listados

DESARROLLO DE PROYECTO EJECUTIVO DE REFORMA DE LA PISCINA DEL
COLEGIO PÁLCAM

Fecha: 28/03/18

Barra N11/N12

Perfil: HE 450 B
Material: Acero (S275)



| Nudos | | Longitud (m) | Características mecánicas | | | |
|---|----------|--------------|---------------------------|-------------------------------------|-------------------------------------|-------------------------------------|
| Inicial | Final | | Área (cm²) | I _y ⁽¹⁾ (cm4) | I _z ⁽¹⁾ (cm4) | I _t ⁽²⁾ (cm4) |
| N11 | N12 | 0.950 | 218.00 | 79890.00 | 11720.00 | 440.50 |
| Notas: ⁽¹⁾ Inercia respecto al eje indicado ⁽²⁾ Momento de inercia a torsión uniforme | | | | | | |
| | Pandeo | | Pandeo lateral | | | |
| | Plano XY | | Plano XZ | Ala sup. | | Ala inf. |
| β | 1.00 | | 1.00 | 0.00 | | 0.00 |
| L _K | 0.950 | | 0.950 | 0.000 | | 0.000 |
| C _m | 1.000 | | 1.000 | 1.000 | | 1.000 |
| C ₁ | - | | | 1.000 | | |
| Notación: b: Coeficiente de pandeo L _K : Longitud de pandeo (m) C _m : Coeficiente de momentos C ₁ : Factor de modificación para el momento crítico | | | | | | |

Limitación de esbeltez (CTE DB SE-A, Artículos 6.3.1 y 6.3.2.1 - Tabla 6.3)

La esbeltez reducida $\bar{\lambda}$ de las barras comprimidas debe ser inferior al valor 2.0.

$$\bar{\lambda} = \sqrt{\frac{A \cdot f_y}{N_{cr}}}$$

$\bar{\lambda}$: 0.15 ✓

Donde:

Clase: Clase de la sección, según la capacidad de deformación y de desarrollo de la resistencia plástica de los elementos planos comprimidos de una sección.

Clase : 1

A: Área de la sección bruta para las secciones de clase 1, 2 y 3.

A : 218.00 cm²

f_y: Límite elástico. (CTE DB SE-A, Tabla 4.1)

f_y : 2701.33 kp/cm²

N_{cr}: Axil crítico de pandeo elástico.

N_{cr} : 27436.609 t

El axil crítico de pandeo elástico N_{cr} es el menor de los valores obtenidos en a), b) y c):

a) Axil crítico elástico de pandeo por flexión respecto al eje Y.

N_{cr,y} : 187023.097 t

$$N_{cr,y} = \frac{\pi^2 \cdot E \cdot I_y}{L_{ky}^2}$$

b) Axil crítico elástico de pandeo por flexión respecto al eje Z.

N_{cr,z} : 27436.609 t

$$N_{cr,z} = \frac{\pi^2 \cdot E \cdot I_z}{L_{kz}^2}$$

c) Axil crítico elástico de pandeo por torsión.

N_{cr,T} : ∞

$$N_{cr,T} = \frac{1}{i_0^2} \cdot \left[G \cdot I_t + \frac{\pi^2 \cdot E \cdot I_w}{L_{kt}^2} \right]$$

Donde:

I_y: Momento de inercia de la sección bruta, respecto al eje Y.

I_y : 79890.00 cm⁴



Listados

DESARROLLO DE PROYECTO EJECUTIVO DE REFORMA DE LA PISCINA DEL
COLEGIO PÁLCAM

Fecha: 28/03/18

I_z : Momento de inercia de la sección bruta, respecto al eje Z.

I_z : 11720.00 cm⁴

I_t : Momento de inercia a torsión uniforme.

I_t : 440.50 cm⁴

I_w : Constante de alabeo de la sección.

I_w : 5258000.00 cm⁶

E: Módulo de elasticidad.

E : 2140673 kp/cm²

G: Módulo de elasticidad transversal.

G : 825688 kp/cm²

L_{ky} : Longitud efectiva de pandeo por flexión, respecto al eje Y.

L_{ky} : 0.950 m

L_{kz} : Longitud efectiva de pandeo por flexión, respecto al eje Z.

L_{kz} : 0.950 m

L_{kt} : Longitud efectiva de pandeo por torsión.

L_{kt} : 0.000 m

i_o : Radio de giro polar de la sección bruta, respecto al centro de torsión.

i_o : 20.50 cm

$$i_o = (i_y^2 + i_z^2 + y_o^2 + z_o^2)^{0.5}$$

Siendo:

i_y , i_z : Radios de giro de la sección bruta, respecto a los ejes principales de inercia Y y Z.

i_y : 19.14 cm

i_z : 7.33 cm

y_o , z_o : Coordenadas del centro de torsión en la dirección de los ejes principales Y y Z, respectivamente, relativas al centro de gravedad de la sección.

y_o : 0.00 mm

z_o : 0.00 mm

Abolladura del alma inducida por el ala comprimida (Criterio de CYPE Ingenieros, basado en: Eurocódigo 3 EN 1993-1-5: 2006, Artículo 8)

Se debe satisfacer:

$$\frac{h_w}{t_w} \leq k \frac{E}{f_{yf}} \sqrt{\frac{A_w}{A_{fc,ef}}}$$

28.43 ≤ 200.93 ✓

Donde:

h_w : Altura del alma.

h_w : 398.00 mm

t_w : Espesor del alma.

t_w : 14.00 mm

A_w : Área del alma.

A_w : 55.72 cm²

$A_{fc,ef}$: Área reducida del ala comprimida.

$A_{fc,ef}$: 78.00 cm²

k: Coeficiente que depende de la clase de la sección.

k : 0.30

E: Módulo de elasticidad.

E : 2140673 kp/cm²

f_{yf} : Límite elástico del acero del ala comprimida.

f_{yf} : 2701.33 kp/cm²

Siendo:

$$f_{yf} = f_y$$

Resistencia a tracción (CTE DB SE-A, Artículo 6.2.3)

La comprobación no procede, ya que no hay axil de tracción.



Listados

DESARROLLO DE PROYECTO EJECUTIVO DE REFORMA DE LA PISCINA DEL
COLEGIO PÁLCAM

Fecha: 28/03/18

Resistencia a compresión (CTE DB SE-A, Artículo 6.2.5)

Se debe satisfacer:

$$\eta = \frac{N_{c,Ed}}{N_{c,Rd}} \leq 1$$

h : 0.426 ✓

El esfuerzo solicitante de cálculo pésimo se produce para la combinación de acciones 1.35·PP+1.35·CM1+1.35·CM2+1.5·Q1.

$N_{c,Ed}$: Axil de compresión solicitante de cálculo pésimo.

$N_{c,Ed}$: 238.872 t

La resistencia de cálculo a compresión $N_{c,Rd}$ viene dada por:

$$N_{c,Rd} = A \cdot f_{yd}$$

$N_{c,Rd}$: 560.847 t

Donde:

Clase: Clase de la sección, según la capacidad de deformación y de desarrollo de la resistencia plástica de los elementos planos comprimidos de una sección.

Clase : 1

A: Área de la sección bruta para las secciones de clase 1, 2 y 3.

A : 218.00 cm²

f_{yd} : Resistencia de cálculo del acero.

f_{yd} : 2572.69 kp/cm²

$$f_{yd} = f_y / \gamma_{M0}$$

Siendo:

f_y : Límite elástico. (CTE DB SE-A, Tabla 4.1)

f_y : 2701.33 kp/cm²

γ_{M0} : Coeficiente parcial de seguridad del material.

γ_{M0} : 1.05

Resistencia a pandeo: (CTE DB SE-A, Artículo 6.3.2)

Para esbelteces $\lambda \leq 0.2$ se puede omitir la comprobación frente a pandeo, y comprobar únicamente la resistencia de la sección transversal.

λ : Esbeltez reducida.

λ : 0.15

$$\lambda = \sqrt{\frac{A \cdot f_y}{N_{cr}}}$$

Donde:

A: Área de la sección bruta para las secciones de clase 1, 2 y 3.

A : 218.00 cm²

f_y : Límite elástico. (CTE DB SE-A, Tabla 4.1)

f_y : 2701.33 kp/cm²

N_{cr} : Axil crítico elástico de pandeo, obtenido como el menor de los siguientes valores:

N_{cr} : 27436.609 t

$N_{cr,y}$: Axil crítico elástico de pandeo por flexión respecto al eje Y.

$N_{cr,y}$: 187023.097 t

$N_{cr,z}$: Axil crítico elástico de pandeo por flexión respecto al eje Z.

$N_{cr,z}$: 27436.609 t

$N_{cr,T}$: Axil crítico elástico de pandeo por torsión.

$N_{cr,T}$: ∞



Listados

DESARROLLO DE PROYECTO EJECUTIVO DE REFORMA DE LA PISCINA DEL
COLEGIO PÀLCAM

Fecha: 28/03/18

Resistencia a flexión eje Y (CTE DB SE-A, Artículo 6.2.6)

Se debe satisfacer:

$$\eta = \frac{M_{Ed}}{M_{c,Rd}} \leq 1$$

$$h : \underline{0.315} \quad \checkmark$$

Para flexión positiva:

El esfuerzo solicitante de cálculo pésimo se produce en el nudo N11, para la combinación de acciones 1.35·PP+1.35·CM1+1.35·CM2+1.5·Q1.

M_{Ed}^+ : Momento flector solicitante de cálculo pésimo.

$$M_{Ed}^+ : \underline{32.318} \text{ t·m}$$

Para flexión negativa:

M_{Ed}^- : Momento flector solicitante de cálculo pésimo.

$$M_{Ed}^- : \underline{0.000} \text{ t·m}$$

El momento flector resistente de cálculo $M_{c,Rd}$ viene dado por:

$$M_{c,Rd} = W_{pl,y} \cdot f_{yd}$$

$$M_{c,Rd} : \underline{102.445} \text{ t·m}$$

Donde:

Clase: Clase de la sección, según la capacidad de deformación y de desarrollo de la resistencia plástica de los elementos planos de una sección a flexión simple.

$$\text{Clase} : \underline{1}$$

$W_{pl,y}$: Módulo resistente plástico correspondiente a la fibra con mayor tensión, para las secciones de clase 1 y 2.

$$W_{pl,y} : \underline{3982.00} \text{ cm}^3$$

f_{yd} : Resistencia de cálculo del acero.

$$f_{yd} : \underline{2572.69} \text{ kp/cm}^2$$

$$f_{yd} = f_y / \gamma_{M0}$$

Siendo:

f_y : Límite elástico. (CTE DB SE-A, Tabla 4.1)

$$f_y : \underline{2701.33} \text{ kp/cm}^2$$

γ_{M0} : Coeficiente parcial de seguridad del material.

$$\gamma_{M0} : \underline{1.05}$$

Resistencia a pandeo lateral: (CTE DB SE-A, Artículo 6.3.3.2)

No procede, dado que las longitudes de pandeo lateral son nulas.

Resistencia a flexión eje Z (CTE DB SE-A, Artículo 6.2.6)

La comprobación no procede, ya que no hay momento flector.



Listados

DESARROLLO DE PROYECTO EJECUTIVO DE REFORMA DE LA PISCINA DEL
COLEGIO PÁLCAM

Fecha: 28/03/18

Resistencia a corte Z (CTE DB SE-A, Artículo 6.2.4)

Se debe satisfacer:

$$\eta = \frac{V_{Ed}}{V_{c,Rd}} \leq 1$$

$$h : \underline{0.147} \quad \checkmark$$

El esfuerzo solicitante de cálculo pésimo se produce en el nudo N12, para la combinación de acciones 1.35·PP+1.35·CM1+1.35·CM2+1.5·Q1.

V_{Ed} : Esfuerzo cortante solicitante de cálculo pésimo.

$$V_{Ed} : \underline{13.726} \text{ t}$$

El esfuerzo cortante resistente de cálculo $V_{c,Rd}$ viene dado por:

$$V_{c,Rd} = A_v \cdot \frac{f_{yd}}{\sqrt{3}}$$

$$V_{c,Rd} : \underline{93.577} \text{ t}$$

Donde:

A_v : Área transversal a cortante.

$$A_v : \underline{63.00} \text{ cm}^2$$

$$A_v = h \cdot t_w$$

Siendo:

h: Canto de la sección.

$$h : \underline{450.00} \text{ mm}$$

t_w : Espesor del alma.

$$t_w : \underline{14.00} \text{ mm}$$

f_{yd} : Resistencia de cálculo del acero.

$$f_{yd} : \underline{2572.69} \text{ kp/cm}^2$$

$$f_{yd} = f_y / \gamma_{M0}$$

Siendo:

f_y : Límite elástico. (CTE DB SE-A, Tabla 4.1)

$$f_y : \underline{2701.33} \text{ kp/cm}^2$$

γ_{M0} : Coeficiente parcial de seguridad del material.

$$\gamma_{M0} : \underline{1.05}$$

Abolladura por cortante del alma: (CTE DB SE-A, Artículo 6.3.3.4)

Aunque no se han dispuesto rigidizadores transversales, no es necesario comprobar la resistencia a la abolladura del alma, puesto que se cumple:

$$\frac{d}{t_w} < 70 \cdot \varepsilon$$

$$28.43 < 65.92 \quad \checkmark$$

Donde:

l_w : Esbeltez del alma.

$$l_w : \underline{28.43}$$

$$\lambda_w = \frac{d}{t_w}$$

$l_{m\acute{a}x}$: Esbeltez máxima.

$$l_{m\acute{a}x} : \underline{65.92}$$

$$\lambda_{m\acute{a}x} = 70 \cdot \varepsilon$$

e: Factor de reducción.

$$e : \underline{0.94}$$

$$\varepsilon = \sqrt{\frac{f_{ref}}{f_y}}$$

Siendo:

f_{ref} : Límite elástico de referencia.

$$f_{ref} : \underline{2395.51} \text{ kp/cm}^2$$

f_y : Límite elástico. (CTE DB SE-A, Tabla 4.1)

$$f_y : \underline{2701.33} \text{ kp/cm}^2$$



Listados

DESARROLLO DE PROYECTO EJECUTIVO DE REFORMA DE LA PISCINA DEL
COLEGIO PÁLCAM

Fecha: 28/03/18

Resistencia a corte Y (CTE DB SE-A, Artículo 6.2.4)

La comprobación no procede, ya que no hay esfuerzo cortante.

Resistencia a momento flector Y y fuerza cortante Z combinados (CTE DB SE-A, Artículo 6.2.8)

No es necesario reducir la resistencia de cálculo a flexión, ya que el esfuerzo cortante solicitante de cálculo pésimo V_{Ed} no es superior al 50% de la resistencia de cálculo a cortante $V_{c,Rd}$.

$$V_{Ed} \leq \frac{V_{c,Rd}}{2}$$

$$13.507 \text{ t} \leq 46.788 \text{ t} \quad \checkmark$$

Los esfuerzos solicitantes de cálculo pésimos se producen para la combinación de acciones $1.35 \cdot PP + 1.35 \cdot CM1 + 1.35 \cdot CM2 + 1.5 \cdot Q1$.

V_{Ed} : Esfuerzo cortante solicitante de cálculo pésimo.

$$V_{Ed} : \underline{13.507} \text{ t}$$

$V_{c,Rd}$: Esfuerzo cortante resistente de cálculo.

$$V_{c,Rd} : \underline{93.577} \text{ t}$$

Resistencia a momento flector Z y fuerza cortante Y combinados (CTE DB SE-A, Artículo 6.2.8)

No hay interacción entre momento flector y esfuerzo cortante para ninguna combinación. Por lo tanto, la comprobación no procede.



Listados

DESARROLLO DE PROYECTO EJECUTIVO DE REFORMA DE LA PISCINA DEL
COLEGIO PÁLCAM

Fecha: 28/03/18

Resistencia a flexión y axil combinados (CTE DB SE-A, Artículo 6.2.8)

Se debe satisfacer:

$$\eta = \frac{N_{c,Ed}}{N_{pl,Rd}} + \frac{M_{y,Ed}}{M_{pl,Rd,y}} + \frac{M_{z,Ed}}{M_{pl,Rd,z}} \leq 1$$

$$h : \underline{0.741} \quad \checkmark$$

$$\eta = \frac{N_{c,Ed}}{\chi_y \cdot A \cdot f_{yd}} + k_y \cdot \frac{C_{m,y} \cdot M_{y,Ed}}{\chi_{LT} \cdot W_{pl,y} \cdot f_{yd}} + \alpha_z \cdot k_z \cdot \frac{C_{m,z} \cdot M_{z,Ed}}{W_{pl,z} \cdot f_{yd}} \leq 1$$

$$h : \underline{0.741} \quad \checkmark$$

$$\eta = \frac{N_{c,Ed}}{\chi_z \cdot A \cdot f_{yd}} + \alpha_y \cdot k_y \cdot \frac{C_{m,y} \cdot M_{y,Ed}}{W_{pl,y} \cdot f_{yd}} + k_z \cdot \frac{C_{m,z} \cdot M_{z,Ed}}{W_{pl,z} \cdot f_{yd}} \leq 1$$

$$h : \underline{0.615} \quad \checkmark$$

Los esfuerzos solicitantes de cálculo pésimos se producen en el nudo N11, para la combinación de acciones 1.35·PP+1.35·CM1+1.35·CM2+1.5·Q1.

Donde:

$N_{c,Ed}$: Axil de compresión solicitante de cálculo pésimo.

$$N_{c,Ed} : \underline{238.872} \text{ t}$$

$M_{y,Ed}$, $M_{z,Ed}$: Momentos flectores solicitantes de cálculo pésimos, según los ejes Y y Z, respectivamente.

$$M_{y,Ed}^+ : \underline{32.318} \text{ t·m}$$

$$M_{z,Ed}^+ : \underline{0.000} \text{ t·m}$$

Clase: Clase de la sección, según la capacidad de deformación y de desarrollo de la resistencia plástica de sus elementos planos, para axil y flexión simple.

$$\text{Clase} : \underline{1}$$

$N_{pl,Rd}$: Resistencia a compresión de la sección bruta.

$$N_{pl,Rd} : \underline{560.847} \text{ t}$$

$M_{pl,Rd,y}$, $M_{pl,Rd,z}$: Resistencia a flexión de la sección bruta en condiciones plásticas, respecto a los ejes Y y Z, respectivamente.

$$M_{pl,Rd,y} : \underline{102.445} \text{ t·m}$$

$$M_{pl,Rd,z} : \underline{30.821} \text{ t·m}$$

Resistencia a pandeo: (CTE DB SE-A, Artículo 6.3.4.2)

A: Área de la sección bruta.

$$A : \underline{218.00} \text{ cm}^2$$

$W_{pl,y}$, $W_{pl,z}$: Módulos resistentes plásticos correspondientes a la fibra comprimida, alrededor de los ejes Y y Z, respectivamente.

$$W_{pl,y} : \underline{3982.00} \text{ cm}^3$$

$$W_{pl,z} : \underline{1198.00} \text{ cm}^3$$

f_{yd} : Resistencia de cálculo del acero.

$$f_{yd} : \underline{2572.69} \text{ kp/cm}^2$$

$$f_{yd} = f_y / \gamma_{M1}$$

Siendo:

f_y : Límite elástico. (CTE DB SE-A, Tabla 4.1)

$$f_y : \underline{2701.33} \text{ kp/cm}^2$$

γ_{M1} : Coeficiente parcial de seguridad del material.

$$\gamma_{M1} : \underline{1.05}$$

k_y , k_z : Coeficientes de interacción.

$$k_y = 1 + (\bar{\lambda}_y - 0.2) \cdot \frac{N_{c,Ed}}{\chi_y \cdot N_{c,Rd}}$$

$$k_y : \underline{1.00}$$

$$k_z = 1 + (2 \cdot \bar{\lambda}_z - 0.6) \cdot \frac{N_{c,Ed}}{\chi_z \cdot N_{c,Rd}}$$

$$k_z : \underline{1.00}$$

$C_{m,y}$, $C_{m,z}$: Factores de momento flector uniforme equivalente.

$$C_{m,y} : \underline{1.00}$$

$$C_{m,z} : \underline{1.00}$$

c_y , c_z : Coeficientes de reducción por pandeo, alrededor de los ejes Y y Z, respectivamente.

$$c_y : \underline{1.00}$$

$$c_z : \underline{1.00}$$

$\bar{\lambda}_y$, $\bar{\lambda}_z$: Esbelteces reducidas con valores no mayores que 1.00, en relación a los ejes Y y Z, respectivamente.

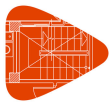
$$\bar{\lambda}_y : \underline{0.06}$$

$$\bar{\lambda}_z : \underline{0.15}$$

a_y , a_z : Factores dependientes de la clase de la sección.

$$a_y : \underline{0.60}$$

$$a_z : \underline{0.60}$$



Listados

DESARROLLO DE PROYECTO EJECUTIVO DE REFORMA DE LA PISCINA DEL
COLEGIO PÁLCAM

Fecha: 28/03/18

Resistencia a flexión, axil y cortante combinados (CTE DB SE-A, Artículo 6.2.8)

No es necesario reducir las resistencias de cálculo a flexión y a axil, ya que se puede ignorar el efecto de abolladura por esfuerzo cortante y, además, el esfuerzo cortante solicitante de cálculo pésimo V_{Ed} es menor o igual que el 50% del esfuerzo cortante resistente de cálculo $V_{c,Rd}$.

Los esfuerzos solicitantes de cálculo pésimos se producen para la combinación de acciones $1.35 \cdot PP + 1.35 \cdot CM1 + 1.35 \cdot CM2 + 1.5 \cdot Q1$.

$$V_{Ed,z} \leq \frac{V_{c,Rd,z}}{2}$$

$$13.507 \text{ t} \leq 46.788 \text{ t}$$



Donde:

$V_{Ed,z}$: Esfuerzo cortante solicitante de cálculo pésimo.

$$V_{Ed,z} : \frac{13.507}{t}$$

$V_{c,Rd,z}$: Esfuerzo cortante resistente de cálculo.

$$V_{c,Rd,z} : \frac{93.577}{t}$$

Resistencia a torsión (CTE DB SE-A, Artículo 6.2.7)

La comprobación no procede, ya que no hay momento torsor.

Resistencia a cortante Z y momento torsor combinados (CTE DB SE-A, Artículo 6.2.8)

No hay interacción entre momento torsor y esfuerzo cortante para ninguna combinación. Por lo tanto, la comprobación no procede.

Resistencia a cortante Y y momento torsor combinados (CTE DB SE-A, Artículo 6.2.8)

No hay interacción entre momento torsor y esfuerzo cortante para ninguna combinación. Por lo tanto, la comprobación no procede.



Listados

DESARROLLO DE PROYECTO EJECUTIVO DE REFORMA DE LA PISCINA DEL
COLEGIO PÁLCAM

Fecha: 28/03/18

I_z : Momento de inercia de la sección bruta, respecto al eje Z.

I_z : 11720.00 cm⁴

I_t : Momento de inercia a torsión uniforme.

I_t : 440.50 cm⁴

I_w : Constante de alabeo de la sección.

I_w : 5258000.00 cm⁶

E: Módulo de elasticidad.

E : 2140673 kp/cm²

G: Módulo de elasticidad transversal.

G : 825688 kp/cm²

L_{ky} : Longitud efectiva de pandeo por flexión, respecto al eje Y.

L_{ky} : 0.950 m

L_{kz} : Longitud efectiva de pandeo por flexión, respecto al eje Z.

L_{kz} : 0.950 m

L_{kt} : Longitud efectiva de pandeo por torsión.

L_{kt} : 0.000 m

i_o : Radio de giro polar de la sección bruta, respecto al centro de torsión.

i_o : 20.50 cm

$$i_o = (i_y^2 + i_z^2 + y_o^2 + z_o^2)^{0.5}$$

Siendo:

i_y , i_z : Radios de giro de la sección bruta, respecto a los ejes principales de inercia Y y Z.

i_y : 19.14 cm

i_z : 7.33 cm

y_o , z_o : Coordenadas del centro de torsión en la dirección de los ejes principales Y y Z, respectivamente, relativas al centro de gravedad de la sección.

y_o : 0.00 mm

z_o : 0.00 mm

Abolladura del alma inducida por el ala comprimida (Criterio de CYPE Ingenieros, basado en: Eurocódigo 3 EN 1993-1-5: 2006, Artículo 8)

Se debe satisfacer:

$$\frac{h_w}{t_w} \leq k \frac{E}{f_{yf}} \sqrt{\frac{A_w}{A_{fc,ef}}}$$

28.43 ≤ 200.93 ✓

Donde:

h_w : Altura del alma.

h_w : 398.00 mm

t_w : Espesor del alma.

t_w : 14.00 mm

A_w : Área del alma.

A_w : 55.72 cm²

$A_{fc,ef}$: Área reducida del ala comprimida.

$A_{fc,ef}$: 78.00 cm²

k: Coeficiente que depende de la clase de la sección.

k : 0.30

E: Módulo de elasticidad.

E : 2140673 kp/cm²

f_{yf} : Límite elástico del acero del ala comprimida.

f_{yf} : 2701.33 kp/cm²

Siendo:

$$f_{yf} = f_y$$

Resistencia a tracción (CTE DB SE-A, Artículo 6.2.3)

La comprobación no procede, ya que no hay axil de tracción.



Listados

DESARROLLO DE PROYECTO EJECUTIVO DE REFORMA DE LA PISCINA DEL
COLEGIO PÁLCAM

Fecha: 28/03/18

Resistencia a compresión (CTE DB SE-A, Artículo 6.2.5)

Se debe satisfacer:

$$\eta = \frac{N_{c,Ed}}{N_{c,Rd}} \leq 1$$

$$h : \underline{0.426} \quad \checkmark$$

El esfuerzo solicitante de cálculo pésimo se produce para la combinación de acciones 1.35·PP+1.35·CM1+1.35·CM2+1.5·Q1.

$N_{c,Ed}$: Axil de compresión solicitante de cálculo pésimo.

$$N_{c,Ed} : \underline{238.749} \quad t$$

La resistencia de cálculo a compresión $N_{c,Rd}$ viene dada por:

$$N_{c,Rd} = A \cdot f_{yd}$$

$$N_{c,Rd} : \underline{560.847} \quad t$$

Donde:

Clase: Clase de la sección, según la capacidad de deformación y de desarrollo de la resistencia plástica de los elementos planos comprimidos de una sección.

$$\text{Clase} : \underline{1}$$

A: Área de la sección bruta para las secciones de clase 1, 2 y 3.

$$A : \underline{218.00} \quad \text{cm}^2$$

f_{yd} : Resistencia de cálculo del acero.

$$f_{yd} : \underline{2572.69} \quad \text{kp/cm}^2$$

$$f_{yd} = f_y / \gamma_{M0}$$

Siendo:

f_y : Límite elástico. (CTE DB SE-A, Tabla 4.1)

$$f_y : \underline{2701.33} \quad \text{kp/cm}^2$$

γ_{M0} : Coeficiente parcial de seguridad del material.

$$\gamma_{M0} : \underline{1.05}$$

Resistencia a pandeo: (CTE DB SE-A, Artículo 6.3.2)

Para esbelteces $\lambda \leq 0.2$ se puede omitir la comprobación frente a pandeo, y comprobar únicamente la resistencia de la sección transversal.

λ : Esbeltez reducida.

$$\lambda : \underline{0.15}$$

$$\lambda = \sqrt{\frac{A \cdot f_y}{N_{cr}}}$$

Donde:

A: Área de la sección bruta para las secciones de clase 1, 2 y 3.

$$A : \underline{218.00} \quad \text{cm}^2$$

f_y : Límite elástico. (CTE DB SE-A, Tabla 4.1)

$$f_y : \underline{2701.33} \quad \text{kp/cm}^2$$

N_{cr} : Axil crítico elástico de pandeo, obtenido como el menor de los siguientes valores:

$$N_{cr} : \underline{27436.609} \quad t$$

$N_{cr,y}$: Axil crítico elástico de pandeo por flexión respecto al eje Y.

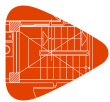
$$N_{cr,y} : \underline{187023.097} \quad t$$

$N_{cr,z}$: Axil crítico elástico de pandeo por flexión respecto al eje Z.

$$N_{cr,z} : \underline{27436.609} \quad t$$

$N_{cr,T}$: Axil crítico elástico de pandeo por torsión.

$$N_{cr,T} : \underline{\infty}$$



Listados

DESARROLLO DE PROYECTO EJECUTIVO DE REFORMA DE LA PISCINA DEL
COLEGIO PÀLCAM

Fecha: 28/03/18

Resistencia a flexión eje Y (CTE DB SE-A, Artículo 6.2.6)

Se debe satisfacer:

$$\eta = \frac{M_{Ed}}{M_{c,Rd}} \leq 1$$

$$h : \underline{0.315} \quad \checkmark$$

Para flexión positiva:

El esfuerzo solicitante de cálculo pésimo se produce en el nudo N9, para la combinación de acciones 1.35·PP+1.35·CM1+1.35·CM2+1.5·Q1.

M_{Ed}^+ : Momento flector solicitante de cálculo pésimo.

$$M_{Ed}^+ : \underline{32.301} \text{ t}\cdot\text{m}$$

Para flexión negativa:

M_{Ed}^- : Momento flector solicitante de cálculo pésimo.

$$M_{Ed}^- : \underline{0.000} \text{ t}\cdot\text{m}$$

El momento flector resistente de cálculo $M_{c,Rd}$ viene dado por:

$$M_{c,Rd} = W_{pl,y} \cdot f_{yd}$$

$$M_{c,Rd} : \underline{102.445} \text{ t}\cdot\text{m}$$

Donde:

Clase: Clase de la sección, según la capacidad de deformación y de desarrollo de la resistencia plástica de los elementos planos de una sección a flexión simple.

$$\text{Clase} : \underline{1}$$

$W_{pl,y}$: Módulo resistente plástico correspondiente a la fibra con mayor tensión, para las secciones de clase 1 y 2.

$$W_{pl,y} : \underline{3982.00} \text{ cm}^3$$

f_{yd} : Resistencia de cálculo del acero.

$$f_{yd} : \underline{2572.69} \text{ kp/cm}^2$$

$$f_{yd} = f_y / \gamma_{M0}$$

Siendo:

f_y : Límite elástico. (CTE DB SE-A, Tabla 4.1)

$$f_y : \underline{2701.33} \text{ kp/cm}^2$$

γ_{M0} : Coeficiente parcial de seguridad del material.

$$\gamma_{M0} : \underline{1.05}$$

Resistencia a pandeo lateral: (CTE DB SE-A, Artículo 6.3.3.2)

No procede, dado que las longitudes de pandeo lateral son nulas.

Resistencia a flexión eje Z (CTE DB SE-A, Artículo 6.2.6)

La comprobación no procede, ya que no hay momento flector.



Listados

DESARROLLO DE PROYECTO EJECUTIVO DE REFORMA DE LA PISCINA DEL
COLEGIO PÁLCAM

Fecha: 28/03/18

Resistencia a corte Z (CTE DB SE-A, Artículo 6.2.4)

Se debe satisfacer:

$$\eta = \frac{V_{Ed}}{V_{c,Rd}} \leq 1$$

$$h : \underline{0.147} \quad \checkmark$$

El esfuerzo solicitante de cálculo pésimo se produce en el nudo N8, para la combinación de acciones 1.35·PP+1.35·CM1+1.35·CM2+1.5·Q1.

V_{Ed} : Esfuerzo cortante solicitante de cálculo pésimo.

$$V_{Ed} : \underline{13.759} \text{ t}$$

El esfuerzo cortante resistente de cálculo $V_{c,Rd}$ viene dado por:

$$V_{c,Rd} = A_v \cdot \frac{f_{yd}}{\sqrt{3}}$$

$$V_{c,Rd} : \underline{93.577} \text{ t}$$

Donde:

A_v : Área transversal a cortante.

$$A_v : \underline{63.00} \text{ cm}^2$$

$$A_v = h \cdot t_w$$

Siendo:

h : Canto de la sección.

$$h : \underline{450.00} \text{ mm}$$

t_w : Espesor del alma.

$$t_w : \underline{14.00} \text{ mm}$$

f_{yd} : Resistencia de cálculo del acero.

$$f_{yd} : \underline{2572.69} \text{ kp/cm}^2$$

$$f_{yd} = f_y / \gamma_{M0}$$

Siendo:

f_y : Límite elástico. (CTE DB SE-A, Tabla 4.1)

$$f_y : \underline{2701.33} \text{ kp/cm}^2$$

γ_{M0} : Coeficiente parcial de seguridad del material.

$$\gamma_{M0} : \underline{1.05}$$

Abolladura por cortante del alma: (CTE DB SE-A, Artículo 6.3.3.4)

Aunque no se han dispuesto rigidizadores transversales, no es necesario comprobar la resistencia a la abolladura del alma, puesto que se cumple:

$$\frac{d}{t_w} < 70 \cdot \varepsilon$$

$$28.43 < 65.92 \quad \checkmark$$

Donde:

l_w : Esbeltez del alma.

$$l_w : \underline{28.43}$$

$$\lambda_w = \frac{d}{t_w}$$

$l_{m\acute{a}x}$: Esbeltez máxima.

$$l_{m\acute{a}x} : \underline{65.92}$$

$$\lambda_{m\acute{a}x} = 70 \cdot \varepsilon$$

ε : Factor de reducción.

$$\varepsilon : \underline{0.94}$$

$$\varepsilon = \sqrt{\frac{f_{ref}}{f_y}}$$

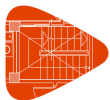
Siendo:

f_{ref} : Límite elástico de referencia.

$$f_{ref} : \underline{2395.51} \text{ kp/cm}^2$$

f_y : Límite elástico. (CTE DB SE-A, Tabla 4.1)

$$f_y : \underline{2701.33} \text{ kp/cm}^2$$



Listados

DESARROLLO DE PROYECTO EJECUTIVO DE REFORMA DE LA PISCINA DEL
COLEGIO PÁLCAM

Fecha: 28/03/18

Resistencia a corte Y (CTE DB SE-A, Artículo 6.2.4)

La comprobación no procede, ya que no hay esfuerzo cortante.

Resistencia a momento flector Y y fuerza cortante Z combinados (CTE DB SE-A, Artículo 6.2.8)

No es necesario reducir la resistencia de cálculo a flexión, ya que el esfuerzo cortante solicitante de cálculo pésimo V_{Ed} no es superior al 50% de la resistencia de cálculo a cortante $V_{c,Rd}$.

$$V_{Ed} \leq \frac{V_{c,Rd}}{2}$$

$$13.759 \text{ t} \leq 46.788 \text{ t} \quad \checkmark$$

Los esfuerzos solicitantes de cálculo pésimos se producen para la combinación de acciones $1.35 \cdot PP + 1.35 \cdot CM1 + 1.35 \cdot CM2 + 1.5 \cdot Q1$.

V_{Ed} : Esfuerzo cortante solicitante de cálculo pésimo.

$$V_{Ed} : \underline{13.759} \text{ t}$$

$V_{c,Rd}$: Esfuerzo cortante resistente de cálculo.

$$V_{c,Rd} : \underline{93.577} \text{ t}$$

Resistencia a momento flector Z y fuerza cortante Y combinados (CTE DB SE-A, Artículo 6.2.8)

No hay interacción entre momento flector y esfuerzo cortante para ninguna combinación. Por lo tanto, la comprobación no procede.



Listados

DESARROLLO DE PROYECTO EJECUTIVO DE REFORMA DE LA PISCINA DEL
COLEGIO PÁLCAM

Fecha: 28/03/18

Resistencia a flexión y axil combinados (CTE DB SE-A, Artículo 6.2.8)

Se debe satisfacer:

$$\eta = \frac{N_{c,Ed}}{N_{pl,Rd}} + \frac{M_{y,Ed}}{M_{pl,Rd,y}} + \frac{M_{z,Ed}}{M_{pl,Rd,z}} \leq 1$$

$$h : \underline{0.741} \quad \checkmark$$

$$\eta = \frac{N_{c,Ed}}{\chi_y \cdot A \cdot f_{yd}} + k_y \cdot \frac{C_{m,y} \cdot M_{y,Ed}}{\chi_{LT} \cdot W_{pl,y} \cdot f_{yd}} + \alpha_z \cdot k_z \cdot \frac{C_{m,z} \cdot M_{z,Ed}}{W_{pl,z} \cdot f_{yd}} \leq 1$$

$$h : \underline{0.741} \quad \checkmark$$

$$\eta = \frac{N_{c,Ed}}{\chi_z \cdot A \cdot f_{yd}} + \alpha_y \cdot k_y \cdot \frac{C_{m,y} \cdot M_{y,Ed}}{W_{pl,y} \cdot f_{yd}} + k_z \cdot \frac{C_{m,z} \cdot M_{z,Ed}}{W_{pl,z} \cdot f_{yd}} \leq 1$$

$$h : \underline{0.615} \quad \checkmark$$

Los esfuerzos solicitantes de cálculo pésimos se producen en el nudo N9, para la combinación de acciones 1.35·PP+1.35·CM1+1.35·CM2+1.5·Q1.

Donde:

$N_{c,Ed}$: Axil de compresión solicitante de cálculo pésimo.

$$N_{c,Ed} : \underline{238.749} \text{ t}$$

$M_{y,Ed}$, $M_{z,Ed}$: Momentos flectores solicitantes de cálculo pésimos, según los ejes Y y Z, respectivamente.

$$M_{y,Ed}^+ : \underline{32.301} \text{ t·m}$$

$$M_{z,Ed}^+ : \underline{0.000} \text{ t·m}$$

Clase: Clase de la sección, según la capacidad de deformación y de desarrollo de la resistencia plástica de sus elementos planos, para axil y flexión simple.

$$\text{Clase} : \underline{1}$$

$N_{pl,Rd}$: Resistencia a compresión de la sección bruta.

$$N_{pl,Rd} : \underline{560.847} \text{ t}$$

$M_{pl,Rd,y}$, $M_{pl,Rd,z}$: Resistencia a flexión de la sección bruta en condiciones plásticas, respecto a los ejes Y y Z, respectivamente.

$$M_{pl,Rd,y} : \underline{102.445} \text{ t·m}$$

$$M_{pl,Rd,z} : \underline{30.821} \text{ t·m}$$

Resistencia a pandeo: (CTE DB SE-A, Artículo 6.3.4.2)

A: Área de la sección bruta.

$$A : \underline{218.00} \text{ cm}^2$$

$W_{pl,y}$, $W_{pl,z}$: Módulos resistentes plásticos correspondientes a la fibra comprimida, alrededor de los ejes Y y Z, respectivamente.

$$W_{pl,y} : \underline{3982.00} \text{ cm}^3$$

$$W_{pl,z} : \underline{1198.00} \text{ cm}^3$$

f_{yd} : Resistencia de cálculo del acero.

$$f_{yd} : \underline{2572.69} \text{ kp/cm}^2$$

$$f_{yd} = f_y / \gamma_{M1}$$

Siendo:

f_y : Límite elástico. (CTE DB SE-A, Tabla 4.1)

$$f_y : \underline{2701.33} \text{ kp/cm}^2$$

γ_{M1} : Coeficiente parcial de seguridad del material.

$$\gamma_{M1} : \underline{1.05}$$

k_y , k_z : Coeficientes de interacción.

$$k_y = 1 + (\bar{\lambda}_y - 0.2) \cdot \frac{N_{c,Ed}}{\chi_y \cdot N_{c,Rd}}$$

$$k_y : \underline{1.00}$$

$$k_z = 1 + (2 \cdot \bar{\lambda}_z - 0.6) \cdot \frac{N_{c,Ed}}{\chi_z \cdot N_{c,Rd}}$$

$$k_z : \underline{1.00}$$

$C_{m,y}$, $C_{m,z}$: Factores de momento flector uniforme equivalente.

$$C_{m,y} : \underline{1.00}$$

$$C_{m,z} : \underline{1.00}$$

c_y , c_z : Coeficientes de reducción por pandeo, alrededor de los ejes Y y Z, respectivamente.

$$c_y : \underline{1.00}$$

$$c_z : \underline{1.00}$$

$\bar{\lambda}_y$, $\bar{\lambda}_z$: Esbelteces reducidas con valores no mayores que 1.00, en relación a los ejes Y y Z, respectivamente.

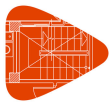
$$\bar{\lambda}_y : \underline{0.06}$$

$$\bar{\lambda}_z : \underline{0.15}$$

a_y , a_z : Factores dependientes de la clase de la sección.

$$a_y : \underline{0.60}$$

$$a_z : \underline{0.60}$$



Listados

DESARROLLO DE PROYECTO EJECUTIVO DE REFORMA DE LA PISCINA DEL
COLEGIO PÁLCAM

Fecha: 28/03/18

Resistencia a flexión, axil y cortante combinados (CTE DB SE-A, Artículo 6.2.8)

No es necesario reducir las resistencias de cálculo a flexión y a axil, ya que se puede ignorar el efecto de abolladura por esfuerzo cortante y, además, el esfuerzo cortante solicitante de cálculo pésimo V_{Ed} es menor o igual que el 50% del esfuerzo cortante resistente de cálculo $V_{c,Rd}$.

Los esfuerzos solicitantes de cálculo pésimos se producen para la combinación de acciones $1.35 \cdot PP + 1.35 \cdot CM1 + 1.35 \cdot CM2 + 1.5 \cdot Q1$.

$$V_{Ed,z} \leq \frac{V_{c,Rd,z}}{2}$$

$$13.759 \text{ t} \leq 46.788 \text{ t}$$



Donde:

$V_{Ed,z}$: Esfuerzo cortante solicitante de cálculo pésimo.

$$V_{Ed,z} : \underline{13.759} \text{ t}$$

$V_{c,Rd,z}$: Esfuerzo cortante resistente de cálculo.

$$V_{c,Rd,z} : \underline{93.577} \text{ t}$$

Resistencia a torsión (CTE DB SE-A, Artículo 6.2.7)

La comprobación no procede, ya que no hay momento torsor.

Resistencia a cortante Z y momento torsor combinados (CTE DB SE-A, Artículo 6.2.8)

No hay interacción entre momento torsor y esfuerzo cortante para ninguna combinación. Por lo tanto, la comprobación no procede.

Resistencia a cortante Y y momento torsor combinados (CTE DB SE-A, Artículo 6.2.8)

No hay interacción entre momento torsor y esfuerzo cortante para ninguna combinación. Por lo tanto, la comprobación no procede.

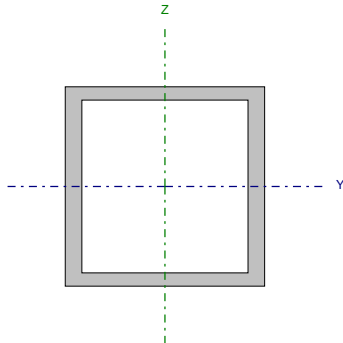


Listados

DESARROLLO DE PROYECTO EJECUTIVO DE REFORMA DE LA PISCINA DEL
COLEGIO PÁLCAM

Fecha: 28/03/18

Barra N16/N8

| Perfil: CA 120x10x120x8 Material: Acero (S275) | | | | | | | |
|---|---|----------|-----------------|----------------------------|--|--|--|
|  | Nudos | | Longitud (m) | Características mecánicas | | | |
| | Inicial | Final | | Área (cm ²) | I _y ⁽¹⁾ (cm4) | I _z ⁽¹⁾ (cm4) | I _t ⁽²⁾ (cm4) |
| | N16 | N8 | 0.600 | 40.00 | 790.61 | 861.33 | 1225.11 |
| | Notas: (1) Inercia respecto al eje indicado (2) Momento de inercia a torsión uniforme | | | | | | |
| | | Pandeo | | Pandeo lateral | | | |
| | | Plano XY | Plano XZ | Ala sup. | Ala inf. | | |
| | β | 1.00 | 1.00 | 0.00 | 0.00 | | |
| | L _K | 0.600 | 0.600 | 0.000 | 0.000 | | |
| | C _m | 1.000 | 1.000 | 1.000 | 1.000 | | |
| | C ₁ | - | | 1.000 | | | |
| Notación: b: Coeficiente de pandeo L _K : Longitud de pandeo (m) C _m : Coeficiente de momentos C ₁ : Factor de modificación para el momento crítico | | | | | | | |

Limitación de esbeltez (CTE DB SE-A, Artículos 6.3.1 y 6.3.2.1 - Tabla 6.3)

La esbeltez reducida $\bar{\lambda}$ de las barras comprimidas debe ser inferior al valor 2.0.

$$\bar{\lambda} = \sqrt{\frac{A \cdot f_y}{N_{cr}}}$$

$\bar{\lambda}$: 0.16 ✓

Donde:

Clase: Clase de la sección, según la capacidad de deformación y de desarrollo de la resistencia plástica de los elementos planos comprimidos de una sección.

Clase : 1

A: Área de la sección bruta para las secciones de clase 1, 2 y 3.

A : 40.00 cm²

f_y: Límite elástico. (CTE DB SE-A, Tabla 4.1)

f_y : 2803.26 kp/cm²

N_{cr}: Axil crítico de pandeo elástico.

N_{cr} : 4639.933 t

El axil crítico de pandeo elástico N_{cr} es el menor de los valores obtenidos en a), b) y c):

a) Axil crítico elástico de pandeo por flexión respecto al eje Y.

N_{cr,y} : 4639.933 t

$$N_{cr,y} = \frac{\pi^2 \cdot E \cdot I_y}{L_{ky}^2}$$

b) Axil crítico elástico de pandeo por flexión respecto al eje Z.

N_{cr,z} : 5054.972 t

$$N_{cr,z} = \frac{\pi^2 \cdot E \cdot I_z}{L_{kz}^2}$$

c) Axil crítico elástico de pandeo por torsión.

N_{cr,T} : ∞

$$N_{cr,T} = \frac{1}{i_0^2} \cdot \left[G \cdot I_t + \frac{\pi^2 \cdot E \cdot I_w}{L_{kt}^2} \right]$$

Donde:

I_y: Momento de inercia de la sección bruta, respecto al eje Y.

I_y : 790.61 cm⁴



Listados

DESARROLLO DE PROYECTO EJECUTIVO DE REFORMA DE LA PISCINA DEL
COLEGIO PÁLCAM

Fecha: 28/03/18

I_z : Momento de inercia de la sección bruta, respecto al eje Z.

$$I_z : \underline{861.33} \text{ cm}^4$$

I_t : Momento de inercia a torsión uniforme.

$$I_t : \underline{1225.11} \text{ cm}^4$$

I_w : Constante de alabeo de la sección.

$$I_w : \underline{0.00} \text{ cm}^6$$

E: Módulo de elasticidad.

$$E : \underline{2140673} \text{ kp/cm}^2$$

G: Módulo de elasticidad transversal.

$$G : \underline{825688} \text{ kp/cm}^2$$

L_{ky} : Longitud efectiva de pandeo por flexión, respecto al eje Y.

$$L_{ky} : \underline{0.600} \text{ m}$$

L_{kz} : Longitud efectiva de pandeo por flexión, respecto al eje Z.

$$L_{kz} : \underline{0.600} \text{ m}$$

L_{kt} : Longitud efectiva de pandeo por torsión.

$$L_{kt} : \underline{0.000} \text{ m}$$

i_o : Radio de giro polar de la sección bruta, respecto al centro de torsión.

$$i_o : \underline{6.43} \text{ cm}$$

$$i_o = (i_y^2 + i_z^2 + y_o^2 + z_o^2)^{0.5}$$

Siendo:

i_y , i_z : Radios de giro de la sección bruta, respecto a los ejes principales de inercia Y y Z.

$$i_y : \underline{4.45} \text{ cm}$$

$$i_z : \underline{4.64} \text{ cm}$$

y_o , z_o : Coordenadas del centro de torsión en la dirección de los ejes principales Y y Z, respectivamente, relativas al centro de gravedad de la sección.

$$y_o : \underline{0.00} \text{ mm}$$

$$z_o : \underline{0.00} \text{ mm}$$

Abolladura del alma inducida por el ala comprimida (Criterio de CYPE Ingenieros, basado en: Eurocódigo 3 EN 1993-1-5: 2006, Artículo 8)

Se debe satisfacer:

$$\frac{h_w}{t_w} \leq k \frac{E}{f_{yf}} \sqrt{\frac{A_w}{A_{fc,ef}}}$$

$$10.40 \leq 337.21 \quad \checkmark$$

Donde:

h_w : Altura del alma.

$$h_w : \underline{104.00} \text{ mm}$$

t_w : Espesor del alma.

$$t_w : \underline{10.00} \text{ mm}$$

A_w : Área del alma.

$$A_w : \underline{20.80} \text{ cm}^2$$

$A_{fc,ef}$: Área reducida del ala comprimida.

$$A_{fc,ef} : \underline{9.60} \text{ cm}^2$$

k: Coeficiente que depende de la clase de la sección.

$$k : \underline{0.30}$$

E: Módulo de elasticidad.

$$E : \underline{2140673} \text{ kp/cm}^2$$

f_{yf} : Límite elástico del acero del ala comprimida.

$$f_{yf} : \underline{2803.26} \text{ kp/cm}^2$$

Siendo:

$$f_{yf} = f_y$$

Resistencia a tracción (CTE DB SE-A, Artículo 6.2.3)

La comprobación no procede, ya que no hay axil de tracción.



Listados

DESARROLLO DE PROYECTO EJECUTIVO DE REFORMA DE LA PISCINA DEL
COLEGIO PÁLCAM

Fecha: 28/03/18

Resistencia a compresión (CTE DB SE-A, Artículo 6.2.5)

Se debe satisfacer:

$$\eta = \frac{N_{c,Ed}}{N_{c,Rd}} \leq 1$$

$$h : \underline{0.255} \quad \checkmark$$

El esfuerzo solicitante de cálculo pésimo se produce en el nudo N16, para la combinación de acciones 1.35·PP+1.35·CM1+1.35·CM2+1.5·Q1.

$N_{c,Ed}$: Axil de compresión solicitante de cálculo pésimo.

$$N_{c,Ed} : \underline{27.178} \text{ t}$$

La resistencia de cálculo a compresión $N_{c,Rd}$ viene dada por:

$$N_{c,Rd} = A \cdot f_{yd}$$

$$N_{c,Rd} : \underline{106.791} \text{ t}$$

Donde:

Clase: Clase de la sección, según la capacidad de deformación y de desarrollo de la resistencia plástica de los elementos planos comprimidos de una sección.

$$\text{Clase} : \underline{1}$$

A: Área de la sección bruta para las secciones de clase 1, 2 y 3.

$$A : \underline{40.00} \text{ cm}^2$$

f_{yd} : Resistencia de cálculo del acero.

$$f_{yd} : \underline{2669.77} \text{ kp/cm}^2$$

$$f_{yd} = f_y / \gamma_{M0}$$

Siendo:

f_y : Límite elástico. (CTE DB SE-A, Tabla 4.1)

$$f_y : \underline{2803.26} \text{ kp/cm}^2$$

γ_{M0} : Coeficiente parcial de seguridad del material.

$$\gamma_{M0} : \underline{1.05}$$

Resistencia a pandeo: (CTE DB SE-A, Artículo 6.3.2)

Para esbelteces $\lambda \leq 0.2$ se puede omitir la comprobación frente a pandeo, y comprobar únicamente la resistencia de la sección transversal.

λ : Esbeltez reducida.

$$\lambda : \underline{0.16}$$

$$\lambda = \sqrt{\frac{A \cdot f_y}{N_{cr}}}$$

Donde:

A: Área de la sección bruta para las secciones de clase 1, 2 y 3.

$$A : \underline{40.00} \text{ cm}^2$$

f_y : Límite elástico. (CTE DB SE-A, Tabla 4.1)

$$f_y : \underline{2803.26} \text{ kp/cm}^2$$

N_{cr} : Axil crítico elástico de pandeo, obtenido como el menor de los siguientes valores:

$$N_{cr} : \underline{4639.933} \text{ t}$$

$N_{cr,y}$: Axil crítico elástico de pandeo por flexión respecto al eje Y.

$$N_{cr,y} : \underline{4639.933} \text{ t}$$

$N_{cr,z}$: Axil crítico elástico de pandeo por flexión respecto al eje Z.

$$N_{cr,z} : \underline{5054.972} \text{ t}$$

$N_{cr,T}$: Axil crítico elástico de pandeo por torsión.

$$N_{cr,T} : \underline{\infty}$$



Listados

DESARROLLO DE PROYECTO EJECUTIVO DE REFORMA DE LA PISCINA DEL
COLEGIO PÀLCAM

Fecha: 28/03/18

Resistencia a flexión eje Y (CTE DB SE-A, Artículo 6.2.6)

Se debe satisfacer:

$$\eta = \frac{M_{Ed}}{M_{c,Rd}} \leq 1$$

$$h : \underline{0.455} \quad \checkmark$$

Para flexión positiva:

M_{Ed}^+ : Momento flector solicitante de cálculo pésimo.

$$M_{Ed}^+ : \underline{0.000} \text{ t}\cdot\text{m}$$

Para flexión negativa:

El esfuerzo solicitante de cálculo pésimo se produce en el nudo N16, para la combinación de acciones 1.35·PP+1.35·CM1+1.35·CM2+1.5·Q1.

M_{Ed}^- : Momento flector solicitante de cálculo pésimo.

$$M_{Ed}^- : \underline{1.965} \text{ t}\cdot\text{m}$$

El momento flector resistente de cálculo $M_{c,Rd}$ viene dado por:

$$M_{c,Rd} = W_{pl,y} \cdot f_{yd}$$

$$M_{c,Rd} : \underline{4.314} \text{ t}\cdot\text{m}$$

Donde:

Clase: Clase de la sección, según la capacidad de deformación y de desarrollo de la resistencia plástica de los elementos planos de una sección a flexión simple.

$$\text{Clase} : \underline{1}$$

$W_{pl,y}$: Módulo resistente plástico correspondiente a la fibra con mayor tensión, para las secciones de clase 1 y 2.

$$W_{pl,y} : \underline{161.60} \text{ cm}^3$$

f_{yd} : Resistencia de cálculo del acero.

$$f_{yd} : \underline{2669.77} \text{ kp/cm}^2$$

$$f_{yd} = f_y / \gamma_{M0}$$

Siendo:

f_y : Límite elástico. (CTE DB SE-A, Tabla 4.1)

$$f_y : \underline{2803.26} \text{ kp/cm}^2$$

γ_{M0} : Coeficiente parcial de seguridad del material.

$$\gamma_{M0} : \underline{1.05}$$

Resistencia a flexión eje Z (CTE DB SE-A, Artículo 6.2.6)

La comprobación no procede, ya que no hay momento flector.



Listados

DESARROLLO DE PROYECTO EJECUTIVO DE REFORMA DE LA PISCINA DEL
COLEGIO PÁLCAM

Fecha: 28/03/18

Resistencia a corte Z (CTE DB SE-A, Artículo 6.2.4)

Se debe satisfacer:

$$\eta = \frac{V_{Ed}}{V_{c,Rd}} \leq 1$$

$$h : \underline{0.204} \quad \checkmark$$

El esfuerzo solicitante de cálculo pésimo se produce para la combinación de acciones 1.35·PP+1.35·CM1+1.35·CM2+1.5·Q1.

V_{Ed} : Esfuerzo cortante solicitante de cálculo pésimo.

$$V_{Ed} : \underline{6.538} \text{ t}$$

El esfuerzo cortante resistente de cálculo $V_{c,Rd}$ viene dado por:

$$V_{c,Rd} = A_v \cdot \frac{f_{yd}}{\sqrt{3}}$$

$$V_{c,Rd} : \underline{32.061} \text{ t}$$

Donde:

A_v : Área transversal a cortante.

$$A_v : \underline{20.80} \text{ cm}^2$$

$$A_v = 2 \cdot d \cdot t_w$$

Siendo:

d : Altura del alma.

$$d : \underline{104.00} \text{ mm}$$

t_w : Espesor del alma.

$$t_w : \underline{10.00} \text{ mm}$$

f_{yd} : Resistencia de cálculo del acero.

$$f_{yd} : \underline{2669.77} \text{ kp/cm}^2$$

$$f_{yd} = f_y / \gamma_{M0}$$

Siendo:

f_y : Límite elástico. (CTE DB SE-A, Tabla 4.1)

$$f_y : \underline{2803.26} \text{ kp/cm}^2$$

γ_{M0} : Coeficiente parcial de seguridad del material.

$$\gamma_{M0} : \underline{1.05}$$

Abolladura por cortante del alma: (CTE DB SE-A, Artículo 6.3.3.4)

Aunque no se han dispuesto rigidizadores transversales, no es necesario comprobar la resistencia a la abolladura del alma, puesto que se cumple:

$$\frac{d}{t_w} < 70 \cdot \varepsilon$$

$$10.40 < 64.71 \quad \checkmark$$

Donde:

l_w : Esbeltez del alma.

$$l_w : \underline{10.40}$$

$$\lambda_w = \frac{d}{t_w}$$

$l_{m\acute{a}x}$: Esbeltez máxima.

$$l_{m\acute{a}x} : \underline{64.71}$$

$$\lambda_{m\acute{a}x} = 70 \cdot \varepsilon$$

e : Factor de reducción.

$$e : \underline{0.92}$$

$$\varepsilon = \sqrt{\frac{f_{ref}}{f_y}}$$

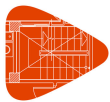
Siendo:

f_{ref} : Límite elástico de referencia.

$$f_{ref} : \underline{2395.51} \text{ kp/cm}^2$$

f_y : Límite elástico. (CTE DB SE-A, Tabla 4.1)

$$f_y : \underline{2803.26} \text{ kp/cm}^2$$



Listados

DESARROLLO DE PROYECTO EJECUTIVO DE REFORMA DE LA PISCINA DEL
COLEGIO PÁLCAM

Fecha: 28/03/18

Resistencia a corte Y (CTE DB SE-A, Artículo 6.2.4)

La comprobación no procede, ya que no hay esfuerzo cortante.

Resistencia a momento flector Y y fuerza cortante Z combinados (CTE DB SE-A, Artículo 6.2.8)

No es necesario reducir la resistencia de cálculo a flexión, ya que el esfuerzo cortante solicitante de cálculo V_{Ed} no es superior al 50% de la resistencia de cálculo a cortante $V_{c,Rd}$.

$$V_{Ed} \leq \frac{V_{c,Rd}}{2}$$

$$6.538 \text{ t} \leq 16.031 \text{ t} \quad \checkmark$$

Los esfuerzos solicitantes de cálculo p^{és}imos se producen para la combinación de acciones 1.35·PP+1.35·CM1+1.35·CM2+1.5·Q1.

V_{Ed} : Esfuerzo cortante solicitante de cálculo p^{és}imo.

$$V_{Ed} : \underline{6.538} \text{ t}$$

$V_{c,Rd}$: Esfuerzo cortante resistente de cálculo.

$$V_{c,Rd} : \underline{32.061} \text{ t}$$

Resistencia a momento flector Z y fuerza cortante Y combinados (CTE DB SE-A, Artículo 6.2.8)

No hay interacción entre momento flector y esfuerzo cortante para ninguna combinación. Por lo tanto, la comprobación no procede.



Listados

DESARROLLO DE PROYECTO EJECUTIVO DE REFORMA DE LA PISCINA DEL
COLEGIO PÁLCAM

Fecha: 28/03/18

Resistencia a flexión y axil combinados (CTE DB SE-A, Artículo 6.2.8)

Se debe satisfacer:

$$\eta = \frac{N_{c,Ed}}{N_{pl,Rd}} + \frac{M_{y,Ed}}{M_{pl,Rd,y}} + \frac{M_{z,Ed}}{M_{pl,Rd,z}} \leq 1$$

$$h : \underline{0.710} \quad \checkmark$$

$$\eta = \frac{N_{c,Ed}}{\chi_y \cdot A \cdot f_{yd}} + k_y \cdot \frac{C_{m,y} \cdot M_{y,Ed}}{\chi_{LT} \cdot W_{pl,y} \cdot f_{yd}} + \alpha_z \cdot k_z \cdot \frac{C_{m,z} \cdot M_{z,Ed}}{W_{pl,z} \cdot f_{yd}} \leq 1$$

$$h : \underline{0.710} \quad \checkmark$$

$$\eta = \frac{N_{c,Ed}}{\chi_z \cdot A \cdot f_{yd}} + \alpha_y \cdot k_y \cdot \frac{C_{m,y} \cdot M_{y,Ed}}{W_{pl,y} \cdot f_{yd}} + k_z \cdot \frac{C_{m,z} \cdot M_{z,Ed}}{W_{pl,z} \cdot f_{yd}} \leq 1$$

$$h : \underline{0.528} \quad \checkmark$$

Los esfuerzos solicitantes de cálculo pésimos se producen en el nudo N16, para la combinación de acciones 1.35·PP+1.35·CM1+1.35·CM2+1.5·Q1.

Donde:

$N_{c,Ed}$: Axil de compresión solicitante de cálculo pésimo.

$$N_{c,Ed} : \underline{27.178} \quad t$$

$M_{y,Ed}$, $M_{z,Ed}$: Momentos flectores solicitantes de cálculo pésimos, según los ejes Y y Z, respectivamente.

$$M_{y,Ed} : \underline{1.965} \quad t \cdot m$$

$$M_{z,Ed} : \underline{0.000} \quad t \cdot m$$

Clase: Clase de la sección, según la capacidad de deformación y de desarrollo de la resistencia plástica de sus elementos planos, para axil y flexión simple.

$$Clase : \underline{1}$$

$N_{pl,Rd}$: Resistencia a compresión de la sección bruta.

$$N_{pl,Rd} : \underline{106.791} \quad t$$

$M_{pl,Rd,y}$, $M_{pl,Rd,z}$: Resistencia a flexión de la sección bruta en condiciones plásticas, respecto a los ejes Y y Z, respectivamente.

$$M_{pl,Rd,y} : \underline{4.314} \quad t \cdot m$$

$$M_{pl,Rd,z} : \underline{4.592} \quad t \cdot m$$

Resistencia a pandeo: (CTE DB SE-A, Artículo 6.3.4.2)

A: Área de la sección bruta.

$$A : \underline{40.00} \quad cm^2$$

$W_{pl,y}$, $W_{pl,z}$: Módulos resistentes plásticos correspondientes a la fibra comprimida, alrededor de los ejes Y y Z, respectivamente.

$$W_{pl,y} : \underline{161.60} \quad cm^3$$

$$W_{pl,z} : \underline{172.00} \quad cm^3$$

f_{yd} : Resistencia de cálculo del acero.

$$f_{yd} : \underline{2669.77} \quad kp/cm^2$$

$$f_{yd} = f_y / \gamma_{M1}$$

Siendo:

f_y : Límite elástico. (CTE DB SE-A, Tabla 4.1)

$$f_y : \underline{2803.26} \quad kp/cm^2$$

γ_{M1} : Coeficiente parcial de seguridad del material.

$$\gamma_{M1} : \underline{1.05}$$

k_y , k_z : Coeficientes de interacción.

$$k_y = 1 + (\bar{\lambda}_y - 0.2) \cdot \frac{N_{c,Ed}}{\chi_y \cdot N_{c,Rd}}$$

$$k_y : \underline{1.00}$$

$$k_z = 1 + (\bar{\lambda}_z - 0.2) \cdot \frac{N_{c,Ed}}{\chi_z \cdot N_{c,Rd}}$$

$$k_z : \underline{1.00}$$

$C_{m,y}$, $C_{m,z}$: Factores de momento flector uniforme equivalente.

$$C_{m,y} : \underline{1.00}$$

$$C_{m,z} : \underline{1.00}$$

c_y , c_z : Coeficientes de reducción por pandeo, alrededor de los ejes Y y Z, respectivamente.

$$c_y : \underline{1.00}$$

$$c_z : \underline{1.00}$$

$\bar{\lambda}_y$, $\bar{\lambda}_z$: Esbelteces reducidas con valores no mayores que 1.00, en relación a los ejes Y y Z, respectivamente.

$$\bar{\lambda}_y : \underline{0.16}$$

$$\bar{\lambda}_z : \underline{0.15}$$

a_y , a_z : Factores dependientes de la clase de la sección.

$$a_y : \underline{0.60}$$

$$a_z : \underline{0.60}$$



Listados

DESARROLLO DE PROYECTO EJECUTIVO DE REFORMA DE LA PISCINA DEL
COLEGIO PÁLCAM

Fecha: 28/03/18

Resistencia a flexión, axil y cortante combinados (CTE DB SE-A, Artículo 6.2.8)

No es necesario reducir las resistencias de cálculo a flexión y a axil, ya que se puede ignorar el efecto de abolladura por esfuerzo cortante y, además, el esfuerzo cortante solicitante de cálculo pésimo V_{Ed} es menor o igual que el 50% del esfuerzo cortante resistente de cálculo $V_{c,Rd}$.

Los esfuerzos solicitantes de cálculo pésimos se producen para la combinación de acciones $1.35 \cdot PP + 1.35 \cdot CM1 + 1.35 \cdot CM2 + 1.5 \cdot Q1$.

$$V_{Ed,z} \leq \frac{V_{c,Rd,z}}{2}$$

$$6.538 \text{ t} \leq 16.031 \text{ t}$$



Donde:

$V_{Ed,z}$: Esfuerzo cortante solicitante de cálculo pésimo.

$$V_{Ed,z} : \underline{6.538} \text{ t}$$

$V_{c,Rd,z}$: Esfuerzo cortante resistente de cálculo.

$$V_{c,Rd,z} : \underline{32.061} \text{ t}$$

Resistencia a torsión (CTE DB SE-A, Artículo 6.2.7)

La comprobación no procede, ya que no hay momento torsor.

Resistencia a cortante Z y momento torsor combinados (CTE DB SE-A, Artículo 6.2.8)

No hay interacción entre momento torsor y esfuerzo cortante para ninguna combinación. Por lo tanto, la comprobación no procede.

Resistencia a cortante Y y momento torsor combinados (CTE DB SE-A, Artículo 6.2.8)

No hay interacción entre momento torsor y esfuerzo cortante para ninguna combinación. Por lo tanto, la comprobación no procede.



Listados

DESARROLLO DE PROYECTO EJECUTIVO DE REFORMA DE LA PISCINA DEL
COLEGIO PÁLCAM

Fecha: 28/03/18

I_z : Momento de inercia de la sección bruta, respecto al eje Z.

$$I_z : \underline{861.33} \text{ cm}^4$$

I_t : Momento de inercia a torsión uniforme.

$$I_t : \underline{1225.11} \text{ cm}^4$$

I_w : Constante de alabeo de la sección.

$$I_w : \underline{0.00} \text{ cm}^6$$

E: Módulo de elasticidad.

$$E : \underline{2140673} \text{ kp/cm}^2$$

G: Módulo de elasticidad transversal.

$$G : \underline{825688} \text{ kp/cm}^2$$

L_{ky} : Longitud efectiva de pandeo por flexión, respecto al eje Y.

$$L_{ky} : \underline{0.600} \text{ m}$$

L_{kz} : Longitud efectiva de pandeo por flexión, respecto al eje Z.

$$L_{kz} : \underline{0.600} \text{ m}$$

L_{kt} : Longitud efectiva de pandeo por torsión.

$$L_{kt} : \underline{0.000} \text{ m}$$

i_o : Radio de giro polar de la sección bruta, respecto al centro de torsión.

$$i_o : \underline{6.43} \text{ cm}$$

$$i_o = (i_y^2 + i_z^2 + y_o^2 + z_o^2)^{0.5}$$

Siendo:

i_y , i_z : Radios de giro de la sección bruta, respecto a los ejes principales de inercia Y y Z.

$$i_y : \underline{4.45} \text{ cm}$$

$$i_z : \underline{4.64} \text{ cm}$$

y_o , z_o : Coordenadas del centro de torsión en la dirección de los ejes principales Y y Z, respectivamente, relativas al centro de gravedad de la sección.

$$y_o : \underline{0.00} \text{ mm}$$

$$z_o : \underline{0.00} \text{ mm}$$

Abolladura del alma inducida por el ala comprimida (Criterio de CYPE Ingenieros, basado en: Eurocódigo 3 EN 1993-1-5: 2006, Artículo 8)

Se debe satisfacer:

$$\frac{h_w}{t_w} \leq k \frac{E}{f_{yf}} \sqrt{\frac{A_w}{A_{fc,ef}}}$$

$$10.40 \leq 337.21 \quad \checkmark$$

Donde:

h_w : Altura del alma.

$$h_w : \underline{104.00} \text{ mm}$$

t_w : Espesor del alma.

$$t_w : \underline{10.00} \text{ mm}$$

A_w : Área del alma.

$$A_w : \underline{20.80} \text{ cm}^2$$

$A_{fc,ef}$: Área reducida del ala comprimida.

$$A_{fc,ef} : \underline{9.60} \text{ cm}^2$$

k: Coeficiente que depende de la clase de la sección.

$$k : \underline{0.30}$$

E: Módulo de elasticidad.

$$E : \underline{2140673} \text{ kp/cm}^2$$

f_{yf} : Límite elástico del acero del ala comprimida.

$$f_{yf} : \underline{2803.26} \text{ kp/cm}^2$$

Siendo:

$$f_{yf} = f_y$$

Resistencia a tracción (CTE DB SE-A, Artículo 6.2.3)

La comprobación no procede, ya que no hay axil de tracción.



Listados

DESARROLLO DE PROYECTO EJECUTIVO DE REFORMA DE LA PISCINA DEL
COLEGIO PÁLCAM

Fecha: 28/03/18

Resistencia a compresión (CTE DB SE-A, Artículo 6.2.5)

Se debe satisfacer:

$$\eta = \frac{N_{c,Ed}}{N_{c,Rd}} \leq 1$$

$$h : \underline{0.254} \quad \checkmark$$

El esfuerzo solicitante de cálculo pésimo se produce en el nudo N20, para la combinación de acciones 1.35·PP+1.35·CM1+1.35·CM2+1.5·Q1.

$N_{c,Ed}$: Axil de compresión solicitante de cálculo pésimo.

$$N_{c,Ed} : \underline{27.132} \text{ t}$$

La resistencia de cálculo a compresión $N_{c,Rd}$ viene dada por:

$$N_{c,Rd} = A \cdot f_{yd}$$

$$N_{c,Rd} : \underline{106.791} \text{ t}$$

Donde:

Clase: Clase de la sección, según la capacidad de deformación y de desarrollo de la resistencia plástica de los elementos planos comprimidos de una sección.

$$\text{Clase} : \underline{1}$$

A: Área de la sección bruta para las secciones de clase 1, 2 y 3.

$$A : \underline{40.00} \text{ cm}^2$$

f_{yd} : Resistencia de cálculo del acero.

$$f_{yd} : \underline{2669.77} \text{ kp/cm}^2$$

$$f_{yd} = f_y / \gamma_{M0}$$

Siendo:

f_y : Límite elástico. (CTE DB SE-A, Tabla 4.1)

$$f_y : \underline{2803.26} \text{ kp/cm}^2$$

γ_{M0} : Coeficiente parcial de seguridad del material.

$$\gamma_{M0} : \underline{1.05}$$

Resistencia a pandeo: (CTE DB SE-A, Artículo 6.3.2)

Para esbelteces $\lambda \leq 0.2$ se puede omitir la comprobación frente a pandeo, y comprobar únicamente la resistencia de la sección transversal.

λ : Esbeltez reducida.

$$\lambda : \underline{0.16}$$

$$\lambda = \sqrt{\frac{A \cdot f_y}{N_{cr}}}$$

Donde:

A: Área de la sección bruta para las secciones de clase 1, 2 y 3.

$$A : \underline{40.00} \text{ cm}^2$$

f_y : Límite elástico. (CTE DB SE-A, Tabla 4.1)

$$f_y : \underline{2803.26} \text{ kp/cm}^2$$

N_{cr} : Axil crítico elástico de pandeo, obtenido como el menor de los siguientes valores:

$$N_{cr} : \underline{4639.933} \text{ t}$$

$N_{cr,y}$: Axil crítico elástico de pandeo por flexión respecto al eje Y.

$$N_{cr,y} : \underline{4639.933} \text{ t}$$

$N_{cr,z}$: Axil crítico elástico de pandeo por flexión respecto al eje Z.

$$N_{cr,z} : \underline{5054.972} \text{ t}$$

$N_{cr,T}$: Axil crítico elástico de pandeo por torsión.

$$N_{cr,T} : \underline{\infty}$$



Listados

DESARROLLO DE PROYECTO EJECUTIVO DE REFORMA DE LA PISCINA DEL
COLEGIO PÀLCAM

Fecha: 28/03/18

Resistencia a flexión eje Y (CTE DB SE-A, Artículo 6.2.6)

Se debe satisfacer:

$$\eta = \frac{M_{Ed}}{M_{c,Rd}} \leq 1$$

$$h : \underline{0.455} \quad \checkmark$$

Para flexión positiva:

El esfuerzo solicitante de cálculo pésimo se produce en el nudo N20, para la combinación de acciones 1.35·PP+1.35·CM1+1.35·CM2+1.5·Q1.

M_{Ed}^+ : Momento flector solicitante de cálculo pésimo.

$$M_{Ed}^+ : \underline{1.962} \text{ t·m}$$

Para flexión negativa:

M_{Ed}^- : Momento flector solicitante de cálculo pésimo.

$$M_{Ed}^- : \underline{0.000} \text{ t·m}$$

El momento flector resistente de cálculo $M_{c,Rd}$ viene dado por:

$$M_{c,Rd} = W_{pl,y} \cdot f_{yd}$$

$$M_{c,Rd} : \underline{4.314} \text{ t·m}$$

Donde:

Clase: Clase de la sección, según la capacidad de deformación y de desarrollo de la resistencia plástica de los elementos planos de una sección a flexión simple.

$$\text{Clase} : \underline{1}$$

$W_{pl,y}$: Módulo resistente plástico correspondiente a la fibra con mayor tensión, para las secciones de clase 1 y 2.

$$W_{pl,y} : \underline{161.60} \text{ cm}^3$$

f_{yd} : Resistencia de cálculo del acero.

$$f_{yd} : \underline{2669.77} \text{ kp/cm}^2$$

$$f_{yd} = f_y / \gamma_{M0}$$

Siendo:

f_y : Límite elástico. (CTE DB SE-A, Tabla 4.1)

$$f_y : \underline{2803.26} \text{ kp/cm}^2$$

γ_{M0} : Coeficiente parcial de seguridad del material.

$$\gamma_{M0} : \underline{1.05}$$

Resistencia a flexión eje Z (CTE DB SE-A, Artículo 6.2.6)

La comprobación no procede, ya que no hay momento flector.



Listados

DESARROLLO DE PROYECTO EJECUTIVO DE REFORMA DE LA PISCINA DEL
COLEGIO PÁLCAM

Fecha: 28/03/18

Resistencia a corte Z (CTE DB SE-A, Artículo 6.2.4)

Se debe satisfacer:

$$\eta = \frac{V_{Ed}}{V_{c,Rd}} \leq 1$$

$$h : \underline{0.204} \quad \checkmark$$

El esfuerzo solicitante de cálculo pésimo se produce para la combinación de acciones 1.35·PP+1.35·CM1+1.35·CM2+1.5·Q1.

V_{Ed} : Esfuerzo cortante solicitante de cálculo pésimo.

$$V_{Ed} : \underline{6.530} \text{ t}$$

El esfuerzo cortante resistente de cálculo $V_{c,Rd}$ viene dado por:

$$V_{c,Rd} = A_v \cdot \frac{f_{yd}}{\sqrt{3}}$$

$$V_{c,Rd} : \underline{32.061} \text{ t}$$

Donde:

A_v : Área transversal a cortante.

$$A_v : \underline{20.80} \text{ cm}^2$$

$$A_v = 2 \cdot d \cdot t_w$$

Siendo:

d : Altura del alma.

$$d : \underline{104.00} \text{ mm}$$

t_w : Espesor del alma.

$$t_w : \underline{10.00} \text{ mm}$$

f_{yd} : Resistencia de cálculo del acero.

$$f_{yd} : \underline{2669.77} \text{ kp/cm}^2$$

$$f_{yd} = f_y / \gamma_{M0}$$

Siendo:

f_y : Límite elástico. (CTE DB SE-A, Tabla 4.1)

$$f_y : \underline{2803.26} \text{ kp/cm}^2$$

γ_{M0} : Coeficiente parcial de seguridad del material.

$$\gamma_{M0} : \underline{1.05}$$

Abolladura por cortante del alma: (CTE DB SE-A, Artículo 6.3.3.4)

Aunque no se han dispuesto rigidizadores transversales, no es necesario comprobar la resistencia a la abolladura del alma, puesto que se cumple:

$$\frac{d}{t_w} < 70 \cdot \varepsilon$$

$$10.40 < 64.71 \quad \checkmark$$

Donde:

l_w : Esbeltez del alma.

$$l_w : \underline{10.40}$$

$$\lambda_w = \frac{d}{t_w}$$

$l_{m\acute{a}x}$: Esbeltez máxima.

$$l_{m\acute{a}x} : \underline{64.71}$$

$$\lambda_{m\acute{a}x} = 70 \cdot \varepsilon$$

ε : Factor de reducción.

$$\varepsilon : \underline{0.92}$$

$$\varepsilon = \sqrt{\frac{f_{ref}}{f_y}}$$

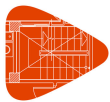
Siendo:

f_{ref} : Límite elástico de referencia.

$$f_{ref} : \underline{2395.51} \text{ kp/cm}^2$$

f_y : Límite elástico. (CTE DB SE-A, Tabla 4.1)

$$f_y : \underline{2803.26} \text{ kp/cm}^2$$



Listados

DESARROLLO DE PROYECTO EJECUTIVO DE REFORMA DE LA PISCINA DEL
COLEGIO PÁLCAM

Fecha: 28/03/18

Resistencia a corte Y (CTE DB SE-A, Artículo 6.2.4)

La comprobación no procede, ya que no hay esfuerzo cortante.

Resistencia a momento flector Y y fuerza cortante Z combinados (CTE DB SE-A, Artículo 6.2.8)

No es necesario reducir la resistencia de cálculo a flexión, ya que el esfuerzo cortante solicitante de cálculo pésimo V_{Ed} no es superior al 50% de la resistencia de cálculo a cortante $V_{c,Rd}$.

$$V_{Ed} \leq \frac{V_{c,Rd}}{2}$$

$$6.530 \text{ t} \leq 16.031 \text{ t} \quad \checkmark$$

Los esfuerzos solicitantes de cálculo pésimos se producen para la combinación de acciones 1.35·PP+1.35·CM1+1.35·CM2+1.5·Q1.

V_{Ed} : Esfuerzo cortante solicitante de cálculo pésimo.

$$V_{Ed} : \underline{6.530} \text{ t}$$

$V_{c,Rd}$: Esfuerzo cortante resistente de cálculo.

$$V_{c,Rd} : \underline{32.061} \text{ t}$$

Resistencia a momento flector Z y fuerza cortante Y combinados (CTE DB SE-A, Artículo 6.2.8)

No hay interacción entre momento flector y esfuerzo cortante para ninguna combinación. Por lo tanto, la comprobación no procede.



Listados

DESARROLLO DE PROYECTO EJECUTIVO DE REFORMA DE LA PISCINA DEL
COLEGIO PÁLCAM

Fecha: 28/03/18

Resistencia a flexión y axil combinados (CTE DB SE-A, Artículo 6.2.8)

Se debe satisfacer:

$$\eta = \frac{N_{c,Ed}}{N_{pl,Rd}} + \frac{M_{y,Ed}}{M_{pl,Rd,y}} + \frac{M_{z,Ed}}{M_{pl,Rd,z}} \leq 1$$

$$h : \underline{0.709} \quad \checkmark$$

$$\eta = \frac{N_{c,Ed}}{\chi_y \cdot A \cdot f_{yd}} + k_y \cdot \frac{C_{m,y} \cdot M_{y,Ed}}{\chi_{LT} \cdot W_{pl,y} \cdot f_{yd}} + \alpha_z \cdot k_z \cdot \frac{C_{m,z} \cdot M_{z,Ed}}{W_{pl,z} \cdot f_{yd}} \leq 1$$

$$h : \underline{0.709} \quad \checkmark$$

$$\eta = \frac{N_{c,Ed}}{\chi_z \cdot A \cdot f_{yd}} + \alpha_y \cdot k_y \cdot \frac{C_{m,y} \cdot M_{y,Ed}}{W_{pl,y} \cdot f_{yd}} + k_z \cdot \frac{C_{m,z} \cdot M_{z,Ed}}{W_{pl,z} \cdot f_{yd}} \leq 1$$

$$h : \underline{0.527} \quad \checkmark$$

Los esfuerzos solicitantes de cálculo pésimos se producen en el nudo N20, para la combinación de acciones 1.35·PP+1.35·CM1+1.35·CM2+1.5·Q1.

Donde:

$N_{c,Ed}$: Axil de compresión solicitante de cálculo pésimo.

$$N_{c,Ed} : \underline{27.132} \quad t$$

$M_{y,Ed}$, $M_{z,Ed}$: Momentos flectores solicitantes de cálculo pésimos, según los ejes Y y Z, respectivamente.

$$M_{y,Ed}^+ : \underline{1.962} \quad t \cdot m$$

$$M_{z,Ed}^+ : \underline{0.000} \quad t \cdot m$$

Clase: Clase de la sección, según la capacidad de deformación y de desarrollo de la resistencia plástica de sus elementos planos, para axil y flexión simple.

$$Clase : \underline{1}$$

$N_{pl,Rd}$: Resistencia a compresión de la sección bruta.

$$N_{pl,Rd} : \underline{106.791} \quad t$$

$M_{pl,Rd,y}$, $M_{pl,Rd,z}$: Resistencia a flexión de la sección bruta en condiciones plásticas, respecto a los ejes Y y Z, respectivamente.

$$M_{pl,Rd,y} : \underline{4.314} \quad t \cdot m$$

$$M_{pl,Rd,z} : \underline{4.592} \quad t \cdot m$$

Resistencia a pandeo: (CTE DB SE-A, Artículo 6.3.4.2)

A: Área de la sección bruta.

$$A : \underline{40.00} \quad cm^2$$

$W_{pl,y}$, $W_{pl,z}$: Módulos resistentes plásticos correspondientes a la fibra comprimida, alrededor de los ejes Y y Z, respectivamente.

$$W_{pl,y} : \underline{161.60} \quad cm^3$$

$$W_{pl,z} : \underline{172.00} \quad cm^3$$

f_{yd} : Resistencia de cálculo del acero.

$$f_{yd} : \underline{2669.77} \quad kp/cm^2$$

$$f_{yd} = f_y / \gamma_{M1}$$

Siendo:

f_y : Límite elástico. (CTE DB SE-A, Tabla 4.1)

$$f_y : \underline{2803.26} \quad kp/cm^2$$

γ_{M1} : Coeficiente parcial de seguridad del material.

$$\gamma_{M1} : \underline{1.05}$$

k_y , k_z : Coeficientes de interacción.

$$k_y = 1 + (\bar{\lambda}_y - 0.2) \cdot \frac{N_{c,Ed}}{\chi_y \cdot N_{c,Rd}}$$

$$k_y : \underline{1.00}$$

$$k_z = 1 + (\bar{\lambda}_z - 0.2) \cdot \frac{N_{c,Ed}}{\chi_z \cdot N_{c,Rd}}$$

$$k_z : \underline{1.00}$$

$C_{m,y}$, $C_{m,z}$: Factores de momento flector uniforme equivalente.

$$C_{m,y} : \underline{1.00}$$

$$C_{m,z} : \underline{1.00}$$

c_y , c_z : Coeficientes de reducción por pandeo, alrededor de los ejes Y y Z, respectivamente.

$$c_y : \underline{1.00}$$

$$c_z : \underline{1.00}$$

$\bar{\lambda}_y$, $\bar{\lambda}_z$: Esbelteces reducidas con valores no mayores que 1.00, en relación a los ejes Y y Z, respectivamente.

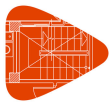
$$\bar{\lambda}_y : \underline{0.16}$$

$$\bar{\lambda}_z : \underline{0.15}$$

a_y , a_z : Factores dependientes de la clase de la sección.

$$a_y : \underline{0.60}$$

$$a_z : \underline{0.60}$$



Listados

DESARROLLO DE PROYECTO EJECUTIVO DE REFORMA DE LA PISCINA DEL
COLEGIO PÁLCAM

Fecha: 28/03/18

Resistencia a flexión, axil y cortante combinados (CTE DB SE-A, Artículo 6.2.8)

No es necesario reducir las resistencias de cálculo a flexión y a axil, ya que se puede ignorar el efecto de abolladura por esfuerzo cortante y, además, el esfuerzo cortante solicitante de cálculo pésimo V_{Ed} es menor o igual que el 50% del esfuerzo cortante resistente de cálculo $V_{c,Rd}$.

Los esfuerzos solicitantes de cálculo pésimos se producen para la combinación de acciones $1.35 \cdot PP + 1.35 \cdot CM1 + 1.35 \cdot CM2 + 1.5 \cdot Q1$.

$$V_{Ed,z} \leq \frac{V_{c,Rd,z}}{2}$$

$$6.530 \text{ t} \leq 16.031 \text{ t}$$



Donde:

$V_{Ed,z}$: Esfuerzo cortante solicitante de cálculo pésimo.

$$V_{Ed,z} : \frac{6.530}{t}$$

$V_{c,Rd,z}$: Esfuerzo cortante resistente de cálculo.

$$V_{c,Rd,z} : \frac{32.061}{t}$$

Resistencia a torsión (CTE DB SE-A, Artículo 6.2.7)

La comprobación no procede, ya que no hay momento torsor.

Resistencia a cortante Z y momento torsor combinados (CTE DB SE-A, Artículo 6.2.8)

No hay interacción entre momento torsor y esfuerzo cortante para ninguna combinación. Por lo tanto, la comprobación no procede.

Resistencia a cortante Y y momento torsor combinados (CTE DB SE-A, Artículo 6.2.8)

No hay interacción entre momento torsor y esfuerzo cortante para ninguna combinación. Por lo tanto, la comprobación no procede.

Listados

DESARROLLO DE PROYECTO EJECUTIVO DE REFORMA DE LA PISCINA DEL
COLEGIO PAICAM

Fecha: 28/03/18

2.2.2.5.- Comprobaciones E.L.U. (Resumido)

| Barras | COMPROBACIONES (CTE DB SE-A) | | | | | | | | | | | | | | | Estado |
|---------|------------------------------------|--|--|--|----------------------------|--|----------------------------|--|---------------------------|---------------------|-----------------------------|---------------------------|--|---------------------|---------------------|--------------------|
| | $\bar{\lambda}$ | λ_{ov} | N_L | N_d | M_y | M_z | V_z | V_y | M_{V_z} | M_{V_y} | NM,M_z | NM,M_y,V_z | M_t | M_{V_z} | M_{V_y} | |
| N5/N3 | $\bar{\lambda} \leq 3.0$ Cumple | $\lambda_{ov} \leq \lambda_{ov,max}$ Cumple | x: 1.124 m $\eta = 60.9$ | $N_{Ed} = 0.00$ N.P. ⁽¹⁾ | x: 0 m $\eta = 7.2$ | $M_{Ed} = 0.00$ N.P. ⁽²⁾ | x: 0 m $\eta = 1.7$ | $V_{Ed} = 0.00$ N.P. ⁽³⁾ | $\eta < 0.1$ | N.P. ⁽⁴⁾ | x: 0 m $\eta = 68.0$ | $\eta < 0.1$ | $M_{Ed} = 0.00$ N.P. ⁽⁵⁾ | N.P. ⁽⁶⁾ | N.P. ⁽⁶⁾ | CUMPLE h = 68.0 |
| N15/N6 | $\bar{\lambda} \leq 3.0$ Cumple | $\lambda_{ov} \leq \lambda_{ov,max}$ Cumple | x: 1.124 m $\eta = 57.3$ | $N_{Ed} = 0.00$ N.P. ⁽¹⁾ | x: 1.124 m $\eta = 8.2$ | $M_{Ed} = 0.00$ N.P. ⁽²⁾ | x: 0 m $\eta = 1.7$ | $V_{Ed} = 0.00$ N.P. ⁽³⁾ | $\eta < 0.1$ | N.P. ⁽⁴⁾ | x: 1.124 m $\eta = 65.4$ | $\eta < 0.1$ | $M_{Ed} = 0.00$ N.P. ⁽⁵⁾ | N.P. ⁽⁶⁾ | N.P. ⁽⁶⁾ | CUMPLE h = 65.4 |
| N16/N7 | $\bar{\lambda} \leq 3.0$ Cumple | $\lambda_{ov} \leq \lambda_{ov,max}$ Cumple | x: 1.124 m $\eta = 53.3$ | $N_{Ed} = 0.00$ N.P. ⁽¹⁾ | x: 1.124 m $\eta = 8.3$ | $M_{Ed} = 0.00$ N.P. ⁽²⁾ | x: 0 m $\eta = 1.3$ | $V_{Ed} = 0.00$ N.P. ⁽³⁾ | $\eta < 0.1$ | N.P. ⁽⁴⁾ | x: 1.124 m $\eta = 61.6$ | $\eta < 0.1$ | $M_{Ed} = 0.00$ N.P. ⁽⁵⁾ | N.P. ⁽⁶⁾ | N.P. ⁽⁶⁾ | CUMPLE h = 61.6 |
| N17/N8 | $\bar{\lambda} \leq 3.0$ Cumple | $\lambda_{ov} \leq \lambda_{ov,max}$ Cumple | x: 1.124 m $\eta = 44.9$ | $N_{Ed} = 0.00$ N.P. ⁽¹⁾ | x: 1.124 m $\eta = 7.2$ | $M_{Ed} = 0.00$ N.P. ⁽²⁾ | x: 0 m $\eta = 0.5$ | $V_{Ed} = 0.00$ N.P. ⁽³⁾ | $\eta < 0.1$ | N.P. ⁽⁴⁾ | x: 1.124 m $\eta = 52.0$ | $\eta < 0.1$ | $M_{Ed} = 0.00$ N.P. ⁽⁵⁾ | N.P. ⁽⁶⁾ | N.P. ⁽⁶⁾ | CUMPLE h = 52.0 |
| N18/N9 | $\bar{\lambda} \leq 3.0$ Cumple | $\lambda_{ov} \leq \lambda_{ov,max}$ Cumple | x: 1.124 m $\eta = 20.9$ | $N_{Ed} = 0.00$ N.P. ⁽¹⁾ | x: 0 m $\eta = 10.5$ | $M_{Ed} = 0.00$ N.P. ⁽²⁾ | x: 1.124 m $\eta = 0.6$ | $V_{Ed} = 0.00$ N.P. ⁽³⁾ | $\eta < 0.1$ | N.P. ⁽⁴⁾ | x: 0 m $\eta = 31.3$ | $\eta < 0.1$ | $M_{Ed} = 0.00$ N.P. ⁽⁵⁾ | N.P. ⁽⁶⁾ | N.P. ⁽⁶⁾ | CUMPLE h = 31.3 |
| N22/N4 | $\bar{\lambda} \leq 3.0$ Cumple | $\lambda_{ov} \leq \lambda_{ov,max}$ Cumple | x: 1.132 m $\eta = 60.9$ | $N_{Ed} = 0.00$ N.P. ⁽¹⁾ | x: 0 m $\eta = 6.9$ | $M_{Ed} = 0.00$ N.P. ⁽²⁾ | x: 0 m $\eta = 1.7$ | $V_{Ed} = 0.00$ N.P. ⁽³⁾ | $\eta < 0.1$ | N.P. ⁽⁴⁾ | x: 0 m $\eta = 67.8$ | $\eta < 0.1$ | $M_{Ed} = 0.00$ N.P. ⁽⁵⁾ | N.P. ⁽⁶⁾ | N.P. ⁽⁶⁾ | CUMPLE h = 67.8 |
| N21/N14 | $\bar{\lambda} \leq 3.0$ Cumple | $\lambda_{ov} \leq \lambda_{ov,max}$ Cumple | x: 1.124 m $\eta = 57.3$ | $N_{Ed} = 0.00$ N.P. ⁽¹⁾ | x: 1.124 m $\eta = 8.2$ | $M_{Ed} = 0.00$ N.P. ⁽²⁾ | x: 0 m $\eta = 1.7$ | $V_{Ed} = 0.00$ N.P. ⁽³⁾ | $\eta < 0.1$ | N.P. ⁽⁴⁾ | x: 1.124 m $\eta = 65.5$ | $\eta < 0.1$ | $M_{Ed} = 0.00$ N.P. ⁽⁵⁾ | N.P. ⁽⁶⁾ | N.P. ⁽⁶⁾ | CUMPLE h = 65.5 |
| N20/N13 | $\bar{\lambda} \leq 3.0$ Cumple | $\lambda_{ov} \leq \lambda_{ov,max}$ Cumple | x: 1.124 m $\eta = 53.3$ | $N_{Ed} = 0.00$ N.P. ⁽¹⁾ | x: 1.124 m $\eta = 8.3$ | $M_{Ed} = 0.00$ N.P. ⁽²⁾ | x: 0 m $\eta = 1.3$ | $V_{Ed} = 0.00$ N.P. ⁽³⁾ | $\eta < 0.1$ | N.P. ⁽⁴⁾ | x: 1.124 m $\eta = 61.5$ | $\eta < 0.1$ | $M_{Ed} = 0.00$ N.P. ⁽⁵⁾ | N.P. ⁽⁶⁾ | N.P. ⁽⁶⁾ | CUMPLE h = 61.5 |
| N19/N12 | $\bar{\lambda} \leq 3.0$ Cumple | $\lambda_{ov} \leq \lambda_{ov,max}$ Cumple | x: 1.124 m $\eta = 44.8$ | $N_{Ed} = 0.00$ N.P. ⁽¹⁾ | x: 1.124 m $\eta = 7.2$ | $M_{Ed} = 0.00$ N.P. ⁽²⁾ | x: 0 m $\eta = 0.5$ | $V_{Ed} = 0.00$ N.P. ⁽³⁾ | $\eta < 0.1$ | N.P. ⁽⁴⁾ | x: 1.124 m $\eta = 51.9$ | $\eta < 0.1$ | $M_{Ed} = 0.00$ N.P. ⁽⁵⁾ | N.P. ⁽⁶⁾ | N.P. ⁽⁶⁾ | CUMPLE h = 51.9 |
| N18/N11 | $\bar{\lambda} \leq 3.0$ Cumple | $\lambda_{ov} \leq \lambda_{ov,max}$ Cumple | x: 1.124 m $\eta = 20.8$ | $N_{Ed} = 0.00$ N.P. ⁽¹⁾ | x: 0 m $\eta = 10.5$ | $M_{Ed} = 0.00$ N.P. ⁽²⁾ | x: 1.124 m $\eta = 0.6$ | $V_{Ed} = 0.00$ N.P. ⁽³⁾ | $\eta < 0.1$ | N.P. ⁽⁴⁾ | x: 0 m $\eta = 31.2$ | $\eta < 0.1$ | $M_{Ed} = 0.00$ N.P. ⁽⁵⁾ | N.P. ⁽⁶⁾ | N.P. ⁽⁶⁾ | CUMPLE h = 31.2 |
| N1/N5 | $\bar{\lambda} < 2.0$ Cumple | $\lambda_{ov} \leq \lambda_{ov,max}$ Cumple | $N_{Ed} = 0.00$ N.P. ⁽⁷⁾ | $\eta = 20.9$ | x: 0 m $\eta = 6.0$ | $M_{Ed} = 0.00$ N.P. ⁽²⁾ | x: 0 m $\eta = 10.9$ | $V_{Ed} = 0.00$ N.P. ⁽³⁾ | $\eta < 0.1$ | N.P. ⁽⁴⁾ | x: 0 m $\eta = 26.8$ | $\eta < 0.1$ | $M_{Ed} = 0.00$ N.P. ⁽⁵⁾ | N.P. ⁽⁶⁾ | N.P. ⁽⁶⁾ | CUMPLE h = 26.8 |
| N5/N15 | $\bar{\lambda} < 2.0$ Cumple | $\lambda_{ov} \leq \lambda_{ov,max}$ Cumple | $N_{Ed} = 0.00$ N.P. ⁽⁷⁾ | $\eta = 9.6$ | x: 0.95 m $\eta = 11.9$ | $M_{Ed} = 0.00$ N.P. ⁽²⁾ | x: 0 m $\eta = 12.9$ | $V_{Ed} = 0.00$ N.P. ⁽³⁾ | $\eta < 0.1$ | N.P. ⁽⁴⁾ | x: 0.95 m $\eta = 21.5$ | $\eta < 0.1$ | $M_{Ed} = 0.00$ N.P. ⁽⁵⁾ | N.P. ⁽⁶⁾ | N.P. ⁽⁶⁾ | CUMPLE h = 21.5 |
| N15/N16 | $\bar{\lambda} \leq 3.0$ Cumple | $\lambda_{ov} \leq \lambda_{ov,max}$ Cumple | $\eta = 1.0$ | $N_{Ed} = 0.00$ N.P. ⁽¹⁾ | x: 0.95 m $\eta = 21.3$ | $M_{Ed} = 0.00$ N.P. ⁽²⁾ | x: 0 m $\eta = 13.8$ | $V_{Ed} = 0.00$ N.P. ⁽³⁾ | $\eta < 0.1$ | N.P. ⁽⁴⁾ | x: 0.95 m $\eta = 22.3$ | $\eta < 0.1$ | $M_{Ed} = 0.00$ N.P. ⁽⁵⁾ | N.P. ⁽⁶⁾ | N.P. ⁽⁶⁾ | CUMPLE h = 22.3 |
| N16/N17 | $\bar{\lambda} \leq 3.0$ Cumple | $\lambda_{ov} \leq \lambda_{ov,max}$ Cumple | $\eta = 10.8$ | $N_{Ed} = 0.00$ N.P. ⁽¹⁾ | x: 0.95 m $\eta = 33.7$ | $M_{Ed} = 0.00$ N.P. ⁽²⁾ | x: 0 m $\eta = 16.6$ | $V_{Ed} = 0.00$ N.P. ⁽³⁾ | $\eta < 0.1$ | N.P. ⁽⁴⁾ | x: 0.95 m $\eta = 44.4$ | $\eta < 0.1$ | $M_{Ed} = 0.00$ N.P. ⁽⁵⁾ | N.P. ⁽⁶⁾ | N.P. ⁽⁶⁾ | CUMPLE h = 44.4 |
| N17/N18 | $\bar{\lambda} \leq 3.0$ Cumple | $\lambda_{ov} \leq \lambda_{ov,max}$ Cumple | $\eta = 18.8$ | $N_{Ed} = 0.00$ N.P. ⁽¹⁾ | x: 0.95 m $\eta = 48.3$ | $M_{Ed} = 0.00$ N.P. ⁽²⁾ | x: 0 m $\eta = 18.4$ | $V_{Ed} = 0.00$ N.P. ⁽³⁾ | $\eta < 0.1$ | N.P. ⁽⁴⁾ | x: 0.95 m $\eta = 67.1$ | $\eta < 0.1$ | $M_{Ed} = 0.00$ N.P. ⁽⁵⁾ | N.P. ⁽⁶⁾ | N.P. ⁽⁶⁾ | CUMPLE h = 67.1 |
| N18/N19 | $\bar{\lambda} \leq 3.0$ Cumple | $\lambda_{ov} \leq \lambda_{ov,max}$ Cumple | $\eta = 18.8$ | $N_{Ed} = 0.00$ N.P. ⁽¹⁾ | x: 0 m $\eta = 48.3$ | $M_{Ed} = 0.00$ N.P. ⁽²⁾ | x: 0.95 m $\eta = 18.3$ | $V_{Ed} = 0.00$ N.P. ⁽³⁾ | $\eta < 0.1$ | N.P. ⁽⁴⁾ | x: 0 m $\eta = 67.1$ | $\eta < 0.1$ | $M_{Ed} = 0.00$ N.P. ⁽⁵⁾ | N.P. ⁽⁶⁾ | N.P. ⁽⁶⁾ | CUMPLE h = 67.1 |
| N19/N20 | $\bar{\lambda} \leq 3.0$ Cumple | $\lambda_{ov} \leq \lambda_{ov,max}$ Cumple | $\eta = 10.8$ | $N_{Ed} = 0.00$ N.P. ⁽¹⁾ | x: 0 m $\eta = 33.7$ | $M_{Ed} = 0.00$ N.P. ⁽²⁾ | x: 0.95 m $\eta = 16.6$ | $V_{Ed} = 0.00$ N.P. ⁽³⁾ | $\eta < 0.1$ | N.P. ⁽⁴⁾ | x: 0 m $\eta = 44.5$ | $\eta < 0.1$ | $M_{Ed} = 0.00$ N.P. ⁽⁵⁾ | N.P. ⁽⁶⁾ | N.P. ⁽⁶⁾ | CUMPLE h = 44.5 |
| N20/N21 | $\bar{\lambda} \leq 3.0$ Cumple | $\lambda_{ov} \leq \lambda_{ov,max}$ Cumple | $\eta = 1.0$ | $N_{Ed} = 0.00$ N.P. ⁽¹⁾ | x: 0 m $\eta = 21.4$ | $M_{Ed} = 0.00$ N.P. ⁽²⁾ | x: 0.95 m $\eta = 13.8$ | $V_{Ed} = 0.00$ N.P. ⁽³⁾ | $\eta < 0.1$ | N.P. ⁽⁴⁾ | x: 0 m $\eta = 22.4$ | $\eta < 0.1$ | $M_{Ed} = 0.00$ N.P. ⁽⁵⁾ | N.P. ⁽⁶⁾ | N.P. ⁽⁶⁾ | CUMPLE h = 22.4 |
| N21/N22 | $\bar{\lambda} < 2.0$ Cumple | $\lambda_{ov} \leq \lambda_{ov,max}$ Cumple | $N_{Ed} = 0.00$ N.P. ⁽⁷⁾ | $\eta = 9.6$ | x: 0 m $\eta = 12.0$ | $M_{Ed} = 0.00$ N.P. ⁽²⁾ | x: 0.95 m $\eta = 12.8$ | $V_{Ed} = 0.00$ N.P. ⁽³⁾ | $\eta < 0.1$ | N.P. ⁽⁴⁾ | x: 0 m $\eta = 21.5$ | $\eta < 0.1$ | $M_{Ed} = 0.00$ N.P. ⁽⁵⁾ | N.P. ⁽⁶⁾ | N.P. ⁽⁶⁾ | CUMPLE h = 21.5 |
| N22/N2 | $\bar{\lambda} < 2.0$ Cumple | $\lambda_{ov} \leq \lambda_{ov,max}$ Cumple | $N_{Ed} = 0.00$ N.P. ⁽⁷⁾ | $\eta = 20.9$ | x: 0.96 m $\eta = 6.0$ | $M_{Ed} = 0.00$ N.P. ⁽²⁾ | x: 0.96 m $\eta = 10.9$ | $V_{Ed} = 0.00$ N.P. ⁽³⁾ | $\eta < 0.1$ | N.P. ⁽⁴⁾ | x: 0.96 m $\eta = 26.8$ | $\eta < 0.1$ | $M_{Ed} = 0.00$ N.P. ⁽⁵⁾ | N.P. ⁽⁶⁾ | N.P. ⁽⁶⁾ | CUMPLE h = 26.8 |
| N1/N3 | $\bar{\lambda} < 2.0$ Cumple | $\lambda_{ov} \leq \lambda_{ov,max}$ Cumple | $N_{Ed} = 0.00$ N.P. ⁽⁷⁾ | x: 0 m $\eta = 19.0$ | x: 0.6 m $\eta = 28.8$ | $M_{Ed} = 0.00$ N.P. ⁽²⁾ | $\eta = 64.4$ | $V_{Ed} = 0.00$ N.P. ⁽³⁾ | x: 0.6 m $\eta = 29.1$ | N.P. ⁽⁴⁾ | x: 0.6 m $\eta = 47.8$ | x: 0.6 m $\eta = 48.4$ | $M_{Ed} = 0.00$ N.P. ⁽⁵⁾ | N.P. ⁽⁶⁾ | N.P. ⁽⁶⁾ | CUMPLE h = 64.4 |
| N5/N6 | $\bar{\lambda} < 2.0$ Cumple | $\lambda_{ov} \leq \lambda_{ov,max}$ Cumple | $N_{Ed} = 0.00$ N.P. ⁽⁷⁾ | x: 0 m $\eta = 30.0$ | x: 0.6 m $\eta = 54.9$ | $M_{Ed} = 0.00$ N.P. ⁽²⁾ | $\eta = 24.5$ | $V_{Ed} = 0.00$ N.P. ⁽³⁾ | $\eta < 0.1$ | N.P. ⁽⁴⁾ | x: 0.6 m $\eta = 84.9$ | $\eta < 0.1$ | $M_{Ed} = 0.00$ N.P. ⁽⁵⁾ | N.P. ⁽⁶⁾ | N.P. ⁽⁶⁾ | CUMPLE h = 84.9 |
| N15/N7 | $\bar{\lambda} < 2.0$ Cumple | $\lambda_{ov} \leq \lambda_{ov,max}$ Cumple | $N_{Ed} = 0.00$ N.P. ⁽⁷⁾ | x: 0 m $\eta = 29.1$ | x: 0 m $\eta = 51.7$ | $M_{Ed} = 0.00$ N.P. ⁽²⁾ | $\eta = 23.2$ | $V_{Ed} = 0.00$ N.P. ⁽³⁾ | $\eta < 0.1$ | N.P. ⁽⁴⁾ | x: 0 m $\eta = 80.9$ | $\eta < 0.1$ | $M_{Ed} = 0.00$ N.P. ⁽⁵⁾ | N.P. ⁽⁶⁾ | N.P. ⁽⁶⁾ | CUMPLE h = 80.9 |
| N16/N8 | $\bar{\lambda} < 2.0$ Cumple | $\lambda_{ov} \leq \lambda_{ov,max}$ Cumple | $N_{Ed} = 0.00$ N.P. ⁽⁷⁾ | x: 0 m $\eta = 25.5$ | x: 0 m $\eta = 45.5$ | $M_{Ed} = 0.00$ N.P. ⁽²⁾ | $\eta = 20.4$ | $V_{Ed} = 0.00$ N.P. ⁽³⁾ | $\eta < 0.1$ | N.P. ⁽⁴⁾ | x: 0 m $\eta = 71.0$ | $\eta < 0.1$ | $M_{Ed} = 0.00$ N.P. ⁽⁵⁾ | N.P. ⁽⁶⁾ | N.P. ⁽⁶⁾ | CUMPLE h = 71.0 |
| N17/N9 | $\bar{\lambda} < 2.0$ Cumple | $\lambda_{ov} \leq \lambda_{ov,max}$ Cumple | $N_{Ed} = 0.00$ N.P. ⁽⁷⁾ | x: 0 m $\eta = 22.1$ | x: 0.6 m $\eta = 32.4$ | $M_{Ed} = 0.00$ N.P. ⁽²⁾ | $\eta = 14.3$ | $V_{Ed} = 0.00$ N.P. ⁽³⁾ | $\eta < 0.1$ | N.P. ⁽⁴⁾ | x: 0.6 m $\eta = 54.4$ | $\eta < 0.1$ | $M_{Ed} = 0.00$ N.P. ⁽⁵⁾ | N.P. ⁽⁶⁾ | N.P. ⁽⁶⁾ | CUMPLE h = 54.4 |
| N18/N10 | $\bar{\lambda} < 2.0$ Cumple | x: 0 m $\lambda_{ov} \leq \lambda_{ov,max}$ Cumple | $N_{Ed} = 0.00$ N.P. ⁽⁷⁾ | x: 0 m $\eta = 54.2$ | x: 0 m $\eta < 0.1$ | $M_{Ed} = 0.00$ N.P. ⁽²⁾ | $\eta < 0.1$ | $V_{Ed} = 0.00$ N.P. ⁽³⁾ | x: 0 m $\eta < 0.1$ | N.P. ⁽⁴⁾ | x: 0 m $\eta = 54.3$ | x: 0 m $\eta < 0.1$ | $M_{Ed} = 0.00$ N.P. ⁽⁵⁾ | N.P. ⁽⁶⁾ | N.P. ⁽⁶⁾ | CUMPLE h = 54.3 |
| N19/N11 | $\bar{\lambda} < 2.0$ Cumple | $\lambda_{ov} \leq \lambda_{ov,max}$ Cumple | $M_{Ed} = 0.00$ N.P. ⁽⁷⁾ | x: 0 m $\eta = 22.0$ | x: 0.6 m $\eta = 32.3$ | $M_{Ed} = 0.00$ N.P. ⁽²⁾ | $\eta = 14.3$ | $V_{Ed} = 0.00$ N.P. ⁽³⁾ | $\eta < 0.1$ | N.P. ⁽⁴⁾ | x: 0.6 m $\eta = 54.3$ | $\eta < 0.1$ | $M_{Ed} = 0.00$ N.P. ⁽⁵⁾ | N.P. ⁽⁶⁾ | N.P. ⁽⁶⁾ | CUMPLE h = 54.3 |
| N20/N12 | $\bar{\lambda} < 2.0$ Cumple | $\lambda_{ov} \leq \lambda_{ov,max}$ Cumple | $N_{Ed} = 0.00$ N.P. ⁽⁷⁾ | x: 0 m $\eta = 25.4$ | x: 0 m $\eta = 45.5$ | $M_{Ed} = 0.00$ N.P. ⁽²⁾ | $\eta = 20.4$ | $V_{Ed} = 0.00$ N.P. ⁽³⁾ | $\eta < 0.1$ | N.P. ⁽⁴⁾ | x: 0 m $\eta = 70.9$ | $\eta < 0.1$ | $M_{Ed} = 0.00$ N.P. ⁽⁵⁾ | N.P. ⁽⁶⁾ | N.P. ⁽⁶⁾ | CUMPLE h = 70.9 |
| N21/N13 | $\bar{\lambda} < 2.0$ Cumple | $\lambda_{ov} \leq \lambda_{ov,max}$ Cumple | $N_{Ed} = 0.00$ N.P. ⁽⁷⁾ | x: 0 m $\eta = 29.1$ | x: 0 m $\eta = 51.7$ | $M_{Ed} = 0.00$ N.P. ⁽²⁾ | $\eta = 23.2$ | $V_{Ed} = 0.00$ N.P. ⁽³⁾ | $\eta < 0.1$ | N.P. ⁽⁴⁾ | x: 0 m $\eta = 80.8$ | $\eta < 0.1$ | $M_{Ed} = 0.00$ N.P. ⁽⁵⁾ | N.P. ⁽⁶⁾ | N.P. ⁽⁶⁾ | CUMPLE h = 80.8 |
| N22/N14 | $\bar{\lambda} < 2.0$ Cumple | $\lambda_{ov} \leq \lambda_{ov,max}$ Cumple | $N_{Ed} = 0.00$ N.P. ⁽⁷⁾ | x: 0 m $\eta = 30.0$ | x: 0.6 m $\eta = 55.0$ | $M_{Ed} = 0.00$ N.P. ⁽²⁾ | $\eta = 24.6$ | $V_{Ed} = 0.00$ N.P. ⁽³⁾ | $\eta < 0.1$ | N.P. ⁽⁴⁾ | x: 0.6 m $\eta = 85.0$ | $\eta < 0.1$ | $M_{Ed} = 0.00$ N.P. ⁽⁵⁾ | N.P. ⁽⁶⁾ | N.P. ⁽⁶⁾ | CUMPLE h = 85.0 |
| N2/N4 | $\bar{\lambda} < 2.0$ Cumple | $\lambda_{ov} \leq \lambda_{ov,max}$ Cumple | $N_{Ed} = 0.00$ N.P. ⁽⁷⁾ | x: 0 m $\eta = 18.9$ | x: 0.6 m $\eta = 28.9$ | $M_{Ed} = 0.00$ N.P. ⁽²⁾ | $\eta = 64.7$ | $V_{Ed} = 0.00$ N.P. ⁽³⁾ | x: 0.6 m $\eta = 29.3$ | N.P. ⁽⁴⁾ | x: 0.6 m $\eta = 47.8$ | x: 0.6 m $\eta = 48.5$ | $M_{Ed} = 0.00$ N.P. ⁽⁵⁾ | N.P. ⁽⁶⁾ | N.P. ⁽⁶⁾ | CUMPLE h = 64.7 |
| N3/N6 | $\bar{\lambda} < 2.0$ Cumple | $\lambda_{ov} \leq \lambda_{ov,max}$ Cumple | $N_{Ed} = 0.00$ N.P. ⁽⁷⁾ | $\eta = 13.6$ | x: 0 m $\eta = 6.5$ | $M_{Ed} = 0.00$ N.P. ⁽²⁾ | x: 0 m $\eta = 12.7$ | $V_{Ed} = 0.00$ N.P. ⁽³⁾ | $\eta < 0.1$ | N.P. ⁽⁴⁾ | x: 0 m $\eta = 20.0$ | $\eta < 0.1$ | $M_{Ed} = 0.00$ N.P. ⁽⁵⁾ | N.P. ⁽⁶⁾ | N.P. ⁽⁶⁾ | CUMPLE h = 20.0 |
| N6/N7 | $\bar{\lambda} < 2.0$ Cumple | $\lambda_{ov} \leq \lambda_{ov,max}$ Cumple | $N_{Ed} = 0.00$ N.P. ⁽⁷⁾ | $\eta = 24.2$ | x: 0.95 m $\eta = 12.3$ | $M_{Ed} = 0.00$ N.P. ⁽²⁾ | x: 0 m $\eta = 12.3$ | $V_{Ed} = 0.00$ N.P. ⁽³⁾ | $\eta < 0.1$ | N.P. ⁽⁴⁾ | x: 0.95 m $\eta = 36.5$ | $\eta < 0.1$ | $M_{Ed} = 0.00$ N.P. ⁽⁵⁾ | N.P. ⁽⁶⁾ | N.P. ⁽⁶⁾ | CUMPLE h = 36.5 |
| N7/N8 | $\bar{\lambda} < 2.0$ Cumple | $\lambda_{ov} \leq \lambda_{ov,max}$ Cumple | $N_{Ed} = 0.00$ N.P. ⁽⁷⁾ | $\eta = 34.2$ | x: 0.95 m $\eta = 21.1$ | $M_{Ed} = 0.00$ N.P. ⁽²⁾ | x: 0 m $\eta = 13.1$ | $V_{Ed} = 0.00$ N.P. ⁽³⁾ | $\eta < 0.1$ | N.P. ⁽⁴⁾ | x: 0.95 m $\eta = 55.3$ | $\eta < 0.1$ | $M_{Ed} = 0.00$ N.P. ⁽⁵⁾ | N.P. ⁽⁶⁾ | N.P. ⁽⁶⁾ | CUMPLE h = 55.3 |
| N8/N9 | $\bar{\lambda} < 2.0$ Cumple | $\lambda_{ov} \leq \lambda_{ov,max}$ Cumple | $N_{$ | | | | | | | | | | | | | |



Listados

DESARROLLO DE PROYECTO EJECUTIVO DE REFORMA DE LA PISCINA DEL COLEGIO PÀLCAM

Fecha: 28/03/18

| Barras | COMPROBACIONES (CTE DB SE-A) | | | | | | | | | | | | | | Estado |
|--|------------------------------|------------------------|-------|-------|-------|-------|-------|-------|-----------|-----------|-------------|---------------------|-------|-----------|--------|
| | $\bar{\lambda}$ | λ_{lim} | N_t | N_c | M_t | M_z | V_z | V_y | $M_t V_z$ | $M_z V_y$ | $N M_t M_z$ | $N M_t M_z V_z V_z$ | M_t | $M_z V_z$ | |
| Notación: | | | | | | | | | | | | | | | |
| l: Limitación de esbeltez | | | | | | | | | | | | | | | |
| l _w : Abolladura del alma inducida por el ala comprimida | | | | | | | | | | | | | | | |
| N _t : Resistencia a tracción | | | | | | | | | | | | | | | |
| N _c : Resistencia a compresión | | | | | | | | | | | | | | | |
| M _t : Resistencia a flexión eje Y | | | | | | | | | | | | | | | |
| M _z : Resistencia a flexión eje Z | | | | | | | | | | | | | | | |
| V _z : Resistencia a corte Z | | | | | | | | | | | | | | | |
| V _y : Resistencia a corte Y | | | | | | | | | | | | | | | |
| M _{t V_z} : Resistencia a momento flector Y y fuerza cortante Z combinados | | | | | | | | | | | | | | | |
| M _{z V_y} : Resistencia a momento flector Z y fuerza cortante Y combinados | | | | | | | | | | | | | | | |
| N M _{t M_z} : Resistencia a flexión y axil combinados | | | | | | | | | | | | | | | |
| N M _{t M_z V_z V_z} : Resistencia a flexión, axil y cortante combinados | | | | | | | | | | | | | | | |
| M _t : Resistencia a torsión | | | | | | | | | | | | | | | |
| M _{t V_z} : Resistencia a cortante Z y momento torsor combinados | | | | | | | | | | | | | | | |
| M _{z V_y} : Resistencia a cortante Y y momento torsor combinados | | | | | | | | | | | | | | | |
| x: Distancia al origen de la barra | | | | | | | | | | | | | | | |
| h: Coeficiente de aprovechamiento (%) | | | | | | | | | | | | | | | |
| N.P.: No procede | | | | | | | | | | | | | | | |
| Comprobaciones que no proceden (N.P.): | | | | | | | | | | | | | | | |
| (1) La comprobación no procede, ya que no hay axil de compresión. | | | | | | | | | | | | | | | |
| (2) La comprobación no procede, ya que no hay momento flector. | | | | | | | | | | | | | | | |
| (3) La comprobación no procede, ya que no hay esfuerzo cortante. | | | | | | | | | | | | | | | |
| (4) No hay interacción entre momento flector y esfuerzo cortante para ninguna combinación. Por lo tanto, la comprobación no procede. | | | | | | | | | | | | | | | |
| (5) La comprobación no procede, ya que no hay momento torsor. | | | | | | | | | | | | | | | |
| (6) No hay interacción entre momento torsor y esfuerzo cortante para ninguna combinación. Por lo tanto, la comprobación no procede. | | | | | | | | | | | | | | | |
| (7) La comprobación no procede, ya que no hay axil de tracción. | | | | | | | | | | | | | | | |

- Cegado del hueco del forjado de acceso



JUSTIFICACIÓN DE CÁLCULO

PERFIL DE CIERRE DE HUECO ACCESO EDIFICIO

Datos geométricos:

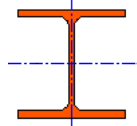
| | |
|--------------------|------|
| Luz de cálculo | 4,40 |
| Luz vano izquierdo | 1,00 |
| Luz vano derecho | 0,00 |

Condiciones de contorno

| | |
|--|------|
| Grado de empotramiento apoyo izquierdo | 0,00 |
| Grado de empotramiento apoyo derecho | 0,00 |
| Inclinación y giro del perfil | 0 |

Distancias m, Empotramiento 0-1, Inclinación y giro °

HEB 120



Principales propiedades del acero estructural.

Acero: S275JR

| f_y | f_u | T | E | G | ν | α | ρ |
|-------|-------|----|---------|--------|-------|----------|--------|
| 275 | 410 | 20 | 210.000 | 81.000 | 0.3 | 1.2E-5 | 7.850 |

Resistencia N/mm², Rigidez N/mm², Densidad kg/m³, Temperatura (1/°C).

f_y Tensión de límite elástico.

f_u Tensión de rotura

T Temperatura del ensayo Charpy

E Módulo de elasticidad.

G Módulo de rigidez.

ν Coeficiente de Poisson.

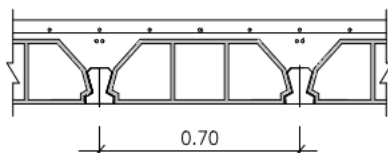
α Coeficiente de dilatación térmica.

ρ Densidad.

Cargas consideradas:

Peso propio forjado

Unidireccional vigueta-Bovedilla mortero $i=70$ cm



Canto 25+5=30

Pp 3.7 kN/m²

Cargas uniformes:

| Tipo | Carga | Unidad |
|--------------|-------------|-------------------------|
| SCU | 3.0 | kN/m ² |
| Tabiquería | 1.0 | kN/m ² |
| Pavimento | 1.0 | kN/m ² |
| Peso propio | 3.7 | kN/m ² |
| Total | 8,70 | kN/m² |

Cargas puntuales:

| Tipo | Carga | Unidad |
|------|-------|--------|
|------|-------|--------|

| | | |
|-----|-----|----|
| SCU | 4.0 | kN |
|-----|-----|----|

Hipótesis: Hipótesis-1 Sobrecarga superficial

| Categoría | Origen | Edad | Duración | Clasific. | Tipo carga | Carga | Apoyo izq. | Apoyo der. |
|-----------|-------------|------|------------|-----------|------------|-------|------------|------------|
| C1 | SCU | 180 | Corta | Q | Repartida | 1,50 | 0,00 | 0,00 |
| - | Tabiquería | 30 | Permanente | G | Repartida | 0,50 | 0,00 | 0,00 |
| - | Pavimento | 60 | Permanente | G | Repartida | 0,50 | 0,00 | 0,00 |
| - | Peso propio | 7 | Permanente | G | Repartida | 1,85 | 0,00 | 0,00 |

Hipótesis: Hipótesis-2 Sobrecarga puntual centro viga

| Categoría | Origen | Edad | Duración | Clasific. | Tipo carga | Carga | Apoyo izq. | Apoyo der. |
|-----------|-------------|------|------------|-----------|------------|-------|------------|------------|
| C1 | SCU | 180 | Corta | Q | Puntual | 4,00 | 2,20 | 2,20 |
| - | Tabiquería | 30 | Permanente | G | Repartida | 0,50 | 0,00 | 0,00 |
| - | Pavimento | 60 | Permanente | G | Repartida | 0,50 | 0,00 | 0,00 |
| - | Peso propio | 7 | Permanente | G | Repartida | 1,85 | 0,00 | 0,00 |

Hipótesis: Hipótesis-3 Sobrecarga puntual en apoyo

| Categoría | Origen | Edad | Duración | Clasific. | Tipo carga | Carga | Apoyo izq. | Apoyo der. |
|-----------|-------------|------|------------|-----------|------------|-------|------------|------------|
| C1 | SCU | 180 | Corta | Q | Puntual | 4,00 | 0,01 | 0,00 |
| - | Tabiquería | 30 | Permanente | G | Repartida | 0,50 | 0,00 | 0,00 |
| - | Pavimento | 60 | Permanente | G | Repartida | 0,50 | 0,00 | 0,00 |
| - | Peso propio | 7 | Permanente | G | Repartida | 1,85 | 0,00 | 0,00 |

Comprobación en ELU de flexión simple. CUMPLE

Combinatoria pésimaHipótesis-2 Sobrecarga puntual centro viga - Situación normal - G+SCU

| M_d | γ_M | f_y | f_d | σ_d | η |
|-------|------------|-------|-------|------------|-------------|
| 15,9 | 1,05 | 275,0 | 261,9 | 110,5 | 0,42 |

Momentos mkN, Resistencia N/mm²

M_d Momento flector máximo de cálculo en la combinación pésima en ELU.

γ_M Coeficiente parcial de seguridad del acero.

f_y Límite elástico del acero.

f_d Límite elástico de cálculo del acero.

σ_d Tensión normal de trabajo bajo combinación pésima.

η Cociente entre tensión normal y límite elástico de cálculo.
(aprovechamiento)

Comprobación en ELU de cortante. CUMPLE

Combinatoria pésimaHipótesis-3 Sobrecarga puntual en apoyo - Situación normal - G+SCU

| V_d | γ_M | f_y | f_d | τ_d | η |
|-------|------------|-------|-------|----------|-------------|
| 14,5 | 1,05 | 275,0 | 261,9 | 18,5 | 0,12 |

Esfuerzos kN, Resistencia N/mm²

V_d Cortante máximo de cálculo en la combinación pésima en ELU.

γ_M Coeficiente parcial de seguridad del acero.

f_y Límite elástico del acero.

f_d Límite elástico de cálculo del acero.

τ_d Tensión tangencial de trabajo bajo combinación pésima.

η Cociente entre tensión tangencial y límite elástico de cálculo.
(aprovechamiento)

Comprobación en ELS de deformación por flecha. CUMPLE

Combinatoria pésima Hipótesis-1 Sobrecarga superficial - Acciones características - G+SCU

| M_d | δ_{fin} | L/δ_{fin} | η |
|-------|----------------|------------------|-------------|
| 10,1 | 6,7 | 654 | 0,76 |

Momentos mkN, Deformación mm

M_d Momento flector máximo de cálculo en la combinación pésima en ELS.

δ_{fin} Deformación por flecha.

L/δ_{fin} Relación luz / deformación.

η Cociente entre deformación máxima admisible y deformación máxima. (aprovechamiento)

- Cegado del hueco de escaleras



JUSTIFICACIÓN DE CÁLCULO

PERFILES DE CIERRE DE HUECO ESCALERA

PERFILES LATERALES

Datos geométricos:

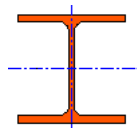
| | |
|--------------------|------|
| Luz de cálculo | 4,40 |
| Luz vano izquierdo | 1,00 |
| Luz vano derecho | 1,00 |

Condiciones de contorno

| | |
|--|------|
| Grado de empotramiento apoyo izquierdo | 0,00 |
| Grado de empotramiento apoyo derecho | 0,00 |
| Inclinación y giro del perfil | 0 |

Distancias m, Empotramiento 0-1, Inclinación y giro °

HEB 140



Principales propiedades del acero estructural.

Acero: S275JR

| f_y | f_u | T | E | G | ν | α | ρ |
|-------|-------|----|---------|--------|-------|----------|--------|
| 275 | 410 | 20 | 210.000 | 81.000 | 0.3 | 1.2E-5 | 7.850 |

Resistencia N/mm², Rigidez N/mm², Densidad kg/m³, Temperatura (1/°C).

f_y Tensión de límite elástico.

f_u Tensión de rotura

T Temperatura del ensayo Charpy

E Módulo de elasticidad.

G Módulo de rigidez.

ν Coeficiente de Poisson.

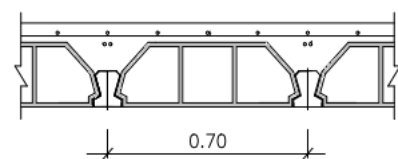
α Coeficiente de dilatación térmica.

ρ Densidad.

Cargas consideradas:

Peso propio forjado

Unidireccional vigueta-Bovedilla mortero i=70 cm



Canto 25+5=30

Pp 3.7 kN/m²

Cargas uniformes:

| Tipo | Carga | Unidad |
|--------------|-------------|-------------------------|
| SCU | 3.0 | kN/m ² |
| Tabiquería | 1.0 | kN/m ² |
| Pavimento | 1.0 | kN/m ² |
| Peso propio | 3.7 | kN/m ² |
| Total | 8,70 | kN/m² |

Cargas puntuales:

| Tipo | Carga | Unidad |
|------|-------|--------|
| SCU | 4.0 | kN |

Hipótesis: Hipótesis-1 Sobrecarga superficial

| Categoría | Origen | Edad | Duración | Clasific. | Tipo carga | Carga | Apoyo izq. | Apoyo der. |
|-----------|-------------|------|------------|-----------|------------|-------|------------|------------|
| C1 | SCU | 180 | Corta | Q | Repartida | 3,00 | 0,00 | 0,00 |
| - | Tabiquería | 30 | Permanente | G | Repartida | 1,00 | 0,00 | 0,00 |
| - | Pavimento | 60 | Permanente | G | Repartida | 1,00 | 0,00 | 0,00 |
| - | Peso propio | 7 | Permanente | G | Repartida | 3,70 | 0,00 | 0,00 |

Hipótesis: Hipótesis-2 Sobrecarga puntual centro viga

| Categoría | Origen | Edad | Duración | Clasific. | Tipo carga | Carga | Apoyo izq. | Apoyo der. |
|-----------|-------------|------|------------|-----------|------------|-------|------------|------------|
| C1 | SCU | 180 | Corta | Q | Puntual | 4,00 | 2,20 | 2,20 |
| - | Tabiquería | 30 | Permanente | G | Repartida | 1,00 | 0,00 | 0,00 |
| - | Pavimento | 60 | Permanente | G | Repartida | 1,00 | 0,00 | 0,00 |
| - | Peso propio | 7 | Permanente | G | Repartida | 3,70 | 0,00 | 0,00 |

Hipótesis: Hipótesis-3 Sobrecarga puntual en apoyo

| Categoría | Origen | Edad | Duración | Clasific. | Tipo carga | Carga | Apoyo izq. | Apoyo der. |
|-----------|-------------|------|------------|-----------|------------|-------|------------|------------|
| C1 | SCU | 180 | Corta | Q | Puntual | 4,00 | 0,01 | 0,00 |
| - | Tabiquería | 30 | Permanente | G | Repartida | 1,00 | 0,00 | 0,00 |
| - | Pavimento | 60 | Permanente | G | Repartida | 1,00 | 0,00 | 0,00 |
| - | Peso propio | 7 | Permanente | G | Repartida | 3,70 | 0,00 | 0,00 |

Comprobación en ELU de flexión simple. CUMPLE

Combinatoria pésima Hipótesis-1 Sobrecarga superficial - Situación normal - G+SCU

| M_d | γ_M | f_y | f_d | σ_d | η |
|-------|------------|-------|-------|------------|-------------|
| 29,5 | 1,05 | 275,0 | 261,9 | 136,9 | 0,52 |

Momentos mkN, Resistencia N/mm²

M_d Momento flector máximo de cálculo en la combinación pésima en ELU.

f_y Límite elástico del acero.

σ_d Tensión normal de trabajo bajo combinación pésima.

γ_M Coeficiente parcial de seguridad del acero.

f_d Límite elástico de cálculo del acero.

η Cociente entre tensión normal y límite elástico de cálculo. (aprovechamiento)

Comprobación en ELU de cortante. CUMPLE

Combinatoria pésima Hipótesis-1 Sobrecarga superficial - Situación normal - G+SCU

| V_d | γ_M | f_y | f_d | τ_d | η |
|-------|------------|-------|-------|----------|-------------|
| 26,8 | 1,05 | 275,0 | 261,9 | 27,4 | 0,18 |

Esfuerzos kN, Resistencia N/mm²

V_d Cortante máximo de cálculo en la combinación pésima en ELU.

f_y Límite elástico del acero.

τ_d Tensión tangencial de trabajo bajo combinación pésima.

γ_M Coeficiente parcial de seguridad del acero.

f_d Límite elástico de cálculo del acero.

η Cociente entre tensión tangencial y límite elástico de cálculo. (aprovechamiento)

Comprobación en ELS de deformación por flecha. CUMPLE

Combinatoria pésima Hipótesis-1 Sobrecarga superficial - Acciones características - G+SCU

| M_d | δ_{fin} | L/δ_{fin} | η |
|-------|----------------|------------------|-------------|
| 20,2 | 7,7 | 571 | 0,88 |

Momentos mkN, Deformación mm

M_d Momento flector máximo de cálculo en la combinación pésima en ELS.

δ_{fin} Deformación por flecha.

L/δ_{fin} Relación luz / deformación.

η Cociente entre deformación máxima admisible y deformación máxima. (aprovechamiento)

JUSTIFICACIÓN DE CÁLCULO

PERFILES DE CIERRE DE HUECO ESCALERA

PERFIL TRASVERSAL

Datos geométricos:

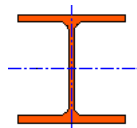
| | |
|--------------------|------|
| Luz de cálculo | 3,50 |
| Luz vano izquierdo | 3,15 |
| Luz vano derecho | 0,00 |

Condiciones de contorno

| | |
|--|------|
| Grado de empotramiento apoyo izquierdo | 0,00 |
| Grado de empotramiento apoyo derecho | 0,00 |
| Inclinación y giro del perfil | 0 |

Distancias m, Empotramiento 0-1, Inclinación y giro °

HEB 140



Principales propiedades del acero estructural.

Acero: S275JR

| f_y | f_u | T | E | G | ν | α | ρ |
|-------|-------|----|---------|--------|-------|----------|--------|
| 275 | 410 | 20 | 210.000 | 81.000 | 0.3 | 1.2E-5 | 7.850 |

Resistencia N/mm², Rigidez N/mm², Densidad kg/m³, Temperatura (1/°C).

f_y Tensión de límite elástico.

f_u Tensión de rotura

T Temperatura del ensayo Charpy

E Módulo de elasticidad.

G Módulo de rigidez.

ν Coeficiente de Poisson.

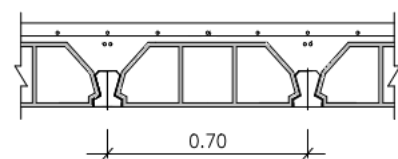
α Coeficiente de dilatación térmica.

ρ Densidad.

Cargas consideradas:

Peso propio forjado

Unidireccional vigueta-Bovedilla mortero i=70 cm



Canto 25+5=30

Pp 3.7 kN/m²

Cargas uniformes:

| Tipo | Carga | Unidad |
|--------------|-------------|-------------------------|
| SCU | 3.0 | kN/m ² |
| Tabiquería | 1.0 | kN/m ² |
| Pavimento | 1.0 | kN/m ² |
| Peso propio | 3.7 | kN/m ² |
| Total | 8,70 | kN/m² |

Cargas puntuales:

| Tipo | Carga | Unidad |
|------|-------|--------|
| SCU | 4.0 | kN |

Hipótesis: Hipótesis-1 Sobrecarga superficial

| Categoría | Origen | Edad | Duración | Clasific. | Tipo carga | Carga | Apoyo izq. | Apoyo der. |
|-----------|-------------|------|------------|-----------|------------|-------|------------|------------|
| C1 | SCU | 180 | Corta | Q | Repartida | 4,72 | 0,00 | 0,00 |
| - | Tabiquería | 30 | Permanente | G | Repartida | 1,57 | 0,00 | 0,00 |
| - | Pavimento | 60 | Permanente | G | Repartida | 1,57 | 0,00 | 0,00 |
| - | Peso propio | 7 | Permanente | G | Repartida | 5,83 | 0,00 | 0,00 |

Hipótesis: Hipótesis-2 Sobrecarga puntual centro viga

| Categoría | Origen | Edad | Duración | Clasific. | Tipo carga | Carga | Apoyo izq. | Apoyo der. |
|-----------|-------------|------|------------|-----------|------------|-------|------------|------------|
| C1 | SCU | 180 | Corta | Q | Puntual | 4,00 | 1,75 | 1,75 |
| - | Tabiquería | 30 | Permanente | G | Repartida | 1,57 | 0,00 | 0,00 |
| - | Pavimento | 60 | Permanente | G | Repartida | 1,57 | 0,00 | 0,00 |
| - | Peso propio | 7 | Permanente | G | Repartida | 5,83 | 0,00 | 0,00 |

Hipótesis: Hipótesis-3 Sobrecarga puntual en apoyo

| Categoría | Origen | Edad | Duración | Clasific. | Tipo carga | Carga | Apoyo izq. | Apoyo der. |
|-----------|-------------|------|------------|-----------|------------|-------|------------|------------|
| C1 | SCU | 180 | Corta | Q | Puntual | 4,00 | 0,01 | 0,00 |
| - | Tabiquería | 30 | Permanente | G | Repartida | 1,57 | 0,00 | 0,00 |
| - | Pavimento | 60 | Permanente | G | Repartida | 1,57 | 0,00 | 0,00 |
| - | Peso propio | 7 | Permanente | G | Repartida | 5,83 | 0,00 | 0,00 |

Comprobación en ELU de flexión simple. CUMPLE

Combinatoria pésimaHipótesis-1 Sobrecarga superficial - Situación normal - G+SCU

| M_d | γ_M | f_y | f_d | σ_d | η |
|-------|------------|-------|-------|------------|-------------|
| 29,4 | 1,05 | 275,0 | 261,9 | 136,4 | 0,52 |

Momentos mkN, Resistencia N/mm²

M_d Momento flector máximo de cálculo en la combinación pésima en ELU.

γ_M Coeficiente parcial de seguridad del acero.

f_y Límite elástico del acero.

f_d Límite elástico de cálculo del acero.

σ_d Tensión normal de trabajo bajo combinación pésima.

η Cociente entre tensión normal y límite elástico de cálculo. (aprovechamiento)

Comprobación en ELU de cortante. CUMPLE

Combinatoria pésimaHipótesis-1 Sobrecarga superficial - Situación normal - G+SCU

| V_d | γ_M | f_y | f_d | τ_d | η |
|-------|------------|-------|-------|----------|-------------|
| 33,6 | 1,05 | 275,0 | 261,9 | 34,3 | 0,23 |

Esfuerzos kN, Resistencia N/mm²

V_d Cortante máximo de cálculo en la combinación pésima en ELU.

γ_M Coeficiente parcial de seguridad del acero.

f_y Límite elástico del acero.

f_d Límite elástico de cálculo del acero.

τ_d Tensión tangencial de trabajo bajo combinación pésima.

η Cociente entre tensión tangencial y límite elástico de cálculo. (aprovechamiento)

Comprobación en ELS de deformación por flecha. CUMPLE

Combinatoria pésima Hipótesis-1 Sobrecarga superficial - Acciones características - G+SCU

| M_d | δ_{fin} | L/δ_{fin} | η |
|-------|----------------|------------------|-------------|
| 20,1 | 4,9 | 721 | 0,69 |

Momentos mkN, Deformación mm

M_d Momento flector máximo de cálculo en la combinación pésima en ELS.

δ_{fin} Deformación por flecha.

L/δ_{fin} Relación luz / deformación.

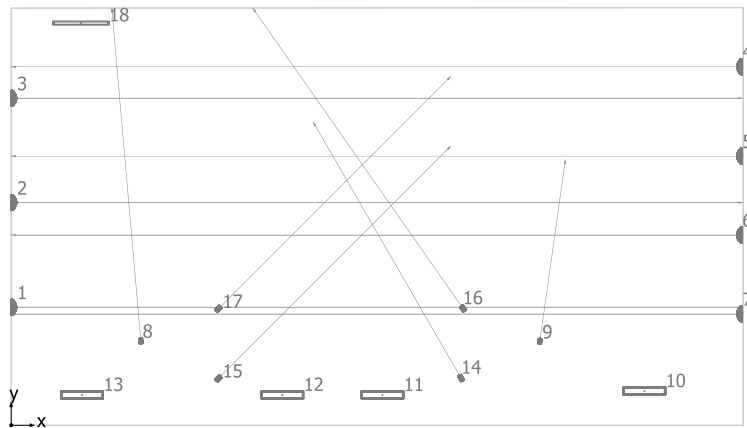
η Cociente entre deformación máxima admisible y deformación máxima. (aprovechamiento)

5.6.2. Cálculos DiaLux

- Distribución, cálculo y listado luminarias Piscina
- Distribución, cálculo y listado luminarias Vestuario 1
- Distribución, cálculo y listado luminarias Vestuario 2
- Distribución, cálculo y listado luminarias Pasillo 1
- Distribución, cálculo y listado luminarias Vestíbulo1



Local 4



Philips Lighting WL120V LED16S/840

| Nº | X [m] | Y [m] | Altura de montaje [m] |
|----|--------|-------|-----------------------|
| 1 | 0.000 | 2.546 | 1.500 |
| 2 | 0.000 | 4.796 | 1.500 |
| 3 | 0.000 | 7.047 | 1.500 |
| 4 | 15.750 | 7.723 | 1.501 |
| 5 | 15.750 | 5.799 | 1.500 |
| 6 | 15.750 | 4.099 | 1.499 |
| 7 | 15.750 | 2.399 | 1.498 |

Philips Lighting ST740T 1 xLED39S/830 VWB

| Nº | X [m] | Y [m] | Altura de montaje [m] |
|----|--------|-------|-----------------------|
| 8 | 2.798 | 1.766 | 2.800 |
| 9 | 11.383 | 1.766 | 2.800 |

Philips Lighting TCS680 2xTL5-39W HFP D8_830

| Nº | X [m] | Y [m] | Altura de montaje [m] |
|----|--------|-------|-----------------------|
| 10 | 13.641 | 0.738 | 3.000 |
| 11 | 7.998 | 0.655 | 3.000 |
| 12 | 5.841 | 0.655 | 3.000 |
| 13 | 1.527 | 0.655 | 3.000 |

Philips Lighting ST640T G2 1 xLED39S/CRW VWB

| Nº | X [m] | Y [m] | Altura de montaje [m] |
|----|-------|-------|-----------------------|
| 14 | 9.720 | 0.966 | 2.600 |
| 15 | 4.420 | 0.966 | 2.600 |

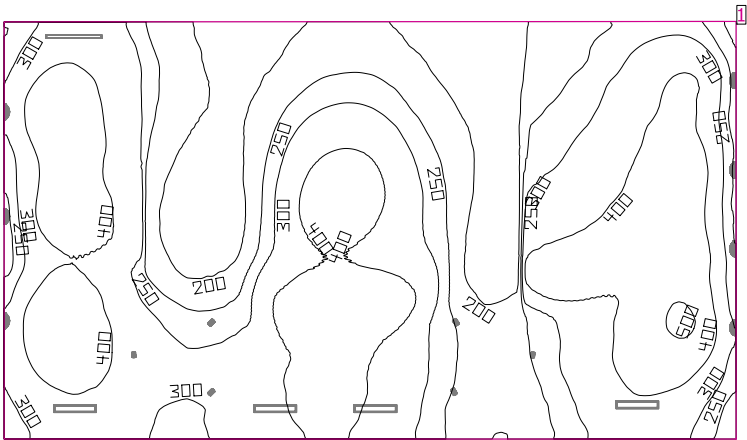
Philips Lighting ST640T G2 1 xLED49S/930 WB SK

| Nº | X [m] | Y [m] | Altura de montaje [m] |
|----|-------|-------|-----------------------|
| 16 | 9.770 | 2.466 | 2.600 |
| 17 | 4.420 | 2.466 | 2.600 |

Philips Lighting TCS680 1xTL5-25W HFP C8-VH_830

| Nº | X [m] | Y [m] | Altura de montaje [m] |
|----|-------|-------|-----------------------|
| 18 | 1.502 | 8.666 | 3.000 |

Local 4



Altura interior del local: 2.000 m hasta 3.000 m, Grado de reflexión: Techo 70.0%, Paredes 52.7%, Suelo 20.0%, Factor de degradación: 0.80

Plano útil

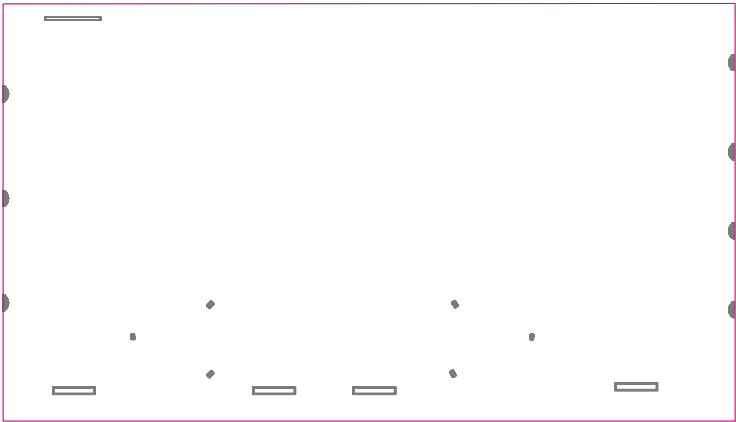
| Superficie | Resultado | Media (Nominal) | Min | Max | Mín./medio | Mín./máx. |
|------------|---|-----------------|-----|-----|------------|-----------|
| 1 local | Intensidad lumínica perpendicular (Adaptativamente) [lx] Altura: 0.000 m, Zona marginal: 0.000 m | 321 (≥ 500) | 159 | 516 | 0.50 | 0.31 |

| # Luminaria | Φ(Luminaria) [lm] | Potencia [W] | Rendimiento lumínico [lm/W] |
|---|-------------------|--------------|-----------------------------|
| 2 Philips Lighting - ST640T G2 1 xLED39S/CRW VWB | 3686 | 41.0 | 89.9 |
| 2 Philips Lighting - ST640T G2 1 xLED49S/930 WB SK | 4355 | 50.0 | 87.1 |
| 2 Philips Lighting - ST740T 1 xLED39S/830 VWB | 3818 | 32.0 | 119.3 |
| 1 Philips Lighting - TCS680 1xTL5-25W HFP C8-VH_830 | 2433 | 29.0 | 83.9 |
| 4 Philips Lighting - TCS680 2xTL5-39W HFP D8_830 | 4271 | 84.0 | 50.8 |
| 7 Philips Lighting - WL120V LED16S/840 | 5395 | 84.0 | 64.2 |
| Suma total de luminarias | 81000 | 1199.0 | 67.6 |

Potencia específica de conexión: 8.46 W/m² = 2.63 W/m²/100 lx (Superficie de planta de la estancia 141.80 m²)

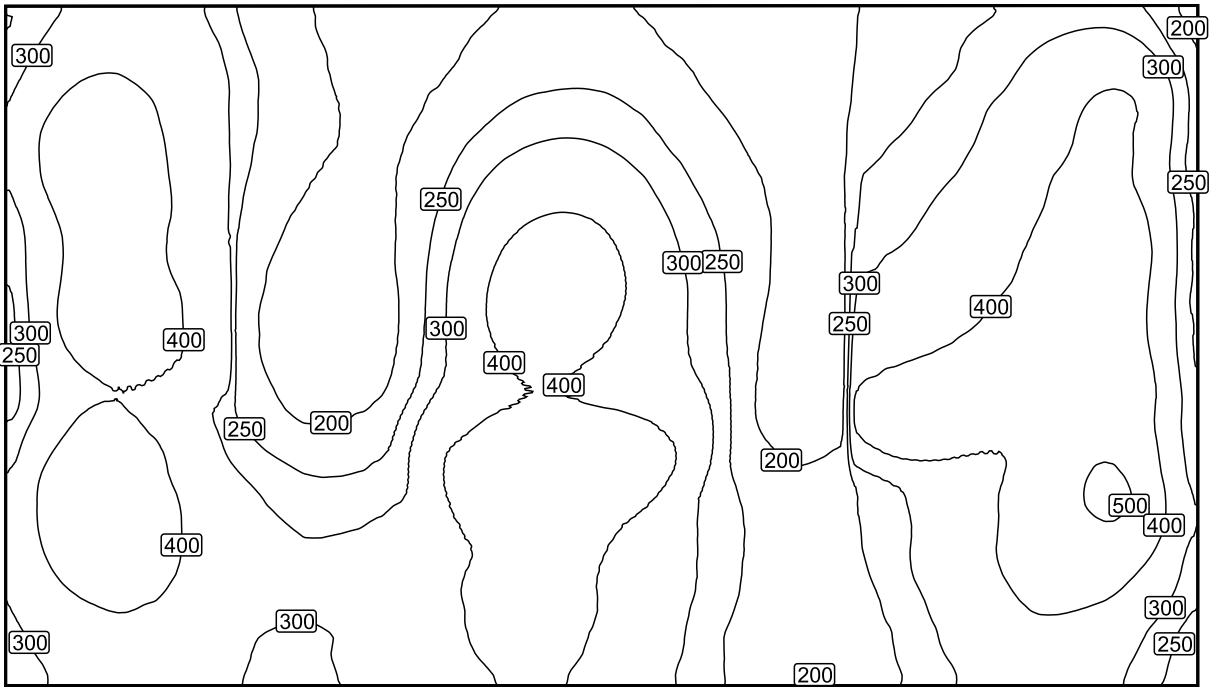
Las magnitudes de consumo de energía se refieren a las luminarias planificadas para en la estancia sin tener en cuenta escenas de luz ni sus estados de atenuación.
Consumo: 3300 kWh/a de un máximo de 5000 kWh/a

local / Intensidad lumínica perpendicular (Adaptativamente)



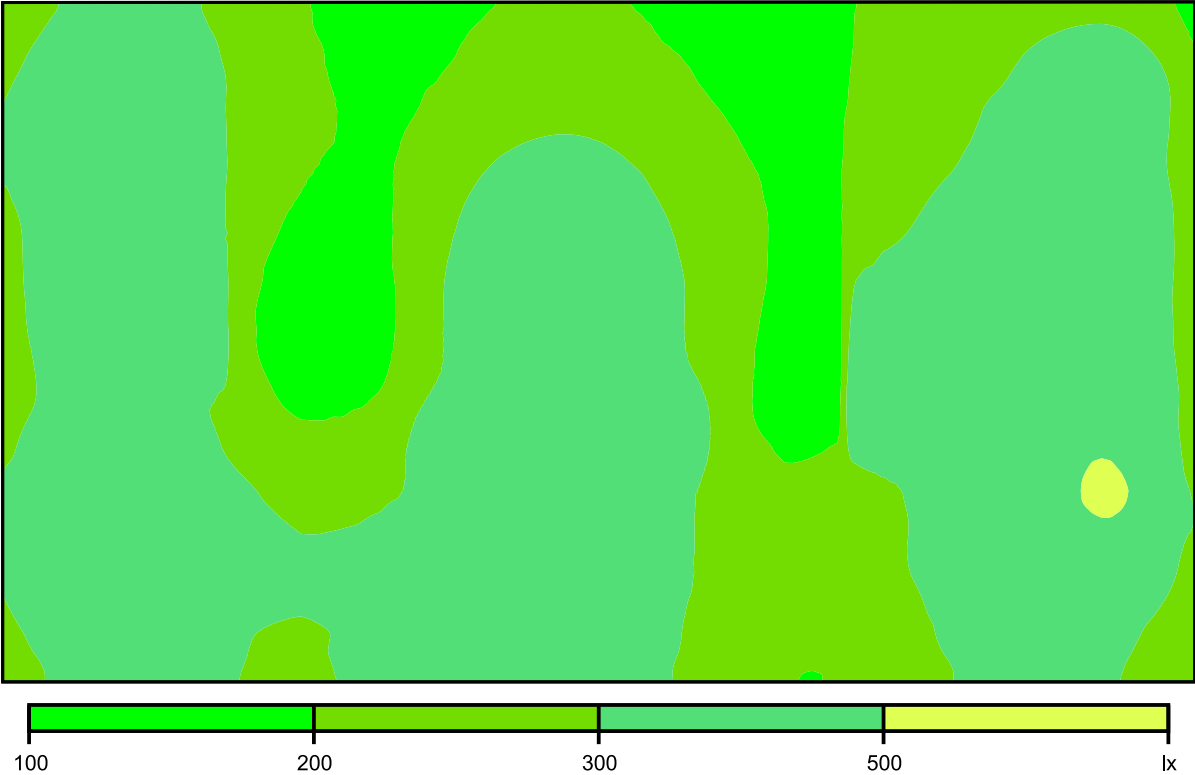
local: Intensidad lumínica perpendicular (Adaptativamente) (Superficie)
Escena de luz: Piscina
Media: 321 lx, Min: 159 lx, Max: 516 lx, Mín./medio: 0.50, Mín./máx.: 0.31
Altura: 0.000 m, Zona marginal: 0.000 m

Isolíneas [lx]



Escala: 1 : 100

Colores falsos [lx]



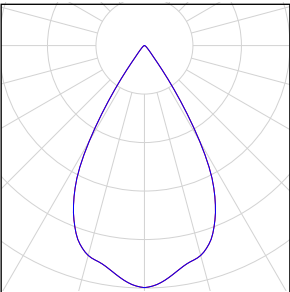
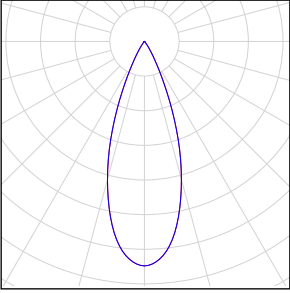
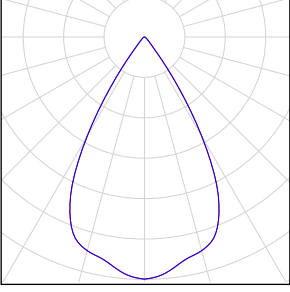
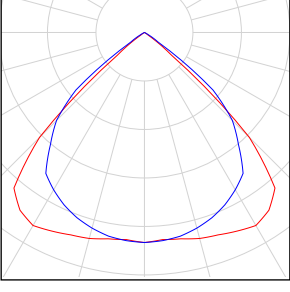
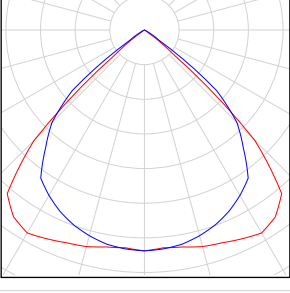
Escala: 1 : 100


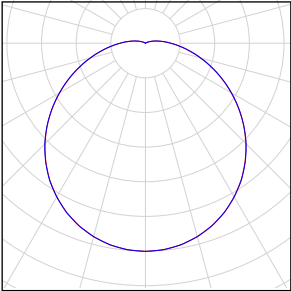
Sistema de valores [lx]

| | | | | | | | | | | |
|------|------|------|------|------|------|------|--------|------|------|--------|
| +348 | +357 | +230 | +184 | +216 | +232 | +190 | (+171) | +234 | +311 | +335 |
| +446 | +402 | +223 | +193 | +306 | +337 | +232 | +185 | +286 | +381 | +378 |
| +399 | +409 | +191 | +185 | +411 | +437 | +269 | +178 | +344 | +425 | +413 |
| +352 | +368 | +203 | +210 | +386 | +395 | +297 | +179 | +464 | +441 | +436 |
| +457 | +417 | +301 | +301 | +464 | +443 | +284 | +223 | +321 | +442 | (+468) |
| +349 | +375 | +299 | +337 | +413 | +393 | +269 | +205 | +288 | +388 | +308 |

Escala: 1 : 100

Local 4

| Número de unidades | Luminaria (Emisión de luz) | | |
|--------------------|--|---|---|
| 2 | <p>Philips Lighting - ST640T G2 1 xLED39S/CRW VWB Emisión de luz 1 Lámpara: 1xLED39S/CRW/- Grado de eficacia de funcionamiento: 99.63% Flujo luminoso de lámparas: 3700 lm Flujo luminoso de las luminarias: 3686 lm Potencia: 41.0 W Rendimiento lumínico: 89.9 lm/W</p> <p>Indicaciones colorimétricas 1xLED39S/CRW/-: CCT 3000 K, CRI 100</p> | <p>Dispone de una imagen de la luminaria en nuestro catálogo de luminarias.</p> |  |
| 2 | <p>Philips Lighting - ST640T G2 1 xLED49S/930 WB SK Emisión de luz 1 Lámpara: 1xLED49S/930/- Grado de eficacia de funcionamiento: 98.98% Flujo luminoso de lámparas: 4400 lm Flujo luminoso de las luminarias: 4355 lm Potencia: 50.0 W Rendimiento lumínico: 87.1 lm/W</p> <p>Indicaciones colorimétricas 1xLED49S/930/-: CCT 3000 K, CRI 100</p> | <p>Dispone de una imagen de la luminaria en nuestro catálogo de luminarias.</p> |  |
| 2 | <p>Philips Lighting - ST740T 1 xLED39S/830 VWB Emisión de luz 1 Lámpara: 1xLED39S/830/- Grado de eficacia de funcionamiento: 100.48% Flujo luminoso de lámparas: 3800 lm Flujo luminoso de las luminarias: 3818 lm Potencia: 32.0 W Rendimiento lumínico: 119.3 lm/W</p> <p>Indicaciones colorimétricas 1xLED39S/830/-: CCT 3000 K, CRI 100</p> | <p>Dispone de una imagen de la luminaria en nuestro catálogo de luminarias.</p> |  |
| 1 | <p>Philips Lighting - TCS680 1xTL5-25W HFP C8-VH_830 Emisión de luz 1 Lámpara: 1xTL5-25W/830 Grado de eficacia de funcionamiento: 93.59% Flujo luminoso de lámparas: 2600 lm Flujo luminoso de las luminarias: 2433 lm Potencia: 29.0 W Rendimiento lumínico: 83.9 lm/W</p> <p>Indicaciones colorimétricas 1xTL5-25W/830: CCT 3000 K, CRI 100</p> | <p>Dispone de una imagen de la luminaria en nuestro catálogo de luminarias.</p> |  |
| 4 | <p>Philips Lighting - TCS680 2xTL5-39W HFP D8_830 Emisión de luz 1 Lámpara: 2xTL5-39W/830 Grado de eficacia de funcionamiento: 68.88% Flujo luminoso de lámparas: 6200 lm Flujo luminoso de las luminarias: 4271 lm Potencia: 84.0 W Rendimiento lumínico: 50.8 lm/W</p> <p>Indicaciones colorimétricas 2xTL5-39W/830: CCT 3000 K, CRI 100</p> | <p>Dispone de una imagen de la luminaria en nuestro catálogo de luminarias.</p> |  |

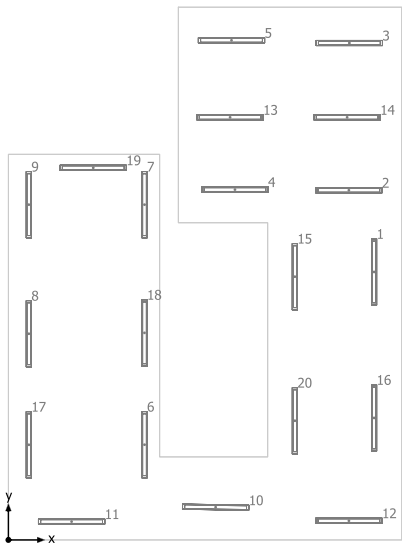
| Número de unidades | Luminaria (Emisión de luz) | | |
|--------------------|--|--|---|
| 7 | <p>Philips Lighting - WL120V LED16S/840</p> <p>Emisión de luz 1</p> <p>Lámpara: 1xLED16S/840/-</p> <p>Grado de eficacia de funcionamiento: 99.91%</p> <p>Flujo luminoso de lámparas: 5400 lm</p> <p>Flujo luminoso de las luminarias: 5395 lm</p> <p>Potencia: 84.0 W</p> <p>Rendimiento lumínico: 64.2 lm/W</p> <p>Indicaciones colorimétricas</p> <p>1xLED16S/840/-: CCT 3000 K, CRI 100</p> |  |  |

Flujo luminoso total de lámparas: 89000 lm, Flujo luminoso total de luminarias: 81000 lm, Potencia total: 1199.0 W, Rendimiento lumínico: 67.6 lm/W

- Distribución, cálculo y listado luminarias
Vestuario 1



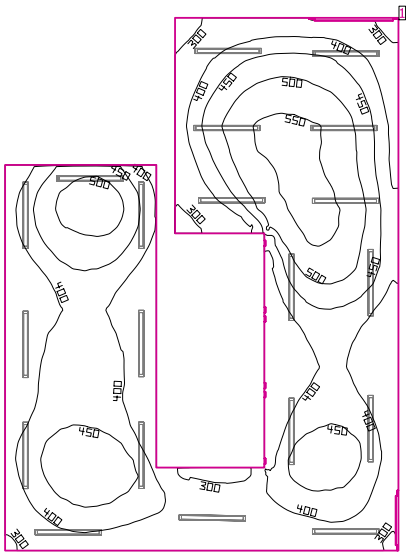
Local 7



Philips Lighting TCS680 1xTL5-21W HFP AC-MLO_827

| Nº | X [m] | Y [m] | Altura de montaje [m] |
|----|-------|-------|-----------------------|
| 1 | 5.077 | 3.721 | 2.460 |
| 2 | 4.727 | 4.855 | 2.460 |
| 3 | 4.734 | 6.899 | 2.460 |
| 4 | 3.146 | 4.864 | 2.460 |
| 5 | 3.098 | 6.936 | 2.460 |
| 6 | 1.890 | 1.322 | 2.460 |
| 7 | 1.890 | 4.655 | 2.460 |
| 8 | 0.284 | 2.862 | 2.460 |
| 9 | 0.284 | 4.655 | 2.460 |
| 10 | 2.877 | 0.455 | 2.460 |
| 11 | 0.877 | 0.255 | 2.460 |
| 12 | 4.728 | 0.266 | 2.460 |
| 13 | 3.078 | 5.867 | 2.460 |
| 14 | 4.703 | 5.867 | 2.460 |
| 15 | 3.977 | 3.655 | 2.460 |
| 16 | 5.077 | 1.694 | 2.460 |
| 17 | 0.284 | 1.321 | 2.460 |
| 18 | 1.890 | 2.875 | 2.460 |
| 19 | 1.177 | 5.167 | 2.460 |
| 20 | 3.978 | 1.655 | 2.460 |

Local 7



Altura interior del local: 3.300 m, Grado de reflexión: Techo 70.0%, Paredes 50.0%, Suelo 20.0%, Factor de degradación: 0.80

Plano útil

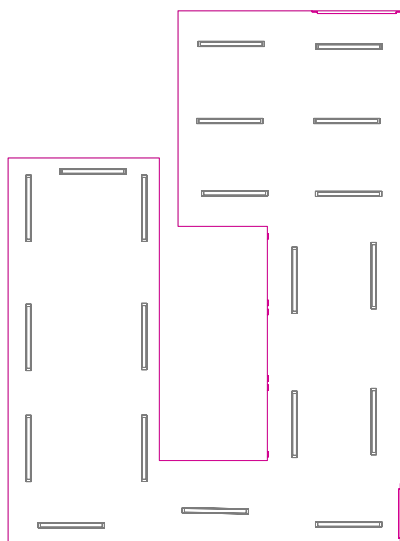
| Superficie | Resultado | Media (Nominal) | Min | Max | Mín./medio | Mín./máx. |
|-----------------|---|-----------------|-----|-----|------------|-----------|
| 1 Plano útil 17 | Intensidad luminica perpendicular (Adaptativamente) [lx] Altura: 0.800 m, Zona marginal: 0.000 m | 424 (≥ 500) | 259 | 569 | 0.61 | 0.46 |

| # | Luminaria | Φ(Luminaria) [lm] | Potencia [W] | Rendimiento lumínico [lm/W] |
|--------------------------|--|-------------------|--------------|-----------------------------|
| 20 | Philips Lighting - TCS680 1xTL5-21W HFP AC-MLO_827 | 1108 | 23.0 | 48.2 |
| Suma total de luminarias | | 22160 | 460.0 | 48.2 |

Potencia específica de conexión: 15.11 W/m² = 3.57 W/m²/100 lx (Superficie de planta de la estancia 30.45 m²)

Las magnitudes de consumo de energía se refieren a las luminarias planificadas para en la estancia sin tener en cuenta escenas de luz ni sus estados de atenuación.
Consumo: 1250 kWh/a de un máximo de 1100 kWh/a

Plano útil 17 / Intensidad lumínica perpendicular (Adaptativamente)



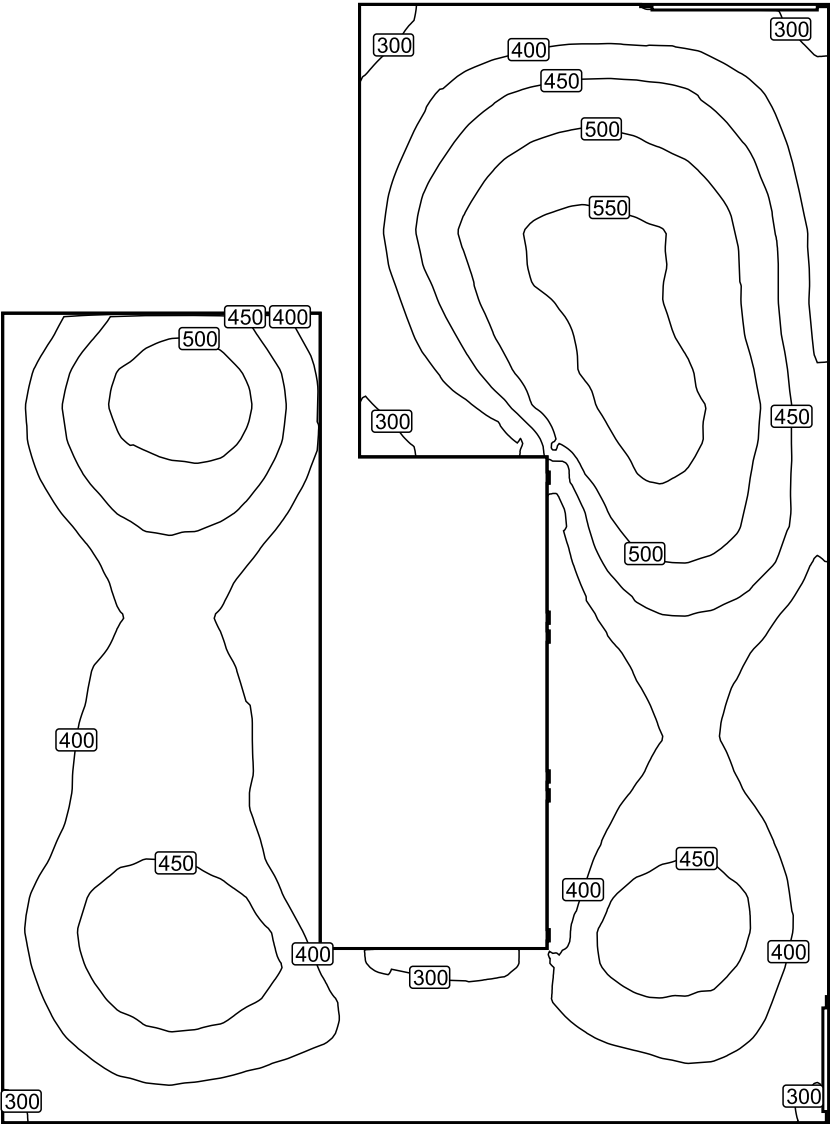
Plano útil 17: Intensidad lumínica perpendicular (Adaptativamente) (Superficie)

Escena de luz: Escena de luz 1

Media: 424 lx (Nominal: ≥ 500 lx), Min: 259 lx, Max: 569 lx, Mín./medio: 0.61, Mín./máx.: 0.46

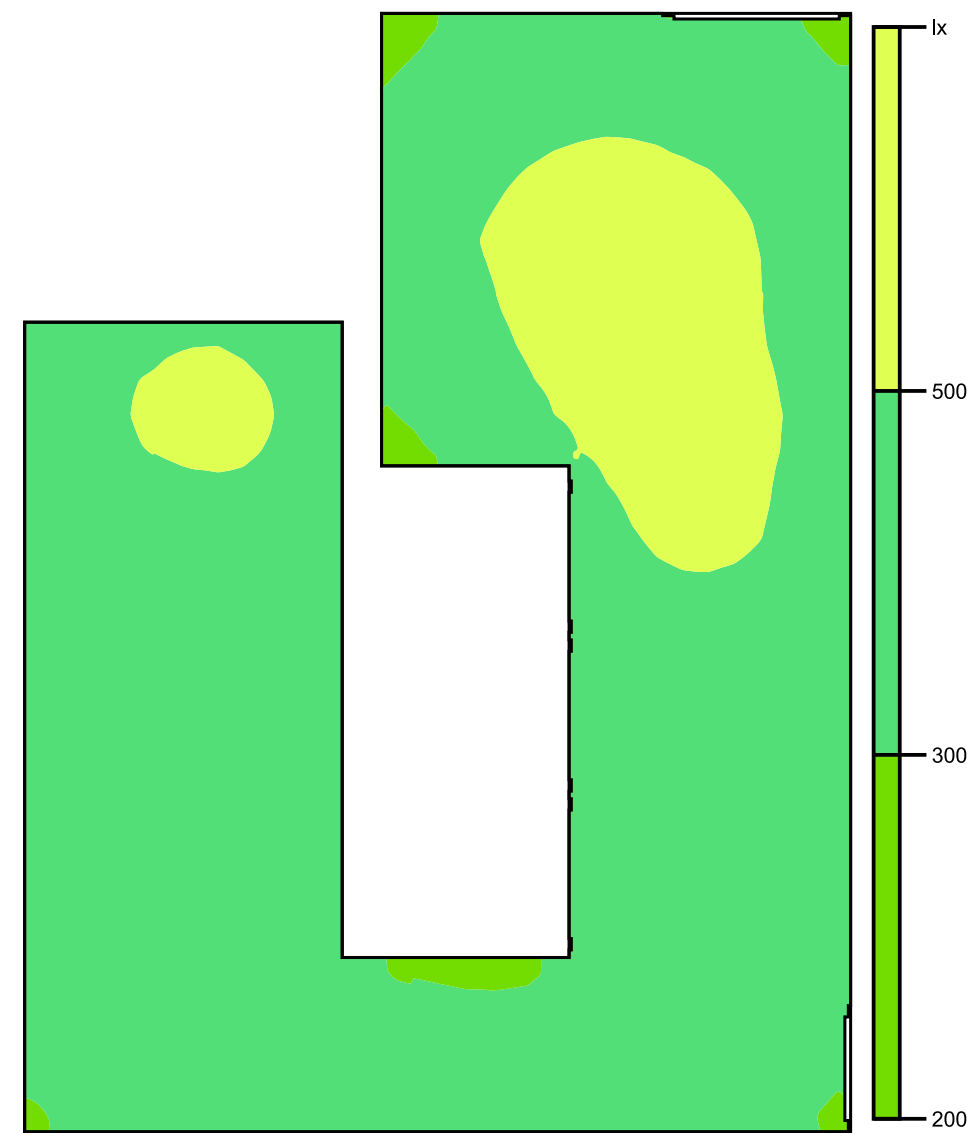
Altura: 0.800 m, Zona marginal: 0.000 m

Isolíneas [lx]



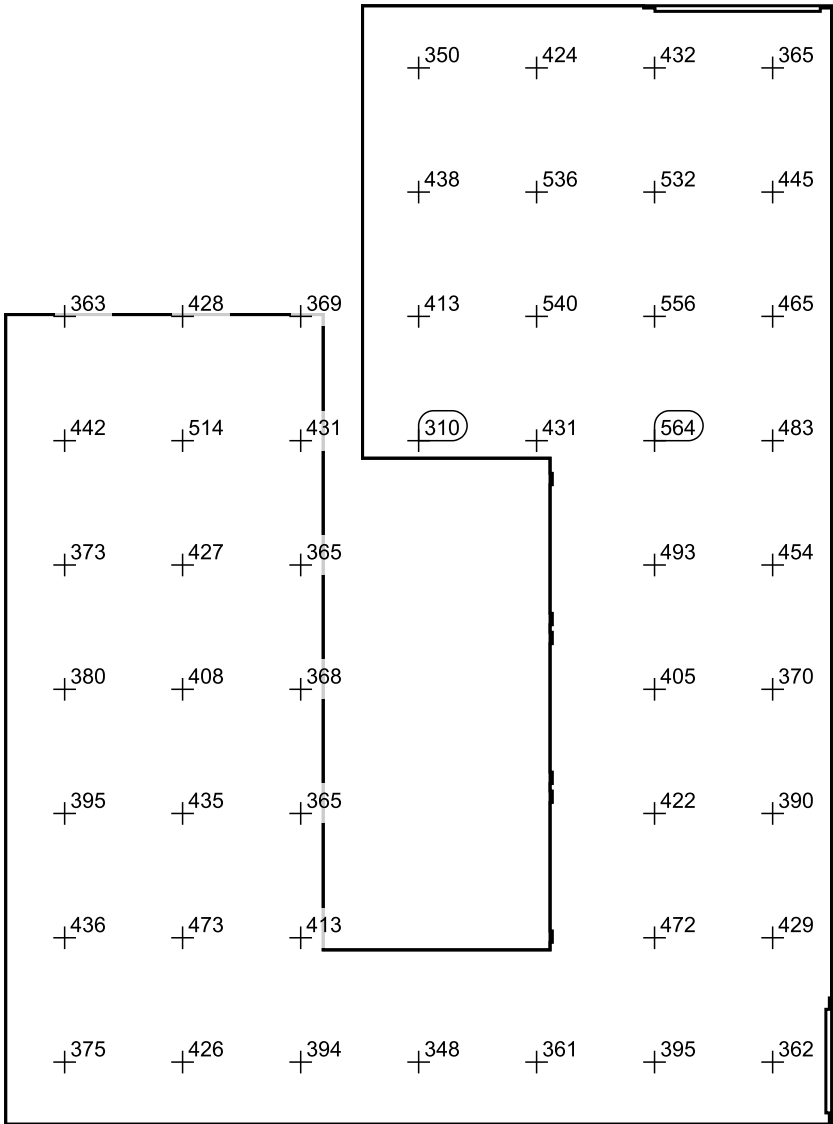
Escala: 1 : 50

Colores falsos [lx]




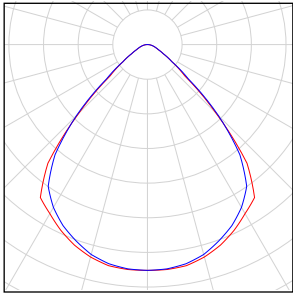
Escala: 1 : 50

Sistema de valores [lx]



Escala: 1 : 50

Local 7

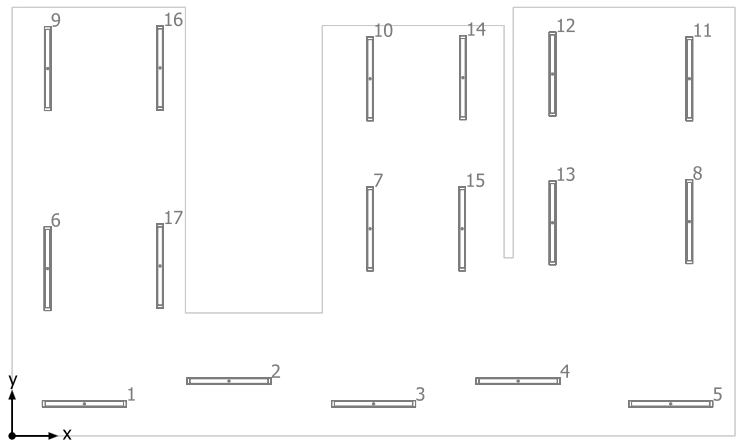
| Número de unidades | Luminaria (Emisión de luz) | | |
|--------------------|--|--|---|
| 20 | <p>Philips Lighting - TCS680 1xTL5-21W HFP AC-MLO_827</p> <p>Emisión de luz 1</p> <p>Lámpara: 1xTL5-21W/827</p> <p>Grado de eficacia de funcionamiento: 59.87%</p> <p>Flujo luminoso de lámparas: 1850 lm</p> <p>Flujo luminoso de las luminarias: 1108 lm</p> <p>Potencia: 23.0 W</p> <p>Rendimiento lumínico: 48.2 lm/W</p> <p>Indicaciones colorimétricas</p> <p>1xTL5-21W/827: CCT 3000 K, CRI 100</p> |  |  |

Flujo luminoso total de lámparas: 37000 lm, Flujo luminoso total de luminarias: 22160 lm, Potencia total: 460.0 W, Rendimiento lumínico: 48.2 lm/W

- Distribución, cálculo y listado luminarias
Vestuario 2



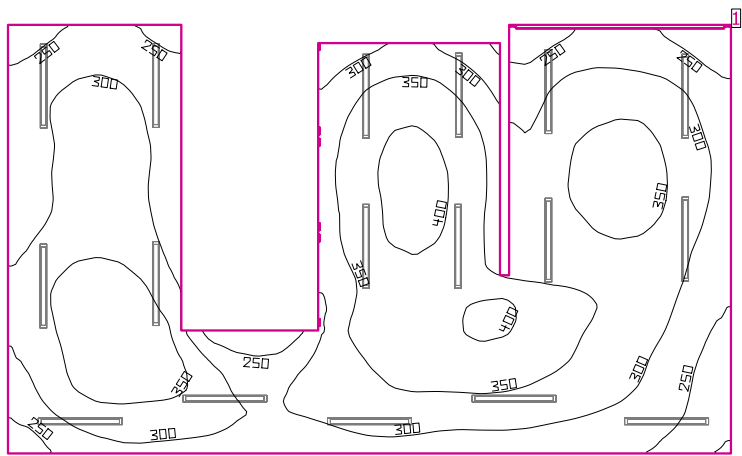
Local 8



Philips Lighting TCS680 1xTL5-21W HFP AC-MLO_827

| Nº | X [m] | Y [m] | Altura de montaje [m] |
|----|-------|-------|-----------------------|
| 1 | 0.792 | 0.352 | 2.800 |
| 2 | 2.377 | 0.602 | 2.800 |
| 3 | 3.962 | 0.352 | 2.800 |
| 4 | 5.547 | 0.602 | 2.800 |
| 5 | 7.219 | 0.351 | 2.800 |
| 6 | 0.388 | 1.834 | 2.800 |
| 7 | 3.924 | 2.271 | 2.800 |
| 8 | 7.424 | 2.349 | 2.800 |
| 9 | 0.390 | 4.026 | 2.800 |
| 10 | 3.924 | 3.915 | 2.800 |
| 11 | 7.424 | 3.915 | 2.800 |
| 12 | 5.924 | 3.966 | 2.800 |
| 13 | 5.924 | 2.337 | 2.800 |
| 14 | 4.942 | 3.927 | 2.800 |
| 15 | 4.933 | 2.271 | 2.800 |
| 16 | 1.622 | 4.033 | 2.800 |
| 17 | 1.622 | 1.862 | 2.800 |

Local 8



Altura interior del local: 2.820 m, Grado de reflexión: Techo 70.0%, Paredes 50.0%, Suelo 20.0%, Factor de degradación: 0.80

Plano útil

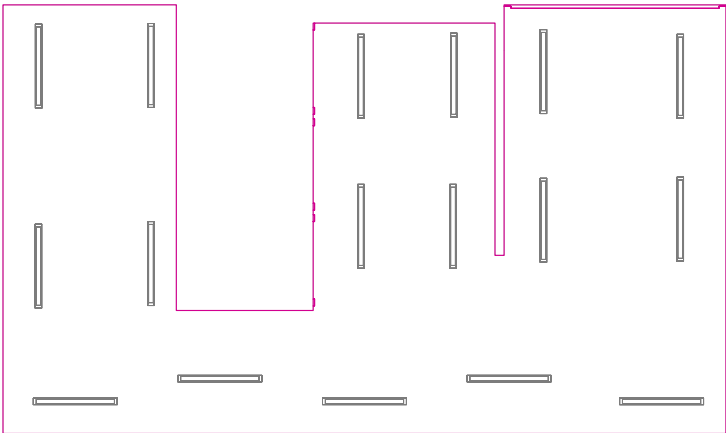
| Superficie | Resultado | Media (Nominal) | Min | Max | Mín./medio | Mín./máx. |
|-----------------|---|-----------------|-----|-----|------------|-----------|
| 1 Plano útil 18 | Intensidad lumínica perpendicular (Adaptativamente) [lx] Altura: 0.800 m, Zona marginal: 0.000 m | 322 (≥ 500) | 196 | 415 | 0.61 | 0.47 |

| # | Luminaria | Φ(Luminaria) [lm] | Potencia [W] | Rendimiento lumínico [lm/W] |
|--------------------------|--|-------------------|--------------|-----------------------------|
| 17 | Philips Lighting - TCS680 1xTL5-21W HFP AC-MLO_827 | 1108 | 23.0 | 48.2 |
| Suma total de luminarias | | 18836 | 391.0 | 48.2 |

Potencia específica de conexión: 12.40 W/m² = 3.85 W/m²/100 lx (Superficie de planta de la estancia 31.53 m²)

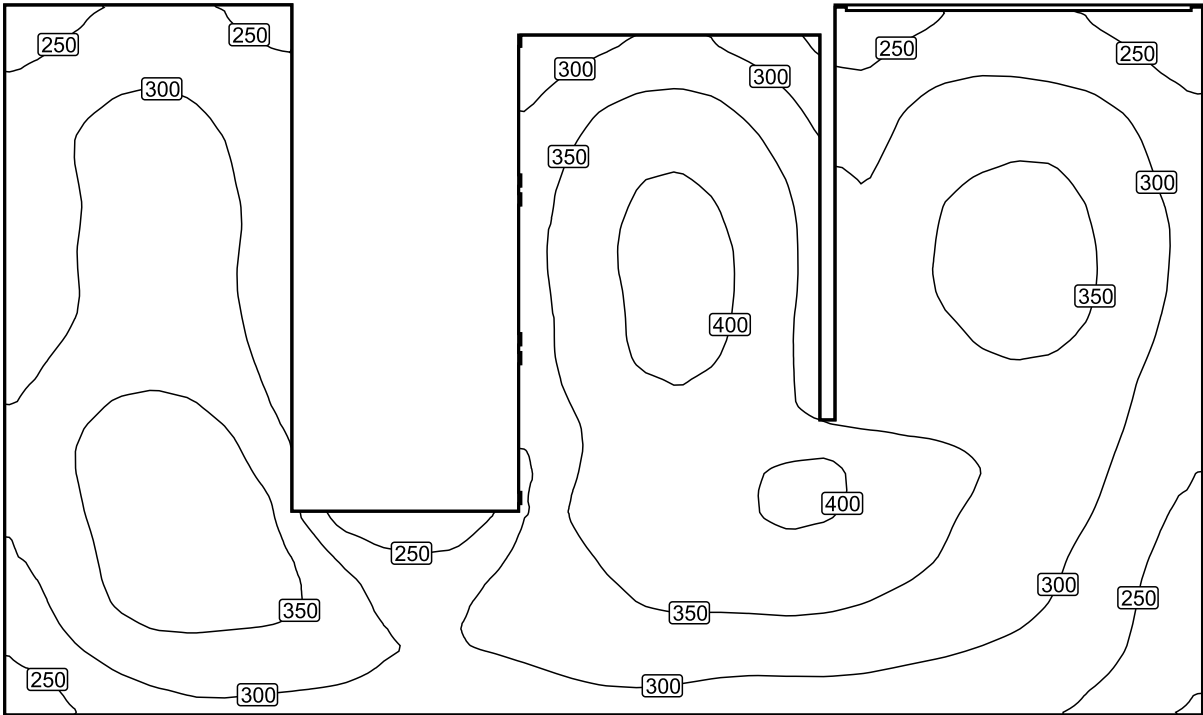
Las magnitudes de consumo de energía se refieren a las luminarias planificadas para en la estancia sin tener en cuenta escenas de luz ni sus estados de atenuación.
Consumo: 1100 kWh/a de un máximo de 1150 kWh/a

Plano útil 18 / Intensidad lumínica perpendicular (Adaptativamente)



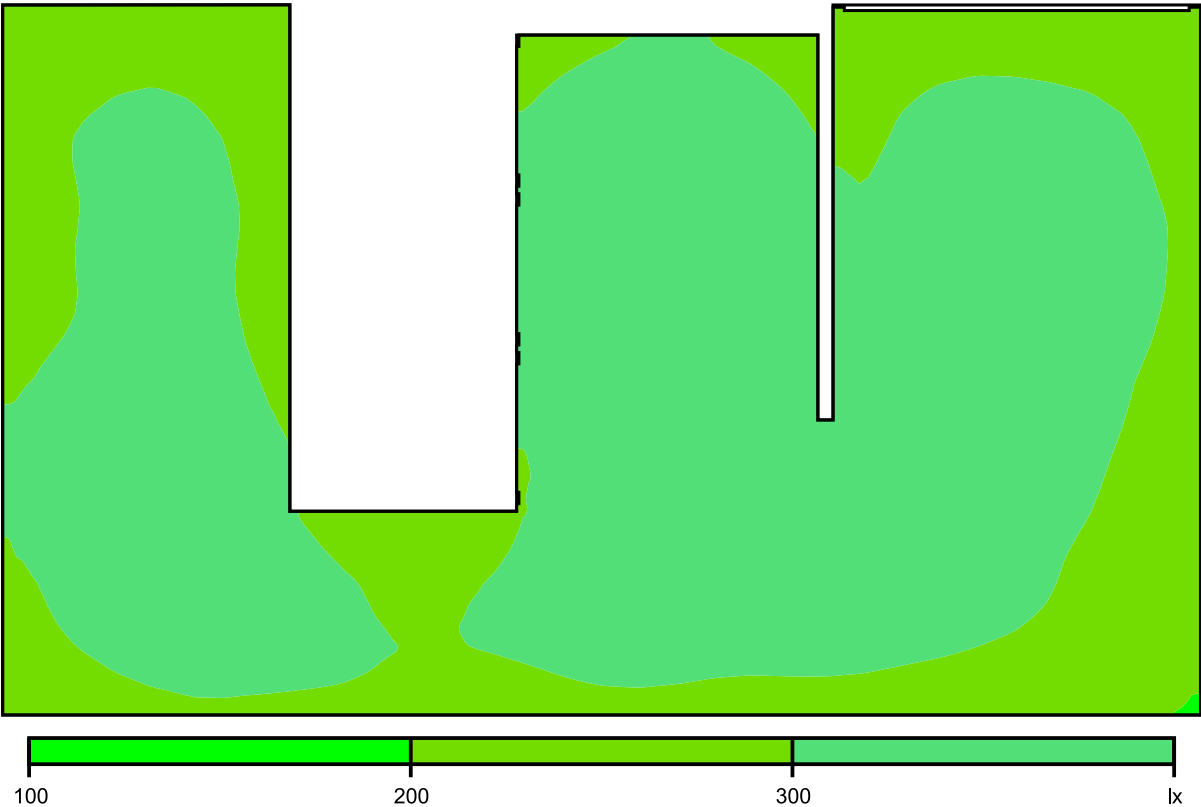
Plano útil 18: Intensidad lumínica perpendicular (Adaptativamente) (Superficie)
Escena de luz: Escena de luz 1
Media: 322 lx (Nominal: ≥ 500 lx), Min: 196 lx, Max: 415 lx, Mín./medio: 0.61, Mín./máx.: 0.47
Altura: 0.800 m, Zona marginal: 0.000 m

Isolíneas [lx]



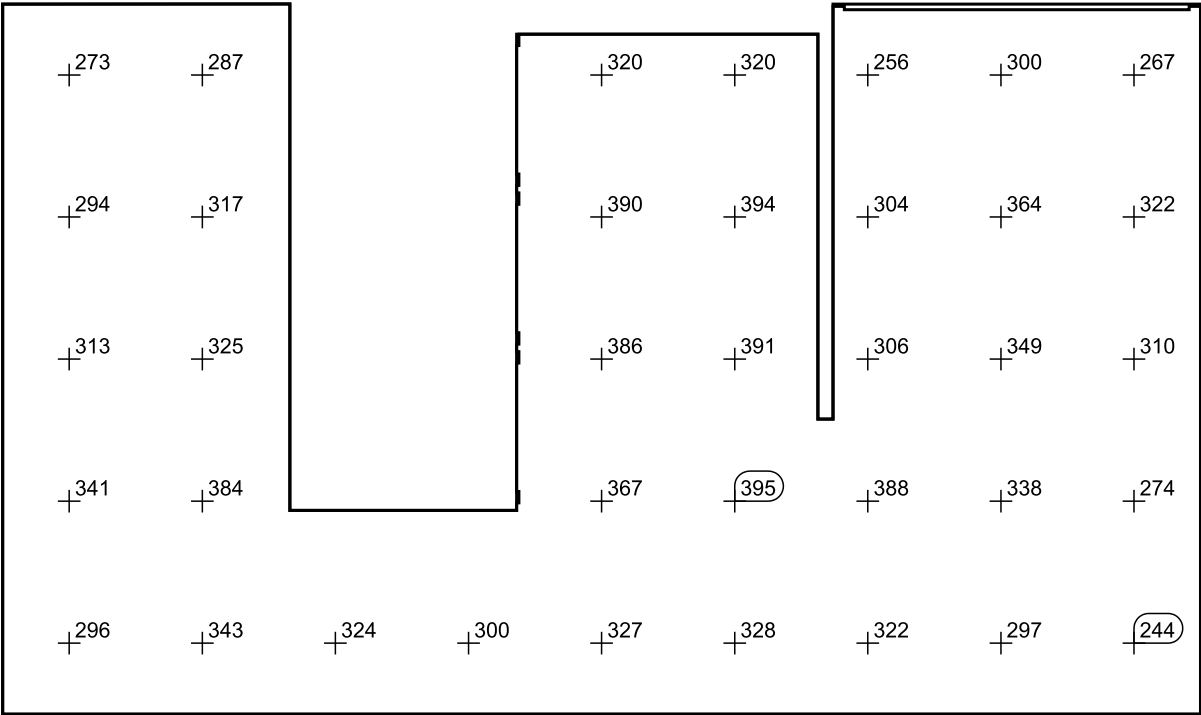
Escala: 1 : 50

Colores falsos [lx]




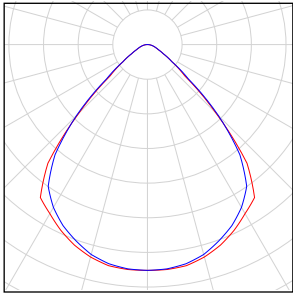
Escala: 1 : 50

Sistema de valores [lx]



Escala: 1 : 50

Local 8

| Número de unidades | Luminaria (Emisión de luz) | | |
|--------------------|--|--|---|
| 17 | <p>Philips Lighting - TCS680 1xTL5-21W HFP AC-MLO_827</p> <p>Emisión de luz 1</p> <p>Lámpara: 1xTL5-21W/827</p> <p>Grado de eficacia de funcionamiento: 59.87%</p> <p>Flujo luminoso de lámparas: 1850 lm</p> <p>Flujo luminoso de las luminarias: 1108 lm</p> <p>Potencia: 23.0 W</p> <p>Rendimiento lumínico: 48.2 lm/W</p> <p>Indicaciones colorimétricas</p> <p>1xTL5-21W/827: CCT 3000 K, CRI 100</p> |  |  |

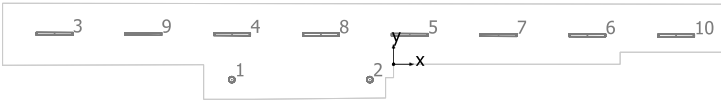
Flujo luminoso total de lámparas: 31450 lm, Flujo luminoso total de luminarias: 18836 lm, Potencia total: 391.0 W, Rendimiento lumínico: 48.2 lm/W

- Distribución, cálculo y listado luminarias
Pasillo 1

-



Local 10



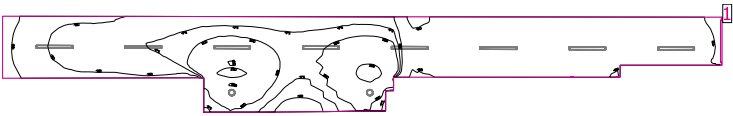
Philips Lighting DN463B PSE-E 1 xLED11S/830 C PCC

| Nº | X [m] | Y [m] | Altura de montaje [m] |
|----|--------|--------|-----------------------|
| 1 | -4.042 | -0.385 | 3.077 |
| 2 | -0.592 | -0.384 | 3.077 |

Philips Lighting TCS680 1xTL5-21W HFP AC-MLO_827

| Nº | X [m] | Y [m] | Altura de montaje [m] |
|----|--------|-------|-----------------------|
| 3 | -8.473 | 0.762 | 3.000 |
| 4 | -4.034 | 0.749 | 3.000 |
| 5 | 0.405 | 0.736 | 3.000 |
| 6 | 4.843 | 0.722 | 3.000 |
| 7 | 2.624 | 0.729 | 3.000 |
| 8 | -1.815 | 0.742 | 3.000 |
| 9 | -6.253 | 0.756 | 3.000 |
| 10 | 7.063 | 0.716 | 3.000 |

Local 10



Altura interior del local: 3.000 m, Grado de reflexión: Techo 70.0%, Paredes 50.0%, Suelo 20.0%, Factor de degradación: 0.80

Plano útil

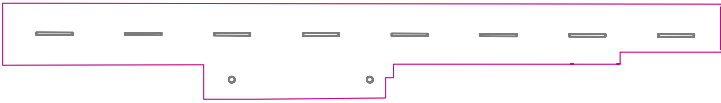
| Superficie | Resultado | Media (Nominal) | Min | Max | Min./medio | Min./máx. |
|-----------------|---|-----------------|------|-----|------------|-----------|
| 1 Plano útil 20 | Intensidad lumínica perpendicular (Adaptativamente) [lx] Altura: 0.800 m, Zona marginal: 0.000 m | 162 (≥ 500) | 82.9 | 258 | 0.51 | 0.32 |

| # Luminaria | Φ(Luminaria) [lm] | Potencia [W] | Rendimiento lumínico [lm/W] |
|---|-------------------|--------------|-----------------------------|
| 2 Philips Lighting - DN463B PSE-E 1 xLED11S/830 C PCC | 770 | 9.8 | 78.5 |
| 8 Philips Lighting - TCS680 1xTL5-21W HFP AC-MLO_827 | 1108 | 23.0 | 48.2 |
| Suma total de luminarias | 10404 | 203.6 | 51.1 |

Potencia específica de conexión: 6.67 W/m² = 4.12 W/m²/100 lx (Superficie de planta de la estancia 30.52 m²)

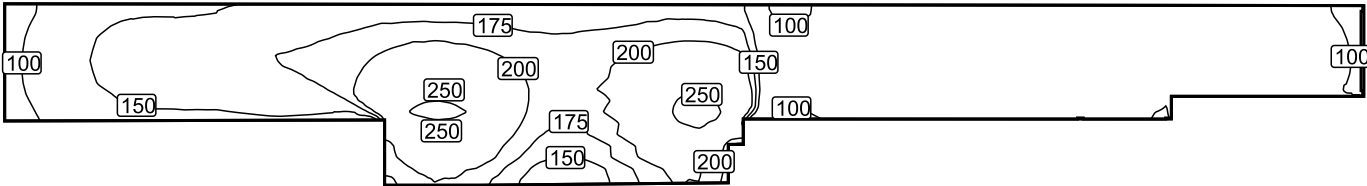
Las magnitudes de consumo de energía se refieren a las luminarias planificadas para en la estancia sin tener en cuenta escenas de luz ni sus estados de atenuación.
Consumo: 560 kWh/a de un máximo de 1100 kWh/a

Plano útil 20 / Intensidad luminica perpendicular (Adaptativamente)



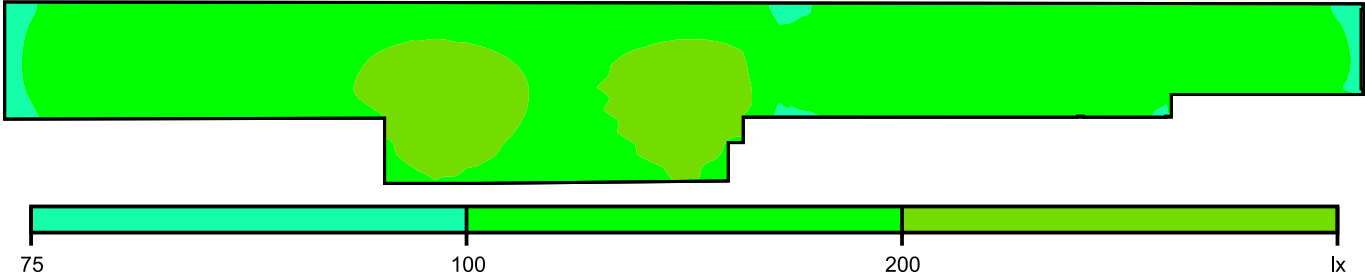
Plano útil 20: Intensidad luminica perpendicular (Adaptativamente) (Superficie)
Escena de luz: Escena de luz 1
Media: 162 lx (Nominal: ≥ 500 lx), Min: 82.9 lx, Max: 258 lx, Mín./medio: 0.51, Mín./máx.: 0.32
Altura: 0.800 m, Zona marginal: 0.000 m

Isolíneas [lx]



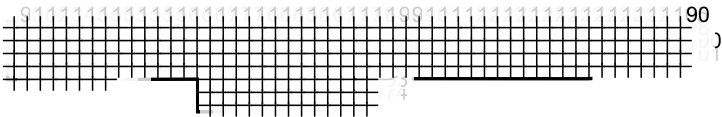
Escala: 1 : 100

Colores falsos [lx]




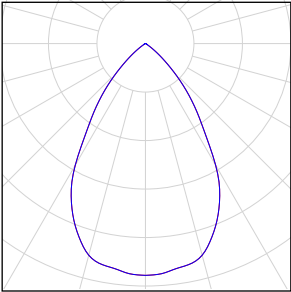

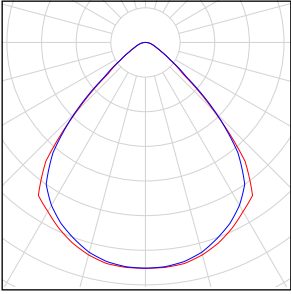
Escala: 1 : 100

Sistema de valores [lx]



Escala: 1 : 200

Local 10

| Número de unidades | Luminaria (Emisión de luz) | | |
|--------------------|--|--|---|
| 2 | <p>Philips Lighting - DN463B PSE-E 1 xLED11S/830 C PCC</p> <p>Emisión de luz 1</p> <p>Lámpara: 1xLED11S/830/-</p> <p>Grado de eficacia de funcionamiento: 81.87%</p> <p>Flujo luminoso de lámparas: 940 lm</p> <p>Flujo luminoso de las luminarias: 770 lm</p> <p>Potencia: 9.8 W</p> <p>Rendimiento lumínico: 78.5 lm/W</p> <p>Indicaciones colorimétricas</p> <p>1xLED11S/830/-: CCT 3000 K, CRI 100</p> |  |  |
| 8 | <p>Philips Lighting - TCS680 1xTL5-21W HFP AC-MLO_827</p> <p>Emisión de luz 1</p> <p>Lámpara: 1xTL5-21W/827</p> <p>Grado de eficacia de funcionamiento: 59.87%</p> <p>Flujo luminoso de lámparas: 1850 lm</p> <p>Flujo luminoso de las luminarias: 1108 lm</p> <p>Potencia: 23.0 W</p> <p>Rendimiento lumínico: 48.2 lm/W</p> <p>Indicaciones colorimétricas</p> <p>1xTL5-21W/827: CCT 3000 K, CRI 100</p> |  |  |

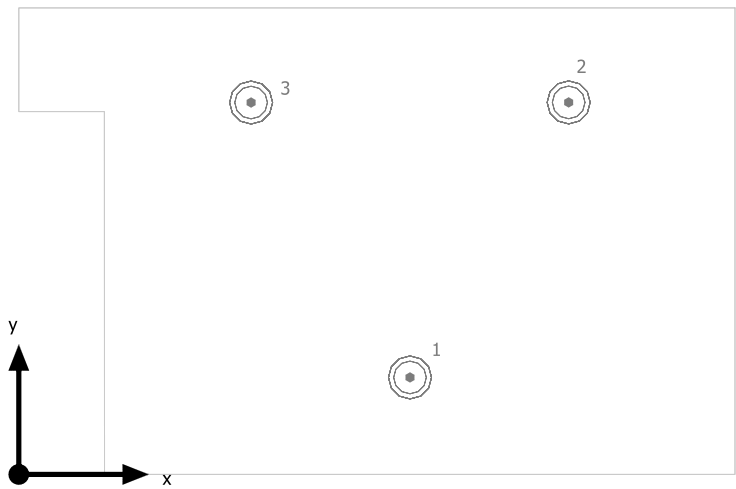
Flujo luminoso total de lámparas: 16680 lm, Flujo luminoso total de luminarias: 10404 lm, Potencia total: 203.6 W, Rendimiento lumínico: 51.1 lm/W

- Distribución, cálculo y listado luminarias
Vestíbulo1

-



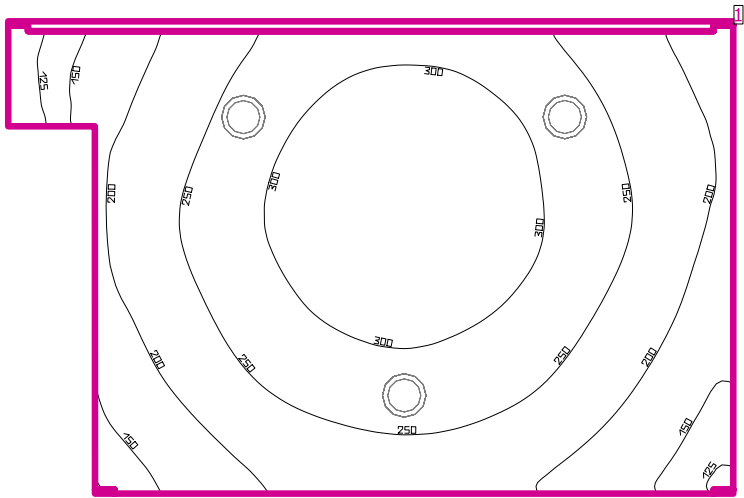
Local 18



Philips Lighting DN463B PSE-E 1 xLED11S/830 C PCC

| Nº | X [m] | Y [m] | Altura de montaje [m] |
|----|-------|-------|-----------------------|
| 1 | 1.509 | 0.374 | 2.877 |
| 2 | 2.121 | 1.435 | 2.877 |
| 3 | 0.896 | 1.434 | 2.877 |

Local 18



Altura interior del local: 3.300 m, Grado de reflexión: Techo 70.0%, Paredes 50.0%, Suelo 20.0%, Factor de degradación: 0.80

Plano útil

| Superficie | Resultado | Media (Nominal) | Min | Max | Mín./medio | Mín./máx. |
|-----------------|---|-----------------|-----|-----|------------|-----------|
| 1 Plano útil 28 | Intensidad lumínica perpendicular (Adaptativamente) [lx] Altura: 0.800 m, Zona marginal: 0.000 m | 247 (≥ 500) | 109 | 343 | 0.44 | 0.32 |

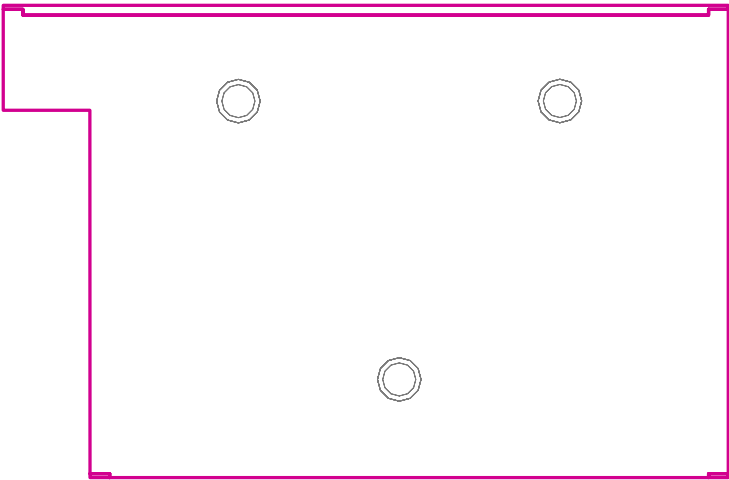
| # | Luminaria | Φ(Luminaria) [lm] | Potencia [W] | Rendimiento lumínico [lm/W] |
|--------------------------|---|-------------------|--------------|-----------------------------|
| 3 | Philips Lighting - DN463B PSE-E 1 xLED11S/830 C PCC | 770 | 9.8 | 78.5 |
| Suma total de luminarias | | 2310 | 29.4 | 78.6 |

Potencia específica de conexión: $6.52 \text{ W/m}^2 = 2.64 \text{ W/m}^2/100 \text{ lx}$ (Superficie de planta de la estancia 4.51 m^2)

Las magnitudes de consumo de energía se refieren a las luminarias planificadas para en la estancia sin tener en cuenta escenas de luz ni sus estados de atenuación.

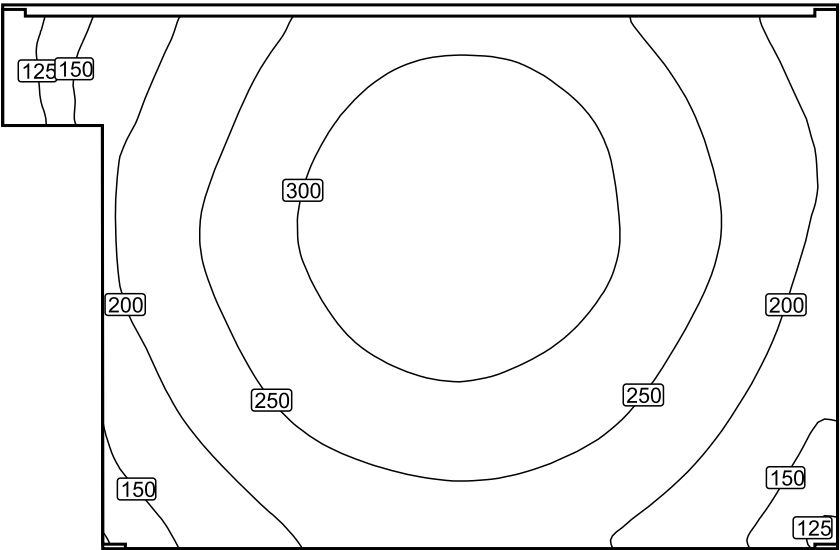
Consumo: 81 kWh/a de un máximo de 200 kWh/a

Plano útil 28 / Intensidad lumínica perpendicular (Adaptativamente)



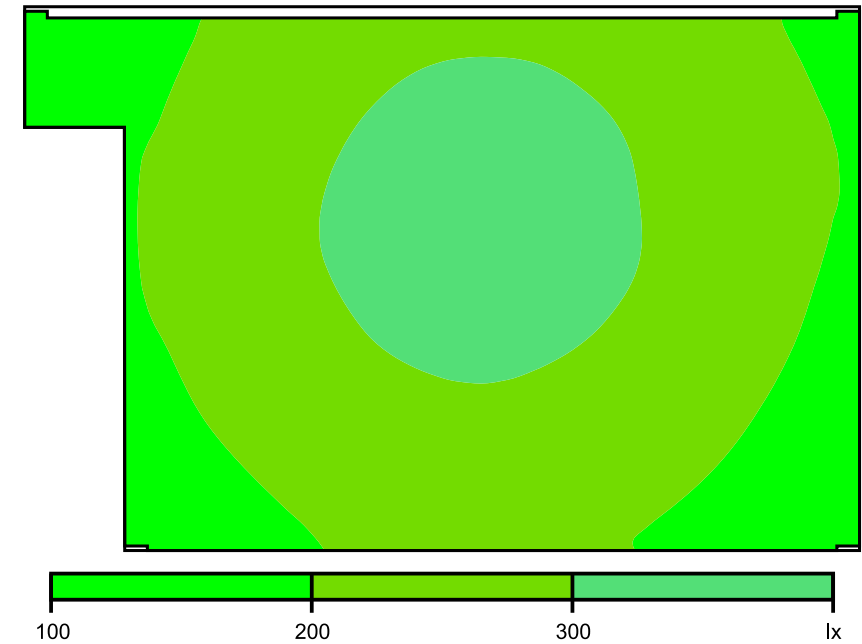
Plano útil 28: Intensidad lumínica perpendicular (Adaptativamente) (Superficie)
Escena de luz: Escena de luz 1
Media: 247 lx (Nominal: ≥ 500 lx), Min: 109 lx, Max: 343 lx, Mín./medio: 0.44, Mín./máx.: 0.32
Altura: 0.800 m, Zona marginal: 0.000 m

Isolíneas [lx]



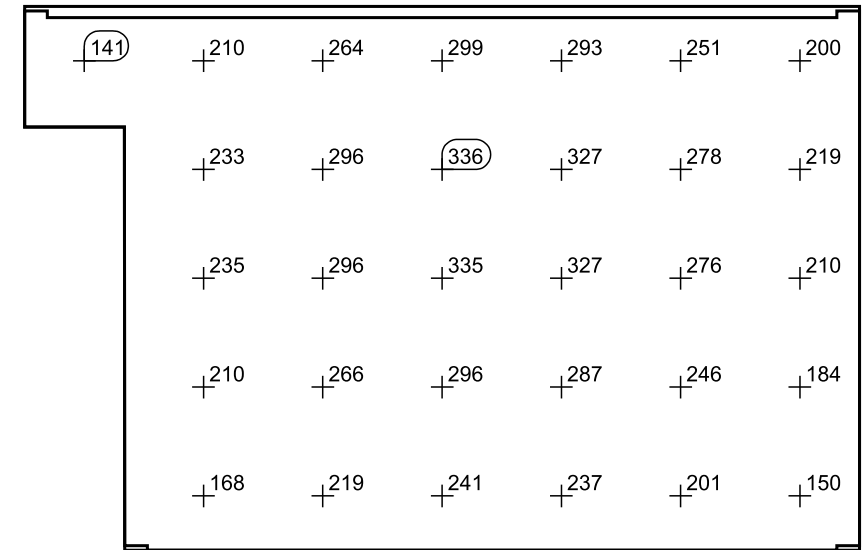
Escala: 1 : 25

Colores falsos [lx]




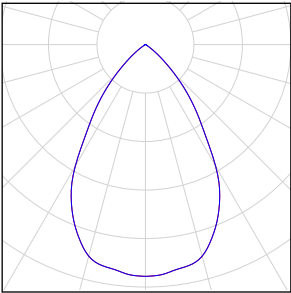
Escala: 1 : 25

Sistema de valores [lx]



Escala: 1 : 25

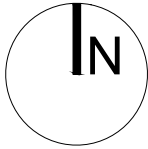
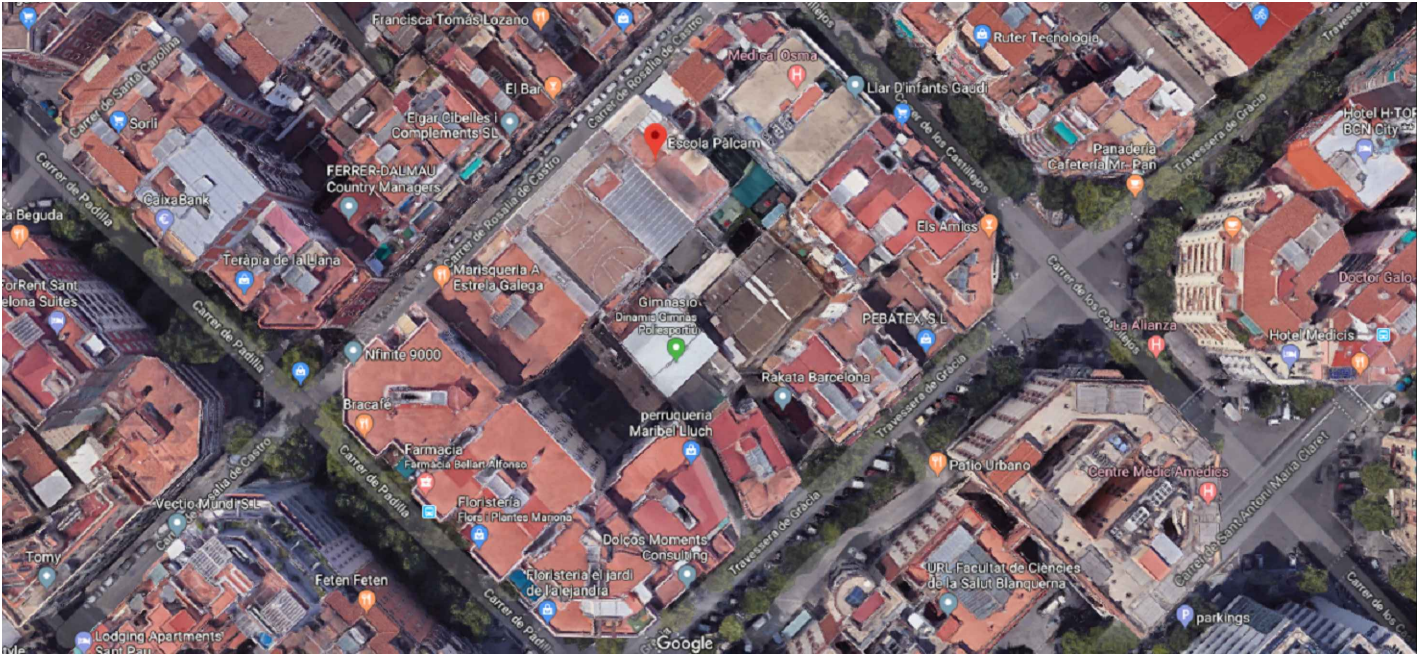
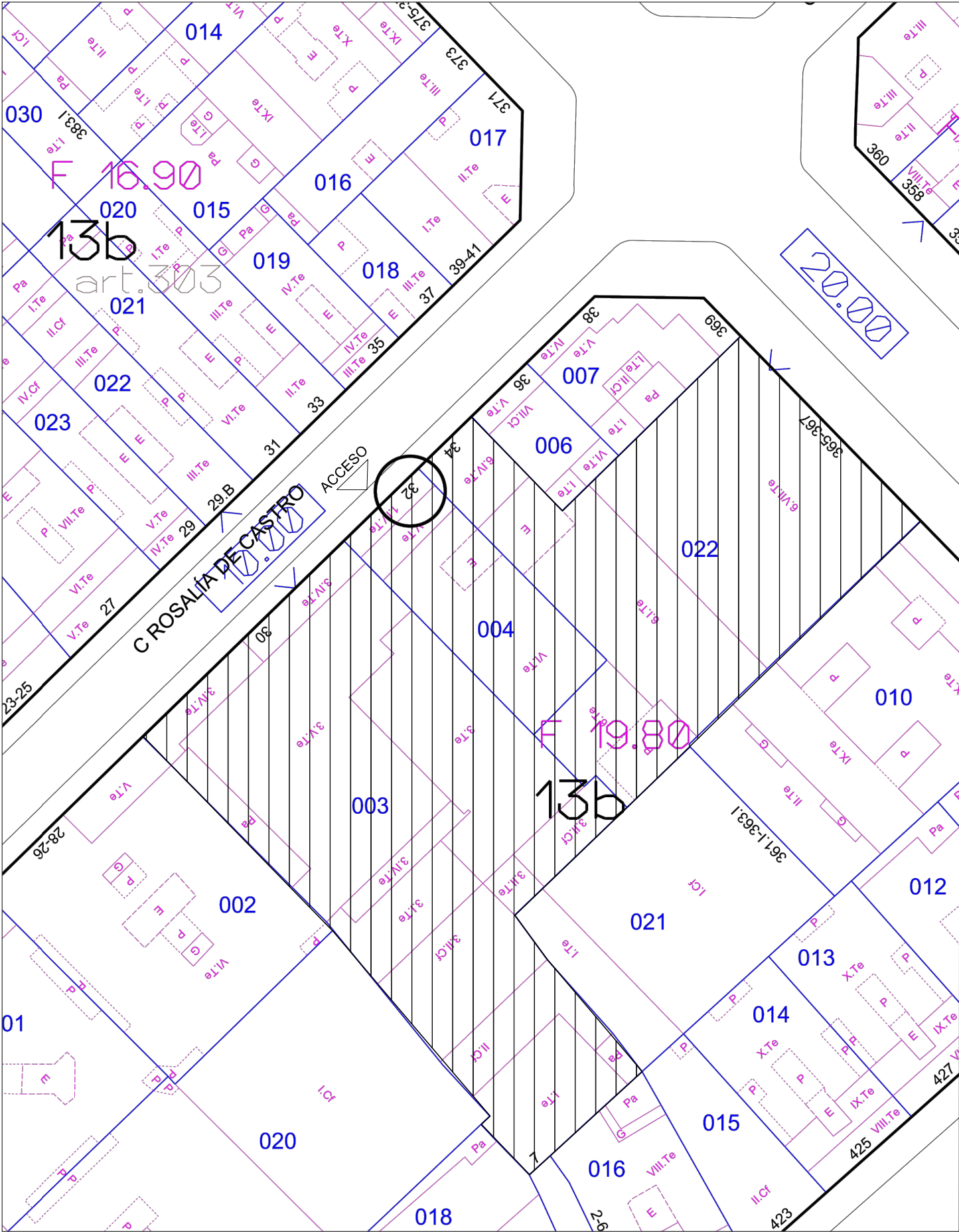
Local 18

| Número de unidades | Luminaria (Emisión de luz) | | |
|--------------------|--|--|---|
| 3 | <p>Philips Lighting - DN463B PSE-E 1 xLED11S/830 C PCC</p> <p>Emisión de luz 1</p> <p>Lámpara: 1xLED11S/830/-</p> <p>Grado de eficacia de funcionamiento: 81.87%</p> <p>Flujo luminoso de lámparas: 940 lm</p> <p>Flujo luminoso de las luminarias: 770 lm</p> <p>Potencia: 9.8 W</p> <p>Rendimiento lumínico: 78.5 lm/W</p> <p>Indicaciones colorimétricas</p> <p>1xLED11S/830/-: CCT 3000 K, CRI 100</p> |  |  |

Flujo luminoso total de lámparas: 2820 lm, Flujo luminoso total de luminarias: 2310 lm, Potencia total: 29.4 W, Rendimiento lumínico: 78.6 lm/W

5.7. Planos





| | | | | |
|--|---|---------------|---|--|
| <div><p>ESCOLA POLITÈCNICA SUPERIOR D'EDIFICACIÓ DE BARCELONA</p><p>AV. DOCTOR MARAÑÓN, 44-50 08028 - BARCELONA</p></div> | GRADO DE ARQUITECTURA TÉCNICA Y EDIFICACIÓN | | ALUMNA: BELÉN FERRERES LÓPEZ | |
| | FECHA ENTREGA PROPUESTA: | | DESARROLLO DEL PROYECTO EJECUTIVO DE REFORMA DE LA PISCINA DEL COLEGIO PALCAM C/ ROSALÍA DE CASTRO 32, 08025 BARCELONA EMPLAZAMIENTO | |
| | 17/04/2018 | | | |
| | TUTOR DEL PROYECTO: | | | |
| MANUEL BORBÓN SANLLORENTE Profesor en construcciones arquitectónicas | | ESCALA: 1:500 | | |
| | | A.0.1. | | |

C. ROSALIA DE CASTRO

ACCESO

C. CASTILLEJOS

Nº 365-367

Nº 361-363



ESCOLA POLITÈCNICA SUPERIOR
D'EDIFICACIÓ DE BARCELONA
AV. DOCTOR MARAÑÓN, 44-50
08028 - BARCELONA

GRADO DE ARQUITECTURA TÉCNICA Y EDIFICACIÓN

ALUMNA: BELÉN FERRERES LÓPEZ

FECHA ENTREGA PROPUESTA:

17/04/2018

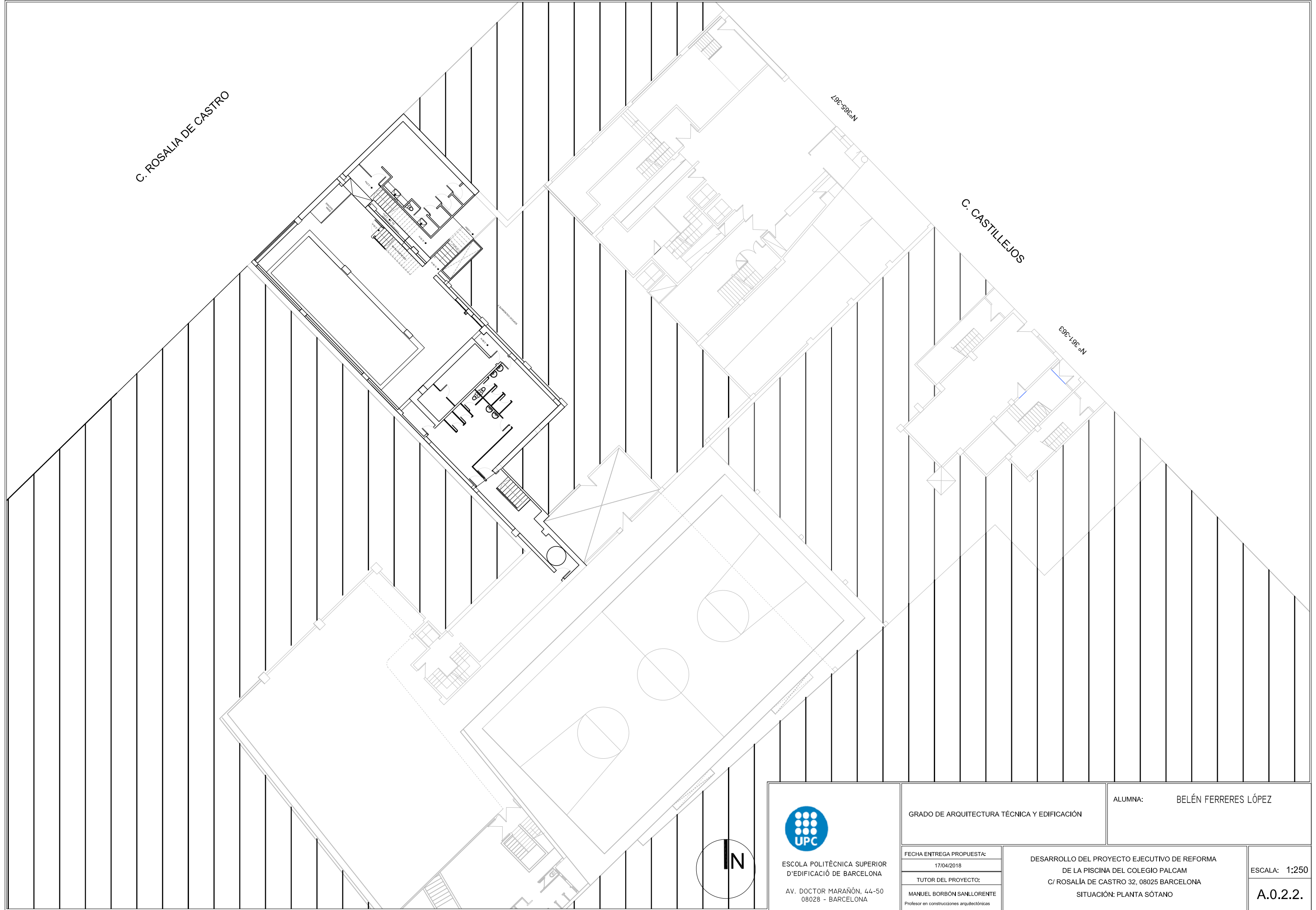
TUTOR DEL PROYECTO:

MANUEL BORBÓN SANLLORENTE
Profesor en construcciones arquitectónicas

DESARROLLO DEL PROYECTO EJECUTIVO DE REFORMA
DE LA PISCINA DEL COLEGIO PALCAM
C/ ROSALÍA DE CASTRO 32, 08025 BARCELONA
SITUACIÓN: PLANTA BAJA

ESCALA: 1:250

A.0.2.1.



ESCOLA POLITÈCNICA SUPERIOR
D'EDIFICACIÓ DE BARCELONA
AV. DOCTOR MARAÑÓN, 44-50
08028 - BARCELONA

GRADO DE ARQUITECTURA TÉCNICA Y EDIFICACIÓN

FECHA ENTREGA PROPUESTA:

17/04/2018

TUTOR DEL PROYECTO:

MANUEL BORBÓN SANLLORENTE
Profesor en construcciones arquitectónicas

DESARROLLO DEL PROYECTO EJECUTIVO DE REFORMA
DE LA PISCINA DEL COLEGIO PALCAM
C/ ROSALÍA DE CASTRO 32, 08025 BARCELONA
SITUACIÓN: PLANTA SÓTANO

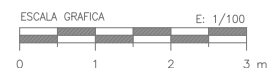
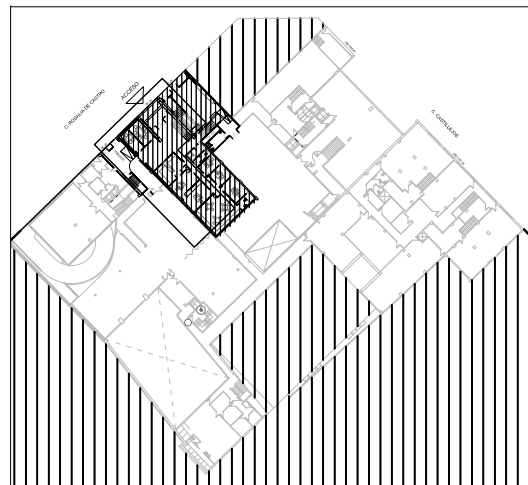
ALUMNA: BELÉN FERRERES LÓPEZ

ESCALA: 1:250

A.0.2.2.



Ed. 3
Sala 60



ESCOLA POLITÈCNICA SUPERIOR
D'EDIFICACIÓ DE BARCELONA

AV. DOCTOR MARAÑÓN, 44-50
08028 - BARCELONA

GRADO DE ARQUITECTURA TÉCNICA Y EDIFICACIÓN

FECHA ENTREGA PROPUESTA:

17/04/2018

TUTOR DEL PROYECTO:

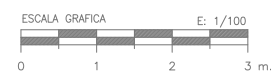
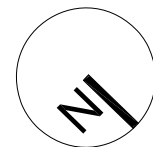
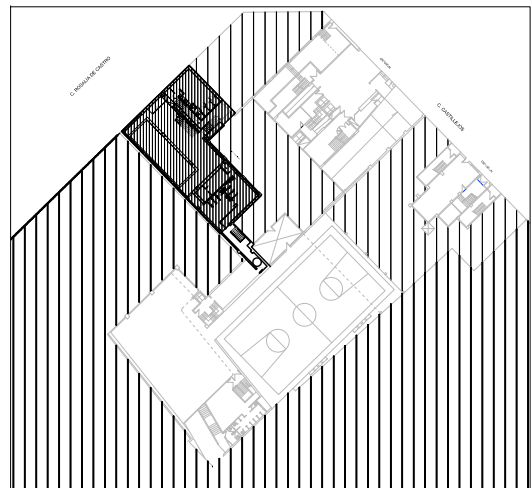
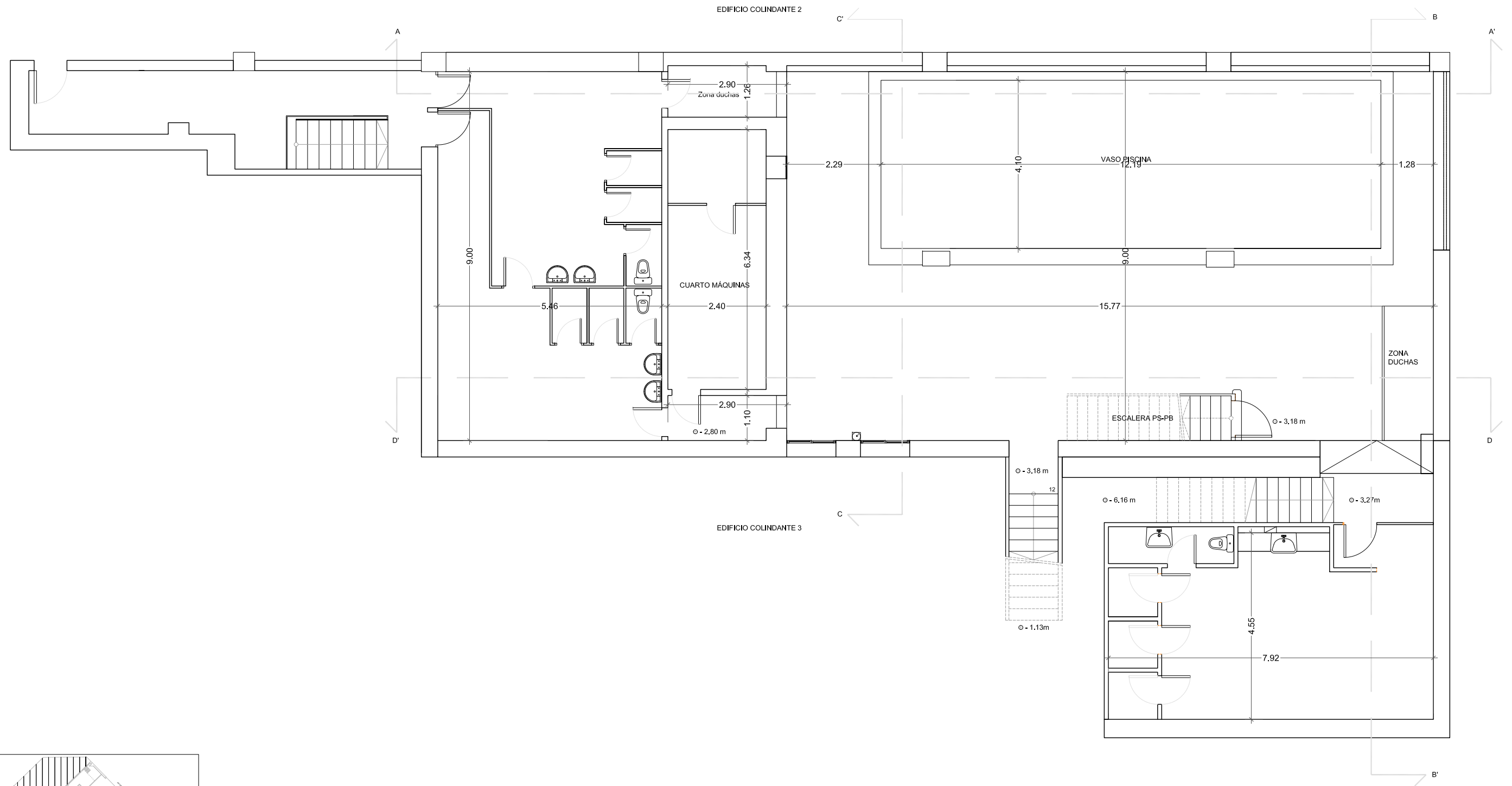
MANUEL BORBÓN SANLLORENTE
Profesor en construcciones arquitectónicas

ALUMNA: BELÉN FERRERES LÓPEZ

DESARROLLO DEL PROYECTO EJECUTIVO DE REFORMA
DE LA PISCINA DEL COLEGIO PALCAM
C/ ROSALÍA DE CASTRO 32, 08025 BARCELONA
ESTADO ACTUAL: PLANTA BAJA

ESCALA: 1/100

A.1.1.



ESCOLA POLITÈCNICA SUPERIOR
D'EDIFICACIÓ DE BARCELONA

AV. DOCTOR MARAÑÓN, 44-50
08028 - BARCELONA

GRADO DE ARQUITECTURA TÉCNICA Y EDIFICACIÓN

FECHA ENTREGA PROPUESTA:

17/04/2018

TUTOR DEL PROYECTO:

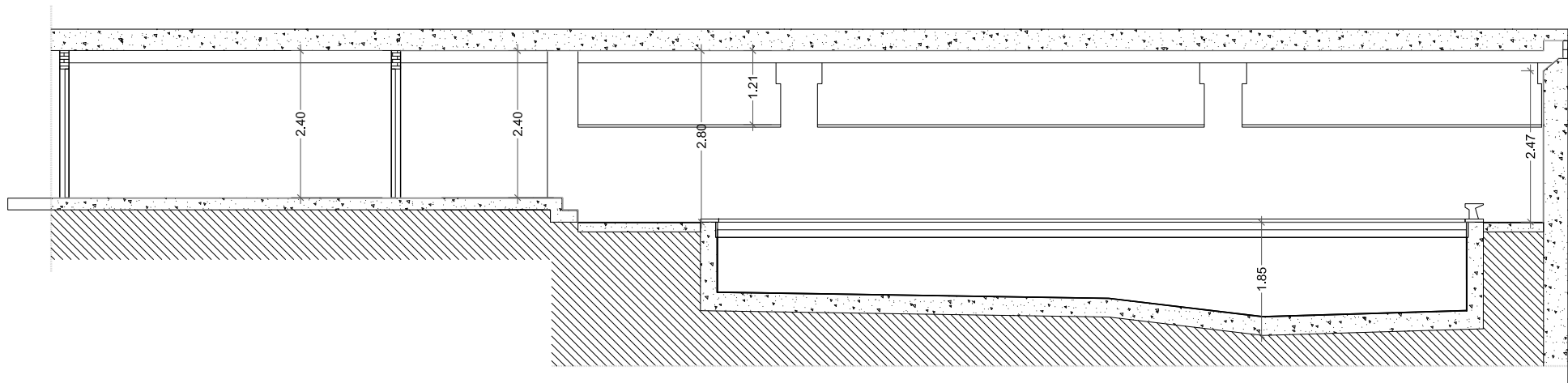
MANUEL BORBÓN SANLLORENTE
Profesor en construcciones arquitectónicas

DESARROLLO DEL PROYECTO EJECUTIVO DE REFORMA
DE LA PISCINA DEL COLEGIO PALCAM
C/ ROSALÍA DE CASTRO 32, 08025 BARCELONA
ESTADO ACTUAL: PLANTA SÓTANO

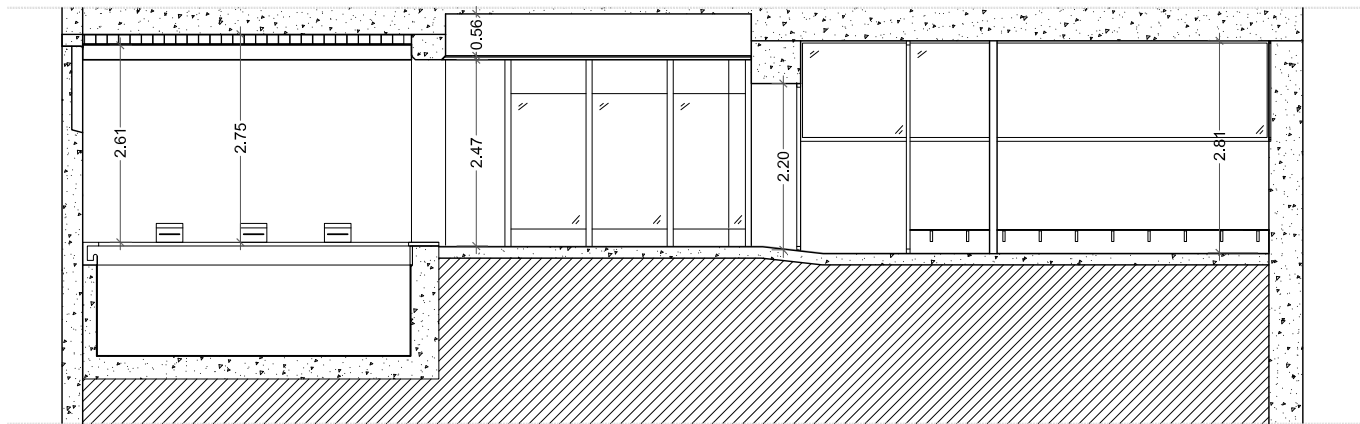
ALUMNA: BELÉN FERRERES LÓPEZ

ESCALA: 1/100

A.1.2.



SECCIÓN A-A'



SECCIÓN B-B'



ESCOLA POLITÈCNICA SUPERIOR
D'EDIFICACIÓ DE BARCELONA

AV. DOCTOR MARAÑÓN, 44-50
08028 - BARCELONA

GRADO DE ARQUITECTURA TÉCNICA Y EDIFICACIÓN

FECHA ENTREGA PROPUESTA:

17/04/2018

TUTOR DEL PROYECTO:

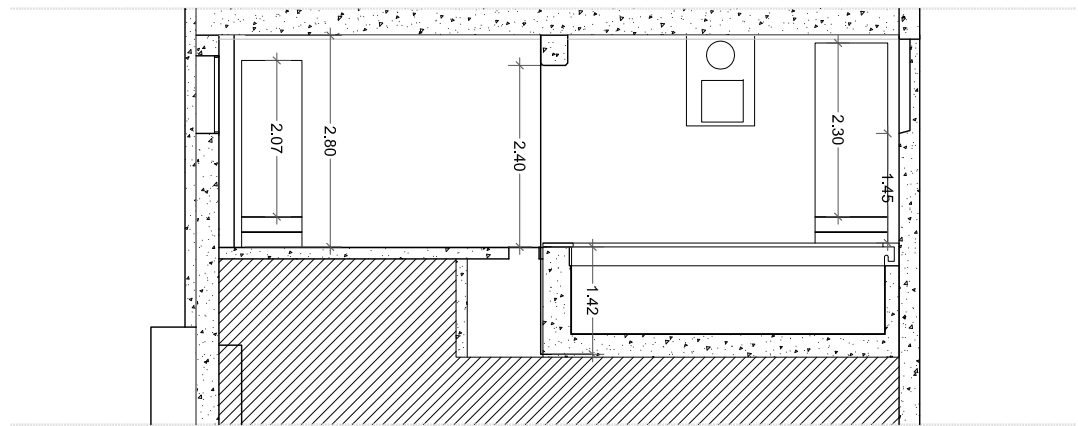
MANUEL BORBÓN SANLLORENTE
Profesor en construcciones arquitectónicas

DESARROLLO DEL PROYECTO EJECUTIVO DE REFORMA
DE LA PISCINA DEL COLEGIO PALCAM
C/ ROSALÍA DE CASTRO 32, 08025 BARCELONA
ESTADO ACTUAL: SECCIÓN A-A' Y SECCIÓN B-B'

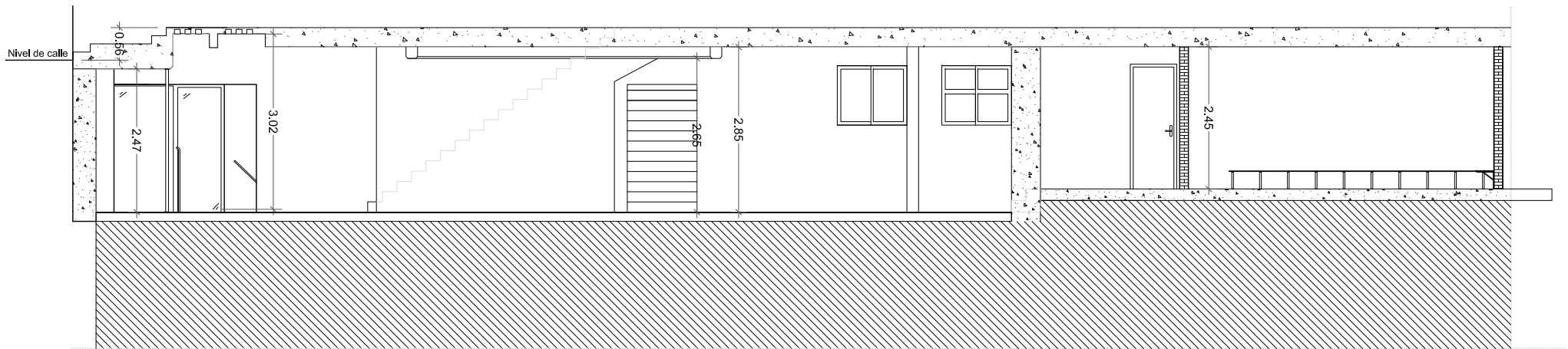
ALUMNA: BELÉN FERRERES LÓPEZ

ESCALA: 1/100

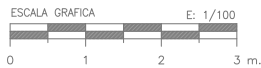
A.1.3.



SECCIÓN C-C'



SECCIÓN D-D'



ESCOLA POLITÈCNICA SUPERIOR
D'EDIFICACIÓ DE BARCELONA

AV. DOCTOR MARAÑÓN, 44-50
08028 - BARCELONA

GRADO DE ARQUITECTURA TÉCNICA Y EDIFICACIÓN

FECHA ENTREGA PROPUESTA:

17/04/2018

TUTOR DEL PROYECTO:

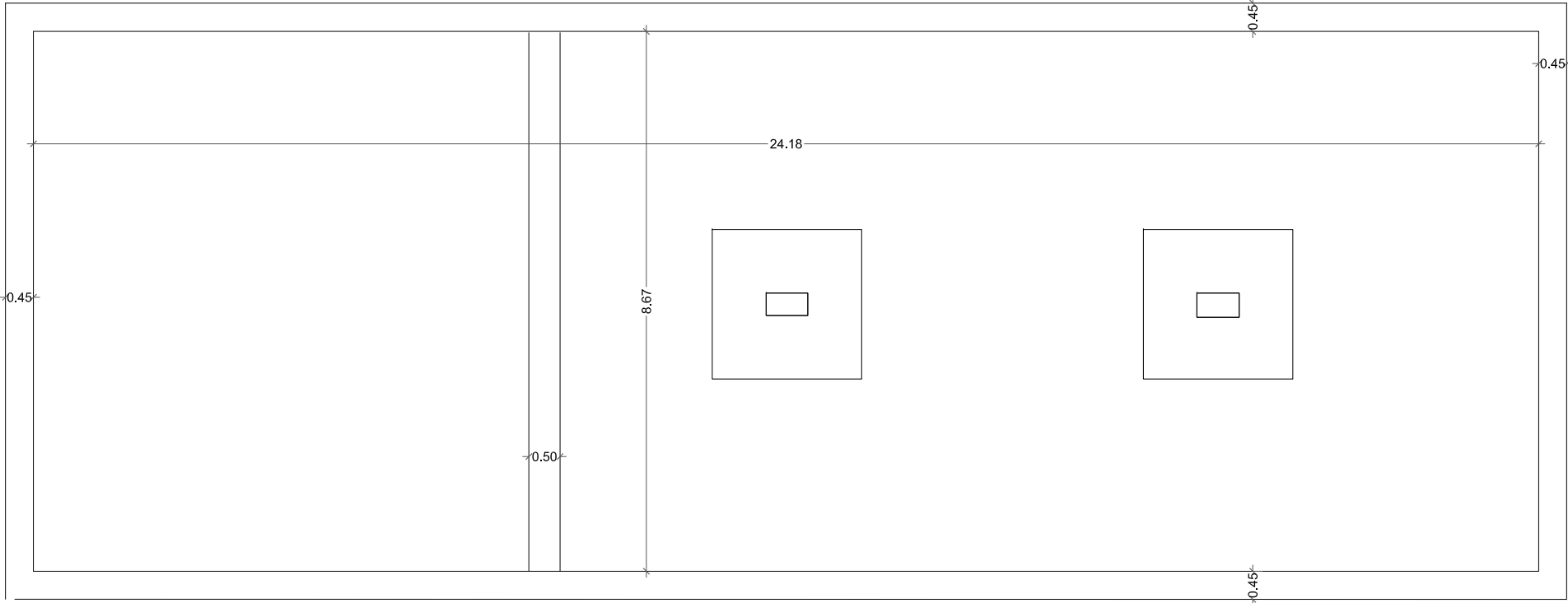
MANUEL BORBÓN SANLLORENTE
Profesor en construcciones arquitectónicas

DESARROLLO DEL PROYECTO EJECUTIVO DE REFORMA
DE LA PISCINA DEL COLEGIO PALCAM
C/ ROSALÍA DE CASTRO 32, 08025 BARCELONA
ESTADO ACTUAL: SECCIÓN C-C' Y SECCIÓN D-D'

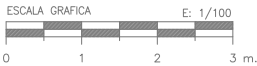
ALUMNA: BELÉN FERRERES LÓPEZ

ESCALA: 1/100

A.1.4.



CIMENTACI3N:
- Muros pantalla de hormig3n armado
- Muro de contenci3n de H.A.
- Zapatas aisladas de H.A.



ESCOLA POLITCNICA SUPERIOR
D'EDIFICACI3 DE BARCELONA

AV. DOCTOR MARA33N, 44-50
08028 - BARCELONA

GRADO DE ARQUITECTURA TCNICA Y EDIFICACI3N

FECHA ENTREGA PROPUESTA:

17/04/2018

TUTOR DEL PROYECTO:

MANUEL BORB3N SANLLORENTE
Profesor en construcciones arquitect3nicas

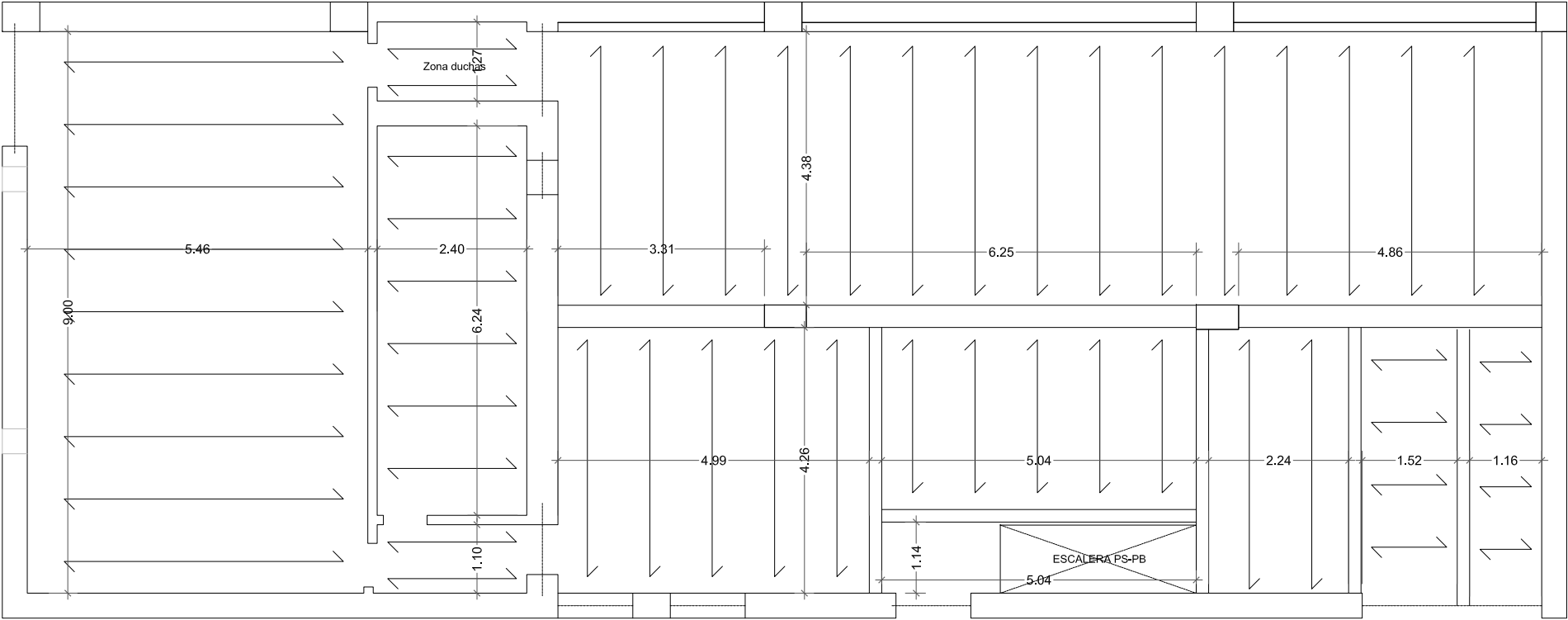
DESARROLLO DEL PROYECTO EJECUTIVO DE REFORMA
DE LA PISCINA DEL COLEGIO PALCAM
C/ ROSALIA DE CASTRO 32, 08025 BARCELONA
ESTADO ACTUAL: ESQUEMA CIMENTACI3N DEL EDIFICIO

ALUMNA: BEL3N FERRERES L3PEZ

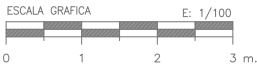
ESCALA: 1/100

A.2.

EDIFICIO COLINDANTE 2



EDIFICIO COLINDANTE 3



ESCOLA POLITÈCNICA SUPERIOR
D'EDIFICACIÓ DE BARCELONA

AV. DOCTOR MARAÑÓN, 44-50
08028 - BARCELONA

GRADO DE ARQUITECTURA TÉCNICA Y EDIFICACIÓN

FECHA ENTREGA PROPUESTA:

17/04/2018

TUTOR DEL PROYECTO:

MANUEL BORBÓN SANLLORENTE
Profesor en construcciones arquitectónicas

DESARROLLO DEL PROYECTO EJECUTIVO DE REFORMA
DE LA PISCINA DEL COLEGIO PALCAM
C/ ROSALÍA DE CASTRO 32, 08025 BARCELONA
ESTRUCTURA ACTUAL: FORJADO TECHO PLANTA SÓTANO

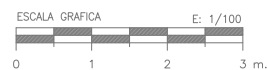
ALUMNA: BELÉN FERRERES LÓPEZ

ESCALA: 1/100

A.3.



Ed. 3
Sala 60



ESCOLA POLITÈCNICA SUPERIOR
D'EDIFICACIÓ DE BARCELONA

AV. DOCTOR MARAÑÓN, 44-50
08028 - BARCELONA

GRADO DE ARQUITECTURA TÉCNICA Y EDIFICACIÓN

FECHA ENTREGA PROPUESTA:

17/04/2018

TUTOR DEL PROYECTO:

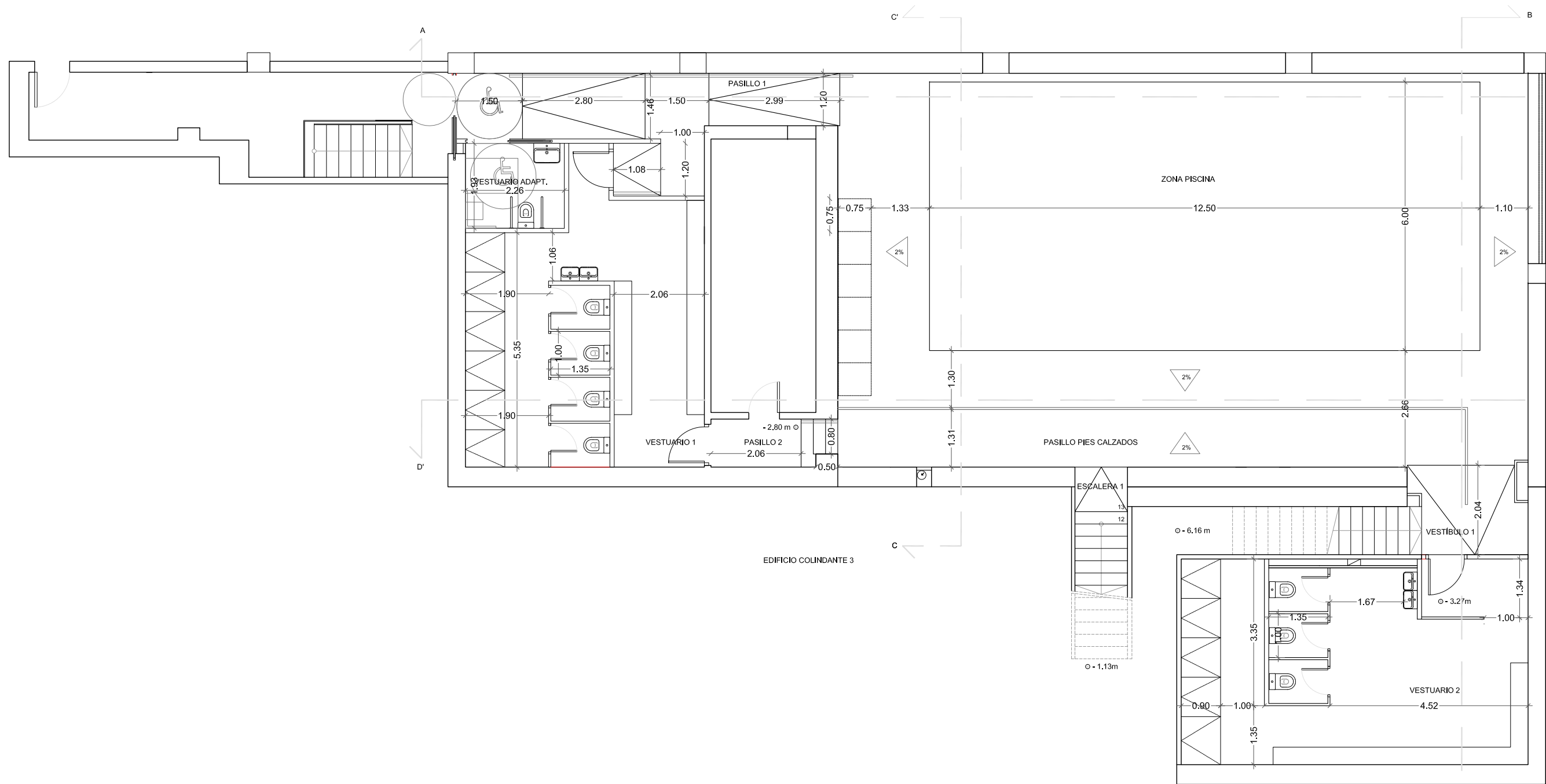
MANUEL BORBÓN SANLLORENTE
Profesor en construcciones arquitectónicas

ALUMNA: BELÉN FERRERES LÓPEZ

DESARROLLO DEL PROYECTO EJECUTIVO DE REFORMA
DE LA PISCINA DEL COLEGIO PALCAM
C/ ROSALÍA DE CASTRO 32, 08025 BARCELONA
DISTRIBUCIÓN: PLANTA SÓTANO

ESCALA: 1/50

A.4.1.



ESCALA GRAFICA E: 1/100
0 1 2 3 m.



ESCOLA POLITÈCNICA SUPERIOR
D'EDIFICACIÓ DE BARCELONA

AV. DOCTOR MARAÑÓN, 44-50
08028 - BARCELONA

GRADO DE ARQUITECTURA TÉCNICA Y EDIFICACIÓN

FECHA ENTREGA PROPUESTA:

17/04/2018

TUTOR DEL PROYECTO:

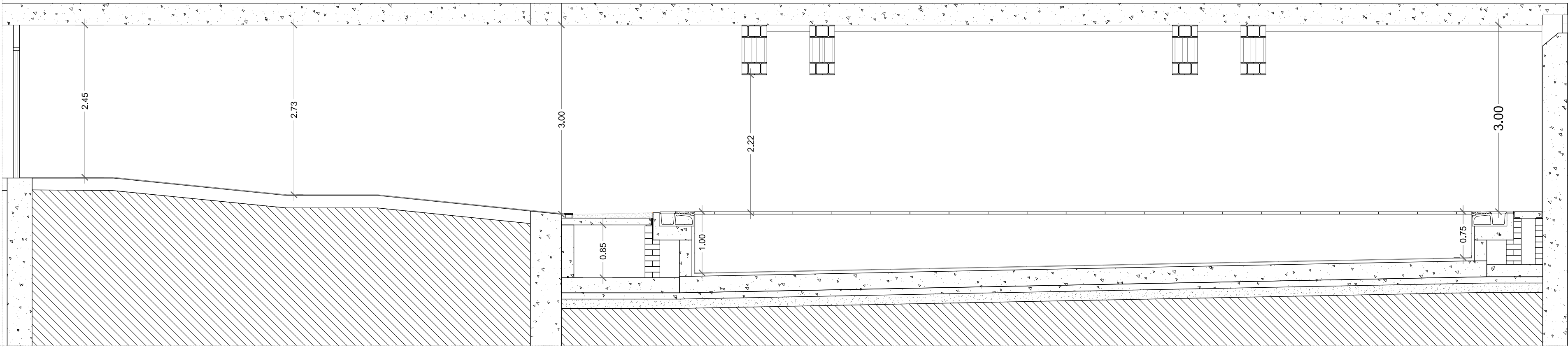
MANUEL BORBÓN SANLLORENTE
Profesor en construcciones arquitectónicas

DESARROLLO DEL PROYECTO EJECUTIVO DE REFORMA
DE LA PISCINA DEL COLEGIO PALCAM
C/ ROSALÍA DE CASTRO 32, 08025 BARCELONA
DISTRIBUCIÓN: PLANTA SÓTANO

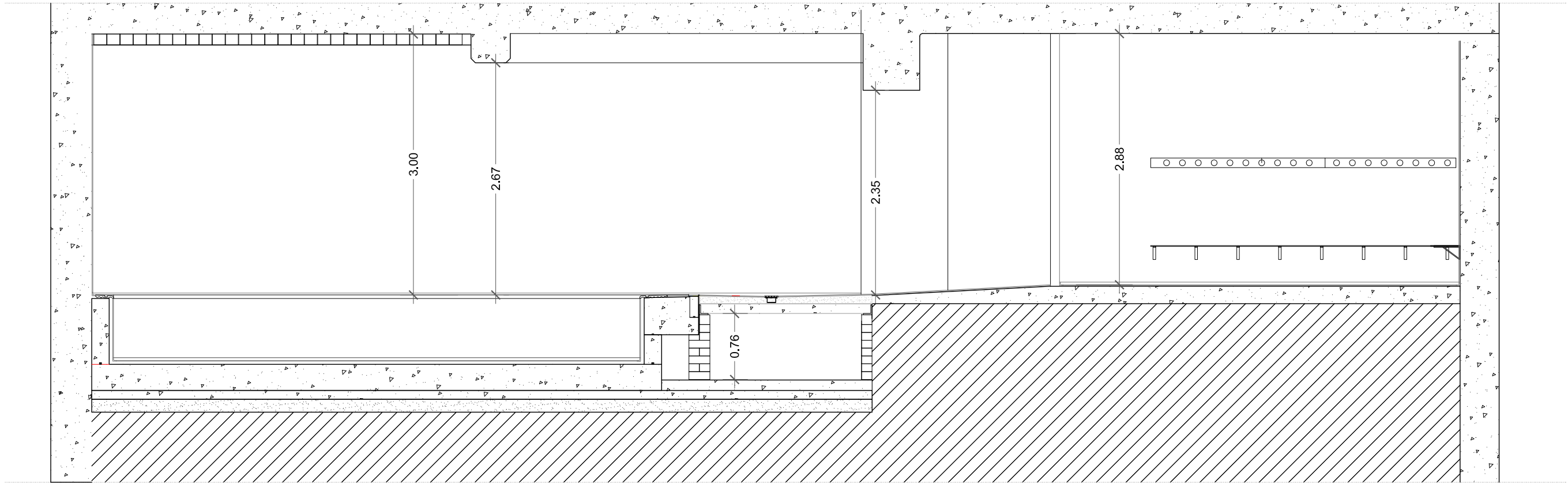
ALUMNA: BELÉN FERRERES LÓPEZ

ESCALA: 1/100

A.4.2.



SECCIÓN A-A'



SECCIÓN B-B'



ESCOLA POLITÈCNICA SUPERIOR
D'EDIFICACIÓ DE BARCELONA
AV. DOCTOR MARAÑÓN, 44-50
08028 - BARCELONA

GRADO DE ARQUITECTURA TÉCNICA Y EDIFICACIÓN

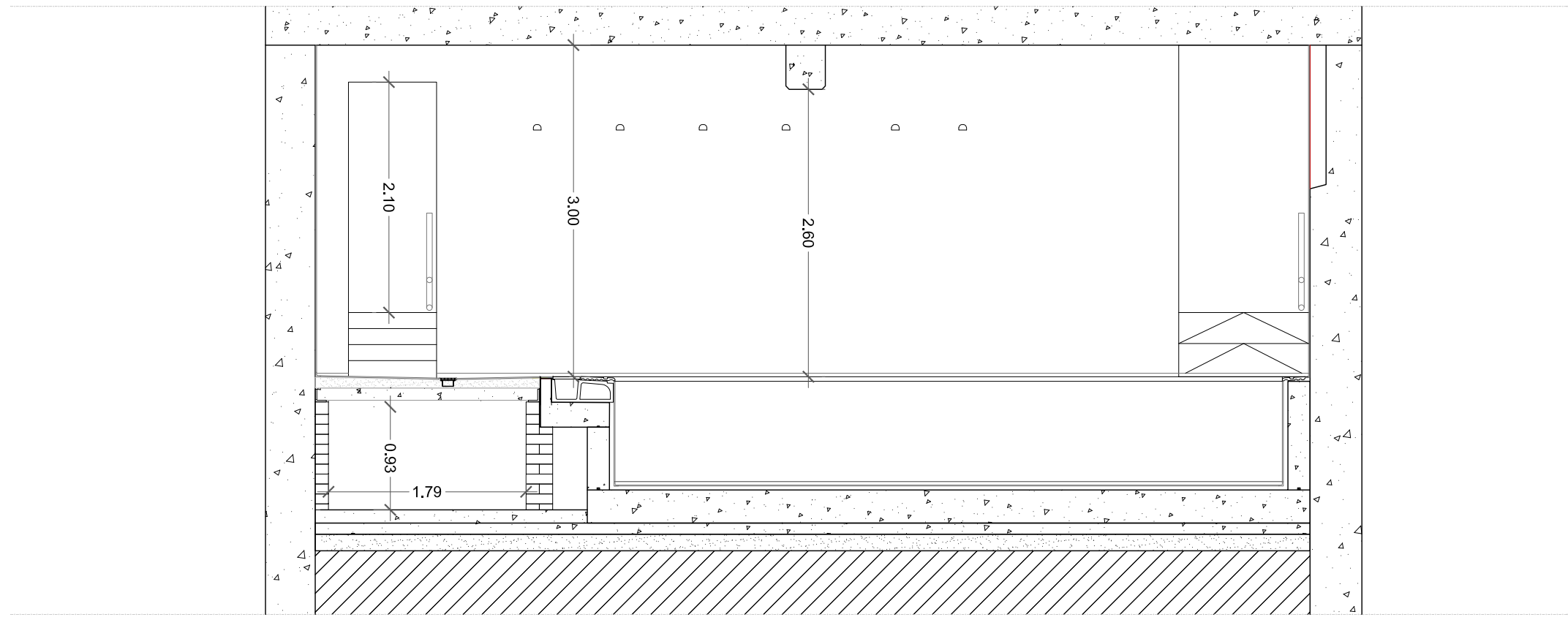
FECHA ENTREGA PROPUESTA:
17/04/2018
TUTOR DEL PROYECTO:
MANUEL BORBÓN SANLORENTE
Profesor en construcciones arquitectónicas

DESARROLLO DEL PROYECTO EJECUTIVO DE REFORMA
DE LA PISCINA DEL COLEGIO PALCAM
C/ ROSALÍA DE CASTRO 32, 08025 BARCELONA
DISTRIBUCIÓN: SECCIÓN A-A' Y SECCIÓN B-B'

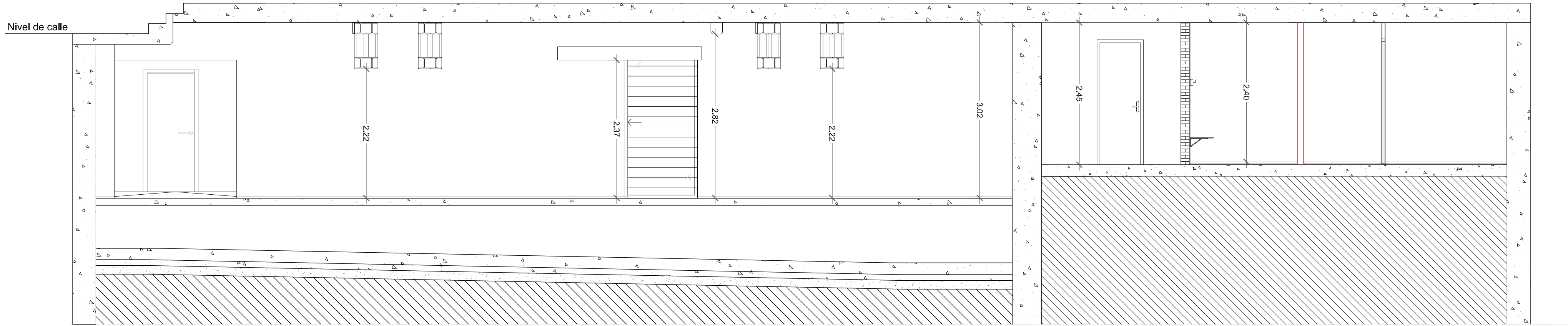
ALUMNA: BELÉN FERRERES LÓPEZ

ESCALA: 1/100

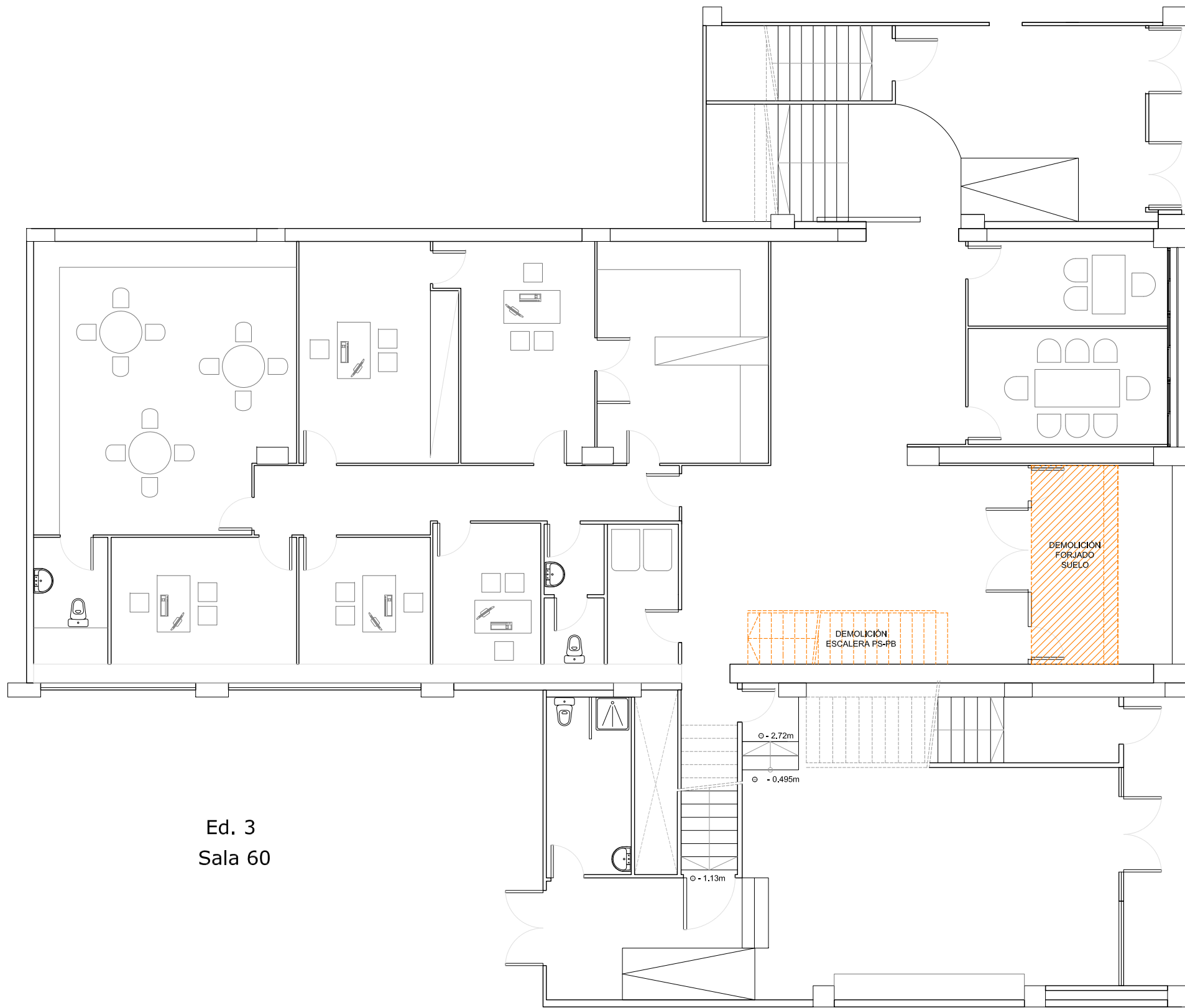
A.4.3.



SECCIÓN C-C'



SECCIÓN D-D'



Ed. 3
Sala 60

LEYENDA REFORMA

- ELEMENTO A DEMOLER
- OBRA NUEVA

ESCALA GRAFICA E: 1/100
0 1 2 3 m.



ESCOLA POLITÈCNICA SUPERIOR
D'EDIFICACIÓ DE BARCELONA

AV. DOCTOR MARAÑÓN, 44-50
08028 - BARCELONA

GRADO DE ARQUITECTURA TÉCNICA Y EDIFICACIÓN

FECHA ENTREGA PROPUESTA:

17/04/2018

TUTOR DEL PROYECTO:

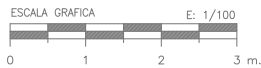
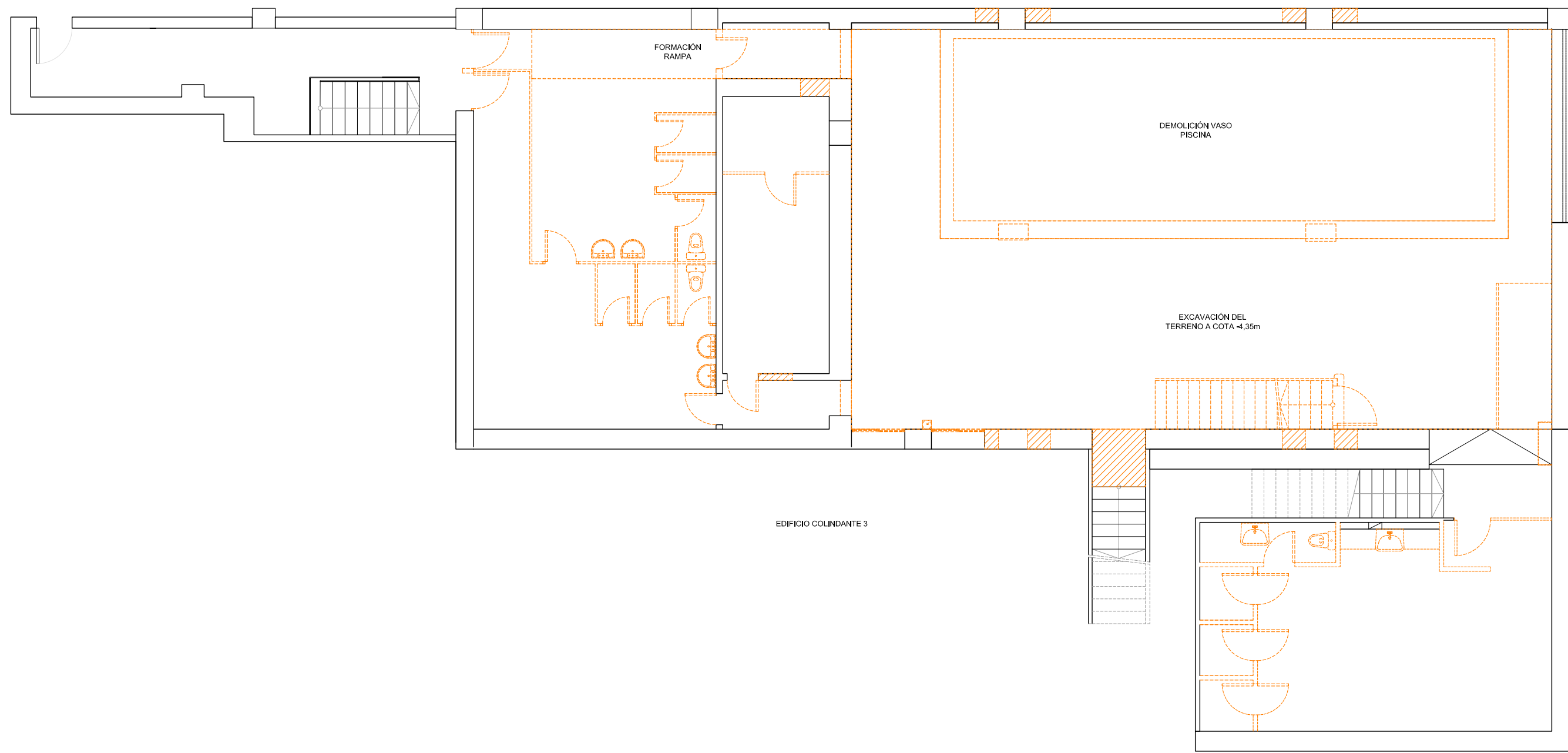
MANUEL BORBÓN SANLLORENTE
Profesor en construcciones arquitectónicas



DESARROLLO DEL PROYECTO EJECUTIVO DE REFORMA
DE LA PISCINA DEL COLEGIO PALCAM
C/ ROSALÍA DE CASTRO 32, 08025 BARCELONA
REFORMA DEMOLICIONES: PLANTA BAJA

ALUMNA: BELÉN FERRERES LÓPEZ

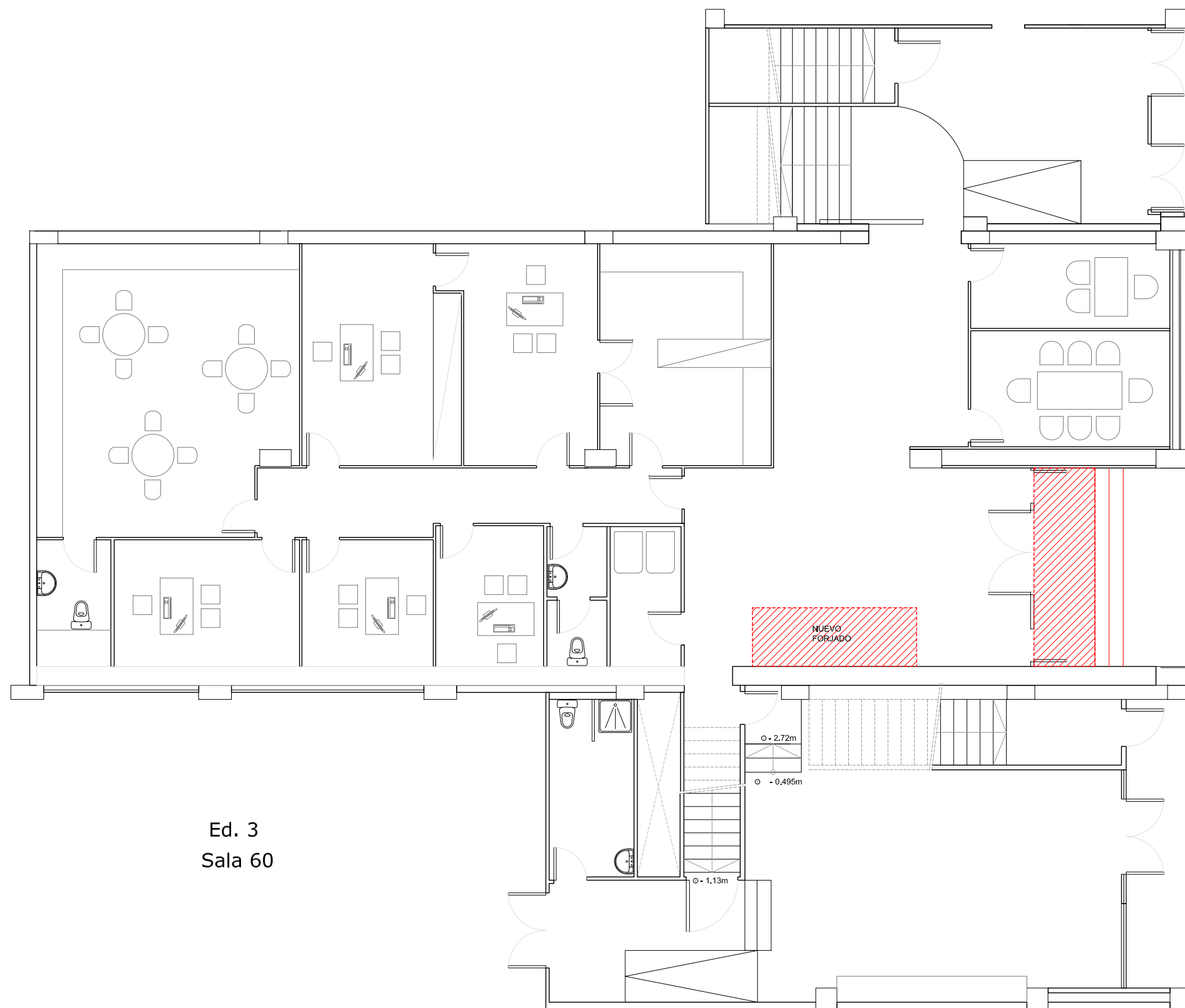
ESCALA: 1/100

A.5.1.


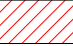


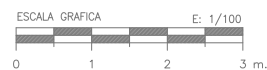
| LEYENDA REFORMA | |
|---|--------------------|
|  | ELEMENTO A DEMOLER |
|  | OBRA NUEVA |

| | | | | |
|--|--|--------|---|--|
| <div></div> <div>ESCOLA POLITÈCNICA SUPERIOR D'EDIFICACIÓ DE BARCELONA</div> <div>AV. DOCTOR MARAÑÓN, 44-50 08028 - BARCELONA</div> | GRADO DE ARQUITECTURA TÉCNICA Y EDIFICACIÓN | | ALUMNA: BELÉN FERRERES LÓPEZ | |
| | FECHA ENTREGA PROPUESTA: | | DESARROLLO DEL PROYECTO EJECUTIVO DE REFORMA DE LA PISCINA DEL COLEGIO PALCAM C/ ROSALÍA DE CASTRO 32, 08025 BARCELONA REFORMA DEMOLICIONES: PLANTA SÓTANO | |
| | 17/04/2018 | | | |
| | TUTOR DEL PROYECTO: | | | |
| | MANUEL BORBÓN SANLLORENTE <small>Profesor en construcciones arquitectónicas</small> | | ESCALA: 1/100 | |
| | | A.5.2. | | |



Ed. 3
Sala 60

| LEYENDA REFORMA | |
|---|--------------------|
|  | ELEMENTO A DEMOLER |
|  | OBRA NUEVA |



ESCOLA POLITÈCNICA SUPERIOR
D'EDIFICACIÓ DE BARCELONA

AV. DOCTOR MARAÑÓN, 44-50
08028 - BARCELONA

GRADO DE ARQUITECTURA TÉCNICA Y EDIFICACIÓN

FECHA ENTREGA PROPUESTA:

17/04/2018

TUTOR DEL PROYECTO:

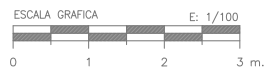
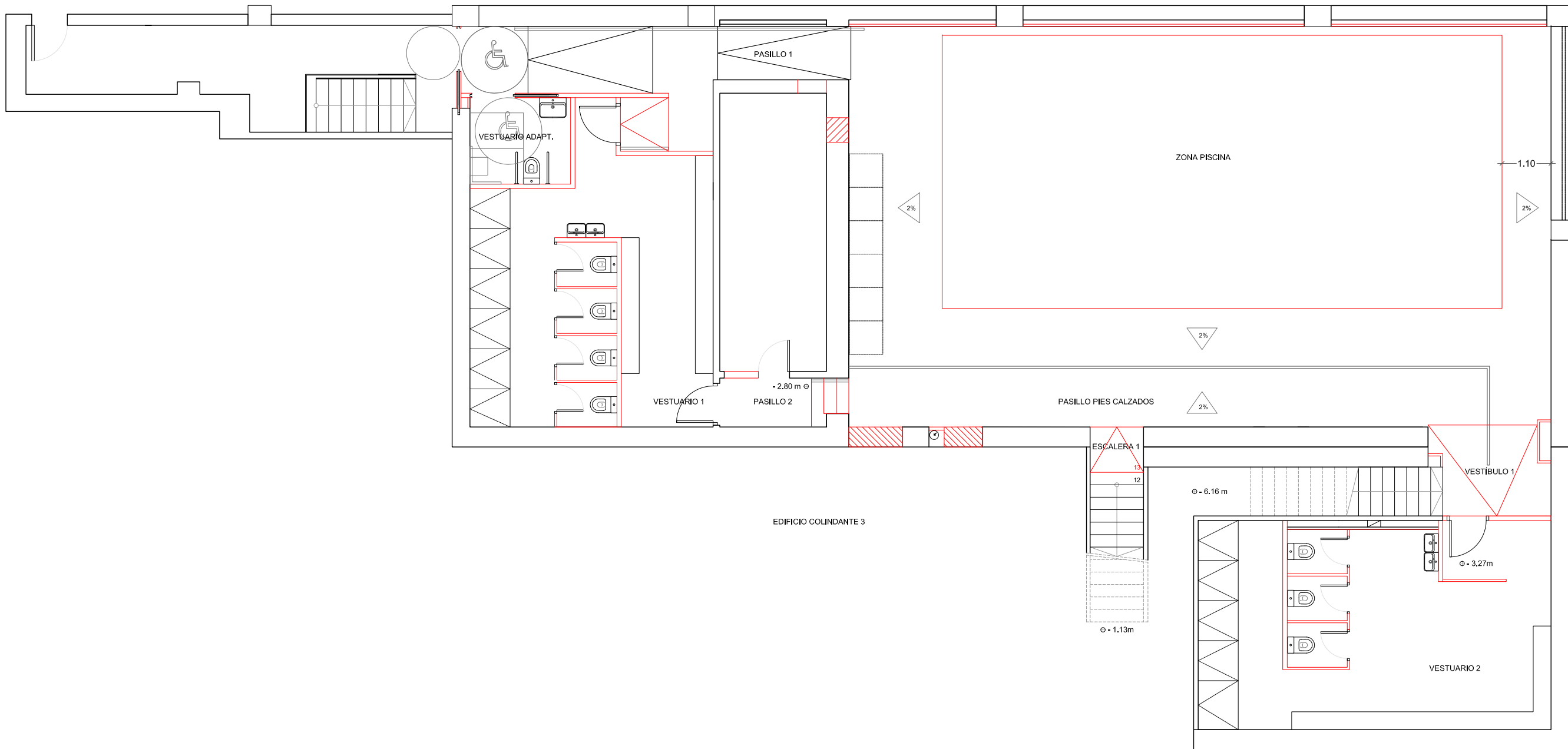
MANUEL BORBÓN SANLLORENTE
Profesor en construcciones arquitectónicas

DESARROLLO DEL PROYECTO EJECUTIVO DE REFORMA
DE LA PISCINA DEL COLEGIO PALCAM
C/ ROSALÍA DE CASTRO 32, 08025 BARCELONA
REFORMA ACTUACIONES: PLANTA BAJA



ALUMNA: BELÉN FERRERES LÓPEZ

ESCALA: 1/100

A.5.3.



LEYENDA REFORMA

-  ELEMENTO A DEMOLER
-  OBRA NUEVA



ESCOLA POLITÈCNICA SUPERIOR
D'EDIFICACIÓ DE BARCELONA

AV. DOCTOR MARAÑÓN, 44-50
08028 - BARCELONA

GRADO DE ARQUITECTURA TÉCNICA Y EDIFICACIÓN

FECHA ENTREGA PROPUESTA:

17/04/2018

TUTOR DEL PROYECTO:

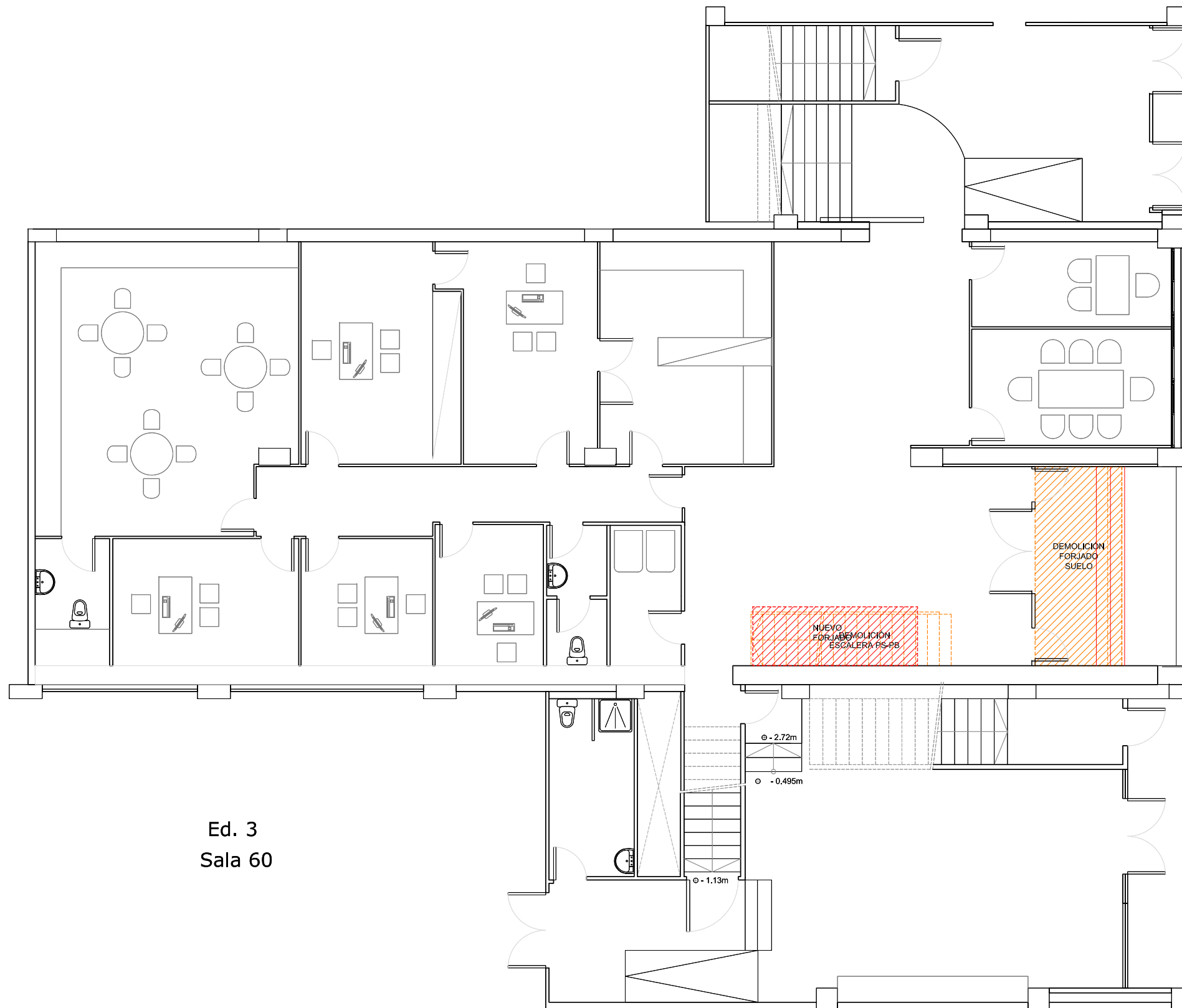
MANUEL BORBÓN SANLLORENTE
Profesor en construcciones arquitectónicas

DESARROLLO DEL PROYECTO EJECUTIVO DE REFORMA
DE LA PISCINA DEL COLEGIO PALCAM
C/ ROSALÍA DE CASTRO 32, 08025 BARCELONA
REFORMA ACTUACIONES: PLANTA SÓTANO

ALUMNA: BELÉN FERRERES LÓPEZ



ESCALA: 1/100

A.5.4.



Ed. 3
Sala 60

LEYENDA REFORMA

-  ELEMENTO A DEMOLER
-  OBRA NUEVA

ESCALA GRAFICA E: 1/100
0 1 2 3 m.



ESCOLA POLITÈCNICA SUPERIOR
D'EDIFICACIÓ DE BARCELONA

AV. DOCTOR MARAÑÓN, 44-50
08028 - BARCELONA

GRADO DE ARQUITECTURA TÉCNICA Y EDIFICACIÓN

FECHA ENTREGA PROPUESTA:

17/04/2018

TUTOR DEL PROYECTO:

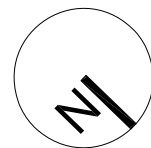
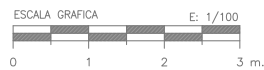
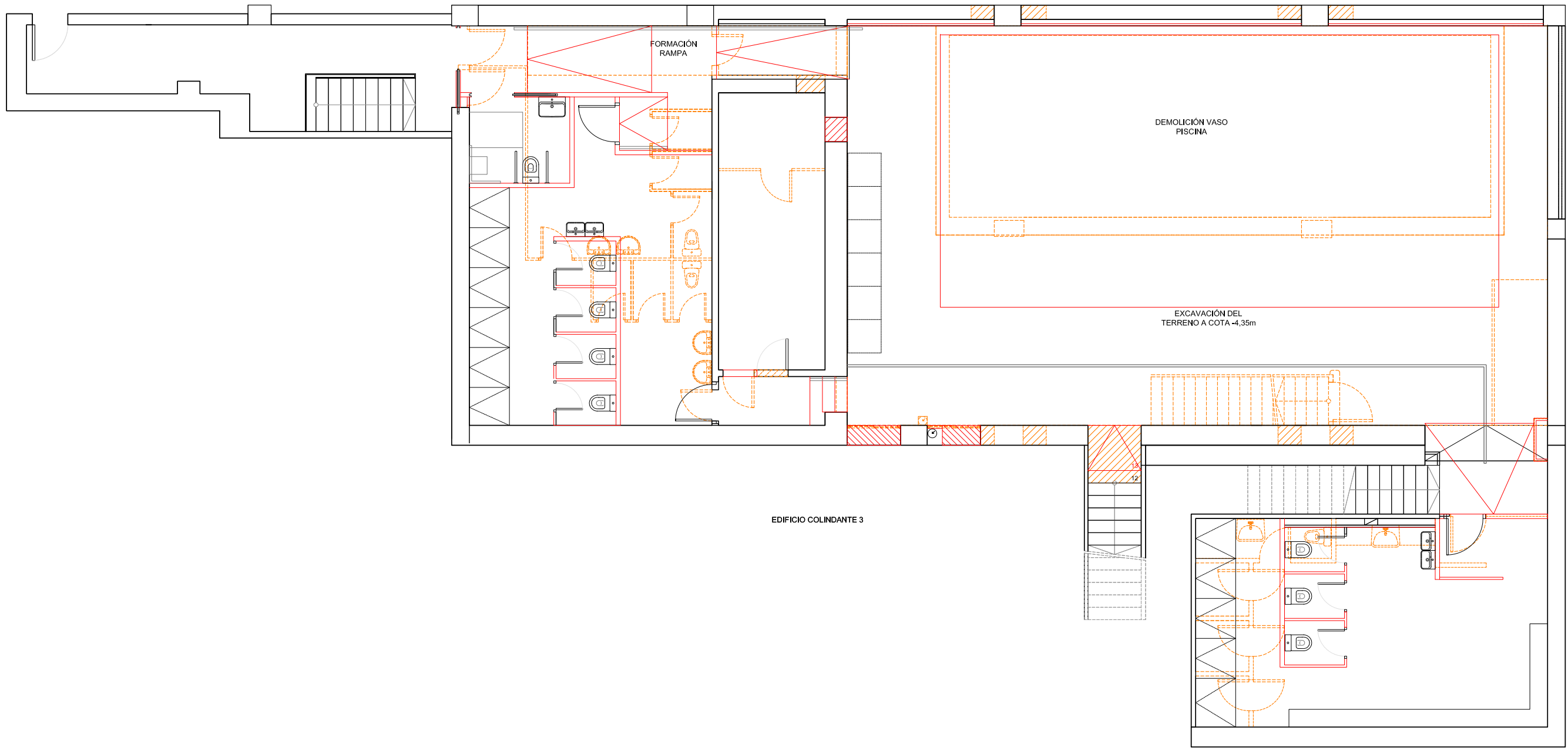
MANUEL BORBÓN SANLLORENTE
Profesor en construcciones arquitectónicas

DESARROLLO DEL PROYECTO EJECUTIVO DE REFORMA
DE LA PISCINA DEL COLEGIO PALCAM
C/ ROSALÍA DE CASTRO 32, 08025 BARCELONA
REFORMA: PLANTA BAJA

ALUMNA: BELÉN FERRERES LÓPEZ

ESCALA: 1/100

A.5.5.



ESCOLA POLITÈCNICA SUPERIOR
D'EDIFICACIÓ DE BARCELONA

AV. DOCTOR MARAÑÓN, 44-50
08028 - BARCELONA

GRADO DE ARQUITECTURA TÉCNICA Y EDIFICACIÓN

FECHA ENTREGA PROPUESTA:

17/04/2018

TUTOR DEL PROYECTO:

MANUEL BORBÓN SANLLORENTE
Profesor en construcciones arquitectónicas

DESARROLLO DEL PROYECTO EJECUTIVO DE REFORMA
DE LA PISCINA DEL COLEGIO PALCAM
C/ ROSALÍA DE CASTRO 32, 08025 BARCELONA
REFORMA: PLANTA SÓTANO

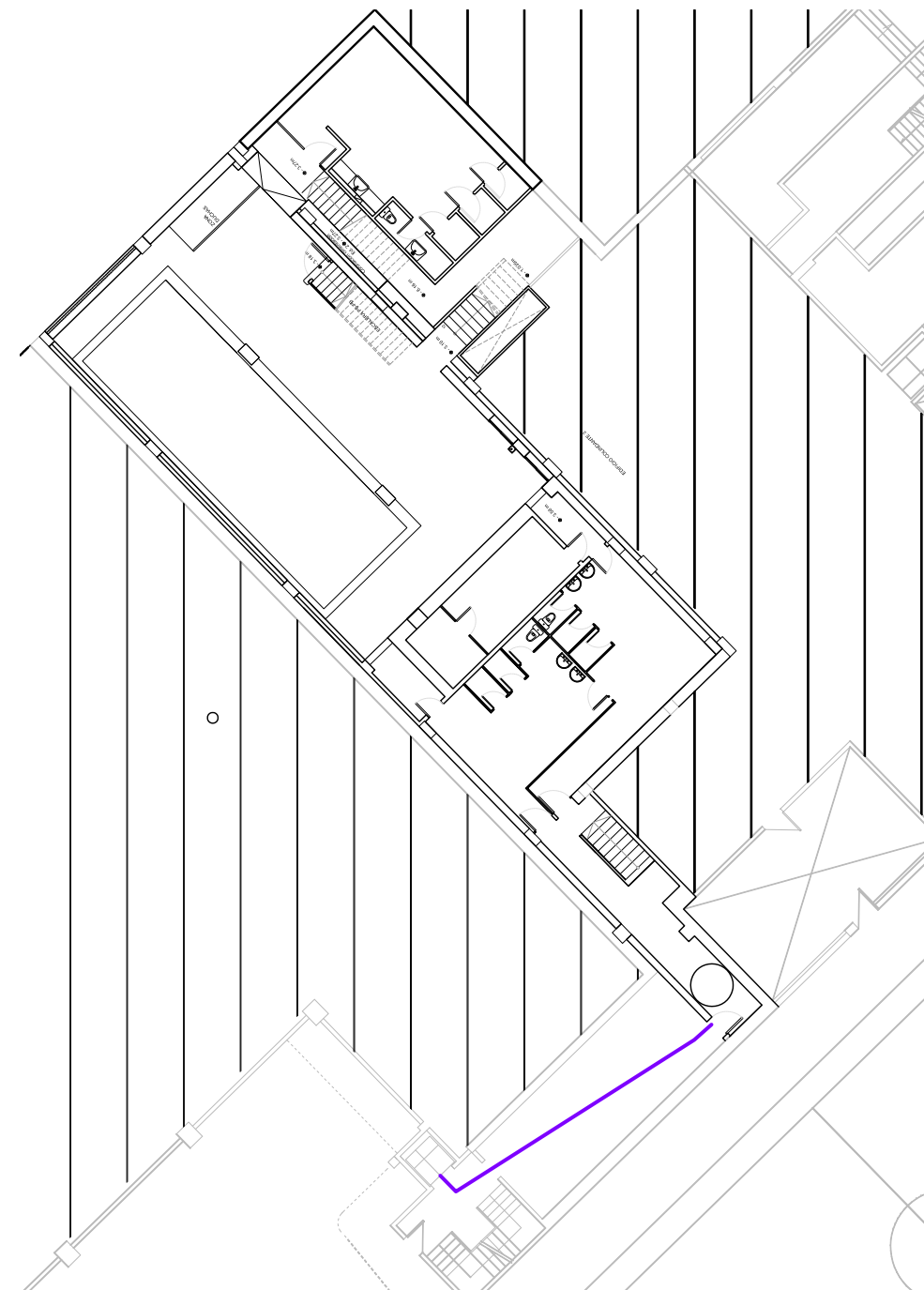
ALUMNA: BELÉN FERRERES LÓPEZ

ESCALA: 1/100

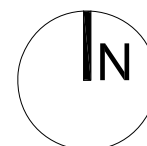
A.5.6.



PLANTA BAJA GENERAL DEL COLEGIO



PLANTA SÓTANO GENERAL DEL COLEGIO



ESCOLA POLITÈCNICA SUPERIOR
D'EDIFICACIÓ DE BARCELONA

AV. DOCTOR MARAÑÓN, 44-50
08028 - BARCELONA

GRADO DE ARQUITECTURA TÉCNICA Y EDIFICACIÓN

FECHA ENTREGA PROPUESTA:

17/04/2018

TUTOR DEL PROYECTO:

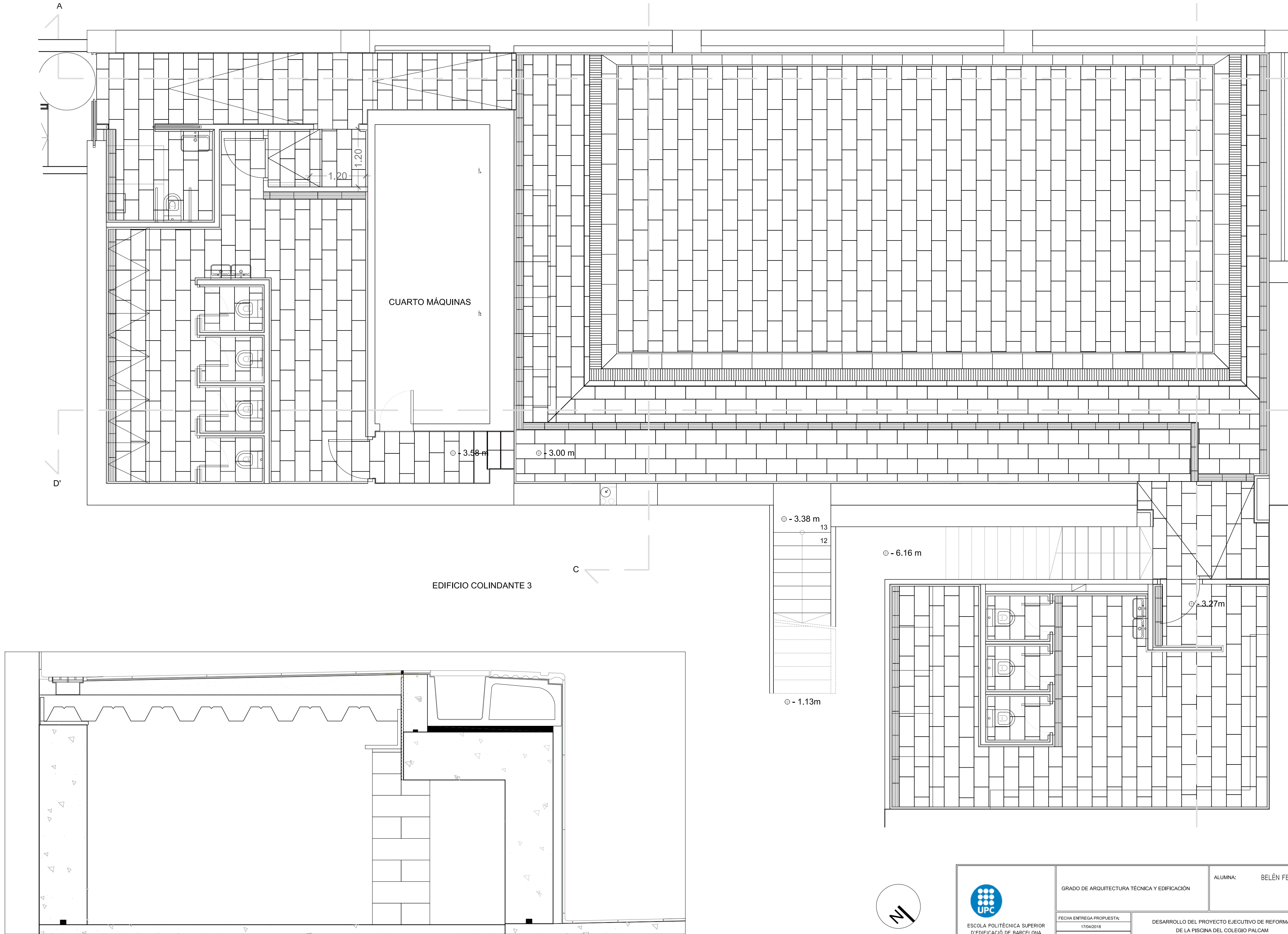
MANUEL BORBÓN SANLLORENTE
Profesor en construcciones arquitectónicas

DESARROLLO DEL PROYECTO EJECUTIVO DE REFORMA
DE LA PISCINA DEL COLEGIO PALCAM
C/ ROSALÍA DE CASTRO 32, 08025 BARCELONA
ACCESO ADAPTADO: PLANTA BAJA -PLANTA SÓTANO

ALUMNA: BELÉN FERRERES LÓPEZ

ESCALA: 1/250

N.1.



DETALLE DESPIECE CORONACIÓN, PLAYA Y VASO DE LA PISCINA
E. 1:10



ESCOLA POLITÈCNICA SUPERIOR
D'EDIFICACIÓ DE BARCELONA
AV. DOCTOR MARAÑÓN, 44-50
08028 - BARCELONA

GRADO DE ARQUITECTURA TÉCNICA Y EDIFICACIÓN

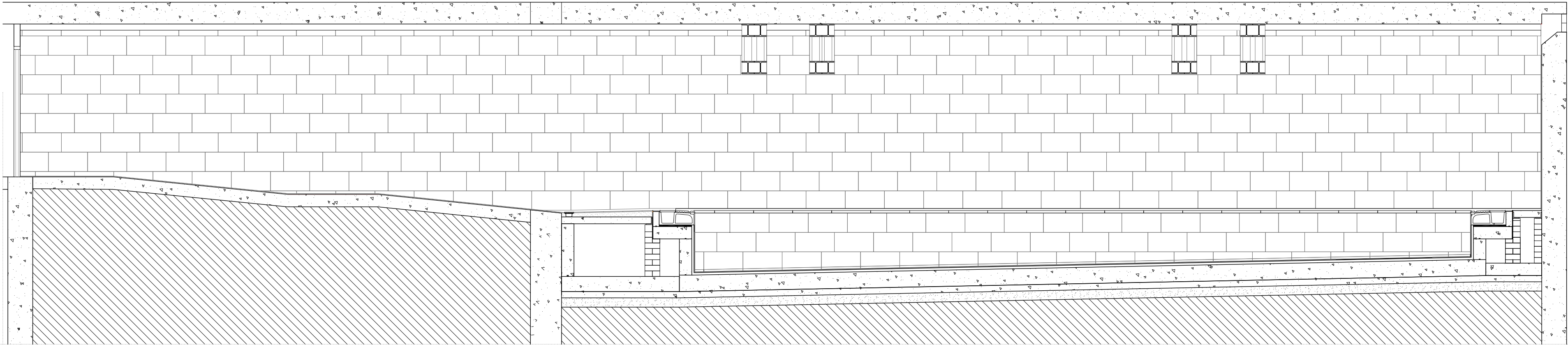
FECHA ENTREGA PROPUESTA:
17/04/2018
TUTOR DEL PROYECTO:
MANUEL BORBÓN SANLLORENTE
Profesor en construcciones arquitectónicas

DESARROLLO DEL PROYECTO EJECUTIVO DE REFORMA
DE LA PISCINA DEL COLEGIO PALCAM
C/ ROSALÍA DE CASTRO 32, 08025 BARCELONA
DESPIECE: PLANTA BAJA

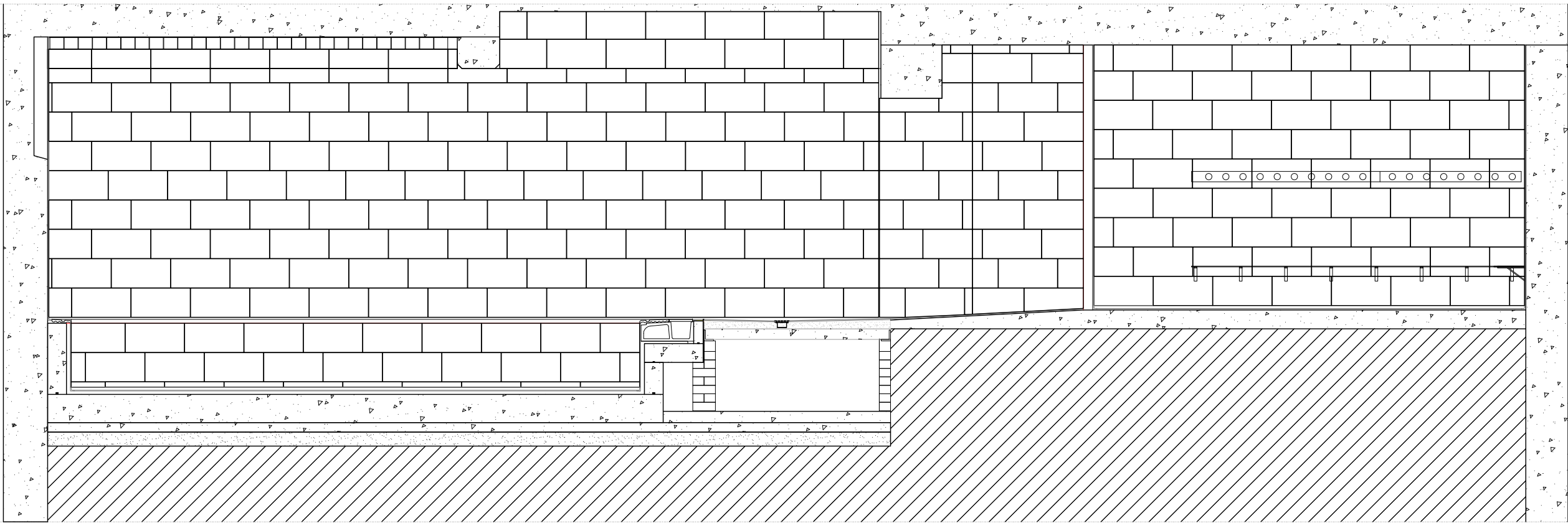
ALUMNA: BELÉN FERRERES LÓPEZ

ESCALA: 1/50

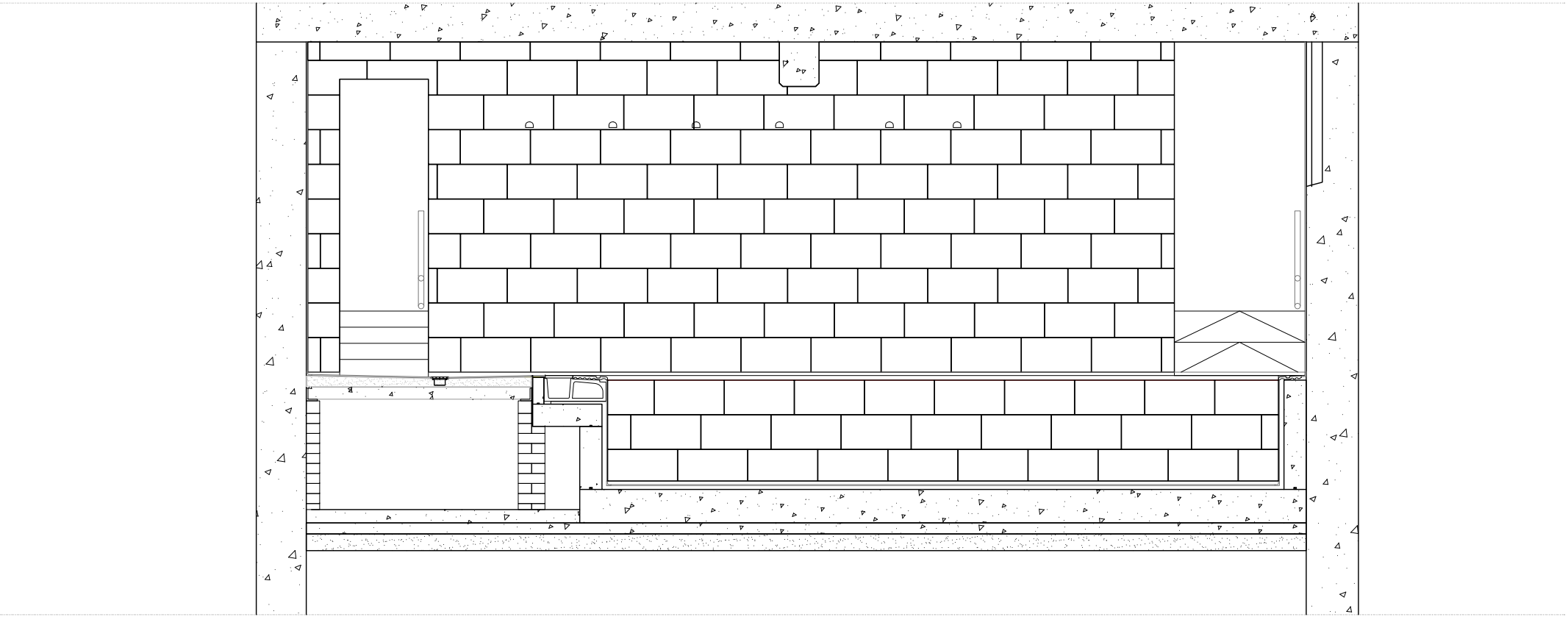
R.1.1.



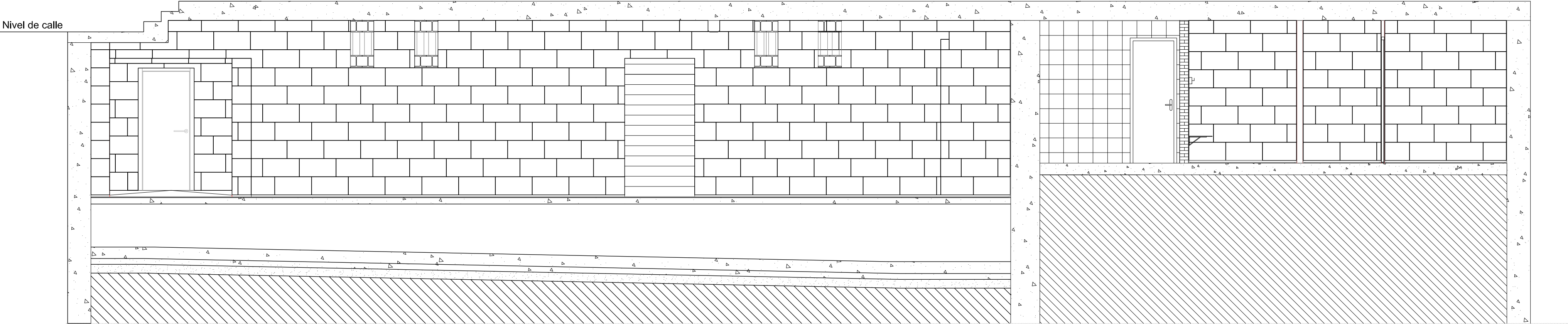
SECCIÓN A-A'



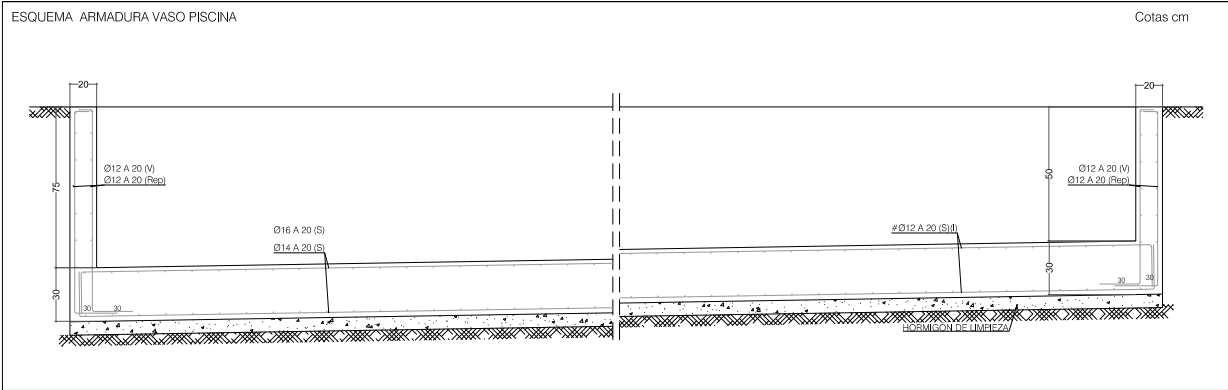
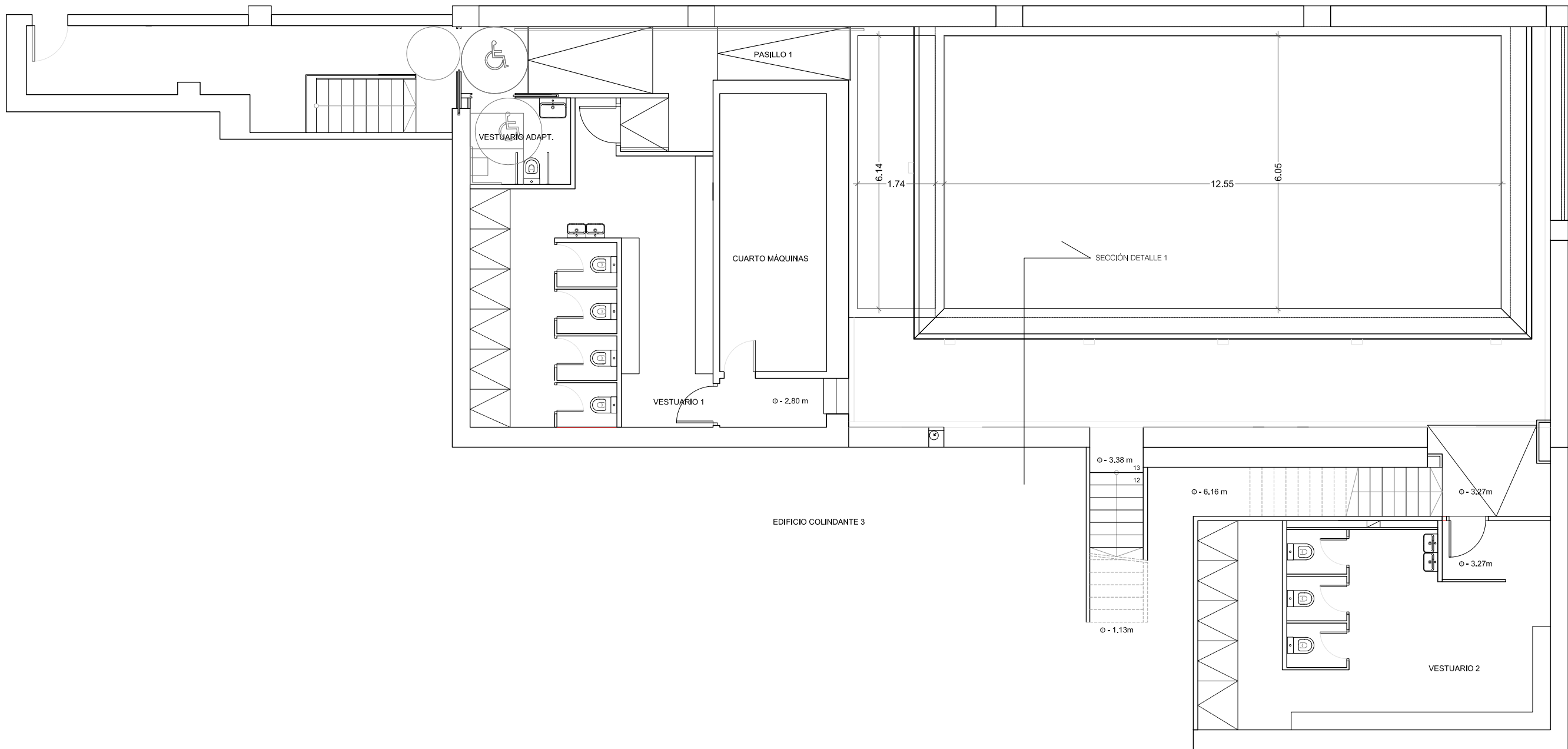
SECCIÓN B-B'



SECCIÓN C-C'



SECCIÓN D-D'



| CUADRO DE CARACTERÍSTICAS | | |
|--|--|---------------------|
| HORMIGÓN: HA-25/B/20/Ila | | Normativa EHE-08 |
| Resistencia característica: fck=25 N/mm² (255 kp/cm²). | | Art. 39.1 |
| Consistencia: Blanda (Asentamiento cono Abrams 6-9cm ±1cm). | | Art. 31.5 |
| Tamaño máximo de l'árido: TMA Ø=20 mm. | | Art. 28.3 |
| Exposición ambiental tipo: Ila (Se debe garantizar la exposición ambiental con los medios necesarios). | | Art. 8.2.1 |
| ACERO: B 500 S - B 500 T | | Normativa EHE-08 |
| BARRAS CORRUGADAS Tipo: B 500 S | | Art. 32.2 |
| Clase de Acero: Soldable (S) | | Art. 32.2 |
| Límite elástico: fy > 500 N/mm² (5100 kp/cm²). | | Art. 32.2 |
| MALLAS ELECTROSOLDADAS Tipo: B 500 T | | Art. 32.3 |
| Límite elástico: fy > 500 N/mm² (5100 kp/cm²). | | Art. 32.3 |
| CONTROL DE EJECUCIÓN: NORMAL | | Art. 92.4 |
| Acciones | | Variables γq=1.60 |
| Coeficientes parciales de seguridad: | | Permanentes γG=1.50 |
| Materiales | | Hormigón γc=1.50 |
| Coeficientes parciales de seguridad: | | Acero γs=1.15 |

RECUBRIMIENTO NOMINAL

Art. (37.2.4 - 37.2.5) y tabla 69.8.2 EHE-08

$$r_{\min} = 25 \text{ mm}$$

$$\Delta r = 10 \text{ mm}$$

$$r_{\text{nom}} = 25 + 10 = 35 \text{ mm}$$

Piezas hormigonadas contra el terreno.

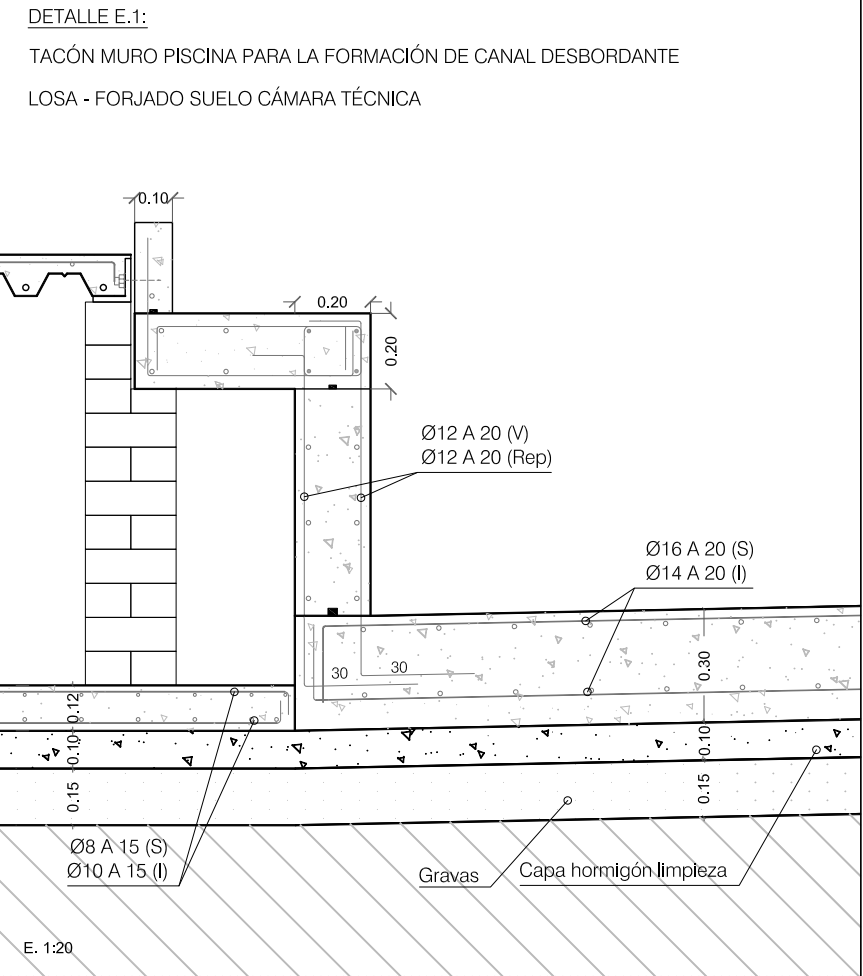
$$r_{\text{nom}} = 70 + 10 = 80 \text{ mm}$$

| DISPOSICIÓN DE SEPARADORES | | (S) máx cm. |
|----------------------------|---------------|-------------|
| LOSA, TECHOS, ZAPATAS. | SUPERIOR | 50 Ø ó 100 |
| | INFERIOR | 50 Ø ó 50 |
| MUROS | CADA MALLAZO | 50 Ø ó 50 |
| | ENTRE MALLAZO | 100 |
| BIGAS | | 100 |
| PILARES | | 100 ó 200 |

CURADO DEL HORMIGÓN

*Se efectuará un curado del hormigón de como mínimo 3 días desde el hormigonado

*Se recomienda realizar el curado colocando una lámina de plástico superficial o instalando un sistema de riego por aspersión.



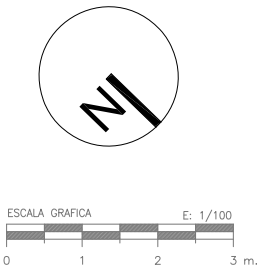
| LONGITUD DE SOLAPES DE BARRAS | | | |
|-------------------------------|---|--------------|--------|
| Ø (mm) | Comprimidas | Traccionadas | |
| | | Lb I | Lb II |
| 8 | Longitud igual a la tabla de longitudes de anclaje. | 50 cm | 60 cm |
| 10 | | 60 cm | 80 cm |
| 12 | | 80 cm | 100 cm |
| 16 | | 90 cm | 140 cm |
| 20 | | 120 cm | 180 cm |
| 25 | | 190 cm | 280 cm |

Art.66.6.2 EHE

*Se dispondrá una sección total de armadura transversal ≥ A1 en las zonas de solapes de arm.

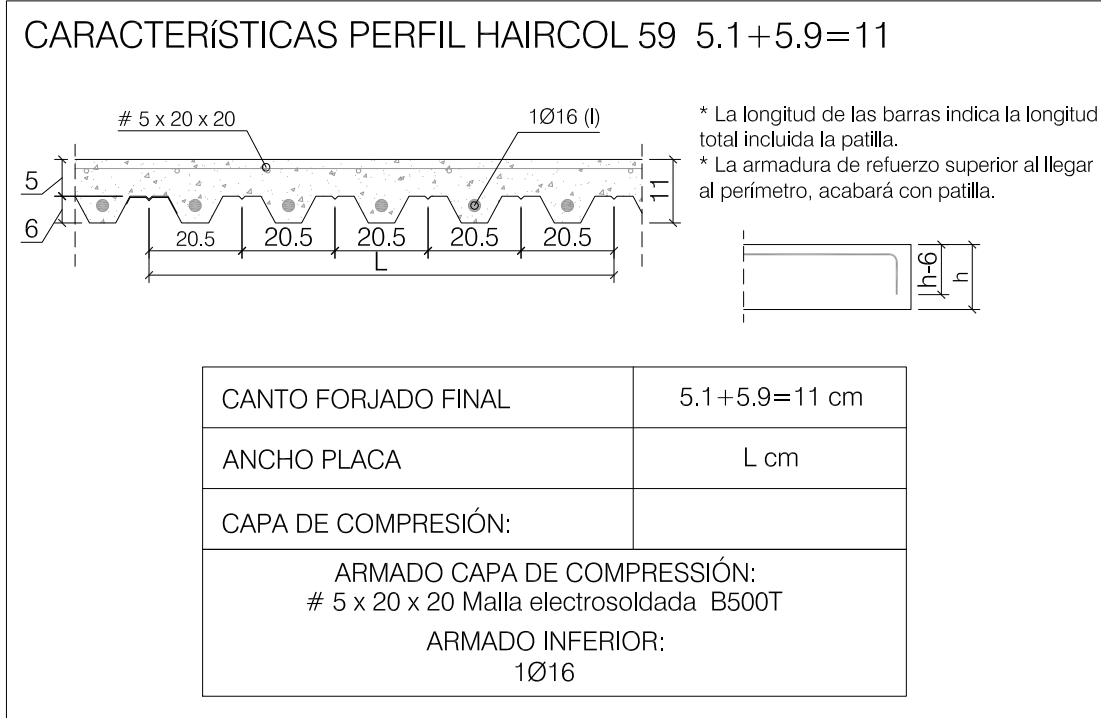
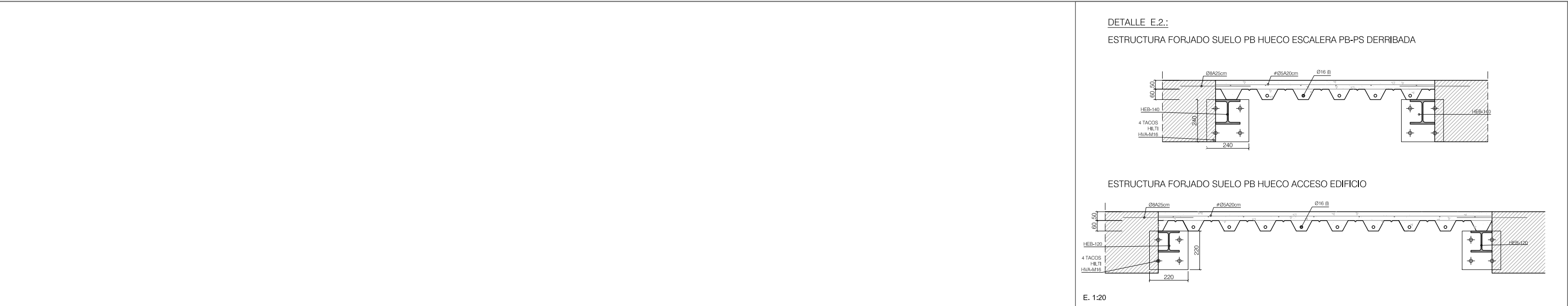
$\Sigma A_2 \geq A_1$

| LONGITUD DE ANCLAJE DE BARRAS | | | |
|-------------------------------|-------|--------|---|
| Ø (mm) | Lb I | Lb II | |
| 8 | 25 cm | 30 cm | Art.66.5 EHE *Lb I (Adherencia buena) Arm. Vertical e inferior. |
| 10 | 30 cm | 40 cm | |
| 12 | 40 cm | 50 cm | |
| 16 | 45 cm | 70 cm | *Lb II (Adherencia deficiente) Arm. Superior. |
| 20 | 60 cm | 90 cm | |
| 25 | 95 cm | 140 cm | *Ø Designa la mayor de las barras unidas. |



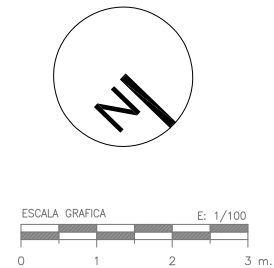
| | | | | | |
|--|---|--|--|--|---------------|
| <div></div> <div>ESCOLA POLITÈCNICA SUPERIOR D'EDIFICACIÓ DE BARCELONA</div> <div>AV. DOCTOR MARAÑÓN, 44-50 08028 - BARCELONA</div> | GRADO DE ARQUITECTURA TÉCNICA Y EDIFICACIÓN | | ALUMNA: BELÉN FERRERES LÓPEZ | | |
| | FECHA ENTREGA PROPUESTA: | | DESARROLLO DEL PROYECTO EJECUTIVO DE REFORMA DE LA PISCINA DEL COLEGIO PALCAM C/ ROSALÍA DE CASTRO 32, 08025 BARCELONA | | ESCALA: 1/100 |
| | 17/04/2018 | | | | |
| | TUTOR DEL PROYECTO: | | ESTRUCTURA REFORMADA:VASO PISCINA, DEP. COMPENSACIÓN Y LOSA | | |
| | MANUEL BORBÓN SANLORENTE | | | | |
| Profesor en construcciones arquitectónicas | | | | | |


E.1.



| LONGITUD DE SOLAPES DE BARRAS | | | | |
|-------------------------------|---|--------------|--------|---|
| Ø (mm) | Comprimidas | Traccionadas | | A ₁ A ₂ solapes |
| | | Lb I | Lb II | |
| 8 | Longitud igual a la tabla de longitudes de anclaje. | 50 cm | 60 cm | *Se dispondrá una sección total de armadura transversal ≥ A ₁ en las zonas de solapes de arm. Σ A ₂ ≥ A ₁ |
| 10 | | 60 cm | 80 cm | |
| 12 | | 80 cm | 100 cm | |
| 16 | | 90 cm | 140 cm | |
| 20 | | 120 cm | 180 cm | |
| 25 | | 190 cm | 280 cm | |

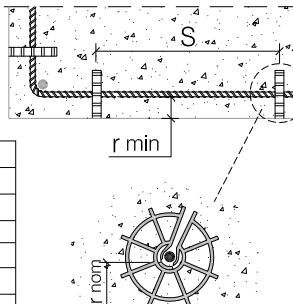
| LONGITUD DE ANCLAJE DE BARRAS | | | | |
|-------------------------------|-------|--------|---|---------------------------|
| Ø (mm) | Lb I | Lb II | Art.66.5 EHE | |
| 8 | 25 cm | 30 cm | *Lb I (Adherencia buena) | Arm. Vertical e inferior. |
| 10 | 30 cm | 40 cm | *Lb II (Adherencia deficiente) | |
| 12 | 40 cm | 50 cm | | |
| 16 | 45 cm | 70 cm | | |
| 20 | 60 cm | 90 cm | Arm. Superior. | |
| 25 | 95 cm | 140 cm | *Ø Designa la mayor de las barras unidas. | |




ESCOLA POLITÈCNICA SUPERIOR
D'EDIFICACIÓ DE BARCELONA
AV. DOCTOR MARAÑÓN, 44-50
08028 - BARCELONA

| | | | |
|---|--|--|------|
| GRADO DE ARQUITECTURA TÉCNICA Y EDIFICACIÓN | | ALUMNA: BELÉN FERRERES LÓPEZ | |
| FECHA ENTREGA PROPUESTA: | | DESARROLLO DEL PROYECTO EJECUTIVO DE REFORMA DE LA PISCINA DEL COLEGIO PALCAM C/ ROSALÍA DE CASTRO 32, 08025 BARCELONA ESTRUCTURA DE REFORMA: FORJADO PLANTA BAJA | |
| 17/04/2018 | | | |
| TUTOR DEL PROYECTO: | | | |
| MANUEL BORBÓN SANLLORENTE Profesor en construcciones arquitectónicas | | ESCALA: 1/100 | E.2. |

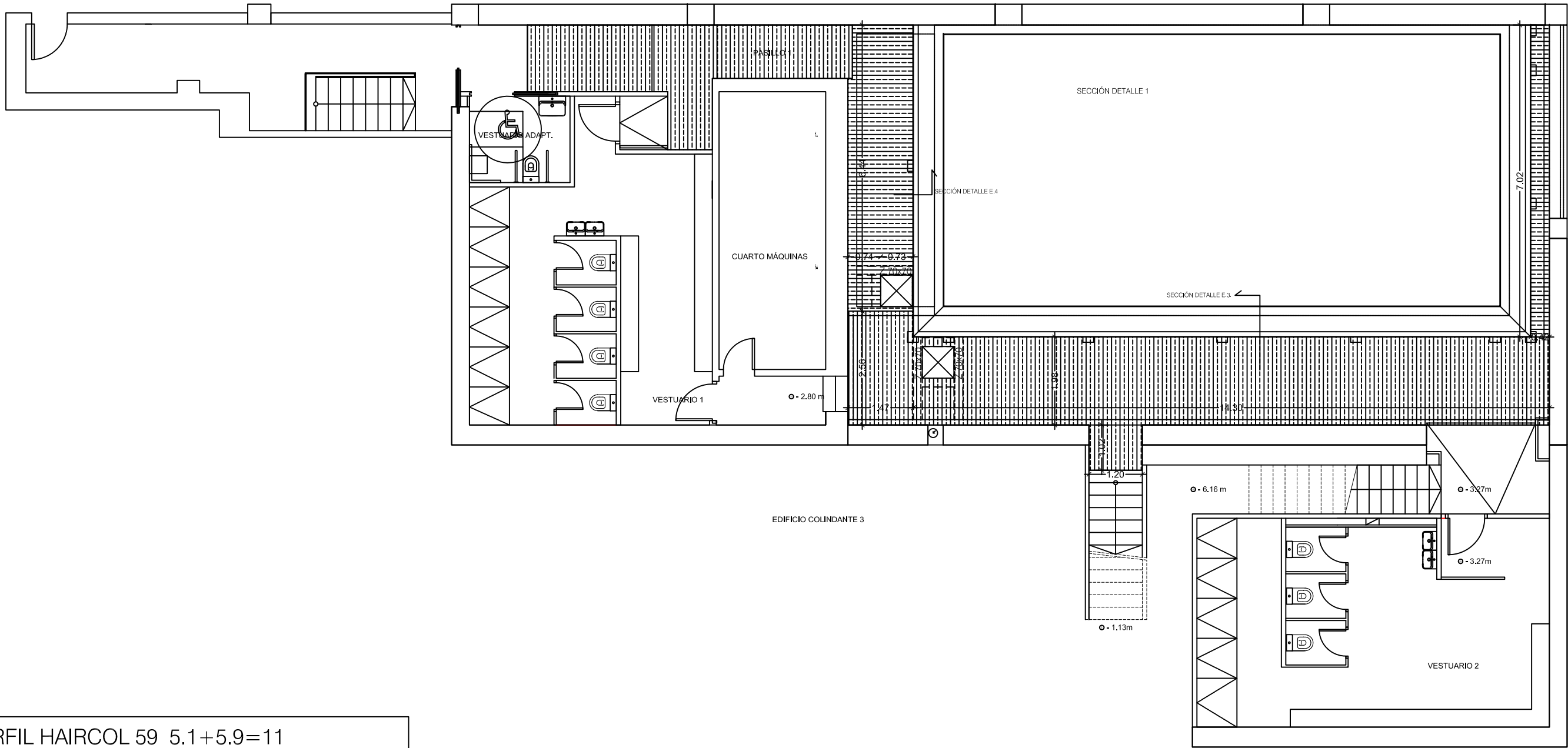
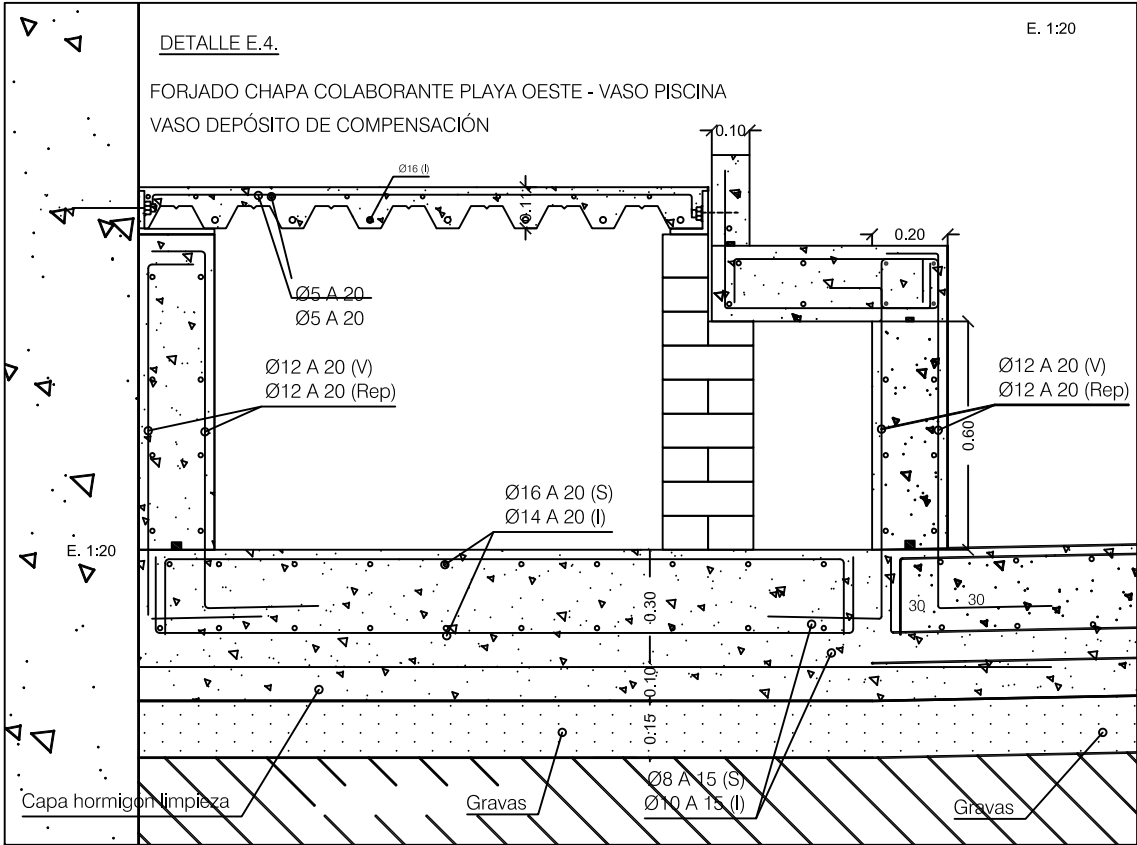
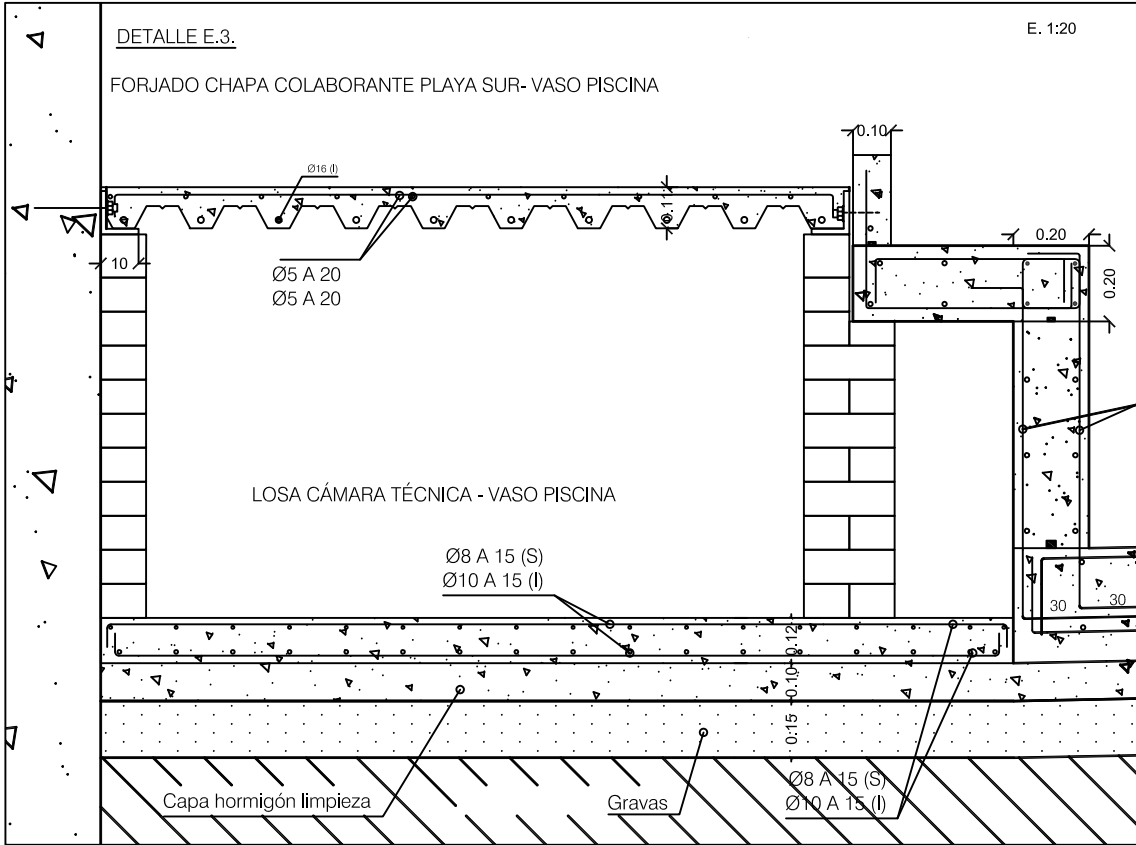
| CUADRO DE CARACTERÍSTICAS | | |
|---|--|-----------------------------|
| HORMIGÓN: HA-25/B/20/I | | Normativa EHE-08 |
| Resistencia característica: $f_{ck}=25 \text{ N/mm}^2$ (255 kp/cm ²). | | Art. 39.1 |
| Consistencia: Blanda (Asentamiento cono Abrams 6-9cm \pm 1cm). | | Art. 31.5 |
| Tamaño máximo de l'árido: TMA Ø=20 mm. | | Art. 28.3 |
| Exposición ambiental tipo: I (Se debe garantizar la exposición ambiental con los medios necesarios). | | Art. 8.2.1 |
| ACERO: B 500 S - B 500 T | | Normativa EHE-08 |
| BARRAS CORRUGADAS Tipo: B 500 S | | Art. 32.2 |
| Clase de Acero: Soldable (S) | | Art. 32.2 |
| Límite elástico: $f_y > 500 \text{ N/mm}^2$ (5100 kp/cm ²). | | Art. 32.2 |
| MALLAS ELECTROSOLDADAS Tipo: B 500 T | | Art. 32.3 |
| Límite elástico: $f_y > 500 \text{ N/mm}^2$ (5100 kp/cm ²). | | Art. 32.3 |
| CONTROL DE EJECUCIÓN: NORMAL | | Art. 92.4 |
| Acciones | | Variables $\gamma_Q=1.60$ |
| Coeficientes parciales de seguridad: | | Permanentes $\gamma_G=1.50$ |
| Materiales | | Hormigón $\gamma_C=1.50$ |
| Coeficientes parciales de seguridad: | | Acero $\gamma_S=1.15$ |

| RECUBRIMIENTO NOMINAL | | |
|--|---------------|-------------|
| Art. (37.2.4 - 37.2.5) y tabla 69.8.2 EHE-08 | | |
| $r_{nom} = r_{min} + \Delta r$ $r_{min} = 20 \text{ mm}$ $\Delta r = 10 \text{ mm}$ | | |
| $r_{nom} = 20 + 10 = 30 \text{ mm}$ | | |
|  | | |
| DISPOSICIÓN DE SEPARADORES | | (S) máx cm. |
| LOSA, TECHOS, ZAPATAS. | SUPERIOR | 50 Ø 6 100 |
| | INFERIOR | 50 Ø 6 50 |
| MUROS | CADA MALLAZO | 50 Ø 6 50 |
| | ENTRE MALLAZO | 100 |
| BIGAS | | 100 |
| PILARES | | 100 6 200 |

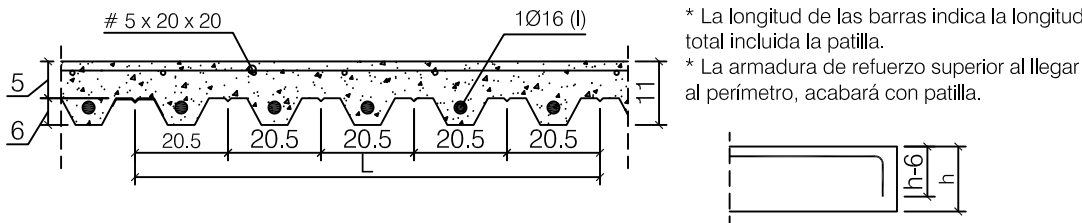
CURADO DEL HORMIGÓN

*Se efectuará un curado del hormigón de como mínimo 5 días desde el hormigonado

*Se recomienda realizar el curado colocando una lámina de plástico superficial o instalando un sistema de riego por aspersión.

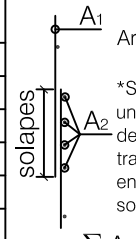


CARACTERÍSTICAS PERFIL HAIRCOL 59 5.1+5.9=11

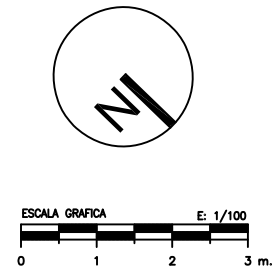



* La longitud de las barras indica la longitud total incluida la patilla.
* La armadura de refuerzo superior al llegar al perímetro, acabará con patilla.

| | |
|--|---------------|
| CANTO FORJADO FINAL | 5.1+5.9=11 cm |
| ANCHO PLACA | L cm |
| CAPA DE COMPRESIÓN: | |
| ARMADO CAPA DE COMPRESIÓN: # 5 x 20 x 20 Malla electrosoldada B500T | |
| ARMADO INFERIOR: 1Ø16 | |

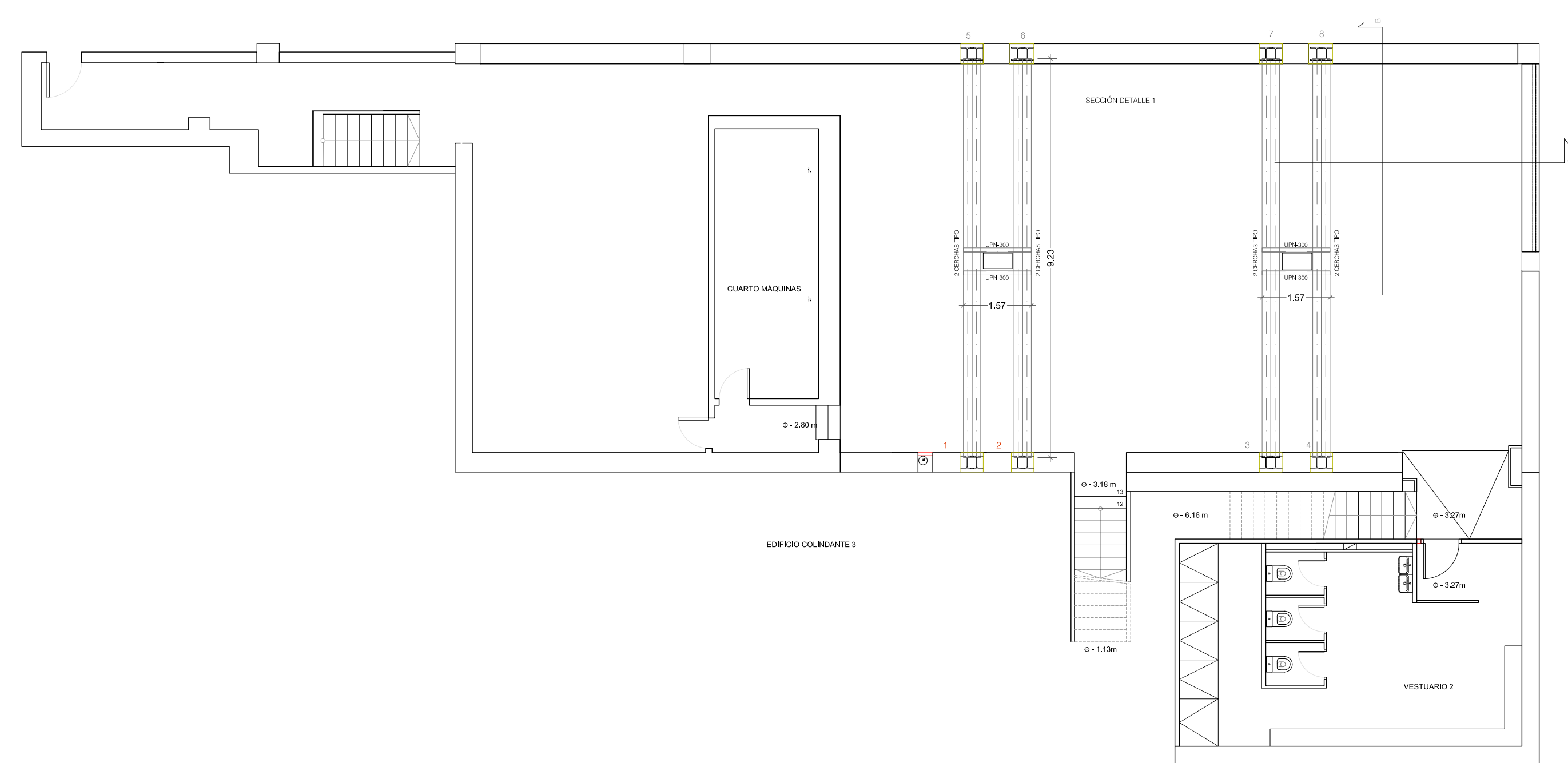
| LONGITUD DE SOLAPES DE BARRAS | | | | |
|-------------------------------|---|--------------|--------|--|
| Ø (mm) | Comprimidas | Traccionadas | |  Art.66.6.2 EHE *Se dispondrá una sección total de armadura transversal $\geq A_1$ en las zonas de solapes de arm. $\Sigma A_2 \geq A_1$ |
| | | Lb I | Lb II | |
| 8 | Longitud igual a la tabla de longitudes de anclaje. | 50 cm | 60 cm | |
| 10 | | 60 cm | 80 cm | |
| 12 | | 80 cm | 100 cm | |
| 16 | | 90 cm | 140 cm | |
| 20 | | 120 cm | 180 cm | |
| 25 | | 190 cm | 280 cm | |

| LONGITUD DE ANCLAJE DE BARRAS | | | | |
|-------------------------------|-------|--------|--|--|
| Ø (mm) | Lb I | Lb II | Art.66.5 EHE *Lb I (Adherencia buena) Arm. Vertical e inferior. *Lb II (Adherencia deficiente) Arm. Superior. *Ø Designa la mayor de las barras unidas. | |
| 8 | 25 cm | 30 cm | | |
| 10 | 30 cm | 40 cm | | |
| 12 | 40 cm | 50 cm | | |
| 16 | 45 cm | 70 cm | | |
| 20 | 60 cm | 90 cm | | |
| 25 | 95 cm | 140 cm | | |




ESCOLA POLITÈCNICA SUPERIOR
D'EDIFICACIÓ DE BARCELONA
AV. DOCTOR MARAÑÓN, 44-50
08028 - BARCELONA

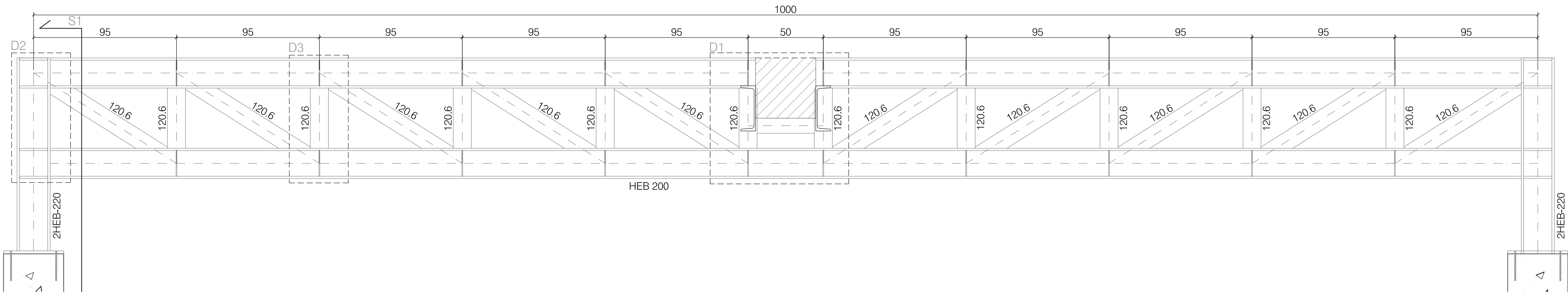
| | | | |
|--|--|------------------------------|------------------------------|
| GRADO DE ARQUITECTURA TÉCNICA Y EDIFICACIÓN | | ALUMNA: BELÉN FERRERES LÓPEZ | |
| FECHA ENTREGA PROPUESTA: 17/04/2018 | DESARROLLO DEL PROYECTO EJECUTIVO DE REFORMA DE LA PISCINA DEL COLEGIO PALCAM C/ ROSALÍA DE CASTRO 32, 08025 BARCELONA | | ESCALA: 1/100 E.3. |
| TUTOR DEL PROYECTO: MANUEL BORBÓN SANLLORENTE Profesor en construcciones arquitectónicas | ESTRUCTURA DE REFORMA: FORJADO PLANTA BAJA | | |



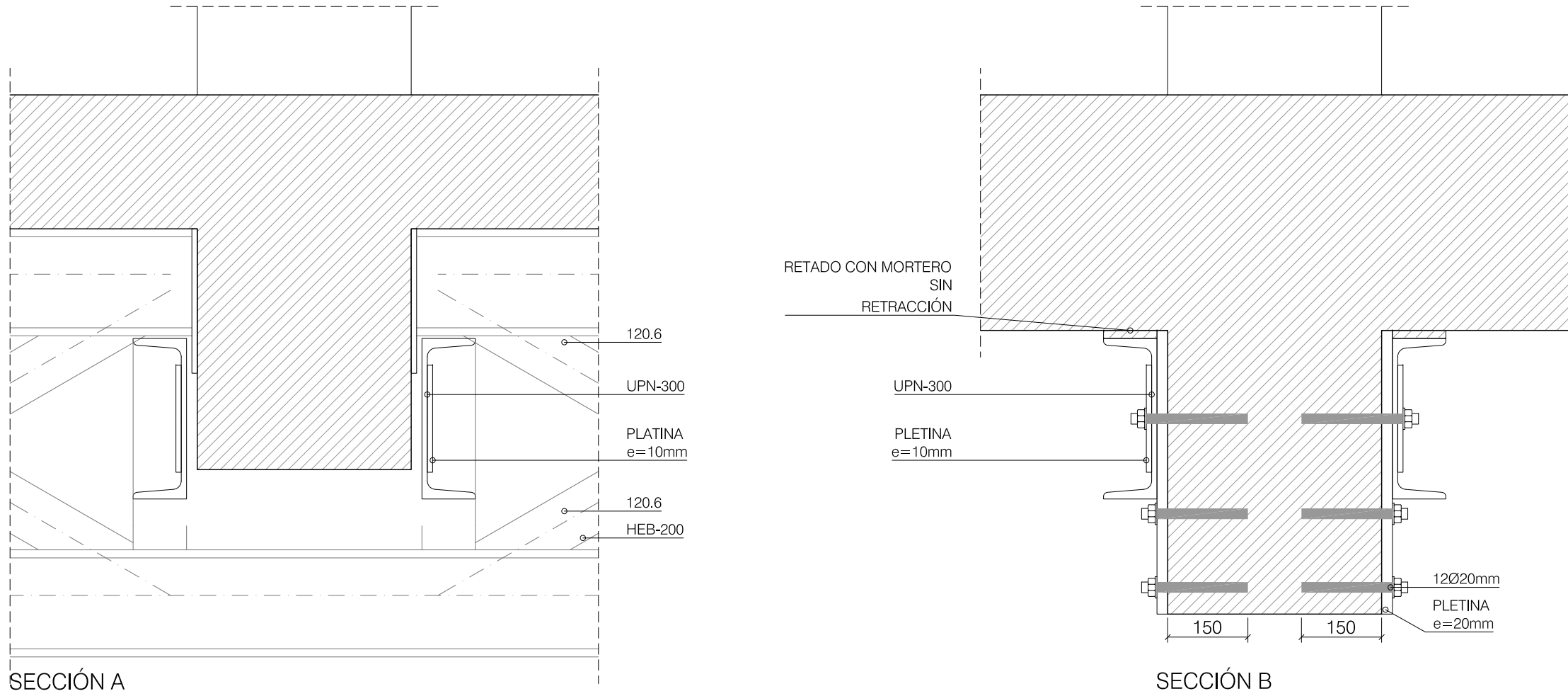
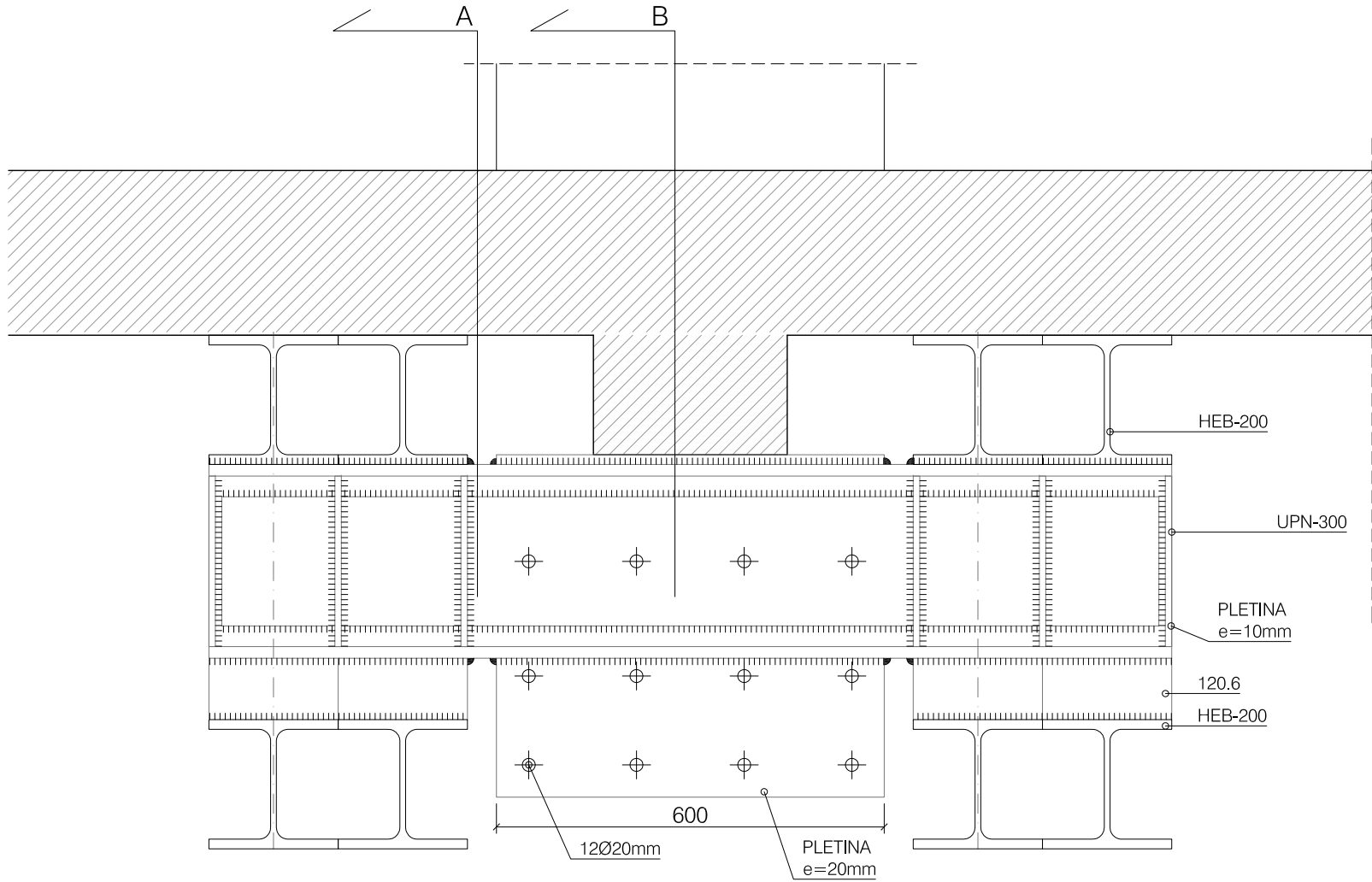
| LONGITUD DE ANCLAJE DE BARRAS | | | |
|-------------------------------|-------|--------|---|
| Ø (mm) | Lb I | Lb II | Art.66.5 EHE |
| 8 | 25 cm | 30 cm | *Lb I (Adherencia buena) Arm. Vertical e inferior. |
| 10 | 30 cm | 40 cm | *Lb II (Adherencia deficiente) Arm. Superior. |
| 12 | 40 cm | 50 cm | |
| 16 | 45 cm | 70 cm | *Ø Designa la mayor de las barras unidas. |
| 20 | 60 cm | 90 cm | |
| 25 | 95 cm | 140 cm | |

| LONGITUD DE ANCLAJE DE BARRAS | | | |
|-------------------------------|-------|--------|---|
| Ø (mm) | Lb I | Lb II | Art.66.5 EHE |
| 8 | 25 cm | 30 cm | *Lb I (Adherencia buena) Arm. Vertical e inferior. |
| 10 | 30 cm | 40 cm | *Lb II (Adherencia deficiente) Arm. Superior. |
| 12 | 40 cm | 50 cm | |
| 16 | 45 cm | 70 cm | *Ø Designa la mayor de las barras unidas. |
| 20 | 60 cm | 90 cm | |
| 25 | 95 cm | 140 cm | |

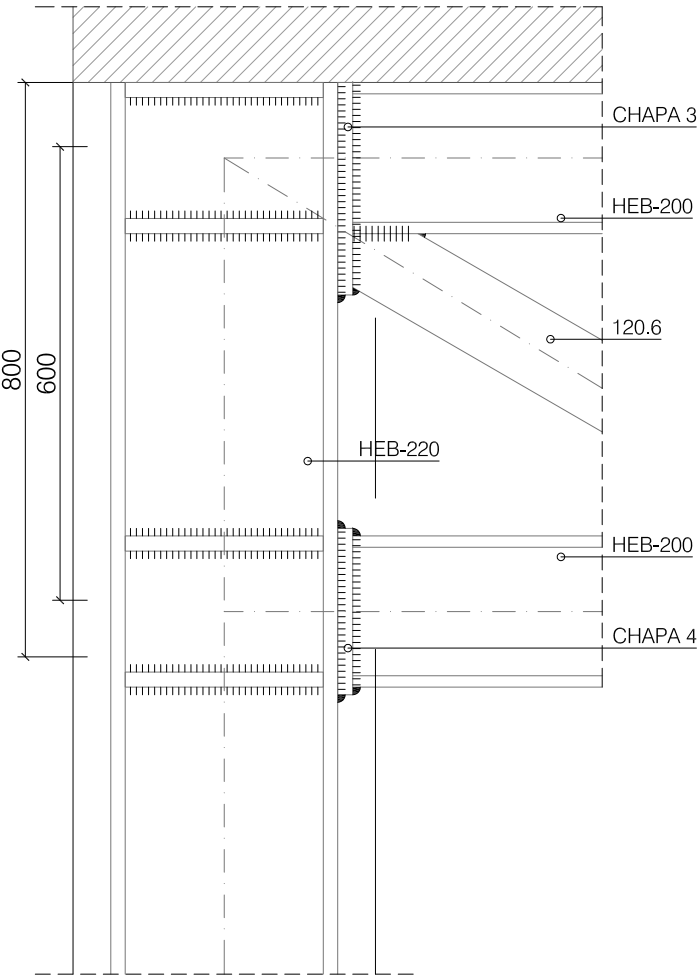




DETALLE 1:
E. 1:10

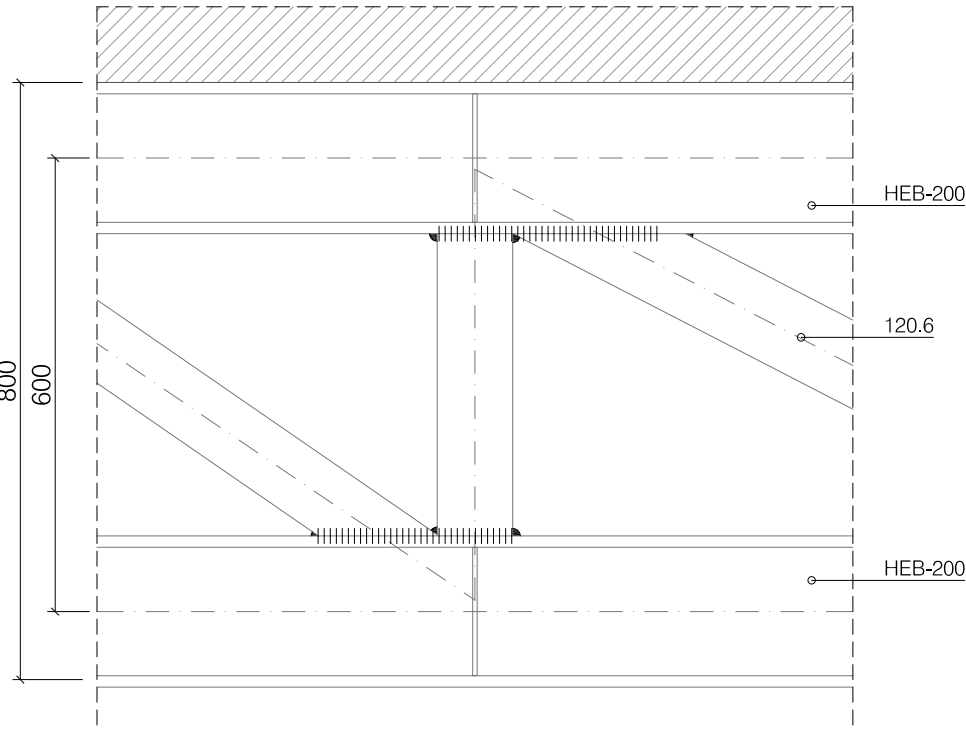


DETALLE 2:



E. 1:10

DETALLE 2:



ESCOLA POLITÈCNICA SUPERIOR
D'EDIFICACIÓ DE BARCELONA
AV. DOCTOR MARAÑÓN, 44-50
08028 - BARCELONA

GRADO DE ARQUITECTURA TÉCNICA Y EDIFICACIÓN

FECHA ENTREGA PROPUESTA:
17/04/2018
TUTOR DEL PROYECTO:
MANUEL BORBÓN SANLLORENTE
Profesor en construcciones arquitectónicas

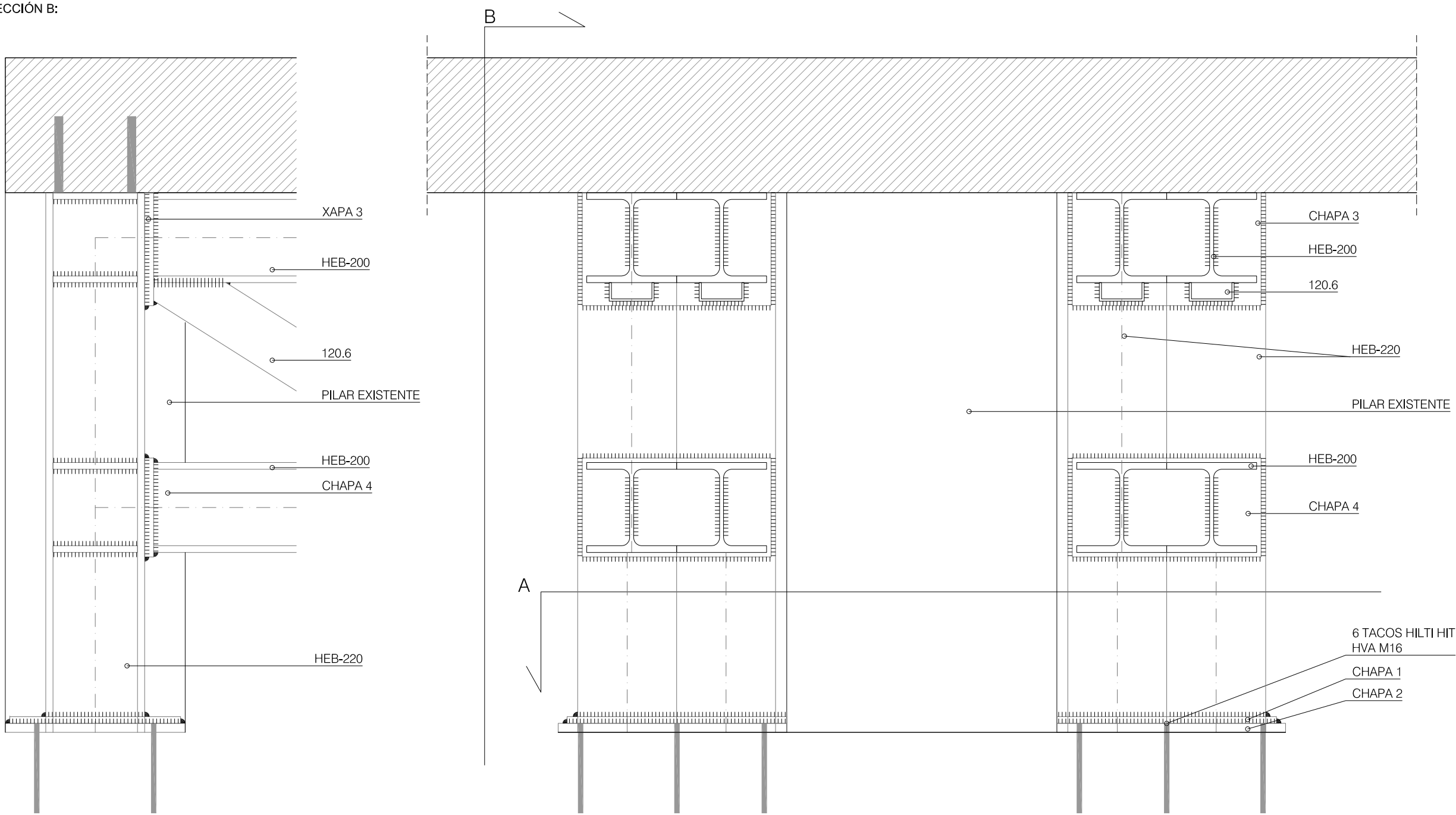
DESARROLLO DEL PROYECTO EJECUTIVO DE REFORMA
DE LA PISCINA DEL COLEGIO PALCAM
C/ ROSALÍA DE CASTRO 32, 08025 BARCELONA
ESTRUCTURA DE REFORMA: APEO PILARES- DETALLES 1

ALUMNA: BELÉN FERRERES LÓPEZ

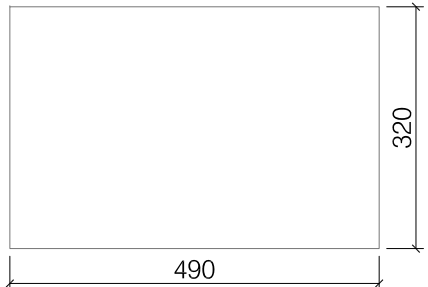
ESCALA: 1/20

E.4.2.

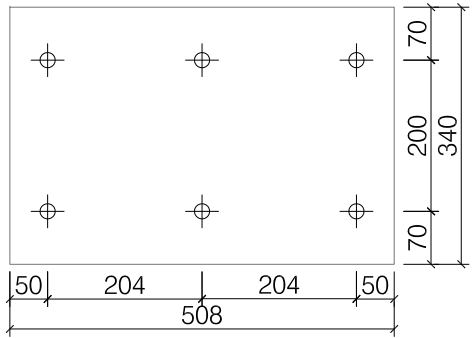
DETALLE SECCIÓN B:



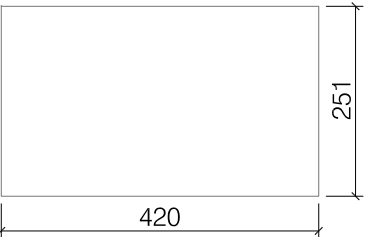
CHAPA 1
e=15mm



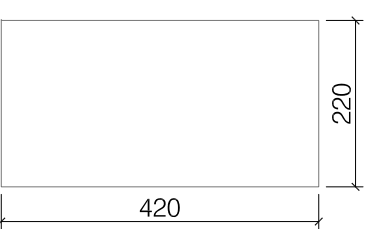
CHAPA 2
e=20mm



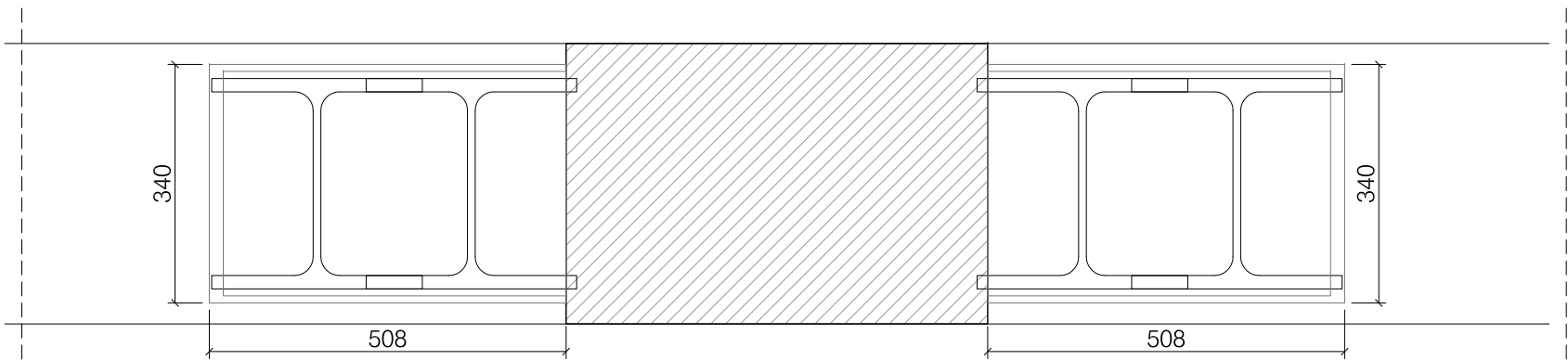
CHAPA 3
e=20mm



CHAPA 4
e=20mm



DETALLE SECCIÓN A:



ESCOLA POLITÈCNICA SUPERIOR
D'EDIFICACIÓ DE BARCELONA
AV. DOCTOR MARAÑÓN, 44-50
08028 - BARCELONA

GRADO DE ARQUITECTURA TÉCNICA Y EDIFICACIÓN

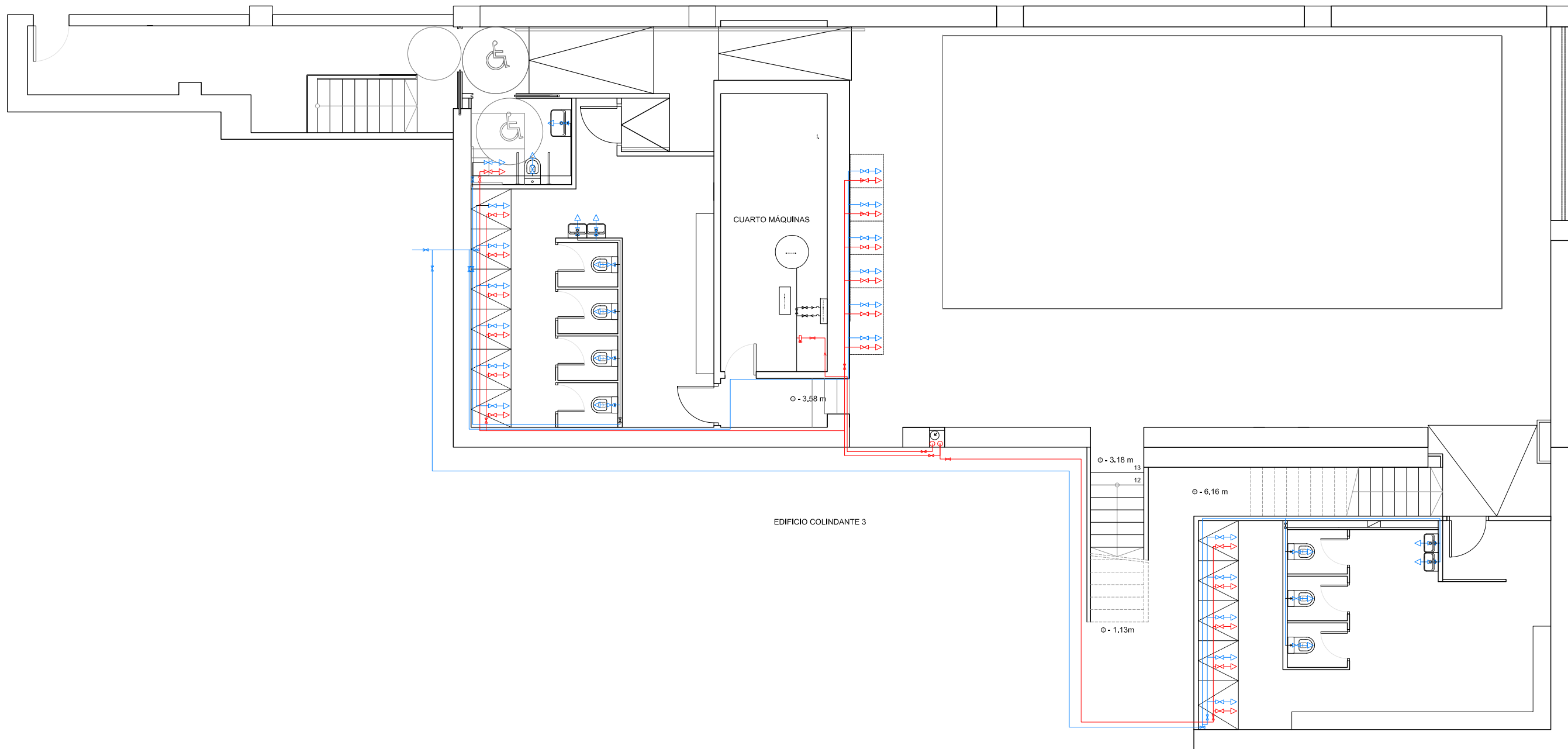
FECHA ENTREGA PROPUESTA:
17/04/2018
TUTOR DEL PROYECTO:
MANUEL BORBÓN SANLLORENTE
Profesor en construcciones arquitectónicas

DESARROLLO DEL PROYECTO EJECUTIVO DE REFORMA
DE LA PISCINA DEL COLEGIO PALCAM
C/ ROSALÍA DE CASTRO 32, 08025 BARCELONA
ESTRUCTURA DE REFORMA: APEO PILARES- DETALLES 2

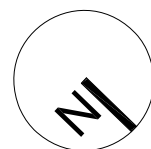
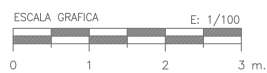
ALUMNA: BELÉN FERRERES LÓPEZ

ESCALA: 1/10

E.4.3.



* Se obvia el dibujo de la red de recirculación del ACS obligatoria de agua



ESCOLA POLITÈCNICA SUPERIOR
D'EDIFICACIÓ DE BARCELONA
AV. DOCTOR MARAÑÓN, 44-50
08028 - BARCELONA

GRADO DE ARQUITECTURA TÉCNICA Y EDIFICACIÓN

FECHA ENTREGA PROPUESTA:

17/04/2018

TUTOR DEL PROYECTO:

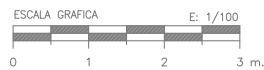
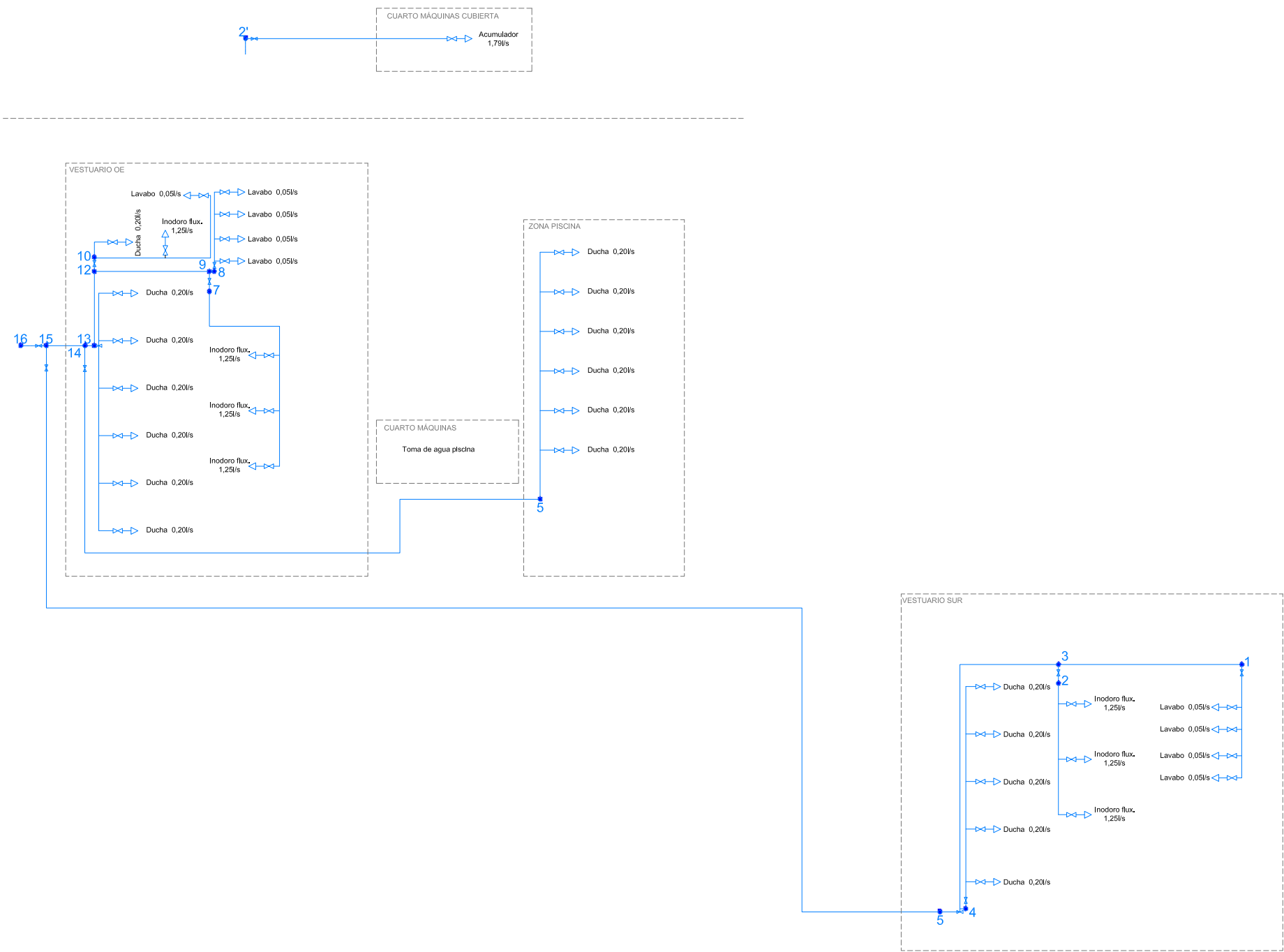
MANUEL BORBÓN SANLLORENTE
Profesor en construcciones arquitectónicas

DESARROLLO DEL PROYECTO EJECUTIVO DE REFORMA
DE LA PISCINA DEL COLEGIO PALCAM
C/ ROSALÍA DE CASTRO 32, 08025 BARCELONA
INSTALACIÓN REFORMADA: PLANTA SÓTANO - FONTANERÍA

ALUMNA: BELÉN FERRERES LÓPEZ

ESCALA: 1/100

I.2.1.



ESCOLA POLITÈCNICA SUPERIOR
D'EDIFICACIÓ DE BARCELONA

AV. DOCTOR MARAÑÓN, 44-50
08028 - BARCELONA

GRADO DE ARQUITECTURA TÉCNICA Y EDIFICACIÓN

FECHA ENTREGA PROPUESTA:

17/04/2018

TUTOR DEL PROYECTO:

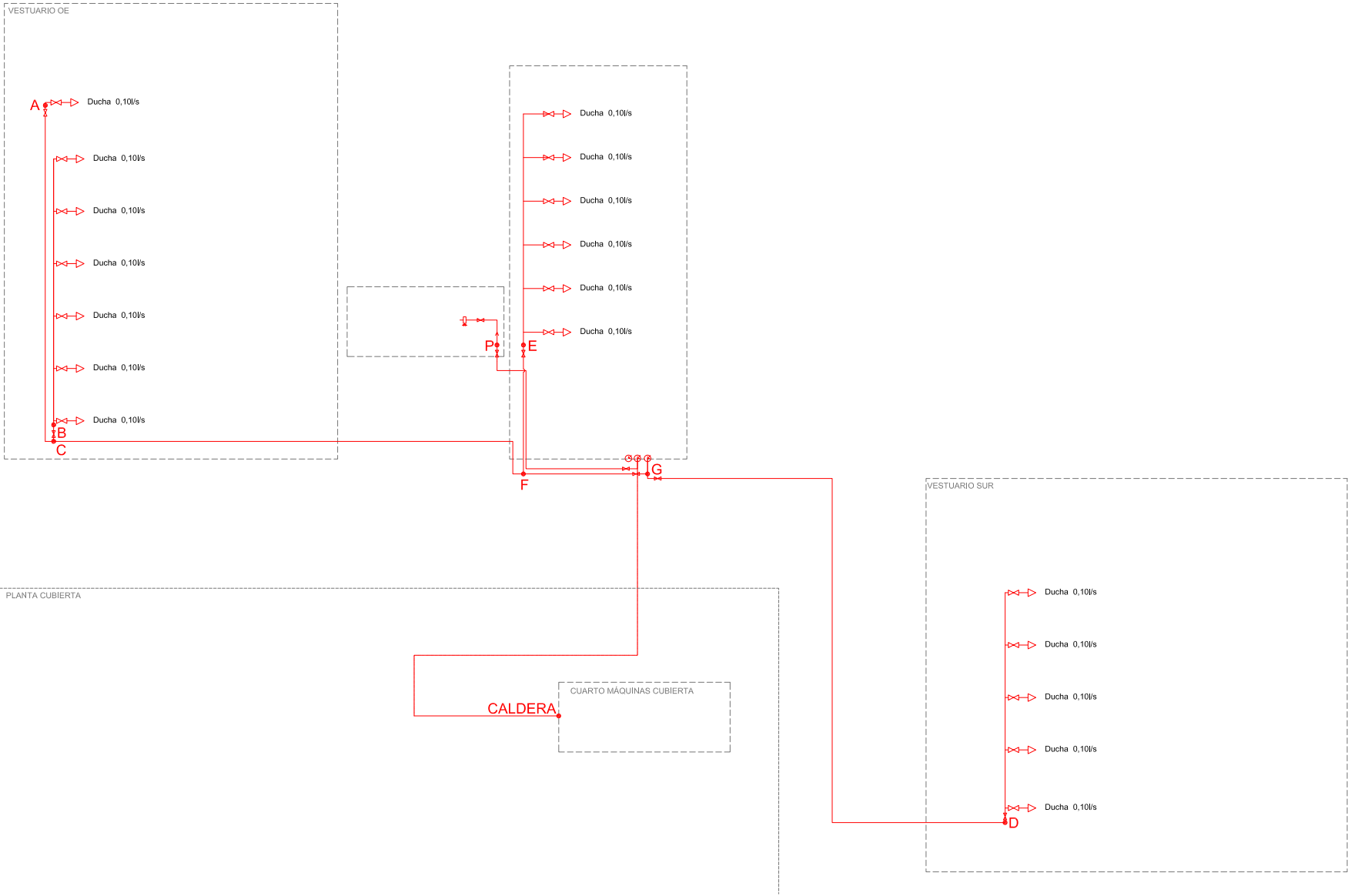
MANUEL BORBÓN SANLLORENTE
Profesor en construcciones arquitectónicas

DESARROLLO DEL PROYECTO EJECUTIVO DE REFORMA
DE LA PISCINA DEL COLEGIO PALCAM
C/ ROSALÍA DE CASTRO 32, 08025 BARCELONA
INSTALACIÓN REFORMADA: PLANTA SÓTANO - FONTANERÍA IFF

ESCALA: 1/100

I.2.2.

ALUMNA: BELÉN FERRERES LÓPEZ



* Se obvia el dibujo de la red de recirculación del ACS obligatoria de agua



ESCOLA POLITÈCNICA SUPERIOR
D'EDIFICACIÓ DE BARCELONA

AV. DOCTOR MARAÑÓN, 44-50
08028 - BARCELONA

GRADO DE ARQUITECTURA TÉCNICA Y EDIFICACIÓN

FECHA ENTREGA PROPUESTA:

-

TUTOR DEL PROYECTO:

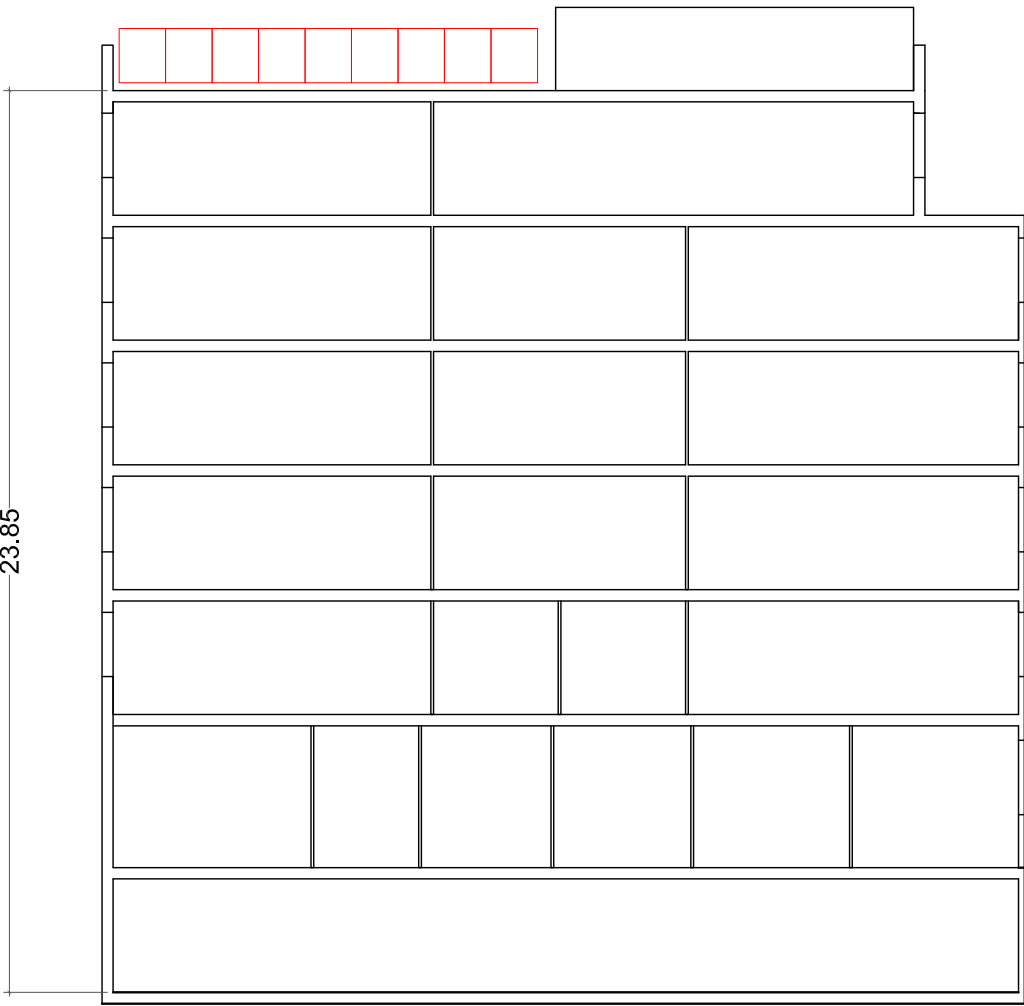
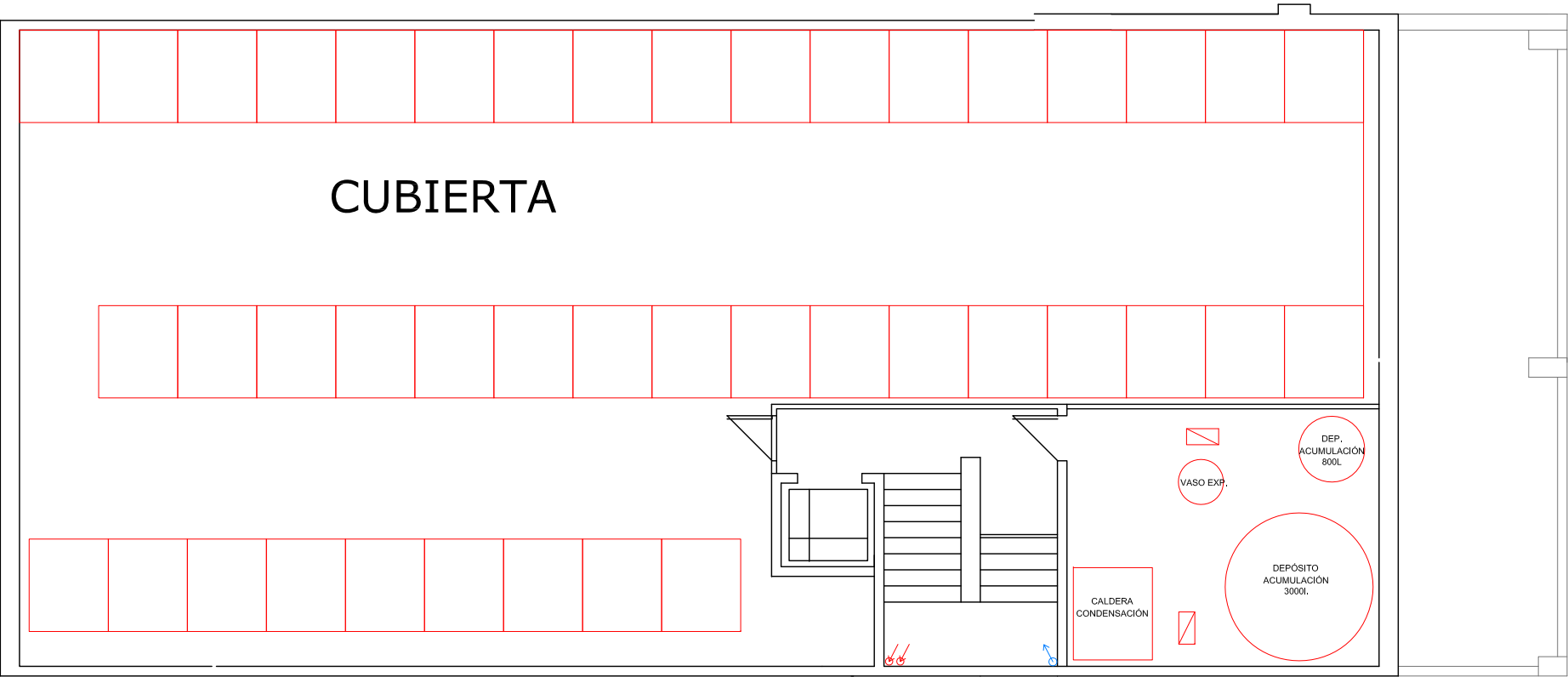
MANUEL BORBÓN SANLLORENTE
Profesor en construcciones arquitectónicas

DESARROLLO DEL PROYECTO EJECUTIVO DE REFORMA
DE LA PISCINA DEL COLEGIO PALCAM
C/ ROSALÍA DE CASTRO 32, 08025 BARCELONA
INSTALACIÓN REFORMADA: PLANTA SÓTANO - FONTANERÍA ACS

ALUMNA: BELÉN FERRERES LÓPEZ

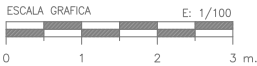
ESCALA: 1/100

I.2.3.



E. 1:200 SECCIÓN TRANSVERSAL EDIFICIO 32

E 1:200



ESCOLA POLITÈCNICA SUPERIOR
D'EDIFICACIÓ DE BARCELONA

AV. DOCTOR MARAÑÓN, 44-50
08028 - BARCELONA

GRADO DE ARQUITECTURA TÉCNICA Y EDIFICACIÓN

ALUMNA: BELÉN FERRERES LÓPEZ

FECHA ENTREGA PROPUESTA:

17/10/2018

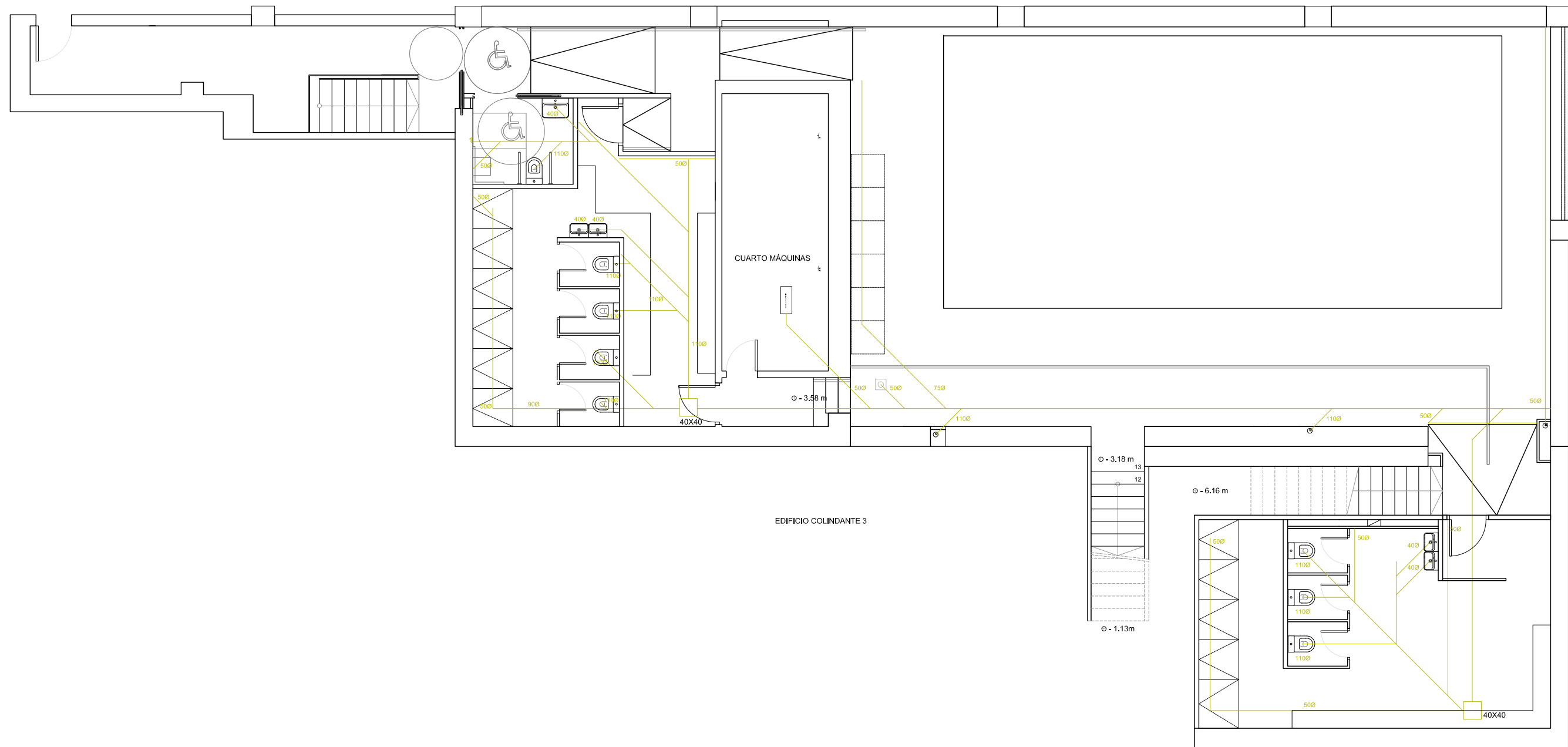
TUTOR DEL PROYECTO:

MANUEL BORBÓN SANLLORENTE
Profesor en construcciones arquitectónicas

DESARROLLO DEL PROYECTO EJECUTIVO DE REFORMA
DE LA PISCINA DEL COLEGIO PALCAM
C/ ROSALÍA DE CASTRO 32, 08025 BARCELONA
INSTALACIÓN REFORMADA: PLANTA SÓTANO - PLACAS SOLARES

ESCALA: 1/100

I.3.



ESCALA GRÁFICA E: 1/100
0 1 2 3 m.



ESCOLA POLITÈCNICA SUPERIOR
D'EDIFICACIÓ DE BARCELONA

AV. DOCTOR MARAÑÓN, 44-50
08028 - BARCELONA

GRADO DE ARQUITECTURA TÉCNICA Y EDIFICACIÓN

FECHA ENTREGA PROPUESTA:

17/04/2018

TUTOR DEL PROYECTO:

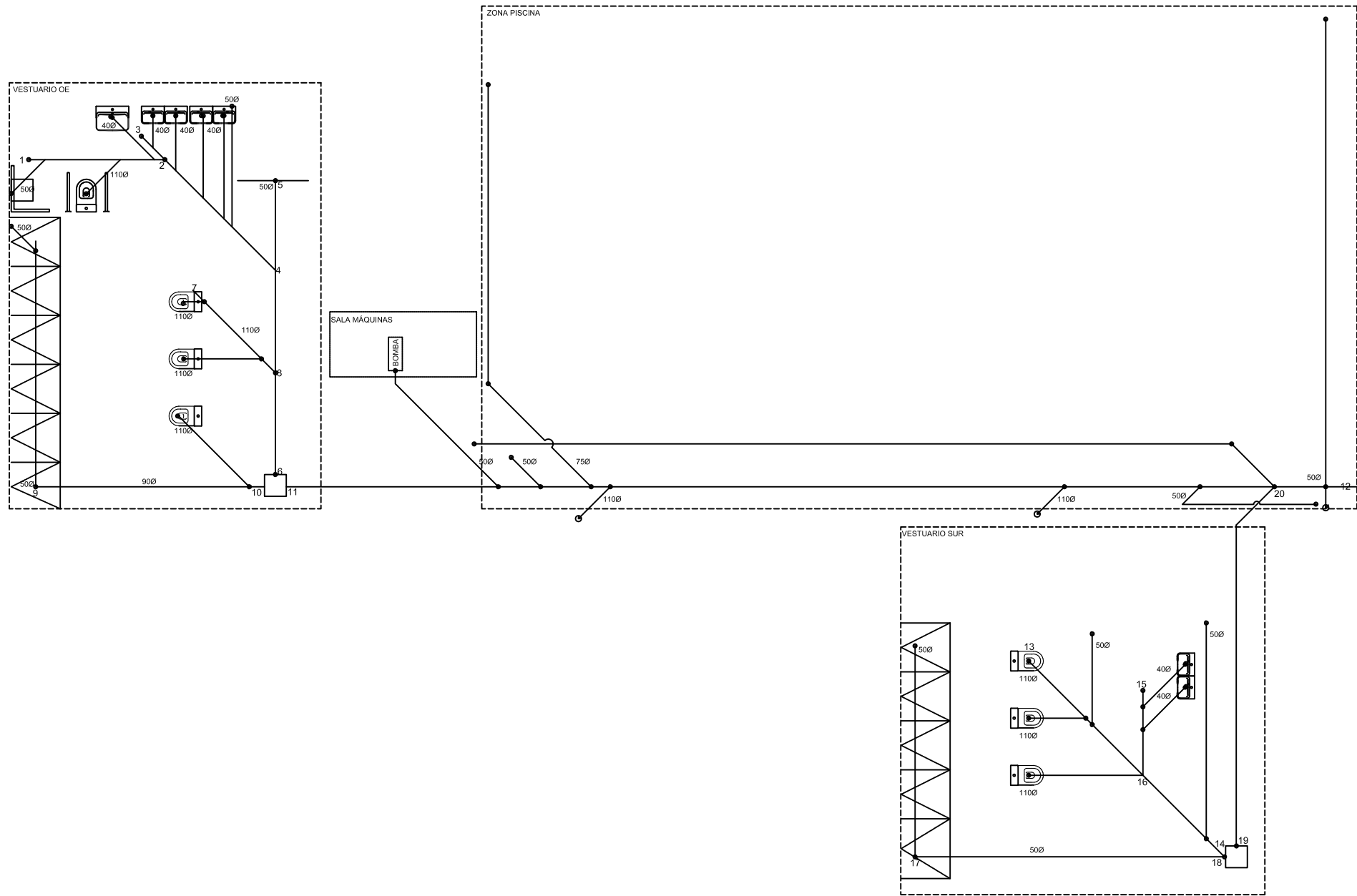
MANUEL BORBÓN SANLLORENTE
Profesor en construcciones arquitectónicas

DESARROLLO DEL PROYECTO EJECUTIVO DE REFORMA
DE LA PISCINA DEL COLEGIO PALCAM
C/ ROSALÍA DE CASTRO 32, 08025 BARCELONA
INSTALACIÓN REFORMADA: PLANTA SÓTANO - SANEAMIENTO

ALUMNA: BELÉN FERRERES LÓPEZ

ESCALA: 1/100

I.4.1.



ESCOLA POLITÈCNICA SUPERIOR
D'EDIFICACIÓ DE BARCELONA
AV. DOCTOR MARAÑÓN, 44-50
08028 - BARCELONA

GRADO DE ARQUITECTURA TÉCNICA Y EDIFICACIÓN

FECHA ENTREGA PROPUESTA:

17/04/2018

TUTOR DEL PROYECTO:

MANUEL BORBÓN SANLLORENTE
Profesor en construcciones arquitectónicas

DESARROLLO DEL PROYECTO EJECUTIVO DE REFORMA

DE LA PISCINA DEL COLEGIO PALCAM

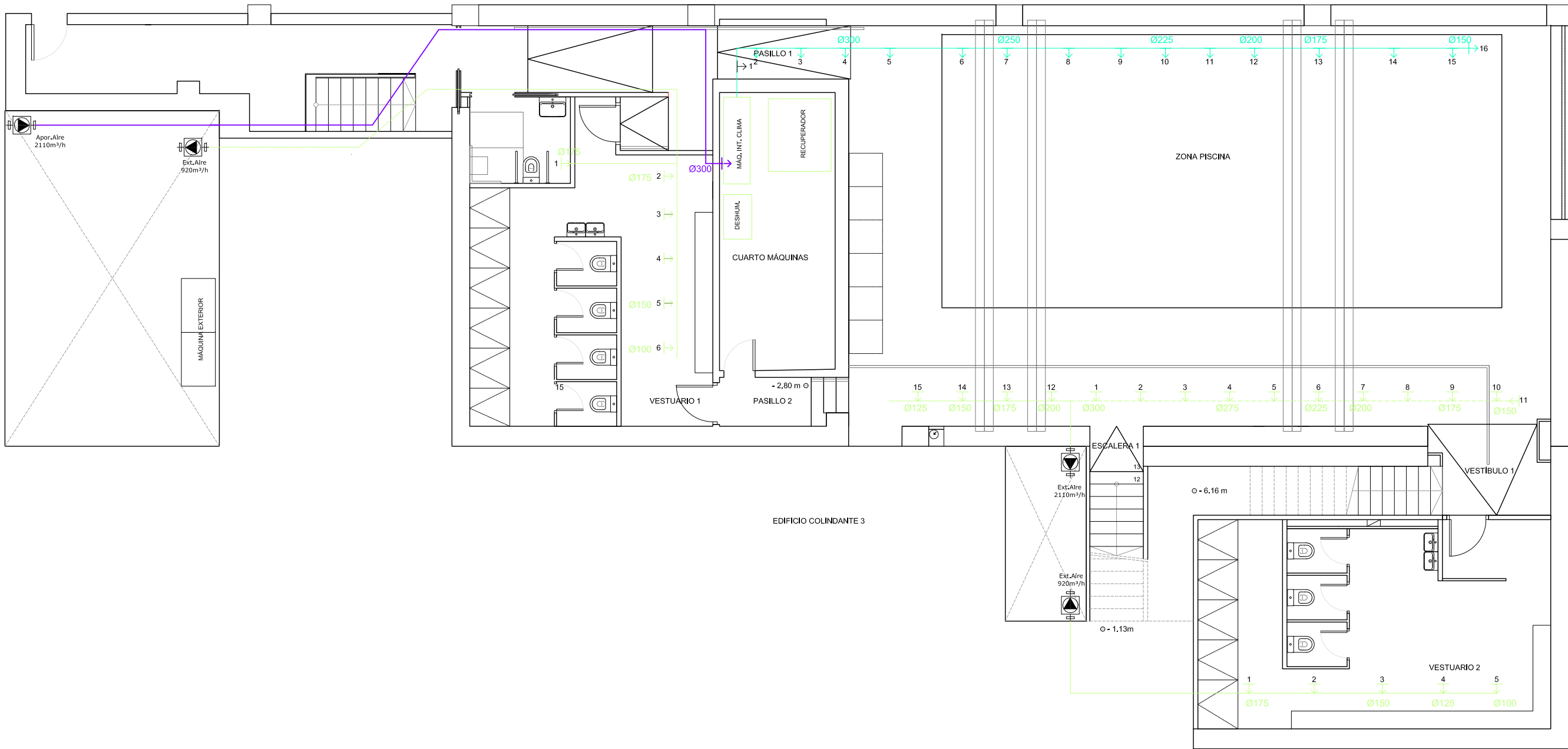
C/ ROSALÍA DE CASTRO 32, 08025 BARCELONA

INSTALACIÓN REFORMADA: PLANTA SÓTANO - ESQUEMA SANEAMIENTO

ALUMNA: BELÉN FERRERES LÓPEZ

ESCALA: 1/100

I.4.2.



ESCALA GRAFICA E: 1/100
0 1 2 3 m.



ESCOLA POLITÈCNICA SUPERIOR
D'EDIFICACIÓ DE BARCELONA

AV. DOCTOR MARAÑÓN, 44-50
08028 - BARCELONA

GRADO DE ARQUITECTURA TÉCNICA Y EDIFICACIÓN

FECHA ENTREGA PROPUESTA:

17/04/2018

TUTOR DEL PROYECTO:

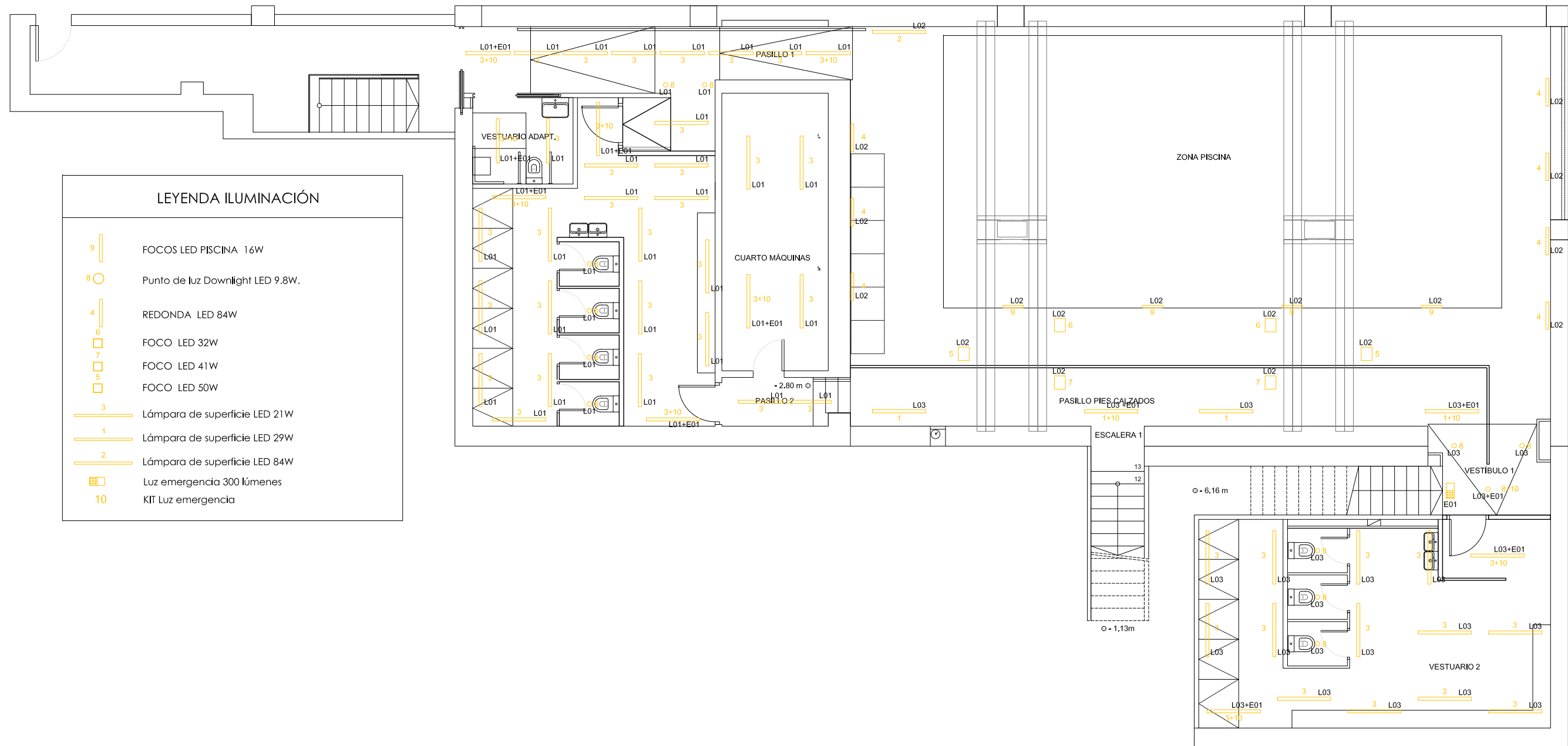
MANUEL BORBÓN SANLLORENTE
Profesor en construcciones arquitectónicas

DESARROLLO DEL PROYECTO EJECUTIVO DE REFORMA
DE LA PISCINA DEL COLEGIO PALCAM
C/ ROSALÍA DE CASTRO 32, 08025 BARCELONA
INSTALACIÓN REFORMADA: PLANTA SÓTANO - CLIMA Y VENTILACIÓN

ESCALA: 1/100

I.5.

ALUMNA: BELÉN FERRERES LÓPEZ



LEYENDA ILUMINACIÓN

9

FOCOS LED PISCINA 16W

8

Punto de luz Downlight LED 9.8W.

4

REDONDA LED 84W

6

FOCO LED 32W

7

FOCO LED 41W

5

FOCO LED 50W

3

Lámpara de superficie LED 21W

1

Lámpara de superficie LED 29W

2

Lámpara de superficie LED 84W

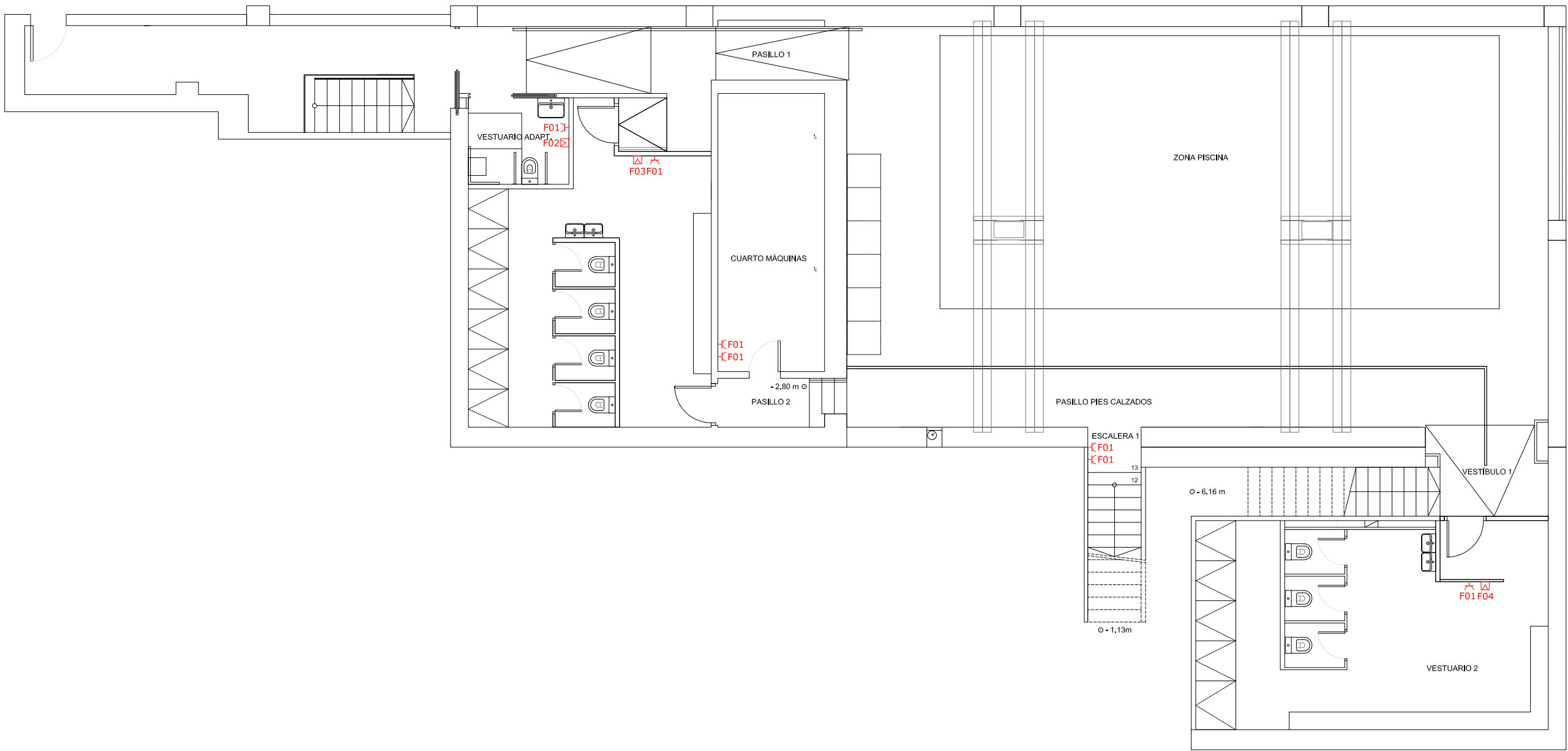
Luz emergencia 300 lúmenes

10

KIT Luz emergencia



| | | | | | |
|--|---|--|--|--|---------------|
| <div></div> <div>ESCOLA POLITÈCNICA SUPERIOR D'EDIFICACIÓ DE BARCELONA</div> <div>AV. DOCTOR MARAÑÓN, 44-50 08028 - BARCELONA</div> | GRADO DE ARQUITECTURA TÉCNICA Y EDIFICACIÓN | | ALUMNA: BELÉN FERRERES LÓPEZ | | |
| | FECHA ENTREGA PROPUESTA: | | DESARROLLO DEL PROYECTO EJECUTIVO DE REFORMA DE LA PISCINA DEL COLEGIO PALCAM C/ ROSALÍA DE CASTRO 32, 08025 BARCELONA INSTALACIÓN REFORMADA: PLANTA SÓTANO - ILUMINACIÓN | | ESCALA: 1/100 |
| | 17/04/2018 | | | | |
| | TUTOR DEL PROYECTO: | | | | |
| | MANUEL BORBÓN SANLORENTE | | | | I.6. |
| Profesor en construcciones arquitectónicas | | | | | |



| LEYENDA FUERZA | |
|----------------|------------------------|
| | T.C. 16A + T.T. a 40cm |
| | Toma secamanos |



ESCOLA POLITÈCNICA SUPERIOR
D'EDIFICACIÓ DE BARCELONA

AV. DOCTOR MARAÑÓN, 44-50
08028 - BARCELONA

GRADO DE ARQUITECTURA TÉCNICA Y EDIFICACIÓN

ALUMNA: BELÉN FERRERES LÓPEZ

FECHA ENTREGA PROPUESTA:

17/04/2018

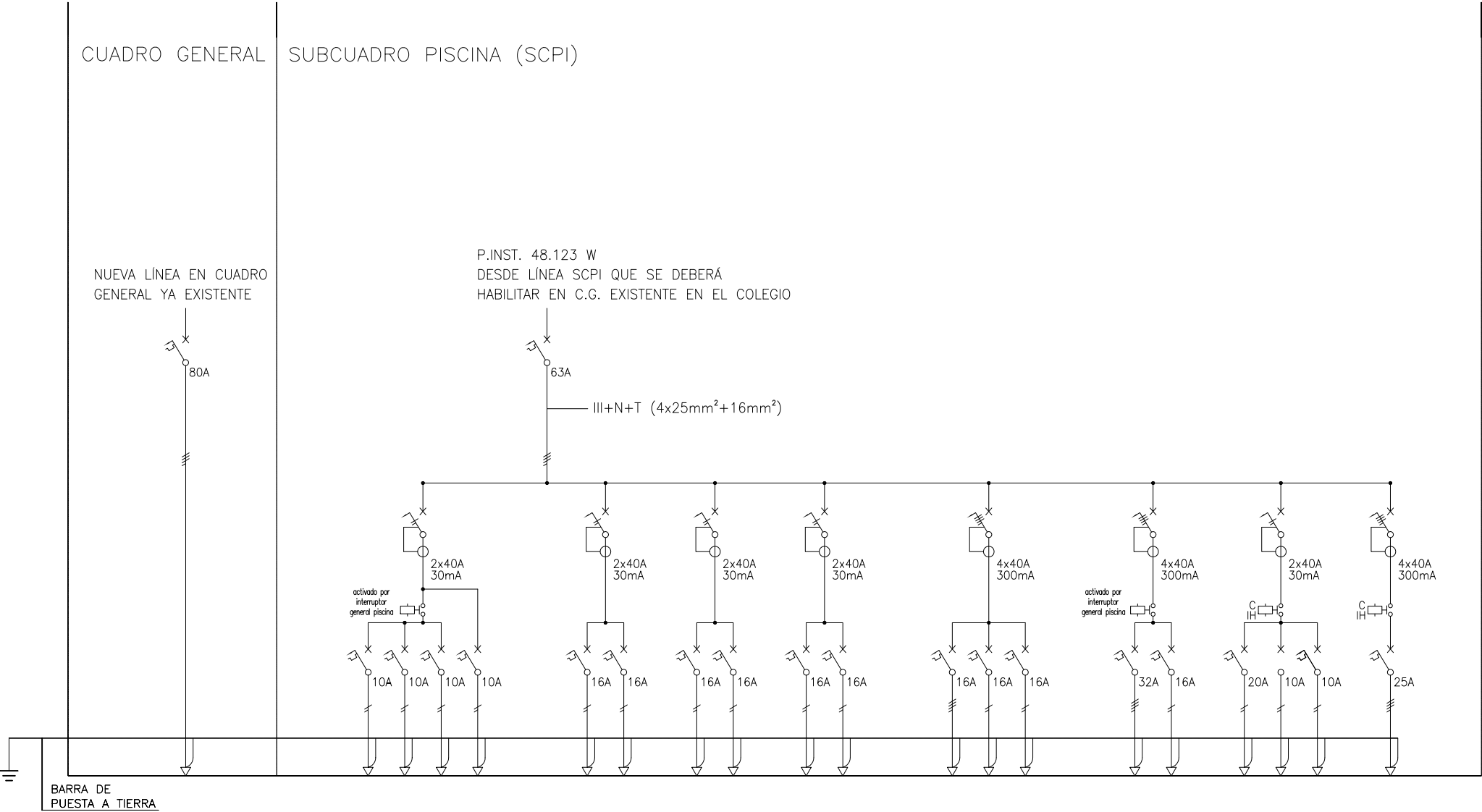
TUTOR DEL PROYECTO:

MANUEL BORBÓN SANLLORENTE
Profesor en construcciones arquitectónicas

DESARROLLO DEL PROYECTO EJECUTIVO DE REFORMA
DE LA PISCINA DEL COLEGIO PALCAM
C/ ROSALÍA DE CASTRO 32, 08025 BARCELONA
INSTALACIÓN REFORMADA: ELÉCTRICA - PLANTA SÓTANO

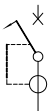
ESCALA: 1/100

I.7.1.



| CIRCUITO N° | SC01 | | L01 | L02 | L03 | E01 | | F01 | F02 | | F03 | F04 | | F05 | R | | PI01 | PI02 | R | | AA01 | AA02 | | AA03 | AA04 | AA05 | | AA06 | |
|---------------|-------------------|--|--------------------|--------------------|--------------------|---------------------------|--|--------------|----------------|--|-------------------|-------------------|--|-------------------------|---------|--|-----------------------|-------------------------|---------|--|-----------------------|------------------------|--|-----------------------------|-----------------------------|--------------------------------|--|-------------------------|--|
| POTENCIA (W.) | 48.123 | | 814,80 | 927,00 | 709,80 | 4,90 | | 1200 | 2200 | | 2200 | 2200 | | 2000 | — | | 1100 | 246 | — | | 18360 | 500 | | 3000 | 330 | 630 | | 11700 | |
| SECCION mm2 | 35 | | 1,5 | 1,5 | 1,5 | 1,5 | | 2,5 | 2,5 | | 2,5 | 2,5 | | 2,5 | 2,5 | | 2,5 | 2,5 | 2,5 | | 10 | 2,5 | | 4 | 1,5 | 1,5 | | 6 | |
| N° HILOS | 5 | | 3 | 3 | 3 | 3 | | 3 | 3 | | 3 | 3 | | 3 | 3 | | 5 | 3 | 3 | | 5 | 3 | | 3 | 3 | 3 | | 5 | |
| RECEPTOR | SUBCUADRO PISCINA | | ALIMENT. ALUMBRADO | ALIMENT. ALUMBRADO | ALIMENT. ALUMBRADO | ALIMENT. ALUMBRADO EMERG. | | T.C. VARIOS | SECAMANOS ASE0 | | SECAMANOS VEST. 1 | SECAMANOS VEST. 2 | | PUERTA CORREDERA ACCESO | RESERVA | | ALUMEN. BOMBA PISCINA | ALUMEN. EQUIPOS PISCINA | RESERVA | | ALUMEN. UD. EXTERIOR. | ALUMEN. UD. INTERIORES | | ALUMEN. RECUPERAD. DE CALOR | ALUMEN. VENTILACION PISCINA | ALUMEN. VENTILACION VEST./ASE0 | | ALUMEN. DESHUM.-FICADOR | |
| SERVICIO | SCPI | | ALUMBRADO | | | | | MAQ. PISCINA | | | | | | | | | VENT./CLIMA | | | | | | | | | | | | |

SIMBOLOGIA



INTERRUPTOR AUTOMATICO
MAGNETICO DIFERENCIAL



INTERRUPTOR AUTOMATICO
MAGNETOTERMICO



CONTACTOR CON RELE TERMICO
SERVICIO MOTOR



CONTACTOR CON RELE TEMPORIZADO
SERVICIO MOTOR



CONTACTOR CON INTERRUPTOR
HORARIO



CONTACTOR CON INTERRUPTOR
MINUTERO DIGITAL



PROTECCIÓN GUARDAMOTOR



BORNA TERMINAL CABLEADO EXTERIOR



NUMERO DE CONDUCTORES EN EL
CABLE, LA MEDIA LINEA REPRESENTA
EL NEUTRO



ESCOLA POLITÈCNICA SUPERIOR
D'EDIFICACIÓ DE BARCELONA

AV. DOCTOR MARAÑÓN, 44-50
08028 - BARCELONA

GRADO DE ARQUITECTURA TÉCNICA Y EDIFICACIÓN

ALUMNA: BELÉN FERRERES LÓPEZ

FECHA ENTREGA PROPUESTA:

17/04/2018

TUTOR DEL PROYECTO:

MANUEL BORBÓN SANLLORENTE
Profesor en construcciones arquitectónicas

DESARROLLO DEL PROYECTO EJECUTIVO DE REFORMA
DE LA PISCINA DEL COLEGIO PALCAM
C/ ROSALÍA DE CASTRO 32, 08025 BARCELONA
INSTALACIÓN REFORMADA: ELÉCTRICA -ESQUEMA

ESCALA: 1/100

I.7.2.



ITA D A I A

| | | | |
|--|---|--|------------------------------|
| <div></div> <div>ESCOLA POLITÈCNICA SUPERIOR D'EDIFICACIÓ DE BARCELONA</div> <div>AV. DOCTOR MARAÑÓN, 44-50 08028 - BARCELONA</div> | GRADO DE ARQUITECTURA TÉCNICA Y EDIFICACIÓN | | ALUMNA: BELÉN FERRERES LÓPEZ |
| | FECHA ENTREGA PROPUESTA: | DESARROLLO DEL PROYECTO EJECUTIVO DE REFORMA DE LA PISCINA DEL COLEGIO PALCAM C/ ROSALÍA DE CASTRO 32, 08025 BARCELONA INSTALACIÓN REFORMADA: PCI PLANTA BAJA | ESCALA: 1/100 |
| | 17/04/2018 | | |
| | TUTOR DEL PROYECTO: | | |
| | MANUEL BORBÓN SANLLORENTE Profesor en construcciones arquitectónicas | | |

